

## II

(Actes non législatifs)

## DIRECTIVES

## DIRECTIVE (UE) 2015/996 DE LA COMMISSION

du 19 mai 2015

établissant des méthodes communes d'évaluation du bruit conformément à la directive 2002/49/CE du Parlement européen et du Conseil

(Texte présentant de l'intérêt pour l'EEE)

LA COMMISSION EUROPÉENNE,

vu le traité sur le fonctionnement de l'Union européenne,

vu la directive 2002/49/CE du Parlement européen et du Conseil du 25 juin 2002 relative à l'évaluation et à la gestion du bruit dans l'environnement <sup>(1)</sup>, et notamment son article 6, paragraphe 2,

considérant ce qui suit:

- (1) Aux termes de son article premier, l'objectif de la directive 2002/49/CE est d'établir une «approche commune destinée à éviter, prévenir ou réduire en priorité les effets nuisibles, y compris la gêne, de l'exposition au bruit dans l'environnement». À cet effet, les États membres doivent déterminer l'exposition au bruit dans l'environnement en effectuant une cartographie du bruit selon des méthodes d'évaluation communes à tous les États membres, veiller à ce que les informations relatives au bruit dans l'environnement et à ses effets soient rendues publiques et adopter des plans d'action fondés sur les résultats de la cartographie du bruit, en vue de prévenir et de réduire, si cela est nécessaire, le bruit dans l'environnement, notamment lorsque les niveaux d'exposition peuvent entraîner des effets nuisibles pour la santé humaine, et de préserver la qualité de l'environnement sonore lorsqu'elle est satisfaisante.
- (2) Aux termes de l'article 5 de la directive 2002/49/CE, les États membres utilisent les indicateurs de bruit ( $L_{den}$  et  $L_{night}$ ) visés à l'annexe I de cette directive aux fins de l'établissement et de la révision des cartes de bruit stratégiques conformément à l'article 7.
- (3) Aux termes de l'article 6 de la directive 2002/49/CE, les valeurs des indicateurs de bruit ( $L_{den}$  et  $L_{night}$ ) sont déterminées selon des méthodes d'évaluation définies à l'annexe II de cette directive.
- (4) Aux termes de ce même article, la Commission établit des méthodes d'évaluation communes pour la détermination de  $L_{den}$  et de  $L_{night}$  au moyen d'une révision de l'annexe II.
- (5) L'article 7 de la directive 2002/49/CE dispose que les États membres veillent à ce que des cartes de bruit stratégiques soient établies au plus tard le 30 juin 2007 et le 30 juin 2012, et soient par la suite réexaminées et si nécessaire révisées au moins tous les cinq ans.
- (6) La directive 2002/49/CE prévoit l'établissement de plans d'action sur la base des cartes de bruit stratégiques. Les cartes de bruit stratégiques sont établies selon les méthodes d'évaluation communes lorsque ces méthodes ont été adoptées par les États membres. Toutefois, les États membres peuvent utiliser d'autres méthodes pour concevoir des mesures en réponse aux priorités déterminées à l'aide des méthodes communes ainsi que pour évaluer d'autres mesures nationales visant à prévenir et à réduire le bruit dans l'environnement.

<sup>(1)</sup> JO L 189 du 18.7.2002, p. 12.

- (7) En 2008, la Commission a lancé le processus de mise en place du cadre méthodologique commun pour l'évaluation du bruit, avec le projet CNOSSOS-EU (méthodes communes d'évaluation du bruit dans l'UE) mené par son Centre commun de recherche. Ce projet a été mené en étroite consultation avec le comité établi en application de l'article 18 de la directive 2000/14/CE du Parlement européen et du Conseil <sup>(1)</sup>, et avec d'autres experts des États membres. Les résultats ont été publiés dans le rapport de référence du JRC sur le projet CNOSSOS-UE <sup>(2)</sup>.
- (8) L'annexe de la présente directive de la Commission énonce les méthodes d'évaluation communes du bruit. Les États membres seront tenus d'utiliser ces méthodes à partir du 31 décembre 2018.
- (9) Les méthodes d'évaluation énoncées dans l'annexe de la présente directive doivent, en application de l'article 2, paragraphe 1, être adoptées au plus tard le 31 décembre 2018; jusqu'à cette date, les États membres peuvent, en application de l'article 6, paragraphe 2, de la directive 2002/49/CE, continuer à utiliser les méthodes d'évaluation existantes précédemment adoptées au niveau national.
- (10) Conformément à l'article 12 de la directive 2002/49/CE, la Commission adapte l'annexe II au progrès scientifique et technique.
- (11) Outre l'adaptation au progrès scientifique et technique conformément à l'article 12 de la directive 2002/49/CE, la Commission s'efforce de modifier l'annexe sur la base de l'expérience acquise par les États membres.
- (12) Les méthodes d'évaluation communes doivent également être utilisées aux fins d'autres dispositions législatives de l'UE lorsque ces dispositions font référence à l'annexe II de la directive 2002/49/CE.
- (13) Les mesures prévues par la présente décision sont conformes à l'avis exprimé par le comité institué par l'article 13 de la directive 2002/49/CE,

A ADOPTÉ LA PRÉSENTE DIRECTIVE:

#### *Article premier*

L'annexe II de la directive 2002/49/CE est remplacée par le texte de l'annexe de la présente directive.

#### *Article 2*

1. Les États membres mettent en vigueur les dispositions législatives, réglementaires et administratives nécessaires pour se conformer à la présente directive, au plus tard le 31 décembre 2018. Ils en communiquent immédiatement le texte à la Commission.

Lorsque les États membres adoptent ces dispositions, celles-ci contiennent une référence à la présente directive ou sont accompagnées d'une telle référence lors de leur publication officielle. Les modalités de cette référence sont arrêtées par les États membres.

2. Les États membres communiquent à la Commission le texte des dispositions essentielles de droit interne qu'ils adoptent dans le domaine couvert par la présente directive.

#### *Article 3*

La présente directive entre en vigueur le jour suivant celui de sa publication au *Journal officiel de l'Union européenne*.

<sup>(1)</sup> Directive 2000/14/CE du Parlement européen et du Conseil du 8 mai 2000 concernant le rapprochement des législations des États membres relatives aux émissions sonores dans l'environnement des matériels destinés à être utilisés à l'extérieur des bâtiments (JO L 162 du 3.7.2000, p. 1).

<sup>(2)</sup> «Common Noise Assessment Methods in Europe (CNOSSOS-EU)» — JRC Reference Report, EUR 25379 EN. Luxembourg: Office des publications de l'Union européenne, 2012, — ISBN 978-92-79-25281-5.

*Article 4*

Les États membres sont destinataires de la présente directive.

Fait à Bruxelles, le 19 mai 2015.

*Par la Commission,  
au nom du président,  
Karmenu VELLA  
Membre de la Commission*

---

## ANNEXE

## MÉTHODES D'ÉVALUATION POUR LES INDICATEURS DE BRUIT

(visées à l'article 6 de la directive 2002/49/CE)

## 1. INTRODUCTION

Les valeurs de  $L_{den}$  et  $L_{night}$  sont déterminées par calcul aux points d'évaluation, conformément à la méthode exposée au chapitre 2 et aux données décrites au chapitre 3. Les mesures peuvent être effectuées selon le chapitre 4.

## 2. MÉTHODES COMMUNES D'ÉVALUATION DU BRUIT

## 2.1. Dispositions générales — bruit du trafic routier et ferroviaire, et bruit industriel

## 2.1.1. Définitions des indicateurs, de la gamme et de la plage de fréquences

Les calculs des émissions sonores sont définis dans la gamme de fréquences de 63 Hz à 8 kHz. Les résultats de la plage de fréquences sont fournis dans l'intervalle de fréquence correspondant.

Les calculs sont effectués en bandes d'octave pour le trafic routier et ferroviaire, et le bruit industriel, hormis pour la puissance acoustique de la source du bruit ferroviaire, qui utilise des bandes de tiers d'octave. Sur la base des résultats de la bande d'octave, pour le trafic routier et ferroviaire, et le bruit industriel, le niveau de pression acoustique moyen à long terme avec pondération A pour les périodes de jour, de soirée et de nuit, tel que défini dans l'annexe I et visé à l'article 5 de la directive 2002/49/CE, est calculé par la somme sur toutes les fréquences:

$$L_{Aeq,T} = 10 \times \lg \sum_{i=1} 10^{(L_{eq,T,i} + A_i)/10} \quad (2.1.1)$$

où

$A_i$  représente la pondération A selon la norme CEI 61672-1

$i$  = indice de plage de fréquences

et  $T$  est la plage de temps correspondant à la période de jour, de soirée ou de nuit.

Paramètres du bruit:

|               |   |                                     |
|---------------|---|-------------------------------------|
| $L_p$         | Niveau de pression acoustique instantanée   | [dB]<br>(réf. $2 \cdot 10^{-5}$ Pa) |
| $L_{Aeq,LT}$  | Niveau sonore global à long terme $L_{Aeq}$ résultant de toutes les sources et des sources image au point R | [dB]<br>(réf. $2 \cdot 10^{-5}$ Pa) |
| $L_w$         | Niveau de puissance acoustique «in situ» d'une source ponctuelle (fluctuante ou stable)                     | [dB]<br>(réf. $10^{-12}$ W)         |
| $L_{w,i,dir}$ | Niveau de puissance acoustique «in situ» directionnel pour la $i$ ème (i) plage de fréquence                | [dB]<br>(réf. $10^{-12}$ W)         |
| $L_{w'}$      | Niveau de puissance acoustique «in situ» moyen par mètre de ligne source                                    | [dB/m]<br>(réf. $10^{-12}$ W)       |

Autres paramètres physiques:

|       |   |        |
|-------|---|--------|
| $p$   | Valeur efficace de la pression acoustique instantanée (moyenne quadratique) | [Pa]   |
| $p_0$ | Pression acoustique de référence = $2 \cdot 10^{-5}$ Pa                     | [Pa]   |
| $W_0$ | Puissance acoustique de référence = $10^{-12}$ W                            | [watt] |

### 2.1.2. *Cadre de qualité*

Exactitude des valeurs d'entrée

Toutes les valeurs d'entrée influençant le niveau d'émission d'une source doivent être déterminées avec un degré d'exactitude au moins équivalent à une incertitude de  $\pm 2\text{dB(A)}$  dans le niveau d'émission de la source (les autres paramètres restant inchangés).

Utilisation de valeurs par défaut

Dans le cadre de l'application de méthode, les données d'entrée doivent refléter l'utilisation réelle. De manière générale, il convient de ne pas se fier aux valeurs d'entrée par défaut ou aux hypothèses. Des valeurs d'entrée par défaut et des hypothèses sont toutefois acceptées si la collecte des données réelles est associée à un coût disproportionné.

Qualité du logiciel utilisé pour effectuer les calculs

Tout logiciel utilisé pour effectuer les calculs doit se conformer aux méthodes décrites dans le présent document moyennant la certification des résultats par rapport aux essais.

## 2.2. **Bruit du trafic routier**

### 2.2.1. *Description de la source*

Classification des véhicules

La source de bruit du trafic routier doit être déterminée en combinant les émissions sonores de chaque véhicule individuel formant le flux du trafic. Ces véhicules sont regroupés en cinq catégories différentes en fonction de leurs caractéristiques d'émissions sonores:

Catégorie 1: véhicules légers (VL) à moteur

Catégorie 2: véhicules de moyen tonnage

Catégorie 3: véhicules lourds

Catégorie 4: deux-roues motorisés

Catégorie 5: catégorie ouverte

La catégorie des deux-roues motorisés se divise en deux sous-catégories distinctes, à savoir les cyclomoteurs et les motocycles plus puissants. Cette distinction s'explique par leurs différences considérables en termes de mode de conduite et de nombre.

Les quatre premières catégories doivent être utilisées et la cinquième est facultative. Elle est prévue pour de nouveaux véhicules qui pourraient être conçus à l'avenir et dont les émissions sonores seraient suffisamment différentes pour justifier la définition d'une catégorie supplémentaire. Cette catégorie pourrait couvrir, par exemple, les véhicules électriques ou hybrides, ou tout autre futur véhicule sensiblement différent de ceux des catégories 1 à 4.

Les détails des différentes classes de véhicule figurent au tableau [2.2.a].

Tableau [2.2.a]

**Classes de véhicule**

| Catégorie | Nom                            | Description   | Catégorie CE de véhicule<br>Réception par type de véhicules complets <sup>(1)</sup> |                |
|-----------|--------------------------------|---|---|----------------|
| 1         | Véhicules légers (VL) à moteur | Voitures particulières, camionnettes ≤ 3,5 tonnes, SUV <sup>(2)</sup> , MPV <sup>(3)</sup> y compris remorques et caravanes             | M1 et N1  |                |
| 2         | Véhicules de moyen tonnage     | Véhicules de moyen tonnage, camionnettes > 3,5 tonnes, autobus, motor-homes, etc. à deux essieux et roues jumelées sur l'essieu arrière | M2, M3 et N2, N3  |                |
| 3         | Véhicules lourds               | Véhicules utilitaires lourds, autocar de tourisme, bus de transport public, à trois essieux ou plus                                     | M2 et N2 avec remorque, M3 et N3  |                |
| 4         | Deux-roues motorisés           | 4a  | Cyclomoteurs à deux, trois et quatre roues  | L1, L2, L6     |
|           |                                | 4b  | Motocycles avec et sans side-car, tricycles et quadricycles                         | L3, L4, L5, L7 |
| 5         | Catégorie ouverte              | À définir en fonction des besoins futurs  | Sans objet  |                |

<sup>(1)</sup> Directive 2007/46/CE du Parlement européen et du Conseil du 5 septembre 2007 (JO L 263 du 9.10.2007, p. 1) établissant un cadre pour la réception des véhicules à moteur, de leurs remorques, des composants et des entités techniques destinés à ces véhicules.

<sup>(2)</sup> Sport Utility Vehicles, véhicules utilitaires sportifs.

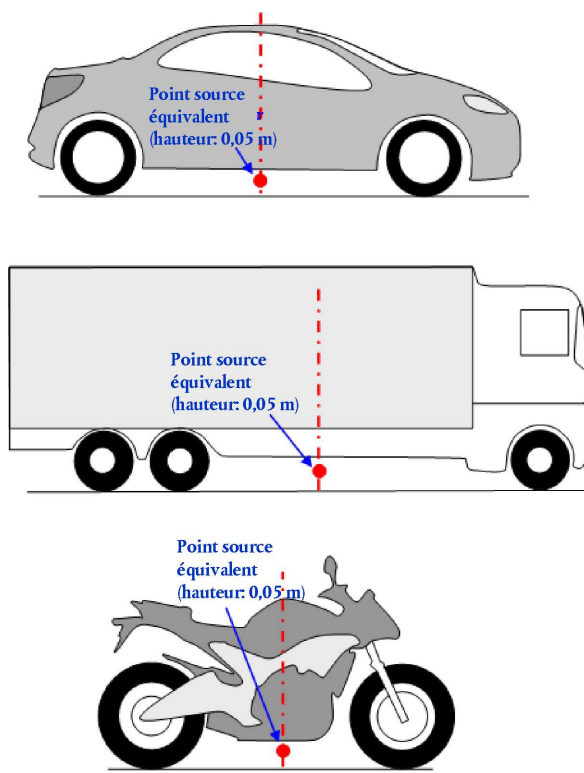
<sup>(3)</sup> Multi-Purpose Vehicles — véhicules monospaces.

## Nombre et emplacement des sources sonores équivalentes

Dans cette méthode, chaque véhicule (catégories 1, 2, 3, 4 et 5) est représenté par une source ponctuelle unique, au rayonnement uniforme dans le demi-espace  $2\pi$  au-dessus du sol. La première réflexion sur la surface de la route est traitée implicitement. Comme l'illustre la figure [2.2.a], cette source ponctuelle est située 0,05 m au-dessus de la surface de la route.

Figure [2.2.a]

### Emplacement de la source ponctuelle équivalente sur les véhicules légers (VL) (catégorie 1), les poids lourds (PL) (catégories 2 et 3) et les deux roues (catégorie 4)



Le flux de circulation est représenté par une ligne source. Dans la modélisation d'une route à plusieurs voies, chaque voie doit idéalement être représentée par une ligne source située au centre de chaque voie. Toutefois, il est également acceptable de modéliser une ligne source au milieu d'une route à deux sens de circulation ou une ligne source par chaussée dans le couloir extérieur de routes à plusieurs voies.

## Émissions et puissance acoustique

### Considérations générales

La puissance acoustique de la source est définie en «champ semi-libre». Par conséquent, la puissance acoustique comprend l'effet de la réflexion du sol immédiatement sous la source modélisée où ne se trouve aucun obstacle dans le voisinage immédiat, à l'exception de la réflexion sur la surface de la route qui ne se trouve pas directement sous la source modélisée.

### Flux de circulation

Les émissions sonores d'un flux de circulation sont représentées par une ligne source caractérisée par sa puissance acoustique directionnelle par mètre par fréquence. Elle correspond à la somme des émissions sonores des véhicules individuels dans le flux de circulation, en tenant compte du temps passé par les véhicules sur le tronçon de route considéré. L'insertion du véhicule individuel dans le flux de circulation nécessite l'application d'un modèle de flux de circulation.

En supposant un flux de circulation constant de  $Q_m$  véhicules de catégorie  $m$  par heure, avec une vitesse moyenne  $v_m$  (en km/h), la puissance acoustique directionnelle par mètre dans la plage de fréquences  $i$  de la ligne source  $L_{W',eq,line,i,m}$  est définie par la formule suivante:

$$L_{W',eq,line,i,m} = L_{W,i,m} + 10 \times \lg\left(\frac{Q_m}{1\,000 \times v_m}\right) \quad (2.2.1)$$

où  $L_{W,i,m}$  est la puissance acoustique directionnelle d'un seul véhicule.  $L_{W',m}$  est exprimé en dB (réf.  $10^{-12}$  W/m). Ces niveaux de puissance acoustique sont calculés pour chaque bande d'octave  $i$  de 125 Hz à 4 kHz.

Les données du flux de circulation  $Q_m$  sont exprimées en moyenne annuelle par heure, par période (jour-soirée-nuit), par classe de véhicule et par ligne source. Pour toutes les catégories, il convient d'utiliser les données du flux de circulation d'entrée dérivées des systèmes de comptage du trafic ou des modèles de trafic.

La vitesse  $v_m$  est une vitesse représentative par catégorie de véhicule: dans la plupart des cas, la valeur la plus basse parmi la vitesse maximale autorisée pour le tronçon de route et la vitesse maximale autorisée pour la catégorie de véhicule. Si des données de mesure locales ne sont pas disponibles, il convient d'utiliser la vitesse maximale autorisée pour la catégorie de véhicule.

### Véhicule individuel

Dans le flux de circulation, tous les véhicules de la catégorie  $m$  sont supposés rouler à la même vitesse, c'est-à-dire  $v_m$ , la vitesse moyenne du flux de véhicules de cette catégorie.

Un véhicule routier est modélisé par un ensemble d'équations mathématiques qui représentent les deux principales sources de bruit:

1. bruit de roulement dû à l'interaction pneumatique/chaussée;
2. bruit de propulsion produit par la transmission (moteur, échappement, etc.) du véhicule.

Le bruit aérodynamique est compris dans la source du bruit de roulement.

Pour les véhicules à moteur légers, moyens et lourds (catégories 1, 2 et 3), la puissance acoustique totale correspond à la somme énergétique des bruits de roulement et de propulsion. Par conséquent, le niveau total de puissance acoustique des lignes source  $m = 1, 2$  ou  $3$  est défini par:

$$L_{W,i,m}(v_m) = 10 \times \lg(10^{L_{WR,i,m}(v_m)/10} + 10^{L_{WP,i,m}(v_m)/10}) \quad (2.2.2)$$

où  $L_{WR,i,m}$  est le niveau de puissance acoustique pour le bruit de roulement, et  $L_{WP,i,m}$  le niveau de puissance acoustique pour le bruit de propulsion. Ceci s'applique à toutes les gammes de vitesses. Pour des vitesses inférieures à 20 km/h, il s'agit du même niveau de puissance acoustique tel que défini par la formule pour  $v_m=20$  km/h.

Pour les deux roues (catégorie 4), seul le bruit de propulsion est pris en compte pour la source:

$$L_{W,i,m=4}(v_m=4) = L_{WP,i,m=4}(v_m=4) \quad (2.2.3)$$

Ceci s'applique à toutes les gammes de vitesses. Pour des vitesses inférieures à 20 km/h, il s'agit du même niveau de puissance acoustique tel que défini par la formule pour  $v_m=20$  km/h.

#### 2.2.2. Conditions de référence

Les équations et les coefficients de la source sont valables pour les conditions de référence suivantes:

- vitesse constante du véhicule,
- route plane,
- température de l'air  $\tau_{ref} = 20$  °C,

- revêtement routier de référence virtuelle, composé d'une moyenne de DAC 0/11 et SMA 0/11, de 2 à 7 ans, et dans un état d'entretien représentatif,
- revêtement routier sec,
- pas de pneus cloutés.

### 2.2.3. Bruit de roulement

Équation générale

Le niveau de puissance acoustique du bruit de roulement dans la plage de fréquence  $i$  pour un véhicule de classe  $m = 1, 2$  ou  $3$  se définit ainsi:

$$L_{WR,i,m} = A_{R,i,m} + B_{R,i,m} \times \lg\left(\frac{v_m}{v_{ref}}\right) + \Delta L_{WR,i,m} \quad (2.2.4)$$

Les coefficients  $A_{R,i,m}$  et  $B_{R,i,m}$  sont donnés en bandes d'octave pour chaque catégorie de véhicule et pour une vitesse de référence  $v_{ref} = 70$  km/h.  $\Delta L_{WR,i,m}$  correspond à la somme des coefficients de correction à appliquer au bruit de roulement pour un état spécifique de la route ou du véhicule qui s'écarte des conditions de référence:

$$\Delta L_{WR,i,m} = \Delta L_{WR,road,i,m} + \Delta L_{studdedtyres,i,m} + \Delta L_{WR,acc,i,m} + \Delta L_{W,temp} \quad (2.2.5)$$

$\Delta L_{WR,road,i,m}$  représente l'effet sur le bruit de roulement d'un revêtement routier aux propriétés acoustiques différentes de celles du revêtement de référence virtuel tel que défini au point 2.2.2. Il comprend à la fois l'effet sur la propagation et la génération du bruit.

$\Delta L_{studdedtyres,i,m}$  est un coefficient de correction qui reflète le bruit de roulement plus élevé des véhicules légers équipés de pneus cloutés.

$\Delta L_{WR,acc,i,m}$  représente l'effet du bruit de roulement à un carrefour avec feux de circulation ou à un rond-point. Il intègre l'effet de la variation de vitesse sur le bruit.

$\Delta L_{W,temp}$  est un terme de correction pour une température moyenne  $\tau$  différente de la température de référence  $\tau_{ref} = 20$  °C.

#### Correction pour pneus cloutés

Dans les cas où un nombre important de véhicules légers du flux de circulation sont équipés de pneus cloutés pendant plusieurs mois chaque année, l'effet induit sur le bruit de roulement doit être pris en compte. Pour chaque véhicule de catégorie  $m = 1$  équipé de pneus cloutés, une augmentation des émissions de bruit de roulement, qui dépend de la vitesse, est évaluée par:

$$\Delta_{stud,i}(v) = \begin{cases} a_i + b_i \times \lg(50/70) & \text{for } v < 50 \text{ km/h} \\ a_i + b_i \times \lg(v/70) & \text{for } 50 \leq v \leq 90 \text{ km/h} \\ a_i + b_i \times \lg(90/70) & \text{for } v > 90 \text{ km/h} \end{cases} \quad (2.2.6)$$

où les coefficients  $a_i$  et  $b_i$  sont donnés pour chaque bande d'octave.

L'augmentation de bruit de roulement est uniquement imputée en fonction de la proportion de véhicules légers avec des pneus cloutés et pendant une période limitée  $T_s$  (en mois) de l'année. Si  $Q_{stud,ratio}$  est le ratio moyen du volume total de véhicules légers par heure, équipés de pneus cloutés pendant la période  $T_s$  (en mois), alors la proportion moyenne annuelle de véhicules équipés de pneus cloutés  $p_s$  est exprimée par:

$$p_s = Q_{stud,ratio} \times \frac{T_s}{12} \quad (2.2.7)$$

La correction qui en résulte et qui doit être appliquée à la puissance acoustique des bruits de roulement dus à l'utilisation de pneus cloutés pour les véhicules de catégorie  $m = 1$  dans la plage de fréquence  $i$  doit être la suivante:

$$\Delta L_{\text{studdedtyres},i,m=1} = 10 \times \lg \left[ (1 - p_s) + p_s 10^{\frac{\Delta_{\text{stud},i,m=1}}{10}} \right] \quad (2.2.8)$$

Pour les véhicules de toutes les autres catégories, aucune correction ne doit être appliquée:

$$\Delta L_{\text{studdedtyres},i,m \neq 1} = 0 \quad (2.2.9)$$

#### Effet de la température de l'air sur la correction du bruit de roulement

La température de l'air affecte le bruit de roulement; le niveau de puissance acoustique du bruit de roulement diminue lorsque la température de l'air augmente. Cet effet est pris en compte dans la correction de revêtement routier. Les corrections de revêtement routier sont généralement évaluées à une température de l'air de  $\tau_{\text{ref}} = 20^\circ \text{C}$ . Dans le cas d'une température de l'air moyenne annuelle en  $^\circ \text{C}$  différente, le bruit du revêtement routier doit être corrigé par:

$$\Delta L_{\text{W,temp},m}(\tau) = K_m \times (\tau_{\text{ref}} - \tau) \quad (2.2.10)$$

Le terme de correction est positif (autrement dit, le bruit augmente) pour des températures inférieures à  $20^\circ \text{C}$  et négatif (c'est-à-dire que le bruit diminue) pour des températures plus élevées. Le coefficient  $K$  dépend du revêtement routier et des caractéristiques du pneumatique, et présente en général une certaine dépendance en fréquence. Un coefficient générique  $K_{m=1} = 0,08 \text{ dB}/^\circ \text{C}$  pour les véhicules légers (catégorie 1) et  $K_{m=2} = K_{m=3} = 0,04 \text{ dB}/^\circ \text{C}$  pour les véhicules lourds (catégories 2 et 3) doit être appliqué pour tous les revêtements routiers. Le coefficient de correction doit être appliqué de la même manière sur toutes les bandes d'octave de 63 à 8 000 Hz.

#### 2.2.4. Bruit de propulsion

##### Équation générale

Le bruit de propulsion comprend toutes les émissions du moteur, de l'échappement, de la transmission, de l'admission d'air, etc. Le niveau de puissance acoustique du bruit de propulsion dans la plage de fréquence  $i$  pour un véhicule de classe  $m$  est défini comme:

$$L_{\text{WP},i,m} = A_{p,i,m} + B_{p,i,m} \times \frac{(v_m - v_{\text{ref}})}{v_{\text{ref}}} + \Delta L_{\text{WP},i,m} \quad (2.2.11)$$

Les coefficients  $A_{p,i,m}$  et  $B_{p,i,m}$  sont donnés en bandes d'octave pour chaque catégorie de véhicule et pour une vitesse de référence  $v_{\text{ref}} = 70 \text{ km/h}$ .

$\Delta L_{\text{WP},i,m}$  correspond à la somme des coefficients de correction à appliquer au bruit de propulsion pour des conditions de conduite ou des conditions régionales spécifiques qui s'écartent des conditions de référence:

$$\Delta L_{\text{WP},i,m} = \Delta L_{\text{WP,road},i,m} + \Delta L_{\text{WP,grad},i,m} + \Delta L_{\text{WP,acc},i,m} \quad (2.2.12)$$

$\Delta L_{\text{WP,road},i,m}$  représente l'effet du revêtement routier sur le bruit de propulsion via l'absorption. Le calcul doit être effectué conformément au point 2.2.6.

$\Delta L_{\text{WP,acc},i,m}$  et  $\Delta L_{\text{WP,grad},i,m}$  représentent l'effet des déclivités de la route et de l'accélération et la décélération d'un véhicule aux croisements. Ils doivent être calculés conformément aux points 2.2.4 et 2.2.5 respectivement.

#### Effet des déclivités de la route

La déclivité de la route a deux effets sur les émissions sonores du véhicule: premièrement, elle affecte la vitesse du véhicule et par conséquent les bruits de roulement et de propulsion du véhicule; deuxièmement, elle affecte à la fois la charge du moteur et le régime du moteur via le choix du rapport et donc le bruit de propulsion du véhicule. Seul l'effet sur le bruit de propulsion est abordé dans ce point, en supposant une vitesse constante.

L'effet de la déclivité de la route sur le bruit de propulsion est pris en compte par un terme de correction  $\Delta L_{WP,grad,m}$  qui est une fonction de la pente  $s$  (en %), de la vitesse du véhicule  $v_m$  (en km/h) et de la classe de véhicule  $m$ . Dans le cas d'un flux de circulation bidirectionnel, il convient de diviser le flux en deux composantes et d'en corriger une moitié pour la montée et une moitié pour la descente. Le terme de correction est attribué pareillement à toutes les bandes d'octave:

Pour  $m = 1$

$$\Delta L_{WP,grad,i,m=1}(v_m) = \begin{cases} \frac{\text{Min}(12\%; -s) - 6\%}{1\%} & \text{pour } s < -6\% \\ 0 & \text{pour } -6\% \leq s \leq 2\% \\ \frac{\text{Min}(12\%;s) - 2\%}{1,5\%} \times \frac{v_m}{100} & \text{pour } s > 2\% \end{cases} \quad (2.2.13)$$

Pour  $m = 2$

$$\Delta L_{WP,grad,i,m=2}(v_m) = \begin{cases} \frac{\text{Min}(12\%; -s) - 4\%}{0,7\%} \times \frac{v_m - 20}{100} & \text{pour } s < -4\% \\ 0 & \text{pour } -4\% \leq s \leq 0\% \\ \frac{\text{Min}(12\%;s)}{1\%} \times \frac{v_m}{100} & \text{pour } s > 0\% \end{cases} \quad (2.2.14)$$

Pour  $m = 3$

$$\Delta L_{WP,grad,i,m=3}(v_m) = \begin{cases} \frac{\text{Min}(12\%; -s) - 4\%}{0,5\%} \times \frac{v_m - 10}{100} & \text{pour } s < -4\% \\ 0 & \text{pour } -4\% \leq s \leq 0\% \\ \frac{\text{Min}(12\%;s)}{0,8\%} \times \frac{v_m}{100} & \text{pour } s > 0\% \end{cases} \quad (2.2.15)$$

Pour  $m = 4$

$$\Delta L_{WP,grad,i,m=4} = 0 \quad (2.2.16)$$

La correction  $\Delta L_{WP,grad,m}$  englobe implicitement l'effet de la pente sur la vitesse.

### 2.2.5. Effet de l'accélération et de la décélération des véhicules

Avant et après des carrefours avec des feux de signalisation et des ronds-points, une correction doit être appliquée pour l'effet d'accélération et de décélération tel que décrit ci-dessous.

Les termes de correction pour le bruit de roulement,  $\Delta L_{WR,acc,m,k}$ , et pour le bruit de propulsion,  $\Delta L_{WP,acc,m,k}$ , sont des fonctions linéaires de la distance  $x$  (en m) de la source ponctuelle à l'intersection la plus proche de la ligne source respective avec une autre ligne source. Ils sont attribués pareillement à toutes les bandes d'octave:

$$\Delta L_{WR,acc,m,k} = C_{R,m,k} \times \text{Max}\left(1 - \frac{|x|}{100}; 0\right) \quad (2.2.17)$$

$$\Delta L_{WP,acc,m,k} = C_{P,m,k} \times \text{Max}\left(1 - \frac{|x|}{100}; 0\right) \quad (2.2.18)$$

Les coefficients  $C_{R,m,k}$  et  $C_{P,m,k}$  dépendent du type de carrefour  $k$  ( $k = 1$  pour un carrefour avec des feux de circulation;  $k = 2$  pour un rond-point) et sont donnés pour chaque catégorie de véhicule. La correction comprend l'effet d'une modification de la vitesse lorsque le véhicule s'approche ou s'éloigne d'un carrefour ou d'un rond-point.

Remarque: à une distance  $|x| \geq 100$  m,  $\Delta L_{WR,acc,m,k} = \Delta L_{WP,acc,m,k} = 0$ .

## 2.2.6. Effet du type de revêtement routier

### Principes généraux

Pour les revêtements routiers dont les propriétés acoustiques sont différentes de celles du revêtement de référence, un terme de correction spectrale doit être appliqué à la fois au bruit de roulement et au bruit de propulsion.

Le terme de correction «revêtement routier» pour le bruit de roulement est donné par l'équation suivante:

$$\Delta L_{WR,road,i,m} = \alpha_{i,m} + \beta_m \times \lg\left(\frac{v_m}{v_{ref}}\right) \quad (2.2.19)$$

où

$\alpha_{i,m}$  est la correction spectrale, en dB, à une vitesse de référence  $v_{ref}$  pour la catégorie  $m$  (1, 2 ou 3) et une bande spectrale  $i$ .

$\beta_m$  est l'effet de la vitesse sur la réduction du bruit de roulement pour la catégorie  $m$  (1, 2 ou 3) et est identique pour toutes les plages de fréquence.

Le terme de correction revêtement routier pour le bruit de propulsion est donné par:

$$\Delta L_{WP,road,i,m} = \min\{\alpha_{i,m}; 0\} \quad (2.2.20)$$

Les revêtements absorbants diminuent le bruit de propulsion, alors que les revêtements non absorbants ne l'augmentent pas.

## Effet de l'âge sur les propriétés sonores du revêtement routier

Les caractéristiques acoustiques des revêtements routiers varient en fonction de l'âge et du niveau d'entretien, les revêtements ayant tendance à devenir plus bruyants en fonction du temps. Dans cette méthode, les paramètres du revêtement routier sont établis en vue d'être représentatifs de la performance acoustique du type de revêtement routier, en valeurs moyennes pendant sa durée de vie représentative, et en supposant un entretien correct.

## 2.3. Bruit du trafic ferroviaire

### 2.3.1. Description de la source

#### Classification des véhicules

#### Définition de véhicule et train

Aux fins de cette méthode de calcul du bruit, un véhicule est défini comme toute sous-unité d'un train (généralement une locomotive, une voiture automotrice, une voiture tractée ou un wagon de fret) qui peut être déplacée de façon indépendante et peut être détachée du reste du train. Dans certaines circonstances spécifiques, il est possible que ces unités d'un train fassent partie d'un ensemble non détachable, par exemple lorsqu'elles partagent un bogie. Aux fins de cette méthode de calcul, toutes ces unités sont regroupées en un seul véhicule.

Aux fins de la présente méthode de calcul, un train se compose d'une série de véhicules couplés.

Le tableau [2.3.a] définit un cadre commun afin de décrire les types de véhicule repris dans la base de données source. Il présente les descripteurs pertinents à utiliser afin de procéder au classement des véhicules de manière exhaustive. Ces descripteurs correspondent aux propriétés du véhicule, qui affectent la puissance acoustique directionnelle par mètre de longueur de ligne source équivalente modélisée.

Le nombre de véhicules pour chaque type doit être déterminé pour chaque section de voie et pour chaque plage de temps à utiliser dans le calcul du bruit. Il doit être exprimé en un nombre moyen de véhicules par heure, obtenu en divisant le nombre total de véhicules qui circulent dans une période de temps donnée par la durée en heures de cette même période (par exemple, 24 véhicules en 4 heures, soit 6 véhicules par heure). Tous les types de véhicule circulant sur chaque section de voie doivent être utilisés.

Tableau [2.3.a]

## Classification et descripteurs des véhicules ferroviaires

| Chiffre                       | 1   | 2                             | 3  | 4   |
|-------------------------------|---|-------------------------------|--|---|
| Descripteur                   | Type de véhicule  | Nombre d'essieux par véhicule | Type de frein  | Mesure au niveau de la roue                                   |
| Explication du descripteur    | Une lettre qui décrit le type de véhicule                                 | Le nombre réel d'essieux      | Une lettre qui décrit le type de frein   | Une lettre qui décrit le type de mesure de réduction du bruit |
| <b>Descripteurs possibles</b> | <b>h</b><br>véhicule à grande vitesse (> 200 km/h)                        | <b>1</b>                      | <b>c</b><br>semelle de frein en fonte  | <b>n</b><br>aucune mesure                                     |
|                               | <b>m</b><br>voitures de voyageurs automotrices                            | <b>2</b>                      | <b>k</b><br>semelle composite ou en métal fritté   | <b>d</b><br>amortisseurs de vibration                         |
|                               | <b>p</b><br>voitures de voyageurs tractées                                | <b>3</b>                      | <b>n</b><br>semelle non appliquée sur la bande de roulement, comme les freins à disque, à tambour, magnétiques | <b>s</b><br>écrans  |
|                               | <b>c</b><br>tramway ou métro léger voiture automotrice et non automotrice | <b>4</b>                      |  | <b>o</b><br>autre   |
|                               | <b>d</b><br>locomotive Diesel   | etc.                          |  |   |
|                               | <b>e</b><br>locomotive électrique   |                               |  |   |
|                               | <b>a</b><br>tout véhicule générique de fret                               |                               |  |   |
|                               | <b>o</b><br>autre (c'est-à-dire véhicules de maintenance, etc.)           |                               |  |   |

## Classification des voies et des structures d'appui

Les voies existantes peuvent avoir des propriétés acoustiques différentes en raison de plusieurs éléments qui contribuent à leurs propriétés acoustiques et les caractérisent. Les types de voie utilisés dans la présente méthode figurent au tableau [2.3.b] ci-après. Certains éléments ont une grande influence sur les propriétés acoustiques, alors que d'autres n'ont que des effets secondaires. En règle générale, les éléments les plus pertinents qui ont une incidence sur le bruit du trafic ferroviaire sont: la rugosité du champignon du rail, la rigidité de la semelle de rail, la base de la voie, les joints de rail et le rayon de courbure de la voie. Autrement, les propriétés générales de la voie peuvent également être définies et, dans ce cas, la rugosité du champignon du rail et le taux de décroissance de la voie selon la norme ISO 3095 constituent les deux paramètres essentiels en matière d'acoustique, en plus du rayon de courbure de la voie.

Une section de voie est définie comme une partie d'une voie unique sur une voie de chemin de fer ou dans une gare ou un dépôt ferroviaire, sur laquelle les propriétés physiques et les composants de base de la voie ne changent pas.

Le tableau [2.3.b] définit un cadre commun afin de décrire les types de voie repris dans la base de données source.

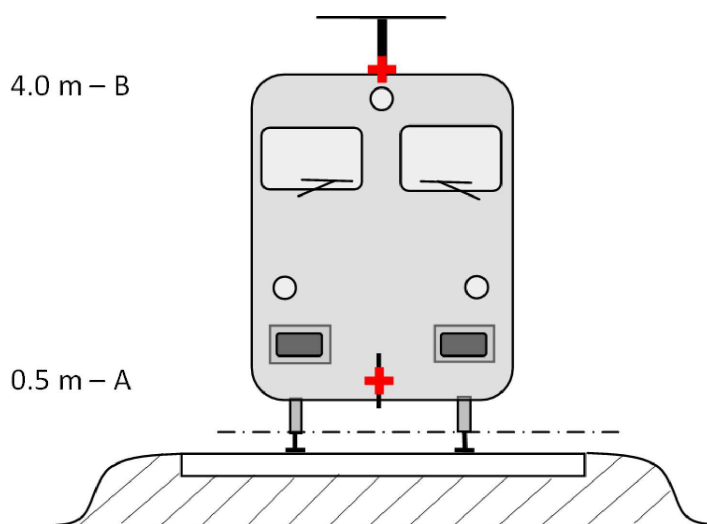
Tableau [2.3.b]

| Chiffre                    | 1                             | 2   | 3   | 4   | 5  | 6  |
|----------------------------|-------------------------------|---|---|---|--|--|
| Descripteur                | Base de la voie               | Rugosité du champignon du rail            | Type de semelle de rail                         | Mesures supplémentaires                                     | Joints de rail   | Courbure   |
| Explication du descripteur | Type de base de la voie       | Indicateur de rugosité                    | Donne une indication de la raideur «acoustique» | Une lettre décrivant le dispositif acoustique               | Présence de joints et d'espacement                       | Indique le rayon de courbure en m                      |
| <b>Codes autorisés</b>     | <b>B</b><br>Voie sur ballast  | <b>E</b><br>Bien entretenu et très lisse  | <b>S</b><br>Souple<br>(150-250 MN/m)            | <b>N</b><br>Aucun   | <b>N</b><br>Aucun  | <b>N</b><br>Voie en alignement                         |
|                            | <b>S</b><br>Voie sur dalle    | <b>M</b><br>Entretenu normalement         | <b>M</b><br>Moyenne<br>(250-800 MN/m)           | <b>D</b><br>Amortisseur pour rail                           | <b>S</b><br>Joint ou aiguillage unique                   | <b>L</b><br>Faible<br>(1 000-500 m)                    |
|                            | <b>L</b><br>Pont ballasté     | <b>N</b><br>Pas bien entretenu            | <b>H</b><br>Raide<br>(800-1 000 MN/m)           | <b>B</b><br>Mur bas   | <b>D</b><br>Deux joints ou aiguillages par 100 m         | <b>M</b><br>Moyen<br>(Moins de 500 m et plus de 300 m) |
|                            | <b>N</b><br>Pont non ballasté | <b>B</b><br>Pas entretenu et mauvais état |   | <b>A</b><br>Plaque acoustique absorbante sur voie sur dalle | <b>M</b><br>Plus de deux joints ou aiguillages par 100 m | <b>H</b><br>Élevée<br>(Moins de 300 m)                 |
|                            | <b>T</b><br>Voie encastree    |   |   | <b>E</b><br>Rail encastree                                  |  |  |
|                            | <b>O</b><br>Autre             |   |   | <b>O</b><br>Autre   |  |  |

## Nombre et emplacement des sources sonores équivalentes

Figure [2.3.a]

## Emplacement des sources sonores équivalentes



Les différentes sources linéaires de bruit équivalentes sont situées à des hauteurs différentes et au centre de la voie. Toutes les hauteurs s'appliquent au plan tangent aux deux surfaces supérieures des deux rails.

Les sources équivalentes comprennent différentes sources physiques (indice p). Ces sources physiques sont divisées en différentes catégories selon le mécanisme de génération, et sont: 1) le bruit de roulement (y compris non seulement les vibrations du rail et de la base de la voie, et les vibrations des roues, mais également, le cas échéant, le bruit de superstructure des véhicules de fret); 2) le bruit de traction; 3) le bruit aérodynamique; 4) le bruit d'impact (des croisements, aiguillages et jonctions); 5) le bruit de crissement; et 6) le bruit dû à des effets supplémentaires tels que ponts et viaducs.

- 1) Le bruit de roulement est lié à la rugosité des roues et des champignons du rail, par le biais de trois voies de transmission vers les surfaces de rayonnement (rails, roues et superstructure). Le bruit de roulement est attribué à  $h = 0,5$  m (surfaces de rayonnement A) pour représenter la contribution au bruit de la voie, y compris les effets de la surface des voies, notamment des voies sur dalle (conformément à la partie propagation), de la roue et de la superstructure du véhicule (dans les trains de fret).
- 2) Les hauteurs de la source équivalente pour le bruit de traction varient entre 0,5 m (source A) et 4,0 m (source B), selon l'emplacement physique du composant concerné. Les sources telles que les transmissions à engrenage et les moteurs électriques se trouvent souvent à une hauteur d'essieu de 0,5 m (source A). Les fentes d'aération et les sorties de refroidissement peuvent se situer à différentes hauteurs; l'échappement des moteurs des véhicules à moteur Diesel sont souvent à une hauteur de toit de 4,0 m (source B). Les autres sources de bruit de traction telles que les ventilateurs ou les blocs-moteurs Diesel peuvent être à une hauteur de 0,5 m (source A) ou 4,0 m (source B). Si la hauteur exacte de la source se situe entre les hauteurs modèles, l'énergie sonore est répartie proportionnellement sur les hauteurs de la source adjacente la plus proche.

Pour cette raison, deux hauteurs source sont prévues par la méthode, à 0,5 m (source A), 4,0 m (source B), et la puissance acoustique équivalente associée à chacune est distribuée entre les deux selon la configuration spécifique des sources sur le type d'unité.

- 3) Les effets du bruit aérodynamique sont associés à la source à 0,5 m (représentant le carénage et les écrans, source A), et à la source à 4,0 m (modélisation de tous les équipements de toit et du pantographe, source B). Le choix de 4,0 m pour les effets du pantographe est considéré comme un modèle simple, et doit être soigneusement pris en compte si l'objectif est de choisir une hauteur de mur antibruit appropriée.

- 4) Le bruit d'impact est associé à la source à 0,5 m (source A).
- 5) Le bruit de crissement est associé aux sources à 0,5 m (source A).
- 6) Le bruit des ponts est associé à la source à 0,5 m (source A).

### 2.3.2. Puissance acoustique

#### Équations générales

##### *Véhicule individuel*

Le modèle utilisé pour le bruit du trafic ferroviaire, de manière analogue à celui du bruit du trafic routier, décrit l'émission de puissance acoustique produite par une combinaison spécifique de type de véhicule et type de voie qui remplit une série d'exigences décrites dans la classification des véhicules et des voies en fonction d'un ensemble de puissances acoustiques pour chaque véhicule ( $L_{w,0}$ ).

##### *Flux de circulation*

Les émissions sonores d'un flux de circulation sur chaque voie doivent être représentées par un ensemble de deux lignes source caractérisées par leur puissance acoustique directionnelle par mètre par plage de fréquence. Elle correspond à la somme des émissions sonores produites par les véhicules individuels qui constituent le flot de circulation et, dans le cas particulier des véhicules à l'arrêt, en tenant compte du temps passé par les véhicules sur le tronçon de ligne ferroviaire considéré.

La puissance acoustique directionnelle par mètre par plage de fréquence, due à tous les véhicules qui passent par chaque tronçon de voie sur le type de voie (j), est définie:

- pour chaque plage de fréquence (i),
- pour chaque hauteur source donnée (h) (pour des sources à 0,5 m h = 1 et à 4,0 m h = 2),

et constitue la somme énergétique de toutes les contributions de tous les véhicules circulant sur le  $j$ ème tronçon de voie spécifique. Ces contributions sont:

- le fait de tout type de véhicule (t)
- évoluant à différentes vitesses (s)
- dans les conditions de marche particulières (vitesse constante) (c)
- pour chaque type de source physique (roulement, impact, crissement, traction, aérodynamique et sources d'effets supplémentaires, par exemple le bruit des ponts) (p).

Pour calculer la puissance acoustique directionnelle par mètre (apport à la partie propagation) due à la combinaison moyenne de trafic sur le  $j$ ème tronçon de voie, l'équation suivante est utilisée:

$$L_{W',eq,T,dir,i} = 10 \cdot \lg \left( \sum_{x=1}^X 10^{L_{w',eq,line,x}/10} \right) \quad (2.3.1)$$

où

$T_{ref}$  = période de référence pour laquelle le trafic moyen est pris en compte

- x** = nombre total de combinaisons existantes de *i*, *t*, *s*, *c*, *p* pour chaque énième (*j*) tronçon de voie
- t** = indice pour les types de véhicule sur le énième (*j*) tronçon de voie
- s** = indice pour la vitesse du train: il existe autant d'indices que de nombre de différentes vitesses moyennes du train sur le énième (*j*) tronçon de voie
- c** = indice pour les conditions de marche: 1 (vitesse constante), 2 (marche au ralenti)
- p** = indice pour le type de source physiques: 1 (bruit de roulement et d'impact), 2 (crissement en courbe), 3 (bruit de traction), 4 (bruit aérodynamique), 5 (effets supplémentaires)
- $L_{W',eq,line,x}$  = *x* ième (*x*) puissance acoustique directionnelle par mètre pour une ligne source d'une combinaison de *t*, *s*, *c*, *p* sur chaque énième (*j*) tronçon de voie

Dans le cas d'un flux constant de *Q* véhicules par heure à une vitesse moyenne *v*, en moyenne à tout moment, il y aura un nombre équivalent de  $Q/v$  véhicules par unité de longueur du tronçon de ligne ferroviaire. Les émissions sonores du flux de véhicules en termes de puissance acoustique directionnelle par mètre  $L_{W',eq,line}$  (exprimées en dB/m (réf.  $10^{-12}$  W)) s'intègrent comme suit:

$$L_{W',eq,line,i}(\psi,\varphi) = L_{W,0,dir,i}(\psi,\varphi) + 10 \times \lg\left(\frac{Q}{1\,000v}\right) \quad (\text{pour } c=1) \quad (2.3.2)$$

où

- *Q* est le nombre moyen de véhicules par heure sur le énième (*j*) tronçon de voie pour un type de véhicule *t*, une vitesse moyenne du train *s* et des conditions de marche *c*
- *v* est leur vitesse sur le énième (*j*) tronçon de voie pour le type de véhicule *t* et une vitesse moyenne du train *s*
- $L_{W,0,dir}$  est le niveau de puissance acoustique directionnelle du bruit spécifique (roulement, impact, crissement, freinage, traction, aérodynamique, autres effets) d'un seul véhicule dans les directions  $\psi$ ,  $\varphi$  définies par rapport au sens du mouvement du véhicule (voir figure [2.3.b]).

Dans le cas d'une source fixe, comme lors de la marche au ralenti, il est supposé que le véhicule restera pendant une durée globale  $T_{idle}$  à un endroit situé sur une section de voie de longueur *L*. Dès lors, avec  $T_{ref}$  comme période de référence pour l'évaluation du bruit (par exemple 12 heures, 4 heures, 8 heures), la puissance acoustique directionnelle par unité de longueur sur ce tronçon de voie est définie par:

$$L_{W',eq,line,i}(\psi,\varphi) = L_{W,0,dir,i}(\psi,\varphi) + 10 \times \lg\left(\frac{T_{idle}}{T_{ref}L}\right) \quad (\text{pour } c = 2) \quad (2.3.4)$$

En général, la puissance acoustique directionnelle est obtenue à partir de chaque source spécifique selon l'équation suivante:

$$L_{W,0,dir,i}(\psi,\varphi) = L_{W,0,i} + \Delta L_{W,dir,vert,i} + \Delta L_{W,dir,hor,i} \quad (2.3.5)$$

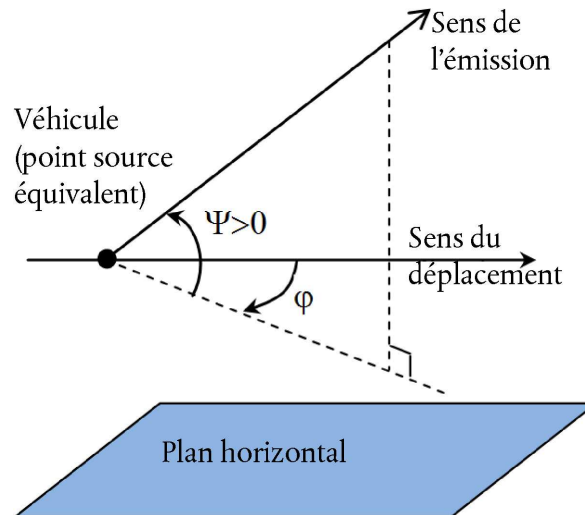
où

- $\Delta L_{W,dir,vert,i}$  est la correction de directivité verticale (sans dimension), fonction de  $\psi$  (figure [2.3.b])
- $\Delta L_{W,dir,hor,i}$  est la correction de directivité horizontale (sans dimension), fonction de  $\varphi$  (figure [2.3.b]).

Et où  $L_{W,0,dir,i}(\psi,\varphi)$  doit, après avoir été exprimé en bandes de tiers d'octave, être exprimé en bandes d'octave en ajoutant énergétiquement chaque bande de tiers d'octave à la bande d'octave correspondante.

Figure [2.3.b]

### Définition géométrique



Aux fins des calculs, l'intensité de la source est ensuite spécifiquement exprimée en termes de puissance acoustique directionnelle par 1 m de longueur de voie,  $L_{W',tot,dir,i}$  pour tenir compte de la directivité des sources dans leur sens vertical et horizontal, par le biais des corrections supplémentaires.

Plusieurs  $L_{W,0,dir,i}(\psi,\varphi)$  sont pris en considération pour chaque combinaison véhicule-voie-vitesse-condition de marche:

- pour une plage de fréquence de tiers d'octave (*i*)
- pour chaque tronçon de voie (*j*)
- hauteur source (*h*) (pour des sources à 0,5 m,  $h = 1$ ; et à 4,0 m  $h = 2$ )
- directivité (*d*) de la source

Un ensemble de  $L_{W,0,dir,i}(\psi,\varphi)$  est pris en compte pour chaque combinaison véhicule-voie-vitesse-condition de marche, chaque tronçon de voie, les hauteurs correspondant à  $h = 1$  et  $h = 2$ , et la directivité.

### Bruit de roulement

La contribution du véhicule et de la voie au bruit de roulement se décompose en quatre éléments essentiels: la rugosité de la roue, la rugosité du rail, la fonction de transfert du véhicule aux roues et à la superstructure (voitures), et la fonction de transfert de la voie. La rugosité de la roue et du rail constitue la cause de l'excitation de la vibration au point de contact entre le rail et la roue, et les fonctions de transfert sont deux fonctions empiriques ou modélisées qui représentent le phénomène complexe total de la vibration mécanique et de la production du son sur les surfaces de la roue, du rail, de la traverse et de la sous-structure de la voie. Cette décomposition reflète la preuve matérielle que la rugosité présente sur un rail peut provoquer la vibration du rail, mais qu'elle provoque également la vibration de la roue et inversement. Ne pas inclure l'un de ces quatre paramètres empêcherait le découplage de la classification des voies et des trains.

### La rugosité de la roue et du rail

Le bruit de roulement est principalement provoqué par l'excitation due à la rugosité du rail et de la roue dans la gamme de longueur d'onde de 5 à 500 mm.

*Définition*

Le niveau de rugosité  $L_r$  est défini comme 10 fois le logarithme en base 10 du carré de la valeur quadratique moyenne  $r^2$  de la rugosité de la surface de contact d'un rail ou d'une roue dans le sens de déplacement (niveau longitudinal) mesuré en  $\mu\text{m}$  sur une certaine longueur de rail ou le diamètre complet de la roue, divisé par le carré de la valeur de référence  $r_0^2$ :

$$L_r = 10 \times \lg \left( \frac{r}{r_0} \right)^2 \text{ dB} \quad (2.3.6)$$

où

$$r_0 = 1 \mu\text{m}$$

$r$  = moyenne quadratique de la différence de déplacement de la surface de contact vers le niveau moyen

Le niveau de rugosité  $L_r$  est généralement obtenu comme un spectre de longueur d'onde  $\lambda$  et doit être converti en un spectre de fréquence  $f = v/\lambda$ , où  $f$  est la fréquence de bande centrale d'une bande de tiers d'octave donnée en Hz,  $\lambda$  est la longueur d'onde en m, et  $v$  est la vitesse du train en km/h. Le spectre de rugosité comme fonction de la fréquence se déplace le long de l'axe de fréquence pour différentes vitesses. En règle générale, après conversion en spectre de fréquences au moyen de la vitesse, il est nécessaire d'obtenir de nouvelles valeurs spectrales par bande de tiers d'octave en calculant la moyenne entre deux bandes de tiers d'octave correspondantes dans le domaine de longueurs d'onde. Pour estimer le spectre de fréquence de rugosité effective totale correspondant à la vitesse appropriée du train, on calcule la moyenne énergétique et proportionnelle des deux bandes de tiers d'octave correspondantes définies dans le domaine de longueurs d'onde.

**Le niveau de rugosité du rail** (rugosité du côté de la voie) pour la  $i$ ème bande de nombre d'onde est défini comme  $L_{r,TR,i}$

Par analogie, **le niveau de rugosité de la roue** (rugosité du côté du véhicule) pour la  $i$ ème bande de nombre d'onde est défini comme  $L_{r,VEH,i}$ .

**Le niveau de rugosité totale et effective** pour la bande de nombre d'onde  $i$  ( $L_{R,tot,i}$ ) est défini comme la somme énergétique des niveaux de rugosité du rail et de la roue plus le filtre de contact  $A_3(\lambda)$  afin de tenir compte de l'effet filtrant de l'aire de contact entre le rail et la roue, et s'exprime en dB:

$$L_{R,TOT,i} = 10 \cdot \lg(10^{L_{r,TR,i}/10} + 10^{L_{r,VEH,i}/10}) + A_{3,i} \quad (2.3.7)$$

en fonction de la  $i$ ème bande de nombre d'onde correspondant à la longueur d'onde  $\lambda$ .

Le filtre de contact dépend du type de rail et de roue, et de la charge.

La rugosité totale effective pour le  $j$ ème tronçon de voie et chaque  $i$ ème type de véhicule à sa vitesse  $v$  correspondante doivent être utilisés dans cette méthode.

**Fonction de transfert véhicule, voie et superstructure**

Trois fonctions de transfert indépendantes de la vitesse,  $L_{H,TR,i}$ ,  $L_{H,VEH,i}$  et  $L_{H,VEH,SUP,i}$  sont définies: la première pour chaque  $i$ ème tronçon de voie et les deux suivantes pour chaque  $i$ ème type de véhicule. Elles lient le niveau de rugosité totale effective à la puissance acoustique de la voie, des roues et de la superstructure respectivement.

La contribution de la superstructure n'est envisagée que pour les wagons de fret, par conséquent uniquement pour le type de véhicule «a».

Par conséquent, pour le bruit de roulement, les contributions de la voie et du véhicule sont entièrement décrites par ces fonctions de transfert et par le niveau de rugosité totale effective. Lorsqu'un train est au ralenti, le bruit de roulement doit être exclu.

Pour la puissance acoustique par véhicule, le bruit de roulement est calculé à hauteur d'essieu, et a comme valeur d'entrée le niveau de rugosité totale effective  $L_{R,TOT,i}$  en fonction de la vitesse  $v$  du véhicule, des fonctions de transfert voie, véhicule et superstructure  $L_{H,TR,i}$ ,  $L_{H,VEH,i}$  et  $L_{H,VEH,SUP,i}$  et du nombre total d'essieux  $N_a$ :

pour  $h = 1$ :

$$L_{W,0,TR,i} = L_{R,TOT,i} + L_{H,TR,i} + 10 \times \lg(N_a) \quad \text{dB} \quad (2.3.8)$$

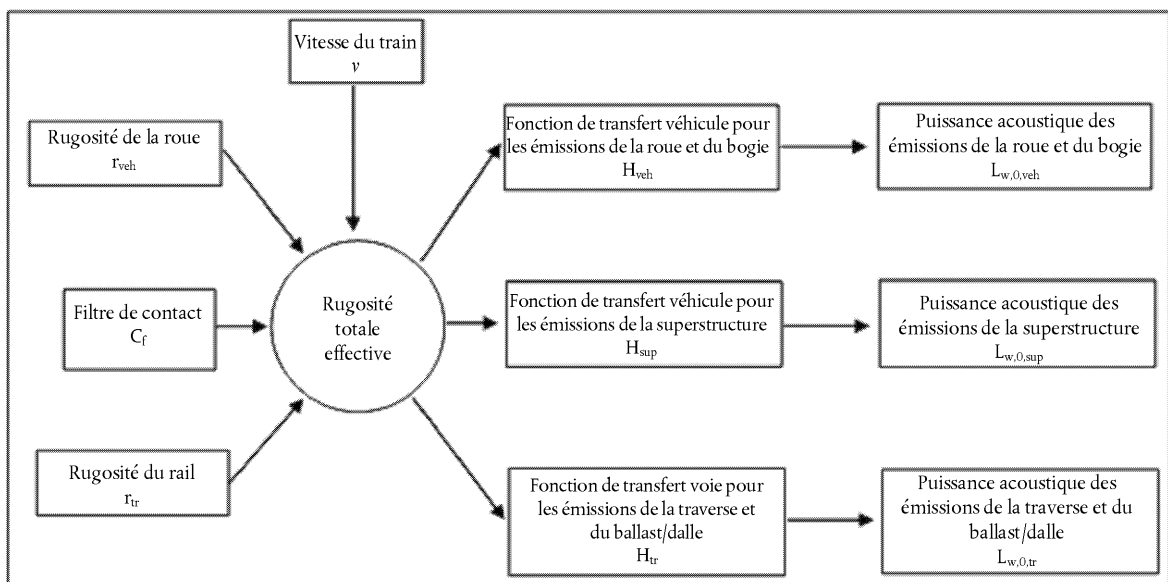
$$L_{W,0,VEH,i} = L_{R,TOT,i} + L_{H,VEH,i} + 10 \times \lg(N_a) \quad \text{dB} \quad (2.3.9)$$

$$L_{W,0,VEHSUP,i} = L_{R,TOT,i} + L_{H,VEHSUP,i} + 10 \times \lg(N_a) \quad \text{dB} \quad (2.3.10)$$

où  $N_a$  est le nombre d'essieux par véhicule pour le  $i$ ème ( $t$ ) type de véhicule.

Figure [2.3.c]:

### Schéma de l'utilisation des différentes définitions de la rugosité et de la fonction de transfert



Une vitesse minimale de 50 km/h (30 km/h uniquement pour les trams et le métro léger) doit être utilisée pour déterminer la rugosité totale effective et donc la puissance acoustique des véhicules (cette vitesse n'affecte pas le calcul du flux de véhicules) pour compenser l'erreur potentielle introduite par la simplification de la définition du bruit de roulement, du bruit de freinage et du bruit d'impact des croisements et des aiguillages.

Le bruit d'impact (croisements, aiguillages et jonctions)

Le bruit d'impact peut être provoqué par des croisements, des aiguillages ou des joints de rail ou des points spécifiques. Il peut varier en amplitude et peut dominer le bruit de roulement. Le bruit d'impact doit être pris en considération pour les voies de rails à joints. En ce qui concerne le bruit d'impact dû aux aiguillages, croisements et joints sur les tronçons de voie à une vitesse inférieure à 50 km/h (30 km/h uniquement pour les trams et le métro léger), puisque la vitesse minimale de 50 km/h (30 km/h uniquement pour les trams et le métro léger) est utilisée pour inclure davantage d'effets selon la description du chapitre sur le bruit de roulement, la modélisation doit être évitée. La modélisation du bruit d'impact doit également être évitée dans la condition de marche  $c = 2$  (marche au ralenti).

Le bruit d'impact est compris dans le terme «bruit de roulement» en ajoutant (sur le plan énergétique) un niveau de rugosité d'impact fictif supplémentaire au niveau de rugosité totale effective sur chaque  $i$ ème ( $j$ ) tronçon spécifique de voie où il est présent. Dans ce cas, un nouveau  $L_{R,TOT + IMPACT,i}$  doit être utilisé à la place de  $L_{R,TOT,i}$  et l'équation devient dès lors:

$$L_{R,TOT + IMPACT,i} = 10 \times \lg(10^{L_{R,TOT,i}/10} + 10^{L_{R,IMPACT,i}/10}) \quad \text{dB} \quad (2.3.11)$$

$L_{R,IMPACT,i}$  est un spectre de bandes de tiers d'octave (une fonction de la fréquence). Pour obtenir ce spectre de fréquences, un spectre est donné comme une fonction de la longueur d'onde  $\lambda$  et doit être converti en spectre requis comme une fonction de la fréquence en utilisant le rapport  $\lambda = v/f$ , où  $f$  est la fréquence médiane de la bande de tiers d'octave en Hz et  $v$  est la  $i$ ème ( $s$ ) vitesse du véhicule du  $i$ ème ( $t$ ) type de véhicule en km/h.

Le bruit d'impact dépend de la violence et du nombre d'impacts par unité de longueur ou densité des joints, de telle sorte que dans le cas d'impacts multiples, le niveau de rugosité d'impact à utiliser dans l'équation ci-dessus doit être calculé comme suit:

$$L_{R,IMPACT,i} = L_{R,IMPACT-SINGLE,i} + 10 \times \lg\left(\frac{n_i}{0,01}\right) \quad \text{dB} \quad (2.3.12)$$

où  $L_{R,IMPACT-SINGLE,i}$  est le niveau de rugosité d'impact tel que donné pour un seul impact et  $n_i$  est la densité des joints.

Le niveau de rugosité d'impact par défaut est donné pour une densité des joints  $n_i = 0,01 \text{ m}^{-1}$ , ce qui correspond à un joint par pas de 100 m de voie. Lorsque le nombre de joint est différent, il convient de procéder à une estimation en adaptant la densité des joints  $n_i$ . Il convient de noter que, lors de la modélisation de l'agencement et de la segmentation de la voie, la densité des joints de rail doit être prise en compte, c'est-à-dire qu'il peut s'avérer nécessaire de prendre un segment source séparé pour un tronçon de voie avec plusieurs joints. Le  $L_{W,0}$  de la contribution voie, roue/bogie et superstructure est augmenté au moyen du  $L_{R,IMPACT,i}$  pour  $\pm 50$  m avant et après le joint de rail. Dans le cas d'une série de joints, cette augmentation est étendue à  $- 50$  m avant le premier joint et  $+ 50$  m après le dernier joint.

L'applicabilité de ces spectres de puissance acoustique doit normalement être vérifiée sur site.

Pour les voies de rails à joints, un  $n_i$  par défaut de 0,01 doit être utilisé.

### Crissement

Le crissement en courbe constitue une source spéciale qui s'applique uniquement aux courbes et est dès lors localisée. Comme il peut être important, une description appropriée est requise. Le crissement en courbe dépend généralement de la courbure, des conditions de frottement, de la vitesse du train et de la géométrie et de la dynamique voie-roue. Le niveau d'émission à utiliser est déterminé pour des courbes d'un rayon inférieur ou égal à 500 m et pour les courbes plus serrées et des points spécifiques d'un rayon inférieur à 300 m. Les émissions sonores devraient être spécifiques à chaque type de matériel roulant, dans la mesure où certains types de roue et de bogie peuvent être nettement moins susceptibles d'engendrer un crissement que d'autres.

L'applicabilité de ces spectres de puissance acoustique doit normalement être vérifiée sur site, notamment pour les trams.

En suivant une approche simple, le bruit de crissement doit être pris en considération en ajoutant 8 dB pour  $R < 300$  m et 5 dB pour  $300 \text{ m} < R < 500$  m aux spectres de puissance acoustique du bruit de roulement pour toutes les fréquences. La contribution du crissement doit être appliquée sur les tronçons de voie de chemin de fer où le rayon se situe dans les intervalles mentionnés ci-dessus pour au moins 50 m de longueur de voie.

### Le bruit de traction

Bien que le bruit de traction soit généralement spécifique à chaque condition de fonctionnement caractéristique (vitesse constante, décélération, accélération et marche au ralenti), les deux seules conditions modélisées sont la vitesse constante (également valable lorsque le train ralentit ou accélère) et la marche au ralenti. L'intensité de la source modélisée correspond uniquement à des conditions de charge maximales, ce qui s'exprime par l'égalité suivante  $L_{W,0,const,i} = L_{W,0,idling,i}$ . De même, le  $L_{W,0,idling,i}$  correspond à la contribution de toutes les sources physiques d'un véhicule donné qui peuvent être attribuées à une hauteur spécifique, tel que décrit au point 2.3.1.

$L_{W,0,idling,i}$  est exprimé en tant que source de bruit statique en position de marche au ralenti, pendant la durée de la marche au ralenti, et doit être utilisé dans une modélisation comme une source ponctuelle fixe tel que décrit dans le chapitre suivant pour le bruit industriel. Il ne peut être pris en considération que si les trains sont en marche au ralenti pendant plus de 0,5 heure.

Ces quantités peuvent être calculées à partir des mesures de toutes les sources pour chaque condition de fonctionnement, ou les sources partielles peuvent être caractérisées individuellement, en déterminant leur dépendance aux paramètres et leur puissance relative. Cela peut être fait au moyen de mesures sur un véhicule à l'arrêt, en variant les vitesses de l'arbre de l'équipement de traction, conformément à la norme ISO 3095:2005. Le cas échéant, plusieurs sources de bruit de traction doivent être caractérisées qui peuvent ne pas toutes dépendre directement de la vitesse du train:

- le bruit du groupe motopropulseur, tel que les moteurs Diesel (y compris l'entrée d'air, l'échappement et le bloc-moteur), l'entraînement par engrenage, les générateurs électriques, qui dépend principalement du régime moteur (tours par minute), et des sources électriques tels que les convertisseurs, qui peuvent être essentiellement dépendants de la charge,
- le bruit des ventilateurs et des systèmes de refroidissement, qui dépend du nombre de tours par minute du ventilateur; dans certains cas, les ventilateurs peuvent être directement couplés à l'arbre d'entraînement,
- les sources intermittentes telles que les compresseurs, les soupapes et autres avec une durée de fonctionnement caractéristique et une correction du cycle de service correspondant pour les émissions sonores.

Comme chacune de ces sources peut se comporter différemment pour chaque condition de fonctionnement, le bruit de traction doit être spécifié en conséquence. L'intensité de la source est obtenue de mesures effectuées dans des conditions contrôlées. En général, les locomotives ont tendance à témoigner davantage de variation de la charge, étant donné que le nombre de véhicules remorqués et, partant, la puissance de sortie peuvent varier notablement, alors que les compositions de train fixes, telles que les unités à moteur électrique, les unités à moteur Diesel et les trains à grande vitesse, ont une charge mieux définie.

Il n'y a pas d'attribution a priori de la puissance acoustique de la source aux hauteurs de la source, et ce choix dépend du bruit spécifique et du véhicule évalué. Il doit être modélisé pour être à la source A ( $h = 1$ ) et à la source B ( $h = 2$ ).

#### Le bruit aérodynamique

Le bruit aérodynamique n'est pertinent qu'à de grandes vitesses supérieures à 200 km/h. Par conséquent, il conviendrait, dans un premier temps, de vérifier s'il est réellement nécessaire à des fins d'application. Si la rugosité du bruit de roulement et les fonctions de transfert sont connues, il peut être extrapolé à des vitesses supérieures, et une comparaison peut être effectuée avec des données «grandes vitesses» existantes afin de vérifier si des niveaux acoustiques plus élevés sont produits par le bruit aérodynamique. Si les vitesses du train sur un réseau sont supérieures à 200 km/h mais limitées à 250 km/h, dans certains cas, il n'est peut-être pas nécessaire d'inclure le bruit aérodynamique, en fonction de la conception du véhicule.

La contribution du bruit aérodynamique est donnée en fonction de la vitesse:

$$L_{W,0,i} = L_{W,0,1,i}(v_0) + \alpha_{1,i} \times \lg\left(\frac{v}{v_0}\right) \quad \text{dB} \quad \text{pour } h = 1 \quad (2.3.13)$$

$$L_{W,0,i} = L_{W,0,2,i}(v_0) + \alpha_{2,i} \times \lg\left(\frac{v}{v_0}\right) \quad \text{dB} \quad \text{pour } h = 2 \quad (2.3.14)$$

où

$v_0$  est une vitesse à laquelle le bruit aérodynamique est dominant, et est fixée à 300 km/h

$L_{W,0,1,i}$  est une puissance acoustique de référence déterminée à partir de deux points de mesure ou plus, pour des sources à des hauteurs de source connues, par exemple le premier bogie

$L_{W,0,2,i}$  est une puissance acoustique de référence déterminée à partir de deux points de mesure ou plus, pour des sources à des hauteurs de source connues, par exemple, les hauteurs de niche du pantographe

$\alpha_{1,i}$  est un coefficient déterminé à partir de deux points de mesure ou plus, pour des sources à des hauteurs de source connues, par exemple le premier bogie

$\alpha_{2,i}$  est un coefficient déterminé à partir de deux points de mesure ou plus, pour des sources à des hauteurs de source connues, par exemple, les hauteurs de niche du pantographe.

### Directivité de la source

La *directivité horizontale*  $\Delta L_{W,dir,hor,i}$ , en dB, est donnée dans le plan horizontal et peut être considérée par défaut comme un dipôle pour les effets de roulement, d'impact (joints de rail, etc.), de crissement, de freinage, des ventilateurs et aérodynamiques, qui correspond à l'équation suivante pour chaque énième ( $i$ ) plage de fréquence:

$$\Delta L_{W,dir,hor,i} = 10 \times \lg(0,01 + 0,99 \cdot \sin^2\varphi) \quad (2.3.15)$$

La *directivité verticale*  $\Delta L_{W,dir,ver,i}$ , en dB, dans le plan vertical pour la source A ( $h = 1$ ), en fonction de la fréquence de bande centrale  $f_{c,i}$  de chaque énième ( $i$ ) plage de fréquence, et pour  $-\pi/2 < \psi < \pi/2$ , s'exprime par l'équation suivante:

$$\Delta L_{W,dir,ver,i} = \left( \left| \frac{40}{3} \times \left[ \frac{2}{3} \times \sin(2 \cdot \psi) - \sin\psi \right] \times \lg \left[ \frac{f_{c,i} + 600}{200} \right] \right| \right) \quad (2.3.16)$$

Pour la source B ( $h = 2$ ) pour l'effet aérodynamique:

$$\Delta L_{W,dir,ver,i} = 10 \times \lg(\cos^2\psi) \quad \text{pour } \psi < 0 \quad (2.3.17)$$

$\Delta L_{W,dir,ver,i} = 0$  ailleurs

La directivité  $\Delta L_{dir,ver,i}$  n'est pas prise en compte pour la source B ( $h = 2$ ) pour les autres effets, puisque l'omnidirectionnalité est supposée pour ces sources dans cette position.

### 2.3.3. Effets supplémentaires

#### Correction pour rayonnement structurel (ponts et viaducs)

Dans le cas où le tronçon de voie se trouve sur un pont, il convient de prendre en compte le bruit supplémentaire généré par la vibration du pont à la suite de l'excitation provoquée par la présence du train. Comme il n'est pas simple de modéliser l'émission du pont comme source supplémentaire, étant donné les formes complexes des ponts, une augmentation du bruit de roulement est utilisée pour tenir compte du bruit des ponts. Elle doit être modélisée uniquement en ajoutant une augmentation fixe à la puissance acoustique du bruit par chaque bande de tiers d'octave. La puissance acoustique du seul bruit de roulement est modifiée lorsque la correction est prise en compte, et le nouveau  $L_{W,0,rolling-and-bridge,i}$  doit être utilisé à la place de  $L_{W,0,rolling-only,i}$ :

$$L_{W,0,rolling-and-bridge,i} = L_{W,0,rolling-only,i} + C_{bridge} \quad \text{dB} \quad (2.3.18)$$

où  $C_{bridge}$  est une constante qui dépend du type de pont, et  $L_{W,0,rolling-only,i}$  est la puissance acoustique du bruit de roulement sur le pont donné qui dépend uniquement des propriétés du véhicule et de la voie.

#### Correction pour d'autres sources de bruit ferroviaires

Plusieurs sources comme les entrepôts, les aires de chargement/déchargement, les gares, les sonneries, les haut-parleurs dans les gares, etc. peuvent exister et sont associées au bruit du trafic ferroviaire. Ces sources doivent être traitées comme les sources de bruit industriel (sources de bruit fixes) et doivent être modélisées, le cas échéant, conformément au chapitre suivant sur le bruit industriel.

## 2.4. Le bruit industriel

### 2.4.1. Description de la source

#### Classification des types de source (ponctuelle, linéaire ou diffuse)

Les sources industrielles sont de dimensions très variables. Il peut s'agir de grandes installations industrielles, de petites sources concentrées ou encore d'outils ou de machines de petites dimensions utilisés dans les usines. Dès lors, il convient d'utiliser une technique de modélisation appropriée pour la source spécifique qui fait l'objet de l'évaluation. En fonction des dimensions et de la façon dont plusieurs sources uniques peuvent s'étendre sur une surface, lesquelles sources appartiennent toutes au même site industriel, elles peuvent être modélisées en tant que sources ponctuelles, linéaires ou surfaciques, mais plusieurs sources ponctuelles peuvent être utilisées pour représenter une source complexe véritable qui s'étend principalement sur une ligne ou une surface.

### Nombre et emplacement des sources sonores équivalentes

Les sources sonores réelles sont modélisées au moyen des sources sonores équivalentes représentées par une ou plusieurs sources ponctuelles, de telle sorte que la puissance acoustique totale de la source réelle corresponde à la somme des puissances acoustiques uniques imputées aux différentes sources ponctuelles.

Les règles générales applicables pour définir le nombre de sources ponctuelles à utiliser sont:

- les sources linéaires ou surfaciques, où la plus grande dimension est inférieure à la moitié de la distance entre la source et le récepteur, peuvent être modélisées en tant que sources uniques ponctuelles,
- les sources où la plus grande dimension est supérieure à la moitié de la distance entre la source et le récepteur doivent être modélisées comme un ensemble de sources ponctuelles incohérentes en ligne ou comme un ensemble de sources ponctuelles incohérentes sur une surface, de telle sorte que, pour chacune de ces sources, la condition «moitié de la distance» soit remplie. La distribution sur une surface peut comprendre la distribution verticale de sources ponctuelles,
- pour des sources où les plus grandes dimensions en hauteur sont supérieures à deux mètres ou au niveau du sol, il convient d'accorder une attention particulière à la hauteur de la source. Doubler le nombre de sources, en les redistribuant uniquement dans la composante z, peut ne pas donner un résultat nettement meilleur pour cette source,
- pour toute source, doubler le nombre de sources sur la surface source (dans toutes les dimensions) peut ne pas donner un résultat nettement meilleur.

L'emplacement des sources sonores équivalentes ne peut pas être fixe étant donné les nombreuses configurations différentes d'un site industriel. Les meilleures pratiques sont en principe applicables.

### Émission de puissance acoustique

#### *Généralités*

Les informations suivantes constituent l'ensemble complet des données d'entrée pour les calculs de propagation du son avec les méthodes à utiliser pour la cartographie du bruit:

- spectre en bandes d'octave du niveau de puissance acoustique émis,
- heures de travail (jour, soirée, nuit, sur une base moyenne annuelle),
- emplacement (coordonnées  $x, y$ ) et altitude ( $z$ ) de la source de bruit,
- type de source (ponctuelle, linéaire ou diffuse),
- dimensions et orientation,
- condition de fonctionnements de la source,
- directivité de la source.

La puissance acoustique de la source ponctuelle, linéaire et diffuse doit être définie comme:

- pour une source ponctuelle, puissance acoustique  $L_w$  et directivité en fonction des trois coordonnées orthogonales ( $x, y, z$ ),
- deux types de lignes source peuvent être définis:
  - lignes source représentant des convoyeurs à bande, des conduites, etc., puissance acoustique par mètre de longueur  $L_w$  et directivité en fonction des deux coordonnées orthogonales par rapport à l'axe de la ligne source,

- lignes source représentant des véhicules en mouvement, chacune associée à une puissance acoustique  $L_w$  et une directivité en fonction des deux coordonnées orthogonales par rapport à l'axe de la ligne source, et une puissance acoustique par mètre  $L_w$  obtenue par la vitesse et le nombre de véhicules circulant le long de cette ligne pendant le jour, la soirée et la nuit; la correction pour les heures de travail  $C_w$  (en dB), à ajouter à la puissance acoustique de la source pour définir la puissance acoustique corrigée à utiliser pour les calculs pour chaque période, est calculée comme suit:

$$C_w = -10 \lg \left( \frac{l \times n}{1\,000 \times V \times T_0} \right) \quad (2.4.1)$$

Où:

V Vitesse du véhicule [km/h];

N Nombre de passages des véhicules par période [-];

l Longueur totale de la source [m],

- pour une source diffuse, puissance acoustique par mètre carré  $L_{w/m^2}$ , et pas de directivité (horizontale ou verticale).

Les heures de travail constituent des données essentielles pour le calcul des niveaux sonores. Les heures de travail doivent être données pour la période de jour, de soirée et de nuit et, si la propagation est fondée sur différentes classes météorologiques définies pendant chaque période de jour, de nuit et de soirée, il convient alors de donner une distribution plus précise des heures de travail en sous-périodes correspondant à la distribution des classes météorologiques. Ces informations doivent reposer sur une moyenne annuelle.

La correction pour les heures de travail, qu'il convient d'ajouter à la puissance acoustique de la source afin de définir la puissance acoustique corrigée à utiliser pour les calculs pour chaque période,  $C_w$  en dB est calculée comme suit:

$$C_w = 10 \times \lg \left( \frac{T}{T_{ref}} \right) \quad (2.4.2)$$

où

T représente la durée d'activité de la source par période sur la base d'une situation moyenne annuelle, en heures;

$T_{ref}$  représente la période de référence en heure (par exemple, un jour représente 12 heures, la soirée 4 heures, et la nuit 8 heures).

Pour les sources plus dominantes, la correction «heures de travail moyennes annuelles» doit être estimée au moins avec une tolérance de 0,5 dB afin d'obtenir une exactitude acceptable (équivalent à une incertitude de moins de 10 % dans la définition de la période active de la source).

#### Directivité de la source

La directivité de la source est étroitement liée à l'emplacement de la source sonore équivalente à proximité des surfaces avoisinantes. Étant donné que la méthode de propagation tient compte de la réflexion de la surface avoisinante ainsi que de son absorption acoustique, il convient d'examiner soigneusement l'emplacement des surfaces avoisinantes. En général, ces deux cas seront toujours distingués:

- la directivité et la puissance acoustique d'une source sont déterminées et données par rapport à une certaine source réelle lorsqu'elle se trouve en champ libre (à l'exclusion de l'effet du terrain). Ceci est en accord avec les définitions relatives à la propagation, s'il est supposé qu'il n'y a pas de surface avoisinante à moins de 0,01 m de la source et les surfaces à 0,01 m ou plus sont comprises dans le calcul de la propagation,

- la directivité et la puissance acoustique d'une source sont déterminées et données par rapport à une certaine source réelle lorsqu'elle est située dans un endroit spécifique. Par conséquent, la directivité et la puissance acoustique de la source sont en fait «équivalentes», puisque la modélisation de l'effet des surfaces avoisinantes est comprise. Cette définition s'effectue en «champ semi-libre» conformément aux définitions relatives à la propagation. Dans ce cas, les surfaces avoisinantes modélisées doivent être exclues du calcul de propagation.

La directivité doit être exprimée dans le calcul comme un facteur  $\Delta L_{W,dir,xyz}(x,y,z)$  à ajouter à la puissance acoustique afin d'obtenir la puissance acoustique directionnelle correcte d'une source sonore de référence telle qu'observée par la propagation sonore dans la direction donnée. Ce facteur peut être donné en fonction du vecteur de direction défini par  $(x,y,z)$  avec  $\sqrt{x^2 + y^2 + z^2} = 1$ . Cette directivité peut également être exprimée par d'autres systèmes de coordonnées comme les systèmes de coordonnées angulaires.

## 2.5. Calcul de la propagation du bruit pour les sources routières, ferroviaires et industrielles

### 2.5.1. Champ d'application et applicabilité de la méthode

Ce document présente une méthode pour calculer l'atténuation du bruit lors de sa propagation en plein air. En connaissant les caractéristiques de la source, cette méthode prédit le niveau de pression acoustique continu équivalent à un point récepteur correspondant à deux types particuliers de conditions atmosphériques:

- conditions de propagation par réfraction vers le bas (gradient vertical positif de la célérité effective du son) de la source au récepteur,
- conditions atmosphériques homogènes (gradient vertical nul de la célérité effective du son) sur toute la zone de propagation.

La méthode de calcul décrite dans ce document s'applique aux infrastructures industrielles et aux infrastructures de transport terrestre. Elle s'applique donc notamment aux infrastructures routières et ferroviaires. Le transport aérien fait partie du champ d'application de cette méthode uniquement pour le bruit produit pendant les opérations au sol et exclut le décollage et l'atterrissage.

Les infrastructures industrielles qui émettent des bruits à caractère impulsionnel ou à tonalité marquée tels que décrit dans la norme ISO 1996-2:2007 n'entrent pas dans le champ d'application de cette méthode.

La méthode de calcul ne donne pas de résultats dans les conditions de propagation par réfraction vers le haut (gradient vertical négatif de la célérité effective du son), mais ces conditions se rapprochent des conditions homogènes lors du calcul de  $L_{den}$ .

Pour calculer l'atténuation due à l'absorption atmosphérique dans le cas des infrastructures de transport, les conditions de température et d'humidité sont calculées conformément à la norme ISO 9613-1:1996.

Cette méthode aboutit à des résultats par bande d'octave, de 63 Hz à 8 000 Hz. Ces calculs sont effectués pour chacune des fréquences centrales.

Lorsqu'ils sont modélisés, des couverts et des obstacles partiels qui décrivent une pente de plus de 15 degrés par rapport à la verticale n'entrent pas dans le champ d'application de cette méthode de calcul.

Un écran unique est calculé comme étant une diffraction unique. Deux ou plusieurs écrans sur une trajectoire unique sont traités comme un ensemble de diffractions uniques successives en appliquant la procédure décrite ci-après.

### 2.5.2. Définitions utilisées

Toutes les distances, hauteurs, dimensions et altitudes utilisées dans le présent document sont exprimées en mètres (m).

La notation  $MN$  correspond à la distance en 3 dimensions (3D) entre les points  $M$  et  $N$ , mesurée en fonction d'une droite qui les joint.

La notation  $\hat{MN}$  correspond à la longueur de la trajectoire courbée entre les points  $M$  et  $N$ , dans des conditions favorables.

Il est d'usage que les hauteurs réelles soient mesurées verticalement dans une direction perpendiculaire au plan horizontal. Les hauteurs des points au-dessus du sol sont indiquées par  $h$ , les hauteurs absolues des points et la hauteur absolue du sol sont indiquées par la lettre  $H$ .

Pour tenir compte du relief réel le long d'un trajet de propagation, la notion de «hauteur équivalente» est introduite, indiquée par la lettre  $z$ . Cette notion remplace les hauteurs réelles dans les équations d'effet de sol.

Les niveaux sonores, indiqués par la lettre majuscule  $L$ , sont exprimés en décibels (dB) par plage de fréquence lorsque l'indice A est omis. Les niveaux sonores en décibels dB(A) reçoivent l'indice A.

La somme des niveaux sonores dus à des sources mutuellement incohérentes est notée par le signe  $\oplus$  conformément à la définition suivante:

$$L_1 \oplus L_2 = 10 \cdot \lg \left[ 10^{L_1/10} + 10^{L_2/10} \right] \quad (2.5.1)$$

### 2.5.3. Considérations géométriques

#### Segmentation des sources

Les sources réelles sont décrites comme un ensemble de sources ponctuelles ou, dans le cas du trafic ferroviaire ou du trafic routier, par des lignes source incohérentes. La méthode de propagation suppose que ces sources linéaires ou diffuses ont été scindées auparavant pour être représentées par une série de sources ponctuelles équivalentes. Cette séparation a pu se produire lors du traitement préalable des données source ou peut se produire dans la composante orienteur-marqueur du logiciel de calcul. Les moyens utilisés à cette fin ne relèvent pas du champ d'application de la méthodologie actuelle.

#### Trajets de propagation

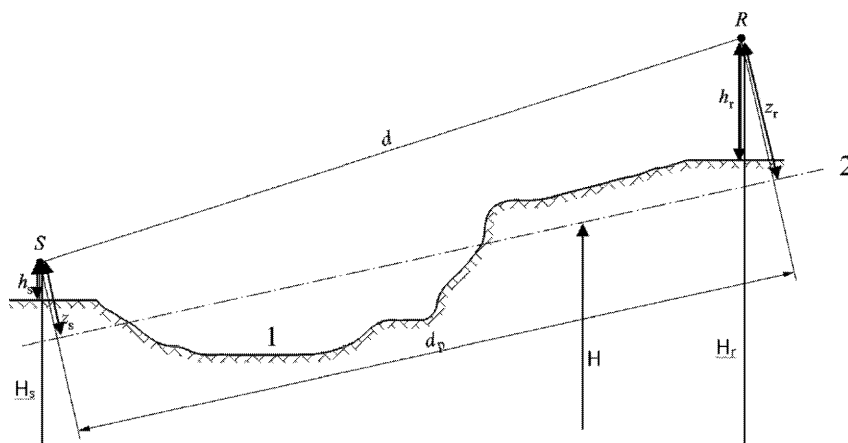
La méthode s'applique à un modèle géométrique composé d'un ensemble de surfaces sol-obstacles reliées. Un trajet vertical de propagation est déployé sur un ou plusieurs plans verticaux par rapport au plan horizontal. Pour des trajectoires comprenant des réflexions sur des surfaces verticales non orthogonales au plan incident, un autre plan vertical est ensuite considéré, comprenant la partie réfléchie du trajet de propagation. Dans ces cas, où davantage de plans verticaux sont utilisés pour décrire la trajectoire complète de la source au récepteur, les plans verticaux sont ensuite aplatis, comme un paravent chinois pliable.

#### Hauteurs significatives au-dessus du sol

Les hauteurs équivalentes sont obtenues à partir du plan du sol moyen entre la source et le récepteur. Le sol réel est ainsi remplacé par un plan fictif représentant le profil moyen du terrain.

Figure 2.5.a

#### Hauteurs équivalentes par rapport au sol



1: Relief réel

2: Plan moyen

La hauteur équivalente d'un point est sa hauteur orthogonale par rapport au plan du sol moyen. La hauteur équivalente de la source  $z_s$  et la hauteur équivalente du récepteur  $z_r$  peuvent dès lors être définies. La distance entre la source et le récepteur en projection au-dessus du plan du sol moyen est notée par  $d_p$ .

Si la hauteur équivalente d'un point devient négative, c'est-à-dire si le point est situé en dessous du plan du sol moyen, une hauteur nulle est retenue, et le point équivalent est ensuite identique à son image possible.

#### Calcul du plan moyen

Dans le plan du trajet, la topographie (y compris le terrain, les monticules, les talus et autres obstacles artificiels, bâtiments, etc.) peut être décrite par un ensemble ordonné de points discrets  $(x_k, H_k)$ ;  $k \in \{1, \dots, n\}$ . Cet ensemble de points définit une polygone, ou de façon équivalente, une séquence de segments droits  $H_k = a_k x + b_k$ ,  $x \in [x_k, x_{k+1}]$ ;  $k \in \{1, \dots, n\}$ , où:

$$\begin{cases} a_k = (H_{k+1} - H_k)/(x_{k+1} - x_k) \\ b_k = (H_k \cdot x_{k+1} - H_{k+1} \cdot x_k)/(x_{k+1} - x_k) \end{cases} \quad (2.5.2)$$

Le plan moyen est représenté par la ligne droite  $Z = ax + b$ ;  $x \in [x_1, x_n]$ , ajustée à la polygone au moyen d'une approximation par les moindres carrés. L'équation de la ligne moyenne peut être résolue de façon analytique.

En utilisant:

$$\begin{cases} A = \frac{2}{3} \sum_{k=1}^{n-1} a_k (x_{k+1}^3 - x_k^3) + \sum_{k=1}^{n-1} b_k (x_{k+1}^2 - x_k^2) \\ B = \sum_{k=1}^{n-1} a_k (x_{k+1}^2 - x_k^2) + 2 \sum_{k=1}^{n-1} b_k (x_{k+1} - x_k) \end{cases} \quad (2.5.3)$$

Les coefficients de la ligne droite sont donnés par:

$$\begin{cases} a = \frac{3(2A - B(x_n + x_1))}{(x_n - x_1)^3} \\ b = \frac{2(x_n^3 - x_1^3)}{(x_n - x_1)^4} B - \frac{3(x_n + x_1)}{(x_n - x_1)^3} A \end{cases} \quad (2.5.4)$$

Où les segments avec  $x_{k+1} = x_k$  ne seront pas pris en compte lors de l'évaluation de l'équation 2.5.3.

#### Réflexions par les façades des bâtiments et autres obstacles verticaux

Les contributions des réflexions sont prises en compte par l'introduction de sources image, comme décrit ci-après.

#### 2.5.4. Modèle de propagation du son

Pour un récepteur R, les calculs sont effectués selon les étapes suivantes:

- 1) sur chaque trajet de propagation:
  - calcul de l'atténuation dans des conditions favorables,
  - calcul de l'atténuation dans des conditions homogènes,
  - calcul du niveau sonore à long terme pour chaque trajet;

- 2) accumulation des niveaux sonores à long terme pour tous les trajets qui affectent un récepteur spécifique, permettant dès lors de calculer le niveau sonore total au point de réception.

Il convient de remarquer que seules les atténuations dues à l'effet de sol ( $A_{ground}$ ) et la diffraction ( $A_{dif}$ ) sont affectées par les conditions météorologiques.

### 2.5.5. Processus de calcul

Pour une source ponctuelle  $S$  de puissance acoustique directionnelle  $L_{w,0,dir}$  et pour une plage de fréquences donnée, le niveau de pression acoustique continu équivalent à un point récepteur  $R$  dans des conditions atmosphériques données est obtenu selon les équations ci-dessous.

Niveau sonore dans des conditions favorables (LF) pour un trajet (S,R)

$$L_F = L_{w,0,dir} - A_F \quad (2.5.5)$$

Le terme  $A_F$  représente l'atténuation totale le long du trajet de propagation dans des conditions favorables, et se décompose comme suit:

$$L_F = A_{div} + A_{atm} + A_{boundary,F} \quad (2.5.6)$$

où

$A_{div}$  est l'atténuation due à la divergence géométrique;

$A_{atm}$  est l'atténuation due à l'absorption atmosphérique;

$A_{boundary,F}$  est l'atténuation due aux limites du milieu de propagation dans des conditions favorables. Elle peut contenir les termes suivants:

$A_{ground,F}$  qui est l'atténuation due au sol dans des conditions favorables;

$A_{dif,F}$  qui est l'atténuation due à la diffraction dans des conditions favorables.

Pour un trajet et une plage de fréquence donnés, les deux scénarios suivants sont possibles:

- soit  $A_{ground,F}$  est calculé sans aucune diffraction ( $A_{dif,F} = 0$  dB) et  $A_{boundary,F} = A_{ground,F}$ ;
- soit  $A_{dif,F}$  est calculé. L'effet de sol est pris en compte dans l'équation  $A_{dif,F}$  elle-même ( $A_{ground,F} = 0$  dB). Ceci donne donc  $A_{boundary,F} = A_{dif,F}$ .

Niveau sonore dans des conditions homogènes ( $L_H$ ) pour un trajet (S,R)

La procédure est strictement identique au cas de conditions favorables présenté dans la section précédente.

$$L_H = L_{w,0,dir} - A_H \quad (2.5.7)$$

Le terme  $A_H$  représente l'atténuation totale le long du trajet de propagation dans des conditions homogènes et se décompose comme suit:

$$A_H = A_{div} + A_{atm} + A_{boundary,H} \quad (2.5.8)$$

où

$A_{div}$  est l'atténuation due à la divergence géométrique;

$A_{atm}$  est l'atténuation due à l'absorption atmosphérique;

$A_{boundary,H}$  est l'atténuation due aux limites du milieu de propagation dans des conditions homogènes. Elle peut contenir les termes suivants:

$A_{ground,H}$  qui est l'atténuation due au sol dans des conditions homogènes;

$A_{dif,H}$  qui est l'atténuation due à la diffraction dans des conditions homogènes.

Pour un trajet et une plage de fréquences donnés, les deux scénarios suivants sont possibles:

- soit  $A_{ground,H}$  ( $A_{dif,H} = 0$  dB) est calculé sans aucune diffraction, et  $A_{boundary,H} = A_{ground,H}$
- soit  $A_{dif,H}$  ( $A_{ground,H} = 0$  dB) est calculé. L'effet de sol est pris en compte dans l'équation  $A_{dif,H}$  elle-même. Ceci donne donc  $A_{boundary,H} = A_{dif,H}$

#### Approche statistique à l'intérieur des zones urbaines pour un trajet (S,R)

À l'intérieur des zones urbaines, une approche statistique du calcul de la propagation du son derrière la première ligne de bâtiments est également autorisée, pour autant qu'une telle méthode soit dûment documentée, y compris avec des informations pertinentes sur la qualité de la méthode. Cette méthode peut remplacer le calcul de  $A_{boundary,H}$  et  $A_{boundary,F}$  par une approximation de l'atténuation totale pour le trajet direct et toutes les réflexions. Le calcul sera fondé sur la densité moyenne de construction et la hauteur moyenne de tous les bâtiments dans cette zone.

#### Niveau sonore à long terme pour un trajet (S,R)

Le niveau sonore à «long terme» le long d'un trajet à partir d'une source ponctuelle donnée est obtenu par le somme logarithmique de l'énergie sonore pondérée dans des conditions homogènes et de l'énergie sonore dans des conditions favorables.

Ces niveaux sonores sont pondérés par l'occurrence moyenne  $p$  des conditions favorables dans le sens du trajet (S,R):

$$L_{LT} = 10 \times \lg \left( p \cdot 10^{\frac{L_F}{10}} + (1-p) \cdot 10^{\frac{L_H}{10}} \right) \quad (2.5.9)$$

NB: les valeurs d'occurrence pour  $p$  sont exprimées en pourcentages. Dès lors, par exemple, si la valeur d'occurrence est de 82 %, l'équation (2.5.9) aurait  $p = 0,82$ .

#### Niveau sonore à long terme au point R pour tous les trajets

Le niveau sonore total à long terme au récepteur pour une plage de fréquences est obtenu en faisant la somme énergétique des contributions à partir de tous les trajets N, tous types inclus:

$$L_{tot,LT} = 10 \times \lg \left( \sum_n 10^{\frac{L_{n,LT}}{10}} \right) \quad (2.5.10)$$

où

$n$  est l'indice des trajets entre S et R.

La prise en compte des réflexions au moyen d'images source est décrite ci-après. Le pourcentage d'occurrences de conditions favorables dans le cas d'un trajet réfléchi sur un obstacle vertical est supposé être identique à l'occurrence du trajet direct.

Si  $S'$  est la source image de  $S$ , alors l'occurrence  $p'$  du trajet  $(S',R)$  est supposée être égale à l'occurrence  $p$  du trajet  $(S,R)$ .

Niveau sonore à long terme au point  $R$  en décibels  $A$  (dBA)

Le niveau sonore total en décibels  $A$  (dBA) est obtenu en faisant la somme des niveaux dans chaque plage de fréquences:

$$L_{Aeq,LT} = 10 \times \lg \sum_i 10^{(L_{tot,LT,i} + AWC_{f,i})/10} \quad (2.5.11)$$

où  $i$  est l'indice de la plage de fréquences.  $AWC$  est la correction avec pondération  $A$  conformément à la norme internationale CEI 61672-1:2003.

Ce niveau  $L_{Aeq,LT}$  constitue le résultat final, c'est-à-dire le niveau de pression acoustique avec pondération  $A$ , à long terme, au point récepteur et sur un intervalle de temps de référence spécifique (par exemple, jour ou soirée, ou nuit ou une période plus courte pendant le jour, la soirée ou la nuit).

#### 2.5.6. Calcul de la propagation du bruit pour les sources routières, ferroviaires et industrielles

Divergence géométrique

L'atténuation due à la divergence géométrique,  $A_{div}$ , correspond à une réduction du niveau sonore due à la distance de propagation. Pour une source sonore ponctuelle en champ libre, l'atténuation en dB est donnée par:

$$A_{div} = 20 \times \lg(d) + 11 \quad (2.5.12)$$

où  $d$  est la distance oblique directe en 3D entre la source et le récepteur.

L'absorption atmosphérique

L'atténuation due à l'absorption atmosphérique  $A_{atm}$  lors de la propagation sur une distance  $d$  est donnée en dB par l'équation:

$$A_{atm} = \alpha_{atm} \cdot d/1\,000 \quad (2.5.13)$$

où

$d$  est la distance oblique directe en 3D entre la source et le récepteur, en m;

$\alpha_{atm}$  est le coefficient d'atténuation atmosphérique, en dB/km, à la fréquence centrale nominale pour chaque plage de fréquence, conformément à la norme ISO 9613-1.

Les valeurs du coefficient  $\alpha_{atm}$  sont données pour une température de 15 °C, une humidité relative de 70 % et une pression atmosphérique de 101 325 Pa. Elles sont calculées avec les fréquences centrales exactes de la plage de fréquences. Ces valeurs sont conformes à la norme ISO 9613-1. La moyenne météorologique à long terme doit être utilisée si les données météorologiques sont disponibles.

## Effet de sol

L'atténuation due à l'effet de sol est principalement le résultat de l'interférence entre le son réfléchi et le son propagé directement de la source au récepteur. Elle est physiquement liée à l'absorption acoustique du sol au-dessus duquel l'onde sonore se propage. Toutefois, elle dépend aussi en grande partie des conditions atmosphériques lors de la propagation, puisque l'inclinaison des rayons sonores modifie la hauteur du trajet au-dessus du sol et rend les effets de sol des zones situées à proximité de la source plus ou moins importants.

Dans le cas où la propagation entre la source et le récepteur est affectée par un éventuel obstacle situé dans le plan de propagation, l'effet de sol est calculé séparément côté source et côté récepteur. Dans ce cas,  $z_s$  et  $z_r$  se réfèrent à l'emplacement de la source équivalente et/ou du récepteur comme mentionné ci-après lors de la présentation du calcul de la diffraction  $A_{dif}$ .

## Caractérisation acoustique du sol

Les propriétés d'absorption acoustique du sol sont principalement liées à sa porosité. Un sol compact est généralement réfléchissant, alors qu'un sol poreux est absorbant.

Pour des besoins opérationnels de calcul, l'absorption acoustique d'un sol est représentée par un coefficient sans dimension  $G$  (entre 0 et 1).  $G$  est indépendant de la fréquence. Le tableau 2.5.a donne les valeurs  $G$  values pour le sol à l'extérieur. En général, la moyenne du coefficient  $G$  sur un trajet prend des valeurs situées entre 0 et 1.

Tableau 2.5.a

### Valeurs $G$ pour différents types de sol

| Description   | Type | (kPa·s/m <sup>2</sup> ) | Valeur $G$ |
|---|------|-------------------------|------------|
| Très absorbant (comme de la neige ou de la mousse)                                    | A    | 12,5                    | 1          |
| Sol forestier absorbant (comme de la bruyère dense et courte ou de la mousse épaisse) | B    | 31,5                    | 1          |
| Sol non tassé, meuble (tourbe, herbe, terre meuble)                                   | C    | 80                      | 1          |
| Sol non tassé normal (couvertures mortes, pâturage)                                   | D    | 200                     | 1          |
| Champ tassé et gravier (pelouses tassées, parc)                                       | E    | 500                     | 0,7        |
| Sol dense tassé (route en gravier, parking)   | F    | 2 000                   | 0,3        |
| Surfaces dures (asphalte, béton les plus courants)                                    | G    | 20 000                  | 0          |
| Surfaces très dures et/ou denses (asphalte dense, béton, eau)                         | H    | 200 000                 | 0          |

$G_{path}$  est défini comme la fraction de sol absorbant présent sur l'ensemble du trajet parcouru.

Lorsque la source et le récepteur sont proches de telle sorte que  $d_p \leq 30(z_s + z_r)$ , la distinction entre le type de sol situé près de la source et le type de sol situé près du récepteur est négligeable. Pour tenir compte de cette observation, le facteur sol  $G_{path}$  est donc finalement corrigé comme suit:

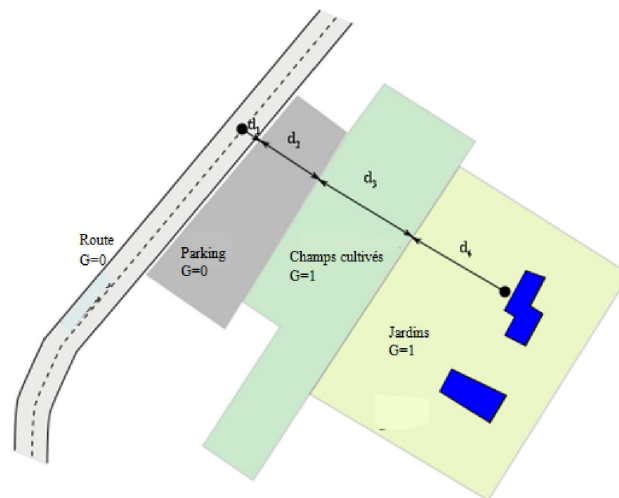
$$G'_{path} = \begin{cases} G_{path} \frac{d_p}{30(z_s + z_r)} + G_s \left( 1 - \frac{d_p}{30(z_s + z_r)} \right) & \text{si } d_p \leq 30(z_s + z_r) \\ G_{path} & \text{autre} \end{cases} \quad (2.5.14)$$

où  $G_s$  est le facteur sol de la surface source.  $G_s = 0$  pour les plate-formes routières <sup>(1)</sup>, les voies ferroviaires sur dalle.  $G_s = 1$  pour les voies ferrées sur ballast. Il n'existe pas de réponse générale dans le cas de sources industrielles et d'usines.

G peut être lié à la résistance spécifique à l'écoulement.

Figure 2.5.b

**Détermination du coefficient de sol  $G_{path}$  sur un trajet de propagation**



$$d_p = d_1 + d_2 + d_3 + d_4$$

$$G_{path} = \frac{(0 \cdot d_1 + 0 \cdot d_2 + 1 \cdot d_3 + 1 \cdot d_4)}{d_p} = \frac{(d_3 + d_4)}{d_p}$$

Les deux sous-sections suivantes pour les calculs dans des conditions homogènes et favorables introduisent les notations génériques  $\bar{G}_w$  et  $\bar{G}_m$  pour l'absorption du sol. Le tableau 2.5.b fait correspondre ces notations et les variables  $G_{path}$  et  $G'_{path}$ .

Tableau 2.5.b

**Correspondance entre  $\bar{G}_w$  et  $\bar{G}_m$  et ( $G_{path}$ ,  $G'_{path}$ )**

|             | Conditions homogènes |                        |                        | Conditions favorables |                        |                        |
|-------------|----------------------|------------------------|------------------------|-----------------------|------------------------|------------------------|
|             | $A_{ground}$         | $\Delta_{ground(S,O)}$ | $\Delta_{ground(O,R)}$ | $A_{ground}$          | $\Delta_{ground(S,O)}$ | $\Delta_{ground(O,R)}$ |
| $\bar{G}_w$ | $G'_{path}$          |                        |                        | $G_{path}$            |                        |                        |
| $\bar{G}_m$ | $G'_{path}$          |                        | $G_{path}$             | $G'_{path}$           |                        | $G_{path}$             |

<sup>(1)</sup> L'absorption des revêtements routiers poreux est prise en compte dans le modèle d'émission.

Calculs dans des conditions homogènes

L'atténuation due à l'effet de sol dans des conditions homogènes est calculée à l'aide des équations suivantes:

si  $G_{path} \neq 0$

$$A_{ground,H} = \max \left( -10 \times \lg \left[ 4 \frac{k^2}{d_p^2} \left( z_s^2 - \sqrt{\frac{2C_f}{k}} z_s + \frac{C_f}{k} \right) \left( z_r^2 - \sqrt{\frac{2C_f}{k}} z_r + \frac{C_f}{k} \right) \right], A_{ground,H,min} \right) \quad (2.5.15)$$

où

$$k = \frac{2\pi f_m}{c}$$

$f_m$  est la fréquence centrale nominale de la plage de fréquence considérée, en Hz,  $c$  est la vitesse du son dans l'air, supposée égale à 340 m/s, et  $C_f$  est défini par:

$$C_f = d_p \frac{1 + 3wd_p e^{-\sqrt{wd_p}}}{1 + wd_p} \quad (2.5.16)$$

où les valeurs de  $w$  sont données par l'équation ci-dessous:

$$w = 0,0185 \frac{f_m^{2.5} \overline{G}_w^{-2.6}}{f_m^{1.5} \overline{G}_w^{-2.6} + 1,3 \cdot 10^3 f_m^{0.75} \overline{G}_w^{-1.3} + 1,16 \cdot 10^6} \quad (2.5.17)$$

$\overline{G}_w$  peut être égal soit à  $G_{path}$ , soit à  $G'_{path}$ , selon que l'effet de sol est calculé avec ou sans diffraction, et en fonction de la nature du sol sous la source (la source réelle ou diffractée). Les sous-sections suivantes précisent ce point résumé dans le tableau 2.5.b.

$$A_{ground,H,min} = -3(1 - \overline{G}_m) \quad (2.5.18)$$

est la limite inférieure de  $A_{ground,H}$ .

Pour un trajet (S,R) dans des conditions homogènes sans diffraction:

$$\overline{G}_w = G'_{path}$$

$$\overline{G}_m = G'_{path}$$

Avec diffraction, il convient de se référer à la section sur la diffraction pour les définitions de et.

si  $G_{path} = 0$ :  $A_{ground,H} = -3$  dB

Le terme  $-3(1 - \overline{G}_m)$  prend en compte le fait que lorsque la source et le récepteur sont très éloignés, la première réflexion du côté de la source ne se situe plus sur la plate-forme, mais sur la zone naturelle.

Calcul dans des conditions favorables

L'effet de sol dans des conditions favorables est calculé avec l'équation de  $A_{ground,H}$  pour autant que les modifications suivantes soient effectuées:

Si  $G_{path} \neq 0$

- a) Dans l'équation de  $A_{ground,H}$ , les hauteurs  $z_s$  et  $z_r$  sont remplacées par  $z_s + \delta z_s + \delta z_T$  et  $z_r + \delta z_r + \delta z_T$  respectivement, où

$$\begin{cases} \delta z_s = a_0 \left( \frac{z_s}{z_s + z_r} \right)^2 \frac{d_p^2}{2} \\ \delta z_r = a_0 \left( \frac{z_r}{z_s + z_r} \right)^2 \frac{d_p^2}{2} \end{cases} \quad (2.5.19)$$

$a_0 = 2 \times 10^{-4} \text{ m}^{-1}$  est l'inverse du rayon de courbure

$$\delta z_T = 6 \cdot 10^{-3} \frac{d_p}{z_s + z_r}$$

- b) La limite inférieure de  $A_{ground,F}$  dépend de la géométrie du trajet:

$$A_{ground,F,\min} = \begin{cases} -3(1 - \overline{G}_m) & \text{if } d_p \leq 30(z_s + z_r) \\ -3(1 - \overline{G}_m) \cdot \left( 1 + 2 \left( 1 - \frac{30(z_s + z_r)}{d_p} \right) \right) & \text{otherwise} \end{cases} \quad (2.5.20)$$

Si  $G_{path} = 0$

$$A_{ground,F} = A_{ground,F,\min}$$

Les corrections de hauteur  $\delta z_s$  et  $\delta z_r$  transmettent l'effet de courbure du rayon sonore.  $\delta z_T$  représente l'effet de la turbulence.

$\overline{G}_m$  peut aussi être égal soit à  $G_{path}$ , soit à  $G'_{path}$ , selon que l'effet de sol est calculé avec ou sans diffraction, et en fonction de la nature du sol sous la source (la source réelle ou diffractée). Les sous-sections suivantes précisent ce point.

Pour un trajet ( $S_p, R$ ) dans des conditions favorables sans diffraction:

$$\overline{G}_m = G_{path} \text{ dans l'équation (2.5.17);}$$

$$\overline{G}_w = G'_{path}.$$

Avec diffraction, il convient de se référer à la section suivante pour les définitions de  $\overline{G}_w$  et  $\overline{G}_m$ .

Diffraction

En règle générale, la diffraction doit être étudiée en haut de chaque obstacle situé sur le trajet de propagation. Si le trajet passe «suffisamment haut» au-dessus de l'arête de diffraction,  $A_{dif} = 0$  peut être défini et une vue directe peut être calculée, notamment en évaluant  $A_{ground}$ .

En pratique, pour chaque fréquence centrale de la plage de fréquences, la différence de trajet  $\delta$  est comparée à la quantité  $-\lambda/20$ . Si un obstacle ne produit pas de diffraction, ce qui est par exemple déterminé en fonction du critère de Rayleigh, il n'est pas nécessaire de calculer  $A_{dif}$  pour la plage de fréquence considérée. En d'autres termes,  $A_{dif} = 0$  dans ce cas. Autrement,  $A_{dif}$  est calculé comme décrit dans le reste de la présente partie. Cette règle s'applique aux conditions homogènes et favorables, à la fois pour la diffraction simple et multiple.

Lorsque, pour une plage de fréquences donnée, un calcul est effectué selon la procédure décrite dans cette section,  $A_{ground}$  est défini comme étant égal à 0 dB dans le cadre du calcul de l'atténuation totale. L'effet de sol est pris en compte directement dans l'équation de calcul de la diffraction générale.

Les équations proposées ici sont utilisées pour prendre en compte la diffraction sur des écrans fins, des écrans épais, des bâtiments, des talus (naturels ou artificiels) et les limites des remblais, tranchées et viaducs.

Lorsque plusieurs obstacles diffractants se trouvent sur un trajet de propagation, ils sont traités comme une diffraction multiple en appliquant la procédure décrite dans la section suivante sur le calcul de la différence de trajet.

Les procédures présentées ici sont utilisées pour calculer les atténuations dans des conditions homogènes et dans des conditions favorables. L'inclinaison du rayon est prise en compte dans le calcul de la différence de trajet et pour calculer les effets de sol avant et après diffraction.

### Principes généraux

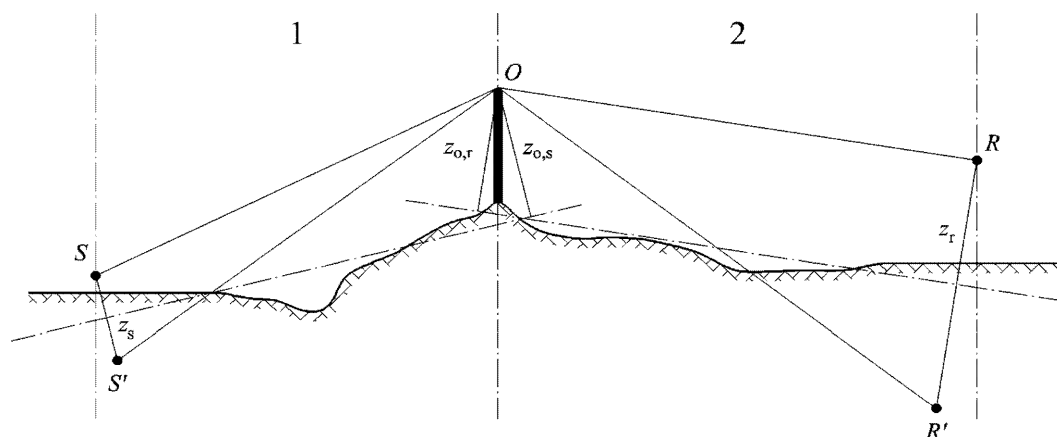
La figure 2.5.c illustre la méthode générale de calcul de l'atténuation due à la diffraction. Cette méthode est fondée sur la décomposition du trajet de propagation en deux parties: le trajet «côté source», située entre la source et le point de diffraction, et le trajet «côté récepteur», situé entre le point de diffraction et le récepteur.

Sont calculés:

- un effet de sol, côté source,  $\Delta_{ground(S,O)}$
- un effet de sol, côté récepteur,  $\Delta_{ground(O,R)}$
- et trois diffractions:
  - entre la source  $S$  et le récepteur  $R$ :  $\Delta_{dif(S,R)}$
  - entre la source image  $S'$  et  $R$ :  $\Delta_{dif(S',R)}$
  - entre  $S$  et le récepteur image  $R'$ :  $\Delta_{dif(S,R')}$

Figure 2.5.c

### Géométrie d'un calcul de l'atténuation due à la diffraction



- 1: Côté source
- 2: Côté récepteur

où

S est la source;

R est le récepteur;

S' est la source image par rapport au plan du sol moyen côté source;

R' est le récepteur image par rapport au plan du sol moyen côté récepteur;

O est le point de diffraction;

$z_s$  est la hauteur équivalente de la source S par rapport au plan moyen côté source;

$z_{o,s}$  est la hauteur équivalente du point de diffraction O par rapport au plan du sol moyen côté source;

$z_r$  est la hauteur équivalente du récepteur R par rapport au plan moyen côté récepteur;

$z_{o,r}$  est la hauteur équivalente du point de diffraction O par rapport au plan du sol moyen côté récepteur.

L'irrégularité du sol entre la source et le point de diffraction, et entre le point de diffraction et le récepteur, est prise en compte au moyen de hauteurs équivalentes calculées par rapport au plan du sol moyen, d'abord côté source et ensuite côté récepteur (deux plans de masse moyens), selon la méthode décrite dans la sous-section sur les hauteurs significatives au-dessus du sol.

#### Diffraction pure

Pour une diffraction pure, sans effets de sol, l'atténuation est donnée par:

$$\Delta_{dif} = \begin{cases} 10C_h \cdot \lg\left(3 + \frac{40}{\lambda} C''\delta\right) & \text{si } \frac{40}{\lambda} C''\delta \geq -2 \\ 0 & \text{autre} \end{cases} \quad (2.5.21)$$

où

$$C_h = 1 \quad (2.5.22)$$

$\lambda$  est la longueur d'onde à la fréquence centrale nominale de la plage de fréquence considérée;

$\delta$  est la différence de trajet entre le trajet diffracté et le trajet direct (voir sous-sections suivantes sur le calcul de la différence de trajet);

$C''$  est un coefficient utilisé pour prendre en compte les diffractions multiples:

$C'' = 1$  pour une diffraction unique.

Pour une diffraction multiple, si  $e$  est la distance totale le long du trajet, O1 à O2 + O2 à O3 + O3 à O4 à partir de la «méthode de l'élastique», (voir figures 2.5.d et 2.5.f) et si  $e$  est supérieure à 0,3 m (autrement  $C'' = 1$ ), ce coefficient est défini par:

$$C'' = \frac{1 + \left(\frac{5\lambda}{e}\right)^2}{1/3 + \left(\frac{5\lambda}{e}\right)^2} \quad (2.5.23)$$

Les valeurs de  $\Delta_{dif}$  doivent être liées:

- si  $\Delta_{dif} < 0$ :  $\Delta_{dif} = 0$  dB
- si  $\Delta_{dif} > 25$ :  $\Delta_{dif} = 25$  dB pour une diffraction sur une arête horizontale et uniquement sur le terme  $\Delta_{dif}$  qui figure dans le calcul de  $A_{dif}$ . Cette limite supérieure ne doit pas être appliquée dans les termes  $\Delta_{dif}$  qui interviennent dans le calcul de  $\Delta_{ground}$  ou pour une diffraction sur une arête verticale (diffraction latérale) dans le cas de la cartographie du bruit industriel.

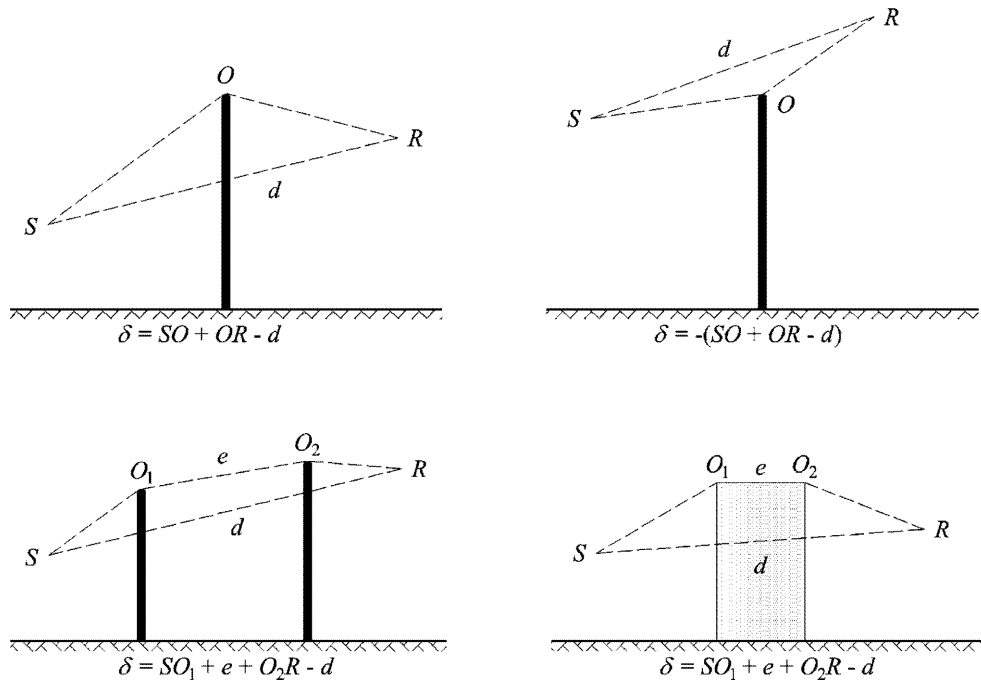
Calcul de la différence de trajet

La différence de trajet  $\delta$  est calculée dans un plan vertical comprenant la source et le récepteur. Il s'agit d'une approximation par rapport au principe de Fermat. Cette approximation reste applicable ici (lignes source). La différence de trajet  $\delta$  est calculée comme dans les figures suivantes, sur la base des situations rencontrées.

Conditions homogènes

Figure 2.5.d

Calcul de la différence de trajet dans des conditions homogènes. O, O<sub>1</sub> et O<sub>2</sub> sont les points de diffraction

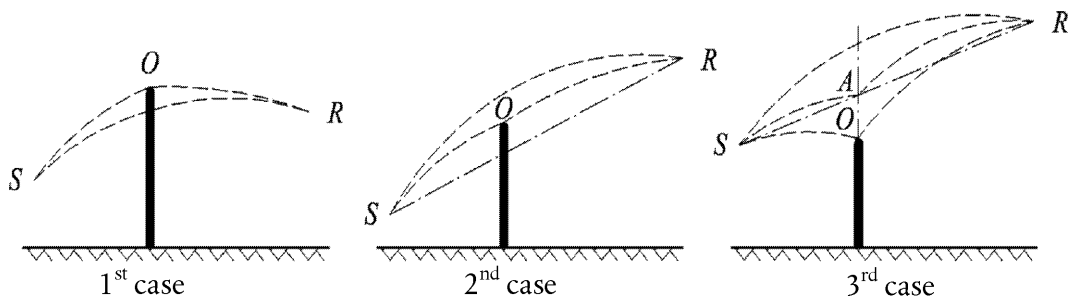


Remarque: pour chaque configuration, l'expression de  $\delta$  est donnée.

Conditions favorables

Figure 2.5.e

Calcul de la différence de trajet dans des conditions favorables (diffraction unique)



Dans des conditions favorables, il est considéré que les trois rayons sonores courbes SO, OR, et SR ont un rayon de courbure identique  $\Gamma$  défini par:

$$\Gamma = \max(1\ 000, 8d) \quad (2.5.24)$$

La longueur d'une courbe de rayon sonore MN est notée  $\hat{MN}$  dans des conditions favorables. Cette longueur est égale à:

$$\hat{MN} = 2\Gamma \arcsin\left(\frac{MN}{2\Gamma}\right) \quad (2.5.25)$$

En principe, trois scénarios doivent être envisagés dans le calcul de la différence de trajet dans des conditions favorables  $\delta_F$  (voir figure 2.5.e). En pratique, deux équations sont suffisantes:

— si le rayon sonore rectiligne SR est masqué par l'obstacle (1<sup>er</sup> et 2<sup>e</sup> cas dans la figure 2.5.e):

$$\delta_F = \hat{SO} + \hat{OR} - \hat{SR} \quad (2.5.26)$$

— si le rayon sonore rectiligne SR n'est pas masqué par l'obstacle (3<sup>e</sup> cas dans la figure 2.5.e):

$$\delta_F = 2\hat{SA} + 2\hat{AR} - \hat{SO} - \hat{OR} - \hat{SR} \quad (2.5.27)$$

où A est l'intersection du rayon sonore rectiligne SR et l'extension de l'obstacle diffractant.

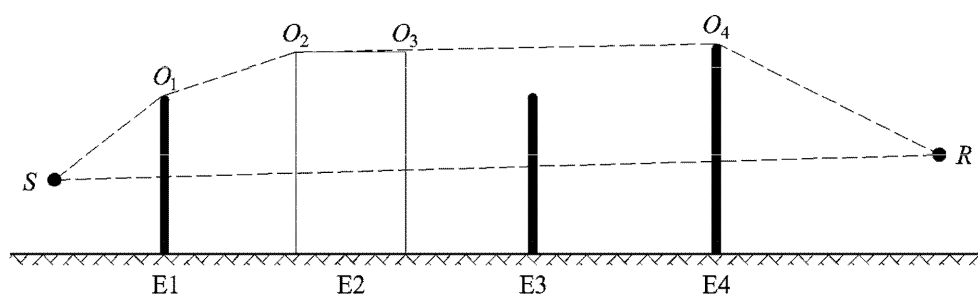
Pour les diffractions multiples dans des conditions favorables, il convient:

- de déterminer l'enveloppe convexe définie par les différentes arêtes de diffraction potentielles,
- d'éliminer les arêtes de diffraction qui ne se trouvent pas à la limite de l'enveloppe convexe,
- de calculer  $\delta_F$  sur la base des longueurs du rayon sonore incurvé en divisant le trajet diffracté en autant de segments incurvés que nécessaire (voir figure 2.5.f)

$$\delta_F = \hat{SO}_1 + \sum_{i=1}^{i=n-1} O_i \hat{O}_{i+1} + \hat{O}_n R - \hat{SR} \quad (2.5.28)$$

Figure 2.5.f

**Exemple de calcul de la différence de trajet dans des conditions favorables, dans le cas de diffractions multiples**



Dans le scénario présenté à la figure 2.5.f, la différence de trajet est:

$$\delta_F = \hat{S}O_1 + O_1\hat{O}_2 + O_2\hat{O}_3 + O_3\hat{O}_4 + \hat{O}_4R - \hat{S}R \quad (2.5.29)$$

Calcul de l'atténuation  $A_{dif}$

L'atténuation due à la diffraction, en tenant compte des effets de sol côté source et côté récepteur, est calculée selon les équations générales suivantes:

$$A_{dif} = \Delta_{dif(S,R)} + \Delta_{ground(S,O)} + \Delta_{ground(O,R)} \quad (2.5.30)$$

où

- $\Delta_{dif(S,R)}$  est l'atténuation due à la diffraction entre la source  $S$  et le récepteur  $R$ ,
- $\Delta_{ground(S,O)}$  est l'atténuation due à l'effet de sol côté source, pondérée par la diffraction côté source; où il est convenu que  $O = O_1$  dans le cas de diffractions multiples comme dans la figure 2.5.f,
- $\Delta_{ground(O,R)}$  est l'atténuation due à l'effet de sol côté récepteur, pondérée par la diffraction côté récepteur (voir la sous-section suivante sur le calcul du terme  $\Delta_{ground(O,R)}$ ).

Calcul du terme  $\Delta_{ground(S,O)}$

$$\Delta_{ground(S,O)} = -20 \times \lg \left( 1 + \left( 10^{\frac{-A_{ground(S,O)}}{20}} - 1 \right) \cdot 10^{\frac{-(\Delta_{dif(S',R)} - \Delta_{dif(S,R)})}{20}} \right) \quad (2.5.31)$$

où

- $A_{ground(S,O)}$  est l'atténuation due à l'effet de sol entre la source  $S$  et le point de diffraction  $O$ . Ce terme est calculé comme indiqué dans la sous-section précédente sur les calculs dans des conditions homogènes et dans la sous-section précédente sur le calcul dans des conditions favorables, avec les hypothèses suivantes:

$$z_r = z_{o,s}$$

- $G_{path}$  est calculé entre  $S$  et  $O$ ,
- dans des conditions homogènes:  $\overline{G}_w = G'_{path}$  dans l'équation (2.5.17),  $\overline{G}_m = G'_{path}$  dans l'équation (2.5.18),
- dans des conditions favorables:  $\overline{G}_w = G_{path}$  dans l'équation (2.5.17),  $\overline{G}_m = G'_{path}$  dans l'équation (2.5.20),
- $\Delta_{dif(S',R)}$  est l'atténuation due à la diffraction entre la source image  $S'$  et  $R$ , calculée comme dans la sous-section précédente sur la diffraction pure,
- $\Delta_{dif(S,R)}$  est l'atténuation due à la diffraction entre  $S$  et  $R$ , calculée comme dans la sous-section VI.4.4.b.

Calcul du terme  $\Delta_{ground(O,R)}$

$$\Delta_{ground(O,R)} = -20 \times \lg \left( 1 + \left( 10^{\frac{-A_{ground(O,R)}}{20}} - 1 \right) \cdot 10^{\frac{-(\Delta_{dif(S,R')} - \Delta_{dif(S,R)})}{20}} \right) \quad (2.5.32)$$

où

- $A_{ground(O,R)}$  est l'atténuation due à l'effet de sol entre le point de diffraction  $O$  et le récepteur  $R$ . Ce terme est calculé comme indiqué dans la sous-section précédente sur le calcul dans des conditions homogènes et dans la sous-section précédente sur le calcul dans des conditions favorables, avec les hypothèses suivantes:

$$z_s = z_{o,r}$$

- $G_{path}$  est calculé entre  $O$  et  $R$ .

La correction  $G_{path}$  ne doit pas être prise en compte ici puisque la source considérée est le point de diffraction. Dès lors,  $G_{path}$  doit effectivement être utilisé dans le calcul des effets de sol, y compris pour le terme de limite inférieure de l'équation qui devient  $-3(1 - G_{path})$ .

- Dans des conditions homogènes,  $\overline{G}_w = G_{path}$  dans l'équation (2.5.17) et  $\overline{G}_m = G_{path}$  dans l'équation (2.5.18),
- Dans des conditions favorables,  $\overline{G}_w = G_{path}$  dans l'équation (2.5.17) et  $\overline{G}_m = G_{path}$  dans l'équation (2.5.20),
- $\Delta_{dif(S,R')}$  est l'atténuation due à la diffraction entre  $S$  et le récepteur image  $R'$ , calculée comme dans la sous-section précédente sur la diffraction pure,
- $\Delta_{dif(S,R)}$  est l'atténuation due à la diffraction entre  $S$  et  $R$ , calculée comme dans la sous-section précédente sur la diffraction pure.

### Scénarios avec arête verticale

L'équation (2.5.21) peut être utilisée pour calculer les diffractions sur des arêtes verticales (diffractions latérales) dans le cas du bruit industriel. Si tel est le cas, l'on postule que  $A_{dif} = \Delta_{dif(S,R)}$  et le terme  $A_{ground}$  est conservé. En outre,  $A_{atm}$  et  $A_{ground}$  doivent être calculés à partir de la longueur totale du trajet de propagation.  $A_{div}$  est toujours calculé à partir de la distance directe  $d$ . Les équations (2.5.8) et (2.5.6) deviennent respectivement:

$$A_H = A_{div} + A_{atm}^{path} + A_{ground,H}^{path} + \Delta_{dif,H(S,R)} \quad (2.5.33)$$

$$A_F = A_{div} + A_{atm}^{path} + A_{ground,F}^{path} + \Delta_{dif,H(S,R)} \quad (2.5.34)$$

$\Delta_{dif}$  est effectivement utilisé dans des conditions homogènes dans l'équation (2.5.34).

### Réflexions sur des obstacles verticaux

#### Atténuation par l'absorption

Les réflexions sur des obstacles verticaux sont abordées au moyen de sources-image. Les réflexions sur les façades des bâtiments et les écrans acoustiques sont donc abordées de cette façon.

Un obstacle est considéré comme vertical si son inclinaison par rapport à la verticale est inférieure à 15°.

Lorsqu'il s'agit de réflexions sur des objets dont l'inclinaison par rapport à la verticale est supérieure ou égale à 15°, l'objet n'est pas pris en compte.

Les obstacles pour lesquels au moins une dimension est inférieure à 0,5 m doivent être ignorés dans le calcul de la réflexion, à l'exception des configurations spéciales <sup>(1)</sup>.

Il convient de remarquer que les réflexions sur le sol ne sont pas abordées dans le présent document. Elles sont prises en compte dans les calculs de l'atténuation à la limite (sol, diffraction).

Si  $L_{WS}$  est le niveau de puissance de la source  $S$  et  $\alpha$ , le coefficient d'absorption de la surface de l'obstacle tel que défini par la norme EN 1793-1:2013, alors le niveau de puissance de la source image  $S'$  est égal à:

$$L_{WS'} = L_{WS} + 10 \cdot \lg(1 - \alpha) = L_{WS} + A_{refl} \quad (2.5.35)$$

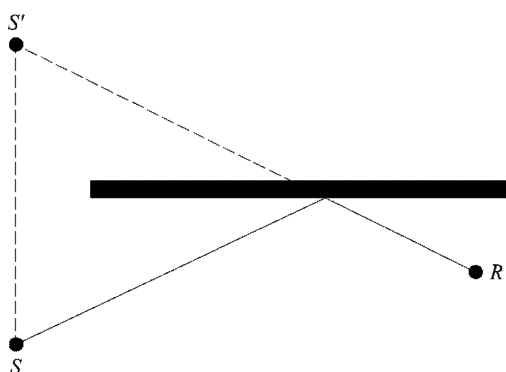
où  $0 \leq \alpha_r < 1$

<sup>(1)</sup> Un réseau de petits obstacles dans un plan et à intervalle régulier constitue un exemple de configuration spéciale.

Les atténuations de propagation décrites ci-dessus sont ensuite appliquées à ce trajet (image source, récepteur), comme pour un trajet direct.

Figure 2.5.g

**Réflexion spéculaire sur un obstacle abordé par la méthode source image (S: source, S': image source, R: récepteur)**



#### Atténuation par rétrodiffraction

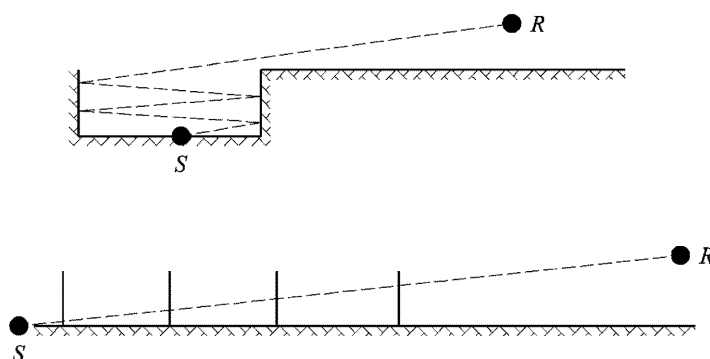
Dans la recherche géométrique des trajets du son, lors de la réflexion sur un obstacle vertical (mur, bâtiment), la position de l'impact du rayon par rapport au bord supérieur de cet obstacle détermine la proportion plus ou moins importante de l'énergie effectivement réfléchi. Cette perte d'énergie acoustique lorsque le rayon subit une réflexion est appelée atténuation par rétrodiffraction.

Dans le cas de réflexions multiples potentielles entre deux murs verticaux, la première réflexion doit au moins être prise en compte.

Dans le cas d'une tranchée (voir par exemple la figure 2.5.h), l'atténuation par rétrodiffraction doit être appliquée à chaque réflexion sur les murs de soutènement.

Figure 2.5.h

**Rayon sonore réfléchi quatre fois dans une tranchée: coupe transversale réelle (au-dessus), coupe transversale dépliée (en dessous)**



Dans cette représentation, le rayon sonore atteint le récepteur «en passant successivement à travers» les murs de soutènement du fossé, qui peuvent dès lors être comparés à des ouvertures.

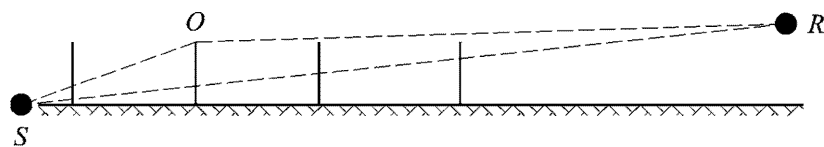
Lors du calcul de la propagation à travers une ouverture, le champ acoustique au récepteur est la somme du champ direct et du champ diffracté par les bords de l'ouverture. Ce champ diffracté garantit la continuité de la transition entre la zone libre et la zone d'ombre. Lorsque le rayon s'approche du bord de l'ouverture, le champ direct est atténué. Le calcul est identique à celui de l'atténuation par un écran dans l'aire d'exploration.

La différence de trajet  $\delta'$  associée à chaque rétrodiffraction est l'opposé de la différence de trajet entre S et R par rapport à chaque bord supérieur O, et ceci dans une vue conforme à une coupe transversale dépliée (voir figure 2.5.i).

$$\delta' = -(SO + OR - SR) \quad (2.5.36)$$

Figure 2.5.i

### La différence de trajet pour la seconde réflexion



Le signe « moins » de l'équation (2.5.36) signifie que le récepteur est considéré ici dans la zone éclairée.

L'atténuation par rétrodiffraction  $\Delta_{\text{rétrodif}}$  est obtenue par l'équation (2.5.37), similaire à l'équation (2.5.21) avec des notations remaniées.

$$\Delta_{\text{rétrodif}} = \begin{cases} 10C_n \cdot \lg\left(3 + \frac{40}{\lambda}\delta'\right) & \text{si } \frac{40}{\lambda}\delta' \geq -2 \\ 0 & \text{autre} \end{cases} \quad (2.5.37)$$

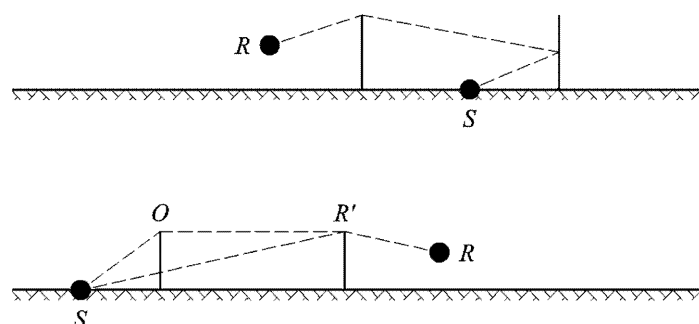
Cette atténuation est appliquée au rayon direct chaque fois qu'il « passe à travers » (se réfléchit sur) un mur ou un bâtiment. Le niveau de puissance de la source image  $S'$  devient dès lors:

$$L_{W'} = L_W + 10 \times \lg(1 - \alpha_r) - \Delta_{\text{rétrodif}} \quad (2.5.38)$$

Dans des configurations de propagation complexe, des diffractions peuvent exister entre les réflexions, ou entre le récepteur et les réflexions. Dans ce cas, la rétrodiffraction par les murs est estimée en tenant compte du trajet entre la source et le premier point de diffraction  $R'$  (dès lors considéré comme le récepteur dans l'équation (2.5.36)). Ce principe est illustré à la figure 2.5.j.

Figure 2.5.j

### La différence de trajet en présence d'une diffraction: coupe transversale réelle (au-dessus), coupe transversale dépliée (en dessous)



Dans le cas de réflexions multiples, les réflexions dues à chaque réflexion unique sont ajoutées.

## 2.6. Dispositions générales — bruit des avions

### 2.6.1. Définitions et symboles

Certains *termes* importants seront définis par la signification générale qui leur est attribuée dans le présent document. Cette liste n'est toutefois pas exhaustive. Seuls les acronymes et expressions récurrents y figurent. Les autres sont définis lors de leur première apparition dans le corps du texte.

Les *symboles* mathématiques (énumérés après la liste de termes) sont les principaux utilisés dans les équations du texte principal. D'autres symboles utilisés localement, tant dans le texte que dans les appendices, sont définis au moment de leur utilisation.

Il convient d'attirer régulièrement l'attention du lecteur sur l'interchangeabilité des termes *son* et *bruit* dans ce document. Bien que le mot *bruit* ait une connotation subjective, puisque les acousticiens le définissent généralement comme un «son non souhaité», dans le domaine du contrôle de bruit des avions, il est généralement pris dans son acceptation de son, en d'autres termes une énergie qui se propage dans l'air et est transmise par le mouvement des ondes acoustiques. Le symbole «→» indique des références croisées à d'autres termes repris dans la liste.

#### Termes

|   |  |
|---|--|
| AIP   | Aeronautical Information Publication (publication d'information aéronautique)  |
| Configuration de l'avion                      | Les positions des bords de bord d'attaque, volets et train d'atterrissage.   |
| Mouvement de l'avion                          | Atterrissage, décollage ou toute autre action de l'avion qui influe sur l'exposition au bruit autour d'un aéroport.  |
| Données de bruit et de performance de l'avion | Données décrivant les caractéristiques acoustiques et opérationnelles des différents types d'avion requis par le processus de modélisation. Elles comprennent →le rapport bruit-puissance-distance (NPD) et les informations permettant de calculer la puissance/poussée des moteurs comme une fonction de la →configuration de vol. Les données sont généralement fournies par les avionneurs, même si, en cas d'impossibilité, elles peuvent être obtenues d'autres sources. Lorsque aucune donnée n'est disponible, il est courant de représenter l'avion concerné en adaptant les données d'un avion similaire — ce procédé est appelé <i>substitution</i> . |
| Altitude                                      | Hauteur au-dessus du niveau moyen de la mer.   |
| Base de données ANP                           | Base de données internationale de bruit et de performance des avions de l'appendice I.   |
| Niveau acoustique avec pondération A, $L_A$   | Échelle de niveau de son/bruit de base destinée à la mesure du bruit environnemental, dont celui émis par les avions, et sur laquelle sont fondées la plupart des métriques de courbes de niveau de bruit.   |
| Route-sol centrale                            | Route-sol représentative ou nominale qui définit le centre d'une enveloppe de routes.  |
| Niveau de base d'un événement acoustique      | Niveau d'un événement acoustique lu depuis une base de données NPD.  |
| Lâcher des freins                             | → <i>Début du roulage</i>  |
| Poussée nette corrigée                        | Selon un régime moteur donné, (par exemple, $EPR$ ou $N_1$ ), la poussée nette diminue avec la densité de l'air, et donc, avec la prise d'altitude de l'avion. La poussée nette corrigée est la valeur au niveau de la mer.  |
| Niveau sonore/de bruit cumulatif              | Mesure en décibel d'un son reçu sur une plage de temps spécifique, à un point situé à proximité d'un aéroport, à partir du trafic d'avions empruntant des trajectoires de vol normales dans des conditions opérationnelles normales. Le niveau est calculé en accumulant les niveaux sonores/de bruit se produisant à ce point.  |
| Somme ou moyenne décibel                      | Parfois appelée valeur d'«énergie» ou «logarithmique» (opposée à arithmétique). Utilisée en cas de nécessité pour additionner ou moyenniser les quantités sous-jacentes similaires à l'énergie, par exemple la <i>somme décibel</i> = $10 \cdot \lg \sum 10^{L_i/10}$  |

|  |   |
|--|---|
| Fraction d'énergie, $F$                        | Rapport entre l'énergie acoustique reçue par un segment et l'énergie reçue par la trajectoire de vol infinie.   |
| Régime moteur                                  | Valeur du $\rightarrow$ paramètre de puissance lié au bruit servant à déterminer les émissions de bruit à partir de la base de données NPD.   |
| Niveau de bruit équivalent (continu), $L_{eq}$ | Mesure du son à long terme. Niveau d'un son stable hypothétique qui, sur une plage de temps spécifique, contient la même énergie totale que le son réel variable.   |
| Niveau acoustique d'un événement               | Mesure en décibel de la quantité finie d'un son (ou bruit) du passage d'un avion ® niveau d'exposition au bruit   |
| Configuration de vol                           | = $\rightarrow$ Configuration de l'avion + $\rightarrow$ Paramètres de vol  |
| Paramètres de vol                              | Régime moteur, vitesse, angle de roulis et masse.   |
| Trajectoire de vol                             | Trajectoire d'un avion en vol dans un espace tridimensionnel, généralement en référence au début du roulage du décollage ou au seuil de piste.  |
| Segment de la trajectoire de vol               | Partie de la trajectoire de vol d'un avion représentée pour les besoins de modélisation du bruit par une ligne droite de longueur finie   |
| Procédure de vol                               | Séquence d'étapes opérationnelles suivies par l'équipage d'un avion ou le système de gestion de vol: elle exprime les changements de configuration de vol comme une fonction de distance le long de la route-sol.   |
| Profil de vol                                  | Variation de la hauteur de l'avion le long de la route (comprend parfois également des changements de la $\rightarrow$ configuration de vol) — décrite par un ensemble de $\rightarrow$ points du profil.   |
| Plan du sol                                    | (ou Plan du sol nominal) Surface au sol au point de référence de l'aérodrome, à partir duquel sont normalement calculées les courbes de niveau de bruit.  |
| Vitesse sol                                    | Vitesse de l'avion par rapport à un point fixe au sol.  |
| Route-sol                                      | Projection verticale de la trajectoire de vol sur le plan du sol.   |
| Hauteur  | Distance verticale entre un avion et le $\rightarrow$ plan du sol   |
| Niveau acoustique intégré                      | Également appelé $\rightarrow$ niveau d'exposition au bruit d'un événement individuel.  |
| ISA  | International Standard Atmosphere (atmosphère type internationale) — définie par l'OACI. Définit la variation de température, pression et densité de l'air avec la hauteur au-dessus du niveau moyen de la mer. Sert à normaliser les résultats des calculs de conception des avions et l'analyse des données d'essais. |
| Atténuation latérale                           | Atténuation excédentaire du son avec la distance attribuable, directement ou indirectement, à la présence de la surface du sol. Elle est importante pour les faibles angles de site (de l'avion au-dessus du plan du sol).  |
| Niveau sonore/de bruit maximal                 | Niveau sonore maximal atteint au cours d'un événement.  |
| Niveau moyen de la mer, MSL                    | Hauteur standard de la surface de la Terre à laquelle se réfère $\rightarrow$ l'ISA.  |
| Poussée nette                                  | Force propulsive exercée par les moteurs sur la cellule.  |

|   |   |
|---|---|
| Bruit   | Le bruit se définit comme un son indésirable. Cependant, les métriques comme le <i>niveau acoustique avec pondération A</i> ( $L_A$ ) et <i>niveau effectif de bruit perçu</i> (EPNL) convertissent efficacement les niveaux sonores en niveaux de bruit. Malgré la rigueur qui s'impose, les termes «son» et «bruit» sont parfois employés indifféremment dans le présent document, ainsi qu'ailleurs — en particulier lorsqu'ils sont associés au terme <i>niveau</i> .   |
| Courbe de niveau de bruit                         | Ligne joignant les points où l'indice de bruit d'un avion est constant autour d'un aéroport.  |
| Impact de bruit                                   | Expression regroupant tous les effets indésirables du bruit sur les individus. Notons que les métriques de bruit sont implicitement des indicateurs de l'impact de bruit.   |
| Indice de bruit                                   | Mesure d'un son ou d'un bruit cumulatif ou à long terme mis en corrélation avec ses effets sur les individus. Cette mesure est considérée comme un indicateur prévisionnel ou «prédicteur» des effets d'un son ou d'un bruit sur les individus. Certains facteurs peuvent être pris en compte en plus de l'amplitude d'un son (l'heure de la journée en particulier). Exemple: l'indicateur de bruit jour-soir-nuit $L_{DEN}$ .   |
| Niveau de bruit                                   | Mesure en décibel du son sur une échelle indiquant son degré d'intensité ou de bruyance. S'agissant du bruit environnemental émis par un avion, deux échelles sont généralement utilisées: le <i>niveau acoustique avec pondération A</i> et le <i>niveau de bruit perçu</i> . Ces échelles appliquent différentes pondérations aux sons de différentes fréquences — dans le but d'avoisiner la perception humaine.   |
| Métrique du bruit                                 | Expression servant à décrire toute mesure de la quantité de bruit à la position du récepteur, qu'il s'agisse d'un événement individuel ou d'une accumulation de bruit sur une plage prolongée. Il existe deux mesures du bruit d'un événement individuel couramment utilisées: le <i>niveau maximal</i> atteint au cours de l'événement, ou le <i>niveau d'exposition au bruit</i> , une mesure de l'énergie acoustique totale déterminée par l'intégration du temps.   |
| Rapport/données de bruit-puissance-distance (NPD) | Niveaux des événements acoustiques répertoriés comme des fonctions de distance au-dessous d'un avion pour un vol en régime stabilisé à une vitesse de référence, dans une atmosphère de référence, pour chacun des → <i>régimes moteur</i> . Les données rendent compte des effets de l'atténuation du son résultant de la propagation sphérique des ondes (loi de l'inverse du carré de la distance) et l'absorption atmosphérique. La distance est définie de façon perpendiculaire à la trajectoire de vol de l'avion et de l'axe des ailes (c'est-à-dire verticalement au-dessous de l'avion pour un vol rectiligne). |
| Paramètre de puissance lié au bruit               | Paramètre décrivant ou indiquant l'effort propulsif généré par les moteurs d'un avion auxquels peut logiquement être associée l'émission de la puissance acoustique; généralement considéré comme étant la → <i>poussée nette corrigée</i> . Librement appelé «puissance» ou «régime moteur» dans le corps du texte.  |
| Importance de bruit                               | Un segment de la trajectoire de vol possède une importance de bruit si sa contribution affecte sensiblement l'amplitude du niveau acoustique reçu. La non-prise en compte de tous les segments de vol ne possédant aucune importance de bruit peut permettre d'éviter un lourd traitement informatique  |
| Observateur                                       | → <i>Récepteur</i>  |
| Étapes procédurales                               | Éléments déterminant d'un profil de vol; ces étapes comportent des changements de vitesse et/ou d'altitude.   |
| Point du profil                                   | Hauteur du point final d'un segment de trajectoire de vol — dans le plan vertical au-dessus de la route-sol.  |
| Récepteur   | Récepteur d'un bruit provenant d'une source; principalement en un point sur ou à proximité de la surface du sol.  |
| Atmosphère de référence                           | Classification des taux d'absorption employés pour normaliser les données NPD (voir <b>appendice D</b> )  |
| Jour de référence                                 | Ensemble de conditions atmosphériques à partir desquelles sont normalisées les données ANP.   |
| Durée de référence                                | Intervalle de temps nominal servant à la normalisation des mesures des niveaux d'exposition au bruit d'un événement individuel; égal à 1 seconde dans le cas du → <i>SEL</i> .  |

|  |   |
|--|---|
| Vitesse de référence                                   | Vitesse sol de l'avion d'après laquelle sont normalisées les données <i>NPD</i> du → <i>SEL</i> .   |
| <i>SEL</i>   | ( <i>Sound Exposure Level</i> ) → <i>Niveau d'exposition au bruit</i>   |
| Niveau d'exposition au bruit d'un événement individuel | Niveau acoustique que posséderait un événement si toutes les énergies acoustiques étaient compressées de manière uniforme dans un intervalle de temps standard appelé → <i>durée de référence</i> .   |
| Sol doux   | Surface au sol dite «douce» sur le plan acoustique, généralement herbeuse, qui entoure la plupart des aéroports. Parmi les surfaces au sol dites acoustiquement «dures», c'est-à-dire hautement réfléchives, figurent le béton et l'eau. La méthodologie des courbes de niveau de bruit décrite dans le présent document s'applique à des conditions de sol doux. |
| Son  | Énergie transmise dans l'air par le mouvement ondulatoire (longitudinal), et ressentie par l'oreille.   |
| Atténuation du son                                     | Diminution de l'intensité sonore avec la distance le long de la trajectoire de propagation. S'agissant du bruit des avions, elle est engendrée par la propagation sphérique des ondes, l'absorption atmosphérique et → <i>atténuation latérale</i>  |
| Exposition du bruit                                    | Mesure de l'immission de l'énergie acoustique totale sur une plage de temps donnée  |
| Niveau d'exposition au bruit, $L_{AE}$                 | (Sigle: <i>SEL</i> ) Métrique normalisée par l'ISO 1996-1 ou l'ISO 3891 = niveau d'exposition au bruit d'un événement individuel pondéré A et référencé sur 1 seconde.  |
| Intensité sonore                                       | Force de l'immission sonore en un point — liée à l'énergie acoustique (et indiquée par les niveaux acoustiques mesurés).  |
| Niveau sonore  | Mesure en décibel de l'énergie acoustique. Le son reçu fait ou non l'objet d'une «pondération fréquentielle»; les niveaux auxquels est appliquée une pondération sont souvent appelés → <i>niveaux acoustiques, niveaux de bruit</i>  |
| Durée de l'étape et/ou du trajet                       | Distance jusqu'à la première destination d'un avion au départ, considérée comme étant un indicateur de la masse de l'avion.   |
| Début du roulage, <i>SOR</i>                           | Point de la piste où, en théorie, les freins sont lâchés pour laisser prendre à l'appareil l'accélération nécessaire au décollage. Également appelé «lâché des freins».   |
| Vitesse vraie  | Vitesse réelle d'un avion par rapport à l'air (= vitesse au sol dans air non perturbé ou calme)   |
| Niveau acoustique pondéré équivalent, $L_{eq,W}$       | Version modifiée de $L_{eq}$ à laquelle sont attribuées différentes pondérations au bruit se produisant sur différentes plages de la journée (généralement, le jour, le soir et la nuit).   |

## Symboles

|              |  |
|--------------|--|
| $d$          | Distance la plus courte du point d'observation à un segment de la trajectoire de vol                               |
| $d_p$        | Distance du point d'observation à la trajectoire de vol, mesurée perpendiculairement à celle-ci (distance oblique) |
| $d_\lambda$  | Distance graduée   |
| $F_n$        | Poussée nette réelle par moteur  |
| $F_n/\delta$ | Poussée nette corrigée par moteur  |
| $h$          | Altitude de l'avion (au-dessus du niveau moyen de la mer)  |
| $L$          | Niveau acoustique d'un événement (échelle non définie)   |
| $L(t)$       | Niveau acoustique au temps $t$ (échelle non définie)   |

|                             |   |
|-----------------------------|---|
| $L_A, L_A(t)$               | Niveau de pression acoustique maximal avec pondération A (au temps $t$ ) — mesuré sur l'échelle <i>lente</i> d'un sonomètre |
| $L_{AE}$                    | (SEL) Niveau d'exposition au bruit  |
| $L_{Amax}$                  | Valeur maximale de $L_A(t)$ au cours d'un événement   |
| $L_E$                       | Niveau d'exposition au bruit d'un événement individuel  |
| $L_{E\infty}$               | Niveau d'exposition au bruit d'un événement individuel déterminé à partir de la base de données NPD                         |
| $L_{EPN}$                   | Niveau effectif de bruit perçu  |
| $L_{eq}$                    | Niveau de bruit équivalent (continu)  |
| $L_{max}$                   | Valeur maximale de $L(t)$ au cours d'un événement   |
| $L_{max,seg}$               | Niveau maximal généré par un segment  |
| $\ell$                      | Distance perpendiculaire d'un point d'observation à la route-sol  |
| $\lg$                       | Logarithme de base 10   |
| $N$                         | Nombre de segments ou de sous-segments  |
| $NAT$                       | Nombre événements avec un $L_{max}$ dépassant un seuil spécifique   |
| $P$                         | Paramètre de puissance dans la variable $L(P,d)$ du NPD   |
| $P_{seg}$                   | Paramètre de puissance en rapport à un segment particulier  |
| $q$                         | Distance du début du segment au point d'approche le plus proche   |
| $R$                         | Rayon du virage   |
| $S$                         | Écart type  |
| $s$                         | Distance le long de la trajectoire de vol   |
| $s_{RWY}$                   | Longueur de piste   |
| $t$                         | Temps   |
| $t_e$                       | Durée effective d'un événement acoustique individuel  |
| $t_0$                       | Moment de référence pour un niveau acoustique intégré   |
| $V$                         | Vitesse sol   |
| $V_{seg}$                   | Vitesse sol du segment équivalent   |
| $V_{ref}$                   | Vitesse sol de référence pour laquelle sont définies les données NPD  |
| $x,y,z$                     | Coordonnées locales   |
| $x',y',z'$                  | Coordonnées de l'avion  |
| $X_{ARP}, Y_{ARP}, Z_{ARP}$ | Position d'un point de référence de l'aérodrome selon des coordonnées géographiques   |
| $z$                         | Hauteur d'un avion au-dessus du plan du sol/point de référence de l'aérodrome   |
| $\alpha$                    | Paramètre utilisé pour le calcul de la correction du segment fini $\Delta_F$  |
| $\beta$                     | Angle de site de l'avion par rapport au plan du sol   |
| $\varepsilon$               | Angle de roulis de l'avion  |
| $\gamma$                    | Angle de montée/descente  |

|                        |   |
|------------------------|---|
| $\varphi$              | Angle de dépression (paramètre de directivité latérale)                           |
| $\lambda$              | Longueur totale d'un segment  |
| $\psi$                 | Angle compris entre le sens du mouvement de l'avion et le sens vers l'observateur |
| $\xi$                  | Cap de l'avion, mesuré dans le sens horaire en fonction du nord magnétique        |
| $\Lambda(\beta, \ell)$ | Atténuation latérale air-sol  |
| $\Lambda(\beta)$       | Atténuation latérale air-sol à grande portée                                      |
| $\Gamma(\ell)$         | Facteur de distance de l'atténuation latérale                                     |
| $\Delta$               | Changement de valeur d'une quantité, ou correction (comme indiqué dans le texte)  |
| $\Delta_F$             | Correction du segment fini  |
| $\Delta_I$             | Correction liée à l'emplacement des moteurs                                       |
| $\Delta_i$             | Pondération pour le $i$ ème ( $i$ ) moment sur une plage d'une journée, en dB     |
| $\Delta_{rev}$         | Inversion de poussée  |
| $\Delta_{SOR}$         | Correction du départ de roulage   |
| $\Delta_V$             | Correction de la durée (vitesse)  |

#### Indices

|       |  |
|-------|--|
| 1, 2  | Indices indiquant les valeurs de début et de fin d'un intervalle ou d'un segment |
| $E$   | Exposition   |
| $i$   | Indice cumulatif des types/catégories d'avion                                    |
| $j$   | Indice cumulatif des routes-sol/sous-routes                                      |
| $k$   | Indice cumulatif des segments  |
| $max$ | Maximum  |
| $ref$ | Valeur de référence  |
| $seg$ | Valeur spécifique d'un segment   |
| $SOR$ | Lié au départ de roulage   |
| $TO$  | Décollage  |

#### 2.6.2. Cadre de qualité

##### Exactitude des valeurs d'entrée

Toutes les valeurs d'entrée influençant le niveau d'émission d'une source, y compris la position de la source, sont déterminées avec un degré d'exactitude au moins équivalent à une incertitude de  $\pm 2\text{dB(A)}$  dans le niveau d'émission de la source (les autres paramètres restant inchangés).

##### Utilisation de valeurs par défaut

Dans le cadre de l'application de la méthode, les données d'entrée doivent refléter l'utilisation réelle. De manière générale, la méthode ne se fondera pas sur des valeurs d'entrée par défaut ou des hypothèses. En particulier, les trajectoires de vol dérivées de données radar doivent être utilisées si tant est qu'elles existent et soient de qualité suffisante. Des valeurs d'entrée par défaut et des hypothèses sont toutefois acceptées, par exemple, dans le cas de l'utilisation de trajectoires modélisées en lieu et place de trajectoires de vol dérivées de données radar, si la collecte de données réelles est associée à un coût disproportionné.

## Qualité du logiciel utilisé pour effectuer les calculs

Tout logiciel utilisé pour effectuer les calculs doit démontrer sa conformité avec les méthodes décrites dans le présent document moyennant la certification des résultats par rapport aux essais.

### 2.7. Bruit des avions

#### 2.7.1. Objet et champ d'application du présent document

Les cartes de courbes de niveau de bruit servent à indiquer l'ampleur et la magnitude de l'impact du bruit des avions autour des aéroports, ledit impact étant illustré par les valeurs d'une métrique ou d'un indice de bruit spécifique. Une courbe de niveau de bruit est une ligne le long de laquelle la valeur de l'indice est constante. La valeur de l'indice regroupe d'une certaine manière tous les événements acoustiques d'un avion donné qui se produisent au cours d'une période de temps spécifique, normalement mesurée en jour ou en mois.

Le bruit perçu au sol en divers points en provenance d'avions en phase de décollage ou d'atterrissage sur un aéroport voisin dépend de nombreux facteurs, dont les plus importants sont les types d'avion et de moteur, les procédures de gestion concernant la puissance, les volets et la vitesse, l'éloignement de chaque point par rapport aux diverses trajectoires de vol, la topographie locale et les conditions météorologiques. Les opérations aéroportuaires comprennent généralement différents types d'avion, diverses procédures de vol et une gamme de masses opérationnelles.

Les courbes de niveau de bruit sont générées par le calcul mathématique des surfaces de valeurs locales d'indices de bruit. Ce document explique en détail comment calculer, en un point d'observation, les niveaux des événements acoustiques individuels des avions, pour un vol ou un type de vol spécifique, pour ensuite les moyenner ou les *cumuler*, afin de produire les valeurs indicielles en ce point. La surface requise des valeurs indicielles est simplement générée par la répétition des calculs autant de fois que nécessaire pour différents mouvements d'avions — en veillant à optimiser l'efficacité en excluant les événements minimes en matière de bruit (autrement dit, qui ne contribuent pas ou peu au total).

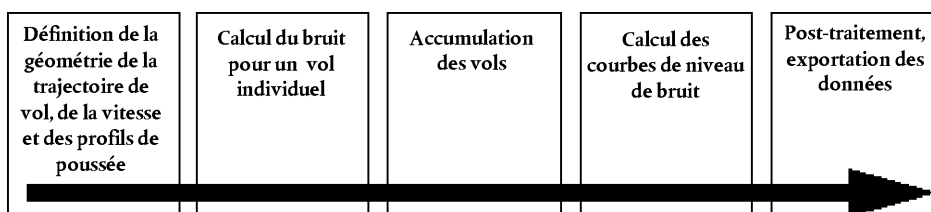
Plusieurs activités génératrices de bruit sur les aéroports peuvent être exclues des procédures de calcul lorsqu'elles ne contribuent pas à l'exposition de la population générale aux bruits aériens et n'influent pas sur les courbes de niveau de bruit. Au nombre de ces activités figurent les hélicoptères, le roulage, les essais moteurs et l'utilisation de groupes auxiliaires de puissance. Cela ne signifie pas pour autant que leur impact soit négligeable, et en pareilles circonstances, l'évaluation des sources peut être réalisée comme énoncé aux points 2.7.21 et 2.7.22.

#### 2.7.2. Structure du document

Le processus de génération des courbes de niveau de bruit est illustré à la **figure 2.7.a**. Les courbes de niveau de bruit sont produites à des fins diverses, qui tendent à régir les exigences afférentes aux sources et au prétraitement des données entrantes. Les courbes de niveau de bruit décrivant l'impact de bruit historique peuvent être générées à partir d'enregistrements réels des opérations aériennes — de leurs mouvements, masses, trajectoires de vol mesurées par radar, etc. Les courbes de niveau de bruit utilisées pour les besoins de planification future reposent davantage sur des prévisions — du trafic et des trajectoires de vol, ainsi que sur les caractéristiques de bruit et de performance des avions de prochaine génération.

Figure 2.7.a

#### Processus de génération des courbes de niveau de bruit



Quelle que soit la source des données de vol, chaque mouvement différent d'un avion, en phase de décollage ou d'atterrissage, est défini en termes de géométrie de la trajectoire de vol et d'émission de bruit de l'avion le long de cette trajectoire (les mouvements quasiment identiques en termes de bruit et de trajectoire de vol sont inclus par simple multiplication). L'émission du bruit dépend des caractéristiques de l'avion — principalement de la puissance délivrée par ses moteurs. La méthodologie recommandée nécessite de diviser la trajectoire de vol en segments. Les **points 2.7.3 à 2.7.6** résument les éléments de la méthodologie et expliquent le principe de segmentation sur lequel elle repose, autrement dit le fait que le niveau de bruit d'un événement observé résulte du regroupement des contributions de tous les segments «notables en matière de bruit» de la trajectoire de vol, dont chacun peut être calculé indépendamment des autres. Les **points 2.7.3 à 2.7.6** récapitulent également les exigences relatives aux données entrantes nécessaires à la production d'un ensemble de courbes de niveau de bruit. L'**appendice A** énonce des spécifications détaillées relatives aux données opérationnelles nécessaires.

Les **points 2.7.7 à 2.7.13** décrivent la façon dont sont calculés les segments de la trajectoire de vol d'après les données entrantes prétraitées. Ce calcul nécessite des applications de l'analyse des performances de vol des avions, dont les équations sont détaillées à l'**appendice B**. Les trajectoires de vol sont sujettes à une variabilité sensible: les trajectoires sont dispersées sur une bande en raison des différences dans les conditions atmosphériques, la masse des avions, les procédures d'exploitation, les contraintes imposées par le contrôle de la circulation aérienne, etc. Cette variabilité est prise en compte par la description de chaque trajectoire de vol de manière statistique, à savoir une route «centrale» accompagnée d'un ensemble de trajectoires dispersées. Ce phénomène est également expliqué aux **points 2.7.7 à 2.7.13** et étayé par un complément d'information figurant à l'**appendice C**.

Les **points 2.7.14 à 2.7.19** définissent les étapes à suivre pour le calcul du niveau de bruit d'un événement donné — le bruit généré en un point du sol par le mouvement d'un avion. L'**appendice D** concerne le recalcul des données NPD pour des conditions non référencées. L'**appendice E** définit la source acoustique dipôle utilisée dans le modèle pour la description du son d'après les segments de longueur finie de la trajectoire de vol.

Les applications des rapports de modélisations décrits aux **points 2.7.7 à 2.7.13** et aux **points 2.7.14 à 2.7.19** nécessitent, outre des trajectoires de vol pertinentes, des données acoustiques et opérationnelles appropriées pour les avions en question.

La détermination du niveau d'un événement pour un mouvement d'avion individuel au point unique d'observation représente le calcul de base. Il doit être reproduit pour tous les mouvements d'avion à chacun des groupements de points prescrits couvrant la surface estimée pour les courbes de niveau de bruit requises. À chaque point, les niveaux des événements sont regroupés ou moyennés pour obtenir un «niveau cumulatif» ou une valeur de l'indice de bruit. Cette partie du processus est décrite aux **points 2.7.20 et 2.7.23 à 2.7.25**.

Les **points 2.7.26 à 2.7.28** résument les options et exigences pour l'adaptation des courbes de niveau de bruit aux groupements des valeurs d'indice de bruit. Ils fournissent des éléments d'orientation relatifs à la génération des courbes et au prétraitement.

### 2.7.3. Le concept de segmentation

Pour tout avion spécifique, la base de données contient des rapports bruit-puissance-distance (NPD) de base. Ces derniers définissent, pour un vol direct stabilisé à une *vitesse de référence* dans des *conditions atmosphériques de référence* et une configuration de vol donnée, les niveaux des événements acoustiques reçus, à la fois maximaux et intégrés dans le temps, directement au-dessous de l'avion <sup>(1)</sup> comme une fonction de distance. S'agissant de la modélisation du bruit, le régime moteur, élément capital, est représenté par un *paramètre de puissance lié au bruit*; le paramètre généralement utilisé est la *poussée nette corrigée*. Les niveaux des événements de base déterminés d'après la base de données sont ajustés afin de refléter, tout d'abord, les différences entre les conditions atmosphériques réelles (c'est-à-dire modélisées) et celles de référence, et, dans le cas des niveaux d'exposition au bruit, la vitesse de l'avion, puis les différences entre la propagation vers le bas et latérale du son. Cette dernière différence est due à la *directivité latérale* (effets liés à l'emplacement des moteurs) et à l'*atténuation latérale*. Cependant, les niveaux des événements ajustés de cette manière ne s'appliquent toujours qu'au bruit total émis par l'avion pour un vol en régime stabilisé.

<sup>(1)</sup> En réalité, au-dessous de l'avion perpendiculairement à l'axe des ailes et à la direction du vol, considéré verticalement au-dessous de l'avion pour un vol rectiligne (autrement dit, non incliné).

La *segmentation* est le processus selon lequel le modèle de courbe de niveau de bruit recommandé adapte les données NPD et latérales de la trajectoire infinie pour calculer le bruit au niveau du récepteur depuis une trajectoire de vol non uniforme, c'est-à-dire une trajectoire le long de laquelle la configuration de vol de l'avion varie. Pour calculer le niveau acoustique de l'événement d'un mouvement d'avion, la trajectoire de vol est représentée par un ensemble de segments de droite contigus, dont chacun peut être considéré comme une partie finie d'une trajectoire infinie pour laquelle les ajustements NPD et latéraux sont connus. Le niveau maximal de l'événement correspond simplement à la plus grande des valeurs des segments individuels. Le niveau intégré dans le temps de l'événement acoustique total est calculé par la somme du bruit reçu depuis un nombre suffisant de segments, c'est-à-dire ceux qui participent de façon notable au bruit total de l'événement.

La méthode destinée à estimer le volume de bruit auquel contribue un segment fini au niveau d'un événement intégré est purement empirique. La *fraction de l'énergie F* — le bruit émis par le segment comme étant une proportion du bruit total de la trajectoire infinie — est décrite par une expression relativement simple qui tient compte de la directivité longitudinale du bruit des avions et de la «vue» du récepteur du segment. L'une des raisons pour lesquelles une méthode empirique simple se révèle généralement adéquate tient au fait que, en règle générale, la majorité du bruit provient du segment le plus proche, habituellement adjacent, dont le *point d'approche le plus proche* (CPA) du récepteur se trouve dans le segment (et non à l'une de ses extrémités). Cela signifie que les estimations du bruit d'après les segments non adjacents peuvent être de plus en plus approximatives à mesure que ces derniers s'éloignent du récepteur, sans compromettre outre mesure la précision requise.

#### 2.7.4. Trajectoires de vol: routes et profils

Dans le cadre de la modélisation, une *trajectoire de vol* correspond à la description complète du mouvement d'un avion dans l'espace et le temps <sup>(1)</sup>. Avec la force propulsive (ou tout autre paramètre de puissance lié au bruit), il s'agit de l'information nécessaire au calcul du bruit généré. La route-sol correspond à la projection verticale de la trajectoire de vol au niveau du sol. Elle est conjuguée au *profil de vol* vertical pour construire une trajectoire de vol tridimensionnelle. La modélisation par segmentation impose que la trajectoire de vol de chaque mouvement différent de l'avion soit décrite par une série de segments de droite contigus. La façon dont est représentée la segmentation obéit au besoin d'équilibrer précision et efficacité. En effet, il convient d'avoisiner suffisamment la trajectoire de vol réelle incurvée, tout en minimisant les contraintes informatiques et les exigences liées aux données. Chaque segment doit être défini selon les coordonnées géométriques de ses extrémités, la vitesse associée et les paramètres du régime moteur de l'avion (dont dépend l'émission de bruit). Les trajectoires de vol et le régime moteur peuvent être déterminés de plusieurs façons. Les principales impliquent: a) la synthèse d'une série d'étapes procédurales; et b) l'analyse des données mesurées des profils de vol.

La *synthèse* d'une trajectoire de vol (a) requiert des connaissances (ou des hypothèses) relatives aux routes-sol et à leurs dispersions latérales, à la masse de l'avion, à sa vitesse, à la position de ses volets, à ses procédures de gestion de la poussée, à l'altitude de l'aéroport, au vent et à la température de l'air. Les équations relatives au calcul du profil de vol à partir des paramètres propulsifs et aérodynamiques requis sont mentionnées à l'**appendice B**. Chaque équation contient des coefficients (et/ou des constantes) fondés sur des données empiriques pour chaque type d'avion spécifique. Les équations relatives à la performance aérodynamique mentionnées à l'**appendice B** permettent de prendre en considération toute combinaison acceptable de la masse opérationnelle de l'avion et de la procédure de vol, y compris les opérations pour différentes masses totales au décollage.

L'*analyse* des données mesurées (b), par exemple par les enregistreurs de données de vol, les radars ou autres équipements de suivi des mouvements aériens, implique une «rétro-ingénierie», autrement dit une inversion du processus de synthèse (a). Au lieu d'estimer l'état de l'avion et des moteurs à la fin des segments de vol en intégrant les effets des forces aérodynamiques et de la poussée agissant sur la cellule, les forces sont estimées par différenciation des variations de hauteur et de vitesse de la cellule. Les procédures nécessaires au traitement des informations de la trajectoire de vol sont décrites au point 2.7.12.

Selon une dernière application de la modélisation du bruit, chaque vol pourrait théoriquement être représenté de façon indépendante, ce qui garantirait une prise en compte précise de la dispersion spatiale des trajectoires de vol, qui peut s'avérer très importante. Cependant, pour conserver la préparation des données et le temps de traitement informatique dans des limites raisonnables, les enveloppes de trajectoires de vol sont couramment représentées par un nombre restreint de «sous-routes» latérales (la dispersion verticale est généralement représentée de manière satisfaisante par la prise en compte des effets de variation de la masse des avions sur les profils verticaux).

<sup>(1)</sup> Le temps est représenté au travers de la vitesse avion.

### 2.7.5. Bruit et performance des avions

La base de données ANP reprise à l'appendice I couvre la plupart des types d'avion existants. Les types d'avion ou les variantes pour lesquels aucune donnée n'est actuellement répertoriée, peuvent être représentés par des données correspondant à d'autres avions normalement similaires qui figurent dans la base de données.

La base de données ANP comprend des «étapes procédurales» par défaut visant à permettre la construction de profils de vols pour au minimum une procédure commune de décollage à moindre bruit. Les entrées plus récentes de la base de données couvrent deux procédures différentes de décollage à moindre bruit.

### 2.7.6. Opérations aéroportuaires et aériennes

Les données relatives aux cas spécifiques d'après lesquelles sont calculées les courbes de niveau de bruit pour un scénario aéroportuaire particulier sont les suivantes.

#### Données aéroportuaires générales

- Le point de référence de l'aérodrome (simplement destiné à localiser l'aérodrome selon les coordonnées géographiques appropriées) est par définition le point d'origine du système local de coordonnées cartésiennes utilisé pour la procédure de calcul.
- L'altitude de référence de l'aérodrome (c'est-à-dire l'altitude du point de référence de l'aérodrome) correspond à l'altitude du plan du sol nominal selon laquelle, en l'absence de corrections topographiques, les courbes de niveau de bruit sont définies.
- Paramètres météorologiques moyens au niveau, ou à proximité, du point de référence de l'aérodrome (température, humidité relative, vitesse moyenne et sens du vent).

#### Données relatives aux pistes

Pour chaque piste, il convient de disposer des informations suivantes:

- désignation de la piste,
- point de référence de la piste (centre de la piste exprimé selon des coordonnées locales),
- longueur, sens et déclivité moyenne de la piste,
- position du début de roulage et du seuil de piste (<sup>(1)</sup>).

#### Données relatives aux routes-sol

Les routes-sol des avions doivent être décrites par une série de coordonnées au niveau du plan du sol (horizontal). La source des données relatives aux routes-sol dépend de la disponibilité de données radar pertinentes. Si ces données sont disponibles, une route centrale fiable et ses sous-routes (dispersées) associées et adaptées peuvent être établies au moyen d'une analyse statistique des données. Dans le cas contraire, les routes centrales sont généralement construites d'après des informations procédurales pertinentes, en recourant par exemple aux procédures normalisées de départ aux instruments issues des publications d'informations aéronautiques. Cette description conventionnelle comprend les informations suivantes:

- désignation de la piste d'où part la trajectoire,
- description du début de la trajectoire (début du roulage, seuil de piste),
- longueur des segments (pour les virages, rayons et changements de cap).

(<sup>1</sup>) Les seuils décalés peuvent être pris en compte en définissant les pistes supplémentaires.

Ces informations constituent le minimum requis pour la définition de la route centrale. Cependant, les niveaux de bruit moyens calculés à partir de l'hypothèse selon laquelle les avions suivent des routes nominales peuvent être responsables d'erreurs locales de l'ordre de plusieurs décibels. La dispersion latérale doit donc être représentée grâce aux informations supplémentaires suivantes:

- largeur de la bande (ou autre statistique de dispersion) à chaque extrémité de segment,
- nombre de sous-routes,
- distribution des mouvements perpendiculairement à la route centrale.

#### Données relatives au trafic aérien

Les données relatives au trafic aérien sont les suivantes:

- la plage de temps couverte par les données,
- le nombre de mouvements (décollages et atterrissages) pour chaque type d'avion sur chaque trajectoire de vol, sous-divisé par: 1) le moment de la journée dont dépendent les descripteurs de bruit; 2) pour les décollages, les masses opérationnelles ou les longueurs d'étape; et 3) les procédures opérationnelles, en cas de nécessité.

La plupart des descripteurs de bruit nécessitent que les événements (c'est-à-dire les mouvements d'avion) soient définis comme une moyenne des valeurs quotidiennes durant des plages spécifiques de la journée (par exemple, le jour, le soir et la nuit) — voir les **points 2.7.23 à 2.7.25**.

#### Données topographiques

Le terrain périphérique de la plupart des aéroports est relativement plat. Cependant, ce n'est pas toujours le cas, et la prise en compte des variations d'altitude du terrain par rapport à l'altitude de référence de l'aéroport peut parfois s'avérer nécessaire. L'effet de l'altitude du terrain peut revêtir une grande importance à proximité des routes d'approche que les avions abordent à des altitudes relativement basses.

Les données relatives à l'altitude du terrain sont généralement fournies comme un ensemble de coordonnées (x, y, z) pour une grille rectangulaire d'un certain maillage. Toutefois, les paramètres de la grille d'altitude sont susceptibles de différer de ceux de la grille de calcul du bruit. Le cas échéant, une interpolation linéaire peut être utilisée pour estimer les coordonnées z appropriées de la grille d'altitude.

L'analyse exhaustive des effets du sol présentant d'importantes variations de niveau sur la propagation du son est complexe et dépasse le cadre de la présente méthode. Les défauts de planéité modérés peuvent être pris en compte en supposant un «pseudo-niveau» du sol, autrement dit en augmentant ou diminuant simplement le niveau du plan du sol selon l'altitude locale du sol (relative au plan du sol de référence) à chaque point de réception (voir point 2.7.4).

#### Conditions de référence

Les données internationales de bruit et de performance des avions (ANP) sont normalisées en fonction des conditions de référence standard, largement utilisées pour les études de bruit des aéroports (voir **appendice D**).

#### *Conditions de référence pour les données NPD*

- 1) Pression atmosphérique: 101,325 kPa (1 013,25 mb)
- 2) Absorption atmosphérique: Taux d'atténuation répertoriés au **tableau D-1** ou à l'**appendice D**

- 3) Précipitations: aucune
- 4) Vitesse du vent: moins de 8 m/s (15 nœuds)
- 5) Vitesse sol: 160 nœuds
- 6) Terrain local: plat, sol doux dépourvu de structures larges ou autres objets réfléchissants dans un périmètre de plusieurs kilomètres par rapport au routes-sol de l'avion.

Les mesures normalisées du bruit des avions sont effectuées à 1,2 m au-dessus de la surface du sol. Cependant, aucune prise en compte particulière de ces conditions n'est nécessaire dans la mesure où, à des fins de modélisation, on peut supposer que les niveaux des événements sont relativement insensibles à la hauteur du récepteur <sup>(1)</sup>.

Les comparaisons entre les niveaux estimés et mesurés de bruit des aéroports indiquent que les données NPD peuvent être supposées applicables lorsque les conditions moyennes de la surface proche répondent aux exigences suivantes:

- température de l'air inférieure à 30 °C,
- produit de la température (en °C) et de l'humidité relative (en pour cent) supérieur à 500,
- vitesse du vent inférieur à 8 mètres par seconde (15 nœuds).

Cet ensemble de conditions (ou enveloppe) est supposé comprendre les conditions rencontrées sur la plupart des principaux aéroports du monde. L'**appendice D** fournit une méthode pour la conversion des données NPD en conditions moyennes locales. Cependant, dans les cas extrêmes, il convient de consulter les avionneurs concernés.

#### *Conditions de référence pour les données aérodynamiques et propulsives*

- 1) Altitude de la piste: niveau moyen de la mer
- 2) Température de l'air: 15 °C
- 3) Masse totale au décollage: défini comme une fonction de la longueur d'étape dans la base de données ANP
- 4) Masse totale à l'atterrissage: 90 % de la masse totale maximale à l'atterrissage
- 5) Moteurs délivrant la poussée: tous

Bien qu'elles reposent sur ces conditions, les données ANP aérodynamiques et propulsives peuvent être utilisées telles qu'elles sont répertoriées pour les altitudes de pistes non référencées et les températures moyennes de l'air dans les États membres de la CEAC, sans affecter outre mesure la précision des courbes calculées des niveaux cumulatifs de bruit moyens (voir **appendice B**).

La base de données ANP répertorie les données aérodynamiques pour les masses totales au décollage et à l'atterrissage mentionnées aux points 3) et 4) ci-dessus. Bien que, pour les calculs de bruit cumulatifs, les données aérodynamiques elles-mêmes n'aient pas besoin d'être ajustées pour d'autres masses totales, le calcul des profils de vol de décollage et de la montée initiale, selon les procédures décrites à l'**appendice B**, devrait être fondé sur les masses totales opérationnelles au décollage.

<sup>(1)</sup> Les niveaux calculés à 4 m ou plus sont parfois nécessaires. La comparaison des mesures à 1,2 m et 10 m et le calcul théorique des effets au sol montrent que les variations du niveau d'exposition au bruit avec pondération A sont relativement insensibles à l'altitude du récepteur. Les variations sont généralement inférieures à 1 dB, excepté si l'angle maximal de l'incidence sonore se situe au-dessous de 10° et si le niveau maximal du spectre de pondération A au niveau du récepteur se situe dans un éventail de 200 à 500 Hz. De tels spectres dominés par de faibles fréquences peuvent se présenter, par exemple, à des distances prolongées pour les moteurs à faible taux de dilution et les moteurs à hélice possédant de faibles tons de fréquences discrets.

### 2.7.7. Description de la trajectoire de vol

Le modèle de bruit nécessite que chaque mouvement d'avion distinct soit décrit par sa trajectoire de vol dans un espace tridimensionnel, et par la variation du régime moteur et de la vitesse le long de la trajectoire. En règle générale, un mouvement modélisé est représentatif du trafic aéroportuaire total, par exemple, un nombre de mouvements identiques (hypothétiques), avec le même type d'avion, la même masse et la même procédure d'exploitation, sur une route-sol unique. Cette trajectoire peut elle-même être l'une des nombreuses «sous-trajectoires» dispersées servant à modéliser ce qui correspond véritablement à une enveloppe de trajectoires d'une route spécifique. Les enveloppes de routes, les profils verticaux et les paramètres opérationnels de l'avion sont tous déterminés d'après les données du scénario — conjointement avec les caractéristiques des avions de la base de données ANP.

Les données du rapport bruit-puissance-distance (dans la base de données ANP) définissent le bruit d'un avion traversant une trajectoire de vol horizontale idéalisée d'une longueur infinie à une vitesse et une puissance constantes. Afin d'adapter ces données aux trajectoires de vol de la région terminale, caractérisées par de fréquents changements de régime moteur et de vitesse, chaque trajectoire est divisée en segments de droite finis. Les contributions sonores de chacun d'entre eux sont ensuite additionnées à la position de l'observateur.

### 2.7.8. Rapports entre la trajectoire de vol et la configuration de vol

La trajectoire de vol du mouvement d'un avion dans un espace tridimensionnel détermine les aspects géométriques du rayonnement et de la propagation du son entre l'avion et l'observateur. Avec une masse et dans des conditions atmosphériques spécifiques, la trajectoire de vol est entièrement régie par les séquences de variation du régime moteur, de la position des volets et de l'altitude, paramétrées par le pilote (ou un système de gestion automatique de vol), afin de suivre les routes et de maintenir les altitudes spécifiées par l'ATC, conformément aux procédures d'exploitation standard de l'exploitant aérien. Ces instructions et actions divisent la trajectoire de vol en phases distinctes qui forment des segments naturels. Dans le plan horizontal, elles impliquent des segments de droites — qui correspondent aux distances entre les virages — et des virages, définis par leur rayon et le changement de cap. Dans le plan vertical, les segments sont définis par le temps et/ou la distance nécessaire pour atteindre les changements requis de vitesse et/ou d'altitude selon des paramètres de puissance et de braquage des volets spécifiques. Les coordonnées verticales correspondantes sont souvent appelées *points du profil*.

Pour les besoins de la modélisation du bruit, les informations relatives à la trajectoire de vol sont générées soit par la *synthèse* d'un ensemble d'étapes procédurales (c'est-à-dire celles suivies par le pilote), soit par l'*analyse* des données radar (mesures physiques des trajectoires de vol concernées). Quelle que soit la méthode choisie, les formes horizontale et verticale de la trajectoire de vol sont converties sous forme de segments. Sa forme horizontale (pour une projection au sol bidimensionnelle) correspond à la *route-sol* définie par les itinéraires au départ ou à l'arrivée. Sa forme verticale, fournie par les points du profil, et les paramètres de vol associés, comme la vitesse, l'angle de roulis et le régime moteur, définissent ensemble le *profil de vol* qui dépend de la *procédure de vol*, normalement recommandée par l'avionneur et/ou l'exploitant. La trajectoire de vol est obtenue par la fusion du profil de vol bidimensionnel et de la route-sol bidimensionnelle, généralement pour former une série de segments de trajectoire de vol tridimensionnel.

Il convient de garder à l'esprit que, pour un ensemble donné d'étapes procédurales, le profil dépend de la route-sol: par exemple, pour une poussée et une vitesse identiques, la vitesse ascensionnelle fluctue moins pour des virages que pour un vol rectiligne. Bien que la présente orientation explique comment prendre en compte cet aspect, notons qu'une telle procédure impliquant habituellement d'importants surcoûts de calcul, les utilisateurs peuvent préférer supposer que, pour les besoins de la modélisation du bruit, le profil de vol et la route-sol peuvent être traités comme des entités indépendantes, en d'autres termes, que le profil de montée ne subit les effets d'aucun virage. Cependant, il importe de déterminer les variations de l'angle de roulis liées aux virages, dans la mesure où elles influent sur la directivité de l'émission du son.

Le bruit reçu d'un segment de la trajectoire de vol dépend de sa géométrie par rapport au point d'observation et de la configuration de vol de l'avion. Ces deux paramètres sont toutefois interdépendants — une modification de l'un entraîne des variations de l'autre. Il est donc nécessaire de garantir que, en tous points de la trajectoire, la configuration de l'avion est cohérente avec son mouvement le long de la trajectoire.

Dans une synthèse trajectographique, c'est-à-dire en construisant une trajectoire de vol d'après un ensemble d'«étapes procédurales» décrivant les sélections du pilote en termes de régime moteur, d'angle de braquage des volets, et de vitesse d'accélération/verticale, le calcul porte sur le mouvement. Pour une analyse trajectographique, il s'agit du cas inverse: le régime moteur doit être déterminé d'après le mouvement observé d'un avion — déterminé à partir des données radar, ou parfois, dans le cadre d'études spéciales, à partir des données des enregistreurs de vol des avions (bien que, dans ce dernier cas, le régime moteur fasse généralement partie des données). Quelle que soit la situation, il est nécessaire d'obtenir une définition exhaustive de l'état de l'avion pour tous les points finaux des segments, qui doit être prise en compte dans le calcul du bruit.

L'**appendice B** présente les équations qui mettent en relation les forces agissant sur les avions, et explique la façon dont elles sont résolues pour définir les propriétés des segments qui forment les trajectoires de vol. Les différents types de segment (abordés dans les sections de l'appendice B) correspondent aux phases suivantes: *roulage au décollage (B5), montée à vitesse constante (B6), réduction de la poussée (B7), montée accélérée et rentrée des volets (B8), montée accélérée après rentrée des volets (B9), descente et décélération (B10) et approche finale (B11)*.

Inévitablement, la modélisation pratique implique divers degrés de simplification — dont les exigences dépendent de la nature de l'application, la signification des résultats et les ressources disponibles. Une hypothèse générale simplifiée, même pour les applications les plus complexes, consiste à considérer que, lors de la prise en compte de la dispersion de la trajectoire de vol, les profils et les configurations de vol sur toutes les sous-routes sont les mêmes que ceux de la route centrale. 6 sous-routes au moins devant être utilisées (voir point 2.7.11), cette approche permet de réduire considérablement les calculs nécessaires, avec une perte de fidélité extrêmement faible.

#### 2.7.9. Sources des données de trajectoire de vol

##### Données radar

Même si les enregistreurs de données de vol des avions peuvent fournir des données de très haute qualité, ces dernières sont difficiles à obtenir pour les besoins de la modélisation du bruit, et les données radar doivent être considérées comme étant la source d'information la plus accessible en matière de trajectoires de vol réelles au niveau des aéroports <sup>(1)</sup>. Dans la mesure où elles sont généralement disponibles grâce aux systèmes de contrôle des trajectoires de vol et du bruit des avions, elles servent désormais de plus en plus à la modélisation du bruit.

Les radars de contrôle secondaires présentent la trajectoire de vol d'un avion comme une séquence des coordonnées de points à des intervalles équivalant à la période de rotation du balayage du radar, généralement de 4 secondes. La position de l'avion au-dessus du sol est déterminée selon des coordonnées polaires — définies par une dimension angulaire et une dimension radiale — d'après le retour radar réfléchi (bien que le système de contrôle le transforme normalement en coordonnées cartésiennes). Sa hauteur <sup>(2)</sup> est mesurée par le propre altimètre de l'avion et transmise à l'ordinateur de l'ATC par transpondeur déclenché par radar. Cependant, les erreurs inhérentes de positions dues aux interférences radio et à la résolution limitée des données sont notables (mais n'ont, malgré tout, aucune conséquence pour les objectifs du contrôle du trafic aérien). Par conséquent, si la trajectoire de vol d'un mouvement spécifique d'un avion est nécessaire, les données doivent être lissées au moyen d'une technique d'ajustement des courbes. Cependant, s'agissant de la modélisation du bruit, une description statistique de la bande de trajectoire de vol est généralement exigée, par exemple, pour tous les mouvements sur une route ou simplement pour ceux d'un type d'avion spécifique. Les erreurs de mesures associées aux statistiques correspondantes peuvent alors être rendues minimales grâce à des processus d'établissement de la moyenne.

##### Étapes procédurales

Dans de nombreux cas, il est impossible de modéliser les trajectoires de vol d'après les données radar, dans la mesure où les ressources nécessaires ne sont pas disponibles ou parce que le scénario est de type prévisionnel et n'offre aucune donnée radar pertinente.

En l'absence de données radar, ou lorsque leur utilisation n'est pas pertinente, il convient d'estimer les trajectoires de vol sur la base des éléments d'orientation opérationnels, comme par exemple les instructions fournies aux équipages via les publications AIP et les manuels techniques des avions — appelées ici *étapes procédurales*. Des conseils en matière d'interprétation de ces éléments doivent être au besoin sollicités auprès des autorités de contrôle du trafic aérien et des exploitants.

<sup>(1)</sup> Les enregistreurs de données de vol des avions fournissent des données opérationnelles exhaustives. Cependant, ces dernières ne sont pas aisément accessibles et s'avèrent coûteuses à fournir. En conséquence, leur utilisation à des fins de modélisation se limite normalement à des projets et des études de développement de modèles spécifiques.

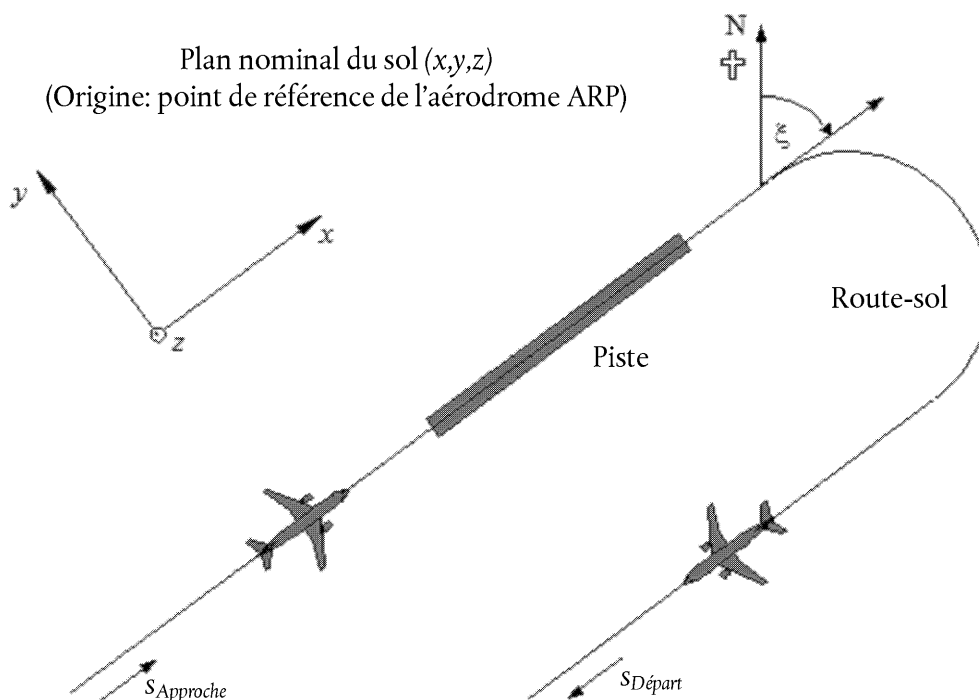
<sup>(2)</sup> Généralement mesurée comme l'altitude au-dessus du niveau moyen de la mer (c'est-à-dire liée à 1 013 mb) et corrigée par rapport à l'altitude de l'aéroport par le système de contrôle de l'aéroport.

## 2.7.10. Systèmes de coordonnées

## Le système de coordonnées locales

Le système de coordonnées locales  $(x,y,z)$  est un système cartésien, dont l'origine  $(0,0,0)$  correspond au point de référence de l'aérodrome  $(X_{ARP}, Y_{ARP}, Z_{ARP})$ , où  $Z_{ARP}$  est l'altitude de référence de l'aéroport, et  $z = 0$  définit le plan nominal du sol selon lequel sont généralement calculées les courbes de niveau de bruit. Le cap de l'avion  $\xi$  dans le plan  $xy$  est mesuré dans le sens horaire d'après le nord magnétique (voir **figure 2.7.b**). Tous les points d'observation, grilles de calcul de base et points des courbes de niveau de bruit sont exprimés selon les coordonnées locales <sup>(1)</sup>.

Figure 2.7.b

Système de coordonnées locales  $(x,y,z)$  et coordonnée  $s$  fixe de la route-sol

## Le système de coordonnées fixes de la route-sol

Ces coordonnées sont spécifiques à chaque route-sol et représentent la distance  $s$  mesurée le long de la trajectoire dans la direction du vol. Pour les trajectoires de départ,  $s$  est mesurée à partir du début du roulage, et à partir du seuil de piste pour les trajectoires d'approche. Par conséquent,  $s$  devient négative dans les zones situées

- derrière le début du roulage au décollage, et
- avant le franchissement du seuil de piste pour les approches.

<sup>(1)</sup> Généralement, les axes des coordonnées locales sont parallèles à l'axe de la carte sur laquelle sont dessinées les courbes de niveau de bruit. Toutefois, il est parfois utile de choisir l'axe  $x$  parallèle à la piste, afin d'obtenir des courbes symétriques sans utiliser de grille informatique de maillage fin (voir les **points 2.7.26 à 2.7.28**).

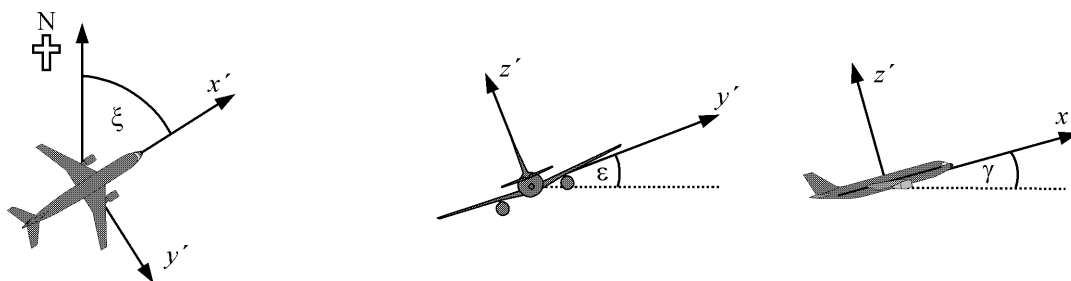
Les paramètres opérationnels de vol, tels que la hauteur, la vitesse et le régime moteur, sont exprimés comme des fonctions de  $s$ .

Le système de coordonnées de l'avion

L'origine du système cartésien de coordonnées fixes de l'avion  $(x', y', z')$  correspond à la position réelle de l'avion. Le système d'axes est défini par l'angle de montée  $\gamma$ , le sens du vol  $\xi$  et l'angle de roulis  $\varepsilon$  (voir **figure 2.7.c**).

Figure 2.7.c

### Système de coordonnées fixes de l'avion $(x', y', z')$



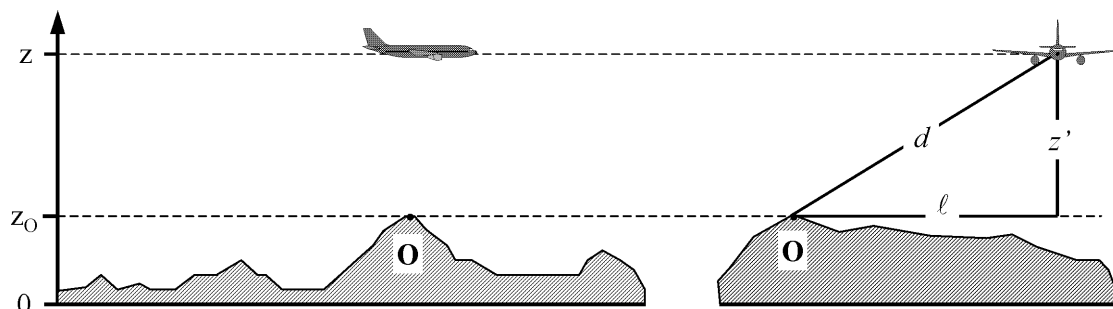
Prise en considération de la topographie

Dans les cas où la topographie doit être prise en compte (voir 2.7.6), la coordonnée  $z$  de la hauteur de l'avion doit être remplacée par  $z' = z - z_0$  (où  $z_0$  correspond à la coordonnée  $z$  du point d'observation O) lors de l'estimation de la distance de propagation  $d$ . La géométrie entre l'avion et le point d'observation est illustrée par la **figure 2.7.d**. S'agissant des définitions de  $d$  et  $\ell$ , veuillez consulter les points 2.7.14 à 2.7.19 <sup>(1)</sup>.

Figure 2.7.d

### Hauteur du sol le long (à gauche) et de manière latérale (à droite) à la route-sol.

Le plan nominal du sol  $z = 0$  passe par le point de référence de l'aérodrome. O correspond au point d'observation.



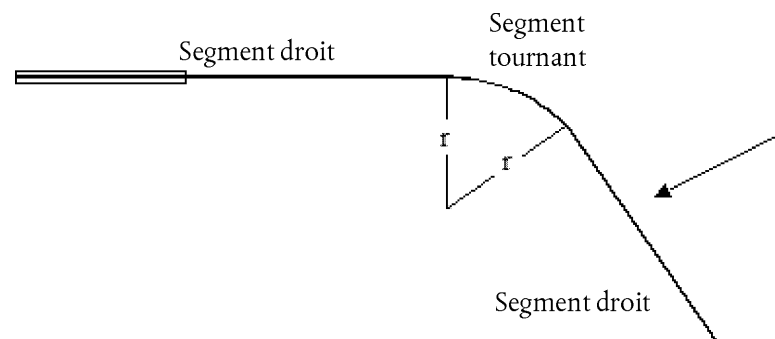
<sup>(1)</sup> Il est possible que le point d'observation se trouve au-dessus de l'avion si le sol présente des variations de niveau. Le cas échéant, pour le calcul de la propagation du son,  $z'$  (et l'angle d'altitude correspondant  $\beta$  — voir points 2.7.14 à 2.7.19) est égal à zéro.

## 2.7.11. Route-sols

## Routes centrales

La route centrale définit le centre de la bande (ou enveloppe) de routes suivie par l'avion selon un itinéraire spécifique. Pour les besoins de la modélisation du bruit, elle est définie soit (i) par des données opérationnelles normatives, telles que les instructions fournies aux pilotes par les publications AIP, soit (ii) par une analyse statistique des données radar, comme l'explique le point 2.7.9 — lorsque ces dernières sont disponibles et adaptées aux besoins de l'étude de modélisation. La construction de la trajectoire d'après les instructions opérationnelles est normalement relativement simple, compte tenu du fait que ces dernières recommandent une séquence de segments soit droits, définis par leur longueur et leur cap, soit en arcs de cercles, définis par l'angle du virage et le changement de cap (voir **figure 2.7.e** à titre d'illustration).

Figure 2.7.e

**Géométrie de la route-sol en termes de virages et de segments droits**

L'adaptation d'une route centrale avec les données radar est plus complexe pour deux raisons: d'une part, les virages sont effectués à des angles différents; d'autre part, la ligne est dissimulée par la dispersion des données. Comme expliqué plus haut, des procédures formalisées n'ayant pas encore été élaborées, il est d'usage de regrouper les segments, droits ou courbes, pour les positions moyennes calculées d'après les sections transversales des trajectoires radar par intervalle le long de la route. Des algorithmes informatiques permettant de réaliser ce travail devraient être élaborés à l'avenir mais, à l'heure actuelle, il incombe au modélisateur de décider de la manière la plus efficace d'utiliser les données disponibles. L'un des facteurs majeurs réside dans le fait que la vitesse de l'avion et le rayon des virages déterminent l'angle de roulis et, comme l'expliquera le point 2.7.19, les asymétries de la propagation du son par rapport aux trajectoires de vol sont responsables du bruit au sol, de même que la position de la trajectoire de vol elle-même.

En théorie, les transitions continues entre les segments droits et les virages nécessiteraient une application instantanée de l'angle de roulis  $\epsilon$ , ce qui est physiquement impossible. En réalité, l'angle de roulis nécessite un temps fini pour atteindre la valeur requise pour maintenir une vitesse et un rayon de virage  $r$ , spécifiques, durant lequel le rayon du virage se resserre d'une valeur infinie à la valeur  $r$ . Pour les besoins de la modélisation, il n'est pas nécessaire de tenir compte de la transition du rayon, et l'angle de roulis peut être supposé augmenter de manière stable depuis la valeur 0 (ou une autre valeur initiale) jusqu'à la valeur  $\epsilon$  au début du virage et passer à la valeur suivante de  $\epsilon$  à la fin du virage <sup>(1)</sup>.

*Dispersion des routes*

Lorsque les conditions le permettent, les définitions de la dispersion latérale et des sous-routes représentatives doivent reposer sur une expérience passée et pertinente de l'aéroport d'étude, normalement via une analyse des échantillons de données radar. La première étape consiste à grouper les données par route. Les routes de décollage sont caractérisées par une dispersion latérale sensible qui, pour une modélisation précise, doit être prise en compte. Les routes d'atterrissage forment normalement une bande très étroite de part et d'autre de la trajectoire d'approche. Il est alors généralement suffisant de représenter les atterrissages par une route unique. En revanche, si les bandes d'approche sont larges dans la région étudiée, il peut s'avérer nécessaire de les représenter par des sous-routes de la même façon que les routes de décollage.

<sup>(1)</sup> La meilleure façon de déployer cette procédure est laissée à l'appréciation de l'utilisateur, dans la mesure où elle dépendra de la façon dont les rayons de virage seront définis. Lorsque le point de départ correspond à une séquence de segments droits ou courbes, une option relativement simple consiste à insérer les segments de transition à l'angle de roulis au début et à la fin du virage que l'avion aborde à un taux constant (par exemple, exprimé en  $^{\circ}/m$  ou  $^{\circ}/s$ ).

Il est d'usage de traiter les données d'une route unique comme un échantillon d'une population unique, autrement dit elle est représentée par une route centrale et un ensemble de sous-routes dispersées. Cependant, si l'examen indique que les données des différentes catégories d'avion et d'opération diffèrent sensiblement (par exemple, une différence notable de rayon selon la taille de l'avion), il est souhaitable d'établir des sous-divisions supplémentaires des données. Pour chacune des bandes, les dispersions latérales des trajectoires sont déterminées comme une fonction de la distance à partir de l'origine. Les mouvements sont ensuite répartis entre une route centrale et un nombre adapté de sous-routes dispersées sur la base de statistiques de distribution.

Du fait qu'il apparaît normalement peu judicieux de ne pas tenir compte des effets de dispersion des trajectoires, en l'absence de données de bandes mesurées, une dispersion latérale nominale de manière horizontale et perpendiculaire à la route centrale devrait être définie par une fonction de distribution conventionnelle. Les valeurs calculées des indices de bruit ne sont pas particulièrement sensibles à la forme précise de la distribution latérale: la distribution normale (gaussienne) fournit une description adéquate de nombreuses bandes mesurées par radar.

Une approximation discrète de 7 points est généralement utilisée (c'est-à-dire représentant la dispersion latérale par 6 sous-routes espacées de manière régulière de part et d'autre de la route centrale). L'espacement des sous-routes dépend de l'écart type de la fonction de dispersion latérale.

S'agissant des routes normalement distribuées avec un écart type  $S$ , 98,8 % des routes se situent dans un couloir dont les limites se trouvent à  $\pm 2,5 \cdot S$ . Le **tableau 2.7.a** fournit l'espacement de six sous-routes et le pourcentage du total des mouvements attribués à chacune d'entre elles. L'**appendice C** fournit les valeurs pour diverses autres sous-routes.

Table 2.7.a

**Pourcentage des mouvements d'une fonction de distribution normale selon un écart  $S$  standard pour 7 sous-routes (la route centrale correspond à la sous-route 1).**

| Numéro des sous-routes | Position de des sous-routes | Pourcentage de mouvements par sous-route |
|------------------------|-----------------------------|--|
| 7                      | $- 2,14 \cdot S$            | 3 %                                      |
| 5                      | $- 1,43 \cdot S$            | 11 %                                     |
| 3                      | $- 0,71 \cdot S$            | 22 %                                     |
| 1                      | 0                           | 28 %                                     |
| 2                      | $0,71 \cdot S$              | 22 %                                     |
| 4                      | $1,43 \cdot S$              | 11 %                                     |
| 6                      | $2,14 \cdot S$              | 3 %                                      |

L'écart type  $S$  est une fonction de la coordonnée  $s$  le long de la route centrale. Il peut être spécifié — avec la description de la route centrale — dans la fiche technique de la trajectoire de vol à l'**appendice A3**. En l'absence de tout indicateur de l'écart type — par exemple, d'après les données radar décrivant les trajectoires de vol comparables — les valeurs suivantes sont recommandées:

Pour les routes comprenant des virages de moins de 45°:

$$\begin{aligned}
 S(s) &= 0,055 \cdot s - 150 && \text{pour } 2\,700 \text{ m} \leq s \leq 30\,000 \text{ m} \\
 S(s) &= 1\,500 && \text{pour } s > 30\,000 \text{ m}
 \end{aligned}
 \tag{2.7.1}$$

Pour les routes comprenant des virages de plus de 45°:

$$\begin{aligned} S(s) &= 0,128 \cdot s - 420 && \text{pour } 3\,300 \text{ m} \leq s \leq 15\,000 \text{ m} \\ S(s) &= 1\,500 \text{ m} && \text{pour } s > 15\,000 \text{ m} \end{aligned} \quad (2.7.2)$$

Pour des raisons pratiques,  $S(s)$  est supposé être nul entre le début du roulage et  $s = 2\,700$  m ou  $s = 3\,300$  m en fonction de l'angle du virage. Les routes comprenant plus d'un virage devraient être traitées selon l'équation 2.7.2. Pour les atterrissages, la dispersion latérale peut être négligée pour les 6 000 m précédant l'atterrissage.

#### 2.7.12. Profil de vols

Le profil de vol est une description du mouvement de l'avion dans un plan vertical au-dessus de la route-sol, en termes de position, vitesse, angle de roulis et régime moteur. L'une des tâches les plus importantes qui incombe à l'utilisateur du modèle consiste à définir les profils répondant parfaitement aux exigences de l'application de la modélisation — de manière efficace, sans user de façon excessive du temps et des ressources. Naturellement, pour atteindre ce degré de précision, les profils doivent refléter fidèlement les opérations aériennes qu'ils sont censés représenter, ce qui requiert l'acquisition d'informations fiables concernant les conditions atmosphériques, les types et versions d'avion, les masses opérationnelles et les procédures d'exploitation — variations de poussée et réglage des volets selon la vitesse et la hauteur. La moyenne de ces informations doit être calculée pour la ou les périodes d'étude. Souvent, de telles informations détaillées ne sont pas disponibles, ce qui ne constitue pas nécessairement un obstacle. Même si elles sont disponibles, le modélisateur doit porter un jugement lui permettant d'établir un équilibre entre la précision et le détail des informations entrantes d'une part, et les besoins et utilisations des courbes d'autre part.

La synthèse des profils de vol issue des «étapes procédurales» obtenues d'après la base de données ANP ou des exploitants aériens est décrite au point 2.7.13 et à l'**appendice B**. Ce processus, qui représente habituellement l'unique ressource à la portée du modélisateur lorsqu'aucune donnée radar n'est disponible, fournit à la fois la géométrie de la trajectoire de vol, la vitesse associée et les variations de poussée. On pourrait normalement supposer que tous les avions (identiques) sur une bande, qu'ils soient attribués à une route centrale ou une sous-route dispersée, suivent le profil de la route centrale.

Hormis la base de données ANP, qui fournit des informations par défaut sur les étapes procédurales, les exploitants aériens représentent la meilleure source d'informations fiables, à savoir les procédures qu'ils utilisent, ainsi que les masses générales. Pour les vols individuels, l'enregistreur de données de vol de l'avion (FDR) représente la source d'étalonnage d'après laquelle sont obtenues toutes les informations pertinentes. Cependant, même si de telles données sont disponibles, le travail de prétraitement reste ardu. Par conséquent, en appliquant les économies de modélisation nécessaires, la solution pratique normale consiste à poser des hypothèses étayées concernant les masses moyennes et les procédures d'exploitation.

Certaines précautions doivent être prises avant d'avoir recours aux étapes procédurales *par défaut* fournies par la base de données ANP (habituellement supposées lorsque les procédures réelles ne sont pas connues). Il s'agit de procédures normalisées largement suivies, mais qui peuvent ou non être utilisées par les exploitants dans certains cas. L'un des facteurs majeurs est la définition du régime moteur au décollage (et parfois à la montée), qui peut dépendre dans une certaine mesure des circonstances. En particulier, les régimes moteur sont couramment réduits au moment du départ (à partir du maximum disponible), afin d'allonger la vie des moteurs. L'**appendice B** fournit des éléments d'orientation sur la représentation de la pratique type, qui permet généralement de produire des courbes plus réalistes qu'avec une hypothèse relative au régime moteur total. Cependant, si, par exemple, la piste est trop courte et/ou les températures moyennes de l'air sont élevées, la pleine poussée constituera probablement une hypothèse plus réaliste.

Pour la modélisation des scénarios réels, une meilleure précision peut être obtenue en utilisant des données radar pour remplacer les informations nominales. Les profils de vol peuvent être déterminés d'après les données radar de la même manière que pour les routes centrales — mais seulement après avoir divisé le trafic selon les types et versions d'avion, et les masses ou les longueurs d'étape (mais pas par dispersion), afin de fournir, pour chaque sous-groupe, un profil moyen de la hauteur et de la vitesse par rapport à la distance au sol parcourue. Une fois encore, en le fusionnant ensuite avec les routes-sol, ce profil unique correspond normalement de la même manière à la route centrale et aux sous-routes.

Connaissant la masse de l'avion, la variation de la vitesse et du régime moteur peut être calculée via une solution graduelle aux équations du mouvement. Avant de procéder à ce calcul, il convient de prétraiter les données pour minimiser les effets des erreurs radar susceptibles d'altérer la fiabilité des estimations d'accélération. Dans chaque cas, la première étape consiste à redéfinir le profil en adaptant les segments de droite pour

représenter les étapes pertinentes du vol. Autrement dit, chaque segment est classé de façon appropriée dans des catégories telles que le roulage, la montée ou la descente, la réduction de poussée, ou l'accélération/ décélération avec ou sans variation de position des volets. La masse de l'avion et les conditions atmosphériques font également partie des données entrantes requises.

Le point 2.7.11 précise qu'il importe de rendre compte de la dispersion latérale des trajectoires de vol autour des itinéraires nominaux ou centraux. Les échantillons des données radar sont caractérisés par des dispersions similaires des trajectoires de vol dans le plan vertical. Cependant, il n'est pas courant de modéliser la dispersion verticale comme une variable indépendante. Elle est due principalement aux différences de masse des avions et aux procédures d'exploitation prises en compte lors du prétraitement des données entrantes du trafic.

### 2.7.13. Construction des segments de la trajectoire de vol

Chaque trajectoire de vol doit être définie selon un ensemble de coordonnées de segments (nœuds) et de paramètres de vol. Le point de départ consiste à déterminer les coordonnées des segments de la route-sol. Le profil de vol est ensuite calculé, en conservant à l'esprit que pour un ensemble donné d'étapes procédurales, le profil dépend de la route-sol: par exemple, pour un régime et une vitesse identiques, la vitesse ascensionnelle de l'avion est inférieure pour un vol comportant des virages que pour un vol rectiligne. Enfin, les segments de la trajectoire de vol tridimensionnelle sont construits par la fusion du profil de vol bidimensionnel, et de la route-sol bidimensionnelle <sup>(1)</sup>.

#### Route-sol

Une route-sol, qu'elle soit centrale ou une sous-route dispersée, est définie par une série de coordonnées (x,y) dans le plan du sol (par exemple, à partir des informations radar) ou par une séquence de commandes de guidage décrivant des segments de droite et des arcs de cercle (virages de rayon défini  $r$  et changement de cap  $\Delta\xi$ ).

Pour la modélisation par segmentation, un arc est représenté par une séquence de segments de droite correspondant à des sous-arcs. Bien que ces segments n'apparaissent pas explicitement sur les segments de la route-sol, leur définition est influencée par l'inclinaison de l'avion pendant les virages. L'**appendice B4** explique comment calculer les angles de roulis au cours d'un virage stabilisé, mais il va de soi que ces angles ne sont en réalité pas appliqués ou supprimés instantanément. La façon de traiter les transitions entre les segments de vol rectilignes et courbes, ou entre un virage et un autre immédiatement séquentiel, n'est pas énoncée. En règle générale, les détails, qui sont laissés à l'appréciation de l'utilisateur (voir point 2.7.11), n'auront probablement qu'un effet négligeable sur les courbes de niveau de bruit finales. L'exigence réside principalement dans le fait d'éviter les discontinuités trop marquées aux extrémités des virages, ce qui peut être obtenu aisément, par exemple, en insérant de courts segments de transition par lesquels l'angle de roulis varie de façon linéaire avec la distance. Uniquement dans le cas spécifique où un virage particulier posséderait un effet dominant sur les courbes de niveau de bruit finales, il serait nécessaire de modéliser la dynamique de la transition de manière plus réaliste, afin d'établir un rapport entre l'angle d'inclinaison et les types d'avion particulier, et d'adopter une vitesse angulaire de roulis adaptée. Il est ici suffisant d'indiquer que les sous-arcs finaux  $\Delta\xi_{\text{trans}}$  de chaque virage dépendent des exigences de variation de l'angle de roulis. Le reste de l'arc avec le changement de cap de  $\Delta\xi - 2 \cdot \Delta\xi_{\text{trans}}$  degrés est divisé en  $n_{\text{sub}}$  sous-arcs selon l'équation suivante:

$$n_{\text{sub}} = \text{int}(1 + (\Delta\xi - 2 \cdot \Delta\xi_{\text{trans}})/30) \quad (2.7.3)$$

où  $\text{int}(x)$  est une fonction qui renvoie à la forme entière de  $x$ . Le changement de cap  $\Delta\xi_{\text{sub}}$  de chaque sous-arc est alors calculé ainsi

$$\Delta\xi_{\text{sub}} = (\Delta\xi - 2 \cdot \Delta\xi_{\text{trans}})/n_{\text{sub}} \quad (2.7.4)$$

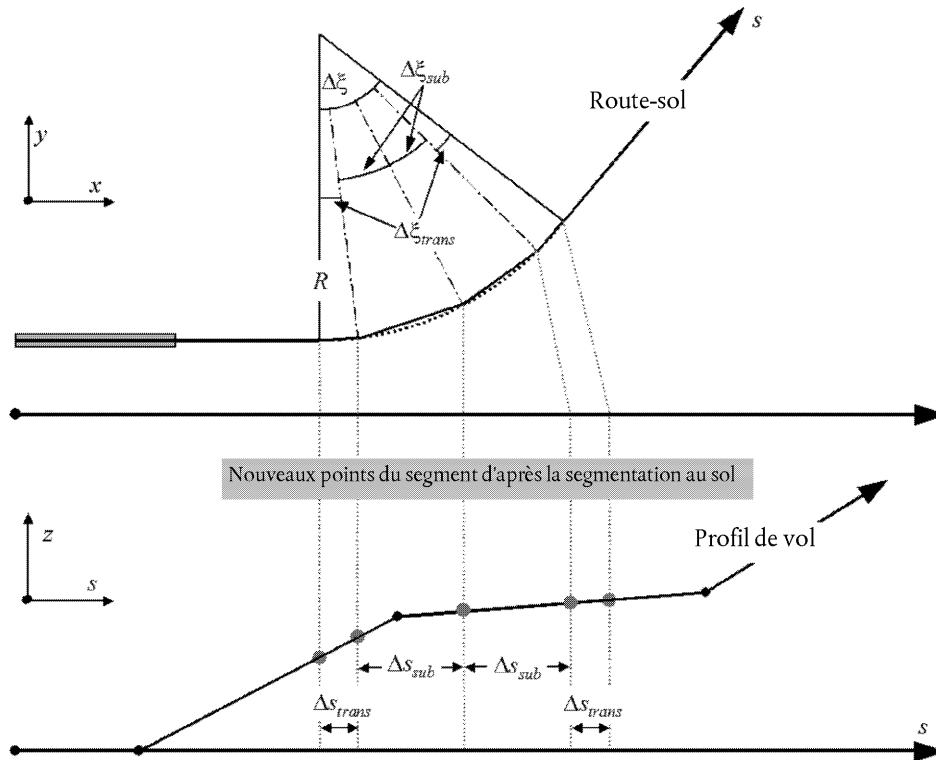
où  $n_{\text{sub}}$  doit être suffisamment grand pour garantir que  $\Delta\xi_{\text{sub}} \leq 30$  degrés. La segmentation d'un arc (excepté la transition de fin de sous-segments) est illustrée à la **figure 2.7.f** <sup>(2)</sup>.

<sup>(1)</sup> Pour cela, la longueur totale de la route-sol doit toujours excéder celle du profil de vol. En cas de nécessité, ce rapport peut être obtenu par l'ajout de segments de droites de longueur adaptée au dernier segment de la route-sol.

<sup>(2)</sup> Définie de cette façon simple, la longueur totale de la trajectoire segmentée est légèrement inférieure à celle de la trajectoire circulaire. Toutefois, l'erreur de la courbe produite est négligeable si les incréments angulaires n'excèdent pas 30°.

Figure 2.7.f

Construction de segments d'une trajectoire de vol, par la division d'un virage en segments de longueur  $\Delta s$  (schéma du haut en plan horizontal, schéma du bas en plan vertical)



### Profil de vol

Les paramètres décrivant chaque segment du profil de vol au début (suffixe 1) et à la fin (suffixe 2) du segment sont les suivants:

$s_1, s_2$  la distance le long de la route-sol,

$z_1, z_2$  la hauteur de l'avion,

$V_1, V_2$  la vitesse sol,

$P_1, P_2$  le paramètre de puissance lié au bruit (correspondant à celui à partir duquel sont définies les courbes NPD), et

$\varepsilon_1, \varepsilon_2$  l'angle de roulis.

Pour établir un profil de vol d'après un ensemble d'étapes procédurales (*synthèse de la trajectoire de vol*), les segments sont construits par séquence, afin de remplir les conditions requises aux points finaux. Les paramètres des points finaux de chaque segment deviennent les paramètres des points initiaux du segment suivant. Pour tout calcul de segment, les paramètres de départ sont connus; les conditions finales requises sont spécifiées par les étapes procédurales, elles-mêmes définies soit par les données ANP par défaut, soit par l'utilisateur (par exemple, à partir des manuels de vol des avions). Les conditions finales sont généralement la hauteur et la vitesse. Le travail de construction du profil consiste à déterminer la distance de la trajectoire étudiée si ces conditions sont remplies. Les paramètres non définis sont déterminés via les calculs de performance de vol décrits à l'**appendice B**.

Si la trajectoire de vol est rectiligne, les points du profil et les paramètres de vol associés peuvent être déterminés indépendamment de la route-sol (l'angle d'inclinaison est toujours de 0°). Cependant, les routes-sol sont rarement rectilignes. Elles comprennent généralement des virages et, afin d'obtenir les meilleurs résultats, ces derniers doivent être pris en compte pour déterminer le profil de vol bidimensionnel, si nécessaire en divisant les segments du profil au niveau des nœuds de la route-sol pour y incorporer les variations d'angles de roulis. En règle générale, la longueur du segment qui suit est initialement inconnue. Elle est calculée par la suite en supposant provisoirement que l'angle d'inclinaison ne présente aucun changement. Si le segment provisoire couvre un ou plusieurs nœuds de la route-sol, le premier se trouvant en  $s$ , c'est-à-dire  $s_1 < s < s_2$ , le segment est tronqué en  $s$ , où sont calculés les paramètres par interpolation (voir ci-dessous). Ils deviennent les paramètres des points finaux du segment actuel et les paramètres des points initiaux du nouveau segment — qui répond toujours aux mêmes conditions cibles finales. Si aucun nouveau nœud de la route-sol n'apparaît, alors le segment provisoire est confirmé.

Si les effets des virages sur le profil de vol ne doivent pas être pris en compte, on adopte la formule «vol rectiligne, segment unique» même si les informations relatives aux angles de roulis sont conservées pour un usage ultérieur.

Que les effets liés aux virages soient ou non modélisés intégralement, chaque trajectoire de vol tridimensionnelle est obtenue par la fusion du profil de vol bidimensionnel, et de la route-sol bidimensionnelle. Le résultat est une séquence d'ensembles de coordonnées  $(x,y,z)$ , chacun correspondant soit à un nœud de la route-sol segmentée, soit à un nœud du profil de vol, soit les deux. Le profil de vol est accompagné des valeurs correspondantes de la hauteur  $z$ , la vitesse sol  $V$ , l'angle d'inclinaison  $\varepsilon$  et du régime moteur  $P$ . Pour un point  $(x,y)$  de la trajectoire se situant entre les points finaux d'un segment du profil de vol, les paramètres de vol sont interpolés de la manière suivante:

$$z = z_1 + f \cdot (z_2 - z_1) \quad (2.7.5)$$

$$V = \sqrt{V_1^2 + f \cdot (V_2^2 - V_1^2)} \quad (2.7.6)$$

$$\varepsilon = \varepsilon_1 + f \cdot (\varepsilon_2 - \varepsilon_1) \quad (2.7.7)$$

$$P = \sqrt{P_1^2 + f \cdot (P_2^2 - P_1^2)} \quad (2.7.8)$$

où

$$f = (s - s_1)/(s_2 - s_1) \quad (2.7.9)$$

Il convient de remarquer que, tandis que  $z$  et  $\varepsilon$  sont supposés varier de manière linéaire en fonction de la distance,  $V$  et  $P$  sont censés quant à eux varier de manière linéaire en fonction du temps (il s'agit en d'autres termes d'une accélération constante <sup>(1)</sup>).

En faisant correspondre les segments du profil de vol aux données radar (*analyse trajectographique*), toutes les distances, hauteurs, vitesses et angles de roulis des points finaux sont directement déterminés d'après les données. Seuls les régimes moteur doivent être calculés à l'aide des équations de performance. Dans la mesure où les coordonnées de la route-sol et du profil de vol peuvent également correspondre de manière appropriée, les calculs sont généralement relativement simples.

#### Segmentation du roulage au décollage

Au décollage, compte tenu que l'avion accélère entre le point de lâché des freins (également appelé début du roulage ou SOR) et le point de décollage, la vitesse varie considérablement sur une distance de 1 500 à 2 500 m, de 0 à 80 ou 100 m/s.

<sup>(1)</sup> Même si les régimes moteur restent constants le long d'un segment, la poussée et l'accélération peuvent changer compte tenu de la variation de la densité de l'air avec l'altitude. Toutefois, ces variations sont normalement négligeables à des fins de modélisation du bruit.

Par conséquent, le roulage au décollage se divise en segments de longueurs variables, au cours desquels la vitesse de l'avion varie avec un incrément spécifique  $\Delta V$  d'environ 10 m/s (soit environ 20 nœuds). Malgré sa variation au cours du roulage précédant le décollage, une hypothèse d'accélération constante peut s'avérer adaptée à cette fin. Dans ce cas, pour la phase de décollage,  $V_1$  est la vitesse initiale,  $V_2$  est la vitesse de décollage,  $n_{TO}$ , le nombre de segments de décollages et  $s_{TO}$  est la distance de décollage équivalente. Pour la distance de décollage équivalente  $s_{TO}$  (voir **appendice B**), la vitesse initiale  $V_1$  et la vitesse de décollage  $V_2$ , le nombre de segments pour le roulage  $n_{TO}$  est donné par la formule suivante:

$$n_{TO} = \text{int}(1 + (V_2 - V_1)/10) \quad (2.7.10)$$

Par conséquent, la variation de la vitesse le long du segment est la suivante:

$$\Delta V = (V_2 - V_1)/n_{TO} \quad (2.7.11)$$

et la variation du temps  $\Delta t$  pour chaque segment est (en supposant une accélération constante) de:

$$\Delta t = \frac{2 \cdot s_{TO}}{(V_2 + V_1) \cdot n_{TO}} \quad (2.7.12)$$

La longueur  $s_{TO,k}$  du segment  $k$  ( $1 \leq k \leq n_{TO}$ ) du roulage au décollage est alors de:

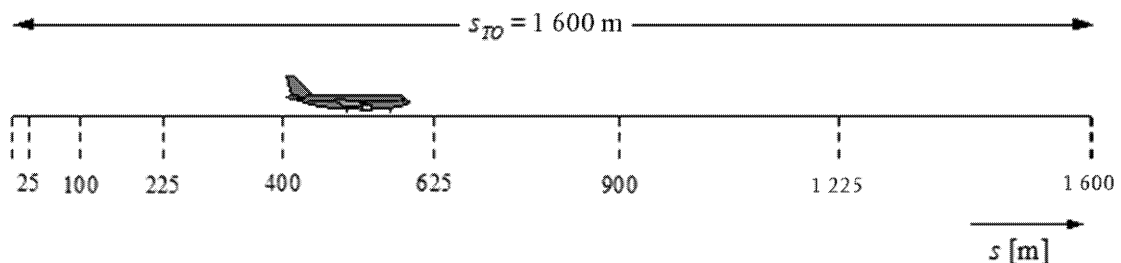
$$s_{TO,k} = (k - 0,5) \cdot \Delta V \cdot \Delta t = \frac{(2k - 1) \cdot s_{TO}}{n_{TO}^2} \quad (2.7.13)$$

*Exemple:*

pour une distance de décollage  $s_{TO} = 1\,600$  m, et des vitesses  $V_1 = 0$  m/s et  $V_2 = 75$  m/s, on obtient un nombre  $n_{TO} = 8$  segments de longueurs allant de 25 à 375 mètres (voir **figure 2.7.g**):

Figure 2.7.g

#### Segmentation du roulage au décollage (exemple pour 8 segments)



De manière similaire aux variations de vitesse, les variations de poussée de l'avion portent sur chaque segment à concurrence d'un incrément constant  $\Delta P$ , qui se calcule ainsi:

$$\Delta P = (P_{TO} - P_{mit})/n_{TO} \quad (2.7.14)$$

où  $P_{TO}$  et  $P_{mit}$  sont respectivement la poussée de l'avion au point de décollage et la poussée de l'avion au départ du roulage au décollage.

L'utilisation de cet incrément constant de poussée (au lieu d'utiliser la forme de puissance quadratique de l'équation 2.7.8) vise à conserver la cohérence avec la relation linéaire entre la poussée et la vitesse dans le cas d'un avion à réaction (équation B-1).

#### Segmentation du segment de montée initiale

La géométrie du segment de la montée initiale varie rapidement, en particulier par rapport aux points d'observation sur le côté de la trajectoire de vol, où l'angle  $\beta$  variera rapidement à mesure que l'avion progressera le long du segment de montée initiale. La comparaison avec les calculs des très petits segments indique qu'un segment de montée individuel aura pour résultat une faible approximation du bruit de part et d'autre de la trajectoire de vol pour les métriques intégrées. La précision des calculs est améliorée par la sous-segmentation du premier segment de décollage. La longueur et le nombre de chaque segment sont fortement influencés par l'atténuation latérale. En notant l'expression de l'atténuation latérale totale pour les avions dont les moteurs sont installés à l'arrière du fuselage, on peut constater que, pour une variation limitée de l'atténuation latérale de 1,5 dB par sous-segment, ce segment de montée initiale doit être divisé en sous-segments fondés sur l'ensemble de valeurs des hauteurs ci-après:

$$z = \{18,9; 41,5; 68,3; 102,1; 147,5; 214,9; 334,9; 609,6; 1\ 289,6\} \text{ mètres, ou}$$

$$z = \{62, 136, 224, 335, 484, 705, 1\ 099, 2\ 000, 4\ 231\} \text{ pieds}$$

Les hauteurs précitées sont mises en œuvre en identifiant la hauteur, comprise dans cet ensemble de valeurs, qui se rapproche le plus du point final du segment original. Les hauteurs réelles des sous-segments sont ensuite calculées selon l'équation suivante:

$$z'_i = z [z_i/z_N] \quad (i = 1 \dots N) \quad (2.7.15)$$

où  $z$  correspond à la hauteur finale du segment original,  $z_i$  à la  $i$ ème ( $i$ ) valeur de l'ensemble de valeurs de hauteur, et  $z_N$  à la limite supérieure la plus proche de la hauteur  $z$ . Ce processus a pour effet que la variation de l'atténuation latérale pour chaque sous-segment reste constante, ce qui produit des courbes plus précises, sans qu'il soit nécessaire d'utiliser des segments très courts.

#### Exemple:

Si la hauteur du point final du segment initial est de  $z = 304,8$  m, alors d'après l'ensemble des valeurs de hauteur,  $214,9 < 304,8 < 334,9$  et la limite supérieure la plus proche de  $z = 304,8$  m est  $z_7 = 334,9$  m. Les hauteurs résultantes des points finaux des segments sont ensuite calculées selon la formule suivante:

$$z'_i = 304,8 [z_i/334,9] \quad (i = 1..N)$$

Par conséquent,  $z'_1$  serait de 17,2 m et  $z'_2$  de 37,8 m, etc.

Les valeurs de vitesse et de puissance moteur sur les points insérés sont interpolées en recourant respectivement aux équations (2.7.11) et (2.7.13)

#### Segmentation des segments en vol

Après avoir obtenu la trajectoire de vol segmentée à partir de la procédure décrite à la section 2.7.13, et appliqué la sous-segmentation décrite, d'autres ajustements de segmentation peuvent s'avérer nécessaires. Ces derniers comprennent:

- la suppression des points de la trajectoire de vol qui sont trop proches les uns des autres, et

— l'insertion de points supplémentaires pour les segments trop longs.

Lorsque les points adjacents se trouvent à moins de 10 m d'intervalle, et lorsque les vitesses et les régimes moteur associés sont identiques, l'un des points peut être éliminé.

Pour les segments en vol qui comprennent une variation notable de la vitesse le long du segment, ce dernier peut être divisé en sous-segments, de même que pour la route-sol, c'est-à-dire:

$$n_{\text{seg}} = \text{int}(1 + |V_2 - V_1|/10) \quad (2.7.16)$$

où  $V_1$  et  $V_2$  correspondent respectivement aux vitesses au début et à la fin du segment. Les paramètres des sous-segments correspondants sont calculés de la même manière que pour le roulage au décollage, selon les équations 2.7.11 à 2.7.13.

#### Le roulage à l'atterrissage

Bien que le roulage à l'atterrissage soit essentiellement l'inverse du roulage au décollage, il convient toutefois de porter une attention particulière à:

- la *poussée inverse* (ou *inversion de poussée*), parfois appliquée pour freiner l'avion,
- la poussée des moteurs des avions quittant la piste après la décélération (ces derniers ne contribuent plus au bruit aérien puisque le bruit généré au roulage est négligé).

Contrairement à la distance de roulage au décollage, issue des paramètres de performance de l'avion, la distance d'arrêt  $s_{\text{stop}}$  (c'est-à-dire la distance entre l'atterrissage et le point de sortie de piste de l'avion) n'est pas strictement spécifique à l'avion. Malgré la possibilité d'estimer une distance minimum d'arrêt d'après la masse et la performance de l'avion (et de la poussée inverse disponible), la distance d'arrêt réelle dépend également de la position des couloirs de circulation, de la situation du trafic, et des règlements d'utilisation des inverseurs de poussée sur certains aéroports.

L'utilisation des inverseurs de poussée n'est pas une procédure standard: elle est uniquement appliquée si la décélération nécessaire ne peut pas être réalisée au moyen des freins de roues (la poussée inverse peut être dans certains cas perturbante car un changement du régime moteur passant du ralenti à la poussée inverse produit un pic de bruit soudain).

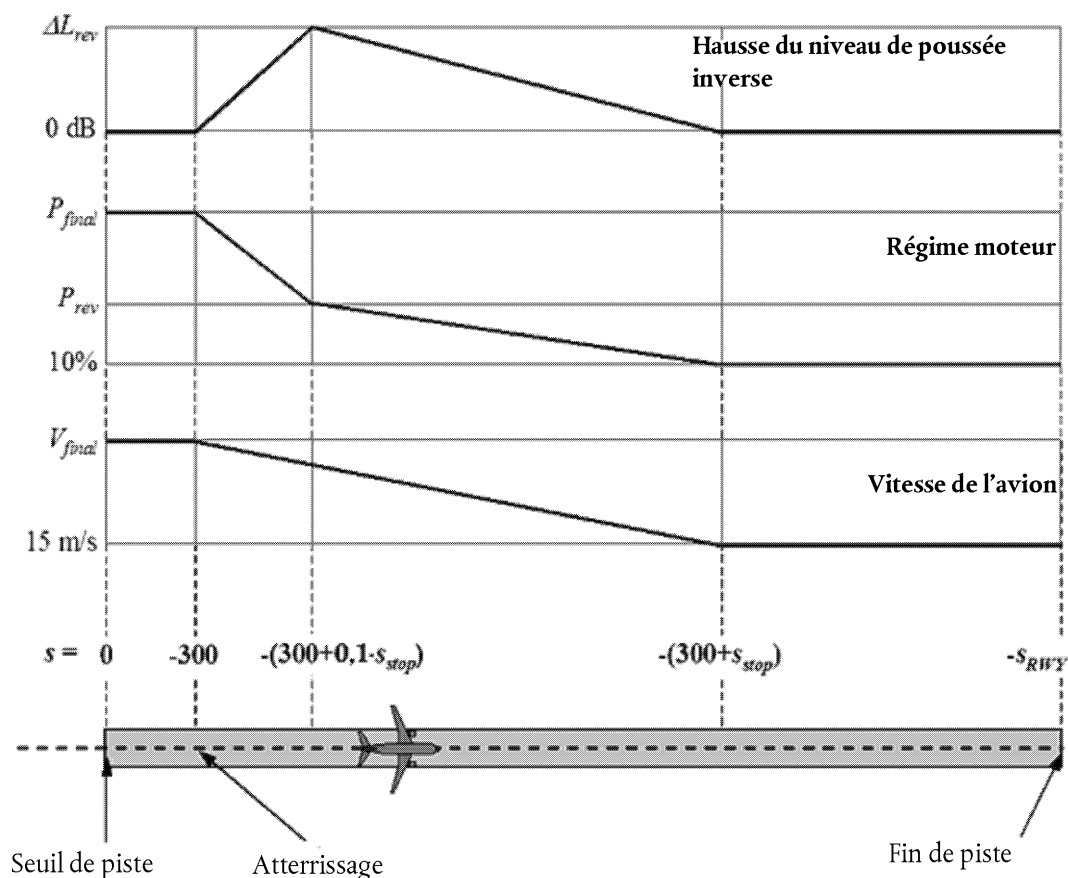
Cependant, la plupart des pistes sont utilisées pour les décollages et pour les atterrissages de sorte que la poussée inverse influe peu sur les courbes de niveau de bruit, étant donné que l'énergie acoustique totale autour des pistes est dominée par le bruit produit par les opérations de décollage. La contribution de la poussée inverse aux courbes est notable uniquement lorsque l'utilisation de la piste est limitée aux opérations d'atterrissage.

Physiquement, le bruit de la poussée inverse est un processus très complexe. Cependant, compte tenu de son importance relativement mineure vis-à-vis des courbes de niveau de bruit aérien, il peut être modélisé relativement simplement — le changement rapide du régime moteur étant pris en compte par une segmentation appropriée.

Il apparaît clairement que la modélisation du bruit du roulage à l'atterrissage est plus complexe que celle du bruit du roulage au décollage. Les hypothèses de modélisations simplifiées ci-après sont recommandées pour une utilisation générale, lorsque aucune information détaillée n'est disponible (voir **figure 2.7.h**).

Figure 2.7.h

## Modélisation du roulage à l'atterrissage



L'avion atterrit 300 m après le seuil de piste (qui a pour coordonnée  $s = 0$  le long de la route-sol d'approche). L'avion décélère ensuite sur la distance d'arrêt  $s_{stop}$  — les valeurs spécifiques aux avions sont précisées par la base de données ANP — à partir de la vitesse d'approche finale  $V_{final}$  jusqu'à 15 m/s. Compte tenu des variations rapides de la vitesse sur ce segment, ce dernier devrait être sous-segmenté de la même manière que pour le roulage au décollage selon les équations 2.7.10 à 2.7.13.

Le régime moteur varie d'une puissance d'approche finale à l'atterrissage à un régime moteur de poussée inverse  $P_{rev}$  sur une distance de  $0,1 \cdot s_{stop}$ , et décroît ensuite jusqu'à 10 % de la puissance maximale disponible sur les 90 % restants de la distance d'arrêt. Jusqu'en fin de piste (à  $s = -s_{RWY}$ ), la vitesse de l'avion reste constante.

Les courbes NPD pour la poussée inverse ne sont pour l'instant pas reprises dans la base de données ANP. C'est la raison pour laquelle il est nécessaire de compter sur les courbes conventionnelles pour modéliser cet effet. Généralement, la puissance de l'inversion de poussée  $P_{rev}$  se situe autour de 20 % du régime moteur total, ce qui est recommandé lorsque aucune information opérationnelle n'est disponible. Toutefois, pour un régime moteur donné, la poussée inverse tend à produire considérablement plus de bruit que la poussée normale et une pondération  $\Delta L$  doit être appliquée au niveau d'un événement provenant du NPD, allant de zéro à une valeur  $\Delta L_{rev}$  (5 dB sont recommandés de manière provisoire <sup>(1)</sup>) pour  $0,1 \cdot s_{stop}$ , puis diminuant de manière linéaire jusqu'à zéro sur la distance d'arrêt restante.

## 2.7.14. Calcul du bruit pour un événement individuel

Le cœur du processus de modélisation, décrit ici dans son intégralité, réside dans le calcul des niveaux de bruit des événements d'après les informations relatives à la trajectoire de vol, décrites aux **points 2.7.7 à 2.7.13**.

<sup>(1)</sup> Cette valeur était recommandée dans la précédente édition du Doc 29 de la CEAC, mais est toujours considérée comme provisoire en attendant d'acquérir d'autres données expérimentales corroboratives.

### 2.7.15. Métrique d'un événement individuel

Le son généré par le mouvement d'un avion à un point d'observation est exprimé comme un «niveau acoustique (ou de bruit) d'un événement individuel», à savoir une quantité indiquant l'impact de ce mouvement sur les riverains. Le son reçu est mesuré en terme acoustique selon une échelle décibel de base  $L(t)$  qui applique une pondération fréquentielle (ou filtre), afin d'avoisiner les caractéristiques de l'ouïe humaine. L'échelle la plus importante en matière de modélisation des courbes de niveau de bruit est le niveau acoustique avec pondération A,  $L_A$ .

La métrique la plus couramment utilisée pour résumer les événements dans leur ensemble est celle des «niveaux d'exposition au bruit des événements individuels»,  $L_E$ , qui rendent compte de toute (ou partie de) l'énergie acoustique des événements. La gestion de l'intégration du temps que ce procédé implique donne lieu aux principales complexités de la modélisation par segmentation (ou par simulation). La métrique alternative  $L_{max}$  qui correspond au niveau maximal instantané d'un événement, est plus simple à modéliser. Toutefois,  $L_E$  reste la composante principale de la plupart des indices actuels de bruit des avions, et les modèles pratiques devraient, à l'avenir, comprendre à la fois  $L_{max}$  et  $L_E$ . Chaque métrique peut être mesurée sur différentes échelles de bruit. Seul le niveau acoustique avec pondération A est abordé dans le présent document. L'échelle est généralement indiquée de manière symbolique par une extension du suffixe de la métrique, par exemple,  $L_{AE}$ ,  $L_{Amax}$ .

Le niveau d'exposition au bruit d'un événement individuel est exprimé selon l'équation suivante:

$$L_E = 10 \cdot \lg \left( \frac{1}{t_0} \int_{t_1}^{t_2} 10^{L(t)/10} dt \right) \quad (2.7.17)$$

où  $t_0$  correspond au moment de référence. L'intervalle d'intégration  $[t_1, t_2]$  est choisi dans le but de garantir la prise en compte de la quasi-totalité des sons notables de l'événement. Très souvent, les limites  $t_1$  et  $t_2$  sont choisies pour couvrir la plage pendant laquelle le niveau  $L(t)$  est inférieur ou égal à 10 dB de  $L_{max}$ . Cette plage est appelée «temps d'immobilisation à 10 dB». Les niveaux d'exposition au bruit répertoriés dans la base de données ANP sont des valeurs d'immobilisation à 10 dB <sup>(1)</sup>.

Pour la modélisation des courbes de niveau de bruit des avions, la principale application de l'équation 2.7.17 est la métrique standard appelée *niveau d'exposition au bruit*  $L_{AE}$  (abrégiée SEL):

$$L_{AE} = 10 \cdot \lg \left( \frac{1}{t_0} \int_{t_1}^{t_2} 10^{L_A(t)/10} dt \right) \text{ avec } t_0 = 1 \text{ seconde} \quad (2.7.18)$$

Les équations relatives au niveau d'exposition au bruit peuvent servir à déterminer les niveaux des événements lorsque la variation totale en fonction du temps de  $L(t)$  est connue. Dans la méthodologie recommandée pour la modélisation du bruit, ces variations en fonction du temps ne sont pas définies. Les niveaux d'exposition des événements sont alors calculés par la somme des valeurs des segments, dont les niveaux des événements partiels de chacun définissent la contribution d'un segment individuel et fini de la trajectoire de vol.

### 2.7.16. Détermination des niveaux des événements à partir des données NPD

La base de données internationale de bruit et de performance des avions (ANP) constitue la principale source des données acoustiques des avions. Elle présente les niveaux  $L_{max}$  et  $L_E$  comme des fonctions de la distance de propagation  $d$  — pour les types ou versions d'avion, configurations de vol (approche, décollage, réglages des volets), et régimes moteur  $P$  spécifiques. Ces deux variables correspondent à des conditions de vol en régime stabilisé à des vitesses de référence spécifiques  $V_{ref}$  le long d'une trajectoire de vol rectiligne, théoriquement infinie <sup>(2)</sup>.

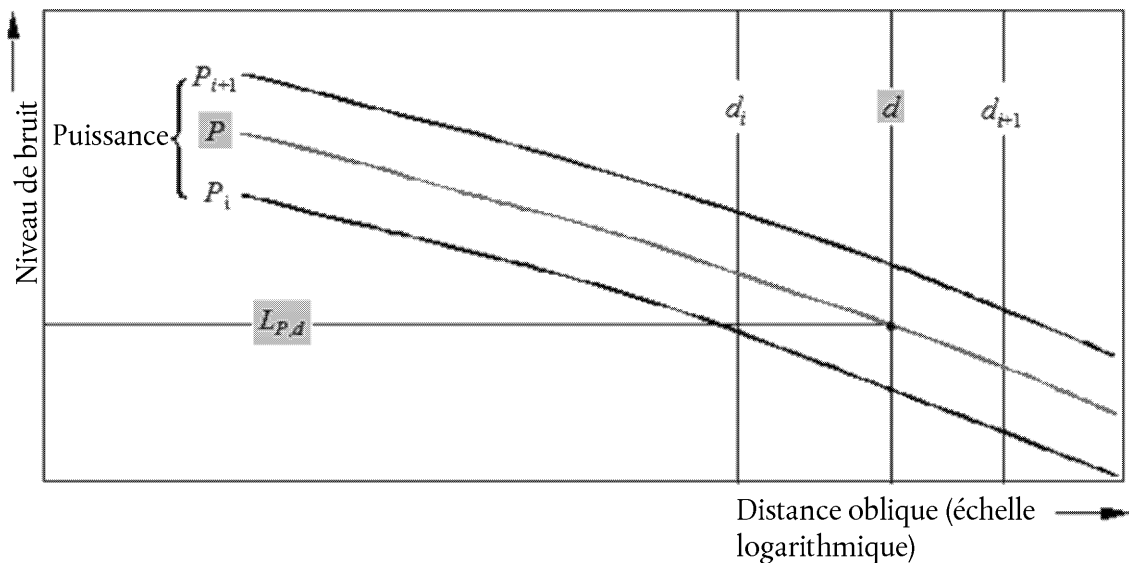
<sup>(1)</sup> Le niveau  $L_E$  d'immobilisation à 10 dB peut être inférieur de 0,5 dB au  $L_E$  évalué sur une durée plus longue. Cependant, à l'exception des distances obliques courtes pour lesquelles les niveaux d'événement sont élevés, le bruit environnemental rend souvent irréalistes les intervalles de mesure plus longs, et les valeurs d'immobilisation à 10 dB constituent alors la norme. Dans la mesure où les études sur les effets du bruit (utilisés pour «étalonner» les courbes de niveau de bruit) ont également tendance à reposer sur des valeurs d'immobilisation à 10 dB, les tableaux ANP sont considérés comme étant totalement appropriés.

<sup>(2)</sup> Bien que la notion de trajectoire de vol infinie soit importante pour la définition du niveau d'exposition au bruit d'un événement  $L_E$ , elle s'avère moins pertinente dans le cas du niveau maximal de l'événement  $L_{max}$  dominé par le bruit émis par l'avion lorsqu'il se trouve à une position spécifique au niveau ou à proximité du point d'approche le plus proche de l'observateur. À des fins de modélisation, le paramètre de distance NPD est choisi pour représenter la distance minimale entre l'observateur et le segment.

La façon dont les valeurs des variables indépendantes  $P$  et  $d$  sont spécifiées sera décrite ultérieurement. Pour une recherche simple, avec les valeurs entrantes  $P$  et  $d$ , les valeurs de sortie nécessaires sont les *niveaux de base*  $L_{\max}(P,d)$  et/ou  $L_{\infty}(P,d)$  (applicables à une trajectoire de vol infinie). Sauf si les valeurs s'avèrent répertoriées pour  $P$  et/ou  $d$ , il sera généralement nécessaire d'estimer par interpolation le ou les niveaux de bruit du ou des événements requis. L'interpolation linéaire est utilisée entre les régimes moteur répertoriés, alors que l'interpolation logarithmique est utilisée entre les distances répertoriées (voir **figure 2.7.i**).

Figure 2.7.i

### Interpolation des courbes du rapport bruit-puissance-distance



Si  $P_i$  et  $P_{i+1}$  sont des valeurs du régime moteur pour lesquelles le niveau de bruit est répertorié par rapport aux paramètres de distance, le niveau de bruit  $L(P)$  à une distance donnée, pour un régime moteur intermédiaire  $P$ , compris entre  $P_i$  et  $P_{i+1}$ , est obtenu d'après l'équation suivante:

$$L(P) = L(P_i) + \frac{L(P_{i+1}) - L(P_i)}{P_{i+1} - P_i} \cdot (P - P_i) \quad (2.7.19)$$

Si, pour tout régime moteur,  $d_i$  et  $d_{i+1}$  sont les distances selon lesquelles les données acoustiques sont répertoriées, le niveau de bruit  $L(d)$  pour une distance intermédiaire  $d$ , entre  $d_i$  et  $d_{i+1}$ , est obtenu d'après l'équation suivante:

$$L(d) = L(d_i) + \frac{L(d_{i+1}) - L(d_i)}{\lg d_{i+1} - \lg d_i} \cdot (\lg d - \lg d_i) \quad (2.7.20)$$

En utilisant les équations 2.7.19 et 2.7.20, un niveau de bruit  $L(P,d)$  peut être obtenu pour tout régime moteur  $P$  et toute distance  $d$  compris dans l'enveloppe de la base de données NPD.

Pour les distances  $d$  situées hors de l'enveloppe NPD, l'équation 2.7.20 permet d'extrapoler à partir des deux dernières valeurs, c'est-à-dire vers l'intérieur à partir de  $L(d_1)$  et  $L(d_2)$  ou vers l'extérieur à partir de  $L(d_{i-1})$  et  $L(d_i)$  où  $I$  représente le nombre total de points du NPD sur la courbe. Par conséquent:

$$\text{Vers l'intérieur:} \quad L(d) = L(d_2) + \frac{L(d_1) - L(d_2)}{\lg d_2 - \lg d_1} \cdot (\lg d_2 - \lg d) \quad (2.7.21)$$

$$\text{Vers l'extérieur:} \quad L(d) = L(d_{i-1}) - \frac{L(d_{i-1}) - L(d_i)}{\lg d_i - \lg d_{i-1}} \cdot (\lg d - \lg d_{i-1}) \quad (2.7.22)$$

Étant donné que, pour les courtes distances  $d$ , les niveaux de bruit augmentent très rapidement en fonction inverse de la distance de propagation, il est recommandé d'imposer une limite inférieure de 30 m à  $d$ , en d'autres termes,  $d = \max(d, 30 \text{ m})$ .

### Ajustement des données NPD standard à l'impédance acoustique

Les données bruit-puissance-distance (NPD) fournies dans la base de données internationale de bruit et de performances des avions (ANP) sont normalisées en fonction de conditions atmosphériques spécifiques, à savoir une température de 25 °C et une pression de 101,325 kPa. Avant d'appliquer la méthode d'interpolation/d'extrapolation décrite précédemment, il convient d'appliquer un ajustement de ces données NPD standard à l'impédance acoustique.

L'impédance acoustique caractérise la propagation des ondes sonores dans un milieu acoustique et se définit comme le produit de la densité de l'air et de la vitesse du son. Pour une intensité sonore donnée (puissance par unité de surface) perçue à une distance spécifique de la source, la pression sonore associée (utilisée pour définir les métriques SEL (niveau d'exposition au bruit) et  $L_{Amax}$  (valeur maximale du niveau de pression acoustique avec pondération A)) dépend de l'impédance acoustique de l'air au point de mesure. C'est une fonction de la température et de la pression atmosphérique (et, indirectement, de l'altitude). C'est la raison pour laquelle il convient d'adapter les données NPD standard de la base de données ANP afin de rendre compte des conditions réelles de température et de pression au point d'observation (récepteur), qui sont généralement différentes des conditions normalisées reprises dans les données ANP.

L'ajustement à l'impédance à appliquer aux niveaux standard NPD s'exprime en ces termes:

$$\Delta_{Impedance} = 10 \cdot \lg\left(\frac{\rho \cdot c}{409,81}\right) \quad (2.7.23)$$

où:

$\Delta_{Impedance}$  est l'ajustement à l'impédance en fonction des conditions atmosphériques réelles du point d'observation, en dB, et

$\rho \cdot c$  est l'impédance acoustique (en newton · secondes/m<sup>3</sup>) de l'air au point de réception (409,81 est l'impédance de l'air associée aux conditions atmosphériques de référence des données NPD de la base de données ANP).

Le calcul de l'impédance  $\rho \cdot c$  répond à l'équation suivante:

$$\rho \cdot c = 416,86 \cdot \left[ \frac{\delta}{\theta^{1/2}} \right] \quad (2.7.24)$$

$\delta$   $p/p_0$ , le rapport entre la pression atmosphérique ambiante à l'altitude du point d'observation et la pression atmosphérique standard au niveau moyen de la mer:  $p_0 = 101,325$  kPa (ou 1013,25 mb)

$\theta$   $(T + 273,15)/(T_0 + 273,15)$ , le rapport entre la température de l'air à l'altitude du point d'observation et la température de l'air standard au niveau moyen de la mer:  $T_0 = 15,0$  C

L'ajustement à l'impédance acoustique représente généralement moins de quelques dixièmes de décibel. Il convient en particulier de remarquer que sous les conditions atmosphériques standard ( $p_0 = 101,325$  kPa et  $T_0 = 15,0$  °C), l'ajustement à l'impédance est inférieur à 0,1 dB (0,074 dB). Cependant, en cas de variation notable de la température et de la pression atmosphérique par rapport aux conditions atmosphériques de référence des données NPD, l'ajustement peut alors être plus important.

#### 2.7.17. Expressions générales

Niveau d'événement d'un segment  $L_{SEG}$

Les valeurs des segments sont déterminées par des ajustements des valeurs de base (de la trajectoire infinie), lues d'après les données NPD. Le niveau de bruit maximal émis par un segment  $L_{max,seg}$  d'une trajectoire de vol peut être généralement exprimé de la manière suivante:

$$L_{max,seg} = L_{max}(P, d) + \Delta_I(\varphi) - \Lambda(\beta, \ell) \quad (2.7.25)$$

et la contribution d'un segment de la trajectoire de vol au  $L_E$  peut être exprimée ainsi:

$$L_{E,seg} = L_{E\infty}(P, d) + \Delta_V + \Delta_I(\varphi) - \Lambda(\beta, \ell) + \Delta_F \quad (2.7.26)$$

Les «termes correctifs» des équations 2.7.25 et 2.7.26 — décrits en détail au point 2.7.19 — rendent compte des effets suivants:

- $\Delta_V$  *Correction de la durée.* Les données NPD se rapportent à la vitesse de vol de référence. La correction de durée ajuste les niveaux d'exposition aux vitesses autres que celles de référence. (Elle n'est pas appliquée à  $L_{max,seg}$ ).
- $\Delta_I(\varphi)$  *Effet lié à l'emplacement.* Décrit une variation de la *directivité latérale* due à l'effet d'écran, à la réfraction et la réflexion engendrées par la cellule, les moteurs et les champs de propagation environnants.
- $\Lambda(\beta, \ell)$  *Atténuation latérale.* Importante pour la propagation du son à de faibles angles par rapport au sol, l'atténuation latérale représente l'interaction entre les ondes acoustiques directes et réfléchies (effet du sol), ainsi que les effets de l'hétérogénéité atmosphérique (principalement engendrés par le sol) qui réfractent les ondes acoustiques lorsqu'elles se propagent vers l'observateur par le côté de la trajectoire de vol.
- $\Delta_F$  *Correction du segment fini (fraction du bruit).* Représente la longueur finie du segment qui contribue assurément moins à l'exposition au bruit qu'un segment infini. La correction du segment s'applique uniquement aux métriques d'exposition.

Si le segment fait partie de la phase de décollage ou de roulage au décollage, et que le point d'observation se trouve derrière le segment considéré, des mesures spéciales sont prises pour représenter la directivité prononcée du bruit des moteurs observée derrière un avion qui s'apprête à décoller. Ces mesures spéciales comprennent notamment l'utilisation d'une forme spécifique du bruit pour le niveau d'exposition:

$$L_{max,seg} = L_{max}(P, d) + \Delta_I(\varphi) - \Lambda(\beta, \ell) + \Delta_{SOR} \quad (2.7.27)$$

$$L_{E,seg} = L_{E\infty}(P, d) + \Delta_V + \Delta_I(\varphi) - \Lambda(\beta, \ell) + \Delta'_F + \Delta_{SOR} \quad (2.7.28)$$

- $\Delta'_F$  *Forme particulière de la Correction du segment*
- $\Delta_{SOR}$  *Correction de directivité:* représente la directivité prononcée du bruit des moteurs derrière le segment de roulage

Le traitement spécifique des segments de roulage est décrit au point 2.7.19.

Les points ci-dessous décrivent le calcul des niveaux de bruit du segment.

Niveau acoustique d'un événement L d'un mouvement d'un avion

Le niveau maximal  $L_{max}$  correspond simplement à la valeur la plus grande du segment  $L_{max,seg}$  (voir les équations 2.7.25 et 2.7.27)

$$L_{max} = \max(L_{max,seg}) \quad (2.7.29)$$

où chaque valeur du segment est déterminée d'après des données NPD de l'avion pour un régime moteur  $P$  et une distance  $d$ . Ces paramètres et les termes de modifications  $\Delta_I(\varphi)$  et  $\Lambda(\beta, \ell)$  sont expliqués ci-dessous.

Le niveau d'exposition  $L_E$  est calculé comme la somme en décibels des contributions  $L_{E,seg}$  à partir de chaque segment sonore de sa trajectoire de vol, à savoir:

$$L_E = 10 \cdot \lg\left(\sum 10^{L_{E,seg}/10}\right) \quad (2.7.30)$$

Le cumul s'opère graduellement au gré des segments de la trajectoire de vol.

La suite du présent point est consacrée à la détermination des niveaux de bruit des segments  $L_{max,seg}$  et  $L_{E,seg}$ .

#### 2.7.18. Paramètres des segments de la trajectoire de vol

Le régime moteur  $P$  et la distance  $d$ , pour lesquels les niveaux de base  $L_{max,seg}(P,d)$  et  $L_{E,seg}(P,d)$  sont interpolés à partir des tableaux NPD, sont déterminés d'après les paramètres géométriques et opérationnels qui définissent le segment. La procédure est expliquée ci-après à l'aide de schémas indiquant les différentes positions du segment par rapport au point d'observation.

##### Paramètres géométriques

Les figures 2.7.j à 2.7.l illustrent les géométries source-récepteur lorsque le point d'observation  $O$  se trouve (a) derrière, (b) au niveau et (c) devant le segment  $S_1S_2$ , lorsque le sens du vol va de  $S_1$  en  $S_2$ . Dans les schémas suivants:

- $O$  correspond au point de l'observation
- $S_1, S_2$  marquent le début et la fin du segment
- $S_p$  est le point d'approche le plus proche perpendiculaire au point d'observation sur le segment ou son extension
- $d_1, d_2$  sont les distances entre le début, la fin du segment et le point d'observation
- $d_s$  correspond à la distance la plus courte entre le point d'observation et le segment
- $d_p$  correspond à la distance perpendiculaire entre le point d'observation et l'extension du segment (*distance oblique minimale*)
- $\lambda$  correspond à la longueur du segment de la trajectoire de vol
- $q$  est la distance de  $S_1$  à  $S_p$  (négative si le point d'observation se trouve derrière le segment)

Figure 2.7.j

#### Géométrie d'un segment de la trajectoire de vol par rapport à un point d'observation situé derrière le segment

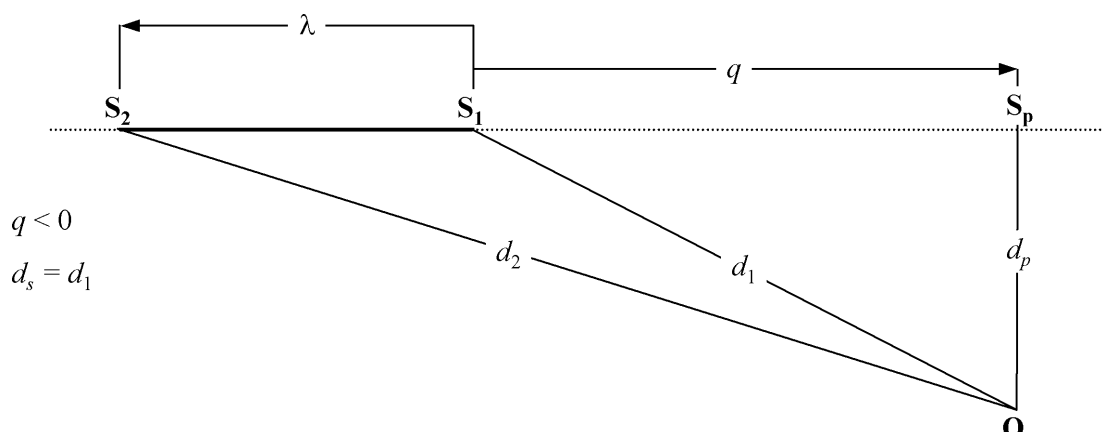


Figure 2.7.k

**Géométrie d'un segment de la trajectoire de vol par rapport à un point d'observation situé au niveau du segment**

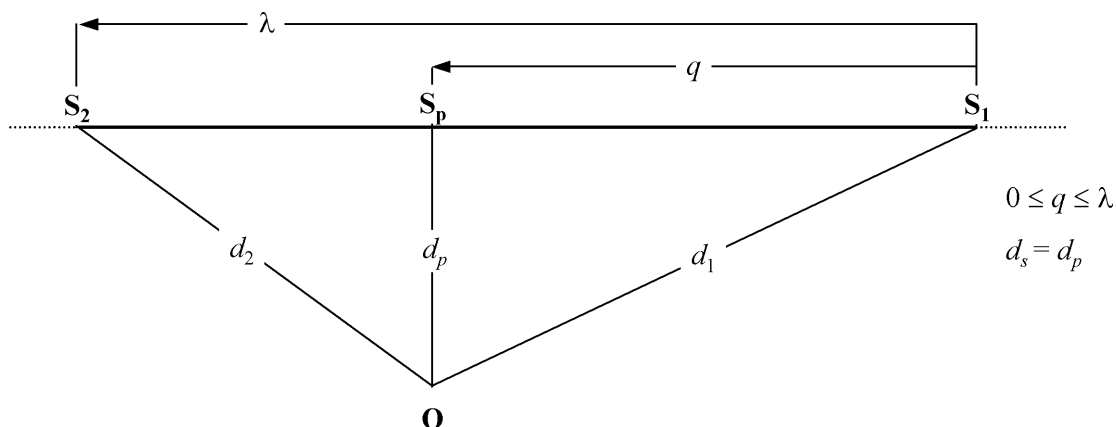
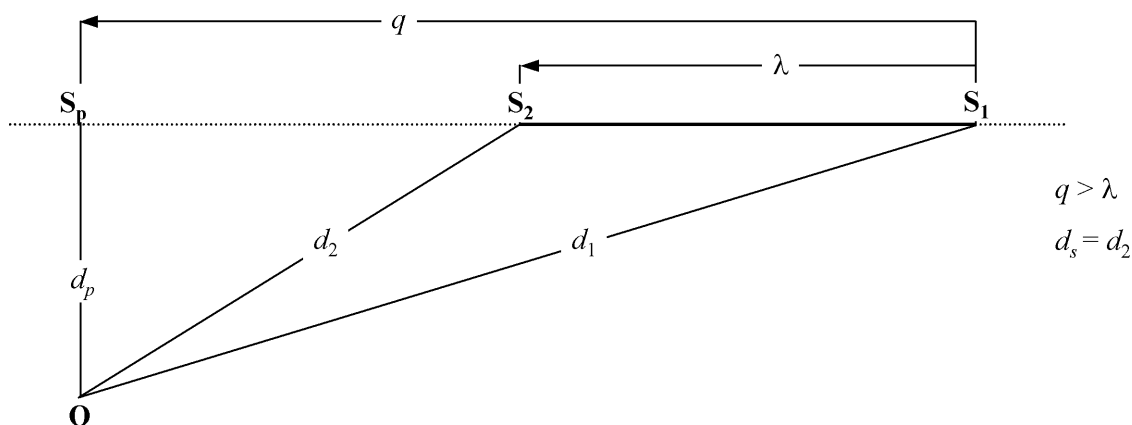


Figure 2.7.l

**Géométrie d'un segment de la trajectoire de vol par rapport à un point d'observation situé devant le segment**



Le segment de la trajectoire de vol est représenté par la ligne continue en gras. La ligne en pointillé représente l'extension de la *trajectoire de vol* qui s'étend à l'infini dans les deux sens. Pour les segments en vol, lorsque la métrique de l'événement est un niveau d'exposition  $L_p$ , la distance  $d$  du NPD correspond à la distance  $d_p$  entre  $S_p$  et le point d'observation, appelée *distance oblique minimale* (c'est-à-dire la distance perpendiculaire allant du point d'observation au segment ou à son extension, autrement dit, à la trajectoire de vol infinie (hypothétique) à laquelle le segment est considéré appartenir).

Cependant, s'agissant des métriques du niveau d'exposition pour lesquelles les points d'observation se situent derrière les segments au sol au cours du roulage au décollage, et devant les segments au sol pendant le roulage à l'atterrissage, la distance  $d$  du NPD devient la distance  $d_s$ , c'est-à-dire la plus courte distance allant du point d'observation au segment (en d'autres termes, la même que pour la métrique du niveau maximal).

Pour les métriques de niveau maximal, la distance  $d$  du NPD est  $d_s$ , à savoir la plus courte distance du point d'observation au segment.

Puissance  $P$  du segment

Les données NPD répertoriées décrivent le bruit d'un avion pour un vol rectiligne et stabilisé sur une trajectoire de vol infinie, autrement dit pour un régime moteur  $P$  constant. La méthodologie recommandée divise les trajectoires de vol réelles, le long desquelles la vitesse et le sens varient, en un certain nombre de segments finis, dont chacun appartient à une trajectoire de vol finie et uniforme pour laquelle les données NPD sont valides. Cependant, la méthodologie prévoit des variations de puissance le long du segment. Le régime moteur se met alors à varier de façon linéaire avec la distance pour aller de  $P_1$ , au début du segment, à  $P_2$ , en fin de segment. Par conséquent, il apparaît nécessaire de définir une valeur équivalente de  $P$  du segment stable. Il s'agira de la valeur au point du segment le plus proche du point d'observation. Si le point d'observation se trouve au même niveau que le segment (figure 2.7.k), cette valeur est obtenue par interpolation, comme l'exprime l'équation 2.7.8, entre les valeurs finales, c'est-à-dire:

$$P = \sqrt{P_1^2 + \frac{q}{\lambda} \cdot (P_2^2 - P_1^2)} \quad (2.7.31)$$

Si le point d'observation se trouve derrière ou devant le segment, la valeur est celle du point final le plus proche,  $P_1$  ou  $P_2$ .

## 2.7.19. Termes correctifs du niveau de l'événement d'un segment

Les données NPD définissent les niveaux des événements acoustiques comme des fonctions de la distance perpendiculairement à une trajectoire rectiligne en palier idéale d'une longueur infinie, le long de laquelle l'avion évolue avec un régime moteur stable et une vitesse de référence fixe <sup>(1)</sup>. Le niveau de l'événement interpolé à partir du tableau NPD pour un régime moteur et une distance oblique spécifiques est donc décrit comme un *niveau de base*. Ce dernier s'applique à une trajectoire de vol infinie et doit être corrigé pour rendre compte des effets liés à: 1) la vitesse autre que celle de référence; 2) l'emplacement des moteurs (directivité latérale); 3) l'atténuation latérale, 4) la longueur du segment fini; et 5) la directivité longitudinale derrière le début du roulage au décollage — voir les équations 2.7.25 et 2.7.26.

Correction de la durée  $\Delta_v$  (uniquement niveaux d'exposition  $L_E$ )

Cette correction <sup>(2)</sup> reflète la variation des niveaux d'exposition si la vitesse sol du segment réel est différente de la vitesse de référence  $V_{ref}$  de l'avion à laquelle se rapportent les données NPD de base. De même que le régime moteur, la vitesse varie le long du segment (la vitesse sol passe de  $V_1$  à  $V_2$ ) et il s'avère nécessaire de définir une vitesse équivalente du segment  $V_{seg}$ , en gardant à l'esprit que le segment est incliné par rapport au sol, en d'autres termes:

$$V_{seg} = V/\cos\gamma \quad (2.7.32)$$

où  $V$  est une vitesse sol équivalente du segment (pour information, voir l'équation B-22 qui exprime  $V$  en termes de vitesse propre corrigée,  $V_c$  et

$$\gamma = \tan^{-1} \left( \frac{z_2 - z_1}{s_2 - s_1} \right) \quad (2.7.33)$$

Pour les segments en vol,  $V$  devient la vitesse sol au point d'approche  $S$  le plus proche — interpolé entre les valeurs du point final du segment, en supposant que ce dernier varie de manière linéaire avec le temps, c'est-à-dire si le point d'observation se trouve au même niveau que le segment:

$$V = \sqrt{V_1^2 + \frac{q}{\lambda} \cdot (V_2^2 - V_1^2)} \quad (2.7.34)$$

<sup>(1)</sup> Les spécifications NPD prescrivent que les données reposent sur des mesures d'un vol *rectiligne* constant, mais pas nécessairement en palier. Pour créer les conditions nécessaires de vol, la trajectoire test de l'avion peut être inclinée horizontalement. Cependant, comme le lecteur le verra ci-après, les trajectoires inclinées entraînent des difficultés de calcul. Lors de l'utilisation des données pour la modélisation, il conviendra de visualiser les trajectoires sources comme étant à la fois rectilignes et en palier.

<sup>(2)</sup> Elle est appelée correction de la durée dans la mesure où elle prend en considération les effets de la vitesse de l'avion sur la durée de l'événement acoustique — mettant en œuvre la simple hypothèse selon laquelle, toute chose étant égale par ailleurs, la durée, et donc l'énergie acoustique de l'événement, est inversement proportionnelle à la vitesse source.

Si le point d'observation se trouve derrière ou devant le segment, cela vaut pour le point final le plus proche,  $V_1$  ou  $V_2$ .

Pour les segments de piste (c'est-à-dire les parties du roulage au décollage ou à l'atterrissage pour lesquelles  $\gamma = 0$ ),  $V_{\text{seg}}$  devient simplement la moyenne des vitesses au début et en fin de segment, autrement dit:

$$V_{\text{seg}} = (V_1 + V_2)/2 \quad (2.7.35)$$

Dans tous les cas, la correction supplémentaire de la durée est alors la suivante:

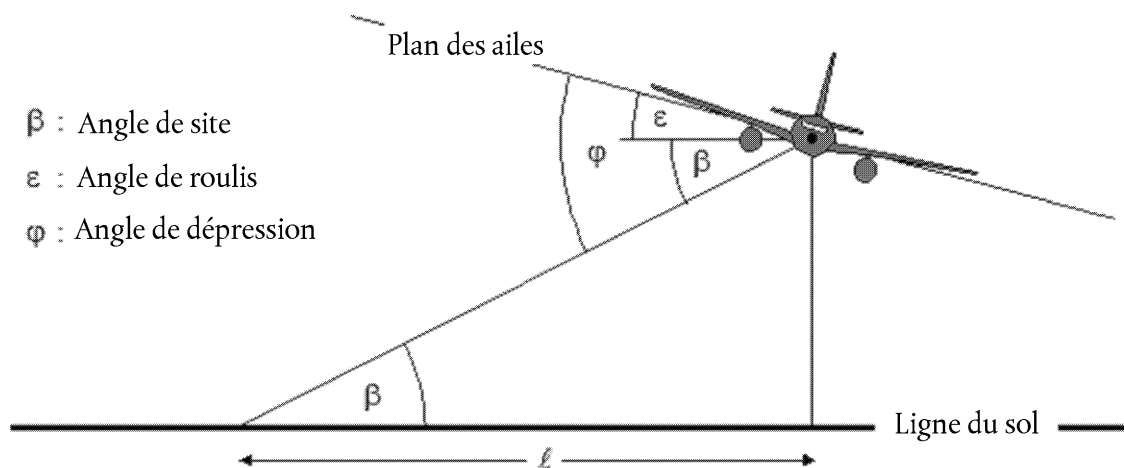
$$\Delta_V = 10 \cdot \lg(V_{\text{ref}}/V_{\text{seg}}) \quad (2.7.36)$$

### Géométrie de la propagation du son

La **figure 2.7.1** illustre la géométrie de base dans le plan perpendiculaire à la trajectoire de vol. La ligne du sol correspond à l'intersection du plan perpendiculaire au plan du sol. (Si l'avion vole en palier, la ligne du sol correspond alors à une vue finale du plan du sol). L'avion s'incline d'un angle  $\varepsilon$  mesuré dans le sens antihoraire par rapport à son axe de roulis (aile droite relevée). L'angle est alors positif pour les virages à gauche, et négatif pour les virages à droite.

Figure 2.7.m

#### Angles avion-point d'observation dans le plan perpendiculaire à la trajectoire de vol



- L'angle de site  $\beta$  (entre 0 et 90°) situé entre la trajectoire de propagation directe du son et la ligne du sol <sup>(1)</sup>, mais aussi l'inclinaison de la trajectoire de vol et le déplacement latéral  $\ell$  du point d'observation depuis la route-sol, déterminent l'atténuation latérale.
- L'angle de dépression  $\varphi$  situé entre le plan des ailes et la trajectoire de propagation, détermine les effets liés à l'emplacement des moteurs. S'agissant de l'angle de roulis  $\varepsilon$  la convention définit l'emploi du signe positif pour les points d'observation à tribord (droite) et du signe négatif pour les points d'observation à bâbord (gauche) dans l'égalité  $\varphi = \beta \pm \varepsilon$ .

<sup>(1)</sup> Dans le cas d'un terrain qui ne serait pas plat, différentes définitions de l'angle de site peuvent se présenter. Ce dernier est défini ici par la hauteur de l'avion au-dessus du point d'observation et la distance oblique — négligeant donc les déclivités locales du terrain, ainsi que les obstacles situés sur la trajectoire de propagation du son (voir points 2.7.6 et 2.7.10). Dans le cas où, en raison de l'altitude du terrain, le point du récepteur se trouve au-dessus de l'avion, l'angle de site  $\beta$  est alors nul.

Correction liée à l'emplacement des moteurs  $\Delta I$ 

Un avion en vol représente une source de bruit complexe. Non seulement les moteurs (et la cellule) revêtent une complexité intrinsèque, mais la configuration de la cellule, plus particulièrement l'emplacement des moteurs, influence également les schémas de propagation du bruit au travers des processus de réflexion, réfraction et dispersion par les surfaces solides et les champs de propagation aérodynamiques. Cela entraîne une directivité non uniforme de la propagation du son de manière latérale par rapport à l'axe de roulis de l'avion, appelée ici *directivité latérale*.

Il existe d'importantes différences de directivité latérale entre les avions dont les moteurs sont installés à l'arrière du fuselage et ceux dont les moteurs sont logés sous la voilure. Ces différences sont prises en considération par l'expression suivante:

$$\Delta_I(\varphi) = 10 \cdot \lg \left[ \frac{(a \cdot \cos^2 \varphi + \sin^2 \varphi)^b}{(c \cdot \sin^2 2\varphi + \cos^2 2\varphi)} \right] \quad \text{dB} \quad (2.7.37)$$

où  $\Delta_I(\varphi)$  correspond à la correction, en dB, appliquée à l'angle de dépression  $\varphi$  (voir **figure 2.7.m**) et

|                |               |              |   |
|----------------|---------------|--------------|---|
| $a = 0,00384,$ | $b = 0,0621,$ | $c = 0,8786$ | pour les moteurs logés sous la voilure et           |
| $a = 0,1225,$  | $b = 0,3290,$ | $c = 1$      | pour les moteurs installés à l'arrière du fuselage. |

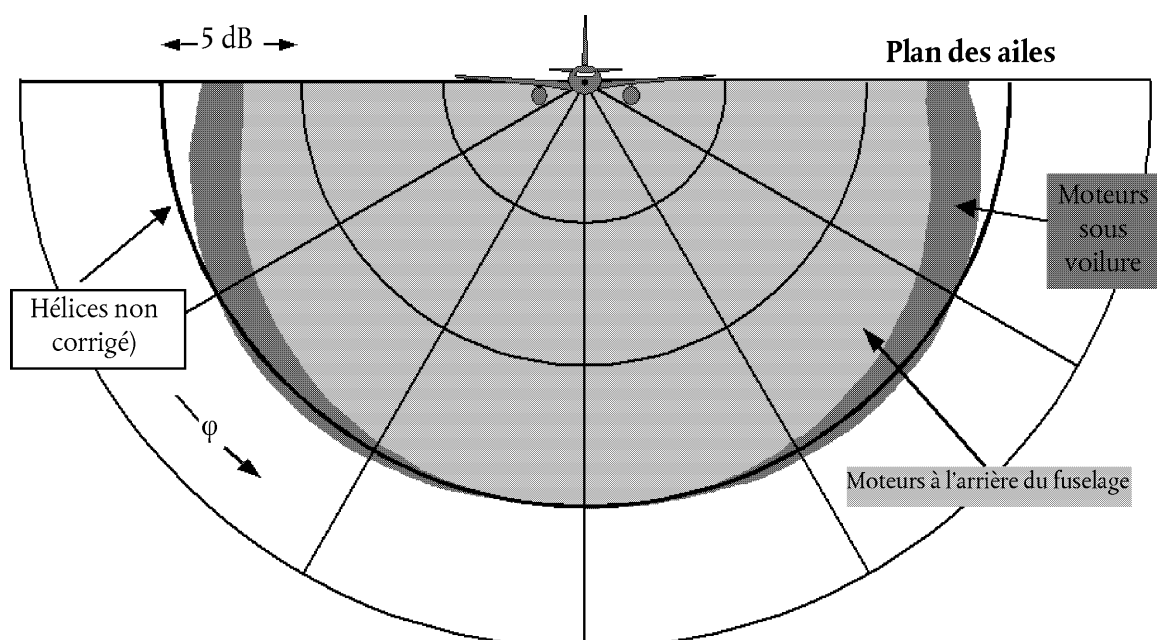
Pour les avions à hélices, les variations de la directivité sont négligeables, et on peut alors supposer que:

$$\Delta_I(\varphi) = 0 \quad (2.7.38)$$

La **figure 2.7.n** illustre la variation de  $\Delta_I(\varphi)$  par rapport à l'axe de roulis de l'avion pour les trois emplacements des moteurs. Ces relations empiriques ont été fournies par la SAE d'après des mesures expérimentales effectuées principalement sous la voilure. Jusqu'à ce que ces mesures soient analysées, il est recommandé que, pour un angle de dépression  $\varphi$  négatif,  $\Delta_I(\varphi) = \Delta_I(0)$  pour tous les emplacements.

Figure 2.7.n

## Directivité latérale liée à l'emplacement des moteurs



Supposons que  $\Delta_l(\varphi)$  soit bidimensionnel, c'est-à-dire qu'il ne dépende d'aucun autre paramètre — et en particulier qu'il ne varie pas avec la distance longitudinale du point d'observation à l'avion. En d'autres termes, l'angle de site  $\beta$  pour  $\Delta_l(\varphi)$  se définit par l'expression  $\beta = \tan^{-1}(z/\ell)$ . Cette hypothèse vise à faciliter la modélisation en attendant une meilleure compréhension des mécanismes. De fait, les effets liés à l'emplacement des moteurs ont toutes les chances d'être tridimensionnels. Malgré cela, un modèle bidimensionnel est justifié par le fait que les niveaux d'événement tendent à être dominés par le bruit propagé latéralement depuis le segment le plus proche.

#### Atténuation latérale $\Lambda(\beta, \ell)$ (trajectoire de vol infinie)

Les niveaux d'événement NPD répertoriés se rapportent à des vols en régime stabilisé, et reposent généralement sur des mesures effectuées à 1,2 m au-dessus du niveau d'un sol doux, au-dessous de l'avion. La distance est en réalité la hauteur au-dessus de la surface. Tout effet de la surface sur les niveaux de bruit des événements au-dessous de l'avion susceptible de provoquer une différence des niveaux répertoriés par rapport aux valeurs en champ libre <sup>(1)</sup>, est supposé inhérent aux données (c'est-à-dire au rapport niveau/distance).

Sur le côté de la trajectoire de vol, le paramètre de la distance correspond à la distance oblique minimale — la longueur de la perpendiculaire allant du récepteur à la trajectoire de vol. Pour toute position latérale, le niveau de bruit sera généralement inférieur à celui de la même distance mesurée immédiatement au-dessous de l'avion. Excepté la *directivité latérale* ou les «effets liés à l'emplacement des moteurs» décrits ci-dessus, cette différence résulte d'un excès d'*atténuation latérale*, qui fait chuter le niveau de bruit plus rapidement avec la distance que ce qu'indiquent les courbes NPD. Une précédente méthode, couramment employée pour la modélisation de la propagation latérale du bruit des avions, avait été mise au point par la Société des ingénieurs automobiles (SAE) dans le document AIR-1751. Les algorithmes décrits ci-après reposent sur les améliorations désormais recommandées par la SAE dans le document AIR5662. L'atténuation latérale est un effet de réflexion causé par les interférences entre le son directement propagé et celui qui est réfléchi par la surface. Elle dépend de la nature de la surface, et peut être à l'origine de réductions notables des niveaux de bruit observés pour les faibles angles de site. Elle est également fortement affectée par la réfraction du son, qu'elle soit stable ou instable, engendrée par les gradients du vent et de la température, et les turbulences, qui sont elles-mêmes imputables à la présence de la surface <sup>(2)</sup>. Le mécanisme de la réflexion à la surface est bien compris et, pour des conditions atmosphériques et surfaciques uniformes, peut être décrit en théorie avec une certaine précision. Cependant, les irrégularités atmosphériques et surfaciques — qui ne peuvent pas faire l'objet d'une simple analyse théorique — ont une incidence importante sur l'effet de réflexion, tendant à le «répartir» sur les angles de site plus ouverts. La théorie est donc limitée dans son applicabilité. Le travail de la SAE visant à améliorer l'appréhension des effets de surface, se poursuit et devrait permettre de réaliser de meilleurs modèles. Avant que ces derniers ne soient élaborés, la méthodologie suivante, décrite dans le document AIR-5652, est recommandée pour le calcul de l'atténuation latérale. Elle se limite au cas de propagation du son au-dessus d'une surface douce, ce qui est approprié pour la grande majorité des aéroports civils. Les ajustements destinés à rendre compte des effets d'une surface dure (ou les effets de l'eau, équivalente sur le plan acoustique) sont toujours en cours de développement.

La méthodologie s'appuie sur un volume important de données expérimentales relatives à la propagation du son des avions dont les moteurs sont installés à l'arrière du fuselage, pour les vols en palier rectilignes (sans virage) et stabilisés, lesquelles données originales figurent dans le document AIR-1751. En supposant que, pour les vols en palier, l'atténuation air-sol dépende (i) de l'angle de site  $\beta$  mesuré dans le plan vertical et (ii) du déplacement latéral de la route-sol  $\ell$  de l'avion, les données ont été analysées dans le but d'obtenir une fonction empirique pour l'ajustement latéral *total*  $\Lambda_T(\beta, \ell)$  (= le niveau d'événement latéral moins le niveau mesuré à la même distance sous l'avion).

Dans la mesure où le terme  $\Lambda_T(\beta, \ell)$  reflétait la directivité et l'atténuation latérales, ce dernier peut être extrait par soustraction. En décrivant la directivité latérale par l'équation 2.7.37, avec les coefficients de l'emplacement des moteurs à l'arrière du fuselage et en remplaçant  $\varphi$  par  $\beta$  (adapté pour les vols rectilignes), l'atténuation latérale devient la suivante:

$$\Lambda(\beta, \ell) = \Lambda_T(\beta, \ell) - \Delta_l(\beta) \quad (2.7.39)$$

où  $\beta$  et  $\ell$  sont mesurés de la façon illustrée à la **figure 2.7.m** dans un plan perpendiculaire à la trajectoire de vol infinie qui, pour les vols en palier, est également vertical.

<sup>(1)</sup> Un niveau «en champ libre» correspond à celui qui serait observé en l'absence de toute surface.

<sup>(2)</sup> Les gradients de vent et de température et les turbulences dépendent en partie des caractéristiques de rugosité et de transfert de chaleur en surface.

Bien que  $\Lambda(\beta, \ell)$  puisse être calculé directement à partir de l'équation 2.7.39 avec  $\Lambda_T(\beta, \ell)$  issu du document AIR-1751, il convient de recourir à un rapport plus efficace, à savoir l'approximation empirique adaptée du document AIR-5662:

$$\Lambda(\beta, \ell) = \Gamma(\ell) \cdot \Lambda(\beta) \quad (2.7.40)$$

où  $\Gamma(\ell)$  est un facteur de distance donné par

$$\Gamma(\ell) = 1,089 \cdot [1 - \exp(-0,00274\ell)] \quad \text{pour } 0 \leq \ell \leq 914 \text{ m} \quad (2.7.41)$$

$$\Gamma(\ell) = 1 \quad \text{pour } \ell > 914 \text{ m} \quad (2.7.42)$$

et  $\Lambda(\beta)$  est l'atténuation latérale air-sol longue portée, obtenue par

$$\Lambda(\beta) = 1,137 - 0,0229\beta + 9,72 \cdot \exp(-0,142\beta) \quad \text{pour } 0^\circ \leq \beta \leq 50^\circ \quad (2.7.43)$$

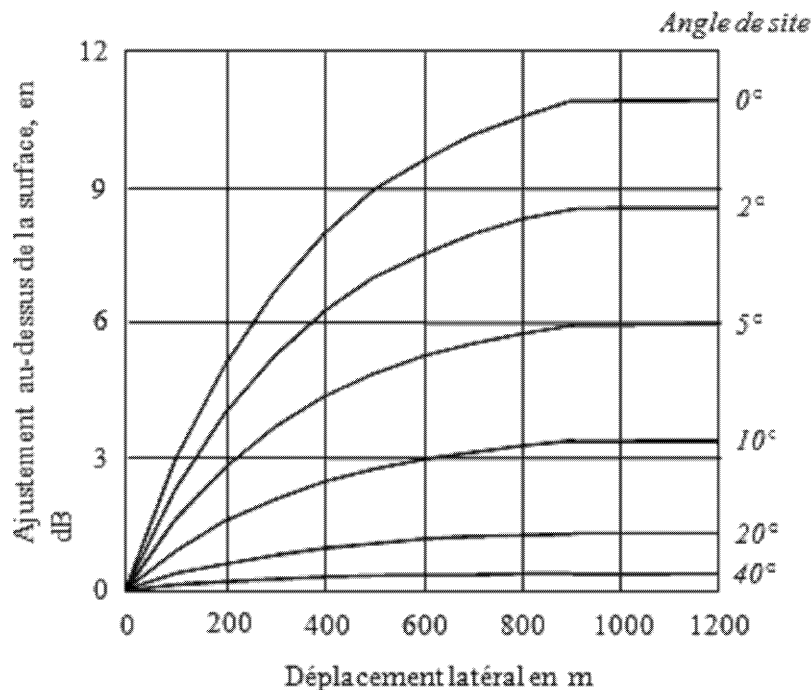
$$\Lambda(\beta) = 0 \quad \text{pour } 50^\circ \leq \beta \leq 90^\circ \quad (2.7.44)$$

L'expression relative à l'atténuation latérale  $\Lambda(\beta, \ell)$  (équation 2.7.40), qui est supposée être valable pour tout type d'avion, c'est-à-dire aussi bien pour les avions à hélice que pour les avions dont les moteurs sont montés soit à l'arrière du fuselage, soit sous voilure, est représentée graphiquement à la **figure 2.7.o**.

Dans certaines circonstances (selon le terrain),  $\beta$  peut être inférieur à zéro. Il est alors recommandé que  $\Lambda(\beta) = 10,57$ .

Figure 2.7.o

#### Variation de l'atténuation latérale $\Lambda(\beta, \ell)$ selon l'angle de site et la distance



#### Atténuation latérale du segment fini

Les équations 2.7.41 à 2.7.44 décrivent l'atténuation latérale  $\Lambda(\beta, \ell)$  du son reçu au point d'observation depuis l'avion en vol stabilisé le long d'une trajectoire de vol infinie en palier. Lorsqu'elles sont appliquées à des segments de trajectoire finis qui ne sont pas en palier, l'atténuation doit être calculée pour une trajectoire en palier équivalente — dans la mesure où le point le plus proche sur une simple extension du segment incliné (qui croise la surface du sol en un certain point) ne fournit généralement pas un angle de site  $\beta$  valable.

Le calcul de l'atténuation latérale pour les segments finis diffère sensiblement pour les métriques  $L_{max}$  et  $L_E$ . Les niveaux maximaux des segments  $L_{max}$  sont déterminés d'après les données NPD comme une fonction de la distance de propagation  $d$  depuis le point le plus proche du segment. Aucune correction n'est nécessaire pour représenter les dimensions du segment. De même, l'atténuation latérale de  $L_{max}$  est supposée dépendre uniquement de l'angle de site et de la distance du sol au même point. Seules les coordonnées de ce point sont donc requises. Toutefois, s'agissant de  $L_E$ , le processus s'avère plus complexe.

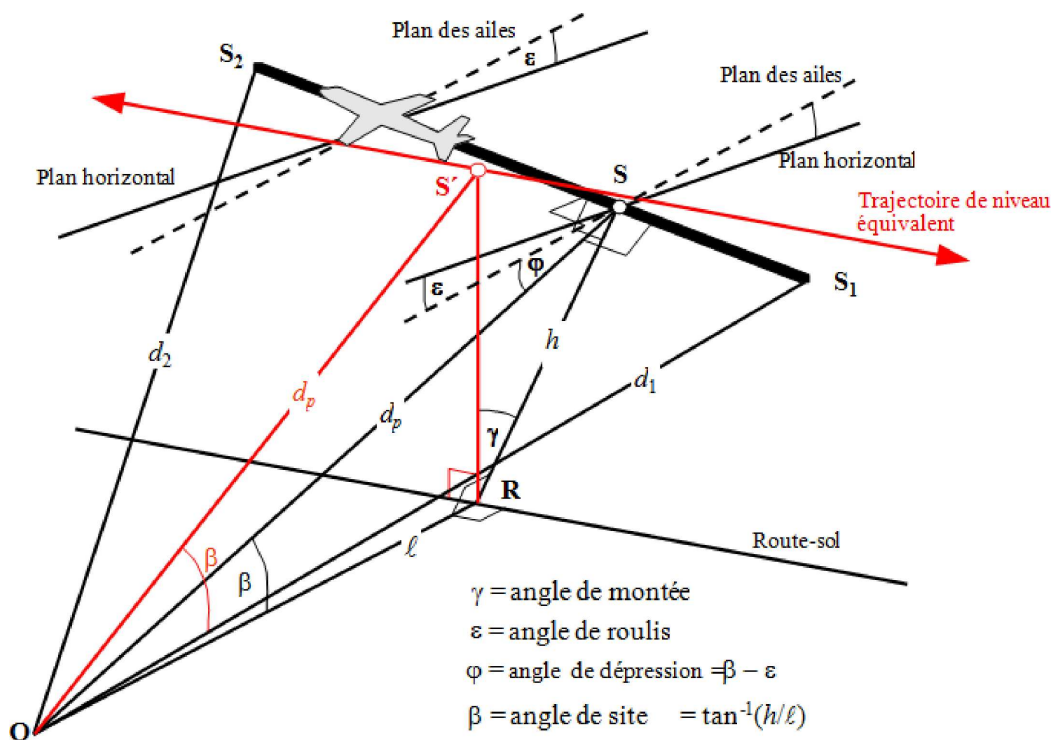
Le niveau d'événement de base  $L_E(P,d)$  déterminé d'après les données NPD, malgré les paramètres des segments finis, s'applique néanmoins à une trajectoire de vol finie. Le niveau d'exposition d'un événement émis par un segment,  $L_{E,seg}$  est assurément inférieur au niveau de base — selon le volume de la correction du segment fini défini au point 2.7.19. Cette correction, une fonction de la géométrie des triangles  $OS_1S_2$  des **figures 2.7.j à 2.7.l**, définit la proportion de l'énergie acoustique totale de la trajectoire infinie reçue en O depuis le segment. Qu'il existe ou non une atténuation latérale, la même correction est appliquée. Cependant, toute atténuation latérale doit être calculée pour une trajectoire de vol infinie, c'est-à-dire comme une fonction de son déplacement et de son altitude, ce qui n'est pas le cas pour les segments finis.

L'ajout des corrections  $\Delta_v$  et  $\Delta_r$ , et le retrait de l'atténuation latérale  $\Lambda(\beta,\ell)$  du *niveau de base* NPD fournit le niveau de bruit de l'événement ajusté pour un vol stabilisé *en palier* équivalent sur une trajectoire rectiligne infinie adjacente. Cependant, les segments de la trajectoire de vol réelle modélisés, qui influent sur les courbes de niveaux de bruit, sont rarement plats. En général, les avions sont en phase de montée ou de descente.

La **figure 2.7.p** illustre le segment de départ  $S_1S_2$ —l'avion monte sous un angle  $\gamma$ — mais les éléments demeurent très similaires à ceux d'une arrivée. Le reste de la trajectoire de vol «réelle» n'est pas représenté. Il suffit d'énoncer que  $S_1S_2$  représente simplement une partie de la trajectoire (qui sera généralement courbe). Dans ce cas, le point d'observation  $O$  se trouve au même niveau et à gauche du segment. L'avion est incliné (dans le sens antihoraire par rapport à la trajectoire de vol) à un angle  $\varepsilon$  par rapport à l'axe horizontal latéral. L'angle de dépression  $\varphi$  par rapport au plan des ailes, dont l'effet lié à l'emplacement des moteurs  $\Delta_1$  est une fonction (équation 2.7.39), se trouve dans le plan perpendiculaire à la trajectoire de vol selon lequel est défini  $\varepsilon$ . Ainsi  $\varphi = \beta - \varepsilon$  où  $\beta = \tan^{-1}(h/\ell)$  et  $\ell$  est la distance perpendiculaire, **OR**, allant du point d'observation à la route-sol, c'est-à-dire le déplacement latéral du point d'observation <sup>(1)</sup>. Le point d'approche le plus proche de l'avion au point d'observation, **S**, est défini par la perpendiculaire **OS**, de longueur  $d_p$  (distance oblique). Le triangle **OS<sub>1</sub>S<sub>2</sub>** est conforme à la **figure 2.7.k** (géométrie de calcul de la correction du segment  $\Delta_p$ ).

Figure 2.7.p

### Le point d'observation se trouve au même niveau que le segment



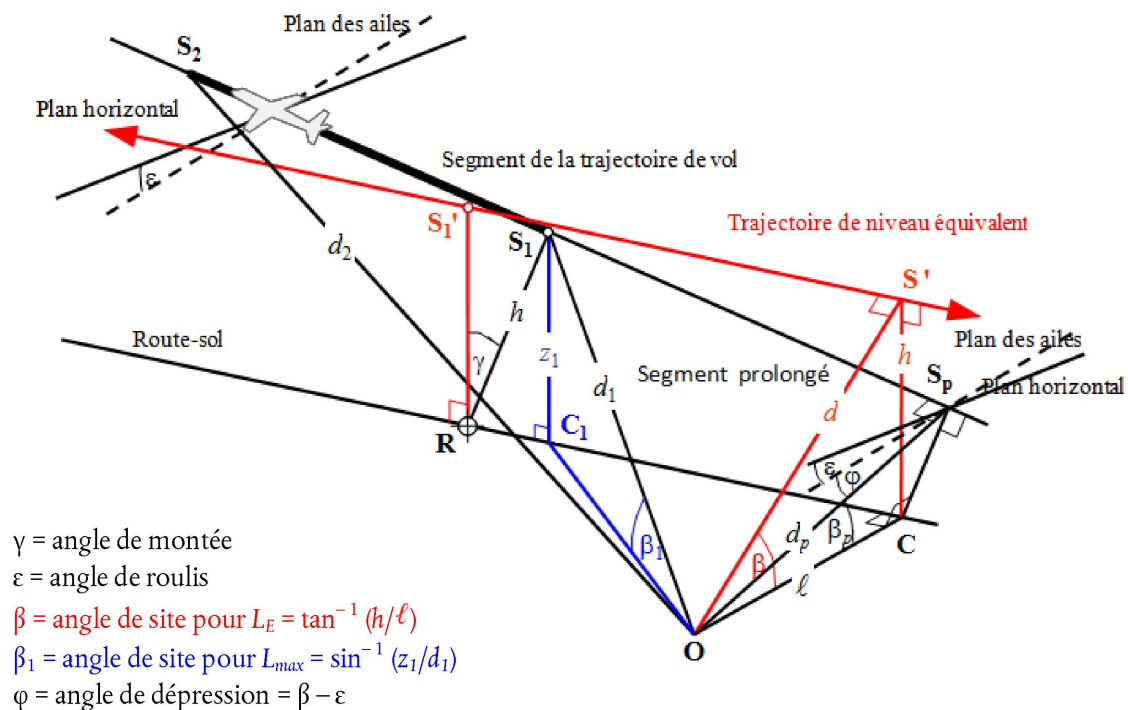
Pour calculer l'atténuation latérale d'après l'équation 2.7.40 (où  $\beta$  est mesuré dans le plan vertical), une *trajectoire de vol en palier équivalente* est définie dans le plan vertical par  $S_1S_2$  et avec la même distance oblique perpendiculaire  $d_p$  à partir du point d'observation. Elle peut être visualisée par la rotation du triangle **ORS**, et se rapporte à la trajectoire de vol par rapport à **OR** (voir **figure 2.7.p**) par l'angle  $\gamma$  en formant ainsi le triangle **ORS'**. L'angle de site de cette trajectoire en palier équivalente (désormais dans le plan vertical) est  $\beta = \tan^{-1}(h/\ell)$  ( $\ell$  reste identique). Dans ce cas, lorsque le point d'observation se trouve au même niveau que le segment, l'atténuation latérale  $\Lambda(\beta, \ell)$  est la même pour les métriques  $L_E$  et  $L_{max}$ .

<sup>(1)</sup> Pour un observateur situé à droite du segment,  $\varphi$  deviendrait  $\beta + \varepsilon$  (voir point 2.7.19).

La **figure 2.7.q** illustre la situation lorsque le point d'observation **O** se trouve *derrière le segment fini*, et non au même niveau. Le segment est ici observé comme une partie plus éloignée de la trajectoire infinie. Une perpendiculaire peut être dessinée uniquement au point **S<sub>p</sub>** situé sur son extension. Le triangle **OS<sub>1</sub>S<sub>2</sub>** est conforme à la **figure 2.7.j**, qui définit la correction du segment  $\Delta_F$ . Cependant, dans le cas présent, les paramètres de la directivité et de l'atténuation latérales sont moins évidents.

Figure 2.7.q

### Le point d'observation se trouve derrière le segment



Comme il est possible de le concevoir à des fins de modélisation, il convient de se rappeler que la directivité latérale (effet lié à l'emplacement des moteurs) est bidimensionnelle, l'angle de dépression  $\varphi$  restrictif est toujours mesuré de manière latérale depuis le plan des ailes de l'avion. (Le niveau d'événement de base est toujours généré par l'avion traversant la trajectoire de vol infinie représentée par l'extension du segment.) L'angle de dépression est donc déterminé au point d'approche le plus proche, c'est-à-dire  $\varphi = \beta_p - \epsilon$  où  $\beta_p$  est l'angle  $S_pOC$ .

Pour les métriques de niveau maximum, le paramètre de distance NPD est considéré comme étant la distance la plus courte jusqu'au segment, c'est-à-dire  $d = d_1$ . Pour les métriques de niveaux d'exposition, il s'agit de la distance la plus courte  $d_p$  allant de **O** à **S<sub>p</sub>** sur la trajectoire de vol étendue. Autrement dit, le niveau interpolé d'après le tableau NPD est  $L_{E_{\infty}}(P_1, d_p)$ .

Les paramètres géométriques relatifs à l'atténuation latérale diffèrent également des calculs des niveaux d'exposition et maximum. Pour les métriques de *niveau maximum*, l'ajustement  $\Lambda(\beta, \ell)$  est obtenu par l'équation 2.7.40, avec  $\beta = \beta_1 = \sin^{-1}(z_1/d_1)$  et  $\ell = OC_1 = \sqrt{d_1^2 - z_1^2}$  où  $\beta_1$  et  $d_1$  sont définis par le triangle **OC<sub>1</sub>S<sub>1</sub>** dans le plan vertical passant par **O** et **S<sub>1</sub>**.

En calculant l'atténuation latérale pour les segments en vol uniquement, et les métriques des *niveaux d'exposition*,  $\ell$  reste le plus court déplacement latéral de l'extension du segment (**OC**). Cependant, pour définir une valeur adaptée de  $\beta$  il est une fois de plus nécessaire de visualiser une *trajectoire de vol (infinie) en palier équivalente* à laquelle le segment est supposé appartenir. Elle passe par **S<sub>1</sub>'**, de hauteur  $h$  au-dessus de la surface, où  $h$  est égal à la longueur de **RS<sub>1</sub>**, perpendiculaire de la route-sol au segment. Cette opération revient à faire pivoter la trajectoire de vol réelle étendue de l'angle  $\gamma$  par rapport au point **R** (voir **figure 2.7.q**). Dans la mesure où **R** se trouve sur la perpendiculaire à **S<sub>1</sub>**, le point du segment situé le plus proche de **O**, la construction de la trajectoire en palier équivalente est la même que lorsque **O** se trouve au même niveau que le segment.

Le point d'approche de la trajectoire en palier équivalente le plus proche du point d'observation **O** se trouve en **S'**, la distance oblique  $d$ , de telle sorte que le triangle **OCS'** ainsi formé dans le plan vertical définit alors l'angle de site  $\beta = \cos^{-1}(\ell/d)$ . Bien que cette transformation puisse paraître relativement complexe, il convient de remarquer que la géométrie de base (définie par  $d_1$ ,  $d_2$  et  $\varphi$ ) reste inchangée, le son se propageant du segment vers le point d'observation est simplement le même que si la totalité du vol le long du segment incliné étendu à l'infini (auquel appartient le segment pour les besoins de la modélisation) se déroulait à une vitesse  $V$  et un régime moteur  $P_1$  constants. Par ailleurs, l'atténuation latérale du son du segment reçu au point d'observation ne se rapporte pas à  $\beta_p$ , l'angle de site de la trajectoire étendue, mais à  $\beta$  celui de la trajectoire en palier équivalente.

Le cas d'un point d'observation situé devant le segment ne fait pas l'objet d'une description distincte, dans la mesure où il s'agit essentiellement de la même situation que pour le cas du point d'observation situé derrière le segment.

Cependant, s'agissant des métriques du niveau d'exposition pour lesquelles les points d'observation se trouvent derrière les segments au sol au cours du roulage au décollage, et devant les segments au sol durant le roulage à l'atterrissage, la valeur de  $\beta$  devient la même que pour les métriques des niveaux maximaux, à savoir  $\beta = \beta_1 = \sin^{-1}(z_1/d_1)$  et  $\ell = OC_1 = \sqrt{d_1^2 - z_1^2}$

Correction du segment fini  $\Delta_F$  (uniquement niveau d'exposition  $L_E$ )

Le niveau d'exposition au bruit de base ajusté se rapporte à un avion évoluant en palier stabilisé, rectiligne et continu (quoique avec un angle d'inclinaison  $\varepsilon$  incompatible avec un vol rectiligne). Le fait d'appliquer une correction (négative) du segment fini  $\Delta_F = 10 \times \lg(F)$ , où  $F$  correspond à la fraction de l'énergie, ajuste davantage le niveau par rapport à ce qu'il serait si l'avion traversait le segment fini uniquement (ou était complètement silencieux pour le reste de la trajectoire de vol infinie).

Le terme de fraction d'énergie représente la directivité longitudinale prononcée du bruit de l'avion, et l'angle sous-tendu par le segment au niveau du point d'observation. Bien que les processus responsables de la directivité soient très complexes, des études ont indiqué que les courbes résultantes se révèlent insensibles aux caractéristiques directionnelles précises supposées. L'expression de  $\Delta_F$  ci-après repose sur un modèle de propagation du son dipôle à 90 degrés à la puissance quadratique, supposée ne pas être affectée par la directivité et l'atténuation latérale. La façon dont est dérivée cette correction est décrite en détail à l'**appendice E**.

La fraction d'énergie  $F$  est une fonction du triangle «vue» **OS<sub>1</sub>S<sub>2</sub>** défini aux **figures 2.7.j à 2.7.l**, telle que:

$$\Delta_F = 10 \cdot \lg \left[ \frac{1}{\pi} \left( \frac{\alpha_2}{1 + \alpha_2^2} + \arctan \alpha_2 - \frac{\alpha_1}{1 + \alpha_1^2} - \arctan \alpha_1 \right) \right] \quad (2.7.45)$$

avec

$$\alpha_1 = -\frac{q}{d_\lambda}; \quad \alpha_2 = -\frac{q - \lambda}{d_\lambda}; \quad d_\lambda = d_0 \cdot 10^{[L_{E\infty}(P, d_p) - L_{\max}(P, d_p)]/10}; \quad d_0 = \frac{2}{\pi} \cdot V_{ref} \cdot t_0.$$

où  $d_\lambda$  est la «distance graduée» ou échelonnée (voir **appendice E**). Il est à remarquer que  $L_{\max}(P, d_p)$  est le niveau maximal, d'après les données NPD, pour la distance perpendiculaire  $d_p$ , et NON le segment  $L_{\max}$ .

Il est recommandé d'appliquer une limite inférieure de  $-150$  dB à  $\Delta_F$ .

Dans le cas particulier où les points d'observation situés derrière chaque segment de roulage au décollage et devant chaque segment de roulage à l'atterrissage, une forme réduite de fraction du bruit est utilisée dans l'équation 2.7.45, qui correspond au cas spécifique où  $q = 0$ . Elle est calculée selon l'expression suivante:

$$\Delta_F = 10 \log_{10} \left[ (1/\pi) \left[ \alpha_2 / (1 + \alpha_2^2) + \tan^{-1} \alpha_2 \right] 10^{\Delta_{SOR}/10} \right] \quad (2.7.46)$$

où  $\alpha_2 = \lambda/d_\lambda$  et  $\Delta_{SOR}$  correspond à la fonction de directivité du départ de roulage définie par les équations 2.7.51 et 2.7.52.

Les raisons motivant l'utilisation de cette forme particulière de fraction du bruit sont expliquées plus avant ci-dessous, dans le cadre de la méthode d'application de la directivité du début de roulage.

Traitements spécifiques des segments de roulage, y compris la fonction de directivité du début de roulage  $\Delta_{SOR}$

Les traitements spécifiques appliqués dans le cas de segments de roulage, tant au décollage qu'à l'atterrissage sont décrits ci-dessous.

Fonction de directivité du début de roulage  $\Delta_{SOR}$

Le bruit des avions à réaction — notamment ceux équipés de moteurs à faible taux de dilution — présente un schéma de propagation à lobes sur l'arc arrière, caractéristique du bruit d'éjection des gaz. Ce schéma sera d'autant plus prononcé que la vitesse d'éjection des gaz est élevée et celle de l'avion est lente. Cet aspect revêt une importance particulière pour les points d'observation situés derrière le début du roulage, où les deux conditions sont réunies. Cet effet est pris en compte par la fonction de directivité  $\Delta_{SOR}$ .

La fonction  $\Delta_{SOR}$  a été dérivée de plusieurs campagnes de mesure du bruit recourant à des microphones positionnés de manière appropriée derrière ou au niveau du début du roulage lors du décollage d'un avion à réaction.

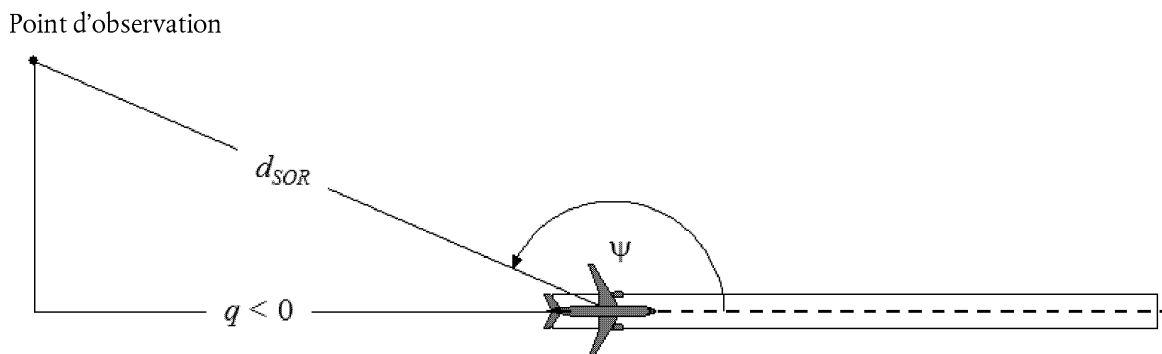
La **figure 2.7.r** illustre la géométrie de la situation. L'azimut  $\psi$  entre l'axe longitudinal de l'avion et le vecteur d'observation est défini par l'équation suivante:

$$\psi = \arccos\left(\frac{q}{d_{SOR}}\right). \quad (2.7.47)$$

La distance relative  $q$  est négative (voir **figure 2.7.j**), si bien que  $\psi$  s'étend de  $0^\circ$  lorsque l'avion progresse vers l'avant, à  $180^\circ$  dans le sens opposé.

Figure 2.7.r

#### Géométrie avion-point d'observation au sol pour l'estimation de la correction de la directivité



La fonction  $\Delta_{SOR}$  représente la variation de l'ensemble du bruit produit par le roulage au décollage pour les points mesurés derrière le début du roulage, par rapport à l'ensemble du bruit produit par le roulage au décollage pour les points mesurés au niveau du SOR, à la même distance:

$$L_{TGR}(d_{SOR}, \psi) = L_{TGR}(d_{SOR}, 90^\circ) + \Delta_{SOR}(d_{SOR}, \psi) \quad (2.7.48)$$

où  $L_{TGR}(d_{SOR}, 90^\circ)$  correspond au niveau d'événement généré par tous les segments du roulage au décollage à la distance  $d_{SOR}$  du point situé sur le côté du SOR. Pour les distances  $d_{SOR}$  inférieures à la distance de normalisation  $d_{SOR,0}$ , la fonction de directivité SOR est définie par

$$\Delta_{SOR}^0 = 51,47 - 1,553 \cdot \psi + 0,015147 \cdot \psi^2 - 0,000047173 \cdot \psi^3 \quad \text{si } 90^\circ \leq \psi < 148,4^\circ \quad (2.7.49)$$

$$\Delta_{SOR}^0 = 339,18 - 2,5802 \cdot \psi - 0,0045545 \cdot \psi^2 + 0,000044193 \cdot \psi^3 \quad \text{si } 148,4^\circ \leq \psi \leq 180^\circ \quad (2.7.50)$$

Si la distance  $d_{SOR}$  excède la distance de normalisation  $d_{SOR,0}$ , la correction de la directivité est multipliée par un facteur de correction, afin de rendre compte du fait que la directivité devient moins prononcée pour les longues distances par rapport à l'avion, c'est-à-dire:

$$\Delta_{SOR} = \Delta_{SOR}^0 \quad \text{si } d_{SOR} \leq d_{SOR,0} \quad (2.7.51)$$

$$\Delta_{SOR} = \Delta_{SOR}^0 \cdot \frac{d_{SOR,0}}{d_{SOR}} \quad \text{si } d_{SOR} > d_{SOR,0} \quad (2.7.52)$$

La distance de normalisation  $d_{SOR,0}$  est égale à 762 m (2 500 ft).

Traitement des points d'observation situés derrière chaque segment de roulage au décollage et à l'atterrissage

La fonction de correction du départ de roulage  $\Delta_{SOR}$  décrite ci-dessus représente principalement l'effet de directivité prononcée de la partie initiale du roulage au décollage en des points situés derrière le SOR (parce qu'ils sont les plus proches des points d'observation et sont caractérisés par le rapport le plus élevé entre la vitesse d'éjection des gaz et celle de l'avion). Cependant, l'utilisation de la fonction  $\Delta_{SOR}$  ainsi établie est «généralisée» à des points situés derrière chaque segment de roulage individuel, tant au décollage qu'à l'atterrissage, et ne se limite donc pas au point de début de roulage (dans le cas du décollage).

Les paramètres  $d_s$  et  $\psi$  sont calculés par rapport au début de chaque segment de roulage individuel.

Le niveau d'événement  $L_{seg}$  pour un point situé derrière un segment de roulage — de décollage ou d'atterrissage — donné est calculé afin de se conformer au formalisme de la fonction  $\Delta_{SOR}$ : il est essentiellement calculé pour le point de référence situé au niveau du point de départ du segment, à la même distance  $d_s$  que le point réel, et est encore ajusté avec la fonction  $\Delta_{SOR}$  afin d'obtenir le niveau de l'événement au point réel.

Autrement dit, les différents termes de correction des équations suivantes doivent utiliser les paramètres géométriques correspondant à ce point de référence situé au niveau du point de départ:

$$L_{max,seg} = L_{max}(P, d = d_s) + \Delta_l(\varphi) - \Lambda(\beta, l = d_s) + \Delta_{SOR} \quad (2.7.53)$$

$$L_{E,seg} = L_{E,\infty}(P, d = d_s) + \Delta_V + \Delta_l(\varphi) - \Lambda(\beta, l = d_s) + \Delta'_F + \Delta_{SOR} \quad (2.7.54)$$

où  $\Delta'_F$  est la forme réduite de la fraction du bruit exprimée dans l'équation 2.7.46 dans le cas où  $q = 0$  (comme le point de référence est situé au niveau du point de départ) et en gardant à l'esprit que  $d_\lambda$  doit être calculé en utilisant  $d_s$  (et non  $d_p$ ) selon l'équation suivante:

$$d_\lambda = d_0 \cdot 10^{\frac{L_{E,\infty}(P, d_s) - L_{max}(P, d_s)}{10}} \quad (2.7.55)$$

#### 2.7.20. Niveau acoustique d'un événement L d'un mouvement d'aéronef de l'aviation générale

La méthode décrite au point 2.7.19 est applicable à tout aéronef à hélice de l'aviation générale quand il est traité comme un avion à hélice pour ce qui est des effets liés à l'emplacement des moteurs.

La base de données ANP comprend des entrées pour plusieurs aéronefs de l'aviation générale. Alors que ces données correspondent aux aéronefs de l'aviation générale les plus couramment exploités, il se peut qu'il soit opportun d'utiliser des données supplémentaires dans certains cas.

Si l'aéronef de l'aviation générale est soit inconnu soit absent de la base de données ANP, il est recommandé d'utiliser les données d'avions génériques fictifs d'aviation générale de GASEPF (monomoteurs légers à hélice à pas fixe) et de GASEPV (monomoteurs légers à hélice à pas variable) respectivement. Les tableaux des entrées sont présentés à l'appendice I (tableaux I-11 et I-17).

#### 2.7.21. Méthode de calcul du bruit émis par les hélicoptères

Le calcul du bruit émis par un hélicoptère peut se baser sur la même méthode que celle utilisée pour les aéronefs à voilure fixe (exposée au point 2.7.14), pour autant que les hélicoptères soient considérés comme des avions à hélice et que les effets liés à l'emplacement des moteurs associés aux avions à réaction ne soient pas appliqués. Des tableaux d'entrées pour deux ensembles de données différents sont présentés à l'appendice I (tableaux I-18 et I-27).

#### 2.7.22. Bruit associé aux opérations d'essais moteurs (point fixe moteur), au roulage et aux groupes auxiliaires de puissance

Dans les cas de figure où il convient de modéliser le bruit associé aux essais moteurs et aux groupes auxiliaires de puissance (GAP), la modélisation s'opère conformément au chapitre consacré aux bruits industriels. Bien que ce ne soit généralement pas le cas, le bruit engendré par tout essai moteur d'avion (parfois appelé «point fixe moteur») sur un aéroport peut contribuer aux impacts de bruit. De manière générale, ces essais sont mis en œuvre à des fins techniques afin de vérifier les performances des moteurs. À cet effet, l'avion est placé en toute sécurité à bonne distance des immeubles, des mouvements d'aéronefs, de véhicules et/ou du personnel afin d'éviter tout dommage consécutif au souffle du réacteur.

Afin de répondre à des exigences supplémentaires en matière de sécurité et de contrôle de bruit aérien, les aéroports, notamment ceux qui disposent d'installations de maintenance pouvant donner lieu à des fréquents essais moteurs, peuvent installer des «enclos antibruit», en d'autres termes des enceintes recouvertes de déflecteurs sur 3 côtés spécialement conçues pour dissiper et dévier le souffle et le bruit du réacteur. Pour examiner l'impact de bruit de telles installations, lequel impact peut encore être atténué et réduit davantage en utilisant des levées de terre supplémentaires ou une barrière antibruit performante, il est préférable de traiter l'enclos antibruit comme une source de bruits industriels et d'utiliser un modèle appropriée de propagation du son et du bruit.

#### 2.7.23. Calcul des niveaux cumulatifs

Les points 2.7.14 à 2.7.19 décrivent le calcul du niveau de bruit de l'événement d'un mouvement individuel d'un avion en un point d'observation unique. L'exposition au bruit totale en ce point est calculée en cumulant les niveaux des événements de tous les mouvements d'avion notables en matière de bruit, au départ ou à l'arrivée, influençant le niveau cumulatif.

#### 2.7.24. Niveaux acoustiques pondérés équivalents

Les niveaux acoustiques équivalents avec pondération temporelle, qui représentent toutes les énergies acoustiques notables des avions, peuvent être exprimés de manière générique par la formule suivante:

$$L_{eq,W} = 10 \cdot \lg \left[ \frac{t_0}{T_0} \cdot \sum_{i=1}^N g_i \cdot 10^{L_{E,i}/10} \right] + C \quad (2.7.56)$$

La somme est obtenue pour tous les événements acoustiques  $N$  au cours d'un intervalle de temps  $T_0$  auquel s'applique l'indice de bruit.  $L_{E,i}$  est le niveau d'exposition au bruit d'un événement individuel du  $i$ ème ( $i$ ) événement acoustique, et  $g_i$  le facteur de pondération en fonction du moment de la journée (généralement défini pour les plages de jour, soir et nuit). En réalité,  $g_i$  est un multiplicateur du nombre de vols intervenant au cours de ces plages spécifiques. La constante  $C$  peut avoir différentes significations (constante de normalisation, ajustement saisonnier, etc.).

Selon la relation

$$g_i = 10^{\Delta_i/10}$$

où  $\Delta_i$  correspond à la pondération décibel pour la  $i$ ème période, l'équation 2.7.56 peut être réécrite de la manière suivante

$$L_{eq,W} = 10 \cdot \lg \left[ \frac{t_0}{T_0} \sum_{i=1}^N 10^{(L_{E,i} + \Delta_i)/10} \right] + C \quad (2.7.57)$$

ce qui signifie que la pondération en fonction du moment de la journée est exprimée par un effet compensatoire supplémentaire.

#### 2.7.25. Nombre pondéré des opérations

Le niveau acoustique cumulatif est estimé par la somme des contributions de tous les différents types ou catégories d'avion empruntant les différents itinéraires de vol qui constituent le scénario aéroportuaire.

Les symboles suivants sont introduits pour décrire ce processus de cumulation:

$i$  indice relatif aux types et catégories d'avion,

$j$  indice relatif à la trajectoire de vol et aux sous-routes (si celles-ci sont définies),

$k$  indice relatif au segment de la trajectoire de vol.

De nombreux indices de bruit — notamment les niveaux acoustiques équivalents — comprennent dans leur définition des facteurs de pondération  $g_i$  en fonction du moment de la journée (équations 2.7.56 et 2.7.57).

Le processus de cumulation peut être simplifié par l'introduction d'un «nombre pondéré des opérations»:

$$M_{ij} = (g_{day} \cdot N_{ij,day} + g_{evening} \cdot N_{ij,evening} + g_{night} \cdot N_{ij,night}) \quad (2.7.58)$$

Les valeurs  $N_{ij}$  représentent le nombre des opérations du type/de la catégorie d'avion  $i$  sur la trajectoire (ou les sous-routes)  $j$  au cours des plages de jour, soir et nuit respectivement <sup>(1)</sup>.

D'après l'équation 2.7.57, le niveau acoustique cumulatif (générique)  $L_{eq}$  au point d'observation  $(x,y)$  est le suivant:

$$L_{eq,W}(x,y) = 10 \cdot \lg \left[ \frac{t_0}{T_0} \cdot \sum_i \sum_j \sum_k M_{ij} \cdot 10^{L_{E,ijk}(x,y)/10} \right] + C \quad (2.7.59)$$

$T_0$  correspond à la plage de référence. À l'instar des facteurs de pondération  $g_i$ , elle dépend de la définition spécifique de l'indice de pondération choisi (par exemple,  $L_{DEN}$ ). Le  $L_{E,ijk}$  est la contribution du niveau acoustique d'un événement unique du segment  $k$  de la route ou sous-route  $j$  pour une opération d'un avion de catégorie  $i$ . L'estimation de  $L_{E,ijk}$  est décrite en détail aux points 2.7.14 à 2.7.19.

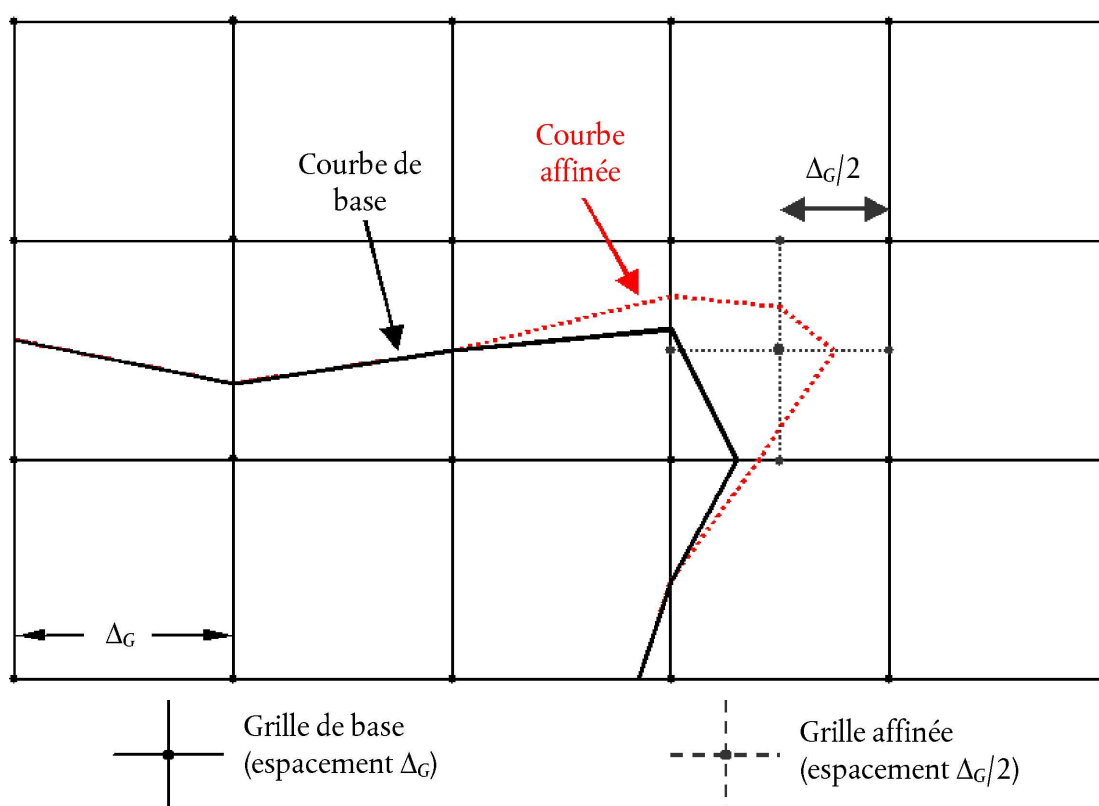
<sup>(1)</sup> Le moment étudié peut être différent de ces trois plages, selon la définition de l'indice de bruit utilisé.

## 2.7.26. Calcul et affinage de la grille standard

Lorsque les courbes de niveau de bruit sont obtenues par interpolation des valeurs des indices à des points de la grille espacés de manière rectangulaire, leur précision dépend du choix de l'espacement de la grille (ou maillage)  $\Delta_G$ , notamment pour les cas où les gradients importants de la distribution spatiale de l'indice entraînent une courbure serrée des courbes de niveau de bruit (voir **figure 2.7.s**). Les erreurs d'interpolation sont réduites par la diminution de l'espacement de la grille, mais dans la mesure où ce procédé entraîne une augmentation du nombre de points de la grille, le temps de calcul est lui aussi prolongé. L'optimisation d'un maillage régulier de la grille nécessite un juste équilibre entre la précision de la modélisation et le temps d'exécution.

Figure 2.7.s

## Grille standard et grille affinée



Afin d'améliorer nettement l'efficacité du calcul pour des résultats plus précis, il convient d'utiliser une grille irrégulière afin d'affiner l'interpolation pour les cas critiques. La technique, illustrée à la **figure 2.7.s**, consiste à resserrer localement l'espacement, sans toucher au reste de la grille. Il s'agit d'une méthode très simple, obtenue d'après les étapes suivantes:

- 1) définir une différence  $\Delta L_R$  pour l'indice de bruit;
- 2) calculer la grille de base d'un espacement  $\Delta_G$ ;
- 3) vérifier les différences  $\Delta L$  des valeurs de l'indice entre les nœuds adjacents de la grille;
- 4) si des différences de type  $\Delta L > \Delta L_R$  se présentent, définir une nouvelle grille avec un espacement  $\Delta_G/2$  et estimer les niveaux pour tous les nouveaux nœuds de la manière suivante:

If  $\begin{cases} \Delta L \leq \Delta L_R \\ \Delta L > \Delta L_R \end{cases}$  calculate the new value  $\begin{cases} \text{by linear interpolation from the adjacent ones.} \\ \text{completely anew from the basic input data.} \end{cases}$

- 5) reproduire les étapes 1 à 4 jusqu'à ce que toutes les différences soient inférieures à la différence du seuil;
- 6) estimer les courbes par interpolation linéaire.

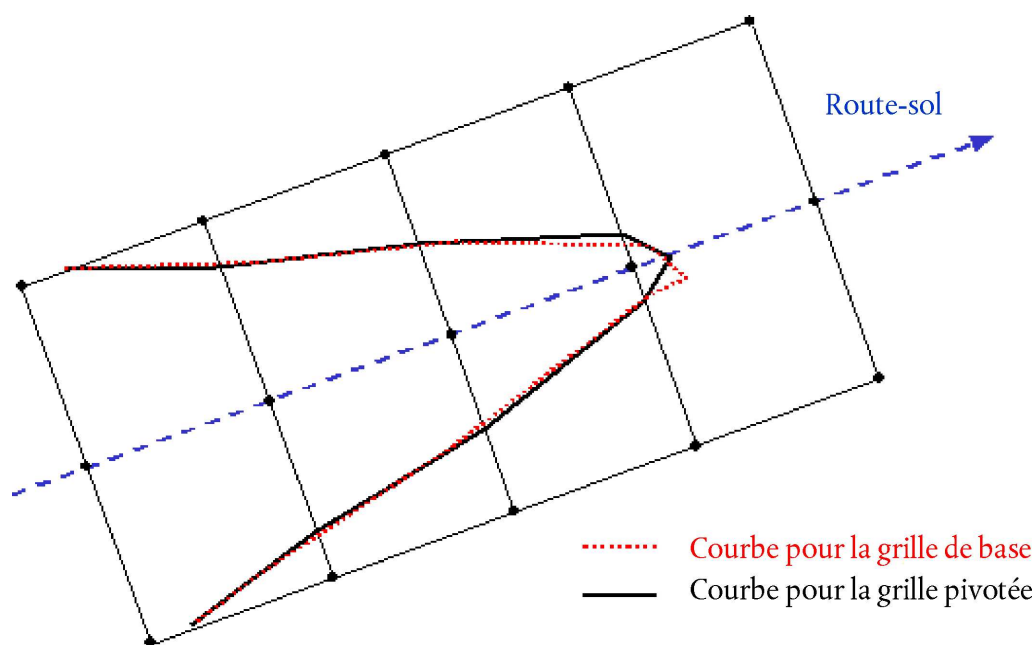
Si l'ensemble des valeurs indicielles doivent être associées aux autres (par exemple, pour le calcul des indices pondérés en additionnant les courbes de niveau de bruit distinctes pour le jour, le soir, la nuit), il est nécessaire que les différentes grilles soient identiques.

#### 2.7.27. Utilisation des grilles pivotantes

Dans de nombreux cas pratiques, la véritable forme des courbes de niveau de bruit tend à être symétrique par rapport à la route-sol. Cependant, si la route n'est pas alignée à la grille de calcul, la forme de courbe peut être asymétrique.

Figure 2.7.t

#### Utilisation d'une grille pivotante

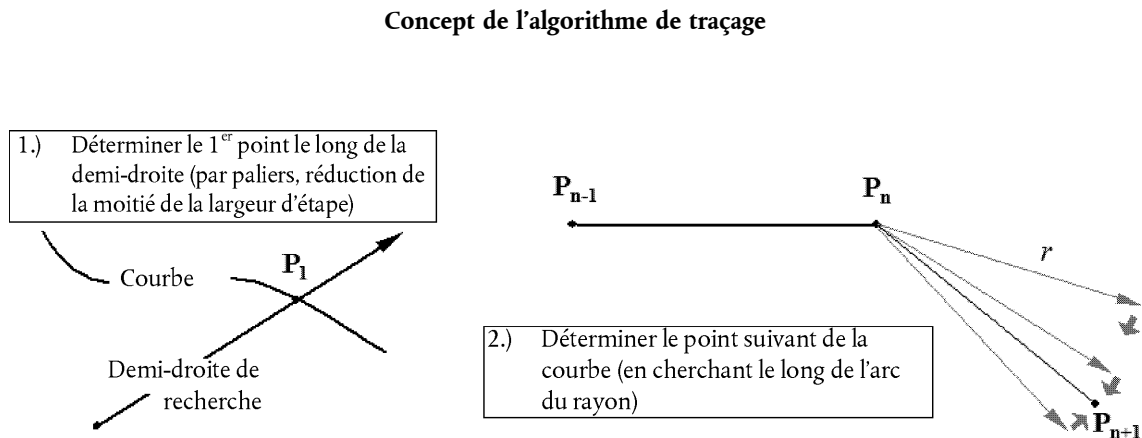


Une façon simple d'éviter cet effet consiste à resserrer la grille, même si ce procédé augmente le temps de calcul. Une solution plus judicieuse consiste à procéder au pivotement de la grille de calcul, de sorte que son sens soit parallèle aux routes-sol principales (c'est-à-dire généralement parallèle à la route principale). La **figure 2.7.t** illustre l'effet d'une telle rotation de la grille sur la forme de la courbe.

## 2.7.28. Traçage des courbes de niveau de bruit

Un algorithme consistant à tracer la trajectoire de la courbe, point par point, permet de gagner beaucoup de temps car elle évite d'avoir à calculer un tableau complet de valeurs indicielles, au prix d'un calcul légèrement plus complexe. Cette option implique la réalisation et la répétition de deux étapes de base (voir **figure 2.7.u**):

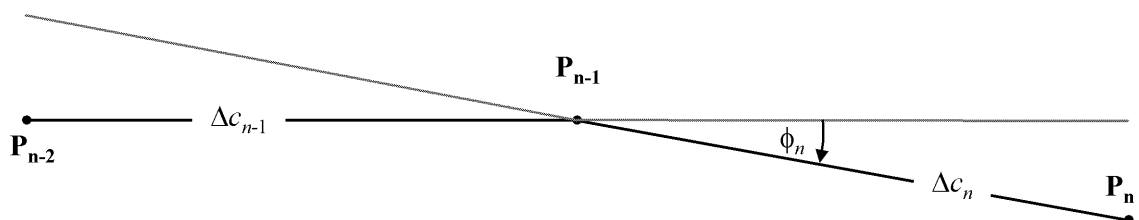
Figure 2.7.u



L'étape 1 consiste à déterminer un premier point  $P_1$  sur la courbe. Elle peut être réalisée par le calcul des niveaux indiciels de bruit  $L$  à l'aide de mesures équidistantes le long d'une «demi-droite de recherche» devant former une intersection avec la courbe requise du niveau  $L_c$ . Lorsque la demi-droite rencontre la courbe, la différence  $\delta = L_c - L$  change de signe. Le cas échéant, la largeur d'étape le long de la demi-droite est réduite de moitié et la direction de recherche est inversée. L'opération est réalisée jusqu'à ce que la différence  $\delta$  soit inférieure au seuil de précision prédéfini.

L'étape 2, qui est répétée jusqu'à ce que la courbe soit suffisamment bien définie, consiste à déterminer le point suivant sur la courbe  $L_c$  — qui se trouve à une distance  $r$  spécifique de la ligne droite à partir du point en cours. Pour les mesures angulaires consécutives, les niveaux et les différences d'indices  $\delta$  sont calculés aux extrémités des vecteurs décrivant un arc avec un rayon  $r$ . En réduisant de moitié et en inversant les accroissements de manière similaire, cette fois-ci dans le sens du vecteur, le point suivant de la courbe est déterminé avec une précision prédéfinie.

Figure 2.7.v

**Paramètres géométriques définissant les conditions de l'algorithme de traçage**

Certaines contraintes doivent être imposées dans le but de garantir que la courbe est estimée avec un degré de précision suffisant (voir **figure 2.7.v**):

- 1) la longueur de la corde  $\Delta c$  (la distance entre deux points de la courbe) doit être comprise dans un intervalle  $[\Delta c_{\min}, \Delta c_{\max}]$ , p. ex. [10 m, 200 m];
- 2) la longueur du rapport entre deux cordes adjacentes de longueur  $\Delta c_n$  et  $\Delta c_{n+1}$  doit être limitée, p. ex.  $0,5 < \Delta c_n / \Delta c_{n+1} < 2$ ;

- 3) pour ce qui est de la bonne adaptation de la longueur de la corde à la forme de courbe, les conditions suivantes doivent être remplies:

$$\Phi_n \cdot \max(\Delta c_{n-1}, \Delta c_n) \leq \varepsilon \quad (\varepsilon \approx 15 \text{ m})$$

où  $f_n$  correspond à la différence de sens des cordes.

L'expérience de cet algorithme a montré que, en moyenne, entre 2 et 3 valeurs indicielles doivent être calculées pour déterminer un point de la courbe avec une précision supérieure à 0,01 dB.

Cet algorithme accélère considérablement le temps de calcul, notamment lorsque les courbes sont grandes. Cependant, il convient de remarquer que sa mise en œuvre requiert une certaine expérience, en particulier lorsque la courbe se divise en îlots distincts.

## 2.8. Assigner des niveaux de bruit et de population aux immeubles

L'évaluation de l'exposition au bruit de la population ne prend en compte que les immeubles résidentiels. Aucune personne ne doit être assignée à d'autres immeubles dénués d'utilité résidentielle comme les écoles, les hôpitaux, les immeubles de bureau et les usines. L'assignation de la population aux immeubles résidentiels se base sur les dernières données officielles qui sont fonction des réglementations spécifiques de l'État membre.

Étant donné que le calcul relatif aux avions est réalisé sur la base d'une grille de résolution de 100 mètres de côté, ce qui est le cas spécifique du bruit des avions, les niveaux doivent être interpolés sur la base des niveaux de bruit de la grille la plus proche.

### *Détermination du nombre d'habitants d'un immeuble*

Le nombre d'habitants dans un immeuble résidentiel constitue un paramètre intermédiaire important pour l'estimation de l'exposition au bruit. Malheureusement, des données relatives à ce paramètre ne sont pas toujours disponibles. Ci-dessous, il est précisé comment ce paramètre peut être dérivé de données plus facilement disponibles.

Liste des symboles utilisés ci-dessus:

|      |   |   |
|------|---|---|
| BA   | = | surface de la base de l'immeuble          |
| DFS  | = | surface habitable                         |
| DUFS | = | surface habitable de l'unité d'habitation |
| H    | = | hauteur de l'immeuble                     |
| FSI  | = | surface habitable par habitant            |
| Inh  | = | nombre d'habitants                        |
| NF   | = | nombre d'étages                           |
| V    | = | volume d'immeubles résidentiels           |

En fonction des données disponibles, le calcul du nombre d'habitants suivra une des deux procédures (Cas 1 et Cas 2) décrites ci-dessous.

### CAS 1: les données relatives au nombre d'habitants sont disponibles

1A: le nombre d'habitants est connu ou a été estimé sur la base des unités d'habitation. Dans ce cas, le nombre d'habitants d'un immeuble est égal à la somme des nombres d'habitants de toutes les unités d'habitation de l'immeuble:

$$Inh_{\text{building}} = \sum_{i=1}^n Inh_{\text{dwelling}_{\text{unit}_i}} \quad (2.8.1)$$

1B: le nombre d'habitants n'est connu que pour des entités plus grandes qu'un immeuble, par exemple, tout ou partie de blocs d'immeubles, des quartiers, voire une municipalité entière. Dans ce cas, le nombre d'habitants d'un immeuble est estimé sur la base du volume de l'immeuble selon la formule suivante:

$$Inh_{building} = \frac{V_{building}}{V_{total}} \times Inh_{total} \quad (2.8.2)$$

L'indice «total» renvoie à l'entité respective considérée. Le volume de l'immeuble est le produit de la surface de sa base par sa hauteur:

$$V_{building} = BA_{building} \times H_{building} \quad (2.8.3)$$

Si la hauteur de l'immeuble est inconnue, elle doit être estimée sur la base du nombre d'étages  $NF_{building}$ , en supposant une hauteur moyenne de 3 m par étage:

$$H_{building} = NF_{building} \times 3 \text{ m} \quad (2.8.4)$$

Si le nombre d'étages est aussi inconnu, une valeur par défaut du nombre d'étages représentatif du quartier ou de l'arrondissement doit être utilisée.

Le volume total des immeubles résidentiels dans l'entité considérée  $V_{total}$  est égal à la somme des volumes de tous les immeubles résidentiels de l'entité:

$$V_{total} = \sum_{i=1}^n V_{building_i} \quad (2.8.5)$$

#### CAS 2: aucune donnée disponible sur le nombre d'habitants

Dans ce cas, le nombre d'habitants est estimé sur la base de la moyenne de la surface habitable par habitant  $FSI$ . Si ce paramètre n'est pas connu, une valeur par défaut nationale doit être utilisée.

2A: la surface habitable est connue sur la base des unités d'habitation. Dans ce cas, le nombre d'habitants de chaque unité d'habitation est estimé comme suit:

$$Inh_{dwelling_{unit_i}} = \frac{DUFS_i}{FSI} \quad (2.8.6)$$

Le nombre d'habitants de l'immeuble peut désormais être estimé comme dans le CAS 1A ci-dessus.

2B: la surface habitable est connue pour l'ensemble de l'immeuble, en d'autres termes, la somme des surfaces habitables de toutes les unités d'habitation de l'immeuble est connue. Dans ce cas, le nombre d'habitants est estimé ainsi:

$$Inh_{building} = \frac{DFS_{building}}{FSI} \quad (2.8.7)$$

2C: la surface habitable n'est connue que pour des entités plus grandes qu'un immeuble, par exemple tout ou partie de blocs d'immeubles, des quartiers, voire l'ensemble d'une municipalité.

Dans ce cas, le nombre d'habitants d'un immeuble est estimé sur la base du volume de l'immeuble tel qu'il est décrit dans le CAS 1B ci-dessus, le nombre total d'habitants étant estimé comme suit:

$$Inh_{total} = \frac{DFS_{total}}{FSI} \quad (2.8.8)$$

2D: la surface habitable n'est pas connue. Dans ce cas, le nombre d'habitants d'un immeuble est estimé selon la formule du CAS 2B ci-dessus, la surface habitable étant estimée comme suit:

$$DFS_{building} = BA_{building} \times 0,8 \times NF_{building} \quad (2.8.9)$$

Le facteur 0,8 est le facteur de conversion *surface hors œuvre brute* → *surface habitable*. Si un autre facteur représentatif de la zone est connu, il convient de l'utiliser et de le documenter clairement.

Si le nombre d'étages de l'immeuble n'est pas connu, il doit être estimé sur la base de la hauteur de l'immeuble,  $H_{\text{building}}$ , ce qui résulte généralement en un nombre non entier d'étages.

$$NF_{\text{building}} = \frac{H_{\text{building}}}{3 \text{ m}} \quad (2.8.10)$$

Si la hauteur de l'immeuble et le nombre d'étages ne sont pas connus, il convient d'utiliser une valeur par défaut du nombre d'étages, qui soit représentative du quartier ou de l'arrondissement.

*Assigner des points de réception aux façades des immeubles*

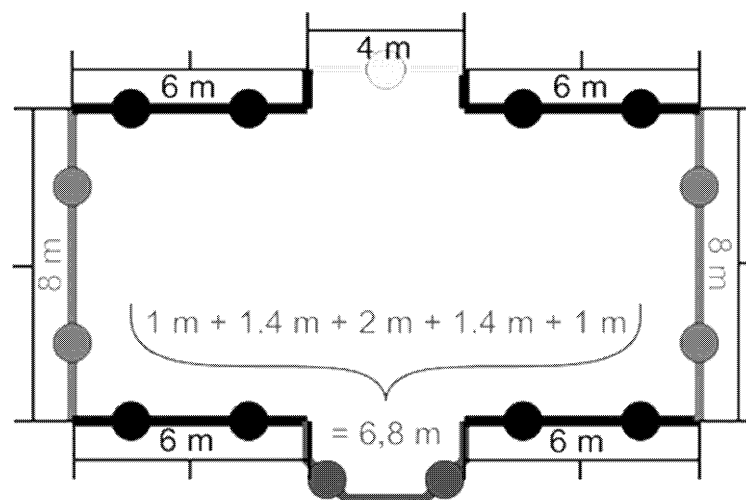
L'évaluation de l'exposition de la population au bruit repose sur des niveaux de points de réception à une hauteur de 4 m au-dessus du niveau du terrain en face des façades des immeubles résidentiels.

Le calcul du nombre d'habitants doit se baser soit sur la procédure du cas 1, soit sur celle du cas 2 pour des sources de bruit terrestres. Pour les bruits d'avion calculés selon le point 2.6, toute la population d'un immeuble est associée au point de calcul du bruit le plus proche sur la grille.

#### CAS 1

Figure a

#### Exemple de points de réception autour d'un immeuble selon la procédure du CAS 1

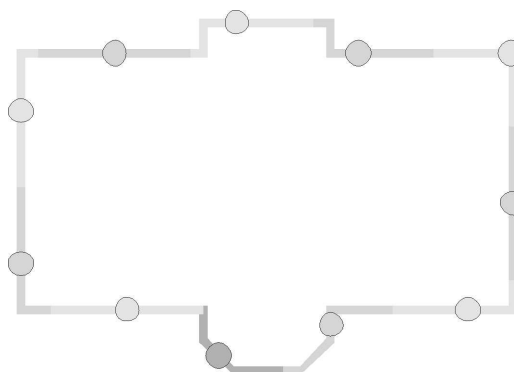


- Les segments d'une longueur supérieure à 5 m sont scindés en intervalles réguliers les plus longs possibles, mais d'une longueur inférieure ou égale à 5 m. Les points de réception sont placés au centre de chaque intervalle régulier.
- Les segments restants d'une longueur supérieure à 2,5 m sont représentés par un point de réception au centre de chaque segment.

- c) Les segments adjacents restants d'une longueur totale supérieure à 5 m sont traités comme des objets polygones d'une manière similaire à celle décrite pour les points a) et b).
- d) Le nombre d'habitants assignés à un point de réception doit être pondéré par la longueur de la façade représentée, de sorte que la somme de tous les points de réception représente le nombre total d'habitants.
- e) Le niveau sonore de la façade la plus exposée est directement utilisée pour les statistiques et mise en rapport avec le nombre d'habitants uniquement dans le cas d'immeubles dont les dimensions d'étage indiquent l'existence d'une seule habitation par étage.

## CAS 2

Figure b

**Exemple de points de réception autour d'un immeuble selon la procédure du CAS 2**

- a) Les façades sont considérées à titre individuel ou sont scindées en sections de 5 m à partir du point de départ, avec un point de réception placé à mi-chemin de la façade ou du segment de 5 m.
- b) La section restante présente un point de réception en son centre.
- c) Le nombre d'habitants assignés à un point de réception doit être pondéré par la longueur de la façade représentée, de sorte que la somme de tous les points de réception représente le nombre total d'habitants.
- d) Le niveau sonore de la façade la plus exposée est directement utilisé pour les statistiques et mis en rapport avec le nombre d'habitants uniquement dans le cas d'immeubles dont les dimensions d'étage indiquent l'existence d'une seule habitation par étage.

## 3. DONNÉES D'ENTRÉE

Les données d'entrée appropriées à utiliser en association avec les méthodes décrites ci-dessus sont reprises aux appendices F à I.

Si les données d'entrée fournies aux appendices F à I ne sont pas applicables ou induisent des écarts par rapport aux vraies valeurs, qui ne permettent pas de remplir les conditions présentées aux points 2.1.2 et 2.6.2, d'autres valeurs peuvent être utilisées, pour autant que les valeurs et les méthodologies utilisées pour les dériver soient suffisamment étayées, la documentation incluant la démonstration de leur adéquation. Cette information doit être mise à la disposition du public.

## 4. MÉTHODES DE MESURE

Si, pour quelque raison que ce soit, des mesures sont effectuées, elles doivent être conformes aux principes régissant les mesures moyennes à long terme tels que définis dans les normes ISO 1996-1:2003 et ISO 1996-2:2007 ou, pour le bruit des avions, dans la norme ISO 20906:2009.

## Appendice A

## Exigences en matière de données

Le point 2.7.6 du texte principal décrit, en termes généraux, les exigences en matière de données spécifiques qui décrivent un aéroport et ses opérations, nécessaires pour calculer les courbes de niveau de bruit. Les fiches qui suivent reprennent des exemples de données pour un aéroport hypothétique. Les formats de données spécifiques dépendront généralement des exigences et des besoins du système de modélisation du bruit concerné, ainsi que du scénario d'étude associé.

*Note:* Il est recommandé que les informations géographiques (points de référence, etc.) soient spécifiées sous forme de coordonnées cartésiennes. Le choix du système de coordonnées est généralement fonction des cartes disponibles.

## A1 DONNÉES AÉROPORTUAIRES GÉNÉRALES

|   |                             |               |
|---|-----------------------------|---------------|
| <b>Désignation de l'aéroport</b>  | Aéroport hypothétique       |               |
| <b>Systèmes de coordonnées</b>  | UTM, Zone 15, Donnée WGS-84 |               |
| <b>Point de référence de l'aéroport (ARP)</b>   | 3 600 000 m E               | 6 300 000 m N |
|   | Milieu de piste 09L-27R     |               |
| <b>Altitude de l'ARP</b>  | 120 m /                     |               |
| <b>Température moyenne de l'air à l'ARP (*)</b>   | 12,0 °C                     |               |
| <b>Hygrométrie moyenne à l'ARP (*)</b>  | 60 %                        |               |
| <b>Vitesse et sens moyens du vent (*)</b>   | 5 kt                        | 270 degrés    |
| <b>Source des données topographiques</b>  | Inconnue                    |               |
| (*) À reproduire pour chaque intervalle de temps étudié (moment de la journée, saison, etc.). |                             |               |

## A2 DESCRIPTION DES PISTES

|                                      |               |               |
|--------------------------------------|---------------|---------------|
| <b>Désignation de la piste</b>       | 09L           |               |
| <b>Seuil de piste</b>                | 3 599 000 m E | 6 302 000 m N |
| <b>Bout de piste</b>                 | 3 603 000 m E | 6 302 000 m N |
| <b>Début du roulage</b>              | 3 599 000 m E | 6 302 000 m N |
| <b>Seuil d'atterrissage</b>          | 3 599 700 m E | 6 302 000 m N |
| <b>Altitude au seuil de piste</b>    | 110 m         |               |
| <b>Déclivité moyenne de la piste</b> | 0,001         |               |

Pour les seuils décalés, la description des pistes peut être reproduite, ou les seuils déplacés peuvent être décrits à la section consacrée à la description des routes-sol.

## A3 DESCRIPTION DES ROUTES-SOL

En l'absence de données radar, les informations suivantes sont nécessaires pour décrire les routes-sol spécifiques.

| <b>Route n°</b>                                 |                | 001          |                        |           |   |
|---|----------------|--------------|------------------------|-----------|---|
| <b>Désignation de la route</b>                  |                | Dép 01 – 09L |                        |           |   |
| <b>À partir de la piste</b>                     |                | 09L          |                        |           |   |
| <b>Type de route</b>                            |                | Départ       |                        |           |   |
| <b>Déplacement à partir du début du roulage</b> |                | 0 m          |                        |           |   |
| <b>Nombre de sous-routes</b>                    |                | 7            |                        |           |   |
| <b>Description de la route centrale</b>         |                |              |                        |           |   |
| Segment n°                                      | Rectiligne [m] | Courbe       |                        |           | Écart type pour la dispersion latérale au segment final [m] |
|   |                | G/D          | Changement de sens [°] | Rayon [m] |   |
| 1   | 10 000         |              |                        |           | 2 000   |
| 3   |                | D            | 90,00                  | 3 000     | 2 500   |
| 4   | 20 000         |              |                        |           | 3 000   |

| <b>Route n°</b>   |                | 002                     |                        |           |   |
|---|----------------|-------------------------|------------------------|-----------|---|
| <b>Désignation de la route</b>                                  |                | App 01 – 09L – Disp 300 |                        |           |   |
| <b>À partir de la piste</b>                                     |                | 09L                     |                        |           |   |
| <b>Type de route</b>  |                | Approche                |                        |           |   |
| <b>Déplacement à partir du début du roulage</b>                 |                | 300 m                   |                        |           |   |
| <b>Nombre de sous-routes</b>                                    |                | 1                       |                        |           |   |
| <b>Description de la route centrale</b>                         |                |                         |                        |           |   |
| Segment n°  | Rectiligne [m] | Courbe                  |                        |           | Écart type pour la dispersion latérale au segment final [m] |
|   |                | G/D                     | Changement de sens [°] | Rayon [m] |   |
| 1   | 30 000         |                         |                        |           | 0   |
| <b>Informations relatives à la route d'approche</b>             |                |                         |                        |           |   |
| <b>Angle de plané pour les routes d'approche</b>                |                | 2,7°                    |                        |           |   |
| <b>Altitude de vol à l'interception de la pente de descente</b> |                | 4 000 ft                |                        |           |   |

## A4 DESCRIPTION DU TRAFIC AÉRIEN

|                                |                                      |           |
|--------------------------------|--------------------------------------|-----------|
| <b>Plage de référence</b>      | 366 d<br>(du 1.1.2014 au 31.12.2014) | = 8 784 h |
| <b>Plage I de la journée</b>   | De 7 à 19 h                          | = 12 h    |
| <b>Plage II de la journée</b>  | De 19 à 23 h                         | = 4 h     |
| <b>Plage III de la journée</b> | De 23 à 7 h                          | = 8 h     |

## FICHE DESCRIPTIVE DU TRAFIC AÉRIEN – MOUVEMENTS PAR ROUTE

|                                |  |           |            |
|--------------------------------|--|-----------|------------|
| <b>Route-sol n°</b>            | 001  |           |            |
| <b>Désignation de la route</b> | Dép 01 – 09L                                       |           |            |
| <b>Désignation de l'avion</b>  | <b>Mouvements au cours de cette plage de temps</b> |           |            |
|                                | <b>I</b>   | <b>II</b> | <b>III</b> |
| A/C 1, Dép.1                   | 20 000   | 4 000     | 1 000      |
| A/C 2, Dép.4                   | 10 000   | 5 000     | 500        |
| A/C 4, Dép.3                   | 2 000  | 300       | 0          |
| <b>Route-sol n°</b>            | 002  |           |            |
| <b>Désignation de la route</b> | Dép 01 – 09L – Disp 300                            |           |            |
| <b>Désignation de l'avion</b>  | <b>Mouvements au cours de cette plage de temps</b> |           |            |
|                                | <b>I</b>   | <b>II</b> | <b>III</b> |
| A/C 1, App.1                   | 18 000   | 2 000     | 5 000      |
| A/C 2, App.1                   | 10 000   | 3 000     | 2 500      |
| A/C 4, App.1                   | 1 300  | 0         | 1 000      |

## A5 FICHE TECHNIQUE RELATIVE AUX PROCÉDURES DE VOL

Exemple type d'avion: Boeing 727-200 «chapitre 3» (de la convention de Chicago). Les données radar sont exploitées selon les éléments d'orientation exposés au point 2.7.9 du texte principal.

| Désignation de l'avion   | B727C3                                  |             |                   |                        |
|--|---|-------------|-------------------|------------------------|
| Identifiant NPD selon la base de données ANP   | JT8E5                                   |             |                   |                        |
| Nombre de moteurs  | 3                                       |             |                   |                        |
| Mode d'opération   | Départ                                  |             |                   |                        |
| Masse réelle de l'avion [t]  | 71,5                                    |             |                   |                        |
| Vente de face [m/s]  | 5                                       |             |                   |                        |
| Température [°C]   | 20                                      |             |                   |                        |
| Altitude de l'aéroport [m]   | 83                                      |             |                   |                        |
|  |   |             |                   |                        |
| Segment N°   | Dist. à partir du PR <sup>(1)</sup> [m] | Hauteur [m] | Vitesse sol [m/s] | Poussée <sup>(2)</sup> |
| 1  | 0                                       | 0           | 0                 | 14 568                 |
| 2  | 2 500                                   | 0           | 83                | 13 335                 |
| 3  | 3 000                                   | 117         | 88                | 13 120                 |
| 4  | 4 000                                   | 279         | 90                | 13 134                 |
| 5  | 4 500                                   | 356         | 90                | 13 147                 |
| 6  | 5 000                                   | 431         | 90                | 13 076                 |
| 7  | 6 000                                   | 543         | 90                | 13 021                 |
| 8  | 7 000                                   | 632         | 93                | 12 454                 |
| 9  | 8 000                                   | 715         | 95                | 10 837                 |
| 10   | 10 000                                  | 866         | 97                | 10 405                 |
| 11   | 12 000                                  | 990         | 102               | 10 460                 |
| 12   | 14 000                                  | 1 122       | 111               | 10 485                 |
| 13   | 16 000                                  | 1 272       | 119               | 10 637                 |
| 14   | 18 000                                  | 1 425       | 125               | 10 877                 |
| 15   | 20 000                                  | 1 581       | 130               | 10 870                 |
| 16   | 25 000                                  | 1 946       | 134               | 10 842                 |
| 17   | 30 000                                  | 2 242       | 142               | 10 763                 |
| <sup>(1)</sup> Le point de référence PR correspond au début du roulage pour les décollages et au seuil de piste pour les approches.<br><sup>(2)</sup> Unités correspondant à celles de la base de données ANP. |   |             |                   |                        |

Exemple pour un profil procédural basé sur les données A/C figurant dans la base de données ANP:

| Désignation de l'avion selon la base de données ANP | B727C3             |                                |        |                 |
|---|--------------------|--------------------------------|--------|-----------------|
| Identifiant NPD selon la base de données ANP        | JT8E5              |                                |        |                 |
| Nombre de moteurs                                   | 3                  |                                |        |                 |
| Mode d'opération                                    | Départ             |                                |        |                 |
| Masse réelle de l'avion [t]                         | 71,5               |                                |        |                 |
| Vent de face [m/s]                                  | 5                  |                                |        |                 |
| Température [°C]                                    | 15                 |                                |        |                 |
| Altitude de l'aéroport [m]                          | 100                |                                |        |                 |
|   |                    |                                |        |                 |
| Segment N°  | Mode               | Cible                          | Volets | Poussée         |
| 1   | Décollage          |                                | 5      | Décollage       |
| 2   | Montée initiale    | Altitude 1 500 ft              | 5      | Décollage       |
| 3   | Rentrée des volets | 210 kt IAS<br>ROC 750 ft/min   | 0      | Montée maximale |
| 4   | Accélération       | 250 kt IAS<br>ROC 1 500 ft/min | 0      | Montée maximale |
| 5   | Montée             | 10 000 ft                      | 0      | Montée maximale |

## Appendice B

## Calculs des performances de vol

## Définitions et symboles

La terminologie et les symboles employés dans le présent appendice correspondent à ceux employés généralement par les ingénieurs responsables des performances des avions. Certains termes fondamentaux sont définis brièvement ci-dessous à l'attention des utilisateurs profanes. Dans l'optique de minimiser les divergences avec le corps principal du document, les symboles sont la plupart du temps définis séparément dans le présent appendice. Des symboles courants sont attribués aux quantités mentionnées dans le corps principal. Quelques symboles employés différemment dans le présent appendice sont marqués d'un astérisque (\*). Les unités US et SI sont parfois juxtaposées. Il s'agit encore une fois de préserver les conventions familières aux utilisateurs appartenant à différentes disciplines.

## Définitions

|                            |   |
|----------------------------|---|
| Point d'arrêt              | Voir détarage   |
| Vitesse propre corrigée    | (Également appelée vitesse sol équivalente ou vitesse propre indiquée). Vitesse de l'avion en fonction de l'air, indiquée par un instrument de mesure étalonné situé sur l'avion. La vitesse propre vraie, qui est normalement supérieure, peut être calculée à partir de la vitesse propre corrigée d'après la densité de l'air.   |
| Poussée nette corrigée     | La poussée nette correspond à la force propulsive exercée par un moteur sur la cellule. Pour un régime moteur donné ( $EPR$ ou $N_1$ ), la poussée nette diminue avec la densité de l'air à mesure que l'altitude augmente. La poussée nette corrigée correspond à la poussée au niveau de la mer.  |
| Détarage                   | Pour des températures maximales spécifiques des composants, la poussée du moteur diminue à mesure que la température ambiante de l'air augmente – et inversement. En d'autres termes, il existe une température critique de l'air au-dessus de laquelle la <i>poussée nominale</i> ne peut être atteinte. Pour la plupart des moteurs actuels, cette température est appelée «température détarée», car, à des températures plus faibles, la poussée se limite automatiquement à la poussée nominale, afin d'optimiser la durée de vie en service des moteurs. La poussée chute quand même à des températures supérieures à la température détarée – un phénomène souvent désigné par <i>point d'arrêt</i> ou <i>température du point d'arrêt</i> . |
| Vitesse                    | Magnitude du vecteur vitesse d'un avion (par rapport au système de coordonnées de l'aérodrome)  |
| Poussée nominale           | La durée de vie en service des moteurs d'un avion dépend étroitement de la température opérationnelle de ses composants. Plus la puissance ou la poussée générée est forte, plus les températures sont élevées et plus la vie du moteur est courte. Pour équilibrer les exigences de performances et de durée de vie, les moteurs détarés se voient imposer des <i>régimes moteur</i> pour les phases de décollage, montée et croisière, lesquels régimes définissent les paramètres normaux de puissance maximale.   |
| Paramètre du régime moteur | Le pilote ne peut pas sélectionner un régime moteur particulier. Il doit en effet choisir un réglage approprié de ce paramètre qui s'affiche dans le poste de pilotage. Il s'agit habituellement soit du rapport de pression moteur ( $EPR$ ) ou soit de la vitesse de rotation du compresseur basse pression (ou soufflante) ( $N_1$ ).  |

## Symboles

Les quantités sont exemptes d'ordre de grandeur, sauf indication contraire. Les symboles et abréviations n'appartenant pas à la liste ci-après ne sont employés que ponctuellement, et donc définis dans le texte. Les symboles 1 et 2 désignent respectivement les conditions au début et en fin de segment. Les symboles possédant une barre suscrite correspondent à la valeur moyenne du segment, c'est-à-dire à la moyenne des valeurs de début et de fin de segment.

|                     |  |
|---------------------|--|
| $a$                 | Accélération moyenne, en $\text{ft/s}^2$             |
| $a_{\text{max}}$    | Accélération maximale disponible, en $\text{ft/s}^2$ |
| A, B, C, D          | Coefficients de volets                               |
| E, F, $G_{A,B}$ , H | Coefficients de régimes moteur                       |
| $F_n$               | Poussée nette par moteur, en lbf                     |

|               |   |
|---------------|---|
| $F_w/d$       | Poussée nette corrigée par moteur, lbf  |
| G             | Déclivité   |
| G'            | Déclivité, moteurs coupés   |
| $G_R$         | Déclivité moyenne de la piste, montée positive  |
| g             | Accélération gravitationnelle, en ft/s <sup>2</sup>   |
| ISA           | International Standard Atmosphere (atmosphère type internationale)  |
| N *           | Nombre de moteurs délivrant la poussée  |
| R             | Rapport traînée/portance $C_D/C_L$  |
| ROC           | Segment du taux de montée (ft/min)  |
| s             | Distance au sol couverte le long de la route-sol, en ft   |
| $s_{TO8}$     | Distance de décollage pour un vent de face de 8 kt, en ft   |
| $s_{TOG}$     | Distance de décollage corrigée pour une vitesse de vent de face $w$ et une déclivité moyenne de la piste $G_R$ , en ft  |
| $s_{TOw}$     | Distance de décollage avec vent de face $w$ , en ft   |
| T             | Distance de décollage avec vent de face, en °C  |
| $T_B$         | Température du point d'arrêt, en °C   |
| V             | Vitesse sol, en kt  |
| $V_C$         | Vitesse propre corrigée ou vitesse aérodynamique nominale, en kt  |
| $V_T$         | Vitesse propre vraie ou vitesse aérodynamique réelle, en kt   |
| W             | Masse de l'avion, en lb   |
| w             | Vitesse du vent de face, en kt  |
| $\Delta s$    | Projection de la longueur du segment d'air calme ou non perturbé sur la route-sol, en ft  |
| $\Delta s_w$  | Projection au sol de la longueur du segment corrigée pour le vent de face, en ft  |
| $\delta$      | $p/p_o$ , rapport entre la pression ambiante de l'air au niveau de l'avion et la pression standard de l'air au niveau moyen de la mer: $p_o = 101,325$ kPa (ou 1 013,25 mb) |
| $\varepsilon$ | Angle de roulis ou angle d'inclinaison de l'avion, en radian  |
| $\gamma$      | Angle de montée/descente, en radian   |
| $\vartheta$   | $(T + 273,15)/(T_o + 273,15)$ Rapport entre la température de l'air en altitude et la température standard de l'air au niveau moyen de la mer: $T_o = 15,0$ °C              |
| $\sigma$ *    | $\rho/\rho_o =$ Rapport entre la densité de l'air en altitude et la valeur au niveau moyen de la mer (également, $\sigma = \delta/\vartheta$ )                              |

## B1 INTRODUCTION

### Synthèse de la trajectoire de vol

Dans l'ensemble, cet appendice recommande des procédures destinées au calcul du profil de vol d'un avion, basé sur des paramètres aérodynamiques et moteurs spécifiques, masse de l'avion, conditions atmosphériques, route-sol et procédures opérationnelles (configuration de vol, régime moteur, vitesse normale, vitesse verticale, etc.). La procédure opérationnelle est décrite par un ensemble d'étapes *procédurales* recommandant la manière de définir un profil.

Le profil de vol, qu'il s'agisse d'un décollage ou d'une approche, est représenté par une série de segments de droite, dont les extrémités sont appelées *points du profil*. Il est calculé à l'aide des équations aérodynamiques et de poussée mentionnant de nombreux coefficients et constantes devant être disponibles pour la combinaison spécifique de la cellule et des moteurs. Ce processus de calcul est décrit dans le texte principal comme le processus de *synthèse* de la trajectoire de vol.

Hormis les paramètres de performance de l'avion, qui peuvent être obtenus d'après la base de données ANP, ces équations nécessitent la spécification (1) de la masse totale de l'avion, (2) du nombre de moteurs, (3) de la température de l'air, (4) de l'altitude de la piste, et (5) des étapes procédurales (exprimées en termes de régime moteur, d'angle de braquage des volets, de vitesse aérodynamique et, au cours des accélérations, du taux de montée/descente moyen) pour chaque segment durant les phases de décollage et d'approche. Chaque segment est ensuite classé comme appartenant aux phases de roulage, décollage ou atterrissage, montée à vitesse constante, réduction de poussée, montée d'accélération avec ou sans rentrée des volets, descente avec ou sans décélération et/ou sortie des volets, ou approche finale. Le profil de vol est construit étape par étape, selon le principe d'égalité entre les paramètres du début de chaque segment et ceux de la fin du segment précédent.

Les paramètres aérodynamique-performance figurant dans la base de données ANP visent à fournir une représentation relativement précise de la trajectoire de vol réelle d'un avion selon des conditions de référence spécifiques (voir **point 2.7.6 du texte principal**). Cependant, les paramètres aérodynamiques et les coefficients des moteurs se sont avérés appropriés pour une température de l'air pouvant atteindre 43 °C, une altitude d'aérodrome n'excédant pas 4 000 ft, et une gamme de poids spécifiée dans la base de donnée ANP. Les équations permettent ainsi le calcul des trajectoires de vol selon d'autres conditions, c'est-à-dire une masse de l'avion, une vitesse de vent, une température de l'air et une altitude de la piste (pression de l'air) non référencés, normalement avec une précision suffisante pour le calcul des courbes des niveaux acoustiques moyens autour d'un aéroport.

La **section B-4** explique comment les effets des vols comportant des virages sont pris en compte pour les départs, permettant de représenter les angles de roulis lors du calcul des effets de directivité latérale (effets liés à l'emplacement des moteurs). De même, au cours des vols comportant des virages, la pente de montée sera généralement réduite selon le rayon du virage et la vitesse de l'avion. (Les effets des virages au moment de l'approche sont plus complexes et ne sont actuellement pas concernés. Toutefois, ces effets influencent rarement les courbes de niveau de bruit de manière notable).

Les **sections B-5 à B-9** décrivent la méthodologie recommandée pour la production des profils de vol pour les départs, basée sur des coefficients de la base de données ANP et des étapes procédurales.

Les **sections B-10 et B-11** décrivent la méthodologie utilisée pour générer les profils de vols pour les approches, basée sur des coefficients de la base de données ANP et des procédures de vol.

La **section B-12** fournit des exemples concrets de calculs.

Des ensembles distincts d'équations sont fournis pour déterminer la poussée nette produite respectivement par les moteurs à réaction et les turbopropulseurs. Sauf indication contraire, les équations relatives à la performance aérodynamique d'un avion s'appliquent indifféremment aux avions à réaction et à hélice.

Les symboles mathématiques employés sont définis au début du présent appendice et/ou lorsqu'ils apparaissent pour la première fois. Dans toutes les équations, les unités des coefficients et des constantes doivent naturellement être cohérentes par rapport aux unités des paramètres et des variables correspondantes. À des fins de concordance avec la base de données ANP, les conventions relatives à l'ingénierie des performances avion sont respectées dans le présent appendice: la distance et la hauteur en pieds (ft), la vitesse en nœuds (kt), la masse en livres (lb), la force en livres-force (poussée nette corrigée aux températures élevées), etc. – même si certaines unités de mesure (comme celle de l'atmosphère par exemple) sont exprimées selon le système international (SI) en vigueur. Les modélisateurs utilisant d'autres systèmes d'unités doivent veiller à appliquer les facteurs de conversion appropriés lorsqu'ils adaptent les équations à leurs besoins.

### Analyse trajectographique

Dans certaines applications de modélisation, les informations relatives à la trajectoire de vol sont fournies non pas comme des étapes procédurales, mais comme des coordonnées définies dans l'espace et dans le temps, généralement déterminées par l'analyse des données radar. Cet aspect est abordé au **point 2.7.7** du texte principal. En l'occurrence, les équations présentées dans le présent appendice sont utilisées «dans l'ordre inverse»: les paramètres de poussée du moteur proviennent du mouvement de l'avion, et non l'inverse. En général, une fois la moyenne des données de trajectoire de vol obtenue et réduite sous forme de segment, chacun de ces derniers est classé par montée ou descente, accélération ou décélération, et variation du régime moteur et des volets, ce qui est relativement simple comparativement à la synthèse, qui implique souvent des processus itératifs.

## B2 RÉGIME MOTEUR

La force propulsive délivrée par chaque moteur est l'une des cinq unités de grandeur devant être définies aux extrémités de chaque segment de la trajectoire de vol (les quatre autres étant la hauteur, la vitesse, le régime moteur et l'angle de roulis). La poussée nette représente la composante de la poussée brute du moteur disponible pour la propulsion. Pour les calculs aérodynamiques et acoustiques, la poussée nette correspond à la pression standard de l'air au niveau moyen de la mer. Elle est appelée *poussée nette corrigée*,  $F_n/d$ .

Il s'agira soit de la poussée nette disponible lors d'un fonctionnement à un régime de poussée spécifique, soit de la poussée nette résultante lorsque le paramètre de régime moteur est établi à une valeur particulière. Pour un turboréacteur ou un moteur à turbosoufflante fonctionnant à un régime moteur spécifique, la poussée nette corrigée est obtenue par l'équation suivante:

$$F_n/\delta = E + F \cdot V_c + G_A \cdot h + G_B \cdot h^2 + H \cdot T \quad (\text{B-1})$$

où

|                     |   |
|---------------------|---|
| $F_n$               | est la poussée nette par moteur, en lbf   |
| $\delta$            | est le rapport entre la pression ambiante de l'air au niveau de l'avion et la pression standard de l'air au niveau moyen de la mer, c'est-à-dire à 101,325 kPa (ou 1 013,25 mb)   |
| $F_n/\delta$        | est la poussée nette corrigée par moteur, en lbf  |
| $V_c$               | est la vitesse propre corrigée, en kt   |
| $T$                 | est la température ambiante de l'air à laquelle évolue l'avion (en °C), et  |
| $E, F, G_A, G_B, H$ | sont les constantes ou coefficients de régime moteur pour les températures inférieures à la température de détarage du moteur, pour le régime moteur utilisé (sur le segment en cours de la trajectoire de décollage/montée au décollage ou approche), en lb.s/ft, lb/ft, lb/ft <sup>2</sup> , lb/°C. Elles peuvent être obtenues d'après la base de données ANP. |

Les données sont également fournies par la base de données ANP, afin de permettre le calcul de la poussée réelle comme une fonction d'un paramètre de régime moteur. Cette dernière est définie par certains constructeurs comme le rapport pression moteur *EPR*, et par d'autres, comme la vitesse du compresseur basse pression (ou de la soufflante),  $N_1$ . Lorsque ce paramètre correspond à l'EPR, l'équation B-1 est remplacée par:

$$F_n/\delta = E + F \cdot V_c + G_A \cdot h + G_B \cdot h^2 + H \cdot T + K_1 \cdot EPR + K_2 \cdot EPR^2 \quad (\text{B-2})$$

où  $K_1$  et  $K_2$  sont des coefficients de la base de données ANP, qui se rapportent à la poussée nette corrigée et au rapport pression moteur aux alentours du rapport pression moteur étudié pour un nombre de Mach spécifique à l'avion considéré.

Lorsque la vitesse de rotation du moteur  $N_1$  est le paramètre utilisé par l'équipage pour établir la poussée, l'équation générale de la poussée devient

$$F_n/\delta = E + F \cdot V_c + G_A \cdot h + G_B \cdot h^2 + H \cdot T + K_3 \cdot \left(\frac{N_1}{\sqrt{\vartheta}}\right) + K_4 \cdot \left(\frac{N_1}{\sqrt{\vartheta}}\right)^2 \quad (\text{B-3})$$

où

|                                |   |
|--------------------------------|---|
| $N_1$                          | est la vitesse de rotation du compresseur basse pression (ou soufflante) du moteur et des étages de turbine, en %   |
| $q$                            | = $(T + 273)/288,15$ , le rapport entre la température totale absolue à l'entrée du moteur et de la température standard absolue de l'air au niveau moyen de la mer |
| $\frac{N_1}{\sqrt{\vartheta}}$ | est la vitesse du compresseur basse pression corrigée, en % et  |
| $K_3, K_4$                     | sont les constantes provenant des données du moteur installé comprenant les vitesses $N_1$ étudiées.  |

Il convient de noter que, pour un avion spécifique, les constantes  $E$ ,  $F$ ,  $G_A$ ,  $G_B$  et  $H$  des équations B-2 et B-3 peuvent avoir des valeurs différentes de celles de l'équation B-1.

Les termes employés dans l'équation ne seront pas toujours tous significatifs. Par exemple, pour les moteurs détarés fonctionnant à des températures de l'air inférieures au point d'arrêt (généralement 30 °C), le terme de la température peut ne pas être nécessaire. Pour les moteurs non détarés, la température ambiante doit être prise en compte pour désigner la poussée nominale. Au-dessus de la température de détarage du moteur, un ensemble différent de coefficients de régime moteur ( $E$ ,  $F$ ,  $G_A$ ,  $G_B$  and  $H$ )<sub>high</sub> doit être utilisé pour déterminer le niveau de poussée disponible. La pratique normale consisterait ensuite à calculer  $F_n/d$  en utilisant à la fois des coefficients de températures faibles et élevées, le niveau de poussée le plus élevé pour les températures inférieures à la température de détarage, et le niveau de poussée le plus faible calculé pour les températures supérieures à la température de détarage.

Lorsque seuls les coefficients de poussée à basse température sont disponibles, la relation suivante peut être employée:

$$(F_n/\delta)_{high} = F \cdot V_c + (E + H \cdot T_B) \cdot (1 - 0,006 \cdot T)/(1 - 0,006 \cdot T_B) \quad (B-4)$$

où

$(F_n/\delta)_{high}$  est la poussée nette corrigée pour les températures élevées (en lbf),

$T_B$  est la température du point d'arrêt (en l'absence d'une valeur définitive, on suppose une valeur par défaut de 30 °C).

La base de données ANP fournit des valeurs pour les constantes et les coefficients des équations B-1 à B-4.

Pour les avions à hélice, la poussée nette corrigée par moteur doit être lue d'après des graphiques ou calculée selon l'équation suivante:

$$F_n/\delta = (326 \cdot \eta \cdot P_p/V_T)/\delta \quad (B-5)$$

où

$\eta$  est le rendement de l'hélice pour un emplacement spécifique, ainsi qu'une fonction de la vitesse de rotation de l'hélice et de la vitesse de vol de l'avion

$V_T$  est la vitesse aérodynamique réelle, en kt

$P_p$  est la puissance propulsive nette pour les conditions de vol données, par exemple puissance maximale au décollage ou en montée, en hp

Les paramètres de l'équation B-5 sont fournis par la base de données ANP pour la poussée maximale au décollage et les régimes moteur de montée maximum.

La vitesse aérodynamique réelle  $V_T$  est estimée d'après la vitesse aérodynamique nominale  $V_c$  selon la relation suivante:

$$V_T = V_c/\sqrt{\sigma} \quad (B-6)$$

où  $\sigma$  est le rapport entre la densité de l'air au niveau de l'avion et la valeur au niveau moyen de la mer.

### Guide relatif aux opérations de décollage à poussée réduite

Le poids des avions au décollage est souvent inférieur au maximum autorisé, et/ou la longueur de piste disponible excède le minimum requis par rapport à la poussée maximale au décollage. Dans de tels cas, le régime moteur est couramment réduit au-dessous des niveaux maximaux, dans le but de prolonger la durée de vie en service des moteurs et, parfois, de réduire les nuisances sonores. Le régime moteur peut uniquement être réduit à des niveaux permettant de maintenir une marge de sécurité. La procédure de calcul utilisée par les exploitants de lignes aériennes pour déterminer le taux de réduction de poussée est régulé en conséquence: il s'agit d'une procédure complexe, qui tient compte de nombreux facteurs, dont le poids au décollage, la température ambiante, la distance déclarée des pistes, l'altitude des pistes et la marge de franchissement d'obstacle sur la piste. Par conséquent, le taux de réduction de poussée varie d'un vol à un autre.

Étant donné qu'elles peuvent exercer un effet considérable sur les courbes de niveau de bruit au départ, les opérations avec poussée réduite doivent être prises en compte par les modélisateurs qui, afin de prendre les meilleures dispositions possibles, devraient prendre conseil auprès des exploitants sur les aspects pratiques.

Si de tels conseils ne peuvent être obtenus, il est toujours souhaitable de prendre ces opérations en considération par des moyens alternatifs. Il est inenvisageable de reproduire les calculs des exploitants pour les besoins de la modélisation du bruit; ils ne conviendraient pas non plus avec les simplifications et approximations conventionnelles qui sont faites pour le calcul des niveaux de bruit moyens à long terme. Les éléments d'orientation suivants sont fournis à titre de solution de remplacement pratique. Il convient de mettre l'accent sur les recherches considérables entreprises actuellement dans ce domaine, raison pour laquelle ce guide pourrait faire l'objet de modifications.

L'analyse des données FDR a indiqué que le niveau de réduction de la poussée est étroitement lié au rapport de la masse réelle au décollage et de la masse régulée au décollage (RTOW) jusqu'à une limite inférieure fixe <sup>(1)</sup>, c'est-à-dire:

$$F_n/\delta = (F_n/\delta)_{\max} \cdot W/W_{RTOW} \quad (\text{B-7})$$

où  $(F_n/\delta)_{\max}$  correspond à la poussée nominale maximum,  $W$  à la masse réelle totale au décollage et  $W_{RTOW}$  à la masse régulée au décollage.

RTOW est la masse maximale au décollage qui peut être utilisée en toute sécurité tout en satisfaisant aux exigences en matière de longueur de roulage au décollage, défaillance moteur et obstacles. Elle est fonction de la longueur de piste disponible, de l'altitude de l'aérodrome, de la température, du vent de face et de l'angle de braquage des volets. Ces informations peuvent être obtenues auprès des exploitants, et devraient s'avérer plus facilement disponibles que les données relatives aux niveaux réels de la poussée réduite. Dans le cas où elles ne seraient pas disponibles, elles peuvent être calculées d'après les données figurant dans les manuels de vol des avions.

### Montée à poussée réduite

Lors de l'utilisation de la poussée réduite au décollage, les exploitants sont souvent, mais pas toujours, amenés à réduire la poussée de montée à partir de niveaux inférieurs au maximum <sup>(2)</sup>. Cette procédure empêche d'être confronté aux situations se présentant lorsque, en fin de montée initiale au régime de décollage, la puissance doit être augmentée plutôt que réduite. Cependant, il est ici plus difficile d'établir une base commune. Certains exploitants utilisent des incréments fixes au-dessous de la poussée maximale de montée, parfois nommés Montée 1 et Montée 2, réduisant généralement la poussée de montée de 10 ou 20 % respectivement, par rapport au maximum. Lors de l'application d'un régime de poussée réduite au décollage, il est recommandé que les niveaux de la poussée de montée soient également réduits de 10 %.

### B3 PROFILS VERTICAUX DE LA TEMPÉRATURE, DE LA PRESSION ET DE LA DENSITÉ DE L'AIR, ET VITESSE DU VENT

Pour les besoins du présent document, les variations de température, pression et densité avec la hauteur au-dessus du niveau moyen de la mer appartiennent à l'atmosphère type internationale (ISA). Les méthodologies décrites ci-après ont été validées pour des altitudes d'aérodrome pouvant atteindre 4 000 ft au-dessus du niveau de la mer, et pour des températures atteignant 43 °C (109 °F).

Bien que, en réalité, la vitesse moyenne du vent varie à la fois avec la hauteur et le temps, cette variation ne peut généralement pas être prise en compte s'agissant de la modélisation de courbes de niveau de bruit. À la place, les équations de performance de vol énoncées ci-après sont basées sur l'hypothèse commune selon laquelle l'avion évolue directement face à un vent constant de 8 kt (par défaut) – sans tenir compte du relèvement compas (même si la vitesse moyenne du vent n'est pas prise en compte explicitement dans les calculs de propagation du son). Des méthodes d'adaptation des résultats à d'autres vitesses de vent de face sont fournies.

### B4 EFFETS LIÉS AUX VIRAGES

La partie restante du présent appendice explique la manière de calculer les propriétés requises des segments joignant les points du profil  $s,z$  qui définissent la trajectoire de vol bidimensionnelle dans le plan vertical au-dessus de la route-sol. Les segments sont définis l'un après l'autre dans le sens du mouvement. À la fin de chaque segment (ou au début du roulage dans le cas du premier segment d'un départ), où sont définis les paramètres opérationnels et l'étape procédurale suivante, il est nécessaire de calculer l'angle de montée et la longueur de la route au point où la hauteur requise et/ou la vitesse sont atteintes.

<sup>(1)</sup> Les autorités de navigabilité stipulent généralement une limite de poussée inférieure, souvent de 25 % au-dessous du maximum.

<sup>(2)</sup> Selon lesquels la poussée est réduite au terme de la montée initiale au régime de décollage.

Si la route est rectiligne, elle sera couverte par un segment de profil unique, dont la géométrie peut être déterminée directement (parfois avec un degré d'itération). Cependant, si un virage débute ou s'achève, ou change de rayon ou de sens, avant que les conditions finales requises ne soient atteintes, un segment unique serait insuffisant dans la mesure où la portance et la traînée de l'avion varient avec l'angle d'inclinaison. Dans l'optique de rendre compte des effets liés aux virages en montée, des segments de profils supplémentaires sont nécessaires pour mettre en œuvre les étapes procédurales, comme décrit ci-après.

La construction de la route-sol est décrite au **point 2.7.13** du texte. Cette dernière est effectuée indépendamment de tout profil de vol (en veillant cependant à ne pas définir de virages qui ne pourraient pas être effectués dans des conditions d'exploitation normales). Toutefois, dans la mesure où le profil de vol – la hauteur et la vitesse comme une fonction de la longueur de la route – est affecté par les virages, ce dernier ne peut être déterminé indépendamment de la route-sol.

Pour maintenir une vitesse constante en virage, la portance aérodynamique de l'aile doit être augmentée, afin de compenser la force centrifuge et le poids de l'avion, qui augmentent à leur tour la traînée et, par conséquent la puissance de propulsion requise. Les effets du virage sont exprimés dans les équations de performance comme des fonctions de l'angle d'inclinaison  $\varepsilon$  qui, pour un avion abordant un virage à vitesse constante sur une trajectoire circulaire, est défini par l'équation suivante

$$\varepsilon = \tan^{-1} \left\{ \frac{2,85 \cdot V^2}{r \cdot g} \right\} \quad (\text{B-8})$$

où  $V$  est la vitesse sol, en kt

$r$  est le rayon du virage, en ft

et  $g$  est l'accélération due à la gravité, en ft/s<sup>2</sup>

Tous les virages sont supposés décrire un rayon constant, et les effets secondaires associés à des trajectoires de vol non planes ne sont pas pris en compte. Les angles de roulis sont basés sur le rayon du virage  $r$  de la route-sol uniquement.

Pour la mise en œuvre d'une étape procédurale, un segment de profil provisoire est d'abord calculé selon l'angle d'inclinaison  $\varepsilon$  au point de départ – comme défini par l'équation B-8 pour le rayon  $r$  du segment de la route. Si la longueur calculée du segment provisoire est telle qu'elle ne forme pas d'intersection avec le début ou la fin du virage, le segment provisoire est confirmé, et l'attention peut être portée sur l'étape suivante.

Par contre, si le segment provisoire croise une ou plusieurs fois le début ou la fin des virages (lorsque  $\varepsilon$  varie) <sup>(1)</sup>, les paramètres de vol au premier point d'intersection sont estimés par interpolation (voir **point 2.7.13**), enregistrés avec ses coordonnées comme étant les valeurs du point final, et le segment est alors tronqué. La deuxième partie de l'étape procédurale est ensuite appliquée à partir de ce point – en supposant une fois de plus provisoirement qu'elle peut être achevée par un segment unique présentant les mêmes conditions finales, mais avec un nouveau point de départ et un nouvel angle d'inclinaison. Si ce second segment subit ensuite un autre changement de rayon/sens du virage, un troisième segment sera alors nécessaire – et ainsi de suite jusqu'à ce que les conditions finales soient réunies.

### Méthode approximative

De toute évidence, la prise en compte intégrale des effets des virages susmentionnés implique une complexité de calcul considérable compte tenu du fait que le profil de montée de chaque avion doit être calculé indépendamment pour chaque route-sol suivie. Cependant, les changements du profil vertical engendrés par les virages exercent généralement une influence sensiblement plus faible sur les courbes que les variations d'inclinaison. C'est pourquoi certains utilisateurs pourront préférer éviter la complexité — au prix d'une certaine perte de précision — en ne tenant pas compte des effets des virages sur les profils, sans pour autant négliger les variations d'inclinaison dans le calcul de l'émission latérale du son (voir point 2.7.19). D'après cette approximation, les points du profil pour une opération spécifique d'un avion sont calculés à une seule et unique reprise, en supposant une route-sol rectiligne (pour laquelle  $\varepsilon = 0$ ).

<sup>(1)</sup> Pour éviter les discontinuités des courbes engendrées par les changements instantanés de l'angle d'inclinaison au niveau des jonctions entre les segments de vol droits et tournants, des sous-segments sont introduits dans les calculs de bruit afin de permettre des transitions linéaires des angles d'inclinaison pour les premiers et derniers 5° du virage. Ces sous-segments ne sont pas nécessaires pour les calculs de performance. L'angle d'inclinaison est toujours donné par l'équation B-8.

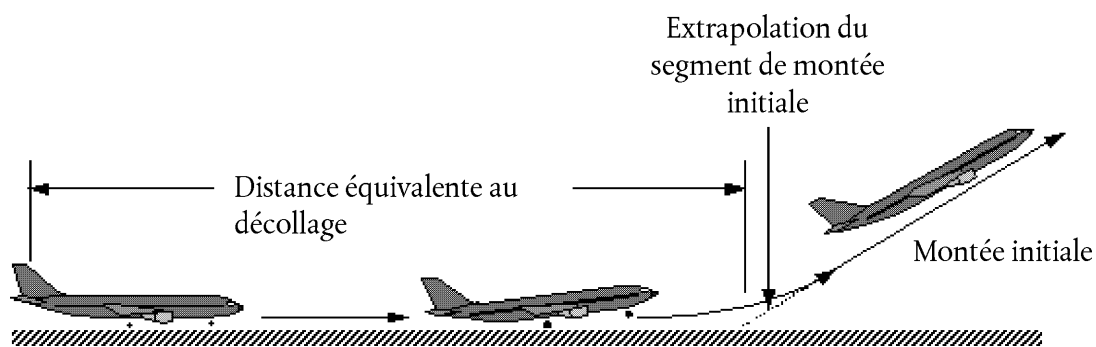
## B5 ROULAGE AU DÉCOLLAGE

La poussée au décollage engendre une accélération de l'avion le long de la piste jusqu'à l'envol. La vitesse propre corrigée est ensuite supposée être constante tout au long de la partie initiale de la montée au décollage. Le train d'atterrissage, s'il est rétractable, est supposé être rentré peu après le décollage.

Pour les besoins du présent document, le roulage réel au décollage est avoisiné par une distance équivalente au décollage (avec un vent de face par défaut de 8 kt),  $s_{TOS}$ , défini, comme le montre la **Figure B-1**, comme la distance le long de la piste à partir du lâché des freins jusqu'au point où une extension de la ligne droite de la trajectoire de vol de montée initiale, durant laquelle le train d'atterrissage est rétracté, forme une intersection avec la piste.

Figure B-1

## Distance équivalente au décollage



Sur une piste plane, la distance équivalente du roulage au décollage  $s_{TOS}$  exprimée en pieds est déterminée selon l'équation suivante:

$$s_{TOS} = \frac{B_8 \cdot \vartheta \cdot (W/\delta)^2}{N \cdot (F_n/\delta)} \quad (B-9)$$

où

$B_8$  est le coefficient approprié à une combinaison spécifique avion/braquage des volets pour des conditions de référence ISA, comprenant un vent de face de 8 kt, en ft/lbf

$W$  est la masse totale de l'avion au moment du lâché des freins, en lbf

$N$  est le nombre de moteurs délivrant la poussée.

*Note:* Étant donné que l'équation B-9 représente la variation de poussée en fonction de la vitesse aérodynamique et de l'altitude de la piste, pour un avion donné, le coefficient  $B_8$  dépend uniquement du braquage des volets.

Pour un vent de face différent de la valeur par défaut de 8 kt, la distance de roulage au décollage est corrigée selon la formule suivante:

$$s_{TOw} = s_{TOS} \cdot \frac{(V_c - w)^2}{(V_c - 8)^2} \quad (B-10)$$

où

$s_{TOw}$  est la distance de roulage corrigée pour un vent de face  $w$ , en ft

$V_c$  (dans cette équation) est la vitesse corrigée à la rotation, en kt

$w$  est le vent de face, en kt

La distance de roulage au décollage est également corrigée pour les déclivités de la piste de la façon suivante:

$$S_{TOG} = S_{TOw} \cdot \frac{a}{(a - g \cdot G_R)} \quad (\text{B-11})$$

où

$S_{TOG}$  est la distance de roulage (en ft) corrigée selon le vent de face et la déclivité de la piste

$a$  est l'accélération moyenne le long de la piste, égale à  $(V_c \cdot \sqrt{\sigma})^2 / (2 \cdot S_{TOw})$ , en ft/s<sup>2</sup>

$G_R$  correspond à la déclivité de la piste; positive lorsqu'elle monte

#### B6 MONTÉE À VITESSE CONSTANTE

Ce type de segment est défini par la vitesse propre corrigée de l'avion, le réglage des volets et la hauteur et l'angle d'inclinaison à son extrémité, ainsi que la vitesse du vent de face (établie par défaut à 8 kt). Comme pour tout segment, les paramètres du segment initial comprenant la poussée nette corrigée sont mis au même niveau que ceux de la fin du segment précédent, éliminant ainsi toute discontinuité (excepté l'angle de braquage des volets et l'angle d'inclinaison qui, dans ces calculs, peuvent changer au cours des étapes). Les poussées nettes en fin de segment sont d'abord calculées selon l'équation appropriée des équations B-1 à B-5. L'angle de montée géométrique moyen  $g$  (voir **figure B-1**) est alors obtenu selon la formule suivante:

$$\gamma = \arcsin \left( K \cdot \left[ N \cdot \frac{\overline{F_n / \delta}}{\overline{W / \delta}} - \frac{R}{\cos \varepsilon} \right] \right) \quad (\text{B-12})$$

où les barres suscrites correspondent à la valeur moyenne du segment (= la moyenne des valeurs au début et en fin de segment) et

$K$  est une constante dépendante de la vitesse, égale à 1,01 lorsque  $V_c \leq 200$  kt ou 0,95 dans le cas contraire. Cette constante représente les effets sur la pente de montée avec un vent de face de 8 kt et une accélération inhérente à la montée à une vitesse propre corrigée constante (la vitesse réelle augmente à mesure que la densité de l'air diminue avec la hauteur)

$R$  est le rapport entre le coefficient de traînée de l'avion et son coefficient de portance approprié à la position donnée des volets. Le train d'atterrissage est supposé être rentré

$\varepsilon$  est l'angle d'inclinaison, en radian

L'angle de montée est corrigé pour un vent de face  $w$  selon la formule suivante:

$$\gamma_w = \gamma \cdot \frac{(V_c - 8)}{(V_c - w)} \quad (\text{B-13})$$

où  $\gamma_w$  est l'angle de montée moyen corrigé pour le vent de face.

La distance traversée par l'avion le long de la route-sol,  $\Delta_s$ , montant à un angle  $\gamma_w$ , à partir d'une altitude initiale  $h_1$  jusqu'à une altitude finale  $h_2$ , est obtenue selon la formule suivante:

$$\Delta_s = \frac{(h_2 - h_1)}{\tan \gamma_w} \quad (\text{B-14})$$

En règle générale, deux phases distinctes d'un profil de départ impliquent une montée à une vitesse aérodynamique constante. La première phase, parfois nommée *segment de montée initiale*, débute directement après le décollage, où les exigences de sécurité imposent que l'avion évolue à une vitesse aérodynamique minimale d'au moins la vitesse de sécurité au décollage. Il s'agit d'une vitesse régulée qui doit être atteinte à 35 ft au-dessus de la piste au cours d'une opération normale. Cependant, la vitesse de montée initiale est couramment maintenue légèrement au-dessus de la vitesse de sécurité au décollage, généralement à 10-20 kt, dans la mesure où cette procédure tend à améliorer la pente de montée initiale atteinte. Appelée *montée continue*, la seconde phase débute après la rentrée des volets et l'accélération initiale.

Pendant la montée initiale, la vitesse aérodynamique dépend du réglage des volets au décollage et de la masse totale de l'avion. La vitesse corrigée de montée initiale  $V_{CTO}$  est calculée selon la première approximation:

$$V_{CTO} = C \cdot \sqrt{W} \quad (\text{B-15})$$

où  $C$  est un coefficient adapté au réglage des volets (kt/Ölbf), figurant dans la base de données ANP.

Pour ce qui est de la montée continue, après l'accélération, la vitesse propre corrigée est un paramètre d'entrée déterminé par l'utilisateur.

#### B7 POUSSÉE RÉDUITE (SEGMENT DE TRANSITION)

La puissance est réduite par rapport aux paramètres de décollage à un certain point après le décollage, dans le but de prolonger la durée de vie des moteurs, et souvent de diminuer le bruit dans certaines zones. La poussée est normalement réduite soit pendant un segment de montée à vitesse constante (**section B6**), soit pendant un segment d'accélération (**section B8**). En raison de la brièveté relative de ce processus, généralement entre 3 et 5 secondes, il est modélisé par l'ajout au premier segment d'un «segment de transition». Il permet généralement de couvrir une distance au sol horizontale de 1 000 ft (305 m).

#### Taux de réduction de poussée

Pour les opérations normales, la poussée est réduite au régime moteur de montée maximale. Contrairement à la poussée au décollage, la poussée de montée peut être maintenue indéfiniment, et est généralement appliquée jusqu'à ce que l'avion atteigne son altitude de croisière initiale. Le régime moteur de montée maximale est déterminé avec l'équation B-1 d'après les coefficients de poussée maximale fournis par le constructeur. Cependant, les exigences relatives à la réduction du bruit peuvent nécessiter une réduction de poussée supplémentaire, parfois appelée réduction massive. À des fins de sécurité, la réduction de la poussée maximale est limitée <sup>(1)</sup> à un taux déterminé par la performance de l'avion et le nombre de moteurs.

Le niveau de «poussée réduite» minimum est parfois appelé «poussée réduite» moteurs coupés, et est défini par l'équation:

$$(F_n/\delta)_{engine.out} = \frac{(W/\delta_2)}{(N-1)} \cdot \left[ \frac{\sin(\arctan(0,01 \cdot G'))}{K} + \frac{R}{\cos \varepsilon} \right] \quad (\text{B-16})$$

où

$\delta_2$  est le rapport de pression à l'altitude  $h_2$

$G'$  est la pente de montée moteurs coupés:

= 0 % pour les avions munis de systèmes de rétablissement automatique de la poussée. Dans les autres cas:

= 1,2 % pour les bimoteurs

= 1,5 % pour les trimoteurs

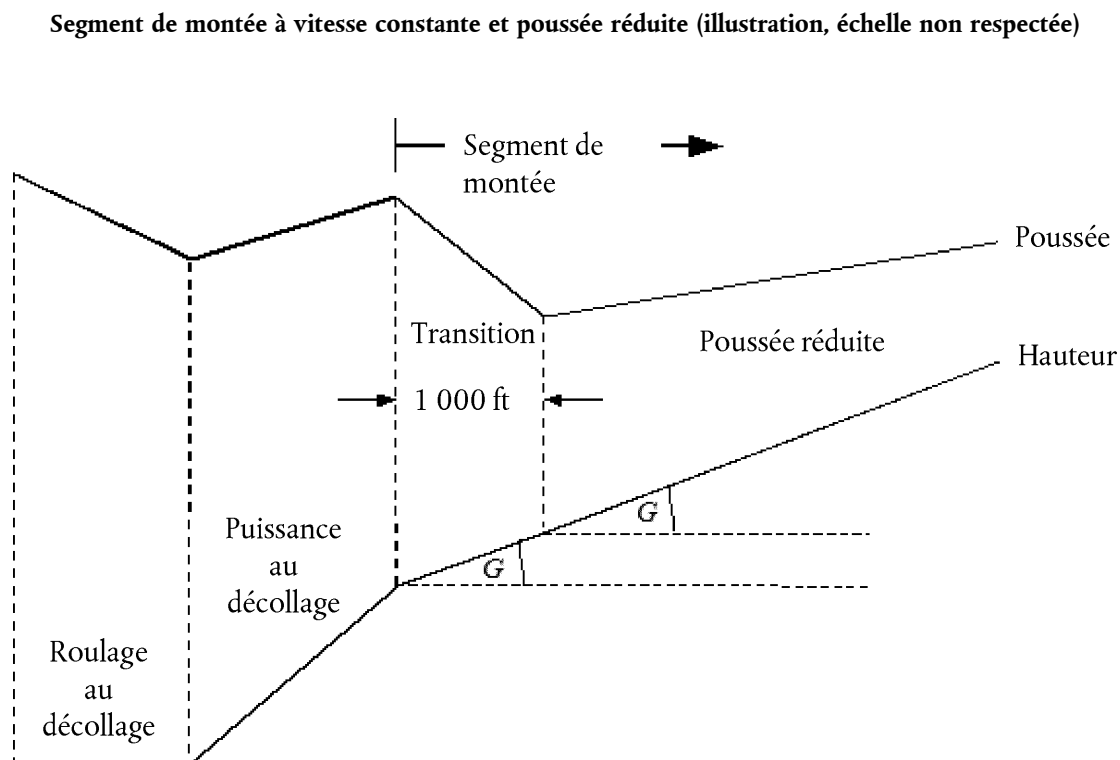
= 1,7 % pour les quadrimoteurs

<sup>(1)</sup> «Procédures de réduction du bruit», Document OACI «PANS-OPS» Vol.1 Partie V, Chapitre 3, OACI 2004.

### Segment de montée à vitesse constante et poussée réduite

La pente du segment de montée est calculée d'après l'équation B-12, la poussée étant calculée soit avec l'équation B-1 avec des coefficients de montée maximale, soit avec l'équation B-16 pour la poussée réduite. Le segment de montée est ensuite divisé en deux sous-segments, possédant tous deux le même angle de montée, comme l'illustre la **figure B-2**.

Figure B-2



Le premier sous-segment correspond à une distance au sol de 1 000 ft (304 m), et la poussée nette corrigée par moteur à la fin de cette distance est égale à la valeur de réduction. (Si la distance horizontale originale est inférieure à 2 000 ft, une moitié du segment sert à réduire la poussée). La poussée finale au niveau du second sous-segment est également égale à la poussée réduite. Ainsi, le second sous-segment est parcouru à une poussée constante.

#### B8 ACCÉLÉRATION DE LA MONTÉE ET RENTRÉE DES VOILETS

Cette phase fait généralement suite à la montée initiale. Comme pour tous les segments de vol, l'altitude  $h_1$ , la vitesse aérodynamique réelle  $V_{T1}$ , et la poussée  $(F_n/\delta)_1$  sont celles du point final du segment précédent. La vitesse propre corrigée  $V_{C2}$  du point final et le taux de montée moyen ROC sont des paramètres entrés par l'utilisateur (l'angle d'inclinaison  $\varepsilon$  est une fonction de la vitesse et du rayon du virage). Dans la mesure où elles sont interdépendantes, l'altitude finale  $h_2$ , la vitesse aérodynamique réelle finale  $V_{T2}$ , la poussée finale  $(F_n/\delta)_2$  et la longueur de route du segment  $\Delta s$  doivent être calculées par itération; l'altitude finale  $h_2$  est supposée au départ, et ensuite recalculée de façon répétée d'après les équations B-16 et B-17 jusqu'à ce que la différence entre les estimations successives soit inférieure à la tolérance spécifiée, par exemple 1 ft. Une estimation initiale pratique est  $h_2 = h_1 + 250$  ft.

La longueur de route du segment (distance horizontale couverte) est estimée de la manière suivante:

$$S_{\text{seg}} = 0,95 \cdot k^2 \cdot (V_{T2}^2 - V_{T1}^2) / 2 (a_{\text{max}} - G \cdot g) \quad (\text{B-17})$$

où

0,95 est un facteur représentant l'effet d'un vent de face de 8 kt lors d'une montée à 160 kt

k est une constante convertissant les nœuds en ft/sec = 1,688 ft/s par kt

$V_{T2}$  = vitesse aérodynamique réelle en fin de segment, en kt:  $V_{T2} = V_{C2}/\sqrt{\sigma_2}$

où  $\sigma_2$  = rapport de la densité de l'air à l'altitude finale  $h_2$

$a_{\max}$  = accélération maximale en palier (ft/s<sup>2</sup>)

$$= g[N \cdot \overline{F_n/\delta}/(\overline{W/\delta}) - R/\cos \varepsilon]$$

$G$  = pente de montée  $\approx \frac{ROC}{60 \cdot k \cdot V_T}$

où ROC = taux de montée, ft/min

D'après cette estimation de  $\Delta s$ , l'altitude finale  $h_2'$  est ensuite ré-estimée selon la formule:

$$h_2' = h_1 + s \cdot G/0,95 \quad (\text{B-18})$$

Tant que l'erreur  $|h_2' - h_2|$  se trouve en dehors de la tolérance spécifiée, les étapes B-17 et B18 sont reproduites en utilisant les valeurs en fin de segment de l'itération actuelle de l'altitude  $h_2$ , la vitesse aérodynamique réelle  $V_{T2}$ , et la poussée nette corrigée par moteur  $(F_n/\delta)_2$ . Lorsque l'erreur se trouve sur la plage de tolérance, le cycle itératif s'achève et le segment de l'accélération est défini par les valeurs finales en fin de segment.

*Note:* Si, au cours du processus d'itération,  $(a_{\max} - G \cdot g) < 0,02g$ , l'accélération peut s'avérer trop faible pour atteindre la  $V_{C2}$  souhaitée sur une distance acceptable. Dans ce cas, la pente de montée peut être limitée à  $G = a_{\max}/g - 0,02$ , réduisant en effet le taux de montée souhaité dans le but de maintenir une accélération acceptable. Si  $G < 0,01$ , il convient de conclure que la poussée n'est pas suffisante pour atteindre l'accélération et le taux de montée spécifiés; le calcul doit être achevé et les étapes procédurales révisées (!).

La longueur du segment de l'accélération est corrigée pour un vent de face  $w$  selon la formule suivante:

$$\Delta S_w = \Delta s \cdot \frac{(V_T - w)}{(V_T - 8)} \quad (\text{B-19})$$

### Segment d'accélération avec poussée réduite

La réduction de poussée est intégrée au segment d'accélération de la même manière que pour un segment de vitesse constante, à savoir en convertissant la première partie du segment en segment de transition. Le niveau de réduction de poussée est calculé comme pour la procédure de réduction de poussée à vitesse constante, uniquement d'après l'équation B-1. Il convient d'attirer l'attention sur le fait qu'il est généralement impossible d'accélérer et de monter tout en maintenant le régime moteur minimum, avec les moteurs coupés. La transition de la poussée est attribuée à une distance du sol de 1 000 ft (305 m). La poussée nette corrigée par moteur à la fin des 1 000 ft est établie comme étant égale à la valeur de réduction. La vitesse en fin de segment est déterminée par itération pour une longueur de segment égale à 1 000 ft. Si la distance horizontale initiale est inférieure à 2 000 ft, une moitié du segment est utilisée pour le changement de poussée. De même, la poussée finale sur le second sous-segment est égale à la réduction de poussée. Ainsi, le second sous-segment est parcouru à poussée constante.

#### B9 MONTÉE ADDITIONNELLE ET SEGMENTS D'ACCÉLÉRATION APRÈS RENTRÉE DES VOILETS

Si des segments d'accélération supplémentaires sont inclus à la trajectoire de la montée au décollage, les équations B-12 à B-19 doivent être utilisées à nouveau pour calculer la distance de la route-sol, l'angle moyen de montée, et le gain de hauteur pour chacun des segments. Comme précédemment, la hauteur finale du segment doit être estimée par itération.

#### B10 DESCENTE ET DÉCÉLÉRATION

Lors d'une phase d'approche, l'avion doit normalement descendre et décélérer en préparation du segment d'approche finale pour lequel il est configuré avec volets d'approche et train sortis. Les mécanismes de vol restent identiques par rapport à un cas de départ, la principale différence étant que le profil de hauteur et de vitesse est généralement connu, et ce sont les régimes moteur qui doivent être estimés pour chaque segment. L'équation de l'équilibre des forces de base est la suivante:

$$F_n/\delta = W \cdot \frac{R \cdot \cos \gamma + \sin \gamma + a/g}{N \cdot \delta} \quad (\text{B-20})$$

(!) Quel que soit le cas, le modèle informatique doit être programmé afin d'informer l'utilisateur des incohérences.

L'équation B-20 peut être utilisée de deux façons distinctes. Tout d'abord, la vitesse de l'avion en début et en fin de segment peut être définie avec un angle de descente (ou distance du segment plat) et les altitudes initiale et finale du segment. Dans ce cas, la décélération peut être calculée selon l'équation suivante:

$$\alpha = \frac{(V_2/\cos \gamma)^2 - (V_1/\cos \gamma)^2}{(2 \cdot \Delta s / \cos \gamma)} \quad (\text{B-21})$$

où  $\Delta s$  est la distance au sol couverte et  $V_1$  et  $V_2$  sont les vitesses sol initiale et finale calculées selon la formule suivante:

$$V = \frac{V_c \cdot \cos \gamma}{\sqrt{\sigma}} - w \quad (\text{B-22})$$

Les équations B-20, B-21 et B-22 confirment que, lors de la décélération sur une distance spécifiée à un taux constant de descente, un vent de face plus fort nécessitera une poussée plus importante pour maintenir la même décélération, tandis qu'un vent arrière nécessitera une moindre poussée.

En pratique, tout ou partie des décélérations au cours des phases d'approche sont réalisées au régime de ralenti. Ainsi, pour la seconde application de l'équation B-20, la poussée est définie selon un régime de ralenti et l'équation est résolue de manière itérative pour déterminer (1) la décélération et (2) la hauteur à la fin du segment de décélération – d'une manière similaire à celle utilisée pour les segments d'accélération du départ. Dans ce cas, la distance de décélération peut être très différente selon les vents de face ou arrière, et il est parfois nécessaire de réduire l'angle de descente pour obtenir des résultats acceptables.

Pour la plupart des avions, la poussée au ralenti n'est pas nulle et, pour beaucoup, il s'agit également d'une fonction de la vitesse de vol. Ainsi, l'équation B-20 est résolue pour la décélération en entrant un régime de ralenti. Ce dernier est calculé selon une équation de la forme suivante:

$$(F_n/\delta)_{idle} = E_{idle} + F_{idle} \cdot V_c + G_{A,idle} \cdot h + G_{B,idle} \cdot h^2 + H_{idle} \cdot T \quad (\text{B-23})$$

où ( $E_{idle}$ ,  $F_{idle}$ ,  $G_{A,idle}$ ,  $G_{B,idle}$  et  $H_{idle}$ ) sont des coefficients du régime de ralenti disponibles dans la base de données ANP.

#### B11 APPROCHE À L'ATERRISSAGE

La vitesse propre corrigée de l'approche à l'atterrissage,  $V_{CA}$ , est liée à la masse totale de l'avion à l'atterrissage, selon une équation similaire à l'équation B-11, à savoir:

$$V_{CA} \approx D \cdot \sqrt{W} \quad (\text{B-24})$$

où le coefficient  $D$  (kt/Ölbf) correspond à la position des volets d'atterrissage.

La poussée nette corrigée par moteur au cours de la descente le long de la pente d'approche est calculée en résolvant l'équation B-12 pour une masse à l'atterrissage  $W$  et un rapport traînée/portance  $R$  adaptés au réglage des volets train sorti. Le réglage des volets doit être celui généralement utilisé pour les opérations réelles. Au cours de l'approche à l'atterrissage, l'angle de descente  $\gamma$  peut être supposé constant. Pour les avions à réaction et à hélice multimoteurs,  $\gamma$  est généralement de  $-3^\circ$ . Pour les avions monoturbo-propulseurs,  $\gamma$  est généralement de  $-5^\circ$ .

La poussée moyenne nette corrigée est calculée par inversion de l'équation B-12, en utilisant  $K=1,03$  pour rendre compte la décélération inhérente à la trajectoire de descente avec un vent de référence de 8 kt et une vitesse propre corrigée constante donnée par l'équation B-24, à savoir:

$$\overline{F_n/\delta} = \frac{\overline{W/\delta}}{N} \cdot \left( R + \frac{\sin \gamma}{1,03} \right) \quad (\text{B-25})$$

Pour des vents de face autres que 8kt, la poussée moyenne nette corrigée devient:

$$\left(\overline{F_n / \delta}\right)_w = \overline{F_n / \delta} + 1,03 \cdot \overline{W / \delta} \cdot \frac{\sin \gamma \cdot (w - 8)}{N \cdot V_{ca}} \quad (\text{B-26})$$

La distance horizontale couverte est calculée selon l'équation suivante:

$$\Delta_s = \frac{(h_2 - h_1)}{\tan \gamma} \quad (\text{B-27})$$

(positive dès lors que  $h_1 > h_2$  et  $\gamma$  est négative).

---

## Appendice C

## Modélisation de la dispersion latérale des routes-sol

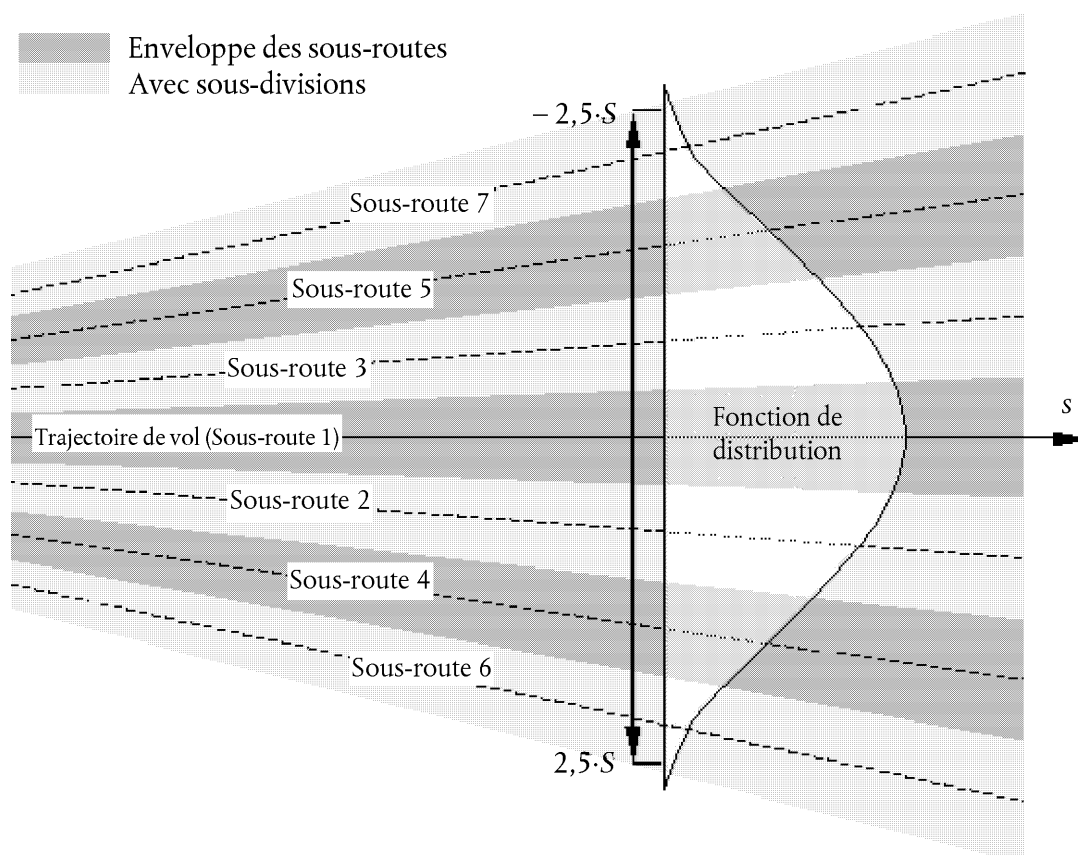
En l'absence de données radar, il est recommandé de modéliser la dispersion latérale des routes-sol en s'appuyant sur l'hypothèse selon laquelle la dispersion des routes perpendiculairement à la route centrale suit une distribution normale gaussienne. L'expérience a montré que cette hypothèse est acceptable dans la plupart des cas.

En supposant une distribution gaussienne avec un écart type  $S$ , comme l'illustre la **figure C-1**, près de 98,8 % des mouvements se trouvent dans une limite de  $\pm 2,5 \cdot S$  (c'est-à-dire dans une enveloppe de largeur  $5 \cdot S$ ).

Figure C-1

## Sous-division d'une route-sol en 7 sous-routes

(la largeur de l'enveloppe équivaut à 5 fois l'écart type de la dispersion de la route-sol)



Une distribution gaussienne peut normalement être dûment modélisée avec 7 sous-routes discrètes régulièrement espacées dans les limites à  $\pm 2,5 \cdot S$  de l'enveloppe, comme le montre la **figure C-1**.

Cependant, la justesse de l'approximation dépend de la relation entre la séparation des sous-routes et la hauteur de l'avion. Des situations (routes très rapprochées ou très dispersées) peuvent se présenter pour lesquelles un nombre différent de sous-routes apparaît plus approprié. Un nombre insuffisant de sous-routes engendre des «excroissances» sur la courbe. Les **tableaux C-1 et C-2** indiquent les paramètres nécessaires pour une sous-division entre 5 et 13 sous-routes. Le **tableau C-1** indique la position des sous-routes spécifiques, tandis que le **tableau C-2** mentionne les pourcentages correspondants des mouvements sur chaque sous-route.

Tableau C-1

**Position de 5, 7, 9, 11 ou 13 sous-routes**

[la largeur de l'ensemble de l'enveloppe (comprenant 98 % de tous les mouvements) équivaut à 5 fois l'écart type]

| Sous-route n° | Position des sous-routes pour une sous-division en |               |               |                |                |
|---------------|--|---------------|---------------|----------------|----------------|
|               | 5 sous-routes                                      | 7 sous-routes | 9 sous-routes | 11 sous-routes | 13 sous-routes |
| <b>12/13</b>  |  |               |               |                | ± 2,31·S       |
| <b>10/11</b>  |  |               |               | ± 2,27·S       | ± 1,92·S       |
| <b>8/9</b>    |  |               | ± 2,22·S      | ± 1,82·S       | ± 1,54·S       |
| <b>6/7</b>    |  | ± 2,14·S      | ± 1,67·S      | ± 1,36·S       | ± 1,15·S       |
| <b>4/5</b>    | ± 2,00·S   | ± 1,43·S      | ± 1,11·S      | ± 0,91·S       | ± 0,77·S       |
| <b>2/3</b>    | ± 1,00·S   | ± 0,71·S      | ± 0,56·S      | ± 0,45·S       | ± 0,38·S       |
| <b>1</b>      | 0  | 0             | 0             | 0              | 0              |

Tableau C-2

**Pourcentage de mouvements sur 5, 7, 9, 11 ou 13 sous-routes**

[la largeur de l'ensemble de l'enveloppe (comprenant 98 % de tous les mouvements) équivaut à 5 fois l'écart type]

| Sous-routes n° | Pourcentage des mouvements sur les sous-routes pour une sous-division en |               |               |                |                |
|----------------|--|---------------|---------------|----------------|----------------|
|                | 5 sous-routes  | 7 sous-routes | 9 sous-routes | 11 sous-routes | 13 sous-routes |
| <b>12/13</b>   |  |               |               |                | 1,1 %          |
| <b>10/11</b>   |  |               |               | 1,4 %          | 2,5 %          |
| <b>8/9</b>     |  |               | 2,0 %         | 3,5 %          | 4,7 %          |
| <b>6/7</b>     |  | 3,1 %         | 5,7 %         | 7,1 %          | 8,0 %          |
| <b>4/5</b>     | 6,3 %  | 10,6 %        | 12,1 %        | 12,1 %         | 11,5 %         |
| <b>2/3</b>     | 24,4 %   | 22,2 %        | 19,1 %        | 16,6 %         | 14,4 %         |
| <b>1</b>       | 38,6 %   | 28,2 %        | 22,2 %        | 18,6 %         | 15,6 %         |

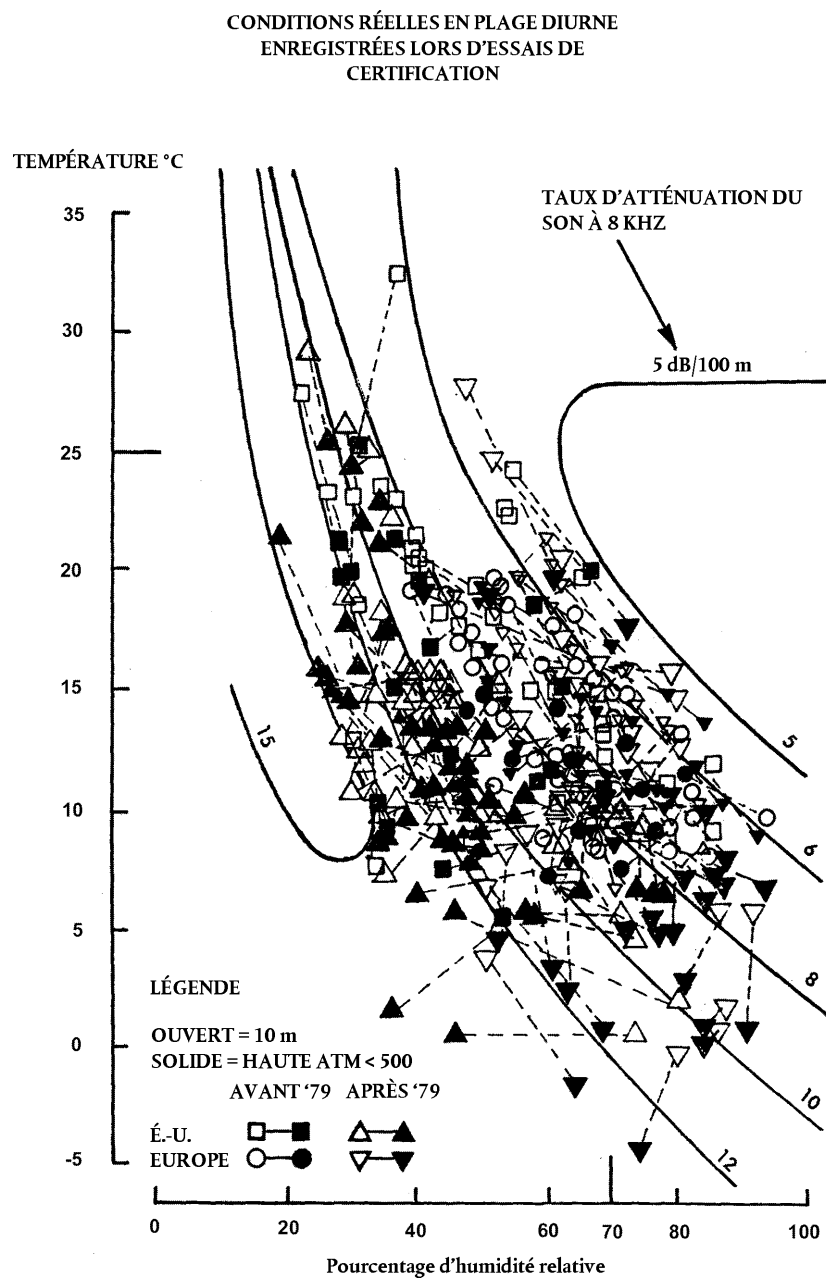
## Appendice D

## Recalcul des données du rapport bruit-puissance-distance (NPD) pour les conditions non référencées

La contribution de chaque segment de la trajectoire de vol aux niveaux de bruit provient des données NPD enregistrées dans la base de données internationale ANP. Cependant, il convient de noter que ces données ont été normalisées selon les taux d'atténuation atmosphériques moyens définis dans le document SAE AIR-1845. Ces taux sont des moyennes des valeurs déterminées au cours des essais de certification de bruit des avions en Europe et aux États-Unis. L'éventail de variation des conditions atmosphériques (température et humidité relative) de ces essais est illustré à la **figure D-1**.

Figure D-1

## Conditions météorologiques enregistrées au cours d'essais de certification de bruit



Les courbes représentées à la **figure D-1**, calculées au moyen d'un modèle ARP 866A d'atténuation atmosphérique standard industriel, illustrent le fait que, dans des conditions d'essai, une variation sensible de l'absorption du son haute fréquence (8 kHz) devrait se produire (bien que la variation de l'absorption totale serait plutôt moindre).

Dans la mesure où les taux d'atténuation fournis au **tableau D-1** sont des moyennes arithmétiques, l'ensemble complet ne peut être associé à une atmosphère de référence unique (c'est-à-dire avec des valeurs spécifiques de température et d'humidité relative). Ils peuvent uniquement être envisagés comme des propriétés d'une atmosphère purement théorique – appelée «atmosphère AIR-1845».

Tableau D-1

**Taux d'atténuation atmosphérique moyenne servant à normaliser les données NPD dans la base de données ANP**

| Fréquence centrale d'une bande de tiers d'octave [Hz] | Taux d'atténuation [dB/100m] | Fréquence centrale d'une bande de tiers d'octave [Hz] | Taux d'atténuation [dB/100m] |
|---|------------------------------|---|------------------------------|
| 50  | 0,033                        | 800   | 0,459                        |
| 63  | 0,033                        | 1 000   | 0,590                        |
| 80  | 0,033                        | 1 250   | 0,754                        |
| 100   | 0,066                        | 1 600   | 0,983                        |
| 125   | 0,066                        | 2 000   | 1,311                        |
| 160   | 0,098                        | 2 500   | 1,705                        |
| 200   | 0,131                        | 3 150   | 2,295                        |
| 250   | 0,131                        | 4 000   | 3,115                        |
| 315   | 0,197                        | 5 000   | 3,607                        |
| 400   | 0,230                        | 6 300   | 5,246                        |
| 500   | 0,295                        | 8 000   | 7,213                        |
| 630   | 0,361                        | 10 000  | 9,836                        |

Les coefficients d'atténuation du **tableau D-1** peuvent être supposés valides pour des plages de température et d'humidité acceptables. Toutefois, pour savoir si des ajustements sont nécessaires, il convient d'avoir recours au document ARP-866A pour calculer les coefficients d'absorption atmosphérique moyenne pour la température moyenne  $T$  et l'humidité relative  $HR$  de l'aéroport concerné. Selon une comparaison de ces coefficients avec ceux du **tableau D-1**, lorsque des ajustements sont jugés nécessaires, il convient d'employer la méthodologie suivante.

La base de données ANP fournit les données NPD suivantes pour chaque régime moteur:

- niveau acoustique maximal par rapport à la distance oblique,  $L_{max}(d)$
- niveau intégré dans le temps par rapport à la distance pour la vitesse aérodynamique de référence,  $L_E(d)$ , et
- spectre acoustique de référence non pondéré pour une distance oblique de 305 m (1 000 ft),  $I_{n,ref}(d_{ref})$  où  $n$  = la bande de fréquence (allant de 1 à 24 pour des bandes de tiers d'octave avec des fréquences centrales allant de 50 Hz à 10 kHz).

Toutes les données sont normalisées selon l'atmosphère AIR-1845.

Les ajustements des courbes NPD par rapport aux conditions  $T$  et  $HR$  spécifiées par l'utilisateur sont effectués en trois étapes:

- 1) Dans un premier temps, le spectre de référence est corrigé afin de supprimer l'atténuation atmosphérique  $\alpha_{n,ref}$  définie par le document SAE AIR-1845:

$$L_n(d_{ref}) = L_{n,ref}(d_{ref}) + \alpha_{n,ref} \cdot d_{ref} \quad (D-1)$$

où  $L_n(d_{ref})$  est le spectre non atténué pour une  $d_{ref} = 305\text{m}$  et  $\alpha_{n,ref}$  est le coefficient de l'absorption atmosphérique pour la bande de fréquence  $n$  extraite du **tableau D-1** (mais exprimé en dB/m).

- 2) Ensuite, le spectre corrigé est ajusté à chacune des dix distances standard NPD  $d_i$ , moyennant des taux d'atténuation, à la fois (i) pour l'atmosphère définie par le document SAE AIR-1845 et (ii) pour l'atmosphère spécifiée par l'utilisateur (sur la base du document SAE ARP-866A).

- i) Pour l'atmosphère définie par le document SAE AIR-1845:

$$L_{n,ref}(d_i) = L_n(d_{ref}) - 20 \cdot \lg(d_i/d_{ref}) - \alpha_{n,ref} \cdot d_i \quad (D-2)$$

- ii) Pour l'atmosphère spécifiée par l'utilisateur:

$$L_{n,866A}(T,RH,d_i) = L_n(d_{ref}) - 20 \cdot \lg(d_i/d_{ref}) - \alpha_{n,866A}(T,RH) \cdot d_i \quad (D-3)$$

où  $\alpha_{n,866A}$  est le coefficient de l'absorption atmosphérique pour la bande de fréquence  $n$  (exprimé en dB/m) calculé selon le document SAE ARP-866A, à raison d'une température  $T$  et d'une humidité relative  $HR$ .

- 3) À chaque distance  $d_i$  du NPD, les deux spectres font l'objet d'une pondération  $A$ , et la somme de leurs décibels est calculée afin de déterminer les niveaux pondérés  $A$  résultants  $L_{A,866A}$  et  $L_{A,ref}$  - qui sont ensuite soustraits de manière arithmétique:

$$\Delta L(T,RH,d_i) = L_{A,866A} - L_{A,ref} = 10 \cdot \lg \sum_{n=1}^{24} 10^{(L_{n,866A}(T,RH,d_i) - A_n)/10} - 10 \cdot \lg \sum_{n=1}^{24} 10^{(L_{n,ref}(d_i) - A_n)/10} \quad (D-4)$$

L'incrément  $\Delta L$  correspond à la différence entre les NPD de l'atmosphère spécifiée par l'utilisateur et ceux de l'atmosphère de référence. Il est ajouté à la valeur des données de la base ANP, afin de dériver les données NPD ajustées.

L'application de  $\Delta L$  pour ajuster à la fois le NPD de  $L_{max}$  et  $L_E$  suppose en réalité que différentes conditions atmosphériques affectent uniquement le spectre de référence, mais n'exercent aucun effet sur la forme du niveau de variation en fonction du temps. Ces conditions peuvent être jugées valides pour les éventails de propagation et les conditions atmosphériques types.

## Appendice E

## Correction du segment fini

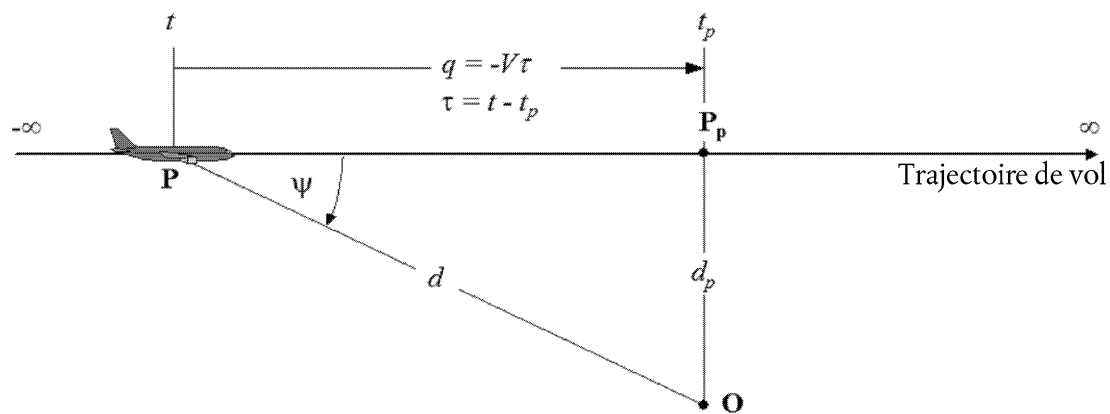
Le présent appendice expose dans les grandes lignes la dérivation de la correction du segment fini et l'algorithme de la fraction d'énergie associé, décrit au point 2.7.19.

## E1 GÉOMÉTRIE

L'algorithme de la fraction d'énergie repose sur la propagation du son d'une source sonore dipôle de 90 degrés à la «puissance quadratique». Cette dernière possède des caractéristiques directionnelles avoisinant celles du son émis par un avion à réaction, du moins dans la région angulaire qui influence le plus les niveaux des événements acoustiques au-dessous et latéralement à la trajectoire de vol.

Figure E-1

## Géométrie entre la trajectoire de vol et le point d'observation O



La **figure E-1** illustre la géométrie de la propagation du son entre la trajectoire de vol et le point d'observation  $O$ . L'avion au point  $P$  vole dans un air uniformément calme à une vitesse constante, sur une trajectoire de vol rectiligne en palier. Son point d'approche le plus proche du point d'observation est le point  $P_p$ . Les paramètres en jeu sont les suivants:

- $d$  la distance allant du point d'observation à l'avion
- $d_p$  la distance perpendiculaire à la trajectoire de vol, en partant du point d'observation (distance oblique)
- $q$  distance de  $P$  à  $P_p = -V\tau$
- $V$  la vitesse de l'avion
- $t$  le moment auquel l'avion est en  $P$
- $t_p$  le moment auquel l'avion se situe au point d'approche le plus proche  $P_p$
- $\tau$  le temps de vol = le temps par rapport au moment en  $P_p = t - t_p$
- $\psi$  l'angle entre la trajectoire de vol et le vecteur avion-point d'observation

Il convient de noter que, compte tenu du fait que le temps de vol  $\tau$  par rapport au point d'approche le plus proche est négatif lorsque l'avion se trouve avant le point de l'observation (comme le montre la **figure E-1**), la distance relative  $q$  au point d'approche le plus proche devient positive dans ce cas. Si l'avion dépasse le point d'observation,  $q$  devient négative.

## E2 ESTIMATION DE LA FRACTION DE L'ÉNERGIE

Le concept fondamental de la fraction de l'énergie consiste à exprimer l'exposition au bruit  $E$  produite au point de l'observation à partir d'un segment de trajectoire de vol  $\mathbf{P}_1\mathbf{P}_2$  ( $\mathbf{P}_1$  étant le point initial et  $\mathbf{P}_2$ , le point final) en multipliant l'exposition  $E_\infty$  de l'ensemble du survol de la trajectoire infinie par un simple facteur – le facteur de *fraction d'énergie*  $F$ :

$$E = F \cdot E_\infty \quad (\text{E-1})$$

Puisque l'exposition peut être exprimée en termes d'intégrale du temps du niveau de pression sonore (pondéré) du carré moyen, à savoir:

$$E = \text{const} \cdot \int p^2(\tau) d\tau \quad (\text{E-2})$$

pour calculer  $E$ , la pression moyenne au carré doit être exprimée comme une fonction des paramètres géométriques et opérationnels connus. Pour une source dipôle à  $90^\circ$ ,

$$p^2 = p_p^2 \cdot \frac{d_p^2}{d^2} \cdot \sin^2\psi = p_p^2 \cdot \frac{d_p^4}{d^4} \quad (\text{E-3})$$

où  $p^2$  et  $p_p^2$  correspondent aux pressions acoustiques du carré moyen observées, générées par l'avion lorsqu'il passe par les points  $\mathbf{P}$  et  $\mathbf{P}_p$ .

Cette relation relativement simple fournit une bonne simulation du bruit des avions à réaction, même si les mécanismes réels impliqués sont extrêmement complexes. Le terme  $d_p^2/d^2$  dans l'équation E-3 décrit simplement le mécanisme de la propagation sphérique applicable à un point source, une vitesse du son infini et une atmosphère uniforme et réactive. Tous les autres effets physiques – directivité source, vitesse du son fini, absorption atmosphérique, dérive Doppler, etc. – sont implicitement compris par le terme  $\sin^2\psi$ . Ce facteur engendre une diminution de la pression du carré moyen inversement à  $d^4$ ; d'où l'expression «source quadratique».

En introduisant les substitutions suivantes

$$d^2 = d_p^2 + q^2 = d_p^2 + (V \cdot \tau)^2 \text{ et } \left(\frac{d}{d_p}\right)^2 = 1 + \left(\frac{V \cdot \tau}{d_p}\right)^2$$

la pression du carré moyen peut être exprimée comme une fonction de temps (en ne tenant pas compte une fois de plus du temps de propagation du son):

$$p^2 = p_p^2 \cdot \left(1 + \left(\frac{V \cdot \tau}{d_p}\right)^2\right)^{-2} \quad (\text{E-4})$$

En introduisant cette fonction à l'équation (E-2) et en effectuant la substitution suivante:

$$\alpha = \frac{V \cdot \tau}{d_p} \quad (\text{E-5})$$

l'exposition au bruit au point d'observation du passage d'un avion entre l'intervalle de temps  $[t_1, t_2]$  peut être exprimée comme suit:

$$E = \text{const} \cdot p_p^2 \cdot \frac{d_p}{V} \cdot \int_{\alpha_1}^{\alpha_2} \frac{1}{(1 + \alpha^2)^2} d\alpha \quad (\text{E-6})$$

La solution de cette intégrale est exprimée par l'équation suivante:

$$E = \text{const} \cdot p_p^2 \cdot \frac{d_p}{V} \cdot \frac{1}{2} \left( \frac{\alpha_2}{1 + \alpha_2^2} + \arctan \alpha_2 - \frac{\alpha_1}{1 + \alpha_1^2} - \arctan \alpha_1 \right) \quad (\text{E-7})$$

L'intégration sur l'intervalle  $[-\infty, +\infty]$  (c'est-à-dire sur l'ensemble de la trajectoire infinie) fournit l'expression suivante pour l'exposition totale  $E_\infty$

$$E_\infty = \text{const} \cdot \frac{\pi}{2} \cdot p_p^2 \cdot \frac{d_p}{V} \quad (\text{E-8})$$

et donc, la fraction d'énergie selon l'équation E-1 est la suivante:

$$F = \frac{1}{\pi} \left( \frac{\alpha_2}{1 + \alpha_2^2} + \arctan \alpha_2 - \frac{\alpha_1}{1 + \alpha_1^2} - \arctan \alpha_1 \right) \quad (\text{E-9})$$

### E3 COHÉRENCE DES MÉTRIQUES MAXIMALES ET INTÉGRÉES DANS LE TEMPS — DISTANCE ÉCHELONNÉE

L'une des conséquences de l'utilisation d'un modèle dipôle simple pour définir la fraction d'énergie tient au fait que celui-ci implique une différence théorique spécifique  $\Delta L$  entre les niveaux  $L_{\max}$  et  $L_E$  du bruit des événements. Si le modèle de courbe doit être intrinsèquement cohérent, il convient d'égaliser la différence des valeurs déterminées d'après des courbes NPD. Le problème réside dans le fait que les données NPD proviennent des mesures réelles du bruit des avions – qui ne sont pas nécessairement conformes avec la simple théorie. Par conséquent, la théorie nécessite un élément de flexibilité supplémentaire. Mais en principe, les variables  $\alpha_1$  et  $\alpha_2$  sont déterminées par la géométrie et la vitesse des avions – ne laissant donc aucune autre marge de liberté. Le concept de *distance échelonnée*  $d_\lambda$  fournit la solution suivante.

Le niveau d'exposition  $L_{E,\infty}$  répertorié comme une fonction de  $d_p$  in the ANP dans la base de données ANP pour une vitesse de référence  $V_{\text{ref}}$  peut être exprimé de la façon suivante:

$$L_{E,\infty}(V_{\text{ref}}) = 10 \cdot \lg \left[ \frac{\int_{-\infty}^{\infty} p^2 \cdot dt}{p_0^2 \cdot t_{\text{ref}}} \right] \quad (\text{E-10})$$

où  $p_0$  correspond à une pression de référence standard et  $t_{\text{ref}}$  au temps de référence (= 1 s pour SEL). Pour la vitesse réelle  $V$ , le niveau d'exposition devient:

$$L_{E,\infty}(V) = L_{E,\infty}(V_{\text{ref}}) + 10 \cdot \lg \left( \frac{V_{\text{ref}}}{V} \right) \quad (\text{E-11})$$

De la même manière, le niveau d'événement maximal  $L_{\max}$  peut être écrit ainsi:

$$L_{\max} = 10 \cdot \lg \left[ \frac{p_p^2}{p_0^2} \right] \quad (\text{E-12})$$

Pour la source dipôle, en utilisant les équations E-8, E-11 and E-12, il convient de noter que (d'après les équations E-2 et E-8)  $\int_{-\infty}^{\infty} p^2 \cdot dt = \frac{\pi}{2} \cdot p_p^2 \cdot \frac{d_p}{V}$ , la différence  $\Delta L$  peut être écrite en ces termes:

$$\Delta L = L_{E,\infty} - L_{\max} = 10 \cdot \lg \left[ \frac{V}{V_{\text{ref}}} \cdot \left( \frac{\pi}{2} p_p^2 \frac{d_p}{V} \right) \cdot \frac{1}{p_0^2 \cdot t_{\text{ref}}} \right] - 10 \cdot \lg \left[ \frac{p_p^2}{p_0^2} \right] \quad (\text{E-13})$$

Ce qui peut uniquement être assimilé à la valeur de  $\Delta L$  déterminée d'après les données NPD si la distance oblique  $d_p$  servant à calculer la fraction de l'énergie est substituée par une *distance échelonnée*  $d_\lambda$ , définie par

$$d_\lambda = \frac{2}{\pi} \cdot V_{\text{ref}} \cdot t_{\text{ref}} \cdot 10^{(L_{E,\infty} - L_{\max})/10} \quad (\text{E-14a})$$

ou

$$d_\lambda = d_0 \cdot 10^{(L_{E,\infty} - L_{\max})/10} \text{ avec } d_0 = \frac{2}{\pi} \cdot V_{\text{ref}} \cdot t_{\text{ref}} \quad (\text{E-14b})$$

En remplaçant  $d_p$  par  $d_i$  dans l'équation E-5 et en utilisant la définition  $q = Vt$  de la **figure E-1**, les paramètres  $\alpha_1$  et  $\alpha_2$  de l'équation E-9 peuvent être écrits (en ayant  $q = q_1$  au point initial et  $q-\lambda = q_2$  au point d'un segment de trajectoire de vol de longueur  $\lambda$ ) de la façon suivante:

$$\alpha_1 = \frac{-q_1}{d_\lambda} \text{ et } \alpha_2 = \frac{-q_1 + \lambda}{d_\lambda} \quad (\text{E-15})$$

La substitution de la distance oblique réelle par la distance échelonnée grève la simplicité du modèle dipôle de 90 degrés à la puissance quadratique. Cependant, dans la mesure où ce dernier est efficacement échelonné *in situ* à l'aide des données provenant des mesures, l'algorithme de la fraction de l'énergie peut être considéré comme semi-empirique plutôt que purement théorique.

---











## Appendice G

## Base de données pour les sources du bruit ferroviaire

Le présent appendice présente la base de données pour la plupart des sources du bruit ferroviaire à utiliser pour calculer le bruit ferroviaire conformément à la méthode décrite en 2.3 Bruit du trafic ferroviaire.

Tableau G-1

Coefficients  $L_{r,TR,i}$  et  $L_{r,VEH,i}$  pour la rugosité de la roue et du rail

| Longueur d'onde | $L_{r,VEH,i}$ |      |                        |             |                |
|-----------------|---------------|------|------------------------|-------------|----------------|
|                 | Min           | Max  | Frein à sabot en fonte | Frein mixte | Frein à disque |
| 1 000 mm        | - 15,0        | 25,0 | 2,2                    | - 4,0       | - 5,9          |
| 800 mm          | - 15,0        | 25,0 | 2,2                    | - 4,0       | - 5,9          |
| 630 mm          | - 15,0        | 25,0 | 2,2                    | - 4,0       | - 5,9          |
| 500 mm          | - 15,0        | 25,0 | 2,2                    | - 4,0       | - 5,9          |
| 400 mm          | - 15,0        | 25,0 | 2,2                    | - 4,0       | - 5,9          |
| 315 mm          | - 15,0        | 25,0 | 2,2                    | - 4,0       | - 5,9          |
| 250 mm          | - 15,0        | 25,0 | 2,2                    | - 4,0       | 2,3            |
| 200 mm          | - 15,0        | 25,0 | 2,2                    | - 4,0       | 2,8            |
| 160 mm          | - 15,0        | 25,0 | 2,4                    | - 4,0       | 2,6            |
| 120 mm          | - 15,0        | 25,0 | 0,6                    | - 4,0       | 1,2            |
| 100 mm          | - 15,0        | 25,0 | 2,6                    | - 4,0       | 2,1            |
| 80 mm           | - 15,0        | 25,0 | 5,8                    | - 4,3       | 0,9            |
| 63 mm           | - 15,0        | 25,0 | 8,8                    | - 4,6       | - 0,3          |
| 50 mm           | - 15,0        | 25,0 | 11,1                   | - 4,9       | - 1,6          |
| 40 mm           | - 15,0        | 25,0 | 11,0                   | - 5,2       | - 2,9          |
| 31,5 mm         | - 15,0        | 25,0 | 9,8                    | - 6,3       | - 4,9          |
| 25 mm           | - 15,0        | 25,0 | 7,5                    | - 6,8       | - 7,0          |
| 20 mm           | - 15,0        | 25,0 | 5,1                    | - 7,2       | - 8,6          |
| 16 mm           | - 15,0        | 25,0 | 3,0                    | - 7,3       | - 9,3          |
| 12 mm           | - 15,0        | 25,0 | 1,3                    | - 7,3       | - 9,5          |
| 10 mm           | - 15,0        | 25,0 | 0,2                    | - 7,1       | - 10,1         |
| 8 mm            | - 15,0        | 25,0 | - 0,7                  | - 6,9       | - 10,3         |

| Longueur d'onde | $L_{r,VEH,i}$ |      |                        |             |                |
|-----------------|---------------|------|------------------------|-------------|----------------|
|                 | Min           | Max  | Frein à sabot en fonte | Frein mixte | Frein à disque |
| 6,3 mm          | - 15,0        | 25,0 | - 1,2                  | - 6,7       | - 10,3         |
| 5 mm            | - 15,0        | 25,0 | - 1,0                  | - 6,0       | - 10,8         |
| 4 mm            | - 15,0        | 25,0 | 0,3                    | - 3,7       | - 10,9         |
| 3,2 mm          | - 15,0        | 25,0 | 0,2                    | - 2,4       | - 9,5          |
| 2,5 mm          | - 15,0        | 25,0 | 1,3                    | - 2,6       | - 9,5          |
| 2 mm            | - 15,0        | 25,0 | 3,1                    | - 2,5       | - 9,5          |
| 1,6 mm          | - 15,0        | 25,0 | 3,1                    | - 2,5       | - 9,5          |
| 1,2 mm          | - 15,0        | 25,0 | 3,1                    | - 2,5       | - 9,5          |
| 1 mm            | - 15,0        | 25,0 | 3,1                    | - 2,5       | - 9,5          |
| 0,8 mm          | - 15,0        | 25,0 | 3,1                    | - 2,5       | - 9,5          |

| Longueur d'onde | $L_{r,VEH,i}$ |      |  |   |
|-----------------|---------------|------|--|---|
|                 | Min           | Max  | EN ISO 3095:2013<br>(bien entretenu et très lisse) | Réseau moyen<br>(entretien normal, lisse) |
| 1 000 mm        | - 15,0        | 22,0 | 17,1   | 11,0                                      |
| 800 mm          | - 15,0        | 22,0 | 17,1   | 11,0                                      |
| 630 mm          | - 15,0        | 22,0 | 17,1   | 11,0                                      |
| 500 mm          | - 15,0        | 22,0 | 17,1   | 11,0                                      |
| 400 mm          | - 15,0        | 22,0 | 17,1   | 11,0                                      |
| 315 mm          | - 15,0        | 22,0 | 15,0   | 10,0                                      |
| 250 mm          | - 15,0        | 22,0 | 13,0   | 9,0                                       |
| 200 mm          | - 15,0        | 22,0 | 11,0   | 8,0                                       |
| 160 mm          | - 15,0        | 22,0 | 9,0  | 7,0                                       |
| 120 mm          | - 15,0        | 22,0 | 7,0  | 6,0                                       |
| 100 mm          | - 15,0        | 22,0 | 4,9  | 5,0                                       |
| 80 mm           | - 15,0        | 22,0 | 2,9  | 4,0                                       |
| 63 mm           | - 15,0        | 22,0 | 0,9  | 3,0                                       |
| 50 mm           | - 15,0        | 22,0 | - 1,1  | 2,0                                       |
| 40 mm           | - 15,0        | 22,0 | - 3,2  | 1,0                                       |

| Longueur d'onde | $L_{r,VEH,i}$ |      |  |   |
|-----------------|---------------|------|--|---|
|                 | Min           | Max  | EN ISO 3095:2013<br>(bien entretenu et très lisse) | Réseau moyen<br>(entretien normal, lisse) |
| 31,5 mm         | - 15,0        | 22,0 | - 5,0  | 0,0                                       |
| 25 mm           | - 15,0        | 22,0 | - 5,6  | - 1,0                                     |
| 20 mm           | - 15,0        | 22,0 | - 6,2  | - 2,0                                     |
| 16 mm           | - 15,0        | 22,0 | - 6,8  | - 3,0                                     |
| 12 mm           | - 15,0        | 22,0 | - 7,4  | - 4,0                                     |
| 10 mm           | - 15,0        | 22,0 | - 8,0  | - 5,0                                     |
| 8 mm            | - 15,0        | 22,0 | - 8,6  | - 6,0                                     |
| 6,3 mm          | - 15,0        | 22,0 | - 9,2  | - 7,0                                     |
| 5 mm            | - 15,0        | 22,0 | - 9,8  | - 8,0                                     |
| 4 mm            | - 15,0        | 22,0 | - 10,4   | - 9,0                                     |
| 3,2 mm          | - 15,0        | 22,0 | - 11,0   | - 10,0                                    |
| 2,5 mm          | - 15,0        | 22,0 | - 11,6   | - 11,0                                    |
| 2 mm            | - 15,0        | 22,0 | - 12,2   | - 12,0                                    |
| 1,6 mm          | - 15,0        | 22,0 | - 12,8   | - 13,0                                    |
| 1,2 mm          | - 15,0        | 22,0 | - 13,4   | - 14,0                                    |
| 1 mm            | - 15,0        | 22,0 | - 14,0   | - 15,0                                    |
| 0,8 mm          | - 15,0        | 22,0 | - 14,0   | - 15,0                                    |

Tableau G-2

Coefficients  $A_{3,i}$  pour le filtre de contact

| Longueur d'onde | $A_{3,i}$ |     |   |   |   |   |  |
|-----------------|-----------|-----|---|---|---|---|--|
|                 | Min       | Max | Charge à l'essieu 50 kN –<br>diamètre de<br>roue 360 mm | Charge à l'essieu 50 kN –<br>diamètre de<br>roue 680 mm | Charge à l'essieu 25 kN –<br>diamètre de<br>roue 920 mm | Charge à l'essieu 50 kN –<br>diamètre de<br>roue 920 mm | Charge à l'essieu 100 kN –<br>diamètre de<br>roue 920 mm |
| 1 000 mm        | - 30,0    | 0,0 | 0,0   | 0,0   | 0,0   | 0,0   | 0,0  |
| 800 mm          | - 30,0    | 0,0 | 0,0   | 0,0   | 0,0   | 0,0   | 0,0  |
| 630 mm          | - 30,0    | 0,0 | 0,0   | 0,0   | 0,0   | 0,0   | 0,0  |
| 500 mm          | - 30,0    | 0,0 | 0,0   | 0,0   | 0,0   | 0,0   | 0,0  |
| 400 mm          | - 30,0    | 0,0 | 0,0   | 0,0   | 0,0   | 0,0   | 0,0  |

| Longueur d'onde | $A_{3,i}$ |     |   |   |   |   |  |
|-----------------|-----------|-----|---|---|---|---|--|
|                 | Min       | Max | Charge à l'essieu 50 kN – diamètre de roue 360 mm | Charge à l'essieu 50 kN – diamètre de roue 680 mm | Charge à l'essieu 25 kN – diamètre de roue 920 mm | Charge à l'essieu 50 kN – diamètre de roue 920 mm | Charge à l'essieu 100 kN – diamètre de roue 920 mm |
| 315 mm          | - 30,0    | 0,0 | 0,0   | 0,0   | 0,0   | 0,0   | 0,0  |
| 250 mm          | - 30,0    | 0,0 | 0,0   | 0,0   | 0,0   | 0,0   | 0,0  |
| 200 mm          | - 30,0    | 0,0 | 0,0   | 0,0   | 0,0   | 0,0   | 0,0  |
| 160 mm          | - 30,0    | 0,0 | 0,0   | 0,0   | 0,0   | 0,0   | 0,0  |
| 120 mm          | - 30,0    | 0,0 | 0,0   | 0,0   | 0,0   | 0,0   | 0,0  |
| 100 mm          | - 30,0    | 0,0 | 0,0   | 0,0   | 0,0   | 0,0   | 0,0  |
| 80 mm           | - 30,0    | 0,0 | 0,0   | 0,0   | 0,0   | - 0,2   | - 0,2  |
| 63 mm           | - 30,0    | 0,0 | 0,0   | - 0,2   | - 0,2   | - 0,5   | - 0,6  |
| 50 mm           | - 30,0    | 0,0 | - 0,2   | - 0,4   | - 0,5   | - 0,9   | - 1,3  |
| 40 mm           | - 30,0    | 0,0 | - 0,5   | - 0,7   | - 0,9   | - 1,6   | - 2,2  |
| 31,5 mm         | - 30,0    | 0,0 | - 1,2   | - 1,5   | - 1,6   | - 2,5   | - 3,7  |
| 25 mm           | - 30,0    | 0,0 | - 2,0   | - 2,8   | - 2,5   | - 3,8   | - 5,8  |
| 20 mm           | - 30,0    | 0,0 | - 3,0   | - 4,5   | - 3,8   | - 5,8   | - 9,0  |
| 16 mm           | - 30,0    | 0,0 | - 4,3   | - 7,0   | - 5,8   | - 8,5   | - 11,5   |
| 12 mm           | - 30,0    | 0,0 | - 6,0   | - 10,3  | - 8,5   | - 11,4  | - 12,5   |
| 10 mm           | - 30,0    | 0,0 | - 8,4   | - 12,0  | - 12,0  | - 12,0  | - 12,0   |
| 8 mm            | - 30,0    | 0,0 | - 12,0  | - 12,5  | - 12,6  | - 13,5  | - 14,0   |
| 6,3 mm          | - 30,0    | 0,0 | - 11,5  | - 13,5  | - 13,5  | - 14,5  | - 15,0   |
| 5 mm            | - 30,0    | 0,0 | - 12,5  | - 16,0  | - 14,5  | - 16,0  | - 17,0   |
| 4 mm            | - 30,0    | 0,0 | - 13,9  | - 16,0  | - 16,0  | - 16,5  | - 18,4   |
| 3,2 mm          | - 30,0    | 0,0 | - 14,7  | - 16,5  | - 16,5  | - 17,7  | - 19,5   |
| 2,5 mm          | - 30,0    | 0,0 | - 15,6  | - 17,0  | - 17,7  | - 18,6  | - 20,5   |
| 2 mm            | - 30,0    | 0,0 | - 16,6  | - 18,0  | - 18,6  | - 19,6  | - 21,5   |
| 1,6 mm          | - 30,0    | 0,0 | - 17,6  | - 19,0  | - 19,6  | - 20,6  | - 22,4   |
| 1,2 mm          | - 30,0    | 0,0 | - 18,6  | - 20,2  | - 20,6  | - 21,6  | - 23,5   |
| 1 mm            | - 30,0    | 0,0 | - 19,6  | - 21,2  | - 21,6  | - 22,6  | - 24,5   |
| 0,8 mm          | - 30,0    | 0,0 | - 20,6  | - 22,2  | - 22,6  | - 23,6  | - 25,4   |

Tableau G-3

**Coefficients  $L_{H,TR,i}$ ,  $L_{H,VEH,i}$  et  $L_{H,VEH,SUP}$  pour les fonctions de transfert**

(les valeurs sont exprimées en niveau de puissance acoustique par essieu)

| Fréquence | $L_{H,TR,i}$ |       |                                      |   |                                      |                                    |   |                                    |                  |
|-----------|--------------|-------|--------------------------------------|---|--------------------------------------|------------------------------------|---|------------------------------------|------------------|
|           | Min          | Max   | Traverse monobloc sur semelle souple | Traverse monobloc sur semelle de rigidité moyenne | Traverse monobloc sur semelle rigide | Traverse bibloc sur semelle souple | Traverse bibloc sur semelle de rigidité moyenne | Traverse bibloc sur semelle rigide | Traverse en bois |
| 50 Hz     | 0,0          | 140,0 | 53,3                                 | 50,9  | 50,1                                 | 50,9                               | 50,0  | 49,8                               | 44,0             |
| 63 Hz     | 0,0          | 140,0 | 59,3                                 | 57,8  | 57,2                                 | 56,6                               | 56,1  | 55,9                               | 51,0             |
| 80 Hz     | 0,0          | 140,0 | 67,2                                 | 66,5  | 66,3                                 | 64,3                               | 64,1  | 64,0                               | 59,9             |
| 100 Hz    | 0,0          | 140,0 | 75,9                                 | 76,8  | 77,2                                 | 72,3                               | 72,5  | 72,5                               | 70,8             |
| 125 Hz    | 0,0          | 140,0 | 79,2                                 | 80,9  | 81,6                                 | 75,4                               | 75,8  | 75,9                               | 75,1             |
| 160 Hz    | 0,0          | 140,0 | 81,8                                 | 83,3  | 84,0                                 | 78,5                               | 79,1  | 79,4                               | 76,9             |
| 200 Hz    | 0,0          | 140,0 | 84,2                                 | 85,8  | 86,5                                 | 81,8                               | 83,6  | 84,4                               | 77,2             |
| 250 Hz    | 0,0          | 140,0 | 88,6                                 | 90,0  | 90,7                                 | 86,6                               | 88,7  | 89,7                               | 80,9             |
| 316 Hz    | 0,0          | 140,0 | 91,0                                 | 91,6  | 92,1                                 | 89,1                               | 89,6  | 90,2                               | 85,3             |
| 400 Hz    | 0,0          | 140,0 | 94,5                                 | 93,9  | 94,3                                 | 91,9                               | 89,7  | 90,2                               | 92,5             |
| 500 Hz    | 0,0          | 140,0 | 97,0                                 | 95,6  | 95,8                                 | 94,5                               | 90,6  | 90,8                               | 97,0             |
| 630 Hz    | 0,0          | 140,0 | 99,2                                 | 97,4  | 97,0                                 | 97,5                               | 93,8  | 93,1                               | 98,7             |
| 800 Hz    | 0,0          | 140,0 | 104,0                                | 101,7   | 100,3                                | 104,0                              | 100,6   | 97,9                               | 102,8            |
| 1 000 Hz  | 0,0          | 140,0 | 107,1                                | 104,4   | 102,5                                | 107,9                              | 104,7   | 101,1                              | 105,4            |
| 1 250 Hz  | 0,0          | 140,0 | 108,3                                | 106,0   | 104,2                                | 108,9                              | 106,3   | 103,4                              | 106,5            |
| 1 600 Hz  | 0,0          | 140,0 | 108,5                                | 106,8   | 105,4                                | 108,8                              | 107,1   | 105,4                              | 106,4            |
| 2 000 Hz  | 0,0          | 140,0 | 109,7                                | 108,3   | 107,1                                | 109,8                              | 108,8   | 107,7                              | 107,5            |
| 2 500 Hz  | 0,0          | 140,0 | 110,0                                | 108,9   | 107,9                                | 110,2                              | 109,3   | 108,5                              | 108,1            |
| 3 160 Hz  | 0,0          | 140,0 | 110,0                                | 109,1   | 108,2                                | 110,1                              | 109,4   | 108,7                              | 108,4            |
| 4 000 Hz  | 0,0          | 140,0 | 110,0                                | 109,4   | 108,7                                | 110,1                              | 109,7   | 109,1                              | 108,7            |
| 5 000 Hz  | 0,0          | 140,0 | 110,3                                | 109,9   | 109,4                                | 110,3                              | 110,0   | 109,6                              | 109,1            |
| 6 350 Hz  | 0,0          | 140,0 | 110,0                                | 109,9   | 109,7                                | 109,9                              | 109,8   | 109,6                              | 109,1            |

| Fréquence | $L_{H,TR,i}$ |       |                                      |   |                                      |                                    |   |                                    |                  |
|-----------|--------------|-------|--------------------------------------|---|--------------------------------------|------------------------------------|---|------------------------------------|------------------|
|           | Min          | Max   | Traverse monobloc sur semelle souple | Traverse monobloc sur semelle de rigidité moyenne | Traverse monobloc sur semelle rigide | Traverse bibloc sur semelle souple | Traverse bibloc sur semelle de rigidité moyenne | Traverse bibloc sur semelle rigide | Traverse en bois |
| 8 000 Hz  | 0,0          | 140,0 | 110,1                                | 110,3   | 110,4                                | 110,0                              | 110,0   | 109,9                              | 109,5            |
| 10 000 Hz | 0,0          | 140,0 | 110,6                                | 111,0   | 111,4                                | 110,4                              | 110,5   | 110,6                              | 110,2            |

| Fréquence | $L_{H,VEH,i}$ |       |                                      |                                      |                                      |  |
|-----------|---------------|-------|--------------------------------------|--------------------------------------|--------------------------------------|--|
|           | Min           | Max   | Roue de diamètre 920 mm, sans mesure | Roue de diamètre 840 mm, sans mesure | Roue de diamètre 680 mm, sans mesure | Roue de diamètre 1 200 mm, sans mesure |
| 50 Hz     | 60,0          | 140,0 | 75,4                                 | 75,4                                 | 75,4                                 | 75,4                                   |
| 63 Hz     | 60,0          | 140,0 | 77,3                                 | 77,3                                 | 77,3                                 | 77,3                                   |
| 80 Hz     | 60,0          | 140,0 | 81,1                                 | 81,1                                 | 81,1                                 | 81,1                                   |
| 100 Hz    | 60,0          | 140,0 | 84,1                                 | 84,1                                 | 84,1                                 | 84,1                                   |
| 125 Hz    | 60,0          | 140,0 | 83,3                                 | 82,8                                 | 82,8                                 | 82,8                                   |
| 160 Hz    | 60,0          | 140,0 | 84,3                                 | 83,3                                 | 83,3                                 | 83,3                                   |
| 200 Hz    | 60,0          | 140,0 | 86,0                                 | 84,1                                 | 83,9                                 | 84,5                                   |
| 250 Hz    | 60,0          | 140,0 | 90,1                                 | 86,9                                 | 86,3                                 | 90,4                                   |
| 316 Hz    | 60,0          | 140,0 | 89,8                                 | 87,9                                 | 88,0                                 | 90,4                                   |
| 400 Hz    | 60,0          | 140,0 | 89,0                                 | 89,9                                 | 92,2                                 | 89,9                                   |
| 500 Hz    | 60,0          | 140,0 | 88,8                                 | 90,9                                 | 93,9                                 | 90,1                                   |
| 630 Hz    | 60,0          | 140,0 | 90,4                                 | 91,5                                 | 92,5                                 | 91,3                                   |
| 800 Hz    | 60,0          | 140,0 | 92,4                                 | 91,5                                 | 90,9                                 | 91,5                                   |
| 1 000 Hz  | 60,0          | 140,0 | 94,9                                 | 93,0                                 | 90,4                                 | 93,6                                   |
| 1 250 Hz  | 60,0          | 140,0 | 100,4                                | 98,7                                 | 93,2                                 | 100,5                                  |
| 1 600 Hz  | 60,0          | 140,0 | 104,6                                | 101,6                                | 93,5                                 | 104,6                                  |
| 2 000 Hz  | 60,0          | 140,0 | 109,6                                | 107,6                                | 99,6                                 | 115,6                                  |
| 2 500 Hz  | 60,0          | 140,0 | 114,9                                | 111,9                                | 104,9                                | 115,9                                  |
| 3 160 Hz  | 60,0          | 140,0 | 115,0                                | 114,5                                | 108,0                                | 116,0                                  |

| Fréquence | $L_{H,VEH,i}$ |       |                                      |                                      |                                      |  |
|-----------|---------------|-------|--------------------------------------|--------------------------------------|--------------------------------------|--|
|           | Min           | Max   | Roue de diamètre 920 mm, sans mesure | Roue de diamètre 840 mm, sans mesure | Roue de diamètre 680 mm, sans mesure | Roue de diamètre 1 200 mm, sans mesure |
| 4 000 Hz  | 60,0          | 140,0 | 115,0                                | 114,5                                | 111,0                                | 116,0                                  |
| 5 000 Hz  | 60,0          | 140,0 | 115,5                                | 115,0                                | 111,5                                | 116,5                                  |
| 6 350 Hz  | 60,0          | 140,0 | 115,6                                | 115,1                                | 111,6                                | 116,6                                  |
| 8 000 Hz  | 60,0          | 140,0 | 116,0                                | 115,5                                | 112,0                                | 117,0                                  |
| 10 000 Hz | 60,0          | 140,0 | 116,7                                | 116,2                                | 112,7                                | 117,7                                  |

| Fréquence | $L_{H,VEH,SUP,i}$ |       |          |
|-----------|-------------------|-------|----------|
|           | Min               | Max   | Norme UE |
| 50 Hz     | 0,0               | 140,0 | 0,0      |
| 63 Hz     | 0,0               | 140,0 | 0,0      |
| 80 Hz     | 0,0               | 140,0 | 0,0      |
| 100 Hz    | 0,0               | 140,0 | 0,0      |
| 125 Hz    | 0,0               | 140,0 | 0,0      |
| 160 Hz    | 0,0               | 140,0 | 0,0      |
| 200 Hz    | 0,0               | 140,0 | 0,0      |
| 250 Hz    | 0,0               | 140,0 | 0,0      |
| 316 Hz    | 0,0               | 140,0 | 0,0      |
| 400 Hz    | 0,0               | 140,0 | 0,0      |
| 500 Hz    | 0,0               | 140,0 | 0,0      |
| 630 Hz    | 0,0               | 140,0 | 0,0      |
| 800 Hz    | 0,0               | 140,0 | 0,0      |
| 1 000 Hz  | 0,0               | 140,0 | 0,0      |
| 1 250 Hz  | 0,0               | 140,0 | 0,0      |
| 1 600 Hz  | 0,0               | 140,0 | 0,0      |
| 2 000 Hz  | 0,0               | 140,0 | 0,0      |
| 2 500 Hz  | 0,0               | 140,0 | 0,0      |
| 3 160 Hz  | 0,0               | 140,0 | 0,0      |
| 4 000 Hz  | 0,0               | 140,0 | 0,0      |

| Fréquence | $L_{H,VEH,SUP,i}$ |       |          |
|-----------|-------------------|-------|----------|
|           | Min               | Max   | Norme UE |
| 5 000 Hz  | 0,0               | 140,0 | 0,0      |
| 6 350 Hz  | 0,0               | 140,0 | 0,0      |
| 8 000 Hz  | 0,0               | 140,0 | 0,0      |
| 10 000 Hz | 0,0               | 140,0 | 0,0      |

Tableau G-4

**Coefficients  $L_{R,IMPACT,i}$  pour bruit d'impact**

| Longueur d'onde | $L_{R,IMPACT,i}$ |     |                                       |
|-----------------|------------------|-----|---------------------------------------|
|                 | Min              | Max | Aiguillage/joint/croisement/<br>100 m |
| 1 000 mm        | - 40             | 30  | 22,4                                  |
| 800 mm          | - 40             | 30  | 22,4                                  |
| 630 mm          | - 40             | 30  | 22,4                                  |
| 500 mm          | - 40             | 30  | 23,8                                  |
| 400 mm          | - 40             | 30  | 24,7                                  |
| 315 mm          | - 40             | 30  | 24,7                                  |
| 250 mm          | - 40             | 30  | 23,4                                  |
| 200 mm          | - 40             | 30  | 21,7                                  |
| 160 mm          | - 40             | 30  | 20,2                                  |
| 120 mm          | - 40             | 30  | 20,4                                  |
| 100 mm          | - 40             | 30  | 20,8                                  |
| 80 mm           | - 40             | 30  | 20,9                                  |
| 63 mm           | - 40             | 30  | 19,8                                  |
| 50 mm           | - 40             | 30  | 18                                    |
| 40 mm           | - 40             | 30  | 16                                    |
| 31,5 mm         | - 40             | 30  | 13                                    |
| 25 mm           | - 40             | 30  | 10                                    |
| 20 mm           | - 40             | 30  | 6                                     |
| 16 mm           | - 40             | 30  | 1                                     |
| 12 mm           | - 40             | 30  | - 4                                   |

| Longueur d'onde | $L_{R,IMPACT,i}$ |     |                                       |
|-----------------|------------------|-----|---------------------------------------|
|                 | Min              | Max | Aiguillage/joint/croisement/<br>100 m |
| 10 mm           | - 40             | 30  | - 11                                  |
| 8 mm            | - 40             | 30  | - 16,5                                |
| 6,3 mm          | - 40             | 30  | - 18,5                                |
| 5 mm            | - 40             | 30  | - 21                                  |
| 4 mm            | - 40             | 30  | - 22,5                                |
| 3,2 mm          | - 40             | 30  | - 24,7                                |
| 2,5 mm          | - 40             | 30  | - 26,6                                |
| 2 mm            | - 40             | 30  | - 28,6                                |
| 1,6 mm          | - 40             | 30  | - 30,6                                |
| 1,2 mm          | - 40             | 30  | - 32,6                                |
| 1 mm            | - 40             | 30  | - 34                                  |
| 0,8 mm          | - 40             | 30  | - 34                                  |

Tableau G-5

**Coefficients  $L_{W,0,idling}$  pour le bruit de traction**

(les valeurs sont exprimées en niveau de puissance acoustique par véhicule)

| Fréquence | $L_{W,0,idling}$ |         |         |         |                                    |         |                                      |         |   |         |                            |         |  |         |
|-----------|------------------|---------|---------|---------|------------------------------------|---------|--------------------------------------|---------|---|---------|----------------------------|---------|--|---------|
|           | Min              |         | Max     |         | Locomotive Diesel<br>(env. 800 kW) |         | Locomotive Diesel<br>(env. 2 200 kW) |         | Locomotive Diesel –<br>plusieurs unités |         | Locomotive élec-<br>trique |         | Locomotive élec-<br>trique – plusieurs<br>unités |         |
|           | SourceA          | SourceB | SourceA | SourceB | SourceA                            | SourceB | SourceA                              | SourceB | SourceA                                 | SourceB | SourceA                    | SourceB | SourceA  | SourceB |
| 50 Hz     | 0,0              | 0,0     | 140,0   | 140,0   | 98,9                               | 103,2   | 99,4                                 | 103,7   | 82,6                                    | 86,9    | 87,9                       | 92,2    | 80,5   | 84,8    |
| 63 Hz     | 0,0              | 0,0     | 140,0   | 140,0   | 94,8                               | 100,0   | 107,3                                | 112,5   | 82,5                                    | 87,7    | 90,8                       | 96,0    | 81,4   | 86,6    |
| 80 Hz     | 0,0              | 0,0     | 140,0   | 140,0   | 92,6                               | 95,5    | 103,1                                | 106,0   | 89,3                                    | 92,2    | 91,6                       | 94,5    | 80,5   | 83,4    |
| 100 Hz    | 0,0              | 0,0     | 140,0   | 140,0   | 94,6                               | 94,0    | 102,1                                | 101,5   | 90,3                                    | 89,7    | 94,6                       | 94,0    | 82,2   | 81,6    |
| 125 Hz    | 0,0              | 0,0     | 140,0   | 140,0   | 92,8                               | 93,3    | 99,3                                 | 99,8    | 93,5                                    | 94,0    | 94,8                       | 95,3    | 80,0   | 80,5    |
| 160 Hz    | 0,0              | 0,0     | 140,0   | 140,0   | 92,8                               | 93,6    | 99,3                                 | 100,1   | 99,5                                    | 100,3   | 96,8                       | 97,6    | 79,7   | 80,5    |
| 200 Hz    | 0,0              | 0,0     | 140,0   | 140,0   | 93,0                               | 92,9    | 99,5                                 | 99,4    | 98,7                                    | 98,6    | 104,0                      | 103,9   | 79,6   | 79,5    |
| 250 Hz    | 0,0              | 0,0     | 140,0   | 140,0   | 94,8                               | 92,7    | 101,3                                | 99,2    | 95,5                                    | 93,4    | 100,8                      | 98,7    | 96,4   | 94,3    |
| 316 Hz    | 0,0              | 0,0     | 140,0   | 140,0   | 94,6                               | 92,4    | 101,1                                | 98,9    | 90,3                                    | 88,1    | 99,6                       | 97,4    | 80,5   | 78,3    |
| 400 Hz    | 0,0              | 0,0     | 140,0   | 140,0   | 95,7                               | 92,8    | 102,2                                | 99,3    | 91,4                                    | 88,5    | 101,7                      | 98,8    | 81,3   | 78,4    |
| 500 Hz    | 0,0              | 0,0     | 140,0   | 140,0   | 95,6                               | 92,8    | 102,1                                | 99,3    | 91,3                                    | 88,5    | 98,6                       | 95,8    | 97,2   | 94,4    |
| 630 Hz    | 0,0              | 0,0     | 140,0   | 140,0   | 98,6                               | 96,8    | 101,1                                | 99,3    | 90,3                                    | 88,5    | 95,6                       | 93,8    | 79,5   | 77,7    |

| Fréquence | $L_{w,0,adling}$ |         |         |         |                                    |         |                                      |         |   |         |                            |         |  |         |
|-----------|------------------|---------|---------|---------|------------------------------------|---------|--------------------------------------|---------|---|---------|----------------------------|---------|--|---------|
|           | Min              |         | Max     |         | Locomotive Diesel<br>(env. 800 kW) |         | Locomotive Diesel<br>(env. 2 200 kW) |         | Locomotive Diesel –<br>plusieurs unités |         | Locomotive élec-<br>trique |         | Locomotive élec-<br>trique – plusieurs<br>unités |         |
|           | SourceA          | SourceB | SourceA | SourceB | SourceA                            | SourceB | SourceA                              | SourceB | SourceA                                 | SourceB | SourceA                    | SourceB | SourceA  | SourceB |
| 800 Hz    | 0,0              | 0,0     | 140,0   | 140,0   | 95,2                               | 92,7    | 101,7                                | 99,2    | 90,9                                    | 88,4    | 95,2                       | 92,7    | 79,8   | 77,3    |
| 1 000 Hz  | 0,0              | 0,0     | 140,0   | 140,0   | 95,1                               | 93,0    | 101,6                                | 99,5    | 91,8                                    | 89,7    | 96,1                       | 94,0    | 86,7   | 84,6    |
| 1 250 Hz  | 0,0              | 0,0     | 140,0   | 140,0   | 95,1                               | 92,9    | 99,3                                 | 97,1    | 92,8                                    | 90,6    | 92,1                       | 89,9    | 81,7   | 79,5    |
| 1 600 Hz  | 0,0              | 0,0     | 140,0   | 140,0   | 94,1                               | 93,1    | 96,0                                 | 95,0    | 92,8                                    | 91,8    | 89,1                       | 88,1    | 82,7   | 81,7    |
| 2 000 Hz  | 0,0              | 0,0     | 140,0   | 140,0   | 94,1                               | 93,2    | 93,7                                 | 92,8    | 90,8                                    | 89,9    | 87,1                       | 86,2    | 80,7   | 79,8    |
| 2 500 Hz  | 0,0              | 0,0     | 140,0   | 140,0   | 99,4                               | 98,3    | 101,9                                | 100,8   | 88,1                                    | 87,0    | 85,4                       | 84,3    | 78,0   | 76,9    |
| 3 160 Hz  | 0,0              | 0,0     | 140,0   | 140,0   | 92,5                               | 91,5    | 89,5                                 | 88,5    | 85,2                                    | 84,2    | 83,5                       | 82,5    | 75,1   | 74,1    |
| 4 000 Hz  | 0,0              | 0,0     | 140,0   | 140,0   | 89,5                               | 88,7    | 87,1                                 | 86,3    | 83,2                                    | 82,4    | 81,5                       | 80,7    | 72,1   | 71,3    |
| 5 000 Hz  | 0,0              | 0,0     | 140,0   | 140,0   | 87,0                               | 86,0    | 90,5                                 | 89,5    | 81,7                                    | 80,7    | 80,0                       | 79,0    | 69,6   | 68,6    |
| 6 350 Hz  | 0,0              | 0,0     | 140,0   | 140,0   | 84,1                               | 83,4    | 31,4                                 | 30,7    | 78,8                                    | 78,1    | 78,1                       | 77,4    | 66,7   | 66,0    |
| 8 000 Hz  | 0,0              | 0,0     | 140,0   | 140,0   | 81,5                               | 80,9    | 81,2                                 | 80,6    | 76,2                                    | 75,6    | 76,5                       | 75,9    | 64,1   | 63,5    |
| 10 000 Hz | 0,0              | 0,0     | 140,0   | 140,0   | 79,2                               | 78,7    | 79,6                                 | 79,1    | 73,9                                    | 73,4    | 75,2                       | 74,7    | 61,8   | 61,3    |

Tableau G-6

Coefficients  $L_{w,0,1}$ ,  $L_{w,0,2}$ ,  $\alpha_1$ ,  $\alpha_2$  pour le bruit aérodynamique

(les valeurs sont exprimées en niveau de puissance acoustique par véhicule (pour un véhicule d'une longueur de 20 m)

| Fréquence | Min         |             | Max         |             | Bruit aérodynamique à 300 km/h |             |
|-----------|-------------|-------------|-------------|-------------|--------------------------------|-------------|
|           | $\alpha_1$  | $\alpha_2$  | $\alpha_1$  | $\alpha_2$  | $\alpha_1$                     | $\alpha_2$  |
|           | 0           | 0           | 100         | 100         | 50                             | 50          |
|           | $L_{w,0,1}$ | $L_{w,0,2}$ | $L_{w,0,1}$ | $L_{w,0,2}$ | $L_{w,0,1}$                    | $L_{w,0,2}$ |
| 50 Hz     | 0           | 0           | 140         | 140         | 112,6                          | 36,7        |
| 63 Hz     | 0           | 0           | 140         | 140         | 113,2                          | 38,5        |
| 80 Hz     | 0           | 0           | 140         | 140         | 115,7                          | 39,0        |
| 100 Hz    | 0           | 0           | 140         | 140         | 117,4                          | 37,5        |
| 125 Hz    | 0           | 0           | 140         | 140         | 115,3                          | 36,8        |
| 160 Hz    | 0           | 0           | 140         | 140         | 115,0                          | 37,1        |
| 200 Hz    | 0           | 0           | 140         | 140         | 114,9                          | 36,4        |
| 250 Hz    | 0           | 0           | 140         | 140         | 116,4                          | 36,2        |
| 316 Hz    | 0           | 0           | 140         | 140         | 115,9                          | 35,9        |
| 400 Hz    | 0           | 0           | 140         | 140         | 116,3                          | 36,3        |

| Fréquence | Min         |             | Max         |             | Bruit aérodynamique à 300 km/h |             |
|-----------|-------------|-------------|-------------|-------------|--------------------------------|-------------|
|           | $\alpha_1$  | $\alpha_2$  | $\alpha_1$  | $\alpha_2$  | $\alpha_1$                     | $\alpha_2$  |
|           | 0           | 0           | 100         | 100         | 50                             | 50          |
|           | $L_{w,0,1}$ | $L_{w,0,2}$ | $L_{w,0,1}$ | $L_{w,0,2}$ | $L_{w,0,1}$                    | $L_{w,0,2}$ |
| 500 Hz    | 0           | 0           | 140         | 140         | 116,2                          | 36,3        |
| 630 Hz    | 0           | 0           | 140         | 140         | 115,2                          | 36,3        |
| 800 Hz    | 0           | 0           | 140         | 140         | 115,8                          | 36,2        |
| 1 000 Hz  | 0           | 0           | 140         | 140         | 115,7                          | 36,5        |
| 1 250 Hz  | 0           | 0           | 140         | 140         | 115,7                          | 36,4        |
| 1 600 Hz  | 0           | 0           | 140         | 140         | 114,7                          | 105,2       |
| 2 000 Hz  | 0           | 0           | 140         | 140         | 114,7                          | 110,3       |
| 2 500 Hz  | 0           | 0           | 140         | 140         | 115,0                          | 110,4       |
| 3 160 Hz  | 0           | 0           | 140         | 140         | 114,5                          | 105,6       |
| 4 000 Hz  | 0           | 0           | 140         | 140         | 113,1                          | 37,2        |
| 5 000 Hz  | 0           | 0           | 140         | 140         | 112,1                          | 37,5        |
| 6 350 Hz  | 0           | 0           | 140         | 140         | 110,6                          | 37,9        |
| 8 000 Hz  | 0           | 0           | 140         | 140         | 109,6                          | 38,4        |
| 10 000 Hz | 0           | 0           | 140         | 140         | 108,8                          | 39,2        |

Tableau G-7

Coefficients  $C_{bridge}$  pour le rayonnement structurel

| $C_{bridge}$ |     |   |  |
|--------------|-----|---|--|
| min          | max | Ponts principalement en béton ou maçonnerie, tout type de forme de voie | Ponts principalement en acier avec voies sur ballast |
| 0            | 9   | 1   | 4  |

## Appendice H

## Base de données pour les sources industrielles

Le présent appendice présente quelques exemples de valeurs d'entrée pour certaines sources de bruit industriel pour calculer le bruit industriel conformément à la méthode décrite en 2.4 Bruit industriel. Les sources de bruit industriel étant très spécifiques selon le site industriel, les valeurs appropriées doivent être obtenues auprès de bases de données locales, nationales ou internationales, ou sur la base de mesures, selon le cas.

Tableau H-1

Coefficients  $L_w$ ,  $L_w'$  et  $\Delta L_{w,dir,xyz}(x, y, z)$  pour la puissance acoustique

$$\Delta L_{w,dir,xyz}(x, y, z) = 0$$

$L_w'$  est exprimé en tant que puissance acoustique par mètre pour les sources linéaires, ou par m<sup>2</sup> pour les sources diffuses.

| Description                    | Type de source | Directivité de la source | 63     | 125    | 250    | 500    | 1 000  | 2 000 | 4 000 | 8 000 |
|--------------------------------|----------------|--------------------------|--------|--------|--------|--------|--------|-------|-------|-------|
| Sablage en extérieur avec buse | ponctuelle     | champ libre              | 108,77 | 110,37 | 112,77 | 107,77 | 104,37 | 98,07 | 97,07 | 86,97 |
| Four rotatif                   | linéaire       | champ libre              | 79,27  | 84,17  | 86,67  | 89,27  | 93,07  | 93,47 | 92,07 | 87,77 |
| Chantier naval                 | diffuse        | hémisphérique            | 67,17  | 69,07  | 74,57  | 62,17  | 63,97  | 66,77 | 70,97 | 68,07 |
| Terminal gazier                | diffuse        | hémisphérique            | 74,17  | 70,07  | 65,57  | 64,17  | 59,97  | 57,77 | 51,97 | 56,07 |

## Appendice I

**Base de données pour sources de bruits d'avions — données NPD**

Le présent appendice présente la base de données pour la plupart des sources du bruit des avions à utiliser pour calculer le bruit des avions conformément à la méthode décrite sous 2.6 Bruit des avions.

Tableau I-1

**Coefficients aérodynamiques**

| ACFT_ID | OP_TYPE | FLAP_ID | B (ft/lb) | C (kt/ $\sqrt{\text{lb}}$ ) | C (kt/ $\sqrt{\text{lb}}$ ) | R        |
|---------|---------|---------|-----------|-----------------------------|-----------------------------|----------|
| 1900D   | A       | 35-A    |           |                             | 0,915858                    | 0,130495 |
| 1900D   | A       | A_40D   |           |                             | 0,416345                    | 0,140491 |
| 1900D   | A       | ZERO-A  |           |                             |                             | 0,106643 |
| 1900D   | D       | 17-D    | 0,060076  | 0,858496                    |                             | 0,072968 |
| 1900D   | D       | ZERO-D  |           |                             |                             | 0,094383 |
| 707320  | A       | D-25    |           |                             | 0,307537                    | 0,107756 |
| 707320  | A       | D-40    |           |                             | 0,279116                    | 0,134567 |
| 707320  | A       | D-50    |           |                             | 0,275511                    | 0,15472  |
| 707320  | A       | U-25    |           |                             |                             | 0,098219 |
| 707320  | D       | 14      | 0,004514  | 0,312431                    |                             | 0,089316 |
| 707320  | D       | INT     |           |                             |                             | 0,072743 |
| 707320  | D       | ZERO    |           |                             |                             | 0,05617  |
| 707QN   | A       | D-25    |           |                             | 0,307537                    | 0,107756 |
| 707QN   | A       | D-40    |           |                             | 0,279116                    | 0,134567 |
| 707QN   | A       | D-50    |           |                             | 0,275511                    | 0,15472  |
| 707QN   | A       | U-25    |           |                             |                             | 0,098219 |
| 707QN   | D       | 14      | 0,004514  | 0,312431                    |                             | 0,089316 |
| 707QN   | D       | INT     |           |                             |                             | 0,072743 |
| 707QN   | D       | ZERO    |           |                             |                             | 0,05617  |
| 717200  | A       | A_0U    |           |                             |                             | 0,06456  |
| 717200  | A       | A_13D   |           |                             |                             | 0,109249 |
| 717200  | A       | A_13U   |           |                             |                             | 0,095353 |
| 717200  | A       | A_18D   |           |                             |                             | 0,11009  |
| 717200  | A       | A_18U   |           |                             |                             | 0,095015 |
| 717200  | A       | A_40D   |           |                             | 0,416345                    | 0,140491 |
| 717200  | D       | T_00B   |           |                             |                             | 0,06     |

| ACFT_ID | OP_TYPE | FLAP_ID | B (ft/lb) | C (kt/ $\sqrt{\text{lb}}$ ) | C (kt/ $\sqrt{\text{lb}}$ ) | R        |
|---------|---------|---------|-----------|-----------------------------|-----------------------------|----------|
| 717200  | D       | T_00C   |           |                             |                             | 0,06     |
| 717200  | D       | T_05H   | 0,011607  | 0,483254                    |                             | 0,075    |
| 717200  | D       | T_05M   | 0,011795  | 0,489068                    |                             | 0,075    |
| 717200  | D       | T_13A   | 0,010862  | 0,469923                    |                             | 0,078    |
| 720B    | A       | D-30    |           |                             | 0,350247                    | 0,109478 |
| 720B    | A       | D-50    |           |                             | 0,339412                    | 0,148843 |
| 720B    | A       | U-30    |           |                             |                             | 0,09805  |
| 720B    | D       | 20      | 0,00573   | 0,356426                    |                             | 0,091933 |
| 720B    | D       | 30      | 0,005238  | 0,340735                    |                             | 0,104243 |
| 720B    | D       | INT     |           |                             |                             | 0,074052 |
| 720B    | D       | ZERO    |           |                             |                             | 0,05617  |
| 727100  | A       | D-25    |           |                             | 0,350485                    | 0,128359 |
| 727100  | A       | D-30    |           |                             | 0,343897                    | 0,145903 |
| 727100  | A       | D-40    |           |                             | 0,335992                    | 0,186604 |
| 727100  | A       | U-15    |           |                             |                             | 0,090698 |
| 727100  | A       | U-25    |           |                             |                             | 0,113154 |
| 727100  | D       | 2       |           |                             |                             | 0,0857   |
| 727100  | D       | 5       | 0,008692  | 0,415048                    |                             | 0,088916 |
| 727100  | D       | 15      | 0,008301  | 0,392649                    |                             | 0,095459 |
| 727100  | D       | 25      | 0,007389  | 0,371567                    |                             | 0,115623 |
| 727100  | D       | ZERO    |           |                             |                             | 0,0636   |
| 727D15  | A       | D-25    |           |                             | 0,383689                    | 0,109535 |
| 727D15  | A       | D-30    |           |                             | 0,368                       | 0,1437   |
| 727D15  | A       | D-40    |           |                             | 0,36                        | 0,1844   |
| 727D15  | A       | U-15    |           |                             |                             | 0,089969 |
| 727D15  | A       | U-25    |           |                             |                             | 0,109535 |
| 727D15  | D       | 2       |           |                             |                             | 0,0857   |
| 727D15  | D       | 5       | 0,00924   | 0,409                       |                             | 0,0869   |
| 727D15  | D       | 15      | 0,00826   | 0,388                       |                             | 0,0929   |
| 727D15  | D       | 20      | 0,007712  | 0,376653                    |                             | 0,108897 |
| 727D15  | D       | 25      | 0,00763   | 0,367                       |                             | 0,1112   |
| 727D15  | D       | ZERO    |           |                             |                             | 0,0594   |
| 727D17  | A       | D-25    |           |                             | 0,383689                    | 0,124821 |

| ACFT_ID | OP_TYPE | FLAP_ID | B (ft/lb) | C (kt/ $\sqrt{\text{lb}}$ ) | C (kt/ $\sqrt{\text{lb}}$ ) | R        |
|---------|---------|---------|-----------|-----------------------------|-----------------------------|----------|
| 727D17  | A       | D-30    |           |                             | 0,368                       | 0,1437   |
| 727D17  | A       | D-40    |           |                             | 0,36                        | 0,1844   |
| 727D17  | A       | U-15    |           |                             |                             | 0,089969 |
| 727D17  | A       | U-25    |           |                             |                             | 0,109535 |
| 727D17  | D       | 2       |           |                             |                             | 0,0857   |
| 727D17  | D       | 5       | 0,00924   | 0,409                       |                             | 0,0869   |
| 727D17  | D       | 15      | 0,00826   | 0,388                       |                             | 0,0929   |
| 727D17  | D       | 20      | 0,007712  | 0,376653                    |                             | 0,108897 |
| 727D17  | D       | 25      | 0,00763   | 0,367                       |                             | 0,1112   |
| 727D17  | D       | ZERO    |           |                             |                             | 0,0594   |
| 727EM1  | A       | D-25    |           |                             | 0,350485                    | 0,128359 |
| 727EM1  | A       | D-30    |           |                             | 0,343897                    | 0,145903 |
| 727EM1  | A       | D-40    |           |                             | 0,335992                    | 0,186604 |
| 727EM1  | A       | U-15    |           |                             |                             | 0,090698 |
| 727EM1  | A       | U-25    |           |                             |                             | 0,113154 |
| 727EM1  | D       | 2       |           |                             |                             | 0,0857   |
| 727EM1  | D       | 5       | 0,008692  | 0,415048                    |                             | 0,088916 |
| 727EM1  | D       | 15      | 0,008301  | 0,392649                    |                             | 0,095459 |
| 727EM1  | D       | 25      | 0,007389  | 0,371567                    |                             | 0,115623 |
| 727EM1  | D       | ZERO    |           |                             |                             | 0,0636   |
| 727EM2  | A       | D-25    |           |                             | 0,383689                    | 0,109535 |
| 727EM2  | A       | D-30    |           |                             | 0,368                       | 0,1437   |
| 727EM2  | A       | D-40    |           |                             | 0,36                        | 0,1844   |
| 727EM2  | A       | U-15    |           |                             |                             | 0,089969 |
| 727EM2  | A       | U-25    |           |                             |                             | 0,109535 |
| 727EM2  | D       | 2       |           |                             |                             | 0,0857   |
| 727EM2  | D       | 5       | 0,00924   | 0,409                       |                             | 0,0869   |
| 727EM2  | D       | 15      | 0,00826   | 0,388                       |                             | 0,0929   |
| 727EM2  | D       | 20      | 0,007712  | 0,376653                    |                             | 0,108897 |
| 727EM2  | D       | 25      | 0,00763   | 0,367                       |                             | 0,1112   |
| 727EM2  | D       | ZERO    |           |                             |                             | 0,0594   |
| 727Q15  | A       | D-25    |           |                             | 0,383689                    | 0,109535 |
| 727Q15  | A       | D-30    |           |                             | 0,368                       | 0,1437   |

| ACFT_ID | OP_TYPE | FLAP_ID | B (ft/lb) | C (kt/√lb) | C (kt/√lb) | R        |
|---------|---------|---------|-----------|------------|------------|----------|
| 727Q15  | A       | D-40    |           |            | 0,36       | 0,1844   |
| 727Q15  | A       | U-15    |           |            |            | 0,089969 |
| 727Q15  | A       | U-25    |           |            |            | 0,109535 |
| 727Q15  | D       | 2       |           |            |            | 0,0857   |
| 727Q15  | D       | 5       | 0,00924   | 0,409      |            | 0,0869   |
| 727Q15  | D       | 15      | 0,00826   | 0,388      |            | 0,0929   |
| 727Q15  | D       | 20      | 0,007712  | 0,376653   |            | 0,108897 |
| 727Q15  | D       | 25      | 0,00763   | 0,367      |            | 0,1112   |
| 727Q15  | D       | ZERO    |           |            |            | 0,0594   |
| 727Q7   | A       | D-25    |           |            | 0,350485   | 0,128359 |
| 727Q7   | A       | D-30    |           |            | 0,343897   | 0,145903 |
| 727Q7   | A       | D-40    |           |            | 0,335992   | 0,186604 |
| 727Q7   | A       | U-15    |           |            |            | 0,090698 |
| 727Q7   | A       | U-25    |           |            |            | 0,113154 |
| 727Q7   | D       | 2       |           |            |            | 0,0857   |
| 727Q7   | D       | 5       | 0,008692  | 0,415048   |            | 0,088916 |
| 727Q7   | D       | 15      | 0,008301  | 0,392649   |            | 0,095459 |
| 727Q7   | D       | 25      | 0,007389  | 0,371567   |            | 0,115623 |
| 727Q7   | D       | ZERO    |           |            |            | 0,0636   |
| 727Q9   | A       | D-25    |           |            | 0,372885   | 0,124565 |
| 727Q9   | A       | D-30    |           |            | 0,367614   | 0,142606 |
| 727Q9   | A       | D-40    |           |            | 0,359182   | 0,184273 |
| 727Q9   | A       | U-15    |           |            |            | 0,090523 |
| 727Q9   | A       | U-25    |           |            |            | 0,109315 |
| 727Q9   | D       | 2       |           |            |            | 0,0857   |
| 727Q9   | D       | 5       | 0,00924   | 0,409      |            | 0,0869   |
| 727Q9   | D       | 15      | 0,00826   | 0,388      |            | 0,0929   |
| 727Q9   | D       | 20      | 0,007712  | 0,376653   |            | 0,108897 |
| 727Q9   | D       | 25      | 0,00763   | 0,367      |            | 0,1112   |
| 727Q9   | D       | ZERO    |           |            |            | 0,0594   |
| 727QF   | A       | D-15    |           |            |            | 0,1182   |
| 727QF   | A       | D-25    |           |            |            | 0,1359   |
| 727QF   | A       | D-30    |           |            | 0,3658     | 0,1602   |

| ACFT_ID | OP_TYPE | FLAP_ID | B (ft/lb) | C (kt/ $\sqrt{\text{lb}}$ ) | C (kt/ $\sqrt{\text{lb}}$ ) | R        |
|---------|---------|---------|-----------|-----------------------------|-----------------------------|----------|
| 727QF   | A       | D-40    |           |                             | 0,3568                      | 0,2003   |
| 727QF   | A       | U-05    |           |                             |                             | 0,08709  |
| 727QF   | A       | U-15    |           |                             |                             | 0,09676  |
| 727QF   | A       | U-25    |           |                             |                             | 0,1201   |
| 727QF   | A       | U-ZERO  |           |                             |                             | 0,06027  |
| 727QF   | D       | 2       |           |                             |                             | 0,081    |
| 727QF   | D       | 5       | 0,00849   | 0,4242                      |                             | 0,0921   |
| 727QF   | D       | 15      | 0,007525  | 0,412                       |                             | 0,1005   |
| 727QF   | D       | 25      | 0,0069    | 0,3885                      |                             | 0,1222   |
| 727QF   | D       | ZERO    |           |                             |                             | 0,06599  |
| 737     | A       | D-25    |           |                             | 0,452885                    | 0,113106 |
| 737     | A       | D-30    |           |                             | 0,442783                    | 0,124898 |
| 737     | A       | D-40    |           |                             | 0,432682                    | 0,155057 |
| 737     | A       | U-15    |           |                             |                             | 0,088617 |
| 737     | A       | U-25    |           |                             |                             | 0,097687 |
| 737     | D       | 5       | 0,011593  | 0,475473                    |                             | 0,085235 |
| 737     | D       | 10      | 0,010935  | 0,457438                    |                             | 0,093192 |
| 737     | D       | 25      | 0,010293  | 0,436124                    |                             | 0,109993 |
| 737     | D       | INT     |           |                             |                             | 0,07477  |
| 737     | D       | ZERO    |           |                             |                             | 0,0643   |
| 737300  | A       | D-15    |           |                             | 0,4639                      | 0,1103   |
| 737300  | A       | D-30    |           |                             | 0,434                       | 0,1247   |
| 737300  | A       | D-40    |           |                             | 0,4215                      | 0,1471   |
| 737300  | D       | 1       | 0,0126    | 0,4958                      |                             | 0,069    |
| 737300  | D       | 5       | 0,0116    | 0,477215                    |                             | 0,0742   |
| 737300  | D       | 15      | 0,0111    | 0,4572                      |                             | 0,0872   |
| 737300  | D       | ZERO    |           |                             |                             | 0,062    |
| 7373B2  | A       | D-15    |           |                             | 0,4639                      | 0,1103   |
| 7373B2  | A       | D-30    |           |                             | 0,434                       | 0,1247   |
| 7373B2  | A       | D-40    |           |                             | 0,4215                      | 0,1471   |
| 7373B2  | D       | 1       | 0,0124    | 0,4958                      |                             | 0,0761   |
| 7373B2  | D       | 5       | 0,011511  | 0,477758                    |                             | 0,0794   |
| 7373B2  | D       | 15      | 0,011     | 0,4575                      |                             | 0,0872   |
| 7373B2  | D       | T_01    |           |                             |                             | 0,067    |

| ACFT_ID | OP_TYPE | FLAP_ID | B (ft/lb) | C (kt/ $\sqrt{\text{lb}}$ ) | C (kt/ $\sqrt{\text{lb}}$ ) | R        |
|---------|---------|---------|-----------|-----------------------------|-----------------------------|----------|
| 7373B2  | D       | T_05    |           |                             |                             | 0,074679 |
| 7373B2  | D       | ZERO    |           |                             |                             | 0,062    |
| 737400  | A       | D-15    |           |                             | 0,4779                      | 0,1079   |
| 737400  | A       | D-30    |           |                             | 0,4338                      | 0,1251   |
| 737400  | A       | D-40    |           |                             | 0,423                       | 0,151    |
| 737400  | D       | 1       |           |                             |                             | 0,0713   |
| 737400  | D       | 5       | 0,0117    | 0,4834                      |                             | 0,0798   |
| 737400  | D       | 15      | 0,0109    | 0,4596                      |                             | 0,0924   |
| 737400  | D       | ZERO    |           |                             |                             | 0,0628   |
| 737500  | A       | D-15    |           |                             | 0,4538                      | 0,1084   |
| 737500  | A       | D-30    |           |                             | 0,4281                      | 0,1253   |
| 737500  | A       | D-40    |           |                             | 0,4166                      | 0,151    |
| 737500  | D       | 1       |           |                             |                             | 0,0712   |
| 737500  | D       | 5       | 0,01138   | 0,474697                    |                             | 0,0803   |
| 737500  | D       | 15      | 0,0109    | 0,4541                      |                             | 0,0925   |
| 737500  | D       | ZERO    |           |                             |                             | 0,061    |
| 737700  | A       | A_15    |           |                             | 0,4122                      | 0,1048   |
| 737700  | A       | A_30    |           |                             | 0,3986                      | 0,1194   |
| 737700  | A       | A_40    |           |                             | 0,3907                      | 0,1434   |
| 737700  | D       | T_00H   |           |                             |                             | 0,063    |
| 737700  | D       | T_01    | 0,0097    | 0,4329                      |                             | 0,062    |
| 737700  | D       | T_05A   |           |                             |                             | 0,07     |
| 737700  | D       | T_10    | 0,0089    | 0,4112                      |                             | 0,0858   |
| 737700  | D       | T_15    | 0,0087    | 0,406                       |                             | 0,0889   |
| 737700  | D       | T_25    | 0,0086    | 0,4021                      |                             | 0,0932   |
| 737700  | D       | T_5     | 0,0093    | 0,4251                      |                             | 0,0749   |
| 737700  | D       | T_ZERO  |           |                             |                             | 0,0552   |
| 737800  | D       | T_00    |           |                             |                             | 0,05625  |
| 737800  | D       | T_01    |           |                             |                             | 0,06253  |
| 737800  | D       | T_05    | 0,009633  | 0,435043                    |                             | 0,0737   |
| 737D17  | A       | D-25    |           |                             | 0,451848                    | 0,113169 |
| 737D17  | A       | D-30    |           |                             | 0,443779                    | 0,125252 |

| ACFT_ID | OP_TYPE | FLAP_ID | B (ft/lb) | C (kt/ $\sqrt{\text{lb}}$ ) | C (kt/ $\sqrt{\text{lb}}$ ) | R        |
|---------|---------|---------|-----------|-----------------------------|-----------------------------|----------|
| 737D17  | A       | D-40    |           |                             | 0,434096                    | 0,156502 |
| 737D17  | A       | U-15    |           |                             |                             | 0,106085 |
| 737D17  | A       | U-25    |           |                             |                             | 0,097127 |
| 737D17  | D       | 5       | 0,011677  | 0,473007                    |                             | 0,087424 |
| 737D17  | D       | 10      | 0,010956  | 0,456114                    |                             | 0,096364 |
| 737D17  | D       | 25      | 0,010406  | 0,436124                    |                             | 0,10878  |
| 737D17  | D       | INT     |           |                             |                             | 0,07586  |
| 737D17  | D       | ZERO    |           |                             |                             | 0,0643   |
| 737N17  | A       | D-25    |           |                             | 0,451848                    | 0,113169 |
| 737N17  | A       | D-30    |           |                             | 0,443779                    | 0,125252 |
| 737N17  | A       | D-40    |           |                             | 0,434096                    | 0,156502 |
| 737N17  | A       | U-15    |           |                             |                             | 0,106085 |
| 737N17  | A       | U-25    |           |                             |                             | 0,097127 |
| 737N17  | D       | 5       | 0,011677  | 0,473007                    |                             | 0,087424 |
| 737N17  | D       | 10      | 0,010956  | 0,456114                    |                             | 0,096364 |
| 737N17  | D       | 25      | 0,010406  | 0,436124                    |                             | 0,10878  |
| 737N17  | D       | INT     |           |                             |                             | 0,07586  |
| 737N17  | D       | ZERO    |           |                             |                             | 0,0643   |
| 737N9   | A       | D-25    |           |                             | 0,452885                    | 0,113106 |
| 737N9   | A       | D-30    |           |                             | 0,442783                    | 0,124898 |
| 737N9   | A       | D-40    |           |                             | 0,432682                    | 0,155057 |
| 737N9   | A       | U-15    |           |                             |                             | 0,088617 |
| 737N9   | A       | U-25    |           |                             |                             | 0,097687 |
| 737N9   | D       | 5       | 0,011593  | 0,475473                    |                             | 0,085235 |
| 737N9   | D       | 10      | 0,010935  | 0,457438                    |                             | 0,093192 |
| 737N9   | D       | 25      | 0,010293  | 0,436124                    |                             | 0,109993 |
| 737N9   | D       | INT     |           |                             |                             | 0,07477  |
| 737N9   | D       | ZERO    |           |                             |                             | 0,0643   |
| 737QN   | A       | D-25    |           |                             | 0,452885                    | 0,113106 |
| 737QN   | A       | D-30    |           |                             | 0,442783                    | 0,124898 |
| 737QN   | A       | D-40    |           |                             | 0,432682                    | 0,155057 |
| 737QN   | A       | U-15    |           |                             |                             | 0,088617 |
| 737QN   | A       | U-25    |           |                             |                             | 0,097687 |

| ACFT_ID | OP_TYPE | FLAP_ID | B (ft/lb) | C (kt/ $\sqrt{\text{lb}}$ ) | C (kt/ $\sqrt{\text{lb}}$ ) | R        |
|---------|---------|---------|-----------|-----------------------------|-----------------------------|----------|
| 737QN   | D       | 5       | 0,011593  | 0,475473                    |                             | 0,085235 |
| 737QN   | D       | 10      | 0,010935  | 0,457438                    |                             | 0,093192 |
| 737QN   | D       | 25      | 0,010293  | 0,436124                    |                             | 0,109993 |
| 737QN   | D       | INT     |           |                             |                             | 0,07477  |
| 737QN   | D       | ZERO    |           |                             |                             | 0,0643   |
| 74710Q  | A       | D-20    |           |                             | 0,217555                    | 0,109467 |
| 74710Q  | A       | D-25    |           |                             | 0,210537                    | 0,116953 |
| 74710Q  | A       | D-30    |           |                             | 0,202116                    | 0,142564 |
| 74710Q  | A       | U-20    |           |                             |                             | 0,091737 |
| 74710Q  | D       | 5       |           |                             |                             | 0,07456  |
| 74710Q  | D       | 10      | 0,002333  | 0,212212                    |                             | 0,092196 |
| 74710Q  | D       | 20      | 0,002187  | 0,202456                    |                             | 0,099504 |
| 74710Q  | D       | ZERO    |           |                             |                             | 0,05693  |
| 747200  | A       | D-20    |           |                             | 0,217555                    | 0,109467 |
| 747200  | A       | D-25    |           |                             | 0,210537                    | 0,116953 |
| 747200  | A       | D-30    |           |                             | 0,202116                    | 0,142564 |
| 747200  | A       | U-20    |           |                             |                             | 0,091737 |
| 747200  | D       | 5       |           |                             |                             | 0,074042 |
| 747200  | D       | 10      | 0,00235   | 0,211659                    |                             | 0,091154 |
| 747200  | D       | 20      | 0,002207  | 0,203133                    |                             | 0,098616 |
| 747200  | D       | ZERO    |           |                             |                             | 0,05693  |
| 74720A  | A       | D-25    |           |                             | 0,2105                      | 0,118    |
| 74720A  | A       | D-30    |           |                             | 0,2017                      | 0,1438   |
| 74720A  | D       | 5       |           |                             |                             | 0,0722   |
| 74720A  | D       | 10      | 0,00234   | 0,2115                      |                             | 0,08917  |
| 74720A  | D       | 20      | 0,002186  | 0,2029                      |                             | 0,09728  |
| 74720A  | D       | ZERO    |           |                             |                             | 0,05524  |
| 74720B  | A       | D-25    |           |                             | 0,2113                      | 0,1207   |
| 74720B  | A       | D-30    |           |                             | 0,2016                      | 0,1444   |
| 74720B  | D       | 5       |           |                             |                             | 0,07276  |
| 74720B  | D       | 10      | 0,002351  | 0,213                       |                             | 0,0886   |
| 74720B  | D       | 20      | 0,002196  | 0,2045                      |                             | 0,09867  |
| 74720B  | D       | ZERO    |           |                             |                             | 0,05693  |

| ACFT_ID | OP_TYPE | FLAP_ID | B (ft/lb) | C (kt/ $\sqrt{\text{lb}}$ ) | C (kt/ $\sqrt{\text{lb}}$ ) | R        |
|---------|---------|---------|-----------|-----------------------------|-----------------------------|----------|
| 747400  | A       | D-25    |           |                             | 0,2143                      | 0,1171   |
| 747400  | A       | D-30    |           |                             | 0,2064                      | 0,141    |
| 747400  | D       | 5       |           |                             |                             | 0,069    |
| 747400  | D       | 10      | 0,002104  | 0,21338                     |                             | 0,0823   |
| 747400  | D       | 20      | 0,0021    | 0,2062                      |                             | 0,0916   |
| 747400  | D       | T_00H   |           |                             |                             | 0,053    |
| 747400  | D       | T_01    |           |                             |                             | 0,057691 |
| 747400  | D       | T_05    |           |                             |                             | 0,071    |
| 747400  | D       | T_05C   |           |                             |                             | 0,057569 |
| 747400  | D       | T_10    | 0,002101  | 0,207131                    |                             | 0,110782 |
| 747400  | D       | T_10H   |           |                             |                             | 0,1      |
| 747400  | D       | ZERO    |           | 0,3111                      |                             | 0,0508   |
| 7478    | A       | F_20    |           |                             | 0,192660                    | 0,128462 |
| 7478    | A       | F_30    |           |                             | 0,189605                    | 0,143406 |
| 7478    | D       | F_0     |           |                             |                             | 0,052717 |
| 7478    | D       | F_1     |           |                             |                             | 0,064841 |
| 7478    | D       | F_10    | 0,002000  | 0,204760                    |                             | 0,083321 |
| 7478    | D       | F_5     |           |                             |                             | 0,073443 |
| 747SP   | A       | D-20    |           |                             | 0,216415                    | 0,110347 |
| 747SP   | A       | D-25    |           |                             | 0,209991                    | 0,116897 |
| 747SP   | A       | D-30    |           |                             | 0,202497                    | 0,143096 |
| 747SP   | A       | U-20    |           |                             |                             | 0,092569 |
| 747SP   | D       | 5       |           |                             |                             | 0,076123 |
| 747SP   | D       | 10      | 0,002357  | 0,210572                    |                             | 0,095316 |
| 747SP   | D       | 20      | 0,002179  | 0,201901                    |                             | 0,103296 |
| 747SP   | D       | ZERO    |           |                             |                             | 0,05693  |
| 757300  | D       | T_00    |           |                             |                             | 0,05554  |
| 757300  | D       | T_01    |           |                             |                             | 0,05943  |
| 757300  | D       | T_05    | 0,006931  | 0,38754                     |                             | 0,07993  |
| 757PW   | A       | D-25    |           |                             | 0,3234                      | 0,1186   |
| 757PW   | A       | D-30    |           |                             | 0,3179                      | 0,1342   |
| 757PW   | D       | 5       | 0,006243  | 0,360271                    |                             | 0,0722   |
| 757PW   | D       | 15      | 0,00611   | 0,3454                      |                             | 0,0782   |

| ACFT_ID | OP_TYPE | FLAP_ID | B (ft/lb) | C (kt/ $\sqrt{\text{lb}}$ ) | C (kt/ $\sqrt{\text{lb}}$ ) | R        |
|---------|---------|---------|-----------|-----------------------------|-----------------------------|----------|
| 757PW   | D       | 20      | 0,00573   | 0,33                        |                             | 0,0864   |
| 757PW   | D       | T_00    |           |                             |                             | 0,055346 |
| 757PW   | D       | T_01    |           |                             |                             | 0,0609   |
| 757PW   | D       | T_05    |           | 0,360271                    |                             | 0,0682   |
| 757PW   | D       | ZERO    |           | 0,4699                      |                             | 0,0548   |
| 757RR   | A       | D-25    |           |                             | 0,3238                      | 0,1178   |
| 757RR   | A       | D-30    |           |                             | 0,3191                      | 0,1337   |
| 757RR   | D       | 5       | 0,006319  | 0,36165                     |                             | 0,07     |
| 757RR   | D       | 15      | 0,00614   | 0,3454                      |                             | 0,0758   |
| 757RR   | D       | 20      | 0,0057    | 0,33                        |                             | 0,0847   |
| 757RR   | D       | INT     |           |                             |                             | 0,0621   |
| 757RR   | D       | T_00    |           |                             |                             | 0,0525   |
| 757RR   | D       | T_01    |           |                             |                             | 0,058316 |
| 757RR   | D       | T_05    |           |                             |                             | 0,0635   |
| 757RR   | D       | ZERO    |           | 0,4699                      |                             | 0,0541   |
| 767300  | A       | D-25    |           |                             | 0,2627                      | 0,121    |
| 767300  | A       | D-30    |           |                             | 0,2555                      | 0,1329   |
| 767300  | D       | 5       | 0,00409   | 0,297                       |                             | 0,075    |
| 767300  | D       | 15      | 0,00381   | 0,2853                      |                             | 0,0824   |
| 767300  | D       | 20      | 0,00367   | 0,2788                      |                             | 0,0866   |
| 767300  | D       | INT     |           |                             |                             | 0,0641   |
| 767300  | D       | ZERO    |           |                             |                             | 0,0531   |
| 767400  | A       | L_25_D  |           |                             | 0,2601                      | 0,1156   |
| 767400  | A       | L_30_D  |           |                             | 0,2536                      | 0,1265   |
| 767400  | D       | T_00_U  |           |                             |                             | 0,0492   |
| 767400  | D       | T_05_U  | 0,0043    | 0,2972                      |                             | 0,0674   |
| 767400  | D       | T_05A   |           |                             |                             | 0,055    |
| 767400  | D       | T_05B   |           |                             |                             | 0,06     |
| 767400  | D       | T_15_U  | 0,0041    | 0,2876                      |                             | 0,0736   |
| 767400  | D       | T_20_U  | 0,003624  | 0,2775                      |                             | 0,0794   |
| 767CF6  | A       | D-25    |           |                             | 0,29009                     | 0,1075   |
| 767CF6  | A       | D-30    |           |                             | 0,28096                     | 0,1232   |
| 767CF6  | D       | 1       | 0,00557   | 0,31625                     |                             | 0,0646   |

| ACFT_ID | OP_TYPE | FLAP_ID | B (ft/lb) | C (kt/ $\sqrt{\text{lb}}$ ) | C (kt/ $\sqrt{\text{lb}}$ ) | R        |
|---------|---------|---------|-----------|-----------------------------|-----------------------------|----------|
| 767CF6  | D       | 5       | 0,0053    | 0,30576                     |                             | 0,0685   |
| 767CF6  | D       | 15      | 0,00504   | 0,29249                     |                             | 0,074    |
| 767CF6  | D       | 20      | 0,0049    | 0,28496                     |                             | 0,0779   |
| 767CF6  | D       | ZERO    |           |                             |                             | 0,0489   |
| 767JT9  | A       | D-25    |           |                             | 0,29009                     | 0,1085   |
| 767JT9  | A       | D-30    |           |                             | 0,28096                     | 0,1258   |
| 767JT9  | D       | 1       | 0,00504   | 0,31625                     |                             | 0,0658   |
| 767JT9  | D       | 5       | 0,00472   | 0,30576                     |                             | 0,0705   |
| 767JT9  | D       | 15      | 0,00436   | 0,29249                     |                             | 0,0756   |
| 767JT9  | D       | 20      | 0,00417   | 0,28496                     |                             | 0,0802   |
| 767JT9  | D       | ZERO    |           |                             |                             | 0,052    |
| 777200  | A       | D20     |           |                             | 0,2204                      | 0,09765  |
| 777200  | A       | D25     |           |                             | 0,2133                      | 0,1158   |
| 777200  | A       | D30     |           |                             | 0,203                       | 0,133    |
| 777200  | D       | 15      | 0,002867  | 0,2299                      |                             | 0,07432  |
| 777200  | D       | 20      | 0,002751  | 0,2239                      |                             | 0,08186  |
| 777200  | D       | T_00    |           | 0,3218                      |                             | 0,05065  |
| 777200  | D       | T_00H   |           |                             |                             | 0,052    |
| 777200  | D       | T_00L   |           |                             |                             | 0,048    |
| 777200  | D       | T_01    |           | 0,2921                      |                             | 0,05555  |
| 777200  | D       | T_01H   |           |                             |                             | 0,06     |
| 777200  | D       | T_05    | 0,002475  | 0,239429                    |                             | 0,06898  |
| 777200  | D       | T_05A   |           |                             |                             | 0,063456 |
| 777200  | D       | T_05C   |           |                             |                             | 0,092    |
| 777200  | D       | T_05CH  |           |                             |                             | 0,085    |
| 777300  | A       | L_25_D  |           |                             | 0,2156                      | 0,116    |
| 777300  | A       | L_30_D  |           |                             | 0,2071                      | 0,1322   |
| 777300  | D       | T_00_U  |           |                             |                             | 0,0504   |
| 777300  | D       | T_05_U  | 0,0031    | 0,2586                      |                             | 0,0645   |
| 777300  | D       | T_15_U  | 0,0028    | 0,2454                      |                             | 0,0704   |
| 777300  | D       | T_20_U  | 0,0027    | 0,2363                      |                             | 0,0783   |
| 7773ER  | A       | F_20    |           |                             | 0,225340                    | 0,104970 |
| 7773ER  | A       | F_30    |           |                             | 0,209490                    | 0,134910 |

| ACFT_ID    | OP_TYPE | FLAP_ID | B (ft/lb) | C (kt/ $\sqrt{\text{lb}}$ ) | C (kt/ $\sqrt{\text{lb}}$ ) | R        |
|------------|---------|---------|-----------|-----------------------------|-----------------------------|----------|
| 7773ER     | D       | FLAP_0  |           |                             |                             | 0,050171 |
| 7773ER     | D       | FLAP_1  |           |                             |                             | 0,054934 |
| 7773ER     | D       | FLAP_5  | 0,002710  | 0,240000                    |                             | 0,066100 |
| 7878R      | A       | F_00    |           |                             | 0,393870                    | 0,045060 |
| 7878R      | A       | F_01    |           |                             | 0,329760                    | 0,047700 |
| 7878R      | A       | F_05    |           |                             | 0,288410                    | 0,067150 |
| 7878R      | A       | FLAP20  |           |                             | 0,260280                    | 0,088050 |
| 7878R      | A       | FLAP30  |           |                             | 0,246840                    | 0,105000 |
| 7878R      | D       | FLAP_0  |           |                             |                             | 0,050055 |
| 7878R      | D       | FLAP_1  |           |                             |                             | 0,052026 |
| 7878R      | D       | FLAP_5  | 0,002949  | 0,256410                    |                             | 0,071636 |
| A300-622R  | A       | 1       |           |                             |                             | 0,071539 |
| A300-622R  | A       | 2_D     |           |                             |                             | 0,094763 |
| A300-622R  | A       | 2_U     |           |                             |                             | 0,072592 |
| A300-622R  | A       | 3_D     |           |                             | 0,274926                    | 0,102372 |
| A300-622R  | A       | FULL_D  |           |                             | 0,253296                    | 0,125036 |
| A300-622R  | A       | ZERO    |           |                             |                             | 0,052053 |
| A300-622R  | D       | 0       |           |                             |                             | 0,053127 |
| A300-622R  | D       | 1500    | 0,004121  | 0,292                       |                             | 0,072348 |
| A300B4-203 | A       | D-15    |           |                             | 0,28237                     | 0,10607  |
| A300B4-203 | A       | D-25    |           |                             | 0,27151                     | 0,125568 |
| A300B4-203 | D       | 1       | 0,005307  | 0,324359                    |                             | 0,090223 |
| A300B4-203 | D       | 8       | 0,004239  | 0,291059                    |                             | 0,093067 |
| A300B4-203 | D       | 15      | 0,00402   | 0,278999                    |                             | 0,102935 |
| A300B4-203 | D       | ZERO    |           |                             |                             | 0,063491 |
| A310-304   | A       | 1       |           |                             |                             | 0,068197 |
| A310-304   | A       | 2_D     |           |                             |                             | 0,096731 |
| A310-304   | A       | 2_U     |           |                             |                             | 0,072778 |
| A310-304   | A       | 3_D     |           |                             | 0,274926                    | 0,106084 |
| A310-304   | A       | FULL_D  |           |                             | 0,253296                    | 0,129438 |
| A310-304   | A       | ZERO    |           |                             |                             | 0,054935 |
| A310-304   | D       | 0       |           |                             |                             | 0,055191 |
| A310-304   | D       | 1500    | 0,004875  | 0,313705                    |                             | 0,072016 |

| ACFT_ID  | OP_TYPE | FLAP_ID | B (ft/lb) | C (kt/ $\sqrt{\text{lb}}$ ) | C (kt/ $\sqrt{\text{lb}}$ ) | R        |
|----------|---------|---------|-----------|-----------------------------|-----------------------------|----------|
| A319-131 | A       | 1_A     |           |                             |                             | 0,06317  |
| A319-131 | A       | 2_D     |           |                             |                             | 0,098119 |
| A319-131 | A       | 2_U     |           |                             |                             | 0,071826 |
| A319-131 | A       | 3_D     |           |                             | 0,379931                    | 0,098121 |
| A319-131 | A       | FULL_D  |           |                             | 0,355927                    | 0,124534 |
| A319-131 | A       | ZERO_A  |           |                             |                             | 0,056446 |
| A319-131 | D       | 1       |           |                             |                             | 0,071598 |
| A319-131 | D       | 1+F     | 0,007077  | 0,376764                    |                             | 0,072635 |
| A319-131 | D       | ZERO    |           |                             |                             | 0,05429  |
| A320-211 | A       | 1_A     |           |                             |                             | 0,061662 |
| A320-211 | A       | 2_D     |           |                             |                             | 0,096267 |
| A320-211 | A       | 2_U     |           |                             |                             | 0,067463 |
| A320-211 | A       | 3_D     |           |                             | 0,385223                    | 0,101204 |
| A320-211 | A       | FULL_D  |           |                             | 0,37052                     | 0,11586  |
| A320-211 | A       | ZERO_A  |           |                             |                             | 0,057558 |
| A320-211 | D       | 1       |           |                             |                             | 0,066827 |
| A320-211 | D       | 1+F     | 0,007701  | 0,394884                    |                             | 0,071403 |
| A320-211 | D       | ZERO    |           |                             |                             | 0,056281 |
| A320-232 | A       | 1_A     |           |                             |                             | 0,059086 |
| A320-232 | A       | 2_D     |           |                             |                             | 0,095899 |
| A320-232 | A       | 2_U     |           |                             |                             | 0,06679  |
| A320-232 | A       | 3_D     |           |                             | 0,379853                    | 0,100263 |
| A320-232 | A       | FULL_D  |           |                             | 0,369833                    | 0,121141 |
| A320-232 | A       | ZERO_A  |           |                             |                             | 0,054309 |
| A320-232 | D       | 1       |           |                             |                             | 0,065822 |
| A320-232 | D       | 1+F     | 0,007626  | 0,395674                    |                             | 0,069873 |
| A320-232 | D       | ZERO    |           |                             |                             | 0,05332  |
| A321-232 | A       | 1_A     |           |                             |                             | 0,064258 |
| A321-232 | A       | 2_D     |           |                             |                             | 0,101798 |
| A321-232 | A       | 2_U     |           |                             |                             | 0,074849 |
| A321-232 | A       | 3_D     |           |                             | 0,368096                    | 0,112676 |
| A321-232 | A       | FULL_D  |           |                             | 0,357761                    | 0,119073 |
| A321-232 | A       | ZERO_A  |           |                             |                             | 0,057183 |

| ACFT_ID  | OP_TYPE | FLAP_ID | B (ft/lb) | C (kt/ $\sqrt{\text{lb}}$ ) | C (kt/ $\sqrt{\text{lb}}$ ) | R        |
|----------|---------|---------|-----------|-----------------------------|-----------------------------|----------|
| A321-232 | D       | 1       |           |                             |                             | 0,071631 |
| A321-232 | D       | 1+F     | 0,007524  | 0,390238                    |                             | 0,075946 |
| A321-232 | D       | ZERO    |           |                             |                             | 0,056647 |
| A330-301 | A       | 1_A     |           |                             |                             | 0,057783 |
| A330-301 | A       | 2_D     |           |                             |                             | 0,081654 |
| A330-301 | A       | 2_U     |           |                             |                             | 0,064098 |
| A330-301 | A       | 3_D     |           |                             | 0,229065                    | 0,092737 |
| A330-301 | A       | FULL_D  |           |                             | 0,222802                    | 0,100779 |
| A330-301 | A       | ZERO_A  |           |                             |                             | 0,047685 |
| A330-301 | D       | 1       |           |                             |                             | 0,059866 |
| A330-301 | D       | 1+F     | 0,002905  | 0,247076                    |                             | 0,061736 |
| A330-301 | D       | ZERO    |           |                             |                             | 0,046057 |
| A330-343 | A       | 1_A     |           |                             |                             | 0,055464 |
| A330-343 | A       | 2_D     |           |                             |                             | 0,083569 |
| A330-343 | A       | 2_U     |           |                             |                             | 0,063042 |
| A330-343 | A       | 3_D     |           |                             | 0,229705                    | 0,092555 |
| A330-343 | A       | FULL_D  |           |                             | 0,222498                    | 0,10202  |
| A330-343 | A       | ZERO_A  |           |                             |                             | 0,046224 |
| A330-343 | D       | 1       |           |                             |                             | 0,05926  |
| A330-343 | D       | 1+F     | 0,0029    | 0,245211                    |                             | 0,062365 |
| A330-343 | D       | ZERO    |           |                             |                             | 0,044593 |
| A340-211 | A       | 1_A     |           |                             |                             | 0,063657 |
| A340-211 | A       | 2_D     |           |                             |                             | 0,092945 |
| A340-211 | A       | 2_U     |           |                             |                             | 0,071673 |
| A340-211 | A       | 3_D     |           |                             | 0,224603                    | 0,101734 |
| A340-211 | A       | FULL_D  |           |                             | 0,220432                    | 0,108554 |
| A340-211 | A       | ZERO_A  |           |                             |                             | 0,051221 |
| A340-211 | D       | 1       |           |                             |                             | 0,068547 |
| A340-211 | D       | 1+F     | 0,002605  | 0,223635                    |                             | 0,073134 |
| A340-211 | D       | ZERO    |           |                             |                             | 0,048646 |
| A340-642 | A       | 1_A     |           |                             |                             | 0,054416 |
| A340-642 | A       | 2_D     |           |                             |                             | 0,087508 |
| A340-642 | A       | 2_U     |           |                             |                             | 0,067996 |

| ACFT_ID  | OP_TYPE | FLAP_ID | B (ft/lb) | C (kt/ $\sqrt{\text{lb}}$ ) | C (kt/ $\sqrt{\text{lb}}$ ) | R        |
|----------|---------|---------|-----------|-----------------------------|-----------------------------|----------|
| A340-642 | A       | 3_D     |           |                             | 0,213821                    | 0,100473 |
| A340-642 | A       | FULL_D  |           |                             | 0,20733                     | 0,105616 |
| A340-642 | A       | ZERO_A  |           |                             |                             | 0,051608 |
| A340-642 | D       | 1       |           |                             |                             | 0,06118  |
| A340-642 | D       | 1+F     | 0,002423  | 0,225716                    |                             | 0,06743  |
| A340-642 | D       | ZERO    |           |                             |                             | 0,051433 |
| A380-841 | A       | A_1+F   |           |                             |                             | 0,055657 |
| A380-841 | A       | A_2_D   |           |                             |                             | 0,081906 |
| A380-841 | A       | A_2_U   |           |                             |                             | 0,064109 |
| A380-841 | A       | A_3_D   |           |                             | 0,154745                    | 0,101662 |
| A380-841 | A       | A_FULL  |           |                             | 0,154745                    | 0,107331 |
| A380-841 | A       | ZERO_A  |           |                             |                             | 0,050279 |
| A380-841 | D       | D_1     |           |                             |                             | 0,053173 |
| A380-841 | D       | D_1+F   | 0,00125   | 0,159626                    |                             | 0,068055 |
| A380-841 | D       | ZERO    |           |                             |                             | 0,050472 |
| A380-861 | A       | A_1+F   |           |                             |                             | 0,058557 |
| A380-861 | A       | A_2_D   |           |                             |                             | 0,081967 |
| A380-861 | A       | A_2_U   |           |                             |                             | 0,06558  |
| A380-861 | A       | A_3_D   |           |                             | 0,154745                    | 0,101738 |
| A380-861 | A       | A_FULL  |           |                             | 0,154745                    | 0,108118 |
| A380-861 | A       | ZERO_A  |           |                             |                             | 0,048776 |
| A380-861 | D       | D_1     |           |                             |                             | 0,053241 |
| A380-861 | D       | D_1+F   | 0,00125   | 0,159567                    |                             | 0,070602 |
| A380-861 | D       | ZERO    |           |                             |                             | 0,049623 |
| BAC111   | A       | D-45    |           |                             | 0,49076                     | 0,139207 |
| BAC111   | A       | U-INT   |           |                             |                             | 0,106398 |
| BAC111   | D       | 8       | 0,01569   | 0,54382                     |                             | 0,082179 |
| BAC111   | D       | INT1    |           |                             |                             | 0,07359  |
| BAC111   | D       | ZERO    |           |                             |                             | 0,065    |
| BAE146   | A       | D-18    |           |                             | 0,61667                     | 0,119715 |
| BAE146   | A       | D-24    |           |                             | 0,61667                     | 0,138371 |
| BAE146   | A       | D-33    |           |                             | 0,45555                     | 0,153186 |
| BAE146   | A       | U-18    |           |                             |                             | 0,0818   |

| ACFT_ID | OP_TYPE | FLAP_ID | B (ft/lb) | C (kt/ $\sqrt{\text{lb}}$ ) | C (kt/ $\sqrt{\text{lb}}$ ) | R        |
|---------|---------|---------|-----------|-----------------------------|-----------------------------|----------|
| BAE146  | A       | U-24    |           |                             |                             | 0,095298 |
| BAE146  | D       | 18      | 0,009678  | 0,49296                     |                             | 0,13241  |
| BAE146  | D       | 24      | 0,008979  | 0,45846                     |                             | 0,1412   |
| BAE146  | D       | 30      | 0,008173  | 0,43179                     |                             | 0,15287  |
| BAE146  | D       | ZERO    |           |                             |                             | 0,083096 |
| BAE300  | A       | D-18    |           |                             | 0,60557                     | 0,116925 |
| BAE300  | A       | D-24    |           |                             | 0,60557                     | 0,134808 |
| BAE300  | A       | D-33    |           |                             | 0,4511                      | 0,149009 |
| BAE300  | A       | U-18    |           |                             |                             | 0,08058  |
| BAE300  | A       | U-24    |           |                             |                             | 0,093519 |
| BAE300  | D       | 18      | 0,009449  | 0,49847                     |                             | 0,1279   |
| BAE300  | D       | 24      | 0,008341  | 0,462                       |                             | 0,1352   |
| BAE300  | D       | 30      | 0,00775   | 0,43351                     |                             | 0,14711  |
| BAE300  | D       | ZERO    |           |                             |                             | 0,081866 |
| BEC58P  | A       | D-15    |           |                             |                             | 0,14885  |
| BEC58P  | A       | D-30    |           |                             | 1,33492                     | 0,16     |
| BEC58P  | D       | TO      | 0,100258  | 1,28098                     |                             | 0,1377   |
| BEC58P  | D       | ZERO    |           |                             |                             | 0,125381 |
| CIT3    | A       | D-40    |           |                             | 0,966375                    | 0,147159 |
| CIT3    | A       | D-INTR  |           |                             |                             | 0,130842 |
| CIT3    | D       | 10      |           |                             |                             | 0,092263 |
| CIT3    | D       | 20      | 0,04284   | 0,947523                    |                             | 0,114525 |
| CIT3    | D       | ZERO    |           |                             |                             | 0,07     |
| CL600   | A       | D-45    |           |                             | 0,766248                    | 0,169002 |
| CL600   | A       | D-INTR  |           |                             |                             | 0,128747 |
| CL600   | D       | 10      |           |                             |                             | 0,079246 |
| CL600   | D       | 20      | 0,028225  | 0,780719                    |                             | 0,088492 |
| CL600   | D       | ZERO    |           |                             |                             | 0,07     |
| CL601   | A       | D-45    |           |                             | 0,769487                    | 0,163669 |
| CL601   | A       | D-INTR  |           |                             |                             | 0,122639 |
| CL601   | D       | 10      |           |                             |                             | 0,075805 |
| CL601   | D       | 20      | 0,032183  | 0,780565                    |                             | 0,081609 |
| CL601   | D       | ZERO    |           |                             |                             | 0,07     |

| ACFT_ID | OP_TYPE | FLAP_ID | B (ft/lb) | C (kt/√lb) | C (kt/√lb) | R        |
|---------|---------|---------|-----------|------------|------------|----------|
| CNA172  | A       | 10-D    |           |            | 1,3132     | 0,0994   |
| CNA172  | A       | 30-D    |           |            | 1,2526     | 0,1516   |
| CNA172  | A       | ZERO-D  |           |            |            | 0,096    |
| CNA172  | D       | 10-C    | 0,0992    | 1,0304     |            | 0,1446   |
| CNA172  | D       | CRUISE  |           |            |            | 0,096    |
| CNA172  | D       | ZERO-C  | 0,1025    | 1,1112     |            | 0,0831   |
| CNA182  | A       | F10APP  |           |            |            | 0,122    |
| CNA182  | A       | F30APP  |           |            | 1,285      | 0,151    |
| CNA182  | D       | F-20D   | 0,058     | 1,204      |            | 0,17     |
| CNA182  | D       | ZERO    |           |            |            | 0,127    |
| CNA182  | D       | ZERO-A  |           |            |            | 0,127    |
| CNA182  | D       | ZERO-C  |           |            |            | 0,097    |
| CNA182  | D       | ZERO-T  |           |            |            | 0,103    |
| CNA206  | A       | 10_D    |           |            |            | 0,105632 |
| CNA206  | A       | 40_D    |           |            | 1,23852    | 0,169084 |
| CNA206  | D       | 20_T    | 0,055005  | 1,02562    |            | 0,136998 |
| CNA206  | D       | ZERO_C  |           |            |            | 0,09563  |
| CNA206  | D       | ZERO_T  | 0,055005  | 1,02562    |            | 0,106327 |
| CNA208  | A       | F30APP  |           |            | 0,867722   | 0,099468 |
| CNA208  | A       | ZERO-A  |           |            |            | 0,089802 |
| CNA208  | D       | F-20D   | 0,033202  | 0,74833    |            | 0,105087 |
| CNA208  | D       | ZERO    | 0,05003   | 0,887307   |            | 0,089802 |
| CNA208  | D       | ZERO-C  |           |            |            | 0,087252 |
| CNA208  | D       | ZERO-T  |           |            |            | 0,060282 |
| CNA20T  | A       | 10_D    |           |            |            | 0,109615 |
| CNA20T  | A       | 40_D    |           |            | 1,32574    | 0,211577 |
| CNA20T  | D       | 20_T    | 0,054669  | 1,045287   |            | 0,13795  |
| CNA20T  | D       | ZERO_C  |           |            |            | 0,101535 |
| CNA20T  | D       | ZERO_T  | 0,054669  | 0,959417   |            | 0,099791 |
| CNA441  | A       | D-INTR  |           |            |            | 0,141579 |
| CNA441  | A       | D-L     |           |            | 1,02329    | 0,162936 |
| CNA441  | D       | TO      | 0,072722  | 1,10834    |            | 0,120222 |
| CNA441  | D       | ZERO    |           |            |            | 0,096518 |

| ACFT_ID  | OP_TYPE | FLAP_ID | B (ft/lb) | C (kt/ $\sqrt{\text{lb}}$ ) | C (kt/ $\sqrt{\text{lb}}$ ) | R        |
|----------|---------|---------|-----------|-----------------------------|-----------------------------|----------|
| CNA500   | A       | D-35    |           |                             | 0,991547                    | 0,147335 |
| CNA500   | A       | D-INTR  |           |                             |                             | 0,113809 |
| CNA500   | D       | 1       |           |                             |                             | 0,080282 |
| CNA500   | D       | 12      | 0,054342  | 0,956752                    |                             | 0,090564 |
| CNA500   | D       | ZERO    |           |                             |                             | 0,07     |
| CNA510   | A       | A_15    |           |                             | 1,073624                    | 0,088506 |
| CNA510   | A       | A_35    |           |                             | 1,002913                    | 0,126185 |
| CNA510   | D       | D_15    | 0,07051   | 1,179843                    |                             | 0,097415 |
| CNA510   | D       | ZERO_C  |           |                             |                             | 0,088914 |
| CNA510   | D       | ZERO_D  | 0,090811  | 1,347624                    |                             | 0,103158 |
| CNA525C  | A       | A_15    |           |                             | 1,012614                    | 0,106795 |
| CNA525C  | A       | A_35    |           |                             | 0,946574                    | 0,126615 |
| CNA525C  | D       | D-15    | 0,053355  | 0,993147                    |                             | 0,096525 |
| CNA525C  | D       | ZERO_C  |           |                             |                             | 0,085    |
| CNA525C  | D       | ZERO_D  | 0,061279  | 1,065348                    |                             | 0,09129  |
| CNA55B   | A       | A_15    |           |                             | 1,01427                     | 0,118086 |
| CNA55B   | A       | A_35    |           |                             | 0,9553                      | 0,200794 |
| CNA55B   | D       | D_15    | 0,05628   | 1,080923                    |                             | 0,128052 |
| CNA55B   | D       | ZERO_C  |           |                             |                             | 0,10833  |
| CNA55B   | D       | ZERO_D  | 0,063189  | 1,159835                    |                             | 0,119835 |
| CNA560E  | D       | 15      | 0,054336  | 1,014289                    |                             | 0,122203 |
| CNA560E  | A       | 15 U    |           |                             | 0,919106                    | 0,099403 |
| CNA560E  | A       | 35 D    |           |                             | 0,870372                    | 0,130841 |
| CNA560E  | D       | 7       | 0,059522  | 1,061591                    |                             | 0,11951  |
| CNA560E  | D       | ZERO    |           |                             |                             | 0,122635 |
| CNA560U  | D       | 15      | 0,038136  | 1,069934                    |                             | 0,13523  |
| CNA560U  | D       | 7       | 0,041179  | 1,10518                     |                             | 0,12699  |
| CNA560U  | A       | 7_APP   |           |                             |                             | 0,12699  |
| CNA560U  | A       | D 15    |           |                             | 0,86464                     | 0,088125 |
| CNA560U  | A       | D 35    |           |                             | 0,811918                    | 0,132402 |
| CNA560U  | D       | ZERO    |           |                             |                             | 0,07     |
| CNA560XL | D       | 15      | 0,030657  | 1,045811                    |                             | 0,13852  |
| CNA560XL | D       | 7       | 0,035712  | 1,095308                    |                             | 0,13505  |

| ACFT_ID  | OP_TYPE | FLAP_ID | B (ft/lb) | C (kt/ $\sqrt{\text{lb}}$ ) | C (kt/ $\sqrt{\text{lb}}$ ) | R        |
|----------|---------|---------|-----------|-----------------------------|-----------------------------|----------|
| CNA560XL | A       | D 15U   |           |                             | 0,91189                     | 0,08555  |
| CNA560XL | A       | D 35D   |           |                             | 0,86179                     | 0,126192 |
| CNA560XL | D       | ZERO    |           |                             |                             | 0,074551 |
| CNA680   | D       | 15      | 0,027468  | 0,725152                    |                             | 0,127804 |
| CNA680   | A       | 15 GU   |           |                             | 0,717794                    | 0,093247 |
| CNA680   | A       | 35 GD   |           |                             | 0,662727                    | 0,146827 |
| CNA680   | D       | 7       | 0,030105  | 0,764412                    |                             | 0,122083 |
| CNA680   | D       | ZERO    |           |                             |                             | 0,105329 |
| CNA750   | A       | 15_GD   |           |                             | 0,753068                    | 0,174519 |
| CNA750   | A       | 15_GU   |           |                             | 0,753068                    | 0,146147 |
| CNA750   | A       | 35_GD   |           |                             | 0,714646                    | 0,250382 |
| CNA750   | A       | 5_GU    |           |                             | 0,799175                    | 0,118139 |
| CNA750   | D       | 5       | 0,038446  | 0,82511                     |                             | 0,122657 |
| CNA750   | D       | 15      | 0,034761  | 0,787004                    |                             | 0,12822  |
| CNA750   | D       | ZERO    |           |                             |                             | 0,096475 |
| CONCRD   | A       | D-L     |           |                             | 0,349148                    | 0,205927 |
| CONCRD   | A       | U-L     |           |                             |                             | 0,183067 |
| CONCRD   | D       | CL1     |           |                             |                             | 0,13294  |
| CONCRD   | D       | TO      | 0,008051  | 0,338363                    |                             | 0,13294  |
| CONCRD   | D       | ZERO    |           |                             |                             | 0,13294  |
| CRJ9-ER  | A       | 20      |           |                             |                             | 0,0976   |
| CRJ9-ER  | A       | D-45    |           |                             | 0,5801                      | 0,1551   |
| CRJ9-ER  | A       | U-45    |           |                             |                             | 0,1504   |
| CRJ9-ER  | A       | ZERO    |           |                             |                             | 0,0655   |
| CRJ9-ER  | D       | 0-204   |           |                             |                             | 0,0599   |
| CRJ9-ER  | D       | 0-250   |           |                             |                             | 0,0641   |
| CRJ9-ER  | D       | D-8     | 0,0177    | 0,5902                      |                             | 0,0978   |
| CRJ9-ER  | D       | U-8     |           |                             |                             | 0,0775   |
| CRJ9-LR  | A       | 20      |           |                             |                             | 0,0976   |
| CRJ9-LR  | A       | D-45    |           |                             | 0,5801                      | 0,1551   |
| CRJ9-LR  | A       | U-45    |           |                             |                             | 0,1504   |
| CRJ9-LR  | A       | ZERO    |           |                             |                             | 0,0655   |
| CRJ9-LR  | D       | 0-204   |           |                             |                             | 0,0599   |

| ACFT_ID | OP_TYPE | FLAP_ID | B (ft/lb) | C (kt/ $\sqrt{\text{lb}}$ ) | C (kt/ $\sqrt{\text{lb}}$ ) | R        |
|---------|---------|---------|-----------|-----------------------------|-----------------------------|----------|
| CRJ9-LR | D       | 0-250   |           |                             |                             | 0,0641   |
| CRJ9-LR | D       | D-8     | 0,0177    | 0,5902                      |                             | 0,0978   |
| CRJ9-LR | D       | U-8     |           |                             |                             | 0,0775   |
| CVR580  | A       | D-28    |           |                             | 0,51972                     | 0,118937 |
| CVR580  | A       | D-40    |           |                             | 0,49138                     | 0,124222 |
| CVR580  | D       | 10      | 0,028303  | 0,540116                    |                             | 0,130717 |
| CVR580  | D       | INTR    |           |                             |                             | 0,102858 |
| CVR580  | D       | ZERO    |           |                             |                             | 0,075    |
| DC1010  | A       | D-35    |           |                             | 0,251236                    | 0,132645 |
| DC1010  | A       | D-50    |           |                             | 0,244243                    | 0,164729 |
| DC1010  | A       | U-35    |           |                             |                             | 0,127457 |
| DC1010  | A       | U-50    |           |                             |                             | 0,161155 |
| DC1010  | D       | 5       |           |                             |                             | 0,079893 |
| DC1010  | D       | 10      | 0,00356   | 0,261942                    |                             | 0,101376 |
| DC1010  | D       | INT     |           |                             |                             | 0,068522 |
| DC1010  | D       | ZERO    |           |                             |                             | 0,057149 |
| DC1030  | A       | D-35    |           |                             | 0,2534                      | 0,13     |
| DC1030  | A       | U-20    |           |                             |                             | 0,104    |
| DC1030  | D       | 20      | 0,003091  | 0,2434                      |                             | 0,104    |
| DC1030  | D       | INT1    |           |                             |                             | 0,09454  |
| DC1030  | D       | INT2    |           |                             |                             | 0,07307  |
| DC1030  | D       | ZERO    |           |                             |                             | 0,06519  |
| DC1040  | A       | D-35    |           |                             | 0,254879                    | 0,121114 |
| DC1040  | A       | D-50    |           |                             | 0,247241                    | 0,151007 |
| DC1040  | A       | U-35    |           |                             |                             | 0,114222 |
| DC1040  | A       | U-50    |           |                             |                             | 0,145481 |
| DC1040  | D       | 5       |           |                             |                             | 0,082503 |
| DC1040  | D       | 15      | 0,004009  | 0,272697                    |                             | 0,111044 |
| DC1040  | D       | INT     |           |                             |                             | 0,071264 |
| DC1040  | D       | ZERO    |           |                             |                             | 0,060025 |
| DC3     | A       | D-45    |           |                             | 0,597793                    | 0,155222 |
| DC3     | A       | U-INT   |           |                             |                             | 0,133361 |
| DC3     | D       | TO      | 0,019837  | 0,619256                    |                             | 0,123784 |

| ACFT_ID | OP_TYPE | FLAP_ID | B (ft/lb) | C (kt/ $\sqrt{\text{lb}}$ ) | C (kt/ $\sqrt{\text{lb}}$ ) | R        |
|---------|---------|---------|-----------|-----------------------------|-----------------------------|----------|
| DC3     | D       | ZERO    |           |                             |                             | 0,1115   |
| DC6     | A       | D-INTR  |           |                             |                             | 0,10199  |
| DC6     | A       | D-L     |           |                             | 0,294594                    | 0,125979 |
| DC6     | D       | TO      | 0,007829  | 0,430006                    |                             | 0,08204  |
| DC6     | D       | ZERO    |           |                             |                             | 0,078    |
| DC850   | A       | D-35    |           |                             | 0,328558                    | 0,129965 |
| DC850   | A       | D-50    |           |                             | 0,313281                    | 0,149354 |
| DC850   | A       | U-35    |           |                             |                             | 0,126751 |
| DC850   | A       | U-50    |           |                             |                             | 0,145337 |
| DC850   | D       | 15      | 0,005206  | 0,323443                    |                             | 0,090417 |
| DC850   | D       | 25      | 0,004708  | 0,315832                    |                             | 0,103092 |
| DC850   | D       | INT     |           |                             |                             | 0,074401 |
| DC850   | D       | ZERO    |           |                             |                             | 0,058535 |
| DC860   | A       | D-35    |           |                             | 0,312879                    | 0,117758 |
| DC860   | A       | D-50    |           |                             | 0,304526                    | 0,130913 |
| DC860   | A       | U-35    |           |                             |                             | 0,115049 |
| DC860   | A       | U-50    |           |                             |                             | 0,12766  |
| DC860   | D       | 12      | 0,004899  | 0,320082                    |                             | 0,090214 |
| DC860   | D       | 23      | 0,004572  | 0,304797                    |                             | 0,095953 |
| DC860   | D       | INT     |           |                             |                             | 0,071703 |
| DC860   | D       | ZERO    |           |                             |                             | 0,05319  |
| DC870   | A       | D-35    |           |                             | 0,312879                    | 0,117758 |
| DC870   | A       | D-50    |           |                             | 0,304526                    | 0,130913 |
| DC870   | A       | U-35    |           |                             |                             | 0,115049 |
| DC870   | A       | U-50    |           |                             |                             | 0,12766  |
| DC870   | D       | 12      | 0,004899  | 0,320082                    |                             | 0,090214 |
| DC870   | D       | 23      | 0,004572  | 0,304797                    |                             | 0,095953 |
| DC870   | D       | INT     |           |                             |                             | 0,071703 |
| DC870   | D       | ZERO    |           |                             |                             | 0,05319  |
| DC8QN   | A       | D-35    |           |                             | 0,312879                    | 0,117758 |
| DC8QN   | A       | D-50    |           |                             | 0,304526                    | 0,130913 |
| DC8QN   | A       | U-35    |           |                             |                             | 0,115049 |
| DC8QN   | A       | U-50    |           |                             |                             | 0,12766  |

| ACFT_ID | OP_TYPE | FLAP_ID | B (ft/lb) | C (kt/ $\sqrt{\text{lb}}$ ) | C (kt/ $\sqrt{\text{lb}}$ ) | R        |
|---------|---------|---------|-----------|-----------------------------|-----------------------------|----------|
| DC8QN   | D       | 12      | 0,004899  | 0,320082                    |                             | 0,090214 |
| DC8QN   | D       | 23      | 0,004572  | 0,304797                    |                             | 0,095953 |
| DC8QN   | D       | INT     |           |                             |                             | 0,071703 |
| DC8QN   | D       | ZERO    |           |                             |                             | 0,05319  |
| DC910   | A       | D-35    |           |                             | 0,480101                    | 0,134177 |
| DC910   | A       | D-50    |           |                             | 0,445486                    | 0,157948 |
| DC910   | A       | U-15    |           |                             |                             | 0,087963 |
| DC910   | A       | U-35    |           |                             |                             | 0,130625 |
| DC910   | A       | U-50    |           |                             |                             | 0,153365 |
| DC910   | D       | 5       | 0,012996  | 0,49557                     |                             | 0,07757  |
| DC910   | D       | 15      | 0,010618  | 0,477234                    |                             | 0,087963 |
| DC910   | D       | INT     |           |                             |                             | 0,076753 |
| DC910   | D       | ZERO    |           |                             |                             | 0,075935 |
| DC930   | A       | D-35    |           |                             | 0,470211                    | 0,135075 |
| DC930   | A       | D-50    |           |                             | 0,438965                    | 0,165052 |
| DC930   | A       | U-15    |           |                             |                             | 0,092489 |
| DC930   | A       | U-35    |           |                             |                             | 0,131559 |
| DC930   | A       | U-50    |           |                             |                             | 0,155925 |
| DC930   | D       | 5       | 0,012098  | 0,4899                      |                             | 0,084985 |
| DC930   | D       | 15      | 0,010507  | 0,471774                    |                             | 0,092489 |
| DC930   | D       | INT     |           |                             |                             | 0,076701 |
| DC930   | D       | ZERO    |           |                             |                             | 0,068416 |
| DC93LW  | A       | D-35    |           |                             | 0,470211                    | 0,135075 |
| DC93LW  | A       | D-50    |           |                             | 0,438965                    | 0,165052 |
| DC93LW  | A       | U-15    |           |                             |                             | 0,092489 |
| DC93LW  | A       | U-35    |           |                             |                             | 0,131559 |
| DC93LW  | A       | U-50    |           |                             |                             | 0,155925 |
| DC93LW  | D       | 5       | 0,012098  | 0,4899                      |                             | 0,084985 |
| DC93LW  | D       | 15      | 0,010507  | 0,471774                    |                             | 0,092489 |
| DC93LW  | D       | INT     |           |                             |                             | 0,076701 |
| DC93LW  | D       | ZERO    |           |                             |                             | 0,068416 |
| DC950   | A       | D-35    |           |                             | 0,468147                    | 0,135234 |
| DC950   | A       | D-50    |           |                             | 0,442406                    | 0,160018 |

| ACFT_ID | OP_TYPE | FLAP_ID | B (ft/lb) | C (kt/ $\sqrt{\text{lb}}$ ) | C (kt/ $\sqrt{\text{lb}}$ ) | R        |
|---------|---------|---------|-----------|-----------------------------|-----------------------------|----------|
| DC950   | A       | U-15    |           |                             |                             | 0,092489 |
| DC950   | A       | U-35    |           |                             |                             | 0,131677 |
| DC950   | A       | U-50    |           |                             |                             | 0,155399 |
| DC950   | D       | 5       | 0,012098  | 0,4899                      |                             | 0,084985 |
| DC950   | D       | 15      | 0,010507  | 0,471774                    |                             | 0,092489 |
| DC950   | D       | INTR    |           |                             |                             | 0,076701 |
| DC950   | D       | ZERO    |           |                             |                             | 0,068416 |
| DC95HW  | A       | D-35    |           |                             | 0,468147                    | 0,135234 |
| DC95HW  | A       | D-50    |           |                             | 0,442406                    | 0,160018 |
| DC95HW  | A       | U-15    |           |                             |                             | 0,092489 |
| DC95HW  | A       | U-35    |           |                             |                             | 0,131677 |
| DC95HW  | A       | U-50    |           |                             |                             | 0,155399 |
| DC95HW  | D       | 5       | 0,012098  | 0,4899                      |                             | 0,084985 |
| DC95HW  | D       | 15      | 0,010507  | 0,471774                    |                             | 0,092489 |
| DC95HW  | D       | INTR    |           |                             |                             | 0,076701 |
| DC95HW  | D       | ZERO    |           |                             |                             | 0,068416 |
| DC9Q7   | A       | D-35    |           |                             | 0,480101                    | 0,134177 |
| DC9Q7   | A       | D-50    |           |                             | 0,445486                    | 0,157948 |
| DC9Q7   | A       | U-15    |           |                             |                             | 0,087963 |
| DC9Q7   | A       | U-35    |           |                             |                             | 0,130625 |
| DC9Q7   | A       | U-50    |           |                             |                             | 0,153365 |
| DC9Q7   | D       | 5       | 0,012996  | 0,49557                     |                             | 0,07757  |
| DC9Q7   | D       | 15      | 0,010618  | 0,477234                    |                             | 0,087963 |
| DC9Q7   | D       | INT     |           |                             |                             | 0,076753 |
| DC9Q7   | D       | ZERO    |           |                             |                             | 0,075935 |
| DC9Q9   | A       | D-35    |           |                             | 0,470211                    | 0,135075 |
| DC9Q9   | A       | D-50    |           |                             | 0,438965                    | 0,165052 |
| DC9Q9   | A       | U-15    |           |                             |                             | 0,092489 |
| DC9Q9   | A       | U-35    |           |                             |                             | 0,131559 |
| DC9Q9   | A       | U-50    |           |                             |                             | 0,155925 |
| DC9Q9   | D       | 5       | 0,012098  | 0,4899                      |                             | 0,084985 |
| DC9Q9   | D       | 15      | 0,010507  | 0,471774                    |                             | 0,092489 |
| DC9Q9   | D       | INT     |           |                             |                             | 0,076701 |

| ACFT_ID | OP_TYPE | FLAP_ID | B (ft/lb) | C (kt/ $\sqrt{\text{lb}}$ ) | C (kt/ $\sqrt{\text{lb}}$ ) | R        |
|---------|---------|---------|-----------|-----------------------------|-----------------------------|----------|
| DC9Q9   | D       | ZERO    |           |                             |                             | 0,068416 |
| DHC6    | A       | D-INTR  |           |                             |                             | 0,125975 |
| DHC6    | A       | D-L     |           |                             | 0,577068                    | 0,176949 |
| DHC6    | D       | INTR    |           |                             |                             | 0,090222 |
| DHC6    | D       | TO      | 0,031032  | 0,787095                    |                             | 0,105443 |
| DHC6    | D       | ZERO    |           |                             |                             | 0,075    |
| DHC6QP  | A       | D-INTR  |           |                             |                             | 0,125975 |
| DHC6QP  | A       | D-L     |           |                             | 0,577068                    | 0,176949 |
| DHC6QP  | D       | INTR    |           |                             |                             | 0,090222 |
| DHC6QP  | D       | TO      | 0,031032  | 0,787095                    |                             | 0,105443 |
| DHC6QP  | D       | ZERO    |           |                             |                             | 0,075    |
| DHC7    | A       | D-25    |           |                             | 0,51353                     | 0,127688 |
| DHC7    | A       | D-INTR  |           |                             |                             | 0,117133 |
| DHC7    | D       | 10      |           |                             |                             | 0,117133 |
| DHC7    | D       | 25      | 0,009556  | 0,466702                    |                             | 0,159266 |
| DHC7    | D       | ZERO    |           |                             |                             | 0,075    |
| DHC8    | A       | D-15    |           |                             | 0,54969                     | 0,092335 |
| DHC8    | A       | D-35    |           |                             | 0,50961                     | 0,10086  |
| DHC8    | A       | D-5     |           |                             | 0,60123                     | 0,087745 |
| DHC8    | A       | U-15    |           |                             |                             | 0,080204 |
| DHC8    | A       | U-5     |           |                             |                             | 0,073647 |
| DHC8    | D       | 5       | 0,017289  | 0,61342                     |                             | 0,07808  |
| DHC8    | D       | 15      | 0,017361  | 0,56668                     |                             | 0,08519  |
| DHC8    | D       | ZERO    |           |                             |                             | 0,072424 |
| DHC830  | A       | D-10    |           |                             | 0,62986                     | 0,091024 |
| DHC830  | A       | D-15    |           |                             | 0,60123                     | 0,094958 |
| DHC830  | A       | D-35    |           |                             | 0,55542                     | 0,103483 |
| DHC830  | A       | U-10    |           |                             |                             | 0,079221 |
| DHC830  | A       | U-15    |           |                             |                             | 0,084139 |
| DHC830  | D       | 5       | 0,017836  | 0,61764                     |                             | 0,070652 |
| DHC830  | D       | 10      | 0,015165  | 0,570532                    |                             | 0,076309 |
| DHC830  | D       | 15      | 0,014403  | 0,549595                    |                             | 0,080292 |
| DHC830  | D       | INT     | 0,019987  | 0,659514                    |                             | 0,067572 |

| ACFT_ID    | OP_TYPE | FLAP_ID | B (ft/lb) | C (kt/ $\sqrt{\text{lb}}$ ) | C (kt/ $\sqrt{\text{lb}}$ ) | R        |
|------------|---------|---------|-----------|-----------------------------|-----------------------------|----------|
| DHC830     | D       | ZERO    |           |                             |                             | 0,068308 |
| DO228      | A       | F30APP  |           |                             | 0,75885                     | 0,11911  |
| DO228      | A       | ZERO-A  |           |                             |                             | 0,10717  |
| DO228      | D       | FLAPS1  | 0,02196   | 0,80401                     |                             | 0,09042  |
| DO228      | D       | ZERO    | 0,02745   | 0,86388                     |                             | 0,10717  |
| DO228      | D       | ZERO-C  |           |                             |                             | 0,14459  |
| DO228      | D       | ZERO-T  |           |                             |                             | 0,09218  |
| DO328      | A       | F32APP  |           |                             | 0,638                       | 0,0961   |
| DO328      | A       | ZERO-A  |           |                             |                             | 0,0916   |
| DO328      | D       | F12-D   | 0,016     | 0,666                       |                             | 0,0664   |
| DO328      | D       | ZERO    |           |                             |                             | 0,0916   |
| DO328      | D       | ZERO-C  |           |                             |                             | 0,1206   |
| ECLIPSE500 | A       | A_A_DN  |           |                             | 1,273746                    | 0,133462 |
| ECLIPSE500 | A       | A_T_DN  |           |                             |                             | 0,178304 |
| ECLIPSE500 | D       | TO_DN   | 0,100203  | 1,381422                    |                             | 0,105314 |
| ECLIPSE500 | D       | TO_UP   |           | 1,381422                    |                             | 0,086185 |
| ECLIPSE500 | D       | UP_DN   |           | 1,690947                    |                             | 0,103009 |
| ECLIPSE500 | D       | UP_UP   |           | 1,690947                    |                             | 0,073313 |
| EMB120     | A       | D-25    |           |                             | 0,837                       | 0,0801   |
| EMB120     | A       | D-45    |           |                             | 0,782                       | 0,1305   |
| EMB120     | D       | 15      | 0,0297    | 0,82                        |                             | 0,1014   |
| EMB120     | D       | ZERO    |           | 0,929                       |                             | 0,0834   |
| EMB145     | A       | D-22    |           |                             | 0,6836                      | 0,1291   |
| EMB145     | A       | D-45    |           |                             | 0,6811                      | 0,1809   |
| EMB145     | D       | 9       |           | 0,6503                      |                             | 0,0825   |
| EMB145     | D       | 9-GEAR  | 0,0218    | 0,6562                      |                             | 0,1048   |
| EMB145     | D       | ZERO    |           |                             |                             | 0,0691   |
| EMB14L     | A       | D-22    |           |                             | 0,6836                      | 0,1291   |
| EMB14L     | D       | 9       |           | 0,6503                      |                             | 0,083    |
| EMB14L     | D       | 9-GEAR  | 0,0212    | 0,6562                      |                             | 0,083    |
| EMB14L     | D       | D-45    |           | 0,6811                      |                             | 0,1809   |
| EMB14L     | D       | ZERO    |           |                             |                             | 0,0694   |
| EMB170     | D       | 1       | 0,015720  | 0,579870                    |                             | 0,076830 |

| ACFT_ID | OP_TYPE | FLAP_ID | B (ft/lb) | C (kt/ $\sqrt{\text{lb}}$ ) | C (kt/ $\sqrt{\text{lb}}$ ) | R        |
|---------|---------|---------|-----------|-----------------------------|-----------------------------|----------|
| EMB170  | A       | FULL    |           |                             | 0,498900                    | 0,145550 |
| EMB170  | D       | ZERO    |           |                             |                             | 0,066180 |
| EMB175  | D       | 1       | 0,015900  | 0,578990                    |                             | 0,077300 |
| EMB175  | A       | FULL    |           |                             | 0,498200                    | 0,145800 |
| EMB175  | D       | ZERO    |           |                             |                             | 0,066000 |
| EMB190  | D       | 1       | 0,012300  | 0,494610                    |                             | 0,082600 |
| EMB190  | A       | FULL    |           |                             | 0,434400                    | 0,137100 |
| EMB190  | D       | ZERO    |           |                             |                             | 0,066400 |
| EMB195  | D       | 1       | 0,012200  | 0,494520                    |                             | 0,083100 |
| EMB195  | A       | FULL    |           |                             | 0,433600                    | 0,137400 |
| EMB195  | D       | ZERO    |           |                             |                             | 0,067400 |
| F10062  | A       | D-42    |           |                             | 0,4731                      | 0,1565   |
| F10062  | A       | U-INT   |           |                             |                             | 0,1124   |
| F10062  | D       | INT2    |           |                             |                             | 0,0904   |
| F10062  | D       | TO      | 0,0122    | 0,5162                      |                             | 0,0683   |
| F10062  | D       | ZERO    |           |                             |                             | 0,0683   |
| F10065  | A       | D-42    |           |                             | 0,4731                      | 0,1565   |
| F10065  | A       | U-INT   |           |                             |                             | 0,1129   |
| F10065  | D       | INT2    |           |                             |                             | 0,0911   |
| F10065  | D       | TO      | 0,0123    | 0,521                       |                             | 0,0693   |
| F10065  | D       | ZERO    |           |                             |                             | 0,0693   |
| F28MK2  | A       | D-42    |           |                             | 0,5334                      | 0,1677   |
| F28MK2  | A       | U-INTR  |           |                             |                             | 0,1248   |
| F28MK2  | D       | 6       | 0,0171    | 0,6027                      |                             | 0,0793   |
| F28MK2  | D       | INT2    |           |                             |                             | 0,1033   |
| F28MK2  | D       | ZERO    |           |                             |                             | 0,0819   |
| F28MK4  | A       | D-42    |           |                             | 0,5149                      | 0,1619   |
| F28MK4  | A       | U-INTR  |           |                             |                             | 0,1187   |
| F28MK4  | D       | 6       | 0,01515   | 0,5731                      |                             | 0,0749   |
| F28MK4  | D       | INT2    |           |                             |                             | 0,0971   |
| F28MK4  | D       | ZERO    |           |                             |                             | 0,0755   |
| FAL20   | A       | D-25    |           |                             | 0,804634                    | 0,117238 |
| FAL20   | A       | D-40    |           |                             | 0,792624                    | 0,136348 |

| ACFT_ID | OP_TYPE | FLAP_ID | B (ft/lb) | C (kt/ $\sqrt{\text{lb}}$ ) | C (kt/ $\sqrt{\text{lb}}$ ) | R        |
|---------|---------|---------|-----------|-----------------------------|-----------------------------|----------|
| FAL20   | D       | 10      | 0,035696  | 0,807797                    |                             | 0,098781 |
| FAL20   | D       | INTR    |           |                             |                             | 0,084391 |
| FAL20   | D       | ZERO    |           |                             |                             | 0,07     |
| GII     | A       | L-0-U   |           |                             |                             | 0,0751   |
| GII     | A       | L-10-U  |           |                             |                             | 0,0852   |
| GII     | D       | L-20-D  |           |                             |                             | 0,1138   |
| GII     | D       | L-39-D  |           | 0,5822                      |                             | 0,1742   |
| GII     | D       | T-0-U   |           |                             |                             | 0,0814   |
| GII     | D       | T-10-U  |           |                             |                             | 0,0884   |
| GII     | D       | T-20-D  | 0,02      | 0,634                       |                             | 0,1159   |
| GIB     | A       | L-0-U   |           |                             |                             | 0,0722   |
| GIB     | A       | L-10-U  |           |                             |                             | 0,0735   |
| GIB     | D       | L-20-D  |           |                             |                             | 0,1091   |
| GIB     | D       | L-39-D  |           | 0,562984                    |                             | 0,1509   |
| GIB     | D       | T-0-U   |           |                             |                             | 0,0738   |
| GIB     | D       | T-10-U  |           |                             |                             | 0,0729   |
| GIB     | D       | T-20-D  | 0,0162    | 0,583                       |                             | 0,1063   |
| GIV     | A       | L-0-U   |           |                             |                             | 0,06     |
| GIV     | A       | L-39-D  |           |                             | 0,5805                      | 0,1403   |
| GIV     | D       | L-20-D  |           |                             |                             | 0,1063   |
| GIV     | D       | T-0-U   |           |                             |                             | 0,0586   |
| GIV     | D       | T-10-U  |           |                             |                             | 0,0666   |
| GIV     | D       | T-20-D  | 0,0146    | 0,5798                      |                             | 0,1035   |
| GIV     | D       | T-20-U  |           |                             |                             | 0,0797   |
| GV      | A       | L-20-D  |           |                             |                             | 0,0974   |
| GV      | A       | L-20-U  |           |                             |                             | 0,0749   |
| GV      | A       | L-39-D  |           |                             | 0,4908                      | 0,1328   |
| GV      | D       | L-0-U   |           |                             |                             | 0,0617   |
| GV      | D       | T-0-U   |           |                             |                             | 0,058    |
| GV      | D       | T-10-U  |           |                             |                             | 0,0606   |
| GV      | D       | T-20-D  | 0,01178   | 0,516                       |                             | 0,0953   |
| GV      | D       | T-20-U  |           |                             |                             | 0,0743   |
| HS748A  | A       | D-30    |           |                             | 0,45813                     | 0,13849  |

| ACFT_ID | OP_TYPE | FLAP_ID | B (ft/lb) | C (kt/ $\sqrt{\text{lb}}$ ) | C (kt/ $\sqrt{\text{lb}}$ ) | R        |
|---------|---------|---------|-----------|-----------------------------|-----------------------------|----------|
| HS748A  | A       | D-INTR  |           |                             |                             | 0,106745 |
| HS748A  | D       | INTR    |           |                             |                             | 0,088176 |
| HS748A  | D       | TO      | 0,012271  | 0,542574                    |                             | 0,101351 |
| HS748A  | D       | ZERO    |           |                             |                             | 0,075    |
| IA1125  | A       | D-40    |           |                             | 0,967478                    | 0,136393 |
| IA1125  | A       | D-INTR  |           |                             |                             | 0,118618 |
| IA1125  | D       | 12      | 0,040745  | 0,963488                    |                             | 0,100843 |
| IA1125  | D       | INTR    |           |                             |                             | 0,085422 |
| IA1125  | D       | ZERO    |           |                             |                             | 0,07     |
| L1011   | A       | D-33    |           |                             | 0,286984                    | 0,137671 |
| L1011   | A       | D-42    |           |                             | 0,256389                    | 0,155717 |
| L1011   | D       | 10      | 0,004561  | 0,265314                    |                             | 0,093396 |
| L1011   | D       | 22      | 0,004759  | 0,251916                    |                             | 0,105083 |
| L1011   | D       | INTR    |           |                             |                             | 0,07959  |
| L1011   | D       | ZERO    |           |                             |                             | 0,06243  |
| L10115  | A       | D-33    |           |                             | 0,262728                    | 0,140162 |
| L10115  | A       | D-42    |           |                             | 0,256123                    | 0,155644 |
| L10115  | D       | 10      | 0,004499  | 0,265314                    |                             | 0,093396 |
| L10115  | D       | 22      | 0,004695  | 0,251916                    |                             | 0,105083 |
| L10115  | D       | INTR    |           |                             |                             | 0,07959  |
| L10115  | D       | ZERO    |           |                             |                             | 0,06243  |
| L188    | A       | D-100   |           |                             | 0,436792                    | 0,174786 |
| L188    | A       | D-78-%  |           |                             | 0,456156                    | 0,122326 |
| L188    | D       | 39-%    | 0,009995  | 0,420533                    |                             | 0,142992 |
| L188    | D       | 78-%    | 0,010265  | 0,404302                    |                             | 0,159974 |
| L188    | D       | INTR    |           |                             |                             | 0,120987 |
| L188    | D       | ZERO    |           |                             |                             | 0,082    |
| LEAR25  | A       | D-40    |           |                             | 1,28239                     | 0,176632 |
| LEAR25  | A       | D-INTR  |           |                             |                             | 0,149986 |
| LEAR25  | D       | 10      |           |                             |                             | 0,09667  |
| LEAR25  | D       | 20      | 0,082866  | 1,27373                     |                             | 0,12334  |
| LEAR25  | D       | ZERO    |           |                             |                             | 0,07     |
| LEAR35  | A       | D-40    |           |                             | 1,08756                     | 0,150688 |

| ACFT_ID | OP_TYPE | FLAP_ID | B (ft/lb) | C (kt/ $\sqrt{\text{lb}}$ ) | C (kt/ $\sqrt{\text{lb}}$ ) | R        |
|---------|---------|---------|-----------|-----------------------------|-----------------------------|----------|
| LEAR35  | A       | D-INTR  |           |                             |                             | 0,129456 |
| LEAR35  | D       | 10      |           |                             |                             | 0,089112 |
| LEAR35  | D       | 20      | 0,043803  | 1,05985                     |                             | 0,108224 |
| LEAR35  | D       | ZERO    |           |                             |                             | 0,07     |
| MD11GE  | D       | 10      | 0,003812  | 0,2648                      |                             | 0,0843   |
| MD11GE  | D       | 15      | 0,003625  | 0,2578                      |                             | 0,0891   |
| MD11GE  | D       | 20      | 0,003509  | 0,2524                      |                             | 0,0947   |
| MD11GE  | D       | 25      | 0,003443  | 0,2481                      |                             | 0,1016   |
| MD11GE  | D       | 0/EXT   |           |                             |                             | 0,0692   |
| MD11GE  | D       | 0/RET   |           |                             |                             | 0,0551   |
| MD11GE  | D       | ZERO    |           |                             |                             | 0,0551   |
| MD11PW  | D       | 10      | 0,003829  | 0,265                       |                             | 0,08425  |
| MD11PW  | D       | 15      | 0,003675  | 0,2576                      |                             | 0,08877  |
| MD11PW  | D       | 20      | 0,003545  | 0,2526                      |                             | 0,09472  |
| MD11PW  | D       | 25      | 0,003494  | 0,2487                      |                             | 0,1018   |
| MD11PW  | D       | 0/EXT   |           |                             |                             | 0,0691   |
| MD11PW  | D       | 0/RET   |           |                             |                             | 0,05512  |
| MD11PW  | D       | ZERO    |           |                             |                             | 0,05512  |
| MD81    | D       | 11      | 0,009276  | 0,4247                      |                             | 0,07719  |
| MD81    | D       | INT1    |           |                             |                             | 0,07643  |
| MD81    | D       | INT2    |           |                             |                             | 0,06313  |
| MD81    | D       | INT3    |           |                             |                             | 0,06156  |
| MD81    | D       | INT4    |           |                             |                             | 0,06366  |
| MD81    | D       | T_15    | 0,009369  | 0,420798                    |                             | 0,0857   |
| MD81    | D       | T_INT   |           |                             |                             | 0,0701   |
| MD81    | D       | T_ZERO  |           |                             |                             | 0,061    |
| MD81    | D       | ZERO    |           |                             |                             | 0,06761  |
| MD82    | D       | 11      | 0,009248  | 0,4236                      |                             | 0,07969  |
| MD82    | D       | INT1    |           |                             |                             | 0,07625  |
| MD82    | D       | INT2    |           |                             |                             | 0,06337  |
| MD82    | D       | INT3    |           |                             |                             | 0,06196  |
| MD82    | D       | INT4    |           |                             |                             | 0,0634   |
| MD82    | D       | T_15    | 0,009267  | 0,420216                    |                             | 0,086    |

| ACFT_ID | OP_TYPE | FLAP_ID | B (ft/lb) | C (kt/ $\sqrt{\text{lb}}$ ) | C (kt/ $\sqrt{\text{lb}}$ ) | R        |
|---------|---------|---------|-----------|-----------------------------|-----------------------------|----------|
| MD82    | D       | T_INT   |           |                             |                             | 0,065    |
| MD82    | D       | T_ZERO  |           |                             |                             | 0,061    |
| MD82    | D       | ZERO    |           |                             |                             | 0,06643  |
| MD83    | D       | 11      | 0,009301  | 0,4227                      |                             | 0,0798   |
| MD83    | D       | INT1    |           |                             |                             | 0,07666  |
| MD83    | D       | INT2    |           |                             |                             | 0,0664   |
| MD83    | D       | INT3    |           |                             |                             | 0,06247  |
| MD83    | D       | INT4    |           |                             |                             | 0,06236  |
| MD83    | D       | T_15    | 0,009384  | 0,420307                    |                             | 0,086    |
| MD83    | D       | T_INT   |           |                             |                             | 0,0664   |
| MD83    | D       | T_ZERO  |           |                             |                             | 0,0611   |
| MD83    | D       | ZERO    |           |                             |                             | 0,06573  |
| MD9025  | A       | D-28    |           |                             | 0,4118                      | 0,1181   |
| MD9025  | A       | D-40    |           |                             | 0,4003                      | 0,1412   |
| MD9025  | A       | U-0     |           |                             | 0,4744                      | 0,0876   |
| MD9025  | D       | EXT/06  | 0,010708  | 0,458611                    |                             | 0,070601 |
| MD9025  | D       | EXT/11  | 0,009927  | 0,441118                    |                             | 0,073655 |
| MD9025  | D       | EXT/18  | 0,009203  | 0,421346                    |                             | 0,083277 |
| MD9025  | D       | EXT/24  | 0,008712  | 0,408301                    |                             | 0,090279 |
| MD9025  | D       | RET/0   |           |                             |                             | 0,05186  |
| MD9028  | A       | D-28    |           |                             | 0,4118                      | 0,1181   |
| MD9028  | A       | D-40    |           |                             | 0,4003                      | 0,1412   |
| MD9028  | A       | U-0     |           |                             | 0,4744                      | 0,0876   |
| MD9028  | D       | EXT/06  | 0,010993  | 0,463088                    |                             | 0,070248 |
| MD9028  | D       | EXT/11  | 0,010269  | 0,446501                    |                             | 0,072708 |
| MD9028  | D       | EXT/18  | 0,009514  | 0,426673                    |                             | 0,082666 |
| MD9028  | D       | EXT/24  | 0,008991  | 0,413409                    |                             | 0,090018 |
| MD9028  | D       | RET/0   |           |                             |                             | 0,05025  |
| MU3001  | A       | D-30    |           |                             | 1,07308                     | 0,147487 |
| MU3001  | A       | D-INTR  |           |                             |                             | 0,114684 |
| MU3001  | D       | 1       | 0,065703  | 1,1529                      |                             | 0,08188  |
| MU3001  | D       | 10      | 0,055318  | 1,0729                      |                             | 0,09285  |
| MU3001  | D       | ZERO    |           |                             |                             | 0,07     |

| ACFT_ID | OP_TYPE | FLAP_ID | B (ft/lb) | C (kt/ $\sqrt{\text{lb}}$ ) | C (kt/ $\sqrt{\text{lb}}$ ) | R        |
|---------|---------|---------|-----------|-----------------------------|-----------------------------|----------|
| PA30    | A       | 27-A    |           |                             | 1,316667                    | 0,104586 |
| PA30    | A       | ZERO-A  |           |                             |                             | 0,078131 |
| PA30    | D       | 15-D    | 0,100146  | 1,166667                    |                             | 0,154071 |
| PA30    | D       | ZERO-D  |           |                             |                             | 0,067504 |
| PA42    | A       | 30-DN   |           |                             | 1,09213                     | 0,14679  |
| PA42    | A       | ZERO-A  |           |                             |                             | 0,087856 |
| PA42    | D       | ZER-DN  | 0,06796   | 1,011055                    |                             | 0,08088  |
| PA42    | D       | ZERO    |           |                             |                             | 0,087856 |
| PA42    | D       | ZERO-C  |           |                             |                             | 0,139096 |
| PA42    | D       | ZERO-T  |           |                             |                             | 0,07651  |
| SD330   | A       | D-15    |           |                             | 0,746802                    | 0,109263 |
| SD330   | A       | D-35    |           |                             | 0,702872                    | 0,143475 |
| SD330   | D       | 10      | 0,031762  | 0,727556                    |                             | 0,138193 |
| SD330   | D       | INTR    |           |                             |                             | 0,106596 |
| SD330   | D       | ZERO    |           |                             |                             | 0,075    |
| SF340   | A       | D-35    |           |                             | 0,75674                     | 0,147912 |
| SF340   | A       | D-INTR  |           |                             |                             | 0,111456 |
| SF340   | D       | 5       |           |                             |                             | 0,105831 |
| SF340   | D       | 15      | 0,026303  | 0,746174                    |                             | 0,136662 |
| SF340   | D       | ZERO    |           |                             |                             | 0,075    |

Tableau I-2

## Avions

| ACFTID | Description              | Type moteur  | Nb moteurs | Classe de poids | Catégorie propriétaire | MGTOW (lb) | MGLW (lb) | Dist max atterrissage | Poussée statique max au niveau de la mer (lb) | Chapitre bruit | NPD_ID | Paramètre puissance | ID classe spectrale approche | ID classe spectrale départ | Identifiant directivité latérale |
|--------|--------------------------|--------------|------------|-----------------|------------------------|------------|-----------|-----------------------|---|----------------|--------|---------------------|------------------------------|----------------------------|----------------------------------|
| 1900D  | Beech 1900D/PT6A67       | Turbo-hélice | 2          | Grand           | Commercial             | 16 950     | 14 940    | 1 696                 | 3 367   | 1              | PT6A67 | CNT (lb)            | 213                          | 109                        | Hélice                           |
| 707    | Boeing 707-120/JT3C      | Jet          | 4          | Lourd           | Commercial             | 302 400    | 188 900   | 6 682                 | 10 120  | 1              | JT4A   | CNT (lb)            | 208                          | 107                        | Voilure                          |
| 707120 | Boeing 707-120B/JT3D-3   | Jet          | 4          | Lourd           | Commercial             | 302 400    | 188 900   | 6 893                 | 14 850  | 1              | JT3D   | CNT (lb)            | 208                          | 107                        | Voilure                          |
| 707320 | Boeing 707-320B/JT3D-7   | Jet          | 4          | Lourd           | Commercial             | 334 000    | 247 000   | 5 622                 | 19 000  | 1              | JT3D   | CNT (lb)            | 208                          | 107                        | Voilure                          |
| 707QN  | Boeing 707-320B/JT3D-7QN | Jet          | 4          | Lourd           | Commercial             | 334 000    | 247 000   | 5 622                 | 19 000  | 2              | JT3DQ  | CNT (lb)            | 208                          | 106                        | Voilure                          |
| 717200 | Boeing 717-200/BR 715    | Jet          | 2          | Grand           | Commercial             | 121 000    | 110 000   | 4 600                 | 18 000  | 3              | BR715  | CNT (lb)            | 203                          | 105                        | Fuselage                         |
| 720    | Boeing 720/JT3C          | Jet          | 4          | Grand           | Commercial             | 223 500    | 155 600   | 4 871                 | 10 120  | 1              | JT4A   | CNT (lb)            | 208                          | 107                        | Voilure                          |
| 720B   | Boeing 720B/JT3D-3       | Jet          | 4          | Grand           | Commercial             | 234 000    | 175 000   | 5 717                 | 18 000  | 1              | JT3D   | CNT (lb)            | 208                          | 107                        | Voilure                          |
| 727100 | Boeing 727-100/JT8D-7    | Jet          | 3          | Grand           | Commercial             | 169 500    | 142 500   | 4 867                 | 14 000  | 1              | 3JT8D  | CNT (lb)            | 201                          | 101                        | Fuselage                         |
| 727200 | Boeing 727-200/JT8D-7    | Jet          | 3          | Grand           | Commercial             | 217 600    | 163 300   | 5 571                 | 11 895  | 1              | 3JT8D  | CNT (lb)            | 201                          | 101                        | Fuselage                         |
| 727D15 | Boeing 727-200/JT8D-15   | Jet          | 3          | Grand           | Commercial             | 208 000    | 169 000   | 4 922                 | 15 500  | 1              | 3JT8D  | CNT (lb)            | 201                          | 101                        | Fuselage                         |
| 727D17 | Boeing 727-200/JT8D-17   | Jet          | 3          | Grand           | Commercial             | 208 000    | 169 000   | 5 444                 | 16 000  | 2              | 3JT8DQ | CNT (lb)            | 201                          | 101                        | Fuselage                         |
| 727EM1 | FEDX 727-100/JT8D-7      | Jet          | 3          | Grand           | Commercial             | 169 500    | 142 500   | 4 867                 | 14 000  | 3              | 3JT8E7 | CNT (lb)            | 201                          | 101                        | Fuselage                         |

| ACFTID | Description               | Type moteur | Nb moteurs | Classe de poids | Catégorie propriétaire | MGTOW (lb) | MGLW (lb) | Dist max atterrissage | Poussée statique max au niveau de la mer (lb) | Chapitre bruit | NPD_ID | Paramètre puissance | ID classe spectrale approche | ID classe spectrale départ | Identifiant directivité latérale |
|--------|---------------------------|-------------|------------|-----------------|------------------------|------------|-----------|-----------------------|---|----------------|--------|---------------------|------------------------------|----------------------------|----------------------------------|
| 727EM2 | FEDX 727-200/JT8D-15      | Jet         | 3          | Grand           | Commercial             | 208 000    | 169 000   | 4 922                 | 15 500  | 3              | 3JT8E5 | CNT (lb)            | 201                          | 101                        | Fuselage                         |
| 727Q15 | Boeing 727-200/JT8D-15QN  | Jet         | 3          | Grand           | Commercial             | 208 000    | 169 000   | 4 922                 | 15 500  | 2              | 3JT8DQ | CNT (lb)            | 201                          | 101                        | Fuselage                         |
| 727Q7  | Boeing 727-100/JT8D-7QN   | Jet         | 3          | Grand           | Commercial             | 169 500    | 142 500   | 4 867                 | 14 000  | 2              | 3JT8DQ | CNT (lb)            | 201                          | 101                        | Fuselage                         |
| 727Q9  | Boeing 727-200/JT8D-9     | Jet         | 3          | Grand           | Commercial             | 191 000    | 160 000   | 5 444                 | 14 500  | 2              | 3JT8DQ | CNT (lb)            | 201                          | 101                        | Fuselage                         |
| 727QF  | UPS 727-100 22C 25C       | Jet         | 3          | Grand           | Commercial             | 169 000    | 142 500   | 4 448                 | 15 380  | 3              | TAY651 | CNT (lb)            | 201                          | 101                        | Fuselage                         |
| 737    | Boeing 737/JT8D-9         | Jet         | 2          | Grand           | Commercial             | 109 000    | 98 000    | 3 900                 | 14 500  | 1              | 2JT8DW | CNT (lb)            | 201                          | 101                        | Voilure                          |
| 737300 | Boeing 737-300/CFM56-3B-1 | Jet         | 2          | Grand           | Commercial             | 135 000    | 114 000   | 4 580                 | 20 000  | 3              | CFM563 | CNT (lb)            | 202                          | 102                        | Voilure                          |
| 7373B2 | Boeing 737-300/CFM56-3B-2 | Jet         | 2          | Grand           | Commercial             | 139 500    | 114 000   | 4 580                 | 22 000  | 3              | CFM563 | CNT (lb)            | 202                          | 102                        | Voilure                          |
| 737400 | Boeing 737-400/CFM56-3C-1 | Jet         | 2          | Grand           | Commercial             | 150 000    | 124 000   | 5 062                 | 23 500  | 3              | CFM563 | CNT (lb)            | 202                          | 102                        | Voilure                          |
| 737500 | Boeing 737-500/CFM56-3C-1 | Jet         | 2          | Grand           | Commercial             | 133 500    | 111 000   | 4 551                 | 20 000  | 3              | CFM563 | CNT (lb)            | 202                          | 102                        | Voilure                          |
| 737700 | Boeing 737-700/CFM56-7B24 | Jet         | 2          | Grand           | Commercial             | 154 500    | 129 200   | 4 445                 | 24 000  | 3              | CF567B | CNT (lb)            | 203                          | 104                        | Voilure                          |
| 737800 | Boeing 737-800/CFM56-7B26 | Jet         | 2          | Grand           | Commercial             | 174 200    | 146 300   | 5 435                 | 26 300  | 3              | CF567B | CNT (lb)            | 203                          | 104                        | Voilure                          |
| 737D17 | Boeing 737-200/JT8D-17    | Jet         | 2          | Grand           | Commercial             | 124 000    | 107 000   | 4 244                 | 16 000  | 2              | 2JT8QW | CNT (lb)            | 201                          | 101                        | Voilure                          |

| ACFTID | Description                                    | Type moteur | Nb moteurs | Classe de poids | Catégorie propriétaire | MGTOW (lb) | MGLW (lb) | Dist max atterrissage | Poussée statique max au niveau de la mer (lb) | Chapitre bruit | NPD_ID | Paramètre puissance | ID classe spectrale approche | ID classe spectrale départ | Identifiant directivité latérale |
|--------|--|-------------|------------|-----------------|------------------------|------------|-----------|-----------------------|---|----------------|--------|---------------------|------------------------------|----------------------------|----------------------------------|
| 737N17 | Boeing 737-200/JT8D-17 Nordam B737 LGW Hushkit | Jet         | 2          | Grand           | Commercial             | 124 000    | 107 000   | 4 244                 | 16 000  | 3              | 2JT8DN | CNT (lb)            | 202                          | 104                        | Voilure                          |
| 737N9  | Boeing 737/JT8D-9 Nordam B737 LGW Hushkit      | Jet         | 2          | Grand           | Commercial             | 109 000    | 98 000    | 3 900                 | 14 500  | 3              | 2JT8DN | CNT (lb)            | 202                          | 104                        | Voilure                          |
| 737QN  | Boeing 737/JT8D-9QN                            | Jet         | 2          | Grand           | Commercial             | 109 000    | 98 000    | 3 900                 | 14 500  | 2              | 2JT8QW | CNT (lb)            | 201                          | 101                        | Voilure                          |
| 747100 | Boeing 747-100/JT9DBD                          | Jet         | 4          | Lourd           | Commercial             | 733 000    | 516 600   | 5 727                 | 33 042  | 2              | JT9DBD | CNT (lb)            | 209                          | 107                        | Voilure                          |
| 74710Q | Boeing 747-100/JT9D-7QN                        | Jet         | 4          | Lourd           | Commercial             | 733 000    | 564 000   | 6 200                 | 45 500  | 3              | JT9DFL | CNT (lb)            | 207                          | 107                        | Voilure                          |
| 747200 | Boeing 747-200/JT9D-7                          | Jet         | 4          | Lourd           | Commercial             | 775 000    | 564 000   | 6 200                 | 45 500  | 3              | JT9DFL | CNT (lb)            | 207                          | 107                        | Voilure                          |
| 74720A | Boeing 747-200/JT9D-7A                         | Jet         | 4          | Lourd           | Commercial             | 785 000    | 564 000   | 6 200                 | 46 300  | 3              | JT9D7Q | CNT (lb)            | 207                          | 107                        | Voilure                          |
| 74720B | Boeing 747-200/JT9D-7Q                         | Jet         | 4          | Lourd           | Commercial             | 800 000    | 630 000   | 6 200                 | 53 000  | 3              | JT9D7Q | CNT (lb)            | 207                          | 107                        | Voilure                          |
| 747400 | Boeing 747-400/PW4056                          | Jet         | 4          | Lourd           | Commercial             | 875 000    | 652 000   | 6 989                 | 56 800  | 3              | PW4056 | CNT (lb)            | 207                          | 107                        | Voilure                          |
| 7478   | Boeing 747-8F/GENx-2B67                        | Jet         | 4          | Lourd           | Commercial             | 987 000    | 757 000   | 7 900                 | 68 000  | 4              | GENX67 | CNT (lb)            | 205                          | 107                        | Voilure                          |
| 747SP  | Boeing 747SP/JT9D-7                            | Jet         | 4          | Lourd           | Commercial             | 702 000    | 475 000   | 5 911                 | 45 500  | 3              | JT9DFL | CNT (lb)            | 207                          | 107                        | Voilure                          |
| 757300 | Boeing 757-300/RB211-535E4B                    | Jet         | 2          | Grand           | Commercial             | 275 000    | 224 000   | 5 651                 | 43 100  | 3              | RR535E | CNT (lb)            | 203                          | 103                        | Voilure                          |
| 757PW  | Boeing 757-200/PW2037                          | Jet         | 2          | Grand           | Commercial             | 255 000    | 210 000   | 4 790                 | 38 300  | 3              | PW2037 | CNT (lb)            | 203                          | 103                        | Voilure                          |

| ACFTID     | Description                              | Type moteur | Nb moteurs | Classe de poids | Catégorie propriétaire | MGTOW (lb) | MGLW (lb) | Dist max atterrissage | Poussée statique max au niveau de la mer (lb) | Chapitre bruit | NPD_ID | Paramètre puissance | ID classe spectrale approche | ID classe spectrale départ | Identifiant directivité latérale |
|------------|--|-------------|------------|-----------------|------------------------|------------|-----------|-----------------------|---|----------------|--------|---------------------|------------------------------|----------------------------|----------------------------------|
| 757RR      | Boeing 757-200/RB211-535E4               | Jet         | 2          | Grand           | Commercial             | 255 000    | 210 000   | 4 640                 | 40 100  | 3              | RR535E | CNT (lb)            | 203                          | 103                        | Voilure                          |
| 767300     | Boeing 767-300/PW4060                    | Jet         | 2          | Lourd           | Commercial             | 407 000    | 320 000   | 4 710                 | 60 000  | 3              | 2CF680 | CNT (lb)            | 203                          | 103                        | Voilure                          |
| 767400     | Boeing 767-400ER/CF6-80C2B(F)            | Jet         | 2          | Lourd           | Commercial             | 450 000    | 340 000   | 6 000                 | 58 685  | 3              | CF680C | CNT (lb)            | 205                          | 102                        | Voilure                          |
| 767CF6     | Boeing 767-200/CF6-80A                   | Jet         | 2          | Lourd           | Commercial             | 315 500    | 270 000   | 4 700                 | 48 000  | 3              | 2CF680 | CNT (lb)            | 203                          | 103                        | Voilure                          |
| 767JT9     | Boeing 767-200/JT9D-7R4D                 | Jet         | 2          | Lourd           | Commercial             | 351 000    | 270 000   | 4 744                 | 48 000  | 3              | 2CF680 | CNT (lb)            | 203                          | 103                        | Voilure                          |
| 777200     | Boeing 777-200/GE90-76B                  | Jet         | 2          | Lourd           | Commercial             | 656 000    | 470 000   | 4 450                 | 90 000  | 3              | GE90   | CNT (lb)            | 205                          | 105                        | Voilure                          |
| 777300     | Boeing 777-300/Trent 892                 | Jet         | 2          | Lourd           | Commercial             | 660 000    | 524 000   | 6 012                 | 77 000  | 0              | TRENT8 | CNT (lb)            | 203                          | 105                        | Voilure                          |
| 7773ER     | Boeing 777-300ER/GE90-115B-EIS           | Jet         | 2          | Lourd           | Commercial             | 775 000    | 554 000   | 5 805                 | 115 000                                       | 3              | GE9015 | CNT (lb)            | 204                          | 107                        | Voilure                          |
| 7878R      | Boeing 787-8/T1000-C/01 Family Plan Cert | Jet         | 2          | Lourd           | Commercial             | 502 500    | 380 000   | 5 090                 | 70 000  | 4              | T1KBFP | CNT (lb)            | 205                          | 103                        | Voilure                          |
| A300-622R  | Airbus A300-622R/PW4158                  | Jet         | 2          | Lourd           | Commercial             | 378 533    | 308 647   | 4 735                 | 58 000  | 3              | PW4158 | CNT (lb)            | 202                          | 103                        | Voilure                          |
| A300B4-203 | Airbus A300B4-200/CF6-50C2               | Jet         | 2          | Lourd           | Commercial             | 364 000    | 295 000   | 5 367                 | 52 500  | 3              | 2CF650 | CNT (lb)            | 203                          | 103                        | Voilure                          |
| A310-304   | Airbus A310-304/GE CF6-80C2A2            | Jet         | 2          | Lourd           | Commercial             | 346 126    | 273 373   | 4 682                 | 53 500  | 3              | A310   | CNT (lb)            | 204                          | 103                        | Voilure                          |
| A319-131   | Airbus A319-131/V2522-A5                 | Jet         | 2          | Grand           | Commercial             | 166 449    | 137 789   | 4 364                 | 22 000  | 3              | V2522A | CNT (lb)            | 205                          | 103                        | Voilure                          |

| ACFTID   | Description                    | Type moteur | Nb moteurs | Classe de poids | Catégorie propriétaire | MGTOW (lb) | MGLW (lb) | Dist max atterrissage | Poussée statique max au niveau de la mer (lb) | Chapitre bruit | NPD_ID | Paramètre puissance          | ID classe spectrale approche | ID classe spectrale départ | Identifiant directivité latérale |
|----------|--------------------------------|-------------|------------|-----------------|------------------------|------------|-----------|-----------------------|---|----------------|--------|------------------------------|------------------------------|----------------------------|----------------------------------|
| A320-211 | Airbus A320-211/CFM56-5A1      | Jet         | 2          | Grand           | Commercial             | 169 756    | 142 198   | 4 753                 | 25 000  | 3              | CFM565 | CNT (lb)                     | 202                          | 103                        | Voilure                          |
| A320-232 | Airbus A320-232/V2527-A5       | Jet         | 2          | Grand           | Commercial             | 169 756    | 145 505   | 4 917                 | 26 500  | 3              | V2527A | CNT (lb)                     | 205                          | 103                        | Voilure                          |
| A321-232 | Airbus A321-232/IAE V2530-A5   | Jet         | 2          | Grand           | Commercial             | 196 211    | 166 449   | 5 587                 | 30 000  | 3              | V2530  | CNT (lb)                     | 202                          | 103                        | Voilure                          |
| A330-301 | Airbus A330-301/GE CF6-80 E1A2 | Jet         | 2          | Lourd           | Commercial             | 478 400    | 383 604   | 5 966                 | 67 500  | 3              | CF680E | CNT (lb)                     | 202                          | 102                        | Voilure                          |
| A330-343 | Airbus A330-343/RR Trent 772B  | Jet         | 2          | Lourd           | Commercial             | 513 677    | 412 264   | 5 512                 | 71 100  | 3              | TRENT7 | CNT (lb)                     | 205                          | 102                        | Voilure                          |
| A340-211 | Airbus A340-211/CFM56-5C2      | Jet         | 4          | Lourd           | Commercial             | 573 200    | 399 036   | 5 900                 | 31 200  | 3              | CF565C | CNT (lb)                     | 206                          | 107                        | Voilure                          |
| A340-642 | Airbus A340-642/RR Trent 556   | Jet         | 4          | Lourd           | Commercial             | 804 687    | 564 383   | 6 919                 | 56 000  | 4              | TRENT5 | CNT (lb)                     | 205                          | 102                        | Voilure                          |
| A380-841 | Airbus A380-841/RR Trent 970   | Jet         | 4          | Lourd           | Commercial             | 1 254 430  | 862 007   | 6 752                 | 70 000  | 4              | TRENT9 | CNT (lb)                     | 205                          | 105                        | Voilure                          |
| A380-861 | Airbus A380-861/EA GP7270      | Jet         | 4          | Lourd           | Commercial             | 1 254 430  | 862 007   | 6 837                 | 70 000  | 4              | GP7270 | CNT (lb)                     | 206                          | 105                        | Voilure                          |
| BAC111   | BAC 111/SPEY MK511-14          | Jet         | 2          | Grand           | Commercial             | 89 600     | 82 000    | 4 449                 | 11 400  | 2              | 2JT8D  | CNT (lb)                     | 201                          | 101                        | Fuselage                         |
| BAE146   | BAe 146-200/ALF502R-5          | Jet         | 4          | Grand           | Commercial             | 93 000     | 81 000    | 3 770                 | 6 970   | 3              | AL502R | CNT (lb)                     | 206                          | 108                        | Voilure                          |
| BAE300   | BAe 146-300/ALF502R-5          | Jet         | 4          | Grand           | Commercial             | 97 500     | 84 500    | 3 960                 | 6 970   | 3              | AL502R | CNT (lb)                     | 206                          | 108                        | Voilure                          |
| BEC58P   | Raytheon BARON 58P/TS10-520-L  | Piston      | 2          | Petit           | Aviation générale      | 6 100      | 6 100     | 2 733                 | 779   | 0              | TSIO52 | CNT (% of Max Static Thrust) | 215                          | 109                        | Hélice                           |

| ACFTID  | Description                        | Type moteur      | Nb moteurs | Classe de poids | Catégorie propriétaire | MGTOW (lb) | MGLW (lb) | Dist max atterrissage | Poussée statique max au niveau de la mer (lb) | Chapitre bruit | NPD_ID   | Paramètre puissance          | ID classe spectrale approche | ID classe spectrale départ | Identifiant directivité latérale |
|---------|------------------------------------|------------------|------------|-----------------|------------------------|------------|-----------|-----------------------|---|----------------|----------|------------------------------|------------------------------|----------------------------|----------------------------------|
| CIT3    | Cessna Citation III/TFE731-3-100S  | Jet              | 2          | Grand           | Aviation générale      | 20 000     | 17 000    | 2 770                 | 3 650   | 3              | TF7313   | CNT (lb)                     | 216                          | 113                        | Fuselage                         |
| CL600   | Canadair CL-600/ALF502L            | Jet              | 2          | Grand           | Aviation générale      | 36 000     | 33 000    | 3 300                 | 7 500   | 3              | AL502L   | CNT (lb)                     | 216                          | 113                        | Fuselage                         |
| CL601   | Canadair CL-601/CF34-3A            | Jet              | 2          | Grand           | Aviation générale      | 43 100     | 36 000    | 3 550                 | 9 220   | 3              | CF34     | CNT (lb)                     | 216                          | 113                        | Fuselage                         |
| CNA172  | Cessna 172R/Lycoming IO-360-L2A    | Piston           | 1          | Petit           | Aviation générale      | 2 450      | 2 450     | 1 695                 | 436   | 0              | IO360L   | CNT (% of Max Static Thrust) | 215                          | 109                        | Hélice                           |
| CNA182  | Cessna 182H/Continental O-470-R    | Piston           | 1          | Petit           | Aviation générale      | 2 800      | 2 800     | 1 544                 | 965   | 2              | O470R    | CNT (lb)                     | 215                          | 113                        | Hélice                           |
| CNA206  | Cessna 206H/Lycoming IO-540-AC     | Piston           | 1          | Petit           | Aviation générale      | 3 600      | 3 600     | 1 880                 | 798   | 0              | IO540    | Other (RPM)                  | 215                          | 109                        | Hélice                           |
| CNA208  | Cessna 208/PT6A-114                | Turbo-propulseur | 1          | Petit           | Aviation générale      | 8 750      | 8 500     | 1 740                 | 2 300   | 3              | PT6-A114 | CNT (lb)                     | 210                          | 109                        | Hélice                           |
| CNA20T  | Cessna T206H/Lycoming TIO-540-AJ1A | Piston           | 1          | Petit           | Aviation générale      | 3 600      | 3 600     | 1 880                 | 825   | 0              | TIO540   | Other (RPM)                  | 215                          | 109                        | Hélice                           |
| CNA441  | Cessna CONQUEST II/TPE331-8        | Turbo-propulseur | 2          | Petit           | Commercial             | 9 900      | 9 400     | 1 939                 | 1 535   | 0              | TPE331   | CNT (% of Max Static Thrust) | 210                          | 111                        | Hélice                           |
| CNA500  | Cessna Citation II/JT15D-4         | Jet              | 2          | Grand           | Aviation générale      | 14 700     | 14 000    | 3 050                 | 2 500   | 3              | JT15D1   | CNT (lb)                     | 216                          | 113                        | Fuselage                         |
| CNA510  | Cessna Mustang Model 510/PW615F    | Jet              | 2          | Petit           | Commercial             | 8 645      | 7 200     | 3 010                 | 1 466   | 0              | PW615F   | CNT (lb)                     | 203                          | 113                        | Fuselage                         |
| CNA525C | Cessna Citation CJ4 525C /FJ44-4A  | Jet              | 2          | Petit           | Commercial             | 16 950     | 15 500    | 3 010                 | 3 600   | 4              | FJ44-4   | CNT (lb)                     | 235                          | 136                        | Fuselage                         |

| ACFTID   | Description                                   | Type moteur      | Nb moteurs | Classe de poids | Catégorie propriétaire | MGTOW (lb) | MGLW (lb) | Dist max atterrissage | Poussée statique max au niveau de la mer (lb) | Chapitre bruit | NPD_ID   | Paramètre puissance          | ID classe spectrale approche | ID classe spectrale départ | Identifiant directivité latérale |
|----------|---|------------------|------------|-----------------|------------------------|------------|-----------|-----------------------|---|----------------|----------|------------------------------|------------------------------|----------------------------|----------------------------------|
| CNA55B   | Cessna 550 Citation Bravo/PW530A              | Jet              | 2          | Grand           | Aviation générale      | 14 800     | 13 500    | 3 010                 | 2 863   | 0              | PW530A   | CNT (lb)                     | 203                          | 113                        | Fuselage                         |
| CNA560E  | Cessna Citation Encore 560/PW535A             | Jet              | 2          | Petit           | Commercial             | 16 300     | 13 680    | 3 000                 | 3 313   | 3              | 2PW535   | CNT (lb)                     | 238                          | 138                        | Fuselage                         |
| CNA560U  | Cessna Citation Ultra 560/JT15D-5D            | Jet              | 2          | Petit           | Commercial             | 16 300     | 13 680    | 2 700                 | 3 029   | 3              | 2J155D   | CNT (lb)                     | 237                          | 113                        | Fuselage                         |
| CNA560XL | Cessna Citation Excel 560/PW545A              | Jet              | 2          | Petit           | Commercial             | 20 000     | 16 830    | 3 000                 | 3 824   | 3              | PW545A   | CNT (lb)                     | 238                          | 137                        | Fuselage                         |
| CNA680   | Cessna Citation Sovereign 680/PW306C          | Jet              | 2          | Petit           | Commercial             | 30 000     | 24 390    | 3 010                 | 5 749   | 3              | PW306C   | CNT (lb)                     | 236                          | 136                        | Fuselage                         |
| CNA750   | Cessna Citation X/Rolls Royce Allison AE3007C | Jet              | 2          | Grand           | Aviation générale      | 35 700     | 31 800    | 3 500                 | 6 407   | 3              | AE300C   | CNT (lb)                     | 202                          | 105                        | Fuselage                         |
| CONCRD   | Concorde/OLY593                               | Jet              | 4          | Lourd           | Commercial             | 400 000    | 245 000   | 10 600                | 38 100  | 0              | OLY593   | CNT (lb)                     | 206                          | 106                        | Voilure                          |
| CRJ9-ER  | Bombardier CL-600-2D15/CL-600-2D24/CF34-8C5   | Jet              | 2          | Grand           | Commercial             | 82 500     | 73 500    | 5 779                 | 13 525  | 3              | CF34-8C5 | CNT (lb)                     | 216                          | 113                        | Fuselage                         |
| CRJ9-LR  | Bombardier CL-600-2D15/CL-600-2D24/CF34-8C5   | Jet              | 2          | Grand           | Commercial             | 84 500     | 75 100    | 5 680                 | 13 525  | 3              | CF34-8C5 | CNT (lb)                     | 216                          | 113                        | Fuselage                         |
| CVR580   | Convair CV-580/ALL 501-D15                    | Turbo-propulseur | 2          | Grand           | Commercial             | 58 000     | 52 000    | 4 256                 | 8 100   | 0              | 501D13   | CNT (% of Max Static Thrust) | 214                          | 112                        | Hélice                           |
| DC1010   | McDonnell Douglas DC10-10/CF6-6D              | Jet              | 3          | Lourd           | Commercial             | 455 000    | 363 000   | 5 820                 | 40 000  | 3              | CF66D    | CNT (lb)                     | 203                          | 101                        | Voilure                          |
| DC1030   | McDonnell Douglas DC10-30/CF6-50C2            | Jet              | 3          | Lourd           | Commercial             | 572 000    | 403 000   | 5 418                 | 53 200  | 3              | CF66D    | CNT (lb)                     | 203                          | 101                        | Voilure                          |

| ACFTID | Description   | Type moteur | Nb moteurs | Classe de poids | Catégorie propriétaire | MGTOW (lb) | MGLW (lb) | Dist max atterrissage | Poussée statique max au niveau de la mer (lb) | Chapitre bruit | NPD_ID | Paramètre puissance          | ID classe spectrale approche | ID classe spectrale départ | Identifiant directivité latérale |
|--------|---|-------------|------------|-----------------|------------------------|------------|-----------|-----------------------|---|----------------|--------|------------------------------|------------------------------|----------------------------|----------------------------------|
| DC1040 | McDonnell Douglas DC10-40/JT9D-20                           | Jet         | 3          | Lourd           | Commercial             | 555 000    | 403 000   | 6 020                 | 49 400  | 3              | CF66D  | CNT (lb)                     | 203                          | 101                        | Voilure                          |
| DC3    | Douglas DC-3/R1820-86                                       | Piston      | 2          | Grand           | Commercial             | 28 000     | 24 500    | 2 222                 | 3 120   | 0              | 2R2800 | CNT (% of Max Static Thrust) | 213                          | 110                        | Hélice                           |
| DC6    | Douglas DC-6/R2800-CB17                                     | Piston      | 4          | Grand           | Commercial             | 106 000    | 95 000    | 3 010                 | 4 180   | 0              | 4R2800 | CNT (% of Max Static Thrust) | 213                          | 110                        | Hélice                           |
| DC820  | Douglas DC-8-20/JT4A  | Jet         | 4          | Lourd           | Commercial             | 317 600    | 194 400   | 6 527                 | 11 850  | 1              | JT4A   | CNT (lb)                     | 208                          | 107                        | Voilure                          |
| DC850  | Douglas DC-8-50/JT3D-3B                                     | Jet         | 4          | Lourd           | Commercial             | 325 000    | 240 000   | 5 400                 | 18 000  | 1              | JT3D   | CNT (lb)                     | 208                          | 107                        | Voilure                          |
| DC860  | Douglas DC-8-60/JT3D-7                                      | Jet         | 4          | Lourd           | Commercial             | 355 000    | 275 000   | 5 310                 | 19 000  | 1              | JT3D   | CNT (lb)                     | 208                          | 107                        | Voilure                          |
| DC870  | Douglas DC-8-70/CFM56-2C-5                                  | Jet         | 4          | Lourd           | Commercial             | 355 000    | 258 000   | 6 500                 | 22 000  | 3              | CFM562 | CNT (lb)                     | 206                          | 106                        | Voilure                          |
| DC8QN  | Douglas DC-8-60/JT8D-7QN                                    | Jet         | 4          | Lourd           | Commercial             | 355 000    | 275 000   | 5 310                 | 19 000  | 2              | JT3DQ  | CNT (lb)                     | 208                          | 106                        | Voilure                          |
| DC910  | McDonnell Douglas DC-9-10/JT8D-7                            | Jet         | 2          | Grand           | Commercial             | 90 700     | 81 700    | 5 030                 | 14 000  | 1              | 2JT8D  | CNT (lb)                     | 201                          | 101                        | Fuselage                         |
| DC930  | McDonnell Douglas DC-9-30/JT8D-9                            | Jet         | 2          | Grand           | Commercial             | 114 000    | 102 000   | 4 680                 | 14 500  | 1              | 2JT8D  | CNT (lb)                     | 201                          | 101                        | Fuselage                         |
| DC93LW | McDonnell Douglas DC-9-30/JT8D-9 w/ ABS Lightweight hushkit | Jet         | 2          | Grand           | Commercial             | 114 000    | 102 000   | 4 680                 | 14 500  | 3              | 2JT8DL | CNT (lb)                     | 201                          | 101                        | Fuselage                         |
| DC950  | McDonnell Douglas DC-9-50/JT8D-17                           | Jet         | 2          | Grand           | Commercial             | 121 000    | 110 000   | 4 880                 | 16 000  | 2              | 2JT8DQ | CNT (lb)                     | 201                          | 101                        | Fuselage                         |

| ACFTID | Description   | Type moteur      | Nb moteurs | Classe de poids | Catégorie propriétaire | MGTOW (lb) | MGLW (lb) | Dist max atterrissage | Poussée statique max au niveau de la mer (lb) | Chapitre bruit | NPD_ID   | Paramètre puissance          | ID classe spectrale approche | ID classe spectrale départ | Identifiant directivité latérale |
|--------|---|------------------|------------|-----------------|------------------------|------------|-----------|-----------------------|---|----------------|----------|------------------------------|------------------------------|----------------------------|----------------------------------|
| DC95HW | McDonnell Douglas DC-9-50/JT8D17 w/ ABS Heavyweight hushkit | Jet              | 2          | Grand           | Commercial             | 121 000    | 110 000   | 4 880                 | 16 000  | 3              | 2JT8DH   | CNT (lb)                     | 201                          | 101                        | Fuselage                         |
| DC9Q7  | McDonnell Douglas DC-9-10/JT8D-7QN                          | Jet              | 2          | Grand           | Commercial             | 90 700     | 81 700    | 5 030                 | 14 000  | 2              | 2JT8DQ   | CNT (lb)                     | 201                          | 101                        | Fuselage                         |
| DC9Q9  | McDonnell Douglas DC-9-30/JT8D-9QN                          | Jet              | 2          | Grand           | Commercial             | 114 000    | 102 000   | 4 680                 | 14 500  | 2              | 2JT8DQ   | CNT (lb)                     | 201                          | 101                        | Fuselage                         |
| DHC6   | De Havilland DASH 6/PT6A-27                                 | Turbo-propulseur | 2          | Petit           | Commercial             | 12 500     | 12 300    | 1 500                 | 2 000   | 0              | PT6A27   | CNT (% of Max Static Thrust) | 210                          | 109                        | Hélice                           |
| DHC6QP | De Havilland DASH 6/PT6A-27 Raisbeck Quiet PropMod          | Turbo-propulseur | 2          | Petit           | Commercial             | 12 500     | 12 300    | 1 500                 | 2 000   | 0              | RAISQP   | CNT (% of Max Static Thrust) | 210                          | 109                        | Hélice                           |
| DHC7   | De Havilland DASH 7/PT6A-50                                 | Turbo-propulseur | 4          | Grand           | Commercial             | 41 000     | 39 000    | 2 150                 | 2 850   | 3              | PT6A50   | CNT (% of Max Static Thrust) | 213                          | 112                        | Hélice                           |
| DHC8   | Bombardier de Havilland DASH 8-100/PW121                    | Turbo-propulseur | 2          | Grand           | Commercial             | 34 500     | 33 900    | 3 000                 | 4 750   | 3              | PW120    | CNT (% of Max Static Thrust) | 213                          | 112                        | Hélice                           |
| DHC830 | Bombardier de Havilland DASH 8-300/PW123                    | Turbo-propulseur | 2          | Grand           | Commercial             | 43 000     | 42 000    | 3 500                 | 4 918   | 3              | PW120    | CNT (% of Max Static Thrust) | 213                          | 112                        | Hélice                           |
| DO228  | Dornier 228-202/TPE 311-5                                   | Turbo-propulseur | 2          | Grand           | Commercial             | 13 669     | 13 448    | 2 375                 | 2 240   | 3              | TPE331-5 | CNT (lb)                     | 216                          | 110                        | Hélice                           |
| DO328  | Dornier 328-100/PW119C                                      | Turbo-propulseur | 2          | Grand           | Commercial             | 30 843     | 29 167    | 3 825                 | 6 745   | 3              | PW119C   | CNT (lb)                     | 214                          | 109                        | Hélice                           |

| ACFTID      | Description                          | Type moteur      | Nb moteurs | Classe de poids | Catégorie propriétaire | MGTOW (lb) | MGLW (lb) | Dist max atterrissage | Poussée statique max au niveau de la mer (lb) | Chapitre bruit | NPD_ID  | Paramètre puissance | ID classe spectrale approche | ID classe spectrale départ | Identifiant directivité latérale |
|-------------|--------------------------------------|------------------|------------|-----------------|------------------------|------------|-----------|-----------------------|---|----------------|---------|---------------------|------------------------------|----------------------------|----------------------------------|
| ECLIPS-E500 | Eclipse 500/PW610F                   | Jet              | 2          | Petit           | Aviation générale      | 6 000      | 5 600     | 2 389                 | 1 031   | 3              | PW610F  | CNT (lb)            | 201                          | 103                        | Fuselage                         |
| EMB120      | Embraer 120 ER/Pratt & Whitney PW118 | Turbo-propulseur | 2          | Grand           | Commercial             | 26 433     | 25 794    | 5 571                 | 4 000   | 3              | EPW118  | CNT (lb)            | 213                          | 109                        | Hélice                           |
| EMB145      | Embraer 145 ER/Allison AE3007        | Jet              | 2          | Grand           | Commercial             | 45 420     | 41 230    | 4 232                 | 7 500   | 3              | AE3007  | CNT (lb)            | 216                          | 113                        | Fuselage                         |
| EMB14L      | Embraer 145 LR/Allison AE3007A1      | Jet              | 2          | Grand           | Commercial             | 48 500     | 42 550    | 4 232                 | 7 500   | 3              | AE3007  | CNT (lb)            | 216                          | 113                        | Fuselage                         |
| EMB170      | Embraer ERJ170-100                   | Jet              | 2          | Grand           | Commercial             | 82 012     | 72 312    | 4 029                 | 13 800  | 3              | CF348E  | CNT (lb)            | 216                          | 113                        | Voilure                          |
| EMB175      | Embraer ERJ170-200                   | Jet              | 2          | Grand           | Commercial             | 85 517     | 74 957    | 4 130                 | 13 800  | 3              | CF348E  | CNT (lb)            | 216                          | 113                        | Voilure                          |
| EMB190      | Embraer ERJ190-100                   | Jet              | 2          | Grand           | Commercial             | 114 199    | 97 003    | 4 081                 | 18 500  | 3              | CF3410E | CNT (lb)            | 205                          | 105                        | Voilure                          |
| EMB195      | Embraer ERJ190-200                   | Jet              | 2          | Grand           | Commercial             | 115 280    | 100 972   | 4 183                 | 18 500  | 3              | CF3410E | CNT (lb)            | 205                          | 105                        | Voilure                          |
| F10062      | Fokker 100/TAY 620-15                | Jet              | 2          | Grand           | Commercial             | 95 000     | 85 500    | 4 560                 | 13 900  | 3              | TAY620  | CNT (lb)            | 201                          | 101                        | Fuselage                         |
| F10065      | Fokker 100/TAY 650-15                | Jet              | 2          | Grand           | Commercial             | 98 000     | 88 000    | 4 704                 | 15 100  | 3              | TAY650  | CNT (lb)            | 201                          | 101                        | Fuselage                         |
| F28MK2      | Fokker F-28-2000/RB183MK555          | Jet              | 2          | Grand           | Commercial             | 65 000     | 59 000    | 3 540                 | 9 850   | 2              | RB183   | CNT (lb)            | 216                          | 104                        | Fuselage                         |
| F28MK4      | Fokker F-28-4000/RB183MK555          | Jet              | 2          | Grand           | Commercial             | 73 000     | 64 000    | 3 546                 | 9 900   | 2              | RB183P  | CNT (lb)            | 216                          | 104                        | Fuselage                         |
| FAL20       | Dassault FALCON 20/CF700-2D-2        | Jet              | 2          | Grand           | Aviation générale      | 28 700     | 27 300    | 2 490                 | 4 500   | 2              | CF700   | CNT (lb)            | 203                          | 113                        | Fuselage                         |

| ACFTID | Description                           | Type moteur      | Nb moteurs | Classe de poids | Catégorie propriétaire | MGTOW (lb) | MGLW (lb) | Dist max atterrissage | Poussée statique max au niveau de la mer (lb) | Chapitre bruit | NPD_ID | Paramètre puissance          | ID classe spectrale approche | ID classe spectrale départ | Identifiant directivité latérale |
|--------|---------------------------------------|------------------|------------|-----------------|------------------------|------------|-----------|-----------------------|---|----------------|--------|------------------------------|------------------------------|----------------------------|----------------------------------|
| GII    | Gulfstream GII/SPEY 511-8             | Jet              | 2          | Grand           | Aviation générale      | 64 800     | 58 500    | 3 200                 | 11 400  | 2              | SPEYHK | CNT (lb)                     | 216                          | 104                        | Fuselage                         |
| GIIB   | Gulfstream GIIB/GIIB — SPEY 511-8     | Jet              | 2          | Grand           | Aviation générale      | 69 700     | 58 500    | 3 250                 | 11 400  | 2              | SPEYHK | CNT (lb)                     | 216                          | 104                        | Fuselage                         |
| GIV    | Gulfstream GIV-SP/TAY 611-8           | Jet              | 2          | Grand           | Aviation générale      | 74 600     | 66 000    | 3 190                 | 13 850  | 3              | TAYGIV | CNT (lb)                     | 203                          | 113                        | Fuselage                         |
| GV     | Gulfstream GV/BR 710                  | Jet              | 2          | Grand           | Aviation générale      | 90 500     | 75 300    | 2 760                 | 14 750  | 3              | BR710  | CNT (lb)                     | 205                          | 105                        | Fuselage                         |
| HS748A | Hawker Siddeley HS-748/DART MK532-2   | Turbo-propulseur | 2          | Grand           | Commercial             | 46 500     | 43 000    | 3 360                 | 5 150   | 2              | RDA532 | CNT (% of Max Static Thrust) | 212                          | 110                        | Hélice                           |
| IA1125 | IAI-1125 ASTRA/TFE731-3A              | Jet              | 2          | Grand           | Aviation générale      | 23 500     | 20 700    | 3 689                 | 3 700   | 3              | TF7313 | CNT (lb)                     | 216                          | 113                        | Fuselage                         |
| L1011  | Lockheed Martin L-1011/RB211-22B      | Jet              | 3          | Lourd           | Commercial             | 430 000    | 358 000   | 5 693                 | 42 000  | 3              | RB2112 | CNT (lb)                     | 203                          | 101                        | Voilure                          |
| L10115 | Lockheed Martin L-1011-500/RB211-224B | Jet              | 3          | Lourd           | Commercial             | 510 000    | 368 000   | 6 800                 | 50 000  | 3              | RB2112 | CNT (lb)                     | 203                          | 101                        | Voilure                          |
| L188   | Lockheed L-188C/ALL 501-D13           | Turbo-propulseur | 4          | Grand           | Commercial             | 116 000    | 98 100    | 4 960                 | 8 000   | 0              | T56A7  | CNT (% of Max Static Thrust) | 214                          | 112                        | Hélice                           |
| LEAR25 | Learjet 25/CJ610-8                    | Jet              | 2          | Grand           | Aviation générale      | 15 000     | 13 500    | 2 620                 | 2 950   | 2              | CJ610  | CNT (lb)                     | 202                          | 113                        | Fuselage                         |
| LEAR35 | Learjet 36/TFE731-2                   | Jet              | 2          | Grand           | Aviation générale      | 18 300     | 15 300    | 3 076                 | 3 500   | 3              | TF7312 | CNT (lb)                     | 216                          | 113                        | Fuselage                         |
| MD11GE | McDonnell Douglas MD-11/CF6-80C2D1F   | Jet              | 3          | Lourd           | Commercial             | 682 400    | 433 300   | 5 131                 | 61 500  | 3              | 2CF68D | CNT (lb)                     | 203                          | 103                        | Voilure                          |
| MD11PW | McDonnell Douglas MD-11/PW 4460       | Jet              | 3          | Lourd           | Commercial             | 682 400    | 433 300   | 4 681                 | 60 000  | 3              | PW4460 | CNT (lb)                     | 203                          | 103                        | Voilure                          |

| ACFTID | Description                            | Type moteur      | Nb moteurs | Classe de poids | Catégorie propriétaire | MGTOW (lb) | MGLW (lb) | Dist max atterrissage | Poussée statique max au niveau de la mer (lb) | Chapitre bruit | NPD_ID | Paramètre puissance          | ID classe spectrale approche | ID classe spectrale départ | Identifiant directivité latérale |
|--------|--|------------------|------------|-----------------|------------------------|------------|-----------|-----------------------|---|----------------|--------|------------------------------|------------------------------|----------------------------|----------------------------------|
| MD81   | McDonnell Douglas MD-81/JT8D-209       | Jet              | 2          | Grand           | Commercial             | 140 000    | 128 000   | 4 860                 | 19 300  | 3              | 2JT8D2 | CNT (lb)                     | 204                          | 104                        | Fuselage                         |
| MD82   | McDonnell Douglas MD-82/JT8D-217A      | Jet              | 2          | Grand           | Commercial             | 149 500    | 130 000   | 4 920                 | 20 900  | 3              | 2JT8D2 | CNT (lb)                     | 204                          | 104                        | Fuselage                         |
| MD83   | McDonnell Douglas MD-83/JT8D-219       | Jet              | 2          | Grand           | Commercial             | 160 000    | 139 500   | 5 200                 | 21 700  | 3              | 2JT8D2 | CNT (lb)                     | 204                          | 104                        | Fuselage                         |
| MD9025 | McDonnell Douglas MD-90/V2525-D5       | Jet              | 2          | Grand           | Commercial             | 156 000    | 142 000   | 3 000                 | 25 000  | 3              | V2525  | CNT (lb)                     | 205                          | 105                        | Fuselage                         |
| MD9028 | McDonnell Douglas MD-90/V2528-D5       | Jet              | 2          | Grand           | Commercial             | 156 000    | 142 000   | 3 000                 | 28 000  | 3              | V2525  | CNT (lb)                     | 205                          | 105                        | Fuselage                         |
| MU3001 | Mitsubishi MU300-10 Diamond II/JT15D-5 | Jet              | 2          | Grand           | Aviation générale      | 14 100     | 13 200    | 2 800                 | 2 500   | 3              | JT15D5 | CNT (lb)                     | 203                          | 113                        | Fuselage                         |
| PA28   | Piper Warrior PA-28-161/O-320-D3G      | Piston           | 1          | Petit           | Aviation générale      | 2 325      | 2 325     | 1 695                 | 400   | 0              | O320D3 | Other (RPM)                  | 213                          | 113                        | Hélice                           |
| PA30   | Piper Twin Comanche PA-30/IO-320-B1A   | Piston           | 2          | Petit           | Aviation générale      | 3 600      | 3 600     | 1 654                 | 777   | 0              | IO320B | CNT (lb)                     | 213                          | 113                        | Hélice                           |
| PA31   | Piper Navajo Chieftain PA-31-350/TIO-5 | Piston           | 2          | Petit           | Aviation générale      | 7 000      | 7 000     | 1 850                 | 1 481   | 0              | TIO542 | Other (RPM)                  | 213                          | 109                        | Hélice                           |
| PA42   | Piper PA-42/PT6A-41                    | Turbo-propulseur | 2          | Petit           | Aviation générale      | 11 200     | 10 330    | 3 300                 | 1 800   | 3              | PT6A41 | CNT (lb)                     | 213                          | 109                        | Hélice                           |
| SABR80 | NA Sabreliner 80                       | Jet              | 2          | Grand           | Aviation générale      | 33 720     | 27 290    | 2 490                 | 3 962   | 2              | CF700  | CNT (lb)                     | 203                          | 113                        | Fuselage                         |
| SD330  | Short SD3-30/PT6A-45AR                 | Turbo-propulseur | 2          | Grand           | Commercial             | 22 900     | 22 600    | 3 650                 | 2 670   | 3              | PT6A45 | CNT (% of Max Static Thrust) | 211                          | 109                        | Hélice                           |
| SF340  | Saab SF340B/CT7-9B                     | Turbo-propulseur | 2          | Grand           | Commercial             | 27 300     | 26 500    | 3 470                 | 4 067   | 3              | CT75   | CNT (% of Max Static Thrust) | 211                          | 110                        | Hélice                           |

Tableau I-3

**Étapes de procédure d'approche par défaut**

| ACFTID | Profile_ID | N° étape | Type étape   | FLAP_ID | Altitude départ (ft) | CAS départ (kt) | Angle descente (deg) | Roulage atterrissage (ft) | Distance (ft) | Poussée départ (% poussée max) |
|--------|------------|----------|--------------|---------|----------------------|-----------------|----------------------|---------------------------|---------------|--------------------------------|
| 1900D  | DEFAULT    | 1        | Descente     | ZERO-A  | 6 000,0              | 160,0           | 3,0                  |                           |               |                                |
| 1900D  | DEFAULT    | 2        | Descente     | ZERO-A  | 3 000,0              | 160,0           | 3,0                  |                           |               |                                |
| 1900D  | DEFAULT    | 3        | Descente     | ZERO-A  | 1 500,0              | 146,0           | 3,0                  |                           |               |                                |
| 1900D  | DEFAULT    | 4        | Descente     | 35-A    | 1 000,0              | 118,0           | 3,0                  |                           |               |                                |
| 1900D  | DEFAULT    | 5        | Atterrissage | 35-A    |                      |                 |                      | 57,2                      |               |                                |
| 1900D  | DEFAULT    | 6        | Décélération |         |                      | 84,0            |                      |                           | 515,2         | 40,0                           |
| 1900D  | DEFAULT    | 7        | Décélération |         |                      | 10,0            |                      |                           | 0,0           | 10,0                           |
| 707320 | DEFAULT    | 1        | Descente     | ZERO    | 6 000,0              | 250,0           | 3,0                  |                           |               |                                |
| 707320 | DEFAULT    | 2        | Descente     | 14      | 3 000,0              | 160,0           | 3,0                  |                           |               |                                |
| 707320 | DEFAULT    | 3        | Descente     | D-25    | 1 500,0              | 145,0           | 3,0                  |                           |               |                                |
| 707320 | DEFAULT    | 4        | Descente     | D-40    | 1 000,0              | 131,6           | 3,0                  |                           |               |                                |
| 707320 | DEFAULT    | 5        | Atterrissage | D-40    |                      |                 |                      | 410,6                     |               |                                |
| 707320 | DEFAULT    | 6        | Décélération |         |                      | 124,9           |                      |                           | 3 695,4       | 40,0                           |
| 707320 | DEFAULT    | 7        | Décélération |         |                      | 30,0            |                      |                           | 0,0           | 10,0                           |
| 707QN  | DEFAULT    | 1        | Descente     | ZERO    | 6 000,0              | 250,0           | 3,0                  |                           |               |                                |
| 707QN  | DEFAULT    | 2        | Descente     | 14      | 3 000,0              | 160,0           | 3,0                  |                           |               |                                |
| 707QN  | DEFAULT    | 3        | Descente     | D-25    | 1 500,0              | 145,0           | 3,0                  |                           |               |                                |
| 707QN  | DEFAULT    | 4        | Descente     | D-40    | 1 000,0              | 131,6           | 3,0                  |                           |               |                                |
| 707QN  | DEFAULT    | 5        | Atterrissage | D-40    |                      |                 |                      | 410,6                     |               |                                |
| 707QN  | DEFAULT    | 6        | Décélération |         |                      | 124,9           |                      |                           | 3 695,4       | 40,0                           |
| 707QN  | DEFAULT    | 7        | Décélération |         |                      | 30,0            |                      |                           | 0,0           | 10,0                           |
| 717200 | DEFAULT    | 1        | Descente     | A_0U    | 6 000,0              | 250,0           | 3,0                  |                           |               |                                |

| ACFTID | Profile_ID | N° étape | Type étape   | FLAP_ID | Altitude départ (ft) | CAS départ (kt) | Angle descente (deg) | Roulage atterrissage (ft) | Distance (ft) | Poussée départ (% poussée max) |
|--------|------------|----------|--------------|---------|----------------------|-----------------|----------------------|---------------------------|---------------|--------------------------------|
| 717200 | DEFAULT    | 2        | Descente     | A_18U   | 3 000,0              | 190,0           | 3,0                  |                           |               |                                |
| 717200 | DEFAULT    | 3        | Descente     | A_18D   | 1 500,0              | 160,0           | 3,0                  |                           |               |                                |
| 717200 | DEFAULT    | 4        | Descente     | A_40D   | 1 000,0              | 140,0           | 3,0                  |                           |               |                                |
| 717200 | DEFAULT    | 5        | Atterrissage | A_40D   |                      |                 |                      | 318,6                     |               |                                |
| 717200 | DEFAULT    | 6        | Décélération |         |                      | 130,0           |                      |                           | 2 867,4       | 40,0                           |
| 717200 | DEFAULT    | 7        | Décélération |         |                      | 30,0            |                      |                           | 0,0           | 8,6                            |
| 720B   | DEFAULT    | 1        | Descente     | ZERO    | 6 000,0              | 250,0           | 3,0                  |                           |               |                                |
| 720B   | DEFAULT    | 2        | Descente     | 20      | 3 000,0              | 160,0           | 3,0                  |                           |               |                                |
| 720B   | DEFAULT    | 3        | Descente     | U-30    | 1 500,0              | 149,0           | 3,0                  |                           |               |                                |
| 720B   | DEFAULT    | 4        | Descente     | D-30    | 1 000,0              | 139,0           | 3,0                  |                           |               |                                |
| 720B   | DEFAULT    | 5        | Atterrissage | D-30    |                      |                 |                      | 419,1                     |               |                                |
| 720B   | DEFAULT    | 6        | Décélération |         |                      | 131,9           |                      |                           | 3 771,9       | 40,0                           |
| 720B   | DEFAULT    | 7        | Décélération |         |                      | 30,0            |                      |                           | 0,0           | 10,0                           |
| 727100 | DEFAULT    | 1        | Descente     | ZERO    | 6 000,0              | 250,0           | 3,0                  |                           |               |                                |
| 727100 | DEFAULT    | 2        | Descente     | 5       | 3 000,0              | 160,0           | 3,0                  |                           |               |                                |
| 727100 | DEFAULT    | 3        | Descente     | D-25    | 1 500,0              | 125,5           | 3,0                  |                           |               |                                |
| 727100 | DEFAULT    | 4        | Descente     | D-30    | 1 000,0              | 123,2           | 3,0                  |                           |               |                                |
| 727100 | DEFAULT    | 5        | Atterrissage | D-30    |                      |                 |                      | 342,6                     |               |                                |
| 727100 | DEFAULT    | 6        | Décélération |         |                      | 116,8           |                      |                           | 3 083,4       | 40,0                           |
| 727100 | DEFAULT    | 7        | Décélération |         |                      | 30,0            |                      |                           | 0,0           | 10,0                           |
| 727D15 | DEFAULT    | 1        | Descente     | ZERO    | 6 000,0              | 250,0           | 3,0                  |                           |               |                                |
| 727D15 | DEFAULT    | 2        | Descente     | 5       | 3 000,0              | 160,0           | 3,0                  |                           |               |                                |

| ACFTID | Profile_ID | N° étape | Type étape   | FLAP_ID | Altitude départ (ft) | CAS départ (kt) | Angle descente (deg) | Roulage atterrissage (ft) | Distance (ft) | Poussée départ (% poussée max) |
|--------|------------|----------|--------------|---------|----------------------|-----------------|----------------------|---------------------------|---------------|--------------------------------|
| 727D15 | DEFAULT    | 3        | Descente     | D-25    | 1 500,0              | 149,6           | 3,0                  |                           |               |                                |
| 727D15 | DEFAULT    | 4        | Descente     | D-30    | 1 000,0              | 147,6           | 3,0                  |                           |               |                                |
| 727D15 | DEFAULT    | 5        | Atterrissage | D-30    |                      |                 |                      | 347,6                     |               |                                |
| 727D15 | DEFAULT    | 6        | Décélération |         |                      | 140,0           |                      |                           | 3 128,4       | 40,0                           |
| 727D15 | DEFAULT    | 7        | Décélération |         |                      | 30,0            |                      |                           | 0,0           | 10,0                           |
| 727D17 | DEFAULT    | 1        | Descente     | ZERO    | 6 000,0              | 250,0           | 3,0                  |                           |               |                                |
| 727D17 | DEFAULT    | 2        | Descente     | 5       | 3 000,0              | 160,0           | 3,0                  |                           |               |                                |
| 727D17 | DEFAULT    | 3        | Descente     | D-25    | 1 500,0              | 149,6           | 3,0                  |                           |               |                                |
| 727D17 | DEFAULT    | 4        | Descente     | D-30    | 1 000,0              | 147,6           | 3,0                  |                           |               |                                |
| 727D17 | DEFAULT    | 5        | Atterrissage | D-30    |                      |                 |                      | 394,6                     |               |                                |
| 727D17 | DEFAULT    | 6        | Décélération |         |                      | 140,0           |                      |                           | 3 551,4       | 40,0                           |
| 727D17 | DEFAULT    | 7        | Décélération |         |                      | 30,0            |                      |                           | 0,0           | 10,0                           |
| 727EM1 | DEFAULT    | 1        | Descente     | ZERO    | 6 000,0              | 250,0           | 3,0                  |                           |               |                                |
| 727EM1 | DEFAULT    | 2        | Descente     | 5       | 3 000,0              | 160,0           | 3,0                  |                           |               |                                |
| 727EM1 | DEFAULT    | 3        | Descente     | D-25    | 1 500,0              | 125,5           | 3,0                  |                           |               |                                |
| 727EM1 | DEFAULT    | 4        | Descente     | D-30    | 1 000,0              | 123,2           | 3,0                  |                           |               |                                |
| 727EM1 | DEFAULT    | 5        | Atterrissage | D-30    |                      |                 |                      | 342,6                     |               |                                |
| 727EM1 | DEFAULT    | 6        | Décélération |         |                      | 116,8           |                      |                           | 3 083,4       | 40,0                           |
| 727EM1 | DEFAULT    | 7        | Décélération |         |                      | 30,0            |                      |                           | 0,0           | 10,0                           |
| 727EM2 | DEFAULT    | 1        | Descente     | ZERO    | 6 000,0              | 250,0           | 3,0                  |                           |               |                                |
| 727EM2 | DEFAULT    | 2        | Descente     | 5       | 3 000,0              | 160,0           | 3,0                  |                           |               |                                |
| 727EM2 | DEFAULT    | 3        | Descente     | D-25    | 1 500,0              | 149,6           | 3,0                  |                           |               |                                |

| ACFTID | Profile_ID | N° étape | Type étape   | FLAP_ID | Altitude départ (ft) | CAS départ (kt) | Angle descente (deg) | Roulage atterrissage (ft) | Distance (ft) | Poussée départ (% poussée max) |
|--------|------------|----------|--------------|---------|----------------------|-----------------|----------------------|---------------------------|---------------|--------------------------------|
| 727EM2 | DEFAULT    | 4        | Descente     | D-30    | 1 000,0              | 147,6           | 3,0                  |                           |               |                                |
| 727EM2 | DEFAULT    | 5        | Atterrissage | D-30    |                      |                 |                      | 347,6                     |               |                                |
| 727EM2 | DEFAULT    | 6        | Décélération |         |                      | 140,0           |                      |                           | 3 128,4       | 40,0                           |
| 727EM2 | DEFAULT    | 7        | Décélération |         |                      | 30,0            |                      |                           | 0,0           | 10,0                           |
| 727Q15 | DEFAULT    | 1        | Descente     | ZERO    | 6 000,0              | 250,0           | 3,0                  |                           |               |                                |
| 727Q15 | DEFAULT    | 2        | Descente     | 5       | 3 000,0              | 160,0           | 3,0                  |                           |               |                                |
| 727Q15 | DEFAULT    | 3        | Descente     | D-25    | 1 500,0              | 149,6           | 3,0                  |                           |               |                                |
| 727Q15 | DEFAULT    | 4        | Descente     | D-30    | 1 000,0              | 147,6           | 3,0                  |                           |               |                                |
| 727Q15 | DEFAULT    | 5        | Atterrissage | D-30    |                      |                 |                      | 347,6                     |               |                                |
| 727Q15 | DEFAULT    | 6        | Décélération |         |                      | 140,0           |                      |                           | 3 128,4       | 40,0                           |
| 727Q15 | DEFAULT    | 7        | Décélération |         |                      | 30,0            |                      |                           | 0,0           | 10,0                           |
| 727Q7  | DEFAULT    | 1        | Descente     | ZERO    | 6 000,0              | 250,0           | 3,0                  |                           |               |                                |
| 727Q7  | DEFAULT    | 2        | Descente     | 5       | 3 000,0              | 160,0           | 3,0                  |                           |               |                                |
| 727Q7  | DEFAULT    | 3        | Descente     | D-25    | 1 500,0              | 125,5           | 3,0                  |                           |               |                                |
| 727Q7  | DEFAULT    | 4        | Descente     | D-30    | 1 000,0              | 123,2           | 3,0                  |                           |               |                                |
| 727Q7  | DEFAULT    | 5        | Atterrissage | D-30    |                      |                 |                      | 342,6                     |               |                                |
| 727Q7  | DEFAULT    | 6        | Décélération |         |                      | 116,8           |                      |                           | 3 083,4       | 40,0                           |
| 727Q7  | DEFAULT    | 7        | Décélération |         |                      | 30,0            |                      |                           | 0,0           | 10,0                           |
| 727Q9  | DEFAULT    | 1        | Descente     | ZERO    | 6 000,0              | 250,0           | 3,0                  |                           |               |                                |
| 727Q9  | DEFAULT    | 2        | Descente     | 5       | 3 000,0              | 160,0           | 3,0                  |                           |               |                                |
| 727Q9  | DEFAULT    | 3        | Descente     | D-25    | 1 500,0              | 145,4           | 3,0                  |                           |               |                                |
| 727Q9  | DEFAULT    | 4        | Descente     | D-30    | 1 000,0              | 143,4           | 3,0                  |                           |               |                                |

| ACFTID | Profile_ID | N° étape | Type étape   | FLAP_ID | Altitude départ (ft) | CAS départ (kt) | Angle descente (deg) | Roulage atterrissage (ft) | Distance (ft) | Poussée départ (% poussée max) |
|--------|------------|----------|--------------|---------|----------------------|-----------------|----------------------|---------------------------|---------------|--------------------------------|
| 727Q9  | DEFAULT    | 5        | Atterrissage | D-30    |                      |                 |                      | 394,6                     |               |                                |
| 727Q9  | DEFAULT    | 6        | Décélération |         |                      | 136,0           |                      |                           | 3 551,4       | 40,0                           |
| 727Q9  | DEFAULT    | 7        | Décélération |         |                      | 30,0            |                      |                           | 0,0           | 10,0                           |
| 727QF  | DEFAULT    | 1        | Descente     | U-ZERO  | 6 000,0              | 250,0           | 3,0                  |                           |               |                                |
| 727QF  | DEFAULT    | 2        | Descente     | U-05    | 3 000,0              | 160,0           | 3,0                  |                           |               |                                |
| 727QF  | DEFAULT    | 3        | Descente     | D-15    | 1 500,0              | 150,0           | 3,0                  |                           |               |                                |
| 727QF  | DEFAULT    | 4        | Descente     | D-30    | 1 000,0              | 131,0           | 3,0                  |                           |               |                                |
| 727QF  | DEFAULT    | 5        | Atterrissage | D-30    |                      |                 |                      | 363,0                     |               |                                |
| 727QF  | DEFAULT    | 6        | Décélération |         |                      | 121,0           |                      |                           | 2 686,0       | 40,0                           |
| 727QF  | DEFAULT    | 7        | Décélération |         |                      | 60,0            |                      |                           | 0,0           | 10,0                           |
| 737    | DEFAULT    | 1        | Descente     | ZERO    | 6 000,0              | 250,0           | 3,0                  |                           |               |                                |
| 737    | DEFAULT    | 2        | Descente     | 5       | 3 000,0              | 170,0           | 3,0                  |                           |               |                                |
| 737    | DEFAULT    | 3        | Descente     | D-25    | 1 500,0              | 134,5           | 3,0                  |                           |               |                                |
| 737    | DEFAULT    | 4        | Descente     | D-30    | 1 000,0              | 131,5           | 3,0                  |                           |               |                                |
| 737    | DEFAULT    | 5        | Atterrissage | D-30    |                      |                 |                      | 255,6                     |               |                                |
| 737    | DEFAULT    | 6        | Décélération |         |                      | 124,8           |                      |                           | 2 300,4       | 40,0                           |
| 737    | DEFAULT    | 7        | Décélération |         |                      | 30,0            |                      |                           | 0,0           | 10,0                           |
| 737300 | DEFAULT    | 1        | Descente     | ZERO    | 6 000,0              | 250,0           | 3,0                  |                           |               |                                |
| 737300 | DEFAULT    | 2        | Descente     | 5       | 3 000,0              | 170,0           | 3,0                  |                           |               |                                |
| 737300 | DEFAULT    | 3        | Descente     | D-15    | 1 500,0              | 148,6           | 3,0                  |                           |               |                                |
| 737300 | DEFAULT    | 4        | Descente     | D-30    | 1 000,0              | 139,0           | 3,0                  |                           |               |                                |
| 737300 | DEFAULT    | 5        | Atterrissage | D-30    |                      |                 |                      | 316,8                     |               |                                |

| ACFTID | Profile_ID | N° étape | Type étape   | FLAP_ID | Altitude départ (ft) | CAS départ (kt) | Angle descente (deg) | Roulage atterrissage (ft) | Distance (ft) | Poussée départ (% poussée max) |
|--------|------------|----------|--------------|---------|----------------------|-----------------|----------------------|---------------------------|---------------|--------------------------------|
| 737300 | DEFAULT    | 6        | Décélération |         |                      | 131,9           |                      |                           | 2 851,2       | 40,0                           |
| 737300 | DEFAULT    | 7        | Décélération |         |                      | 30,0            |                      |                           | 0,0           | 10,0                           |
| 7373B2 | DEFAULT    | 1        | Descente     | ZERO    | 6 000,0              | 250,0           | 3,0                  |                           |               |                                |
| 7373B2 | DEFAULT    | 2        | Descente     | 5       | 3 000,0              | 170,0           | 3,0                  |                           |               |                                |
| 7373B2 | DEFAULT    | 3        | Descente     | D-15    | 1 500,0              | 148,6           | 3,0                  |                           |               |                                |
| 7373B2 | DEFAULT    | 4        | Descente     | D-30    | 1 000,0              | 139,0           | 3,0                  |                           |               |                                |
| 7373B2 | DEFAULT    | 5        | Atterrissage | D-30    |                      |                 |                      | 316,8                     |               |                                |
| 7373B2 | DEFAULT    | 6        | Décélération |         |                      | 131,9           |                      |                           | 2 851,2       | 40,0                           |
| 7373B2 | DEFAULT    | 7        | Décélération |         |                      | 30,0            |                      |                           | 0,0           | 10,0                           |
| 737400 | DEFAULT    | 1        | Descente     | ZERO    | 6 000,0              | 250,0           | 3,0                  |                           |               |                                |
| 737400 | DEFAULT    | 2        | Descente     | 5       | 3 000,0              | 170,0           | 3,0                  |                           |               |                                |
| 737400 | DEFAULT    | 3        | Descente     | D-15    | 1 500,0              | 159,7           | 3,0                  |                           |               |                                |
| 737400 | DEFAULT    | 4        | Descente     | D-30    | 1 000,0              | 144,9           | 3,0                  |                           |               |                                |
| 737400 | DEFAULT    | 5        | Atterrissage | D-30    |                      |                 |                      | 360,2                     |               |                                |
| 737400 | DEFAULT    | 6        | Décélération |         |                      | 137,5           |                      |                           | 3 241,8       | 40,0                           |
| 737400 | DEFAULT    | 7        | Décélération |         |                      | 30,0            |                      |                           | 0,0           | 10,0                           |
| 737500 | DEFAULT    | 1        | Descente     | ZERO    | 6 000,0              | 250,0           | 3,0                  |                           |               |                                |
| 737500 | DEFAULT    | 2        | Descente     | 5       | 3 000,0              | 170,0           | 3,0                  |                           |               |                                |
| 737500 | DEFAULT    | 3        | Descente     | D-15    | 1 500,0              | 143,4           | 3,0                  |                           |               |                                |
| 737500 | DEFAULT    | 4        | Descente     | D-30    | 1 000,0              | 135,3           | 3,0                  |                           |               |                                |
| 737500 | DEFAULT    | 5        | Atterrissage | D-30    |                      |                 |                      | 314,2                     |               |                                |
| 737500 | DEFAULT    | 6        | Décélération |         |                      | 128,4           |                      |                           | 2 827,8       | 40,0                           |

| ACFTID | Profile_ID | N° étape | Type étape   | FLAP_ID | Altitude départ (ft) | CAS départ (kt) | Angle descente (deg) | Roulage atterrissage (ft) | Distance (ft) | Poussée départ (% poussée max) |
|--------|------------|----------|--------------|---------|----------------------|-----------------|----------------------|---------------------------|---------------|--------------------------------|
| 737500 | DEFAULT    | 7        | Décélération |         |                      | 30,0            |                      |                           | 0,0           | 10,0                           |
| 737700 | DEFAULT    | 1        | Descente     | T_ZERO  | 6 000,0              | 250,0           | 3,0                  |                           |               |                                |
| 737700 | DEFAULT    | 2        | Descente     | T_5     | 3 000,0              | 171,0           | 3,0                  |                           |               |                                |
| 737700 | DEFAULT    | 3        | Descente     | A_15    | 1 500,0              | 140,0           | 3,0                  |                           |               |                                |
| 737700 | DEFAULT    | 4        | Descente     | A_40    | 1 000,0              | 133,0           | 3,0                  |                           |               |                                |
| 737700 | DEFAULT    | 5        | Atterrissage | A_40    |                      |                 |                      | 304,7                     |               |                                |
| 737700 | DEFAULT    | 6        | Décélération |         |                      | 116,0           |                      |                           | 2 741,9       | 40,0                           |
| 737700 | DEFAULT    | 7        | Décélération |         |                      | 30,0            |                      |                           | 0,0           | 10,0                           |
| 737D17 | DEFAULT    | 1        | Descente     | ZERO    | 6 000,0              | 250,0           | 3,0                  |                           |               |                                |
| 737D17 | DEFAULT    | 2        | Descente     | 5       | 3 000,0              | 170,0           | 3,0                  |                           |               |                                |
| 737D17 | DEFAULT    | 3        | Descente     | D-25    | 1 500,0              | 140,2           | 3,0                  |                           |               |                                |
| 737D17 | DEFAULT    | 4        | Descente     | D-30    | 1 000,0              | 137,7           | 3,0                  |                           |               |                                |
| 737D17 | DEFAULT    | 5        | Atterrissage | D-30    |                      |                 |                      | 286,6                     |               |                                |
| 737D17 | DEFAULT    | 6        | Décélération |         |                      | 130,7           |                      |                           | 2 579,4       | 40,0                           |
| 737D17 | DEFAULT    | 7        | Décélération |         |                      | 30,0            |                      |                           | 0,0           | 10,0                           |
| 737N17 | DEFAULT    | 1        | Descente     | ZERO    | 6 000,0              | 250,0           | 3,0                  |                           |               |                                |
| 737N17 | DEFAULT    | 2        | Descente     | 5       | 3 000,0              | 170,0           | 3,0                  |                           |               |                                |
| 737N17 | DEFAULT    | 3        | Descente     | D-25    | 1 500,0              | 140,2           | 3,0                  |                           |               |                                |
| 737N17 | DEFAULT    | 4        | Descente     | D-30    | 1 000,0              | 137,7           | 3,0                  |                           |               |                                |
| 737N17 | DEFAULT    | 5        | Atterrissage | D-30    |                      |                 |                      | 286,6                     |               |                                |
| 737N17 | DEFAULT    | 6        | Décélération |         |                      | 130,7           |                      |                           | 2 579,4       | 40,0                           |
| 737N17 | DEFAULT    | 7        | Décélération |         |                      | 30,0            |                      |                           | 0,0           | 10,0                           |

| ACFTID | Profile_ID | N° étape | Type étape   | FLAP_ID | Altitude départ (ft) | CAS départ (kt) | Angle descente (deg) | Roulage atterrissage (ft) | Distance (ft) | Poussée départ (% poussée max) |
|--------|------------|----------|--------------|---------|----------------------|-----------------|----------------------|---------------------------|---------------|--------------------------------|
| 737N9  | DEFAULT    | 1        | Descente     | ZERO    | 6 000,0              | 250,0           | 3,0                  |                           |               |                                |
| 737N9  | DEFAULT    | 2        | Descente     | 5       | 3 000,0              | 170,0           | 3,0                  |                           |               |                                |
| 737N9  | DEFAULT    | 3        | Descente     | D-25    | 1 500,0              | 134,5           | 3,0                  |                           |               |                                |
| 737N9  | DEFAULT    | 4        | Descente     | D-30    | 1 000,0              | 131,5           | 3,0                  |                           |               |                                |
| 737N9  | DEFAULT    | 5        | Atterrissage | D-30    |                      |                 |                      | 255,6                     |               |                                |
| 737N9  | DEFAULT    | 6        | Décélération |         |                      | 124,8           |                      |                           | 2 300,4       | 40,0                           |
| 737N9  | DEFAULT    | 7        | Décélération |         |                      | 30,0            |                      |                           | 0,0           | 10,0                           |
| 737QN  | DEFAULT    | 1        | Descente     | ZERO    | 6 000,0              | 250,0           | 3,0                  |                           |               |                                |
| 737QN  | DEFAULT    | 2        | Descente     | 5       | 3 000,0              | 170,0           | 3,0                  |                           |               |                                |
| 737QN  | DEFAULT    | 3        | Descente     | D-25    | 1 500,0              | 134,5           | 3,0                  |                           |               |                                |
| 737QN  | DEFAULT    | 4        | Descente     | D-30    | 1 000,0              | 131,5           | 3,0                  |                           |               |                                |
| 737QN  | DEFAULT    | 5        | Atterrissage | D-30    |                      |                 |                      | 255,6                     |               |                                |
| 737QN  | DEFAULT    | 6        | Décélération |         |                      | 124,8           |                      |                           | 2 300,4       | 40,0                           |
| 737QN  | DEFAULT    | 7        | Décélération |         |                      | 30,0            |                      |                           | 0,0           | 10,0                           |
| 74710Q | DEFAULT    | 1        | Descente     | ZERO    | 6 000,0              | 250,0           | 3,0                  |                           |               |                                |
| 74710Q | DEFAULT    | 2        | Descente     | 10      | 3 000,0              | 160,0           | 3,0                  |                           |               |                                |
| 74710Q | DEFAULT    | 3        | Descente     | D-20    | 1 500,0              | 155,0           | 3,0                  |                           |               |                                |
| 74710Q | DEFAULT    | 4        | Descente     | D-30    | 1 000,0              | 144,0           | 3,0                  |                           |               |                                |
| 74710Q | DEFAULT    | 5        | Atterrissage | D-30    |                      |                 |                      | 462,6                     |               |                                |
| 74710Q | DEFAULT    | 6        | Décélération |         |                      | 136,6           |                      |                           | 4 163,4       | 10,0                           |
| 74710Q | DEFAULT    | 7        | Décélération |         |                      | 30,0            |                      |                           | 0,0           | 10,0                           |
| 747200 | DEFAULT    | 1        | Descente     | ZERO    | 6 000,0              | 250,0           | 3,0                  |                           |               |                                |

| ACFTID | Profile_ID | N° étape | Type étape   | FLAP_ID | Altitude départ (ft) | CAS départ (kt) | Angle descente (deg) | Roulage atterrissage (ft) | Distance (ft) | Poussée départ (% poussée max) |
|--------|------------|----------|--------------|---------|----------------------|-----------------|----------------------|---------------------------|---------------|--------------------------------|
| 747200 | DEFAULT    | 2        | Descente     | 10      | 3 000,0              | 160,0           | 3,0                  |                           |               |                                |
| 747200 | DEFAULT    | 3        | Descente     | D-20    | 1 500,0              | 155,0           | 3,0                  |                           |               |                                |
| 747200 | DEFAULT    | 4        | Descente     | D-30    | 1 000,0              | 144,0           | 3,0                  |                           |               |                                |
| 747200 | DEFAULT    | 5        | Atterrissage | D-30    |                      |                 |                      | 462,6                     |               |                                |
| 747200 | DEFAULT    | 6        | Décélération |         |                      | 136,6           |                      |                           | 4 163,4       | 10,0                           |
| 747200 | DEFAULT    | 7        | Décélération |         |                      | 30,0            |                      |                           | 0,0           | 10,0                           |
| 74720A | DEFAULT    | 1        | Descente     | ZERO    | 6 000,0              | 250,0           | 3,0                  |                           |               |                                |
| 74720A | DEFAULT    | 2        | Descente     | 10      | 3 000,0              | 163,7           | 3,0                  |                           |               |                                |
| 74720A | DEFAULT    | 3        | Descente     | D-25    | 1 500,0              | 150,0           | 3,0                  |                           |               |                                |
| 74720A | DEFAULT    | 4        | Descente     | D-30    | 1 000,0              | 143,7           | 3,0                  |                           |               |                                |
| 74720A | DEFAULT    | 5        | Atterrissage | D-30    |                      |                 |                      | 462,6                     |               |                                |
| 74720A | DEFAULT    | 6        | Décélération |         |                      | 136,3           |                      |                           | 4 163,4       | 10,0                           |
| 74720A | DEFAULT    | 7        | Décélération |         |                      | 30,0            |                      |                           | 0,0           | 10,0                           |
| 74720B | DEFAULT    | 1        | Descente     | ZERO    | 6 000,0              | 250,0           | 3,0                  |                           |               |                                |
| 74720B | DEFAULT    | 2        | Descente     | 10      | 3 000,0              | 171,9           | 3,0                  |                           |               |                                |
| 74720B | DEFAULT    | 3        | Descente     | D-25    | 1 500,0              | 158,5           | 3,0                  |                           |               |                                |
| 74720B | DEFAULT    | 4        | Descente     | D-30    | 1 000,0              | 151,9           | 3,0                  |                           |               |                                |
| 74720B | DEFAULT    | 5        | Atterrissage | D-30    |                      |                 |                      | 462,6                     |               |                                |
| 74720B | DEFAULT    | 6        | Décélération |         |                      | 144,1           |                      |                           | 4 163,4       | 10,0                           |
| 74720B | DEFAULT    | 7        | Décélération |         |                      | 30,0            |                      |                           | 0,0           | 10,0                           |
| 747400 | DEFAULT    | 1        | Descente     | 5       | 6 000,0              | 250,0           | 3,0                  |                           |               |                                |
| 747400 | DEFAULT    | 2        | Descente     | 10      | 3 000,0              | 175,4           | 3,0                  |                           |               |                                |

| ACFTID | Profile_ID | N° étape | Type étape      | FLAP_ID | Altitude départ (ft) | CAS départ (kt) | Angle descente (deg) | Roulage atterrissage (ft) | Distance (ft) | Poussée départ (% poussée max) |
|--------|------------|----------|-----------------|---------|----------------------|-----------------|----------------------|---------------------------|---------------|--------------------------------|
| 747400 | DEFAULT    | 3        | Descente        | D-25    | 1 500,0              | 161,4           | 3,0                  |                           |               |                                |
| 747400 | DEFAULT    | 4        | Descente        | D-30    | 1 000,0              | 155,4           | 3,0                  |                           |               |                                |
| 747400 | DEFAULT    | 5        | Atterrissage    | D-30    |                      |                 |                      | 533,6                     |               |                                |
| 747400 | DEFAULT    | 6        | Décélération    |         |                      | 147,5           |                      |                           | 4 802,4       | 10,0                           |
| 747400 | DEFAULT    | 7        | Décélération    |         |                      | 30,0            |                      |                           | 0,0           | 10,0                           |
| 7478   | DEFAULT    | 1        | Descend-Idle    |         | 6 000,0              | 278,8           | 3,0                  |                           |               |                                |
| 7478   | DEFAULT    | 2        | Palier-rallenti |         | 3 000,0              | 279,5           |                      |                           | 30 000,0      |                                |
| 7478   | DEFAULT    | 3        | Palier-rallenti |         | 3 000,0              | 218,3           |                      |                           | 10 000,0      |                                |
| 7478   | DEFAULT    | 4        | Palier-rallenti |         | 3 000,0              | 186,1           |                      |                           | 3 050,0       |                                |
| 7478   | DEFAULT    | 5        | Palier-rallenti |         | 3 000,0              | 174,6           |                      |                           | 4 500,0       |                                |
| 7478   | DEFAULT    | 6        | Palier          | F_10    | 3 000,0              | 162,3           |                      |                           | 2 069,0       |                                |
| 7478   | DEFAULT    | 7        | Descente        | F_30    | 3 000,0              | 157,4           | 3,0                  |                           |               |                                |
| 7478   | DEFAULT    | 8        | Atterrissage    | F_30    |                      |                 |                      | 615,6                     |               |                                |
| 7478   | DEFAULT    | 9        | Décélération    |         |                      | 150,4           |                      |                           | 5 540,4       | 10,0                           |
| 7478   | DEFAULT    | 10       | Décélération    |         |                      | 30,0            |                      |                           | 0,0           | 10,0                           |
| 747SP  | DEFAULT    | 1        | Descente        | ZERO    | 6 000,0              | 250,0           | 3,0                  |                           |               |                                |
| 747SP  | DEFAULT    | 2        | Descente        | 10      | 3 000,0              | 160,0           | 3,0                  |                           |               |                                |
| 747SP  | DEFAULT    | 3        | Descente        | D-20    | 1 500,0              | 141,5           | 3,0                  |                           |               |                                |
| 747SP  | DEFAULT    | 4        | Descente        | D-30    | 1 000,0              | 132,4           | 3,0                  |                           |               |                                |
| 747SP  | DEFAULT    | 5        | Atterrissage    | D-30    |                      |                 |                      | 436,6                     |               |                                |
| 747SP  | DEFAULT    | 6        | Décélération    |         |                      | 125,6           |                      |                           | 3 929,4       | 10,0                           |
| 747SP  | DEFAULT    | 7        | Décélération    |         |                      | 30,0            |                      |                           | 0,0           | 10,0                           |

| ACFTID | Profile_ID | N° étape | Type étape   | FLAP_ID | Altitude départ (ft) | CAS départ (kt) | Angle descente (deg) | Roulage atterrissage (ft) | Distance (ft) | Poussée départ (% poussée max) |
|--------|------------|----------|--------------|---------|----------------------|-----------------|----------------------|---------------------------|---------------|--------------------------------|
| 757PW  | DEFAULT    | 1        | Descente     | ZERO    | 6 000,0              | 250,0           | 3,0                  |                           |               |                                |
| 757PW  | DEFAULT    | 2        | Descente     | 5       | 3 000,0              | 160,0           | 3,0                  |                           |               |                                |
| 757PW  | DEFAULT    | 3        | Descente     | D-25    | 1 500,0              | 136,5           | 3,0                  |                           |               |                                |
| 757PW  | DEFAULT    | 4        | Descente     | D-30    | 1 000,0              | 134,2           | 3,0                  |                           |               |                                |
| 757PW  | DEFAULT    | 5        | Atterrissage | D-30    |                      |                 |                      | 335,7                     |               |                                |
| 757PW  | DEFAULT    | 6        | Décélération |         |                      | 127,3           |                      |                           | 3 021,3       | 40,0                           |
| 757PW  | DEFAULT    | 7        | Décélération |         |                      | 30,0            |                      |                           | 0,0           | 10,0                           |
| 757RR  | DEFAULT    | 1        | Descente     | ZERO    | 6 000,0              | 250,0           | 3,0                  |                           |               |                                |
| 757RR  | DEFAULT    | 2        | Descente     | 5       | 3 000,0              | 160,0           | 3,0                  |                           |               |                                |
| 757RR  | DEFAULT    | 3        | Descente     | D-25    | 1 500,0              | 136,7           | 3,0                  |                           |               |                                |
| 757RR  | DEFAULT    | 4        | Descente     | D-30    | 1 000,0              | 134,7           | 3,0                  |                           |               |                                |
| 757RR  | DEFAULT    | 5        | Atterrissage | D-30    |                      |                 |                      | 322,2                     |               |                                |
| 757RR  | DEFAULT    | 6        | Décélération |         |                      | 127,8           |                      |                           | 2 899,8       | 40,0                           |
| 757RR  | DEFAULT    | 7        | Décélération |         |                      | 30,0            |                      |                           | 0,0           | 10,0                           |
| 767300 | DEFAULT    | 1        | Descente     | ZERO    | 6 000,0              | 250,0           | 3,0                  |                           |               |                                |
| 767300 | DEFAULT    | 2        | Descente     | 5       | 3 000,0              | 167,0           | 3,0                  |                           |               |                                |
| 767300 | DEFAULT    | 3        | Descente     | D-25    | 1 500,0              | 141,0           | 3,0                  |                           |               |                                |
| 767300 | DEFAULT    | 4        | Descente     | D-30    | 1 000,0              | 137,1           | 3,0                  |                           |               |                                |
| 767300 | DEFAULT    | 5        | Atterrissage | D-30    |                      |                 |                      | 328,5                     |               |                                |
| 767300 | DEFAULT    | 6        | Décélération |         |                      | 130,1           |                      |                           | 2 956,5       | 10,0                           |
| 767300 | DEFAULT    | 7        | Décélération |         |                      | 30,0            |                      |                           | 0,0           | 10,0                           |
| 767CF6 | DEFAULT    | 1        | Descente     | 1       | 6 000,0              | 250,0           | 3,0                  |                           |               |                                |

| ACFTID | Profile_ID | N° étape | Type étape       | FLAP_ID | Altitude départ (ft) | CAS départ (kt) | Angle descente (deg) | Roulage atterrissage (ft) | Distance (ft) | Poussée départ (% poussée max) |
|--------|------------|----------|------------------|---------|----------------------|-----------------|----------------------|---------------------------|---------------|--------------------------------|
| 767CF6 | DEFAULT    | 2        | Descente         | 5       | 3 000,0              | 168,5           | 3,0                  |                           |               |                                |
| 767CF6 | DEFAULT    | 3        | Descente         | D-25    | 1 500,0              | 143,0           | 3,0                  |                           |               |                                |
| 767CF6 | DEFAULT    | 4        | Descente         | D-30    | 1 000,0              | 138,5           | 3,0                  |                           |               |                                |
| 767CF6 | DEFAULT    | 5        | Atterrissage     | D-30    |                      |                 |                      | 327,6                     |               |                                |
| 767CF6 | DEFAULT    | 6        | Décélération     |         |                      | 131,4           |                      |                           | 2 948,4       | 10,0                           |
| 767CF6 | DEFAULT    | 7        | Décélération     |         |                      | 30,0            |                      |                           | 0,0           | 10,0                           |
| 767JT9 | DEFAULT    | 1        | Descente         | ZERO    | 6 000,0              | 250,0           | 3,0                  |                           |               |                                |
| 767JT9 | DEFAULT    | 2        | Descente         | 5       | 3 000,0              | 168,5           | 3,0                  |                           |               |                                |
| 767JT9 | DEFAULT    | 3        | Descente         | D-25    | 1 500,0              | 143,0           | 3,0                  |                           |               |                                |
| 767JT9 | DEFAULT    | 4        | Descente         | D-30    | 1 000,0              | 138,5           | 3,0                  |                           |               |                                |
| 767JT9 | DEFAULT    | 5        | Atterrissage     | D-30    |                      |                 |                      | 331,6                     |               |                                |
| 767JT9 | DEFAULT    | 6        | Décélération     |         |                      | 131,4           |                      |                           | 2 984,4       | 10,0                           |
| 767JT9 | DEFAULT    | 7        | Décélération     |         |                      | 30,0            |                      |                           | 0,0           | 10,0                           |
| 7773ER | DEFAULT    | 1        | Descente-ralenti |         | 6 000,0              | 249,9           | 3,0                  |                           |               |                                |
| 7773ER | DEFAULT    | 2        | Palier-ralenti   |         | 3 000,0              | 249,9           |                      |                           | 20 776,0      |                                |
| 7773ER | DEFAULT    | 3        | Palier-ralenti   |         | 3 000,0              | 210,6           |                      |                           | 10 088,0      |                                |
| 7773ER | DEFAULT    | 4        | Palier-ralenti   |         | 3 000,0              | 185,4           |                      |                           | 5 926,0       |                                |
| 7773ER | DEFAULT    | 5        | Descente-ralenti |         | 3 000,0              | 170,4           | 3,0                  |                           |               |                                |
| 7773ER | DEFAULT    | 6        | Descente         | F_30    | 2 700,0              | 147,8           | 3,0                  |                           |               |                                |
| 7773ER | DEFAULT    | 7        | Atterrissage     | F_30    |                      |                 |                      | 427,1                     |               |                                |
| 7773ER | DEFAULT    | 8        | Décélération     |         |                      | 140,8           |                      |                           | 3 843,5       | 10,0                           |
| 7773ER | DEFAULT    | 9        | Décélération     |         |                      | 30,0            |                      |                           | 0,0           | 10,0                           |

| ACFTID     | Profile_ID | N° étape | Type étape       | FLAP_ID | Altitude départ (ft) | CAS départ (kt) | Angle descente (deg) | Roulage atterrissage (ft) | Distance (ft) | Poussée départ (% poussée max) |
|------------|------------|----------|------------------|---------|----------------------|-----------------|----------------------|---------------------------|---------------|--------------------------------|
| 7878R      | DEFAULT    | 1        | Descente-ralenti |         | 6 000,0              | 249,0           | 3,0                  |                           |               |                                |
| 7878R      | DEFAULT    | 2        | Palier-ralenti   |         | 3 000,0              | 249,5           |                      |                           | 20 950,0      |                                |
| 7878R      | DEFAULT    | 3        | Palier-ralenti   |         | 3 000,0              | 214,3           |                      |                           | 10 000,0      |                                |
| 7878R      | DEFAULT    | 4        | Palier-ralenti   |         | 3 000,0              | 178,9           |                      |                           | 5 000,0       |                                |
| 7878R      | DEFAULT    | 5        | Descente-ralenti |         | 3 000,0              | 157,0           | 3,0                  |                           |               |                                |
| 7878R      | DEFAULT    | 6        | Descente         | FLAP30  | 2 725,0              | 142,3           | 3,0                  |                           |               |                                |
| 7878R      | DEFAULT    | 7        | Atterrissage     | FLAP30  |                      |                 |                      | 362,7                     |               |                                |
| 7878R      | DEFAULT    | 8        | Décélération     |         |                      | 135,3           |                      |                           | 3 264,3       | 10,0                           |
| 7878R      | DEFAULT    | 9        | Décélération     |         |                      | 30,0            |                      |                           | 0,0           | 10,0                           |
| A300-622R  | DEFAULT    | 1        | Descente-ralenti |         | 6 000,0              | 250,0           | 3,3                  |                           |               |                                |
| A300-622R  | DEFAULT    | 2        | Palier-ralenti   |         | 3 000,0              | 250,0           |                      |                           | 14 583,3      |                                |
| A300-622R  | DEFAULT    | 3        | Palier-ralenti   |         | 3 000,0              | 210,9           |                      |                           | 7 398,3       |                                |
| A300-622R  | DEFAULT    | 4        | Descente-ralenti |         | 3 000,0              | 185,1           | 3,0                  |                           |               |                                |
| A300-622R  | DEFAULT    | 5        | Descente-ralenti |         | 2 417,0              | 175,9           | 3,0                  |                           |               |                                |
| A300-622R  | DEFAULT    | 6        | Descente-ralenti |         | 1 818,0              | 149,0           | 3,0                  |                           |               |                                |
| A300-622R  | DEFAULT    | 7        | Descente         | FULL_D  | 1 615,0              | 133,5           | 3,0                  |                           |               |                                |
| A300-622R  | DEFAULT    | 8        | Descente         | FULL_D  | 50,0                 | 133,5           | 3,0                  |                           |               |                                |
| A300-622R  | DEFAULT    | 9        | Atterrissage     | FULL_D  |                      |                 |                      | 305,3                     |               |                                |
| A300-622R  | DEFAULT    | 10       | Décélération     |         |                      | 130,5           |                      |                           | 2 747,8       | 10,0                           |
| A300-622R  | DEFAULT    | 11       | Décélération     |         |                      | 30,0            |                      |                           | 0,0           | 10,0                           |
| A300B4-203 | DEFAULT    | 1        | Descente         | ZERO    | 6 000,0              | 250,0           | 3,0                  |                           |               |                                |
| A300B4-203 | DEFAULT    | 2        | Descente         | 1       | 3 000,0              | 158,5           | 3,0                  |                           |               |                                |

| ACFTID     | Profile_ID | N° étape | Type étape       | FLAP_ID | Altitude départ (ft) | CAS départ (kt) | Angle descente (deg) | Roulage atterrissage (ft) | Distance (ft) | Poussée départ (% poussée max) |
|------------|------------|----------|------------------|---------|----------------------|-----------------|----------------------|---------------------------|---------------|--------------------------------|
| A300B4-203 | DEFAULT    | 3        | Descente         | D-15    | 1 500,0              | 148,5           | 3,0                  |                           |               |                                |
| A300B4-203 | DEFAULT    | 4        | Descente         | D-25    | 1 000,0              | 140,0           | 3,0                  |                           |               |                                |
| A300B4-203 | DEFAULT    | 5        | Atterrissage     | D-25    |                      |                 |                      | 387,6                     |               |                                |
| A300B4-203 | DEFAULT    | 6        | Décélération     |         |                      | 132,8           |                      |                           | 3 488,4       | 40,0                           |
| A300B4-203 | DEFAULT    | 7        | Décélération     |         |                      | 30,0            |                      |                           | 0,0           | 10,0                           |
| A310-304   | DEFAULT    | 1        | Descente-ralenti |         | 6 000,0              | 250,0           | 3,2                  |                           |               |                                |
| A310-304   | DEFAULT    | 2        | Palier-ralenti   |         | 3 000,0              | 250,0           |                      |                           | 14 609,6      |                                |
| A310-304   | DEFAULT    | 3        | Palier-ralenti   |         | 3 000,0              | 211,6           |                      |                           | 8 736,9       |                                |
| A310-304   | DEFAULT    | 4        | Descente-ralenti |         | 3 000,0              | 180,6           | 3,0                  |                           |               |                                |
| A310-304   | DEFAULT    | 5        | Descente-ralenti |         | 2 551,0              | 169,3           | 3,0                  |                           |               |                                |
| A310-304   | DEFAULT    | 6        | Descente-ralenti |         | 2 147,0              | 148,0           | 3,0                  |                           |               |                                |
| A310-304   | DEFAULT    | 7        | Descente         | FULL_D  | 2 000,0              | 134,6           | 3,0                  |                           |               |                                |
| A310-304   | DEFAULT    | 8        | Descente         | FULL_D  | 50,0                 | 134,6           | 3,0                  |                           |               |                                |
| A310-304   | DEFAULT    | 9        | Atterrissage     | FULL_D  |                      |                 |                      | 302,9                     |               |                                |
| A310-304   | DEFAULT    | 10       | Décélération     |         |                      | 131,6           |                      |                           | 2 726,6       | 10,0                           |
| A310-304   | DEFAULT    | 11       | Décélération     |         |                      | 30,0            |                      |                           | 0,0           | 10,0                           |
| A319-131   | DEFAULT    | 1        | Descente-ralenti |         | 6 000,0              | 250,0           | 3,1                  |                           |               |                                |
| A319-131   | DEFAULT    | 2        | Palier-ralenti   |         | 3 000,0              | 250,0           |                      |                           | 19 940,9      |                                |
| A319-131   | DEFAULT    | 3        | Palier-ralenti   |         | 3 000,0              | 197,5           |                      |                           | 4 813,0       |                                |
| A319-131   | DEFAULT    | 4        | Descente-ralenti |         | 3 000,0              | 181,4           | 3,0                  |                           |               |                                |
| A319-131   | DEFAULT    | 5        | Descente-ralenti |         | 2 610,0              | 167,7           | 3,0                  |                           |               |                                |
| A319-131   | DEFAULT    | 6        | Descente-ralenti |         | 2 114,0              | 138,4           | 3,0                  |                           |               |                                |

| ACFTID   | Profile_ID | N° étape | Type étape       | FLAP_ID | Altitude départ (ft) | CAS départ (kt) | Angle descente (deg) | Roulage atterrissage (ft) | Distance (ft) | Poussée départ (% poussée max) |
|----------|------------|----------|------------------|---------|----------------------|-----------------|----------------------|---------------------------|---------------|--------------------------------|
| A319-131 | DEFAULT    | 7        | Descente         | FULL_D  | 1 971,0              | 125,3           | 3,0                  |                           |               |                                |
| A319-131 | DEFAULT    | 8        | Descente         | FULL_D  | 50,0                 | 125,3           | 3,0                  |                           |               |                                |
| A319-131 | DEFAULT    | 9        | Atterrissage     | FULL_D  |                      |                 |                      | 152,3                     |               |                                |
| A319-131 | DEFAULT    | 10       | Décélération     |         |                      | 122,3           |                      |                           | 1 370,6       | 40,0                           |
| A319-131 | DEFAULT    | 11       | Décélération     |         |                      | 30,0            |                      |                           | 0,0           | 10,0                           |
| A320-211 | DEFAULT    | 1        | Descente-ralenti |         | 6 000,0              | 250,0           | 3,5                  |                           |               |                                |
| A320-211 | DEFAULT    | 2        | Palier-ralenti   |         | 3 000,0              | 250,0           |                      |                           | 16 811,0      |                                |
| A320-211 | DEFAULT    | 3        | Palier-ralenti   |         | 3 000,0              | 201,1           |                      |                           | 5 547,9       |                                |
| A320-211 | DEFAULT    | 4        | Descente-ralenti |         | 3 000,0              | 182,2           | 3,0                  |                           |               |                                |
| A320-211 | DEFAULT    | 5        | Descente-ralenti |         | 2 614,0              | 173,7           | 3,0                  |                           |               |                                |
| A320-211 | DEFAULT    | 6        | Descente-ralenti |         | 1 942,0              | 141,0           | 3,0                  |                           |               |                                |
| A320-211 | DEFAULT    | 7        | Descente         | FULL_D  | 1 823,0              | 132,6           | 3,0                  |                           |               |                                |
| A320-211 | DEFAULT    | 8        | Descente         | FULL_D  | 50,0                 | 132,6           | 3,0                  |                           |               |                                |
| A320-211 | DEFAULT    | 9        | Atterrissage     | FULL_D  |                      |                 |                      | 303,5                     |               |                                |
| A320-211 | DEFAULT    | 10       | Décélération     |         |                      | 129,6           |                      |                           | 2 731,6       | 40,0                           |
| A320-211 | DEFAULT    | 11       | Décélération     |         |                      | 30,0            |                      |                           | 0,0           | 10,0                           |
| A320-232 | DEFAULT    | 1        | Descente-ralenti |         | 6 000,0              | 250,0           | 2,8                  |                           |               |                                |
| A320-232 | DEFAULT    | 2        | Palier-ralenti   |         | 3 000,0              | 250,0           |                      |                           | 20 003,3      |                                |
| A320-232 | DEFAULT    | 3        | Palier-ralenti   |         | 3 000,0              | 198,7           |                      |                           | 4 629,3       |                                |
| A320-232 | DEFAULT    | 4        | Descente-ralenti |         | 3 000,0              | 183,5           | 3,0                  |                           |               |                                |
| A320-232 | DEFAULT    | 5        | Descente-ralenti |         | 2 613,0              | 172,8           | 3,0                  |                           |               |                                |
| A320-232 | DEFAULT    | 6        | Descente-ralenti |         | 2 033,0              | 142,2           | 3,0                  |                           |               |                                |

| ACFTID   | Profile_ID | N° étape | Type étape       | FLAP_ID | Altitude départ (ft) | CAS départ (kt) | Angle descente (deg) | Roulage atterrissage (ft) | Distance (ft) | Poussée départ (% poussée max) |
|----------|------------|----------|------------------|---------|----------------------|-----------------|----------------------|---------------------------|---------------|--------------------------------|
| A320-232 | DEFAULT    | 7        | Descente         | FULL_D  | 1 819,0              | 133,8           | 3,0                  |                           |               |                                |
| A320-232 | DEFAULT    | 8        | Descente         | FULL_D  | 50,0                 | 133,8           | 3,0                  |                           |               |                                |
| A320-232 | DEFAULT    | 9        | Atterrissage     | FULL_D  |                      |                 |                      | 311,0                     |               |                                |
| A320-232 | DEFAULT    | 10       | Décélération     |         |                      | 130,8           |                      |                           | 2 799,4       | 40,0                           |
| A320-232 | DEFAULT    | 11       | Décélération     |         |                      | 30,0            |                      |                           | 0,0           | 10,0                           |
| A321-232 | DEFAULT    | 1        | Descente-ralenti |         | 6 000,0              | 250,0           | 3,1                  |                           |               |                                |
| A321-232 | DEFAULT    | 2        | Palier-ralenti   |         | 3 000,0              | 250,0           |                      |                           | 14 717,8      |                                |
| A321-232 | DEFAULT    | 3        | Palier-ralenti   |         | 3 000,0              | 211,2           |                      |                           | 6 135,2       |                                |
| A321-232 | DEFAULT    | 4        | Descente-ralenti |         | 3 000,0              | 191,6           | 3,0                  |                           |               |                                |
| A321-232 | DEFAULT    | 5        | Descente-ralenti |         | 2 530,0              | 175,2           | 3,0                  |                           |               |                                |
| A321-232 | DEFAULT    | 6        | Descente-ralenti |         | 2 133,0              | 149,8           | 3,0                  |                           |               |                                |
| A321-232 | DEFAULT    | 7        | Descente         | FULL_D  | 2 003,0              | 138,5           | 3,0                  |                           |               |                                |
| A321-232 | DEFAULT    | 8        | Descente         | FULL_D  | 50,0                 | 138,5           | 3,0                  |                           |               |                                |
| A321-232 | DEFAULT    | 9        | Atterrissage     | FULL_D  |                      |                 |                      | 345,2                     |               |                                |
| A321-232 | DEFAULT    | 10       | Décélération     |         |                      | 135,5           |                      |                           | 3 106,8       | 40,0                           |
| A321-232 | DEFAULT    | 11       | Décélération     |         |                      | 30,0            |                      |                           | 0,0           | 10,0                           |
| A330-301 | DEFAULT    | 1        | Descente-ralenti |         | 6 000,0              | 250,0           | 3,1                  |                           |               |                                |
| A330-301 | DEFAULT    | 2        | Palier-ralenti   |         | 3 000,0              | 250,0           |                      |                           | 19 547,2      |                                |
| A330-301 | DEFAULT    | 3        | Palier-ralenti   |         | 3 000,0              | 200,9           |                      |                           | 10 029,5      |                                |
| A330-301 | DEFAULT    | 4        | Descente-ralenti |         | 3 000,0              | 166,0           | 3,0                  |                           |               |                                |
| A330-301 | DEFAULT    | 5        | Descente-ralenti |         | 2 547,0              | 154,0           | 3,0                  |                           |               |                                |
| A330-301 | DEFAULT    | 6        | Descente-ralenti |         | 2 292,0              | 140,5           | 3,0                  |                           |               |                                |

| ACFTID   | Profile_ID | N° étape | Type étape       | FLAP_ID | Altitude départ (ft) | CAS départ (kt) | Angle descente (deg) | Roulage atterrissage (ft) | Distance (ft) | Poussée départ (% poussée max) |
|----------|------------|----------|------------------|---------|----------------------|-----------------|----------------------|---------------------------|---------------|--------------------------------|
| A330-301 | DEFAULT    | 7        | Descente         | FULL_D  | 2 144,0              | 130,9           | 3,0                  |                           |               |                                |
| A330-301 | DEFAULT    | 8        | Descente         | FULL_D  | 50,0                 | 130,9           | 3,0                  |                           |               |                                |
| A330-301 | DEFAULT    | 9        | Atterrissage     | FULL_D  |                      |                 |                      | 210,4                     |               |                                |
| A330-301 | DEFAULT    | 10       | Décélération     |         |                      | 127,9           |                      |                           | 1 893,8       | 10,0                           |
| A330-301 | DEFAULT    | 11       | Décélération     |         |                      | 30,0            |                      |                           | 0,0           | 10,0                           |
| A330-343 | DEFAULT    | 1        | Descente-ralenti |         | 6 000,0              | 250,0           | 2,4                  |                           |               |                                |
| A330-343 | DEFAULT    | 2        | Palier-ralenti   |         | 3 000,0              | 250,0           |                      |                           | 20 711,9      |                                |
| A330-343 | DEFAULT    | 3        | Palier-ralenti   |         | 3 000,0              | 207,9           |                      |                           | 11 430,4      |                                |
| A330-343 | DEFAULT    | 4        | Descente-ralenti |         | 3 000,0              | 174,4           | 3,0                  |                           |               |                                |
| A330-343 | DEFAULT    | 5        | Descente-ralenti |         | 2 517,0              | 165,0           | 3,0                  |                           |               |                                |
| A330-343 | DEFAULT    | 6        | Descente-ralenti |         | 2 431,0              | 161,7           | 3,0                  |                           |               |                                |
| A330-343 | DEFAULT    | 7        | Descente-ralenti |         | 2 113,0              | 146,6           | 3,0                  |                           |               |                                |
| A330-343 | DEFAULT    | 8        | Descente         | FULL_D  | 1 938,0              | 135,5           | 3,0                  |                           |               |                                |
| A330-343 | DEFAULT    | 9        | Descente         | FULL_D  | 50,0                 | 135,5           | 3,0                  |                           |               |                                |
| A330-343 | DEFAULT    | 10       | Atterrissage     | FULL_D  |                      |                 |                      | 378,0                     |               |                                |
| A330-343 | DEFAULT    | 11       | Décélération     |         |                      | 132,5           |                      |                           | 3 402,6       | 10,0                           |
| A330-343 | DEFAULT    | 12       | Décélération     |         |                      | 30,0            |                      |                           | 0,0           | 10,0                           |
| A340-211 | DEFAULT    | 1        | Descente-ralenti |         | 6 000,0              | 250,0           | 3,3                  |                           |               |                                |
| A340-211 | DEFAULT    | 2        | Palier-ralenti   |         | 3 000,0              | 250,0           |                      |                           | 14 038,7      |                                |
| A340-211 | DEFAULT    | 3        | Palier-ralenti   |         | 3 000,0              | 212,7           |                      |                           | 10 866,1      |                                |
| A340-211 | DEFAULT    | 4        | Descente-ralenti |         | 3 000,0              | 175,6           | 3,0                  |                           |               |                                |
| A340-211 | DEFAULT    | 5        | Descente-ralenti |         | 2 471,0              | 160,3           | 3,0                  |                           |               |                                |

| ACFTID   | Profile_ID | N° étape | Type étape       | FLAP_ID | Altitude départ (ft) | CAS départ (kt) | Angle descente (deg) | Roulage atterrissage (ft) | Distance (ft) | Poussée départ (% poussée max) |
|----------|------------|----------|------------------|---------|----------------------|-----------------|----------------------|---------------------------|---------------|--------------------------------|
| A340-211 | DEFAULT    | 6        | Descente-ralenti |         | 2 336,0              | 153,8           | 3,0                  |                           |               |                                |
| A340-211 | DEFAULT    | 7        | Descente-ralenti |         | 2 066,0              | 138,5           | 3,0                  |                           |               |                                |
| A340-211 | DEFAULT    | 8        | Descente         | FULL_D  | 1 976,0              | 132,1           | 3,0                  |                           |               |                                |
| A340-211 | DEFAULT    | 9        | Descente         | FULL_D  | 50,0                 | 132,1           | 3,0                  |                           |               |                                |
| A340-211 | DEFAULT    | 10       | Atterrissage     | FULL_D  |                      |                 |                      | 381,8                     |               |                                |
| A340-211 | DEFAULT    | 11       | Décélération     |         |                      | 129,1           |                      |                           | 3 436,6       | 10,0                           |
| A340-211 | DEFAULT    | 12       | Décélération     |         |                      | 30,0            |                      |                           | 0,0           | 10,0                           |
| A340-642 | DEFAULT    | 1        | Descente-ralenti |         | 6 000,0              | 250,0           | 2,8                  |                           |               |                                |
| A340-642 | DEFAULT    | 2        | Palier-ralenti   |         | 3 000,0              | 250,0           |                      |                           | 15 853,0      |                                |
| A340-642 | DEFAULT    | 3        | Palier-ralenti   |         | 3 000,0              | 212,1           |                      |                           | 9 839,2       |                                |
| A340-642 | DEFAULT    | 4        | Descente-ralenti |         | 3 000,0              | 188,5           | 3,0                  |                           |               |                                |
| A340-642 | DEFAULT    | 5        | Descente-ralenti |         | 2 333,0              | 178,1           | 3,0                  |                           |               |                                |
| A340-642 | DEFAULT    | 6        | Descente-ralenti |         | 2 191,0              | 173,2           | 3,0                  |                           |               |                                |
| A340-642 | DEFAULT    | 7        | Descente-ralenti |         | 1 805,0              | 155,5           | 3,0                  |                           |               |                                |
| A340-642 | DEFAULT    | 8        | Descente         | FULL_D  | 1 650,0              | 147,8           | 3,0                  |                           |               |                                |
| A340-642 | DEFAULT    | 9        | Descente         | FULL_D  | 50,0                 | 147,8           | 3,0                  |                           |               |                                |
| A340-642 | DEFAULT    | 10       | Atterrissage     | FULL_D  |                      |                 |                      | 280,7                     |               |                                |
| A340-642 | DEFAULT    | 11       | Décélération     |         |                      | 144,8           |                      |                           | 2 526,5       | 10,0                           |
| A340-642 | DEFAULT    | 12       | Décélération     |         |                      | 30,0            |                      |                           | 0,0           | 10,0                           |
| A380-841 | DEFAULT    | 1        | Descente-ralenti |         | 6 000,0              | 250,0           | 3,0                  |                           |               |                                |
| A380-841 | DEFAULT    | 2        | Palier-ralenti   |         | 3 000,0              | 250,0           |                      |                           | 18 044,6      |                                |
| A380-841 | DEFAULT    | 3        | Palier           | A_1+F   | 3 000,0              |                 |                      |                           | 11 893,0      |                                |

| ACFTID   | Profile_ID | N° étape | Type étape       | FLAP_ID | Altitude départ (ft) | CAS départ (kt) | Angle descente (deg) | Roulage atterrissage (ft) | Distance (ft) | Poussée départ (% poussée max) |
|----------|------------|----------|------------------|---------|----------------------|-----------------|----------------------|---------------------------|---------------|--------------------------------|
| A380-841 | DEFAULT    | 4        | Palier-ralenti   |         | 3 000,0              | 205,0           |                      |                           | 9 691,6       |                                |
| A380-841 | DEFAULT    | 5        | Descente-ralenti |         | 3 000,0              | 172,6           | 3,0                  |                           |               |                                |
| A380-841 | DEFAULT    | 6        | Descente-ralenti |         | 2 446,0              | 161,2           | 3,0                  |                           |               |                                |
| A380-841 | DEFAULT    | 7        | Descente         | A_FULL  | 1 976,0              | 136,3           | 3,0                  |                           |               |                                |
| A380-841 | DEFAULT    | 8        | Descente         | A_FULL  | 50,0                 | 136,3           | 3,0                  |                           |               |                                |
| A380-841 | DEFAULT    | 9        | Atterrissage     | A_FULL  |                      |                 |                      | 636,8                     |               |                                |
| A380-841 | DEFAULT    | 10       | Décélération     |         |                      | 136,3           |                      |                           | 5 731,3       | 10,0                           |
| A380-841 | DEFAULT    | 11       | Décélération     |         |                      | 30,0            |                      |                           | 0,0           | 10,0                           |
| A380-861 | DEFAULT    | 1        | Descente-ralenti |         | 6 000,0              | 250,0           | 2,7                  |                           |               |                                |
| A380-861 | DEFAULT    | 2        | Palier-ralenti   |         | 3 000,0              | 250,0           |                      |                           | 20 036,1      |                                |
| A380-861 | DEFAULT    | 3        | Palier           | A_1+F   | 3 000,0              |                 |                      |                           | 11 896,0      |                                |
| A380-861 | DEFAULT    | 4        | Palier-ralenti   |         | 3 000,0              | 205,0           |                      |                           | 10 213,0      |                                |
| A380-861 | DEFAULT    | 5        | Descente-ralenti |         | 3 000,0              | 172,6           | 3,0                  |                           |               |                                |
| A380-861 | DEFAULT    | 6        | Descente-ralenti |         | 2 445,0              | 161,2           | 3,0                  |                           |               |                                |
| A380-861 | DEFAULT    | 7        | Descente         | A_FULL  | 1 976,0              | 136,3           | 3,0                  |                           |               |                                |
| A380-861 | DEFAULT    | 8        | Descente         | A_FULL  | 50,0                 | 136,3           | 3,0                  |                           |               |                                |
| A380-861 | DEFAULT    | 9        | Atterrissage     | A_FULL  |                      |                 |                      | 636,8                     |               |                                |
| A380-861 | DEFAULT    | 10       | Décélération     |         |                      | 136,3           |                      |                           | 5 731,3       | 10,0                           |
| A380-861 | DEFAULT    | 11       | Décélération     |         |                      | 30,0            |                      |                           | 0,0           | 10,0                           |
| BAC111   | DEFAULT    | 1        | Descente         | ZERO    | 6 000,0              | 250,0           | 3,0                  |                           |               |                                |
| BAC111   | DEFAULT    | 2        | Descente         | INT1    | 3 000,0              | 153,3           | 3,0                  |                           |               |                                |
| BAC111   | DEFAULT    | 3        | Descente         | U-INT   | 1 500,0              | 143,3           | 3,0                  |                           |               |                                |

| ACFTID | Profile_ID | N° étape | Type étape   | FLAP_ID | Altitude départ (ft) | CAS départ (kt) | Angle descente (deg) | Roulage atterrissage (ft) | Distance (ft) | Poussée départ (% poussée max) |
|--------|------------|----------|--------------|---------|----------------------|-----------------|----------------------|---------------------------|---------------|--------------------------------|
| BAC111 | DEFAULT    | 4        | Descente     | D-45    | 1 000,0              | 133,3           | 3,0                  |                           |               |                                |
| BAC111 | DEFAULT    | 5        | Atterrissage | D-45    |                      |                 |                      | 305,0                     |               |                                |
| BAC111 | DEFAULT    | 6        | Décélération |         |                      | 126,5           |                      |                           | 2 745,0       | 40,0                           |
| BAC111 | DEFAULT    | 7        | Décélération |         |                      | 30,0            |                      |                           | 0,0           | 10,0                           |
| BAE146 | DEFAULT    | 1        | Descente     | ZERO    | 6 000,0              | 250,0           | 3,0                  |                           |               |                                |
| BAE146 | DEFAULT    | 2        | Descente     | 18      | 3 000,0              | 180,0           | 3,0                  |                           |               |                                |
| BAE146 | DEFAULT    | 3        | Descente     | D-24    | 1 500,0              | 166,5           | 3,0                  |                           |               |                                |
| BAE146 | DEFAULT    | 4        | Descente     | D-33    | 1 000,0              | 123,0           | 3,0                  |                           |               |                                |
| BAE146 | DEFAULT    | 5        | Atterrissage | D-33    |                      |                 |                      | 243,9                     |               |                                |
| BAE146 | DEFAULT    | 6        | Décélération |         |                      | 116,7           |                      |                           | 2 195,1       | 40,0                           |
| BAE146 | DEFAULT    | 7        | Décélération |         |                      | 30,0            |                      |                           | 0,0           | 10,0                           |
| BAE300 | DEFAULT    | 1        | Descente     | ZERO    | 6 000,0              | 250,0           | 3,0                  |                           |               |                                |
| BAE300 | DEFAULT    | 2        | Descente     | 18      | 3 000,0              | 180,0           | 3,0                  |                           |               |                                |
| BAE300 | DEFAULT    | 3        | Descente     | D-24    | 1 500,0              | 167,0           | 3,0                  |                           |               |                                |
| BAE300 | DEFAULT    | 4        | Descente     | D-33    | 1 000,0              | 124,4           | 3,0                  |                           |               |                                |
| BAE300 | DEFAULT    | 5        | Atterrissage | D-33    |                      |                 |                      | 261,0                     |               |                                |
| BAE300 | DEFAULT    | 6        | Décélération |         |                      | 118,0           |                      |                           | 2 349,0       | 40,0                           |
| BAE300 | DEFAULT    | 7        | Décélération |         |                      | 30,0            |                      |                           | 0,0           | 10,0                           |
| BEC58P | DEFAULT    | 1        | Descente     | ZERO    | 6 000,0              | 130,0           | 5,0                  |                           |               |                                |
| BEC58P | DEFAULT    | 2        | Descente     | TO      | 3 000,0              | 119,0           | 5,0                  |                           |               |                                |
| BEC58P | DEFAULT    | 3        | Descente     | D-15    | 1 500,0              | 109,0           | 5,0                  |                           |               |                                |
| BEC58P | DEFAULT    | 4        | Descente     | D-30    | 1 000,0              | 99,0            | 5,0                  |                           |               |                                |

| ACFTID | Profile_ID | N° étape | Type étape   | FLAP_ID | Altitude départ (ft) | CAS départ (kt) | Angle descente (deg) | Roulage atterrissage (ft) | Distance (ft) | Poussée départ (% poussée max) |
|--------|------------|----------|--------------|---------|----------------------|-----------------|----------------------|---------------------------|---------------|--------------------------------|
| BEC58P | DEFAULT    | 5        | Atterrissage | D-30    |                      |                 |                      | 188,8                     |               |                                |
| BEC58P | DEFAULT    | 6        | Décélération |         |                      | 93,9            |                      |                           | 1 699,2       | 40,0                           |
| BEC58P | DEFAULT    | 7        | Décélération |         |                      | 30,0            |                      |                           | 0,0           | 10,0                           |
| BEC58P | STD_3DEG   | 1        | Descente     | ZERO    | 6 000,0              | 130,0           | 3,0                  |                           |               |                                |
| BEC58P | STD_3DEG   | 2        | Descente     | TO      | 3 000,0              | 119,0           | 3,0                  |                           |               |                                |
| BEC58P | STD_3DEG   | 3        | Descente     | D-15    | 1 500,0              | 109,0           | 3,0                  |                           |               |                                |
| BEC58P | STD_3DEG   | 4        | Descente     | D-30    | 1 000,0              | 99,0            | 3,0                  |                           |               |                                |
| BEC58P | STD_3DEG   | 5        | Atterrissage | D-30    |                      |                 |                      | 188,8                     |               |                                |
| BEC58P | STD_3DEG   | 6        | Décélération |         |                      | 93,9            |                      |                           | 1 699,2       | 40,0                           |
| BEC58P | STD_3DEG   | 7        | Décélération |         |                      | 30,0            |                      |                           | 0,0           | 10,0                           |
| BEC58P | STD_5DEG   | 1        | Descente     | ZERO    | 6 000,0              | 130,0           | 5,0                  |                           |               |                                |
| BEC58P | STD_5DEG   | 2        | Descente     | TO      | 3 000,0              | 119,0           | 5,0                  |                           |               |                                |
| BEC58P | STD_5DEG   | 3        | Descente     | D-15    | 1 500,0              | 109,0           | 5,0                  |                           |               |                                |
| BEC58P | STD_5DEG   | 4        | Descente     | D-30    | 1 000,0              | 99,0            | 5,0                  |                           |               |                                |
| BEC58P | STD_5DEG   | 5        | Atterrissage | D-30    |                      |                 |                      | 188,8                     |               |                                |
| BEC58P | STD_5DEG   | 6        | Décélération |         |                      | 93,9            |                      |                           | 1 699,2       | 40,0                           |
| BEC58P | STD_5DEG   | 7        | Décélération |         |                      | 30,0            |                      |                           | 0,0           | 10,0                           |
| CIT3   | DEFAULT    | 1        | Descente     | ZERO    | 6 000,0              | 250,0           | 3,0                  |                           |               |                                |
| CIT3   | DEFAULT    | 2        | Descente     | 10      | 3 000,0              | 139,5           | 3,0                  |                           |               |                                |
| CIT3   | DEFAULT    | 3        | Descente     | D-INTR  | 1 500,0              | 129,5           | 3,0                  |                           |               |                                |
| CIT3   | DEFAULT    | 4        | Descente     | D-40    | 1 000,0              | 119,5           | 3,0                  |                           |               |                                |
| CIT3   | DEFAULT    | 5        | Atterrissage | D-40    |                      |                 |                      | 153,9                     |               |                                |

| ACFTID | Profile_ID | N° étape | Type étape   | FLAP_ID | Altitude départ (ft) | CAS départ (kt) | Angle descente (deg) | Roulage atterrissage (ft) | Distance (ft) | Poussée départ (% poussée max) |
|--------|------------|----------|--------------|---------|----------------------|-----------------|----------------------|---------------------------|---------------|--------------------------------|
| CIT3   | DEFAULT    | 6        | Décélération |         |                      | 113,4           |                      |                           | 1 385,1       | 40,0                           |
| CIT3   | DEFAULT    | 7        | Décélération |         |                      | 30,0            |                      |                           | 0,0           | 10,0                           |
| CL600  | DEFAULT    | 1        | Descente     | ZERO    | 6 000,0              | 250,0           | 3,0                  |                           |               |                                |
| CL600  | DEFAULT    | 2        | Descente     | 10      | 3 000,0              | 152,1           | 3,0                  |                           |               |                                |
| CL600  | DEFAULT    | 3        | Descente     | D-INTR  | 1 500,0              | 142,1           | 3,0                  |                           |               |                                |
| CL600  | DEFAULT    | 4        | Descente     | D-45    | 1 000,0              | 132,1           | 3,0                  |                           |               |                                |
| CL600  | DEFAULT    | 5        | Atterrissage | D-45    |                      |                 |                      | 201,6                     |               |                                |
| CL600  | DEFAULT    | 6        | Décélération |         |                      | 125,3           |                      |                           | 1 814,4       | 40,0                           |
| CL600  | DEFAULT    | 7        | Décélération |         |                      | 30,0            |                      |                           | 0,0           | 10,0                           |
| CL601  | DEFAULT    | 1        | Descente     | ZERO    | 6 000,0              | 250,0           | 3,0                  |                           |               |                                |
| CL601  | DEFAULT    | 2        | Descente     | 10      | 3 000,0              | 158,5           | 3,0                  |                           |               |                                |
| CL601  | DEFAULT    | 3        | Descente     | D-INTR  | 1 500,0              | 148,5           | 3,0                  |                           |               |                                |
| CL601  | DEFAULT    | 4        | Descente     | D-45    | 1 000,0              | 138,5           | 3,0                  |                           |               |                                |
| CL601  | DEFAULT    | 5        | Atterrissage | D-45    |                      |                 |                      | 224,1                     |               |                                |
| CL601  | DEFAULT    | 6        | Décélération |         |                      | 131,4           |                      |                           | 2 016,9       | 40,0                           |
| CL601  | DEFAULT    | 7        | Décélération |         |                      | 30,0            |                      |                           | 0,0           | 10,0                           |
| CNA172 | DEFAULT    | 1        | Descente     | ZERO-D  | 6 000,0              | 100,0           | 3,0                  |                           |               |                                |
| CNA172 | DEFAULT    | 2        | Descente     | ZERO-D  | 4 000,0              | 100,0           | 3,0                  |                           |               |                                |
| CNA172 | DEFAULT    | 3        | Descente     | ZERO-D  | 3 000,0              | 80,0            | 3,0                  |                           |               |                                |
| CNA172 | DEFAULT    | 4        | Descente     | 10-D    | 1 000,0              | 80,0            | 3,0                  |                           |               |                                |
| CNA172 | DEFAULT    | 5        | Descente     | 10-D    | 600,0                | 80,0            | 3,0                  |                           |               |                                |
| CNA172 | DEFAULT    | 6        | Descente     | 10-D    | 500,0                | 70,0            | 3,0                  |                           |               |                                |

| ACFTID | Profile_ID | N° étape | Type étape   | FLAP_ID | Altitude départ (ft) | CAS départ (kt) | Angle descente (deg) | Roulage atterrissage (ft) | Distance (ft) | Poussée départ (% poussée max) |
|--------|------------|----------|--------------|---------|----------------------|-----------------|----------------------|---------------------------|---------------|--------------------------------|
| CNA172 | DEFAULT    | 7        | Atterrissage | 10-D    |                      |                 |                      | 30,0                      |               |                                |
| CNA172 | DEFAULT    | 8        | Décélération |         |                      | 62,0            |                      |                           | 530,0         | 10,0                           |
| CNA172 | DEFAULT    | 9        | Décélération |         |                      | 10,0            |                      |                           | 0,0           | 10,0                           |
| CNA182 | DEFAULT    | 1        | Descente     | ZERO-A  | 6 000,0              | 110,0           | 3,0                  |                           |               |                                |
| CNA182 | DEFAULT    | 2        | Descente     | ZERO-A  | 4 000,0              | 90,0            | 3,0                  |                           |               |                                |
| CNA182 | DEFAULT    | 3        | Descente     | ZERO-A  | 2 000,0              | 70,0            | 3,0                  |                           |               |                                |
| CNA182 | DEFAULT    | 4        | Descente     | F10APP  | 1 000,0              | 70,0            | 3,0                  |                           |               |                                |
| CNA182 | DEFAULT    | 5        | Descente     | F30APP  | 500,0                | 65,0            | 3,0                  |                           |               |                                |
| CNA182 | DEFAULT    | 6        | Atterrissage | F30APP  |                      |                 |                      | 30,0                      |               |                                |
| CNA182 | DEFAULT    | 7        | Décélération |         |                      | 65,0            |                      |                           | 560,0         | 10,0                           |
| CNA182 | DEFAULT    | 8        | Décélération |         |                      | 10,0            |                      |                           | 0,0           | 10,0                           |
| CNA208 | DEFAULT    | 1        | Descente     | ZERO-A  | 6 000,0              | 140,0           | 3,0                  |                           |               |                                |
| CNA208 | DEFAULT    | 2        | Descente     | ZERO-A  | 4 000,0              | 124,0           | 3,0                  |                           |               |                                |
| CNA208 | DEFAULT    | 3        | Descente     | ZERO-A  | 2 000,0              | 108,0           | 3,0                  |                           |               |                                |
| CNA208 | DEFAULT    | 4        | Descente     | F30APP  | 1 000,0              | 100,0           | 3,0                  |                           |               |                                |
| CNA208 | DEFAULT    | 5        | Descente     | F30APP  | 500,0                | 80,0            | 3,0                  |                           |               |                                |
| CNA208 | DEFAULT    | 6        | Atterrissage | F30APP  |                      |                 |                      | 100,0                     |               |                                |
| CNA208 | DEFAULT    | 7        | Décélération |         |                      | 78,0            |                      |                           | 815,0         | 10,0                           |
| CNA208 | DEFAULT    | 8        | Décélération |         |                      | 30,0            |                      |                           | 0,0           | 10,0                           |
| CNA441 | DEFAULT    | 1        | Descente     | ZERO    | 6 000,0              | 160,0           | 3,0                  |                           |               |                                |
| CNA441 | DEFAULT    | 2        | Descente     | TO      | 3 000,0              | 113,9           | 3,0                  |                           |               |                                |
| CNA441 | DEFAULT    | 3        | Descente     | D-INTR  | 1 500,0              | 103,9           | 3,0                  |                           |               |                                |

| ACFTID  | Profile_ID | N° étape | Type étape   | FLAP_ID | Altitude départ (ft) | CAS départ (kt) | Angle descente (deg) | Roulage atterrissage (ft) | Distance (ft) | Poussée départ (% poussée max) |
|---------|------------|----------|--------------|---------|----------------------|-----------------|----------------------|---------------------------|---------------|--------------------------------|
| CNA441  | DEFAULT    | 4        | Descente     | D-L     | 1 000,0              | 93,9            | 3,0                  |                           |               |                                |
| CNA441  | DEFAULT    | 5        | Atterrissage | D-L     |                      |                 |                      | 79,1                      |               |                                |
| CNA441  | DEFAULT    | 6        | Décélération |         |                      | 89,1            |                      |                           | 711,9         | 40,0                           |
| CNA441  | DEFAULT    | 7        | Décélération |         |                      | 30,0            |                      |                           | 0,0           | 10,0                           |
| CNA500  | DEFAULT    | 1        | Descente     | ZERO    | 6 000,0              | 250,0           | 3,0                  |                           |               |                                |
| CNA500  | DEFAULT    | 2        | Descente     | 1       | 3 000,0              | 131,3           | 3,0                  |                           |               |                                |
| CNA500  | DEFAULT    | 3        | Descente     | D-INTR  | 1 500,0              | 121,3           | 3,0                  |                           |               |                                |
| CNA500  | DEFAULT    | 4        | Descente     | D-35    | 1 000,0              | 111,3           | 3,0                  |                           |               |                                |
| CNA500  | DEFAULT    | 5        | Atterrissage | D-35    |                      |                 |                      | 179,1                     |               |                                |
| CNA500  | DEFAULT    | 6        | Décélération |         |                      | 105,6           |                      |                           | 1 611,9       | 40,0                           |
| CNA500  | DEFAULT    | 7        | Décélération |         |                      | 30,0            |                      |                           | 0,0           | 10,0                           |
| CNA510  | DEFAULT    | 1        | Descente     | ZERO_C  | 6 000,0              | 250,0           | 3,0                  |                           |               |                                |
| CNA510  | DEFAULT    | 2        | Descente     | ZERO_C  | 3 000,0              | 160,0           | 3,0                  |                           |               |                                |
| CNA510  | DEFAULT    | 3        | Descente     | A_15    | 1 500,0              | 91,1            | 3,0                  |                           |               |                                |
| CNA510  | DEFAULT    | 4        | Descente     | A_35    | 1 000,0              | 85,1            | 3,0                  |                           |               |                                |
| CNA510  | DEFAULT    | 5        | Atterrissage | A_35    |                      |                 |                      | 175,5                     |               |                                |
| CNA510  | DEFAULT    | 6        | Décélération |         |                      | 78,1            |                      |                           | 1 579,5       | 40,0                           |
| CNA510  | DEFAULT    | 7        | Décélération |         |                      | 30,0            |                      |                           | 0,0           | 10,0                           |
| CNA525C | DEFAULT    | 1        | Descente     | ZERO_C  | 6 000,0              | 250,0           | 3,0                  |                           |               |                                |
| CNA525C | DEFAULT    | 2        | Descente     | ZERO_C  | 3 000,0              | 130,0           | 3,0                  |                           |               |                                |
| CNA525C | DEFAULT    | 3        | Descente     | A_15    | 1 500,0              | 119,7           | 3,0                  |                           |               |                                |
| CNA525C | DEFAULT    | 4        | Descente     | A_35    | 1 000,0              | 111,8           | 3,0                  |                           |               |                                |

| ACFTID  | Profile_ID | N° étape | Type étape   | FLAP_ID | Altitude départ (ft) | CAS départ (kt) | Angle descente (deg) | Roulage atterrissage (ft) | Distance (ft) | Poussée départ (% poussée max) |
|---------|------------|----------|--------------|---------|----------------------|-----------------|----------------------|---------------------------|---------------|--------------------------------|
| CNA525C | DEFAULT    | 5        | Atterrissage | A_35    |                      |                 |                      | 200,0                     |               |                                |
| CNA525C | DEFAULT    | 6        | Décélération |         |                      | 115,0           |                      |                           | 1 500,0       | 40,0                           |
| CNA525C | DEFAULT    | 7        | Décélération |         |                      | 30,0            |                      |                           | 0,0           | 10,0                           |
| CNA55B  | DEFAULT    | 1        | Descente     | ZERO_C  | 6 000,0              | 250,0           | 3,0                  |                           |               |                                |
| CNA55B  | DEFAULT    | 2        | Descente     | ZERO_C  | 3 000,0              | 160,0           | 3,0                  |                           |               |                                |
| CNA55B  | DEFAULT    | 3        | Descente     | A_15    | 1 500,0              | 111,8           | 3,0                  |                           |               |                                |
| CNA55B  | DEFAULT    | 4        | Descente     | A_35    | 1 000,0              | 105,3           | 3,0                  |                           |               |                                |
| CNA55B  | DEFAULT    | 5        | Atterrissage | A_35    |                      |                 |                      | 175,5                     |               |                                |
| CNA55B  | DEFAULT    | 6        | Décélération |         |                      | 100,0           |                      |                           | 1 580,0       | 40,0                           |
| CNA55B  | DEFAULT    | 7        | Décélération |         |                      | 30,0            |                      |                           | 0,0           | 10,0                           |
| CNA560E | DEFAULT    | 1        | Descente     | ZERO    | 6 000,0              | 250,0           | 3,0                  |                           |               |                                |
| CNA560E | DEFAULT    | 2        | Descente     | 15 U    | 3 000,0              | 107,5           | 3,0                  |                           |               |                                |
| CNA560E | DEFAULT    | 3        | Descente     | 35 D    | 1 500,0              | 101,8           | 3,0                  |                           |               |                                |
| CNA560E | DEFAULT    | 4        | Descente     | 35 D    | 1 000,0              | 101,8           | 3,0                  |                           |               |                                |
| CNA560E | DEFAULT    | 5        | Atterrissage | 35 D    |                      |                 |                      | 200,0                     |               |                                |
| CNA560E | DEFAULT    | 6        | Décélération |         |                      | 100,0           |                      |                           | 1 000,0       | 60,0                           |
| CNA560E | DEFAULT    | 7        | Décélération |         |                      | 30,0            |                      |                           | 0,0           | 10,0                           |
| CNA560U | DEFAULT    | 1        | Descente     | ZERO    | 6 000,0              | 250,0           | 3,0                  |                           |               |                                |
| CNA560U | DEFAULT    | 2        | Descente     | 7       | 3 000,0              | 120,0           | 3,0                  |                           |               |                                |
| CNA560U | DEFAULT    | 3        | Descente     | D 15    | 1 500,0              | 110,0           | 3,0                  |                           |               |                                |
| CNA560U | DEFAULT    | 4        | Descente     | D 35    | 1 000,0              | 101,8           | 3,0                  |                           |               |                                |
| CNA560U | DEFAULT    | 5        | Atterrissage | D 35    |                      |                 |                      | 175,0                     |               |                                |

| ACFTID   | Profile_ID | N° étape | Type étape   | FLAP_ID | Altitude départ (ft) | CAS départ (kt) | Angle descente (deg) | Roulage atterrissage (ft) | Distance (ft) | Poussée départ (% poussée max) |
|----------|------------|----------|--------------|---------|----------------------|-----------------|----------------------|---------------------------|---------------|--------------------------------|
| CNA560U  | DEFAULT    | 6        | Décélération |         |                      | 93,0            |                      |                           | 1 385,1       | 60,0                           |
| CNA560U  | DEFAULT    | 7        | Décélération |         |                      | 30,0            |                      |                           | 0,0           | 10,0                           |
| CNA560XL | DEFAULT    | 1        | Descente     | ZERO    | 6 000,0              | 250,0           | 3,0                  |                           |               |                                |
| CNA560XL | DEFAULT    | 2        | Descente     | ZERO    | 3 000,0              | 132,0           | 3,0                  |                           |               |                                |
| CNA560XL | DEFAULT    | 3        | Descente     | D 15U   | 1 500,0              | 122,0           | 3,0                  |                           |               |                                |
| CNA560XL | DEFAULT    | 4        | Descente     | D 35D   | 1 000,0              | 112,0           | 3,0                  |                           |               |                                |
| CNA560XL | DEFAULT    | 5        | Atterrissage | D 35D   |                      |                 |                      | 500,0                     |               |                                |
| CNA560XL | DEFAULT    | 6        | Décélération |         |                      | 108,0           |                      |                           | 2 700,0       | 60,0                           |
| CNA560XL | DEFAULT    | 7        | Décélération |         |                      | 30,0            |                      |                           | 0,0           | 10,0                           |
| CNA680   | DEFAULT    | 1        | Descente     | ZERO    | 6 000,0              | 250,0           | 3,0                  |                           |               |                                |
| CNA680   | DEFAULT    | 2        | Descente     | ZERO    | 3 000,0              | 160,0           | 3,0                  |                           |               |                                |
| CNA680   | DEFAULT    | 3        | Descente     | 15 GU   | 1 500,0              | 112,0           | 3,0                  |                           |               |                                |
| CNA680   | DEFAULT    | 4        | Descente     | 35 GD   | 1 000,0              | 105,0           | 3,0                  |                           |               |                                |
| CNA680   | DEFAULT    | 5        | Atterrissage | 35 GD   |                      |                 |                      | 200,0                     |               |                                |
| CNA680   | DEFAULT    | 6        | Décélération |         |                      | 100,0           |                      |                           | 1 580,0       | 60,0                           |
| CNA680   | DEFAULT    | 7        | Décélération |         |                      | 30,0            |                      |                           | 0,0           | 10,0                           |
| CNA750   | DEFAULT    | 1        | Descente     | ZERO    | 6 000,0              | 250,0           | 3,0                  |                           |               |                                |
| CNA750   | DEFAULT    | 2        | Descente     | 15_GU   | 3 000,0              | 127,4           | 3,0                  |                           |               |                                |
| CNA750   | DEFAULT    | 3        | Descente     | 35_GD   | 1 500,0              | 120,9           | 3,0                  |                           |               |                                |
| CNA750   | DEFAULT    | 4        | Descente     | 35_GD   | 1 000,0              | 120,9           | 3,0                  |                           |               |                                |
| CNA750   | DEFAULT    | 5        | Atterrissage | 35_GD   |                      |                 |                      | 200,0                     |               |                                |
| CNA750   | DEFAULT    | 6        | Décélération |         |                      | 115,0           |                      |                           | 1 500,0       | 40,0                           |

| ACFTID | Profile_ID | N° étape | Type étape   | FLAP_ID | Altitude départ (ft) | CAS départ (kt) | Angle descente (deg) | Roulage atterrissage (ft) | Distance (ft) | Poussée départ (% poussée max) |
|--------|------------|----------|--------------|---------|----------------------|-----------------|----------------------|---------------------------|---------------|--------------------------------|
| CNA750 | DEFAULT    | 7        | Décélération |         |                      | 30,0            |                      |                           | 0,0           | 10,0                           |
| CNA750 | FLAP_15    | 1        | Descente     | ZERO    | 6 000,0              | 250,0           | 3,0                  |                           |               |                                |
| CNA750 | FLAP_15    | 2        | Descente     | 15_GU   | 3 000,0              | 127,4           | 3,0                  |                           |               |                                |
| CNA750 | FLAP_15    | 3        | Descente     | 35_GD   | 1 500,0              | 120,9           | 3,0                  |                           |               |                                |
| CNA750 | FLAP_15    | 4        | Descente     | 35_GD   | 1 000,0              | 120,9           | 3,0                  |                           |               |                                |
| CNA750 | FLAP_15    | 5        | Atterrissage | 35_GD   |                      |                 |                      | 200,0                     |               |                                |
| CNA750 | FLAP_15    | 6        | Décélération |         |                      | 115,0           |                      |                           | 1 500,0       | 40,0                           |
| CNA750 | FLAP_15    | 7        | Décélération |         |                      | 30,0            |                      |                           | 0,0           | 10,0                           |
| CNA750 | FLAP_5     | 1        | Descente     | ZERO    | 6 000,0              | 250,0           | 3,0                  |                           |               |                                |
| CNA750 | FLAP_5     | 2        | Descente     | 5_GU    | 3 000,0              | 135,2           | 3,0                  |                           |               |                                |
| CNA750 | FLAP_5     | 3        | Descente     | 15_GD   | 1 500,0              | 127,4           | 3,0                  |                           |               |                                |
| CNA750 | FLAP_5     | 4        | Descente     | 15_GD   | 1 000,0              | 127,4           | 3,0                  |                           |               |                                |
| CNA750 | FLAP_5     | 5        | Atterrissage | 15_GD   |                      |                 |                      | 200,0                     |               |                                |
| CNA750 | FLAP_5     | 6        | Décélération |         |                      | 115,0           |                      |                           | 1 500,0       | 40,0                           |
| CNA750 | FLAP_5     | 7        | Décélération |         |                      | 30,0            |                      |                           | 0,0           | 10,0                           |
| CONCRD | DEFAULT    | 1        | Descente     | CL1     | 6 000,0              | 250,0           | 3,0                  |                           |               |                                |
| CONCRD | DEFAULT    | 2        | Descente     | ZERO    | 3 000,0              | 194,0           | 3,0                  |                           |               |                                |
| CONCRD | DEFAULT    | 3        | Descente     | U-L     | 1 500,0              | 184,0           | 3,0                  |                           |               |                                |
| CONCRD | DEFAULT    | 4        | Descente     | D-L     | 1 000,0              | 164,0           | 3,0                  |                           |               |                                |
| CONCRD | DEFAULT    | 5        | Atterrissage | D-L     |                      |                 |                      | 858,6                     |               |                                |
| CONCRD | DEFAULT    | 6        | Décélération |         |                      | 155,5           |                      |                           | 7 727,4       | 40,0                           |
| CONCRD | DEFAULT    | 7        | Décélération |         |                      | 30,0            |                      |                           | 0,0           | 10,0                           |

| ACFTID  | Profile_ID | N° étape | Type étape   | FLAP_ID | Altitude départ (ft) | CAS départ (kt) | Angle descente (deg) | Roulage atterrissage (ft) | Distance (ft) | Poussée départ (% poussée max) |
|---------|------------|----------|--------------|---------|----------------------|-----------------|----------------------|---------------------------|---------------|--------------------------------|
| CRJ9-ER | DEFAULT    | 1        | Descente     | ZERO    | 6 000,0              | 250,0           | 3,0                  |                           |               |                                |
| CRJ9-ER | DEFAULT    | 2        | Descente     | 20      | 3 500,0              | 170,0           | 3,0                  |                           |               |                                |
| CRJ9-ER | DEFAULT    | 3        | Descente     | U-45    | 1 500,0              | 160,0           | 3,0                  |                           |               |                                |
| CRJ9-ER | DEFAULT    | 4        | Descente     | D-45    | 1 000,0              | 140,0           | 3,0                  |                           |               |                                |
| CRJ9-ER | DEFAULT    | 5        | Atterrissage | D-45    |                      |                 |                      | 415,8                     |               |                                |
| CRJ9-ER | DEFAULT    | 6        | Décélération |         |                      | 143,0           |                      |                           | 2 528,0       | 10,0                           |
| CRJ9-ER | DEFAULT    | 7        | Décélération |         |                      | 30,0            |                      |                           | 0,0           | 10,0                           |
| CRJ9-LR | DEFAULT    | 1        | Descente     | ZERO    | 6 000,0              | 250,0           | 3,0                  |                           |               |                                |
| CRJ9-LR | DEFAULT    | 2        | Descente     | 20      | 3 500,0              | 170,0           | 3,0                  |                           |               |                                |
| CRJ9-LR | DEFAULT    | 3        | Descente     | U-45    | 1 500,0              | 160,0           | 3,0                  |                           |               |                                |
| CRJ9-LR | DEFAULT    | 4        | Descente     | D-45    | 1 000,0              | 141,0           | 3,0                  |                           |               |                                |
| CRJ9-LR | DEFAULT    | 5        | Atterrissage | D-45    |                      |                 |                      | 424,7                     |               |                                |
| CRJ9-LR | DEFAULT    | 6        | Décélération |         |                      | 144,0           |                      |                           | 2 577,0       | 10,0                           |
| CRJ9-LR | DEFAULT    | 7        | Décélération |         |                      | 30,0            |                      |                           | 0,0           | 10,0                           |
| CVR580  | DEFAULT    | 1        | Descente     | ZERO    | 6 000,0              | 200,0           | 3,0                  |                           |               |                                |
| CVR580  | DEFAULT    | 2        | Descente     | INTR    | 3 000,0              | 146,3           | 3,0                  |                           |               |                                |
| CVR580  | DEFAULT    | 3        | Descente     | D-28    | 1 500,0              | 112,4           | 3,0                  |                           |               |                                |
| CVR580  | DEFAULT    | 4        | Descente     | D-40    | 1 000,0              | 106,3           | 3,0                  |                           |               |                                |
| CVR580  | DEFAULT    | 5        | Atterrissage | D-40    |                      |                 |                      | 287,6                     |               |                                |
| CVR580  | DEFAULT    | 6        | Décélération |         |                      | 100,9           |                      |                           | 2 588,4       | 40,0                           |
| CVR580  | DEFAULT    | 7        | Décélération |         |                      | 30,0            |                      |                           | 0,0           | 10,0                           |
| DC1010  | DEFAULT    | 1        | Descente     | ZERO    | 6 000,0              | 250,0           | 3,0                  |                           |               |                                |

| ACFTID | Profile_ID | N° étape | Type étape   | FLAP_ID | Altitude départ (ft) | CAS départ (kt) | Angle descente (deg) | Roulage atterrissage (ft) | Distance (ft) | Poussée départ (% poussée max) |
|--------|------------|----------|--------------|---------|----------------------|-----------------|----------------------|---------------------------|---------------|--------------------------------|
| DC1010 | DEFAULT    | 2        | Descente     | INT     | 3 000,0              | 163,7           | 3,0                  |                           |               |                                |
| DC1010 | DEFAULT    | 3        | Descente     | U-35    | 1 500,0              | 153,7           | 3,0                  |                           |               |                                |
| DC1010 | DEFAULT    | 4        | Descente     | D-35    | 1 000,0              | 143,7           | 3,0                  |                           |               |                                |
| DC1010 | DEFAULT    | 5        | Atterrissage | D-35    |                      |                 |                      | 428,4                     |               |                                |
| DC1010 | DEFAULT    | 6        | Décélération |         |                      | 136,3           |                      |                           | 3 855,6       | 10,0                           |
| DC1010 | DEFAULT    | 7        | Décélération |         |                      | 30,0            |                      |                           | 0,0           | 10,0                           |
| DC1030 | DEFAULT    | 1        | Descente     | ZERO    | 6 000,0              | 250,0           | 3,0                  |                           |               |                                |
| DC1030 | DEFAULT    | 2        | Descente     | INT2    | 3 000,0              | 172,6           | 3,0                  |                           |               |                                |
| DC1030 | DEFAULT    | 3        | Descente     | U-20    | 1 500,0              | 162,6           | 3,0                  |                           |               |                                |
| DC1030 | DEFAULT    | 4        | Descente     | D-35    | 1 000,0              | 152,6           | 3,0                  |                           |               |                                |
| DC1030 | DEFAULT    | 5        | Atterrissage | D-35    |                      |                 |                      | 392,2                     |               |                                |
| DC1030 | DEFAULT    | 6        | Décélération |         |                      | 144,8           |                      |                           | 3 529,8       | 10,0                           |
| DC1030 | DEFAULT    | 7        | Décélération |         |                      | 30,0            |                      |                           | 0,0           | 10,0                           |
| DC1040 | DEFAULT    | 1        | Descente     | ZERO    | 6 000,0              | 250,0           | 3,0                  |                           |               |                                |
| DC1040 | DEFAULT    | 2        | Descente     | 5       | 3 000,0              | 173,5           | 3,0                  |                           |               |                                |
| DC1040 | DEFAULT    | 3        | Descente     | U-35    | 1 500,0              | 163,5           | 3,0                  |                           |               |                                |
| DC1040 | DEFAULT    | 4        | Descente     | D-35    | 1 000,0              | 153,5           | 3,0                  |                           |               |                                |
| DC1040 | DEFAULT    | 5        | Atterrissage | D-35    |                      |                 |                      | 446,4                     |               |                                |
| DC1040 | DEFAULT    | 6        | Décélération |         |                      | 145,6           |                      |                           | 4 017,6       | 10,0                           |
| DC1040 | DEFAULT    | 7        | Décélération |         |                      | 30,0            |                      |                           | 0,0           | 10,0                           |
| DC3    | DEFAULT    | 1        | Descente     | ZERO    | 6 000,0              | 140,0           | 3,0                  |                           |               |                                |
| DC3    | DEFAULT    | 2        | Descente     | TO      | 3 000,0              | 109,0           | 3,0                  |                           |               |                                |

| ACFTID | Profile_ID | N° étape | Type étape   | FLAP_ID | Altitude départ (ft) | CAS départ (kt) | Angle descente (deg) | Roulage atterrissage (ft) | Distance (ft) | Poussée départ (% poussée max) |
|--------|------------|----------|--------------|---------|----------------------|-----------------|----------------------|---------------------------|---------------|--------------------------------|
| DC3    | DEFAULT    | 3        | Descente     | U-INT   | 1 500,0              | 99,0            | 3,0                  |                           |               |                                |
| DC3    | DEFAULT    | 4        | Descente     | D-45    | 1 000,0              | 88,9            | 3,0                  |                           |               |                                |
| DC3    | DEFAULT    | 5        | Atterrissage | D-45    |                      |                 |                      | 104,6                     |               |                                |
| DC3    | DEFAULT    | 6        | Décélération |         |                      | 84,3            |                      |                           | 941,4         | 34,3                           |
| DC3    | DEFAULT    | 7        | Décélération |         |                      | 30,0            |                      |                           | 0,0           | 10,0                           |
| DC6    | DEFAULT    | 1        | Descente     | ZERO    | 6 000,0              | 160,0           | 3,0                  |                           |               |                                |
| DC6    | DEFAULT    | 2        | Descente     | TO      | 3 000,0              | 106,1           | 3,0                  |                           |               |                                |
| DC6    | DEFAULT    | 3        | Descente     | D-INTR  | 1 500,0              | 96,1            | 3,0                  |                           |               |                                |
| DC6    | DEFAULT    | 4        | Descente     | D-L     | 1 000,0              | 86,1            | 3,0                  |                           |               |                                |
| DC6    | DEFAULT    | 5        | Atterrissage | D-L     |                      |                 |                      | 175,5                     |               |                                |
| DC6    | DEFAULT    | 6        | Décélération |         |                      | 81,7            |                      |                           | 1 579,5       | 40,0                           |
| DC6    | DEFAULT    | 7        | Décélération |         |                      | 30,0            |                      |                           | 0,0           | 10,0                           |
| DC850  | DEFAULT    | 1        | Descente     | ZERO    | 6 000,0              | 250,0           | 3,0                  |                           |               |                                |
| DC850  | DEFAULT    | 2        | Descente     | INT     | 3 000,0              | 165,6           | 3,0                  |                           |               |                                |
| DC850  | DEFAULT    | 3        | Descente     | D-35    | 1 500,0              | 152,7           | 3,0                  |                           |               |                                |
| DC850  | DEFAULT    | 4        | Descente     | D-50    | 1 000,0              | 145,6           | 3,0                  |                           |               |                                |
| DC850  | DEFAULT    | 5        | Atterrissage | D-50    |                      |                 |                      | 390,6                     |               |                                |
| DC850  | DEFAULT    | 6        | Décélération |         |                      | 138,1           |                      |                           | 3 515,4       | 40,0                           |
| DC850  | DEFAULT    | 7        | Décélération |         |                      | 30,0            |                      |                           | 0,0           | 10,0                           |
| DC860  | DEFAULT    | 1        | Descente     | ZERO    | 6 000,0              | 250,0           | 3,0                  |                           |               |                                |
| DC860  | DEFAULT    | 2        | Descente     | INT     | 3 000,0              | 161,5           | 3,0                  |                           |               |                                |
| DC860  | DEFAULT    | 3        | Descente     | D-35    | 1 500,0              | 155,7           | 3,0                  |                           |               |                                |

| ACFTID | Profile_ID | N° étape | Type étape   | FLAP_ID | Altitude départ (ft) | CAS départ (kt) | Angle descente (deg) | Roulage atterrissage (ft) | Distance (ft) | Poussée départ (% poussée max) |
|--------|------------|----------|--------------|---------|----------------------|-----------------|----------------------|---------------------------|---------------|--------------------------------|
| DC860  | DEFAULT    | 4        | Descente     | D-50    | 1 000,0              | 151,5           | 3,0                  |                           |               |                                |
| DC860  | DEFAULT    | 5        | Atterrissage | D-50    |                      |                 |                      | 382,5                     |               |                                |
| DC860  | DEFAULT    | 6        | Décélération |         |                      | 143,7           |                      |                           | 3 442,5       | 40,0                           |
| DC860  | DEFAULT    | 7        | Décélération |         |                      | 30,0            |                      |                           | 0,0           | 10,0                           |
| DC870  | DEFAULT    | 1        | Descente     | ZERO    | 6 000,0              | 250,0           | 3,0                  |                           |               |                                |
| DC870  | DEFAULT    | 2        | Descente     | INT     | 3 000,0              | 166,7           | 3,0                  |                           |               |                                |
| DC870  | DEFAULT    | 3        | Descente     | D-35    | 1 500,0              | 150,8           | 3,0                  |                           |               |                                |
| DC870  | DEFAULT    | 4        | Descente     | D-50    | 1 000,0              | 146,7           | 3,0                  |                           |               |                                |
| DC870  | DEFAULT    | 5        | Atterrissage | D-50    |                      |                 |                      | 489,6                     |               |                                |
| DC870  | DEFAULT    | 6        | Décélération |         |                      | 139,2           |                      |                           | 4 406,4       | 40,0                           |
| DC870  | DEFAULT    | 7        | Décélération |         |                      | 30,0            |                      |                           | 0,0           | 10,0                           |
| DC8QN  | DEFAULT    | 1        | Descente     | ZERO    | 6 000,0              | 250,0           | 3,0                  |                           |               |                                |
| DC8QN  | DEFAULT    | 2        | Descente     | INT     | 3 000,0              | 161,5           | 3,0                  |                           |               |                                |
| DC8QN  | DEFAULT    | 3        | Descente     | D-35    | 1 500,0              | 155,7           | 3,0                  |                           |               |                                |
| DC8QN  | DEFAULT    | 4        | Descente     | D-50    | 1 000,0              | 151,5           | 3,0                  |                           |               |                                |
| DC8QN  | DEFAULT    | 5        | Atterrissage | D-50    |                      |                 |                      | 382,5                     |               |                                |
| DC8QN  | DEFAULT    | 6        | Décélération |         |                      | 143,7           |                      |                           | 3 442,5       | 40,0                           |
| DC8QN  | DEFAULT    | 7        | Décélération |         |                      | 30,0            |                      |                           | 0,0           | 10,0                           |
| DC910  | DEFAULT    | 1        | Descente     | ZERO    | 6 000,0              | 250,0           | 3,0                  |                           |               |                                |
| DC910  | DEFAULT    | 2        | Descente     | 5       | 3 000,0              | 150,2           | 3,0                  |                           |               |                                |
| DC910  | DEFAULT    | 3        | Descente     | U-15    | 1 500,0              | 140,2           | 3,0                  |                           |               |                                |
| DC910  | DEFAULT    | 4        | Descente     | D-35    | 1 000,0              | 130,2           | 3,0                  |                           |               |                                |

| ACFTID | Profile_ID | N° étape | Type étape   | FLAP_ID | Altitude départ (ft) | CAS départ (kt) | Angle descente (deg) | Roulage atterrissage (ft) | Distance (ft) | Poussée départ (% poussée max) |
|--------|------------|----------|--------------|---------|----------------------|-----------------|----------------------|---------------------------|---------------|--------------------------------|
| DC910  | DEFAULT    | 5        | Atterrissage | D-35    |                      |                 |                      | 357,3                     |               |                                |
| DC910  | DEFAULT    | 6        | Décélération |         |                      | 123,5           |                      |                           | 3 215,7       | 40,0                           |
| DC910  | DEFAULT    | 7        | Décélération |         |                      | 30,0            |                      |                           | 0,0           | 10,0                           |
| DC930  | DEFAULT    | 1        | Descente     | ZERO    | 6 000,0              | 250,0           | 3,0                  |                           |               |                                |
| DC930  | DEFAULT    | 2        | Descente     | 5       | 3 000,0              | 162,5           | 3,0                  |                           |               |                                |
| DC930  | DEFAULT    | 3        | Descente     | U-15    | 1 500,0              | 152,5           | 3,0                  |                           |               |                                |
| DC930  | DEFAULT    | 4        | Descente     | D-35    | 1 000,0              | 142,5           | 3,0                  |                           |               |                                |
| DC930  | DEFAULT    | 5        | Atterrissage | D-35    |                      |                 |                      | 325,8                     |               |                                |
| DC930  | DEFAULT    | 6        | Décélération |         |                      | 135,2           |                      |                           | 2 932,2       | 40,0                           |
| DC930  | DEFAULT    | 7        | Décélération |         |                      | 30,0            |                      |                           | 0,0           | 10,0                           |
| DC93LW | DEFAULT    | 1        | Descente     | ZERO    | 6 000,0              | 250,0           | 3,0                  |                           |               |                                |
| DC93LW | DEFAULT    | 2        | Descente     | 5       | 3 000,0              | 162,5           | 3,0                  |                           |               |                                |
| DC93LW | DEFAULT    | 3        | Descente     | U-15    | 1 500,0              | 152,5           | 3,0                  |                           |               |                                |
| DC93LW | DEFAULT    | 4        | Descente     | D-35    | 1 000,0              | 142,5           | 3,0                  |                           |               |                                |
| DC93LW | DEFAULT    | 5        | Atterrissage | D-35    |                      |                 |                      | 325,8                     |               |                                |
| DC93LW | DEFAULT    | 6        | Décélération |         |                      | 135,2           |                      |                           | 2 932,2       | 40,0                           |
| DC93LW | DEFAULT    | 7        | Décélération |         |                      | 30,0            |                      |                           | 0,0           | 10,0                           |
| DC950  | DEFAULT    | 1        | Descente     | ZERO    | 6 000,0              | 250,0           | 3,0                  |                           |               |                                |
| DC950  | DEFAULT    | 2        | Descente     | 5       | 3 000,0              | 167,3           | 3,0                  |                           |               |                                |
| DC950  | DEFAULT    | 3        | Descente     | U-15    | 1 500,0              | 157,3           | 3,0                  |                           |               |                                |
| DC950  | DEFAULT    | 4        | Descente     | D-35    | 1 000,0              | 147,3           | 3,0                  |                           |               |                                |
| DC950  | DEFAULT    | 5        | Atterrissage | D-35    |                      |                 |                      | 343,8                     |               |                                |

| ACFTID | Profile_ID | N° étape | Type étape   | FLAP_ID | Altitude départ (ft) | CAS départ (kt) | Angle descente (deg) | Roulage atterrissage (ft) | Distance (ft) | Poussée départ (% poussée max) |
|--------|------------|----------|--------------|---------|----------------------|-----------------|----------------------|---------------------------|---------------|--------------------------------|
| DC950  | DEFAULT    | 6        | Décélération |         |                      | 139,7           |                      |                           | 3 094,2       | 40,0                           |
| DC950  | DEFAULT    | 7        | Décélération |         |                      | 30,0            |                      |                           | 0,0           | 10,0                           |
| DC95HW | DEFAULT    | 1        | Descente     | ZERO    | 6 000,0              | 250,0           | 3,0                  |                           |               |                                |
| DC95HW | DEFAULT    | 2        | Descente     | 5       | 3 000,0              | 167,3           | 3,0                  |                           |               |                                |
| DC95HW | DEFAULT    | 3        | Descente     | U-15    | 1 500,0              | 157,3           | 3,0                  |                           |               |                                |
| DC95HW | DEFAULT    | 4        | Descente     | D-35    | 1 000,0              | 147,3           | 3,0                  |                           |               |                                |
| DC95HW | DEFAULT    | 5        | Atterrissage | D-35    |                      |                 |                      | 343,8                     |               |                                |
| DC95HW | DEFAULT    | 6        | Décélération |         |                      | 139,7           |                      |                           | 3 094,2       | 40,0                           |
| DC95HW | DEFAULT    | 7        | Décélération |         |                      | 30,0            |                      |                           | 0,0           | 10,0                           |
| DC9Q7  | DEFAULT    | 1        | Descente     | ZERO    | 6 000,0              | 250,0           | 3,0                  |                           |               |                                |
| DC9Q7  | DEFAULT    | 2        | Descente     | 5       | 3 000,0              | 150,2           | 3,0                  |                           |               |                                |
| DC9Q7  | DEFAULT    | 3        | Descente     | U-15    | 1 500,0              | 140,2           | 3,0                  |                           |               |                                |
| DC9Q7  | DEFAULT    | 4        | Descente     | D-35    | 1 000,0              | 130,2           | 3,0                  |                           |               |                                |
| DC9Q7  | DEFAULT    | 5        | Atterrissage | D-35    |                      |                 |                      | 357,3                     |               |                                |
| DC9Q7  | DEFAULT    | 6        | Décélération |         |                      | 123,5           |                      |                           | 3 215,7       | 40,0                           |
| DC9Q7  | DEFAULT    | 7        | Décélération |         |                      | 30,0            |                      |                           | 0,0           | 10,0                           |
| DC9Q9  | DEFAULT    | 1        | Descente     | ZERO    | 6 000,0              | 250,0           | 3,0                  |                           |               |                                |
| DC9Q9  | DEFAULT    | 2        | Descente     | 5       | 3 000,0              | 162,5           | 3,0                  |                           |               |                                |
| DC9Q9  | DEFAULT    | 3        | Descente     | U-15    | 1 500,0              | 152,5           | 3,0                  |                           |               |                                |
| DC9Q9  | DEFAULT    | 4        | Descente     | D-35    | 1 000,0              | 142,5           | 3,0                  |                           |               |                                |
| DC9Q9  | DEFAULT    | 5        | Atterrissage | D-35    |                      |                 |                      | 325,8                     |               |                                |
| DC9Q9  | DEFAULT    | 6        | Décélération |         |                      | 135,2           |                      |                           | 2 932,2       | 40,0                           |

| ACFTID | Profile_ID | N° étape | Type étape   | FLAP_ID | Altitude départ (ft) | CAS départ (kt) | Angle descente (deg) | Roulage atterrissage (ft) | Distance (ft) | Poussée départ (% poussée max) |
|--------|------------|----------|--------------|---------|----------------------|-----------------|----------------------|---------------------------|---------------|--------------------------------|
| DC9Q9  | DEFAULT    | 7        | Décélération |         |                      | 30,0            |                      |                           | 0,0           | 10,0                           |
| DHC6   | DEFAULT    | 1        | Descente     | ZERO    | 6 000,0              | 120,0           | 3,0                  |                           |               |                                |
| DHC6   | DEFAULT    | 2        | Descente     | INTR    | 3 000,0              | 80,7            | 3,0                  |                           |               |                                |
| DHC6   | DEFAULT    | 3        | Descente     | D-INTR  | 1 500,0              | 70,7            | 3,0                  |                           |               |                                |
| DHC6   | DEFAULT    | 4        | Descente     | D-L     | 1 000,0              | 60,7            | 3,0                  |                           |               |                                |
| DHC6   | DEFAULT    | 5        | Atterrissage | D-L     |                      |                 |                      | 39,6                      |               |                                |
| DHC6   | DEFAULT    | 6        | Décélération |         |                      | 57,6            |                      |                           | 356,4         | 40,0                           |
| DHC6   | DEFAULT    | 7        | Décélération |         |                      | 30,0            |                      |                           | 0,0           | 10,0                           |
| DHC6QP | DEFAULT    | 1        | Descente     | ZERO    | 6 000,0              | 120,0           | 3,0                  |                           |               |                                |
| DHC6QP | DEFAULT    | 2        | Descente     | INTR    | 3 000,0              | 80,7            | 3,0                  |                           |               |                                |
| DHC6QP | DEFAULT    | 3        | Descente     | D-INTR  | 1 500,0              | 70,7            | 3,0                  |                           |               |                                |
| DHC6QP | DEFAULT    | 4        | Descente     | D-L     | 1 000,0              | 60,7            | 3,0                  |                           |               |                                |
| DHC6QP | DEFAULT    | 5        | Atterrissage | D-L     |                      |                 |                      | 39,6                      |               |                                |
| DHC6QP | DEFAULT    | 6        | Décélération |         |                      | 57,6            |                      |                           | 356,4         | 40,0                           |
| DHC6QP | DEFAULT    | 7        | Décélération |         |                      | 30,0            |                      |                           | 0,0           | 10,0                           |
| DHC7   | DEFAULT    | 1        | Descente     | ZERO    | 6 000,0              | 160,0           | 3,0                  |                           |               |                                |
| DHC7   | DEFAULT    | 2        | Descente     | 10      | 3 000,0              | 116,2           | 3,0                  |                           |               |                                |
| DHC7   | DEFAULT    | 3        | Descente     | D-INTR  | 1 500,0              | 106,2           | 3,0                  |                           |               |                                |
| DHC7   | DEFAULT    | 4        | Descente     | D-25    | 1 000,0              | 96,2            | 3,0                  |                           |               |                                |
| DHC7   | DEFAULT    | 5        | Atterrissage | D-25    |                      |                 |                      | 98,1                      |               |                                |
| DHC7   | DEFAULT    | 6        | Décélération |         |                      | 91,3            |                      |                           | 882,9         | 40,0                           |
| DHC7   | DEFAULT    | 7        | Décélération |         |                      | 30,0            |                      |                           | 0,0           | 10,0                           |

| ACFTID | Profile_ID | N° étape | Type étape   | FLAP_ID | Altitude départ (ft) | CAS départ (kt) | Angle descente (deg) | Roulage atterrissage (ft) | Distance (ft) | Poussée départ (% poussée max) |
|--------|------------|----------|--------------|---------|----------------------|-----------------|----------------------|---------------------------|---------------|--------------------------------|
| DHC8   | DEFAULT    | 1        | Descente     | ZERO    | 6 000,0              | 165,0           | 3,0                  |                           |               |                                |
| DHC8   | DEFAULT    | 2        | Descente     | 5       | 3 000,0              | 109,0           | 3,0                  |                           |               |                                |
| DHC8   | DEFAULT    | 3        | Descente     | D-15    | 1 500,0              | 96,0            | 3,0                  |                           |               |                                |
| DHC8   | DEFAULT    | 4        | Descente     | D-35    | 1 000,0              | 89,0            | 3,0                  |                           |               |                                |
| DHC8   | DEFAULT    | 5        | Atterrissage | D-35    |                      |                 |                      | 174,6                     |               |                                |
| DHC8   | DEFAULT    | 6        | Décélération |         |                      | 84,4            |                      |                           | 1 571,4       | 24,6                           |
| DHC8   | DEFAULT    | 7        | Décélération |         |                      | 30,0            |                      |                           | 0,0           | 4,1                            |
| DHC830 | DEFAULT    | 1        | Descente     | ZERO    | 6 000,0              | 179,0           | 3,0                  |                           |               |                                |
| DHC830 | DEFAULT    | 2        | Descente     | 10      | 3 000,0              | 128,0           | 3,0                  |                           |               |                                |
| DHC830 | DEFAULT    | 3        | Descente     | D-15    | 1 500,0              | 116,9           | 3,0                  |                           |               |                                |
| DHC830 | DEFAULT    | 4        | Descente     | D-35    | 1 000,0              | 108,0           | 3,0                  |                           |               |                                |
| DHC830 | DEFAULT    | 5        | Atterrissage | D-35    |                      |                 |                      | 219,6                     |               |                                |
| DHC830 | DEFAULT    | 6        | Décélération |         |                      | 102,5           |                      |                           | 1 976,4       | 26,1                           |
| DHC830 | DEFAULT    | 7        | Décélération |         |                      | 30,0            |                      |                           | 0,0           | 4,4                            |
| DO228  | DEFAULT    | 1        | Descente     | ZERO-A  | 6 000,0              | 200,0           | 3,0                  |                           |               |                                |
| DO228  | DEFAULT    | 2        | Descente     | ZERO-A  | 4 000,0              | 160,0           | 3,0                  |                           |               |                                |
| DO228  | DEFAULT    | 3        | Descente     | ZERO-A  | 2 000,0              | 120,0           | 3,0                  |                           |               |                                |
| DO228  | DEFAULT    | 4        | Descente     | F30APP  | 1 000,0              | 100,0           | 3,0                  |                           |               |                                |
| DO228  | DEFAULT    | 5        | Descente     | F30APP  | 50,0                 | 88,0            | 3,0                  |                           |               |                                |
| DO228  | DEFAULT    | 6        | Atterrissage | F30APP  |                      |                 |                      | 100,0                     |               |                                |
| DO228  | DEFAULT    | 7        | Décélération |         |                      | 80,0            |                      |                           | 1 320,9       | 10,0                           |
| DO228  | DEFAULT    | 8        | Décélération |         |                      | 30,0            |                      |                           | 0,0           | 10,0                           |

| ACFTID     | Profile_ID | N° étape | Type étape   | FLAP_ID | Altitude départ (ft) | CAS départ (kt) | Angle descente (deg) | Roulage atterrissage (ft) | Distance (ft) | Poussée départ (% poussée max) |
|------------|------------|----------|--------------|---------|----------------------|-----------------|----------------------|---------------------------|---------------|--------------------------------|
| DO328      | DEFAULT    | 1        | Descente     | ZERO-A  | 6 000,0              | 200,0           | 3,0                  |                           |               |                                |
| DO328      | DEFAULT    | 2        | Descente     | ZERO-A  | 4 000,0              | 175,0           | 3,0                  |                           |               |                                |
| DO328      | DEFAULT    | 3        | Descente     | ZERO-A  | 2 000,0              | 150,0           | 3,0                  |                           |               |                                |
| DO328      | DEFAULT    | 4        | Descente     | F32APP  | 1 000,0              | 109,0           | 3,0                  |                           |               |                                |
| DO328      | DEFAULT    | 5        | Descente     | F32APP  | 500,0                | 109,0           | 3,0                  |                           |               |                                |
| DO328      | DEFAULT    | 6        | Atterrissage | F32APP  |                      |                 |                      | 50,0                      |               |                                |
| DO328      | DEFAULT    | 7        | Décélération |         |                      | 109,0           |                      |                           | 2 216,0       | 10,0                           |
| DO328      | DEFAULT    | 8        | Décélération |         |                      | 30,0            |                      |                           | 0,0           | 10,0                           |
| ECLIPSE500 | DEFAULT    | 1        | Descente     | A_T_DN  | 6 000,0              | 170,0           | 3,0                  |                           |               |                                |
| ECLIPSE500 | DEFAULT    | 2        | Descente     | A_T_DN  | 5 000,0              | 160,0           | 3,0                  |                           |               |                                |
| ECLIPSE500 | DEFAULT    | 3        | Descente     | A_A_DN  | 3 000,0              | 100,4           | 3,0                  |                           |               |                                |
| ECLIPSE500 | DEFAULT    | 4        | Descente     | A_A_DN  | 2 000,0              | 100,4           | 3,0                  |                           |               |                                |
| ECLIPSE500 | DEFAULT    | 5        | Descente     | A_A_DN  | 1 000,0              | 100,4           | 3,0                  |                           |               |                                |
| ECLIPSE500 | DEFAULT    | 6        | Descente     | A_A_DN  | 100,0                | 90,4            | 3,0                  |                           |               |                                |
| ECLIPSE500 | DEFAULT    | 7        | Atterrissage | A_A_DN  |                      |                 |                      | 144,0                     |               |                                |
| ECLIPSE500 | DEFAULT    | 8        | Décélération |         |                      | 70,0            |                      |                           | 1 291,0       | 10,0                           |
| ECLIPSE500 | DEFAULT    | 9        | Décélération |         |                      | 20,0            |                      |                           | 0,0           | 10,0                           |
| EMB120     | DEFAULT    | 1        | Descente     | ZERO    | 6 000,0              | 141,5           | 3,0                  |                           |               |                                |
| EMB120     | DEFAULT    | 2        | Descente     | 15      | 3 000,0              | 132,3           | 3,0                  |                           |               |                                |
| EMB120     | DEFAULT    | 3        | Descente     | D-25    | 1 500,0              | 127,4           | 3,0                  |                           |               |                                |
| EMB120     | DEFAULT    | 4        | Descente     | D-45    | 1 000,0              | 119,3           | 3,0                  |                           |               |                                |
| EMB120     | DEFAULT    | 5        | Atterrissage | D-45    |                      |                 |                      | 95,0                      |               |                                |

| ACFTID | Profile_ID | N° étape | Type étape       | FLAP_ID | Altitude départ (ft) | CAS départ (kt) | Angle descente (deg) | Roulage atterrissage (ft) | Distance (ft) | Poussée départ (% poussée max) |
|--------|------------|----------|------------------|---------|----------------------|-----------------|----------------------|---------------------------|---------------|--------------------------------|
| EMB120 | DEFAULT    | 6        | Décélération     |         |                      | 116,1           |                      |                           | 855,0         | 40,0                           |
| EMB120 | DEFAULT    | 7        | Décélération     |         |                      | 30,0            |                      |                           | 0,0           | 10,0                           |
| EMB145 | DEFAULT    | 1        | Descente         | ZERO    | 6 000,0              | 250,0           | 3,0                  |                           |               |                                |
| EMB145 | DEFAULT    | 2        | Descente         | D-22    | 3 000,0              | 150,0           | 3,0                  |                           |               |                                |
| EMB145 | DEFAULT    | 3        | Descente         | D-45    | 1 500,0              | 140,0           | 3,0                  |                           |               |                                |
| EMB145 | DEFAULT    | 4        | Descente         | D-45    | 1 000,0              | 134,0           | 3,0                  |                           |               |                                |
| EMB145 | DEFAULT    | 5        | Atterrissage     | D-45    |                      |                 |                      | 285,5                     |               |                                |
| EMB145 | DEFAULT    | 6        | Décélération     |         |                      | 130,0           |                      |                           | 2 569,5       | 40,0                           |
| EMB145 | DEFAULT    | 7        | Décélération     |         |                      | 30,0            |                      |                           | 0,0           | 10,0                           |
| EMB14L | DEFAULT    | 1        | Descente         | ZERO    | 6 000,0              | 250,0           | 3,0                  |                           |               |                                |
| EMB14L | DEFAULT    | 2        | Descente         | D-22    | 1 500,0              | 140,0           | 3,0                  |                           |               |                                |
| EMB14L | DEFAULT    | 3        | Descente         | D-45    | 1 000,0              | 140,0           | 3,0                  |                           |               |                                |
| EMB14L | DEFAULT    | 4        | Descente         | D-45    | 500,0                | 138,0           | 3,0                  |                           |               |                                |
| EMB14L | DEFAULT    | 5        | Atterrissage     | D-45    |                      |                 |                      | 285,5                     |               |                                |
| EMB14L | DEFAULT    | 6        | Décélération     |         |                      | 132,0           |                      |                           | 2 569,5       | 40,0                           |
| EMB14L | DEFAULT    | 7        | Décélération     |         |                      | 30,0            |                      |                           | 0,0           | 10,0                           |
| EMB170 | DEFAULT    | 1        | Descente-ralenti |         | 6 000,0              | 250,0           | 3,0                  |                           |               |                                |
| EMB170 | DEFAULT    | 2        | Descente-ralenti |         | 3 000,0              | 180,0           | 3,0                  |                           |               |                                |
| EMB170 | DEFAULT    | 3        | Descente-ralenti |         | 2 000,0              | 140,0           | 3,0                  |                           |               |                                |
| EMB170 | DEFAULT    | 4        | Descente         | FULL    | 1 500,0              | 130,0           | 3,0                  |                           |               |                                |
| EMB170 | DEFAULT    | 5        | Atterrissage     | FULL    |                      |                 |                      | 267,2                     |               |                                |
| EMB170 | DEFAULT    | 6        | Décélération     |         |                      | 120,0           |                      |                           | 2 405,0       | 40,0                           |

| ACFTID | Profile_ID | N° étape | Type étape       | FLAP_ID | Altitude départ (ft) | CAS départ (kt) | Angle descente (deg) | Roulage atterrissage (ft) | Distance (ft) | Poussée départ (% poussée max) |
|--------|------------|----------|------------------|---------|----------------------|-----------------|----------------------|---------------------------|---------------|--------------------------------|
| EMB170 | DEFAULT    | 7        | Décélération     |         |                      | 30,0            |                      |                           | 0,0           | 10,0                           |
| EMB175 | DEFAULT    | 1        | Descente-ralenti |         | 6 000,0              | 250,0           | 3,0                  |                           |               |                                |
| EMB175 | DEFAULT    | 2        | Descente-ralenti |         | 3 000,0              | 180,0           | 3,0                  |                           |               |                                |
| EMB175 | DEFAULT    | 3        | Descente-ralenti |         | 2 000,0              | 140,0           | 3,0                  |                           |               |                                |
| EMB175 | DEFAULT    | 4        | Descente         | FULL    | 1 500,0              | 130,0           | 3,0                  |                           |               |                                |
| EMB175 | DEFAULT    | 5        | Atterrissage     | FULL    |                      |                 |                      | 276,3                     |               |                                |
| EMB175 | DEFAULT    | 6        | Décélération     |         |                      | 120,0           |                      |                           | 2 487,0       | 40,0                           |
| EMB175 | DEFAULT    | 7        | Décélération     |         |                      | 30,0            |                      |                           | 0,0           | 10,0                           |
| EMB190 | DEFAULT    | 1        | Descente-ralenti |         | 6 000,0              | 250,0           | 3,0                  |                           |               |                                |
| EMB190 | DEFAULT    | 2        | Descente-ralenti |         | 3 000,0              | 180,0           | 3,0                  |                           |               |                                |
| EMB190 | DEFAULT    | 3        | Descente-ralenti |         | 2 000,0              | 140,0           | 3,0                  |                           |               |                                |
| EMB190 | DEFAULT    | 4        | Descente         | FULL    | 1 500,0              | 130,0           | 3,0                  |                           |               |                                |
| EMB190 | DEFAULT    | 5        | Atterrissage     | FULL    |                      |                 |                      | 271,9                     |               |                                |
| EMB190 | DEFAULT    | 6        | Décélération     |         |                      | 120,0           |                      |                           | 2 447,0       | 40,0                           |
| EMB190 | DEFAULT    | 7        | Décélération     |         |                      | 30,0            |                      |                           | 0,0           | 10,0                           |
| EMB195 | DEFAULT    | 1        | Descente-ralenti |         | 6 000,0              | 250,0           | 3,0                  |                           |               |                                |
| EMB195 | DEFAULT    | 2        | Descente-ralenti |         | 3 000,0              | 180,0           | 3,0                  |                           |               |                                |
| EMB195 | DEFAULT    | 3        | Descente-ralenti |         | 2 000,0              | 140,0           | 3,0                  |                           |               |                                |
| EMB195 | DEFAULT    | 4        | Descente         | FULL    | 1 500,0              | 130,0           | 3,0                  |                           |               |                                |
| EMB195 | DEFAULT    | 5        | Atterrissage     | FULL    |                      |                 |                      | 281,1                     |               |                                |
| EMB195 | DEFAULT    | 6        | Décélération     |         |                      | 120,0           |                      |                           | 2 530,0       | 40,0                           |
| EMB195 | DEFAULT    | 7        | Décélération     |         |                      | 30,0            |                      |                           | 0,0           | 10,0                           |

| ACFTID | Profile_ID | N° étape | Type étape   | FLAP_ID | Altitude départ (ft) | CAS départ (kt) | Angle descente (deg) | Roulage atterrissage (ft) | Distance (ft) | Poussée départ (% poussée max) |
|--------|------------|----------|--------------|---------|----------------------|-----------------|----------------------|---------------------------|---------------|--------------------------------|
| F10062 | DEFAULT    | 1        | Descente     | TO      | 6 000,0              | 250,0           | 3,0                  |                           |               |                                |
| F10062 | DEFAULT    | 2        | Descente     | INT2    | 3 000,0              | 161,3           | 3,0                  |                           |               |                                |
| F10062 | DEFAULT    | 3        | Descente     | U-INT   | 1 500,0              | 141,3           | 3,0                  |                           |               |                                |
| F10062 | DEFAULT    | 4        | Descente     | D-42    | 1 000,0              | 131,3           | 3,0                  |                           |               |                                |
| F10062 | DEFAULT    | 5        | Atterrissage | D-42    |                      |                 |                      | 315,0                     |               |                                |
| F10062 | DEFAULT    | 6        | Décélération |         |                      | 124,5           |                      |                           | 2 835,0       | 40,0                           |
| F10062 | DEFAULT    | 7        | Décélération |         |                      | 30,0            |                      |                           | 0,0           | 10,0                           |
| F10065 | DEFAULT    | 1        | Descente     | TO      | 6 000,0              | 250,0           | 3,0                  |                           |               |                                |
| F10065 | DEFAULT    | 2        | Descente     | INT2    | 3 000,0              | 163,1           | 3,0                  |                           |               |                                |
| F10065 | DEFAULT    | 3        | Descente     | U-INT   | 1 500,0              | 143,1           | 3,0                  |                           |               |                                |
| F10065 | DEFAULT    | 4        | Descente     | D-42    | 1 000,0              | 133,1           | 3,0                  |                           |               |                                |
| F10065 | DEFAULT    | 5        | Atterrissage | D-42    |                      |                 |                      | 328,0                     |               |                                |
| F10065 | DEFAULT    | 6        | Décélération |         |                      | 126,3           |                      |                           | 2 952,0       | 40,0                           |
| F10065 | DEFAULT    | 7        | Décélération |         |                      | 30,0            |                      |                           | 0,0           | 10,0                           |
| F28MK2 | DEFAULT    | 1        | Descente     | ZERO    | 6 000,0              | 250,0           | 3,0                  |                           |               |                                |
| F28MK2 | DEFAULT    | 2        | Descente     | INT2    | 3 000,0              | 152,9           | 3,0                  |                           |               |                                |
| F28MK2 | DEFAULT    | 3        | Descente     | U-INTR  | 1 500,0              | 132,9           | 3,0                  |                           |               |                                |
| F28MK2 | DEFAULT    | 4        | Descente     | D-42    | 1 000,0              | 122,9           | 3,0                  |                           |               |                                |
| F28MK2 | DEFAULT    | 5        | Atterrissage | D-42    |                      |                 |                      | 223,2                     |               |                                |
| F28MK2 | DEFAULT    | 6        | Décélération |         |                      | 116,6           |                      |                           | 2 008,8       | 40,0                           |
| F28MK2 | DEFAULT    | 7        | Décélération |         |                      | 30,0            |                      |                           | 0,0           | 10,0                           |
| F28MK4 | DEFAULT    | 1        | Descente     | ZERO    | 6 000,0              | 250,0           | 3,0                  |                           |               |                                |

| ACFTID | Profile_ID | N° étape | Type étape   | FLAP_ID | Altitude départ (ft) | CAS départ (kt) | Angle descente (deg) | Roulage atterrissage (ft) | Distance (ft) | Poussée départ (% poussée max) |
|--------|------------|----------|--------------|---------|----------------------|-----------------|----------------------|---------------------------|---------------|--------------------------------|
| F28MK4 | DEFAULT    | 2        | Descente     | INT2    | 3 000,0              | 153,6           | 3,0                  |                           |               |                                |
| F28MK4 | DEFAULT    | 3        | Descente     | U-INTR  | 1 500,0              | 133,6           | 3,0                  |                           |               |                                |
| F28MK4 | DEFAULT    | 4        | Descente     | D-42    | 1 000,0              | 123,6           | 3,0                  |                           |               |                                |
| F28MK4 | DEFAULT    | 5        | Atterrissage | D-42    |                      |                 |                      | 223,7                     |               |                                |
| F28MK4 | DEFAULT    | 6        | Décélération |         |                      | 117,2           |                      |                           | 2 013,3       | 40,0                           |
| F28MK4 | DEFAULT    | 7        | Décélération |         |                      | 30,0            |                      |                           | 0,0           | 10,0                           |
| FAL20  | DEFAULT    | 1        | Descente     | ZERO    | 6 000,0              | 250,0           | 3,0                  |                           |               |                                |
| FAL20  | DEFAULT    | 2        | Descente     | INTR    | 3 000,0              | 142,2           | 3,0                  |                           |               |                                |
| FAL20  | DEFAULT    | 3        | Descente     | D-25    | 1 500,0              | 126,1           | 3,0                  |                           |               |                                |
| FAL20  | DEFAULT    | 4        | Descente     | D-40    | 1 000,0              | 124,2           | 3,0                  |                           |               |                                |
| FAL20  | DEFAULT    | 5        | Atterrissage | D-40    |                      |                 |                      | 128,7                     |               |                                |
| FAL20  | DEFAULT    | 6        | Décélération |         |                      | 117,9           |                      |                           | 1 158,3       | 40,0                           |
| FAL20  | DEFAULT    | 7        | Décélération |         |                      | 30,0            |                      |                           | 0,0           | 10,0                           |
| GII    | DEFAULT    | 1        | Descente     | L-0-U   | 6 000,0              | 230,0           | 3,0                  |                           |               |                                |
| GII    | DEFAULT    | 2        | Descente     | L-10-U  | 3 000,0              | 170,0           | 3,0                  |                           |               |                                |
| GII    | DEFAULT    | 3        | Descente     | L-20-D  | 1 500,0              | 153,6           | 3,0                  |                           |               |                                |
| GII    | DEFAULT    | 4        | Descente     | L-20-D  | 1 000,0              | 153,6           | 3,0                  |                           |               |                                |
| GII    | DEFAULT    | 5        | Descente     | L-39-D  | 200,0                | 143,6           | 3,0                  |                           |               |                                |
| GII    | DEFAULT    | 6        | Atterrissage | L-39-D  |                      |                 |                      | 790,0                     |               |                                |
| GII    | DEFAULT    | 7        | Décélération |         |                      | 117,0           |                      |                           | 760,0         | 40,0                           |
| GII    | DEFAULT    | 8        | Décélération |         |                      | 20,0            |                      |                           | 0,0           | 10,0                           |
| GII B  | DEFAULT    | 1        | Descente     | L-0-U   | 6 000,0              | 230,0           | 3,0                  |                           |               |                                |

| ACFTID | Profile_ID | N° étape | Type étape   | FLAP_ID | Altitude départ (ft) | CAS départ (kt) | Angle descente (deg) | Roulage atterrissage (ft) | Distance (ft) | Poussée départ (% poussée max) |
|--------|------------|----------|--------------|---------|----------------------|-----------------|----------------------|---------------------------|---------------|--------------------------------|
| GIIB   | DEFAULT    | 2        | Descente     | L-10-U  | 3 000,0              | 170,0           | 3,0                  |                           |               |                                |
| GIIB   | DEFAULT    | 3        | Descente     | L-20-D  | 1 500,0              | 149,2           | 3,0                  |                           |               |                                |
| GIIB   | DEFAULT    | 4        | Descente     | L-20-D  | 1 000,0              | 149,2           | 3,0                  |                           |               |                                |
| GIIB   | DEFAULT    | 5        | Descente     | L-39-D  | 200,0                | 139,2           | 3,0                  |                           |               |                                |
| GIIB   | DEFAULT    | 6        | Atterrissage | L-39-D  |                      |                 |                      | 790,0                     |               |                                |
| GIIB   | DEFAULT    | 7        | Décélération |         |                      | 113,0           |                      |                           | 760,0         | 40,0                           |
| GIIB   | DEFAULT    | 8        | Décélération |         |                      | 20,0            |                      |                           | 0,0           | 10,0                           |
| GIV    | DEFAULT    | 1        | Descente     | L-0-U   | 6 000,0              | 250,0           | 3,0                  |                           |               |                                |
| GIV    | DEFAULT    | 2        | Descente     | L-0-U   | 3 000,0              | 160,0           | 3,0                  |                           |               |                                |
| GIV    | DEFAULT    | 3        | Descente     | L-20-D  | 1 500,0              | 160,0           | 3,0                  |                           |               |                                |
| GIV    | DEFAULT    | 4        | Descente     | L-39-D  | 1 000,0              | 151,5           | 3,0                  |                           |               |                                |
| GIV    | DEFAULT    | 5        | Atterrissage | L-39-D  |                      |                 |                      | 298,0                     |               |                                |
| GIV    | DEFAULT    | 6        | Décélération |         |                      | 80,0            |                      |                           | 982,0         | 40,0                           |
| GIV    | DEFAULT    | 7        | Décélération |         |                      | 20,0            |                      |                           | 0,0           | 4,0                            |
| GV     | DEFAULT    | 1        | Descente     | L-0-U   | 6 000,0              | 250,0           | 3,0                  |                           |               |                                |
| GV     | DEFAULT    | 2        | Descente     | L-20-U  | 3 000,0              | 160,0           | 3,0                  |                           |               |                                |
| GV     | DEFAULT    | 3        | Descente     | L-20-D  | 1 500,0              | 160,0           | 3,0                  |                           |               |                                |
| GV     | DEFAULT    | 4        | Descente     | L-39-D  | 1 000,0              | 137,8           | 3,0                  |                           |               |                                |
| GV     | DEFAULT    | 5        | Atterrissage | L-39-D  |                      |                 |                      | 300,0                     |               |                                |
| GV     | DEFAULT    | 6        | Décélération |         |                      | 107,0           |                      |                           | 1 157,0       | 40,0                           |
| GV     | DEFAULT    | 7        | Décélération |         |                      | 20,0            |                      |                           | 0,0           | 4,6                            |
| HS748A | DEFAULT    | 1        | Descente     | ZERO    | 6 000,0              | 160,0           | 3,0                  |                           |               |                                |

| ACFTID | Profile_ID | N° étape | Type étape   | FLAP_ID | Altitude départ (ft) | CAS départ (kt) | Angle descente (deg) | Roulage atterrissage (ft) | Distance (ft) | Poussée départ (% poussée max) |
|--------|------------|----------|--------------|---------|----------------------|-----------------|----------------------|---------------------------|---------------|--------------------------------|
| HS748A | DEFAULT    | 2        | Descente     | INTR    | 3 000,0              | 110,1           | 3,0                  |                           |               |                                |
| HS748A | DEFAULT    | 3        | Descente     | D-INTR  | 1 500,0              | 100,1           | 3,0                  |                           |               |                                |
| HS748A | DEFAULT    | 4        | Descente     | D-30    | 1 000,0              | 90,1            | 3,0                  |                           |               |                                |
| HS748A | DEFAULT    | 5        | Atterrissage | D-30    |                      |                 |                      | 207,0                     |               |                                |
| HS748A | DEFAULT    | 6        | Décélération |         |                      | 85,5            |                      |                           | 1 863,0       | 40,0                           |
| HS748A | DEFAULT    | 7        | Décélération |         |                      | 30,0            |                      |                           | 0,0           | 10,0                           |
| IA1125 | DEFAULT    | 1        | Descente     | ZERO    | 6 000,0              | 250,0           | 3,0                  |                           |               |                                |
| IA1125 | DEFAULT    | 2        | Descente     | INTR    | 3 000,0              | 152,1           | 3,0                  |                           |               |                                |
| IA1125 | DEFAULT    | 3        | Descente     | D-INTR  | 1 500,0              | 142,1           | 3,0                  |                           |               |                                |
| IA1125 | DEFAULT    | 4        | Descente     | D-40    | 1 000,0              | 132,1           | 3,0                  |                           |               |                                |
| IA1125 | DEFAULT    | 5        | Atterrissage | D-40    |                      |                 |                      | 236,6                     |               |                                |
| IA1125 | DEFAULT    | 6        | Décélération |         |                      | 125,3           |                      |                           | 2 129,4       | 40,0                           |
| IA1125 | DEFAULT    | 7        | Décélération |         |                      | 30,0            |                      |                           | 0,0           | 10,0                           |
| L1011  | DEFAULT    | 1        | Descente     | ZERO    | 6 000,0              | 250,0           | 3,0                  |                           |               |                                |
| L1011  | DEFAULT    | 2        | Descente     | 10      | 3 000,0              | 160,5           | 3,0                  |                           |               |                                |
| L1011  | DEFAULT    | 3        | Descente     | D-33    | 1 500,0              | 162,9           | 3,0                  |                           |               |                                |
| L1011  | DEFAULT    | 4        | Descente     | D-42    | 1 000,0              | 145,5           | 3,0                  |                           |               |                                |
| L1011  | DEFAULT    | 5        | Atterrissage | D-42    |                      |                 |                      | 417,0                     |               |                                |
| L1011  | DEFAULT    | 6        | Décélération |         |                      | 138,1           |                      |                           | 3 753,0       | 10,0                           |
| L1011  | DEFAULT    | 7        | Décélération |         |                      | 30,0            |                      |                           | 0,0           | 10,0                           |
| L10115 | DEFAULT    | 1        | Descente     | ZERO    | 6 000,0              | 250,0           | 3,0                  |                           |               |                                |
| L10115 | DEFAULT    | 2        | Descente     | 10      | 3 000,0              | 162,4           | 3,0                  |                           |               |                                |

| ACFTID | Profile_ID | N° étape | Type étape   | FLAP_ID | Altitude départ (ft) | CAS départ (kt) | Angle descente (deg) | Roulage atterrissage (ft) | Distance (ft) | Poussée départ (% poussée max) |
|--------|------------|----------|--------------|---------|----------------------|-----------------|----------------------|---------------------------|---------------|--------------------------------|
| L10115 | DEFAULT    | 3        | Descente     | D-33    | 1 500,0              | 151,2           | 3,0                  |                           |               |                                |
| L10115 | DEFAULT    | 4        | Descente     | D-42    | 1 000,0              | 147,4           | 3,0                  |                           |               |                                |
| L10115 | DEFAULT    | 5        | Atterrissage | D-42    |                      |                 |                      | 516,6                     |               |                                |
| L10115 | DEFAULT    | 6        | Décélération |         |                      | 139,8           |                      |                           | 4 649,4       | 10,0                           |
| L10115 | DEFAULT    | 7        | Décélération |         |                      | 30,0            |                      |                           | 0,0           | 10,0                           |
| L188   | DEFAULT    | 1        | Descente     | ZERO    | 6 000,0              | 200,0           | 3,0                  |                           |               |                                |
| L188   | DEFAULT    | 2        | Descente     | INTR    | 3 000,0              | 147,5           | 3,0                  |                           |               |                                |
| L188   | DEFAULT    | 3        | Descente     | D-78-%  | 1 500,0              | 135,6           | 3,0                  |                           |               |                                |
| L188   | DEFAULT    | 4        | Descente     | D-100   | 1 000,0              | 129,8           | 3,0                  |                           |               |                                |
| L188   | DEFAULT    | 5        | Atterrissage | D-100   |                      |                 |                      | 351,0                     |               |                                |
| L188   | DEFAULT    | 6        | Décélération |         |                      | 123,1           |                      |                           | 3 159,0       | 40,0                           |
| L188   | DEFAULT    | 7        | Décélération |         |                      | 30,0            |                      |                           | 0,0           | 10,0                           |
| LEAR25 | DEFAULT    | 1        | Descente     | ZERO    | 6 000,0              | 250,0           | 3,0                  |                           |               |                                |
| LEAR25 | DEFAULT    | 2        | Descente     | 10      | 3 000,0              | 161,6           | 3,0                  |                           |               |                                |
| LEAR25 | DEFAULT    | 3        | Descente     | D-INTR  | 1 500,0              | 151,6           | 3,0                  |                           |               |                                |
| LEAR25 | DEFAULT    | 4        | Descente     | D-40    | 1 000,0              | 141,7           | 3,0                  |                           |               |                                |
| LEAR25 | DEFAULT    | 5        | Atterrissage | D-40    |                      |                 |                      | 140,4                     |               |                                |
| LEAR25 | DEFAULT    | 6        | Décélération |         |                      | 134,4           |                      |                           | 1 263,6       | 40,0                           |
| LEAR25 | DEFAULT    | 7        | Décélération |         |                      | 30,0            |                      |                           | 0,0           | 10,0                           |
| LEAR35 | DEFAULT    | 1        | Descente     | ZERO    | 6 000,0              | 250,0           | 3,0                  |                           |               |                                |
| LEAR35 | DEFAULT    | 2        | Descente     | 10      | 3 000,0              | 144,5           | 3,0                  |                           |               |                                |
| LEAR35 | DEFAULT    | 3        | Descente     | D-INTR  | 1 500,0              | 134,5           | 3,0                  |                           |               |                                |

| ACFTID | Profile_ID | N° étape | Type étape   | FLAP_ID | Altitude départ (ft) | CAS départ (kt) | Angle descente (deg) | Roulage atterrissage (ft) | Distance (ft) | Poussée départ (% poussée max) |
|--------|------------|----------|--------------|---------|----------------------|-----------------|----------------------|---------------------------|---------------|--------------------------------|
| LEAR35 | DEFAULT    | 4        | Descente     | D-40    | 1 000,0              | 127,8           | 3,0                  |                           |               |                                |
| LEAR35 | DEFAULT    | 5        | Atterrissage | D-40    |                      |                 |                      | 181,4                     |               |                                |
| LEAR35 | DEFAULT    | 6        | Décélération |         |                      | 121,2           |                      |                           | 1 632,6       | 40,0                           |
| LEAR35 | DEFAULT    | 7        | Décélération |         |                      | 30,0            |                      |                           | 0,0           | 10,0                           |
| MD9025 | DEFAULT    | 1        | Descente     | U-0     | 6 000,0              | 185,0           | 3,0                  |                           |               |                                |
| MD9025 | DEFAULT    | 2        | Descente     | D-28    | 3 000,0              | 154,0           | 3,0                  |                           |               |                                |
| MD9025 | DEFAULT    | 3        | Descente     | D-28    | 1 500,0              | 150,0           | 3,0                  |                           |               |                                |
| MD9025 | DEFAULT    | 4        | Descente     | D-40    | 1 000,0              | 145,3           | 3,0                  |                           |               |                                |
| MD9025 | DEFAULT    | 5        | Atterrissage | D-40    |                      |                 |                      | 346,0                     |               |                                |
| MD9025 | DEFAULT    | 6        | Décélération |         |                      | 130,0           |                      |                           | 2 100,0       | 40,0                           |
| MD9025 | DEFAULT    | 7        | Décélération |         |                      | 30,0            |                      |                           | 0,0           | 9,6                            |
| MD9028 | DEFAULT    | 1        | Descente     | U-0     | 6 000,0              | 185,0           | 3,0                  |                           |               |                                |
| MD9028 | DEFAULT    | 2        | Descente     | D-28    | 3 000,0              | 154,0           | 3,0                  |                           |               |                                |
| MD9028 | DEFAULT    | 3        | Descente     | D-28    | 1 500,0              | 150,0           | 3,0                  |                           |               |                                |
| MD9028 | DEFAULT    | 4        | Descente     | D-40    | 1 000,0              | 145,3           | 3,0                  |                           |               |                                |
| MD9028 | DEFAULT    | 5        | Atterrissage | D-40    |                      |                 |                      | 346,0                     |               |                                |
| MD9028 | DEFAULT    | 6        | Décélération |         |                      | 130,0           |                      |                           | 2 100,0       | 40,0                           |
| MD9028 | DEFAULT    | 7        | Décélération |         |                      | 30,0            |                      |                           | 0,0           | 8,6                            |
| MU3001 | DEFAULT    | 1        | Descente     | ZERO    | 6 000,0              | 250,0           | 3,0                  |                           |               |                                |
| MU3001 | DEFAULT    | 2        | Descente     | 1       | 3 000,0              | 133,8           | 3,0                  |                           |               |                                |
| MU3001 | DEFAULT    | 3        | Descente     | D-INTR  | 1 500,0              | 123,8           | 3,0                  |                           |               |                                |
| MU3001 | DEFAULT    | 4        | Descente     | D-30    | 1 000,0              | 117,1           | 3,0                  |                           |               |                                |

| ACFTID | Profile_ID | N° étape | Type étape   | FLAP_ID | Altitude départ (ft) | CAS départ (kt) | Angle descente (deg) | Roulage atterrissage (ft) | Distance (ft) | Poussée départ (% poussée max) |
|--------|------------|----------|--------------|---------|----------------------|-----------------|----------------------|---------------------------|---------------|--------------------------------|
| MU3001 | DEFAULT    | 5        | Atterrissage | D-30    |                      |                 |                      | 156,6                     |               |                                |
| MU3001 | DEFAULT    | 6        | Décélération |         |                      | 111,1           |                      |                           | 1 409,4       | 40,0                           |
| MU3001 | DEFAULT    | 7        | Décélération |         |                      | 30,0            |                      |                           | 0,0           | 10,0                           |
| PA 30  | DEFAULT    | 1        | Descente     | ZERO-A  | 6 000,0              | 120,0           | 3,0                  |                           |               |                                |
| PA 30  | DEFAULT    | 2        | Descente     | 27-A    | 3 000,0              | 109,0           | 3,0                  |                           |               |                                |
| PA 30  | DEFAULT    | 3        | Descente     | 27-A    | 1 500,0              | 96,0            | 3,0                  |                           |               |                                |
| PA 30  | DEFAULT    | 4        | Descente     | 27-A    | 1 000,0              | 87,0            | 3,0                  |                           |               |                                |
| PA 30  | DEFAULT    | 5        | Atterrissage | 27-A    |                      |                 |                      | 53,5                      |               |                                |
| PA 30  | DEFAULT    | 6        | Décélération |         |                      | 70,0            |                      |                           | 481,1         | 10,0                           |
| PA 30  | DEFAULT    | 7        | Décélération |         |                      | 10,0            |                      |                           | 0,0           | 10,0                           |
| PA42   | DEFAULT    | 1        | Descente     | ZERO-A  | 6 000,0              | 151,0           | 3,0                  |                           |               |                                |
| PA42   | DEFAULT    | 2        | Descente     | ZERO-A  | 4 000,0              | 135,0           | 3,0                  |                           |               |                                |
| PA42   | DEFAULT    | 3        | Descente     | ZERO-A  | 2 000,0              | 119,0           | 3,0                  |                           |               |                                |
| PA42   | DEFAULT    | 4        | Descente     | 30-DN   | 1 000,0              | 111,0           | 3,0                  |                           |               |                                |
| PA42   | DEFAULT    | 5        | Descente     | 30-DN   | 50,0                 | 111,0           | 3,0                  |                           |               |                                |
| PA42   | DEFAULT    | 6        | Atterrissage | 30-DN   |                      |                 |                      | 100,0                     |               |                                |
| PA42   | DEFAULT    | 7        | Décélération |         |                      | 111,0           |                      |                           | 2 245,9       | 10,0                           |
| PA42   | DEFAULT    | 8        | Décélération |         |                      | 10,0            |                      |                           | 0,0           | 10,0                           |
| SD330  | DEFAULT    | 1        | Descente     | ZERO    | 6 000,0              | 160,0           | 3,0                  |                           |               |                                |
| SD330  | DEFAULT    | 2        | Descente     | INTR    | 3 000,0              | 120,2           | 3,0                  |                           |               |                                |
| SD330  | DEFAULT    | 3        | Descente     | D-15    | 1 500,0              | 106,5           | 3,0                  |                           |               |                                |
| SD330  | DEFAULT    | 4        | Descente     | D-35    | 1 000,0              | 100,2           | 3,0                  |                           |               |                                |

| ACFTID | Profile_ID | N° étape | Type étape   | FLAP_ID | Altitude départ (ft) | CAS départ (kt) | Angle descente (deg) | Roulage atterrissage (ft) | Distance (ft) | Poussée départ (% poussée max) |
|--------|------------|----------|--------------|---------|----------------------|-----------------|----------------------|---------------------------|---------------|--------------------------------|
| SD330  | DEFAULT    | 5        | Atterrissage | D-35    |                      |                 |                      | 233,1                     |               |                                |
| SD330  | DEFAULT    | 6        | Décélération |         |                      | 95,1            |                      |                           | 2 097,9       | 40,0                           |
| SD330  | DEFAULT    | 7        | Décélération |         |                      | 30,0            |                      |                           | 0,0           | 10,0                           |
| SF340  | DEFAULT    | 1        | Descente     | ZERO    | 6 000,0              | 160,0           | 3,0                  |                           |               |                                |
| SF340  | DEFAULT    | 2        | Descente     | 5       | 3 000,0              | 136,9           | 3,0                  |                           |               |                                |
| SF340  | DEFAULT    | 3        | Descente     | D-INTR  | 1 500,0              | 126,9           | 3,0                  |                           |               |                                |
| SF340  | DEFAULT    | 4        | Descente     | D-35    | 1 000,0              | 116,9           | 3,0                  |                           |               |                                |
| SF340  | DEFAULT    | 5        | Atterrissage | D-35    |                      |                 |                      | 216,9                     |               |                                |
| SF340  | DEFAULT    | 6        | Décélération |         |                      | 110,9           |                      |                           | 1 952,1       | 40,0                           |
| SF340  | DEFAULT    | 7        | Décélération |         |                      | 30,0            |                      |                           | 0,0           | 10,0                           |

Tableau I-4 (partie 1)

**Étapes de procédure de départ par défaut**

| ACFTID | Profile_ID | Longueur phase | No étape | Type étape   | Indice poussée | Flap_ID | Altitude point final (ft) | Vitesse de montée (ft/min) | CAS point final (kt) | Pourcentage accélération (%) |
|--------|------------|----------------|----------|--------------|----------------|---------|---------------------------|----------------------------|----------------------|------------------------------|
| 1900D  | DEFAULT    | 1              | 1        | Décollage    | Maxi décollage | 17-D    |                           |                            |                      |                              |
| 1900D  | DEFAULT    | 1              | 2        | Montée       | Maxi décollage | 17-D    | 400                       |                            |                      |                              |
| 1900D  | DEFAULT    | 1              | 3        | Accélération | Maxi décollage | 17-D    |                           | 2 750                      | 128                  |                              |
| 1900D  | DEFAULT    | 1              | 4        | Accélération | Maxi montée    | ZERO-D  |                           | 2 950                      | 138                  |                              |
| 1900D  | DEFAULT    | 1              | 5        | Montée       | Maxi montée    | ZERO-D  | 3 000                     |                            |                      |                              |
| 1900D  | DEFAULT    | 1              | 6        | Accélération | Maxi montée    | ZERO-D  |                           | 1 500                      | 160                  |                              |
| 1900D  | DEFAULT    | 1              | 7        | Montée       | Maxi montée    | ZERO-D  | 5 500                     |                            |                      |                              |
| 1900D  | DEFAULT    | 1              | 8        | Montée       | Maxi montée    | ZERO-D  | 7 500                     |                            |                      |                              |
| 1900D  | DEFAULT    | 1              | 9        | Montée       | Maxi montée    | ZERO-D  | 10 000                    |                            |                      |                              |

| ACFTID | Profile_ID | Longueur phase | No étape | Type étape   | Indice poussée | Flap_ID | Altitude point final (ft) | Vitesse de montée (ft/min) | CAS point final (kt) | Pourcentage accélération (%) |
|--------|------------|----------------|----------|--------------|----------------|---------|---------------------------|----------------------------|----------------------|------------------------------|
| 1900D  | DEFAULT    | 2              | 1        | Décollage    | Maxi décollage | 17-D    |                           |                            |                      |                              |
| 1900D  | DEFAULT    | 2              | 2        | Montée       | Maxi décollage | 17-D    | 400                       |                            |                      |                              |
| 1900D  | DEFAULT    | 2              | 3        | Accélération | Maxi décollage | 17-D    |                           | 2 400                      | 128                  |                              |
| 1900D  | DEFAULT    | 2              | 4        | Accélération | Maxi montée    | ZERO-D  |                           | 2 650                      | 138                  |                              |
| 1900D  | DEFAULT    | 2              | 5        | Montée       | Maxi montée    | ZERO-D  | 3 000                     |                            |                      |                              |
| 1900D  | DEFAULT    | 2              | 6        | Accélération | Maxi montée    | ZERO-D  |                           | 1 500                      | 160                  |                              |
| 1900D  | DEFAULT    | 2              | 7        | Montée       | Maxi montée    | ZERO-D  | 5 500                     |                            |                      |                              |
| 1900D  | DEFAULT    | 2              | 8        | Montée       | Maxi montée    | ZERO-D  | 7 500                     |                            |                      |                              |
| 1900D  | DEFAULT    | 2              | 9        | Montée       | Maxi montée    | ZERO-D  | 10 000                    |                            |                      |                              |
| 707320 | DEFAULT    | 1              | 1        | Décollage    | Maxi décollage | 14      |                           |                            |                      |                              |
| 707320 | DEFAULT    | 1              | 2        | Montée       | Maxi décollage | 14      | 1 000                     |                            |                      |                              |
| 707320 | DEFAULT    | 1              | 3        | Accélération | Maxi décollage | 14      |                           | 2 047                      | 175                  |                              |
| 707320 | DEFAULT    | 1              | 4        | Accélération | Maxi montée    | INT     |                           | 1 000                      | 195                  |                              |
| 707320 | DEFAULT    | 1              | 5        | Montée       | Maxi montée    | ZERO    | 3 000                     |                            |                      |                              |
| 707320 | DEFAULT    | 1              | 6        | Accélération | Maxi montée    | ZERO    |                           | 1 000                      | 250                  |                              |
| 707320 | DEFAULT    | 1              | 7        | Montée       | Maxi montée    | ZERO    | 5 500                     |                            |                      |                              |
| 707320 | DEFAULT    | 1              | 8        | Montée       | Maxi montée    | ZERO    | 7 500                     |                            |                      |                              |
| 707320 | DEFAULT    | 1              | 9        | Montée       | Maxi montée    | ZERO    | 10 000                    |                            |                      |                              |
| 707320 | DEFAULT    | 2              | 1        | Décollage    | Maxi décollage | 14      |                           |                            |                      |                              |
| 707320 | DEFAULT    | 2              | 2        | Montée       | Maxi décollage | 14      | 1 000                     |                            |                      |                              |

| ACFTID | Profile_ID | Longueur phase | No étape | Type étape   | Indice poussée | Flap_ID | Altitude point final (ft) | Vitesse de montée (ft/min) | CAS point final (kt) | Pourcentage accélération (%) |
|--------|------------|----------------|----------|--------------|----------------|---------|---------------------------|----------------------------|----------------------|------------------------------|
| 707320 | DEFAULT    | 2              | 3        | Accélération | Maxi décollage | 14      |                           | 1 905                      | 179                  |                              |
| 707320 | DEFAULT    | 2              | 4        | Accélération | Maxi montée    | INT     |                           | 1 000                      | 199                  |                              |
| 707320 | DEFAULT    | 2              | 5        | Montée       | Maxi montée    | ZERO    | 3 000                     |                            |                      |                              |
| 707320 | DEFAULT    | 2              | 6        | Accélération | Maxi montée    | ZERO    |                           | 1 000                      | 250                  |                              |
| 707320 | DEFAULT    | 2              | 7        | Montée       | Maxi montée    | ZERO    | 5 500                     |                            |                      |                              |
| 707320 | DEFAULT    | 2              | 8        | Montée       | Maxi montée    | ZERO    | 7 500                     |                            |                      |                              |
| 707320 | DEFAULT    | 2              | 9        | Montée       | Maxi montée    | ZERO    | 10 000                    |                            |                      |                              |
| 707320 | DEFAULT    | 3              | 1        | Décollage    | Maxi décollage | 14      |                           |                            |                      |                              |
| 707320 | DEFAULT    | 3              | 2        | Montée       | Maxi décollage | 14      | 1 000                     |                            |                      |                              |
| 707320 | DEFAULT    | 3              | 3        | Accélération | Maxi décollage | 14      |                           | 1 793                      | 183                  |                              |
| 707320 | DEFAULT    | 3              | 4        | Accélération | Maxi montée    | INT     |                           | 1 000                      | 203                  |                              |
| 707320 | DEFAULT    | 3              | 5        | Montée       | Maxi montée    | ZERO    | 3 000                     |                            |                      |                              |
| 707320 | DEFAULT    | 3              | 6        | Accélération | Maxi montée    | ZERO    |                           | 1 000                      | 250                  |                              |
| 707320 | DEFAULT    | 3              | 7        | Montée       | Maxi montée    | ZERO    | 5 500                     |                            |                      |                              |
| 707320 | DEFAULT    | 3              | 8        | Montée       | Maxi montée    | ZERO    | 7 500                     |                            |                      |                              |
| 707320 | DEFAULT    | 3              | 9        | Montée       | Maxi montée    | ZERO    | 10 000                    |                            |                      |                              |
| 707320 | DEFAULT    | 4              | 1        | Décollage    | Maxi décollage | 14      |                           |                            |                      |                              |
| 707320 | DEFAULT    | 4              | 2        | Montée       | Maxi décollage | 14      | 1 000                     |                            |                      |                              |
| 707320 | DEFAULT    | 4              | 3        | Accélération | Maxi décollage | 14      |                           | 1 624                      | 189                  |                              |
| 707320 | DEFAULT    | 4              | 4        | Accélération | Maxi montée    | INT     |                           | 1 000                      | 209                  |                              |

| ACFTID | Profile_ID | Longueur phase | No étape | Type étape   | Indice poussée | Flap_ID | Altitude point final (ft) | Vitesse de montée (ft/min) | CAS point final (kt) | Pourcentage accélération (%) |
|--------|------------|----------------|----------|--------------|----------------|---------|---------------------------|----------------------------|----------------------|------------------------------|
| 707320 | DEFAULT    | 4              | 5        | Montée       | Maxi montée    | ZERO    | 3 000                     |                            |                      |                              |
| 707320 | DEFAULT    | 4              | 6        | Accélération | Maxi montée    | ZERO    |                           | 1 000                      | 250                  |                              |
| 707320 | DEFAULT    | 4              | 7        | Montée       | Maxi montée    | ZERO    | 5 500                     |                            |                      |                              |
| 707320 | DEFAULT    | 4              | 8        | Montée       | Maxi montée    | ZERO    | 7 500                     |                            |                      |                              |
| 707320 | DEFAULT    | 4              | 9        | Montée       | Maxi montée    | ZERO    | 10 000                    |                            |                      |                              |
| 707320 | DEFAULT    | 5              | 1        | Décollage    | Maxi décollage | 14      |                           |                            |                      |                              |
| 707320 | DEFAULT    | 5              | 2        | Montée       | Maxi décollage | 14      | 1 000                     |                            |                      |                              |
| 707320 | DEFAULT    | 5              | 3        | Accélération | Maxi décollage | 14      |                           | 1 430                      | 197                  |                              |
| 707320 | DEFAULT    | 5              | 4        | Accélération | Maxi montée    | INT     |                           | 1 000                      | 217                  |                              |
| 707320 | DEFAULT    | 5              | 5        | Montée       | Maxi montée    | ZERO    | 3 000                     |                            |                      |                              |
| 707320 | DEFAULT    | 5              | 6        | Accélération | Maxi montée    | ZERO    |                           | 1 000                      | 250                  |                              |
| 707320 | DEFAULT    | 5              | 7        | Montée       | Maxi montée    | ZERO    | 5 500                     |                            |                      |                              |
| 707320 | DEFAULT    | 5              | 8        | Montée       | Maxi montée    | ZERO    | 7 500                     |                            |                      |                              |
| 707320 | DEFAULT    | 5              | 9        | Montée       | Maxi montée    | ZERO    | 10 000                    |                            |                      |                              |
| 707320 | DEFAULT    | 6              | 1        | Décollage    | Maxi décollage | 14      |                           |                            |                      |                              |
| 707320 | DEFAULT    | 6              | 2        | Montée       | Maxi décollage | 14      | 1 000                     |                            |                      |                              |
| 707320 | DEFAULT    | 6              | 3        | Accélération | Maxi décollage | 14      |                           | 1 259                      | 205                  |                              |
| 707320 | DEFAULT    | 6              | 4        | Accélération | Maxi montée    | INT     |                           | 800                        | 225                  |                              |
| 707320 | DEFAULT    | 6              | 5        | Montée       | Maxi montée    | ZERO    | 3 000                     |                            |                      |                              |
| 707320 | DEFAULT    | 6              | 6        | Accélération | Maxi montée    | ZERO    |                           | 800                        | 250                  |                              |

| ACFTID | Profile_ID | Longueur phase | No étape | Type étape   | Indice poussée | Flap_ID | Altitude point final (ft) | Vitesse de montée (ft/min) | CAS point final (kt) | Pourcentage accélération (%) |
|--------|------------|----------------|----------|--------------|----------------|---------|---------------------------|----------------------------|----------------------|------------------------------|
| 707320 | DEFAULT    | 6              | 7        | Montée       | Maxi montée    | ZERO    | 5 500                     |                            |                      |                              |
| 707320 | DEFAULT    | 6              | 8        | Montée       | Maxi montée    | ZERO    | 7 500                     |                            |                      |                              |
| 707320 | DEFAULT    | 6              | 9        | Montée       | Maxi montée    | ZERO    | 10 000                    |                            |                      |                              |
| 707320 | DEFAULT    | 7              | 1        | Décollage    | Maxi décollage | 14      |                           |                            |                      |                              |
| 707320 | DEFAULT    | 7              | 2        | Montée       | Maxi décollage | 14      | 1 000                     |                            |                      |                              |
| 707320 | DEFAULT    | 7              | 3        | Accélération | Maxi décollage | 14      |                           | 1 151                      | 209                  |                              |
| 707320 | DEFAULT    | 7              | 4        | Accélération | Maxi montée    | INT     |                           | 800                        | 229                  |                              |
| 707320 | DEFAULT    | 7              | 5        | Montée       | Maxi montée    | ZERO    | 3 000                     |                            |                      |                              |
| 707320 | DEFAULT    | 7              | 6        | Accélération | Maxi montée    | ZERO    |                           | 800                        | 250                  |                              |
| 707320 | DEFAULT    | 7              | 7        | Montée       | Maxi montée    | ZERO    | 5 500                     |                            |                      |                              |
| 707320 | DEFAULT    | 7              | 8        | Montée       | Maxi montée    | ZERO    | 7 500                     |                            |                      |                              |
| 707320 | DEFAULT    | 7              | 9        | Montée       | Maxi montée    | ZERO    | 10 000                    |                            |                      |                              |
| 707QN  | DEFAULT    | 1              | 1        | Décollage    | Maxi décollage | 14      |                           |                            |                      |                              |
| 707QN  | DEFAULT    | 1              | 2        | Montée       | Maxi décollage | 14      | 1 000                     |                            |                      |                              |
| 707QN  | DEFAULT    | 1              | 3        | Accélération | Maxi décollage | 14      |                           | 2 047                      | 175                  |                              |
| 707QN  | DEFAULT    | 1              | 4        | Accélération | Maxi montée    | INT     |                           | 1 000                      | 195                  |                              |
| 707QN  | DEFAULT    | 1              | 5        | Montée       | Maxi montée    | ZERO    | 3 000                     |                            |                      |                              |
| 707QN  | DEFAULT    | 1              | 6        | Accélération | Maxi montée    | ZERO    |                           | 1 000                      | 250                  |                              |
| 707QN  | DEFAULT    | 1              | 7        | Montée       | Maxi montée    | ZERO    | 5 500                     |                            |                      |                              |
| 707QN  | DEFAULT    | 1              | 8        | Montée       | Maxi montée    | ZERO    | 7 500                     |                            |                      |                              |

| ACFTID | Profile_ID | Longueur phase | No étape | Type étape   | Indice poussée | Flap_ID | Altitude point final (ft) | Vitesse de montée (ft/min) | CAS point final (kt) | Pourcentage_accélération (%) |
|--------|------------|----------------|----------|--------------|----------------|---------|---------------------------|----------------------------|----------------------|------------------------------|
| 707QN  | DEFAULT    | 1              | 9        | Montée       | Maxi montée    | ZERO    | 10 000                    |                            |                      |                              |
| 707QN  | DEFAULT    | 2              | 1        | Décollage    | Maxi décollage | 14      |                           |                            |                      |                              |
| 707QN  | DEFAULT    | 2              | 2        | Montée       | Maxi décollage | 14      | 1 000                     |                            |                      |                              |
| 707QN  | DEFAULT    | 2              | 3        | Accélération | Maxi décollage | 14      |                           | 1 905                      | 179                  |                              |
| 707QN  | DEFAULT    | 2              | 4        | Accélération | Maxi montée    | INT     |                           | 1 000                      | 199                  |                              |
| 707QN  | DEFAULT    | 2              | 5        | Montée       | Maxi montée    | ZERO    | 3 000                     |                            |                      |                              |
| 707QN  | DEFAULT    | 2              | 6        | Accélération | Maxi montée    | ZERO    |                           | 1 000                      | 250                  |                              |
| 707QN  | DEFAULT    | 2              | 7        | Montée       | Maxi montée    | ZERO    | 5 500                     |                            |                      |                              |
| 707QN  | DEFAULT    | 2              | 8        | Montée       | Maxi montée    | ZERO    | 7 500                     |                            |                      |                              |
| 707QN  | DEFAULT    | 2              | 9        | Montée       | Maxi montée    | ZERO    | 10 000                    |                            |                      |                              |
| 707QN  | DEFAULT    | 3              | 1        | Décollage    | Maxi décollage | 14      |                           |                            |                      |                              |
| 707QN  | DEFAULT    | 3              | 2        | Montée       | Maxi décollage | 14      | 1 000                     |                            |                      |                              |
| 707QN  | DEFAULT    | 3              | 3        | Accélération | Maxi décollage | 14      |                           | 1 793                      | 183                  |                              |
| 707QN  | DEFAULT    | 3              | 4        | Accélération | Maxi montée    | INT     |                           | 1 000                      | 203                  |                              |
| 707QN  | DEFAULT    | 3              | 5        | Montée       | Maxi montée    | ZERO    | 3 000                     |                            |                      |                              |
| 707QN  | DEFAULT    | 3              | 6        | Accélération | Maxi montée    | ZERO    |                           | 1 000                      | 250                  |                              |
| 707QN  | DEFAULT    | 3              | 7        | Montée       | Maxi montée    | ZERO    | 5 500                     |                            |                      |                              |
| 707QN  | DEFAULT    | 3              | 8        | Montée       | Maxi montée    | ZERO    | 7 500                     |                            |                      |                              |
| 707QN  | DEFAULT    | 3              | 9        | Montée       | Maxi montée    | ZERO    | 10 000                    |                            |                      |                              |
| 707QN  | DEFAULT    | 4              | 1        | Décollage    | Maxi décollage | 14      |                           |                            |                      |                              |

| ACFTID | Profile_ID | Longueur phase | No étape | Type étape   | Indice poussée | Flap_ID | Altitude point final (ft) | Vitesse de montée (ft/min) | CAS point final (kt) | Pourcentage_accélération (%) |
|--------|------------|----------------|----------|--------------|----------------|---------|---------------------------|----------------------------|----------------------|------------------------------|
| 707QN  | DEFAULT    | 4              | 2        | Montée       | Maxi décollage | 14      | 1 000                     |                            |                      |                              |
| 707QN  | DEFAULT    | 4              | 3        | Accélération | Maxi décollage | 14      |                           | 1 624                      | 189                  |                              |
| 707QN  | DEFAULT    | 4              | 4        | Accélération | Maxi montée    | INT     |                           | 1 000                      | 209                  |                              |
| 707QN  | DEFAULT    | 4              | 5        | Montée       | Maxi montée    | ZERO    | 3 000                     |                            |                      |                              |
| 707QN  | DEFAULT    | 4              | 6        | Accélération | Maxi montée    | ZERO    |                           | 1 000                      | 250                  |                              |
| 707QN  | DEFAULT    | 4              | 7        | Montée       | Maxi montée    | ZERO    | 5 500                     |                            |                      |                              |
| 707QN  | DEFAULT    | 4              | 8        | Montée       | Maxi montée    | ZERO    | 7 500                     |                            |                      |                              |
| 707QN  | DEFAULT    | 4              | 9        | Montée       | Maxi montée    | ZERO    | 10 000                    |                            |                      |                              |
| 707QN  | DEFAULT    | 5              | 1        | Décollage    | Maxi décollage | 14      |                           |                            |                      |                              |
| 707QN  | DEFAULT    | 5              | 2        | Montée       | Maxi décollage | 14      | 1 000                     |                            |                      |                              |
| 707QN  | DEFAULT    | 5              | 3        | Accélération | Maxi décollage | 14      |                           | 1 430                      | 197                  |                              |
| 707QN  | DEFAULT    | 5              | 4        | Accélération | Maxi montée    | INT     |                           | 1 000                      | 217                  |                              |
| 707QN  | DEFAULT    | 5              | 5        | Montée       | Maxi montée    | ZERO    | 3 000                     |                            |                      |                              |
| 707QN  | DEFAULT    | 5              | 6        | Accélération | Maxi montée    | ZERO    |                           | 1 000                      | 250                  |                              |
| 707QN  | DEFAULT    | 5              | 7        | Montée       | Maxi montée    | ZERO    | 5 500                     |                            |                      |                              |
| 707QN  | DEFAULT    | 5              | 8        | Montée       | Maxi montée    | ZERO    | 7 500                     |                            |                      |                              |
| 707QN  | DEFAULT    | 5              | 9        | Montée       | Maxi montée    | ZERO    | 10 000                    |                            |                      |                              |
| 707QN  | DEFAULT    | 6              | 1        | Décollage    | Maxi décollage | 14      |                           |                            |                      |                              |
| 707QN  | DEFAULT    | 6              | 2        | Montée       | Maxi décollage | 14      | 1 000                     |                            |                      |                              |
| 707QN  | DEFAULT    | 6              | 3        | Accélération | Maxi décollage | 14      |                           | 1 259                      | 205                  |                              |

| ACFTID | Profile_ID | Longueur phase | No étape | Type étape   | Indice poussée | Flap_ID | Altitude point final (ft) | Vitesse de montée (ft/min) | CAS point final (kt) | Pourcentage accélération (%) |
|--------|------------|----------------|----------|--------------|----------------|---------|---------------------------|----------------------------|----------------------|------------------------------|
| 707QN  | DEFAULT    | 6              | 4        | Accélération | Maxi montée    | INT     |                           | 800                        | 225                  |                              |
| 707QN  | DEFAULT    | 6              | 5        | Montée       | Maxi montée    | ZERO    | 3 000                     |                            |                      |                              |
| 707QN  | DEFAULT    | 6              | 6        | Accélération | Maxi montée    | ZERO    |                           | 800                        | 250                  |                              |
| 707QN  | DEFAULT    | 6              | 7        | Montée       | Maxi montée    | ZERO    | 5 500                     |                            |                      |                              |
| 707QN  | DEFAULT    | 6              | 8        | Montée       | Maxi montée    | ZERO    | 7 500                     |                            |                      |                              |
| 707QN  | DEFAULT    | 6              | 9        | Montée       | Maxi montée    | ZERO    | 10 000                    |                            |                      |                              |
| 707QN  | DEFAULT    | 7              | 1        | Décollage    | Maxi décollage | 14      |                           |                            |                      |                              |
| 707QN  | DEFAULT    | 7              | 2        | Montée       | Maxi décollage | 14      | 1 000                     |                            |                      |                              |
| 707QN  | DEFAULT    | 7              | 3        | Accélération | Maxi décollage | 14      |                           | 1 151                      | 209                  |                              |
| 707QN  | DEFAULT    | 7              | 4        | Accélération | Maxi montée    | INT     |                           | 800                        | 229                  |                              |
| 707QN  | DEFAULT    | 7              | 5        | Montée       | Maxi montée    | ZERO    | 3 000                     |                            |                      |                              |
| 707QN  | DEFAULT    | 7              | 6        | Accélération | Maxi montée    | ZERO    |                           | 800                        | 250                  |                              |
| 707QN  | DEFAULT    | 7              | 7        | Montée       | Maxi montée    | ZERO    | 5 500                     |                            |                      |                              |
| 707QN  | DEFAULT    | 7              | 8        | Montée       | Maxi montée    | ZERO    | 7 500                     |                            |                      |                              |
| 707QN  | DEFAULT    | 7              | 9        | Montée       | Maxi montée    | ZERO    | 10 000                    |                            |                      |                              |
| 717200 | DEFAULT    | 1              | 1        | Décollage    | Maxi décollage | T_13A   |                           |                            |                      |                              |
| 717200 | DEFAULT    | 1              | 2        | Montée       | Maxi décollage | T_13A   | 1 000                     |                            |                      |                              |
| 717200 | DEFAULT    | 1              | 3        | Montée       | Maxi montée    | T_13A   | 3 000                     |                            |                      |                              |
| 717200 | DEFAULT    | 1              | 4        | Accélération | Maxi montée    | T_00B   |                           | 1 296,4                    | 250                  |                              |
| 717200 | DEFAULT    | 1              | 5        | Montée       | Maxi montée    | T_00B   | 5 000                     |                            |                      |                              |
| 717200 | DEFAULT    | 1              | 6        | Montée       | Maxi montée    | T_00B   | 7 500                     |                            |                      |                              |

| ACFTID | Profile_ID | Longueur phase | No étape | Type étape   | Indice poussée | Flap_ID | Altitude point final (ft) | Vitesse de montée (ft/min) | CAS point final (kt) | Pourcentage accélération (%) |
|--------|------------|----------------|----------|--------------|----------------|---------|---------------------------|----------------------------|----------------------|------------------------------|
| 717200 | DEFAULT    | 1              | 7        | Montée       | Maxi montée    | T_00B   | 10 000                    |                            |                      |                              |
| 717200 | DEFAULT    | 2              | 1        | Décollage    | Maxi décollage | T_13A   |                           |                            |                      |                              |
| 717200 | DEFAULT    | 2              | 2        | Montée       | Maxi décollage | T_13A   | 1 000                     |                            |                      |                              |
| 717200 | DEFAULT    | 2              | 3        | Montée       | Maxi montée    | T_13A   | 3 000                     |                            |                      |                              |
| 717200 | DEFAULT    | 2              | 4        | Accélération | Maxi montée    | T_00B   |                           | 1 298                      | 250                  |                              |
| 717200 | DEFAULT    | 2              | 5        | Montée       | Maxi montée    | T_00B   | 5 000                     |                            |                      |                              |
| 717200 | DEFAULT    | 2              | 6        | Montée       | Maxi montée    | T_00B   | 7 500                     |                            |                      |                              |
| 717200 | DEFAULT    | 2              | 7        | Montée       | Maxi montée    | T_00B   | 10 000                    |                            |                      |                              |
| 717200 | DEFAULT    | 3              | 1        | Décollage    | Maxi décollage | T_13A   |                           |                            |                      |                              |
| 717200 | DEFAULT    | 3              | 2        | Montée       | Maxi décollage | T_13A   | 1 000                     |                            |                      |                              |
| 717200 | DEFAULT    | 3              | 3        | Montée       | Maxi montée    | T_13A   | 3 000                     |                            |                      |                              |
| 717200 | DEFAULT    | 3              | 4        | Accélération | Maxi montée    | T_00B   |                           | 1 229,1                    | 250                  |                              |
| 717200 | DEFAULT    | 3              | 5        | Montée       | Maxi montée    | T_00B   | 5 000                     |                            |                      |                              |
| 717200 | DEFAULT    | 3              | 6        | Montée       | Maxi montée    | T_00B   | 7 500                     |                            |                      |                              |
| 717200 | DEFAULT    | 3              | 7        | Montée       | Maxi montée    | T_00B   | 10 000                    |                            |                      |                              |
| 717200 | DEFAULT    | 4              | 1        | Décollage    | Maxi décollage | T_13A   |                           |                            |                      |                              |
| 717200 | DEFAULT    | 4              | 2        | Montée       | Maxi décollage | T_13A   | 1 000                     |                            |                      |                              |
| 717200 | DEFAULT    | 4              | 3        | Montée       | Maxi montée    | T_13A   | 3 000                     |                            |                      |                              |
| 717200 | DEFAULT    | 4              | 4        | Accélération | Maxi montée    | T_00B   |                           | 1 165,9                    | 250                  |                              |
| 717200 | DEFAULT    | 4              | 5        | Montée       | Maxi montée    | T_00B   | 5 000                     |                            |                      |                              |
| 717200 | DEFAULT    | 4              | 6        | Montée       | Maxi montée    | T_00B   | 7 500                     |                            |                      |                              |

| ACFTID | Profile_ID | Longueur phase | No étape | Type étape   | Indice poussée | Flap_ID | Altitude point final (ft) | Vitesse de montée (ft/min) | CAS point final (kt) | Pourcentage accélération (%) |
|--------|------------|----------------|----------|--------------|----------------|---------|---------------------------|----------------------------|----------------------|------------------------------|
| 717200 | DEFAULT    | 4              | 7        | Montée       | Maxi montée    | T_00B   | 10 000                    |                            |                      |                              |
| 717200 | DEFAULT    | 5              | 1        | Décollage    | Maxi décollage | T_13A   |                           |                            |                      |                              |
| 717200 | DEFAULT    | 5              | 2        | Montée       | Maxi décollage | T_13A   | 1 000                     |                            |                      |                              |
| 717200 | DEFAULT    | 5              | 3        | Montée       | Maxi montée    | T_13A   | 3 000                     |                            |                      |                              |
| 717200 | DEFAULT    | 5              | 4        | Accélération | Maxi montée    | T_00B   |                           | 1 142,6                    | 250                  |                              |
| 717200 | DEFAULT    | 5              | 5        | Montée       | Maxi montée    | T_00B   | 5 000                     |                            |                      |                              |
| 717200 | DEFAULT    | 5              | 6        | Montée       | Maxi montée    | T_00B   | 7 500                     |                            |                      |                              |
| 717200 | DEFAULT    | 5              | 7        | Montée       | Maxi montée    | T_00B   | 10 000                    |                            |                      |                              |
| 717200 | DEFAULT    | 6              | 1        | Décollage    | Maxi décollage | T_13A   |                           |                            |                      |                              |
| 717200 | DEFAULT    | 6              | 2        | Montée       | Maxi décollage | T_13A   | 1 000                     |                            |                      |                              |
| 717200 | DEFAULT    | 6              | 3        | Montée       | Maxi montée    | T_13A   | 3 000                     |                            |                      |                              |
| 717200 | DEFAULT    | 6              | 4        | Accélération | Maxi montée    | T_00B   |                           | 1 098,3                    | 250                  |                              |
| 717200 | DEFAULT    | 6              | 5        | Montée       | Maxi montée    | T_00B   | 5 000                     |                            |                      |                              |
| 717200 | DEFAULT    | 6              | 6        | Montée       | Maxi montée    | T_00B   | 7 500                     |                            |                      |                              |
| 717200 | DEFAULT    | 6              | 7        | Montée       | Maxi montée    | T_00B   | 10 000                    |                            |                      |                              |
| 717200 | ICAO_B     | 1              | 1        | Décollage    | Maxi décollage | T_13A   |                           |                            |                      |                              |
| 717200 | ICAO_B     | 1              | 2        | Montée       | Maxi décollage | T_13A   | 1 100                     |                            |                      |                              |
| 717200 | ICAO_B     | 1              | 3        | Accélération | Maxi décollage | T_13A   |                           | 2 137,1                    | 186,2                |                              |
| 717200 | ICAO_B     | 1              | 4        | Montée       | Maxi montée    | T_00B   | 3 000                     |                            |                      |                              |
| 717200 | ICAO_B     | 1              | 5        | Accélération | Maxi montée    | T_00B   |                           | 1 000                      | 250                  |                              |

| ACFTID | Profile_ID | Longueur phase | No étape | Type étape   | Indice poussée | Flap_ID | Altitude point final (ft) | Vitesse de montée (ft/min) | CAS point final (kt) | Pourcentage accélération (%) |
|--------|------------|----------------|----------|--------------|----------------|---------|---------------------------|----------------------------|----------------------|------------------------------|
| 717200 | ICAO_B     | 1              | 6        | Montée       | Maxi montée    | T_00B   | 5 500                     |                            |                      |                              |
| 717200 | ICAO_B     | 1              | 7        | Montée       | Maxi montée    | T_00B   | 7 500                     |                            |                      |                              |
| 717200 | ICAO_B     | 1              | 8        | Montée       | Maxi montée    | T_00B   | 10 000                    |                            |                      |                              |
| 717200 | ICAO_B     | 2              | 1        | Décollage    | Maxi décollage | T_13A   |                           |                            |                      |                              |
| 717200 | ICAO_B     | 2              | 2        | Montée       | Maxi décollage | T_13A   | 1 000                     |                            |                      |                              |
| 717200 | ICAO_B     | 2              | 3        | Accélération | Maxi décollage | T_13A   |                           | 2 003,2                    | 185                  |                              |
| 717200 | ICAO_B     | 2              | 4        | Montée       | Maxi montée    | T_00B   | 3 000                     |                            |                      |                              |
| 717200 | ICAO_B     | 2              | 5        | Accélération | Maxi montée    | T_00B   |                           | 1 000                      | 250                  |                              |
| 717200 | ICAO_B     | 2              | 6        | Montée       | Maxi montée    | T_00B   | 5 500                     |                            |                      |                              |
| 717200 | ICAO_B     | 2              | 7        | Montée       | Maxi montée    | T_00B   | 7 500                     |                            |                      |                              |
| 717200 | ICAO_B     | 2              | 8        | Montée       | Maxi montée    | T_00B   | 10 000                    |                            |                      |                              |
| 717200 | ICAO_B     | 3              | 1        | Décollage    | Maxi décollage | T_13A   |                           |                            |                      |                              |
| 717200 | ICAO_B     | 3              | 2        | Montée       | Maxi décollage | T_13A   | 1 000                     |                            |                      |                              |
| 717200 | ICAO_B     | 3              | 3        | Accélération | Maxi décollage | T_13A   |                           | 1 874,4                    | 183,8                |                              |
| 717200 | ICAO_B     | 3              | 4        | Montée       | Maxi montée    | T_00B   | 3 000                     |                            |                      |                              |
| 717200 | ICAO_B     | 3              | 5        | Accélération | Maxi montée    | T_00B   |                           | 1 000                      | 250                  |                              |
| 717200 | ICAO_B     | 3              | 6        | Montée       | Maxi montée    | T_00B   | 5 500                     |                            |                      |                              |
| 717200 | ICAO_B     | 3              | 7        | Montée       | Maxi montée    | T_00B   | 7 500                     |                            |                      |                              |
| 717200 | ICAO_B     | 3              | 8        | Montée       | Maxi montée    | T_00B   | 10 000                    |                            |                      |                              |
| 717200 | ICAO_B     | 4              | 1        | Décollage    | Maxi décollage | T_13A   |                           |                            |                      |                              |

| ACFTID | Profile_ID | Longueur phase | No étape | Type étape   | Indice poussée | Flap_ID | Altitude point final (ft) | Vitesse de montée (ft/min) | CAS point final (kt) | Pourcentage accélération (%) |
|--------|------------|----------------|----------|--------------|----------------|---------|---------------------------|----------------------------|----------------------|------------------------------|
| 717200 | ICAO_B     | 4              | 2        | Montée       | Maxi décollage | T_13A   | 1 000                     |                            |                      |                              |
| 717200 | ICAO_B     | 4              | 3        | Accélération | Maxi décollage | T_13A   |                           | 1 756,2                    | 182,7                |                              |
| 717200 | ICAO_B     | 4              | 4        | Montée       | Maxi montée    | T_00B   | 3 000                     |                            |                      |                              |
| 717200 | ICAO_B     | 4              | 5        | Accélération | Maxi montée    | T_00B   |                           | 1 000                      | 250                  |                              |
| 717200 | ICAO_B     | 4              | 6        | Montée       | Maxi montée    | T_00B   | 5 500                     |                            |                      |                              |
| 717200 | ICAO_B     | 4              | 7        | Montée       | Maxi montée    | T_00B   | 7 500                     |                            |                      |                              |
| 717200 | ICAO_B     | 4              | 8        | Montée       | Maxi montée    | T_00B   | 10 000                    |                            |                      |                              |
| 717200 | ICAO_B     | 5              | 1        | Décollage    | Maxi décollage | T_13A   |                           |                            |                      |                              |
| 717200 | ICAO_B     | 5              | 2        | Montée       | Maxi décollage | T_13A   | 1 000                     |                            |                      |                              |
| 717200 | ICAO_B     | 5              | 3        | Accélération | Maxi décollage | T_13A   |                           | 1 705,9                    | 192,7                |                              |
| 717200 | ICAO_B     | 5              | 4        | Montée       | Maxi montée    | T_00B   | 3 000                     |                            |                      |                              |
| 717200 | ICAO_B     | 5              | 5        | Accélération | Maxi montée    | T_00B   |                           | 1 000                      | 250                  |                              |
| 717200 | ICAO_B     | 5              | 6        | Montée       | Maxi montée    | T_00B   | 5 500                     |                            |                      |                              |
| 717200 | ICAO_B     | 5              | 7        | Montée       | Maxi montée    | T_00B   | 7 500                     |                            |                      |                              |
| 717200 | ICAO_B     | 5              | 8        | Montée       | Maxi montée    | T_00B   | 10 000                    |                            |                      |                              |
| 717200 | ICAO_B     | 6              | 1        | Décollage    | Maxi décollage | T_13A   |                           |                            |                      |                              |
| 717200 | ICAO_B     | 6              | 2        | Montée       | Maxi décollage | T_13A   | 1 000                     |                            |                      |                              |
| 717200 | ICAO_B     | 6              | 3        | Accélération | Maxi décollage | T_13A   |                           | 1 540,3                    | 191,2                |                              |
| 717200 | ICAO_B     | 6              | 4        | Montée       | Maxi montée    | T_00B   | 3 000                     |                            |                      |                              |
| 717200 | ICAO_B     | 6              | 5        | Accélération | Maxi montée    | T_00B   |                           | 1 000                      | 250                  |                              |

| ACFTID | Profile_ID | Longueur phase | No étape | Type étape   | Indice poussée | Flap_ID | Altitude point final (ft) | Vitesse de montée (ft/min) | CAS point final (kt) | Pourcentage accélération (%) |
|--------|------------|----------------|----------|--------------|----------------|---------|---------------------------|----------------------------|----------------------|------------------------------|
| 717200 | ICAO_B     | 6              | 6        | Montée       | Maxi montée    | T_00B   | 5 500                     |                            |                      |                              |
| 717200 | ICAO_B     | 6              | 7        | Montée       | Maxi montée    | T_00B   | 7 500                     |                            |                      |                              |
| 717200 | ICAO_B     | 6              | 8        | Montée       | Maxi montée    | T_00B   | 10 000                    |                            |                      |                              |
| 720B   | DEFAULT    | 1              | 1        | Décollage    | Maxi décollage | 20      |                           |                            |                      |                              |
| 720B   | DEFAULT    | 1              | 2        | Montée       | Maxi décollage | 20      | 1 000                     |                            |                      |                              |
| 720B   | DEFAULT    | 1              | 3        | Accélération | Maxi décollage | 20      |                           | 2 632                      | 175                  |                              |
| 720B   | DEFAULT    | 1              | 4        | Accélération | Maxi montée    | INT     |                           | 1 000                      | 195                  |                              |
| 720B   | DEFAULT    | 1              | 5        | Montée       | Maxi montée    | ZERO    | 3 000                     |                            |                      |                              |
| 720B   | DEFAULT    | 1              | 6        | Accélération | Maxi montée    | ZERO    |                           | 1 000                      | 250                  |                              |
| 720B   | DEFAULT    | 1              | 7        | Montée       | Maxi montée    | ZERO    | 5 500                     |                            |                      |                              |
| 720B   | DEFAULT    | 1              | 8        | Montée       | Maxi montée    | ZERO    | 7 500                     |                            |                      |                              |
| 720B   | DEFAULT    | 1              | 9        | Montée       | Maxi montée    | ZERO    | 10 000                    |                            |                      |                              |
| 720B   | DEFAULT    | 2              | 1        | Décollage    | Maxi décollage | 20      |                           |                            |                      |                              |
| 720B   | DEFAULT    | 2              | 2        | Montée       | Maxi décollage | 20      | 1 000                     |                            |                      |                              |
| 720B   | DEFAULT    | 2              | 3        | Accélération | Maxi décollage | 20      |                           | 2 470                      | 179                  |                              |
| 720B   | DEFAULT    | 2              | 4        | Accélération | Maxi montée    | INT     |                           | 1 000                      | 199                  |                              |
| 720B   | DEFAULT    | 2              | 5        | Montée       | Maxi montée    | ZERO    | 3 000                     |                            |                      |                              |
| 720B   | DEFAULT    | 2              | 6        | Accélération | Maxi montée    | ZERO    |                           | 1 000                      | 250                  |                              |
| 720B   | DEFAULT    | 2              | 7        | Montée       | Maxi montée    | ZERO    | 5 500                     |                            |                      |                              |
| 720B   | DEFAULT    | 2              | 8        | Montée       | Maxi montée    | ZERO    | 7 500                     |                            |                      |                              |

| ACFTID | Profile_ID | Longueur phase | No étape | Type étape   | Indice poussée | Flap_ID | Altitude point final (ft) | Vitesse de montée (ft/min) | CAS point final (kt) | Pourcentage_accélération (%) |
|--------|------------|----------------|----------|--------------|----------------|---------|---------------------------|----------------------------|----------------------|------------------------------|
| 720B   | DEFAULT    | 2              | 9        | Montée       | Maxi montée    | ZERO    | 10 000                    |                            |                      |                              |
| 720B   | DEFAULT    | 3              | 1        | Décollage    | Maxi décollage | 20      |                           |                            |                      |                              |
| 720B   | DEFAULT    | 3              | 2        | Montée       | Maxi décollage | 20      | 1 000                     |                            |                      |                              |
| 720B   | DEFAULT    | 3              | 3        | Accélération | Maxi décollage | 20      |                           | 2 323                      | 183                  |                              |
| 720B   | DEFAULT    | 3              | 4        | Accélération | Maxi montée    | INT     |                           | 1 000                      | 203                  |                              |
| 720B   | DEFAULT    | 3              | 5        | Montée       | Maxi montée    | ZERO    | 3 000                     |                            |                      |                              |
| 720B   | DEFAULT    | 3              | 6        | Accélération | Maxi montée    | ZERO    |                           | 1 000                      | 250                  |                              |
| 720B   | DEFAULT    | 3              | 7        | Montée       | Maxi montée    | ZERO    | 5 500                     |                            |                      |                              |
| 720B   | DEFAULT    | 3              | 8        | Montée       | Maxi montée    | ZERO    | 7 500                     |                            |                      |                              |
| 720B   | DEFAULT    | 3              | 9        | Montée       | Maxi montée    | ZERO    | 10 000                    |                            |                      |                              |
| 720B   | DEFAULT    | 4              | 1        | Décollage    | Maxi décollage | 20      |                           |                            |                      |                              |
| 720B   | DEFAULT    | 4              | 2        | Montée       | Maxi décollage | 20      | 1 000                     |                            |                      |                              |
| 720B   | DEFAULT    | 4              | 3        | Accélération | Maxi décollage | 20      |                           | 2 125                      | 189                  |                              |
| 720B   | DEFAULT    | 4              | 4        | Accélération | Maxi montée    | INT     |                           | 1 000                      | 209                  |                              |
| 720B   | DEFAULT    | 4              | 5        | Montée       | Maxi montée    | ZERO    | 3 000                     |                            |                      |                              |
| 720B   | DEFAULT    | 4              | 6        | Accélération | Maxi montée    | ZERO    |                           | 1 000                      | 250                  |                              |
| 720B   | DEFAULT    | 4              | 7        | Montée       | Maxi montée    | ZERO    | 5 500                     |                            |                      |                              |
| 720B   | DEFAULT    | 4              | 8        | Montée       | Maxi montée    | ZERO    | 7 500                     |                            |                      |                              |
| 720B   | DEFAULT    | 4              | 9        | Montée       | Maxi montée    | ZERO    | 10 000                    |                            |                      |                              |
| 720B   | DEFAULT    | 5              | 1        | Décollage    | Maxi décollage | 20      |                           |                            |                      |                              |

| ACFTID | Profile_ID | Longueur phase | No étape | Type étape   | Indice poussée | Flap_ID | Altitude point final (ft) | Vitesse de montée (ft/min) | CAS point final (kt) | Pourcentage_accélération (%) |
|--------|------------|----------------|----------|--------------|----------------|---------|---------------------------|----------------------------|----------------------|------------------------------|
| 720B   | DEFAULT    | 5              | 2        | Montée       | Maxi décollage | 20      | 1 000                     |                            |                      |                              |
| 720B   | DEFAULT    | 5              | 3        | Accélération | Maxi décollage | 20      |                           | 2 005                      | 193                  |                              |
| 720B   | DEFAULT    | 5              | 4        | Accélération | Maxi montée    | INT     |                           | 1 000                      | 213                  |                              |
| 720B   | DEFAULT    | 5              | 5        | Montée       | Maxi montée    | ZERO    | 3 000                     |                            |                      |                              |
| 720B   | DEFAULT    | 5              | 6        | Accélération | Maxi montée    | ZERO    |                           | 1 000                      | 250                  |                              |
| 720B   | DEFAULT    | 5              | 7        | Montée       | Maxi montée    | ZERO    | 5 500                     |                            |                      |                              |
| 720B   | DEFAULT    | 5              | 8        | Montée       | Maxi montée    | ZERO    | 7 500                     |                            |                      |                              |
| 720B   | DEFAULT    | 5              | 9        | Montée       | Maxi montée    | ZERO    | 10 000                    |                            |                      |                              |
| 727100 | DEFAULT    | 1              | 1        | Décollage    | Maxi décollage | 5       |                           |                            |                      |                              |
| 727100 | DEFAULT    | 1              | 2        | Montée       | Maxi décollage | 5       | 1 000                     |                            |                      |                              |
| 727100 | DEFAULT    | 1              | 3        | Accélération | Maxi décollage | 5       |                           | 1 342                      | 160                  |                              |
| 727100 | DEFAULT    | 1              | 4        | Accélération | Maxi décollage | 2       |                           | 1 342                      | 190                  |                              |
| 727100 | DEFAULT    | 1              | 5        | Accélération | Maxi montée    | ZERO    |                           | 1 000                      | 200                  |                              |
| 727100 | DEFAULT    | 1              | 6        | Montée       | Maxi montée    | ZERO    | 3 000                     |                            |                      |                              |
| 727100 | DEFAULT    | 1              | 7        | Accélération | Maxi montée    | ZERO    |                           | 1 000                      | 250                  |                              |
| 727100 | DEFAULT    | 1              | 8        | Montée       | Maxi montée    | ZERO    | 5 500                     |                            |                      |                              |
| 727100 | DEFAULT    | 1              | 9        | Montée       | Maxi montée    | ZERO    | 7 500                     |                            |                      |                              |
| 727100 | DEFAULT    | 1              | 10       | Montée       | Maxi montée    | ZERO    | 10 000                    |                            |                      |                              |
| 727100 | DEFAULT    | 2              | 1        | Décollage    | Maxi décollage | 5       |                           |                            |                      |                              |
| 727100 | DEFAULT    | 2              | 2        | Montée       | Maxi décollage | 5       | 1 000                     |                            |                      |                              |

| ACFTID | Profile_ID | Longueur phase | No étape | Type étape   | Indice poussée | Flap_ID | Altitude point final (ft) | Vitesse de montée (ft/min) | CAS point final (kt) | Pourcentage_accélération (%) |
|--------|------------|----------------|----------|--------------|----------------|---------|---------------------------|----------------------------|----------------------|------------------------------|
| 727100 | DEFAULT    | 2              | 3        | Accélération | Maxi décollage | 5       |                           | 1 265                      | 160                  |                              |
| 727100 | DEFAULT    | 2              | 4        | Accélération | Maxi décollage | 2       |                           | 1 265                      | 190                  |                              |
| 727100 | DEFAULT    | 2              | 5        | Accélération | Maxi montée    | ZERO    |                           | 1 000                      | 200                  |                              |
| 727100 | DEFAULT    | 2              | 6        | Montée       | Maxi montée    | ZERO    | 3 000                     |                            |                      |                              |
| 727100 | DEFAULT    | 2              | 7        | Accélération | Maxi montée    | ZERO    |                           | 1 000                      | 250                  |                              |
| 727100 | DEFAULT    | 2              | 8        | Montée       | Maxi montée    | ZERO    | 5 500                     |                            |                      |                              |
| 727100 | DEFAULT    | 2              | 9        | Montée       | Maxi montée    | ZERO    | 7 500                     |                            |                      |                              |
| 727100 | DEFAULT    | 2              | 10       | Montée       | Maxi montée    | ZERO    | 10 000                    |                            |                      |                              |
| 727100 | DEFAULT    | 3              | 1        | Décollage    | Maxi décollage | 5       |                           |                            |                      |                              |
| 727100 | DEFAULT    | 3              | 2        | Montée       | Maxi décollage | 5       | 1 000                     |                            |                      |                              |
| 727100 | DEFAULT    | 3              | 3        | Accélération | Maxi décollage | 5       |                           | 1 192                      | 165                  |                              |
| 727100 | DEFAULT    | 3              | 4        | Accélération | Maxi décollage | 2       |                           | 1 192                      | 195                  |                              |
| 727100 | DEFAULT    | 3              | 5        | Accélération | Maxi montée    | ZERO    |                           | 1 000                      | 205                  |                              |
| 727100 | DEFAULT    | 3              | 6        | Montée       | Maxi montée    | ZERO    | 3 000                     |                            |                      |                              |
| 727100 | DEFAULT    | 3              | 7        | Accélération | Maxi montée    | ZERO    |                           | 1 000                      | 250                  |                              |
| 727100 | DEFAULT    | 3              | 8        | Montée       | Maxi montée    | ZERO    | 5 500                     |                            |                      |                              |
| 727100 | DEFAULT    | 3              | 9        | Montée       | Maxi montée    | ZERO    | 7 500                     |                            |                      |                              |
| 727100 | DEFAULT    | 3              | 10       | Montée       | Maxi montée    | ZERO    | 10 000                    |                            |                      |                              |
| 727100 | DEFAULT    | 4              | 1        | Décollage    | Maxi décollage | 5       |                           |                            |                      |                              |
| 727100 | DEFAULT    | 4              | 2        | Montée       | Maxi décollage | 5       | 1 000                     |                            |                      |                              |

| ACFTID | Profile_ID | Longueur phase | No étape | Type étape   | Indice poussée | Flap_ID | Altitude point final (ft) | Vitesse de montée (ft/min) | CAS point final (kt) | Pourcentage_accélération (%) |
|--------|------------|----------------|----------|--------------|----------------|---------|---------------------------|----------------------------|----------------------|------------------------------|
| 727100 | DEFAULT    | 4              | 3        | Accélération | Maxi décollage | 5       |                           | 1 115                      | 170                  |                              |
| 727100 | DEFAULT    | 4              | 4        | Accélération | Maxi décollage | 2       |                           | 1 115                      | 200                  |                              |
| 727100 | DEFAULT    | 4              | 5        | Accélération | Maxi montée    | ZERO    |                           | 1 000                      | 210                  |                              |
| 727100 | DEFAULT    | 4              | 6        | Montée       | Maxi montée    | ZERO    | 3 000                     |                            |                      |                              |
| 727100 | DEFAULT    | 4              | 7        | Accélération | Maxi montée    | ZERO    |                           | 1 000                      | 250                  |                              |
| 727100 | DEFAULT    | 4              | 8        | Montée       | Maxi montée    | ZERO    | 5 500                     |                            |                      |                              |
| 727100 | DEFAULT    | 4              | 9        | Montée       | Maxi montée    | ZERO    | 7 500                     |                            |                      |                              |
| 727100 | DEFAULT    | 4              | 10       | Montée       | Maxi montée    | ZERO    | 10 000                    |                            |                      |                              |
| 727D15 | DEFAULT    | 1              | 1        | Décollage    | Maxi décollage | 5       |                           |                            |                      |                              |
| 727D15 | DEFAULT    | 1              | 2        | Montée       | Maxi décollage | 5       | 1 000                     |                            |                      |                              |
| 727D15 | DEFAULT    | 1              | 3        | Accélération | Maxi décollage | 5       |                           | 1 363                      | 170                  |                              |
| 727D15 | DEFAULT    | 1              | 4        | Accélération | Maxi décollage | 2       |                           | 1 363                      | 200                  |                              |
| 727D15 | DEFAULT    | 1              | 5        | Accélération | Maxi montée    | ZERO    |                           | 1 000                      | 210                  |                              |
| 727D15 | DEFAULT    | 1              | 6        | Montée       | Maxi montée    | ZERO    | 3 000                     |                            |                      |                              |
| 727D15 | DEFAULT    | 1              | 7        | Accélération | Maxi montée    | ZERO    |                           | 1 000                      | 250                  |                              |
| 727D15 | DEFAULT    | 1              | 8        | Montée       | Maxi montée    | ZERO    | 5 500                     |                            |                      |                              |
| 727D15 | DEFAULT    | 1              | 9        | Montée       | Maxi montée    | ZERO    | 7 500                     |                            |                      |                              |
| 727D15 | DEFAULT    | 1              | 10       | Montée       | Maxi montée    | ZERO    | 10 000                    |                            |                      |                              |
| 727D15 | DEFAULT    | 2              | 1        | Décollage    | Maxi décollage | 5       |                           |                            |                      |                              |
| 727D15 | DEFAULT    | 2              | 2        | Montée       | Maxi décollage | 5       | 1 000                     |                            |                      |                              |

| ACFTID | Profile_ID | Longueur phase | No étape | Type étape   | Indice poussée | Flap_ID | Altitude point final (ft) | Vitesse de montée (ft/min) | CAS point final (kt) | Pourcentage_accélération (%) |
|--------|------------|----------------|----------|--------------|----------------|---------|---------------------------|----------------------------|----------------------|------------------------------|
| 727D15 | DEFAULT    | 2              | 3        | Accélération | Maxi décollage | 5       |                           | 1 281                      | 170                  |                              |
| 727D15 | DEFAULT    | 2              | 4        | Accélération | Maxi décollage | 2       |                           | 1 281                      | 200                  |                              |
| 727D15 | DEFAULT    | 2              | 5        | Accélération | Maxi montée    | ZERO    |                           | 1 000                      | 210                  |                              |
| 727D15 | DEFAULT    | 2              | 6        | Montée       | Maxi montée    | ZERO    | 3 000                     |                            |                      |                              |
| 727D15 | DEFAULT    | 2              | 7        | Accélération | Maxi montée    | ZERO    |                           | 1 000                      | 250                  |                              |
| 727D15 | DEFAULT    | 2              | 8        | Montée       | Maxi montée    | ZERO    | 5 500                     |                            |                      |                              |
| 727D15 | DEFAULT    | 2              | 9        | Montée       | Maxi montée    | ZERO    | 7 500                     |                            |                      |                              |
| 727D15 | DEFAULT    | 2              | 10       | Montée       | Maxi montée    | ZERO    | 10 000                    |                            |                      |                              |
| 727D15 | DEFAULT    | 3              | 1        | Décollage    | Maxi décollage | 5       |                           |                            |                      |                              |
| 727D15 | DEFAULT    | 3              | 2        | Montée       | Maxi décollage | 5       | 1 000                     |                            |                      |                              |
| 727D15 | DEFAULT    | 3              | 3        | Accélération | Maxi décollage | 5       |                           | 1 177                      | 175                  |                              |
| 727D15 | DEFAULT    | 3              | 4        | Accélération | Maxi décollage | 2       |                           | 1 177                      | 205                  |                              |
| 727D15 | DEFAULT    | 3              | 5        | Accélération | Maxi montée    | ZERO    |                           | 1 000                      | 215                  |                              |
| 727D15 | DEFAULT    | 3              | 6        | Montée       | Maxi montée    | ZERO    | 3 000                     |                            |                      |                              |
| 727D15 | DEFAULT    | 3              | 7        | Accélération | Maxi montée    | ZERO    |                           | 1 000                      | 250                  |                              |
| 727D15 | DEFAULT    | 3              | 8        | Montée       | Maxi montée    | ZERO    | 5 500                     |                            |                      |                              |
| 727D15 | DEFAULT    | 3              | 9        | Montée       | Maxi montée    | ZERO    | 7 500                     |                            |                      |                              |
| 727D15 | DEFAULT    | 3              | 10       | Montée       | Maxi montée    | ZERO    | 10 000                    |                            |                      |                              |
| 727D15 | DEFAULT    | 4              | 1        | Décollage    | Maxi décollage | 5       |                           |                            |                      |                              |
| 727D15 | DEFAULT    | 4              | 2        | Montée       | Maxi décollage | 5       | 1 000                     |                            |                      |                              |

| ACFTID | Profile_ID | Longueur phase | No étape | Type étape   | Indice poussée | Flap_ID | Altitude point final (ft) | Vitesse de montée (ft/min) | CAS point final (kt) | Pourcentage_accélération (%) |
|--------|------------|----------------|----------|--------------|----------------|---------|---------------------------|----------------------------|----------------------|------------------------------|
| 727D15 | DEFAULT    | 4              | 3        | Accélération | Maxi décollage | 5       |                           | 1 057                      | 180                  |                              |
| 727D15 | DEFAULT    | 4              | 4        | Accélération | Maxi décollage | 2       |                           | 1 057                      | 210                  |                              |
| 727D15 | DEFAULT    | 4              | 5        | Accélération | Maxi montée    | ZERO    |                           | 1 000                      | 220                  |                              |
| 727D15 | DEFAULT    | 4              | 6        | Montée       | Maxi montée    | ZERO    | 3 000                     |                            |                      |                              |
| 727D15 | DEFAULT    | 4              | 7        | Accélération | Maxi montée    | ZERO    |                           | 1 000                      | 250                  |                              |
| 727D15 | DEFAULT    | 4              | 8        | Montée       | Maxi montée    | ZERO    | 5 500                     |                            |                      |                              |
| 727D15 | DEFAULT    | 4              | 9        | Montée       | Maxi montée    | ZERO    | 7 500                     |                            |                      |                              |
| 727D15 | DEFAULT    | 4              | 10       | Montée       | Maxi montée    | ZERO    | 10 000                    |                            |                      |                              |
| 727D15 | DEFAULT    | 5              | 1        | Décollage    | Maxi décollage | 5       |                           |                            |                      |                              |
| 727D15 | DEFAULT    | 5              | 2        | Montée       | Maxi décollage | 5       | 1 000                     |                            |                      |                              |
| 727D15 | DEFAULT    | 5              | 3        | Accélération | Maxi décollage | 2       |                           | 941                        | 210                  |                              |
| 727D15 | DEFAULT    | 5              | 4        | Accélération | Maxi montée    | ZERO    |                           | 1 000                      | 220                  |                              |
| 727D15 | DEFAULT    | 5              | 5        | Montée       | Maxi montée    | ZERO    | 3 000                     |                            |                      |                              |
| 727D15 | DEFAULT    | 5              | 6        | Accélération | Maxi montée    | ZERO    |                           | 1 000                      | 250                  |                              |
| 727D15 | DEFAULT    | 5              | 7        | Montée       | Maxi montée    | ZERO    | 5 500                     |                            |                      |                              |
| 727D15 | DEFAULT    | 5              | 8        | Montée       | Maxi montée    | ZERO    | 7 500                     |                            |                      |                              |
| 727D15 | DEFAULT    | 5              | 9        | Montée       | Maxi montée    | ZERO    | 10 000                    |                            |                      |                              |
| 727D17 | DEFAULT    | 1              | 1        | Décollage    | Maxi décollage | 5       |                           |                            |                      |                              |
| 727D17 | DEFAULT    | 1              | 2        | Montée       | Maxi décollage | 5       | 1 000                     |                            |                      |                              |
| 727D17 | DEFAULT    | 1              | 3        | Accélération | Maxi décollage | 5       |                           | 1 465                      | 170                  |                              |

| ACFTID | Profile_ID | Longueur phase | No étape | Type étape   | Indice poussée | Flap_ID | Altitude point final (ft) | Vitesse de montée (ft/min) | CAS point final (kt) | Pourcentage_accélération (%) |
|--------|------------|----------------|----------|--------------|----------------|---------|---------------------------|----------------------------|----------------------|------------------------------|
| 727D17 | DEFAULT    | 1              | 4        | Accélération | Maxi décollage | 2       |                           | 1 465                      | 200                  |                              |
| 727D17 | DEFAULT    | 1              | 5        | Accélération | Maxi montée    | ZERO    |                           | 1 000                      | 210                  |                              |
| 727D17 | DEFAULT    | 1              | 6        | Montée       | Maxi montée    | ZERO    | 3 000                     |                            |                      |                              |
| 727D17 | DEFAULT    | 1              | 7        | Accélération | Maxi montée    | ZERO    |                           | 1 000                      | 250                  |                              |
| 727D17 | DEFAULT    | 1              | 8        | Montée       | Maxi montée    | ZERO    | 5 500                     |                            |                      |                              |
| 727D17 | DEFAULT    | 1              | 9        | Montée       | Maxi montée    | ZERO    | 7 500                     |                            |                      |                              |
| 727D17 | DEFAULT    | 1              | 10       | Montée       | Maxi montée    | ZERO    | 10 000                    |                            |                      |                              |
| 727D17 | DEFAULT    | 2              | 1        | Décollage    | Maxi décollage | 5       |                           |                            |                      |                              |
| 727D17 | DEFAULT    | 2              | 2        | Montée       | Maxi décollage | 5       | 1 000                     |                            |                      |                              |
| 727D17 | DEFAULT    | 2              | 3        | Accélération | Maxi décollage | 5       |                           | 1 340                      | 175                  |                              |
| 727D17 | DEFAULT    | 2              | 4        | Accélération | Maxi décollage | 2       |                           | 1 340                      | 205                  |                              |
| 727D17 | DEFAULT    | 2              | 5        | Accélération | Maxi montée    | ZERO    |                           | 1 000                      | 215                  |                              |
| 727D17 | DEFAULT    | 2              | 6        | Montée       | Maxi montée    | ZERO    | 3 000                     |                            |                      |                              |
| 727D17 | DEFAULT    | 2              | 7        | Accélération | Maxi montée    | ZERO    |                           | 1 000                      | 250                  |                              |
| 727D17 | DEFAULT    | 2              | 8        | Montée       | Maxi montée    | ZERO    | 5 500                     |                            |                      |                              |
| 727D17 | DEFAULT    | 2              | 9        | Montée       | Maxi montée    | ZERO    | 7 500                     |                            |                      |                              |
| 727D17 | DEFAULT    | 2              | 10       | Montée       | Maxi montée    | ZERO    | 10 000                    |                            |                      |                              |
| 727D17 | DEFAULT    | 3              | 1        | Décollage    | Maxi décollage | 5       |                           |                            |                      |                              |
| 727D17 | DEFAULT    | 3              | 2        | Montée       | Maxi décollage | 5       | 1 000                     |                            |                      |                              |
| 727D17 | DEFAULT    | 3              | 3        | Accélération | Maxi décollage | 5       |                           | 1 236                      | 180                  |                              |

| ACFTID | Profile_ID | Longueur phase | No étape | Type étape   | Indice poussée | Flap_ID | Altitude point final (ft) | Vitesse de montée (ft/min) | CAS point final (kt) | Pourcentage_accélération (%) |
|--------|------------|----------------|----------|--------------|----------------|---------|---------------------------|----------------------------|----------------------|------------------------------|
| 727D17 | DEFAULT    | 3              | 4        | Accélération | Maxi décollage | 2       |                           | 1 236                      | 210                  |                              |
| 727D17 | DEFAULT    | 3              | 5        | Accélération | Maxi montée    | ZERO    |                           | 1 000                      | 220                  |                              |
| 727D17 | DEFAULT    | 3              | 6        | Montée       | Maxi montée    | ZERO    | 3 000                     |                            |                      |                              |
| 727D17 | DEFAULT    | 3              | 7        | Accélération | Maxi montée    | ZERO    |                           | 1 000                      | 250                  |                              |
| 727D17 | DEFAULT    | 3              | 8        | Montée       | Maxi montée    | ZERO    | 5 500                     |                            |                      |                              |
| 727D17 | DEFAULT    | 3              | 9        | Montée       | Maxi montée    | ZERO    | 7 500                     |                            |                      |                              |
| 727D17 | DEFAULT    | 3              | 10       | Montée       | Maxi montée    | ZERO    | 10 000                    |                            |                      |                              |
| 727D17 | DEFAULT    | 4              | 1        | Décollage    | Maxi décollage | 5       |                           |                            |                      |                              |
| 727D17 | DEFAULT    | 4              | 2        | Montée       | Maxi décollage | 5       | 1 000                     |                            |                      |                              |
| 727D17 | DEFAULT    | 4              | 3        | Accélération | Maxi décollage | 5       |                           | 1 158                      | 180                  |                              |
| 727D17 | DEFAULT    | 4              | 4        | Accélération | Maxi décollage | 2       |                           | 1 158                      | 210                  |                              |
| 727D17 | DEFAULT    | 4              | 5        | Accélération | Maxi montée    | ZERO    |                           | 1 000                      | 220                  |                              |
| 727D17 | DEFAULT    | 4              | 6        | Montée       | Maxi montée    | ZERO    | 3 000                     |                            |                      |                              |
| 727D17 | DEFAULT    | 4              | 7        | Accélération | Maxi montée    | ZERO    |                           | 1 000                      | 250                  |                              |
| 727D17 | DEFAULT    | 4              | 8        | Montée       | Maxi montée    | ZERO    | 5 500                     |                            |                      |                              |
| 727D17 | DEFAULT    | 4              | 9        | Montée       | Maxi montée    | ZERO    | 7 500                     |                            |                      |                              |
| 727D17 | DEFAULT    | 4              | 10       | Montée       | Maxi montée    | ZERO    | 10 000                    |                            |                      |                              |
| 727EM1 | DEFAULT    | 1              | 1        | Décollage    | Maxi décollage | 5       |                           |                            |                      |                              |
| 727EM1 | DEFAULT    | 1              | 2        | Montée       | Maxi décollage | 5       | 1 000                     |                            |                      |                              |
| 727EM1 | DEFAULT    | 1              | 3        | Accélération | Maxi décollage | 5       |                           | 1 342                      | 160                  |                              |

| ACFTID | Profile_ID | Longueur phase | No étape | Type étape   | Indice poussée | Flap_ID | Altitude point final (ft) | Vitesse de montée (ft/min) | CAS point final (kt) | Pourcentage_accélération (%) |
|--------|------------|----------------|----------|--------------|----------------|---------|---------------------------|----------------------------|----------------------|------------------------------|
| 727EM1 | DEFAULT    | 1              | 4        | Accélération | Maxi décollage | 2       |                           | 1 342                      | 190                  |                              |
| 727EM1 | DEFAULT    | 1              | 5        | Accélération | Maxi montée    | ZERO    |                           | 1 000                      | 200                  |                              |
| 727EM1 | DEFAULT    | 1              | 6        | Montée       | Maxi montée    | ZERO    | 3 000                     |                            |                      |                              |
| 727EM1 | DEFAULT    | 1              | 7        | Accélération | Maxi montée    | ZERO    |                           | 1 000                      | 250                  |                              |
| 727EM1 | DEFAULT    | 1              | 8        | Montée       | Maxi montée    | ZERO    | 5 500                     |                            |                      |                              |
| 727EM1 | DEFAULT    | 1              | 9        | Montée       | Maxi montée    | ZERO    | 7 500                     |                            |                      |                              |
| 727EM1 | DEFAULT    | 1              | 10       | Montée       | Maxi montée    | ZERO    | 10 000                    |                            |                      |                              |
| 727EM1 | DEFAULT    | 2              | 1        | Décollage    | Maxi décollage | 5       |                           |                            |                      |                              |
| 727EM1 | DEFAULT    | 2              | 2        | Montée       | Maxi décollage | 5       | 1 000                     |                            |                      |                              |
| 727EM1 | DEFAULT    | 2              | 3        | Accélération | Maxi décollage | 5       |                           | 1 265                      | 160                  |                              |
| 727EM1 | DEFAULT    | 2              | 4        | Accélération | Maxi décollage | 2       |                           | 1 265                      | 190                  |                              |
| 727EM1 | DEFAULT    | 2              | 5        | Accélération | Maxi montée    | ZERO    |                           | 1 000                      | 200                  |                              |
| 727EM1 | DEFAULT    | 2              | 6        | Montée       | Maxi montée    | ZERO    | 3 000                     |                            |                      |                              |
| 727EM1 | DEFAULT    | 2              | 7        | Accélération | Maxi montée    | ZERO    |                           | 1 000                      | 250                  |                              |
| 727EM1 | DEFAULT    | 2              | 8        | Montée       | Maxi montée    | ZERO    | 5 500                     |                            |                      |                              |
| 727EM1 | DEFAULT    | 2              | 9        | Montée       | Maxi montée    | ZERO    | 7 500                     |                            |                      |                              |
| 727EM1 | DEFAULT    | 2              | 10       | Montée       | Maxi montée    | ZERO    | 10 000                    |                            |                      |                              |
| 727EM1 | DEFAULT    | 3              | 1        | Décollage    | Maxi décollage | 5       |                           |                            |                      |                              |
| 727EM1 | DEFAULT    | 3              | 2        | Montée       | Maxi décollage | 5       | 1 000                     |                            |                      |                              |
| 727EM1 | DEFAULT    | 3              | 3        | Accélération | Maxi décollage | 5       |                           | 1 192                      | 165                  |                              |

| ACFTID | Profile_ID | Longueur phase | No étape | Type étape   | Indice poussée | Flap_ID | Altitude point final (ft) | Vitesse de montée (ft/min) | CAS point final (kt) | Pourcentage_accélération (%) |
|--------|------------|----------------|----------|--------------|----------------|---------|---------------------------|----------------------------|----------------------|------------------------------|
| 727EM1 | DEFAULT    | 3              | 4        | Accélération | Maxi décollage | 2       |                           | 1 192                      | 195                  |                              |
| 727EM1 | DEFAULT    | 3              | 5        | Accélération | Maxi montée    | ZERO    |                           | 1 000                      | 205                  |                              |
| 727EM1 | DEFAULT    | 3              | 6        | Montée       | Maxi montée    | ZERO    | 3 000                     |                            |                      |                              |
| 727EM1 | DEFAULT    | 3              | 7        | Accélération | Maxi montée    | ZERO    |                           | 1 000                      | 250                  |                              |
| 727EM1 | DEFAULT    | 3              | 8        | Montée       | Maxi montée    | ZERO    | 5 500                     |                            |                      |                              |
| 727EM1 | DEFAULT    | 3              | 9        | Montée       | Maxi montée    | ZERO    | 7 500                     |                            |                      |                              |
| 727EM1 | DEFAULT    | 3              | 10       | Montée       | Maxi montée    | ZERO    | 10 000                    |                            |                      |                              |
| 727EM1 | DEFAULT    | 4              | 1        | Décollage    | Maxi décollage | 5       |                           |                            |                      |                              |
| 727EM1 | DEFAULT    | 4              | 2        | Montée       | Maxi décollage | 5       | 1 000                     |                            |                      |                              |
| 727EM1 | DEFAULT    | 4              | 3        | Accélération | Maxi décollage | 5       |                           | 1 115                      | 170                  |                              |
| 727EM1 | DEFAULT    | 4              | 4        | Accélération | Maxi décollage | 2       |                           | 1 115                      | 200                  |                              |
| 727EM1 | DEFAULT    | 4              | 5        | Accélération | Maxi montée    | ZERO    |                           | 1 000                      | 210                  |                              |
| 727EM1 | DEFAULT    | 4              | 6        | Montée       | Maxi montée    | ZERO    | 3 000                     |                            |                      |                              |
| 727EM1 | DEFAULT    | 4              | 7        | Accélération | Maxi montée    | ZERO    |                           | 1 000                      | 250                  |                              |
| 727EM1 | DEFAULT    | 4              | 8        | Montée       | Maxi montée    | ZERO    | 5 500                     |                            |                      |                              |
| 727EM1 | DEFAULT    | 4              | 9        | Montée       | Maxi montée    | ZERO    | 7 500                     |                            |                      |                              |
| 727EM1 | DEFAULT    | 4              | 10       | Montée       | Maxi montée    | ZERO    | 10 000                    |                            |                      |                              |
| 727EM2 | DEFAULT    | 1              | 1        | Décollage    | Maxi décollage | 5       |                           |                            |                      |                              |
| 727EM2 | DEFAULT    | 1              | 2        | Montée       | Maxi décollage | 5       | 1 000                     |                            |                      |                              |
| 727EM2 | DEFAULT    | 1              | 3        | Accélération | Maxi décollage | 5       |                           | 1 363                      | 170                  |                              |

| ACFTID | Profile_ID | Longueur phase | No étape | Type étape   | Indice poussée | Flap_ID | Altitude point final (ft) | Vitesse de montée (ft/min) | CAS point final (kt) | Pourcentage_accélération (%) |
|--------|------------|----------------|----------|--------------|----------------|---------|---------------------------|----------------------------|----------------------|------------------------------|
| 727EM2 | DEFAULT    | 1              | 4        | Accélération | Maxi décollage | 2       |                           | 1 363                      | 200                  |                              |
| 727EM2 | DEFAULT    | 1              | 5        | Accélération | Maxi montée    | ZERO    |                           | 1 000                      | 210                  |                              |
| 727EM2 | DEFAULT    | 1              | 6        | Montée       | Maxi montée    | ZERO    | 3 000                     |                            |                      |                              |
| 727EM2 | DEFAULT    | 1              | 7        | Accélération | Maxi montée    | ZERO    |                           | 1 000                      | 250                  |                              |
| 727EM2 | DEFAULT    | 1              | 8        | Montée       | Maxi montée    | ZERO    | 5 500                     |                            |                      |                              |
| 727EM2 | DEFAULT    | 1              | 9        | Montée       | Maxi montée    | ZERO    | 7 500                     |                            |                      |                              |
| 727EM2 | DEFAULT    | 1              | 10       | Montée       | Maxi montée    | ZERO    | 10 000                    |                            |                      |                              |
| 727EM2 | DEFAULT    | 2              | 1        | Décollage    | Maxi décollage | 5       |                           |                            |                      |                              |
| 727EM2 | DEFAULT    | 2              | 2        | Montée       | Maxi décollage | 5       | 1 000                     |                            |                      |                              |
| 727EM2 | DEFAULT    | 2              | 3        | Accélération | Maxi décollage | 5       |                           | 1 281                      | 170                  |                              |
| 727EM2 | DEFAULT    | 2              | 4        | Accélération | Maxi décollage | 2       |                           | 1 281                      | 200                  |                              |
| 727EM2 | DEFAULT    | 2              | 5        | Accélération | Maxi montée    | ZERO    |                           | 1 000                      | 210                  |                              |
| 727EM2 | DEFAULT    | 2              | 6        | Montée       | Maxi montée    | ZERO    | 3 000                     |                            |                      |                              |
| 727EM2 | DEFAULT    | 2              | 7        | Accélération | Maxi montée    | ZERO    |                           | 1 000                      | 250                  |                              |
| 727EM2 | DEFAULT    | 2              | 8        | Montée       | Maxi montée    | ZERO    | 5 500                     |                            |                      |                              |
| 727EM2 | DEFAULT    | 2              | 9        | Montée       | Maxi montée    | ZERO    | 7 500                     |                            |                      |                              |
| 727EM2 | DEFAULT    | 2              | 10       | Montée       | Maxi montée    | ZERO    | 10 000                    |                            |                      |                              |
| 727EM2 | DEFAULT    | 3              | 1        | Décollage    | Maxi décollage | 5       |                           |                            |                      |                              |
| 727EM2 | DEFAULT    | 3              | 2        | Montée       | Maxi décollage | 5       | 1 000                     |                            |                      |                              |
| 727EM2 | DEFAULT    | 3              | 3        | Accélération | Maxi décollage | 5       |                           | 1 177                      | 175                  |                              |

| ACFTID | Profile_ID | Longueur phase | No étape | Type étape   | Indice poussée | Flap_ID | Altitude point final (ft) | Vitesse de montée (ft/min) | CAS point final (kt) | Pourcentage_accélération (%) |
|--------|------------|----------------|----------|--------------|----------------|---------|---------------------------|----------------------------|----------------------|------------------------------|
| 727EM2 | DEFAULT    | 3              | 4        | Accélération | Maxi décollage | 2       |                           | 1 177                      | 205                  |                              |
| 727EM2 | DEFAULT    | 3              | 5        | Accélération | Maxi montée    | ZERO    |                           | 1 000                      | 215                  |                              |
| 727EM2 | DEFAULT    | 3              | 6        | Montée       | Maxi montée    | ZERO    | 3 000                     |                            |                      |                              |
| 727EM2 | DEFAULT    | 3              | 7        | Accélération | Maxi montée    | ZERO    |                           | 1 000                      | 250                  |                              |
| 727EM2 | DEFAULT    | 3              | 8        | Montée       | Maxi montée    | ZERO    | 5 500                     |                            |                      |                              |
| 727EM2 | DEFAULT    | 3              | 9        | Montée       | Maxi montée    | ZERO    | 7 500                     |                            |                      |                              |
| 727EM2 | DEFAULT    | 3              | 10       | Montée       | Maxi montée    | ZERO    | 10 000                    |                            |                      |                              |
| 727EM2 | DEFAULT    | 4              | 1        | Décollage    | Maxi décollage | 5       |                           |                            |                      |                              |
| 727EM2 | DEFAULT    | 4              | 2        | Montée       | Maxi décollage | 5       | 1 000                     |                            |                      |                              |
| 727EM2 | DEFAULT    | 4              | 3        | Accélération | Maxi décollage | 5       |                           | 1 057                      | 180                  |                              |
| 727EM2 | DEFAULT    | 4              | 4        | Accélération | Maxi décollage | 2       |                           | 1 057                      | 210                  |                              |
| 727EM2 | DEFAULT    | 4              | 5        | Accélération | Maxi montée    | ZERO    |                           | 1 000                      | 220                  |                              |
| 727EM2 | DEFAULT    | 4              | 6        | Montée       | Maxi montée    | ZERO    | 3 000                     |                            |                      |                              |
| 727EM2 | DEFAULT    | 4              | 7        | Accélération | Maxi montée    | ZERO    |                           | 1 000                      | 250                  |                              |
| 727EM2 | DEFAULT    | 4              | 8        | Montée       | Maxi montée    | ZERO    | 5 500                     |                            |                      |                              |
| 727EM2 | DEFAULT    | 4              | 9        | Montée       | Maxi montée    | ZERO    | 7 500                     |                            |                      |                              |
| 727EM2 | DEFAULT    | 4              | 10       | Montée       | Maxi montée    | ZERO    | 10 000                    |                            |                      |                              |
| 727EM2 | DEFAULT    | 5              | 1        | Décollage    | Maxi décollage | 5       |                           |                            |                      |                              |
| 727EM2 | DEFAULT    | 5              | 2        | Montée       | Maxi décollage | 5       | 1 000                     |                            |                      |                              |
| 727EM2 | DEFAULT    | 5              | 3        | Accélération | Maxi décollage | 2       |                           | 941                        | 210                  |                              |

| ACFTID | Profile_ID | Longueur phase | No étape | Type étape   | Indice poussée | Flap_ID | Altitude point final (ft) | Vitesse de montée (ft/min) | CAS point final (kt) | Pourcentage_accélération (%) |
|--------|------------|----------------|----------|--------------|----------------|---------|---------------------------|----------------------------|----------------------|------------------------------|
| 727EM2 | DEFAULT    | 5              | 4        | Accélération | Maxi montée    | ZERO    |                           | 1 000                      | 220                  |                              |
| 727EM2 | DEFAULT    | 5              | 5        | Montée       | Maxi montée    | ZERO    | 3 000                     |                            |                      |                              |
| 727EM2 | DEFAULT    | 5              | 6        | Accélération | Maxi montée    | ZERO    |                           | 1 000                      | 250                  |                              |
| 727EM2 | DEFAULT    | 5              | 7        | Montée       | Maxi montée    | ZERO    | 5 500                     |                            |                      |                              |
| 727EM2 | DEFAULT    | 5              | 8        | Montée       | Maxi montée    | ZERO    | 7 500                     |                            |                      |                              |
| 727EM2 | DEFAULT    | 5              | 9        | Montée       | Maxi montée    | ZERO    | 10 000                    |                            |                      |                              |
| 727Q15 | DEFAULT    | 1              | 1        | Décollage    | Maxi décollage | 5       |                           |                            |                      |                              |
| 727Q15 | DEFAULT    | 1              | 2        | Montée       | Maxi décollage | 5       | 1 000                     |                            |                      |                              |
| 727Q15 | DEFAULT    | 1              | 3        | Accélération | Maxi décollage | 5       |                           | 1 363                      | 170                  |                              |
| 727Q15 | DEFAULT    | 1              | 4        | Accélération | Maxi décollage | 2       |                           | 1 363                      | 200                  |                              |
| 727Q15 | DEFAULT    | 1              | 5        | Accélération | Maxi montée    | ZERO    |                           | 1 000                      | 210                  |                              |
| 727Q15 | DEFAULT    | 1              | 6        | Montée       | Maxi montée    | ZERO    | 3 000                     |                            |                      |                              |
| 727Q15 | DEFAULT    | 1              | 7        | Accélération | Maxi montée    | ZERO    |                           | 1 000                      | 250                  |                              |
| 727Q15 | DEFAULT    | 1              | 8        | Montée       | Maxi montée    | ZERO    | 5 500                     |                            |                      |                              |
| 727Q15 | DEFAULT    | 1              | 9        | Montée       | Maxi montée    | ZERO    | 7 500                     |                            |                      |                              |
| 727Q15 | DEFAULT    | 1              | 10       | Montée       | Maxi montée    | ZERO    | 10 000                    |                            |                      |                              |
| 727Q15 | DEFAULT    | 2              | 1        | Décollage    | Maxi décollage | 5       |                           |                            |                      |                              |
| 727Q15 | DEFAULT    | 2              | 2        | Montée       | Maxi décollage | 5       | 1 000                     |                            |                      |                              |
| 727Q15 | DEFAULT    | 2              | 3        | Accélération | Maxi décollage | 5       |                           | 1 281                      | 170                  |                              |
| 727Q15 | DEFAULT    | 2              | 4        | Accélération | Maxi décollage | 2       |                           | 1 281                      | 200                  |                              |

| ACFTID | Profile_ID | Longueur phase | No étape | Type étape   | Indice poussée | Flap_ID | Altitude point final (ft) | Vitesse de montée (ft/min) | CAS point final (kt) | Pourcentage accélération (%) |
|--------|------------|----------------|----------|--------------|----------------|---------|---------------------------|----------------------------|----------------------|------------------------------|
| 727Q15 | DEFAULT    | 2              | 5        | Accélération | Maxi montée    | ZERO    |                           | 1 000                      | 210                  |                              |
| 727Q15 | DEFAULT    | 2              | 6        | Montée       | Maxi montée    | ZERO    | 3 000                     |                            |                      |                              |
| 727Q15 | DEFAULT    | 2              | 7        | Accélération | Maxi montée    | ZERO    |                           | 1 000                      | 250                  |                              |
| 727Q15 | DEFAULT    | 2              | 8        | Montée       | Maxi montée    | ZERO    | 5 500                     |                            |                      |                              |
| 727Q15 | DEFAULT    | 2              | 9        | Montée       | Maxi montée    | ZERO    | 7 500                     |                            |                      |                              |
| 727Q15 | DEFAULT    | 2              | 10       | Montée       | Maxi montée    | ZERO    | 10 000                    |                            |                      |                              |
| 727Q15 | DEFAULT    | 3              | 1        | Décollage    | Maxi décollage | 5       |                           |                            |                      |                              |
| 727Q15 | DEFAULT    | 3              | 2        | Montée       | Maxi décollage | 5       | 1 000                     |                            |                      |                              |
| 727Q15 | DEFAULT    | 3              | 3        | Accélération | Maxi décollage | 5       |                           | 1 177                      | 175                  |                              |
| 727Q15 | DEFAULT    | 3              | 4        | Accélération | Maxi décollage | 2       |                           | 1 177                      | 205                  |                              |
| 727Q15 | DEFAULT    | 3              | 5        | Accélération | Maxi montée    | ZERO    |                           | 1 000                      | 215                  |                              |
| 727Q15 | DEFAULT    | 3              | 6        | Montée       | Maxi montée    | ZERO    | 3 000                     |                            |                      |                              |
| 727Q15 | DEFAULT    | 3              | 7        | Accélération | Maxi montée    | ZERO    |                           | 1 000                      | 250                  |                              |
| 727Q15 | DEFAULT    | 3              | 8        | Montée       | Maxi montée    | ZERO    | 5 500                     |                            |                      |                              |
| 727Q15 | DEFAULT    | 3              | 9        | Montée       | Maxi montée    | ZERO    | 7 500                     |                            |                      |                              |
| 727Q15 | DEFAULT    | 3              | 10       | Montée       | Maxi montée    | ZERO    | 10 000                    |                            |                      |                              |
| 727Q15 | DEFAULT    | 4              | 1        | Décollage    | Maxi décollage | 5       |                           |                            |                      |                              |
| 727Q15 | DEFAULT    | 4              | 2        | Montée       | Maxi décollage | 5       | 1 000                     |                            |                      |                              |
| 727Q15 | DEFAULT    | 4              | 3        | Accélération | Maxi décollage | 5       |                           | 1 057                      | 180                  |                              |
| 727Q15 | DEFAULT    | 4              | 4        | Accélération | Maxi décollage | 2       |                           | 1 057                      | 210                  |                              |

| ACFTID | Profile_ID | Longueur phase | No étape | Type étape   | Indice poussée | Flap_ID | Altitude point final (ft) | Vitesse de montée (ft/min) | CAS point final (kt) | Pourcentage_accélération (%) |
|--------|------------|----------------|----------|--------------|----------------|---------|---------------------------|----------------------------|----------------------|------------------------------|
| 727Q15 | DEFAULT    | 4              | 5        | Accélération | Maxi montée    | ZERO    |                           | 1 000                      | 220                  |                              |
| 727Q15 | DEFAULT    | 4              | 6        | Montée       | Maxi montée    | ZERO    | 3 000                     |                            |                      |                              |
| 727Q15 | DEFAULT    | 4              | 7        | Accélération | Maxi montée    | ZERO    |                           | 1 000                      | 250                  |                              |
| 727Q15 | DEFAULT    | 4              | 8        | Montée       | Maxi montée    | ZERO    | 5 500                     |                            |                      |                              |
| 727Q15 | DEFAULT    | 4              | 9        | Montée       | Maxi montée    | ZERO    | 7 500                     |                            |                      |                              |
| 727Q15 | DEFAULT    | 4              | 10       | Montée       | Maxi montée    | ZERO    | 10 000                    |                            |                      |                              |
| 727Q15 | DEFAULT    | 5              | 1        | Décollage    | Maxi décollage | 5       |                           |                            |                      |                              |
| 727Q15 | DEFAULT    | 5              | 2        | Montée       | Maxi décollage | 5       | 1 000                     |                            |                      |                              |
| 727Q15 | DEFAULT    | 5              | 3        | Accélération | Maxi décollage | 2       |                           | 941                        | 210                  |                              |
| 727Q15 | DEFAULT    | 5              | 4        | Accélération | Maxi montée    | ZERO    |                           | 1 000                      | 220                  |                              |
| 727Q15 | DEFAULT    | 5              | 5        | Montée       | Maxi montée    | ZERO    | 3 000                     |                            |                      |                              |
| 727Q15 | DEFAULT    | 5              | 6        | Accélération | Maxi montée    | ZERO    |                           | 1 000                      | 250                  |                              |
| 727Q15 | DEFAULT    | 5              | 7        | Montée       | Maxi montée    | ZERO    | 5 500                     |                            |                      |                              |
| 727Q15 | DEFAULT    | 5              | 8        | Montée       | Maxi montée    | ZERO    | 7 500                     |                            |                      |                              |
| 727Q15 | DEFAULT    | 5              | 9        | Montée       | Maxi montée    | ZERO    | 10 000                    |                            |                      |                              |
| 727Q7  | DEFAULT    | 1              | 1        | Décollage    | Maxi décollage | 5       |                           |                            |                      |                              |
| 727Q7  | DEFAULT    | 1              | 2        | Montée       | Maxi décollage | 5       | 1 000                     |                            |                      |                              |
| 727Q7  | DEFAULT    | 1              | 3        | Accélération | Maxi décollage | 5       |                           | 1 342                      | 160                  |                              |
| 727Q7  | DEFAULT    | 1              | 4        | Accélération | Maxi décollage | 2       |                           | 1 342                      | 190                  |                              |
| 727Q7  | DEFAULT    | 1              | 5        | Accélération | Maxi montée    | ZERO    |                           | 1 000                      | 200                  |                              |

| ACFTID | Profile_ID | Longueur phase | No étape | Type étape   | Indice poussée | Flap_ID | Altitude point final (ft) | Vitesse de montée (ft/min) | CAS point final (kt) | Pourcentage accélération (%) |
|--------|------------|----------------|----------|--------------|----------------|---------|---------------------------|----------------------------|----------------------|------------------------------|
| 727Q7  | DEFAULT    | 1              | 6        | Montée       | Maxi montée    | ZERO    | 3 000                     |                            |                      |                              |
| 727Q7  | DEFAULT    | 1              | 7        | Accélération | Maxi montée    | ZERO    |                           | 1 000                      | 250                  |                              |
| 727Q7  | DEFAULT    | 1              | 8        | Montée       | Maxi montée    | ZERO    | 5 500                     |                            |                      |                              |
| 727Q7  | DEFAULT    | 1              | 9        | Montée       | Maxi montée    | ZERO    | 7 500                     |                            |                      |                              |
| 727Q7  | DEFAULT    | 1              | 10       | Montée       | Maxi montée    | ZERO    | 10 000                    |                            |                      |                              |
| 727Q7  | DEFAULT    | 2              | 1        | Décollage    | Maxi décollage | 5       |                           |                            |                      |                              |
| 727Q7  | DEFAULT    | 2              | 2        | Montée       | Maxi décollage | 5       | 1 000                     |                            |                      |                              |
| 727Q7  | DEFAULT    | 2              | 3        | Accélération | Maxi décollage | 5       |                           | 1 265                      | 160                  |                              |
| 727Q7  | DEFAULT    | 2              | 4        | Accélération | Maxi décollage | 2       |                           | 1 265                      | 190                  |                              |
| 727Q7  | DEFAULT    | 2              | 5        | Accélération | Maxi montée    | ZERO    |                           | 1 000                      | 200                  |                              |
| 727Q7  | DEFAULT    | 2              | 6        | Montée       | Maxi montée    | ZERO    | 3 000                     |                            |                      |                              |
| 727Q7  | DEFAULT    | 2              | 7        | Accélération | Maxi montée    | ZERO    |                           | 1 000                      | 250                  |                              |
| 727Q7  | DEFAULT    | 2              | 8        | Montée       | Maxi montée    | ZERO    | 5 500                     |                            |                      |                              |
| 727Q7  | DEFAULT    | 2              | 9        | Montée       | Maxi montée    | ZERO    | 7 500                     |                            |                      |                              |
| 727Q7  | DEFAULT    | 2              | 10       | Montée       | Maxi montée    | ZERO    | 10 000                    |                            |                      |                              |
| 727Q7  | DEFAULT    | 3              | 1        | Décollage    | Maxi décollage | 5       |                           |                            |                      |                              |
| 727Q7  | DEFAULT    | 3              | 2        | Montée       | Maxi décollage | 5       | 1 000                     |                            |                      |                              |
| 727Q7  | DEFAULT    | 3              | 3        | Accélération | Maxi décollage | 5       |                           | 1 192                      | 165                  |                              |
| 727Q7  | DEFAULT    | 3              | 4        | Accélération | Maxi décollage | 2       |                           | 1 192                      | 195                  |                              |
| 727Q7  | DEFAULT    | 3              | 5        | Accélération | Maxi montée    | ZERO    |                           | 1 000                      | 205                  |                              |

| ACFTID | Profile_ID | Longueur phase | No étape | Type étape   | Indice poussée | Flap_ID | Altitude point final (ft) | Vitesse de montée (ft/min) | CAS point final (kt) | Pourcentage accélération (%) |
|--------|------------|----------------|----------|--------------|----------------|---------|---------------------------|----------------------------|----------------------|------------------------------|
| 727Q7  | DEFAULT    | 3              | 6        | Montée       | Maxi montée    | ZERO    | 3 000                     |                            |                      |                              |
| 727Q7  | DEFAULT    | 3              | 7        | Accélération | Maxi montée    | ZERO    |                           | 1 000                      | 250                  |                              |
| 727Q7  | DEFAULT    | 3              | 8        | Montée       | Maxi montée    | ZERO    | 5 500                     |                            |                      |                              |
| 727Q7  | DEFAULT    | 3              | 9        | Montée       | Maxi montée    | ZERO    | 7 500                     |                            |                      |                              |
| 727Q7  | DEFAULT    | 3              | 10       | Montée       | Maxi montée    | ZERO    | 10 000                    |                            |                      |                              |
| 727Q7  | DEFAULT    | 4              | 1        | Décollage    | Maxi décollage | 5       |                           |                            |                      |                              |
| 727Q7  | DEFAULT    | 4              | 2        | Montée       | Maxi décollage | 5       | 1 000                     |                            |                      |                              |
| 727Q7  | DEFAULT    | 4              | 3        | Accélération | Maxi décollage | 5       |                           | 1 115                      | 170                  |                              |
| 727Q7  | DEFAULT    | 4              | 4        | Accélération | Maxi décollage | 2       |                           | 1 115                      | 200                  |                              |
| 727Q7  | DEFAULT    | 4              | 5        | Accélération | Maxi montée    | ZERO    |                           | 1 000                      | 210                  |                              |
| 727Q7  | DEFAULT    | 4              | 6        | Montée       | Maxi montée    | ZERO    | 3 000                     |                            |                      |                              |
| 727Q7  | DEFAULT    | 4              | 7        | Accélération | Maxi montée    | ZERO    |                           | 1 000                      | 250                  |                              |
| 727Q7  | DEFAULT    | 4              | 8        | Montée       | Maxi montée    | ZERO    | 5 500                     |                            |                      |                              |
| 727Q7  | DEFAULT    | 4              | 9        | Montée       | Maxi montée    | ZERO    | 7 500                     |                            |                      |                              |
| 727Q7  | DEFAULT    | 4              | 10       | Montée       | Maxi montée    | ZERO    | 10 000                    |                            |                      |                              |
| 727Q9  | DEFAULT    | 1              | 1        | Décollage    | Maxi décollage | 5       |                           |                            |                      |                              |
| 727Q9  | DEFAULT    | 1              | 2        | Montée       | Maxi décollage | 5       | 1 000                     |                            |                      |                              |
| 727Q9  | DEFAULT    | 1              | 3        | Accélération | Maxi décollage | 5       |                           | 1 539                      | 170                  |                              |
| 727Q9  | DEFAULT    | 1              | 4        | Accélération | Maxi décollage | 2       |                           | 1 539                      | 200                  |                              |
| 727Q9  | DEFAULT    | 1              | 5        | Accélération | Maxi montée    | ZERO    |                           | 1 000                      | 210                  |                              |

| ACFTID | Profile_ID | Longueur phase | No étape | Type étape   | Indice poussée | Flap_ID | Altitude point final (ft) | Vitesse de montée (ft/min) | CAS point final (kt) | Pourcentage accélération (%) |
|--------|------------|----------------|----------|--------------|----------------|---------|---------------------------|----------------------------|----------------------|------------------------------|
| 727Q9  | DEFAULT    | 1              | 6        | Montée       | Maxi montée    | ZERO    | 3 000                     |                            |                      |                              |
| 727Q9  | DEFAULT    | 1              | 7        | Accélération | Maxi montée    | ZERO    |                           | 1 000                      | 250                  |                              |
| 727Q9  | DEFAULT    | 1              | 8        | Montée       | Maxi montée    | ZERO    | 5 500                     |                            |                      |                              |
| 727Q9  | DEFAULT    | 1              | 9        | Montée       | Maxi montée    | ZERO    | 7 500                     |                            |                      |                              |
| 727Q9  | DEFAULT    | 1              | 10       | Montée       | Maxi montée    | ZERO    | 10 000                    |                            |                      |                              |
| 727Q9  | DEFAULT    | 2              | 1        | Décollage    | Maxi décollage | 5       |                           |                            |                      |                              |
| 727Q9  | DEFAULT    | 2              | 2        | Montée       | Maxi décollage | 5       | 1 000                     |                            |                      |                              |
| 727Q9  | DEFAULT    | 2              | 3        | Accélération | Maxi décollage | 5       |                           | 1 390                      | 170                  |                              |
| 727Q9  | DEFAULT    | 2              | 4        | Accélération | Maxi décollage | 2       |                           | 1 390                      | 200                  |                              |
| 727Q9  | DEFAULT    | 2              | 5        | Accélération | Maxi montée    | ZERO    |                           | 1 000                      | 210                  |                              |
| 727Q9  | DEFAULT    | 2              | 6        | Montée       | Maxi montée    | ZERO    | 3 000                     |                            |                      |                              |
| 727Q9  | DEFAULT    | 2              | 7        | Accélération | Maxi montée    | ZERO    |                           | 1 000                      | 250                  |                              |
| 727Q9  | DEFAULT    | 2              | 8        | Montée       | Maxi montée    | ZERO    | 5 500                     |                            |                      |                              |
| 727Q9  | DEFAULT    | 2              | 9        | Montée       | Maxi montée    | ZERO    | 7 500                     |                            |                      |                              |
| 727Q9  | DEFAULT    | 2              | 10       | Montée       | Maxi montée    | ZERO    | 10 000                    |                            |                      |                              |
| 727Q9  | DEFAULT    | 3              | 1        | Décollage    | Maxi décollage | 5       |                           |                            |                      |                              |
| 727Q9  | DEFAULT    | 3              | 2        | Montée       | Maxi décollage | 5       | 1 000                     |                            |                      |                              |
| 727Q9  | DEFAULT    | 3              | 3        | Accélération | Maxi décollage | 5       |                           | 1 255                      | 180                  |                              |
| 727Q9  | DEFAULT    | 3              | 4        | Accélération | Maxi décollage | 2       |                           | 1 255                      | 210                  |                              |
| 727Q9  | DEFAULT    | 3              | 5        | Accélération | Maxi montée    | ZERO    |                           | 1 000                      | 220                  |                              |

| ACFTID | Profile_ID | Longueur phase | No étape | Type étape   | Indice poussée | Flap_ID | Altitude point final (ft) | Vitesse de montée (ft/min) | CAS point final (kt) | Pourcentage accélération (%) |
|--------|------------|----------------|----------|--------------|----------------|---------|---------------------------|----------------------------|----------------------|------------------------------|
| 727Q9  | DEFAULT    | 3              | 6        | Montée       | Maxi montée    | ZERO    | 3 000                     |                            |                      |                              |
| 727Q9  | DEFAULT    | 3              | 7        | Accélération | Maxi montée    | ZERO    |                           | 1 000                      | 250                  |                              |
| 727Q9  | DEFAULT    | 3              | 8        | Montée       | Maxi montée    | ZERO    | 5 500                     |                            |                      |                              |
| 727Q9  | DEFAULT    | 3              | 9        | Montée       | Maxi montée    | ZERO    | 7 500                     |                            |                      |                              |
| 727Q9  | DEFAULT    | 3              | 10       | Montée       | Maxi montée    | ZERO    | 10 000                    |                            |                      |                              |
| 727Q9  | DEFAULT    | 4              | 1        | Décollage    | Maxi décollage | 5       |                           |                            |                      |                              |
| 727Q9  | DEFAULT    | 4              | 2        | Montée       | Maxi décollage | 5       | 1 000                     |                            |                      |                              |
| 727Q9  | DEFAULT    | 4              | 3        | Accélération | Maxi décollage | 2       |                           | 855                        | 210                  |                              |
| 727Q9  | DEFAULT    | 4              | 4        | Accélération | Maxi montée    | ZERO    |                           | 1 000                      | 220                  |                              |
| 727Q9  | DEFAULT    | 4              | 5        | Montée       | Maxi montée    | ZERO    | 3 000                     |                            |                      |                              |
| 727Q9  | DEFAULT    | 4              | 6        | Accélération | Maxi montée    | ZERO    |                           | 1 000                      | 250                  |                              |
| 727Q9  | DEFAULT    | 4              | 7        | Montée       | Maxi montée    | ZERO    | 5 500                     |                            |                      |                              |
| 727Q9  | DEFAULT    | 4              | 8        | Montée       | Maxi montée    | ZERO    | 7 500                     |                            |                      |                              |
| 727Q9  | DEFAULT    | 4              | 9        | Montée       | Maxi montée    | ZERO    | 10 000                    |                            |                      |                              |
| 727QF  | DEFAULT    | 1              | 1        | Décollage    | Maxi décollage | 5       |                           |                            |                      |                              |
| 727QF  | DEFAULT    | 1              | 2        | Montée       | Maxi décollage | 5       | 1 000                     |                            |                      |                              |
| 727QF  | DEFAULT    | 1              | 3        | Accélération | Maxi décollage | 5       |                           | 1 000                      | 175                  |                              |
| 727QF  | DEFAULT    | 1              | 4        | Accélération | Maxi décollage | 2       |                           | 1 000                      | 190                  |                              |
| 727QF  | DEFAULT    | 1              | 5        | Accélération | Maxi décollage | ZERO    |                           | 1 000                      | 200                  |                              |
| 727QF  | DEFAULT    | 1              | 6        | Montée       | Maxi continue  | ZERO    | 3 000                     |                            |                      |                              |

| ACFTID | Profile_ID | Longueur phase | No étape | Type étape   | Indice poussée | Flap_ID | Altitude point final (ft) | Vitesse de montée (ft/min) | CAS point final (kt) | Pourcentage_accélération (%) |
|--------|------------|----------------|----------|--------------|----------------|---------|---------------------------|----------------------------|----------------------|------------------------------|
| 727QF  | DEFAULT    | 1              | 7        | Accélération | Maxi continue  | ZERO    |                           | 1 000                      | 250                  |                              |
| 727QF  | DEFAULT    | 1              | 8        | Montée       | Maxi montée    | ZERO    | 5 500                     |                            |                      |                              |
| 727QF  | DEFAULT    | 1              | 9        | Montée       | Maxi montée    | ZERO    | 7 500                     |                            |                      |                              |
| 727QF  | DEFAULT    | 1              | 10       | Montée       | Maxi montée    | ZERO    | 10 000                    |                            |                      |                              |
| 727QF  | DEFAULT    | 2              | 1        | Décollage    | Maxi décollage | 5       |                           |                            |                      |                              |
| 727QF  | DEFAULT    | 2              | 2        | Montée       | Maxi décollage | 5       | 1 000                     |                            |                      |                              |
| 727QF  | DEFAULT    | 2              | 3        | Accélération | Maxi décollage | 5       |                           | 1 000                      | 180                  |                              |
| 727QF  | DEFAULT    | 2              | 4        | Accélération | Maxi décollage | 2       |                           | 1 000                      | 190                  |                              |
| 727QF  | DEFAULT    | 2              | 5        | Accélération | Maxi décollage | ZERO    |                           | 1 000                      | 200                  |                              |
| 727QF  | DEFAULT    | 2              | 6        | Montée       | Maxi continue  | ZERO    | 3 000                     |                            |                      |                              |
| 727QF  | DEFAULT    | 2              | 7        | Accélération | Maxi continue  | ZERO    |                           | 1 000                      | 250                  |                              |
| 727QF  | DEFAULT    | 2              | 8        | Montée       | Maxi montée    | ZERO    | 5 500                     |                            |                      |                              |
| 727QF  | DEFAULT    | 2              | 9        | Montée       | Maxi montée    | ZERO    | 7 500                     |                            |                      |                              |
| 727QF  | DEFAULT    | 2              | 10       | Montée       | Maxi montée    | ZERO    | 10 000                    |                            |                      |                              |
| 727QF  | DEFAULT    | 3              | 1        | Décollage    | Maxi décollage | 5       |                           |                            |                      |                              |
| 727QF  | DEFAULT    | 3              | 2        | Montée       | Maxi décollage | 5       | 1 000                     |                            |                      |                              |
| 727QF  | DEFAULT    | 3              | 3        | Accélération | Maxi décollage | 5       |                           | 1 000                      | 184                  |                              |
| 727QF  | DEFAULT    | 3              | 4        | Accélération | Maxi décollage | 2       |                           | 1 000                      | 190                  |                              |
| 727QF  | DEFAULT    | 3              | 5        | Accélération | Maxi décollage | ZERO    |                           | 1 000                      | 200                  |                              |
| 727QF  | DEFAULT    | 3              | 6        | Montée       | Maxi continue  | ZERO    | 3 000                     |                            |                      |                              |

| ACFTID | Profile_ID | Longueur phase | No étape | Type étape   | Indice poussée | Flap_ID | Altitude point final (ft) | Vitesse de montée (ft/min) | CAS point final (kt) | Pourcentage_accélération (%) |
|--------|------------|----------------|----------|--------------|----------------|---------|---------------------------|----------------------------|----------------------|------------------------------|
| 727QF  | DEFAULT    | 3              | 7        | Accélération | Maxi continue  | ZERO    |                           | 1 000                      | 250                  |                              |
| 727QF  | DEFAULT    | 3              | 8        | Montée       | Maxi montée    | ZERO    | 5 500                     |                            |                      |                              |
| 727QF  | DEFAULT    | 3              | 9        | Montée       | Maxi montée    | ZERO    | 7 500                     |                            |                      |                              |
| 727QF  | DEFAULT    | 3              | 10       | Montée       | Maxi montée    | ZERO    | 10 000                    |                            |                      |                              |
| 727QF  | DEFAULT    | 4              | 1        | Décollage    | Maxi décollage | 5       |                           |                            |                      |                              |
| 727QF  | DEFAULT    | 4              | 2        | Montée       | Maxi décollage | 5       | 1 000                     |                            |                      |                              |
| 727QF  | DEFAULT    | 4              | 3        | Accélération | Maxi décollage | 5       |                           | 1 000                      | 189                  |                              |
| 727QF  | DEFAULT    | 4              | 4        | Accélération | Maxi décollage | 2       |                           | 1 000                      | 190                  |                              |
| 727QF  | DEFAULT    | 4              | 5        | Accélération | Maxi décollage | ZERO    |                           | 1 000                      | 200                  |                              |
| 727QF  | DEFAULT    | 4              | 6        | Montée       | Maxi continue  | ZERO    | 3 000                     |                            |                      |                              |
| 727QF  | DEFAULT    | 4              | 7        | Accélération | Maxi continue  | ZERO    |                           | 1 000                      | 250                  |                              |
| 727QF  | DEFAULT    | 4              | 8        | Montée       | Maxi montée    | ZERO    | 5 500                     |                            |                      |                              |
| 727QF  | DEFAULT    | 4              | 9        | Montée       | Maxi montée    | ZERO    | 7 500                     |                            |                      |                              |
| 727QF  | DEFAULT    | 4              | 10       | Montée       | Maxi montée    | ZERO    | 10 000                    |                            |                      |                              |
| 737    | DEFAULT    | 1              | 1        | Décollage    | Maxi décollage | 5       |                           |                            |                      |                              |
| 737    | DEFAULT    | 1              | 2        | Montée       | Maxi décollage | 5       | 1 000                     |                            |                      |                              |
| 737    | DEFAULT    | 1              | 3        | Accélération | Maxi décollage | 5       |                           | 2 090                      | 146                  |                              |
| 737    | DEFAULT    | 1              | 4        | Accélération | Maxi décollage | INT     |                           | 1 568                      | 171                  |                              |
| 737    | DEFAULT    | 1              | 5        | Accélération | Maxi montée    | ZERO    |                           | 1 000                      | 210                  |                              |
| 737    | DEFAULT    | 1              | 6        | Montée       | Maxi montée    | ZERO    | 3 000                     |                            |                      |                              |

| ACFTID | Profile_ID | Longueur phase | No étape | Type étape   | Indice poussée | Flap_ID | Altitude point final (ft) | Vitesse de montée (ft/min) | CAS point final (kt) | Pourcentage accélération (%) |
|--------|------------|----------------|----------|--------------|----------------|---------|---------------------------|----------------------------|----------------------|------------------------------|
| 737    | DEFAULT    | 1              | 7        | Accélération | Maxi montée    | ZERO    |                           | 1 000                      | 250                  |                              |
| 737    | DEFAULT    | 1              | 8        | Montée       | Maxi montée    | ZERO    | 5 500                     |                            |                      |                              |
| 737    | DEFAULT    | 1              | 9        | Montée       | Maxi montée    | ZERO    | 7 500                     |                            |                      |                              |
| 737    | DEFAULT    | 1              | 10       | Montée       | Maxi montée    | ZERO    | 10 000                    |                            |                      |                              |
| 737    | DEFAULT    | 2              | 1        | Décollage    | Maxi décollage | 5       |                           |                            |                      |                              |
| 737    | DEFAULT    | 2              | 2        | Montée       | Maxi décollage | 5       | 1 000                     |                            |                      |                              |
| 737    | DEFAULT    | 2              | 3        | Accélération | Maxi décollage | 5       |                           | 2 014                      | 149                  |                              |
| 737    | DEFAULT    | 2              | 4        | Accélération | Maxi décollage | INT     |                           | 1 511                      | 174                  |                              |
| 737    | DEFAULT    | 2              | 5        | Accélération | Maxi montée    | ZERO    |                           | 1 000                      | 210                  |                              |
| 737    | DEFAULT    | 2              | 6        | Montée       | Maxi montée    | ZERO    | 3 000                     |                            |                      |                              |
| 737    | DEFAULT    | 2              | 7        | Accélération | Maxi montée    | ZERO    |                           | 1 000                      | 250                  |                              |
| 737    | DEFAULT    | 2              | 8        | Montée       | Maxi montée    | ZERO    | 5 500                     |                            |                      |                              |
| 737    | DEFAULT    | 2              | 9        | Montée       | Maxi montée    | ZERO    | 7 500                     |                            |                      |                              |
| 737    | DEFAULT    | 2              | 10       | Montée       | Maxi montée    | ZERO    | 10 000                    |                            |                      |                              |
| 737    | DEFAULT    | 3              | 1        | Décollage    | Maxi décollage | 5       |                           |                            |                      |                              |
| 737    | DEFAULT    | 3              | 2        | Montée       | Maxi décollage | 5       | 1 000                     |                            |                      |                              |
| 737    | DEFAULT    | 3              | 3        | Accélération | Maxi décollage | 5       |                           | 1 851                      | 154                  |                              |
| 737    | DEFAULT    | 3              | 4        | Accélération | Maxi décollage | INT     |                           | 1 388                      | 179                  |                              |
| 737    | DEFAULT    | 3              | 5        | Accélération | Maxi montée    | ZERO    |                           | 1 000                      | 210                  |                              |
| 737    | DEFAULT    | 3              | 6        | Montée       | Maxi montée    | ZERO    | 3 000                     |                            |                      |                              |

| ACFTID | Profile_ID | Longueur phase | No étape | Type étape   | Indice poussée | Flap_ID | Altitude point final (ft) | Vitesse de montée (ft/min) | CAS point final (kt) | Pourcentage accélération (%) |
|--------|------------|----------------|----------|--------------|----------------|---------|---------------------------|----------------------------|----------------------|------------------------------|
| 737    | DEFAULT    | 3              | 7        | Accélération | Maxi montée    | ZERO    |                           | 1 000                      | 250                  |                              |
| 737    | DEFAULT    | 3              | 8        | Montée       | Maxi montée    | ZERO    | 5 500                     |                            |                      |                              |
| 737    | DEFAULT    | 3              | 9        | Montée       | Maxi montée    | ZERO    | 7 500                     |                            |                      |                              |
| 737    | DEFAULT    | 3              | 10       | Montée       | Maxi montée    | ZERO    | 10 000                    |                            |                      |                              |
| 737    | DEFAULT    | 4              | 1        | Décollage    | Maxi décollage | 5       |                           |                            |                      |                              |
| 737    | DEFAULT    | 4              | 2        | Montée       | Maxi décollage | 5       | 1 000                     |                            |                      |                              |
| 737    | DEFAULT    | 4              | 3        | Accélération | Maxi décollage | 5       |                           | 1 685                      | 160                  |                              |
| 737    | DEFAULT    | 4              | 4        | Accélération | Maxi décollage | INT     |                           | 1 264                      | 185                  |                              |
| 737    | DEFAULT    | 4              | 5        | Accélération | Maxi montée    | ZERO    |                           | 1 000                      | 210                  |                              |
| 737    | DEFAULT    | 4              | 6        | Montée       | Maxi montée    | ZERO    | 3 000                     |                            |                      |                              |
| 737    | DEFAULT    | 4              | 7        | Accélération | Maxi montée    | ZERO    |                           | 1 000                      | 250                  |                              |
| 737    | DEFAULT    | 4              | 8        | Montée       | Maxi montée    | ZERO    | 5 500                     |                            |                      |                              |
| 737    | DEFAULT    | 4              | 9        | Montée       | Maxi montée    | ZERO    | 7 500                     |                            |                      |                              |
| 737    | DEFAULT    | 4              | 10       | Montée       | Maxi montée    | ZERO    | 10 000                    |                            |                      |                              |
| 737300 | DEFAULT    | 1              | 1        | Décollage    | Maxi décollage | 5       |                           |                            |                      |                              |
| 737300 | DEFAULT    | 1              | 2        | Montée       | Maxi décollage | 5       | 1 000                     |                            |                      |                              |
| 737300 | DEFAULT    | 1              | 3        | Accélération | Maxi montée    | 5       |                           | 1 483,4                    | 187,9                |                              |
| 737300 | DEFAULT    | 1              | 4        | Accélération | Maxi montée    | 1       |                           | 1 684,6                    | 205,5                |                              |
| 737300 | DEFAULT    | 1              | 5        | Accélération | Maxi montée    | ZERO    |                           | 1 815,6                    | 220,5                |                              |
| 737300 | DEFAULT    | 1              | 6        | Montée       | Maxi montée    | ZERO    | 3 000                     |                            |                      |                              |

| ACFTID | Profile_ID | Longueur phase | No étape | Type étape   | Indice poussée | Flap_ID | Altitude point final (ft) | Vitesse de montée (ft/min) | CAS point final (kt) | Pourcentage_accélération (%) |
|--------|------------|----------------|----------|--------------|----------------|---------|---------------------------|----------------------------|----------------------|------------------------------|
| 737300 | DEFAULT    | 1              | 7        | Accélération | Maxi montée    | ZERO    |                           | 1 892,6                    | 250                  |                              |
| 737300 | DEFAULT    | 1              | 8        | Montée       | Maxi montée    | ZERO    | 5 500                     |                            |                      |                              |
| 737300 | DEFAULT    | 1              | 9        | Montée       | Maxi montée    | ZERO    | 7 500                     |                            |                      |                              |
| 737300 | DEFAULT    | 1              | 10       | Montée       | Maxi montée    | ZERO    | 10 000                    |                            |                      |                              |
| 737300 | DEFAULT    | 2              | 1        | Décollage    | Maxi décollage | 5       |                           |                            |                      |                              |
| 737300 | DEFAULT    | 2              | 2        | Montée       | Maxi décollage | 5       | 1 000                     |                            |                      |                              |
| 737300 | DEFAULT    | 2              | 3        | Accélération | Maxi montée    | 5       |                           | 1 398,8                    | 189,2                |                              |
| 737300 | DEFAULT    | 2              | 4        | Accélération | Maxi montée    | 1       |                           | 1 579,3                    | 204,5                |                              |
| 737300 | DEFAULT    | 2              | 5        | Accélération | Maxi montée    | ZERO    |                           | 1 700,5                    | 220,5                |                              |
| 737300 | DEFAULT    | 2              | 6        | Montée       | Maxi montée    | ZERO    | 3 000                     |                            |                      |                              |
| 737300 | DEFAULT    | 2              | 7        | Accélération | Maxi montée    | ZERO    |                           | 1 774,1                    | 250                  |                              |
| 737300 | DEFAULT    | 2              | 8        | Montée       | Maxi montée    | ZERO    | 5 500                     |                            |                      |                              |
| 737300 | DEFAULT    | 2              | 9        | Montée       | Maxi montée    | ZERO    | 7 500                     |                            |                      |                              |
| 737300 | DEFAULT    | 2              | 10       | Montée       | Maxi montée    | ZERO    | 10 000                    |                            |                      |                              |
| 737300 | DEFAULT    | 3              | 1        | Décollage    | Maxi décollage | 5       |                           |                            |                      |                              |
| 737300 | DEFAULT    | 3              | 2        | Montée       | Maxi décollage | 5       | 1 000                     |                            |                      |                              |
| 737300 | DEFAULT    | 3              | 3        | Accélération | Maxi montée    | 5       |                           | 1 311,5                    | 190,8                |                              |
| 737300 | DEFAULT    | 3              | 4        | Accélération | Maxi montée    | 1       |                           | 1 487,2                    | 213,2                |                              |
| 737300 | DEFAULT    | 3              | 5        | Accélération | Maxi montée    | ZERO    |                           | 1 609,4                    | 220,5                |                              |
| 737300 | DEFAULT    | 3              | 6        | Montée       | Maxi montée    | ZERO    | 3 000                     |                            |                      |                              |

| ACFTID | Profile_ID | Longueur phase | No étape | Type étape   | Indice poussée | Flap_ID | Altitude point final (ft) | Vitesse de montée (ft/min) | CAS point final (kt) | Pourcentage_accélération (%) |
|--------|------------|----------------|----------|--------------|----------------|---------|---------------------------|----------------------------|----------------------|------------------------------|
| 737300 | DEFAULT    | 3              | 7        | Accélération | Maxi montée    | ZERO    |                           | 1 657,6                    | 250                  |                              |
| 737300 | DEFAULT    | 3              | 8        | Montée       | Maxi montée    | ZERO    | 5 500                     |                            |                      |                              |
| 737300 | DEFAULT    | 3              | 9        | Montée       | Maxi montée    | ZERO    | 7 500                     |                            |                      |                              |
| 737300 | DEFAULT    | 3              | 10       | Montée       | Maxi montée    | ZERO    | 10 000                    |                            |                      |                              |
| 737300 | DEFAULT    | 4              | 1        | Décollage    | Maxi décollage | 5       |                           |                            |                      |                              |
| 737300 | DEFAULT    | 4              | 2        | Montée       | Maxi décollage | 5       | 1 000                     |                            |                      |                              |
| 737300 | DEFAULT    | 4              | 3        | Accélération | Maxi montée    | 5       |                           | 1 154,7                    | 194,6                |                              |
| 737300 | DEFAULT    | 4              | 4        | Accélération | Maxi montée    | 1       |                           | 1 295,8                    | 211,5                |                              |
| 737300 | DEFAULT    | 4              | 5        | Accélération | Maxi montée    | ZERO    |                           | 1 391,6                    | 220,5                |                              |
| 737300 | DEFAULT    | 4              | 6        | Montée       | Maxi montée    | ZERO    | 3 000                     |                            |                      |                              |
| 737300 | DEFAULT    | 4              | 7        | Accélération | Maxi montée    | ZERO    |                           | 1 444,8                    | 250                  |                              |
| 737300 | DEFAULT    | 4              | 8        | Montée       | Maxi montée    | ZERO    | 5 500                     |                            |                      |                              |
| 737300 | DEFAULT    | 4              | 9        | Montée       | Maxi montée    | ZERO    | 7 500                     |                            |                      |                              |
| 737300 | DEFAULT    | 4              | 10       | Montée       | Maxi montée    | ZERO    | 10 000                    |                            |                      |                              |
| 737300 | ICAO_A     | 1              | 1        | Décollage    | Maxi décollage | 5       |                           |                            |                      |                              |
| 737300 | ICAO_A     | 1              | 2        | Montée       | Maxi décollage | 5       | 1 500                     |                            |                      |                              |
| 737300 | ICAO_A     | 1              | 3        | Montée       | Maxi montée    | 5       | 3 000                     |                            |                      |                              |
| 737300 | ICAO_A     | 1              | 4        | Accélération | Maxi montée    | 5       |                           | 1 413,5                    | 184,9                |                              |
| 737300 | ICAO_A     | 1              | 5        | Accélération | Maxi montée    | 1       |                           | 1 601,4                    | 203,9                |                              |
| 737300 | ICAO_A     | 1              | 6        | Accélération | Maxi montée    | ZERO    |                           | 1 821,6                    | 250                  |                              |

| ACFTID | Profile_ID | Longueur phase | No étape | Type étape   | Indice poussée | Flap_ID | Altitude point final (ft) | Vitesse de montée (ft/min) | CAS point final (kt) | Pourcentage accélération (%) |
|--------|------------|----------------|----------|--------------|----------------|---------|---------------------------|----------------------------|----------------------|------------------------------|
| 737300 | ICAO_A     | 1              | 7        | Montée       | Maxi montée    | ZERO    | 5 500                     |                            |                      |                              |
| 737300 | ICAO_A     | 1              | 8        | Montée       | Maxi montée    | ZERO    | 7 500                     |                            |                      |                              |
| 737300 | ICAO_A     | 1              | 9        | Montée       | Maxi montée    | ZERO    | 10 000                    |                            |                      |                              |
| 737300 | ICAO_A     | 2              | 1        | Décollage    | Maxi décollage | 5       |                           |                            |                      |                              |
| 737300 | ICAO_A     | 2              | 2        | Montée       | Maxi décollage | 5       | 1 500                     |                            |                      |                              |
| 737300 | ICAO_A     | 2              | 3        | Montée       | Maxi montée    | 5       | 3 000                     |                            |                      |                              |
| 737300 | ICAO_A     | 2              | 4        | Accélération | Maxi montée    | 5       |                           | 1 332,5                    | 186,4                |                              |
| 737300 | ICAO_A     | 2              | 5        | Accélération | Maxi montée    | 1       |                           | 1 497,1                    | 203                  |                              |
| 737300 | ICAO_A     | 2              | 6        | Accélération | Maxi montée    | ZERO    |                           | 1 705,6                    | 250                  |                              |
| 737300 | ICAO_A     | 2              | 7        | Montée       | Maxi montée    | ZERO    | 5 500                     |                            |                      |                              |
| 737300 | ICAO_A     | 2              | 8        | Montée       | Maxi montée    | ZERO    | 7 500                     |                            |                      |                              |
| 737300 | ICAO_A     | 2              | 9        | Montée       | Maxi montée    | ZERO    | 10 000                    |                            |                      |                              |
| 737300 | ICAO_A     | 3              | 1        | Décollage    | Maxi décollage | 5       |                           |                            |                      |                              |
| 737300 | ICAO_A     | 3              | 2        | Montée       | Maxi décollage | 5       | 1 500                     |                            |                      |                              |
| 737300 | ICAO_A     | 3              | 3        | Montée       | Maxi montée    | 5       | 3 000                     |                            |                      |                              |
| 737300 | ICAO_A     | 3              | 4        | Accélération | Maxi montée    | 5       |                           | 1 247,9                    | 188,2                |                              |
| 737300 | ICAO_A     | 3              | 5        | Accélération | Maxi montée    | 1       |                           | 1 415,3                    | 211,7                |                              |
| 737300 | ICAO_A     | 3              | 6        | Accélération | Maxi montée    | ZERO    |                           | 1 609,9                    | 250                  |                              |
| 737300 | ICAO_A     | 3              | 7        | Montée       | Maxi montée    | ZERO    | 5 500                     |                            |                      |                              |
| 737300 | ICAO_A     | 3              | 8        | Montée       | Maxi montée    | ZERO    | 7 500                     |                            |                      |                              |

| ACFTID | Profile_ID | Longueur phase | No étape | Type étape   | Indice poussée | Flap_ID | Altitude point final (ft) | Vitesse de montée (ft/min) | CAS point final (kt) | Pourcentage accélération (%) |
|--------|------------|----------------|----------|--------------|----------------|---------|---------------------------|----------------------------|----------------------|------------------------------|
| 737300 | ICAO_A     | 3              | 9        | Montée       | Maxi montée    | ZERO    | 10 000                    |                            |                      |                              |
| 737300 | ICAO_A     | 4              | 1        | Décollage    | Maxi décollage | 5       |                           |                            |                      |                              |
| 737300 | ICAO_A     | 4              | 2        | Montée       | Maxi décollage | 5       | 1 500                     |                            |                      |                              |
| 737300 | ICAO_A     | 4              | 3        | Montée       | Maxi montée    | 5       | 3 000                     |                            |                      |                              |
| 737300 | ICAO_A     | 4              | 4        | Accélération | Maxi montée    | 5       |                           | 1 093,3                    | 192,2                |                              |
| 737300 | ICAO_A     | 4              | 5        | Accélération | Maxi montée    | 1       |                           | 1 223,7                    | 210,2                |                              |
| 737300 | ICAO_A     | 4              | 6        | Accélération | Maxi montée    | ZERO    |                           | 1 399,1                    | 250                  |                              |
| 737300 | ICAO_A     | 4              | 7        | Montée       | Maxi montée    | ZERO    | 5 500                     |                            |                      |                              |
| 737300 | ICAO_A     | 4              | 8        | Montée       | Maxi montée    | ZERO    | 7 500                     |                            |                      |                              |
| 737300 | ICAO_A     | 4              | 9        | Montée       | Maxi montée    | ZERO    | 10 000                    |                            |                      |                              |
| 737300 | ICAO_B     | 1              | 1        | Décollage    | Maxi décollage | 5       |                           |                            |                      |                              |
| 737300 | ICAO_B     | 1              | 2        | Montée       | Maxi décollage | 5       | 1 000                     |                            |                      |                              |
| 737300 | ICAO_B     | 1              | 3        | Accélération | Maxi décollage | 5       |                           | 1 560,7                    | 189,3                |                              |
| 737300 | ICAO_B     | 1              | 4        | Accélération | Maxi décollage | 1       |                           | 1 765,5                    | 206,2                |                              |
| 737300 | ICAO_B     | 1              | 5        | Accélération | Maxi décollage | ZERO    |                           | 1 897                      | 220,5                |                              |
| 737300 | ICAO_B     | 1              | 6        | Montée       | Maxi montée    | ZERO    | 3 000                     |                            |                      |                              |
| 737300 | ICAO_B     | 1              | 7        | Accélération | Maxi montée    | ZERO    |                           | 1 892,6                    | 250                  |                              |
| 737300 | ICAO_B     | 1              | 8        | Montée       | Maxi montée    | ZERO    | 5 500                     |                            |                      |                              |
| 737300 | ICAO_B     | 1              | 9        | Montée       | Maxi montée    | ZERO    | 7 500                     |                            |                      |                              |
| 737300 | ICAO_B     | 1              | 10       | Montée       | Maxi montée    | ZERO    | 10 000                    |                            |                      |                              |

| ACFTID | Profile_ID | Longueur phase | No étape | Type étape   | Indice poussée | Flap_ID | Altitude point final (ft) | Vitesse de montée (ft/min) | CAS point final (kt) | Pourcentage accélération (%) |
|--------|------------|----------------|----------|--------------|----------------|---------|---------------------------|----------------------------|----------------------|------------------------------|
| 737300 | ICAO_B     | 2              | 1        | Décollage    | Maxi décollage | 5       |                           |                            |                      |                              |
| 737300 | ICAO_B     | 2              | 2        | Montée       | Maxi décollage | 5       | 1 000                     |                            |                      |                              |
| 737300 | ICAO_B     | 2              | 3        | Accélération | Maxi décollage | 5       |                           | 1 468,7                    | 190,5                |                              |
| 737300 | ICAO_B     | 2              | 4        | Accélération | Maxi décollage | 1       |                           | 1 652,2                    | 205,8                |                              |
| 737300 | ICAO_B     | 2              | 5        | Accélération | Maxi décollage | ZERO    |                           | 1 773,2                    | 220,5                |                              |
| 737300 | ICAO_B     | 2              | 6        | Montée       | Maxi montée    | ZERO    | 3 000                     |                            |                      |                              |
| 737300 | ICAO_B     | 2              | 7        | Accélération | Maxi montée    | ZERO    |                           | 1 773,3                    | 250                  |                              |
| 737300 | ICAO_B     | 2              | 8        | Montée       | Maxi montée    | ZERO    | 5 500                     |                            |                      |                              |
| 737300 | ICAO_B     | 2              | 9        | Montée       | Maxi montée    | ZERO    | 7 500                     |                            |                      |                              |
| 737300 | ICAO_B     | 2              | 10       | Montée       | Maxi montée    | ZERO    | 10 000                    |                            |                      |                              |
| 737300 | ICAO_B     | 3              | 1        | Décollage    | Maxi décollage | 5       |                           |                            |                      |                              |
| 737300 | ICAO_B     | 3              | 2        | Montée       | Maxi décollage | 5       | 1 000                     |                            |                      |                              |
| 737300 | ICAO_B     | 3              | 3        | Accélération | Maxi décollage | 5       |                           | 1 380,4                    | 192,1                |                              |
| 737300 | ICAO_B     | 3              | 4        | Accélération | Maxi décollage | 1       |                           | 1 557,4                    | 213,8                |                              |
| 737300 | ICAO_B     | 3              | 5        | Accélération | Maxi décollage | ZERO    |                           | 1 688,1                    | 220,5                |                              |
| 737300 | ICAO_B     | 3              | 6        | Montée       | Maxi montée    | ZERO    | 3 000                     |                            |                      |                              |
| 737300 | ICAO_B     | 3              | 7        | Accélération | Maxi montée    | ZERO    |                           | 1 657,6                    | 250                  |                              |
| 737300 | ICAO_B     | 3              | 8        | Montée       | Maxi montée    | ZERO    | 5 500                     |                            |                      |                              |
| 737300 | ICAO_B     | 3              | 9        | Montée       | Maxi montée    | ZERO    | 7 500                     |                            |                      |                              |
| 737300 | ICAO_B     | 3              | 10       | Montée       | Maxi montée    | ZERO    | 10 000                    |                            |                      |                              |

| ACFTID | Profile_ID | Longueur phase | No étape | Type étape   | Indice poussée | Flap_ID | Altitude point final (ft) | Vitesse de montée (ft/min) | CAS point final (kt) | Pourcentage accélération (%) |
|--------|------------|----------------|----------|--------------|----------------|---------|---------------------------|----------------------------|----------------------|------------------------------|
| 737300 | ICAO_B     | 4              | 1        | Décollage    | Maxi décollage | 5       |                           |                            |                      |                              |
| 737300 | ICAO_B     | 4              | 2        | Montée       | Maxi décollage | 5       | 1 000                     |                            |                      |                              |
| 737300 | ICAO_B     | 4              | 3        | Accélération | Maxi décollage | 5       |                           | 1 217,8                    | 195,7                |                              |
| 737300 | ICAO_B     | 4              | 4        | Accélération | Maxi décollage | 1       |                           | 1 361,4                    | 212                  |                              |
| 737300 | ICAO_B     | 4              | 5        | Accélération | Maxi décollage | ZERO    |                           | 1 457,6                    | 220,5                |                              |
| 737300 | ICAO_B     | 4              | 6        | Montée       | Maxi montée    | ZERO    | 3 000                     |                            |                      |                              |
| 737300 | ICAO_B     | 4              | 7        | Accélération | Maxi montée    | ZERO    |                           | 1 444,8                    | 250                  |                              |
| 737300 | ICAO_B     | 4              | 8        | Montée       | Maxi montée    | ZERO    | 5 500                     |                            |                      |                              |
| 737300 | ICAO_B     | 4              | 9        | Montée       | Maxi montée    | ZERO    | 7 500                     |                            |                      |                              |
| 737300 | ICAO_B     | 4              | 10       | Montée       | Maxi montée    | ZERO    | 10 000                    |                            |                      |                              |
| 7373B2 | DEFAULT    | 1              | 1        | Décollage    | Maxi décollage | 5       |                           |                            |                      |                              |
| 7373B2 | DEFAULT    | 1              | 2        | Montée       | Maxi décollage | 5       | 1 000                     |                            |                      |                              |
| 7373B2 | DEFAULT    | 1              | 3        | Accélération | Maxi montée    | T_05    |                           | 1 671,2                    | 191,9                |                              |
| 7373B2 | DEFAULT    | 1              | 4        | Accélération | Maxi montée    | T_01    |                           | 1 900                      | 209,1                |                              |
| 7373B2 | DEFAULT    | 1              | 5        | Montée       | Maxi montée    | ZERO    | 3 000                     |                            |                      |                              |
| 7373B2 | DEFAULT    | 1              | 6        | Accélération | Maxi montée    | ZERO    |                           | 2 058,2                    | 250                  |                              |
| 7373B2 | DEFAULT    | 1              | 7        | Montée       | Maxi montée    | ZERO    | 5 500                     |                            |                      |                              |
| 7373B2 | DEFAULT    | 1              | 8        | Montée       | Maxi montée    | ZERO    | 7 500                     |                            |                      |                              |
| 7373B2 | DEFAULT    | 1              | 9        | Montée       | Maxi montée    | ZERO    | 10 000                    |                            |                      |                              |
| 7373B2 | DEFAULT    | 2              | 1        | Décollage    | Maxi décollage | 5       |                           |                            |                      |                              |

| ACFTID | Profile_ID | Longueur phase | No étape | Type étape   | Indice poussée | Flap_ID | Altitude point final (ft) | Vitesse de montée (ft/min) | CAS point final (kt) | Pourcentage accélération (%) |
|--------|------------|----------------|----------|--------------|----------------|---------|---------------------------|----------------------------|----------------------|------------------------------|
| 7373B2 | DEFAULT    | 2              | 2        | Montée       | Maxi décollage | 5       | 1 000                     |                            |                      |                              |
| 7373B2 | DEFAULT    | 2              | 3        | Accélération | Maxi montée    | T_05    |                           | 1 575,5                    | 192,6                |                              |
| 7373B2 | DEFAULT    | 2              | 4        | Accélération | Maxi montée    | T_01    |                           | 1 786                      | 208,8                |                              |
| 7373B2 | DEFAULT    | 2              | 5        | Montée       | Maxi montée    | ZERO    | 3 000                     |                            |                      |                              |
| 7373B2 | DEFAULT    | 2              | 6        | Accélération | Maxi montée    | ZERO    |                           | 1 934,6                    | 250                  |                              |
| 7373B2 | DEFAULT    | 2              | 7        | Montée       | Maxi montée    | ZERO    | 5 500                     |                            |                      |                              |
| 7373B2 | DEFAULT    | 2              | 8        | Montée       | Maxi montée    | ZERO    | 7 500                     |                            |                      |                              |
| 7373B2 | DEFAULT    | 2              | 9        | Montée       | Maxi montée    | ZERO    | 10 000                    |                            |                      |                              |
| 7373B2 | DEFAULT    | 3              | 1        | Décollage    | Maxi décollage | 5       |                           |                            |                      |                              |
| 7373B2 | DEFAULT    | 3              | 2        | Montée       | Maxi décollage | 5       | 1 000                     |                            |                      |                              |
| 7373B2 | DEFAULT    | 3              | 3        | Accélération | Maxi montée    | T_05    |                           | 1 483,2                    | 194                  |                              |
| 7373B2 | DEFAULT    | 3              | 4        | Accélération | Maxi montée    | T_01    |                           | 1 675,9                    | 215,3                |                              |
| 7373B2 | DEFAULT    | 3              | 5        | Montée       | Maxi montée    | ZERO    | 3 000                     |                            |                      |                              |
| 7373B2 | DEFAULT    | 3              | 6        | Accélération | Maxi montée    | ZERO    |                           | 1 828,7                    | 250                  |                              |
| 7373B2 | DEFAULT    | 3              | 7        | Montée       | Maxi montée    | ZERO    | 5 500                     |                            |                      |                              |
| 7373B2 | DEFAULT    | 3              | 8        | Montée       | Maxi montée    | ZERO    | 7 500                     |                            |                      |                              |
| 7373B2 | DEFAULT    | 3              | 9        | Montée       | Maxi montée    | ZERO    | 10 000                    |                            |                      |                              |
| 7373B2 | DEFAULT    | 4              | 1        | Décollage    | Maxi décollage | 5       |                           |                            |                      |                              |
| 7373B2 | DEFAULT    | 4              | 2        | Montée       | Maxi décollage | 5       | 1 000                     |                            |                      |                              |
| 7373B2 | DEFAULT    | 4              | 3        | Accélération | Maxi montée    | T_05    |                           | 1 314,1                    | 197,8                |                              |

| ACFTID | Profile_ID | Longueur phase | No étape | Type étape   | Indice poussée | Flap_ID | Altitude point final (ft) | Vitesse de montée (ft/min) | CAS point final (kt) | Pourcentage accélération (%) |
|--------|------------|----------------|----------|--------------|----------------|---------|---------------------------|----------------------------|----------------------|------------------------------|
| 7373B2 | DEFAULT    | 4              | 4        | Accélération | Maxi montée    | T_01    |                           | 1 478,4                    | 213,5                |                              |
| 7373B2 | DEFAULT    | 4              | 5        | Montée       | Maxi montée    | ZERO    | 3 000                     |                            |                      |                              |
| 7373B2 | DEFAULT    | 4              | 6        | Accélération | Maxi montée    | ZERO    |                           | 1 597,8                    | 250                  |                              |
| 7373B2 | DEFAULT    | 4              | 7        | Montée       | Maxi montée    | ZERO    | 5 500                     |                            |                      |                              |
| 7373B2 | DEFAULT    | 4              | 8        | Montée       | Maxi montée    | ZERO    | 7 500                     |                            |                      |                              |
| 7373B2 | DEFAULT    | 4              | 9        | Montée       | Maxi montée    | ZERO    | 10 000                    |                            |                      |                              |
| 7373B2 | DEFAULT    | M              | 1        | Décollage    | Maxi décollage | 5       |                           |                            |                      |                              |
| 7373B2 | DEFAULT    | M              | 2        | Montée       | Maxi décollage | 5       | 1 000                     |                            |                      |                              |
| 7373B2 | DEFAULT    | M              | 3        | Accélération | Maxi montée    | T_05    |                           | 1 214,7                    | 200,6                |                              |
| 7373B2 | DEFAULT    | M              | 4        | Accélération | Maxi montée    | T_01    |                           | 1 372,5                    | 222,3                |                              |
| 7373B2 | DEFAULT    | M              | 5        | Montée       | Maxi montée    | ZERO    | 3 000                     |                            |                      |                              |
| 7373B2 | DEFAULT    | M              | 6        | Accélération | Maxi montée    | ZERO    |                           | 1 493,4                    | 250                  |                              |
| 7373B2 | DEFAULT    | M              | 7        | Montée       | Maxi montée    | ZERO    | 5 500                     |                            |                      |                              |
| 7373B2 | DEFAULT    | M              | 8        | Montée       | Maxi montée    | ZERO    | 7 500                     |                            |                      |                              |
| 7373B2 | DEFAULT    | M              | 9        | Montée       | Maxi montée    | ZERO    | 10 000                    |                            |                      |                              |
| 7373B2 | ICAO_A     | 1              | 1        | Décollage    | Maxi décollage | 5       |                           |                            |                      |                              |
| 7373B2 | ICAO_A     | 1              | 2        | Montée       | Maxi décollage | 5       | 1 500                     |                            |                      |                              |
| 7373B2 | ICAO_A     | 1              | 3        | Montée       | Maxi montée    | 5       | 3 000                     |                            |                      |                              |
| 7373B2 | ICAO_A     | 1              | 4        | Accélération | Maxi montée    | T_05    |                           | 1 607,4                    | 188,9                |                              |
| 7373B2 | ICAO_A     | 1              | 5        | Accélération | Maxi montée    | T_01    |                           | 1 827,6                    | 206                  |                              |

| ACFTID | Profile_ID | Longueur phase | No étape | Type étape   | Indice poussée | Flap_ID | Altitude point final (ft) | Vitesse de montée (ft/min) | CAS point final (kt) | Pourcentage accélération (%) |
|--------|------------|----------------|----------|--------------|----------------|---------|---------------------------|----------------------------|----------------------|------------------------------|
| 7373B2 | ICAO_A     | 1              | 6        | Accélération | Maxi montée    | ZERO    |                           | 2 030,2                    | 250                  |                              |
| 7373B2 | ICAO_A     | 1              | 7        | Montée       | Maxi montée    | ZERO    | 5 500                     |                            |                      |                              |
| 7373B2 | ICAO_A     | 1              | 8        | Montée       | Maxi montée    | ZERO    | 7 500                     |                            |                      |                              |
| 7373B2 | ICAO_A     | 1              | 9        | Montée       | Maxi montée    | ZERO    | 10 000                    |                            |                      |                              |
| 7373B2 | ICAO_A     | 2              | 1        | Décollage    | Maxi décollage | 5       |                           |                            |                      |                              |
| 7373B2 | ICAO_A     | 2              | 2        | Montée       | Maxi décollage | 5       | 1 500                     |                            |                      |                              |
| 7373B2 | ICAO_A     | 2              | 3        | Montée       | Maxi montée    | 5       | 3 000                     |                            |                      |                              |
| 7373B2 | ICAO_A     | 2              | 4        | Accélération | Maxi montée    | T_05    |                           | 1 507,4                    | 188,9                |                              |
| 7373B2 | ICAO_A     | 2              | 5        | Accélération | Maxi montée    | T_01    |                           | 1 703,4                    | 206                  |                              |
| 7373B2 | ICAO_A     | 2              | 6        | Accélération | Maxi montée    | ZERO    |                           | 1 909,1                    | 250                  |                              |
| 7373B2 | ICAO_A     | 2              | 7        | Montée       | Maxi montée    | ZERO    | 5 500                     |                            |                      |                              |
| 7373B2 | ICAO_A     | 2              | 8        | Montée       | Maxi montée    | ZERO    | 7 500                     |                            |                      |                              |
| 7373B2 | ICAO_A     | 2              | 9        | Montée       | Maxi montée    | ZERO    | 10 000                    |                            |                      |                              |
| 7373B2 | ICAO_A     | 3              | 1        | Décollage    | Maxi décollage | 5       |                           |                            |                      |                              |
| 7373B2 | ICAO_A     | 3              | 2        | Montée       | Maxi décollage | 5       | 1 500                     |                            |                      |                              |
| 7373B2 | ICAO_A     | 3              | 3        | Montée       | Maxi montée    | 5       | 3 000                     |                            |                      |                              |
| 7373B2 | ICAO_A     | 3              | 4        | Accélération | Maxi montée    | T_05    |                           | 1 417,2                    | 191,3                |                              |
| 7373B2 | ICAO_A     | 3              | 5        | Accélération | Maxi montée    | T_01    |                           | 1 604,3                    | 213,7                |                              |
| 7373B2 | ICAO_A     | 3              | 6        | Accélération | Maxi montée    | ZERO    |                           | 1 807,6                    | 250                  |                              |
| 7373B2 | ICAO_A     | 3              | 7        | Montée       | Maxi montée    | ZERO    | 5 500                     |                            |                      |                              |

| ACFTID | Profile_ID | Longueur phase | No étape | Type étape   | Indice poussée | Flap_ID | Altitude point final (ft) | Vitesse de montée (ft/min) | CAS point final (kt) | Pourcentage accélération (%) |
|--------|------------|----------------|----------|--------------|----------------|---------|---------------------------|----------------------------|----------------------|------------------------------|
| 7373B2 | ICAO_A     | 3              | 8        | Montée       | Maxi montée    | ZERO    | 7 500                     |                            |                      |                              |
| 7373B2 | ICAO_A     | 3              | 9        | Montée       | Maxi montée    | ZERO    | 10 000                    |                            |                      |                              |
| 7373B2 | ICAO_A     | 4              | 1        | Décollage    | Maxi décollage | 5       |                           |                            |                      |                              |
| 7373B2 | ICAO_A     | 4              | 2        | Montée       | Maxi décollage | 5       | 1 500                     |                            |                      |                              |
| 7373B2 | ICAO_A     | 4              | 3        | Montée       | Maxi montée    | 5       | 3 000                     |                            |                      |                              |
| 7373B2 | ICAO_A     | 4              | 4        | Accélération | Maxi montée    | T_05    |                           | 1 255,2                    | 195,4                |                              |
| 7373B2 | ICAO_A     | 4              | 5        | Accélération | Maxi montée    | T_01    |                           | 1 411,8                    | 212,1                |                              |
| 7373B2 | ICAO_A     | 4              | 6        | Accélération | Maxi montée    | ZERO    |                           | 1 576,8                    | 250                  |                              |
| 7373B2 | ICAO_A     | 4              | 7        | Montée       | Maxi montée    | ZERO    | 5 500                     |                            |                      |                              |
| 7373B2 | ICAO_A     | 4              | 8        | Montée       | Maxi montée    | ZERO    | 7 500                     |                            |                      |                              |
| 7373B2 | ICAO_A     | 4              | 9        | Montée       | Maxi montée    | ZERO    | 10 000                    |                            |                      |                              |
| 7373B2 | ICAO_A     | M              | 1        | Décollage    | Maxi décollage | 5       |                           |                            |                      |                              |
| 7373B2 | ICAO_A     | M              | 2        | Montée       | Maxi décollage | 5       | 1 500                     |                            |                      |                              |
| 7373B2 | ICAO_A     | M              | 3        | Montée       | Maxi montée    | 5       | 3 000                     |                            |                      |                              |
| 7373B2 | ICAO_A     | M              | 4        | Accélération | Maxi montée    | T_05    |                           | 1 163,2                    | 198,2                |                              |
| 7373B2 | ICAO_A     | M              | 5        | Accélération | Maxi montée    | T_01    |                           | 1 309,7                    | 220,9                |                              |
| 7373B2 | ICAO_A     | M              | 6        | Accélération | Maxi montée    | ZERO    |                           | 1 469,1                    | 250                  |                              |
| 7373B2 | ICAO_A     | M              | 7        | Montée       | Maxi montée    | ZERO    | 5 500                     |                            |                      |                              |
| 7373B2 | ICAO_A     | M              | 8        | Montée       | Maxi montée    | ZERO    | 7 500                     |                            |                      |                              |
| 7373B2 | ICAO_A     | M              | 9        | Montée       | Maxi montée    | ZERO    | 10 000                    |                            |                      |                              |

| ACFTID | Profile_ID | Longueur phase | No étape | Type étape   | Indice poussée | Flap_ID | Altitude point final (ft) | Vitesse de montée (ft/min) | CAS point final (kt) | Pourcentage_accélération (%) |
|--------|------------|----------------|----------|--------------|----------------|---------|---------------------------|----------------------------|----------------------|------------------------------|
| 7373B2 | ICAO_B     | 1              | 1        | Décollage    | Maxi décollage | 5       |                           |                            |                      |                              |
| 7373B2 | ICAO_B     | 1              | 2        | Montée       | Maxi décollage | 5       | 1 000                     |                            |                      |                              |
| 7373B2 | ICAO_B     | 1              | 3        | Accélération | Maxi décollage | T_05    |                           | 1 881                      | 195,6                |                              |
| 7373B2 | ICAO_B     | 1              | 4        | Accélération | Maxi décollage | T_01    |                           | 2 138,5                    | 214,5                |                              |
| 7373B2 | ICAO_B     | 1              | 5        | Montée       | Maxi montée    | ZERO    | 3 000                     |                            |                      |                              |
| 7373B2 | ICAO_B     | 1              | 6        | Accélération | Maxi montée    | ZERO    |                           | 2 075,4                    | 250                  |                              |
| 7373B2 | ICAO_B     | 1              | 7        | Montée       | Maxi montée    | ZERO    | 5 500                     |                            |                      |                              |
| 7373B2 | ICAO_B     | 1              | 8        | Montée       | Maxi montée    | ZERO    | 7 500                     |                            |                      |                              |
| 7373B2 | ICAO_B     | 1              | 9        | Montée       | Maxi montée    | ZERO    | 10 000                    |                            |                      |                              |
| 7373B2 | ICAO_B     | 2              | 1        | Décollage    | Maxi décollage | 5       |                           |                            |                      |                              |
| 7373B2 | ICAO_B     | 2              | 2        | Montée       | Maxi décollage | 5       | 1 000                     |                            |                      |                              |
| 7373B2 | ICAO_B     | 2              | 3        | Accélération | Maxi décollage | T_05    |                           | 1 774,2                    | 196,2                |                              |
| 7373B2 | ICAO_B     | 2              | 4        | Accélération | Maxi décollage | T_01    |                           | 2 009,3                    | 214                  |                              |
| 7373B2 | ICAO_B     | 2              | 5        | Montée       | Maxi montée    | ZERO    | 3 000                     |                            |                      |                              |
| 7373B2 | ICAO_B     | 2              | 6        | Accélération | Maxi montée    | ZERO    |                           | 1 950,7                    | 250                  |                              |
| 7373B2 | ICAO_B     | 2              | 7        | Montée       | Maxi montée    | ZERO    | 5 500                     |                            |                      |                              |
| 7373B2 | ICAO_B     | 2              | 8        | Montée       | Maxi montée    | ZERO    | 7 500                     |                            |                      |                              |
| 7373B2 | ICAO_B     | 2              | 9        | Montée       | Maxi montée    | ZERO    | 10 000                    |                            |                      |                              |
| 7373B2 | ICAO_B     | 3              | 1        | Décollage    | Maxi décollage | 5       |                           |                            |                      |                              |
| 7373B2 | ICAO_B     | 3              | 2        | Montée       | Maxi décollage | 5       | 1 000                     |                            |                      |                              |

| ACFTID | Profile_ID | Longueur phase | No étape | Type étape   | Indice poussée | Flap_ID | Altitude point final (ft) | Vitesse de montée (ft/min) | CAS point final (kt) | Pourcentage accélération (%) |
|--------|------------|----------------|----------|--------------|----------------|---------|---------------------------|----------------------------|----------------------|------------------------------|
| 7373B2 | ICAO_B     | 3              | 3        | Accélération | Maxi décollage | T_05    |                           | 1 674,8                    | 197,4                |                              |
| 7373B2 | ICAO_B     | 3              | 4        | Accélération | Maxi décollage | T_01    |                           | 1 895,7                    | 217                  |                              |
| 7373B2 | ICAO_B     | 3              | 5        | Montée       | Maxi montée    | ZERO    | 3 000                     |                            |                      |                              |
| 7373B2 | ICAO_B     | 3              | 6        | Accélération | Maxi montée    | ZERO    |                           | 1 835,6                    | 250                  |                              |
| 7373B2 | ICAO_B     | 3              | 7        | Montée       | Maxi montée    | ZERO    | 5 500                     |                            |                      |                              |
| 7373B2 | ICAO_B     | 3              | 8        | Montée       | Maxi montée    | ZERO    | 7 500                     |                            |                      |                              |
| 7373B2 | ICAO_B     | 3              | 9        | Montée       | Maxi montée    | ZERO    | 10 000                    |                            |                      |                              |
| 7373B2 | ICAO_B     | 4              | 1        | Décollage    | Maxi décollage | 5       |                           |                            |                      |                              |
| 7373B2 | ICAO_B     | 4              | 2        | Montée       | Maxi décollage | 5       | 1 000                     |                            |                      |                              |
| 7373B2 | ICAO_B     | 4              | 3        | Accélération | Maxi décollage | T_05    |                           | 1 494,5                    | 200,9                |                              |
| 7373B2 | ICAO_B     | 4              | 4        | Accélération | Maxi décollage | T_01    |                           | 1 672,5                    | 215,5                |                              |
| 7373B2 | ICAO_B     | 4              | 5        | Montée       | Maxi montée    | ZERO    | 3 000                     |                            |                      |                              |
| 7373B2 | ICAO_B     | 4              | 6        | Accélération | Maxi montée    | ZERO    |                           | 1 606,9                    | 250                  |                              |
| 7373B2 | ICAO_B     | 4              | 7        | Montée       | Maxi montée    | ZERO    | 5 500                     |                            |                      |                              |
| 7373B2 | ICAO_B     | 4              | 8        | Montée       | Maxi montée    | ZERO    | 7 500                     |                            |                      |                              |
| 7373B2 | ICAO_B     | 4              | 9        | Montée       | Maxi montée    | ZERO    | 10 000                    |                            |                      |                              |
| 7373B2 | ICAO_B     | M              | 1        | Décollage    | Maxi décollage | 5       |                           |                            |                      |                              |
| 7373B2 | ICAO_B     | M              | 2        | Montée       | Maxi décollage | 5       | 1 000                     |                            |                      |                              |
| 7373B2 | ICAO_B     | M              | 3        | Accélération | Maxi décollage | T_05    |                           | 1 387,7                    | 203,4                |                              |
| 7373B2 | ICAO_B     | M              | 4        | Accélération | Maxi décollage | T_01    |                           | 1 557,1                    | 223,7                |                              |

| ACFTID | Profile_ID | Longueur phase | No étape | Type étape   | Indice poussée | Flap_ID | Altitude point final (ft) | Vitesse de montée (ft/min) | CAS point final (kt) | Pourcentage accélération (%) |
|--------|------------|----------------|----------|--------------|----------------|---------|---------------------------|----------------------------|----------------------|------------------------------|
| 7373B2 | ICAO_B     | M              | 5        | Montée       | Maxi montée    | ZERO    | 3 000                     |                            |                      |                              |
| 7373B2 | ICAO_B     | M              | 6        | Accélération | Maxi montée    | ZERO    |                           | 1 493,2                    | 250                  |                              |
| 7373B2 | ICAO_B     | M              | 7        | Montée       | Maxi montée    | ZERO    | 5 500                     |                            |                      |                              |
| 7373B2 | ICAO_B     | M              | 8        | Montée       | Maxi montée    | ZERO    | 7 500                     |                            |                      |                              |
| 7373B2 | ICAO_B     | M              | 9        | Montée       | Maxi montée    | ZERO    | 10 000                    |                            |                      |                              |
| 737400 | DEFAULT    | 1              | 1        | Décollage    | Maxi décollage | 5       |                           |                            |                      |                              |
| 737400 | DEFAULT    | 1              | 2        | Montée       | Maxi décollage | 5       | 1 000                     |                            |                      |                              |
| 737400 | DEFAULT    | 1              | 3        | Accélération | Maxi montée    | 5       |                           | 1 715,3                    | 198,8                |                              |
| 737400 | DEFAULT    | 1              | 4        | Accélération | Maxi montée    | 1       |                           | 1 894,7                    | 210,5                |                              |
| 737400 | DEFAULT    | 1              | 5        | Montée       | Maxi montée    | ZERO    | 3 000                     |                            |                      |                              |
| 737400 | DEFAULT    | 1              | 6        | Accélération | Maxi montée    | ZERO    |                           | 2 067,4                    | 250                  |                              |
| 737400 | DEFAULT    | 1              | 7        | Montée       | Maxi montée    | ZERO    | 5 500                     |                            |                      |                              |
| 737400 | DEFAULT    | 1              | 8        | Montée       | Maxi montée    | ZERO    | 7 500                     |                            |                      |                              |
| 737400 | DEFAULT    | 1              | 9        | Montée       | Maxi montée    | ZERO    | 10 000                    |                            |                      |                              |
| 737400 | DEFAULT    | 2              | 1        | Décollage    | Maxi décollage | 5       |                           |                            |                      |                              |
| 737400 | DEFAULT    | 2              | 2        | Montée       | Maxi décollage | 5       | 1 000                     |                            |                      |                              |
| 737400 | DEFAULT    | 2              | 3        | Accélération | Maxi montée    | 5       |                           | 1 616                      | 199,8                |                              |
| 737400 | DEFAULT    | 2              | 4        | Accélération | Maxi montée    | 1       |                           | 1 786,6                    | 210,5                |                              |
| 737400 | DEFAULT    | 2              | 5        | Montée       | Maxi montée    | ZERO    | 3 000                     |                            |                      |                              |
| 737400 | DEFAULT    | 2              | 6        | Accélération | Maxi montée    | ZERO    |                           | 1 939,1                    | 250                  |                              |

| ACFTID | Profile_ID | Longueur phase | No étape | Type étape   | Indice poussée | Flap_ID | Altitude point final (ft) | Vitesse de montée (ft/min) | CAS point final (kt) | Pourcentage_accélération (%) |
|--------|------------|----------------|----------|--------------|----------------|---------|---------------------------|----------------------------|----------------------|------------------------------|
| 737400 | DEFAULT    | 2              | 7        | Montée       | Maxi montée    | ZERO    | 5 500                     |                            |                      |                              |
| 737400 | DEFAULT    | 2              | 8        | Montée       | Maxi montée    | ZERO    | 7 500                     |                            |                      |                              |
| 737400 | DEFAULT    | 2              | 9        | Montée       | Maxi montée    | ZERO    | 10 000                    |                            |                      |                              |
| 737400 | DEFAULT    | 3              | 1        | Décollage    | Maxi décollage | 5       |                           |                            |                      |                              |
| 737400 | DEFAULT    | 3              | 2        | Montée       | Maxi décollage | 5       | 1 000                     |                            |                      |                              |
| 737400 | DEFAULT    | 3              | 3        | Accélération | Maxi montée    | 5       |                           | 1 516,6                    | 201                  |                              |
| 737400 | DEFAULT    | 3              | 4        | Accélération | Maxi montée    | 1       |                           | 1 660,9                    | 210,5                |                              |
| 737400 | DEFAULT    | 3              | 5        | Montée       | Maxi montée    | ZERO    | 3 000                     |                            |                      |                              |
| 737400 | DEFAULT    | 3              | 6        | Accélération | Maxi montée    | ZERO    |                           | 1 807,5                    | 250                  |                              |
| 737400 | DEFAULT    | 3              | 7        | Montée       | Maxi montée    | ZERO    | 5 500                     |                            |                      |                              |
| 737400 | DEFAULT    | 3              | 8        | Montée       | Maxi montée    | ZERO    | 7 500                     |                            |                      |                              |
| 737400 | DEFAULT    | 3              | 9        | Montée       | Maxi montée    | ZERO    | 10 000                    |                            |                      |                              |
| 737400 | DEFAULT    | 4              | 1        | Décollage    | Maxi décollage | 5       |                           |                            |                      |                              |
| 737400 | DEFAULT    | 4              | 2        | Montée       | Maxi décollage | 5       | 1 000                     |                            |                      |                              |
| 737400 | DEFAULT    | 4              | 3        | Accélération | Maxi montée    | 5       |                           | 1 370,2                    | 203,9                |                              |
| 737400 | DEFAULT    | 4              | 4        | Accélération | Maxi montée    | 1       |                           | 1 504,1                    | 210,5                |                              |
| 737400 | DEFAULT    | 4              | 5        | Montée       | Maxi montée    | ZERO    | 3 000                     |                            |                      |                              |
| 737400 | DEFAULT    | 4              | 6        | Accélération | Maxi montée    | ZERO    |                           | 1 609,1                    | 250                  |                              |
| 737400 | DEFAULT    | 4              | 7        | Montée       | Maxi montée    | ZERO    | 5 500                     |                            |                      |                              |
| 737400 | DEFAULT    | 4              | 8        | Montée       | Maxi montée    | ZERO    | 7 500                     |                            |                      |                              |

| ACFTID | Profile_ID | Longueur phase | No étape | Type étape   | Indice poussée | Flap_ID | Altitude point final (ft) | Vitesse de montée (ft/min) | CAS point final (kt) | Pourcentage accélération (%) |
|--------|------------|----------------|----------|--------------|----------------|---------|---------------------------|----------------------------|----------------------|------------------------------|
| 737400 | DEFAULT    | 4              | 9        | Montée       | Maxi montée    | ZERO    | 10 000                    |                            |                      |                              |
| 737400 | DEFAULT    | M              | 1        | Décollage    | Maxi décollage | 5       |                           |                            |                      |                              |
| 737400 | DEFAULT    | M              | 2        | Montée       | Maxi décollage | 5       | 1 000                     |                            |                      |                              |
| 737400 | DEFAULT    | M              | 3        | Accélération | Maxi montée    | 5       |                           | 1 225,8                    | 207,5                |                              |
| 737400 | DEFAULT    | M              | 4        | Accélération | Maxi montée    | 1       |                           | 1 312,5                    | 210,5                |                              |
| 737400 | DEFAULT    | M              | 5        | Montée       | Maxi montée    | ZERO    | 3 000                     |                            |                      |                              |
| 737400 | DEFAULT    | M              | 6        | Accélération | Maxi montée    | ZERO    |                           | 1 414,3                    | 250                  |                              |
| 737400 | DEFAULT    | M              | 7        | Montée       | Maxi montée    | ZERO    | 5 500                     |                            |                      |                              |
| 737400 | DEFAULT    | M              | 8        | Montée       | Maxi montée    | ZERO    | 7 500                     |                            |                      |                              |
| 737400 | DEFAULT    | M              | 9        | Montée       | Maxi montée    | ZERO    | 10 000                    |                            |                      |                              |
| 737400 | ICAO_A     | 1              | 1        | Décollage    | Maxi décollage | 5       |                           |                            |                      |                              |
| 737400 | ICAO_A     | 1              | 2        | Montée       | Maxi décollage | 5       | 1 500                     |                            |                      |                              |
| 737400 | ICAO_A     | 1              | 3        | Montée       | Maxi montée    | 5       | 3 000                     |                            |                      |                              |
| 737400 | ICAO_A     | 1              | 4        | Accélération | Maxi montée    | 5       |                           | 1 641,7                    | 195,7                |                              |
| 737400 | ICAO_A     | 1              | 5        | Accélération | Maxi montée    | 1       |                           | 1 830                      | 210,1                |                              |
| 737400 | ICAO_A     | 1              | 6        | Accélération | Maxi montée    | ZERO    |                           | 2 058,4                    | 250                  |                              |
| 737400 | ICAO_A     | 1              | 7        | Montée       | Maxi montée    | ZERO    | 5 500                     |                            |                      |                              |
| 737400 | ICAO_A     | 1              | 8        | Montée       | Maxi montée    | ZERO    | 7 500                     |                            |                      |                              |
| 737400 | ICAO_A     | 1              | 9        | Montée       | Maxi montée    | ZERO    | 10 000                    |                            |                      |                              |
| 737400 | ICAO_A     | 2              | 1        | Décollage    | Maxi décollage | 5       |                           |                            |                      |                              |

| ACFTID | Profile_ID | Longueur phase | No étape | Type étape   | Indice poussée | Flap_ID | Altitude point final (ft) | Vitesse de montée (ft/min) | CAS point final (kt) | Pourcentage accélération (%) |
|--------|------------|----------------|----------|--------------|----------------|---------|---------------------------|----------------------------|----------------------|------------------------------|
| 737400 | ICAO_A     | 2              | 2        | Montée       | Maxi décollage | 5       | 1 500                     |                            |                      |                              |
| 737400 | ICAO_A     | 2              | 3        | Montée       | Maxi montée    | 5       | 3 000                     |                            |                      |                              |
| 737400 | ICAO_A     | 2              | 4        | Accélération | Maxi montée    | 5       |                           | 1 546                      | 196,8                |                              |
| 737400 | ICAO_A     | 2              | 5        | Accélération | Maxi montée    | 1       |                           | 1 702,5                    | 210,1                |                              |
| 737400 | ICAO_A     | 2              | 6        | Accélération | Maxi montée    | ZERO    |                           | 1 919,2                    | 250                  |                              |
| 737400 | ICAO_A     | 2              | 7        | Montée       | Maxi montée    | ZERO    | 5 500                     |                            |                      |                              |
| 737400 | ICAO_A     | 2              | 8        | Montée       | Maxi montée    | ZERO    | 7 500                     |                            |                      |                              |
| 737400 | ICAO_A     | 2              | 9        | Montée       | Maxi montée    | ZERO    | 10 000                    |                            |                      |                              |
| 737400 | ICAO_A     | 3              | 1        | Décollage    | Maxi décollage | 5       |                           |                            |                      |                              |
| 737400 | ICAO_A     | 3              | 2        | Montée       | Maxi décollage | 5       | 1 500                     |                            |                      |                              |
| 737400 | ICAO_A     | 3              | 3        | Montée       | Maxi montée    | 5       | 3 000                     |                            |                      |                              |
| 737400 | ICAO_A     | 3              | 4        | Accélération | Maxi montée    | 5       |                           | 1 446,6                    | 198,2                |                              |
| 737400 | ICAO_A     | 3              | 5        | Accélération | Maxi montée    | 1       |                           | 1 592,3                    | 210,3                |                              |
| 737400 | ICAO_A     | 3              | 6        | Accélération | Maxi montée    | ZERO    |                           | 1 789,6                    | 250                  |                              |
| 737400 | ICAO_A     | 3              | 7        | Montée       | Maxi montée    | ZERO    | 5 500                     |                            |                      |                              |
| 737400 | ICAO_A     | 3              | 8        | Montée       | Maxi montée    | ZERO    | 7 500                     |                            |                      |                              |
| 737400 | ICAO_A     | 3              | 9        | Montée       | Maxi montée    | ZERO    | 10 000                    |                            |                      |                              |
| 737400 | ICAO_A     | 4              | 1        | Décollage    | Maxi décollage | 5       |                           |                            |                      |                              |
| 737400 | ICAO_A     | 4              | 2        | Montée       | Maxi décollage | 5       | 1 500                     |                            |                      |                              |
| 737400 | ICAO_A     | 4              | 3        | Montée       | Maxi montée    | 5       | 3 000                     |                            |                      |                              |

| ACFTID | Profile_ID | Longueur phase | No étape | Type étape   | Indice poussée | Flap_ID | Altitude point final (ft) | Vitesse de montée (ft/min) | CAS point final (kt) | Pourcentage accélération (%) |
|--------|------------|----------------|----------|--------------|----------------|---------|---------------------------|----------------------------|----------------------|------------------------------|
| 737400 | ICAO_A     | 4              | 4        | Accélération | Maxi montée    | 5       |                           | 1 303,9                    | 201,3                |                              |
| 737400 | ICAO_A     | 4              | 5        | Accélération | Maxi montée    | 1       |                           | 1 426,1                    | 210,3                |                              |
| 737400 | ICAO_A     | 4              | 6        | Accélération | Maxi montée    | ZERO    |                           | 1 598,5                    | 250                  |                              |
| 737400 | ICAO_A     | 4              | 7        | Montée       | Maxi montée    | ZERO    | 5 500                     |                            |                      |                              |
| 737400 | ICAO_A     | 4              | 8        | Montée       | Maxi montée    | ZERO    | 7 500                     |                            |                      |                              |
| 737400 | ICAO_A     | 4              | 9        | Montée       | Maxi montée    | ZERO    | 10 000                    |                            |                      |                              |
| 737400 | ICAO_A     | M              | 1        | Décollage    | Maxi décollage | 5       |                           |                            |                      |                              |
| 737400 | ICAO_A     | M              | 2        | Montée       | Maxi décollage | 5       | 1 500                     |                            |                      |                              |
| 737400 | ICAO_A     | M              | 3        | Montée       | Maxi montée    | 5       | 3 000                     |                            |                      |                              |
| 737400 | ICAO_A     | M              | 4        | Accélération | Maxi montée    | 5       |                           | 1 159,5                    | 205,1                |                              |
| 737400 | ICAO_A     | M              | 5        | Accélération | Maxi montée    | 1       |                           | 1 249,3                    | 210,3                |                              |
| 737400 | ICAO_A     | M              | 6        | Accélération | Maxi montée    | ZERO    |                           | 1 392,2                    | 250                  |                              |
| 737400 | ICAO_A     | M              | 7        | Montée       | Maxi montée    | ZERO    | 5 500                     |                            |                      |                              |
| 737400 | ICAO_A     | M              | 8        | Montée       | Maxi montée    | ZERO    | 7 500                     |                            |                      |                              |
| 737400 | ICAO_A     | M              | 9        | Montée       | Maxi montée    | ZERO    | 10 000                    |                            |                      |                              |
| 737400 | ICAO_B     | 1              | 1        | Décollage    | Maxi décollage | 5       |                           |                            |                      |                              |
| 737400 | ICAO_B     | 1              | 2        | Montée       | Maxi décollage | 5       | 1 000                     |                            |                      |                              |
| 737400 | ICAO_B     | 1              | 3        | Accélération | Maxi décollage | 5       |                           | 1 869,9                    | 201,5                |                              |
| 737400 | ICAO_B     | 1              | 4        | Accélération | Maxi décollage | 1       |                           | 2 073,3                    | 210,5                |                              |
| 737400 | ICAO_B     | 1              | 5        | Montée       | Maxi montée    | ZERO    | 3 000                     |                            |                      |                              |

| ACFTID | Profile_ID | Longueur phase | No étape | Type étape   | Indice poussée | Flap_ID | Altitude point final (ft) | Vitesse de montée (ft/min) | CAS point final (kt) | Pourcentage accélération (%) |
|--------|------------|----------------|----------|--------------|----------------|---------|---------------------------|----------------------------|----------------------|------------------------------|
| 737400 | ICAO_B     | 1              | 6        | Accélération | Maxi montée    | ZERO    |                           | 2 067,4                    | 250                  |                              |
| 737400 | ICAO_B     | 1              | 7        | Montée       | Maxi montée    | ZERO    | 5 500                     |                            |                      |                              |
| 737400 | ICAO_B     | 1              | 8        | Montée       | Maxi montée    | ZERO    | 7 500                     |                            |                      |                              |
| 737400 | ICAO_B     | 1              | 9        | Montée       | Maxi montée    | ZERO    | 10 000                    |                            |                      |                              |
| 737400 | ICAO_B     | 2              | 1        | Décollage    | Maxi décollage | 5       |                           |                            |                      |                              |
| 737400 | ICAO_B     | 2              | 2        | Montée       | Maxi décollage | 5       | 1 000                     |                            |                      |                              |
| 737400 | ICAO_B     | 2              | 3        | Accélération | Maxi décollage | 5       |                           | 1 766,9                    | 202,3                |                              |
| 737400 | ICAO_B     | 2              | 4        | Accélération | Maxi décollage | 1       |                           | 1 945,9                    | 210,5                |                              |
| 737400 | ICAO_B     | 2              | 5        | Montée       | Maxi montée    | ZERO    | 3 000                     |                            |                      |                              |
| 737400 | ICAO_B     | 2              | 6        | Accélération | Maxi montée    | ZERO    |                           | 1 939,1                    | 250                  |                              |
| 737400 | ICAO_B     | 2              | 7        | Montée       | Maxi montée    | ZERO    | 5 500                     |                            |                      |                              |
| 737400 | ICAO_B     | 2              | 8        | Montée       | Maxi montée    | ZERO    | 7 500                     |                            |                      |                              |
| 737400 | ICAO_B     | 2              | 9        | Montée       | Maxi montée    | ZERO    | 10 000                    |                            |                      |                              |
| 737400 | ICAO_B     | 3              | 1        | Décollage    | Maxi décollage | 5       |                           |                            |                      |                              |
| 737400 | ICAO_B     | 3              | 2        | Montée       | Maxi décollage | 5       | 1 000                     |                            |                      |                              |
| 737400 | ICAO_B     | 3              | 3        | Accélération | Maxi décollage | 5       |                           | 1 660,1                    | 203,4                |                              |
| 737400 | ICAO_B     | 3              | 4        | Accélération | Maxi décollage | 1       |                           | 1 822,5                    | 210,5                |                              |
| 737400 | ICAO_B     | 3              | 5        | Montée       | Maxi montée    | ZERO    | 3 000                     |                            |                      |                              |
| 737400 | ICAO_B     | 3              | 6        | Accélération | Maxi montée    | ZERO    |                           | 1 807,5                    | 250                  |                              |
| 737400 | ICAO_B     | 3              | 7        | Montée       | Maxi montée    | ZERO    | 5 500                     |                            |                      |                              |

| ACFTID | Profile_ID | Longueur phase | No étape | Type étape   | Indice poussée | Flap_ID | Altitude point final (ft) | Vitesse de montée (ft/min) | CAS point final (kt) | Pourcentage accélération (%) |
|--------|------------|----------------|----------|--------------|----------------|---------|---------------------------|----------------------------|----------------------|------------------------------|
| 737400 | ICAO_B     | 3              | 8        | Montée       | Maxi montée    | ZERO    | 7 500                     |                            |                      |                              |
| 737400 | ICAO_B     | 3              | 9        | Montée       | Maxi montée    | ZERO    | 10 000                    |                            |                      |                              |
| 737400 | ICAO_B     | 4              | 1        | Décollage    | Maxi décollage | 5       |                           |                            |                      |                              |
| 737400 | ICAO_B     | 4              | 2        | Montée       | Maxi décollage | 5       | 1 000                     |                            |                      |                              |
| 737400 | ICAO_B     | 4              | 3        | Accélération | Maxi décollage | 5       |                           | 1 502,8                    | 206,1                |                              |
| 737400 | ICAO_B     | 4              | 4        | Accélération | Maxi décollage | 1       |                           | 1 644,7                    | 210,5                |                              |
| 737400 | ICAO_B     | 4              | 5        | Montée       | Maxi montée    | ZERO    | 3 000                     |                            |                      |                              |
| 737400 | ICAO_B     | 4              | 6        | Accélération | Maxi montée    | ZERO    |                           | 1 610,5                    | 250                  |                              |
| 737400 | ICAO_B     | 4              | 7        | Montée       | Maxi montée    | ZERO    | 5 500                     |                            |                      |                              |
| 737400 | ICAO_B     | 4              | 8        | Montée       | Maxi montée    | ZERO    | 7 500                     |                            |                      |                              |
| 737400 | ICAO_B     | 4              | 9        | Montée       | Maxi montée    | ZERO    | 10 000                    |                            |                      |                              |
| 737400 | ICAO_B     | M              | 1        | Décollage    | Maxi décollage | 5       |                           |                            |                      |                              |
| 737400 | ICAO_B     | M              | 2        | Montée       | Maxi décollage | 5       | 1 000                     |                            |                      |                              |
| 737400 | ICAO_B     | M              | 3        | Accélération | Maxi décollage | 5       |                           | 1 350,9                    | 209,5                |                              |
| 737400 | ICAO_B     | M              | 4        | Accélération | Maxi décollage | 1       |                           | 1 428,6                    | 210,5                |                              |
| 737400 | ICAO_B     | M              | 5        | Montée       | Maxi montée    | ZERO    | 3 000                     |                            |                      |                              |
| 737400 | ICAO_B     | M              | 6        | Accélération | Maxi montée    | ZERO    |                           | 1 414,7                    | 250                  |                              |
| 737400 | ICAO_B     | M              | 7        | Montée       | Maxi montée    | ZERO    | 5 500                     |                            |                      |                              |
| 737400 | ICAO_B     | M              | 8        | Montée       | Maxi montée    | ZERO    | 7 500                     |                            |                      |                              |
| 737400 | ICAO_B     | M              | 9        | Montée       | Maxi montée    | ZERO    | 10 000                    |                            |                      |                              |

| ACFTID | Profile_ID | Longueur phase | No étape | Type étape   | Indice poussée | Flap_ID | Altitude point final (ft) | Vitesse de montée (ft/min) | CAS point final (kt) | Pourcentage_accélération (%) |
|--------|------------|----------------|----------|--------------|----------------|---------|---------------------------|----------------------------|----------------------|------------------------------|
| 737500 | DEFAULT    | 1              | 1        | Décollage    | Maxi décollage | 5       |                           |                            |                      |                              |
| 737500 | DEFAULT    | 1              | 2        | Montée       | Maxi décollage | 5       | 1 000                     |                            |                      |                              |
| 737500 | DEFAULT    | 1              | 3        | Accélération | Maxi montée    | 5       |                           | 1 579,1                    | 187                  |                              |
| 737500 | DEFAULT    | 1              | 4        | Accélération | Maxi montée    | 1       |                           | 1 800                      | 206,6                |                              |
| 737500 | DEFAULT    | 1              | 5        | Montée       | Maxi montée    | ZERO    | 3 000                     |                            |                      |                              |
| 737500 | DEFAULT    | 1              | 6        | Accélération | Maxi montée    | ZERO    |                           | 1 961,7                    | 250                  |                              |
| 737500 | DEFAULT    | 1              | 7        | Montée       | Maxi montée    | ZERO    | 5 500                     |                            |                      |                              |
| 737500 | DEFAULT    | 1              | 8        | Montée       | Maxi montée    | ZERO    | 7 500                     |                            |                      |                              |
| 737500 | DEFAULT    | 1              | 9        | Montée       | Maxi montée    | ZERO    | 10 000                    |                            |                      |                              |
| 737500 | DEFAULT    | 2              | 1        | Décollage    | Maxi décollage | 5       |                           |                            |                      |                              |
| 737500 | DEFAULT    | 2              | 2        | Montée       | Maxi décollage | 5       | 1 000                     |                            |                      |                              |
| 737500 | DEFAULT    | 2              | 3        | Accélération | Maxi montée    | 5       |                           | 1 490,8                    | 188                  |                              |
| 737500 | DEFAULT    | 2              | 4        | Accélération | Maxi montée    | 1       |                           | 1 681,3                    | 205,6                |                              |
| 737500 | DEFAULT    | 2              | 5        | Montée       | Maxi montée    | ZERO    | 3 000                     |                            |                      |                              |
| 737500 | DEFAULT    | 2              | 6        | Accélération | Maxi montée    | ZERO    |                           | 1 834,4                    | 250                  |                              |
| 737500 | DEFAULT    | 2              | 7        | Montée       | Maxi montée    | ZERO    | 5 500                     |                            |                      |                              |
| 737500 | DEFAULT    | 2              | 8        | Montée       | Maxi montée    | ZERO    | 7 500                     |                            |                      |                              |
| 737500 | DEFAULT    | 2              | 9        | Montée       | Maxi montée    | ZERO    | 10 000                    |                            |                      |                              |
| 737500 | DEFAULT    | 3              | 1        | Décollage    | Maxi décollage | 5       |                           |                            |                      |                              |
| 737500 | DEFAULT    | 3              | 2        | Montée       | Maxi décollage | 5       | 1 000                     |                            |                      |                              |

| ACFTID | Profile_ID | Longueur phase | No étape | Type étape   | Indice poussée | Flap_ID | Altitude point final (ft) | Vitesse de montée (ft/min) | CAS point final (kt) | Pourcentage_accélération (%) |
|--------|------------|----------------|----------|--------------|----------------|---------|---------------------------|----------------------------|----------------------|------------------------------|
| 737500 | DEFAULT    | 3              | 3        | Accélération | Maxi montée    | 5       |                           | 1 398,8                    | 189,4                |                              |
| 737500 | DEFAULT    | 3              | 4        | Accélération | Maxi montée    | 1       |                           | 1 572,4                    | 204,5                |                              |
| 737500 | DEFAULT    | 3              | 5        | Montée       | Maxi montée    | ZERO    | 3 000                     |                            |                      |                              |
| 737500 | DEFAULT    | 3              | 6        | Accélération | Maxi montée    | ZERO    |                           | 1 713,4                    | 250                  |                              |
| 737500 | DEFAULT    | 3              | 7        | Montée       | Maxi montée    | ZERO    | 5 500                     |                            |                      |                              |
| 737500 | DEFAULT    | 3              | 8        | Montée       | Maxi montée    | ZERO    | 7 500                     |                            |                      |                              |
| 737500 | DEFAULT    | 3              | 9        | Montée       | Maxi montée    | ZERO    | 10 000                    |                            |                      |                              |
| 737500 | DEFAULT    | 4              | 1        | Décollage    | Maxi décollage | 5       |                           |                            |                      |                              |
| 737500 | DEFAULT    | 4              | 2        | Montée       | Maxi décollage | 5       | 1 000                     |                            |                      |                              |
| 737500 | DEFAULT    | 4              | 3        | Accélération | Maxi montée    | 5       |                           | 1 229,4                    | 192,1                |                              |
| 737500 | DEFAULT    | 4              | 4        | Accélération | Maxi montée    | 1       |                           | 1 388,1                    | 212,4                |                              |
| 737500 | DEFAULT    | 4              | 5        | Montée       | Maxi montée    | ZERO    | 3 000                     |                            |                      |                              |
| 737500 | DEFAULT    | 4              | 6        | Accélération | Maxi montée    | ZERO    |                           | 1 521,8                    | 250                  |                              |
| 737500 | DEFAULT    | 4              | 7        | Montée       | Maxi montée    | ZERO    | 5 500                     |                            |                      |                              |
| 737500 | DEFAULT    | 4              | 8        | Montée       | Maxi montée    | ZERO    | 7 500                     |                            |                      |                              |
| 737500 | DEFAULT    | 4              | 9        | Montée       | Maxi montée    | ZERO    | 10 000                    |                            |                      |                              |
| 737500 | DEFAULT    | 5              | 1        | Décollage    | Maxi décollage | 5       |                           |                            |                      |                              |
| 737500 | DEFAULT    | 5              | 2        | Montée       | Maxi décollage | 5       | 1 000                     |                            |                      |                              |
| 737500 | DEFAULT    | 5              | 3        | Accélération | Maxi montée    | 5       |                           | 1 211,1                    | 192,4                |                              |
| 737500 | DEFAULT    | 5              | 4        | Accélération | Maxi montée    | 1       |                           | 1 370,8                    | 212                  |                              |

| ACFTID | Profile_ID | Longueur phase | No étape | Type étape   | Indice poussée | Flap_ID | Altitude point final (ft) | Vitesse de montée (ft/min) | CAS point final (kt) | Pourcentage accélération (%) |
|--------|------------|----------------|----------|--------------|----------------|---------|---------------------------|----------------------------|----------------------|------------------------------|
| 737500 | DEFAULT    | 5              | 5        | Montée       | Maxi montée    | ZERO    | 3 000                     |                            |                      |                              |
| 737500 | DEFAULT    | 5              | 6        | Accélération | Maxi montée    | ZERO    |                           | 1 503,1                    | 250                  |                              |
| 737500 | DEFAULT    | 5              | 7        | Montée       | Maxi montée    | ZERO    | 5 500                     |                            |                      |                              |
| 737500 | DEFAULT    | 5              | 8        | Montée       | Maxi montée    | ZERO    | 7 500                     |                            |                      |                              |
| 737500 | DEFAULT    | 5              | 9        | Montée       | Maxi montée    | ZERO    | 10 000                    |                            |                      |                              |
| 737500 | DEFAULT    | M              | 1        | Décollage    | Maxi décollage | 5       |                           |                            |                      |                              |
| 737500 | DEFAULT    | M              | 2        | Montée       | Maxi décollage | 5       | 1 000                     |                            |                      |                              |
| 737500 | DEFAULT    | M              | 3        | Accélération | Maxi montée    | 5       |                           | 1 192,6                    | 192,8                |                              |
| 737500 | DEFAULT    | M              | 4        | Accélération | Maxi montée    | 1       |                           | 1 343,1                    | 211,9                |                              |
| 737500 | DEFAULT    | M              | 5        | Montée       | Maxi montée    | ZERO    | 3 000                     |                            |                      |                              |
| 737500 | DEFAULT    | M              | 6        | Accélération | Maxi montée    | ZERO    |                           | 1 470,2                    | 250                  |                              |
| 737500 | DEFAULT    | M              | 7        | Montée       | Maxi montée    | ZERO    | 5 500                     |                            |                      |                              |
| 737500 | DEFAULT    | M              | 8        | Montée       | Maxi montée    | ZERO    | 7 500                     |                            |                      |                              |
| 737500 | DEFAULT    | M              | 9        | Montée       | Maxi montée    | ZERO    | 10 000                    |                            |                      |                              |
| 737500 | ICAO_A     | 1              | 1        | Décollage    | Maxi décollage | 5       |                           |                            |                      |                              |
| 737500 | ICAO_A     | 1              | 2        | Montée       | Maxi décollage | 5       | 1 500                     |                            |                      |                              |
| 737500 | ICAO_A     | 1              | 3        | Montée       | Maxi montée    | 5       | 3 000                     |                            |                      |                              |
| 737500 | ICAO_A     | 1              | 4        | Accélération | Maxi montée    | 5       |                           | 1 509,2                    | 184                  |                              |
| 737500 | ICAO_A     | 1              | 5        | Accélération | Maxi montée    | 1       |                           | 1 725,7                    | 204,8                |                              |
| 737500 | ICAO_A     | 1              | 6        | Accélération | Maxi montée    | ZERO    |                           | 1 934,3                    | 250                  |                              |

| ACFTID | Profile_ID | Longueur phase | No étape | Type étape   | Indice poussée | Flap_ID | Altitude point final (ft) | Vitesse de montée (ft/min) | CAS point final (kt) | Pourcentage accélération (%) |
|--------|------------|----------------|----------|--------------|----------------|---------|---------------------------|----------------------------|----------------------|------------------------------|
| 737500 | ICAO_A     | 1              | 7        | Montée       | Maxi montée    | ZERO    | 5 500                     |                            |                      |                              |
| 737500 | ICAO_A     | 1              | 8        | Montée       | Maxi montée    | ZERO    | 7 500                     |                            |                      |                              |
| 737500 | ICAO_A     | 1              | 9        | Montée       | Maxi montée    | ZERO    | 10 000                    |                            |                      |                              |
| 737500 | ICAO_A     | 2              | 1        | Décollage    | Maxi décollage | 5       |                           |                            |                      |                              |
| 737500 | ICAO_A     | 2              | 2        | Montée       | Maxi décollage | 5       | 1 500                     |                            |                      |                              |
| 737500 | ICAO_A     | 2              | 3        | Montée       | Maxi montée    | 5       | 3 000                     |                            |                      |                              |
| 737500 | ICAO_A     | 2              | 4        | Accélération | Maxi montée    | 5       |                           | 1 420,9                    | 185,1                |                              |
| 737500 | ICAO_A     | 2              | 5        | Accélération | Maxi montée    | 1       |                           | 1 612,5                    | 203,9                |                              |
| 737500 | ICAO_A     | 2              | 6        | Accélération | Maxi montée    | ZERO    |                           | 1 810,3                    | 250                  |                              |
| 737500 | ICAO_A     | 2              | 7        | Montée       | Maxi montée    | ZERO    | 5 500                     |                            |                      |                              |
| 737500 | ICAO_A     | 2              | 8        | Montée       | Maxi montée    | ZERO    | 7 500                     |                            |                      |                              |
| 737500 | ICAO_A     | 2              | 9        | Montée       | Maxi montée    | ZERO    | 10 000                    |                            |                      |                              |
| 737500 | ICAO_A     | 3              | 1        | Décollage    | Maxi décollage | 5       |                           |                            |                      |                              |
| 737500 | ICAO_A     | 3              | 2        | Montée       | Maxi décollage | 5       | 1 500                     |                            |                      |                              |
| 737500 | ICAO_A     | 3              | 3        | Montée       | Maxi montée    | 5       | 3 000                     |                            |                      |                              |
| 737500 | ICAO_A     | 3              | 4        | Accélération | Maxi montée    | 5       |                           | 1 332,5                    | 186,6                |                              |
| 737500 | ICAO_A     | 3              | 5        | Accélération | Maxi montée    | 1       |                           | 1 494,3                    | 203                  |                              |
| 737500 | ICAO_A     | 3              | 6        | Accélération | Maxi montée    | ZERO    |                           | 1 691,3                    | 250                  |                              |
| 737500 | ICAO_A     | 3              | 7        | Montée       | Maxi montée    | ZERO    | 5 500                     |                            |                      |                              |
| 737500 | ICAO_A     | 3              | 8        | Montée       | Maxi montée    | ZERO    | 7 500                     |                            |                      |                              |

| ACFTID | Profile_ID | Longueur phase | No étape | Type étape   | Indice poussée | Flap_ID | Altitude point final (ft) | Vitesse de montée (ft/min) | CAS point final (kt) | Pourcentage accélération (%) |
|--------|------------|----------------|----------|--------------|----------------|---------|---------------------------|----------------------------|----------------------|------------------------------|
| 737500 | ICAO_A     | 3              | 9        | Montée       | Maxi montée    | ZERO    | 10 000                    |                            |                      |                              |
| 737500 | ICAO_A     | 4              | 1        | Décollage    | Maxi décollage | 5       |                           |                            |                      |                              |
| 737500 | ICAO_A     | 4              | 2        | Montée       | Maxi décollage | 5       | 1 500                     |                            |                      |                              |
| 737500 | ICAO_A     | 4              | 3        | Montée       | Maxi montée    | 5       | 3 000                     |                            |                      |                              |
| 737500 | ICAO_A     | 4              | 4        | Accélération | Maxi montée    | 5       |                           | 1 166,9                    | 189,6                |                              |
| 737500 | ICAO_A     | 4              | 5        | Accélération | Maxi montée    | 1       |                           | 1 317                      | 211                  |                              |
| 737500 | ICAO_A     | 4              | 6        | Accélération | Maxi montée    | ZERO    |                           | 1 496,1                    | 250                  |                              |
| 737500 | ICAO_A     | 4              | 7        | Montée       | Maxi montée    | ZERO    | 5 500                     |                            |                      |                              |
| 737500 | ICAO_A     | 4              | 8        | Montée       | Maxi montée    | ZERO    | 7 500                     |                            |                      |                              |
| 737500 | ICAO_A     | 4              | 9        | Montée       | Maxi montée    | ZERO    | 10 000                    |                            |                      |                              |
| 737500 | ICAO_A     | 5              | 1        | Décollage    | Maxi décollage | 5       |                           |                            |                      |                              |
| 737500 | ICAO_A     | 5              | 2        | Montée       | Maxi décollage | 5       | 1 500                     |                            |                      |                              |
| 737500 | ICAO_A     | 5              | 3        | Montée       | Maxi montée    | 5       | 3 000                     |                            |                      |                              |
| 737500 | ICAO_A     | 5              | 4        | Accélération | Maxi montée    | 5       |                           | 1 152,1                    | 189,9                |                              |
| 737500 | ICAO_A     | 5              | 5        | Accélération | Maxi montée    | 1       |                           | 1 300                      | 210,8                |                              |
| 737500 | ICAO_A     | 5              | 6        | Accélération | Maxi montée    | ZERO    |                           | 1 477,5                    | 250                  |                              |
| 737500 | ICAO_A     | 5              | 7        | Montée       | Maxi montée    | ZERO    | 5 500                     |                            |                      |                              |
| 737500 | ICAO_A     | 5              | 8        | Montée       | Maxi montée    | ZERO    | 7 500                     |                            |                      |                              |
| 737500 | ICAO_A     | 5              | 9        | Montée       | Maxi montée    | ZERO    | 10 000                    |                            |                      |                              |
| 737500 | ICAO_A     | M              | 1        | Décollage    | Maxi décollage | 5       |                           |                            |                      |                              |

| ACFTID | Profile_ID | Longueur phase | No étape | Type étape   | Indice poussée | Flap_ID | Altitude point final (ft) | Vitesse de montée (ft/min) | CAS point final (kt) | Pourcentage accélération (%) |
|--------|------------|----------------|----------|--------------|----------------|---------|---------------------------|----------------------------|----------------------|------------------------------|
| 737500 | ICAO_A     | M              | 2        | Montée       | Maxi décollage | 5       | 1 500                     |                            |                      |                              |
| 737500 | ICAO_A     | M              | 3        | Montée       | Maxi montée    | 5       | 3 000                     |                            |                      |                              |
| 737500 | ICAO_A     | M              | 4        | Accélération | Maxi montée    | 5       |                           | 1 130,1                    | 190,4                |                              |
| 737500 | ICAO_A     | M              | 5        | Accélération | Maxi montée    | 1       |                           | 1 267,1                    | 210,6                |                              |
| 737500 | ICAO_A     | M              | 6        | Accélération | Maxi montée    | ZERO    |                           | 1 451,9                    | 250                  |                              |
| 737500 | ICAO_A     | M              | 7        | Montée       | Maxi montée    | ZERO    | 5 500                     |                            |                      |                              |
| 737500 | ICAO_A     | M              | 8        | Montée       | Maxi montée    | ZERO    | 7 500                     |                            |                      |                              |
| 737500 | ICAO_A     | M              | 9        | Montée       | Maxi montée    | ZERO    | 10 000                    |                            |                      |                              |
| 737500 | ICAO_B     | 1              | 1        | Décollage    | Maxi décollage | 5       |                           |                            |                      |                              |
| 737500 | ICAO_B     | 1              | 2        | Montée       | Maxi décollage | 5       | 1 000                     |                            |                      |                              |
| 737500 | ICAO_B     | 1              | 3        | Accélération | Maxi décollage | 5       |                           | 1 715,3                    | 189,5                |                              |
| 737500 | ICAO_B     | 1              | 4        | Accélération | Maxi décollage | 1       |                           | 1 944,8                    | 207,8                |                              |
| 737500 | ICAO_B     | 1              | 5        | Montée       | Maxi montée    | ZERO    | 3 000                     |                            |                      |                              |
| 737500 | ICAO_B     | 1              | 6        | Accélération | Maxi montée    | ZERO    |                           | 1 966,3                    | 250                  |                              |
| 737500 | ICAO_B     | 1              | 7        | Montée       | Maxi montée    | ZERO    | 5 500                     |                            |                      |                              |
| 737500 | ICAO_B     | 1              | 8        | Montée       | Maxi montée    | ZERO    | 7 500                     |                            |                      |                              |
| 737500 | ICAO_B     | 1              | 9        | Montée       | Maxi montée    | ZERO    | 10 000                    |                            |                      |                              |
| 737500 | ICAO_B     | 2              | 1        | Décollage    | Maxi décollage | 5       |                           |                            |                      |                              |
| 737500 | ICAO_B     | 2              | 2        | Montée       | Maxi décollage | 5       | 1 000                     |                            |                      |                              |
| 737500 | ICAO_B     | 2              | 3        | Accélération | Maxi décollage | 5       |                           | 1 619,6                    | 190,3                |                              |

| ACFTID | Profile_ID | Longueur phase | No étape | Type étape   | Indice poussée | Flap_ID | Altitude point final (ft) | Vitesse de montée (ft/min) | CAS point final (kt) | Pourcentage accélération (%) |
|--------|------------|----------------|----------|--------------|----------------|---------|---------------------------|----------------------------|----------------------|------------------------------|
| 737500 | ICAO_B     | 2              | 4        | Accélération | Maxi décollage | 1       |                           | 1 835,3                    | 207,1                |                              |
| 737500 | ICAO_B     | 2              | 5        | Montée       | Maxi montée    | ZERO    | 3 000                     |                            |                      |                              |
| 737500 | ICAO_B     | 2              | 6        | Accélération | Maxi montée    | ZERO    |                           | 1 844,6                    | 250                  |                              |
| 737500 | ICAO_B     | 2              | 7        | Montée       | Maxi montée    | ZERO    | 5 500                     |                            |                      |                              |
| 737500 | ICAO_B     | 2              | 8        | Montée       | Maxi montée    | ZERO    | 7 500                     |                            |                      |                              |
| 737500 | ICAO_B     | 2              | 9        | Montée       | Maxi montée    | ZERO    | 10 000                    |                            |                      |                              |
| 737500 | ICAO_B     | 3              | 1        | Décollage    | Maxi décollage | 5       |                           |                            |                      |                              |
| 737500 | ICAO_B     | 3              | 2        | Montée       | Maxi décollage | 5       | 1 000                     |                            |                      |                              |
| 737500 | ICAO_B     | 3              | 3        | Accélération | Maxi décollage | 5       |                           | 1 520,2                    | 191,6                |                              |
| 737500 | ICAO_B     | 3              | 4        | Accélération | Maxi décollage | 1       |                           | 1 717,5                    | 207,1                |                              |
| 737500 | ICAO_B     | 3              | 5        | Montée       | Maxi montée    | ZERO    | 3 000                     |                            |                      |                              |
| 737500 | ICAO_B     | 3              | 6        | Accélération | Maxi montée    | ZERO    |                           | 1 722,6                    | 250                  |                              |
| 737500 | ICAO_B     | 3              | 7        | Montée       | Maxi montée    | ZERO    | 5 500                     |                            |                      |                              |
| 737500 | ICAO_B     | 3              | 8        | Montée       | Maxi montée    | ZERO    | 7 500                     |                            |                      |                              |
| 737500 | ICAO_B     | 3              | 9        | Montée       | Maxi montée    | ZERO    | 10 000                    |                            |                      |                              |
| 737500 | ICAO_B     | 4              | 1        | Décollage    | Maxi décollage | 5       |                           |                            |                      |                              |
| 737500 | ICAO_B     | 4              | 2        | Montée       | Maxi décollage | 5       | 1 000                     |                            |                      |                              |
| 737500 | ICAO_B     | 4              | 3        | Accélération | Maxi décollage | 5       |                           | 1 339,9                    | 194,1                |                              |
| 737500 | ICAO_B     | 4              | 4        | Accélération | Maxi décollage | 1       |                           | 1 512,8                    | 213,4                |                              |
| 737500 | ICAO_B     | 4              | 5        | Montée       | Maxi montée    | ZERO    | 3 000                     |                            |                      |                              |

| ACFTID | Profile_ID | Longueur phase | No étape | Type étape   | Indice poussée | Flap_ID | Altitude point final (ft) | Vitesse de montée (ft/min) | CAS point final (kt) | Pourcentage accélération (%) |
|--------|------------|----------------|----------|--------------|----------------|---------|---------------------------|----------------------------|----------------------|------------------------------|
| 737500 | ICAO_B     | 4              | 6        | Accélération | Maxi montée    | ZERO    |                           | 1 526,7                    | 250                  |                              |
| 737500 | ICAO_B     | 4              | 7        | Montée       | Maxi montée    | ZERO    | 5 500                     |                            |                      |                              |
| 737500 | ICAO_B     | 4              | 8        | Montée       | Maxi montée    | ZERO    | 7 500                     |                            |                      |                              |
| 737500 | ICAO_B     | 4              | 9        | Montée       | Maxi montée    | ZERO    | 10 000                    |                            |                      |                              |
| 737500 | ICAO_B     | 5              | 1        | Décollage    | Maxi décollage | 5       |                           |                            |                      |                              |
| 737500 | ICAO_B     | 5              | 2        | Montée       | Maxi décollage | 5       | 1 000                     |                            |                      |                              |
| 737500 | ICAO_B     | 5              | 3        | Accélération | Maxi décollage | 5       |                           | 1 322,2                    | 194,4                |                              |
| 737500 | ICAO_B     | 5              | 4        | Accélération | Maxi décollage | 1       |                           | 1 500                      | 213,2                |                              |
| 737500 | ICAO_B     | 5              | 5        | Montée       | Maxi montée    | ZERO    | 3 000                     |                            |                      |                              |
| 737500 | ICAO_B     | 5              | 6        | Accélération | Maxi montée    | ZERO    |                           | 1 503,1                    | 250                  |                              |
| 737500 | ICAO_B     | 5              | 7        | Montée       | Maxi montée    | ZERO    | 5 500                     |                            |                      |                              |
| 737500 | ICAO_B     | 5              | 8        | Montée       | Maxi montée    | ZERO    | 7 500                     |                            |                      |                              |
| 737500 | ICAO_B     | 5              | 9        | Montée       | Maxi montée    | ZERO    | 10 000                    |                            |                      |                              |
| 737500 | ICAO_B     | M              | 1        | Décollage    | Maxi décollage | 5       |                           |                            |                      |                              |
| 737500 | ICAO_B     | M              | 2        | Montée       | Maxi décollage | 5       | 1 000                     |                            |                      |                              |
| 737500 | ICAO_B     | M              | 3        | Accélération | Maxi décollage | 5       |                           | 1 303,1                    | 194,8                |                              |
| 737500 | ICAO_B     | M              | 4        | Accélération | Maxi décollage | 1       |                           | 1 463,2                    | 213                  |                              |
| 737500 | ICAO_B     | M              | 5        | Montée       | Maxi montée    | ZERO    | 3 000                     |                            |                      |                              |
| 737500 | ICAO_B     | M              | 6        | Accélération | Maxi montée    | ZERO    |                           | 1 475,5                    | 250                  |                              |
| 737500 | ICAO_B     | M              | 7        | Montée       | Maxi montée    | ZERO    | 5 500                     |                            |                      |                              |

| ACFTID | Profile_ID | Longueur phase | No étape | Type étape   | Indice poussée | Flap_ID | Altitude point final (ft) | Vitesse de montée (ft/min) | CAS point final (kt) | Pourcentage accélération (%) |
|--------|------------|----------------|----------|--------------|----------------|---------|---------------------------|----------------------------|----------------------|------------------------------|
| 737500 | ICAO_B     | M              | 8        | Montée       | Maxi montée    | ZERO    | 7 500                     |                            |                      |                              |
| 737500 | ICAO_B     | M              | 9        | Montée       | Maxi montée    | ZERO    | 10 000                    |                            |                      |                              |
| 737700 | DEFAULT    | 1              | 1        | Décollage    | Maxi décollage | T_5     |                           |                            |                      |                              |
| 737700 | DEFAULT    | 1              | 2        | Montée       | Maxi décollage | T_5     | 1 000                     |                            |                      |                              |
| 737700 | DEFAULT    | 1              | 3        | Accélération | Maxi montée    | T_ZERO  |                           | 1 782,4                    | 195,1                |                              |
| 737700 | DEFAULT    | 1              | 4        | Montée       | Maxi montée    | T_ZERO  | 3 000                     |                            |                      |                              |
| 737700 | DEFAULT    | 1              | 5        | Accélération | Maxi montée    | T_ZERO  |                           | 2 159,3                    | 250                  |                              |
| 737700 | DEFAULT    | 1              | 6        | Montée       | Maxi montée    | T_ZERO  | 5 500                     |                            |                      |                              |
| 737700 | DEFAULT    | 1              | 7        | Montée       | Maxi montée    | T_00H   | 7 500                     |                            |                      |                              |
| 737700 | DEFAULT    | 1              | 8        | Montée       | Maxi montée    | T_00H   | 10 000                    |                            |                      |                              |
| 737700 | DEFAULT    | 2              | 1        | Décollage    | Maxi décollage | T_5     |                           |                            |                      |                              |
| 737700 | DEFAULT    | 2              | 2        | Montée       | Maxi décollage | T_5     | 1 000                     |                            |                      |                              |
| 737700 | DEFAULT    | 2              | 3        | Accélération | Maxi montée    | T_ZERO  |                           | 1 710,1                    | 197,7                |                              |
| 737700 | DEFAULT    | 2              | 4        | Montée       | Maxi montée    | T_ZERO  | 3 000                     |                            |                      |                              |
| 737700 | DEFAULT    | 2              | 5        | Accélération | Maxi montée    | T_ZERO  |                           | 2 056,7                    | 250                  |                              |
| 737700 | DEFAULT    | 2              | 6        | Montée       | Maxi montée    | T_ZERO  | 5 500                     |                            |                      |                              |
| 737700 | DEFAULT    | 2              | 7        | Montée       | Maxi montée    | T_00H   | 7 500                     |                            |                      |                              |
| 737700 | DEFAULT    | 2              | 8        | Montée       | Maxi montée    | T_00H   | 10 000                    |                            |                      |                              |
| 737700 | DEFAULT    | 3              | 1        | Décollage    | Maxi décollage | T_5     |                           |                            |                      |                              |
| 737700 | DEFAULT    | 3              | 2        | Montée       | Maxi décollage | T_5     | 1 000                     |                            |                      |                              |

| ACFTID | Profile_ID | Longueur phase | No étape | Type étape   | Indice poussée | Flap_ID | Altitude point final (ft) | Vitesse de montée (ft/min) | CAS point final (kt) | Pourcentage accélération (%) |
|--------|------------|----------------|----------|--------------|----------------|---------|---------------------------|----------------------------|----------------------|------------------------------|
| 737700 | DEFAULT    | 3              | 3        | Accélération | Maxi montée    | T_ZERO  |                           | 1 635,7                    | 200,3                |                              |
| 737700 | DEFAULT    | 3              | 4        | Montée       | Maxi montée    | T_ZERO  | 3 000                     |                            |                      |                              |
| 737700 | DEFAULT    | 3              | 5        | Accélération | Maxi montée    | T_ZERO  |                           | 1 957                      | 250                  |                              |
| 737700 | DEFAULT    | 3              | 6        | Montée       | Maxi montée    | T_ZERO  | 5 500                     |                            |                      |                              |
| 737700 | DEFAULT    | 3              | 7        | Montée       | Maxi montée    | T_ZERO  | 7 500                     |                            |                      |                              |
| 737700 | DEFAULT    | 3              | 8        | Montée       | Maxi montée    | T_00H   | 10 000                    |                            |                      |                              |
| 737700 | DEFAULT    | 4              | 1        | Décollage    | Maxi décollage | T_5     |                           |                            |                      |                              |
| 737700 | DEFAULT    | 4              | 2        | Montée       | Maxi décollage | T_5     | 1 000                     |                            |                      |                              |
| 737700 | DEFAULT    | 4              | 3        | Accélération | Maxi montée    | T_ZERO  |                           | 1 498,3                    | 205,8                |                              |
| 737700 | DEFAULT    | 4              | 4        | Montée       | Maxi montée    | T_ZERO  | 3 000                     |                            |                      |                              |
| 737700 | DEFAULT    | 4              | 5        | Accélération | Maxi montée    | T_ZERO  |                           | 1 774,4                    | 250                  |                              |
| 737700 | DEFAULT    | 4              | 6        | Montée       | Maxi montée    | T_ZERO  | 5 500                     |                            |                      |                              |
| 737700 | DEFAULT    | 4              | 7        | Montée       | Maxi montée    | T_ZERO  | 7 500                     |                            |                      |                              |
| 737700 | DEFAULT    | 4              | 8        | Montée       | Maxi montée    | T_ZERO  | 10 000                    |                            |                      |                              |
| 737700 | DEFAULT    | 5              | 1        | Décollage    | Maxi décollage | T_5     |                           |                            |                      |                              |
| 737700 | DEFAULT    | 5              | 2        | Montée       | Maxi décollage | T_5     | 1 000                     |                            |                      |                              |
| 737700 | DEFAULT    | 5              | 3        | Accélération | Maxi montée    | T_ZERO  |                           | 1 348,5                    | 211,6                |                              |
| 737700 | DEFAULT    | 5              | 4        | Montée       | Maxi montée    | T_ZERO  | 3 000                     |                            |                      |                              |
| 737700 | DEFAULT    | 5              | 5        | Accélération | Maxi montée    | T_ZERO  |                           | 1 581,2                    | 250                  |                              |
| 737700 | DEFAULT    | 5              | 6        | Montée       | Maxi montée    | T_ZERO  | 5 500                     |                            |                      |                              |

| ACFTID | Profile_ID | Longueur phase | No étape | Type étape   | Indice poussée | Flap_ID | Altitude point final (ft) | Vitesse de montée (ft/min) | CAS point final (kt) | Pourcentage accélération (%) |
|--------|------------|----------------|----------|--------------|----------------|---------|---------------------------|----------------------------|----------------------|------------------------------|
| 737700 | DEFAULT    | 5              | 7        | Montée       | Maxi montée    | T_ZERO  | 7 500                     |                            |                      |                              |
| 737700 | DEFAULT    | 5              | 8        | Montée       | Maxi montée    | T_ZERO  | 10 000                    |                            |                      |                              |
| 737700 | DEFAULT    | 6              | 1        | Décollage    | Maxi décollage | T_5     |                           |                            |                      |                              |
| 737700 | DEFAULT    | 6              | 2        | Montée       | Maxi décollage | T_5     | 1 000                     |                            |                      |                              |
| 737700 | DEFAULT    | 6              | 3        | Accélération | Maxi montée    | T_ZERO  |                           | 1 347,1                    | 211,6                |                              |
| 737700 | DEFAULT    | 6              | 4        | Montée       | Maxi montée    | T_ZERO  | 3 000                     |                            |                      |                              |
| 737700 | DEFAULT    | 6              | 5        | Accélération | Maxi montée    | T_ZERO  |                           | 1 579,1                    | 250                  |                              |
| 737700 | DEFAULT    | 6              | 6        | Montée       | Maxi montée    | T_ZERO  | 5 500                     |                            |                      |                              |
| 737700 | DEFAULT    | 6              | 7        | Montée       | Maxi montée    | T_ZERO  | 7 500                     |                            |                      |                              |
| 737700 | DEFAULT    | 6              | 8        | Montée       | Maxi montée    | T_ZERO  | 10 000                    |                            |                      |                              |
| 737700 | ICAO_A     | 1              | 1        | Décollage    | Maxi décollage | T_5     |                           |                            |                      |                              |
| 737700 | ICAO_A     | 1              | 2        | Montée       | Maxi décollage | T_5     | 1 500                     |                            |                      |                              |
| 737700 | ICAO_A     | 1              | 3        | Montée       | Maxi montée    | T_5     | 3 000                     |                            |                      |                              |
| 737700 | ICAO_A     | 1              | 4        | Accélération | Maxi montée    | T_ZERO  |                           | 1 747,6                    | 194,9                |                              |
| 737700 | ICAO_A     | 1              | 5        | Accélération | Maxi montée    | T_ZERO  |                           | 2 128,3                    | 250                  |                              |
| 737700 | ICAO_A     | 1              | 6        | Montée       | Maxi montée    | T_ZERO  | 5 500                     |                            |                      |                              |
| 737700 | ICAO_A     | 1              | 7        | Montée       | Maxi montée    | T_00H   | 7 500                     |                            |                      |                              |
| 737700 | ICAO_A     | 1              | 8        | Montée       | Maxi montée    | T_00H   | 10 000                    |                            |                      |                              |
| 737700 | ICAO_A     | 2              | 1        | Décollage    | Maxi décollage | T_5     |                           |                            |                      |                              |
| 737700 | ICAO_A     | 2              | 2        | Montée       | Maxi décollage | T_5     | 1 500                     |                            |                      |                              |

| ACFTID | Profile_ID | Longueur phase | No étape | Type étape   | Indice poussée | Flap_ID | Altitude point final (ft) | Vitesse de montée (ft/min) | CAS point final (kt) | Pourcentage accélération (%) |
|--------|------------|----------------|----------|--------------|----------------|---------|---------------------------|----------------------------|----------------------|------------------------------|
| 737700 | ICAO_A     | 2              | 3        | Montée       | Maxi montée    | T_5     | 3 000                     |                            |                      |                              |
| 737700 | ICAO_A     | 2              | 4        | Accélération | Maxi montée    | T_ZERO  |                           | 1 673,6                    | 197,4                |                              |
| 737700 | ICAO_A     | 2              | 5        | Accélération | Maxi montée    | T_ZERO  |                           | 2 028,3                    | 250                  |                              |
| 737700 | ICAO_A     | 2              | 6        | Montée       | Maxi montée    | T_ZERO  | 5 500                     |                            |                      |                              |
| 737700 | ICAO_A     | 2              | 7        | Montée       | Maxi montée    | T_ZERO  | 7 500                     |                            |                      |                              |
| 737700 | ICAO_A     | 2              | 8        | Montée       | Maxi montée    | T_00H   | 10 000                    |                            |                      |                              |
| 737700 | ICAO_A     | 3              | 1        | Décollage    | Maxi décollage | T_5     |                           |                            |                      |                              |
| 737700 | ICAO_A     | 3              | 2        | Montée       | Maxi décollage | T_5     | 1 500                     |                            |                      |                              |
| 737700 | ICAO_A     | 3              | 3        | Montée       | Maxi montée    | T_5     | 3 000                     |                            |                      |                              |
| 737700 | ICAO_A     | 3              | 4        | Accélération | Maxi montée    | T_ZERO  |                           | 1 600,5                    | 200,2                |                              |
| 737700 | ICAO_A     | 3              | 5        | Accélération | Maxi montée    | T_ZERO  |                           | 1 931,7                    | 250                  |                              |
| 737700 | ICAO_A     | 3              | 6        | Montée       | Maxi montée    | T_ZERO  | 5 500                     |                            |                      |                              |
| 737700 | ICAO_A     | 3              | 7        | Montée       | Maxi montée    | T_ZERO  | 7 500                     |                            |                      |                              |
| 737700 | ICAO_A     | 3              | 8        | Montée       | Maxi montée    | T_00H   | 10 000                    |                            |                      |                              |
| 737700 | ICAO_A     | 4              | 1        | Décollage    | Maxi décollage | T_5     |                           |                            |                      |                              |
| 737700 | ICAO_A     | 4              | 2        | Montée       | Maxi décollage | T_5     | 1 500                     |                            |                      |                              |
| 737700 | ICAO_A     | 4              | 3        | Montée       | Maxi montée    | T_5     | 3 000                     |                            |                      |                              |
| 737700 | ICAO_A     | 4              | 4        | Accélération | Maxi montée    | T_ZERO  |                           | 1 462,2                    | 205,6                |                              |
| 737700 | ICAO_A     | 4              | 5        | Accélération | Maxi montée    | T_ZERO  |                           | 1 753,8                    | 250                  |                              |
| 737700 | ICAO_A     | 4              | 6        | Montée       | Maxi montée    | T_ZERO  | 5 500                     |                            |                      |                              |

| ACFTID | Profile_ID | Longueur phase | No étape | Type étape   | Indice poussée | Flap_ID | Altitude point final (ft) | Vitesse de montée (ft/min) | CAS point final (kt) | Pourcentage accélération (%) |
|--------|------------|----------------|----------|--------------|----------------|---------|---------------------------|----------------------------|----------------------|------------------------------|
| 737700 | ICAO_A     | 4              | 7        | Montée       | Maxi montée    | T_ZERO  | 7 500                     |                            |                      |                              |
| 737700 | ICAO_A     | 4              | 8        | Montée       | Maxi montée    | T_00H   | 10 000                    |                            |                      |                              |
| 737700 | ICAO_A     | 5              | 1        | Décollage    | Maxi décollage | T_5     |                           |                            |                      |                              |
| 737700 | ICAO_A     | 5              | 2        | Montée       | Maxi décollage | T_5     | 1 500                     |                            |                      |                              |
| 737700 | ICAO_A     | 5              | 3        | Montée       | Maxi montée    | T_5     | 3 000                     |                            |                      |                              |
| 737700 | ICAO_A     | 5              | 4        | Accélération | Maxi montée    | T_ZERO  |                           | 1 430                      | 250                  |                              |
| 737700 | ICAO_A     | 5              | 5        | Montée       | Maxi montée    | T_ZERO  | 5 500                     |                            |                      |                              |
| 737700 | ICAO_A     | 5              | 6        | Montée       | Maxi montée    | T_ZERO  | 7 500                     |                            |                      |                              |
| 737700 | ICAO_A     | 5              | 7        | Montée       | Maxi montée    | T_ZERO  | 10 000                    |                            |                      |                              |
| 737700 | ICAO_A     | 6              | 1        | Décollage    | Maxi décollage | T_5     |                           |                            |                      |                              |
| 737700 | ICAO_A     | 6              | 2        | Montée       | Maxi décollage | T_5     | 1 500                     |                            |                      |                              |
| 737700 | ICAO_A     | 6              | 3        | Montée       | Maxi montée    | T_5     | 3 000                     |                            |                      |                              |
| 737700 | ICAO_A     | 6              | 4        | Accélération | Maxi montée    | T_ZERO  |                           | 1 430,1                    | 250                  |                              |
| 737700 | ICAO_A     | 6              | 5        | Montée       | Maxi montée    | T_ZERO  | 5 500                     |                            |                      |                              |
| 737700 | ICAO_A     | 6              | 6        | Montée       | Maxi montée    | T_ZERO  | 7 500                     |                            |                      |                              |
| 737700 | ICAO_A     | 6              | 7        | Montée       | Maxi montée    | T_ZERO  | 10 000                    |                            |                      |                              |
| 737700 | ICAO_B     | 1              | 1        | Décollage    | Maxi décollage | T_5     |                           |                            |                      |                              |
| 737700 | ICAO_B     | 1              | 2        | Montée       | Maxi décollage | T_5     | 1 000                     |                            |                      |                              |
| 737700 | ICAO_B     | 1              | 3        | Accélération | Maxi décollage | T_01    |                           | 1 888,7                    | 195,1                |                              |
| 737700 | ICAO_B     | 1              | 4        | Montée       | Maxi montée    | T_ZERO  | 3 000                     |                            |                      |                              |

| ACFTID | Profile_ID | Longueur phase | No étape | Type étape   | Indice poussée | Flap_ID | Altitude point final (ft) | Vitesse de montée (ft/min) | CAS point final (kt) | Pourcentage accélération (%) |
|--------|------------|----------------|----------|--------------|----------------|---------|---------------------------|----------------------------|----------------------|------------------------------|
| 737700 | ICAO_B     | 1              | 5        | Accélération | Maxi montée    | T_ZERO  |                           | 2 159,3                    | 250                  |                              |
| 737700 | ICAO_B     | 1              | 6        | Montée       | Maxi montée    | T_00H   | 5 500                     |                            |                      |                              |
| 737700 | ICAO_B     | 1              | 7        | Montée       | Maxi montée    | T_00H   | 7 500                     |                            |                      |                              |
| 737700 | ICAO_B     | 1              | 8        | Montée       | Maxi montée    | T_ZERO  | 10 000                    |                            |                      |                              |
| 737700 | ICAO_B     | 2              | 1        | Décollage    | Maxi décollage | T_5     |                           |                            |                      |                              |
| 737700 | ICAO_B     | 2              | 2        | Montée       | Maxi décollage | T_5     | 1 000                     |                            |                      |                              |
| 737700 | ICAO_B     | 2              | 3        | Accélération | Maxi décollage | T_01    |                           | 1 814,3                    | 197,7                |                              |
| 737700 | ICAO_B     | 2              | 4        | Montée       | Maxi montée    | T_ZERO  | 3 000                     |                            |                      |                              |
| 737700 | ICAO_B     | 2              | 5        | Accélération | Maxi montée    | T_ZERO  |                           | 2 058,1                    | 250                  |                              |
| 737700 | ICAO_B     | 2              | 6        | Montée       | Maxi montée    | T_ZERO  | 5 500                     |                            |                      |                              |
| 737700 | ICAO_B     | 2              | 7        | Montée       | Maxi montée    | T_ZERO  | 7 500                     |                            |                      |                              |
| 737700 | ICAO_B     | 2              | 8        | Montée       | Maxi montée    | T_00H   | 10 000                    |                            |                      |                              |
| 737700 | ICAO_B     | 3              | 1        | Décollage    | Maxi décollage | T_5     |                           |                            |                      |                              |
| 737700 | ICAO_B     | 3              | 2        | Montée       | Maxi décollage | T_5     | 1 000                     |                            |                      |                              |
| 737700 | ICAO_B     | 3              | 3        | Accélération | Maxi décollage | T_5     |                           | 1 619                      | 175,6                |                              |
| 737700 | ICAO_B     | 3              | 4        | Accélération | Maxi décollage | T_01    |                           | 1 840,6                    | 200,4                |                              |
| 737700 | ICAO_B     | 3              | 5        | Montée       | Maxi montée    | T_ZERO  | 3 000                     |                            |                      |                              |
| 737700 | ICAO_B     | 3              | 6        | Accélération | Maxi montée    | T_ZERO  |                           | 1 958,4                    | 250                  |                              |
| 737700 | ICAO_B     | 3              | 7        | Montée       | Maxi montée    | T_ZERO  | 5 500                     |                            |                      |                              |
| 737700 | ICAO_B     | 3              | 8        | Montée       | Maxi montée    | T_ZERO  | 7 500                     |                            |                      |                              |

| ACFTID | Profile_ID | Longueur phase | No étape | Type étape   | Indice poussée | Flap_ID | Altitude point final (ft) | Vitesse de montée (ft/min) | CAS point final (kt) | Pourcentage accélération (%) |
|--------|------------|----------------|----------|--------------|----------------|---------|---------------------------|----------------------------|----------------------|------------------------------|
| 737700 | ICAO_B     | 3              | 9        | Montée       | Maxi montée    | T_ZERO  | 10 000                    |                            |                      |                              |
| 737700 | ICAO_B     | 4              | 1        | Décollage    | Maxi décollage | T_5     |                           |                            |                      |                              |
| 737700 | ICAO_B     | 4              | 2        | Montée       | Maxi décollage | T_5     | 1 000                     |                            |                      |                              |
| 737700 | ICAO_B     | 4              | 3        | Accélération | Maxi décollage | T_01    |                           | 1 594,1                    | 205,8                |                              |
| 737700 | ICAO_B     | 4              | 4        | Montée       | Maxi montée    | T_ZERO  | 3 000                     |                            |                      |                              |
| 737700 | ICAO_B     | 4              | 5        | Accélération | Maxi montée    | T_ZERO  |                           | 1 774,4                    | 250                  |                              |
| 737700 | ICAO_B     | 4              | 6        | Montée       | Maxi montée    | T_ZERO  | 5 500                     |                            |                      |                              |
| 737700 | ICAO_B     | 4              | 7        | Montée       | Maxi montée    | T_ZERO  | 7 500                     |                            |                      |                              |
| 737700 | ICAO_B     | 4              | 8        | Montée       | Maxi montée    | T_ZERO  | 10 000                    |                            |                      |                              |
| 737700 | ICAO_B     | 5              | 1        | Décollage    | Maxi décollage | T_5     |                           |                            |                      |                              |
| 737700 | ICAO_B     | 5              | 2        | Montée       | Maxi décollage | T_5     | 1 000                     |                            |                      |                              |
| 737700 | ICAO_B     | 5              | 3        | Accélération | Maxi décollage | T_01    |                           | 1 438,9                    | 211,5                |                              |
| 737700 | ICAO_B     | 5              | 4        | Montée       | Maxi montée    | T_ZERO  | 3 000                     |                            |                      |                              |
| 737700 | ICAO_B     | 5              | 5        | Accélération | Maxi montée    | T_ZERO  |                           | 1 579,6                    | 250                  |                              |
| 737700 | ICAO_B     | 5              | 6        | Montée       | Maxi montée    | T_ZERO  | 5 500                     |                            |                      |                              |
| 737700 | ICAO_B     | 5              | 7        | Montée       | Maxi montée    | T_ZERO  | 7 500                     |                            |                      |                              |
| 737700 | ICAO_B     | 5              | 8        | Montée       | Maxi montée    | T_ZERO  | 10 000                    |                            |                      |                              |
| 737700 | ICAO_B     | 6              | 1        | Décollage    | Maxi décollage | T_5     |                           |                            |                      |                              |
| 737700 | ICAO_B     | 6              | 2        | Montée       | Maxi décollage | T_5     | 1 000                     |                            |                      |                              |
| 737700 | ICAO_B     | 6              | 3        | Accélération | Maxi décollage | T_01    |                           | 1 437,2                    | 211,5                |                              |

| ACFTID | Profile_ID | Longueur phase | No étape | Type étape   | Indice poussée | Flap_ID | Altitude point final (ft) | Vitesse de montée (ft/min) | CAS point final (kt) | Pourcentage accélération (%) |
|--------|------------|----------------|----------|--------------|----------------|---------|---------------------------|----------------------------|----------------------|------------------------------|
| 737700 | ICAO_B     | 6              | 4        | Montée       | Maxi montée    | T_ZERO  | 3 000                     |                            |                      |                              |
| 737700 | ICAO_B     | 6              | 5        | Accélération | Maxi montée    | T_ZERO  |                           | 1 579,1                    | 250                  |                              |
| 737700 | ICAO_B     | 6              | 6        | Montée       | Maxi montée    | T_ZERO  | 5 500                     |                            |                      |                              |
| 737700 | ICAO_B     | 6              | 7        | Montée       | Maxi montée    | T_ZERO  | 7 500                     |                            |                      |                              |
| 737700 | ICAO_B     | 6              | 8        | Montée       | Maxi montée    | T_ZERO  | 10 000                    |                            |                      |                              |
| 737800 | DEFAULT    | 1              | 1        | Décollage    | Maxi décollage | T_05    |                           |                            |                      |                              |
| 737800 | DEFAULT    | 1              | 2        | Montée       | Maxi décollage | T_05    | 1 000                     |                            |                      |                              |
| 737800 | DEFAULT    | 1              | 3        | Accélération | Maxi décollage | T_05    |                           | 1 885,7                    | 181,7                |                              |
| 737800 | DEFAULT    | 1              | 4        | Accélération | Maxi décollage | T_01    |                           | 2 112                      | 204,8                |                              |
| 737800 | DEFAULT    | 1              | 5        | Montée       | Maxi décollage | T_00    | 2 040                     |                            |                      |                              |
| 737800 | DEFAULT    | 1              | 6        | Montée       | Maxi montée    | T_00    | 3 000                     |                            |                      |                              |
| 737800 | DEFAULT    | 1              | 7        | Accélération | Maxi montée    | T_00    |                           | 1 891,3                    | 250                  |                              |
| 737800 | DEFAULT    | 1              | 8        | Montée       | Maxi montée    | T_00    | 5 500                     |                            |                      |                              |
| 737800 | DEFAULT    | 1              | 9        | Montée       | Maxi montée    | T_00    | 7 500                     |                            |                      |                              |
| 737800 | DEFAULT    | 1              | 10       | Montée       | Maxi montée    | T_00    | 10 000                    |                            |                      |                              |
| 737800 | DEFAULT    | 2              | 1        | Décollage    | Maxi décollage | T_05    |                           |                            |                      |                              |
| 737800 | DEFAULT    | 2              | 2        | Montée       | Maxi décollage | T_05    | 1 000                     |                            |                      |                              |
| 737800 | DEFAULT    | 2              | 3        | Accélération | Maxi décollage | T_05    |                           | 1 786,4                    | 183,9                |                              |
| 737800 | DEFAULT    | 2              | 4        | Accélération | Maxi décollage | T_01    |                           | 2 016,2                    | 208                  |                              |
| 737800 | DEFAULT    | 2              | 5        | Montée       | Maxi décollage | T_00    | 2 000                     |                            |                      |                              |

| ACFTID | Profile_ID | Longueur phase | No étape | Type étape   | Indice poussée | Flap_ID | Altitude point final (ft) | Vitesse de montée (ft/min) | CAS point final (kt) | Pourcentage accélération (%) |
|--------|------------|----------------|----------|--------------|----------------|---------|---------------------------|----------------------------|----------------------|------------------------------|
| 737800 | DEFAULT    | 2              | 6        | Montée       | Maxi montée    | T_00    | 3 000                     |                            |                      |                              |
| 737800 | DEFAULT    | 2              | 7        | Accélération | Maxi montée    | T_00    |                           | 1 793,4                    | 250                  |                              |
| 737800 | DEFAULT    | 2              | 8        | Montée       | Maxi montée    | T_00    | 5 500                     |                            |                      |                              |
| 737800 | DEFAULT    | 2              | 9        | Montée       | Maxi montée    | T_00    | 7 500                     |                            |                      |                              |
| 737800 | DEFAULT    | 2              | 10       | Montée       | Maxi montée    | T_00    | 10 000                    |                            |                      |                              |
| 737800 | DEFAULT    | 3              | 1        | Décollage    | Maxi décollage | T_05    |                           |                            |                      |                              |
| 737800 | DEFAULT    | 3              | 2        | Montée       | Maxi décollage | T_05    | 1 000                     |                            |                      |                              |
| 737800 | DEFAULT    | 3              | 3        | Accélération | Maxi décollage | T_05    |                           | 1 707,7                    | 186,2                |                              |
| 737800 | DEFAULT    | 3              | 4        | Accélération | Maxi décollage | T_05    |                           | 1 922                      | 211,2                |                              |
| 737800 | DEFAULT    | 3              | 5        | Montée       | Maxi décollage | T_00    | 1 960                     |                            |                      |                              |
| 737800 | DEFAULT    | 3              | 6        | Montée       | Maxi montée    | T_00    | 3 000                     |                            |                      |                              |
| 737800 | DEFAULT    | 3              | 7        | Accélération | Maxi montée    | T_00    |                           | 1 705,3                    | 250                  |                              |
| 737800 | DEFAULT    | 3              | 8        | Montée       | Maxi montée    | T_00    | 5 500                     |                            |                      |                              |
| 737800 | DEFAULT    | 3              | 9        | Montée       | Maxi montée    | T_00    | 7 500                     |                            |                      |                              |
| 737800 | DEFAULT    | 3              | 10       | Montée       | Maxi montée    | T_00    | 10 000                    |                            |                      |                              |
| 737800 | DEFAULT    | 4              | 1        | Décollage    | Maxi décollage | T_05    |                           |                            |                      |                              |
| 737800 | DEFAULT    | 4              | 2        | Montée       | Maxi décollage | T_05    | 1 000                     |                            |                      |                              |
| 737800 | DEFAULT    | 4              | 3        | Accélération | Maxi décollage | T_05    |                           | 1 576,6                    | 189,6                |                              |
| 737800 | DEFAULT    | 4              | 4        | Accélération | Maxi décollage | T_01    |                           | 1 766,9                    | 216,2                |                              |
| 737800 | DEFAULT    | 4              | 5        | Montée       | Maxi décollage | T_00    | 1 880                     |                            |                      |                              |

| ACFTID | Profile_ID | Longueur phase | No étape | Type étape   | Indice poussée | Flap_ID | Altitude point final (ft) | Vitesse de montée (ft/min) | CAS point final (kt) | Pourcentage accélération (%) |
|--------|------------|----------------|----------|--------------|----------------|---------|---------------------------|----------------------------|----------------------|------------------------------|
| 737800 | DEFAULT    | 4              | 6        | Montée       | Maxi montée    | T_00    | 3 000                     |                            |                      |                              |
| 737800 | DEFAULT    | 4              | 7        | Accélération | Maxi montée    | T_00    |                           | 1 546,5                    | 250                  |                              |
| 737800 | DEFAULT    | 4              | 8        | Montée       | Maxi montée    | T_00    | 5 500                     |                            |                      |                              |
| 737800 | DEFAULT    | 4              | 9        | Montée       | Maxi montée    | T_00    | 7 500                     |                            |                      |                              |
| 737800 | DEFAULT    | 4              | 10       | Montée       | Maxi montée    | T_00    | 10 000                    |                            |                      |                              |
| 737800 | DEFAULT    | 5              | 1        | Décollage    | Maxi décollage | T_05    |                           |                            |                      |                              |
| 737800 | DEFAULT    | 5              | 2        | Montée       | Maxi décollage | T_05    | 1 000                     |                            |                      |                              |
| 737800 | DEFAULT    | 5              | 3        | Accélération | Maxi décollage | T_05    |                           | 1 444,9                    | 192,9                |                              |
| 737800 | DEFAULT    | 5              | 4        | Accélération | Maxi décollage | T_01    |                           | 1 628,6                    | 220,7                |                              |
| 737800 | DEFAULT    | 5              | 5        | Montée       | Maxi décollage | T_00    | 1 811                     |                            |                      |                              |
| 737800 | DEFAULT    | 5              | 6        | Montée       | Maxi montée    | T_00    | 3 000                     |                            |                      |                              |
| 737800 | DEFAULT    | 5              | 7        | Accélération | Maxi montée    | T_00    |                           | 1 412,2                    | 250                  |                              |
| 737800 | DEFAULT    | 5              | 8        | Montée       | Maxi montée    | T_00    | 5 500                     |                            |                      |                              |
| 737800 | DEFAULT    | 5              | 9        | Montée       | Maxi montée    | T_00    | 7 500                     |                            |                      |                              |
| 737800 | DEFAULT    | 5              | 10       | Montée       | Maxi montée    | T_00    | 10 000                    |                            |                      |                              |
| 737800 | DEFAULT    | 6              | 1        | Décollage    | Maxi décollage | T_05    |                           |                            |                      |                              |
| 737800 | DEFAULT    | 6              | 2        | Montée       | Maxi décollage | T_05    | 1 000                     |                            |                      |                              |
| 737800 | DEFAULT    | 6              | 3        | Accélération | Maxi décollage | T_05    |                           | 1 400                      | 194,4                |                              |
| 737800 | DEFAULT    | 6              | 4        | Accélération | Maxi décollage | T_01    |                           | 1 575,4                    | 222,7                |                              |
| 737800 | DEFAULT    | 6              | 5        | Montée       | Maxi décollage | T_00    | 1 785                     |                            |                      |                              |

| ACFTID | Profile_ID | Longueur phase | No étape | Type étape   | Indice poussée | Flap_ID | Altitude point final (ft) | Vitesse de montée (ft/min) | CAS point final (kt) | Pourcentage accélération (%) |
|--------|------------|----------------|----------|--------------|----------------|---------|---------------------------|----------------------------|----------------------|------------------------------|
| 737800 | DEFAULT    | 6              | 6        | Montée       | Maxi montée    | T_00    | 3 000                     |                            |                      |                              |
| 737800 | DEFAULT    | 6              | 7        | Accélération | Maxi montée    | T_00    |                           | 1 357,5                    | 250                  |                              |
| 737800 | DEFAULT    | 6              | 8        | Montée       | Maxi montée    | T_00    | 5 500                     |                            |                      |                              |
| 737800 | DEFAULT    | 6              | 9        | Montée       | Maxi montée    | T_00    | 7 500                     |                            |                      |                              |
| 737800 | DEFAULT    | 6              | 10       | Montée       | Maxi montée    | T_00    | 10 000                    |                            |                      |                              |
| 737800 | ICAO_A     | 1              | 1        | Décollage    | Maxi décollage | T_05    |                           |                            |                      |                              |
| 737800 | ICAO_A     | 1              | 2        | Montée       | Maxi décollage | T_05    | 1 500                     |                            |                      |                              |
| 737800 | ICAO_A     | 1              | 3        | Montée       | Maxi montée    | T_05    | 3 000                     |                            |                      |                              |
| 737800 | ICAO_A     | 1              | 4        | Accélération | Maxi montée    | T_05    |                           | 1 449,4                    | 177,2                |                              |
| 737800 | ICAO_A     | 1              | 5        | Accélération | Maxi montée    | T_01    |                           | 1 663,3                    | 204,6                |                              |
| 737800 | ICAO_A     | 1              | 6        | Montée       | Maxi montée    | T_00    | 3 807                     |                            |                      |                              |
| 737800 | ICAO_A     | 1              | 7        | Accélération | Maxi montée    | T_00    |                           | 1 896,8                    | 250                  |                              |
| 737800 | ICAO_A     | 1              | 8        | Montée       | Maxi montée    | T_00    | 5 500                     |                            |                      |                              |
| 737800 | ICAO_A     | 1              | 9        | Montée       | Maxi montée    | T_00    | 7 500                     |                            |                      |                              |
| 737800 | ICAO_A     | 1              | 10       | Montée       | Maxi montée    | T_00    | 10 000                    |                            |                      |                              |
| 737800 | ICAO_A     | 2              | 1        | Décollage    | Maxi décollage | T_05    |                           |                            |                      |                              |
| 737800 | ICAO_A     | 2              | 2        | Montée       | Maxi décollage | T_05    | 1 500                     |                            |                      |                              |
| 737800 | ICAO_A     | 2              | 3        | Montée       | Maxi montée    | T_05    | 3 000                     |                            |                      |                              |
| 737800 | ICAO_A     | 2              | 4        | Accélération | Maxi montée    | T_05    |                           | 1 372,3                    | 179,6                |                              |
| 737800 | ICAO_A     | 2              | 5        | Accélération | Maxi montée    | T_01    |                           | 1 579,3                    | 207,8                |                              |

| ACFTID | Profile_ID | Longueur phase | No étape | Type étape   | Indice poussée | Flap_ID | Altitude point final (ft) | Vitesse de montée (ft/min) | CAS point final (kt) | Pourcentage accélération (%) |
|--------|------------|----------------|----------|--------------|----------------|---------|---------------------------|----------------------------|----------------------|------------------------------|
| 737800 | ICAO_A     | 2              | 6        | Montée       | Maxi montée    | T_00    | 3 772                     |                            |                      |                              |
| 737800 | ICAO_A     | 2              | 7        | Accélération | Maxi montée    | T_00    |                           | 1 804,3                    | 250                  |                              |
| 737800 | ICAO_A     | 2              | 8        | Montée       | Maxi montée    | T_00    | 5 500                     |                            |                      |                              |
| 737800 | ICAO_A     | 2              | 9        | Montée       | Maxi montée    | T_00    | 7 500                     |                            |                      |                              |
| 737800 | ICAO_A     | 2              | 10       | Montée       | Maxi montée    | T_00    | 10 000                    |                            |                      |                              |
| 737800 | ICAO_A     | 3              | 1        | Décollage    | Maxi décollage | T_05    |                           |                            |                      |                              |
| 737800 | ICAO_A     | 3              | 2        | Montée       | Maxi décollage | T_05    | 1 500                     |                            |                      |                              |
| 737800 | ICAO_A     | 3              | 3        | Montée       | Maxi montée    | T_05    | 3 000                     |                            |                      |                              |
| 737800 | ICAO_A     | 3              | 4        | Accélération | Maxi montée    | T_05    |                           | 1 297                      | 182,1                |                              |
| 737800 | ICAO_A     | 3              | 5        | Accélération | Maxi montée    | T_01    |                           | 1 496,9                    | 211                  |                              |
| 737800 | ICAO_A     | 3              | 6        | Montée       | Maxi montée    | T_00    | 3 737                     |                            |                      |                              |
| 737800 | ICAO_A     | 3              | 7        | Accélération | Maxi montée    | T_00    |                           | 1 701,8                    | 250                  |                              |
| 737800 | ICAO_A     | 3              | 8        | Montée       | Maxi montée    | T_00    | 5 500                     |                            |                      |                              |
| 737800 | ICAO_A     | 3              | 9        | Montée       | Maxi montée    | T_00    | 7 500                     |                            |                      |                              |
| 737800 | ICAO_A     | 3              | 10       | Montée       | Maxi montée    | T_00    | 10 000                    |                            |                      |                              |
| 737800 | ICAO_A     | 4              | 1        | Décollage    | Maxi décollage | T_05    |                           |                            |                      |                              |
| 737800 | ICAO_A     | 4              | 2        | Montée       | Maxi décollage | T_05    | 1 500                     |                            |                      |                              |
| 737800 | ICAO_A     | 4              | 3        | Montée       | Maxi montée    | T_05    | 3 000                     |                            |                      |                              |
| 737800 | ICAO_A     | 4              | 4        | Accélération | Maxi montée    | T_05    |                           | 1 194,2                    | 185,8                |                              |
| 737800 | ICAO_A     | 4              | 5        | Accélération | Maxi montée    | T_01    |                           | 1 352,1                    | 214,8                |                              |

| ACFTID | Profile_ID | Longueur phase | No étape | Type étape   | Indice poussée | Flap_ID | Altitude point final (ft) | Vitesse de montée (ft/min) | CAS point final (kt) | Pourcentage accélération (%) |
|--------|------------|----------------|----------|--------------|----------------|---------|---------------------------|----------------------------|----------------------|------------------------------|
| 737800 | ICAO_A     | 4              | 6        | Accélération | Maxi montée    | T_00    |                           | 1 548,2                    | 250                  |                              |
| 737800 | ICAO_A     | 4              | 7        | Montée       | Maxi montée    | T_00    | 5 500                     |                            |                      |                              |
| 737800 | ICAO_A     | 4              | 8        | Montée       | Maxi montée    | T_00    | 7 500                     |                            |                      |                              |
| 737800 | ICAO_A     | 4              | 9        | Montée       | Maxi montée    | T_00    | 10 000                    |                            |                      |                              |
| 737800 | ICAO_A     | 5              | 1        | Décollage    | Maxi décollage | T_05    |                           |                            |                      |                              |
| 737800 | ICAO_A     | 5              | 2        | Montée       | Maxi décollage | T_05    | 1 500                     |                            |                      |                              |
| 737800 | ICAO_A     | 5              | 3        | Montée       | Maxi montée    | T_05    | 3 000                     |                            |                      |                              |
| 737800 | ICAO_A     | 5              | 4        | Accélération | Maxi montée    | T_05    |                           | 1 078,9                    | 189,4                |                              |
| 737800 | ICAO_A     | 5              | 5        | Accélération | Maxi montée    | T_01    |                           | 1 233,3                    | 217,4                |                              |
| 737800 | ICAO_A     | 5              | 6        | Accélération | Maxi montée    | T_00    |                           | 1 403,6                    | 250                  |                              |
| 737800 | ICAO_A     | 5              | 7        | Montée       | Maxi montée    | T_00    | 5 500                     |                            |                      |                              |
| 737800 | ICAO_A     | 5              | 8        | Montée       | Maxi montée    | T_00    | 7 500                     |                            |                      |                              |
| 737800 | ICAO_A     | 5              | 9        | Montée       | Maxi montée    | T_00    | 10 000                    |                            |                      |                              |
| 737800 | ICAO_A     | 6              | 1        | Décollage    | Maxi décollage | T_05    |                           |                            |                      |                              |
| 737800 | ICAO_A     | 6              | 2        | Montée       | Maxi décollage | T_05    | 1 500                     |                            |                      |                              |
| 737800 | ICAO_A     | 6              | 3        | Montée       | Maxi montée    | T_05    | 3 000                     |                            |                      |                              |
| 737800 | ICAO_A     | 6              | 4        | Accélération | Maxi montée    | T_05    |                           | 1 037,8                    | 190,9                |                              |
| 737800 | ICAO_A     | 6              | 5        | Accélération | Maxi montée    | T_01    |                           | 1 182,7                    | 218,6                |                              |
| 737800 | ICAO_A     | 6              | 6        | Accélération | Maxi montée    | T_00    |                           | 1 349,5                    | 250                  |                              |
| 737800 | ICAO_A     | 6              | 7        | Montée       | Maxi montée    | T_00    | 5 500                     |                            |                      |                              |

| ACFTID | Profile_ID | Longueur phase | No étape | Type étape   | Indice poussée | Flap_ID | Altitude point final (ft) | Vitesse de montée (ft/min) | CAS point final (kt) | Pourcentage accélération (%) |
|--------|------------|----------------|----------|--------------|----------------|---------|---------------------------|----------------------------|----------------------|------------------------------|
| 737800 | ICAO_A     | 6              | 8        | Montée       | Maxi montée    | T_00    | 7 500                     |                            |                      |                              |
| 737800 | ICAO_A     | 6              | 9        | Montée       | Maxi montée    | T_00    | 10 000                    |                            |                      |                              |
| 737800 | ICAO_B     | 1              | 1        | Décollage    | Maxi décollage | T_05    |                           |                            |                      |                              |
| 737800 | ICAO_B     | 1              | 2        | Montée       | Maxi décollage | T_05    | 1 000                     |                            |                      |                              |
| 737800 | ICAO_B     | 1              | 3        | Accélération | Maxi décollage | T_05    |                           | 1 885,7                    | 181,7                |                              |
| 737800 | ICAO_B     | 1              | 4        | Accélération | Maxi décollage | T_01    |                           | 2 112                      | 204,8                |                              |
| 737800 | ICAO_B     | 1              | 5        | Montée       | Maxi décollage | T_00    | 2 040                     |                            |                      |                              |
| 737800 | ICAO_B     | 1              | 6        | Montée       | Maxi montée    | T_00    | 3 000                     |                            |                      |                              |
| 737800 | ICAO_B     | 1              | 7        | Accélération | Maxi montée    | T_00    |                           | 1 891,3                    | 250                  |                              |
| 737800 | ICAO_B     | 1              | 8        | Montée       | Maxi montée    | T_00    | 5 500                     |                            |                      |                              |
| 737800 | ICAO_B     | 1              | 9        | Montée       | Maxi montée    | T_00    | 7 500                     |                            |                      |                              |
| 737800 | ICAO_B     | 1              | 10       | Montée       | Maxi montée    | T_00    | 10 000                    |                            |                      |                              |
| 737800 | ICAO_B     | 2              | 1        | Décollage    | Maxi décollage | T_05    |                           |                            |                      |                              |
| 737800 | ICAO_B     | 2              | 2        | Montée       | Maxi décollage | T_05    | 1 000                     |                            |                      |                              |
| 737800 | ICAO_B     | 2              | 3        | Accélération | Maxi décollage | T_05    |                           | 1 786,4                    | 183,9                |                              |
| 737800 | ICAO_B     | 2              | 4        | Accélération | Maxi décollage | T_01    |                           | 2 016,2                    | 208                  |                              |
| 737800 | ICAO_B     | 2              | 5        | Montée       | Maxi décollage | T_00    | 2 000                     |                            |                      |                              |
| 737800 | ICAO_B     | 2              | 6        | Montée       | Maxi montée    | T_00    | 3 000                     |                            |                      |                              |
| 737800 | ICAO_B     | 2              | 7        | Accélération | Maxi montée    | T_00    |                           | 1 793,4                    | 250                  |                              |
| 737800 | ICAO_B     | 2              | 8        | Montée       | Maxi montée    | T_00    | 5 500                     |                            |                      |                              |

| ACFTID | Profile_ID | Longueur phase | No étape | Type étape   | Indice poussée | Flap_ID | Altitude point final (ft) | Vitesse de montée (ft/min) | CAS point final (kt) | Pourcentage accélération (%) |
|--------|------------|----------------|----------|--------------|----------------|---------|---------------------------|----------------------------|----------------------|------------------------------|
| 737800 | ICAO_B     | 2              | 9        | Montée       | Maxi montée    | T_00    | 7 500                     |                            |                      |                              |
| 737800 | ICAO_B     | 2              | 10       | Montée       | Maxi montée    | T_00    | 10 000                    |                            |                      |                              |
| 737800 | ICAO_B     | 3              | 1        | Décollage    | Maxi décollage | T_05    |                           |                            |                      |                              |
| 737800 | ICAO_B     | 3              | 2        | Montée       | Maxi décollage | T_05    | 1 000                     |                            |                      |                              |
| 737800 | ICAO_B     | 3              | 3        | Accélération | Maxi décollage | T_05    |                           | 1 707,7                    | 186,2                |                              |
| 737800 | ICAO_B     | 3              | 4        | Accélération | Maxi décollage | T_05    |                           | 1 922                      | 211,2                |                              |
| 737800 | ICAO_B     | 3              | 5        | Montée       | Maxi décollage | T_00    | 1 960                     |                            |                      |                              |
| 737800 | ICAO_B     | 3              | 6        | Montée       | Maxi montée    | T_00    | 3 000                     |                            |                      |                              |
| 737800 | ICAO_B     | 3              | 7        | Accélération | Maxi montée    | T_00    |                           | 1 705,3                    | 250                  |                              |
| 737800 | ICAO_B     | 3              | 8        | Montée       | Maxi montée    | T_00    | 5 500                     |                            |                      |                              |
| 737800 | ICAO_B     | 3              | 9        | Montée       | Maxi montée    | T_00    | 7 500                     |                            |                      |                              |
| 737800 | ICAO_B     | 3              | 10       | Montée       | Maxi montée    | T_00    | 10 000                    |                            |                      |                              |
| 737800 | ICAO_B     | 4              | 1        | Décollage    | Maxi décollage | T_05    |                           |                            |                      |                              |
| 737800 | ICAO_B     | 4              | 2        | Montée       | Maxi décollage | T_05    | 1 000                     |                            |                      |                              |
| 737800 | ICAO_B     | 4              | 3        | Accélération | Maxi décollage | T_05    |                           | 1 576,6                    | 189,6                |                              |
| 737800 | ICAO_B     | 4              | 4        | Accélération | Maxi décollage | T_01    |                           | 1 766,9                    | 216,2                |                              |
| 737800 | ICAO_B     | 4              | 5        | Montée       | Maxi décollage | T_00    | 1 880                     |                            |                      |                              |
| 737800 | ICAO_B     | 4              | 6        | Montée       | Maxi montée    | T_00    | 3 000                     |                            |                      |                              |
| 737800 | ICAO_B     | 4              | 7        | Accélération | Maxi montée    | T_00    |                           | 1 546,5                    | 250                  |                              |
| 737800 | ICAO_B     | 4              | 8        | Montée       | Maxi montée    | T_00    | 5 500                     |                            |                      |                              |

| ACFTID | Profile_ID | Longueur phase | No étape | Type étape   | Indice poussée | Flap_ID | Altitude point final (ft) | Vitesse de montée (ft/min) | CAS point final (kt) | Pourcentage accélération (%) |
|--------|------------|----------------|----------|--------------|----------------|---------|---------------------------|----------------------------|----------------------|------------------------------|
| 737800 | ICAO_B     | 4              | 9        | Montée       | Maxi montée    | T_00    | 7 500                     |                            |                      |                              |
| 737800 | ICAO_B     | 4              | 10       | Montée       | Maxi montée    | T_00    | 10 000                    |                            |                      |                              |
| 737800 | ICAO_B     | 5              | 1        | Décollage    | Maxi décollage | T_05    |                           |                            |                      |                              |
| 737800 | ICAO_B     | 5              | 2        | Montée       | Maxi décollage | T_05    | 1 000                     |                            |                      |                              |
| 737800 | ICAO_B     | 5              | 3        | Accélération | Maxi décollage | T_05    |                           | 1 444,9                    | 192,9                |                              |
| 737800 | ICAO_B     | 5              | 4        | Accélération | Maxi décollage | T_01    |                           | 1 628,6                    | 220,7                |                              |
| 737800 | ICAO_B     | 5              | 5        | Montée       | Maxi décollage | T_00    | 1 811                     |                            |                      |                              |
| 737800 | ICAO_B     | 5              | 6        | Montée       | Maxi montée    | T_00    | 3 000                     |                            |                      |                              |
| 737800 | ICAO_B     | 5              | 7        | Accélération | Maxi montée    | T_00    |                           | 1 412,2                    | 250                  |                              |
| 737800 | ICAO_B     | 5              | 8        | Montée       | Maxi montée    | T_00    | 5 500                     |                            |                      |                              |
| 737800 | ICAO_B     | 5              | 9        | Montée       | Maxi montée    | T_00    | 7 500                     |                            |                      |                              |
| 737800 | ICAO_B     | 5              | 10       | Montée       | Maxi montée    | T_00    | 10 000                    |                            |                      |                              |
| 737800 | ICAO_B     | 6              | 1        | Décollage    | Maxi décollage | T_05    |                           |                            |                      |                              |
| 737800 | ICAO_B     | 6              | 2        | Montée       | Maxi décollage | T_05    | 1 000                     |                            |                      |                              |
| 737800 | ICAO_B     | 6              | 3        | Accélération | Maxi décollage | T_05    |                           | 1 400                      | 194,4                |                              |
| 737800 | ICAO_B     | 6              | 4        | Accélération | Maxi décollage | T_01    |                           | 1 575,4                    | 222,7                |                              |
| 737800 | ICAO_B     | 6              | 5        | Montée       | Maxi décollage | T_00    | 1 785                     |                            |                      |                              |
| 737800 | ICAO_B     | 6              | 6        | Montée       | Maxi montée    | T_00    | 3 000                     |                            |                      |                              |
| 737800 | ICAO_B     | 6              | 7        | Accélération | Maxi montée    | T_00    |                           | 1 357,5                    | 250                  |                              |
| 737800 | ICAO_B     | 6              | 8        | Montée       | Maxi montée    | T_00    | 5 500                     |                            |                      |                              |

| ACFTID | Profile_ID | Longueur phase | No étape | Type étape   | Indice poussée | Flap_ID | Altitude point final (ft) | Vitesse de montée (ft/min) | CAS point final (kt) | Pourcentage accélération (%) |
|--------|------------|----------------|----------|--------------|----------------|---------|---------------------------|----------------------------|----------------------|------------------------------|
| 737800 | ICAO_B     | 6              | 9        | Montée       | Maxi montée    | T_00    | 7 500                     |                            |                      |                              |
| 737800 | ICAO_B     | 6              | 10       | Montée       | Maxi montée    | T_00    | 10 000                    |                            |                      |                              |
| 737D17 | DEFAULT    | 1              | 1        | Décollage    | Maxi décollage | 5       |                           |                            |                      |                              |
| 737D17 | DEFAULT    | 1              | 2        | Montée       | Maxi décollage | 5       | 1 000                     |                            |                      |                              |
| 737D17 | DEFAULT    | 1              | 3        | Accélération | Maxi décollage | 5       |                           | 2 279                      | 152                  |                              |
| 737D17 | DEFAULT    | 1              | 4        | Accélération | Maxi décollage | INT     |                           | 1 709                      | 177                  |                              |
| 737D17 | DEFAULT    | 1              | 5        | Accélération | Maxi montée    | ZERO    |                           | 1 000                      | 210                  |                              |
| 737D17 | DEFAULT    | 1              | 6        | Montée       | Maxi montée    | ZERO    | 3 000                     |                            |                      |                              |
| 737D17 | DEFAULT    | 1              | 7        | Accélération | Maxi montée    | ZERO    |                           | 1 000                      | 250                  |                              |
| 737D17 | DEFAULT    | 1              | 8        | Montée       | Maxi montée    | ZERO    | 5 500                     |                            |                      |                              |
| 737D17 | DEFAULT    | 1              | 9        | Montée       | Maxi montée    | ZERO    | 7 500                     |                            |                      |                              |
| 737D17 | DEFAULT    | 1              | 10       | Montée       | Maxi montée    | ZERO    | 10 000                    |                            |                      |                              |
| 737D17 | DEFAULT    | 2              | 1        | Décollage    | Maxi décollage | 5       |                           |                            |                      |                              |
| 737D17 | DEFAULT    | 2              | 2        | Montée       | Maxi décollage | 5       | 1 000                     |                            |                      |                              |
| 737D17 | DEFAULT    | 2              | 3        | Accélération | Maxi décollage | 5       |                           | 2 155                      | 156                  |                              |
| 737D17 | DEFAULT    | 2              | 4        | Accélération | Maxi décollage | INT     |                           | 1 616                      | 181                  |                              |
| 737D17 | DEFAULT    | 2              | 5        | Accélération | Maxi montée    | ZERO    |                           | 1 000                      | 210                  |                              |
| 737D17 | DEFAULT    | 2              | 6        | Montée       | Maxi montée    | ZERO    | 3 000                     |                            |                      |                              |
| 737D17 | DEFAULT    | 2              | 7        | Accélération | Maxi montée    | ZERO    |                           | 1 000                      | 250                  |                              |
| 737D17 | DEFAULT    | 2              | 8        | Montée       | Maxi montée    | ZERO    | 5 500                     |                            |                      |                              |

| ACFTID | Profile_ID | Longueur phase | No étape | Type étape   | Indice poussée | Flap_ID | Altitude point final (ft) | Vitesse de montée (ft/min) | CAS point final (kt) | Pourcentage accélération (%) |
|--------|------------|----------------|----------|--------------|----------------|---------|---------------------------|----------------------------|----------------------|------------------------------|
| 737D17 | DEFAULT    | 2              | 9        | Montée       | Maxi montée    | ZERO    | 7 500                     |                            |                      |                              |
| 737D17 | DEFAULT    | 2              | 10       | Montée       | Maxi montée    | ZERO    | 10 000                    |                            |                      |                              |
| 737D17 | DEFAULT    | 3              | 1        | Décollage    | Maxi décollage | 5       |                           |                            |                      |                              |
| 737D17 | DEFAULT    | 3              | 2        | Montée       | Maxi décollage | 5       | 1 000                     |                            |                      |                              |
| 737D17 | DEFAULT    | 3              | 3        | Accélération | Maxi décollage | 5       |                           | 2 041                      | 160                  |                              |
| 737D17 | DEFAULT    | 3              | 4        | Accélération | Maxi décollage | INT     |                           | 1 531                      | 185                  |                              |
| 737D17 | DEFAULT    | 3              | 5        | Accélération | Maxi montée    | ZERO    |                           | 1 000                      | 210                  |                              |
| 737D17 | DEFAULT    | 3              | 6        | Montée       | Maxi montée    | ZERO    | 3 000                     |                            |                      |                              |
| 737D17 | DEFAULT    | 3              | 7        | Accélération | Maxi montée    | ZERO    |                           | 1 000                      | 250                  |                              |
| 737D17 | DEFAULT    | 3              | 8        | Montée       | Maxi montée    | ZERO    | 5 500                     |                            |                      |                              |
| 737D17 | DEFAULT    | 3              | 9        | Montée       | Maxi montée    | ZERO    | 7 500                     |                            |                      |                              |
| 737D17 | DEFAULT    | 3              | 10       | Montée       | Maxi montée    | ZERO    | 10 000                    |                            |                      |                              |
| 737D17 | DEFAULT    | 4              | 1        | Décollage    | Maxi décollage | 5       |                           |                            |                      |                              |
| 737D17 | DEFAULT    | 4              | 2        | Montée       | Maxi décollage | 5       | 1 000                     |                            |                      |                              |
| 737D17 | DEFAULT    | 4              | 3        | Accélération | Maxi décollage | 5       |                           | 1 935                      | 163                  |                              |
| 737D17 | DEFAULT    | 4              | 4        | Accélération | Maxi décollage | INT     |                           | 1 452                      | 188                  |                              |
| 737D17 | DEFAULT    | 4              | 5        | Accélération | Maxi montée    | ZERO    |                           | 1 000                      | 210                  |                              |
| 737D17 | DEFAULT    | 4              | 6        | Montée       | Maxi montée    | ZERO    | 3 000                     |                            |                      |                              |
| 737D17 | DEFAULT    | 4              | 7        | Accélération | Maxi montée    | ZERO    |                           | 1 000                      | 250                  |                              |
| 737D17 | DEFAULT    | 4              | 8        | Montée       | Maxi montée    | ZERO    | 5 500                     |                            |                      |                              |

| ACFTID | Profile_ID | Longueur phase | No étape | Type étape   | Indice poussée | Flap_ID | Altitude point final (ft) | Vitesse de montée (ft/min) | CAS point final (kt) | Pourcentage accélération (%) |
|--------|------------|----------------|----------|--------------|----------------|---------|---------------------------|----------------------------|----------------------|------------------------------|
| 737D17 | DEFAULT    | 4              | 9        | Montée       | Maxi montée    | ZERO    | 7 500                     |                            |                      |                              |
| 737D17 | DEFAULT    | 4              | 10       | Montée       | Maxi montée    | ZERO    | 10 000                    |                            |                      |                              |
| 737N17 | DEFAULT    | 1              | 1        | Décollage    | Maxi décollage | 5       |                           |                            |                      |                              |
| 737N17 | DEFAULT    | 1              | 2        | Montée       | Maxi décollage | 5       | 1 000                     |                            |                      |                              |
| 737N17 | DEFAULT    | 1              | 3        | Accélération | Maxi décollage | 5       |                           | 2 279                      | 152                  |                              |
| 737N17 | DEFAULT    | 1              | 4        | Accélération | Maxi décollage | INT     |                           | 1 709                      | 177                  |                              |
| 737N17 | DEFAULT    | 1              | 5        | Accélération | Maxi montée    | ZERO    |                           | 1 000                      | 210                  |                              |
| 737N17 | DEFAULT    | 1              | 6        | Montée       | Maxi montée    | ZERO    | 3 000                     |                            |                      |                              |
| 737N17 | DEFAULT    | 1              | 7        | Accélération | Maxi montée    | ZERO    |                           | 1 000                      | 250                  |                              |
| 737N17 | DEFAULT    | 1              | 8        | Montée       | Maxi montée    | ZERO    | 5 500                     |                            |                      |                              |
| 737N17 | DEFAULT    | 1              | 9        | Montée       | Maxi montée    | ZERO    | 7 500                     |                            |                      |                              |
| 737N17 | DEFAULT    | 1              | 10       | Montée       | Maxi montée    | ZERO    | 10 000                    |                            |                      |                              |
| 737N17 | DEFAULT    | 2              | 1        | Décollage    | Maxi décollage | 5       |                           |                            |                      |                              |
| 737N17 | DEFAULT    | 2              | 2        | Montée       | Maxi décollage | 5       | 1 000                     |                            |                      |                              |
| 737N17 | DEFAULT    | 2              | 3        | Accélération | Maxi décollage | 5       |                           | 2 155                      | 156                  |                              |
| 737N17 | DEFAULT    | 2              | 4        | Accélération | Maxi décollage | INT     |                           | 1 616                      | 181                  |                              |
| 737N17 | DEFAULT    | 2              | 5        | Accélération | Maxi montée    | ZERO    |                           | 1 000                      | 210                  |                              |
| 737N17 | DEFAULT    | 2              | 6        | Montée       | Maxi montée    | ZERO    | 3 000                     |                            |                      |                              |
| 737N17 | DEFAULT    | 2              | 7        | Accélération | Maxi montée    | ZERO    |                           | 1 000                      | 250                  |                              |
| 737N17 | DEFAULT    | 2              | 8        | Montée       | Maxi montée    | ZERO    | 5 500                     |                            |                      |                              |

| ACFTID | Profile_ID | Longueur phase | No étape | Type étape   | Indice poussée | Flap_ID | Altitude point final (ft) | Vitesse de montée (ft/min) | CAS point final (kt) | Pourcentage accélération (%) |
|--------|------------|----------------|----------|--------------|----------------|---------|---------------------------|----------------------------|----------------------|------------------------------|
| 737N17 | DEFAULT    | 2              | 9        | Montée       | Maxi montée    | ZERO    | 7 500                     |                            |                      |                              |
| 737N17 | DEFAULT    | 2              | 10       | Montée       | Maxi montée    | ZERO    | 10 000                    |                            |                      |                              |
| 737N17 | DEFAULT    | 3              | 1        | Décollage    | Maxi décollage | 5       |                           |                            |                      |                              |
| 737N17 | DEFAULT    | 3              | 2        | Montée       | Maxi décollage | 5       | 1 000                     |                            |                      |                              |
| 737N17 | DEFAULT    | 3              | 3        | Accélération | Maxi décollage | 5       |                           | 2 041                      | 160                  |                              |
| 737N17 | DEFAULT    | 3              | 4        | Accélération | Maxi décollage | INT     |                           | 1 531                      | 185                  |                              |
| 737N17 | DEFAULT    | 3              | 5        | Accélération | Maxi montée    | ZERO    |                           | 1 000                      | 210                  |                              |
| 737N17 | DEFAULT    | 3              | 6        | Montée       | Maxi montée    | ZERO    | 3 000                     |                            |                      |                              |
| 737N17 | DEFAULT    | 3              | 7        | Accélération | Maxi montée    | ZERO    |                           | 1 000                      | 250                  |                              |
| 737N17 | DEFAULT    | 3              | 8        | Montée       | Maxi montée    | ZERO    | 5 500                     |                            |                      |                              |
| 737N17 | DEFAULT    | 3              | 9        | Montée       | Maxi montée    | ZERO    | 7 500                     |                            |                      |                              |
| 737N17 | DEFAULT    | 3              | 10       | Montée       | Maxi montée    | ZERO    | 10 000                    |                            |                      |                              |
| 737N17 | DEFAULT    | 4              | 1        | Décollage    | Maxi décollage | 5       |                           |                            |                      |                              |
| 737N17 | DEFAULT    | 4              | 2        | Montée       | Maxi décollage | 5       | 1 000                     |                            |                      |                              |
| 737N17 | DEFAULT    | 4              | 3        | Accélération | Maxi décollage | 5       |                           | 1 935                      | 163                  |                              |
| 737N17 | DEFAULT    | 4              | 4        | Accélération | Maxi décollage | INT     |                           | 1 452                      | 188                  |                              |
| 737N17 | DEFAULT    | 4              | 5        | Accélération | Maxi montée    | ZERO    |                           | 1 000                      | 210                  |                              |
| 737N17 | DEFAULT    | 4              | 6        | Montée       | Maxi montée    | ZERO    | 3 000                     |                            |                      |                              |
| 737N17 | DEFAULT    | 4              | 7        | Accélération | Maxi montée    | ZERO    |                           | 1 000                      | 250                  |                              |
| 737N17 | DEFAULT    | 4              | 8        | Montée       | Maxi montée    | ZERO    | 5 500                     |                            |                      |                              |

| ACFTID | Profile_ID | Longueur phase | No étape | Type étape   | Indice poussée | Flap_ID | Altitude point final (ft) | Vitesse de montée (ft/min) | CAS point final (kt) | Pourcentage accélération (%) |
|--------|------------|----------------|----------|--------------|----------------|---------|---------------------------|----------------------------|----------------------|------------------------------|
| 737N17 | DEFAULT    | 4              | 9        | Montée       | Maxi montée    | ZERO    | 7 500                     |                            |                      |                              |
| 737N17 | DEFAULT    | 4              | 10       | Montée       | Maxi montée    | ZERO    | 10 000                    |                            |                      |                              |
| 737N9  | DEFAULT    | 1              | 1        | Décollage    | Maxi décollage | 5       |                           |                            |                      |                              |
| 737N9  | DEFAULT    | 1              | 2        | Montée       | Maxi décollage | 5       | 1 000                     |                            |                      |                              |
| 737N9  | DEFAULT    | 1              | 3        | Accélération | Maxi décollage | 5       |                           | 2 090                      | 146                  |                              |
| 737N9  | DEFAULT    | 1              | 4        | Accélération | Maxi décollage | INT     |                           | 1 568                      | 171                  |                              |
| 737N9  | DEFAULT    | 1              | 5        | Accélération | Maxi montée    | ZERO    |                           | 1 000                      | 210                  |                              |
| 737N9  | DEFAULT    | 1              | 6        | Montée       | Maxi montée    | ZERO    | 3 000                     |                            |                      |                              |
| 737N9  | DEFAULT    | 1              | 7        | Accélération | Maxi montée    | ZERO    |                           | 1 000                      | 250                  |                              |
| 737N9  | DEFAULT    | 1              | 8        | Montée       | Maxi montée    | ZERO    | 5 500                     |                            |                      |                              |
| 737N9  | DEFAULT    | 1              | 9        | Montée       | Maxi montée    | ZERO    | 7 500                     |                            |                      |                              |
| 737N9  | DEFAULT    | 1              | 10       | Montée       | Maxi montée    | ZERO    | 10 000                    |                            |                      |                              |
| 737N9  | DEFAULT    | 2              | 1        | Décollage    | Maxi décollage | 5       |                           |                            |                      |                              |
| 737N9  | DEFAULT    | 2              | 2        | Montée       | Maxi décollage | 5       | 1 000                     |                            |                      |                              |
| 737N9  | DEFAULT    | 2              | 3        | Accélération | Maxi décollage | 5       |                           | 2 014                      | 149                  |                              |
| 737N9  | DEFAULT    | 2              | 4        | Accélération | Maxi décollage | INT     |                           | 1 511                      | 174                  |                              |
| 737N9  | DEFAULT    | 2              | 5        | Accélération | Maxi montée    | ZERO    |                           | 1 000                      | 210                  |                              |
| 737N9  | DEFAULT    | 2              | 6        | Montée       | Maxi montée    | ZERO    | 3 000                     |                            |                      |                              |
| 737N9  | DEFAULT    | 2              | 7        | Accélération | Maxi montée    | ZERO    |                           | 1 000                      | 250                  |                              |
| 737N9  | DEFAULT    | 2              | 8        | Montée       | Maxi montée    | ZERO    | 5 500                     |                            |                      |                              |

| ACFTID | Profile_ID | Longueur phase | No étape | Type étape   | Indice poussée | Flap_ID | Altitude point final (ft) | Vitesse de montée (ft/min) | CAS point final (kt) | Pourcentage accélération (%) |
|--------|------------|----------------|----------|--------------|----------------|---------|---------------------------|----------------------------|----------------------|------------------------------|
| 737N9  | DEFAULT    | 2              | 9        | Montée       | Maxi montée    | ZERO    | 7 500                     |                            |                      |                              |
| 737N9  | DEFAULT    | 2              | 10       | Montée       | Maxi montée    | ZERO    | 10 000                    |                            |                      |                              |
| 737N9  | DEFAULT    | 3              | 1        | Décollage    | Maxi décollage | 5       |                           |                            |                      |                              |
| 737N9  | DEFAULT    | 3              | 2        | Montée       | Maxi décollage | 5       | 1 000                     |                            |                      |                              |
| 737N9  | DEFAULT    | 3              | 3        | Accélération | Maxi décollage | 5       |                           | 1 851                      | 154                  |                              |
| 737N9  | DEFAULT    | 3              | 4        | Accélération | Maxi décollage | INT     |                           | 1 388                      | 179                  |                              |
| 737N9  | DEFAULT    | 3              | 5        | Accélération | Maxi montée    | ZERO    |                           | 1 000                      | 210                  |                              |
| 737N9  | DEFAULT    | 3              | 6        | Montée       | Maxi montée    | ZERO    | 3 000                     |                            |                      |                              |
| 737N9  | DEFAULT    | 3              | 7        | Accélération | Maxi montée    | ZERO    |                           | 1 000                      | 250                  |                              |
| 737N9  | DEFAULT    | 3              | 8        | Montée       | Maxi montée    | ZERO    | 5 500                     |                            |                      |                              |
| 737N9  | DEFAULT    | 3              | 9        | Montée       | Maxi montée    | ZERO    | 7 500                     |                            |                      |                              |
| 737N9  | DEFAULT    | 3              | 10       | Montée       | Maxi montée    | ZERO    | 10 000                    |                            |                      |                              |
| 737N9  | DEFAULT    | 4              | 1        | Décollage    | Maxi décollage | 5       |                           |                            |                      |                              |
| 737N9  | DEFAULT    | 4              | 2        | Montée       | Maxi décollage | 5       | 1 000                     |                            |                      |                              |
| 737N9  | DEFAULT    | 4              | 3        | Accélération | Maxi décollage | 5       |                           | 1 685                      | 160                  |                              |
| 737N9  | DEFAULT    | 4              | 4        | Accélération | Maxi décollage | INT     |                           | 1 264                      | 185                  |                              |
| 737N9  | DEFAULT    | 4              | 5        | Accélération | Maxi montée    | ZERO    |                           | 1 000                      | 210                  |                              |
| 737N9  | DEFAULT    | 4              | 6        | Montée       | Maxi montée    | ZERO    | 3 000                     |                            |                      |                              |
| 737N9  | DEFAULT    | 4              | 7        | Accélération | Maxi montée    | ZERO    |                           | 1 000                      | 250                  |                              |
| 737N9  | DEFAULT    | 4              | 8        | Montée       | Maxi montée    | ZERO    | 5 500                     |                            |                      |                              |

| ACFTID | Profile_ID | Longueur phase | No étape | Type étape   | Indice poussée | Flap_ID | Altitude point final (ft) | Vitesse de montée (ft/min) | CAS point final (kt) | Pourcentage accélération (%) |
|--------|------------|----------------|----------|--------------|----------------|---------|---------------------------|----------------------------|----------------------|------------------------------|
| 737N9  | DEFAULT    | 4              | 9        | Montée       | Maxi montée    | ZERO    | 7 500                     |                            |                      |                              |
| 737N9  | DEFAULT    | 4              | 10       | Montée       | Maxi montée    | ZERO    | 10 000                    |                            |                      |                              |
| 737QN  | DEFAULT    | 1              | 1        | Décollage    | Maxi décollage | 5       |                           |                            |                      |                              |
| 737QN  | DEFAULT    | 1              | 2        | Montée       | Maxi décollage | 5       | 1 000                     |                            |                      |                              |
| 737QN  | DEFAULT    | 1              | 3        | Accélération | Maxi décollage | 5       |                           | 2 090                      | 146                  |                              |
| 737QN  | DEFAULT    | 1              | 4        | Accélération | Maxi décollage | INT     |                           | 1 568                      | 171                  |                              |
| 737QN  | DEFAULT    | 1              | 5        | Accélération | Maxi montée    | ZERO    |                           | 1 000                      | 210                  |                              |
| 737QN  | DEFAULT    | 1              | 6        | Montée       | Maxi montée    | ZERO    | 3 000                     |                            |                      |                              |
| 737QN  | DEFAULT    | 1              | 7        | Accélération | Maxi montée    | ZERO    |                           | 1 000                      | 250                  |                              |
| 737QN  | DEFAULT    | 1              | 8        | Montée       | Maxi montée    | ZERO    | 5 500                     |                            |                      |                              |
| 737QN  | DEFAULT    | 1              | 9        | Montée       | Maxi montée    | ZERO    | 7 500                     |                            |                      |                              |
| 737QN  | DEFAULT    | 1              | 10       | Montée       | Maxi montée    | ZERO    | 10 000                    |                            |                      |                              |
| 737QN  | DEFAULT    | 2              | 1        | Décollage    | Maxi décollage | 5       |                           |                            |                      |                              |
| 737QN  | DEFAULT    | 2              | 2        | Montée       | Maxi décollage | 5       | 1 000                     |                            |                      |                              |
| 737QN  | DEFAULT    | 2              | 3        | Accélération | Maxi décollage | 5       |                           | 2 014                      | 149                  |                              |
| 737QN  | DEFAULT    | 2              | 4        | Accélération | Maxi décollage | INT     |                           | 1 511                      | 174                  |                              |
| 737QN  | DEFAULT    | 2              | 5        | Accélération | Maxi montée    | ZERO    |                           | 1 000                      | 210                  |                              |
| 737QN  | DEFAULT    | 2              | 6        | Montée       | Maxi montée    | ZERO    | 3 000                     |                            |                      |                              |
| 737QN  | DEFAULT    | 2              | 7        | Accélération | Maxi montée    | ZERO    |                           | 1 000                      | 250                  |                              |
| 737QN  | DEFAULT    | 2              | 8        | Montée       | Maxi montée    | ZERO    | 5 500                     |                            |                      |                              |

| ACFTID | Profile_ID | Longueur phase | No étape | Type étape   | Indice poussée | Flap_ID | Altitude point final (ft) | Vitesse de montée (ft/min) | CAS point final (kt) | Pourcentage_accélération (%) |
|--------|------------|----------------|----------|--------------|----------------|---------|---------------------------|----------------------------|----------------------|------------------------------|
| 737QN  | DEFAULT    | 2              | 9        | Montée       | Maxi montée    | ZERO    | 7 500                     |                            |                      |                              |
| 737QN  | DEFAULT    | 2              | 10       | Montée       | Maxi montée    | ZERO    | 10 000                    |                            |                      |                              |
| 737QN  | DEFAULT    | 3              | 1        | Décollage    | Maxi décollage | 5       |                           |                            |                      |                              |
| 737QN  | DEFAULT    | 3              | 2        | Montée       | Maxi décollage | 5       | 1 000                     |                            |                      |                              |
| 737QN  | DEFAULT    | 3              | 3        | Accélération | Maxi décollage | 5       |                           | 1 851                      | 154                  |                              |
| 737QN  | DEFAULT    | 3              | 4        | Accélération | Maxi décollage | INT     |                           | 1 388                      | 179                  |                              |
| 737QN  | DEFAULT    | 3              | 5        | Accélération | Maxi montée    | ZERO    |                           | 1 000                      | 210                  |                              |
| 737QN  | DEFAULT    | 3              | 6        | Montée       | Maxi montée    | ZERO    | 3 000                     |                            |                      |                              |
| 737QN  | DEFAULT    | 3              | 7        | Accélération | Maxi montée    | ZERO    |                           | 1 000                      | 250                  |                              |
| 737QN  | DEFAULT    | 3              | 8        | Montée       | Maxi montée    | ZERO    | 5 500                     |                            |                      |                              |
| 737QN  | DEFAULT    | 3              | 9        | Montée       | Maxi montée    | ZERO    | 7 500                     |                            |                      |                              |
| 737QN  | DEFAULT    | 3              | 10       | Montée       | Maxi montée    | ZERO    | 10 000                    |                            |                      |                              |
| 737QN  | DEFAULT    | 4              | 1        | Décollage    | Maxi décollage | 5       |                           |                            |                      |                              |
| 737QN  | DEFAULT    | 4              | 2        | Montée       | Maxi décollage | 5       | 1 000                     |                            |                      |                              |
| 737QN  | DEFAULT    | 4              | 3        | Accélération | Maxi décollage | 5       |                           | 1 685                      | 160                  |                              |
| 737QN  | DEFAULT    | 4              | 4        | Accélération | Maxi décollage | INT     |                           | 1 264                      | 185                  |                              |
| 737QN  | DEFAULT    | 4              | 5        | Accélération | Maxi montée    | ZERO    |                           | 1 000                      | 210                  |                              |
| 737QN  | DEFAULT    | 4              | 6        | Montée       | Maxi montée    | ZERO    | 3 000                     |                            |                      |                              |
| 737QN  | DEFAULT    | 4              | 7        | Accélération | Maxi montée    | ZERO    |                           | 1 000                      | 250                  |                              |
| 737QN  | DEFAULT    | 4              | 8        | Montée       | Maxi montée    | ZERO    | 5 500                     |                            |                      |                              |

| ACFTID | Profile_ID | Longueur phase | No étape | Type étape   | Indice poussée | Flap_ID | Altitude point final (ft) | Vitesse de montée (ft/min) | CAS point final (kt) | Pourcentage accélération (%) |
|--------|------------|----------------|----------|--------------|----------------|---------|---------------------------|----------------------------|----------------------|------------------------------|
| 737QN  | DEFAULT    | 4              | 9        | Montée       | Maxi montée    | ZERO    | 7 500                     |                            |                      |                              |
| 737QN  | DEFAULT    | 4              | 10       | Montée       | Maxi montée    | ZERO    | 10 000                    |                            |                      |                              |
| 74710Q | DEFAULT    | 1              | 1        | Décollage    | Maxi décollage | 10      |                           |                            |                      |                              |
| 74710Q | DEFAULT    | 1              | 2        | Montée       | Maxi décollage | 10      | 1 000                     |                            |                      |                              |
| 74710Q | DEFAULT    | 1              | 3        | Accélération | Maxi décollage | 10      |                           | 2 071                      | 176                  |                              |
| 74710Q | DEFAULT    | 1              | 4        | Accélération | Maxi montée    | 5       |                           | 1 000                      | 216                  |                              |
| 74710Q | DEFAULT    | 1              | 5        | Montée       | Maxi montée    | ZERO    | 3 000                     |                            |                      |                              |
| 74710Q | DEFAULT    | 1              | 6        | Accélération | Maxi montée    | ZERO    |                           | 1 000                      | 250                  |                              |
| 74710Q | DEFAULT    | 1              | 7        | Montée       | Maxi montée    | ZERO    | 5 500                     |                            |                      |                              |
| 74710Q | DEFAULT    | 1              | 8        | Montée       | Maxi montée    | ZERO    | 7 500                     |                            |                      |                              |
| 74710Q | DEFAULT    | 1              | 9        | Montée       | Maxi montée    | ZERO    | 10 000                    |                            |                      |                              |
| 74710Q | DEFAULT    | 2              | 1        | Décollage    | Maxi décollage | 10      |                           |                            |                      |                              |
| 74710Q | DEFAULT    | 2              | 2        | Montée       | Maxi décollage | 10      | 1 000                     |                            |                      |                              |
| 74710Q | DEFAULT    | 2              | 3        | Accélération | Maxi décollage | 10      |                           | 1 972                      | 179                  |                              |
| 74710Q | DEFAULT    | 2              | 4        | Accélération | Maxi montée    | 5       |                           | 1 000                      | 219                  |                              |
| 74710Q | DEFAULT    | 2              | 5        | Montée       | Maxi montée    | ZERO    | 3 000                     |                            |                      |                              |
| 74710Q | DEFAULT    | 2              | 6        | Accélération | Maxi montée    | ZERO    |                           | 1 000                      | 250                  |                              |
| 74710Q | DEFAULT    | 2              | 7        | Montée       | Maxi montée    | ZERO    | 5 500                     |                            |                      |                              |
| 74710Q | DEFAULT    | 2              | 8        | Montée       | Maxi montée    | ZERO    | 7 500                     |                            |                      |                              |
| 74710Q | DEFAULT    | 2              | 9        | Montée       | Maxi montée    | ZERO    | 10 000                    |                            |                      |                              |

| ACFTID | Profile_ID | Longueur phase | No étape | Type étape   | Indice poussée | Flap_ID | Altitude point final (ft) | Vitesse de montée (ft/min) | CAS point final (kt) | Pourcentage_accélération (%) |
|--------|------------|----------------|----------|--------------|----------------|---------|---------------------------|----------------------------|----------------------|------------------------------|
| 74710Q | DEFAULT    | 3              | 1        | Décollage    | Maxi décollage | 10      |                           |                            |                      |                              |
| 74710Q | DEFAULT    | 3              | 2        | Montée       | Maxi décollage | 10      | 1 000                     |                            |                      |                              |
| 74710Q | DEFAULT    | 3              | 3        | Accélération | Maxi décollage | 10      |                           | 1 856                      | 183                  |                              |
| 74710Q | DEFAULT    | 3              | 4        | Accélération | Maxi montée    | 5       |                           | 1 000                      | 223                  |                              |
| 74710Q | DEFAULT    | 3              | 5        | Montée       | Maxi montée    | ZERO    | 3 000                     |                            |                      |                              |
| 74710Q | DEFAULT    | 3              | 6        | Accélération | Maxi montée    | ZERO    |                           | 1 000                      | 250                  |                              |
| 74710Q | DEFAULT    | 3              | 7        | Montée       | Maxi montée    | ZERO    | 5 500                     |                            |                      |                              |
| 74710Q | DEFAULT    | 3              | 8        | Montée       | Maxi montée    | ZERO    | 7 500                     |                            |                      |                              |
| 74710Q | DEFAULT    | 3              | 9        | Montée       | Maxi montée    | ZERO    | 10 000                    |                            |                      |                              |
| 74710Q | DEFAULT    | 4              | 1        | Décollage    | Maxi décollage | 10      |                           |                            |                      |                              |
| 74710Q | DEFAULT    | 4              | 2        | Montée       | Maxi décollage | 10      | 1 000                     |                            |                      |                              |
| 74710Q | DEFAULT    | 4              | 3        | Accélération | Maxi décollage | 10      |                           | 1 727                      | 187                  |                              |
| 74710Q | DEFAULT    | 4              | 4        | Accélération | Maxi montée    | 5       |                           | 1 000                      | 227                  |                              |
| 74710Q | DEFAULT    | 4              | 5        | Montée       | Maxi montée    | ZERO    | 3 000                     |                            |                      |                              |
| 74710Q | DEFAULT    | 4              | 6        | Accélération | Maxi montée    | ZERO    |                           | 1 000                      | 250                  |                              |
| 74710Q | DEFAULT    | 4              | 7        | Montée       | Maxi montée    | ZERO    | 5 500                     |                            |                      |                              |
| 74710Q | DEFAULT    | 4              | 8        | Montée       | Maxi montée    | ZERO    | 7 500                     |                            |                      |                              |
| 74710Q | DEFAULT    | 4              | 9        | Montée       | Maxi montée    | ZERO    | 10 000                    |                            |                      |                              |
| 74710Q | DEFAULT    | 5              | 1        | Décollage    | Maxi décollage | 10      |                           |                            |                      |                              |
| 74710Q | DEFAULT    | 5              | 2        | Montée       | Maxi décollage | 10      | 1 000                     |                            |                      |                              |

| ACFTID | Profile_ID | Longueur phase | No étape | Type étape   | Indice poussée | Flap_ID | Altitude point final (ft) | Vitesse de montée (ft/min) | CAS point final (kt) | Pourcentage_accélération (%) |
|--------|------------|----------------|----------|--------------|----------------|---------|---------------------------|----------------------------|----------------------|------------------------------|
| 74710Q | DEFAULT    | 5              | 3        | Accélération | Maxi décollage | 10      |                           | 1 445                      | 198                  |                              |
| 74710Q | DEFAULT    | 5              | 4        | Accélération | Maxi montée    | 5       |                           | 750                        | 238                  |                              |
| 74710Q | DEFAULT    | 5              | 5        | Montée       | Maxi montée    | ZERO    | 3 000                     |                            |                      |                              |
| 74710Q | DEFAULT    | 5              | 6        | Accélération | Maxi montée    | ZERO    |                           | 750                        | 258                  |                              |
| 74710Q | DEFAULT    | 5              | 7        | Montée       | Maxi montée    | ZERO    | 5 500                     |                            |                      |                              |
| 74710Q | DEFAULT    | 5              | 8        | Montée       | Maxi montée    | ZERO    | 7 500                     |                            |                      |                              |
| 74710Q | DEFAULT    | 5              | 9        | Montée       | Maxi montée    | ZERO    | 10 000                    |                            |                      |                              |
| 74710Q | DEFAULT    | 6              | 1        | Décollage    | Maxi décollage | 10      |                           |                            |                      |                              |
| 74710Q | DEFAULT    | 6              | 2        | Montée       | Maxi décollage | 10      | 1 000                     |                            |                      |                              |
| 74710Q | DEFAULT    | 6              | 3        | Accélération | Maxi décollage | 10      |                           | 1 411                      | 199                  |                              |
| 74710Q | DEFAULT    | 6              | 4        | Accélération | Maxi montée    | 5       |                           | 750                        | 239                  |                              |
| 74710Q | DEFAULT    | 6              | 5        | Montée       | Maxi montée    | ZERO    | 3 000                     |                            |                      |                              |
| 74710Q | DEFAULT    | 6              | 6        | Accélération | Maxi montée    | ZERO    |                           | 750                        | 259                  |                              |
| 74710Q | DEFAULT    | 6              | 7        | Montée       | Maxi montée    | ZERO    | 5 500                     |                            |                      |                              |
| 74710Q | DEFAULT    | 6              | 8        | Montée       | Maxi montée    | ZERO    | 7 500                     |                            |                      |                              |
| 74710Q | DEFAULT    | 6              | 9        | Montée       | Maxi montée    | ZERO    | 10 000                    |                            |                      |                              |
| 747200 | DEFAULT    | 1              | 1        | Décollage    | Maxi décollage | 10      |                           |                            |                      |                              |
| 747200 | DEFAULT    | 1              | 2        | Montée       | Maxi décollage | 10      | 1 000                     |                            |                      |                              |
| 747200 | DEFAULT    | 1              | 3        | Accélération | Maxi décollage | 10      |                           | 1 842                      | 183                  |                              |
| 747200 | DEFAULT    | 1              | 4        | Accélération | Maxi montée    | 5       |                           | 1 000                      | 223                  |                              |

| ACFTID | Profile_ID | Longueur phase | No étape | Type étape   | Indice poussée | Flap_ID | Altitude point final (ft) | Vitesse de montée (ft/min) | CAS point final (kt) | Pourcentage accélération (%) |
|--------|------------|----------------|----------|--------------|----------------|---------|---------------------------|----------------------------|----------------------|------------------------------|
| 747200 | DEFAULT    | 1              | 5        | Montée       | Maxi montée    | ZERO    | 3 000                     |                            |                      |                              |
| 747200 | DEFAULT    | 1              | 6        | Accélération | Maxi montée    | ZERO    |                           | 1 000                      | 250                  |                              |
| 747200 | DEFAULT    | 1              | 7        | Montée       | Maxi montée    | ZERO    | 5 500                     |                            |                      |                              |
| 747200 | DEFAULT    | 1              | 8        | Montée       | Maxi montée    | ZERO    | 7 500                     |                            |                      |                              |
| 747200 | DEFAULT    | 1              | 9        | Montée       | Maxi montée    | ZERO    | 10 000                    |                            |                      |                              |
| 747200 | DEFAULT    | 2              | 1        | Décollage    | Maxi décollage | 10      |                           |                            |                      |                              |
| 747200 | DEFAULT    | 2              | 2        | Montée       | Maxi décollage | 10      | 1 000                     |                            |                      |                              |
| 747200 | DEFAULT    | 2              | 3        | Accélération | Maxi décollage | 10      |                           | 1 757                      | 186                  |                              |
| 747200 | DEFAULT    | 2              | 4        | Accélération | Maxi montée    | 5       |                           | 1 000                      | 226                  |                              |
| 747200 | DEFAULT    | 2              | 5        | Montée       | Maxi montée    | ZERO    | 3 000                     |                            |                      |                              |
| 747200 | DEFAULT    | 2              | 6        | Accélération | Maxi montée    | ZERO    |                           | 1 000                      | 250                  |                              |
| 747200 | DEFAULT    | 2              | 7        | Montée       | Maxi montée    | ZERO    | 5 500                     |                            |                      |                              |
| 747200 | DEFAULT    | 2              | 8        | Montée       | Maxi montée    | ZERO    | 7 500                     |                            |                      |                              |
| 747200 | DEFAULT    | 2              | 9        | Montée       | Maxi montée    | ZERO    | 10 000                    |                            |                      |                              |
| 747200 | DEFAULT    | 3              | 1        | Décollage    | Maxi décollage | 10      |                           |                            |                      |                              |
| 747200 | DEFAULT    | 3              | 2        | Montée       | Maxi décollage | 10      | 1 000                     |                            |                      |                              |
| 747200 | DEFAULT    | 3              | 3        | Accélération | Maxi décollage | 10      |                           | 1 676                      | 189                  |                              |
| 747200 | DEFAULT    | 3              | 4        | Accélération | Maxi montée    | 5       |                           | 1 000                      | 229                  |                              |
| 747200 | DEFAULT    | 3              | 5        | Montée       | Maxi montée    | ZERO    | 3 000                     |                            |                      |                              |
| 747200 | DEFAULT    | 3              | 6        | Accélération | Maxi montée    | ZERO    |                           | 1 000                      | 250                  |                              |

| ACFTID | Profile_ID | Longueur phase | No étape | Type étape   | Indice poussée | Flap_ID | Altitude point final (ft) | Vitesse de montée (ft/min) | CAS point final (kt) | Pourcentage accélération (%) |
|--------|------------|----------------|----------|--------------|----------------|---------|---------------------------|----------------------------|----------------------|------------------------------|
| 747200 | DEFAULT    | 3              | 7        | Montée       | Maxi montée    | ZERO    | 5 500                     |                            |                      |                              |
| 747200 | DEFAULT    | 3              | 8        | Montée       | Maxi montée    | ZERO    | 7 500                     |                            |                      |                              |
| 747200 | DEFAULT    | 3              | 9        | Montée       | Maxi montée    | ZERO    | 10 000                    |                            |                      |                              |
| 747200 | DEFAULT    | 4              | 1        | Décollage    | Maxi décollage | 10      |                           |                            |                      |                              |
| 747200 | DEFAULT    | 4              | 2        | Montée       | Maxi décollage | 10      | 1 000                     |                            |                      |                              |
| 747200 | DEFAULT    | 4              | 3        | Accélération | Maxi décollage | 10      |                           | 1 508                      | 195                  |                              |
| 747200 | DEFAULT    | 4              | 4        | Accélération | Maxi montée    | 5       |                           | 750                        | 235                  |                              |
| 747200 | DEFAULT    | 4              | 5        | Montée       | Maxi montée    | ZERO    | 3 000                     |                            |                      |                              |
| 747200 | DEFAULT    | 4              | 6        | Accélération | Maxi montée    | ZERO    |                           | 750                        | 255                  |                              |
| 747200 | DEFAULT    | 4              | 7        | Montée       | Maxi montée    | ZERO    | 5 500                     |                            |                      |                              |
| 747200 | DEFAULT    | 4              | 8        | Montée       | Maxi montée    | ZERO    | 7 500                     |                            |                      |                              |
| 747200 | DEFAULT    | 4              | 9        | Montée       | Maxi montée    | ZERO    | 10 000                    |                            |                      |                              |
| 747200 | DEFAULT    | 5              | 1        | Décollage    | Maxi décollage | 10      |                           |                            |                      |                              |
| 747200 | DEFAULT    | 5              | 2        | Montée       | Maxi décollage | 10      | 1 000                     |                            |                      |                              |
| 747200 | DEFAULT    | 5              | 3        | Accélération | Maxi décollage | 10      |                           | 1 325                      | 203                  |                              |
| 747200 | DEFAULT    | 5              | 4        | Accélération | Maxi montée    | 5       |                           | 750                        | 243                  |                              |
| 747200 | DEFAULT    | 5              | 5        | Montée       | Maxi montée    | ZERO    | 3 000                     |                            |                      |                              |
| 747200 | DEFAULT    | 5              | 6        | Accélération | Maxi montée    | ZERO    |                           | 750                        | 263                  |                              |
| 747200 | DEFAULT    | 5              | 7        | Montée       | Maxi montée    | ZERO    | 5 500                     |                            |                      |                              |
| 747200 | DEFAULT    | 5              | 8        | Montée       | Maxi montée    | ZERO    | 7 500                     |                            |                      |                              |

| ACFTID | Profile_ID | Longueur phase | No étape | Type étape   | Indice poussée | Flap_ID | Altitude point final (ft) | Vitesse de montée (ft/min) | CAS point final (kt) | Pourcentage_accélération (%) |
|--------|------------|----------------|----------|--------------|----------------|---------|---------------------------|----------------------------|----------------------|------------------------------|
| 747200 | DEFAULT    | 5              | 9        | Montée       | Maxi montée    | ZERO    | 10 000                    |                            |                      |                              |
| 747200 | DEFAULT    | 6              | 1        | Décollage    | Maxi décollage | 10      |                           |                            |                      |                              |
| 747200 | DEFAULT    | 6              | 2        | Montée       | Maxi décollage | 10      | 1 000                     |                            |                      |                              |
| 747200 | DEFAULT    | 6              | 3        | Accélération | Maxi décollage | 10      |                           | 1 146                      | 210                  |                              |
| 747200 | DEFAULT    | 6              | 4        | Accélération | Maxi montée    | 5       |                           | 500                        | 250                  |                              |
| 747200 | DEFAULT    | 6              | 5        | Montée       | Maxi montée    | ZERO    | 3 000                     |                            |                      |                              |
| 747200 | DEFAULT    | 6              | 6        | Accélération | Maxi montée    | ZERO    |                           | 500                        | 270                  |                              |
| 747200 | DEFAULT    | 6              | 7        | Montée       | Maxi montée    | ZERO    | 5 500                     |                            |                      |                              |
| 747200 | DEFAULT    | 6              | 8        | Montée       | Maxi montée    | ZERO    | 7 500                     |                            |                      |                              |
| 747200 | DEFAULT    | 6              | 9        | Montée       | Maxi montée    | ZERO    | 10 000                    |                            |                      |                              |
| 747200 | DEFAULT    | 7              | 1        | Décollage    | Maxi décollage | 10      |                           |                            |                      |                              |
| 747200 | DEFAULT    | 7              | 2        | Montée       | Maxi décollage | 10      | 1 000                     |                            |                      |                              |
| 747200 | DEFAULT    | 7              | 3        | Accélération | Maxi décollage | 10      |                           | 1 012                      | 216                  |                              |
| 747200 | DEFAULT    | 7              | 4        | Accélération | Maxi montée    | 5       |                           | 500                        | 256                  |                              |
| 747200 | DEFAULT    | 7              | 5        | Accélération | Maxi montée    | ZERO    |                           | 500                        | 276                  |                              |
| 747200 | DEFAULT    | 7              | 6        | Montée       | Maxi montée    | ZERO    | 5 500                     |                            |                      |                              |
| 747200 | DEFAULT    | 7              | 7        | Montée       | Maxi montée    | ZERO    | 7 500                     |                            |                      |                              |
| 747200 | DEFAULT    | 7              | 8        | Montée       | Maxi montée    | ZERO    | 10 000                    |                            |                      |                              |
| 74720A | DEFAULT    | 1              | 1        | Décollage    | Maxi décollage | 10      |                           |                            |                      |                              |
| 74720A | DEFAULT    | 1              | 2        | Montée       | Maxi décollage | 10      | 1 000                     |                            |                      |                              |

| ACFTID | Profile_ID | Longueur phase | No étape | Type étape   | Indice poussée | Flap_ID | Altitude point final (ft) | Vitesse de montée (ft/min) | CAS point final (kt) | Pourcentage_accélération (%) |
|--------|------------|----------------|----------|--------------|----------------|---------|---------------------------|----------------------------|----------------------|------------------------------|
| 74720A | DEFAULT    | 1              | 3        | Accélération | Maxi décollage | 10      |                           | 2 068                      | 176                  |                              |
| 74720A | DEFAULT    | 1              | 4        | Accélération | Maxi montée    | 5       |                           | 1 000                      | 239                  |                              |
| 74720A | DEFAULT    | 1              | 5        | Montée       | Maxi montée    | ZERO    | 3 000                     |                            |                      |                              |
| 74720A | DEFAULT    | 1              | 6        | Accélération | Maxi montée    | ZERO    |                           | 1 000                      | 259                  |                              |
| 74720A | DEFAULT    | 1              | 7        | Montée       | Maxi montée    | ZERO    | 5 500                     |                            |                      |                              |
| 74720A | DEFAULT    | 1              | 8        | Montée       | Maxi montée    | ZERO    | 7 500                     |                            |                      |                              |
| 74720A | DEFAULT    | 1              | 9        | Montée       | Maxi montée    | ZERO    | 10 000                    |                            |                      |                              |
| 74720A | DEFAULT    | 2              | 1        | Décollage    | Maxi décollage | 10      |                           |                            |                      |                              |
| 74720A | DEFAULT    | 2              | 2        | Montée       | Maxi décollage | 10      | 1 000                     |                            |                      |                              |
| 74720A | DEFAULT    | 2              | 3        | Accélération | Maxi décollage | 10      |                           | 1 950                      | 179                  |                              |
| 74720A | DEFAULT    | 2              | 4        | Accélération | Maxi montée    | 5       |                           | 1 000                      | 242                  |                              |
| 74720A | DEFAULT    | 2              | 5        | Montée       | Maxi montée    | ZERO    | 3 000                     |                            |                      |                              |
| 74720A | DEFAULT    | 2              | 6        | Accélération | Maxi montée    | ZERO    |                           | 1 000                      | 262                  |                              |
| 74720A | DEFAULT    | 2              | 7        | Montée       | Maxi montée    | ZERO    | 5 500                     |                            |                      |                              |
| 74720A | DEFAULT    | 2              | 8        | Montée       | Maxi montée    | ZERO    | 7 500                     |                            |                      |                              |
| 74720A | DEFAULT    | 2              | 9        | Montée       | Maxi montée    | ZERO    | 10 000                    |                            |                      |                              |
| 74720A | DEFAULT    | 3              | 1        | Décollage    | Maxi décollage | 10      |                           |                            |                      |                              |
| 74720A | DEFAULT    | 3              | 2        | Montée       | Maxi décollage | 10      | 1 000                     |                            |                      |                              |
| 74720A | DEFAULT    | 3              | 3        | Accélération | Maxi décollage | 10      |                           | 1 862                      | 182                  |                              |
| 74720A | DEFAULT    | 3              | 4        | Accélération | Maxi montée    | 5       |                           | 1 000                      | 244                  |                              |

| ACFTID | Profile_ID | Longueur phase | No étape | Type étape   | Indice poussée | Flap_ID | Altitude point final (ft) | Vitesse de montée (ft/min) | CAS point final (kt) | Pourcentage accélération (%) |
|--------|------------|----------------|----------|--------------|----------------|---------|---------------------------|----------------------------|----------------------|------------------------------|
| 74720A | DEFAULT    | 3              | 5        | Montée       | Maxi montée    | ZERO    | 3 000                     |                            |                      |                              |
| 74720A | DEFAULT    | 3              | 6        | Accélération | Maxi montée    | ZERO    |                           | 1 000                      | 264                  |                              |
| 74720A | DEFAULT    | 3              | 7        | Montée       | Maxi montée    | ZERO    | 5 500                     |                            |                      |                              |
| 74720A | DEFAULT    | 3              | 8        | Montée       | Maxi montée    | ZERO    | 7 500                     |                            |                      |                              |
| 74720A | DEFAULT    | 3              | 9        | Montée       | Maxi montée    | ZERO    | 10 000                    |                            |                      |                              |
| 74720A | DEFAULT    | 4              | 1        | Décollage    | Maxi décollage | 10      |                           |                            |                      |                              |
| 74720A | DEFAULT    | 4              | 2        | Montée       | Maxi décollage | 10      | 1 000                     |                            |                      |                              |
| 74720A | DEFAULT    | 4              | 3        | Accélération | Maxi décollage | 10      |                           | 1 700                      | 188                  |                              |
| 74720A | DEFAULT    | 4              | 4        | Accélération | Maxi montée    | 5       |                           | 750                        | 248                  |                              |
| 74720A | DEFAULT    | 4              | 5        | Montée       | Maxi montée    | ZERO    | 3 000                     |                            |                      |                              |
| 74720A | DEFAULT    | 4              | 6        | Accélération | Maxi montée    | ZERO    |                           | 750                        | 268                  |                              |
| 74720A | DEFAULT    | 4              | 7        | Montée       | Maxi montée    | ZERO    | 5 500                     |                            |                      |                              |
| 74720A | DEFAULT    | 4              | 8        | Montée       | Maxi montée    | ZERO    | 7 500                     |                            |                      |                              |
| 74720A | DEFAULT    | 4              | 9        | Montée       | Maxi montée    | ZERO    | 10 000                    |                            |                      |                              |
| 74720A | DEFAULT    | 5              | 1        | Décollage    | Maxi décollage | 10      |                           |                            |                      |                              |
| 74720A | DEFAULT    | 5              | 2        | Montée       | Maxi décollage | 10      | 1 000                     |                            |                      |                              |
| 74720A | DEFAULT    | 5              | 3        | Accélération | Maxi décollage | 10      |                           | 1 520                      | 195                  |                              |
| 74720A | DEFAULT    | 5              | 4        | Accélération | Maxi montée    | 5       |                           | 750                        | 254                  |                              |
| 74720A | DEFAULT    | 5              | 5        | Montée       | Maxi montée    | ZERO    | 3 000                     |                            |                      |                              |
| 74720A | DEFAULT    | 5              | 6        | Accélération | Maxi montée    | ZERO    |                           | 750                        | 274                  |                              |

| ACFTID | Profile_ID | Longueur phase | No étape | Type étape   | Indice poussée | Flap_ID | Altitude point final (ft) | Vitesse de montée (ft/min) | CAS point final (kt) | Pourcentage accélération (%) |
|--------|------------|----------------|----------|--------------|----------------|---------|---------------------------|----------------------------|----------------------|------------------------------|
| 74720A | DEFAULT    | 5              | 7        | Montée       | Maxi montée    | ZERO    | 5 500                     |                            |                      |                              |
| 74720A | DEFAULT    | 5              | 8        | Montée       | Maxi montée    | ZERO    | 7 500                     |                            |                      |                              |
| 74720A | DEFAULT    | 5              | 9        | Montée       | Maxi montée    | ZERO    | 10 000                    |                            |                      |                              |
| 74720A | DEFAULT    | 6              | 1        | Décollage    | Maxi décollage | 10      |                           |                            |                      |                              |
| 74720A | DEFAULT    | 6              | 2        | Montée       | Maxi décollage | 10      | 1 000                     |                            |                      |                              |
| 74720A | DEFAULT    | 6              | 3        | Accélération | Maxi décollage | 10      |                           | 1 313                      | 204                  |                              |
| 74720A | DEFAULT    | 6              | 4        | Accélération | Maxi montée    | 5       |                           | 750                        | 264                  |                              |
| 74720A | DEFAULT    | 6              | 5        | Accélération | Maxi montée    | ZERO    |                           | 750                        | 284                  |                              |
| 74720A | DEFAULT    | 6              | 6        | Montée       | Maxi montée    | ZERO    | 5 500                     |                            |                      |                              |
| 74720A | DEFAULT    | 6              | 7        | Montée       | Maxi montée    | ZERO    | 7 500                     |                            |                      |                              |
| 74720A | DEFAULT    | 6              | 8        | Montée       | Maxi montée    | ZERO    | 10 000                    |                            |                      |                              |
| 74720A | DEFAULT    | 7              | 1        | Décollage    | Maxi décollage | 10      |                           |                            |                      |                              |
| 74720A | DEFAULT    | 7              | 2        | Montée       | Maxi décollage | 10      | 1 000                     |                            |                      |                              |
| 74720A | DEFAULT    | 7              | 3        | Accélération | Maxi décollage | 10      |                           | 1 172                      | 210                  |                              |
| 74720A | DEFAULT    | 7              | 4        | Accélération | Maxi montée    | 5       |                           | 750                        | 272                  |                              |
| 74720A | DEFAULT    | 7              | 5        | Accélération | Maxi montée    | ZERO    |                           | 750                        | 292                  |                              |
| 74720A | DEFAULT    | 7              | 6        | Montée       | Maxi montée    | ZERO    | 5 500                     |                            |                      |                              |
| 74720A | DEFAULT    | 7              | 7        | Montée       | Maxi montée    | ZERO    | 7 500                     |                            |                      |                              |
| 74720A | DEFAULT    | 7              | 8        | Montée       | Maxi montée    | ZERO    | 10 000                    |                            |                      |                              |
| 74720B | DEFAULT    | 1              | 1        | Décollage    | Maxi décollage | 10      |                           |                            |                      |                              |

| ACFTID | Profile_ID | Longueur phase | No étape | Type étape   | Indice poussée | Flap_ID | Altitude point final (ft) | Vitesse de montée (ft/min) | CAS point final (kt) | Pourcentage_accélération (%) |
|--------|------------|----------------|----------|--------------|----------------|---------|---------------------------|----------------------------|----------------------|------------------------------|
| 74720B | DEFAULT    | 1              | 2        | Montée       | Maxi décollage | 10      | 1 000                     |                            |                      |                              |
| 74720B | DEFAULT    | 1              | 3        | Accélération | Maxi décollage | 10      |                           | 2 497                      | 184                  |                              |
| 74720B | DEFAULT    | 1              | 4        | Accélération | Maxi montée    | 5       |                           | 1 000                      | 244                  |                              |
| 74720B | DEFAULT    | 1              | 5        | Montée       | Maxi montée    | ZERO    | 3 000                     |                            |                      |                              |
| 74720B | DEFAULT    | 1              | 6        | Accélération | Maxi montée    | ZERO    |                           | 1 000                      | 264                  |                              |
| 74720B | DEFAULT    | 1              | 7        | Montée       | Maxi montée    | ZERO    | 5 500                     |                            |                      |                              |
| 74720B | DEFAULT    | 1              | 8        | Montée       | Maxi montée    | ZERO    | 7 500                     |                            |                      |                              |
| 74720B | DEFAULT    | 1              | 9        | Montée       | Maxi montée    | ZERO    | 10 000                    |                            |                      |                              |
| 74720B | DEFAULT    | 2              | 1        | Décollage    | Maxi décollage | 10      |                           |                            |                      |                              |
| 74720B | DEFAULT    | 2              | 2        | Montée       | Maxi décollage | 10      | 1 000                     |                            |                      |                              |
| 74720B | DEFAULT    | 2              | 3        | Accélération | Maxi décollage | 10      |                           | 2 397                      | 187                  |                              |
| 74720B | DEFAULT    | 2              | 4        | Accélération | Maxi montée    | 5       |                           | 1 000                      | 246                  |                              |
| 74720B | DEFAULT    | 2              | 5        | Montée       | Maxi montée    | ZERO    | 3 000                     |                            |                      |                              |
| 74720B | DEFAULT    | 2              | 6        | Accélération | Maxi montée    | ZERO    |                           | 1 000                      | 266                  |                              |
| 74720B | DEFAULT    | 2              | 7        | Montée       | Maxi montée    | ZERO    | 5 500                     |                            |                      |                              |
| 74720B | DEFAULT    | 2              | 8        | Montée       | Maxi montée    | ZERO    | 7 500                     |                            |                      |                              |
| 74720B | DEFAULT    | 2              | 9        | Montée       | Maxi montée    | ZERO    | 10 000                    |                            |                      |                              |
| 74720B | DEFAULT    | 3              | 1        | Décollage    | Maxi décollage | 10      |                           |                            |                      |                              |
| 74720B | DEFAULT    | 3              | 2        | Montée       | Maxi décollage | 10      | 1 000                     |                            |                      |                              |
| 74720B | DEFAULT    | 3              | 3        | Accélération | Maxi décollage | 10      |                           | 2 303                      | 190                  |                              |

| ACFTID | Profile_ID | Longueur phase | No étape | Type étape   | Indice poussée | Flap_ID | Altitude point final (ft) | Vitesse de montée (ft/min) | CAS point final (kt) | Pourcentage accélération (%) |
|--------|------------|----------------|----------|--------------|----------------|---------|---------------------------|----------------------------|----------------------|------------------------------|
| 74720B | DEFAULT    | 3              | 4        | Accélération | Maxi montée    | 5       |                           | 750                        | 249                  |                              |
| 74720B | DEFAULT    | 3              | 5        | Montée       | Maxi montée    | ZERO    | 3 000                     |                            |                      |                              |
| 74720B | DEFAULT    | 3              | 6        | Accélération | Maxi montée    | ZERO    |                           | 750                        | 269                  |                              |
| 74720B | DEFAULT    | 3              | 7        | Montée       | Maxi montée    | ZERO    | 5 500                     |                            |                      |                              |
| 74720B | DEFAULT    | 3              | 8        | Montée       | Maxi montée    | ZERO    | 7 500                     |                            |                      |                              |
| 74720B | DEFAULT    | 3              | 9        | Montée       | Maxi montée    | ZERO    | 10 000                    |                            |                      |                              |
| 74720B | DEFAULT    | 4              | 1        | Décollage    | Maxi décollage | 10      |                           |                            |                      |                              |
| 74720B | DEFAULT    | 4              | 2        | Montée       | Maxi décollage | 10      | 1 000                     |                            |                      |                              |
| 74720B | DEFAULT    | 4              | 3        | Accélération | Maxi décollage | 10      |                           | 2 109                      | 196                  |                              |
| 74720B | DEFAULT    | 4              | 4        | Accélération | Maxi montée    | 5       |                           | 750                        | 254                  |                              |
| 74720B | DEFAULT    | 4              | 5        | Montée       | Maxi montée    | ZERO    | 3 000                     |                            |                      |                              |
| 74720B | DEFAULT    | 4              | 6        | Accélération | Maxi montée    | ZERO    |                           | 750                        | 274                  |                              |
| 74720B | DEFAULT    | 4              | 7        | Montée       | Maxi montée    | ZERO    | 5 500                     |                            |                      |                              |
| 74720B | DEFAULT    | 4              | 8        | Montée       | Maxi montée    | ZERO    | 7 500                     |                            |                      |                              |
| 74720B | DEFAULT    | 4              | 9        | Montée       | Maxi montée    | ZERO    | 10 000                    |                            |                      |                              |
| 74720B | DEFAULT    | 5              | 1        | Décollage    | Maxi décollage | 10      |                           |                            |                      |                              |
| 74720B | DEFAULT    | 5              | 2        | Montée       | Maxi décollage | 10      | 1 000                     |                            |                      |                              |
| 74720B | DEFAULT    | 5              | 3        | Accélération | Maxi décollage | 10      |                           | 1 900                      | 204                  |                              |
| 74720B | DEFAULT    | 5              | 4        | Accélération | Maxi montée    | 5       |                           | 750                        | 263                  |                              |
| 74720B | DEFAULT    | 5              | 5        | Montée       | Maxi montée    | ZERO    | 3 000                     |                            |                      |                              |

| ACFTID | Profile_ID | Longueur phase | No étape | Type étape   | Indice poussée | Flap_ID | Altitude point final (ft) | Vitesse de montée (ft/min) | CAS point final (kt) | Pourcentage accélération (%) |
|--------|------------|----------------|----------|--------------|----------------|---------|---------------------------|----------------------------|----------------------|------------------------------|
| 74720B | DEFAULT    | 5              | 6        | Accélération | Maxi montée    | ZERO    |                           | 750                        | 283                  |                              |
| 74720B | DEFAULT    | 5              | 7        | Montée       | Maxi montée    | ZERO    | 5 500                     |                            |                      |                              |
| 74720B | DEFAULT    | 5              | 8        | Montée       | Maxi montée    | ZERO    | 7 500                     |                            |                      |                              |
| 74720B | DEFAULT    | 5              | 9        | Montée       | Maxi montée    | ZERO    | 10 000                    |                            |                      |                              |
| 74720B | DEFAULT    | 6              | 1        | Décollage    | Maxi décollage | 10      |                           |                            |                      |                              |
| 74720B | DEFAULT    | 6              | 2        | Montée       | Maxi décollage | 10      | 1 000                     |                            |                      |                              |
| 74720B | DEFAULT    | 6              | 3        | Accélération | Maxi décollage | 10      |                           | 1 699                      | 211                  |                              |
| 74720B | DEFAULT    | 6              | 4        | Accélération | Maxi montée    | 5       |                           | 750                        | 272                  |                              |
| 74720B | DEFAULT    | 6              | 5        | Montée       | Maxi montée    | ZERO    | 3 000                     |                            |                      |                              |
| 74720B | DEFAULT    | 6              | 6        | Accélération | Maxi montée    | ZERO    |                           | 750                        | 292                  |                              |
| 74720B | DEFAULT    | 6              | 7        | Montée       | Maxi montée    | ZERO    | 5 500                     |                            |                      |                              |
| 74720B | DEFAULT    | 6              | 8        | Montée       | Maxi montée    | ZERO    | 7 500                     |                            |                      |                              |
| 74720B | DEFAULT    | 6              | 9        | Montée       | Maxi montée    | ZERO    | 10 000                    |                            |                      |                              |
| 74720B | DEFAULT    | 7              | 1        | Décollage    | Maxi décollage | 10      |                           |                            |                      |                              |
| 74720B | DEFAULT    | 7              | 2        | Montée       | Maxi décollage | 10      | 1 000                     |                            |                      |                              |
| 74720B | DEFAULT    | 7              | 3        | Accélération | Maxi décollage | 10      |                           | 1 547                      | 218                  |                              |
| 74720B | DEFAULT    | 7              | 4        | Accélération | Maxi montée    | 5       |                           | 750                        | 279                  |                              |
| 74720B | DEFAULT    | 7              | 5        | Accélération | Maxi montée    | ZERO    |                           | 750                        | 299                  |                              |
| 74720B | DEFAULT    | 7              | 6        | Montée       | Maxi montée    | ZERO    | 5 500                     |                            |                      |                              |
| 74720B | DEFAULT    | 7              | 7        | Montée       | Maxi montée    | ZERO    | 7 500                     |                            |                      |                              |

| ACFTID | Profile_ID | Longueur phase | No étape | Type étape   | Indice poussée | Flap_ID | Altitude point final (ft) | Vitesse de montée (ft/min) | CAS point final (kt) | Pourcentage accélération (%) |
|--------|------------|----------------|----------|--------------|----------------|---------|---------------------------|----------------------------|----------------------|------------------------------|
| 74720B | DEFAULT    | 7              | 8        | Montée       | Maxi montée    | ZERO    | 10 000                    |                            |                      |                              |
| 747400 | DEFAULT    | 1              | 1        | Décollage    | Maxi décollage | 10      |                           |                            |                      |                              |
| 747400 | DEFAULT    | 1              | 2        | Montée       | Maxi décollage | T_10    | 1 000                     |                            |                      |                              |
| 747400 | DEFAULT    | 1              | 3        | Accélération | Maxi montée    | 10      |                           | 1 533,3                    | 190,8                |                              |
| 747400 | DEFAULT    | 1              | 4        | Accélération | Maxi montée    | T_05    |                           | 1 798,9                    | 242                  |                              |
| 747400 | DEFAULT    | 1              | 5        | Montée       | Maxi montée    | 5       | 3 869                     |                            |                      |                              |
| 747400 | DEFAULT    | 1              | 6        | Accélération | Maxi montée    | ZERO    |                           | 2 198,9                    | 269                  |                              |
| 747400 | DEFAULT    | 1              | 7        | Montée       | Maxi montée    | T_00H   | 5 500                     |                            |                      |                              |
| 747400 | DEFAULT    | 1              | 8        | Montée       | Maxi montée    | T_00H   | 7 500                     |                            |                      |                              |
| 747400 | DEFAULT    | 1              | 9        | Montée       | Maxi montée    | T_00H   | 10 000                    |                            |                      |                              |
| 747400 | DEFAULT    | 2              | 1        | Décollage    | Maxi décollage | 10      |                           |                            |                      |                              |
| 747400 | DEFAULT    | 2              | 2        | Montée       | Maxi décollage | T_10    | 1 000                     |                            |                      |                              |
| 747400 | DEFAULT    | 2              | 3        | Accélération | Maxi montée    | 10      |                           | 1 507,6                    | 192,9                |                              |
| 747400 | DEFAULT    | 2              | 4        | Accélération | Maxi montée    | T_05    |                           | 1 718,8                    | 244,6                |                              |
| 747400 | DEFAULT    | 2              | 5        | Montée       | Maxi montée    | T_01    | 3 756                     |                            |                      |                              |
| 747400 | DEFAULT    | 2              | 6        | Accélération | Maxi montée    | T_00H   |                           | 2 111,9                    | 269                  |                              |
| 747400 | DEFAULT    | 2              | 7        | Montée       | Maxi montée    | T_00H   | 5 500                     |                            |                      |                              |
| 747400 | DEFAULT    | 2              | 8        | Montée       | Maxi montée    | T_00H   | 7 500                     |                            |                      |                              |
| 747400 | DEFAULT    | 2              | 9        | Montée       | Maxi montée    | T_00H   | 10 000                    |                            |                      |                              |
| 747400 | DEFAULT    | 3              | 1        | Décollage    | Maxi décollage | 10      |                           |                            |                      |                              |

| ACFTID | Profile_ID | Longueur phase | No étape | Type étape   | Indice poussée | Flap_ID | Altitude point final (ft) | Vitesse de montée (ft/min) | CAS point final (kt) | Pourcentage accélération (%) |
|--------|------------|----------------|----------|--------------|----------------|---------|---------------------------|----------------------------|----------------------|------------------------------|
| 747400 | DEFAULT    | 3              | 2        | Montée       | Maxi décollage | T_10    | 1 000                     |                            |                      |                              |
| 747400 | DEFAULT    | 3              | 3        | Accélération | Maxi montée    | 10      |                           | 1 412,1                    | 195,1                |                              |
| 747400 | DEFAULT    | 3              | 4        | Accélération | Maxi montée    | T_05    |                           | 1 660,4                    | 247,2                |                              |
| 747400 | DEFAULT    | 3              | 5        | Montée       | Maxi montée    | T_01    | 3 637                     |                            |                      |                              |
| 747400 | DEFAULT    | 3              | 6        | Accélération | Maxi montée    | ZERO    |                           | 2 033,6                    | 269                  |                              |
| 747400 | DEFAULT    | 3              | 7        | Montée       | Maxi montée    | T_00H   | 5 500                     |                            |                      |                              |
| 747400 | DEFAULT    | 3              | 8        | Montée       | Maxi montée    | T_00H   | 7 500                     |                            |                      |                              |
| 747400 | DEFAULT    | 3              | 9        | Montée       | Maxi montée    | T_00H   | 10 000                    |                            |                      |                              |
| 747400 | DEFAULT    | 4              | 1        | Décollage    | Maxi décollage | 10      |                           |                            |                      |                              |
| 747400 | DEFAULT    | 4              | 2        | Montée       | Maxi décollage | T_10    | 1 000                     |                            |                      |                              |
| 747400 | DEFAULT    | 4              | 3        | Accélération | Maxi montée    | 10      |                           | 1 310,5                    | 199,4                |                              |
| 747400 | DEFAULT    | 4              | 4        | Accélération | Maxi montée    | T_05    |                           | 1 531,8                    | 252,3                |                              |
| 747400 | DEFAULT    | 4              | 5        | Montée       | Maxi montée    | T_01    | 3 435                     |                            |                      |                              |
| 747400 | DEFAULT    | 4              | 6        | Accélération | Maxi montée    | ZERO    |                           | 1 882,8                    | 269                  |                              |
| 747400 | DEFAULT    | 4              | 7        | Montée       | Maxi montée    | T_00H   | 5 500                     |                            |                      |                              |
| 747400 | DEFAULT    | 4              | 8        | Montée       | Maxi montée    | T_00H   | 7 500                     |                            |                      |                              |
| 747400 | DEFAULT    | 4              | 9        | Montée       | Maxi montée    | T_00H   | 10 000                    |                            |                      |                              |
| 747400 | DEFAULT    | 5              | 1        | Décollage    | Maxi décollage | 10      |                           |                            |                      |                              |
| 747400 | DEFAULT    | 5              | 2        | Montée       | Maxi décollage | T_10    | 1 000                     |                            |                      |                              |
| 747400 | DEFAULT    | 5              | 3        | Accélération | Maxi montée    | 10      |                           | 1 182,2                    | 204,8                |                              |

| ACFTID | Profile_ID | Longueur phase | No étape | Type étape   | Indice poussée | Flap_ID | Altitude point final (ft) | Vitesse de montée (ft/min) | CAS point final (kt) | Pourcentage accélération (%) |
|--------|------------|----------------|----------|--------------|----------------|---------|---------------------------|----------------------------|----------------------|------------------------------|
| 747400 | DEFAULT    | 5              | 4        | Accélération | Maxi montée    | T_05    |                           | 1 402,6                    | 258,4                |                              |
| 747400 | DEFAULT    | 5              | 5        | Montée       | Maxi montée    | T_01    | 3 199                     |                            |                      |                              |
| 747400 | DEFAULT    | 5              | 6        | Accélération | Maxi montée    | ZERO    |                           | 1 724,1                    | 269                  |                              |
| 747400 | DEFAULT    | 5              | 7        | Montée       | Maxi montée    | T_00H   | 5 500                     |                            |                      |                              |
| 747400 | DEFAULT    | 5              | 8        | Montée       | Maxi montée    | T_00H   | 7 500                     |                            |                      |                              |
| 747400 | DEFAULT    | 5              | 9        | Montée       | Maxi montée    | ZERO    | 10 000                    |                            |                      |                              |
| 747400 | DEFAULT    | 6              | 1        | Décollage    | Maxi décollage | 10      |                           |                            |                      |                              |
| 747400 | DEFAULT    | 6              | 2        | Montée       | Maxi décollage | T_10    | 1 000                     |                            |                      |                              |
| 747400 | DEFAULT    | 6              | 3        | Accélération | Maxi montée    | 5       |                           | 1 088,1                    | 210,4                |                              |
| 747400 | DEFAULT    | 6              | 4        | Accélération | Maxi montée    | 5       |                           | 1 372                      | 259,5                |                              |
| 747400 | DEFAULT    | 6              | 5        | Accélération | Maxi montée    | T_01    |                           | 1 432,4                    | 264,7                |                              |
| 747400 | DEFAULT    | 6              | 6        | Montée       | Maxi montée    | T_01    | 3 004                     |                            |                      |                              |
| 747400 | DEFAULT    | 6              | 7        | Accélération | Maxi montée    | ZERO    |                           | 1 560                      | 269                  |                              |
| 747400 | DEFAULT    | 6              | 8        | Montée       | Maxi montée    | T_00H   | 5 500                     |                            |                      |                              |
| 747400 | DEFAULT    | 6              | 9        | Montée       | Maxi montée    | T_00H   | 7 500                     |                            |                      |                              |
| 747400 | DEFAULT    | 6              | 10       | Montée       | Maxi montée    | T_00H   | 10 000                    |                            |                      |                              |
| 747400 | DEFAULT    | 7              | 1        | Décollage    | Maxi décollage | 10      |                           |                            |                      |                              |
| 747400 | DEFAULT    | 7              | 2        | Montée       | Maxi décollage | T_10H   | 1 000                     |                            |                      |                              |
| 747400 | DEFAULT    | 7              | 3        | Accélération | Maxi montée    | 10      |                           | 963,6                      | 216,4                |                              |
| 747400 | DEFAULT    | 7              | 4        | Accélération | Maxi montée    | 5       |                           | 1 114,2                    | 259,6                |                              |

| ACFTID | Profile_ID | Longueur phase | No étape | Type étape   | Indice poussée | Flap_ID | Altitude point final (ft) | Vitesse de montée (ft/min) | CAS point final (kt) | Pourcentage accélération (%) |
|--------|------------|----------------|----------|--------------|----------------|---------|---------------------------|----------------------------|----------------------|------------------------------|
| 747400 | DEFAULT    | 7              | 5        | Montée       | Maxi montée    | T_01    | 2 544                     |                            |                      |                              |
| 747400 | DEFAULT    | 7              | 6        | Accélération | Maxi montée    | T_05    |                           | 1 329,4                    | 270                  |                              |
| 747400 | DEFAULT    | 7              | 7        | Montée       | Maxi montée    | T_00H   | 5 500                     |                            |                      |                              |
| 747400 | DEFAULT    | 7              | 8        | Montée       | Maxi montée    | T_00H   | 7 500                     |                            |                      |                              |
| 747400 | DEFAULT    | 7              | 9        | Montée       | Maxi montée    | T_00H   | 10 000                    |                            |                      |                              |
| 747400 | DEFAULT    | 8              | 1        | Décollage    | Maxi décollage | 10      |                           |                            |                      |                              |
| 747400 | DEFAULT    | 8              | 2        | Montée       | Maxi décollage | T_10H   | 1 000                     |                            |                      |                              |
| 747400 | DEFAULT    | 8              | 3        | Accélération | Maxi montée    | 10      |                           | 855,6                      | 222,8                |                              |
| 747400 | DEFAULT    | 8              | 4        | Accélération | Maxi montée    | 5       |                           | 968,9                      | 259,6                |                              |
| 747400 | DEFAULT    | 8              | 5        | Montée       | Maxi montée    | T_01    | 2 561                     |                            |                      |                              |
| 747400 | DEFAULT    | 8              | 6        | Accélération | Maxi montée    | T_01    |                           | 1 173,1                    | 270                  |                              |
| 747400 | DEFAULT    | 8              | 7        | Accélération | Maxi montée    | T_00H   |                           | 1 260                      | 278                  |                              |
| 747400 | DEFAULT    | 8              | 8        | Montée       | Maxi montée    | T_00H   | 5 500                     |                            |                      |                              |
| 747400 | DEFAULT    | 8              | 9        | Montée       | Maxi montée    | T_00H   | 7 500                     |                            |                      |                              |
| 747400 | DEFAULT    | 8              | 10       | Montée       | Maxi montée    | T_00H   | 10 000                    |                            |                      |                              |
| 747400 | DEFAULT    | 9              | 1        | Décollage    | Maxi décollage | 10      |                           |                            |                      |                              |
| 747400 | DEFAULT    | 9              | 2        | Montée       | Maxi décollage | T_10H   | 1 000                     |                            |                      |                              |
| 747400 | DEFAULT    | 9              | 3        | Accélération | Maxi montée    | 10      |                           | 783,8                      | 226,8                |                              |
| 747400 | DEFAULT    | 9              | 4        | Accélération | Maxi montée    | 5       |                           | 884,5                      | 259,6                |                              |
| 747400 | DEFAULT    | 9              | 5        | Montée       | Maxi montée    | T_01    | 2 600                     |                            |                      |                              |

| ACFTID | Profile_ID | Longueur phase | No étape | Type étape   | Indice poussée | Flap_ID | Altitude point final (ft) | Vitesse de montée (ft/min) | CAS point final (kt) | Pourcentage accélération (%) |
|--------|------------|----------------|----------|--------------|----------------|---------|---------------------------|----------------------------|----------------------|------------------------------|
| 747400 | DEFAULT    | 9              | 6        | Accélération | Maxi montée    | T_01    |                           | 1 078,7                    | 271,8                |                              |
| 747400 | DEFAULT    | 9              | 7        | Accélération | Maxi montée    | T_00H   |                           | 1 182,6                    | 282,7                |                              |
| 747400 | DEFAULT    | 9              | 8        | Montée       | Maxi montée    | T_00H   | 5 500                     |                            |                      |                              |
| 747400 | DEFAULT    | 9              | 9        | Montée       | Maxi montée    | T_00H   | 7 500                     |                            |                      |                              |
| 747400 | DEFAULT    | 9              | 10       | Montée       | Maxi montée    | T_00H   | 10 000                    |                            |                      |                              |
| 747400 | ICAO_A     | 1              | 1        | Décollage    | Maxi décollage | 10      |                           |                            |                      |                              |
| 747400 | ICAO_A     | 1              | 2        | Montée       | Maxi décollage | T_10    | 1 500                     |                            |                      |                              |
| 747400 | ICAO_A     | 1              | 3        | Montée       | Maxi montée    | 10      | 3 000                     |                            |                      |                              |
| 747400 | ICAO_A     | 1              | 4        | Accélération | Maxi montée    | 10      |                           | 1 472,8                    | 190                  |                              |
| 747400 | ICAO_A     | 1              | 5        | Accélération | Maxi montée    | 5       |                           | 1 753,3                    | 241,7                |                              |
| 747400 | ICAO_A     | 1              | 6        | Montée       | Maxi montée    | T_01    | 5 796                     |                            |                      |                              |
| 747400 | ICAO_A     | 1              | 7        | Accélération | Maxi montée    | ZERO    |                           | 2 158,4                    | 268,4                |                              |
| 747400 | ICAO_A     | 1              | 8        | Montée       | Maxi montée    | ZERO    | 7 500                     |                            |                      |                              |
| 747400 | ICAO_A     | 1              | 9        | Montée       | Maxi montée    | ZERO    | 10 000                    |                            |                      |                              |
| 747400 | ICAO_A     | 2              | 1        | Décollage    | Maxi décollage | 10      |                           |                            |                      |                              |
| 747400 | ICAO_A     | 2              | 2        | Montée       | Maxi décollage | T_10    | 1 500                     |                            |                      |                              |
| 747400 | ICAO_A     | 2              | 3        | Montée       | Maxi montée    | 10      | 3 000                     |                            |                      |                              |
| 747400 | ICAO_A     | 2              | 4        | Accélération | Maxi montée    | 10      |                           | 1 412,8                    | 192,2                |                              |
| 747400 | ICAO_A     | 2              | 5        | Accélération | Maxi montée    | 5       |                           | 1 689,5                    | 244,3                |                              |
| 747400 | ICAO_A     | 2              | 6        | Montée       | Maxi montée    | T_01    | 5 685                     |                            |                      |                              |

| ACFTID | Profile_ID | Longueur phase | No étape | Type étape   | Indice poussée | Flap_ID | Altitude point final (ft) | Vitesse de montée (ft/min) | CAS point final (kt) | Pourcentage accélération (%) |
|--------|------------|----------------|----------|--------------|----------------|---------|---------------------------|----------------------------|----------------------|------------------------------|
| 747400 | ICAO_A     | 2              | 7        | Accélération | Maxi montée    | ZERO    |                           | 2 078,8                    | 268,4                |                              |
| 747400 | ICAO_A     | 2              | 8        | Montée       | Maxi montée    | ZERO    | 7 500                     |                            |                      |                              |
| 747400 | ICAO_A     | 2              | 9        | Montée       | Maxi montée    | ZERO    | 10 000                    |                            |                      |                              |
| 747400 | ICAO_A     | 3              | 1        | Décollage    | Maxi décollage | 10      |                           |                            |                      |                              |
| 747400 | ICAO_A     | 3              | 2        | Montée       | Maxi décollage | T_10    | 1 500                     |                            |                      |                              |
| 747400 | ICAO_A     | 3              | 3        | Montée       | Maxi montée    | 10      | 3 000                     |                            |                      |                              |
| 747400 | ICAO_A     | 3              | 4        | Accélération | Maxi montée    | 10      |                           | 1 353,5                    | 194,4                |                              |
| 747400 | ICAO_A     | 3              | 5        | Accélération | Maxi montée    | 5       |                           | 1 618,4                    | 246,8                |                              |
| 747400 | ICAO_A     | 3              | 6        | Montée       | Maxi montée    | T_01    | 5 579                     |                            |                      |                              |
| 747400 | ICAO_A     | 3              | 7        | Accélération | Maxi montée    | ZERO    |                           | 1 995                      | 268,4                |                              |
| 747400 | ICAO_A     | 3              | 8        | Montée       | Maxi montée    | ZERO    | 7 500                     |                            |                      |                              |
| 747400 | ICAO_A     | 3              | 9        | Montée       | Maxi montée    | ZERO    | 10 000                    |                            |                      |                              |
| 747400 | ICAO_A     | 4              | 1        | Décollage    | Maxi décollage | 10      |                           |                            |                      |                              |
| 747400 | ICAO_A     | 4              | 2        | Montée       | Maxi décollage | T_10    | 1 500                     |                            |                      |                              |
| 747400 | ICAO_A     | 4              | 3        | Montée       | Maxi montée    | 10      | 3 000                     |                            |                      |                              |
| 747400 | ICAO_A     | 4              | 4        | Accélération | Maxi montée    | 10      |                           | 1 249,3                    | 198,7                |                              |
| 747400 | ICAO_A     | 4              | 5        | Accélération | Maxi montée    | 5       |                           | 1 500,4                    | 251,9                |                              |
| 747400 | ICAO_A     | 4              | 6        | Montée       | Maxi montée    | T_01    | 5 372                     |                            |                      |                              |
| 747400 | ICAO_A     | 4              | 7        | Accélération | Maxi montée    | ZERO    |                           | 1 847,9                    | 268,4                |                              |
| 747400 | ICAO_A     | 4              | 8        | Montée       | Maxi montée    | ZERO    | 7 500                     |                            |                      |                              |

| ACFTID | Profile_ID | Longueur phase | No étape | Type étape   | Indice poussée | Flap_ID | Altitude point final (ft) | Vitesse de montée (ft/min) | CAS point final (kt) | Pourcentage accélération (%) |
|--------|------------|----------------|----------|--------------|----------------|---------|---------------------------|----------------------------|----------------------|------------------------------|
| 747400 | ICAO_A     | 4              | 9        | Montée       | Maxi montée    | ZERO    | 10 000                    |                            |                      |                              |
| 747400 | ICAO_A     | 5              | 1        | Décollage    | Maxi décollage | 10      |                           |                            |                      |                              |
| 747400 | ICAO_A     | 5              | 2        | Montée       | Maxi décollage | T_10    | 1 500                     |                            |                      |                              |
| 747400 | ICAO_A     | 5              | 3        | Montée       | Maxi montée    | 10      | 3 000                     |                            |                      |                              |
| 747400 | ICAO_A     | 5              | 4        | Accélération | Maxi montée    | 10      |                           | 1 131,2                    | 204,1                |                              |
| 747400 | ICAO_A     | 5              | 5        | Accélération | Maxi montée    | 5       |                           | 1 367,5                    | 257,8                |                              |
| 747400 | ICAO_A     | 5              | 6        | Montée       | Maxi montée    | T_01    | 5 145                     |                            |                      |                              |
| 747400 | ICAO_A     | 5              | 7        | Accélération | Maxi montée    | ZERO    |                           | 1 686,7                    | 268,4                |                              |
| 747400 | ICAO_A     | 5              | 8        | Montée       | Maxi montée    | ZERO    | 7 500                     |                            |                      |                              |
| 747400 | ICAO_A     | 5              | 9        | Montée       | Maxi montée    | ZERO    | 10 000                    |                            |                      |                              |
| 747400 | ICAO_A     | 6              | 1        | Décollage    | Maxi décollage | 10      |                           |                            |                      |                              |
| 747400 | ICAO_A     | 6              | 2        | Montée       | Maxi décollage | T_10H   | 1 500                     |                            |                      |                              |
| 747400 | ICAO_A     | 6              | 3        | Montée       | Maxi montée    | 10      | 3 000                     |                            |                      |                              |
| 747400 | ICAO_A     | 6              | 4        | Accélération | Maxi montée    | 10      |                           | 1 017,7                    | 209,8                |                              |
| 747400 | ICAO_A     | 6              | 5        | Accélération | Maxi montée    | 5       |                           | 1 223,8                    | 259,1                |                              |
| 747400 | ICAO_A     | 6              | 6        | Montée       | Maxi montée    | T_01    | 4 508                     |                            |                      |                              |
| 747400 | ICAO_A     | 6              | 7        | Accélération | Maxi montée    | T_01    |                           | 1 416                      | 264,3                |                              |
| 747400 | ICAO_A     | 6              | 8        | Montée       | Maxi montée    | ZERO    | 4 921                     |                            |                      |                              |
| 747400 | ICAO_A     | 6              | 9        | Accélération | Maxi montée    | ZERO    |                           | 1 531                      | 269                  |                              |
| 747400 | ICAO_A     | 6              | 10       | Montée       | Maxi montée    | ZERO    | 5 500                     |                            |                      |                              |

| ACFTID | Profile_ID | Longueur phase | No étape | Type étape   | Indice poussée | Flap_ID | Altitude point final (ft) | Vitesse de montée (ft/min) | CAS point final (kt) | Pourcentage accélération (%) |
|--------|------------|----------------|----------|--------------|----------------|---------|---------------------------|----------------------------|----------------------|------------------------------|
| 747400 | ICAO_A     | 6              | 11       | Montée       | Maxi montée    | ZERO    | 7 500                     |                            |                      |                              |
| 747400 | ICAO_A     | 6              | 12       | Montée       | Maxi montée    | ZERO    | 10 000                    |                            |                      |                              |
| 747400 | ICAO_A     | 7              | 1        | Décollage    | Maxi décollage | 10      |                           |                            |                      |                              |
| 747400 | ICAO_A     | 7              | 2        | Montée       | Maxi décollage | T_10H   | 1 500                     |                            |                      |                              |
| 747400 | ICAO_A     | 7              | 3        | Montée       | Maxi montée    | 10      | 3 000                     |                            |                      |                              |
| 747400 | ICAO_A     | 7              | 4        | Accélération | Maxi montée    | 10      |                           | 908,3                      | 215,8                |                              |
| 747400 | ICAO_A     | 7              | 5        | Accélération | Maxi montée    | 5       |                           | 1 082,4                    | 259,1                |                              |
| 747400 | ICAO_A     | 7              | 6        | Montée       | Maxi montée    | T_01    | 4 509                     |                            |                      |                              |
| 747400 | ICAO_A     | 7              | 7        | Accélération | Maxi montée    | T_01    |                           | 1 308,4                    | 269,1                |                              |
| 747400 | ICAO_A     | 7              | 8        | Accélération | Maxi montée    | ZERO    |                           | 1 365,5                    | 271                  |                              |
| 747400 | ICAO_A     | 7              | 9        | Montée       | Maxi montée    | ZERO    | 5 500                     |                            |                      |                              |
| 747400 | ICAO_A     | 7              | 10       | Montée       | Maxi montée    | ZERO    | 7 500                     |                            |                      |                              |
| 747400 | ICAO_A     | 7              | 11       | Montée       | Maxi montée    | T_00H   | 10 000                    |                            |                      |                              |
| 747400 | ICAO_A     | 8              | 1        | Décollage    | Maxi décollage | 10      |                           |                            |                      |                              |
| 747400 | ICAO_A     | 8              | 2        | Montée       | Maxi décollage | T_10H   | 1 500                     |                            |                      |                              |
| 747400 | ICAO_A     | 8              | 3        | Montée       | Maxi montée    | 10      | 3 000                     |                            |                      |                              |
| 747400 | ICAO_A     | 8              | 4        | Accélération | Maxi montée    | 10      |                           | 801,1                      | 222,2                |                              |
| 747400 | ICAO_A     | 8              | 5        | Accélération | Maxi montée    | 5       |                           | 942,7                      | 259,1                |                              |
| 747400 | ICAO_A     | 8              | 6        | Montée       | Maxi montée    | T_01    | 4 540                     |                            |                      |                              |
| 747400 | ICAO_A     | 8              | 7        | Accélération | Maxi montée    | T_01    |                           | 1 146,3                    | 267,9                |                              |

| ACFTID | Profile_ID | Longueur phase | No étape | Type étape   | Indice poussée | Flap_ID | Altitude point final (ft) | Vitesse de montée (ft/min) | CAS point final (kt) | Pourcentage accélération (%) |
|--------|------------|----------------|----------|--------------|----------------|---------|---------------------------|----------------------------|----------------------|------------------------------|
| 747400 | ICAO_A     | 8              | 8        | Accélération | Maxi montée    | ZERO    |                           | 1 230                      | 277,7                |                              |
| 747400 | ICAO_A     | 8              | 9        | Montée       | Maxi montée    | ZERO    | 5 500                     |                            |                      |                              |
| 747400 | ICAO_A     | 8              | 10       | Montée       | Maxi montée    | T_00H   | 7 500                     |                            |                      |                              |
| 747400 | ICAO_A     | 8              | 11       | Montée       | Maxi montée    | T_00H   | 10 000                    |                            |                      |                              |
| 747400 | ICAO_A     | 9              | 1        | Décollage    | Maxi décollage | 10      |                           |                            |                      |                              |
| 747400 | ICAO_A     | 9              | 2        | Montée       | Maxi décollage | T_10H   | 1 500                     |                            |                      |                              |
| 747400 | ICAO_A     | 9              | 3        | Montée       | Maxi montée    | 10      | 3 000                     |                            |                      |                              |
| 747400 | ICAO_A     | 9              | 4        | Accélération | Maxi montée    | 10      |                           | 734,4                      | 226,3                |                              |
| 747400 | ICAO_A     | 9              | 5        | Accélération | Maxi montée    | 5       |                           | 858,9                      | 259,1                |                              |
| 747400 | ICAO_A     | 9              | 6        | Montée       | Maxi montée    | T_01    | 4 590                     |                            |                      |                              |
| 747400 | ICAO_A     | 9              | 7        | Accélération | Maxi montée    | T_01    |                           | 1 051,2                    | 270,6                |                              |
| 747400 | ICAO_A     | 9              | 8        | Accélération | Maxi montée    | T_00H   |                           | 1 143                      | 282,2                |                              |
| 747400 | ICAO_A     | 9              | 9        | Montée       | Maxi montée    | T_00H   | 5 500                     |                            |                      |                              |
| 747400 | ICAO_A     | 9              | 10       | Montée       | Maxi montée    | T_00H   | 7 500                     |                            |                      |                              |
| 747400 | ICAO_A     | 9              | 11       | Montée       | Maxi montée    | T_00H   | 10 000                    |                            |                      |                              |
| 747400 | ICAO_B     | 1              | 1        | Décollage    | Maxi décollage | 10      |                           |                            |                      |                              |
| 747400 | ICAO_B     | 1              | 2        | Montée       | Maxi décollage | T_10    | 1 000                     |                            |                      |                              |
| 747400 | ICAO_B     | 1              | 3        | Accélération | Maxi décollage | 10      |                           | 1 890,2                    | 182,3                |                              |
| 747400 | ICAO_B     | 1              | 4        | Montée       | Maxi décollage | 10      | 1 646                     |                            |                      |                              |
| 747400 | ICAO_B     | 1              | 5        | Accélération | Maxi montée    | T_05    |                           | 1 788,2                    | 242                  |                              |

| ACFTID | Profile_ID | Longueur phase | No étape | Type étape   | Indice poussée | Flap_ID | Altitude point final (ft) | Vitesse de montée (ft/min) | CAS point final (kt) | Pourcentage accélération (%) |
|--------|------------|----------------|----------|--------------|----------------|---------|---------------------------|----------------------------|----------------------|------------------------------|
| 747400 | ICAO_B     | 1              | 6        | Montée       | Maxi montée    | T_05    | 4 194                     |                            |                      |                              |
| 747400 | ICAO_B     | 1              | 7        | Accélération | Maxi montée    | ZERO    |                           | 2 170,6                    | 259                  |                              |
| 747400 | ICAO_B     | 1              | 8        | Montée       | Maxi montée    | ZERO    | 5 500                     |                            |                      |                              |
| 747400 | ICAO_B     | 1              | 9        | Montée       | Maxi montée    | ZERO    | 7 500                     |                            |                      |                              |
| 747400 | ICAO_B     | 1              | 10       | Montée       | Maxi montée    | ZERO    | 10 000                    |                            |                      |                              |
| 747400 | ICAO_B     | 2              | 1        | Décollage    | Maxi décollage | 10      |                           |                            |                      |                              |
| 747400 | ICAO_B     | 2              | 2        | Montée       | Maxi décollage | T_10    | 1 000                     |                            |                      |                              |
| 747400 | ICAO_B     | 2              | 3        | Accélération | Maxi décollage | 10      |                           | 1 836,7                    | 184,9                |                              |
| 747400 | ICAO_B     | 2              | 4        | Montée       | Maxi décollage | 10      | 1 640                     |                            |                      |                              |
| 747400 | ICAO_B     | 2              | 5        | Accélération | Maxi montée    | T_05    |                           | 1 727,1                    | 244,6                |                              |
| 747400 | ICAO_B     | 2              | 6        | Montée       | Maxi montée    | T_05    | 4 067                     |                            |                      |                              |
| 747400 | ICAO_B     | 2              | 7        | Accélération | Maxi montée    | ZERO    |                           | 2 088,1                    | 259,2                |                              |
| 747400 | ICAO_B     | 2              | 8        | Montée       | Maxi montée    | ZERO    | 5 500                     |                            |                      |                              |
| 747400 | ICAO_B     | 2              | 9        | Montée       | Maxi montée    | ZERO    | 7 500                     |                            |                      |                              |
| 747400 | ICAO_B     | 2              | 10       | Montée       | Maxi montée    | ZERO    | 10 000                    |                            |                      |                              |
| 747400 | ICAO_B     | 3              | 1        | Décollage    | Maxi décollage | 10      |                           |                            |                      |                              |
| 747400 | ICAO_B     | 3              | 2        | Montée       | Maxi décollage | T_10    | 1 000                     |                            |                      |                              |
| 747400 | ICAO_B     | 3              | 3        | Accélération | Maxi décollage | 10      |                           | 1 777,6                    | 187,5                |                              |
| 747400 | ICAO_B     | 3              | 4        | Montée       | Maxi décollage | 10      | 1 637                     |                            |                      |                              |
| 747400 | ICAO_B     | 3              | 5        | Accélération | Maxi montée    | T_05    |                           | 1 653,3                    | 247,2                |                              |

| ACFTID | Profile_ID | Longueur phase | No étape | Type étape   | Indice poussée | Flap_ID | Altitude point final (ft) | Vitesse de montée (ft/min) | CAS point final (kt) | Pourcentage accélération (%) |
|--------|------------|----------------|----------|--------------|----------------|---------|---------------------------|----------------------------|----------------------|------------------------------|
| 747400 | ICAO_B     | 3              | 6        | Montée       | Maxi montée    | T_05C   | 3 942                     |                            |                      |                              |
| 747400 | ICAO_B     | 3              | 7        | Accélération | Maxi montée    | ZERO    |                           | 2 009,7                    | 259,2                |                              |
| 747400 | ICAO_B     | 3              | 8        | Montée       | Maxi montée    | ZERO    | 5 500                     |                            |                      |                              |
| 747400 | ICAO_B     | 3              | 9        | Montée       | Maxi montée    | ZERO    | 7 500                     |                            |                      |                              |
| 747400 | ICAO_B     | 3              | 10       | Montée       | Maxi montée    | ZERO    | 10 000                    |                            |                      |                              |
| 747400 | ICAO_B     | 4              | 1        | Décollage    | Maxi décollage | 10      |                           |                            |                      |                              |
| 747400 | ICAO_B     | 4              | 2        | Montée       | Maxi décollage | T_10    | 1 000                     |                            |                      |                              |
| 747400 | ICAO_B     | 4              | 3        | Accélération | Maxi décollage | 10      |                           | 1 653,5                    | 192,6                |                              |
| 747400 | ICAO_B     | 4              | 4        | Montée       | Maxi décollage | 10      | 1 633                     |                            |                      |                              |
| 747400 | ICAO_B     | 4              | 5        | Accélération | Maxi montée    | T_05    |                           | 1 535,2                    | 252,2                |                              |
| 747400 | ICAO_B     | 4              | 6        | Montée       | Maxi montée    | T_05C   | 3 718                     |                            |                      |                              |
| 747400 | ICAO_B     | 4              | 7        | Accélération | Maxi montée    | ZERO    |                           | 1 858,5                    | 259,2                |                              |
| 747400 | ICAO_B     | 4              | 8        | Montée       | Maxi montée    | ZERO    | 5 500                     |                            |                      |                              |
| 747400 | ICAO_B     | 4              | 9        | Montée       | Maxi montée    | ZERO    | 7 500                     |                            |                      |                              |
| 747400 | ICAO_B     | 4              | 10       | Montée       | Maxi montée    | ZERO    | 10 000                    |                            |                      |                              |
| 747400 | ICAO_B     | 5              | 1        | Décollage    | Maxi décollage | 10      |                           |                            |                      |                              |
| 747400 | ICAO_B     | 5              | 2        | Montée       | Maxi décollage | T_10    | 1 000                     |                            |                      |                              |
| 747400 | ICAO_B     | 5              | 3        | Accélération | Maxi décollage | 10      |                           | 1 518,3                    | 198,7                |                              |
| 747400 | ICAO_B     | 5              | 4        | Montée       | Maxi décollage | 10      | 1 619                     |                            |                      |                              |
| 747400 | ICAO_B     | 5              | 5        | Accélération | Maxi montée    | T_05    |                           | 1 397,6                    | 258,3                |                              |

| ACFTID | Profile_ID | Longueur phase | No étape | Type étape   | Indice poussée | Flap_ID | Altitude point final (ft) | Vitesse de montée (ft/min) | CAS point final (kt) | Pourcentage accélération (%) |
|--------|------------|----------------|----------|--------------|----------------|---------|---------------------------|----------------------------|----------------------|------------------------------|
| 747400 | ICAO_B     | 5              | 6        | Montée       | Maxi montée    | T_05C   | 3 459                     |                            |                      |                              |
| 747400 | ICAO_B     | 5              | 7        | Accélération | Maxi montée    | ZERO    |                           | 1 685,4                    | 259,4                |                              |
| 747400 | ICAO_B     | 5              | 8        | Montée       | Maxi montée    | ZERO    | 5 500                     |                            |                      |                              |
| 747400 | ICAO_B     | 5              | 9        | Montée       | Maxi montée    | ZERO    | 7 500                     |                            |                      |                              |
| 747400 | ICAO_B     | 5              | 10       | Montée       | Maxi montée    | ZERO    | 10 000                    |                            |                      |                              |
| 747400 | ICAO_B     | 6              | 1        | Décollage    | Maxi décollage | 10      |                           |                            |                      |                              |
| 747400 | ICAO_B     | 6              | 2        | Montée       | Maxi décollage | T_10    | 1 000                     |                            |                      |                              |
| 747400 | ICAO_B     | 6              | 3        | Accélération | Maxi décollage | 10      |                           | 1 394,6                    | 205,1                |                              |
| 747400 | ICAO_B     | 6              | 4        | Montée       | Maxi décollage | T_05C   | 1 606                     |                            |                      |                              |
| 747400 | ICAO_B     | 6              | 5        | Accélération | Maxi montée    | T_05    |                           | 1 346,5                    | 264,7                |                              |
| 747400 | ICAO_B     | 6              | 6        | Montée       | Maxi montée    | T_05C   | 3 217                     |                            |                      |                              |
| 747400 | ICAO_B     | 6              | 7        | Accélération | Maxi montée    | ZERO    |                           | 1 560                      | 269,2                |                              |
| 747400 | ICAO_B     | 6              | 8        | Montée       | Maxi montée    | ZERO    | 5 500                     |                            |                      |                              |
| 747400 | ICAO_B     | 6              | 9        | Montée       | Maxi montée    | ZERO    | 7 500                     |                            |                      |                              |
| 747400 | ICAO_B     | 6              | 10       | Montée       | Maxi montée    | ZERO    | 10 000                    |                            |                      |                              |
| 747400 | ICAO_B     | 7              | 1        | Décollage    | Maxi décollage | 10      |                           |                            |                      |                              |
| 747400 | ICAO_B     | 7              | 2        | Montée       | Maxi décollage | T_10H   | 1 000                     |                            |                      |                              |
| 747400 | ICAO_B     | 7              | 3        | Accélération | Maxi décollage | 10      |                           | 1 271                      | 211,9                |                              |
| 747400 | ICAO_B     | 7              | 4        | Montée       | Maxi décollage | T_05    | 1 597                     |                            |                      |                              |
| 747400 | ICAO_B     | 7              | 5        | Accélération | Maxi montée    | T_05    |                           | 1 112,4                    | 259,4                |                              |

| ACFTID | Profile_ID | Longueur phase | No étape | Type étape   | Indice poussée | Flap_ID | Altitude point final (ft) | Vitesse de montée (ft/min) | CAS point final (kt) | Pourcentage accélération (%) |
|--------|------------|----------------|----------|--------------|----------------|---------|---------------------------|----------------------------|----------------------|------------------------------|
| 747400 | ICAO_B     | 7              | 6        | Montée       | Maxi montée    | T_05C   | 2 759                     |                            |                      |                              |
| 747400 | ICAO_B     | 7              | 7        | Accélération | Maxi montée    | T_01    |                           | 1 323,5                    | 271,4                |                              |
| 747400 | ICAO_B     | 7              | 8        | Montée       | Maxi montée    | ZERO    | 5 500                     |                            |                      |                              |
| 747400 | ICAO_B     | 7              | 9        | Montée       | Maxi montée    | T_00H   | 7 500                     |                            |                      |                              |
| 747400 | ICAO_B     | 7              | 10       | Montée       | Maxi montée    | T_00H   | 10 000                    |                            |                      |                              |
| 747400 | ICAO_B     | 8              | 1        | Décollage    | Maxi décollage | 10      |                           |                            |                      |                              |
| 747400 | ICAO_B     | 8              | 2        | Montée       | Maxi décollage | T_10H   | 1 000                     |                            |                      |                              |
| 747400 | ICAO_B     | 8              | 3        | Accélération | Maxi décollage | 10      |                           | 1 147                      | 218,9                |                              |
| 747400 | ICAO_B     | 8              | 4        | Montée       | Maxi décollage | T_05    | 1 592                     |                            |                      |                              |
| 747400 | ICAO_B     | 8              | 5        | Accélération | Maxi montée    | T_05    |                           | 975,2                      | 259,6                |                              |
| 747400 | ICAO_B     | 8              | 6        | Montée       | Maxi montée    | T_05C   | 2 755                     |                            |                      |                              |
| 747400 | ICAO_B     | 8              | 7        | Accélération | Maxi montée    | T_01    |                           | 1 209,5                    | 278,4                |                              |
| 747400 | ICAO_B     | 8              | 8        | Montée       | Maxi montée    | T_00H   | 5 500                     |                            |                      |                              |
| 747400 | ICAO_B     | 8              | 9        | Montée       | Maxi montée    | T_00H   | 7 500                     |                            |                      |                              |
| 747400 | ICAO_B     | 8              | 10       | Montée       | Maxi montée    | T_00H   | 10 000                    |                            |                      |                              |
| 747400 | ICAO_B     | 9              | 1        | Décollage    | Maxi décollage | 10      |                           |                            |                      |                              |
| 747400 | ICAO_B     | 9              | 2        | Montée       | Maxi décollage | T_10H   | 1 000                     |                            |                      |                              |
| 747400 | ICAO_B     | 9              | 3        | Accélération | Maxi décollage | 10      |                           | 1 070,9                    | 223,3                |                              |
| 747400 | ICAO_B     | 9              | 4        | Montée       | Maxi décollage | 10      | 1 611                     |                            |                      |                              |
| 747400 | ICAO_B     | 9              | 5        | Accélération | Maxi montée    | T_05    |                           | 893,7                      | 259,5                |                              |

| ACFTID | Profile_ID | Longueur phase | No étape | Type étape     | Indice poussée | Flap_ID | Altitude point final (ft) | Vitesse de montée (ft/min) | CAS point final (kt) | Pourcentage accélération (%) |
|--------|------------|----------------|----------|----------------|----------------|---------|---------------------------|----------------------------|----------------------|------------------------------|
| 747400 | ICAO_B     | 9              | 6        | Montée         | Maxi montée    | T_01    | 2 782                     |                            |                      |                              |
| 747400 | ICAO_B     | 9              | 7        | Accélération   | Maxi montée    | T_01    |                           | 1 119,3                    | 282,7                |                              |
| 747400 | ICAO_B     | 9              | 8        | Montée         | Maxi montée    | T_00H   | 5 500                     |                            |                      |                              |
| 747400 | ICAO_B     | 9              | 9        | Montée         | Maxi montée    | T_00H   | 7 500                     |                            |                      |                              |
| 747400 | ICAO_B     | 9              | 10       | Montée         | Maxi montée    | T_00H   | 10 000                    |                            |                      |                              |
| 7478   | DEFAULT    | 1              | 1        | Décollage      | Maxi décollage | F_10    |                           |                            |                      |                              |
| 7478   | DEFAULT    | 1              | 2        | Montée         | Maxi décollage | F_10    | 1 000                     |                            |                      |                              |
| 7478   | DEFAULT    | 1              | 3        | Accélération_% | Maxi montée    | F_10    |                           |                            | 215                  | 55                           |
| 7478   | DEFAULT    | 1              | 4        | Accélération_% | Maxi montée    | F_5     |                           |                            | 250                  | 55                           |
| 7478   | DEFAULT    | 1              | 5        | Accélération_% | Maxi montée    | F_1     |                           |                            | 260                  | 55                           |
| 7478   | DEFAULT    | 1              | 6        | Montée         | Maxi montée    | F_0     | 3 000                     |                            |                      |                              |
| 7478   | DEFAULT    | 1              | 7        | Accélération_% | Maxi montée    | F_0     |                           |                            | 295                  | 50                           |
| 7478   | DEFAULT    | 1              | 8        | Montée         | Maxi montée    | F_0     | 10 000                    |                            |                      |                              |
| 7478   | DEFAULT    | 2              | 1        | Décollage      | Maxi décollage | F_10    |                           |                            |                      |                              |
| 7478   | DEFAULT    | 2              | 2        | Montée         | Maxi décollage | F_10    | 1 000                     |                            |                      |                              |
| 7478   | DEFAULT    | 2              | 3        | Accélération_% | Maxi montée    | F_10    |                           |                            | 215                  | 55                           |
| 7478   | DEFAULT    | 2              | 4        | Accélération_% | Maxi montée    | F_5     |                           |                            | 250                  | 55                           |
| 7478   | DEFAULT    | 2              | 5        | Accélération_% | Maxi montée    | F_1     |                           |                            | 260                  | 55                           |
| 7478   | DEFAULT    | 2              | 6        | Montée         | Maxi montée    | F_0     | 3 000                     |                            |                      |                              |
| 7478   | DEFAULT    | 2              | 7        | Accélération_% | Maxi montée    | F_0     |                           |                            | 295                  | 50                           |

| ACFTID | Profile_ID | Longueur phase | No étape | Type étape     | Indice poussée | Flap_ID | Altitude point final (ft) | Vitesse de montée (ft/min) | CAS point final (kt) | Pourcentage accélération (%) |
|--------|------------|----------------|----------|----------------|----------------|---------|---------------------------|----------------------------|----------------------|------------------------------|
| 7478   | DEFAULT    | 2              | 8        | Montée         | Maxi montée    | F_0     | 10 000                    |                            |                      |                              |
| 7478   | DEFAULT    | 3              | 1        | Décollage      | Maxi décollage | F_10    |                           |                            |                      |                              |
| 7478   | DEFAULT    | 3              | 2        | Montée         | Maxi décollage | F_10    | 1 000                     |                            |                      |                              |
| 7478   | DEFAULT    | 3              | 3        | Accélération_% | Maxi montée    | F_10    |                           |                            | 215                  | 55                           |
| 7478   | DEFAULT    | 3              | 4        | Accélération_% | Maxi montée    | F_5     |                           |                            | 250                  | 55                           |
| 7478   | DEFAULT    | 3              | 5        | Accélération_% | Maxi montée    | F_1     |                           |                            | 260                  | 55                           |
| 7478   | DEFAULT    | 3              | 6        | Montée         | Maxi montée    | F_0     | 3 000                     |                            |                      |                              |
| 7478   | DEFAULT    | 3              | 7        | Accélération_% | Maxi montée    | F_0     |                           |                            | 295                  | 50                           |
| 7478   | DEFAULT    | 3              | 8        | Montée         | Maxi montée    | F_0     | 10 000                    |                            |                      |                              |
| 7478   | DEFAULT    | 4              | 1        | Décollage      | Maxi décollage | F_10    |                           |                            |                      |                              |
| 7478   | DEFAULT    | 4              | 2        | Montée         | Maxi décollage | F_10    | 1 000                     |                            |                      |                              |
| 7478   | DEFAULT    | 4              | 3        | Accélération_% | Maxi montée    | F_10    |                           |                            | 220                  | 55                           |
| 7478   | DEFAULT    | 4              | 4        | Accélération_% | Maxi montée    | F_5     |                           |                            | 250                  | 55                           |
| 7478   | DEFAULT    | 4              | 5        | Accélération_% | Maxi montée    | F_1     |                           |                            | 268                  | 55                           |
| 7478   | DEFAULT    | 4              | 6        | Montée         | Maxi montée    | F_0     | 3 000                     |                            |                      |                              |
| 7478   | DEFAULT    | 4              | 7        | Accélération_% | Maxi montée    | F_0     |                           |                            | 295                  | 50                           |
| 7478   | DEFAULT    | 4              | 8        | Montée         | Maxi montée    | F_0     | 10 000                    |                            |                      |                              |
| 7478   | DEFAULT    | 5              | 1        | Décollage      | Maxi décollage | F_10    |                           |                            |                      |                              |
| 7478   | DEFAULT    | 5              | 2        | Montée         | Maxi décollage | F_10    | 1 000                     |                            |                      |                              |
| 7478   | DEFAULT    | 5              | 3        | Accélération_% | Maxi montée    | F_10    |                           |                            | 220                  | 55                           |

| ACFTID | Profile_ID | Longueur phase | No étape | Type étape     | Indice poussée | Flap_ID | Altitude point final (ft) | Vitesse de montée (ft/min) | CAS point final (kt) | Pourcentage accélération (%) |
|--------|------------|----------------|----------|----------------|----------------|---------|---------------------------|----------------------------|----------------------|------------------------------|
| 7478   | DEFAULT    | 5              | 4        | Accélération_% | Maxi montée    | F_5     |                           |                            | 250                  | 55                           |
| 7478   | DEFAULT    | 5              | 5        | Accélération_% | Maxi montée    | F_1     |                           |                            | 270                  | 55                           |
| 7478   | DEFAULT    | 5              | 6        | Montée         | Maxi montée    | F_0     | 3 000                     |                            |                      |                              |
| 7478   | DEFAULT    | 5              | 7        | Accélération_% | Maxi montée    | F_0     |                           |                            | 295                  | 50                           |
| 7478   | DEFAULT    | 5              | 8        | Montée         | Maxi montée    | F_0     | 10 000                    |                            |                      |                              |
| 7478   | DEFAULT    | 6              | 1        | Décollage      | Maxi décollage | F_10    |                           |                            |                      |                              |
| 7478   | DEFAULT    | 6              | 2        | Montée         | Maxi décollage | F_10    | 1 000                     |                            |                      |                              |
| 7478   | DEFAULT    | 6              | 3        | Accélération_% | Maxi montée    | F_10    |                           |                            | 227                  | 55                           |
| 7478   | DEFAULT    | 6              | 4        | Accélération_% | Maxi montée    | F_5     |                           |                            | 258                  | 55                           |
| 7478   | DEFAULT    | 6              | 5        | Accélération_% | Maxi montée    | F_1     |                           |                            | 270                  | 55                           |
| 7478   | DEFAULT    | 6              | 6        | Montée         | Maxi montée    | F_0     | 3 000                     |                            |                      |                              |
| 7478   | DEFAULT    | 6              | 7        | Accélération_% | Maxi montée    | F_0     |                           |                            | 295                  | 50                           |
| 7478   | DEFAULT    | 6              | 8        | Montée         | Maxi montée    | F_0     | 10 000                    |                            |                      |                              |
| 7478   | DEFAULT    | 7              | 1        | Décollage      | Maxi décollage | F_10    |                           |                            |                      |                              |
| 7478   | DEFAULT    | 7              | 2        | Montée         | Maxi décollage | F_10    | 1 000                     |                            |                      |                              |
| 7478   | DEFAULT    | 7              | 3        | Accélération_% | Maxi montée    | F_10    |                           |                            | 230                  | 55                           |
| 7478   | DEFAULT    | 7              | 4        | Accélération_% | Maxi montée    | F_5     |                           |                            | 260                  | 55                           |
| 7478   | DEFAULT    | 7              | 5        | Accélération_% | Maxi montée    | F_1     |                           |                            | 275                  | 55                           |
| 7478   | DEFAULT    | 7              | 6        | Montée         | Maxi montée    | F_0     | 3 000                     |                            |                      |                              |
| 7478   | DEFAULT    | 7              | 7        | Accélération_% | Maxi montée    | F_0     |                           |                            | 295                  | 50                           |

| ACFTID | Profile_ID | Longueur phase | No étape | Type étape     | Indice poussée | Flap_ID | Altitude point final (ft) | Vitesse de montée (ft/min) | CAS point final (kt) | Pourcentage accélération (%) |
|--------|------------|----------------|----------|----------------|----------------|---------|---------------------------|----------------------------|----------------------|------------------------------|
| 7478   | DEFAULT    | 7              | 8        | Montée         | Maxi montée    | F_0     | 10 000                    |                            |                      |                              |
| 7478   | DEFAULT    | 8              | 1        | Décollage      | Maxi décollage | F_10    |                           |                            |                      |                              |
| 7478   | DEFAULT    | 8              | 2        | Montée         | Maxi décollage | F_10    | 1 000                     |                            |                      |                              |
| 7478   | DEFAULT    | 8              | 3        | Accélération_% | Maxi montée    | F_10    |                           |                            | 235                  | 55                           |
| 7478   | DEFAULT    | 8              | 4        | Accélération_% | Maxi montée    | F_5     |                           |                            | 265                  | 55                           |
| 7478   | DEFAULT    | 8              | 5        | Accélération_% | Maxi montée    | F_1     |                           |                            | 280                  | 55                           |
| 7478   | DEFAULT    | 8              | 6        | Montée         | Maxi montée    | F_0     | 3 000                     |                            |                      |                              |
| 7478   | DEFAULT    | 8              | 7        | Accélération_% | Maxi montée    | F_0     |                           |                            | 295                  | 50                           |
| 7478   | DEFAULT    | 8              | 8        | Montée         | Maxi montée    | F_0     | 10 000                    |                            |                      |                              |
| 7478   | DEFAULT    | 9              | 1        | Décollage      | Maxi décollage | F_10    |                           |                            |                      |                              |
| 7478   | DEFAULT    | 9              | 2        | Montée         | Maxi décollage | F_10    | 1 000                     |                            |                      |                              |
| 7478   | DEFAULT    | 9              | 3        | Accélération_% | Maxi montée    | F_10    |                           |                            | 235                  | 55                           |
| 7478   | DEFAULT    | 9              | 4        | Accélération_% | Maxi montée    | F_5     |                           |                            | 265                  | 55                           |
| 7478   | DEFAULT    | 9              | 5        | Accélération_% | Maxi montée    | F_1     |                           |                            | 280                  | 55                           |
| 7478   | DEFAULT    | 9              | 6        | Montée         | Maxi montée    | F_0     | 3 000                     |                            |                      |                              |
| 7478   | DEFAULT    | 9              | 7        | Accélération_% | Maxi montée    | F_0     |                           |                            | 295                  | 50                           |
| 7478   | DEFAULT    | 9              | 8        | Montée         | Maxi montée    | F_0     | 10 000                    |                            |                      |                              |
| 7478   | ICAO_A     | 1              | 1        | Décollage      | Maxi décollage | F_10    |                           |                            |                      |                              |
| 7478   | ICAO_A     | 1              | 2        | Montée         | Maxi décollage | F_10    | 1 500                     |                            |                      |                              |
| 7478   | ICAO_A     | 1              | 3        | Montée         | Maxi montée    | F_10    | 3 000                     |                            |                      |                              |

| ACFTID | Profile_ID | Longueur phase | No étape | Type étape     | Indice poussée | Flap_ID | Altitude point final (ft) | Vitesse de montée (ft/min) | CAS point final (kt) | Pourcentage accélération (%) |
|--------|------------|----------------|----------|----------------|----------------|---------|---------------------------|----------------------------|----------------------|------------------------------|
| 7478   | ICAO_A     | 1              | 4        | Accélération_% | Maxi montée    | F_10    |                           |                            | 220                  | 55                           |
| 7478   | ICAO_A     | 1              | 5        | Accélération_% | Maxi montée    | F_5     |                           |                            | 250                  | 55                           |
| 7478   | ICAO_A     | 1              | 6        | Montée         | Maxi montée    | F_1     | 4 700                     |                            |                      |                              |
| 7478   | ICAO_A     | 1              | 7        | Accélération_% | Maxi montée    | F_0     |                           |                            | 276                  | 50                           |
| 7478   | ICAO_A     | 1              | 8        | Montée         | Maxi montée    | F_0     | 10 000                    |                            |                      |                              |
| 7478   | ICAO_A     | 2              | 1        | Décollage      | Maxi décollage | F_10    |                           |                            |                      |                              |
| 7478   | ICAO_A     | 2              | 2        | Montée         | Maxi décollage | F_10    | 1 500                     |                            |                      |                              |
| 7478   | ICAO_A     | 2              | 3        | Montée         | Maxi montée    | F_10    | 3 000                     |                            |                      |                              |
| 7478   | ICAO_A     | 2              | 4        | Accélération_% | Maxi montée    | F_10    |                           |                            | 220                  | 55                           |
| 7478   | ICAO_A     | 2              | 5        | Accélération_% | Maxi montée    | F_1     |                           |                            | 254                  | 55                           |
| 7478   | ICAO_A     | 2              | 6        | Montée         | Maxi montée    | F_1     | 4 800                     |                            |                      |                              |
| 7478   | ICAO_A     | 2              | 7        | Accélération_% | Maxi montée    | F_0     |                           |                            | 275                  | 50                           |
| 7478   | ICAO_A     | 2              | 8        | Montée         | Maxi montée    | F_0     | 10 000                    |                            |                      |                              |
| 7478   | ICAO_A     | 3              | 1        | Décollage      | Maxi décollage | F_10    |                           |                            |                      |                              |
| 7478   | ICAO_A     | 3              | 2        | Montée         | Maxi décollage | F_10    | 1 500                     |                            |                      |                              |
| 7478   | ICAO_A     | 3              | 3        | Montée         | Maxi montée    | F_10    | 3 000                     |                            |                      |                              |
| 7478   | ICAO_A     | 3              | 4        | Accélération_% | Maxi montée    | F_5     |                           |                            | 220                  | 55                           |
| 7478   | ICAO_A     | 3              | 5        | Accélération_% | Maxi montée    | F_1     |                           |                            | 255                  | 55                           |
| 7478   | ICAO_A     | 3              | 6        | Montée         | Maxi montée    | F_1     | 4 500                     |                            |                      |                              |
| 7478   | ICAO_A     | 3              | 7        | Accélération_% | Maxi montée    | F_0     |                           |                            | 275                  | 50                           |

| ACFTID | Profile_ID | Longueur phase | No étape | Type étape     | Indice poussée | Flap_ID | Altitude point final (ft) | Vitesse de montée (ft/min) | CAS point final (kt) | Pourcentage accélération (%) |
|--------|------------|----------------|----------|----------------|----------------|---------|---------------------------|----------------------------|----------------------|------------------------------|
| 7478   | ICAO_A     | 3              | 8        | Montée         | Maxi montée    | F_0     | 10 000                    |                            |                      |                              |
| 7478   | ICAO_A     | 4              | 1        | Décollage      | Maxi décollage | F_10    |                           |                            |                      |                              |
| 7478   | ICAO_A     | 4              | 2        | Montée         | Maxi décollage | F_10    | 1 500                     |                            |                      |                              |
| 7478   | ICAO_A     | 4              | 3        | Montée         | Maxi montée    | F_10    | 3 000                     |                            |                      |                              |
| 7478   | ICAO_A     | 4              | 4        | Accélération_% | Maxi montée    | F_10    |                           |                            | 220                  | 55                           |
| 7478   | ICAO_A     | 4              | 5        | Accélération_% | Maxi montée    | F_5     |                           |                            | 255                  | 55                           |
| 7478   | ICAO_A     | 4              | 6        | Accélération_% | Maxi montée    | F_1     |                           |                            | 275                  | 55                           |
| 7478   | ICAO_A     | 4              | 7        | Montée         | Maxi montée    | F_0     | 10 000                    |                            |                      |                              |
| 7478   | ICAO_A     | 5              | 1        | Décollage      | Maxi décollage | F_10    |                           |                            |                      |                              |
| 7478   | ICAO_A     | 5              | 2        | Montée         | Maxi décollage | F_10    | 1 500                     |                            |                      |                              |
| 7478   | ICAO_A     | 5              | 3        | Montée         | Maxi montée    | F_10    | 3 000                     |                            |                      |                              |
| 7478   | ICAO_A     | 5              | 4        | Accélération_% | Maxi montée    | F_5     |                           |                            | 220                  | 55                           |
| 7478   | ICAO_A     | 5              | 5        | Accélération_% | Maxi montée    | F_1     |                           |                            | 255                  | 55                           |
| 7478   | ICAO_A     | 5              | 6        | Accélération_% | Maxi montée    | F_0     |                           |                            | 275                  | 50                           |
| 7478   | ICAO_A     | 5              | 7        | Montée         | Maxi montée    | F_0     | 10 000                    |                            |                      |                              |
| 7478   | ICAO_A     | 6              | 1        | Décollage      | Maxi décollage | F_10    |                           |                            |                      |                              |
| 7478   | ICAO_A     | 6              | 2        | Montée         | Maxi décollage | F_10    | 1 500                     |                            |                      |                              |
| 7478   | ICAO_A     | 6              | 3        | Montée         | Maxi montée    | F_10    | 3 000                     |                            |                      |                              |
| 7478   | ICAO_A     | 6              | 4        | Accélération_% | Maxi montée    | F_5     |                           |                            | 225                  | 55                           |
| 7478   | ICAO_A     | 6              | 5        | Accélération_% | Maxi montée    | F_1     |                           |                            | 255                  | 55                           |

| ACFTID | Profile_ID | Longueur phase | No étape | Type étape     | Indice poussée | Flap_ID | Altitude point final (ft) | Vitesse de montée (ft/min) | CAS point final (kt) | Pourcentage accélération (%) |
|--------|------------|----------------|----------|----------------|----------------|---------|---------------------------|----------------------------|----------------------|------------------------------|
| 7478   | ICAO_A     | 6              | 6        | Accélération_% | Maxi montée    | F_0     |                           |                            | 278                  | 50                           |
| 7478   | ICAO_A     | 6              | 7        | Montée         | Maxi montée    | F_0     | 10 000                    |                            |                      |                              |
| 7478   | ICAO_A     | 7              | 1        | Décollage      | Maxi décollage | F_10    |                           |                            |                      |                              |
| 7478   | ICAO_A     | 7              | 2        | Montée         | Maxi décollage | F_10    | 1 500                     |                            |                      |                              |
| 7478   | ICAO_A     | 7              | 3        | Montée         | Maxi montée    | F_10    | 3 000                     |                            |                      |                              |
| 7478   | ICAO_A     | 7              | 4        | Accélération_% | Maxi montée    | F_5     |                           |                            | 225                  | 55                           |
| 7478   | ICAO_A     | 7              | 5        | Accélération_% | Maxi montée    | F_1     |                           |                            | 255                  | 55                           |
| 7478   | ICAO_A     | 7              | 6        | Accélération_% | Maxi montée    | F_0     |                           |                            | 278                  | 50                           |
| 7478   | ICAO_A     | 7              | 7        | Montée         | Maxi montée    | F_0     | 10 000                    |                            |                      |                              |
| 7478   | ICAO_A     | 8              | 1        | Décollage      | Maxi décollage | F_10    |                           |                            |                      |                              |
| 7478   | ICAO_A     | 8              | 2        | Montée         | Maxi décollage | F_10    | 1 500                     |                            |                      |                              |
| 7478   | ICAO_A     | 8              | 3        | Montée         | Maxi montée    | F_10    | 3 000                     |                            |                      |                              |
| 7478   | ICAO_A     | 8              | 4        | Accélération_% | Maxi montée    | F_5     |                           |                            | 230                  | 55                           |
| 7478   | ICAO_A     | 8              | 5        | Accélération_% | Maxi montée    | F_1     |                           |                            | 265                  | 55                           |
| 7478   | ICAO_A     | 8              | 6        | Accélération_% | Maxi montée    | F_0     |                           |                            | 280                  | 50                           |
| 7478   | ICAO_A     | 8              | 7        | Montée         | Maxi montée    | F_0     | 10 000                    |                            |                      |                              |
| 7478   | ICAO_A     | 9              | 1        | Décollage      | Maxi décollage | F_10    |                           |                            |                      |                              |
| 7478   | ICAO_A     | 9              | 2        | Montée         | Maxi décollage | F_10    | 1 500                     |                            |                      |                              |
| 7478   | ICAO_A     | 9              | 3        | Montée         | Maxi montée    | F_10    | 3 000                     |                            |                      |                              |
| 7478   | ICAO_A     | 9              | 4        | Accélération_% | Maxi montée    | F_5     |                           |                            | 230                  | 55                           |

| ACFTID | Profile_ID | Longueur phase | No étape | Type étape     | Indice poussée | Flap_ID | Altitude point final (ft) | Vitesse de montée (ft/min) | CAS point final (kt) | Pourcentage accélération (%) |
|--------|------------|----------------|----------|----------------|----------------|---------|---------------------------|----------------------------|----------------------|------------------------------|
| 7478   | ICAO_A     | 9              | 5        | Accélération_% | Maxi montée    | F_1     |                           |                            | 265                  | 55                           |
| 7478   | ICAO_A     | 9              | 6        | Accélération_% | Maxi montée    | F_0     |                           |                            | 280                  | 50                           |
| 7478   | ICAO_A     | 9              | 7        | Montée         | Maxi montée    | F_0     | 10 000                    |                            |                      |                              |
| 7478   | ICAO_B     | 1              | 1        | Décollage      | Maxi décollage | F_10    |                           |                            |                      |                              |
| 7478   | ICAO_B     | 1              | 2        | Montée         | Maxi décollage | F_10    | 1 000                     |                            |                      |                              |
| 7478   | ICAO_B     | 1              | 3        | Accélération_% | Maxi décollage | F_10    |                           |                            | 210                  | 55                           |
| 7478   | ICAO_B     | 1              | 4        | Accélération_% | Maxi décollage | F_5     |                           |                            | 250                  | 55                           |
| 7478   | ICAO_B     | 1              | 5        | Montée         | Maxi décollage | F_1     | 3 480                     |                            |                      |                              |
| 7478   | ICAO_B     | 1              | 6        | Accélération_% | Maxi montée    | F_0     |                           |                            | 280                  | 50                           |
| 7478   | ICAO_B     | 1              | 7        | Montée         | Maxi montée    | F_0     | 10 000                    |                            |                      |                              |
| 7478   | ICAO_B     | 2              | 1        | Décollage      | Maxi décollage | F_10    |                           |                            |                      |                              |
| 7478   | ICAO_B     | 2              | 2        | Montée         | Maxi décollage | F_10    | 1 000                     |                            |                      |                              |
| 7478   | ICAO_B     | 2              | 3        | Accélération_% | Maxi décollage | F_10    |                           |                            | 223                  | 55                           |
| 7478   | ICAO_B     | 2              | 4        | Accélération_% | Maxi décollage | F_5     |                           |                            | 250                  | 55                           |
| 7478   | ICAO_B     | 2              | 5        | Montée         | Maxi décollage | F_1     | 3 350                     |                            |                      |                              |
| 7478   | ICAO_B     | 2              | 6        | Accélération_% | Maxi montée    | F_0     |                           |                            | 280                  | 50                           |
| 7478   | ICAO_B     | 2              | 7        | Montée         | Maxi montée    | F_0     | 10 000                    |                            |                      |                              |
| 7478   | ICAO_B     | 3              | 1        | Décollage      | Maxi décollage | F_10    |                           |                            |                      |                              |
| 7478   | ICAO_B     | 3              | 2        | Montée         | Maxi décollage | F_10    | 1 000                     |                            |                      |                              |
| 7478   | ICAO_B     | 3              | 3        | Accélération_% | Maxi décollage | F_10    |                           |                            | 223                  | 55                           |

| ACFTID | Profile_ID | Longueur phase | No étape | Type étape     | Indice poussée | Flap_ID | Altitude point final (ft) | Vitesse de montée (ft/min) | CAS point final (kt) | Pourcentage_accélération (%) |
|--------|------------|----------------|----------|----------------|----------------|---------|---------------------------|----------------------------|----------------------|------------------------------|
| 7478   | ICAO_B     | 3              | 4        | Accélération_% | Maxi décollage | F_5     |                           |                            | 263                  | 55                           |
| 7478   | ICAO_B     | 3              | 5        | Montée         | Maxi décollage | F_1     | 3 350                     |                            |                      |                              |
| 7478   | ICAO_B     | 3              | 6        | Accélération_% | Maxi montée    | F_0     |                           |                            | 300                  | 50                           |
| 7478   | ICAO_B     | 3              | 7        | Montée         | Maxi montée    | F_0     | 10 000                    |                            |                      |                              |
| 7478   | ICAO_B     | 4              | 1        | Décollage      | Maxi décollage | F_10    |                           |                            |                      |                              |
| 7478   | ICAO_B     | 4              | 2        | Montée         | Maxi décollage | F_10    | 1 000                     |                            |                      |                              |
| 7478   | ICAO_B     | 4              | 3        | Accélération_% | Maxi décollage | F_10    |                           |                            | 210                  | 55                           |
| 7478   | ICAO_B     | 4              | 4        | Accélération_% | Maxi décollage | F_5     |                           |                            | 260                  | 55                           |
| 7478   | ICAO_B     | 4              | 5        | Montée         | Maxi décollage | F_1     | 3 480                     |                            |                      |                              |
| 7478   | ICAO_B     | 4              | 6        | Accélération_% | Maxi montée    | F_0     |                           |                            | 270                  | 50                           |
| 7478   | ICAO_B     | 4              | 7        | Montée         | Maxi montée    | F_0     | 10 000                    |                            |                      |                              |
| 7478   | ICAO_B     | 5              | 1        | Décollage      | Maxi décollage | F_10    |                           |                            |                      |                              |
| 7478   | ICAO_B     | 5              | 2        | Montée         | Maxi décollage | F_10    | 1 000                     |                            |                      |                              |
| 7478   | ICAO_B     | 5              | 3        | Accélération_% | Maxi décollage | F_10    |                           |                            | 228                  | 55                           |
| 7478   | ICAO_B     | 5              | 4        | Accélération_% | Maxi décollage | F_5     |                           |                            | 262                  | 55                           |
| 7478   | ICAO_B     | 5              | 5        | Montée         | Maxi décollage | F_1     | 2 760                     |                            |                      |                              |
| 7478   | ICAO_B     | 5              | 6        | Accélération_% | Maxi montée    | F_0     |                           |                            | 270                  | 50                           |
| 7478   | ICAO_B     | 5              | 7        | Montée         | Maxi montée    | F_0     | 10 000                    |                            |                      |                              |
| 7478   | ICAO_B     | 6              | 1        | Décollage      | Maxi décollage | F_10    |                           |                            |                      |                              |
| 7478   | ICAO_B     | 6              | 2        | Montée         | Maxi décollage | F_10    | 1 000                     |                            |                      |                              |

| ACFTID | Profile_ID | Longueur phase | No étape | Type étape     | Indice poussée | Flap_ID | Altitude point final (ft) | Vitesse de montée (ft/min) | CAS point final (kt) | Pourcentage_accélération (%) |
|--------|------------|----------------|----------|----------------|----------------|---------|---------------------------|----------------------------|----------------------|------------------------------|
| 7478   | ICAO_B     | 6              | 3        | Accélération_% | Maxi décollage | F_10    |                           |                            | 231                  | 55                           |
| 7478   | ICAO_B     | 6              | 4        | Accélération_% | Maxi décollage | F_5     |                           |                            | 264                  | 55                           |
| 7478   | ICAO_B     | 6              | 5        | Montée         | Maxi décollage | F_1     | 2 610                     |                            |                      |                              |
| 7478   | ICAO_B     | 6              | 6        | Accélération_% | Maxi montée    | F_0     |                           |                            | 300                  | 50                           |
| 7478   | ICAO_B     | 6              | 7        | Montée         | Maxi montée    | F_0     | 10 000                    |                            |                      |                              |
| 7478   | ICAO_B     | 7              | 1        | Décollage      | Maxi décollage | F_10    |                           |                            |                      |                              |
| 7478   | ICAO_B     | 7              | 2        | Montée         | Maxi décollage | F_10    | 1 000                     |                            |                      |                              |
| 7478   | ICAO_B     | 7              | 3        | Accélération_% | Maxi décollage | F_10    |                           |                            | 231                  | 55                           |
| 7478   | ICAO_B     | 7              | 4        | Accélération_% | Maxi décollage | F_5     |                           |                            | 270                  | 55                           |
| 7478   | ICAO_B     | 7              | 5        | Montée         | Maxi décollage | F_1     | 2 610                     |                            |                      |                              |
| 7478   | ICAO_B     | 7              | 6        | Accélération_% | Maxi montée    | F_0     |                           |                            | 300                  | 50                           |
| 7478   | ICAO_B     | 7              | 7        | Montée         | Maxi montée    | F_0     | 10 000                    |                            |                      |                              |
| 7478   | ICAO_B     | 8              | 1        | Décollage      | Maxi décollage | F_10    |                           |                            |                      |                              |
| 7478   | ICAO_B     | 8              | 2        | Montée         | Maxi décollage | F_10    | 1 000                     |                            |                      |                              |
| 7478   | ICAO_B     | 8              | 3        | Accélération_% | Maxi décollage | F_10    |                           |                            | 235                  | 55                           |
| 7478   | ICAO_B     | 8              | 4        | Accélération_% | Maxi décollage | F_5     |                           |                            | 265                  | 55                           |
| 7478   | ICAO_B     | 8              | 5        | Accélération_% | Maxi décollage | F_1     |                           |                            | 275                  | 55                           |
| 7478   | ICAO_B     | 8              | 6        | Montée         | Maxi montée    | F_0     | 10 000                    |                            |                      |                              |
| 7478   | ICAO_B     | 9              | 1        | Décollage      | Maxi décollage | F_10    |                           |                            |                      |                              |
| 7478   | ICAO_B     | 9              | 2        | Montée         | Maxi décollage | F_10    | 1 000                     |                            |                      |                              |

| ACFTID | Profile_ID | Longueur phase | No étape | Type étape     | Indice poussée | Flap_ID | Altitude point final (ft) | Vitesse de montée (ft/min) | CAS point final (kt) | Pourcentage accélération (%) |
|--------|------------|----------------|----------|----------------|----------------|---------|---------------------------|----------------------------|----------------------|------------------------------|
| 7478   | ICAO_B     | 9              | 3        | Accélération_% | Maxi décollage | F_10    |                           |                            | 240                  | 55                           |
| 7478   | ICAO_B     | 9              | 4        | Accélération_% | Maxi décollage | F_5     |                           |                            | 270                  | 55                           |
| 7478   | ICAO_B     | 9              | 5        | Accélération_% | Maxi décollage | F_1     |                           |                            | 280                  | 55                           |
| 7478   | ICAO_B     | 9              | 6        | Montée         | Maxi montée    | F_0     | 10 000                    |                            |                      |                              |
| 747SP  | DEFAULT    | 1              | 1        | Décollage      | Maxi décollage | 10      |                           |                            |                      |                              |
| 747SP  | DEFAULT    | 1              | 2        | Montée         | Maxi décollage | 10      | 1 000                     |                            |                      |                              |
| 747SP  | DEFAULT    | 1              | 3        | Accélération   | Maxi décollage | 10      |                           | 2 469                      | 163                  |                              |
| 747SP  | DEFAULT    | 1              | 4        | Accélération   | Maxi montée    | 5       |                           | 1 000                      | 203                  |                              |
| 747SP  | DEFAULT    | 1              | 5        | Montée         | Maxi montée    | ZERO    | 3 000                     |                            |                      |                              |
| 747SP  | DEFAULT    | 1              | 6        | Accélération   | Maxi montée    | ZERO    |                           | 1 000                      | 250                  |                              |
| 747SP  | DEFAULT    | 1              | 7        | Montée         | Maxi montée    | ZERO    | 5 500                     |                            |                      |                              |
| 747SP  | DEFAULT    | 1              | 8        | Montée         | Maxi montée    | ZERO    | 7 500                     |                            |                      |                              |
| 747SP  | DEFAULT    | 1              | 9        | Montée         | Maxi montée    | ZERO    | 10 000                    |                            |                      |                              |
| 747SP  | DEFAULT    | 2              | 1        | Décollage      | Maxi décollage | 10      |                           |                            |                      |                              |
| 747SP  | DEFAULT    | 2              | 2        | Montée         | Maxi décollage | 10      | 1 000                     |                            |                      |                              |
| 747SP  | DEFAULT    | 2              | 3        | Accélération   | Maxi décollage | 10      |                           | 2 326                      | 167                  |                              |
| 747SP  | DEFAULT    | 2              | 4        | Accélération   | Maxi montée    | 5       |                           | 1 000                      | 207                  |                              |
| 747SP  | DEFAULT    | 2              | 5        | Montée         | Maxi montée    | ZERO    | 3 000                     |                            |                      |                              |
| 747SP  | DEFAULT    | 2              | 6        | Accélération   | Maxi montée    | ZERO    |                           | 1 000                      | 250                  |                              |
| 747SP  | DEFAULT    | 2              | 7        | Montée         | Maxi montée    | ZERO    | 5 500                     |                            |                      |                              |

| ACFTID | Profile_ID | Longueur phase | No étape | Type étape   | Indice poussée | Flap_ID | Altitude point final (ft) | Vitesse de montée (ft/min) | CAS point final (kt) | Pourcentage accélération (%) |
|--------|------------|----------------|----------|--------------|----------------|---------|---------------------------|----------------------------|----------------------|------------------------------|
| 747SP  | DEFAULT    | 2              | 8        | Montée       | Maxi montée    | ZERO    | 7 500                     |                            |                      |                              |
| 747SP  | DEFAULT    | 2              | 9        | Montée       | Maxi montée    | ZERO    | 10 000                    |                            |                      |                              |
| 747SP  | DEFAULT    | 3              | 1        | Décollage    | Maxi décollage | 10      |                           |                            |                      |                              |
| 747SP  | DEFAULT    | 3              | 2        | Montée       | Maxi décollage | 10      | 1 000                     |                            |                      |                              |
| 747SP  | DEFAULT    | 3              | 3        | Accélération | Maxi décollage | 10      |                           | 2 201                      | 170                  |                              |
| 747SP  | DEFAULT    | 3              | 4        | Accélération | Maxi montée    | 5       |                           | 1 000                      | 210                  |                              |
| 747SP  | DEFAULT    | 3              | 5        | Montée       | Maxi montée    | ZERO    | 3 000                     |                            |                      |                              |
| 747SP  | DEFAULT    | 3              | 6        | Accélération | Maxi montée    | ZERO    |                           | 1 000                      | 250                  |                              |
| 747SP  | DEFAULT    | 3              | 7        | Montée       | Maxi montée    | ZERO    | 5 500                     |                            |                      |                              |
| 747SP  | DEFAULT    | 3              | 8        | Montée       | Maxi montée    | ZERO    | 7 500                     |                            |                      |                              |
| 747SP  | DEFAULT    | 3              | 9        | Montée       | Maxi montée    | ZERO    | 10 000                    |                            |                      |                              |
| 747SP  | DEFAULT    | 4              | 1        | Décollage    | Maxi décollage | 10      |                           |                            |                      |                              |
| 747SP  | DEFAULT    | 4              | 2        | Montée       | Maxi décollage | 10      | 1 000                     |                            |                      |                              |
| 747SP  | DEFAULT    | 4              | 3        | Accélération | Maxi décollage | 10      |                           | 2 027                      | 175                  |                              |
| 747SP  | DEFAULT    | 4              | 4        | Accélération | Maxi montée    | 5       |                           | 1 000                      | 215                  |                              |
| 747SP  | DEFAULT    | 4              | 5        | Montée       | Maxi montée    | ZERO    | 3 000                     |                            |                      |                              |
| 747SP  | DEFAULT    | 4              | 6        | Accélération | Maxi montée    | ZERO    |                           | 1 000                      | 250                  |                              |
| 747SP  | DEFAULT    | 4              | 7        | Montée       | Maxi montée    | ZERO    | 5 500                     |                            |                      |                              |
| 747SP  | DEFAULT    | 4              | 8        | Montée       | Maxi montée    | ZERO    | 7 500                     |                            |                      |                              |
| 747SP  | DEFAULT    | 4              | 9        | Montée       | Maxi montée    | ZERO    | 10 000                    |                            |                      |                              |

| ACFTID | Profile_ID | Longueur phase | No étape | Type étape   | Indice poussée | Flap_ID | Altitude point final (ft) | Vitesse de montée (ft/min) | CAS point final (kt) | Pourcentage_accélération (%) |
|--------|------------|----------------|----------|--------------|----------------|---------|---------------------------|----------------------------|----------------------|------------------------------|
| 747SP  | DEFAULT    | 5              | 1        | Décollage    | Maxi décollage | 10      |                           |                            |                      |                              |
| 747SP  | DEFAULT    | 5              | 2        | Montée       | Maxi décollage | 10      | 1 000                     |                            |                      |                              |
| 747SP  | DEFAULT    | 5              | 3        | Accélération | Maxi décollage | 10      |                           | 1 821                      | 182                  |                              |
| 747SP  | DEFAULT    | 5              | 4        | Accélération | Maxi montée    | 5       |                           | 1 000                      | 222                  |                              |
| 747SP  | DEFAULT    | 5              | 5        | Montée       | Maxi montée    | ZERO    | 3 000                     |                            |                      |                              |
| 747SP  | DEFAULT    | 5              | 6        | Accélération | Maxi montée    | ZERO    |                           | 1 000                      | 250                  |                              |
| 747SP  | DEFAULT    | 5              | 7        | Montée       | Maxi montée    | ZERO    | 5 500                     |                            |                      |                              |
| 747SP  | DEFAULT    | 5              | 8        | Montée       | Maxi montée    | ZERO    | 7 500                     |                            |                      |                              |
| 747SP  | DEFAULT    | 5              | 9        | Montée       | Maxi montée    | ZERO    | 10 000                    |                            |                      |                              |
| 747SP  | DEFAULT    | 6              | 1        | Décollage    | Maxi décollage | 10      |                           |                            |                      |                              |
| 747SP  | DEFAULT    | 6              | 2        | Montée       | Maxi décollage | 10      | 1 000                     |                            |                      |                              |
| 747SP  | DEFAULT    | 6              | 3        | Accélération | Maxi décollage | 10      |                           | 1 643                      | 188                  |                              |
| 747SP  | DEFAULT    | 6              | 4        | Accélération | Maxi montée    | 5       |                           | 1 000                      | 228                  |                              |
| 747SP  | DEFAULT    | 6              | 5        | Montée       | Maxi montée    | ZERO    | 3 000                     |                            |                      |                              |
| 747SP  | DEFAULT    | 6              | 6        | Accélération | Maxi montée    | ZERO    |                           | 1 000                      | 250                  |                              |
| 747SP  | DEFAULT    | 6              | 7        | Montée       | Maxi montée    | ZERO    | 5 500                     |                            |                      |                              |
| 747SP  | DEFAULT    | 6              | 8        | Montée       | Maxi montée    | ZERO    | 7 500                     |                            |                      |                              |
| 747SP  | DEFAULT    | 6              | 9        | Montée       | Maxi montée    | ZERO    | 10 000                    |                            |                      |                              |

Tableau I-4 (partie 2)

**Étapes de procédure de départ par défaut**

| ACFTID | Profile_ID | Longueur phase | N° étape | Type étape   | Indice poussée | Flap_ID | Altitude point final (ft) | Vitesse de montée (ft/min) | CAS point final(kt) | Pourcentage accélération (%) |
|--------|------------|----------------|----------|--------------|----------------|---------|---------------------------|----------------------------|---------------------|------------------------------|
| 747SP  | DEFAULT    | 7              | 1        | Décollage    | Maxi décollage | 10      |                           |                            |                     |                              |
| 747SP  | DEFAULT    | 7              | 2        | Montée       | Maxi décollage | 10      | 1 000                     |                            |                     |                              |
| 747SP  | DEFAULT    | 7              | 3        | Accélération | Maxi décollage | 10      |                           | 1 403                      | 196                 |                              |
| 747SP  | DEFAULT    | 7              | 4        | Accélération | Maxi montée    | 5       |                           | 1 000                      | 236                 |                              |
| 747SP  | DEFAULT    | 7              | 5        | Accélération | Maxi montée    | ZERO    |                           | 1 000                      | 250                 |                              |
| 747SP  | DEFAULT    | 7              | 6        | Montée       | Maxi montée    | ZERO    | 5 500                     |                            |                     |                              |
| 747SP  | DEFAULT    | 7              | 7        | Montée       | Maxi montée    | ZERO    | 7 500                     |                            |                     |                              |
| 747SP  | DEFAULT    | 7              | 8        | Montée       | Maxi montée    | ZERO    | 10 000                    |                            |                     |                              |
| 757300 | DEFAULT    | 1              | 1        | Décollage    | Maxi décollage | T_05    |                           |                            |                     |                              |
| 757300 | DEFAULT    | 1              | 2        | Montée       | Maxi décollage | T_05    | 1 097                     |                            |                     |                              |
| 757300 | DEFAULT    | 1              | 3        | Accélération | Maxi décollage | T_05    |                           | 2 252,1                    | 211,8               |                              |
| 757300 | DEFAULT    | 1              | 4        | Accélération | Maxi décollage | T_01    |                           | 2 480                      | 215,4               |                              |
| 757300 | DEFAULT    | 1              | 5        | Montée       | Maxi décollage | T_00    | 2 569                     |                            |                     |                              |
| 757300 | DEFAULT    | 1              | 6        | Montée       | Maxi montée    | T_00    | 3 000                     |                            |                     |                              |
| 757300 | DEFAULT    | 1              | 7        | Accélération | Maxi montée    | T_00    |                           | 1 701,7                    | 250                 |                              |
| 757300 | DEFAULT    | 1              | 8        | Montée       | Maxi montée    | T_00    | 5 500                     |                            |                     |                              |
| 757300 | DEFAULT    | 1              | 9        | Montée       | Maxi montée    | T_00    | 7 500                     |                            |                     |                              |
| 757300 | DEFAULT    | 1              | 10       | Montée       | Maxi montée    | T_00    | 10 000                    |                            |                     |                              |

| ACFTID | Profile_ID | Longueur phase | N° étape | Type étape   | Indice poussée | Flap_ID | Altitude point final (ft) | Vitesse de montée (ft/min) | CAS point final(kt) | Pourcentage accélération (%) |
|--------|------------|----------------|----------|--------------|----------------|---------|---------------------------|----------------------------|---------------------|------------------------------|
| 757300 | DEFAULT    | 2              | 1        | Décollage    | Maxi décollage | T_05    |                           |                            |                     |                              |
| 757300 | DEFAULT    | 2              | 2        | Montée       | Maxi décollage | T_05    | 1 041                     |                            |                     |                              |
| 757300 | DEFAULT    | 2              | 3        | Accélération | Maxi décollage | T_05    |                           | 2 154,9                    | 213                 |                              |
| 757300 | DEFAULT    | 2              | 4        | Accélération | Maxi décollage | T_01    |                           | 2 352                      | 218,6               |                              |
| 757300 | DEFAULT    | 2              | 5        | Montée       | Maxi décollage | T_00    | 2 412                     |                            |                     |                              |
| 757300 | DEFAULT    | 2              | 6        | Montée       | Maxi montée    | T_00    | 3 000                     |                            |                     |                              |
| 757300 | DEFAULT    | 2              | 7        | Accélération | Maxi montée    | T_00    |                           | 1 607,8                    | 250                 |                              |
| 757300 | DEFAULT    | 2              | 8        | Montée       | Maxi montée    | T_00    | 5 500                     |                            |                     |                              |
| 757300 | DEFAULT    | 2              | 9        | Montée       | Maxi montée    | T_00    | 7 500                     |                            |                     |                              |
| 757300 | DEFAULT    | 2              | 10       | Montée       | Maxi montée    | T_00    | 10 000                    |                            |                     |                              |
| 757300 | DEFAULT    | 3              | 1        | Décollage    | Maxi décollage | T_05    |                           |                            |                     |                              |
| 757300 | DEFAULT    | 3              | 2        | Montée       | Maxi décollage | T_05    | 1 000                     |                            |                     |                              |
| 757300 | DEFAULT    | 3              | 3        | Accélération | Maxi décollage | T_05    |                           | 2 062                      | 214,5               |                              |
| 757300 | DEFAULT    | 3              | 4        | Accélération | Maxi décollage | T_01    |                           | 2 223,5                    | 221,8               |                              |
| 757300 | DEFAULT    | 3              | 5        | Montée       | Maxi décollage | T_00    | 2 275                     |                            |                     |                              |
| 757300 | DEFAULT    | 3              | 6        | Montée       | Maxi montée    | T_00    | 3 000                     |                            |                     |                              |
| 757300 | DEFAULT    | 3              | 7        | Accélération | Maxi montée    | T_00    |                           | 1 521,8                    | 250                 |                              |
| 757300 | DEFAULT    | 3              | 8        | Montée       | Maxi montée    | T_00    | 5 500                     |                            |                     |                              |
| 757300 | DEFAULT    | 3              | 9        | Montée       | Maxi montée    | T_00    | 7 500                     |                            |                     |                              |

| ACFTID | Profile_ID | Longueur phase | N° étape | Type étape   | Indice poussée | Flap_ID | Altitude point final (ft) | Vitesse de montée (ft/min) | CAS point final(kt) | Pourcentage_accélération (%) |
|--------|------------|----------------|----------|--------------|----------------|---------|---------------------------|----------------------------|---------------------|------------------------------|
| 757300 | DEFAULT    | 3              | 10       | Montée       | Maxi montée    | T_00    | 10 000                    |                            |                     |                              |
| 757300 | DEFAULT    | 4              | 1        | Décollage    | Maxi décollage | T_05    |                           |                            |                     |                              |
| 757300 | DEFAULT    | 4              | 2        | Montée       | Maxi décollage | T_05    | 1 000                     |                            |                     |                              |
| 757300 | DEFAULT    | 4              | 3        | Accélération | Maxi décollage | T_05    |                           | 1 901,4                    | 217,4               |                              |
| 757300 | DEFAULT    | 4              | 4        | Accélération | Maxi décollage | T_01    |                           | 2 061,8                    | 228                 |                              |
| 757300 | DEFAULT    | 4              | 5        | Montée       | Maxi décollage | T_00    | 2 099                     |                            |                     |                              |
| 757300 | DEFAULT    | 4              | 6        | Montée       | Maxi montée    | T_00    | 3 000                     |                            |                     |                              |
| 757300 | DEFAULT    | 4              | 7        | Accélération | Maxi montée    | T_00    |                           | 1 374,1                    | 250                 |                              |
| 757300 | DEFAULT    | 4              | 8        | Montée       | Maxi montée    | T_00    | 5 500                     |                            |                     |                              |
| 757300 | DEFAULT    | 4              | 9        | Montée       | Maxi montée    | T_00    | 7 500                     |                            |                     |                              |
| 757300 | DEFAULT    | 4              | 10       | Montée       | Maxi montée    | T_00    | 10 000                    |                            |                     |                              |
| 757300 | DEFAULT    | 5              | 1        | Décollage    | Maxi décollage | T_05    |                           |                            |                     |                              |
| 757300 | DEFAULT    | 5              | 2        | Montée       | Maxi décollage | T_05    | 1 000                     |                            |                     |                              |
| 757300 | DEFAULT    | 5              | 3        | Accélération | Maxi décollage | T_05    |                           | 1 729,2                    | 221,7               |                              |
| 757300 | DEFAULT    | 5              | 4        | Accélération | Maxi décollage | T_01    |                           | 1 881,8                    | 236,7               |                              |
| 757300 | DEFAULT    | 5              | 5        | Montée       | Maxi décollage | T_00    | 1 891                     |                            |                     |                              |
| 757300 | DEFAULT    | 5              | 6        | Montée       | Maxi montée    | T_00    | 3 000                     |                            |                     |                              |
| 757300 | DEFAULT    | 5              | 7        | Accélération | Maxi montée    | T_00    |                           | 1 227,3                    | 250                 |                              |
| 757300 | DEFAULT    | 5              | 8        | Montée       | Maxi montée    | T_00    | 5 500                     |                            |                     |                              |
| 757300 | DEFAULT    | 5              | 9        | Montée       | Maxi montée    | T_00    | 7 500                     |                            |                     |                              |

| ACFTID | Profile_ID | Longueur phase | N° étape | Type étape   | Indice poussée | Flap_ID | Altitude point final (ft) | Vitesse de montée (ft/min) | CAS point final(kt) | Pourcentage_accélération (%) |
|--------|------------|----------------|----------|--------------|----------------|---------|---------------------------|----------------------------|---------------------|------------------------------|
| 757300 | DEFAULT    | 5              | 10       | Montée       | Maxi montée    | T_00    | 10 000                    |                            |                     |                              |
| 757300 | DEFAULT    | 6              | 1        | Décollage    | Maxi décollage | T_05    |                           |                            |                     |                              |
| 757300 | DEFAULT    | 6              | 2        | Montée       | Maxi décollage | T_05    | 1 000                     |                            |                     |                              |
| 757300 | DEFAULT    | 6              | 3        | Accélération | Maxi décollage | T_05    |                           | 1 655                      | 224                 |                              |
| 757300 | DEFAULT    | 6              | 4        | Accélération | Maxi décollage | T_01    |                           | 1 836,4                    | 240,1               |                              |
| 757300 | DEFAULT    | 6              | 5        | Montée       | Maxi décollage | T_00    | 1 829                     |                            |                     |                              |
| 757300 | DEFAULT    | 6              | 6        | Montée       | Maxi montée    | T_00    | 3 000                     |                            |                     |                              |
| 757300 | DEFAULT    | 6              | 7        | Accélération | Maxi montée    | T_00    |                           | 1 159,2                    | 250                 |                              |
| 757300 | DEFAULT    | 6              | 8        | Montée       | Maxi montée    | T_00    | 5 500                     |                            |                     |                              |
| 757300 | DEFAULT    | 6              | 9        | Montée       | Maxi montée    | T_00    | 7 500                     |                            |                     |                              |
| 757300 | DEFAULT    | 6              | 10       | Montée       | Maxi montée    | T_00    | 10 000                    |                            |                     |                              |
| 757300 | ICAO_A     | 1              | 1        | Décollage    | Maxi décollage | T_05    |                           |                            |                     |                              |
| 757300 | ICAO_A     | 1              | 2        | Montée       | Maxi décollage | T_05    | 1 500                     |                            |                     |                              |
| 757300 | ICAO_A     | 1              | 3        | Montée       | Maxi montée    | T_05    | 3 000                     |                            |                     |                              |
| 757300 | ICAO_A     | 1              | 4        | Accélération | Maxi montée    | T_05    |                           | 1 388,6                    | 198                 |                              |
| 757300 | ICAO_A     | 1              | 5        | Accélération | Maxi montée    | T_01    |                           | 1 528,2                    | 215                 |                              |
| 757300 | ICAO_A     | 1              | 6        | Accélération | Maxi montée    | T_00    |                           | 1 693,5                    | 250                 |                              |
| 757300 | ICAO_A     | 1              | 7        | Montée       | Maxi montée    | T_00    | 5 500                     |                            |                     |                              |
| 757300 | ICAO_A     | 1              | 8        | Montée       | Maxi montée    | T_00    | 7 500                     |                            |                     |                              |
| 757300 | ICAO_A     | 1              | 9        | Montée       | Maxi montée    | T_00    | 10 000                    |                            |                     |                              |

| ACFTID | Profile_ID | Longueur phase | N° étape | Type étape   | Indice poussée | Flap_ID | Altitude point final (ft) | Vitesse de montée (ft/min) | CAS point final(kt) | Pourcentage_accélération (%) |
|--------|------------|----------------|----------|--------------|----------------|---------|---------------------------|----------------------------|---------------------|------------------------------|
| 757300 | ICAO_A     | 2              | 1        | Décollage    | Maxi décollage | T_05    |                           |                            |                     |                              |
| 757300 | ICAO_A     | 2              | 2        | Montée       | Maxi décollage | T_05    | 1 500                     |                            |                     |                              |
| 757300 | ICAO_A     | 2              | 3        | Montée       | Maxi montée    | T_05    | 3 000                     |                            |                     |                              |
| 757300 | ICAO_A     | 2              | 4        | Accélération | Maxi montée    | T_05    |                           | 1 304,9                    | 199,6               |                              |
| 757300 | ICAO_A     | 2              | 5        | Accélération | Maxi montée    | T_01    |                           | 1 441                      | 215,6               |                              |
| 757300 | ICAO_A     | 2              | 6        | Accélération | Maxi montée    | T_00    |                           | 1 597,7                    | 250                 |                              |
| 757300 | ICAO_A     | 2              | 7        | Montée       | Maxi montée    | T_00    | 5 500                     |                            |                     |                              |
| 757300 | ICAO_A     | 2              | 8        | Montée       | Maxi montée    | T_00    | 7 500                     |                            |                     |                              |
| 757300 | ICAO_A     | 2              | 9        | Montée       | Maxi montée    | T_00    | 10 000                    |                            |                     |                              |
| 757300 | ICAO_A     | 3              | 1        | Décollage    | Maxi décollage | T_05    |                           |                            |                     |                              |
| 757300 | ICAO_A     | 3              | 2        | Montée       | Maxi décollage | T_05    | 1 500                     |                            |                     |                              |
| 757300 | ICAO_A     | 3              | 3        | Montée       | Maxi montée    | T_05    | 3 000                     |                            |                     |                              |
| 757300 | ICAO_A     | 3              | 4        | Accélération | Maxi montée    | T_05    |                           | 1 242,3                    | 201,6               |                              |
| 757300 | ICAO_A     | 3              | 5        | Accélération | Maxi montée    | T_01    |                           | 1 357,6                    | 216,7               |                              |
| 757300 | ICAO_A     | 3              | 6        | Accélération | Maxi montée    | T_00    |                           | 1 500                      | 250                 |                              |
| 757300 | ICAO_A     | 3              | 7        | Montée       | Maxi montée    | T_00    | 5 500                     |                            |                     |                              |
| 757300 | ICAO_A     | 3              | 8        | Montée       | Maxi montée    | T_00    | 7 500                     |                            |                     |                              |
| 757300 | ICAO_A     | 3              | 9        | Montée       | Maxi montée    | T_00    | 10 000                    |                            |                     |                              |
| 757300 | ICAO_A     | 4              | 1        | Décollage    | Maxi décollage | T_05    |                           |                            |                     |                              |
| 757300 | ICAO_A     | 4              | 2        | Montée       | Maxi décollage | T_05    | 1 500                     |                            |                     |                              |

| ACFTID | Profile_ID | Longueur phase | N° étape | Type étape   | Indice poussée | Flap_ID | Altitude point final (ft) | Vitesse de montée (ft/min) | CAS point final(kt) | Pourcentage_accélération (%) |
|--------|------------|----------------|----------|--------------|----------------|---------|---------------------------|----------------------------|---------------------|------------------------------|
| 757300 | ICAO_A     | 4              | 3        | Montée       | Maxi montée    | T_05    | 3 000                     |                            |                     |                              |
| 757300 | ICAO_A     | 4              | 4        | Accélération | Maxi montée    | T_05    |                           | 1 127,1                    | 205,3               |                              |
| 757300 | ICAO_A     | 4              | 5        | Accélération | Maxi montée    | T_01    |                           | 1 221,4                    | 221,1               |                              |
| 757300 | ICAO_A     | 4              | 6        | Accélération | Maxi montée    | T_00    |                           | 1 359,4                    | 250                 |                              |
| 757300 | ICAO_A     | 4              | 7        | Montée       | Maxi montée    | T_00    | 5 500                     |                            |                     |                              |
| 757300 | ICAO_A     | 4              | 8        | Montée       | Maxi montée    | T_00    | 7 500                     |                            |                     |                              |
| 757300 | ICAO_A     | 4              | 9        | Montée       | Maxi montée    | T_00    | 10 000                    |                            |                     |                              |
| 757300 | ICAO_A     | 5              | 1        | Décollage    | Maxi décollage | T_05    |                           |                            |                     |                              |
| 757300 | ICAO_A     | 5              | 2        | Montée       | Maxi décollage | T_05    | 1 500                     |                            |                     |                              |
| 757300 | ICAO_A     | 5              | 3        | Montée       | Maxi montée    | T_05    | 3 000                     |                            |                     |                              |
| 757300 | ICAO_A     | 5              | 4        | Accélération | Maxi montée    | T_05    |                           | 997,2                      | 210,6               |                              |
| 757300 | ICAO_A     | 5              | 5        | Accélération | Maxi montée    | T_01    |                           | 1 076                      | 227,9               |                              |
| 757300 | ICAO_A     | 5              | 6        | Accélération | Maxi montée    | T_00    |                           | 1 192                      | 250                 |                              |
| 757300 | ICAO_A     | 5              | 7        | Montée       | Maxi montée    | T_00    | 5 500                     |                            |                     |                              |
| 757300 | ICAO_A     | 5              | 8        | Montée       | Maxi montée    | T_00    | 7 500                     |                            |                     |                              |
| 757300 | ICAO_A     | 5              | 9        | Montée       | Maxi montée    | T_00    | 10 000                    |                            |                     |                              |
| 757300 | ICAO_A     | 6              | 1        | Décollage    | Maxi décollage | T_05    |                           |                            |                     |                              |
| 757300 | ICAO_A     | 6              | 2        | Montée       | Maxi décollage | T_05    | 1 500                     |                            |                     |                              |
| 757300 | ICAO_A     | 6              | 3        | Montée       | Maxi montée    | T_05    | 3 000                     |                            |                     |                              |
| 757300 | ICAO_A     | 6              | 4        | Accélération | Maxi montée    | T_05    |                           | 945,1                      | 213,2               |                              |

| ACFTID | Profile_ID | Longueur phase | N° étape | Type étape   | Indice poussée | Flap_ID | Altitude point final (ft) | Vitesse de montée (ft/min) | CAS point final(kt) | Pourcentage_accélération (%) |
|--------|------------|----------------|----------|--------------|----------------|---------|---------------------------|----------------------------|---------------------|------------------------------|
| 757300 | ICAO_A     | 6              | 5        | Accélération | Maxi montée    | T_01    |                           | 1 031,2                    | 230,6               |                              |
| 757300 | ICAO_A     | 6              | 6        | Accélération | Maxi montée    | T_00    |                           | 1 127,9                    | 250                 |                              |
| 757300 | ICAO_A     | 6              | 7        | Montée       | Maxi montée    | T_00    | 5 500                     |                            |                     |                              |
| 757300 | ICAO_A     | 6              | 8        | Montée       | Maxi montée    | T_00    | 7 500                     |                            |                     |                              |
| 757300 | ICAO_A     | 6              | 9        | Montée       | Maxi montée    | T_00    | 10 000                    |                            |                     |                              |
| 757300 | ICAO_B     | 1              | 1        | Décollage    | Maxi décollage | T_05    |                           |                            |                     |                              |
| 757300 | ICAO_B     | 1              | 2        | Montée       | Maxi décollage | T_05    | 1 097                     |                            |                     |                              |
| 757300 | ICAO_B     | 1              | 3        | Accélération | Maxi décollage | T_05    |                           | 2 252,1                    | 211,8               |                              |
| 757300 | ICAO_B     | 1              | 4        | Accélération | Maxi décollage | T_01    |                           | 2 480                      | 215,4               |                              |
| 757300 | ICAO_B     | 1              | 5        | Montée       | Maxi décollage | T_00    | 2 569                     |                            |                     |                              |
| 757300 | ICAO_B     | 1              | 6        | Montée       | Maxi montée    | T_00    | 3 000                     |                            |                     |                              |
| 757300 | ICAO_B     | 1              | 7        | Accélération | Maxi montée    | T_00    |                           | 1 701,7                    | 250                 |                              |
| 757300 | ICAO_B     | 1              | 8        | Montée       | Maxi montée    | T_00    | 5 500                     |                            |                     |                              |
| 757300 | ICAO_B     | 1              | 9        | Montée       | Maxi montée    | T_00    | 7 500                     |                            |                     |                              |
| 757300 | ICAO_B     | 1              | 10       | Montée       | Maxi montée    | T_00    | 10 000                    |                            |                     |                              |
| 757300 | ICAO_B     | 2              | 1        | Décollage    | Maxi décollage | T_05    |                           |                            |                     |                              |
| 757300 | ICAO_B     | 2              | 2        | Montée       | Maxi décollage | T_05    | 1 041                     |                            |                     |                              |
| 757300 | ICAO_B     | 2              | 3        | Accélération | Maxi décollage | T_05    |                           | 2 154,9                    | 213                 |                              |
| 757300 | ICAO_B     | 2              | 4        | Accélération | Maxi décollage | T_01    |                           | 2 352                      | 218,6               |                              |
| 757300 | ICAO_B     | 2              | 5        | Montée       | Maxi décollage | T_00    | 2 412                     |                            |                     |                              |

| ACFTID | Profile_ID | Longueur phase | N° étape | Type étape   | Indice poussée | Flap_ID | Altitude point final (ft) | Vitesse de montée (ft/min) | CAS point final(kt) | Pourcentage accélération (%) |
|--------|------------|----------------|----------|--------------|----------------|---------|---------------------------|----------------------------|---------------------|------------------------------|
| 757300 | ICAO_B     | 2              | 6        | Montée       | Maxi montée    | T_00    | 3 000                     |                            |                     |                              |
| 757300 | ICAO_B     | 2              | 7        | Accélération | Maxi montée    | T_00    |                           | 1 607,8                    | 250                 |                              |
| 757300 | ICAO_B     | 2              | 8        | Montée       | Maxi montée    | T_00    | 5 500                     |                            |                     |                              |
| 757300 | ICAO_B     | 2              | 9        | Montée       | Maxi montée    | T_00    | 7 500                     |                            |                     |                              |
| 757300 | ICAO_B     | 2              | 10       | Montée       | Maxi montée    | T_00    | 10 000                    |                            |                     |                              |
| 757300 | ICAO_B     | 3              | 1        | Décollage    | Maxi décollage | T_05    |                           |                            |                     |                              |
| 757300 | ICAO_B     | 3              | 2        | Montée       | Maxi décollage | T_05    | 1 000                     |                            |                     |                              |
| 757300 | ICAO_B     | 3              | 3        | Accélération | Maxi décollage | T_05    |                           | 2 062                      | 214,5               |                              |
| 757300 | ICAO_B     | 3              | 4        | Accélération | Maxi décollage | T_01    |                           | 2 223,5                    | 221,8               |                              |
| 757300 | ICAO_B     | 3              | 5        | Montée       | Maxi décollage | T_00    | 2 275                     |                            |                     |                              |
| 757300 | ICAO_B     | 3              | 6        | Montée       | Maxi montée    | T_00    | 3 000                     |                            |                     |                              |
| 757300 | ICAO_B     | 3              | 7        | Accélération | Maxi montée    | T_00    |                           | 1 521,8                    | 250                 |                              |
| 757300 | ICAO_B     | 3              | 8        | Montée       | Maxi montée    | T_00    | 5 500                     |                            |                     |                              |
| 757300 | ICAO_B     | 3              | 9        | Montée       | Maxi montée    | T_00    | 7 500                     |                            |                     |                              |
| 757300 | ICAO_B     | 3              | 10       | Montée       | Maxi montée    | T_00    | 10 000                    |                            |                     |                              |
| 757300 | ICAO_B     | 4              | 1        | Décollage    | Maxi décollage | T_05    |                           |                            |                     |                              |
| 757300 | ICAO_B     | 4              | 2        | Montée       | Maxi décollage | T_05    | 1 000                     |                            |                     |                              |
| 757300 | ICAO_B     | 4              | 3        | Accélération | Maxi décollage | T_05    |                           | 1 901,4                    | 217,4               |                              |
| 757300 | ICAO_B     | 4              | 4        | Accélération | Maxi décollage | T_01    |                           | 2 061,8                    | 228                 |                              |
| 757300 | ICAO_B     | 4              | 5        | Montée       | Maxi décollage | T_00    | 2 099                     |                            |                     |                              |

| ACFTID | Profile_ID | Longueur phase | N° étape | Type étape   | Indice poussée | Flap_ID | Altitude point final (ft) | Vitesse de montée (ft/min) | CAS point final(kt) | Pourcentage accélération (%) |
|--------|------------|----------------|----------|--------------|----------------|---------|---------------------------|----------------------------|---------------------|------------------------------|
| 757300 | ICAO_B     | 4              | 6        | Montée       | Maxi montée    | T_00    | 3 000                     |                            |                     |                              |
| 757300 | ICAO_B     | 4              | 7        | Accélération | Maxi montée    | T_00    |                           | 1 374,1                    | 250                 |                              |
| 757300 | ICAO_B     | 4              | 8        | Montée       | Maxi montée    | T_00    | 5 500                     |                            |                     |                              |
| 757300 | ICAO_B     | 4              | 9        | Montée       | Maxi montée    | T_00    | 7 500                     |                            |                     |                              |
| 757300 | ICAO_B     | 4              | 10       | Montée       | Maxi montée    | T_00    | 10 000                    |                            |                     |                              |
| 757300 | ICAO_B     | 5              | 1        | Décollage    | Maxi décollage | T_05    |                           |                            |                     |                              |
| 757300 | ICAO_B     | 5              | 2        | Montée       | Maxi décollage | T_05    | 1 000                     |                            |                     |                              |
| 757300 | ICAO_B     | 5              | 3        | Accélération | Maxi décollage | T_05    |                           | 1 729,2                    | 221,7               |                              |
| 757300 | ICAO_B     | 5              | 4        | Accélération | Maxi décollage | T_01    |                           | 1 881,8                    | 236,7               |                              |
| 757300 | ICAO_B     | 5              | 5        | Montée       | Maxi décollage | T_00    | 1 891                     |                            |                     |                              |
| 757300 | ICAO_B     | 5              | 6        | Montée       | Maxi montée    | T_00    | 3 000                     |                            |                     |                              |
| 757300 | ICAO_B     | 5              | 7        | Accélération | Maxi montée    | T_00    |                           | 1 227,3                    | 250                 |                              |
| 757300 | ICAO_B     | 5              | 8        | Montée       | Maxi montée    | T_00    | 5 500                     |                            |                     |                              |
| 757300 | ICAO_B     | 5              | 9        | Montée       | Maxi montée    | T_00    | 7 500                     |                            |                     |                              |
| 757300 | ICAO_B     | 5              | 10       | Montée       | Maxi montée    | T_00    | 10 000                    |                            |                     |                              |
| 757300 | ICAO_B     | 6              | 1        | Décollage    | Maxi décollage | T_05    |                           |                            |                     |                              |
| 757300 | ICAO_B     | 6              | 2        | Montée       | Maxi décollage | T_05    | 1 000                     |                            |                     |                              |
| 757300 | ICAO_B     | 6              | 3        | Accélération | Maxi décollage | T_05    |                           | 1 655                      | 224                 |                              |
| 757300 | ICAO_B     | 6              | 4        | Accélération | Maxi décollage | T_01    |                           | 1 836,4                    | 240,1               |                              |
| 757300 | ICAO_B     | 6              | 5        | Montée       | Maxi décollage | T_00    | 1 829                     |                            |                     |                              |

| ACFTID | Profile_ID | Longueur phase | N° étape | Type étape   | Indice poussée | Flap_ID | Altitude point final (ft) | Vitesse de montée (ft/min) | CAS point final(kt) | Pourcentage accélération (%) |
|--------|------------|----------------|----------|--------------|----------------|---------|---------------------------|----------------------------|---------------------|------------------------------|
| 757300 | ICAO_B     | 6              | 6        | Montée       | Maxi montée    | T_00    | 3 000                     |                            |                     |                              |
| 757300 | ICAO_B     | 6              | 7        | Accélération | Maxi montée    | T_00    |                           | 1 159,2                    | 250                 |                              |
| 757300 | ICAO_B     | 6              | 8        | Montée       | Maxi montée    | T_00    | 5 500                     |                            |                     |                              |
| 757300 | ICAO_B     | 6              | 9        | Montée       | Maxi montée    | T_00    | 7 500                     |                            |                     |                              |
| 757300 | ICAO_B     | 6              | 10       | Montée       | Maxi montée    | T_00    | 10 000                    |                            |                     |                              |
| 757PW  | DEFAULT    | 1              | 1        | Décollage    | Maxi décollage | 5       |                           |                            |                     |                              |
| 757PW  | DEFAULT    | 1              | 2        | Montée       | Maxi décollage | 5       | 1 000                     |                            |                     |                              |
| 757PW  | DEFAULT    | 1              | 3        | Accélération | Maxi montée    | T_05    |                           | 1 471                      | 190,1               |                              |
| 757PW  | DEFAULT    | 1              | 4        | Accélération | Maxi montée    | T_01    |                           | 1 636,4                    | 206                 |                              |
| 757PW  | DEFAULT    | 1              | 5        | Montée       | Maxi montée    | T_00    | 3 000                     |                            |                     |                              |
| 757PW  | DEFAULT    | 1              | 6        | Accélération | Maxi montée    | T_00    |                           | 1 822,2                    | 250                 |                              |
| 757PW  | DEFAULT    | 1              | 7        | Montée       | Maxi montée    | ZERO    | 5 500                     |                            |                     |                              |
| 757PW  | DEFAULT    | 1              | 8        | Montée       | Maxi montée    | ZERO    | 7 500                     |                            |                     |                              |
| 757PW  | DEFAULT    | 1              | 9        | Montée       | Maxi montée    | ZERO    | 10 000                    |                            |                     |                              |
| 757PW  | DEFAULT    | 2              | 1        | Décollage    | Maxi décollage | 5       |                           |                            |                     |                              |
| 757PW  | DEFAULT    | 2              | 2        | Montée       | Maxi décollage | 5       | 1 000                     |                            |                     |                              |
| 757PW  | DEFAULT    | 2              | 3        | Accélération | Maxi montée    | T_05    |                           | 1 403,6                    | 191,4               |                              |
| 757PW  | DEFAULT    | 2              | 4        | Accélération | Maxi montée    | T_01    |                           | 1 568,2                    | 208,7               |                              |
| 757PW  | DEFAULT    | 2              | 5        | Montée       | Maxi montée    | T_00    | 3 000                     |                            |                     |                              |
| 757PW  | DEFAULT    | 2              | 6        | Accélération | Maxi montée    | T_00    |                           | 1 742,7                    | 250                 |                              |

| ACFTID | Profile_ID | Longueur phase | N° étape | Type étape   | Indice poussée | Flap_ID | Altitude point final (ft) | Vitesse de montée (ft/min) | CAS point final(kt) | Pourcentage_accélération (%) |
|--------|------------|----------------|----------|--------------|----------------|---------|---------------------------|----------------------------|---------------------|------------------------------|
| 757PW  | DEFAULT    | 2              | 7        | Montée       | Maxi montée    | ZERO    | 5 500                     |                            |                     |                              |
| 757PW  | DEFAULT    | 2              | 8        | Montée       | Maxi montée    | ZERO    | 7 500                     |                            |                     |                              |
| 757PW  | DEFAULT    | 2              | 9        | Montée       | Maxi montée    | ZERO    | 10 000                    |                            |                     |                              |
| 757PW  | DEFAULT    | 3              | 1        | Décollage    | Maxi décollage | 5       |                           |                            |                     |                              |
| 757PW  | DEFAULT    | 3              | 2        | Montée       | Maxi décollage | 5       | 1 000                     |                            |                     |                              |
| 757PW  | DEFAULT    | 3              | 3        | Accélération | Maxi montée    | T_05    |                           | 1 339,2                    | 193                 |                              |
| 757PW  | DEFAULT    | 3              | 4        | Accélération | Maxi montée    | T_01    |                           | 1 495,9                    | 211,1               |                              |
| 757PW  | DEFAULT    | 3              | 5        | Accélération | Maxi montée    | T_00    |                           | 1 666,7                    | 211,6               |                              |
| 757PW  | DEFAULT    | 3              | 6        | Montée       | Maxi montée    | T_00    | 3 000                     |                            |                     |                              |
| 757PW  | DEFAULT    | 3              | 7        | Accélération | Maxi montée    | T_00    |                           | 1 661                      | 250                 |                              |
| 757PW  | DEFAULT    | 3              | 8        | Montée       | Maxi montée    | ZERO    | 5 500                     |                            |                     |                              |
| 757PW  | DEFAULT    | 3              | 9        | Montée       | Maxi montée    | ZERO    | 7 500                     |                            |                     |                              |
| 757PW  | DEFAULT    | 3              | 10       | Montée       | Maxi montée    | ZERO    | 10 000                    |                            |                     |                              |
| 757PW  | DEFAULT    | 4              | 1        | Décollage    | Maxi décollage | 5       |                           |                            |                     |                              |
| 757PW  | DEFAULT    | 4              | 2        | Montée       | Maxi décollage | 5       | 1 000                     |                            |                     |                              |
| 757PW  | DEFAULT    | 4              | 3        | Accélération | Maxi montée    | T_05    |                           | 1 213,5                    | 196,4               |                              |
| 757PW  | DEFAULT    | 4              | 4        | Accélération | Maxi montée    | T_01    |                           | 1 353,6                    | 213,7               |                              |
| 757PW  | DEFAULT    | 4              | 5        | Accélération | Maxi montée    | T_00    |                           | 1 460,3                    | 217,4               |                              |
| 757PW  | DEFAULT    | 4              | 6        | Montée       | Maxi montée    | T_00    | 3 000                     |                            |                     |                              |
| 757PW  | DEFAULT    | 4              | 7        | Accélération | Maxi montée    | T_00    |                           | 1 510,6                    | 250                 |                              |

| ACFTID | Profile_ID | Longueur phase | N° étape | Type étape   | Indice poussée | Flap_ID | Altitude point final (ft) | Vitesse de montée (ft/min) | CAS point final(kt) | Pourcentage_accélération (%) |
|--------|------------|----------------|----------|--------------|----------------|---------|---------------------------|----------------------------|---------------------|------------------------------|
| 757PW  | DEFAULT    | 4              | 8        | Montée       | Maxi montée    | ZERO    | 5 500                     |                            |                     |                              |
| 757PW  | DEFAULT    | 4              | 9        | Montée       | Maxi montée    | ZERO    | 7 500                     |                            |                     |                              |
| 757PW  | DEFAULT    | 4              | 10       | Montée       | Maxi montée    | ZERO    | 10 000                    |                            |                     |                              |
| 757PW  | DEFAULT    | 5              | 1        | Décollage    | Maxi décollage | 5       |                           |                            |                     |                              |
| 757PW  | DEFAULT    | 5              | 2        | Montée       | Maxi décollage | 5       | 1 000                     |                            |                     |                              |
| 757PW  | DEFAULT    | 5              | 3        | Accélération | Maxi montée    | T_05    |                           | 1 082,9                    | 200,8               |                              |
| 757PW  | DEFAULT    | 5              | 4        | Accélération | Maxi montée    | T_01    |                           | 1 212                      | 218,5               |                              |
| 757PW  | DEFAULT    | 5              | 5        | Accélération | Maxi montée    | T_00    |                           | 1 291,1                    | 224,3               |                              |
| 757PW  | DEFAULT    | 5              | 6        | Montée       | Maxi montée    | T_00    | 3 000                     |                            |                     |                              |
| 757PW  | DEFAULT    | 5              | 7        | Accélération | Maxi montée    | T_00    |                           | 1 352,4                    | 250                 |                              |
| 757PW  | DEFAULT    | 5              | 8        | Montée       | Maxi montée    | ZERO    | 5 500                     |                            |                     |                              |
| 757PW  | DEFAULT    | 5              | 9        | Montée       | Maxi montée    | ZERO    | 7 500                     |                            |                     |                              |
| 757PW  | DEFAULT    | 5              | 10       | Montée       | Maxi montée    | ZERO    | 10 000                    |                            |                     |                              |
| 757PW  | DEFAULT    | 6              | 1        | Décollage    | Maxi décollage | 5       |                           |                            |                     |                              |
| 757PW  | DEFAULT    | 6              | 2        | Montée       | Maxi décollage | 5       | 1 000                     |                            |                     |                              |
| 757PW  | DEFAULT    | 6              | 3        | Accélération | Maxi montée    | T_05    |                           | 1 005,7                    | 203,9               |                              |
| 757PW  | DEFAULT    | 6              | 4        | Accélération | Maxi montée    | T_01    |                           | 1 124,3                    | 221,9               |                              |
| 757PW  | DEFAULT    | 6              | 5        | Accélération | Maxi montée    | T_00    |                           | 1 220                      | 228,7               |                              |
| 757PW  | DEFAULT    | 6              | 6        | Montée       | Maxi montée    | T_00    | 3 000                     |                            |                     |                              |
| 757PW  | DEFAULT    | 6              | 7        | Accélération | Maxi montée    | T_00    |                           | 1 259,5                    | 250                 |                              |

| ACFTID | Profile_ID | Longueur phase | N° étape | Type étape   | Indice poussée | Flap_ID | Altitude point final (ft) | Vitesse de montée (ft/min) | CAS point final(kt) | Pourcentage_accélération (%) |
|--------|------------|----------------|----------|--------------|----------------|---------|---------------------------|----------------------------|---------------------|------------------------------|
| 757PW  | DEFAULT    | 6              | 8        | Montée       | Maxi montée    | ZERO    | 5 500                     |                            |                     |                              |
| 757PW  | DEFAULT    | 6              | 9        | Montée       | Maxi montée    | ZERO    | 7 500                     |                            |                     |                              |
| 757PW  | DEFAULT    | 6              | 10       | Montée       | Maxi montée    | ZERO    | 10 000                    |                            |                     |                              |
| 757PW  | DEFAULT    | 7              | 1        | Décollage    | Maxi décollage | 5       |                           |                            |                     |                              |
| 757PW  | DEFAULT    | 7              | 2        | Montée       | Maxi décollage | 5       | 1 000                     |                            |                     |                              |
| 757PW  | DEFAULT    | 7              | 3        | Accélération | Maxi montée    | T_05    |                           | 938,1                      | 207                 |                              |
| 757PW  | DEFAULT    | 7              | 4        | Accélération | Maxi montée    | T_01    |                           | 1 052,4                    | 225,2               |                              |
| 757PW  | DEFAULT    | 7              | 5        | Accélération | Maxi montée    | T_00    |                           | 1 134,5                    | 233,3               |                              |
| 757PW  | DEFAULT    | 7              | 6        | Montée       | Maxi montée    | T_00    | 3 000                     |                            |                     |                              |
| 757PW  | DEFAULT    | 7              | 7        | Accélération | Maxi montée    | T_00    |                           | 1 172,9                    | 250                 |                              |
| 757PW  | DEFAULT    | 7              | 8        | Montée       | Maxi montée    | ZERO    | 5 500                     |                            |                     |                              |
| 757PW  | DEFAULT    | 7              | 9        | Montée       | Maxi montée    | ZERO    | 7 500                     |                            |                     |                              |
| 757PW  | DEFAULT    | 7              | 10       | Montée       | Maxi montée    | ZERO    | 10 000                    |                            |                     |                              |
| 757PW  | ICAO_A     | 1              | 1        | Décollage    | Maxi décollage | 5       |                           |                            |                     |                              |
| 757PW  | ICAO_A     | 1              | 2        | Montée       | Maxi décollage | 5       | 1 500                     |                            |                     |                              |
| 757PW  | ICAO_A     | 1              | 3        | Montée       | Maxi montée    | T_05    | 3 000                     |                            |                     |                              |
| 757PW  | ICAO_A     | 1              | 4        | Accélération | Maxi montée    | T_05    |                           | 1 399,5                    | 188                 |                              |
| 757PW  | ICAO_A     | 1              | 5        | Accélération | Maxi montée    | T_01    |                           | 1 605,4                    | 205,8               |                              |
| 757PW  | ICAO_A     | 1              | 6        | Accélération | Maxi montée    | ZERO    |                           | 1 804,8                    | 250                 |                              |
| 757PW  | ICAO_A     | 1              | 7        | Montée       | Maxi montée    | ZERO    | 5 500                     |                            |                     |                              |

| ACFTID | Profile_ID | Longueur phase | N° étape | Type étape   | Indice poussée | Flap_ID | Altitude point final (ft) | Vitesse de montée (ft/min) | CAS point final(kt) | Pourcentage accélération (%) |
|--------|------------|----------------|----------|--------------|----------------|---------|---------------------------|----------------------------|---------------------|------------------------------|
| 757PW  | ICAO_A     | 1              | 8        | Montée       | Maxi montée    | ZERO    | 7 500                     |                            |                     |                              |
| 757PW  | ICAO_A     | 1              | 9        | Montée       | Maxi montée    | ZERO    | 10 000                    |                            |                     |                              |
| 757PW  | ICAO_A     | 2              | 1        | Décollage    | Maxi décollage | 5       |                           |                            |                     |                              |
| 757PW  | ICAO_A     | 2              | 2        | Montée       | Maxi décollage | 5       | 1 500                     |                            |                     |                              |
| 757PW  | ICAO_A     | 2              | 3        | Montée       | Maxi montée    | T_05    | 3 000                     |                            |                     |                              |
| 757PW  | ICAO_A     | 2              | 4        | Accélération | Maxi montée    | T_05    |                           | 1 337,7                    | 189,5               |                              |
| 757PW  | ICAO_A     | 2              | 5        | Accélération | Maxi montée    | T_01    |                           | 1 522,3                    | 207,2               |                              |
| 757PW  | ICAO_A     | 2              | 6        | Accélération | Maxi montée    | ZERO    |                           | 1 725,5                    | 250                 |                              |
| 757PW  | ICAO_A     | 2              | 7        | Montée       | Maxi montée    | ZERO    | 5 500                     |                            |                     |                              |
| 757PW  | ICAO_A     | 2              | 8        | Montée       | Maxi montée    | ZERO    | 7 500                     |                            |                     |                              |
| 757PW  | ICAO_A     | 2              | 9        | Montée       | Maxi montée    | ZERO    | 10 000                    |                            |                     |                              |
| 757PW  | ICAO_A     | 3              | 1        | Décollage    | Maxi décollage | 5       |                           |                            |                     |                              |
| 757PW  | ICAO_A     | 3              | 2        | Montée       | Maxi décollage | 5       | 1 500                     |                            |                     |                              |
| 757PW  | ICAO_A     | 3              | 3        | Montée       | Maxi montée    | 5       | 3 000                     |                            |                     |                              |
| 757PW  | ICAO_A     | 3              | 4        | Accélération | Maxi montée    | T_05    |                           | 1 271,9                    | 191,1               |                              |
| 757PW  | ICAO_A     | 3              | 5        | Accélération | Maxi montée    | T_01    |                           | 1 451,8                    | 208,2               |                              |
| 757PW  | ICAO_A     | 3              | 6        | Accélération | Maxi montée    | ZERO    |                           | 1 638                      | 250                 |                              |
| 757PW  | ICAO_A     | 3              | 7        | Montée       | Maxi montée    | ZERO    | 5 500                     |                            |                     |                              |
| 757PW  | ICAO_A     | 3              | 8        | Montée       | Maxi montée    | ZERO    | 7 500                     |                            |                     |                              |
| 757PW  | ICAO_A     | 3              | 9        | Montée       | Maxi montée    | ZERO    | 10 000                    |                            |                     |                              |

| ACFTID | Profile_ID | Longueur phase | N° étape | Type étape   | Indice poussée | Flap_ID | Altitude point final (ft) | Vitesse de montée (ft/min) | CAS point final(kt) | Pourcentage_accélération (%) |
|--------|------------|----------------|----------|--------------|----------------|---------|---------------------------|----------------------------|---------------------|------------------------------|
| 757PW  | ICAO_A     | 4              | 1        | Décollage    | Maxi décollage | 5       |                           |                            |                     |                              |
| 757PW  | ICAO_A     | 4              | 2        | Montée       | Maxi décollage | 5       | 1 500                     |                            |                     |                              |
| 757PW  | ICAO_A     | 4              | 3        | Montée       | Maxi montée    | 5       | 3 000                     |                            |                     |                              |
| 757PW  | ICAO_A     | 4              | 4        | Accélération | Maxi montée    | T_05    |                           | 1 153,8                    | 194,7               |                              |
| 757PW  | ICAO_A     | 4              | 5        | Accélération | Maxi montée    | T_01    |                           | 1 312,6                    | 212,2               |                              |
| 757PW  | ICAO_A     | 4              | 6        | Accélération | Maxi montée    | ZERO    |                           | 1 486                      | 250                 |                              |
| 757PW  | ICAO_A     | 4              | 7        | Montée       | Maxi montée    | ZERO    | 5 500                     |                            |                     |                              |
| 757PW  | ICAO_A     | 4              | 8        | Montée       | Maxi montée    | ZERO    | 7 500                     |                            |                     |                              |
| 757PW  | ICAO_A     | 4              | 9        | Montée       | Maxi montée    | ZERO    | 10 000                    |                            |                     |                              |
| 757PW  | ICAO_A     | 5              | 1        | Décollage    | Maxi décollage | 5       |                           |                            |                     |                              |
| 757PW  | ICAO_A     | 5              | 2        | Montée       | Maxi décollage | 5       | 1 500                     |                            |                     |                              |
| 757PW  | ICAO_A     | 5              | 3        | Montée       | Maxi montée    | 5       | 3 000                     |                            |                     |                              |
| 757PW  | ICAO_A     | 5              | 4        | Accélération | Maxi montée    | T_05    |                           | 1 028,8                    | 199,2               |                              |
| 757PW  | ICAO_A     | 5              | 5        | Accélération | Maxi montée    | T_01    |                           | 1 171,1                    | 217,2               |                              |
| 757PW  | ICAO_A     | 5              | 6        | Accélération | Maxi montée    | ZERO    |                           | 1 325,6                    | 250                 |                              |
| 757PW  | ICAO_A     | 5              | 7        | Montée       | Maxi montée    | ZERO    | 5 500                     |                            |                     |                              |
| 757PW  | ICAO_A     | 5              | 8        | Montée       | Maxi montée    | ZERO    | 7 500                     |                            |                     |                              |
| 757PW  | ICAO_A     | 5              | 9        | Montée       | Maxi montée    | ZERO    | 10 000                    |                            |                     |                              |
| 757PW  | ICAO_A     | 6              | 1        | Décollage    | Maxi décollage | 5       |                           |                            |                     |                              |
| 757PW  | ICAO_A     | 6              | 2        | Montée       | Maxi décollage | 5       | 1 500                     |                            |                     |                              |

| ACFTID | Profile_ID | Longueur phase | N° étape | Type étape   | Indice poussée | Flap_ID | Altitude point final (ft) | Vitesse de montée (ft/min) | CAS point final(kt) | Pourcentage accélération (%) |
|--------|------------|----------------|----------|--------------|----------------|---------|---------------------------|----------------------------|---------------------|------------------------------|
| 757PW  | ICAO_A     | 6              | 3        | Montée       | Maxi montée    | 5       | 3 000                     |                            |                     |                              |
| 757PW  | ICAO_A     | 6              | 4        | Accélération | Maxi montée    | T_05    |                           | 953,4                      | 202,5               |                              |
| 757PW  | ICAO_A     | 6              | 5        | Accélération | Maxi montée    | T_01    |                           | 1 087,8                    | 220,6               |                              |
| 757PW  | ICAO_A     | 6              | 6        | Accélération | Maxi montée    | ZERO    |                           | 1 225,5                    | 250                 |                              |
| 757PW  | ICAO_A     | 6              | 7        | Montée       | Maxi montée    | ZERO    | 5 500                     |                            |                     |                              |
| 757PW  | ICAO_A     | 6              | 8        | Montée       | Maxi montée    | ZERO    | 7 500                     |                            |                     |                              |
| 757PW  | ICAO_A     | 6              | 9        | Montée       | Maxi montée    | ZERO    | 10 000                    |                            |                     |                              |
| 757PW  | ICAO_A     | 7              | 1        | Décollage    | Maxi décollage | 5       |                           |                            |                     |                              |
| 757PW  | ICAO_A     | 7              | 2        | Montée       | Maxi décollage | 5       | 1 500                     |                            |                     |                              |
| 757PW  | ICAO_A     | 7              | 3        | Montée       | Maxi montée    | 5       | 3 000                     |                            |                     |                              |
| 757PW  | ICAO_A     | 7              | 4        | Accélération | Maxi montée    | T_05    |                           | 886,5                      | 205,7               |                              |
| 757PW  | ICAO_A     | 7              | 5        | Accélération | Maxi montée    | T_01    |                           | 1 012,8                    | 224                 |                              |
| 757PW  | ICAO_A     | 7              | 6        | Accélération | Maxi montée    | ZERO    |                           | 1 140,1                    | 250                 |                              |
| 757PW  | ICAO_A     | 7              | 7        | Montée       | Maxi montée    | ZERO    | 5 500                     |                            |                     |                              |
| 757PW  | ICAO_A     | 7              | 8        | Montée       | Maxi montée    | ZERO    | 7 500                     |                            |                     |                              |
| 757PW  | ICAO_A     | 7              | 9        | Montée       | Maxi montée    | ZERO    | 10 000                    |                            |                     |                              |
| 757PW  | ICAO_B     | 1              | 1        | Décollage    | Maxi décollage | 5       |                           |                            |                     |                              |
| 757PW  | ICAO_B     | 1              | 2        | Montée       | Maxi décollage | 5       | 1 000                     |                            |                     |                              |
| 757PW  | ICAO_B     | 1              | 3        | Accélération | Maxi décollage | 5       |                           | 1 970,1                    | 206                 |                              |
| 757PW  | ICAO_B     | 1              | 4        | Montée       | Maxi montée    | ZERO    | 3 000                     |                            |                     |                              |

| ACFTID | Profile_ID | Longueur phase | N° étape | Type étape   | Indice poussée | Flap_ID | Altitude point final (ft) | Vitesse de montée (ft/min) | CAS point final(kt) | Pourcentage_accélération (%) |
|--------|------------|----------------|----------|--------------|----------------|---------|---------------------------|----------------------------|---------------------|------------------------------|
| 757PW  | ICAO_B     | 1              | 5        | Accélération | Maxi montée    | ZERO    |                           | 1 821,5                    | 250                 |                              |
| 757PW  | ICAO_B     | 1              | 6        | Montée       | Maxi montée    | ZERO    | 5 500                     |                            |                     |                              |
| 757PW  | ICAO_B     | 1              | 7        | Montée       | Maxi montée    | ZERO    | 7 500                     |                            |                     |                              |
| 757PW  | ICAO_B     | 1              | 8        | Montée       | Maxi montée    | ZERO    | 10 000                    |                            |                     |                              |
| 757PW  | ICAO_B     | 2              | 1        | Décollage    | Maxi décollage | 5       |                           |                            |                     |                              |
| 757PW  | ICAO_B     | 2              | 2        | Montée       | Maxi décollage | 5       | 1 000                     |                            |                     |                              |
| 757PW  | ICAO_B     | 2              | 3        | Accélération | Maxi décollage | 5       |                           | 1 899,2                    | 208,7               |                              |
| 757PW  | ICAO_B     | 2              | 4        | Montée       | Maxi montée    | ZERO    | 3 000                     |                            |                     |                              |
| 757PW  | ICAO_B     | 2              | 5        | Accélération | Maxi montée    | ZERO    |                           | 1 743,3                    | 250                 |                              |
| 757PW  | ICAO_B     | 2              | 6        | Montée       | Maxi montée    | ZERO    | 5 500                     |                            |                     |                              |
| 757PW  | ICAO_B     | 2              | 7        | Montée       | Maxi montée    | ZERO    | 7 500                     |                            |                     |                              |
| 757PW  | ICAO_B     | 2              | 8        | Montée       | Maxi montée    | ZERO    | 10 000                    |                            |                     |                              |
| 757PW  | ICAO_B     | 3              | 1        | Décollage    | Maxi décollage | 5       |                           |                            |                     |                              |
| 757PW  | ICAO_B     | 3              | 2        | Montée       | Maxi décollage | 5       | 1 000                     |                            |                     |                              |
| 757PW  | ICAO_B     | 3              | 3        | Accélération | Maxi décollage | 5       |                           | 1 825,8                    | 211,6               |                              |
| 757PW  | ICAO_B     | 3              | 4        | Montée       | Maxi montée    | ZERO    | 3 000                     |                            |                     |                              |
| 757PW  | ICAO_B     | 3              | 5        | Accélération | Maxi montée    | ZERO    |                           | 1 659,4                    | 250                 |                              |
| 757PW  | ICAO_B     | 3              | 6        | Montée       | Maxi montée    | ZERO    | 5 500                     |                            |                     |                              |
| 757PW  | ICAO_B     | 3              | 7        | Montée       | Maxi montée    | ZERO    | 7 500                     |                            |                     |                              |
| 757PW  | ICAO_B     | 3              | 8        | Montée       | Maxi montée    | ZERO    | 10 000                    |                            |                     |                              |

| ACFTID | Profile_ID | Longueur phase | N° étape | Type étape   | Indice poussée | Flap_ID | Altitude point final (ft) | Vitesse de montée (ft/min) | CAS point final(kt) | Pourcentage_accélération (%) |
|--------|------------|----------------|----------|--------------|----------------|---------|---------------------------|----------------------------|---------------------|------------------------------|
| 757PW  | ICAO_B     | 4              | 1        | Décollage    | Maxi décollage | 5       |                           |                            |                     |                              |
| 757PW  | ICAO_B     | 4              | 2        | Montée       | Maxi décollage | 5       | 1 000                     |                            |                     |                              |
| 757PW  | ICAO_B     | 4              | 3        | Accélération | Maxi décollage | 5       |                           | 1 690,7                    | 217,4               |                              |
| 757PW  | ICAO_B     | 4              | 4        | Montée       | Maxi montée    | ZERO    | 3 000                     |                            |                     |                              |
| 757PW  | ICAO_B     | 4              | 5        | Accélération | Maxi montée    | ZERO    |                           | 1 512,3                    | 250                 |                              |
| 757PW  | ICAO_B     | 4              | 6        | Montée       | Maxi montée    | ZERO    | 5 500                     |                            |                     |                              |
| 757PW  | ICAO_B     | 4              | 7        | Montée       | Maxi montée    | ZERO    | 7 500                     |                            |                     |                              |
| 757PW  | ICAO_B     | 4              | 8        | Montée       | Maxi montée    | ZERO    | 10 000                    |                            |                     |                              |
| 757PW  | ICAO_B     | 5              | 1        | Décollage    | Maxi décollage | 5       |                           |                            |                     |                              |
| 757PW  | ICAO_B     | 5              | 2        | Montée       | Maxi décollage | 5       | 1 000                     |                            |                     |                              |
| 757PW  | ICAO_B     | 5              | 3        | Accélération | Maxi décollage | 5       |                           | 1 543,6                    | 224,1               |                              |
| 757PW  | ICAO_B     | 5              | 4        | Montée       | Maxi montée    | ZERO    | 3 000                     |                            |                     |                              |
| 757PW  | ICAO_B     | 5              | 5        | Accélération | Maxi montée    | ZERO    |                           | 1 351,8                    | 250                 |                              |
| 757PW  | ICAO_B     | 5              | 6        | Montée       | Maxi montée    | ZERO    | 5 500                     |                            |                     |                              |
| 757PW  | ICAO_B     | 5              | 7        | Montée       | Maxi montée    | ZERO    | 7 500                     |                            |                     |                              |
| 757PW  | ICAO_B     | 5              | 8        | Montée       | Maxi montée    | ZERO    | 10 000                    |                            |                     |                              |
| 757PW  | ICAO_B     | 6              | 1        | Décollage    | Maxi décollage | 5       |                           |                            |                     |                              |
| 757PW  | ICAO_B     | 6              | 2        | Montée       | Maxi décollage | 5       | 1 000                     |                            |                     |                              |
| 757PW  | ICAO_B     | 6              | 3        | Accélération | Maxi décollage | 5       |                           | 1 458,3                    | 228,7               |                              |
| 757PW  | ICAO_B     | 6              | 4        | Montée       | Maxi montée    | ZERO    | 3 000                     |                            |                     |                              |

| ACFTID | Profile_ID | Longueur phase | N° étape | Type étape   | Indice poussée | Flap_ID | Altitude point final (ft) | Vitesse de montée (ft/min) | CAS point final(kt) | Pourcentage_accélération (%) |
|--------|------------|----------------|----------|--------------|----------------|---------|---------------------------|----------------------------|---------------------|------------------------------|
| 757PW  | ICAO_B     | 6              | 5        | Accélération | Maxi montée    | ZERO    |                           | 1 257,5                    | 250                 |                              |
| 757PW  | ICAO_B     | 6              | 6        | Montée       | Maxi montée    | ZERO    | 5 500                     |                            |                     |                              |
| 757PW  | ICAO_B     | 6              | 7        | Montée       | Maxi montée    | ZERO    | 7 500                     |                            |                     |                              |
| 757PW  | ICAO_B     | 6              | 8        | Montée       | Maxi montée    | ZERO    | 10 000                    |                            |                     |                              |
| 757PW  | ICAO_B     | 7              | 1        | Décollage    | Maxi décollage | 5       |                           |                            |                     |                              |
| 757PW  | ICAO_B     | 7              | 2        | Montée       | Maxi décollage | 5       | 1 000                     |                            |                     |                              |
| 757PW  | ICAO_B     | 7              | 3        | Accélération | Maxi décollage | 5       |                           | 1 380,6                    | 233,3               |                              |
| 757PW  | ICAO_B     | 7              | 4        | Montée       | Maxi montée    | ZERO    | 3 000                     |                            |                     |                              |
| 757PW  | ICAO_B     | 7              | 5        | Accélération | Maxi montée    | ZERO    |                           | 1 173,6                    | 250                 |                              |
| 757PW  | ICAO_B     | 7              | 6        | Montée       | Maxi montée    | ZERO    | 5 500                     |                            |                     |                              |
| 757PW  | ICAO_B     | 7              | 7        | Montée       | Maxi montée    | ZERO    | 7 500                     |                            |                     |                              |
| 757PW  | ICAO_B     | 7              | 8        | Montée       | Maxi montée    | ZERO    | 10 000                    |                            |                     |                              |
| 757RR  | DEFAULT    | 1              | 1        | Décollage    | Maxi décollage | 5       |                           |                            |                     |                              |
| 757RR  | DEFAULT    | 1              | 2        | Montée       | Maxi décollage | 5       | 1 000                     |                            |                     |                              |
| 757RR  | DEFAULT    | 1              | 3        | Accélération | Maxi montée    | T_05    |                           | 1 613,9                    | 192,4               |                              |
| 757RR  | DEFAULT    | 1              | 4        | Accélération | Maxi montée    | T_01    |                           | 1 779,7                    | 206,3               |                              |
| 757RR  | DEFAULT    | 1              | 5        | Montée       | Maxi montée    | ZERO    | 3 000                     |                            |                     |                              |
| 757RR  | DEFAULT    | 1              | 6        | Accélération | Maxi montée    | ZERO    |                           | 1 966,1                    | 250                 |                              |
| 757RR  | DEFAULT    | 1              | 7        | Montée       | Maxi montée    | ZERO    | 5 500                     |                            |                     |                              |
| 757RR  | DEFAULT    | 1              | 8        | Montée       | Maxi montée    | ZERO    | 7 500                     |                            |                     |                              |

| ACFTID | Profile_ID | Longueur phase | N° étape | Type étape   | Indice poussée | Flap_ID | Altitude point final (ft) | Vitesse de montée (ft/min) | CAS point final(kt) | Pourcentage_accélération (%) |
|--------|------------|----------------|----------|--------------|----------------|---------|---------------------------|----------------------------|---------------------|------------------------------|
| 757RR  | DEFAULT    | 1              | 9        | Montée       | Maxi montée    | ZERO    | 10 000                    |                            |                     |                              |
| 757RR  | DEFAULT    | 2              | 1        | Décollage    | Maxi décollage | 5       |                           |                            |                     |                              |
| 757RR  | DEFAULT    | 2              | 2        | Montée       | Maxi décollage | 5       | 1 000                     |                            |                     |                              |
| 757RR  | DEFAULT    | 2              | 3        | Accélération | Maxi montée    | T_05    |                           | 1 544,6                    | 193,9               |                              |
| 757RR  | DEFAULT    | 2              | 4        | Accélération | Maxi montée    | T_01    |                           | 1 703,3                    | 209,2               |                              |
| 757RR  | DEFAULT    | 2              | 5        | Montée       | Maxi montée    | ZERO    | 3 000                     |                            |                     |                              |
| 757RR  | DEFAULT    | 2              | 6        | Accélération | Maxi montée    | ZERO    |                           | 1 879,3                    | 250                 |                              |
| 757RR  | DEFAULT    | 2              | 7        | Montée       | Maxi montée    | ZERO    | 5 500                     |                            |                     |                              |
| 757RR  | DEFAULT    | 2              | 8        | Montée       | Maxi montée    | ZERO    | 7 500                     |                            |                     |                              |
| 757RR  | DEFAULT    | 2              | 9        | Montée       | Maxi montée    | ZERO    | 10 000                    |                            |                     |                              |
| 757RR  | DEFAULT    | 3              | 1        | Décollage    | Maxi décollage | 5       |                           |                            |                     |                              |
| 757RR  | DEFAULT    | 3              | 2        | Montée       | Maxi décollage | 5       | 1 000                     |                            |                     |                              |
| 757RR  | DEFAULT    | 3              | 3        | Accélération | Maxi montée    | T_05    |                           | 1 474,6                    | 195,5               |                              |
| 757RR  | DEFAULT    | 3              | 4        | Accélération | Maxi montée    | T_01    |                           | 1 627,6                    | 212,2               |                              |
| 757RR  | DEFAULT    | 3              | 5        | Montée       | Maxi montée    | ZERO    | 3 000                     |                            |                     |                              |
| 757RR  | DEFAULT    | 3              | 6        | Accélération | Maxi montée    | ZERO    |                           | 1 787,2                    | 250                 |                              |
| 757RR  | DEFAULT    | 3              | 7        | Montée       | Maxi montée    | ZERO    | 5 500                     |                            |                     |                              |
| 757RR  | DEFAULT    | 3              | 8        | Montée       | Maxi montée    | ZERO    | 7 500                     |                            |                     |                              |
| 757RR  | DEFAULT    | 3              | 9        | Montée       | Maxi montée    | ZERO    | 10 000                    |                            |                     |                              |
| 757RR  | DEFAULT    | 4              | 1        | Décollage    | Maxi décollage | 5       |                           |                            |                     |                              |

| ACFTID | Profile_ID | Longueur phase | N° étape | Type étape   | Indice poussée | Flap_ID | Altitude point final (ft) | Vitesse de montée (ft/min) | CAS point final(kt) | Pourcentage_accélération (%) |
|--------|------------|----------------|----------|--------------|----------------|---------|---------------------------|----------------------------|---------------------|------------------------------|
| 757RR  | DEFAULT    | 4              | 2        | Montée       | Maxi décollage | 5       | 1 000                     |                            |                     |                              |
| 757RR  | DEFAULT    | 4              | 3        | Accélération | Maxi montée    | T_05    |                           | 1 338                      | 199                 |                              |
| 757RR  | DEFAULT    | 4              | 4        | Accélération | Maxi montée    | T_01    |                           | 1 484,6                    | 216,4               |                              |
| 757RR  | DEFAULT    | 4              | 5        | Accélération | Maxi montée    | ZERO    |                           | 1 560                      | 218,3               |                              |
| 757RR  | DEFAULT    | 4              | 6        | Montée       | Maxi montée    | ZERO    | 3 000                     |                            |                     |                              |
| 757RR  | DEFAULT    | 4              | 7        | Accélération | Maxi montée    | ZERO    |                           | 1 623,1                    | 250                 |                              |
| 757RR  | DEFAULT    | 4              | 8        | Montée       | Maxi montée    | T_00    | 5 500                     |                            |                     |                              |
| 757RR  | DEFAULT    | 4              | 9        | Montée       | Maxi montée    | T_00    | 7 500                     |                            |                     |                              |
| 757RR  | DEFAULT    | 4              | 10       | Montée       | Maxi montée    | T_00    | 10 000                    |                            |                     |                              |
| 757RR  | DEFAULT    | 5              | 1        | Décollage    | Maxi décollage | 5       |                           |                            |                     |                              |
| 757RR  | DEFAULT    | 5              | 2        | Montée       | Maxi décollage | 5       | 1 000                     |                            |                     |                              |
| 757RR  | DEFAULT    | 5              | 3        | Accélération | Maxi montée    | T_05    |                           | 1 196,6                    | 203,7               |                              |
| 757RR  | DEFAULT    | 5              | 4        | Accélération | Maxi montée    | T_01    |                           | 1 325,3                    | 221,1               |                              |
| 757RR  | DEFAULT    | 5              | 5        | Accélération | Maxi montée    | T_00    |                           | 1 400                      | 225,7               |                              |
| 757RR  | DEFAULT    | 5              | 6        | Montée       | Maxi montée    | ZERO    | 3 000                     |                            |                     |                              |
| 757RR  | DEFAULT    | 5              | 7        | Accélération | Maxi montée    | ZERO    |                           | 1 447,1                    | 250                 |                              |
| 757RR  | DEFAULT    | 5              | 8        | Montée       | Maxi montée    | T_00    | 5 500                     |                            |                     |                              |
| 757RR  | DEFAULT    | 5              | 9        | Montée       | Maxi montée    | T_00    | 7 500                     |                            |                     |                              |
| 757RR  | DEFAULT    | 5              | 10       | Montée       | Maxi montée    | ZERO    | 10 000                    |                            |                     |                              |
| 757RR  | DEFAULT    | 6              | 1        | Décollage    | Maxi décollage | 5       |                           |                            |                     |                              |

| ACFTID | Profile_ID | Longueur phase | N° étape | Type étape   | Indice poussée | Flap_ID | Altitude point final (ft) | Vitesse de montée (ft/min) | CAS point final(kt) | Pourcentage_accélération (%) |
|--------|------------|----------------|----------|--------------|----------------|---------|---------------------------|----------------------------|---------------------|------------------------------|
| 757RR  | DEFAULT    | 6              | 2        | Montée       | Maxi décollage | 5       | 1 000                     |                            |                     |                              |
| 757RR  | DEFAULT    | 6              | 3        | Accélération | Maxi montée    | T_05    |                           | 1 142,2                    | 205,8               |                              |
| 757RR  | DEFAULT    | 6              | 4        | Accélération | Maxi montée    | T_01    |                           | 1 258                      | 223,4               |                              |
| 757RR  | DEFAULT    | 6              | 5        | Accélération | Maxi montée    | T_00    |                           | 1 329,6                    | 228,9               |                              |
| 757RR  | DEFAULT    | 6              | 6        | Montée       | Maxi montée    | ZERO    | 3 000                     |                            |                     |                              |
| 757RR  | DEFAULT    | 6              | 7        | Accélération | Maxi montée    | ZERO    |                           | 1 377,4                    | 250                 |                              |
| 757RR  | DEFAULT    | 6              | 8        | Montée       | Maxi montée    | T_00    | 5 500                     |                            |                     |                              |
| 757RR  | DEFAULT    | 6              | 9        | Montée       | Maxi montée    | T_00    | 7 500                     |                            |                     |                              |
| 757RR  | DEFAULT    | 6              | 10       | Montée       | Maxi montée    | ZERO    | 10 000                    |                            |                     |                              |
| 757RR  | DEFAULT    | 7              | 1        | Décollage    | Maxi décollage | 5       |                           |                            |                     |                              |
| 757RR  | DEFAULT    | 7              | 2        | Montée       | Maxi décollage | 5       | 1 000                     |                            |                     |                              |
| 757RR  | DEFAULT    | 7              | 3        | Accélération | Maxi montée    | T_05    |                           | 1 071,3                    | 208,8               |                              |
| 757RR  | DEFAULT    | 7              | 4        | Accélération | Maxi montée    | T_01    |                           | 1 181,5                    | 226,7               |                              |
| 757RR  | DEFAULT    | 7              | 5        | Accélération | Maxi montée    | T_00    |                           | 1 265,9                    | 233,3               |                              |
| 757RR  | DEFAULT    | 7              | 6        | Montée       | Maxi montée    | ZERO    | 3 000                     |                            |                     |                              |
| 757RR  | DEFAULT    | 7              | 7        | Accélération | Maxi montée    | ZERO    |                           | 1 287,6                    | 250                 |                              |
| 757RR  | DEFAULT    | 7              | 8        | Montée       | Maxi montée    | T_00    | 5 500                     |                            |                     |                              |
| 757RR  | DEFAULT    | 7              | 9        | Montée       | Maxi montée    | ZERO    | 7 500                     |                            |                     |                              |
| 757RR  | DEFAULT    | 7              | 10       | Montée       | Maxi montée    | ZERO    | 10 000                    |                            |                     |                              |
| 757RR  | ICAO_A     | 1              | 1        | Décollage    | Maxi décollage | 5       |                           |                            |                     |                              |

| ACFTID | Profile_ID | Longueur phase | N° étape | Type étape   | Indice poussée | Flap_ID | Altitude point final (ft) | Vitesse de montée (ft/min) | CAS point final(kt) | Pourcentage_accélération (%) |
|--------|------------|----------------|----------|--------------|----------------|---------|---------------------------|----------------------------|---------------------|------------------------------|
| 757RR  | ICAO_A     | 1              | 2        | Montée       | Maxi décollage | 5       | 1 500                     |                            |                     |                              |
| 757RR  | ICAO_A     | 1              | 3        | Montée       | Maxi montée    | 5       | 3 000                     |                            |                     |                              |
| 757RR  | ICAO_A     | 1              | 4        | Accélération | Maxi montée    | T_05    |                           | 1 543,3                    | 190,3               |                              |
| 757RR  | ICAO_A     | 1              | 5        | Accélération | Maxi montée    | T_01    |                           | 1 735,6                    | 206,1               |                              |
| 757RR  | ICAO_A     | 1              | 6        | Accélération | Maxi montée    | T_00    |                           | 1 959,8                    | 250                 |                              |
| 757RR  | ICAO_A     | 1              | 7        | Montée       | Maxi montée    | ZERO    | 5 500                     |                            |                     |                              |
| 757RR  | ICAO_A     | 1              | 8        | Montée       | Maxi montée    | ZERO    | 7 500                     |                            |                     |                              |
| 757RR  | ICAO_A     | 1              | 9        | Montée       | Maxi montée    | ZERO    | 10 000                    |                            |                     |                              |
| 757RR  | ICAO_A     | 2              | 1        | Décollage    | Maxi décollage | 5       |                           |                            |                     |                              |
| 757RR  | ICAO_A     | 2              | 2        | Montée       | Maxi décollage | 5       | 1 500                     |                            |                     |                              |
| 757RR  | ICAO_A     | 2              | 3        | Montée       | Maxi montée    | 5       | 3 000                     |                            |                     |                              |
| 757RR  | ICAO_A     | 2              | 4        | Accélération | Maxi montée    | T_05    |                           | 1 472,7                    | 191,9               |                              |
| 757RR  | ICAO_A     | 2              | 5        | Accélération | Maxi montée    | T_01    |                           | 1 660,2                    | 208,9               |                              |
| 757RR  | ICAO_A     | 2              | 6        | Accélération | Maxi montée    | T_00    |                           | 1 876                      | 250                 |                              |
| 757RR  | ICAO_A     | 2              | 7        | Montée       | Maxi montée    | ZERO    | 5 500                     |                            |                     |                              |
| 757RR  | ICAO_A     | 2              | 8        | Montée       | Maxi montée    | ZERO    | 7 500                     |                            |                     |                              |
| 757RR  | ICAO_A     | 2              | 9        | Montée       | Maxi montée    | ZERO    | 10 000                    |                            |                     |                              |
| 757RR  | ICAO_A     | 3              | 1        | Décollage    | Maxi décollage | 5       |                           |                            |                     |                              |
| 757RR  | ICAO_A     | 3              | 2        | Montée       | Maxi décollage | 5       | 1 500                     |                            |                     |                              |
| 757RR  | ICAO_A     | 3              | 3        | Montée       | Maxi montée    | 5       | 3 000                     |                            |                     |                              |

| ACFTID | Profile_ID | Longueur phase | N° étape | Type étape   | Indice poussée | Flap_ID | Altitude point final (ft) | Vitesse de montée (ft/min) | CAS point final(kt) | Pourcentage_accélération (%) |
|--------|------------|----------------|----------|--------------|----------------|---------|---------------------------|----------------------------|---------------------|------------------------------|
| 757RR  | ICAO_A     | 3              | 4        | Accélération | Maxi montée    | T_05    |                           | 1 401                      | 193,6               |                              |
| 757RR  | ICAO_A     | 3              | 5        | Accélération | Maxi montée    | T_01    |                           | 1 590,6                    | 211,5               |                              |
| 757RR  | ICAO_A     | 3              | 6        | Accélération | Maxi montée    | T_00    |                           | 1 769,2                    | 250                 |                              |
| 757RR  | ICAO_A     | 3              | 7        | Montée       | Maxi montée    | ZERO    | 5 500                     |                            |                     |                              |
| 757RR  | ICAO_A     | 3              | 8        | Montée       | Maxi montée    | ZERO    | 7 500                     |                            |                     |                              |
| 757RR  | ICAO_A     | 3              | 9        | Montée       | Maxi montée    | ZERO    | 10 000                    |                            |                     |                              |
| 757RR  | ICAO_A     | 4              | 1        | Décollage    | Maxi décollage | 5       |                           |                            |                     |                              |
| 757RR  | ICAO_A     | 4              | 2        | Montée       | Maxi décollage | 5       | 1 500                     |                            |                     |                              |
| 757RR  | ICAO_A     | 4              | 3        | Montée       | Maxi montée    | 5       | 3 000                     |                            |                     |                              |
| 757RR  | ICAO_A     | 4              | 4        | Accélération | Maxi montée    | T_05    |                           | 1 271,5                    | 197,3               |                              |
| 757RR  | ICAO_A     | 4              | 5        | Accélération | Maxi montée    | T_01    |                           | 1 436                      | 214,5               |                              |
| 757RR  | ICAO_A     | 4              | 6        | Accélération | Maxi montée    | T_00    |                           | 1 593,3                    | 250                 |                              |
| 757RR  | ICAO_A     | 4              | 7        | Montée       | Maxi montée    | ZERO    | 5 500                     |                            |                     |                              |
| 757RR  | ICAO_A     | 4              | 8        | Montée       | Maxi montée    | ZERO    | 7 500                     |                            |                     |                              |
| 757RR  | ICAO_A     | 4              | 9        | Montée       | Maxi montée    | T_00    | 10 000                    |                            |                     |                              |
| 757RR  | ICAO_A     | 5              | 1        | Décollage    | Maxi décollage | 5       |                           |                            |                     |                              |
| 757RR  | ICAO_A     | 5              | 2        | Montée       | Maxi décollage | 5       | 1 500                     |                            |                     |                              |
| 757RR  | ICAO_A     | 5              | 3        | Montée       | Maxi montée    | 5       | 3 000                     |                            |                     |                              |
| 757RR  | ICAO_A     | 5              | 4        | Accélération | Maxi montée    | T_05    |                           | 1 134,7                    | 202,1               |                              |
| 757RR  | ICAO_A     | 5              | 5        | Accélération | Maxi montée    | T_01    |                           | 1 278,3                    | 219,8               |                              |

| ACFTID | Profile_ID | Longueur phase | N° étape | Type étape   | Indice poussée | Flap_ID | Altitude point final (ft) | Vitesse de montée (ft/min) | CAS point final(kt) | Pourcentage_accélération (%) |
|--------|------------|----------------|----------|--------------|----------------|---------|---------------------------|----------------------------|---------------------|------------------------------|
| 757RR  | ICAO_A     | 5              | 6        | Accélération | Maxi montée    | T_00    |                           | 1 416,8                    | 250                 |                              |
| 757RR  | ICAO_A     | 5              | 7        | Montée       | Maxi montée    | ZERO    | 5 500                     |                            |                     |                              |
| 757RR  | ICAO_A     | 5              | 8        | Montée       | Maxi montée    | ZERO    | 7 500                     |                            |                     |                              |
| 757RR  | ICAO_A     | 5              | 9        | Montée       | Maxi montée    | ZERO    | 10 000                    |                            |                     |                              |
| 757RR  | ICAO_A     | 6              | 1        | Décollage    | Maxi décollage | 5       |                           |                            |                     |                              |
| 757RR  | ICAO_A     | 6              | 2        | Montée       | Maxi décollage | 5       | 1 500                     |                            |                     |                              |
| 757RR  | ICAO_A     | 6              | 3        | Montée       | Maxi montée    | 5       | 3 000                     |                            |                     |                              |
| 757RR  | ICAO_A     | 6              | 4        | Accélération | Maxi montée    | T_05    |                           | 1 083,2                    | 204,3               |                              |
| 757RR  | ICAO_A     | 6              | 5        | Accélération | Maxi montée    | T_01    |                           | 1 218,6                    | 222,1               |                              |
| 757RR  | ICAO_A     | 6              | 6        | Accélération | Maxi montée    | T_00    |                           | 1 348,5                    | 250                 |                              |
| 757RR  | ICAO_A     | 6              | 7        | Montée       | Maxi montée    | ZERO    | 5 500                     |                            |                     |                              |
| 757RR  | ICAO_A     | 6              | 8        | Montée       | Maxi montée    | ZERO    | 7 500                     |                            |                     |                              |
| 757RR  | ICAO_A     | 6              | 9        | Montée       | Maxi montée    | ZERO    | 10 000                    |                            |                     |                              |
| 757RR  | ICAO_A     | 7              | 1        | Décollage    | Maxi décollage | 5       |                           |                            |                     |                              |
| 757RR  | ICAO_A     | 7              | 2        | Montée       | Maxi décollage | 5       | 1 500                     |                            |                     |                              |
| 757RR  | ICAO_A     | 7              | 3        | Montée       | Maxi montée    | 5       | 3 000                     |                            |                     |                              |
| 757RR  | ICAO_A     | 7              | 4        | Accélération | Maxi montée    | T_05    |                           | 1 013,1                    | 207,4               |                              |
| 757RR  | ICAO_A     | 7              | 5        | Accélération | Maxi montée    | T_01    |                           | 1 137,3                    | 225,4               |                              |
| 757RR  | ICAO_A     | 7              | 6        | Accélération | Maxi montée    | ZERO    |                           | 1 256,7                    | 250                 |                              |
| 757RR  | ICAO_A     | 7              | 7        | Montée       | Maxi montée    | ZERO    | 5 500                     |                            |                     |                              |

| ACFTID | Profile_ID | Longueur phase | N° étape | Type étape   | Indice poussée | Flap_ID | Altitude point final (ft) | Vitesse de montée (ft/min) | CAS point final(kt) | Pourcentage_accélération (%) |
|--------|------------|----------------|----------|--------------|----------------|---------|---------------------------|----------------------------|---------------------|------------------------------|
| 757RR  | ICAO_A     | 7              | 8        | Montée       | Maxi montée    | ZERO    | 7 500                     |                            |                     |                              |
| 757RR  | ICAO_A     | 7              | 9        | Montée       | Maxi montée    | ZERO    | 10 000                    |                            |                     |                              |
| 757RR  | ICAO_B     | 1              | 1        | Décollage    | Maxi décollage | 5       |                           |                            |                     |                              |
| 757RR  | ICAO_B     | 1              | 2        | Montée       | Maxi décollage | 5       | 1 000                     |                            |                     |                              |
| 757RR  | ICAO_B     | 1              | 3        | Accélération | Maxi décollage | T_05    |                           | 2 227,2                    | 201,9               |                              |
| 757RR  | ICAO_B     | 1              | 4        | Accélération | Maxi décollage | T_01    |                           | 2 474,2                    | 206,3               |                              |
| 757RR  | ICAO_B     | 1              | 5        | Montée       | Maxi montée    | ZERO    | 3 000                     |                            |                     |                              |
| 757RR  | ICAO_B     | 1              | 6        | Accélération | Maxi montée    | ZERO    |                           | 1 965,3                    | 250                 |                              |
| 757RR  | ICAO_B     | 1              | 7        | Montée       | Maxi montée    | ZERO    | 5 500                     |                            |                     |                              |
| 757RR  | ICAO_B     | 1              | 8        | Montée       | Maxi montée    | ZERO    | 7 500                     |                            |                     |                              |
| 757RR  | ICAO_B     | 1              | 9        | Montée       | Maxi montée    | ZERO    | 10 000                    |                            |                     |                              |
| 757RR  | ICAO_B     | 2              | 1        | Décollage    | Maxi décollage | 5       |                           |                            |                     |                              |
| 757RR  | ICAO_B     | 2              | 2        | Montée       | Maxi décollage | 5       | 1 000                     |                            |                     |                              |
| 757RR  | ICAO_B     | 2              | 3        | Accélération | Maxi décollage | T_05    |                           | 2 139,9                    | 203                 |                              |
| 757RR  | ICAO_B     | 2              | 4        | Accélération | Maxi décollage | T_01    |                           | 2 400                      | 209,2               |                              |
| 757RR  | ICAO_B     | 2              | 5        | Montée       | Maxi montée    | ZERO    | 3 000                     |                            |                     |                              |
| 757RR  | ICAO_B     | 2              | 6        | Accélération | Maxi montée    | T_00    |                           | 1 876,9                    | 250                 |                              |
| 757RR  | ICAO_B     | 2              | 7        | Montée       | Maxi montée    | T_00    | 5 500                     |                            |                     |                              |
| 757RR  | ICAO_B     | 2              | 8        | Montée       | Maxi montée    | ZERO    | 7 500                     |                            |                     |                              |
| 757RR  | ICAO_B     | 2              | 9        | Montée       | Maxi montée    | ZERO    | 10 000                    |                            |                     |                              |

| ACFTID | Profile_ID | Longueur phase | N° étape | Type étape   | Indice poussée | Flap_ID | Altitude point final (ft) | Vitesse de montée (ft/min) | CAS point final(kt) | Pourcentage_accélération (%) |
|--------|------------|----------------|----------|--------------|----------------|---------|---------------------------|----------------------------|---------------------|------------------------------|
| 757RR  | ICAO_B     | 3              | 1        | Décollage    | Maxi décollage | 5       |                           |                            |                     |                              |
| 757RR  | ICAO_B     | 3              | 2        | Montée       | Maxi décollage | 5       | 1 000                     |                            |                     |                              |
| 757RR  | ICAO_B     | 3              | 3        | Accélération | Maxi décollage | T_05    |                           | 2 051,2                    | 204,3               |                              |
| 757RR  | ICAO_B     | 3              | 4        | Accélération | Maxi décollage | T_01    |                           | 2 300                      | 212,1               |                              |
| 757RR  | ICAO_B     | 3              | 5        | Montée       | Maxi montée    | ZERO    | 3 000                     |                            |                     |                              |
| 757RR  | ICAO_B     | 3              | 6        | Accélération | Maxi montée    | T_00    |                           | 1 788                      | 250                 |                              |
| 757RR  | ICAO_B     | 3              | 7        | Montée       | Maxi montée    | T_00    | 5 500                     |                            |                     |                              |
| 757RR  | ICAO_B     | 3              | 8        | Montée       | Maxi montée    | T_00    | 7 500                     |                            |                     |                              |
| 757RR  | ICAO_B     | 3              | 9        | Montée       | Maxi montée    | ZERO    | 10 000                    |                            |                     |                              |
| 757RR  | ICAO_B     | 4              | 1        | Décollage    | Maxi décollage | 5       |                           |                            |                     |                              |
| 757RR  | ICAO_B     | 4              | 2        | Montée       | Maxi décollage | 5       | 1 000                     |                            |                     |                              |
| 757RR  | ICAO_B     | 4              | 3        | Accélération | Maxi décollage | T_05    |                           | 1 884,9                    | 207,3               |                              |
| 757RR  | ICAO_B     | 4              | 4        | Accélération | Maxi décollage | T_01    |                           | 2 135,6                    | 218,4               |                              |
| 757RR  | ICAO_B     | 4              | 5        | Montée       | Maxi montée    | T_00    | 3 000                     |                            |                     |                              |
| 757RR  | ICAO_B     | 4              | 6        | Accélération | Maxi montée    | T_00    |                           | 1 621,6                    | 250                 |                              |
| 757RR  | ICAO_B     | 4              | 7        | Montée       | Maxi montée    | T_00    | 5 500                     |                            |                     |                              |
| 757RR  | ICAO_B     | 4              | 8        | Montée       | Maxi montée    | T_00    | 7 500                     |                            |                     |                              |
| 757RR  | ICAO_B     | 4              | 9        | Montée       | Maxi montée    | T_00    | 10 000                    |                            |                     |                              |
| 757RR  | ICAO_B     | 5              | 1        | Décollage    | Maxi décollage | 5       |                           |                            |                     |                              |
| 757RR  | ICAO_B     | 5              | 2        | Montée       | Maxi décollage | 5       | 1 000                     |                            |                     |                              |

| ACFTID | Profile_ID | Longueur phase | N° étape | Type étape   | Indice poussée | Flap_ID | Altitude point final (ft) | Vitesse de montée (ft/min) | CAS point final(kt) | Pourcentage_accélération (%) |
|--------|------------|----------------|----------|--------------|----------------|---------|---------------------------|----------------------------|---------------------|------------------------------|
| 757RR  | ICAO_B     | 5              | 3        | Accélération | Maxi décollage | T_05    |                           | 1 713,8                    | 211,3               |                              |
| 757RR  | ICAO_B     | 5              | 4        | Accélération | Maxi décollage | T_01    |                           | 1 935,5                    | 225,8               |                              |
| 757RR  | ICAO_B     | 5              | 5        | Montée       | Maxi montée    | ZERO    | 3 000                     |                            |                     |                              |
| 757RR  | ICAO_B     | 5              | 6        | Accélération | Maxi montée    | T_00    |                           | 1 447,1                    | 250                 |                              |
| 757RR  | ICAO_B     | 5              | 7        | Montée       | Maxi montée    | T_00    | 5 500                     |                            |                     |                              |
| 757RR  | ICAO_B     | 5              | 8        | Montée       | Maxi montée    | T_00    | 7 500                     |                            |                     |                              |
| 757RR  | ICAO_B     | 5              | 9        | Montée       | Maxi montée    | T_00    | 10 000                    |                            |                     |                              |
| 757RR  | ICAO_B     | 6              | 1        | Décollage    | Maxi décollage | 5       |                           |                            |                     |                              |
| 757RR  | ICAO_B     | 6              | 2        | Montée       | Maxi décollage | 5       | 1 000                     |                            |                     |                              |
| 757RR  | ICAO_B     | 6              | 3        | Accélération | Maxi décollage | T_05    |                           | 1 646,9                    | 213,1               |                              |
| 757RR  | ICAO_B     | 6              | 4        | Accélération | Maxi décollage | T_01    |                           | 1 872,3                    | 228,9               |                              |
| 757RR  | ICAO_B     | 6              | 5        | Montée       | Maxi montée    | ZERO    | 3 000                     |                            |                     |                              |
| 757RR  | ICAO_B     | 6              | 6        | Accélération | Maxi montée    | T_00    |                           | 1 379,1                    | 250                 |                              |
| 757RR  | ICAO_B     | 6              | 7        | Montée       | Maxi montée    | T_00    | 5 500                     |                            |                     |                              |
| 757RR  | ICAO_B     | 6              | 8        | Montée       | Maxi montée    | T_00    | 7 500                     |                            |                     |                              |
| 757RR  | ICAO_B     | 6              | 9        | Montée       | Maxi montée    | T_00    | 10 000                    |                            |                     |                              |
| 757RR  | ICAO_B     | 7              | 1        | Décollage    | Maxi décollage | 5       |                           |                            |                     |                              |
| 757RR  | ICAO_B     | 7              | 2        | Montée       | Maxi décollage | 5       | 1 000                     |                            |                     |                              |
| 757RR  | ICAO_B     | 7              | 3        | Accélération | Maxi décollage | T_05    |                           | 1 562,1                    | 215,8               |                              |
| 757RR  | ICAO_B     | 7              | 4        | Accélération | Maxi décollage | T_01    |                           | 1 781,3                    | 233,3               |                              |

| ACFTID | Profile_ID | Longueur phase | N° étape | Type étape   | Indice poussée | Flap_ID | Altitude point final (ft) | Vitesse de montée (ft/min) | CAS point final(kt) | Pourcentage accélération (%) |
|--------|------------|----------------|----------|--------------|----------------|---------|---------------------------|----------------------------|---------------------|------------------------------|
| 757RR  | ICAO_B     | 7              | 5        | Montée       | Maxi montée    | ZERO    | 3 000                     |                            |                     |                              |
| 757RR  | ICAO_B     | 7              | 6        | Accélération | Maxi montée    | T_00    |                           | 1 287,6                    | 250                 |                              |
| 757RR  | ICAO_B     | 7              | 7        | Montée       | Maxi montée    | T_00    | 5 500                     |                            |                     |                              |
| 757RR  | ICAO_B     | 7              | 8        | Montée       | Maxi montée    | T_00    | 7 500                     |                            |                     |                              |
| 757RR  | ICAO_B     | 7              | 9        | Montée       | Maxi montée    | T_00    | 10 000                    |                            |                     |                              |
| 767300 | DEFAULT    | 1              | 1        | Décollage    | Maxi décollage | 15      |                           |                            |                     |                              |
| 767300 | DEFAULT    | 1              | 2        | Montée       | Maxi décollage | 15      | 1 000                     |                            |                     |                              |
| 767300 | DEFAULT    | 1              | 3        | Accélération | Maxi décollage | 15      |                           | 2 198                      | 152                 |                              |
| 767300 | DEFAULT    | 1              | 4        | Accélération | Maxi décollage | 5       |                           | 2 198                      | 172                 |                              |
| 767300 | DEFAULT    | 1              | 5        | Accélération | Maxi montée    | INT     |                           | 1 000                      | 215                 |                              |
| 767300 | DEFAULT    | 1              | 6        | Accélération | Maxi montée    | ZERO    |                           | 1 000                      | 235                 |                              |
| 767300 | DEFAULT    | 1              | 7        | Montée       | Maxi montée    | ZERO    | 3 000                     |                            |                     |                              |
| 767300 | DEFAULT    | 1              | 8        | Accélération | Maxi montée    | ZERO    |                           | 1 000                      | 250                 |                              |
| 767300 | DEFAULT    | 1              | 9        | Montée       | Maxi montée    | ZERO    | 5 500                     |                            |                     |                              |
| 767300 | DEFAULT    | 1              | 10       | Montée       | Maxi montée    | ZERO    | 7 500                     |                            |                     |                              |
| 767300 | DEFAULT    | 1              | 11       | Montée       | Maxi montée    | ZERO    | 10 000                    |                            |                     |                              |
| 767300 | DEFAULT    | 2              | 1        | Décollage    | Maxi décollage | 15      |                           |                            |                     |                              |
| 767300 | DEFAULT    | 2              | 2        | Montée       | Maxi décollage | 15      | 1 000                     |                            |                     |                              |
| 767300 | DEFAULT    | 2              | 3        | Accélération | Maxi décollage | 15      |                           | 2 112                      | 155                 |                              |
| 767300 | DEFAULT    | 2              | 4        | Accélération | Maxi décollage | 5       |                           | 2 112                      | 175                 |                              |

| ACFTID | Profile_ID | Longueur phase | N° étape | Type étape   | Indice poussée | Flap_ID | Altitude point final (ft) | Vitesse de montée (ft/min) | CAS point final(kt) | Pourcentage_accélération (%) |
|--------|------------|----------------|----------|--------------|----------------|---------|---------------------------|----------------------------|---------------------|------------------------------|
| 767300 | DEFAULT    | 2              | 5        | Accélération | Maxi montée    | INT     |                           | 1 000                      | 218                 |                              |
| 767300 | DEFAULT    | 2              | 6        | Accélération | Maxi montée    | ZERO    |                           | 1 000                      | 238                 |                              |
| 767300 | DEFAULT    | 2              | 7        | Montée       | Maxi montée    | ZERO    | 3 000                     |                            |                     |                              |
| 767300 | DEFAULT    | 2              | 8        | Accélération | Maxi montée    | ZERO    |                           | 1 000                      | 250                 |                              |
| 767300 | DEFAULT    | 2              | 9        | Montée       | Maxi montée    | ZERO    | 5 500                     |                            |                     |                              |
| 767300 | DEFAULT    | 2              | 10       | Montée       | Maxi montée    | ZERO    | 7 500                     |                            |                     |                              |
| 767300 | DEFAULT    | 2              | 11       | Montée       | Maxi montée    | ZERO    | 10 000                    |                            |                     |                              |
| 767300 | DEFAULT    | 3              | 1        | Décollage    | Maxi décollage | 15      |                           |                            |                     |                              |
| 767300 | DEFAULT    | 3              | 2        | Montée       | Maxi décollage | 15      | 1 000                     |                            |                     |                              |
| 767300 | DEFAULT    | 3              | 3        | Accélération | Maxi décollage | 15      |                           | 2 029                      | 158                 |                              |
| 767300 | DEFAULT    | 3              | 4        | Accélération | Maxi décollage | 5       |                           | 2 029                      | 178                 |                              |
| 767300 | DEFAULT    | 3              | 5        | Accélération | Maxi montée    | INT     |                           | 1 000                      | 221                 |                              |
| 767300 | DEFAULT    | 3              | 6        | Accélération | Maxi montée    | ZERO    |                           | 1 000                      | 241                 |                              |
| 767300 | DEFAULT    | 3              | 7        | Montée       | Maxi montée    | ZERO    | 3 000                     |                            |                     |                              |
| 767300 | DEFAULT    | 3              | 8        | Accélération | Maxi montée    | ZERO    |                           | 1 000                      | 250                 |                              |
| 767300 | DEFAULT    | 3              | 9        | Montée       | Maxi montée    | ZERO    | 5 500                     |                            |                     |                              |
| 767300 | DEFAULT    | 3              | 10       | Montée       | Maxi montée    | ZERO    | 7 500                     |                            |                     |                              |
| 767300 | DEFAULT    | 3              | 11       | Montée       | Maxi montée    | ZERO    | 10 000                    |                            |                     |                              |
| 767300 | DEFAULT    | 4              | 1        | Décollage    | Maxi décollage | 15      |                           |                            |                     |                              |
| 767300 | DEFAULT    | 4              | 2        | Montée       | Maxi décollage | 15      | 1 000                     |                            |                     |                              |

| ACFTID | Profile_ID | Longueur phase | N° étape | Type étape   | Indice poussée | Flap_ID | Altitude point final (ft) | Vitesse de montée (ft/min) | CAS point final(kt) | Pourcentage_accélération (%) |
|--------|------------|----------------|----------|--------------|----------------|---------|---------------------------|----------------------------|---------------------|------------------------------|
| 767300 | DEFAULT    | 4              | 3        | Accélération | Maxi décollage | 15      |                           | 1 895                      | 163                 |                              |
| 767300 | DEFAULT    | 4              | 4        | Accélération | Maxi décollage | 5       |                           | 1 895                      | 183                 |                              |
| 767300 | DEFAULT    | 4              | 5        | Accélération | Maxi montée    | INT     |                           | 1 000                      | 225                 |                              |
| 767300 | DEFAULT    | 4              | 6        | Accélération | Maxi montée    | ZERO    |                           | 1 000                      | 245                 |                              |
| 767300 | DEFAULT    | 4              | 7        | Montée       | Maxi montée    | ZERO    | 3 000                     |                            |                     |                              |
| 767300 | DEFAULT    | 4              | 8        | Accélération | Maxi montée    | ZERO    |                           | 1 000                      | 250                 |                              |
| 767300 | DEFAULT    | 4              | 9        | Montée       | Maxi montée    | ZERO    | 5 500                     |                            |                     |                              |
| 767300 | DEFAULT    | 4              | 10       | Montée       | Maxi montée    | ZERO    | 7 500                     |                            |                     |                              |
| 767300 | DEFAULT    | 4              | 11       | Montée       | Maxi montée    | ZERO    | 10 000                    |                            |                     |                              |
| 767300 | DEFAULT    | 5              | 1        | Décollage    | Maxi décollage | 15      |                           |                            |                     |                              |
| 767300 | DEFAULT    | 5              | 2        | Montée       | Maxi décollage | 15      | 1 000                     |                            |                     |                              |
| 767300 | DEFAULT    | 5              | 3        | Accélération | Maxi décollage | 15      |                           | 1 744                      | 169                 |                              |
| 767300 | DEFAULT    | 5              | 4        | Accélération | Maxi décollage | 5       |                           | 1 744                      | 189                 |                              |
| 767300 | DEFAULT    | 5              | 5        | Accélération | Maxi montée    | INT     |                           | 1 000                      | 231                 |                              |
| 767300 | DEFAULT    | 5              | 6        | Accélération | Maxi montée    | ZERO    |                           | 1 000                      | 251                 |                              |
| 767300 | DEFAULT    | 5              | 7        | Montée       | Maxi montée    | ZERO    | 3 000                     |                            |                     |                              |
| 767300 | DEFAULT    | 5              | 8        | Montée       | Maxi montée    | ZERO    | 5 500                     |                            |                     |                              |
| 767300 | DEFAULT    | 5              | 9        | Montée       | Maxi montée    | ZERO    | 7 500                     |                            |                     |                              |
| 767300 | DEFAULT    | 5              | 10       | Montée       | Maxi montée    | ZERO    | 10 000                    |                            |                     |                              |
| 767300 | DEFAULT    | 6              | 1        | Décollage    | Maxi décollage | 15      |                           |                            |                     |                              |

| ACFTID | Profile_ID | Longueur phase | N° étape | Type étape   | Indice poussée | Flap_ID | Altitude point final (ft) | Vitesse de montée (ft/min) | CAS point final(kt) | Pourcentage_accélération (%) |
|--------|------------|----------------|----------|--------------|----------------|---------|---------------------------|----------------------------|---------------------|------------------------------|
| 767300 | DEFAULT    | 6              | 2        | Montée       | Maxi décollage | 15      | 1 000                     |                            |                     |                              |
| 767300 | DEFAULT    | 6              | 3        | Accélération | Maxi décollage | 15      |                           | 1 602                      | 175                 |                              |
| 767300 | DEFAULT    | 6              | 4        | Accélération | Maxi décollage | 5       |                           | 1 602                      | 195                 |                              |
| 767300 | DEFAULT    | 6              | 5        | Accélération | Maxi montée    | INT     |                           | 1 000                      | 237                 |                              |
| 767300 | DEFAULT    | 6              | 6        | Accélération | Maxi montée    | ZERO    |                           | 1 000                      | 257                 |                              |
| 767300 | DEFAULT    | 6              | 7        | Montée       | Maxi montée    | ZERO    | 3 000                     |                            |                     |                              |
| 767300 | DEFAULT    | 6              | 8        | Montée       | Maxi montée    | ZERO    | 5 500                     |                            |                     |                              |
| 767300 | DEFAULT    | 6              | 9        | Montée       | Maxi montée    | ZERO    | 7 500                     |                            |                     |                              |
| 767300 | DEFAULT    | 6              | 10       | Montée       | Maxi montée    | ZERO    | 10 000                    |                            |                     |                              |
| 767300 | DEFAULT    | 7              | 1        | Décollage    | Maxi décollage | 15      |                           |                            |                     |                              |
| 767300 | DEFAULT    | 7              | 2        | Montée       | Maxi décollage | 15      | 1 000                     |                            |                     |                              |
| 767300 | DEFAULT    | 7              | 3        | Accélération | Maxi décollage | 15      |                           | 1 542                      | 178                 |                              |
| 767300 | DEFAULT    | 7              | 4        | Accélération | Maxi décollage | 5       |                           | 1 542                      | 198                 |                              |
| 767300 | DEFAULT    | 7              | 5        | Accélération | Maxi montée    | INT     |                           | 1 000                      | 240                 |                              |
| 767300 | DEFAULT    | 7              | 6        | Accélération | Maxi montée    | ZERO    |                           | 1 000                      | 260                 |                              |
| 767300 | DEFAULT    | 7              | 7        | Montée       | Maxi montée    | ZERO    | 3 000                     |                            |                     |                              |
| 767300 | DEFAULT    | 7              | 8        | Montée       | Maxi montée    | ZERO    | 5 500                     |                            |                     |                              |
| 767300 | DEFAULT    | 7              | 9        | Montée       | Maxi montée    | ZERO    | 7 500                     |                            |                     |                              |
| 767300 | DEFAULT    | 7              | 10       | Montée       | Maxi montée    | ZERO    | 10 000                    |                            |                     |                              |
| 767400 | DEFAULT    | 1              | 1        | Décollage    | Maxi décollage | T_20_U  |                           |                            |                     |                              |

| ACFTID | Profile_ID | Longueur phase | N° étape | Type étape   | Indice poussée | Flap_ID | Altitude point final (ft) | Vitesse de montée (ft/min) | CAS point final(kt) | Pourcentage_accélération (%) |
|--------|------------|----------------|----------|--------------|----------------|---------|---------------------------|----------------------------|---------------------|------------------------------|
| 767400 | DEFAULT    | 1              | 2        | Montée       | Maxi décollage | T_20_U  | 1 000                     |                            |                     |                              |
| 767400 | DEFAULT    | 1              | 3        | Accélération | Maxi montée    | T_05_U  |                           | 1 695,3                    | 215,4               |                              |
| 767400 | DEFAULT    | 1              | 4        | Montée       | Maxi montée    | T_00_U  | 3 000                     |                            |                     |                              |
| 767400 | DEFAULT    | 1              | 5        | Accélération | Maxi montée    | T_00_U  |                           | 2 123,3                    | 250                 |                              |
| 767400 | DEFAULT    | 1              | 6        | Montée       | Maxi montée    | T_00_U  | 5 500                     |                            |                     |                              |
| 767400 | DEFAULT    | 1              | 7        | Montée       | Maxi montée    | T_00_U  | 7 500                     |                            |                     |                              |
| 767400 | DEFAULT    | 1              | 8        | Montée       | Maxi montée    | T_00_U  | 10 000                    |                            |                     |                              |
| 767400 | DEFAULT    | 2              | 1        | Décollage    | Maxi décollage | T_20_U  |                           |                            |                     |                              |
| 767400 | DEFAULT    | 2              | 2        | Montée       | Maxi décollage | T_20_U  | 1 000                     |                            |                     |                              |
| 767400 | DEFAULT    | 2              | 3        | Accélération | Maxi montée    | T_05_U  |                           | 1 648,7                    | 217,9               |                              |
| 767400 | DEFAULT    | 2              | 4        | Montée       | Maxi montée    | T_00_U  | 3 000                     |                            |                     |                              |
| 767400 | DEFAULT    | 2              | 5        | Accélération | Maxi montée    | T_00_U  |                           | 2 040,6                    | 250                 |                              |
| 767400 | DEFAULT    | 2              | 6        | Montée       | Maxi montée    | T_00_U  | 5 500                     |                            |                     |                              |
| 767400 | DEFAULT    | 2              | 7        | Montée       | Maxi montée    | T_00_U  | 7 500                     |                            |                     |                              |
| 767400 | DEFAULT    | 2              | 8        | Montée       | Maxi montée    | T_00_U  | 10 000                    |                            |                     |                              |
| 767400 | DEFAULT    | 3              | 1        | Décollage    | Maxi décollage | T_20_U  |                           |                            |                     |                              |
| 767400 | DEFAULT    | 3              | 2        | Montée       | Maxi décollage | T_20_U  | 1 000                     |                            |                     |                              |
| 767400 | DEFAULT    | 3              | 3        | Accélération | Maxi montée    | T_05_U  |                           | 1 584,9                    | 220,5               |                              |
| 767400 | DEFAULT    | 3              | 4        | Montée       | Maxi montée    | T_00_U  | 3 000                     |                            |                     |                              |
| 767400 | DEFAULT    | 3              | 5        | Accélération | Maxi montée    | T_00_U  |                           | 1 953,3                    | 250                 |                              |

| ACFTID | Profile_ID | Longueur phase | N° étape | Type étape   | Indice poussée | Flap_ID | Altitude point final (ft) | Vitesse de montée (ft/min) | CAS point final(kt) | Pourcentage_accélération (%) |
|--------|------------|----------------|----------|--------------|----------------|---------|---------------------------|----------------------------|---------------------|------------------------------|
| 767400 | DEFAULT    | 3              | 6        | Montée       | Maxi montée    | T_00_U  | 5 500                     |                            |                     |                              |
| 767400 | DEFAULT    | 3              | 7        | Montée       | Maxi montée    | T_00_U  | 7 500                     |                            |                     |                              |
| 767400 | DEFAULT    | 3              | 8        | Montée       | Maxi montée    | T_00_U  | 10 000                    |                            |                     |                              |
| 767400 | DEFAULT    | 4              | 1        | Décollage    | Maxi décollage | T_20_U  |                           |                            |                     |                              |
| 767400 | DEFAULT    | 4              | 2        | Montée       | Maxi décollage | T_20_U  | 1 000                     |                            |                     |                              |
| 767400 | DEFAULT    | 4              | 3        | Accélération | Maxi montée    | T_05_U  |                           | 1 482,5                    | 225,1               |                              |
| 767400 | DEFAULT    | 4              | 4        | Montée       | Maxi montée    | T_00_U  | 3 000                     |                            |                     |                              |
| 767400 | DEFAULT    | 4              | 5        | Accélération | Maxi montée    | T_00_U  |                           | 1 821,8                    | 250                 |                              |
| 767400 | DEFAULT    | 4              | 6        | Montée       | Maxi montée    | T_00_U  | 5 500                     |                            |                     |                              |
| 767400 | DEFAULT    | 4              | 7        | Montée       | Maxi montée    | T_00_U  | 7 500                     |                            |                     |                              |
| 767400 | DEFAULT    | 4              | 8        | Montée       | Maxi montée    | T_00_U  | 10 000                    |                            |                     |                              |
| 767400 | DEFAULT    | 5              | 1        | Décollage    | Maxi décollage | T_20_U  |                           |                            |                     |                              |
| 767400 | DEFAULT    | 5              | 2        | Montée       | Maxi décollage | T_20_U  | 1 000                     |                            |                     |                              |
| 767400 | DEFAULT    | 5              | 3        | Accélération | Maxi montée    | T_05_U  |                           | 1 360,1                    | 230,5               |                              |
| 767400 | DEFAULT    | 5              | 4        | Montée       | Maxi montée    | T_00_U  | 3 000                     |                            |                     |                              |
| 767400 | DEFAULT    | 5              | 5        | Accélération | Maxi montée    | T_00_U  |                           | 1 661,5                    | 250                 |                              |
| 767400 | DEFAULT    | 5              | 6        | Montée       | Maxi montée    | T_00_U  | 5 500                     |                            |                     |                              |
| 767400 | DEFAULT    | 5              | 7        | Montée       | Maxi montée    | T_00_U  | 7 500                     |                            |                     |                              |
| 767400 | DEFAULT    | 5              | 8        | Montée       | Maxi montée    | T_00_U  | 10 000                    |                            |                     |                              |
| 767400 | DEFAULT    | 6              | 1        | Décollage    | Maxi décollage | T_20_U  |                           |                            |                     |                              |

| ACFTID | Profile_ID | Longueur phase | N° étape | Type étape   | Indice poussée | Flap_ID | Altitude point final (ft) | Vitesse de montée (ft/min) | CAS point final(kt) | Pourcentage_accélération (%) |
|--------|------------|----------------|----------|--------------|----------------|---------|---------------------------|----------------------------|---------------------|------------------------------|
| 767400 | DEFAULT    | 6              | 2        | Montée       | Maxi décollage | T_20_U  | 1 000                     |                            |                     |                              |
| 767400 | DEFAULT    | 6              | 3        | Accélération | Maxi montée    | T_05_U  |                           | 1 246,4                    | 236                 |                              |
| 767400 | DEFAULT    | 6              | 4        | Montée       | Maxi montée    | T_00_U  | 3 000                     |                            |                     |                              |
| 767400 | DEFAULT    | 6              | 5        | Accélération | Maxi montée    | T_00_U  |                           | 1 508                      | 250                 |                              |
| 767400 | DEFAULT    | 6              | 6        | Montée       | Maxi montée    | T_00_U  | 5 500                     |                            |                     |                              |
| 767400 | DEFAULT    | 6              | 7        | Montée       | Maxi montée    | T_00_U  | 7 500                     |                            |                     |                              |
| 767400 | DEFAULT    | 6              | 8        | Montée       | Maxi montée    | T_00_U  | 10 000                    |                            |                     |                              |
| 767400 | DEFAULT    | 7              | 1        | Décollage    | Maxi décollage | T_20_U  |                           |                            |                     |                              |
| 767400 | DEFAULT    | 7              | 2        | Montée       | Maxi décollage | T_20_U  | 1 000                     |                            |                     |                              |
| 767400 | DEFAULT    | 7              | 3        | Accélération | Maxi montée    | T_05_U  |                           | 1 091,3                    | 244,3               |                              |
| 767400 | DEFAULT    | 7              | 4        | Montée       | Maxi montée    | T_00_U  | 3 000                     |                            |                     |                              |
| 767400 | DEFAULT    | 7              | 5        | Accélération | Maxi montée    | T_00_U  |                           | 1 303,8                    | 250                 |                              |
| 767400 | DEFAULT    | 7              | 6        | Montée       | Maxi montée    | T_00_U  | 5 500                     |                            |                     |                              |
| 767400 | DEFAULT    | 7              | 7        | Montée       | Maxi montée    | T_00_U  | 7 500                     |                            |                     |                              |
| 767400 | DEFAULT    | 7              | 8        | Montée       | Maxi montée    | T_00_U  | 10 000                    |                            |                     |                              |
| 767400 | ICAO_A     | 1              | 1        | Décollage    | Maxi décollage | T_20_U  |                           |                            |                     |                              |
| 767400 | ICAO_A     | 1              | 2        | Montée       | Maxi décollage | T_20_U  | 1 500                     |                            |                     |                              |
| 767400 | ICAO_A     | 1              | 3        | Montée       | Maxi montée    | T_20_U  | 3 000                     |                            |                     |                              |
| 767400 | ICAO_A     | 1              | 4        | Accélération | Maxi montée    | T_05A   |                           | 1 659,9                    | 215,1               |                              |
| 767400 | ICAO_A     | 1              | 5        | Montée       | Maxi montée    | T_00_U  | 4 616                     |                            |                     |                              |

| ACFTID | Profile_ID | Longueur phase | N° étape | Type étape   | Indice poussée | Flap_ID | Altitude point final (ft) | Vitesse de montée (ft/min) | CAS point final(kt) | Pourcentage accélération (%) |
|--------|------------|----------------|----------|--------------|----------------|---------|---------------------------|----------------------------|---------------------|------------------------------|
| 767400 | ICAO_A     | 1              | 6        | Accélération | Maxi montée    | T_00_U  |                           | 2 098,5                    | 250                 |                              |
| 767400 | ICAO_A     | 1              | 7        | Montée       | Maxi montée    | T_00_U  | 5 500                     |                            |                     |                              |
| 767400 | ICAO_A     | 1              | 8        | Montée       | Maxi montée    | T_00_U  | 7 500                     |                            |                     |                              |
| 767400 | ICAO_A     | 1              | 9        | Montée       | Maxi montée    | T_00_U  | 10 000                    |                            |                     |                              |
| 767400 | ICAO_A     | 2              | 1        | Décollage    | Maxi décollage | T_20_U  |                           |                            |                     |                              |
| 767400 | ICAO_A     | 2              | 2        | Montée       | Maxi décollage | T_20_U  | 1 500                     |                            |                     |                              |
| 767400 | ICAO_A     | 2              | 3        | Montée       | Maxi montée    | T_20_U  | 3 000                     |                            |                     |                              |
| 767400 | ICAO_A     | 2              | 4        | Accélération | Maxi montée    | T_05A   |                           | 1 600                      | 217,6               |                              |
| 767400 | ICAO_A     | 2              | 5        | Montée       | Maxi montée    | T_00_U  | 4 536                     |                            |                     |                              |
| 767400 | ICAO_A     | 2              | 6        | Accélération | Maxi montée    | T_00_U  |                           | 2 008                      | 250                 |                              |
| 767400 | ICAO_A     | 2              | 7        | Montée       | Maxi montée    | T_00_U  | 5 500                     |                            |                     |                              |
| 767400 | ICAO_A     | 2              | 8        | Montée       | Maxi montée    | T_00_U  | 7 500                     |                            |                     |                              |
| 767400 | ICAO_A     | 2              | 9        | Montée       | Maxi montée    | T_00_U  | 10 000                    |                            |                     |                              |
| 767400 | ICAO_A     | 3              | 1        | Décollage    | Maxi décollage | T_20_U  |                           |                            |                     |                              |
| 767400 | ICAO_A     | 3              | 2        | Montée       | Maxi décollage | T_20_U  | 1 500                     |                            |                     |                              |
| 767400 | ICAO_A     | 3              | 3        | Montée       | Maxi montée    | T_20_U  | 3 000                     |                            |                     |                              |
| 767400 | ICAO_A     | 3              | 4        | Accélération | Maxi montée    | T_05B   |                           | 1 536,2                    | 220,4               |                              |
| 767400 | ICAO_A     | 3              | 5        | Montée       | Maxi montée    | T_00_U  | 4 454                     |                            |                     |                              |
| 767400 | ICAO_A     | 3              | 6        | Accélération | Maxi montée    | T_00_U  |                           | 1 935,8                    | 250                 |                              |
| 767400 | ICAO_A     | 3              | 7        | Montée       | Maxi montée    | T_00_U  | 5 500                     |                            |                     |                              |

| ACFTID | Profile_ID | Longueur phase | N° étape | Type étape   | Indice poussée | Flap_ID | Altitude point final (ft) | Vitesse de montée (ft/min) | CAS point final(kt) | Pourcentage accélération (%) |
|--------|------------|----------------|----------|--------------|----------------|---------|---------------------------|----------------------------|---------------------|------------------------------|
| 767400 | ICAO_A     | 3              | 8        | Montée       | Maxi montée    | T_00_U  | 7 500                     |                            |                     |                              |
| 767400 | ICAO_A     | 3              | 9        | Montée       | Maxi montée    | T_00_U  | 10 000                    |                            |                     |                              |
| 767400 | ICAO_A     | 4              | 1        | Décollage    | Maxi décollage | T_20_U  |                           |                            |                     |                              |
| 767400 | ICAO_A     | 4              | 2        | Montée       | Maxi décollage | T_20_U  | 1 500                     |                            |                     |                              |
| 767400 | ICAO_A     | 4              | 3        | Montée       | Maxi montée    | T_20_U  | 3 000                     |                            |                     |                              |
| 767400 | ICAO_A     | 4              | 4        | Accélération | Maxi montée    | T_05B   |                           | 1 434,4                    | 224,8               |                              |
| 767400 | ICAO_A     | 4              | 5        | Montée       | Maxi montée    | T_00_U  | 4 323                     |                            |                     |                              |
| 767400 | ICAO_A     | 4              | 6        | Accélération | Maxi montée    | T_00_U  |                           | 1 796,6                    | 250                 |                              |
| 767400 | ICAO_A     | 4              | 7        | Montée       | Maxi montée    | T_00_U  | 5 500                     |                            |                     |                              |
| 767400 | ICAO_A     | 4              | 8        | Montée       | Maxi montée    | T_00_U  | 7 500                     |                            |                     |                              |
| 767400 | ICAO_A     | 4              | 9        | Montée       | Maxi montée    | T_00_U  | 10 000                    |                            |                     |                              |
| 767400 | ICAO_A     | 5              | 1        | Décollage    | Maxi décollage | T_20_U  |                           |                            |                     |                              |
| 767400 | ICAO_A     | 5              | 2        | Montée       | Maxi décollage | T_20_U  | 1 500                     |                            |                     |                              |
| 767400 | ICAO_A     | 5              | 3        | Montée       | Maxi montée    | T_20_U  | 3 000                     |                            |                     |                              |
| 767400 | ICAO_A     | 5              | 4        | Accélération | Maxi montée    | T_05B   |                           | 1 318,8                    | 230,2               |                              |
| 767400 | ICAO_A     | 5              | 5        | Montée       | Maxi montée    | T_00_U  | 4 173                     |                            |                     |                              |
| 767400 | ICAO_A     | 5              | 6        | Accélération | Maxi montée    | T_00_U  |                           | 1 640                      | 250                 |                              |
| 767400 | ICAO_A     | 5              | 7        | Montée       | Maxi montée    | T_00_U  | 5 500                     |                            |                     |                              |
| 767400 | ICAO_A     | 5              | 8        | Montée       | Maxi montée    | T_00_U  | 7 500                     |                            |                     |                              |
| 767400 | ICAO_A     | 5              | 9        | Montée       | Maxi montée    | T_00_U  | 10 000                    |                            |                     |                              |

| ACFTID | Profile_ID | Longueur phase | N° étape | Type étape   | Indice poussée | Flap_ID | Altitude point final (ft) | Vitesse de montée (ft/min) | CAS point final(kt) | Pourcentage accélération (%) |
|--------|------------|----------------|----------|--------------|----------------|---------|---------------------------|----------------------------|---------------------|------------------------------|
| 767400 | ICAO_A     | 6              | 1        | Décollage    | Maxi décollage | T_20_U  |                           |                            |                     |                              |
| 767400 | ICAO_A     | 6              | 2        | Montée       | Maxi décollage | T_20_U  | 1 500                     |                            |                     |                              |
| 767400 | ICAO_A     | 6              | 3        | Montée       | Maxi montée    | T_20_U  | 3 000                     |                            |                     |                              |
| 767400 | ICAO_A     | 6              | 4        | Accélération | Maxi montée    | T_05B   |                           | 1 258,5                    | 250                 |                              |
| 767400 | ICAO_A     | 6              | 5        | Montée       | Maxi montée    | T_00_U  | 5 500                     |                            |                     |                              |
| 767400 | ICAO_A     | 6              | 6        | Montée       | Maxi montée    | T_00_U  | 7 500                     |                            |                     |                              |
| 767400 | ICAO_A     | 6              | 7        | Montée       | Maxi montée    | T_00_U  | 10 000                    |                            |                     |                              |
| 767400 | ICAO_A     | 7              | 1        | Décollage    | Maxi décollage | T_20_U  |                           |                            |                     |                              |
| 767400 | ICAO_A     | 7              | 2        | Montée       | Maxi décollage | T_20_U  | 1 500                     |                            |                     |                              |
| 767400 | ICAO_A     | 7              | 3        | Montée       | Maxi montée    | T_20_U  | 3 000                     |                            |                     |                              |
| 767400 | ICAO_A     | 7              | 4        | Accélération | Maxi montée    | T_05B   |                           | 1 073                      | 250                 |                              |
| 767400 | ICAO_A     | 7              | 5        | Montée       | Maxi montée    | T_00_U  | 5 500                     |                            |                     |                              |
| 767400 | ICAO_A     | 7              | 6        | Montée       | Maxi montée    | T_00_U  | 7 500                     |                            |                     |                              |
| 767400 | ICAO_A     | 7              | 7        | Montée       | Maxi montée    | T_00_U  | 10 000                    |                            |                     |                              |
| 767400 | ICAO_B     | 1              | 1        | Décollage    | Maxi décollage | T_20_U  |                           |                            |                     |                              |
| 767400 | ICAO_B     | 1              | 2        | Montée       | Maxi décollage | T_20_U  | 1 000                     |                            |                     |                              |
| 767400 | ICAO_B     | 1              | 3        | Accélération | Maxi décollage | T_05_U  |                           | 2 330,5                    | 215,3               |                              |
| 767400 | ICAO_B     | 1              | 4        | Montée       | Maxi décollage | T_00_U  | 3 491                     |                            |                     |                              |
| 767400 | ICAO_B     | 1              | 5        | Accélération | Maxi montée    | T_00_U  |                           | 2 147                      | 250                 |                              |
| 767400 | ICAO_B     | 1              | 6        | Montée       | Maxi montée    | T_00_U  | 5 000                     |                            |                     |                              |

| ACFTID | Profile_ID | Longueur phase | N° étape | Type étape   | Indice poussée | Flap_ID | Altitude point final (ft) | Vitesse de montée (ft/min) | CAS point final(kt) | Pourcentage accélération (%) |
|--------|------------|----------------|----------|--------------|----------------|---------|---------------------------|----------------------------|---------------------|------------------------------|
| 767400 | ICAO_B     | 1              | 7        | Montée       | Maxi montée    | T_00_U  | 7 500                     |                            |                     |                              |
| 767400 | ICAO_B     | 1              | 8        | Montée       | Maxi montée    | T_00_U  | 10 000                    |                            |                     |                              |
| 767400 | ICAO_B     | 2              | 1        | Décollage    | Maxi décollage | T_20_U  |                           |                            |                     |                              |
| 767400 | ICAO_B     | 2              | 2        | Montée       | Maxi décollage | T_20_U  | 1 000                     |                            |                     |                              |
| 767400 | ICAO_B     | 2              | 3        | Accélération | Maxi décollage | T_05_U  |                           | 2 267,2                    | 217,9               |                              |
| 767400 | ICAO_B     | 2              | 4        | Montée       | Maxi décollage | T_00_U  | 3 393                     |                            |                     |                              |
| 767400 | ICAO_B     | 2              | 5        | Accélération | Maxi montée    | T_00_U  |                           | 2 080,9                    | 250                 |                              |
| 767400 | ICAO_B     | 2              | 6        | Montée       | Maxi montée    | T_00_U  | 5 000                     |                            |                     |                              |
| 767400 | ICAO_B     | 2              | 7        | Montée       | Maxi montée    | T_00_U  | 7 500                     |                            |                     |                              |
| 767400 | ICAO_B     | 2              | 8        | Montée       | Maxi montée    | T_00_U  | 10 000                    |                            |                     |                              |
| 767400 | ICAO_B     | 3              | 1        | Décollage    | Maxi décollage | T_20_U  |                           |                            |                     |                              |
| 767400 | ICAO_B     | 3              | 2        | Montée       | Maxi décollage | T_20_U  | 1 000                     |                            |                     |                              |
| 767400 | ICAO_B     | 3              | 3        | Accélération | Maxi décollage | T_05_U  |                           | 2 183,7                    | 220,6               |                              |
| 767400 | ICAO_B     | 3              | 4        | Montée       | Maxi décollage | T_00_U  | 3 292                     |                            |                     |                              |
| 767400 | ICAO_B     | 3              | 5        | Accélération | Maxi montée    | T_00_U  |                           | 1 975,7                    | 250                 |                              |
| 767400 | ICAO_B     | 3              | 6        | Montée       | Maxi montée    | T_00_U  | 5 000                     |                            |                     |                              |
| 767400 | ICAO_B     | 3              | 7        | Montée       | Maxi montée    | T_00_U  | 7 500                     |                            |                     |                              |
| 767400 | ICAO_B     | 3              | 8        | Montée       | Maxi montée    | T_00_U  | 10 000                    |                            |                     |                              |
| 767400 | ICAO_B     | 4              | 1        | Décollage    | Maxi décollage | T_20_U  |                           |                            |                     |                              |
| 767400 | ICAO_B     | 4              | 2        | Montée       | Maxi décollage | T_20_U  | 1 000                     |                            |                     |                              |

| ACFTID | Profile_ID | Longueur phase | N° étape | Type étape   | Indice poussée | Flap_ID | Altitude point final (ft) | Vitesse de montée (ft/min) | CAS point final(kt) | Pourcentage_accélération (%) |
|--------|------------|----------------|----------|--------------|----------------|---------|---------------------------|----------------------------|---------------------|------------------------------|
| 767400 | ICAO_B     | 4              | 3        | Accélération | Maxi décollage | T_05_U  |                           | 2 054,4                    | 225                 |                              |
| 767400 | ICAO_B     | 4              | 4        | Montée       | Maxi décollage | T_00_U  | 3 128                     |                            |                     |                              |
| 767400 | ICAO_B     | 4              | 5        | Accélération | Maxi montée    | T_00_U  |                           | 1 850,9                    | 250                 |                              |
| 767400 | ICAO_B     | 4              | 6        | Montée       | Maxi montée    | T_00_U  | 5 000                     |                            |                     |                              |
| 767400 | ICAO_B     | 4              | 7        | Montée       | Maxi montée    | T_00_U  | 7 500                     |                            |                     |                              |
| 767400 | ICAO_B     | 4              | 8        | Montée       | Maxi montée    | T_00_U  | 10 000                    |                            |                     |                              |
| 767400 | ICAO_B     | 5              | 1        | Décollage    | Maxi décollage | T_20_U  |                           |                            |                     |                              |
| 767400 | ICAO_B     | 5              | 2        | Montée       | Maxi décollage | T_20_U  | 1 000                     |                            |                     |                              |
| 767400 | ICAO_B     | 5              | 3        | Accélération | Maxi décollage | T_05_U  |                           | 1 908,2                    | 230,4               |                              |
| 767400 | ICAO_B     | 5              | 4        | Montée       | Maxi décollage | T_00_U  | 2 944                     |                            |                     |                              |
| 767400 | ICAO_B     | 5              | 5        | Montée       | Maxi montée    | T_00_U  | 3 000                     |                            |                     |                              |
| 767400 | ICAO_B     | 5              | 6        | Accélération | Maxi montée    | T_00_U  |                           | 1 653,1                    | 250                 |                              |
| 767400 | ICAO_B     | 5              | 7        | Montée       | Maxi montée    | T_00_U  | 5 000                     |                            |                     |                              |
| 767400 | ICAO_B     | 5              | 8        | Montée       | Maxi montée    | T_00_U  | 7 500                     |                            |                     |                              |
| 767400 | ICAO_B     | 5              | 9        | Montée       | Maxi montée    | T_00_U  | 10 000                    |                            |                     |                              |
| 767400 | ICAO_B     | 6              | 1        | Décollage    | Maxi décollage | T_20_U  |                           |                            |                     |                              |
| 767400 | ICAO_B     | 6              | 2        | Montée       | Maxi décollage | T_20_U  | 1 000                     |                            |                     |                              |
| 767400 | ICAO_B     | 6              | 3        | Accélération | Maxi décollage | T_05_U  |                           | 1 771,1                    | 236                 |                              |
| 767400 | ICAO_B     | 6              | 4        | Montée       | Maxi décollage | T_00_U  | 2 766                     |                            |                     |                              |
| 767400 | ICAO_B     | 6              | 5        | Montée       | Maxi montée    | T_00_U  | 3 000                     |                            |                     |                              |

| ACFTID | Profile_ID | Longueur phase | N° étape | Type étape   | Indice poussée | Flap_ID | Altitude point final (ft) | Vitesse de montée (ft/min) | CAS point final(kt) | Pourcentage accélération (%) |
|--------|------------|----------------|----------|--------------|----------------|---------|---------------------------|----------------------------|---------------------|------------------------------|
| 767400 | ICAO_B     | 6              | 6        | Accélération | Maxi montée    | T_00_U  |                           | 1 521,4                    | 250                 |                              |
| 767400 | ICAO_B     | 6              | 7        | Montée       | Maxi montée    | T_00_U  | 5 000                     |                            |                     |                              |
| 767400 | ICAO_B     | 6              | 8        | Montée       | Maxi montée    | T_00_U  | 7 500                     |                            |                     |                              |
| 767400 | ICAO_B     | 6              | 9        | Montée       | Maxi montée    | T_00_U  | 10 000                    |                            |                     |                              |
| 767400 | ICAO_B     | 7              | 1        | Décollage    | Maxi décollage | T_20_U  |                           |                            |                     |                              |
| 767400 | ICAO_B     | 7              | 2        | Montée       | Maxi décollage | T_20_U  | 1 000                     |                            |                     |                              |
| 767400 | ICAO_B     | 7              | 3        | Accélération | Maxi décollage | T_05_U  |                           | 1 560,3                    | 239,8               |                              |
| 767400 | ICAO_B     | 7              | 4        | Montée       | Maxi décollage | T_00_U  | 2 111                     |                            |                     |                              |
| 767400 | ICAO_B     | 7              | 5        | Accélération | Maxi décollage | T_00_U  |                           | 1 840                      | 244,3               |                              |
| 767400 | ICAO_B     | 7              | 6        | Montée       | Maxi décollage | T_00_U  | 2 523                     |                            |                     |                              |
| 767400 | ICAO_B     | 7              | 7        | Montée       | Maxi montée    | T_00_U  | 3 000                     |                            |                     |                              |
| 767400 | ICAO_B     | 7              | 8        | Accélération | Maxi montée    | T_00_U  |                           | 1 303,8                    | 250                 |                              |
| 767400 | ICAO_B     | 7              | 9        | Montée       | Maxi montée    | T_00_U  | 5 000                     |                            |                     |                              |
| 767400 | ICAO_B     | 7              | 10       | Montée       | Maxi montée    | T_00_U  | 7 500                     |                            |                     |                              |
| 767400 | ICAO_B     | 7              | 11       | Montée       | Maxi montée    | T_00_U  | 10 000                    |                            |                     |                              |
| 767CF6 | DEFAULT    | 1              | 1        | Décollage    | Maxi décollage | 15      |                           |                            |                     |                              |
| 767CF6 | DEFAULT    | 1              | 2        | Montée       | Maxi décollage | 15      | 1 000                     |                            |                     |                              |
| 767CF6 | DEFAULT    | 1              | 3        | Accélération | Maxi décollage | 15      |                           | 1 913                      | 144                 |                              |
| 767CF6 | DEFAULT    | 1              | 4        | Accélération | Maxi décollage | 5       |                           | 1 913                      | 164                 |                              |
| 767CF6 | DEFAULT    | 1              | 5        | Accélération | Maxi montée    | 1       |                           | 1 000                      | 204                 |                              |

| ACFTID | Profile_ID | Longueur phase | N° étape | Type étape   | Indice poussée | Flap_ID | Altitude point final (ft) | Vitesse de montée (ft/min) | CAS point final(kt) | Pourcentage_accélération (%) |
|--------|------------|----------------|----------|--------------|----------------|---------|---------------------------|----------------------------|---------------------|------------------------------|
| 767CF6 | DEFAULT    | 1              | 6        | Accélération | Maxi montée    | ZERO    |                           | 1 000                      | 224                 |                              |
| 767CF6 | DEFAULT    | 1              | 7        | Montée       | Maxi montée    | ZERO    | 3 000                     |                            |                     |                              |
| 767CF6 | DEFAULT    | 1              | 8        | Accélération | Maxi montée    | ZERO    |                           | 1 000                      | 250                 |                              |
| 767CF6 | DEFAULT    | 1              | 9        | Montée       | Maxi montée    | ZERO    | 5 500                     |                            |                     |                              |
| 767CF6 | DEFAULT    | 1              | 10       | Montée       | Maxi montée    | ZERO    | 7 500                     |                            |                     |                              |
| 767CF6 | DEFAULT    | 1              | 11       | Montée       | Maxi montée    | ZERO    | 10 000                    |                            |                     |                              |
| 767CF6 | DEFAULT    | 2              | 1        | Décollage    | Maxi décollage | 15      |                           |                            |                     |                              |
| 767CF6 | DEFAULT    | 2              | 2        | Montée       | Maxi décollage | 15      | 1 000                     |                            |                     |                              |
| 767CF6 | DEFAULT    | 2              | 3        | Accélération | Maxi décollage | 15      |                           | 1 840                      | 147                 |                              |
| 767CF6 | DEFAULT    | 2              | 4        | Accélération | Maxi décollage | 5       |                           | 1 840                      | 167                 |                              |
| 767CF6 | DEFAULT    | 2              | 5        | Accélération | Maxi montée    | 1       |                           | 1 000                      | 206                 |                              |
| 767CF6 | DEFAULT    | 2              | 6        | Accélération | Maxi montée    | ZERO    |                           | 1 000                      | 226                 |                              |
| 767CF6 | DEFAULT    | 2              | 7        | Montée       | Maxi montée    | ZERO    | 3 000                     |                            |                     |                              |
| 767CF6 | DEFAULT    | 2              | 8        | Accélération | Maxi montée    | ZERO    |                           | 1 000                      | 250                 |                              |
| 767CF6 | DEFAULT    | 2              | 9        | Montée       | Maxi montée    | ZERO    | 5 500                     |                            |                     |                              |
| 767CF6 | DEFAULT    | 2              | 10       | Montée       | Maxi montée    | ZERO    | 7 500                     |                            |                     |                              |
| 767CF6 | DEFAULT    | 2              | 11       | Montée       | Maxi montée    | ZERO    | 10 000                    |                            |                     |                              |
| 767CF6 | DEFAULT    | 3              | 1        | Décollage    | Maxi décollage | 15      |                           |                            |                     |                              |
| 767CF6 | DEFAULT    | 3              | 2        | Montée       | Maxi décollage | 15      | 1 000                     |                            |                     |                              |
| 767CF6 | DEFAULT    | 3              | 3        | Accélération | Maxi décollage | 15      |                           | 1 769                      | 150                 |                              |

| ACFTID | Profile_ID | Longueur phase | N° étape | Type étape   | Indice poussée | Flap_ID | Altitude point final (ft) | Vitesse de montée (ft/min) | CAS point final(kt) | Pourcentage_accélération (%) |
|--------|------------|----------------|----------|--------------|----------------|---------|---------------------------|----------------------------|---------------------|------------------------------|
| 767CF6 | DEFAULT    | 3              | 4        | Accélération | Maxi décollage | 5       |                           | 1 769                      | 170                 |                              |
| 767CF6 | DEFAULT    | 3              | 5        | Accélération | Maxi montée    | 1       |                           | 1 000                      | 209                 |                              |
| 767CF6 | DEFAULT    | 3              | 6        | Accélération | Maxi montée    | ZERO    |                           | 1 000                      | 229                 |                              |
| 767CF6 | DEFAULT    | 3              | 7        | Montée       | Maxi montée    | ZERO    | 3 000                     |                            |                     |                              |
| 767CF6 | DEFAULT    | 3              | 8        | Accélération | Maxi montée    | ZERO    |                           | 1 000                      | 250                 |                              |
| 767CF6 | DEFAULT    | 3              | 9        | Montée       | Maxi montée    | ZERO    | 5 500                     |                            |                     |                              |
| 767CF6 | DEFAULT    | 3              | 10       | Montée       | Maxi montée    | ZERO    | 7 500                     |                            |                     |                              |
| 767CF6 | DEFAULT    | 3              | 11       | Montée       | Maxi montée    | ZERO    | 10 000                    |                            |                     |                              |
| 767CF6 | DEFAULT    | 4              | 1        | Décollage    | Maxi décollage | 15      |                           |                            |                     |                              |
| 767CF6 | DEFAULT    | 4              | 2        | Montée       | Maxi décollage | 15      | 1 000                     |                            |                     |                              |
| 767CF6 | DEFAULT    | 4              | 3        | Accélération | Maxi décollage | 15      |                           | 1 656                      | 155                 |                              |
| 767CF6 | DEFAULT    | 4              | 4        | Accélération | Maxi décollage | 5       |                           | 1 656                      | 175                 |                              |
| 767CF6 | DEFAULT    | 4              | 5        | Accélération | Maxi montée    | 1       |                           | 1 000                      | 214                 |                              |
| 767CF6 | DEFAULT    | 4              | 6        | Accélération | Maxi montée    | ZERO    |                           | 1 000                      | 234                 |                              |
| 767CF6 | DEFAULT    | 4              | 7        | Montée       | Maxi montée    | ZERO    | 3 000                     |                            |                     |                              |
| 767CF6 | DEFAULT    | 4              | 8        | Accélération | Maxi montée    | ZERO    |                           | 1 000                      | 250                 |                              |
| 767CF6 | DEFAULT    | 4              | 9        | Montée       | Maxi montée    | ZERO    | 5 500                     |                            |                     |                              |
| 767CF6 | DEFAULT    | 4              | 10       | Montée       | Maxi montée    | ZERO    | 7 500                     |                            |                     |                              |
| 767CF6 | DEFAULT    | 4              | 11       | Montée       | Maxi montée    | ZERO    | 10 000                    |                            |                     |                              |
| 767CF6 | DEFAULT    | 5              | 1        | Décollage    | Maxi décollage | 15      |                           |                            |                     |                              |

| ACFTID | Profile_ID | Longueur phase | N° étape | Type étape   | Indice poussée | Flap_ID | Altitude point final (ft) | Vitesse de montée (ft/min) | CAS point final(kt) | Pourcentage_accélération (%) |
|--------|------------|----------------|----------|--------------|----------------|---------|---------------------------|----------------------------|---------------------|------------------------------|
| 767CF6 | DEFAULT    | 5              | 2        | Montée       | Maxi décollage | 15      | 1 000                     |                            |                     |                              |
| 767CF6 | DEFAULT    | 5              | 3        | Accélération | Maxi décollage | 15      |                           | 1 529                      | 160                 |                              |
| 767CF6 | DEFAULT    | 5              | 4        | Accélération | Maxi décollage | 5       |                           | 1 529                      | 180                 |                              |
| 767CF6 | DEFAULT    | 5              | 5        | Accélération | Maxi montée    | 1       |                           | 1 000                      | 219                 |                              |
| 767CF6 | DEFAULT    | 5              | 6        | Accélération | Maxi montée    | ZERO    |                           | 1 000                      | 239                 |                              |
| 767CF6 | DEFAULT    | 5              | 7        | Montée       | Maxi montée    | ZERO    | 3 000                     |                            |                     |                              |
| 767CF6 | DEFAULT    | 5              | 8        | Accélération | Maxi montée    | ZERO    |                           | 1 000                      | 250                 |                              |
| 767CF6 | DEFAULT    | 5              | 9        | Montée       | Maxi montée    | ZERO    | 5 500                     |                            |                     |                              |
| 767CF6 | DEFAULT    | 5              | 10       | Montée       | Maxi montée    | ZERO    | 7 500                     |                            |                     |                              |
| 767CF6 | DEFAULT    | 5              | 11       | Montée       | Maxi montée    | ZERO    | 10 000                    |                            |                     |                              |
| 767CF6 | DEFAULT    | 6              | 1        | Décollage    | Maxi décollage | 15      |                           |                            |                     |                              |
| 767CF6 | DEFAULT    | 6              | 2        | Montée       | Maxi décollage | 15      | 1 000                     |                            |                     |                              |
| 767CF6 | DEFAULT    | 6              | 3        | Accélération | Maxi décollage | 15      |                           | 1 407                      | 166                 |                              |
| 767CF6 | DEFAULT    | 6              | 4        | Accélération | Maxi décollage | 5       |                           | 1 407                      | 186                 |                              |
| 767CF6 | DEFAULT    | 6              | 5        | Accélération | Maxi montée    | 1       |                           | 1 000                      | 225                 |                              |
| 767CF6 | DEFAULT    | 6              | 6        | Accélération | Maxi montée    | ZERO    |                           | 1 000                      | 245                 |                              |
| 767CF6 | DEFAULT    | 6              | 7        | Montée       | Maxi montée    | ZERO    | 3 000                     |                            |                     |                              |
| 767CF6 | DEFAULT    | 6              | 8        | Accélération | Maxi montée    | ZERO    |                           | 1 000                      | 250                 |                              |
| 767CF6 | DEFAULT    | 6              | 9        | Montée       | Maxi montée    | ZERO    | 5 500                     |                            |                     |                              |
| 767CF6 | DEFAULT    | 6              | 10       | Montée       | Maxi montée    | ZERO    | 7 500                     |                            |                     |                              |

| ACFTID | Profile_ID | Longueur phase | N° étape | Type étape   | Indice poussée | Flap_ID | Altitude point final (ft) | Vitesse de montée (ft/min) | CAS point final(kt) | Pourcentage_accélération (%) |
|--------|------------|----------------|----------|--------------|----------------|---------|---------------------------|----------------------------|---------------------|------------------------------|
| 767CF6 | DEFAULT    | 6              | 11       | Montée       | Maxi montée    | ZERO    | 10 000                    |                            |                     |                              |
| 767CF6 | DEFAULT    | 7              | 1        | Décollage    | Maxi décollage | 15      |                           |                            |                     |                              |
| 767CF6 | DEFAULT    | 7              | 2        | Montée       | Maxi décollage | 15      | 1 000                     |                            |                     |                              |
| 767CF6 | DEFAULT    | 7              | 3        | Accélération | Maxi décollage | 15      |                           | 1 345                      | 169                 |                              |
| 767CF6 | DEFAULT    | 7              | 4        | Accélération | Maxi décollage | 5       |                           | 1 345                      | 189                 |                              |
| 767CF6 | DEFAULT    | 7              | 5        | Accélération | Maxi montée    | 1       |                           | 1 000                      | 228                 |                              |
| 767CF6 | DEFAULT    | 7              | 6        | Accélération | Maxi montée    | ZERO    |                           | 1 000                      | 248                 |                              |
| 767CF6 | DEFAULT    | 7              | 7        | Montée       | Maxi montée    | ZERO    | 3 000                     |                            |                     |                              |
| 767CF6 | DEFAULT    | 7              | 8        | Accélération | Maxi montée    | ZERO    |                           | 1 000                      | 250                 |                              |
| 767CF6 | DEFAULT    | 7              | 9        | Montée       | Maxi montée    | ZERO    | 5 500                     |                            |                     |                              |
| 767CF6 | DEFAULT    | 7              | 10       | Montée       | Maxi montée    | ZERO    | 7 500                     |                            |                     |                              |
| 767CF6 | DEFAULT    | 7              | 11       | Montée       | Maxi montée    | ZERO    | 10 000                    |                            |                     |                              |
| 767JT9 | DEFAULT    | 1              | 1        | Décollage    | Maxi décollage | 15      |                           |                            |                     |                              |
| 767JT9 | DEFAULT    | 1              | 2        | Montée       | Maxi décollage | 15      | 1 000                     |                            |                     |                              |
| 767JT9 | DEFAULT    | 1              | 3        | Accélération | Maxi décollage | 15      |                           | 1 879                      | 145                 |                              |
| 767JT9 | DEFAULT    | 1              | 4        | Accélération | Maxi décollage | 5       |                           | 1 879                      | 165                 |                              |
| 767JT9 | DEFAULT    | 1              | 5        | Accélération | Maxi montée    | 1       |                           | 1 000                      | 204                 |                              |
| 767JT9 | DEFAULT    | 1              | 6        | Accélération | Maxi montée    | ZERO    |                           | 1 000                      | 224                 |                              |
| 767JT9 | DEFAULT    | 1              | 7        | Montée       | Maxi montée    | ZERO    | 3 000                     |                            |                     |                              |
| 767JT9 | DEFAULT    | 1              | 8        | Accélération | Maxi montée    | ZERO    |                           | 1 000                      | 250                 |                              |

| ACFTID | Profile_ID | Longueur phase | N° étape | Type étape   | Indice poussée | Flap_ID | Altitude point final (ft) | Vitesse de montée (ft/min) | CAS point final(kt) | Pourcentage_accélération (%) |
|--------|------------|----------------|----------|--------------|----------------|---------|---------------------------|----------------------------|---------------------|------------------------------|
| 767JT9 | DEFAULT    | 1              | 9        | Montée       | Maxi montée    | ZERO    | 5 500                     |                            |                     |                              |
| 767JT9 | DEFAULT    | 1              | 10       | Montée       | Maxi montée    | ZERO    | 7 500                     |                            |                     |                              |
| 767JT9 | DEFAULT    | 1              | 11       | Montée       | Maxi montée    | ZERO    | 10 000                    |                            |                     |                              |
| 767JT9 | DEFAULT    | 2              | 1        | Décollage    | Maxi décollage | 15      |                           |                            |                     |                              |
| 767JT9 | DEFAULT    | 2              | 2        | Montée       | Maxi décollage | 15      | 1 000                     |                            |                     |                              |
| 767JT9 | DEFAULT    | 2              | 3        | Accélération | Maxi décollage | 15      |                           | 1 807                      | 148                 |                              |
| 767JT9 | DEFAULT    | 2              | 4        | Accélération | Maxi décollage | 5       |                           | 1 807                      | 168                 |                              |
| 767JT9 | DEFAULT    | 2              | 5        | Accélération | Maxi montée    | 1       |                           | 1 000                      | 207                 |                              |
| 767JT9 | DEFAULT    | 2              | 6        | Accélération | Maxi montée    | ZERO    |                           | 1 000                      | 227                 |                              |
| 767JT9 | DEFAULT    | 2              | 7        | Montée       | Maxi montée    | ZERO    | 3 000                     |                            |                     |                              |
| 767JT9 | DEFAULT    | 2              | 8        | Accélération | Maxi montée    | ZERO    |                           | 1 000                      | 250                 |                              |
| 767JT9 | DEFAULT    | 2              | 9        | Montée       | Maxi montée    | ZERO    | 5 500                     |                            |                     |                              |
| 767JT9 | DEFAULT    | 2              | 10       | Montée       | Maxi montée    | ZERO    | 7 500                     |                            |                     |                              |
| 767JT9 | DEFAULT    | 2              | 11       | Montée       | Maxi montée    | ZERO    | 10 000                    |                            |                     |                              |
| 767JT9 | DEFAULT    | 3              | 1        | Décollage    | Maxi décollage | 15      |                           |                            |                     |                              |
| 767JT9 | DEFAULT    | 3              | 2        | Montée       | Maxi décollage | 15      | 1 000                     |                            |                     |                              |
| 767JT9 | DEFAULT    | 3              | 3        | Accélération | Maxi décollage | 15      |                           | 1 738                      | 150                 |                              |
| 767JT9 | DEFAULT    | 3              | 4        | Accélération | Maxi décollage | 5       |                           | 1 738                      | 170                 |                              |
| 767JT9 | DEFAULT    | 3              | 5        | Accélération | Maxi montée    | 1       |                           | 1 000                      | 210                 |                              |
| 767JT9 | DEFAULT    | 3              | 6        | Accélération | Maxi montée    | ZERO    |                           | 1 000                      | 230                 |                              |

| ACFTID | Profile_ID | Longueur phase | N° étape | Type étape   | Indice poussée | Flap_ID | Altitude point final (ft) | Vitesse de montée (ft/min) | CAS point final(kt) | Pourcentage_accélération (%) |
|--------|------------|----------------|----------|--------------|----------------|---------|---------------------------|----------------------------|---------------------|------------------------------|
| 767JT9 | DEFAULT    | 3              | 7        | Montée       | Maxi montée    | ZERO    | 3 000                     |                            |                     |                              |
| 767JT9 | DEFAULT    | 3              | 8        | Accélération | Maxi montée    | ZERO    |                           | 1 000                      | 250                 |                              |
| 767JT9 | DEFAULT    | 3              | 9        | Montée       | Maxi montée    | ZERO    | 5 500                     |                            |                     |                              |
| 767JT9 | DEFAULT    | 3              | 10       | Montée       | Maxi montée    | ZERO    | 7 500                     |                            |                     |                              |
| 767JT9 | DEFAULT    | 3              | 11       | Montée       | Maxi montée    | ZERO    | 10 000                    |                            |                     |                              |
| 767JT9 | DEFAULT    | 4              | 1        | Décollage    | Maxi décollage | 15      |                           |                            |                     |                              |
| 767JT9 | DEFAULT    | 4              | 2        | Montée       | Maxi décollage | 15      | 1 000                     |                            |                     |                              |
| 767JT9 | DEFAULT    | 4              | 3        | Accélération | Maxi décollage | 15      |                           | 1 626                      | 155                 |                              |
| 767JT9 | DEFAULT    | 4              | 4        | Accélération | Maxi décollage | 5       |                           | 1 626                      | 175                 |                              |
| 767JT9 | DEFAULT    | 4              | 5        | Accélération | Maxi montée    | 1       |                           | 1 000                      | 214                 |                              |
| 767JT9 | DEFAULT    | 4              | 6        | Accélération | Maxi montée    | ZERO    |                           | 1 000                      | 234                 |                              |
| 767JT9 | DEFAULT    | 4              | 7        | Montée       | Maxi montée    | ZERO    | 3 000                     |                            |                     |                              |
| 767JT9 | DEFAULT    | 4              | 8        | Accélération | Maxi montée    | ZERO    |                           | 1 000                      | 250                 |                              |
| 767JT9 | DEFAULT    | 4              | 9        | Montée       | Maxi montée    | ZERO    | 5 500                     |                            |                     |                              |
| 767JT9 | DEFAULT    | 4              | 10       | Montée       | Maxi montée    | ZERO    | 7 500                     |                            |                     |                              |
| 767JT9 | DEFAULT    | 4              | 11       | Montée       | Maxi montée    | ZERO    | 10 000                    |                            |                     |                              |
| 767JT9 | DEFAULT    | 5              | 1        | Décollage    | Maxi décollage | 15      |                           |                            |                     |                              |
| 767JT9 | DEFAULT    | 5              | 2        | Montée       | Maxi décollage | 15      | 1 000                     |                            |                     |                              |
| 767JT9 | DEFAULT    | 5              | 3        | Accélération | Maxi décollage | 15      |                           | 1 499                      | 161                 |                              |
| 767JT9 | DEFAULT    | 5              | 4        | Accélération | Maxi décollage | 5       |                           | 1 499                      | 181                 |                              |

| ACFTID | Profile_ID | Longueur phase | N° étape | Type étape   | Indice poussée | Flap_ID | Altitude point final (ft) | Vitesse de montée (ft/min) | CAS point final(kt) | Pourcentage_accélération (%) |
|--------|------------|----------------|----------|--------------|----------------|---------|---------------------------|----------------------------|---------------------|------------------------------|
| 767JT9 | DEFAULT    | 5              | 5        | Accélération | Maxi montée    | 1       |                           | 1 000                      | 220                 |                              |
| 767JT9 | DEFAULT    | 5              | 6        | Accélération | Maxi montée    | ZERO    |                           | 1 000                      | 240                 |                              |
| 767JT9 | DEFAULT    | 5              | 7        | Montée       | Maxi montée    | ZERO    | 3 000                     |                            |                     |                              |
| 767JT9 | DEFAULT    | 5              | 8        | Accélération | Maxi montée    | ZERO    |                           | 1 000                      | 250                 |                              |
| 767JT9 | DEFAULT    | 5              | 9        | Montée       | Maxi montée    | ZERO    | 5 500                     |                            |                     |                              |
| 767JT9 | DEFAULT    | 5              | 10       | Montée       | Maxi montée    | ZERO    | 7 500                     |                            |                     |                              |
| 767JT9 | DEFAULT    | 5              | 11       | Montée       | Maxi montée    | ZERO    | 10 000                    |                            |                     |                              |
| 767JT9 | DEFAULT    | 6              | 1        | Décollage    | Maxi décollage | 15      |                           |                            |                     |                              |
| 767JT9 | DEFAULT    | 6              | 2        | Montée       | Maxi décollage | 15      | 1 000                     |                            |                     |                              |
| 767JT9 | DEFAULT    | 6              | 3        | Accélération | Maxi décollage | 15      |                           | 1 379                      | 167                 |                              |
| 767JT9 | DEFAULT    | 6              | 4        | Accélération | Maxi décollage | 5       |                           | 1 379                      | 187                 |                              |
| 767JT9 | DEFAULT    | 6              | 5        | Accélération | Maxi montée    | 1       |                           | 1 000                      | 226                 |                              |
| 767JT9 | DEFAULT    | 6              | 6        | Accélération | Maxi montée    | ZERO    |                           | 1 000                      | 246                 |                              |
| 767JT9 | DEFAULT    | 6              | 7        | Montée       | Maxi montée    | ZERO    | 3 000                     |                            |                     |                              |
| 767JT9 | DEFAULT    | 6              | 8        | Accélération | Maxi montée    | ZERO    |                           | 1 000                      | 250                 |                              |
| 767JT9 | DEFAULT    | 6              | 9        | Montée       | Maxi montée    | ZERO    | 5 500                     |                            |                     |                              |
| 767JT9 | DEFAULT    | 6              | 10       | Montée       | Maxi montée    | ZERO    | 7 500                     |                            |                     |                              |
| 767JT9 | DEFAULT    | 6              | 11       | Montée       | Maxi montée    | ZERO    | 10 000                    |                            |                     |                              |
| 767JT9 | DEFAULT    | 7              | 1        | Décollage    | Maxi décollage | 15      |                           |                            |                     |                              |
| 767JT9 | DEFAULT    | 7              | 2        | Montée       | Maxi décollage | 15      | 1 000                     |                            |                     |                              |

| ACFTID | Profile_ID | Longueur phase | N° étape | Type étape   | Indice poussée | Flap_ID | Altitude point final (ft) | Vitesse de montée (ft/min) | CAS point final(kt) | Pourcentage_accélération (%) |
|--------|------------|----------------|----------|--------------|----------------|---------|---------------------------|----------------------------|---------------------|------------------------------|
| 767JT9 | DEFAULT    | 7              | 3        | Accélération | Maxi décollage | 15      |                           | 1 328                      | 170                 |                              |
| 767JT9 | DEFAULT    | 7              | 4        | Accélération | Maxi décollage | 5       |                           | 1 328                      | 190                 |                              |
| 767JT9 | DEFAULT    | 7              | 5        | Accélération | Maxi montée    | 1       |                           | 1 000                      | 228                 |                              |
| 767JT9 | DEFAULT    | 7              | 6        | Accélération | Maxi montée    | ZERO    |                           | 1 000                      | 248                 |                              |
| 767JT9 | DEFAULT    | 7              | 7        | Montée       | Maxi montée    | ZERO    | 3 000                     |                            |                     |                              |
| 767JT9 | DEFAULT    | 7              | 8        | Accélération | Maxi montée    | ZERO    |                           | 1 000                      | 250                 |                              |
| 767JT9 | DEFAULT    | 7              | 9        | Montée       | Maxi montée    | ZERO    | 5 500                     |                            |                     |                              |
| 767JT9 | DEFAULT    | 7              | 10       | Montée       | Maxi montée    | ZERO    | 7 500                     |                            |                     |                              |
| 767JT9 | DEFAULT    | 7              | 11       | Montée       | Maxi montée    | ZERO    | 10 000                    |                            |                     |                              |
| 777200 | DEFAULT    | 1              | 1        | Décollage    | Maxi décollage | T_05    |                           |                            |                     |                              |
| 777200 | DEFAULT    | 1              | 2        | Montée       | Maxi décollage | T_05C   | 1 089                     |                            |                     |                              |
| 777200 | DEFAULT    | 1              | 3        | Accélération | Maxi montée    | T_01    |                           | 1 583,4                    | 205,9               |                              |
| 777200 | DEFAULT    | 1              | 4        | Accélération | Maxi montée    | T_00    |                           | 1 744,7                    | 213,7               |                              |
| 777200 | DEFAULT    | 1              | 5        | Montée       | Maxi montée    | T_00    | 3 000                     |                            |                     |                              |
| 777200 | DEFAULT    | 1              | 6        | Accélération | Maxi montée    | T_00    |                           | 1 856,6                    | 250                 |                              |
| 777200 | DEFAULT    | 1              | 7        | Montée       | Maxi montée    | T_00    | 5 500                     |                            |                     |                              |
| 777200 | DEFAULT    | 1              | 8        | Montée       | Maxi montée    | T_00    | 7 500                     |                            |                     |                              |
| 777200 | DEFAULT    | 1              | 9        | Montée       | Maxi montée    | T_00    | 10 000                    |                            |                     |                              |
| 777200 | DEFAULT    | 2              | 1        | Décollage    | Maxi décollage | T_05    |                           |                            |                     |                              |
| 777200 | DEFAULT    | 2              | 2        | Montée       | Maxi décollage | T_05C   | 1 057                     |                            |                     |                              |

| ACFTID | Profile_ID | Longueur phase | N° étape | Type étape   | Indice poussée | Flap_ID | Altitude point final (ft) | Vitesse de montée (ft/min) | CAS point final(kt) | Pourcentage accélération (%) |
|--------|------------|----------------|----------|--------------|----------------|---------|---------------------------|----------------------------|---------------------|------------------------------|
| 777200 | DEFAULT    | 2              | 3        | Accélération | Maxi montée    | T_01    |                           | 1 526,8                    | 206,6               |                              |
| 777200 | DEFAULT    | 2              | 4        | Accélération | Maxi montée    | T_00    |                           | 1 681                      | 215,6               |                              |
| 777200 | DEFAULT    | 2              | 5        | Montée       | Maxi montée    | T_00    | 3 000                     |                            |                     |                              |
| 777200 | DEFAULT    | 2              | 6        | Accélération | Maxi montée    | T_00    |                           | 1 791,2                    | 250                 |                              |
| 777200 | DEFAULT    | 2              | 7        | Montée       | Maxi montée    | T_00    | 5 500                     |                            |                     |                              |
| 777200 | DEFAULT    | 2              | 8        | Montée       | Maxi montée    | T_00    | 7 500                     |                            |                     |                              |
| 777200 | DEFAULT    | 2              | 9        | Montée       | Maxi montée    | T_00    | 10 000                    |                            |                     |                              |
| 777200 | DEFAULT    | 3              | 1        | Décollage    | Maxi décollage | T_05    |                           |                            |                     |                              |
| 777200 | DEFAULT    | 3              | 2        | Montée       | Maxi décollage | T_05C   | 1 022                     |                            |                     |                              |
| 777200 | DEFAULT    | 3              | 3        | Accélération | Maxi montée    | T_01    |                           | 1 468,5                    | 207,3               |                              |
| 777200 | DEFAULT    | 3              | 4        | Accélération | Maxi montée    | T_00    |                           | 1 618,3                    | 217,7               |                              |
| 777200 | DEFAULT    | 3              | 5        | Montée       | Maxi montée    | T_00    | 3 000                     |                            |                     |                              |
| 777200 | DEFAULT    | 3              | 6        | Accélération | Maxi montée    | T_00    |                           | 1 725,7                    | 250                 |                              |
| 777200 | DEFAULT    | 3              | 7        | Montée       | Maxi montée    | T_00    | 5 500                     |                            |                     |                              |
| 777200 | DEFAULT    | 3              | 8        | Montée       | Maxi montée    | T_00    | 7 500                     |                            |                     |                              |
| 777200 | DEFAULT    | 3              | 9        | Montée       | Maxi montée    | T_00    | 10 000                    |                            |                     |                              |
| 777200 | DEFAULT    | 4              | 1        | Décollage    | Maxi décollage | T_05    |                           |                            |                     |                              |
| 777200 | DEFAULT    | 4              | 2        | Montée       | Maxi décollage | T_05C   | 1 000                     |                            |                     |                              |
| 777200 | DEFAULT    | 4              | 3        | Accélération | Maxi montée    | T_01    |                           | 1 363,3                    | 208,9               |                              |
| 777200 | DEFAULT    | 4              | 4        | Accélération | Maxi montée    | T_00    |                           | 1 510,5                    | 221,7               |                              |

| ACFTID | Profile_ID | Longueur phase | N° étape | Type étape   | Indice poussée | Flap_ID | Altitude point final (ft) | Vitesse de montée (ft/min) | CAS point final(kt) | Pourcentage_accélération (%) |
|--------|------------|----------------|----------|--------------|----------------|---------|---------------------------|----------------------------|---------------------|------------------------------|
| 777200 | DEFAULT    | 4              | 5        | Montée       | Maxi montée    | T_00    | 3 000                     |                            |                     |                              |
| 777200 | DEFAULT    | 4              | 6        | Accélération | Maxi montée    | T_00    |                           | 1 601,3                    | 250                 |                              |
| 777200 | DEFAULT    | 4              | 7        | Montée       | Maxi montée    | T_00    | 5 500                     |                            |                     |                              |
| 777200 | DEFAULT    | 4              | 8        | Montée       | Maxi montée    | T_00    | 7 500                     |                            |                     |                              |
| 777200 | DEFAULT    | 4              | 9        | Montée       | Maxi montée    | T_00    | 10 000                    |                            |                     |                              |
| 777200 | DEFAULT    | 5              | 1        | Décollage    | Maxi décollage | T_05    |                           |                            |                     |                              |
| 777200 | DEFAULT    | 5              | 2        | Montée       | Maxi décollage | T_05C   | 1 000                     |                            |                     |                              |
| 777200 | DEFAULT    | 5              | 3        | Accélération | Maxi montée    | T_01    |                           | 1 247,5                    | 211                 |                              |
| 777200 | DEFAULT    | 5              | 4        | Accélération | Maxi montée    | T_00    |                           | 1 389,1                    | 225,5               |                              |
| 777200 | DEFAULT    | 5              | 5        | Montée       | Maxi montée    | T_00    | 3 000                     |                            |                     |                              |
| 777200 | DEFAULT    | 5              | 6        | Accélération | Maxi montée    | T_00    |                           | 1 467,1                    | 250                 |                              |
| 777200 | DEFAULT    | 5              | 7        | Montée       | Maxi montée    | T_00    | 5 500                     |                            |                     |                              |
| 777200 | DEFAULT    | 5              | 8        | Montée       | Maxi montée    | T_00    | 7 500                     |                            |                     |                              |
| 777200 | DEFAULT    | 5              | 9        | Montée       | Maxi montée    | T_00    | 10 000                    |                            |                     |                              |
| 777200 | DEFAULT    | 6              | 1        | Décollage    | Maxi décollage | T_05    |                           |                            |                     |                              |
| 777200 | DEFAULT    | 6              | 2        | Montée       | Maxi décollage | T_05C   | 1 000                     |                            |                     |                              |
| 777200 | DEFAULT    | 6              | 3        | Accélération | Maxi montée    | T_01    |                           | 1 136,7                    | 213,4               |                              |
| 777200 | DEFAULT    | 6              | 4        | Accélération | Maxi montée    | T_00    |                           | 1 275                      | 231,5               |                              |
| 777200 | DEFAULT    | 6              | 5        | Montée       | Maxi montée    | T_00    | 3 000                     |                            |                     |                              |
| 777200 | DEFAULT    | 6              | 6        | Accélération | Maxi montée    | T_00    |                           | 1 337,6                    | 250                 |                              |

| ACFTID | Profile_ID | Longueur phase | N° étape | Type étape   | Indice poussée | Flap_ID | Altitude point final (ft) | Vitesse de montée (ft/min) | CAS point final(kt) | Pourcentage accélération (%) |
|--------|------------|----------------|----------|--------------|----------------|---------|---------------------------|----------------------------|---------------------|------------------------------|
| 777200 | DEFAULT    | 6              | 7        | Montée       | Maxi montée    | T_00    | 5 500                     |                            |                     |                              |
| 777200 | DEFAULT    | 6              | 8        | Montée       | Maxi montée    | T_00    | 7 500                     |                            |                     |                              |
| 777200 | DEFAULT    | 6              | 9        | Montée       | Maxi montée    | T_00    | 10 000                    |                            |                     |                              |
| 777200 | DEFAULT    | 7              | 1        | Décollage    | Maxi décollage | T_05    |                           |                            |                     |                              |
| 777200 | DEFAULT    | 7              | 2        | Montée       | Maxi décollage | T_05C   | 1 000                     |                            |                     |                              |
| 777200 | DEFAULT    | 7              | 3        | Accélération | Maxi montée    | T_01    |                           | 1 032,4                    | 216,2               |                              |
| 777200 | DEFAULT    | 7              | 4        | Accélération | Maxi montée    | T_00    |                           | 1 147                      | 228,5               |                              |
| 777200 | DEFAULT    | 7              | 5        | Accélération | Maxi montée    | T_00    |                           | 1 189,4                    | 236,6               |                              |
| 777200 | DEFAULT    | 7              | 6        | Montée       | Maxi montée    | T_00    | 3 000                     |                            |                     |                              |
| 777200 | DEFAULT    | 7              | 7        | Accélération | Maxi montée    | T_00    |                           | 1 215,6                    | 250                 |                              |
| 777200 | DEFAULT    | 7              | 8        | Montée       | Maxi montée    | T_00    | 5 500                     |                            |                     |                              |
| 777200 | DEFAULT    | 7              | 9        | Montée       | Maxi montée    | T_00    | 7 500                     |                            |                     |                              |
| 777200 | DEFAULT    | 7              | 10       | Montée       | Maxi montée    | T_00    | 10 000                    |                            |                     |                              |
| 777200 | DEFAULT    | 8              | 1        | Décollage    | Maxi décollage | T_05    |                           |                            |                     |                              |
| 777200 | DEFAULT    | 8              | 2        | Montée       | Maxi décollage | T_05C   | 1 000                     |                            |                     |                              |
| 777200 | DEFAULT    | 8              | 3        | Accélération | Maxi montée    | T_01    |                           | 931,9                      | 219,4               |                              |
| 777200 | DEFAULT    | 8              | 4        | Accélération | Maxi montée    | T_00H   |                           | 1 033,1                    | 232,5               |                              |
| 777200 | DEFAULT    | 8              | 5        | Accélération | Maxi montée    | T_00H   |                           | 1 088,7                    | 242                 |                              |
| 777200 | DEFAULT    | 8              | 6        | Montée       | Maxi montée    | T_00H   | 3 000                     |                            |                     |                              |
| 777200 | DEFAULT    | 8              | 7        | Accélération | Maxi montée    | T_00H   |                           | 1 101,5                    | 250                 |                              |

| ACFTID | Profile_ID | Longueur phase | N° étape | Type étape   | Indice poussée | Flap_ID | Altitude point final (ft) | Vitesse de montée (ft/min) | CAS point final(kt) | Pourcentage accélération (%) |
|--------|------------|----------------|----------|--------------|----------------|---------|---------------------------|----------------------------|---------------------|------------------------------|
| 777200 | DEFAULT    | 8              | 8        | Montée       | Maxi montée    | T_00H   | 5 500                     |                            |                     |                              |
| 777200 | DEFAULT    | 8              | 9        | Montée       | Maxi montée    | T_00H   | 7 500                     |                            |                     |                              |
| 777200 | DEFAULT    | 8              | 10       | Montée       | Maxi montée    | T_00H   | 10 000                    |                            |                     |                              |
| 777200 | DEFAULT    | 9              | 1        | Décollage    | Maxi décollage | T_05    |                           |                            |                     |                              |
| 777200 | DEFAULT    | 9              | 2        | Montée       | Maxi décollage | T_05C   | 1 000                     |                            |                     |                              |
| 777200 | DEFAULT    | 9              | 3        | Accélération | Maxi montée    | T_01    |                           | 874,9                      | 221,7               |                              |
| 777200 | DEFAULT    | 9              | 4        | Accélération | Maxi montée    | T_00H   |                           | 969,4                      | 235,4               |                              |
| 777200 | DEFAULT    | 9              | 5        | Accélération | Maxi montée    | T_00H   |                           | 1 020,2                    | 245,6               |                              |
| 777200 | DEFAULT    | 9              | 6        | Montée       | Maxi montée    | T_00H   | 3 000                     |                            |                     |                              |
| 777200 | DEFAULT    | 9              | 7        | Accélération | Maxi montée    | T_00H   |                           | 1 031,1                    | 250                 |                              |
| 777200 | DEFAULT    | 9              | 8        | Montée       | Maxi montée    | T_00H   | 5 500                     |                            |                     |                              |
| 777200 | DEFAULT    | 9              | 9        | Montée       | Maxi montée    | T_00H   | 7 500                     |                            |                     |                              |
| 777200 | DEFAULT    | 9              | 10       | Montée       | Maxi montée    | T_00H   | 10 000                    |                            |                     |                              |
| 777200 | ICAO_A     | 1              | 1        | Décollage    | Maxi décollage | T_05    |                           |                            |                     |                              |
| 777200 | ICAO_A     | 1              | 2        | Montée       | Maxi décollage | T_05C   | 1 500                     |                            |                     |                              |
| 777200 | ICAO_A     | 1              | 3        | Montée       | Maxi montée    | T_01    | 3 000                     |                            |                     |                              |
| 777200 | ICAO_A     | 1              | 4        | Accélération | Maxi montée    | T_05A   |                           | 1 504                      | 203,3               |                              |
| 777200 | ICAO_A     | 1              | 5        | Accélération | Maxi montée    | T_01    |                           | 1 700                      | 213,4               |                              |
| 777200 | ICAO_A     | 1              | 6        | Accélération | Maxi montée    | T_00    |                           | 1 856,1                    | 250                 |                              |
| 777200 | ICAO_A     | 1              | 7        | Montée       | Maxi montée    | T_00    | 5 500                     |                            |                     |                              |

| ACFTID | Profile_ID | Longueur phase | N° étape | Type étape   | Indice poussée | Flap_ID | Altitude point final (ft) | Vitesse de montée (ft/min) | CAS point final(kt) | Pourcentage accélération (%) |
|--------|------------|----------------|----------|--------------|----------------|---------|---------------------------|----------------------------|---------------------|------------------------------|
| 777200 | ICAO_A     | 1              | 8        | Montée       | Maxi montée    | T_00    | 7 500                     |                            |                     |                              |
| 777200 | ICAO_A     | 1              | 9        | Montée       | Maxi montée    | T_00    | 10 000                    |                            |                     |                              |
| 777200 | ICAO_A     | 2              | 1        | Décollage    | Maxi décollage | T_05    |                           |                            |                     |                              |
| 777200 | ICAO_A     | 2              | 2        | Montée       | Maxi décollage | T_05C   | 1 500                     |                            |                     |                              |
| 777200 | ICAO_A     | 2              | 3        | Montée       | Maxi montée    | T_01    | 3 000                     |                            |                     |                              |
| 777200 | ICAO_A     | 2              | 4        | Accélération | Maxi montée    | T_05A   |                           | 1 451,9                    | 204                 |                              |
| 777200 | ICAO_A     | 2              | 5        | Accélération | Maxi montée    | T_01    |                           | 1 633,4                    | 215,4               |                              |
| 777200 | ICAO_A     | 2              | 6        | Accélération | Maxi montée    | T_00    |                           | 1 789,9                    | 250                 |                              |
| 777200 | ICAO_A     | 2              | 7        | Montée       | Maxi montée    | T_00    | 5 500                     |                            |                     |                              |
| 777200 | ICAO_A     | 2              | 8        | Montée       | Maxi montée    | T_00    | 7 500                     |                            |                     |                              |
| 777200 | ICAO_A     | 2              | 9        | Montée       | Maxi montée    | T_00    | 10 000                    |                            |                     |                              |
| 777200 | ICAO_A     | 3              | 1        | Décollage    | Maxi décollage | T_05    |                           |                            |                     |                              |
| 777200 | ICAO_A     | 3              | 2        | Montée       | Maxi décollage | T_05C   | 1 500                     |                            |                     |                              |
| 777200 | ICAO_A     | 3              | 3        | Montée       | Maxi montée    | T_01    | 3 000                     |                            |                     |                              |
| 777200 | ICAO_A     | 3              | 4        | Accélération | Maxi montée    | T_05A   |                           | 1 395,1                    | 204,9               |                              |
| 777200 | ICAO_A     | 3              | 5        | Accélération | Maxi montée    | T_01    |                           | 1 575                      | 217,3               |                              |
| 777200 | ICAO_A     | 3              | 6        | Accélération | Maxi montée    | T_00    |                           | 1 719,4                    | 250                 |                              |
| 777200 | ICAO_A     | 3              | 7        | Montée       | Maxi montée    | T_00    | 5 500                     |                            |                     |                              |
| 777200 | ICAO_A     | 3              | 8        | Montée       | Maxi montée    | T_00    | 7 500                     |                            |                     |                              |
| 777200 | ICAO_A     | 3              | 9        | Montée       | Maxi montée    | T_00    | 10 000                    |                            |                     |                              |

| ACFTID | Profile_ID | Longueur phase | N° étape | Type étape   | Indice poussée | Flap_ID | Altitude point final (ft) | Vitesse de montée (ft/min) | CAS point final(kt) | Pourcentage_accélération (%) |
|--------|------------|----------------|----------|--------------|----------------|---------|---------------------------|----------------------------|---------------------|------------------------------|
| 777200 | ICAO_A     | 4              | 1        | Décollage    | Maxi décollage | T_05    |                           |                            |                     |                              |
| 777200 | ICAO_A     | 4              | 2        | Montée       | Maxi décollage | T_05C   | 1 500                     |                            |                     |                              |
| 777200 | ICAO_A     | 4              | 3        | Montée       | Maxi montée    | T_01    | 3 000                     |                            |                     |                              |
| 777200 | ICAO_A     | 4              | 4        | Accélération | Maxi montée    | T_05A   |                           | 1 295,2                    | 206,6               |                              |
| 777200 | ICAO_A     | 4              | 5        | Accélération | Maxi montée    | T_01    |                           | 1 477,7                    | 221,3               |                              |
| 777200 | ICAO_A     | 4              | 6        | Accélération | Maxi montée    | T_00    |                           | 1 592,4                    | 250                 |                              |
| 777200 | ICAO_A     | 4              | 7        | Montée       | Maxi montée    | T_00    | 5 500                     |                            |                     |                              |
| 777200 | ICAO_A     | 4              | 8        | Montée       | Maxi montée    | T_00    | 7 500                     |                            |                     |                              |
| 777200 | ICAO_A     | 4              | 9        | Montée       | Maxi montée    | T_00    | 10 000                    |                            |                     |                              |
| 777200 | ICAO_A     | 5              | 1        | Décollage    | Maxi décollage | T_05    |                           |                            |                     |                              |
| 777200 | ICAO_A     | 5              | 2        | Montée       | Maxi décollage | T_05C   | 1 500                     |                            |                     |                              |
| 777200 | ICAO_A     | 5              | 3        | Montée       | Maxi montée    | T_01    | 3 000                     |                            |                     |                              |
| 777200 | ICAO_A     | 5              | 4        | Accélération | Maxi montée    | T_05A   |                           | 1 182,6                    | 208,8               |                              |
| 777200 | ICAO_A     | 5              | 5        | Accélération | Maxi montée    | T_01    |                           | 1 346,3                    | 222,1               |                              |
| 777200 | ICAO_A     | 5              | 6        | Accélération | Maxi montée    | T_00    |                           | 1 451,1                    | 250                 |                              |
| 777200 | ICAO_A     | 5              | 7        | Montée       | Maxi montée    | T_00    | 5 500                     |                            |                     |                              |
| 777200 | ICAO_A     | 5              | 8        | Montée       | Maxi montée    | T_00    | 7 500                     |                            |                     |                              |
| 777200 | ICAO_A     | 5              | 9        | Montée       | Maxi montée    | T_00    | 10 000                    |                            |                     |                              |
| 777200 | ICAO_A     | 6              | 1        | Décollage    | Maxi décollage | T_05    |                           |                            |                     |                              |
| 777200 | ICAO_A     | 6              | 2        | Montée       | Maxi décollage | T_05C   | 1 500                     |                            |                     |                              |

| ACFTID | Profile_ID | Longueur phase | N° étape | Type étape   | Indice poussée | Flap_ID | Altitude point final (ft) | Vitesse de montée (ft/min) | CAS point final(kt) | Pourcentage_accélération (%) |
|--------|------------|----------------|----------|--------------|----------------|---------|---------------------------|----------------------------|---------------------|------------------------------|
| 777200 | ICAO_A     | 6              | 3        | Montée       | Maxi montée    | T_01    | 3 000                     |                            |                     |                              |
| 777200 | ICAO_A     | 6              | 4        | Accélération | Maxi montée    | T_05    |                           | 1 075,6                    | 211,4               |                              |
| 777200 | ICAO_A     | 6              | 5        | Accélération | Maxi montée    | T_01    |                           | 1 217,4                    | 223,4               |                              |
| 777200 | ICAO_A     | 6              | 6        | Accélération | Maxi montée    | T_00    |                           | 1 316,4                    | 250                 |                              |
| 777200 | ICAO_A     | 6              | 7        | Montée       | Maxi montée    | T_00    | 5 500                     |                            |                     |                              |
| 777200 | ICAO_A     | 6              | 8        | Montée       | Maxi montée    | T_00    | 7 500                     |                            |                     |                              |
| 777200 | ICAO_A     | 6              | 9        | Montée       | Maxi montée    | T_00    | 10 000                    |                            |                     |                              |
| 777200 | ICAO_A     | 7              | 1        | Décollage    | Maxi décollage | T_05    |                           |                            |                     |                              |
| 777200 | ICAO_A     | 7              | 2        | Montée       | Maxi décollage | T_05C   | 1 500                     |                            |                     |                              |
| 777200 | ICAO_A     | 7              | 3        | Montée       | Maxi montée    | T_01    | 3 000                     |                            |                     |                              |
| 777200 | ICAO_A     | 7              | 4        | Accélération | Maxi montée    | T_05    |                           | 973,3                      | 214,3               |                              |
| 777200 | ICAO_A     | 7              | 5        | Accélération | Maxi montée    | T_01    |                           | 1 104,3                    | 227,2               |                              |
| 777200 | ICAO_A     | 7              | 6        | Accélération | Maxi montée    | T_00    |                           | 1 188,2                    | 250                 |                              |
| 777200 | ICAO_A     | 7              | 7        | Montée       | Maxi montée    | T_00    | 5 500                     |                            |                     |                              |
| 777200 | ICAO_A     | 7              | 8        | Montée       | Maxi montée    | T_00    | 7 500                     |                            |                     |                              |
| 777200 | ICAO_A     | 7              | 9        | Montée       | Maxi montée    | T_00    | 10 000                    |                            |                     |                              |
| 777200 | ICAO_A     | 8              | 1        | Décollage    | Maxi décollage | T_05    |                           |                            |                     |                              |
| 777200 | ICAO_A     | 8              | 2        | Montée       | Maxi décollage | T_05CH  | 1 500                     |                            |                     |                              |
| 777200 | ICAO_A     | 8              | 3        | Montée       | Maxi montée    | T_01    | 3 000                     |                            |                     |                              |
| 777200 | ICAO_A     | 8              | 4        | Accélération | Maxi montée    | T_05    |                           | 877,9                      | 217,6               |                              |

| ACFTID | Profile_ID | Longueur phase | N° étape | Type étape   | Indice poussée | Flap_ID | Altitude point final (ft) | Vitesse de montée (ft/min) | CAS point final(kt) | Pourcentage accélération (%) |
|--------|------------|----------------|----------|--------------|----------------|---------|---------------------------|----------------------------|---------------------|------------------------------|
| 777200 | ICAO_A     | 8              | 5        | Accélération | Maxi montée    | T_01    |                           | 997,4                      | 231,4               |                              |
| 777200 | ICAO_A     | 8              | 6        | Accélération | Maxi montée    | T_00H   |                           | 1 071,6                    | 250                 |                              |
| 777200 | ICAO_A     | 8              | 7        | Montée       | Maxi montée    | T_00H   | 5 500                     |                            |                     |                              |
| 777200 | ICAO_A     | 8              | 8        | Montée       | Maxi montée    | T_00H   | 7 500                     |                            |                     |                              |
| 777200 | ICAO_A     | 8              | 9        | Montée       | Maxi montée    | T_00H   | 10 000                    |                            |                     |                              |
| 777200 | ICAO_A     | 9              | 1        | Décollage    | Maxi décollage | T_05    |                           |                            |                     |                              |
| 777200 | ICAO_A     | 9              | 2        | Montée       | Maxi décollage | T_05CH  | 1 500                     |                            |                     |                              |
| 777200 | ICAO_A     | 9              | 3        | Montée       | Maxi montée    | T_05    | 3 000                     |                            |                     |                              |
| 777200 | ICAO_A     | 9              | 4        | Accélération | Maxi montée    | T_05    |                           | 820,9                      | 220                 |                              |
| 777200 | ICAO_A     | 9              | 5        | Accélération | Maxi montée    | T_01    |                           | 930,3                      | 234,3               |                              |
| 777200 | ICAO_A     | 9              | 6        | Accélération | Maxi montée    | T_00H   |                           | 1 000                      | 250                 |                              |
| 777200 | ICAO_A     | 9              | 7        | Montée       | Maxi montée    | T_00H   | 5 500                     |                            |                     |                              |
| 777200 | ICAO_A     | 9              | 8        | Montée       | Maxi montée    | T_00    | 7 500                     |                            |                     |                              |
| 777200 | ICAO_A     | 9              | 9        | Montée       | Maxi montée    | T_00    | 10 000                    |                            |                     |                              |
| 777200 | ICAO_B     | 1              | 1        | Décollage    | Maxi décollage | T_05    |                           |                            |                     |                              |
| 777200 | ICAO_B     | 1              | 2        | Montée       | Maxi décollage | T_05C   | 1 089                     |                            |                     |                              |
| 777200 | ICAO_B     | 1              | 3        | Accélération | Maxi décollage | T_05A   |                           | 2 183,5                    | 193,8               |                              |
| 777200 | ICAO_B     | 1              | 4        | Accélération | Maxi décollage | T_01    |                           | 1 783,1                    | 213,6               |                              |
| 777200 | ICAO_B     | 1              | 5        | Montée       | Maxi montée    | T_00    | 3 000                     |                            |                     |                              |
| 777200 | ICAO_B     | 1              | 6        | Accélération | Maxi montée    | T_00    |                           | 1 857,4                    | 250                 |                              |

| ACFTID | Profile_ID | Longueur phase | N° étape | Type étape   | Indice poussée | Flap_ID | Altitude point final (ft) | Vitesse de montée (ft/min) | CAS point final(kt) | Pourcentage accélération (%) |
|--------|------------|----------------|----------|--------------|----------------|---------|---------------------------|----------------------------|---------------------|------------------------------|
| 777200 | ICAO_B     | 1              | 7        | Montée       | Maxi montée    | T_00    | 5 500                     |                            |                     |                              |
| 777200 | ICAO_B     | 1              | 8        | Montée       | Maxi montée    | T_00    | 7 500                     |                            |                     |                              |
| 777200 | ICAO_B     | 1              | 9        | Montée       | Maxi montée    | T_00    | 10 000                    |                            |                     |                              |
| 777200 | ICAO_B     | 2              | 1        | Décollage    | Maxi décollage | T_05    |                           |                            |                     |                              |
| 777200 | ICAO_B     | 2              | 2        | Montée       | Maxi décollage | T_05C   | 1 057                     |                            |                     |                              |
| 777200 | ICAO_B     | 2              | 3        | Accélération | Maxi décollage | T_05A   |                           | 2 121,3                    | 195,8               |                              |
| 777200 | ICAO_B     | 2              | 4        | Accélération | Maxi décollage | T_01    |                           | 1 722,3                    | 215,5               |                              |
| 777200 | ICAO_B     | 2              | 5        | Montée       | Maxi montée    | T_00    | 3 000                     |                            |                     |                              |
| 777200 | ICAO_B     | 2              | 6        | Accélération | Maxi montée    | T_00    |                           | 1 789,8                    | 250                 |                              |
| 777200 | ICAO_B     | 2              | 7        | Montée       | Maxi montée    | T_00    | 5 500                     |                            |                     |                              |
| 777200 | ICAO_B     | 2              | 8        | Montée       | Maxi montée    | T_00    | 7 500                     |                            |                     |                              |
| 777200 | ICAO_B     | 2              | 9        | Montée       | Maxi montée    | T_00    | 10 000                    |                            |                     |                              |
| 777200 | ICAO_B     | 3              | 1        | Décollage    | Maxi décollage | T_05    |                           |                            |                     |                              |
| 777200 | ICAO_B     | 3              | 2        | Montée       | Maxi décollage | T_05C   | 1 022                     |                            |                     |                              |
| 777200 | ICAO_B     | 3              | 3        | Accélération | Maxi décollage | T_05A   |                           | 2 059,4                    | 197,9               |                              |
| 777200 | ICAO_B     | 3              | 4        | Accélération | Maxi décollage | T_01    |                           | 1 664,2                    | 217,6               |                              |
| 777200 | ICAO_B     | 3              | 5        | Montée       | Maxi montée    | T_00    | 3 000                     |                            |                     |                              |
| 777200 | ICAO_B     | 3              | 6        | Accélération | Maxi montée    | T_00    |                           | 1 723                      | 250                 |                              |
| 777200 | ICAO_B     | 3              | 7        | Montée       | Maxi montée    | T_00    | 5 500                     |                            |                     |                              |
| 777200 | ICAO_B     | 3              | 8        | Montée       | Maxi montée    | T_00    | 7 500                     |                            |                     |                              |

| ACFTID | Profile_ID | Longueur phase | N° étape | Type étape   | Indice poussée | Flap_ID | Altitude point final (ft) | Vitesse de montée (ft/min) | CAS point final(kt) | Pourcentage_accélération (%) |
|--------|------------|----------------|----------|--------------|----------------|---------|---------------------------|----------------------------|---------------------|------------------------------|
| 777200 | ICAO_B     | 3              | 9        | Montée       | Maxi montée    | T_00    | 10 000                    |                            |                     |                              |
| 777200 | ICAO_B     | 4              | 1        | Décollage    | Maxi décollage | T_05    |                           |                            |                     |                              |
| 777200 | ICAO_B     | 4              | 2        | Montée       | Maxi décollage | T_05C   | 1 000                     |                            |                     |                              |
| 777200 | ICAO_B     | 4              | 3        | Accélération | Maxi décollage | T_05A   |                           | 1 940,1                    | 201,8               |                              |
| 777200 | ICAO_B     | 4              | 4        | Accélération | Maxi décollage | T_01    |                           | 1 555,7                    | 221,6               |                              |
| 777200 | ICAO_B     | 4              | 5        | Montée       | Maxi montée    | T_00    | 3 000                     |                            |                     |                              |
| 777200 | ICAO_B     | 4              | 6        | Accélération | Maxi montée    | T_00    |                           | 1 602,1                    | 250                 |                              |
| 777200 | ICAO_B     | 4              | 7        | Montée       | Maxi montée    | T_00    | 5 500                     |                            |                     |                              |
| 777200 | ICAO_B     | 4              | 8        | Montée       | Maxi montée    | T_00    | 7 500                     |                            |                     |                              |
| 777200 | ICAO_B     | 4              | 9        | Montée       | Maxi montée    | T_00    | 10 000                    |                            |                     |                              |
| 777200 | ICAO_B     | 5              | 1        | Décollage    | Maxi décollage | T_05    |                           |                            |                     |                              |
| 777200 | ICAO_B     | 5              | 2        | Montée       | Maxi décollage | T_05C   | 1 000                     |                            |                     |                              |
| 777200 | ICAO_B     | 5              | 3        | Accélération | Maxi décollage | T_05A   |                           | 1 809,2                    | 206,7               |                              |
| 777200 | ICAO_B     | 5              | 4        | Accélération | Maxi décollage | T_01    |                           | 1 431,6                    | 226,5               |                              |
| 777200 | ICAO_B     | 5              | 5        | Montée       | Maxi montée    | T_00    | 3 000                     |                            |                     |                              |
| 777200 | ICAO_B     | 5              | 6        | Accélération | Maxi montée    | T_00    |                           | 1 466,4                    | 250                 |                              |
| 777200 | ICAO_B     | 5              | 7        | Montée       | Maxi montée    | T_00    | 5 500                     |                            |                     |                              |
| 777200 | ICAO_B     | 5              | 8        | Montée       | Maxi montée    | T_00    | 7 500                     |                            |                     |                              |
| 777200 | ICAO_B     | 5              | 9        | Montée       | Maxi montée    | T_00    | 10 000                    |                            |                     |                              |
| 777200 | ICAO_B     | 6              | 1        | Décollage    | Maxi décollage | T_05    |                           |                            |                     |                              |

| ACFTID | Profile_ID | Longueur phase | N° étape | Type étape   | Indice poussée | Flap_ID | Altitude point final (ft) | Vitesse de montée (ft/min) | CAS point final(kt) | Pourcentage_accélération (%) |
|--------|------------|----------------|----------|--------------|----------------|---------|---------------------------|----------------------------|---------------------|------------------------------|
| 777200 | ICAO_B     | 6              | 2        | Montée       | Maxi décollage | T_05C   | 1 000                     |                            |                     |                              |
| 777200 | ICAO_B     | 6              | 3        | Accélération | Maxi décollage | T_05A   |                           | 1 683,9                    | 211,6               |                              |
| 777200 | ICAO_B     | 6              | 4        | Accélération | Maxi décollage | T_01    |                           | 1 315,7                    | 231,4               |                              |
| 777200 | ICAO_B     | 6              | 5        | Montée       | Maxi montée    | T_00    | 3 000                     |                            |                     |                              |
| 777200 | ICAO_B     | 6              | 6        | Accélération | Maxi montée    | T_00    |                           | 1 337,6                    | 250                 |                              |
| 777200 | ICAO_B     | 6              | 7        | Montée       | Maxi montée    | T_00    | 5 500                     |                            |                     |                              |
| 777200 | ICAO_B     | 6              | 8        | Montée       | Maxi montée    | T_00    | 7 500                     |                            |                     |                              |
| 777200 | ICAO_B     | 6              | 9        | Montée       | Maxi montée    | T_00    | 10 000                    |                            |                     |                              |
| 777200 | ICAO_B     | 7              | 1        | Décollage    | Maxi décollage | T_05    |                           |                            |                     |                              |
| 777200 | ICAO_B     | 7              | 2        | Montée       | Maxi décollage | T_05C   | 1 000                     |                            |                     |                              |
| 777200 | ICAO_B     | 7              | 3        | Accélération | Maxi décollage | T_05A   |                           | 1 562,2                    | 216,6               |                              |
| 777200 | ICAO_B     | 7              | 4        | Accélération | Maxi décollage | T_01    |                           | 1 197,4                    | 236,5               |                              |
| 777200 | ICAO_B     | 7              | 5        | Montée       | Maxi montée    | T_00    | 3 000                     |                            |                     |                              |
| 777200 | ICAO_B     | 7              | 6        | Accélération | Maxi montée    | T_00    |                           | 1 214,8                    | 250                 |                              |
| 777200 | ICAO_B     | 7              | 7        | Montée       | Maxi montée    | T_00    | 5 500                     |                            |                     |                              |
| 777200 | ICAO_B     | 7              | 8        | Montée       | Maxi montée    | T_00    | 7 500                     |                            |                     |                              |
| 777200 | ICAO_B     | 7              | 9        | Montée       | Maxi montée    | T_00    | 10 000                    |                            |                     |                              |
| 777200 | ICAO_B     | 8              | 1        | Décollage    | Maxi décollage | T_05    |                           |                            |                     |                              |
| 777200 | ICAO_B     | 8              | 2        | Montée       | Maxi décollage | T_05C   | 1 000                     |                            |                     |                              |
| 777200 | ICAO_B     | 8              | 3        | Accélération | Maxi décollage | T_05A   |                           | 1 450,3                    | 222,2               |                              |

| ACFTID | Profile_ID | Longueur phase | N° étape | Type étape   | Indice poussée | Flap_ID | Altitude point final (ft) | Vitesse de montée (ft/min) | CAS point final(kt) | Pourcentage_accélération (%) |
|--------|------------|----------------|----------|--------------|----------------|---------|---------------------------|----------------------------|---------------------|------------------------------|
| 777200 | ICAO_B     | 8              | 4        | Accélération | Maxi décollage | T_01    |                           | 1 090,6                    | 241,9               |                              |
| 777200 | ICAO_B     | 8              | 5        | Montée       | Maxi montée    | T_00    | 3 000                     |                            |                     |                              |
| 777200 | ICAO_B     | 8              | 6        | Accélération | Maxi montée    | T_00    |                           | 1 101,5                    | 250                 |                              |
| 777200 | ICAO_B     | 8              | 7        | Montée       | Maxi montée    | T_00    | 5 500                     |                            |                     |                              |
| 777200 | ICAO_B     | 8              | 8        | Montée       | Maxi montée    | T_00    | 7 500                     |                            |                     |                              |
| 777200 | ICAO_B     | 8              | 9        | Montée       | Maxi montée    | T_00    | 10 000                    |                            |                     |                              |
| 777200 | ICAO_B     | 9              | 1        | Décollage    | Maxi décollage | T_05    |                           |                            |                     |                              |
| 777200 | ICAO_B     | 9              | 2        | Montée       | Maxi décollage | T_05C   | 1 000                     |                            |                     |                              |
| 777200 | ICAO_B     | 9              | 3        | Accélération | Maxi décollage | T_05A   |                           | 1 381,9                    | 225,8               |                              |
| 777200 | ICAO_B     | 9              | 4        | Accélération | Maxi décollage | T_01    |                           | 1 025,7                    | 245,6               |                              |
| 777200 | ICAO_B     | 9              | 5        | Montée       | Maxi montée    | T_00    | 3 000                     |                            |                     |                              |
| 777200 | ICAO_B     | 9              | 6        | Accélération | Maxi montée    | T_00    |                           | 1 031,1                    | 250                 |                              |
| 777200 | ICAO_B     | 9              | 7        | Montée       | Maxi montée    | T_00    | 5 500                     |                            |                     |                              |
| 777200 | ICAO_B     | 9              | 8        | Montée       | Maxi montée    | T_00    | 7 500                     |                            |                     |                              |
| 777200 | ICAO_B     | 9              | 9        | Montée       | Maxi montée    | T_00    | 10 000                    |                            |                     |                              |
| 777300 | DEFAULT    | 1              | 1        | Décollage    | Maxi décollage | T_20_U  |                           |                            |                     |                              |
| 777300 | DEFAULT    | 1              | 2        | Montée       | Maxi décollage | T_20_U  | 1 068                     |                            |                     |                              |
| 777300 | DEFAULT    | 1              | 3        | Accélération | Maxi montée    | T_05_U  |                           | 1 471,6                    | 215,4               |                              |
| 777300 | DEFAULT    | 1              | 4        | Montée       | Maxi montée    | T_00_U  | 3 000                     |                            |                     |                              |
| 777300 | DEFAULT    | 1              | 5        | Accélération | Maxi montée    | T_00_U  |                           | 1 779,1                    | 250                 |                              |

| ACFTID | Profile_ID | Longueur phase | N° étape | Type étape   | Indice poussée | Flap_ID | Altitude point final (ft) | Vitesse de montée (ft/min) | CAS point final(kt) | Pourcentage accélération (%) |
|--------|------------|----------------|----------|--------------|----------------|---------|---------------------------|----------------------------|---------------------|------------------------------|
| 777300 | DEFAULT    | 1              | 6        | Montée       | Maxi montée    | T_00_U  | 5 000                     |                            |                     |                              |
| 777300 | DEFAULT    | 1              | 7        | Montée       | Maxi montée    | T_00_U  | 7 500                     |                            |                     |                              |
| 777300 | DEFAULT    | 1              | 8        | Montée       | Maxi montée    | T_00_U  | 10 000                    |                            |                     |                              |
| 777300 | DEFAULT    | 2              | 1        | Décollage    | Maxi décollage | T_20_U  |                           |                            |                     |                              |
| 777300 | DEFAULT    | 2              | 2        | Montée       | Maxi décollage | T_20_U  | 1 064                     |                            |                     |                              |
| 777300 | DEFAULT    | 2              | 3        | Accélération | Maxi montée    | T_05_U  |                           | 1 418                      | 217,8               |                              |
| 777300 | DEFAULT    | 2              | 4        | Montée       | Maxi montée    | T_00_U  | 3 000                     |                            |                     |                              |
| 777300 | DEFAULT    | 2              | 5        | Accélération | Maxi montée    | T_00_U  |                           | 1 713,9                    | 250                 |                              |
| 777300 | DEFAULT    | 2              | 6        | Montée       | Maxi montée    | T_00_U  | 5 000                     |                            |                     |                              |
| 777300 | DEFAULT    | 2              | 7        | Montée       | Maxi montée    | T_00_U  | 7 500                     |                            |                     |                              |
| 777300 | DEFAULT    | 2              | 8        | Montée       | Maxi montée    | T_00_U  | 10 000                    |                            |                     |                              |
| 777300 | DEFAULT    | 3              | 1        | Décollage    | Maxi décollage | T_20_U  |                           |                            |                     |                              |
| 777300 | DEFAULT    | 3              | 2        | Montée       | Maxi décollage | T_20_U  | 1 062                     |                            |                     |                              |
| 777300 | DEFAULT    | 3              | 3        | Accélération | Maxi montée    | T_05_U  |                           | 1 368                      | 220,3               |                              |
| 777300 | DEFAULT    | 3              | 4        | Montée       | Maxi montée    | T_00_U  | 3 000                     |                            |                     |                              |
| 777300 | DEFAULT    | 3              | 5        | Accélération | Maxi montée    | T_00_U  |                           | 1 638,9                    | 250                 |                              |
| 777300 | DEFAULT    | 3              | 6        | Montée       | Maxi montée    | T_00_U  | 5 000                     |                            |                     |                              |
| 777300 | DEFAULT    | 3              | 7        | Montée       | Maxi montée    | T_00_U  | 7 500                     |                            |                     |                              |
| 777300 | DEFAULT    | 3              | 8        | Montée       | Maxi montée    | T_00_U  | 10 000                    |                            |                     |                              |
| 777300 | DEFAULT    | 4              | 1        | Décollage    | Maxi décollage | T_20_U  |                           |                            |                     |                              |

| ACFTID | Profile_ID | Longueur phase | N° étape | Type étape   | Indice poussée | Flap_ID | Altitude point final (ft) | Vitesse de montée (ft/min) | CAS point final(kt) | Pourcentage_accélération (%) |
|--------|------------|----------------|----------|--------------|----------------|---------|---------------------------|----------------------------|---------------------|------------------------------|
| 777300 | DEFAULT    | 4              | 2        | Montée       | Maxi décollage | T_20_U  | 1 058                     |                            |                     |                              |
| 777300 | DEFAULT    | 4              | 3        | Accélération | Maxi montée    | T_05_U  |                           | 1 279                      | 224,3               |                              |
| 777300 | DEFAULT    | 4              | 4        | Montée       | Maxi montée    | T_00_U  | 3 000                     |                            |                     |                              |
| 777300 | DEFAULT    | 4              | 5        | Accélération | Maxi montée    | T_00_U  |                           | 1 519,4                    | 250                 |                              |
| 777300 | DEFAULT    | 4              | 6        | Montée       | Maxi montée    | T_00_U  | 5 000                     |                            |                     |                              |
| 777300 | DEFAULT    | 4              | 7        | Montée       | Maxi montée    | T_00_U  | 7 500                     |                            |                     |                              |
| 777300 | DEFAULT    | 4              | 8        | Montée       | Maxi montée    | T_00_U  | 10 000                    |                            |                     |                              |
| 777300 | DEFAULT    | 5              | 1        | Décollage    | Maxi décollage | T_20_U  |                           |                            |                     |                              |
| 777300 | DEFAULT    | 5              | 2        | Montée       | Maxi décollage | T_20_U  | 1 053                     |                            |                     |                              |
| 777300 | DEFAULT    | 5              | 3        | Accélération | Maxi montée    | T_05_U  |                           | 1 179,2                    | 229,4               |                              |
| 777300 | DEFAULT    | 5              | 4        | Montée       | Maxi montée    | T_00_U  | 3 000                     |                            |                     |                              |
| 777300 | DEFAULT    | 5              | 5        | Accélération | Maxi montée    | T_00_U  |                           | 1 392,1                    | 250                 |                              |
| 777300 | DEFAULT    | 5              | 6        | Montée       | Maxi montée    | T_00_U  | 5 000                     |                            |                     |                              |
| 777300 | DEFAULT    | 5              | 7        | Montée       | Maxi montée    | T_00_U  | 7 500                     |                            |                     |                              |
| 777300 | DEFAULT    | 5              | 8        | Montée       | Maxi montée    | T_00_U  | 10 000                    |                            |                     |                              |
| 777300 | DEFAULT    | 6              | 1        | Décollage    | Maxi décollage | T_20_U  |                           |                            |                     |                              |
| 777300 | DEFAULT    | 6              | 2        | Montée       | Maxi décollage | T_20_U  | 1 049                     |                            |                     |                              |
| 777300 | DEFAULT    | 6              | 3        | Accélération | Maxi montée    | T_05_U  |                           | 1 082,8                    | 234,4               |                              |
| 777300 | DEFAULT    | 6              | 4        | Montée       | Maxi montée    | T_00_U  | 3 000                     |                            |                     |                              |
| 777300 | DEFAULT    | 6              | 5        | Accélération | Maxi montée    | T_00_U  |                           | 1 260                      | 250                 |                              |

| ACFTID | Profile_ID | Longueur phase | N° étape | Type étape   | Indice poussée | Flap_ID | Altitude point final (ft) | Vitesse de montée (ft/min) | CAS point final(kt) | Pourcentage accélération (%) |
|--------|------------|----------------|----------|--------------|----------------|---------|---------------------------|----------------------------|---------------------|------------------------------|
| 777300 | DEFAULT    | 6              | 6        | Montée       | Maxi montée    | T_00_U  | 5 000                     |                            |                     |                              |
| 777300 | DEFAULT    | 6              | 7        | Montée       | Maxi montée    | T_00_U  | 7 500                     |                            |                     |                              |
| 777300 | DEFAULT    | 6              | 8        | Montée       | Maxi montée    | T_00_U  | 10 000                    |                            |                     |                              |
| 777300 | DEFAULT    | 7              | 1        | Décollage    | Maxi décollage | T_20_U  |                           |                            |                     |                              |
| 777300 | DEFAULT    | 7              | 2        | Montée       | Maxi décollage | T_20_U  | 1 042                     |                            |                     |                              |
| 777300 | DEFAULT    | 7              | 3        | Accélération | Maxi montée    | T_05_U  |                           | 911,6                      | 243,4               |                              |
| 777300 | DEFAULT    | 7              | 4        | Montée       | Maxi montée    | T_00_U  | 3 000                     |                            |                     |                              |
| 777300 | DEFAULT    | 7              | 5        | Accélération | Maxi montée    | T_00_U  |                           | 1 060,3                    | 250                 |                              |
| 777300 | DEFAULT    | 7              | 6        | Montée       | Maxi montée    | T_00_U  | 5 000                     |                            |                     |                              |
| 777300 | DEFAULT    | 7              | 7        | Montée       | Maxi montée    | T_00_U  | 7 500                     |                            |                     |                              |
| 777300 | DEFAULT    | 7              | 8        | Montée       | Maxi montée    | T_00_U  | 10 000                    |                            |                     |                              |
| 777300 | ICAO_A     | 1              | 1        | Décollage    | Maxi décollage | T_20_U  |                           |                            |                     |                              |
| 777300 | ICAO_A     | 1              | 2        | Montée       | Maxi décollage | T_20_U  | 1 565                     |                            |                     |                              |
| 777300 | ICAO_A     | 1              | 3        | Montée       | Maxi montée    | T_20_U  | 3 000                     |                            |                     |                              |
| 777300 | ICAO_A     | 1              | 4        | Accélération | Maxi montée    | T_05_U  |                           | 1 420,7                    | 215,2               |                              |
| 777300 | ICAO_A     | 1              | 5        | Montée       | Maxi montée    | T_00_U  | 4 117                     |                            |                     |                              |
| 777300 | ICAO_A     | 1              | 6        | Accélération | Maxi montée    | T_00_U  |                           | 1 762,5                    | 250                 |                              |
| 777300 | ICAO_A     | 1              | 7        | Montée       | Maxi montée    | T_00_U  | 5 000                     |                            |                     |                              |
| 777300 | ICAO_A     | 1              | 8        | Montée       | Maxi montée    | T_00_U  | 7 500                     |                            |                     |                              |
| 777300 | ICAO_A     | 1              | 9        | Montée       | Maxi montée    | T_00_U  | 10 000                    |                            |                     |                              |

| ACFTID | Profile_ID | Longueur phase | N° étape | Type étape   | Indice poussée | Flap_ID | Altitude point final (ft) | Vitesse de montée (ft/min) | CAS point final(kt) | Pourcentage accélération (%) |
|--------|------------|----------------|----------|--------------|----------------|---------|---------------------------|----------------------------|---------------------|------------------------------|
| 777300 | ICAO_A     | 2              | 1        | Décollage    | Maxi décollage | T_20_U  |                           |                            |                     |                              |
| 777300 | ICAO_A     | 2              | 2        | Montée       | Maxi décollage | T_20_U  | 1 563                     |                            |                     |                              |
| 777300 | ICAO_A     | 2              | 3        | Montée       | Maxi montée    | T_20_U  | 3 000                     |                            |                     |                              |
| 777300 | ICAO_A     | 2              | 4        | Accélération | Maxi montée    | T_05_U  |                           | 1 372,5                    | 217,6               |                              |
| 777300 | ICAO_A     | 2              | 5        | Montée       | Maxi montée    | T_00_U  | 4 014                     |                            |                     |                              |
| 777300 | ICAO_A     | 2              | 6        | Accélération | Maxi montée    | T_00_U  |                           | 1 691,8                    | 250                 |                              |
| 777300 | ICAO_A     | 2              | 7        | Montée       | Maxi montée    | T_00_U  | 5 000                     |                            |                     |                              |
| 777300 | ICAO_A     | 2              | 8        | Montée       | Maxi montée    | T_00_U  | 7 500                     |                            |                     |                              |
| 777300 | ICAO_A     | 2              | 9        | Montée       | Maxi montée    | T_00_U  | 10 000                    |                            |                     |                              |
| 777300 | ICAO_A     | 3              | 1        | Décollage    | Maxi décollage | T_20_U  |                           |                            |                     |                              |
| 777300 | ICAO_A     | 3              | 2        | Montée       | Maxi décollage | T_20_U  | 1 561                     |                            |                     |                              |
| 777300 | ICAO_A     | 3              | 3        | Montée       | Maxi montée    | T_20_U  | 3 000                     |                            |                     |                              |
| 777300 | ICAO_A     | 3              | 4        | Accélération | Maxi montée    | T_05_U  |                           | 1 320,6                    | 220                 |                              |
| 777300 | ICAO_A     | 3              | 5        | Montée       | Maxi montée    | T_00_U  | 4 041                     |                            |                     |                              |
| 777300 | ICAO_A     | 3              | 6        | Accélération | Maxi montée    | T_00_U  |                           | 1 616                      | 250                 |                              |
| 777300 | ICAO_A     | 3              | 7        | Montée       | Maxi montée    | T_00_U  | 5 000                     |                            |                     |                              |
| 777300 | ICAO_A     | 3              | 8        | Montée       | Maxi montée    | T_00_U  | 7 500                     |                            |                     |                              |
| 777300 | ICAO_A     | 3              | 9        | Montée       | Maxi montée    | T_00_U  | 10 000                    |                            |                     |                              |
| 777300 | ICAO_A     | 4              | 1        | Décollage    | Maxi décollage | T_20_U  |                           |                            |                     |                              |
| 777300 | ICAO_A     | 4              | 2        | Montée       | Maxi décollage | T_20_U  | 1 557                     |                            |                     |                              |

| ACFTID | Profile_ID | Longueur phase | N° étape | Type étape   | Indice poussée | Flap_ID | Altitude point final (ft) | Vitesse de montée (ft/min) | CAS point final(kt) | Pourcentage accélération (%) |
|--------|------------|----------------|----------|--------------|----------------|---------|---------------------------|----------------------------|---------------------|------------------------------|
| 777300 | ICAO_A     | 4              | 3        | Montée       | Maxi montée    | T_20_U  | 3 000                     |                            |                     |                              |
| 777300 | ICAO_A     | 4              | 4        | Accélération | Maxi montée    | T_00_U  |                           | 1 320,5                    | 250                 |                              |
| 777300 | ICAO_A     | 4              | 5        | Montée       | Maxi montée    | T_00_U  | 5 000                     |                            |                     |                              |
| 777300 | ICAO_A     | 4              | 6        | Montée       | Maxi montée    | T_00_U  | 7 500                     |                            |                     |                              |
| 777300 | ICAO_A     | 4              | 7        | Montée       | Maxi montée    | T_00_U  | 10 000                    |                            |                     |                              |
| 777300 | ICAO_A     | 5              | 1        | Décollage    | Maxi décollage | T_05_U  |                           |                            |                     |                              |
| 777300 | ICAO_A     | 5              | 2        | Montée       | Maxi décollage | T_20_U  | 1 553                     |                            |                     |                              |
| 777300 | ICAO_A     | 5              | 3        | Montée       | Maxi montée    | T_20_U  | 3 000                     |                            |                     |                              |
| 777300 | ICAO_A     | 5              | 4        | Accélération | Maxi montée    | T_00_U  |                           | 1 199,1                    | 250                 |                              |
| 777300 | ICAO_A     | 5              | 5        | Montée       | Maxi montée    | T_00_U  | 5 000                     |                            |                     |                              |
| 777300 | ICAO_A     | 5              | 6        | Montée       | Maxi montée    | T_00_U  | 7 500                     |                            |                     |                              |
| 777300 | ICAO_A     | 5              | 7        | Montée       | Maxi montée    | T_00_U  | 10 000                    |                            |                     |                              |
| 777300 | ICAO_A     | 6              | 1        | Décollage    | Maxi décollage | T_20_U  |                           |                            |                     |                              |
| 777300 | ICAO_A     | 6              | 2        | Montée       | Maxi décollage | T_20_U  | 1 553                     |                            |                     |                              |
| 777300 | ICAO_A     | 6              | 3        | Montée       | Maxi montée    | T_20_U  | 3 000                     |                            |                     |                              |
| 777300 | ICAO_A     | 6              | 4        | Accélération | Maxi montée    | T_00_U  |                           | 1 083,7                    | 250                 |                              |
| 777300 | ICAO_A     | 6              | 5        | Montée       | Maxi montée    | T_00_U  | 5 000                     |                            |                     |                              |
| 777300 | ICAO_A     | 6              | 6        | Montée       | Maxi montée    | T_00_U  | 7 500                     |                            |                     |                              |
| 777300 | ICAO_A     | 6              | 7        | Montée       | Maxi montée    | T_00_U  | 10 000                    |                            |                     |                              |
| 777300 | ICAO_A     | 7              | 1        | Décollage    | Maxi décollage | T_20_U  |                           |                            |                     |                              |

| ACFTID | Profile_ID | Longueur phase | N° étape | Type étape   | Indice poussée | Flap_ID | Altitude point final (ft) | Vitesse de montée (ft/min) | CAS point final(kt) | Pourcentage_accélération (%) |
|--------|------------|----------------|----------|--------------|----------------|---------|---------------------------|----------------------------|---------------------|------------------------------|
| 777300 | ICAO_A     | 7              | 2        | Montée       | Maxi décollage | T_20_U  | 1 553                     |                            |                     |                              |
| 777300 | ICAO_A     | 7              | 3        | Montée       | Maxi montée    | T_20_U  | 3 000                     |                            |                     |                              |
| 777300 | ICAO_A     | 7              | 4        | Accélération | Maxi montée    | T_00_U  |                           | 889                        | 250                 |                              |
| 777300 | ICAO_A     | 7              | 5        | Montée       | Maxi montée    | T_00_U  | 5 000                     |                            |                     |                              |
| 777300 | ICAO_A     | 7              | 6        | Montée       | Maxi montée    | T_00_U  | 7 500                     |                            |                     |                              |
| 777300 | ICAO_A     | 7              | 7        | Montée       | Maxi montée    | T_00_U  | 10 000                    |                            |                     |                              |
| 777300 | ICAO_B     | 1              | 1        | Décollage    | Maxi décollage | T_20_U  |                           |                            |                     |                              |
| 777300 | ICAO_B     | 1              | 2        | Montée       | Maxi décollage | T_20_U  | 1 000                     |                            |                     |                              |
| 777300 | ICAO_B     | 1              | 3        | Accélération | Maxi décollage | T_05_U  |                           | 2 149,6                    | 215,4               |                              |
| 777300 | ICAO_B     | 1              | 4        | Montée       | Maxi décollage | T_00_U  | 3 416                     |                            |                     |                              |
| 777300 | ICAO_B     | 1              | 5        | Accélération | Maxi montée    | T_00_U  |                           | 1 800                      | 250                 |                              |
| 777300 | ICAO_B     | 1              | 6        | Montée       | Maxi montée    | T_00_U  | 5 000                     |                            |                     |                              |
| 777300 | ICAO_B     | 1              | 7        | Montée       | Maxi montée    | T_00_U  | 7 500                     |                            |                     |                              |
| 777300 | ICAO_B     | 1              | 8        | Montée       | Maxi montée    | T_00_U  | 10 000                    |                            |                     |                              |
| 777300 | ICAO_B     | 2              | 1        | Décollage    | Maxi décollage | T_20_U  |                           |                            |                     |                              |
| 777300 | ICAO_B     | 2              | 2        | Montée       | Maxi décollage | T_20_U  | 1 000                     |                            |                     |                              |
| 777300 | ICAO_B     | 2              | 3        | Accélération | Maxi décollage | T_05_U  |                           | 2 086,3                    | 217,9               |                              |
| 777300 | ICAO_B     | 2              | 4        | Montée       | Maxi décollage | T_00_U  | 3 205                     |                            |                     |                              |
| 777300 | ICAO_B     | 2              | 5        | Accélération | Maxi montée    | T_00_U  |                           | 1 772,6                    | 250                 |                              |
| 777300 | ICAO_B     | 2              | 6        | Montée       | Maxi montée    | T_00_U  | 5 000                     |                            |                     |                              |

| ACFTID | Profile_ID | Longueur phase | N° étape | Type étape   | Indice poussée | Flap_ID | Altitude point final (ft) | Vitesse de montée (ft/min) | CAS point final(kt) | Pourcentage_accélération (%) |
|--------|------------|----------------|----------|--------------|----------------|---------|---------------------------|----------------------------|---------------------|------------------------------|
| 777300 | ICAO_B     | 2              | 7        | Montée       | Maxi montée    | T_00_U  | 7 500                     |                            |                     |                              |
| 777300 | ICAO_B     | 2              | 8        | Montée       | Maxi montée    | T_00_U  | 10 000                    |                            |                     |                              |
| 777300 | ICAO_B     | 3              | 1        | Décollage    | Maxi décollage | T_20_U  |                           |                            |                     |                              |
| 777300 | ICAO_B     | 3              | 2        | Montée       | Maxi décollage | T_20_U  | 1 000                     |                            |                     |                              |
| 777300 | ICAO_B     | 3              | 3        | Accélération | Maxi décollage | T_05_U  |                           | 2 020,6                    | 220,3               |                              |
| 777300 | ICAO_B     | 3              | 4        | Montée       | Maxi décollage | T_00_U  | 3 076                     |                            |                     |                              |
| 777300 | ICAO_B     | 3              | 5        | Accélération | Maxi montée    | T_00_U  |                           | 1 708,6                    | 250                 |                              |
| 777300 | ICAO_B     | 3              | 6        | Montée       | Maxi montée    | T_00_U  | 5 000                     |                            |                     |                              |
| 777300 | ICAO_B     | 3              | 7        | Montée       | Maxi montée    | T_00_U  | 7 500                     |                            |                     |                              |
| 777300 | ICAO_B     | 3              | 8        | Montée       | Maxi montée    | T_00_U  | 10 000                    |                            |                     |                              |
| 777300 | ICAO_B     | 4              | 1        | Décollage    | Maxi décollage | T_20_U  |                           |                            |                     |                              |
| 777300 | ICAO_B     | 4              | 2        | Montée       | Maxi décollage | T_20_U  | 1 000                     |                            |                     |                              |
| 777300 | ICAO_B     | 4              | 3        | Accélération | Maxi décollage | T_05_U  |                           | 1 895,3                    | 226,3               |                              |
| 777300 | ICAO_B     | 4              | 4        | Montée       | Maxi décollage | T_00_U  | 2 894                     |                            |                     |                              |
| 777300 | ICAO_B     | 4              | 5        | Montée       | Maxi montée    | T_00_U  | 3 000                     |                            |                     |                              |
| 777300 | ICAO_B     | 4              | 6        | Accélération | Maxi montée    | T_00_U  |                           | 1 525,8                    | 250                 |                              |
| 777300 | ICAO_B     | 4              | 7        | Montée       | Maxi montée    | T_00_U  | 5 000                     |                            |                     |                              |
| 777300 | ICAO_B     | 4              | 8        | Montée       | Maxi montée    | T_00_U  | 7 500                     |                            |                     |                              |
| 777300 | ICAO_B     | 4              | 9        | Montée       | Maxi montée    | T_00_U  | 10 000                    |                            |                     |                              |
| 777300 | ICAO_B     | 5              | 1        | Décollage    | Maxi décollage | T_20_U  |                           |                            |                     |                              |

| ACFTID | Profile_ID | Longueur phase | N° étape | Type étape   | Indice poussée | Flap_ID | Altitude point final (ft) | Vitesse de montée (ft/min) | CAS point final(kt) | Pourcentage_accélération (%) |
|--------|------------|----------------|----------|--------------|----------------|---------|---------------------------|----------------------------|---------------------|------------------------------|
| 777300 | ICAO_B     | 5              | 2        | Montée       | Maxi décollage | T_20_U  | 1 000                     |                            |                     |                              |
| 777300 | ICAO_B     | 5              | 3        | Accélération | Maxi décollage | T_05_U  |                           | 1 768,6                    | 229,4               |                              |
| 777300 | ICAO_B     | 5              | 4        | Montée       | Maxi décollage | T_00_U  | 2 679                     |                            |                     |                              |
| 777300 | ICAO_B     | 5              | 5        | Montée       | Maxi montée    | T_00_U  | 3 000                     |                            |                     |                              |
| 777300 | ICAO_B     | 5              | 6        | Accélération | Maxi montée    | T_00_U  |                           | 1 387,7                    | 250                 |                              |
| 777300 | ICAO_B     | 5              | 7        | Montée       | Maxi montée    | T_00_U  | 5 000                     |                            |                     |                              |
| 777300 | ICAO_B     | 5              | 8        | Montée       | Maxi montée    | T_00_U  | 7 500                     |                            |                     |                              |
| 777300 | ICAO_B     | 5              | 9        | Montée       | Maxi montée    | T_00_U  | 10 000                    |                            |                     |                              |
| 777300 | ICAO_B     | 6              | 1        | Décollage    | Maxi décollage | T_20_U  |                           |                            |                     |                              |
| 777300 | ICAO_B     | 6              | 2        | Montée       | Maxi décollage | T_20_U  | 1 000                     |                            |                     |                              |
| 777300 | ICAO_B     | 6              | 3        | Accélération | Maxi décollage | T_05_U  |                           | 1 639,4                    | 235,5               |                              |
| 777300 | ICAO_B     | 6              | 4        | Montée       | Maxi décollage | T_00_U  | 2 402                     |                            |                     |                              |
| 777300 | ICAO_B     | 6              | 5        | Montée       | Maxi montée    | T_00_U  | 3 000                     |                            |                     |                              |
| 777300 | ICAO_B     | 6              | 6        | Accélération | Maxi montée    | T_00_U  |                           | 1 271,6                    | 250                 |                              |
| 777300 | ICAO_B     | 6              | 7        | Montée       | Maxi montée    | T_00_U  | 5 000                     |                            |                     |                              |
| 777300 | ICAO_B     | 6              | 8        | Montée       | Maxi montée    | T_00_U  | 7 500                     |                            |                     |                              |
| 777300 | ICAO_B     | 6              | 9        | Montée       | Maxi montée    | T_00_U  | 10 000                    |                            |                     |                              |
| 777300 | ICAO_B     | 7              | 1        | Décollage    | Maxi décollage | T_20_U  |                           |                            |                     |                              |
| 777300 | ICAO_B     | 7              | 2        | Montée       | Maxi décollage | T_20_U  | 1 000                     |                            |                     |                              |
| 777300 | ICAO_B     | 7              | 3        | Accélération | Maxi décollage | T_05_U  |                           | 1 491                      | 244,4               |                              |

| ACFTID | Profile_ID | Longueur phase | N° étape | Type étape     | Indice poussée | Flap_ID | Altitude point final (ft) | Vitesse de montée (ft/min) | CAS point final(kt) | Pourcentage accélération (%) |
|--------|------------|----------------|----------|----------------|----------------|---------|---------------------------|----------------------------|---------------------|------------------------------|
| 777300 | ICAO_B     | 7              | 4        | Montée         | Maxi décollage | T_00_U  | 2 216                     |                            |                     |                              |
| 777300 | ICAO_B     | 7              | 5        | Montée         | Maxi montée    | T_00_U  | 3 000                     |                            |                     |                              |
| 777300 | ICAO_B     | 7              | 6        | Accélération   | Maxi montée    | T_00_U  |                           | 1 271,6                    | 250                 |                              |
| 777300 | ICAO_B     | 7              | 7        | Montée         | Maxi montée    | T_00_U  | 5 000                     |                            |                     |                              |
| 777300 | ICAO_B     | 7              | 8        | Montée         | Maxi montée    | T_00_U  | 7 500                     |                            |                     |                              |
| 777300 | ICAO_B     | 7              | 9        | Montée         | Maxi montée    | T_00_U  | 10 000                    |                            |                     |                              |
| 7773ER | DEFAULT    | 1              | 1        | Décollage      | Maxi décollage | FLAP_5  |                           |                            |                     |                              |
| 7773ER | DEFAULT    | 1              | 2        | Montée         | Maxi décollage | FLAP_5  | 1 434                     |                            |                     |                              |
| 7773ER | DEFAULT    | 1              | 3        | Accélération_% | Maxi montée    | FLAP_5  |                           |                            | 200                 | 55                           |
| 7773ER | DEFAULT    | 1              | 4        | Accélération_% | Maxi montée    | FLAP_1  |                           |                            | 223                 | 50                           |
| 7773ER | DEFAULT    | 1              | 5        | Montée         | Maxi montée    | FLAP_0  | 3 000                     |                            |                     |                              |
| 7773ER | DEFAULT    | 1              | 6        | Accélération_% | Maxi montée    | FLAP_0  |                           |                            | 250                 | 50                           |
| 7773ER | DEFAULT    | 1              | 7        | Montée         | Maxi montée    | FLAP_0  | 10 000                    |                            |                     |                              |
| 7773ER | DEFAULT    | 2              | 1        | Décollage      | Maxi décollage | FLAP_5  |                           |                            |                     |                              |
| 7773ER | DEFAULT    | 2              | 2        | Montée         | Maxi décollage | FLAP_5  | 1 434                     |                            |                     |                              |
| 7773ER | DEFAULT    | 2              | 3        | Accélération_% | Maxi montée    | FLAP_5  |                           |                            | 200                 | 55                           |
| 7773ER | DEFAULT    | 2              | 4        | Accélération_% | Maxi montée    | FLAP_1  |                           |                            | 225                 | 50                           |
| 7773ER | DEFAULT    | 2              | 5        | Montée         | Maxi montée    | FLAP_0  | 3 000                     |                            |                     |                              |
| 7773ER | DEFAULT    | 2              | 6        | Accélération_% | Maxi montée    | FLAP_0  |                           |                            | 250                 | 50                           |
| 7773ER | DEFAULT    | 2              | 7        | Montée         | Maxi montée    | FLAP_0  | 10 000                    |                            |                     |                              |

| ACFTID | Profile_ID | Longueur phase | N° étape | Type étape     | Indice poussée | Flap_ID | Altitude point final (ft) | Vitesse de montée (ft/min) | CAS point final(kt) | Pourcentage_accélération (%) |
|--------|------------|----------------|----------|----------------|----------------|---------|---------------------------|----------------------------|---------------------|------------------------------|
| 7773ER | DEFAULT    | 3              | 1        | Décollage      | Maxi décollage | FLAP_5  |                           |                            |                     |                              |
| 7773ER | DEFAULT    | 3              | 2        | Montée         | Maxi décollage | FLAP_5  | 1 355                     |                            |                     |                              |
| 7773ER | DEFAULT    | 3              | 3        | Accélération_% | Maxi montée    | FLAP_5  |                           |                            | 204                 | 55                           |
| 7773ER | DEFAULT    | 3              | 4        | Accélération_% | Maxi montée    | FLAP_1  |                           |                            | 228                 | 50                           |
| 7773ER | DEFAULT    | 3              | 5        | Montée         | Maxi montée    | FLAP_0  | 3 000                     |                            |                     |                              |
| 7773ER | DEFAULT    | 3              | 6        | Accélération_% | Maxi montée    | FLAP_0  |                           |                            | 250                 | 50                           |
| 7773ER | DEFAULT    | 3              | 7        | Montée         | Maxi montée    | FLAP_0  | 10 000                    |                            |                     |                              |
| 7773ER | DEFAULT    | 4              | 1        | Décollage      | Maxi décollage | FLAP_5  |                           |                            |                     |                              |
| 7773ER | DEFAULT    | 4              | 2        | Montée         | Maxi décollage | FLAP_5  | 1 289                     |                            |                     |                              |
| 7773ER | DEFAULT    | 4              | 3        | Accélération_% | Maxi montée    | FLAP_5  |                           |                            | 205                 | 55                           |
| 7773ER | DEFAULT    | 4              | 4        | Accélération_% | Maxi montée    | FLAP_1  |                           |                            | 230                 | 50                           |
| 7773ER | DEFAULT    | 4              | 5        | Montée         | Maxi montée    | FLAP_0  | 3 000                     |                            |                     |                              |
| 7773ER | DEFAULT    | 4              | 6        | Accélération_% | Maxi montée    | FLAP_0  |                           |                            | 250                 | 50                           |
| 7773ER | DEFAULT    | 4              | 7        | Montée         | Maxi montée    | FLAP_0  | 10 000                    |                            |                     |                              |
| 7773ER | DEFAULT    | 5              | 1        | Décollage      | Maxi décollage | FLAP_5  |                           |                            |                     |                              |
| 7773ER | DEFAULT    | 5              | 2        | Montée         | Maxi décollage | FLAP_5  | 1 214                     |                            |                     |                              |
| 7773ER | DEFAULT    | 5              | 3        | Accélération_% | Maxi montée    | FLAP_5  |                           |                            | 210                 | 55                           |
| 7773ER | DEFAULT    | 5              | 4        | Accélération_% | Maxi montée    | FLAP_1  |                           |                            | 235                 | 50                           |
| 7773ER | DEFAULT    | 5              | 5        | Montée         | Maxi montée    | FLAP_0  | 3 000                     |                            |                     |                              |
| 7773ER | DEFAULT    | 5              | 6        | Accélération_% | Maxi montée    | FLAP_0  |                           |                            | 250                 | 50                           |

| ACFTID | Profile_ID | Longueur phase | N° étape | Type étape     | Indice poussée | Flap_ID | Altitude point final (ft) | Vitesse de montée (ft/min) | CAS point final(kt) | Pourcentage_accélération (%) |
|--------|------------|----------------|----------|----------------|----------------|---------|---------------------------|----------------------------|---------------------|------------------------------|
| 7773ER | DEFAULT    | 5              | 7        | Montée         | Maxi montée    | FLAP_0  | 10 000                    |                            |                     |                              |
| 7773ER | DEFAULT    | 6              | 1        | Décollage      | Maxi décollage | FLAP_5  |                           |                            |                     |                              |
| 7773ER | DEFAULT    | 6              | 2        | Montée         | Maxi décollage | FLAP_5  | 1 142                     |                            |                     |                              |
| 7773ER | DEFAULT    | 6              | 3        | Accélération_% | Maxi montée    | FLAP_5  |                           |                            | 215                 | 55                           |
| 7773ER | DEFAULT    | 6              | 4        | Accélération_% | Maxi montée    | FLAP_1  |                           |                            | 240                 | 50                           |
| 7773ER | DEFAULT    | 6              | 5        | Montée         | Maxi montée    | FLAP_0  | 3 000                     |                            |                     |                              |
| 7773ER | DEFAULT    | 6              | 6        | Accélération_% | Maxi montée    | FLAP_0  |                           |                            | 250                 | 50                           |
| 7773ER | DEFAULT    | 6              | 7        | Montée         | Maxi montée    | FLAP_0  | 10 000                    |                            |                     |                              |
| 7773ER | DEFAULT    | 7              | 1        | Décollage      | Maxi décollage | FLAP_5  |                           |                            |                     |                              |
| 7773ER | DEFAULT    | 7              | 2        | Montée         | Maxi décollage | FLAP_5  | 1 067                     |                            |                     |                              |
| 7773ER | DEFAULT    | 7              | 3        | Accélération_% | Maxi montée    | FLAP_5  |                           |                            | 222                 | 55                           |
| 7773ER | DEFAULT    | 7              | 4        | Accélération_% | Maxi montée    | FLAP_1  |                           |                            | 248                 | 50                           |
| 7773ER | DEFAULT    | 7              | 5        | Montée         | Maxi montée    | FLAP_0  | 3 000                     |                            |                     |                              |
| 7773ER | DEFAULT    | 7              | 6        | Accélération_% | Maxi montée    | FLAP_0  |                           |                            | 250                 | 50                           |
| 7773ER | DEFAULT    | 7              | 7        | Montée         | Maxi montée    | FLAP_0  | 10 000                    |                            |                     |                              |
| 7773ER | DEFAULT    | 8              | 1        | Décollage      | Maxi décollage | FLAP_5  |                           |                            |                     |                              |
| 7773ER | DEFAULT    | 8              | 2        | Montée         | Maxi décollage | FLAP_5  | 1 000                     |                            |                     |                              |
| 7773ER | DEFAULT    | 8              | 3        | Accélération_% | Maxi montée    | FLAP_5  |                           |                            | 222                 | 55                           |
| 7773ER | DEFAULT    | 8              | 4        | Accélération_% | Maxi montée    | FLAP_1  |                           |                            | 255                 | 50                           |
| 7773ER | DEFAULT    | 8              | 5        | Montée         | Maxi montée    | FLAP_0  | 3 000                     |                            |                     |                              |

| ACFTID | Profile_ID | Longueur phase | N° étape | Type étape     | Indice poussée | Flap_ID | Altitude point final (ft) | Vitesse de montée (ft/min) | CAS point final(kt) | Pourcentage_accélération (%) |
|--------|------------|----------------|----------|----------------|----------------|---------|---------------------------|----------------------------|---------------------|------------------------------|
| 7773ER | DEFAULT    | 8              | 6        | Accélération_% | Maxi montée    | FLAP_0  |                           |                            | 256                 | 50                           |
| 7773ER | DEFAULT    | 8              | 7        | Montée         | Maxi montée    | FLAP_0  | 10 000                    |                            |                     |                              |
| 7773ER | DEFAULT    | 9              | 1        | Décollage      | Maxi décollage | FLAP_5  |                           |                            |                     |                              |
| 7773ER | DEFAULT    | 9              | 2        | Montée         | Maxi décollage | FLAP_5  | 1 000                     |                            |                     |                              |
| 7773ER | DEFAULT    | 9              | 3        | Accélération_% | Maxi montée    | FLAP_5  |                           |                            | 226                 | 55                           |
| 7773ER | DEFAULT    | 9              | 4        | Accélération_% | Maxi montée    | FLAP_1  |                           |                            | 261                 | 50                           |
| 7773ER | DEFAULT    | 9              | 5        | Montée         | Maxi montée    | FLAP_0  | 3 000                     |                            |                     |                              |
| 7773ER | DEFAULT    | 9              | 6        | Accélération_% | Maxi montée    | FLAP_0  |                           |                            | 261,1               | 50                           |
| 7773ER | DEFAULT    | 9              | 7        | Montée         | Maxi montée    | FLAP_0  | 10 000                    |                            |                     |                              |
| 7773ER | ICAO_A     | 1              | 1        | Décollage      | Maxi décollage | FLAP_5  |                           |                            |                     |                              |
| 7773ER | ICAO_A     | 1              | 2        | Montée         | Maxi décollage | FLAP_5  | 1 500                     |                            |                     |                              |
| 7773ER | ICAO_A     | 1              | 3        | Montée         | Maxi montée    | FLAP_5  | 3 000                     |                            |                     |                              |
| 7773ER | ICAO_A     | 1              | 4        | Accélération_% | Maxi montée    | FLAP_5  |                           |                            | 210                 | 55                           |
| 7773ER | ICAO_A     | 1              | 5        | Accélération_% | Maxi montée    | FLAP_1  |                           |                            | 220                 | 55                           |
| 7773ER | ICAO_A     | 1              | 6        | Montée         | Maxi montée    | FLAP_1  | 4 400                     |                            |                     |                              |
| 7773ER | ICAO_A     | 1              | 7        | Accélération_% | Maxi montée    | FLAP_0  |                           |                            | 250                 | 50                           |
| 7773ER | ICAO_A     | 1              | 8        | Montée         | Maxi montée    | FLAP_0  | 10 000                    |                            |                     |                              |
| 7773ER | ICAO_A     | 2              | 1        | Décollage      | Maxi décollage | FLAP_5  |                           |                            |                     |                              |
| 7773ER | ICAO_A     | 2              | 2        | Montée         | Maxi décollage | FLAP_5  | 1 500                     |                            |                     |                              |
| 7773ER | ICAO_A     | 2              | 3        | Montée         | Maxi montée    | FLAP_5  | 3 000                     |                            |                     |                              |

| ACFTID | Profile_ID | Longueur phase | N° étape | Type étape     | Indice poussée | Flap_ID | Altitude point final (ft) | Vitesse de montée (ft/min) | CAS point final(kt) | Pourcentage_accélération (%) |
|--------|------------|----------------|----------|----------------|----------------|---------|---------------------------|----------------------------|---------------------|------------------------------|
| 7773ER | ICAO_A     | 2              | 4        | Accélération_% | Maxi montée    | FLAP_5  |                           |                            | 220                 | 55                           |
| 7773ER | ICAO_A     | 2              | 5        | Accélération_% | Maxi montée    | FLAP_1  |                           |                            | 230                 | 55                           |
| 7773ER | ICAO_A     | 2              | 6        | Montée         | Maxi montée    | FLAP_1  | 4 300                     |                            |                     |                              |
| 7773ER | ICAO_A     | 2              | 7        | Accélération_% | Maxi montée    | FLAP_0  |                           |                            | 250                 | 50                           |
| 7773ER | ICAO_A     | 2              | 8        | Montée         | Maxi montée    | FLAP_0  | 10 000                    |                            |                     |                              |
| 7773ER | ICAO_A     | 3              | 1        | Décollage      | Maxi décollage | FLAP_5  |                           |                            |                     |                              |
| 7773ER | ICAO_A     | 3              | 2        | Montée         | Maxi décollage | FLAP_5  | 1 500                     |                            |                     |                              |
| 7773ER | ICAO_A     | 3              | 3        | Montée         | Maxi montée    | FLAP_5  | 3 000                     |                            |                     |                              |
| 7773ER | ICAO_A     | 3              | 4        | Accélération_% | Maxi montée    | FLAP_5  |                           |                            | 220                 | 55                           |
| 7773ER | ICAO_A     | 3              | 5        | Accélération_% | Maxi montée    | FLAP_1  |                           |                            | 230                 | 55                           |
| 7773ER | ICAO_A     | 3              | 6        | Montée         | Maxi montée    | FLAP_1  | 4 200                     |                            |                     |                              |
| 7773ER | ICAO_A     | 3              | 7        | Accélération_% | Maxi montée    | FLAP_0  |                           |                            | 250                 | 50                           |
| 7773ER | ICAO_A     | 3              | 8        | Montée         | Maxi montée    | FLAP_0  | 10 000                    |                            |                     |                              |
| 7773ER | ICAO_A     | 4              | 1        | Décollage      | Maxi décollage | FLAP_5  |                           |                            |                     |                              |
| 7773ER | ICAO_A     | 4              | 2        | Montée         | Maxi décollage | FLAP_5  | 1 500                     |                            |                     |                              |
| 7773ER | ICAO_A     | 4              | 3        | Montée         | Maxi montée    | FLAP_5  | 3 000                     |                            |                     |                              |
| 7773ER | ICAO_A     | 4              | 4        | Accélération_% | Maxi montée    | FLAP_5  |                           |                            | 220                 | 55                           |
| 7773ER | ICAO_A     | 4              | 5        | Accélération_% | Maxi montée    | FLAP_1  |                           |                            | 230                 | 55                           |
| 7773ER | ICAO_A     | 4              | 6        | Montée         | Maxi montée    | FLAP_1  | 4 100                     |                            |                     |                              |
| 7773ER | ICAO_A     | 4              | 7        | Accélération_% | Maxi montée    | FLAP_0  |                           |                            | 250                 | 50                           |

| ACFTID | Profile_ID | Longueur phase | N° étape | Type étape     | Indice poussée | Flap_ID | Altitude point final (ft) | Vitesse de montée (ft/min) | CAS point final(kt) | Pourcentage_accélération (%) |
|--------|------------|----------------|----------|----------------|----------------|---------|---------------------------|----------------------------|---------------------|------------------------------|
| 7773ER | ICAO_A     | 4              | 8        | Montée         | Maxi montée    | FLAP_0  | 10 000                    |                            |                     |                              |
| 7773ER | ICAO_A     | 5              | 1        | Décollage      | Maxi décollage | FLAP_5  |                           |                            |                     |                              |
| 7773ER | ICAO_A     | 5              | 2        | Montée         | Maxi décollage | FLAP_5  | 1 500                     |                            |                     |                              |
| 7773ER | ICAO_A     | 5              | 3        | Montée         | Maxi montée    | FLAP_5  | 3 000                     |                            |                     |                              |
| 7773ER | ICAO_A     | 5              | 4        | Accélération_% | Maxi montée    | FLAP_5  |                           |                            | 220                 | 55                           |
| 7773ER | ICAO_A     | 5              | 5        | Accélération_% | Maxi montée    | FLAP_1  |                           |                            | 230                 | 55                           |
| 7773ER | ICAO_A     | 5              | 6        | Accélération_% | Maxi montée    | FLAP_0  |                           |                            | 250                 | 50                           |
| 7773ER | ICAO_A     | 5              | 7        | Montée         | Maxi montée    | FLAP_0  | 10 000                    |                            |                     |                              |
| 7773ER | ICAO_A     | 6              | 1        | Décollage      | Maxi décollage | FLAP_5  |                           |                            |                     |                              |
| 7773ER | ICAO_A     | 6              | 2        | Montée         | Maxi décollage | FLAP_5  | 1 500                     |                            |                     |                              |
| 7773ER | ICAO_A     | 6              | 3        | Montée         | Maxi montée    | FLAP_5  | 3 000                     |                            |                     |                              |
| 7773ER | ICAO_A     | 6              | 4        | Accélération_% | Maxi montée    | FLAP_5  |                           |                            | 220                 | 55                           |
| 7773ER | ICAO_A     | 6              | 5        | Accélération_% | Maxi montée    | FLAP_1  |                           |                            | 230                 | 55                           |
| 7773ER | ICAO_A     | 6              | 6        | Accélération_% | Maxi montée    | FLAP_0  |                           |                            | 250                 | 50                           |
| 7773ER | ICAO_A     | 6              | 7        | Montée         | Maxi montée    | FLAP_0  | 10 000                    |                            |                     |                              |
| 7773ER | ICAO_A     | 7              | 1        | Décollage      | Maxi décollage | FLAP_5  |                           |                            |                     |                              |
| 7773ER | ICAO_A     | 7              | 2        | Montée         | Maxi décollage | FLAP_5  | 1 500                     |                            |                     |                              |
| 7773ER | ICAO_A     | 7              | 3        | Montée         | Maxi montée    | FLAP_5  | 3 000                     |                            |                     |                              |
| 7773ER | ICAO_A     | 7              | 4        | Accélération_% | Maxi montée    | FLAP_5  |                           |                            | 220                 | 55                           |
| 7773ER | ICAO_A     | 7              | 5        | Accélération_% | Maxi montée    | FLAP_1  |                           |                            | 230                 | 55                           |

| ACFTID | Profile_ID | Longueur phase | N° étape | Type étape     | Indice poussée | Flap_ID | Altitude point final (ft) | Vitesse de montée (ft/min) | CAS point final(kt) | Pourcentage_accélération (%) |
|--------|------------|----------------|----------|----------------|----------------|---------|---------------------------|----------------------------|---------------------|------------------------------|
| 7773ER | ICAO_A     | 7              | 6        | Accélération_% | Maxi montée    | FLAP_0  |                           |                            | 250                 | 50                           |
| 7773ER | ICAO_A     | 7              | 7        | Montée         | Maxi montée    | FLAP_0  | 10 000                    |                            |                     |                              |
| 7773ER | ICAO_A     | 8              | 1        | Décollage      | Maxi décollage | FLAP_5  |                           |                            |                     |                              |
| 7773ER | ICAO_A     | 8              | 2        | Montée         | Maxi décollage | FLAP_5  | 1 500                     |                            |                     |                              |
| 7773ER | ICAO_A     | 8              | 3        | Montée         | Maxi montée    | FLAP_5  | 3 000                     |                            |                     |                              |
| 7773ER | ICAO_A     | 8              | 4        | Accélération_% | Maxi montée    | FLAP_5  |                           |                            | 220                 | 55                           |
| 7773ER | ICAO_A     | 8              | 5        | Accélération_% | Maxi montée    | FLAP_1  |                           |                            | 230                 | 55                           |
| 7773ER | ICAO_A     | 8              | 6        | Accélération_% | Maxi montée    | FLAP_0  |                           |                            | 255                 | 50                           |
| 7773ER | ICAO_A     | 8              | 7        | Montée         | Maxi montée    | FLAP_0  | 10 000                    |                            |                     |                              |
| 7773ER | ICAO_A     | 9              | 1        | Décollage      | Maxi décollage | FLAP_5  |                           |                            |                     |                              |
| 7773ER | ICAO_A     | 9              | 2        | Montée         | Maxi décollage | FLAP_5  | 1 500                     |                            |                     |                              |
| 7773ER | ICAO_A     | 9              | 3        | Montée         | Maxi montée    | FLAP_5  | 3 000                     |                            |                     |                              |
| 7773ER | ICAO_A     | 9              | 4        | Accélération_% | Maxi montée    | FLAP_5  |                           |                            | 230                 | 55                           |
| 7773ER | ICAO_A     | 9              | 5        | Accélération_% | Maxi montée    | FLAP_1  |                           |                            | 240                 | 55                           |
| 7773ER | ICAO_A     | 9              | 6        | Accélération_% | Maxi montée    | FLAP_0  |                           |                            | 260                 | 50                           |
| 7773ER | ICAO_A     | 9              | 7        | Montée         | Maxi montée    | FLAP_0  | 10 000                    |                            |                     |                              |
| 7773ER | ICAO_B     | 1              | 1        | Décollage      | Maxi décollage | FLAP_5  |                           |                            |                     |                              |
| 7773ER | ICAO_B     | 1              | 2        | Montée         | Maxi décollage | FLAP_5  | 1 434                     |                            |                     |                              |
| 7773ER | ICAO_B     | 1              | 3        | Accélération_% | Maxi décollage | FLAP_5  |                           |                            | 223                 | 55                           |
| 7773ER | ICAO_B     | 1              | 4        | Montée         | Maxi décollage | FLAP_1  | 3 564                     |                            |                     |                              |

| ACFTID | Profile_ID | Longueur phase | N° étape | Type étape     | Indice poussée | Flap_ID | Altitude point final (ft) | Vitesse de montée (ft/min) | CAS point final(kt) | Pourcentage_accélération (%) |
|--------|------------|----------------|----------|----------------|----------------|---------|---------------------------|----------------------------|---------------------|------------------------------|
| 7773ER | ICAO_B     | 1              | 5        | Accélération_% | Maxi montée    | FLAP_0  |                           |                            | 240                 | 50                           |
| 7773ER | ICAO_B     | 1              | 6        | Accélération_% | Maxi montée    | FLAP_0  |                           |                            | 250                 | 50                           |
| 7773ER | ICAO_B     | 1              | 7        | Montée         | Maxi montée    | FLAP_0  | 10 000                    |                            |                     |                              |
| 7773ER | ICAO_B     | 2              | 1        | Décollage      | Maxi décollage | FLAP_5  |                           |                            |                     |                              |
| 7773ER | ICAO_B     | 2              | 2        | Montée         | Maxi décollage | FLAP_5  | 1 396                     |                            |                     |                              |
| 7773ER | ICAO_B     | 2              | 3        | Accélération_% | Maxi décollage | FLAP_5  |                           |                            | 225                 | 55                           |
| 7773ER | ICAO_B     | 2              | 4        | Montée         | Maxi décollage | FLAP_1  | 3 442                     |                            |                     |                              |
| 7773ER | ICAO_B     | 2              | 5        | Accélération_% | Maxi montée    | FLAP_0  |                           |                            | 240                 | 50                           |
| 7773ER | ICAO_B     | 2              | 6        | Accélération_% | Maxi montée    | FLAP_0  |                           |                            | 250                 | 50                           |
| 7773ER | ICAO_B     | 2              | 7        | Montée         | Maxi montée    | FLAP_0  | 10 000                    |                            |                     |                              |
| 7773ER | ICAO_B     | 3              | 1        | Décollage      | Maxi décollage | FLAP_5  |                           |                            |                     |                              |
| 7773ER | ICAO_B     | 3              | 2        | Montée         | Maxi décollage | FLAP_5  | 1 355                     |                            |                     |                              |
| 7773ER | ICAO_B     | 3              | 3        | Accélération_% | Maxi décollage | FLAP_5  |                           |                            | 228                 | 55                           |
| 7773ER | ICAO_B     | 3              | 4        | Montée         | Maxi décollage | FLAP_1  | 3 314                     |                            |                     |                              |
| 7773ER | ICAO_B     | 3              | 5        | Accélération_% | Maxi montée    | FLAP_0  |                           |                            | 240                 | 50                           |
| 7773ER | ICAO_B     | 3              | 6        | Accélération_% | Maxi montée    | FLAP_0  |                           |                            | 250                 | 50                           |
| 7773ER | ICAO_B     | 3              | 7        | Montée         | Maxi montée    | FLAP_0  | 10 000                    |                            |                     |                              |
| 7773ER | ICAO_B     | 4              | 1        | Décollage      | Maxi décollage | FLAP_5  |                           |                            |                     |                              |
| 7773ER | ICAO_B     | 4              | 2        | Montée         | Maxi décollage | FLAP_5  | 1 289                     |                            |                     |                              |
| 7773ER | ICAO_B     | 4              | 3        | Accélération_% | Maxi décollage | FLAP_5  |                           |                            | 231                 | 55                           |

| ACFTID | Profile_ID | Longueur phase | N° étape | Type étape     | Indice poussée | Flap_ID | Altitude point final (ft) | Vitesse de montée (ft/min) | CAS point final(kt) | Pourcentage_accélération (%) |
|--------|------------|----------------|----------|----------------|----------------|---------|---------------------------|----------------------------|---------------------|------------------------------|
| 7773ER | ICAO_B     | 4              | 4        | Montée         | Maxi décollage | FLAP_1  | 3 104                     |                            |                     |                              |
| 7773ER | ICAO_B     | 4              | 5        | Accélération_% | Maxi montée    | FLAP_0  |                           |                            | 240                 | 50                           |
| 7773ER | ICAO_B     | 4              | 6        | Accélération_% | Maxi montée    | FLAP_0  |                           |                            | 250                 | 50                           |
| 7773ER | ICAO_B     | 4              | 7        | Montée         | Maxi montée    | FLAP_0  | 10 000                    |                            |                     |                              |
| 7773ER | ICAO_B     | 5              | 1        | Décollage      | Maxi décollage | FLAP_5  |                           |                            |                     |                              |
| 7773ER | ICAO_B     | 5              | 2        | Montée         | Maxi décollage | FLAP_5  | 1 214                     |                            |                     |                              |
| 7773ER | ICAO_B     | 5              | 3        | Accélération_% | Maxi décollage | FLAP_5  |                           |                            | 236                 | 55                           |
| 7773ER | ICAO_B     | 5              | 4        | Montée         | Maxi décollage | FLAP_1  | 3 000                     |                            |                     |                              |
| 7773ER | ICAO_B     | 5              | 5        | Accélération_% | Maxi montée    | FLAP_0  |                           |                            | 245                 | 50                           |
| 7773ER | ICAO_B     | 5              | 6        | Accélération_% | Maxi montée    | FLAP_0  |                           |                            | 250                 | 50                           |
| 7773ER | ICAO_B     | 5              | 7        | Montée         | Maxi montée    | FLAP_0  | 10 000                    |                            |                     |                              |
| 7773ER | ICAO_B     | 6              | 1        | Décollage      | Maxi décollage | FLAP_5  |                           |                            |                     |                              |
| 7773ER | ICAO_B     | 6              | 2        | Montée         | Maxi décollage | FLAP_5  | 1 138                     |                            |                     |                              |
| 7773ER | ICAO_B     | 6              | 3        | Accélération_% | Maxi décollage | FLAP_5  |                           |                            | 241                 | 55                           |
| 7773ER | ICAO_B     | 6              | 4        | Montée         | Maxi décollage | FLAP_1  | 3 000                     |                            |                     |                              |
| 7773ER | ICAO_B     | 6              | 5        | Accélération_% | Maxi montée    | FLAP_0  |                           |                            | 250                 | 50                           |
| 7773ER | ICAO_B     | 6              | 6        | Montée         | Maxi montée    | FLAP_0  | 10 000                    |                            |                     |                              |
| 7773ER | ICAO_B     | 7              | 1        | Décollage      | Maxi décollage | FLAP_5  |                           |                            |                     |                              |
| 7773ER | ICAO_B     | 7              | 2        | Montée         | Maxi décollage | FLAP_5  | 1 067                     |                            |                     |                              |
| 7773ER | ICAO_B     | 7              | 3        | Accélération_% | Maxi décollage | FLAP_5  |                           |                            | 249                 | 55                           |

| ACFTID | Profile_ID | Longueur phase | N° étape | Type étape     | Indice poussée | Flap_ID | Altitude point final (ft) | Vitesse de montée (ft/min) | CAS point final(kt) | Pourcentage accélération (%) |
|--------|------------|----------------|----------|----------------|----------------|---------|---------------------------|----------------------------|---------------------|------------------------------|
| 7773ER | ICAO_B     | 7              | 4        | Montée         | Maxi décollage | FLAP_1  | 2 451                     |                            |                     |                              |
| 7773ER | ICAO_B     | 7              | 5        | Accélération_% | Maxi montée    | FLAP_1  |                           |                            | 250                 | 55                           |
| 7773ER | ICAO_B     | 7              | 6        | Montée         | Maxi montée    | FLAP_0  | 3 000                     |                            |                     |                              |
| 7773ER | ICAO_B     | 7              | 7        | Montée         | Maxi montée    | FLAP_0  | 10 000                    |                            |                     |                              |
| 7773ER | ICAO_B     | 8              | 1        | Décollage      | Maxi décollage | FLAP_5  |                           |                            |                     |                              |
| 7773ER | ICAO_B     | 8              | 2        | Montée         | Maxi décollage | FLAP_5  | 1 000                     |                            |                     |                              |
| 7773ER | ICAO_B     | 8              | 3        | Accélération_% | Maxi décollage | FLAP_5  |                           |                            | 257                 | 55                           |
| 7773ER | ICAO_B     | 8              | 4        | Montée         | Maxi décollage | FLAP_1  | 2 280                     |                            |                     |                              |
| 7773ER | ICAO_B     | 8              | 5        | Accélération_% | Maxi montée    | FLAP_1  |                           |                            | 257                 | 55                           |
| 7773ER | ICAO_B     | 8              | 6        | Montée         | Maxi montée    | FLAP_0  | 3 000                     |                            |                     |                              |
| 7773ER | ICAO_B     | 8              | 7        | Montée         | Maxi montée    | FLAP_0  | 10 000                    |                            |                     |                              |
| 7773ER | ICAO_B     | 9              | 1        | Décollage      | Maxi décollage | FLAP_5  |                           |                            |                     |                              |
| 7773ER | ICAO_B     | 9              | 2        | Montée         | Maxi décollage | FLAP_5  | 1 000                     |                            |                     |                              |
| 7773ER | ICAO_B     | 9              | 3        | Accélération_% | Maxi décollage | FLAP_5  |                           |                            | 261                 | 55                           |
| 7773ER | ICAO_B     | 9              | 4        | Montée         | Maxi décollage | FLAP_1  | 2 180                     |                            |                     |                              |
| 7773ER | ICAO_B     | 9              | 5        | Accélération_% | Maxi montée    | FLAP_1  |                           |                            | 262                 | 55                           |
| 7773ER | ICAO_B     | 9              | 6        | Montée         | Maxi montée    | FLAP_0  | 3 000                     |                            |                     |                              |
| 7773ER | ICAO_B     | 9              | 7        | Montée         | Maxi montée    | FLAP_0  | 10 000                    |                            |                     |                              |
| 7878R  | DEFAULT    | 1              | 1        | Décollage      | Maxi décollage | FLAP_5  |                           |                            |                     |                              |
| 7878R  | DEFAULT    | 1              | 2        | Montée         | Maxi décollage | FLAP_5  | 1 000                     |                            |                     |                              |

| ACFTID | Profile_ID | Longueur phase | N° étape | Type étape     | Indice poussée | Flap_ID | Altitude point final (ft) | Vitesse de montée (ft/min) | CAS point final(kt) | Pourcentage accélération (%) |
|--------|------------|----------------|----------|----------------|----------------|---------|---------------------------|----------------------------|---------------------|------------------------------|
| 7878R  | DEFAULT    | 1              | 3        | Accélération_% | Maxi montée    | FLAP_5  |                           |                            | 214                 | 55                           |
| 7878R  | DEFAULT    | 1              | 4        | Accélération_% | Maxi montée    | FLAP_1  |                           |                            | 225                 | 55                           |
| 7878R  | DEFAULT    | 1              | 5        | Montée         | Maxi montée    | FLAP_0  | 3 000                     |                            |                     |                              |
| 7878R  | DEFAULT    | 1              | 6        | Accélération_% | Maxi montée    | FLAP_0  |                           |                            | 250                 | 50                           |
| 7878R  | DEFAULT    | 1              | 7        | Montée         | Maxi montée    | FLAP_0  | 10 000                    |                            |                     |                              |
| 7878R  | DEFAULT    | 2              | 1        | Décollage      | Maxi décollage | FLAP_5  |                           |                            |                     |                              |
| 7878R  | DEFAULT    | 2              | 2        | Montée         | Maxi décollage | FLAP_5  | 1 000                     |                            |                     |                              |
| 7878R  | DEFAULT    | 2              | 3        | Accélération_% | Maxi montée    | FLAP_5  |                           |                            | 214                 | 55                           |
| 7878R  | DEFAULT    | 2              | 4        | Accélération_% | Maxi montée    | FLAP_1  |                           |                            | 222                 | 55                           |
| 7878R  | DEFAULT    | 2              | 5        | Montée         | Maxi montée    | FLAP_0  | 3 000                     |                            |                     |                              |
| 7878R  | DEFAULT    | 2              | 6        | Accélération_% | Maxi montée    | FLAP_0  |                           |                            | 250                 | 50                           |
| 7878R  | DEFAULT    | 2              | 7        | Montée         | Maxi montée    | FLAP_0  | 10 000                    |                            |                     |                              |
| 7878R  | DEFAULT    | 3              | 1        | Décollage      | Maxi décollage | FLAP_5  |                           |                            |                     |                              |
| 7878R  | DEFAULT    | 3              | 2        | Montée         | Maxi décollage | FLAP_5  | 1 000                     |                            |                     |                              |
| 7878R  | DEFAULT    | 3              | 3        | Accélération_% | Maxi montée    | FLAP_5  |                           |                            | 215                 | 55                           |
| 7878R  | DEFAULT    | 3              | 4        | Accélération_% | Maxi montée    | FLAP_1  |                           |                            | 230                 | 55                           |
| 7878R  | DEFAULT    | 3              | 5        | Montée         | Maxi montée    | FLAP_0  | 3 000                     |                            |                     |                              |
| 7878R  | DEFAULT    | 3              | 6        | Accélération_% | Maxi montée    | FLAP_0  |                           |                            | 250                 | 50                           |
| 7878R  | DEFAULT    | 3              | 7        | Montée         | Maxi montée    | FLAP_0  | 10 000                    |                            |                     |                              |
| 7878R  | DEFAULT    | 4              | 1        | Décollage      | Maxi décollage | FLAP_5  |                           |                            |                     |                              |

| ACFTID | Profile_ID | Longueur phase | N° étape | Type étape     | Indice poussée | Flap_ID | Altitude point final (ft) | Vitesse de montée (ft/min) | CAS point final(kt) | Pourcentage_accélération (%) |
|--------|------------|----------------|----------|----------------|----------------|---------|---------------------------|----------------------------|---------------------|------------------------------|
| 7878R  | DEFAULT    | 4              | 2        | Montée         | Maxi décollage | FLAP_5  | 1 000                     |                            |                     |                              |
| 7878R  | DEFAULT    | 4              | 3        | Accélération_% | Maxi montée    | FLAP_5  |                           |                            | 215                 | 55                           |
| 7878R  | DEFAULT    | 4              | 4        | Accélération_% | Maxi montée    | FLAP_1  |                           |                            | 228                 | 55                           |
| 7878R  | DEFAULT    | 4              | 5        | Montée         | Maxi montée    | FLAP_0  | 3 000                     |                            |                     |                              |
| 7878R  | DEFAULT    | 4              | 6        | Accélération_% | Maxi montée    | FLAP_0  |                           |                            | 250                 | 50                           |
| 7878R  | DEFAULT    | 4              | 7        | Montée         | Maxi montée    | FLAP_0  | 10 000                    |                            |                     |                              |
| 7878R  | DEFAULT    | 5              | 1        | Décollage      | Maxi décollage | FLAP_5  |                           |                            |                     |                              |
| 7878R  | DEFAULT    | 5              | 2        | Montée         | Maxi décollage | FLAP_5  | 1 000                     |                            |                     |                              |
| 7878R  | DEFAULT    | 5              | 3        | Accélération_% | Maxi montée    | FLAP_5  |                           |                            | 218                 | 55                           |
| 7878R  | DEFAULT    | 5              | 4        | Accélération_% | Maxi montée    | FLAP_1  |                           |                            | 235                 | 55                           |
| 7878R  | DEFAULT    | 5              | 5        | Montée         | Maxi montée    | FLAP_0  | 3 000                     |                            |                     |                              |
| 7878R  | DEFAULT    | 5              | 6        | Accélération_% | Maxi montée    | FLAP_0  |                           |                            | 250                 | 50                           |
| 7878R  | DEFAULT    | 5              | 7        | Montée         | Maxi montée    | FLAP_0  | 10 000                    |                            |                     |                              |
| 7878R  | DEFAULT    | 6              | 1        | Décollage      | Maxi décollage | FLAP_5  |                           |                            |                     |                              |
| 7878R  | DEFAULT    | 6              | 2        | Montée         | Maxi décollage | FLAP_5  | 1 000                     |                            |                     |                              |
| 7878R  | DEFAULT    | 6              | 3        | Accélération_% | Maxi montée    | FLAP_5  |                           |                            | 220                 | 55                           |
| 7878R  | DEFAULT    | 6              | 4        | Accélération_% | Maxi montée    | FLAP_1  |                           |                            | 238                 | 55                           |
| 7878R  | DEFAULT    | 6              | 5        | Montée         | Maxi montée    | FLAP_0  | 3 000                     |                            |                     |                              |
| 7878R  | DEFAULT    | 6              | 6        | Accélération_% | Maxi montée    | FLAP_0  |                           |                            | 250                 | 50                           |
| 7878R  | DEFAULT    | 6              | 7        | Montée         | Maxi montée    | FLAP_0  | 10 000                    |                            |                     |                              |

| ACFTID | Profile_ID | Longueur phase | N° étape | Type étape     | Indice poussée | Flap_ID | Altitude point final (ft) | Vitesse de montée (ft/min) | CAS point final(kt) | Pourcentage_accélération (%) |
|--------|------------|----------------|----------|----------------|----------------|---------|---------------------------|----------------------------|---------------------|------------------------------|
| 7878R  | DEFAULT    | 7              | 1        | Décollage      | Maxi décollage | FLAP_5  |                           |                            |                     |                              |
| 7878R  | DEFAULT    | 7              | 2        | Montée         | Maxi décollage | FLAP_5  | 1 000                     |                            |                     |                              |
| 7878R  | DEFAULT    | 7              | 3        | Accélération_% | Maxi montée    | FLAP_5  |                           |                            | 224                 | 55                           |
| 7878R  | DEFAULT    | 7              | 4        | Accélération_% | Maxi montée    | FLAP_1  |                           |                            | 243                 | 55                           |
| 7878R  | DEFAULT    | 7              | 5        | Montée         | Maxi montée    | FLAP_0  | 3 000                     |                            |                     |                              |
| 7878R  | DEFAULT    | 7              | 6        | Accélération_% | Maxi montée    | FLAP_0  |                           |                            | 250                 | 50                           |
| 7878R  | DEFAULT    | 7              | 7        | Montée         | Maxi montée    | FLAP_0  | 10 000                    |                            |                     |                              |
| 7878R  | DEFAULT    | 8              | 1        | Décollage      | Maxi décollage | FLAP_5  |                           |                            |                     |                              |
| 7878R  | DEFAULT    | 8              | 2        | Montée         | Maxi décollage | FLAP_5  | 1 000                     |                            |                     |                              |
| 7878R  | DEFAULT    | 8              | 3        | Accélération_% | Maxi montée    | FLAP_5  |                           |                            | 226                 | 55                           |
| 7878R  | DEFAULT    | 8              | 4        | Accélération_% | Maxi montée    | FLAP_1  |                           |                            | 246                 | 55                           |
| 7878R  | DEFAULT    | 8              | 5        | Montée         | Maxi montée    | FLAP_0  | 3 000                     |                            |                     |                              |
| 7878R  | DEFAULT    | 8              | 6        | Accélération_% | Maxi montée    | FLAP_0  |                           |                            | 250                 | 50                           |
| 7878R  | DEFAULT    | 8              | 7        | Montée         | Maxi montée    | FLAP_0  | 10 000                    |                            |                     |                              |
| 7878R  | DEFAULT    | 9              | 1        | Décollage      | Maxi décollage | FLAP_5  |                           |                            |                     |                              |
| 7878R  | DEFAULT    | 9              | 2        | Montée         | Maxi décollage | FLAP_5  | 1 000                     |                            |                     |                              |
| 7878R  | DEFAULT    | 9              | 3        | Accélération_% | Maxi montée    | FLAP_5  |                           |                            | 230                 | 55                           |
| 7878R  | DEFAULT    | 9              | 4        | Accélération_% | Maxi montée    | FLAP_1  |                           |                            | 245                 | 55                           |
| 7878R  | DEFAULT    | 9              | 5        | Montée         | Maxi montée    | FLAP_0  | 3 000                     |                            |                     |                              |
| 7878R  | DEFAULT    | 9              | 6        | Accélération_% | Maxi montée    | FLAP_0  |                           |                            | 250                 | 50                           |

| ACFTID | Profile_ID | Longueur phase | N° étape | Type étape     | Indice poussée | Flap_ID | Altitude point final (ft) | Vitesse de montée (ft/min) | CAS point final(kt) | Pourcentage accélération (%) |
|--------|------------|----------------|----------|----------------|----------------|---------|---------------------------|----------------------------|---------------------|------------------------------|
| 7878R  | DEFAULT    | 9              | 7        | Montée         | Maxi montée    | FLAP_0  | 10 000                    |                            |                     |                              |
| 7878R  | ICAO_A     | 1              | 1        | Décollage      | Maxi décollage | FLAP_5  |                           |                            |                     |                              |
| 7878R  | ICAO_A     | 1              | 2        | Montée         | Maxi décollage | FLAP_5  | 1 500                     |                            |                     |                              |
| 7878R  | ICAO_A     | 1              | 3        | Montée         | Maxi montée    | FLAP_5  | 3 000                     |                            |                     |                              |
| 7878R  | ICAO_A     | 1              | 4        | Accélération_% | Maxi montée    | FLAP_5  |                           |                            | 220                 | 55                           |
| 7878R  | ICAO_A     | 1              | 5        | Montée         | Maxi montée    | FLAP_1  | 4 500                     |                            |                     |                              |
| 7878R  | ICAO_A     | 1              | 6        | Accélération_% | Maxi montée    | FLAP_0  |                           |                            | 250                 | 50                           |
| 7878R  | ICAO_A     | 1              | 7        | Montée         | Maxi montée    | FLAP_0  | 10 000                    |                            |                     |                              |
| 7878R  | ICAO_A     | 2              | 1        | Décollage      | Maxi décollage | FLAP_5  |                           |                            |                     |                              |
| 7878R  | ICAO_A     | 2              | 2        | Montée         | Maxi décollage | FLAP_5  | 1 500                     |                            |                     |                              |
| 7878R  | ICAO_A     | 2              | 3        | Montée         | Maxi montée    | FLAP_5  | 3 000                     |                            |                     |                              |
| 7878R  | ICAO_A     | 2              | 4        | Accélération_% | Maxi montée    | FLAP_5  |                           |                            | 220                 | 55                           |
| 7878R  | ICAO_A     | 2              | 5        | Montée         | Maxi montée    | FLAP_1  | 4 400                     |                            |                     |                              |
| 7878R  | ICAO_A     | 2              | 6        | Accélération_% | Maxi montée    | FLAP_0  |                           |                            | 250                 | 50                           |
| 7878R  | ICAO_A     | 2              | 7        | Montée         | Maxi montée    | FLAP_0  | 10 000                    |                            |                     |                              |
| 7878R  | ICAO_A     | 3              | 1        | Décollage      | Maxi décollage | FLAP_5  |                           |                            |                     |                              |
| 7878R  | ICAO_A     | 3              | 2        | Montée         | Maxi décollage | FLAP_5  | 1 500                     |                            |                     |                              |
| 7878R  | ICAO_A     | 3              | 3        | Montée         | Maxi montée    | FLAP_5  | 3 000                     |                            |                     |                              |
| 7878R  | ICAO_A     | 3              | 4        | Accélération_% | Maxi montée    | FLAP_5  |                           |                            | 220                 | 55                           |
| 7878R  | ICAO_A     | 3              | 5        | Montée         | Maxi montée    | FLAP_1  | 4 400                     |                            |                     |                              |

| ACFTID | Profile_ID | Longueur phase | N° étape | Type étape     | Indice poussée | Flap_ID | Altitude point final (ft) | Vitesse de montée (ft/min) | CAS point final(kt) | Pourcentage accélération (%) |
|--------|------------|----------------|----------|----------------|----------------|---------|---------------------------|----------------------------|---------------------|------------------------------|
| 7878R  | ICAO_A     | 3              | 6        | Accélération_% | Maxi montée    | FLAP_0  |                           |                            | 250                 | 50                           |
| 7878R  | ICAO_A     | 3              | 7        | Montée         | Maxi montée    | FLAP_0  | 10 000                    |                            |                     |                              |
| 7878R  | ICAO_A     | 4              | 1        | Décollage      | Maxi décollage | FLAP_5  |                           |                            |                     |                              |
| 7878R  | ICAO_A     | 4              | 2        | Montée         | Maxi décollage | FLAP_5  | 1 500                     |                            |                     |                              |
| 7878R  | ICAO_A     | 4              | 3        | Montée         | Maxi montée    | FLAP_5  | 3 000                     |                            |                     |                              |
| 7878R  | ICAO_A     | 4              | 4        | Accélération_% | Maxi montée    | FLAP_5  |                           |                            | 220                 | 55                           |
| 7878R  | ICAO_A     | 4              | 5        | Montée         | Maxi montée    | FLAP_1  | 4 300                     |                            |                     |                              |
| 7878R  | ICAO_A     | 4              | 6        | Accélération_% | Maxi montée    | FLAP_0  |                           |                            | 250                 | 50                           |
| 7878R  | ICAO_A     | 4              | 7        | Montée         | Maxi montée    | FLAP_0  | 10 000                    |                            |                     |                              |
| 7878R  | ICAO_A     | 5              | 1        | Décollage      | Maxi décollage | FLAP_5  |                           |                            |                     |                              |
| 7878R  | ICAO_A     | 5              | 2        | Montée         | Maxi décollage | FLAP_5  | 1 500                     |                            |                     |                              |
| 7878R  | ICAO_A     | 5              | 3        | Montée         | Maxi montée    | FLAP_5  | 3 000                     |                            |                     |                              |
| 7878R  | ICAO_A     | 5              | 4        | Accélération_% | Maxi montée    | FLAP_5  |                           |                            | 224                 | 55                           |
| 7878R  | ICAO_A     | 5              | 5        | Montée         | Maxi montée    | FLAP_1  | 4 200                     |                            |                     |                              |
| 7878R  | ICAO_A     | 5              | 6        | Accélération_% | Maxi montée    | FLAP_0  |                           |                            | 250                 | 50                           |
| 7878R  | ICAO_A     | 5              | 7        | Montée         | Maxi montée    | FLAP_0  | 10 000                    |                            |                     |                              |
| 7878R  | ICAO_A     | 6              | 1        | Décollage      | Maxi décollage | FLAP_5  |                           |                            |                     |                              |
| 7878R  | ICAO_A     | 6              | 2        | Montée         | Maxi décollage | FLAP_5  | 1 500                     |                            |                     |                              |
| 7878R  | ICAO_A     | 6              | 3        | Montée         | Maxi montée    | FLAP_5  | 3 000                     |                            |                     |                              |
| 7878R  | ICAO_A     | 6              | 4        | Accélération_% | Maxi montée    | FLAP_5  |                           |                            | 226                 | 55                           |

| ACFTID | Profile_ID | Longueur phase | N° étape | Type étape     | Indice poussée | Flap_ID | Altitude point final (ft) | Vitesse de montée (ft/min) | CAS point final(kt) | Pourcentage accélération (%) |
|--------|------------|----------------|----------|----------------|----------------|---------|---------------------------|----------------------------|---------------------|------------------------------|
| 7878R  | ICAO_A     | 6              | 5        | Montée         | Maxi montée    | FLAP_1  | 4 100                     |                            |                     |                              |
| 7878R  | ICAO_A     | 6              | 6        | Accélération_% | Maxi montée    | FLAP_0  |                           |                            | 250                 | 50                           |
| 7878R  | ICAO_A     | 6              | 7        | Montée         | Maxi montée    | FLAP_0  | 10 000                    |                            |                     |                              |
| 7878R  | ICAO_A     | 7              | 1        | Décollage      | Maxi décollage | FLAP_5  |                           |                            |                     |                              |
| 7878R  | ICAO_A     | 7              | 2        | Montée         | Maxi décollage | FLAP_5  | 1 500                     |                            |                     |                              |
| 7878R  | ICAO_A     | 7              | 3        | Montée         | Maxi montée    | FLAP_5  | 3 000                     |                            |                     |                              |
| 7878R  | ICAO_A     | 7              | 4        | Accélération_% | Maxi montée    | FLAP_5  |                           |                            | 232                 | 55                           |
| 7878R  | ICAO_A     | 7              | 5        | Montée         | Maxi montée    | FLAP_1  | 4 000                     |                            |                     |                              |
| 7878R  | ICAO_A     | 7              | 6        | Accélération_% | Maxi montée    | FLAP_0  |                           |                            | 250                 | 50                           |
| 7878R  | ICAO_A     | 7              | 7        | Montée         | Maxi montée    | FLAP_0  | 10 000                    |                            |                     |                              |
| 7878R  | ICAO_A     | 8              | 1        | Décollage      | Maxi décollage | FLAP_5  |                           |                            |                     |                              |
| 7878R  | ICAO_A     | 8              | 2        | Montée         | Maxi décollage | FLAP_5  | 1 500                     |                            |                     |                              |
| 7878R  | ICAO_A     | 8              | 3        | Montée         | Maxi montée    | FLAP_5  | 3 000                     |                            |                     |                              |
| 7878R  | ICAO_A     | 8              | 4        | Accélération_% | Maxi montée    | FLAP_5  |                           |                            | 232                 | 55                           |
| 7878R  | ICAO_A     | 8              | 5        | Montée         | Maxi montée    | FLAP_1  | 4 000                     |                            |                     |                              |
| 7878R  | ICAO_A     | 8              | 6        | Accélération_% | Maxi montée    | FLAP_0  |                           |                            | 250                 | 50                           |
| 7878R  | ICAO_A     | 8              | 7        | Montée         | Maxi montée    | FLAP_0  | 10 000                    |                            |                     |                              |
| 7878R  | ICAO_A     | 9              | 1        | Décollage      | Maxi décollage | FLAP_5  |                           |                            |                     |                              |
| 7878R  | ICAO_A     | 9              | 2        | Montée         | Maxi décollage | FLAP_5  | 1 500                     |                            |                     |                              |
| 7878R  | ICAO_A     | 9              | 3        | Montée         | Maxi montée    | FLAP_5  | 3 000                     |                            |                     |                              |

| ACFTID | Profile_ID | Longueur phase | N° étape | Type étape     | Indice poussée | Flap_ID | Altitude point final (ft) | Vitesse de montée (ft/min) | CAS point final(kt) | Pourcentage_accélération (%) |
|--------|------------|----------------|----------|----------------|----------------|---------|---------------------------|----------------------------|---------------------|------------------------------|
| 7878R  | ICAO_A     | 9              | 4        | Accélération_% | Maxi montée    | FLAP_5  |                           |                            | 235                 | 55                           |
| 7878R  | ICAO_A     | 9              | 5        | Montée         | Maxi montée    | FLAP_1  | 4 000                     |                            |                     |                              |
| 7878R  | ICAO_A     | 9              | 6        | Accélération_% | Maxi montée    | FLAP_0  |                           |                            | 250                 | 50                           |
| 7878R  | ICAO_A     | 9              | 7        | Montée         | Maxi montée    | FLAP_0  | 10 000                    |                            |                     |                              |
| 7878R  | ICAO_B     | 1              | 1        | Décollage      | Maxi décollage | FLAP_5  |                           |                            |                     |                              |
| 7878R  | ICAO_B     | 1              | 2        | Montée         | Maxi décollage | FLAP_5  | 1 000                     |                            |                     |                              |
| 7878R  | ICAO_B     | 1              | 3        | Accélération_% | Maxi décollage | FLAP_5  |                           |                            | 220                 | 55                           |
| 7878R  | ICAO_B     | 1              | 4        | Montée         | Maxi décollage | FLAP_1  | 2 700                     |                            |                     |                              |
| 7878R  | ICAO_B     | 1              | 5        | Montée         | Maxi montée    | FLAP_0  | 3 000                     |                            |                     |                              |
| 7878R  | ICAO_B     | 1              | 6        | Accélération_% | Maxi montée    | FLAP_0  |                           |                            | 250                 | 50                           |
| 7878R  | ICAO_B     | 1              | 7        | Montée         | Maxi montée    | FLAP_0  | 10 000                    |                            |                     |                              |
| 7878R  | ICAO_B     | 2              | 1        | Décollage      | Maxi décollage | FLAP_5  |                           |                            |                     |                              |
| 7878R  | ICAO_B     | 2              | 2        | Montée         | Maxi décollage | FLAP_5  | 1 000                     |                            |                     |                              |
| 7878R  | ICAO_B     | 2              | 3        | Accélération_% | Maxi décollage | FLAP_5  |                           |                            | 220                 | 55                           |
| 7878R  | ICAO_B     | 2              | 4        | Montée         | Maxi décollage | FLAP_1  | 2 700                     |                            |                     |                              |
| 7878R  | ICAO_B     | 2              | 5        | Montée         | Maxi montée    | FLAP_0  | 3 000                     |                            |                     |                              |
| 7878R  | ICAO_B     | 2              | 6        | Accélération_% | Maxi montée    | FLAP_0  |                           |                            | 250                 | 50                           |
| 7878R  | ICAO_B     | 2              | 7        | Montée         | Maxi montée    | FLAP_0  | 10 000                    |                            |                     |                              |
| 7878R  | ICAO_B     | 3              | 1        | Décollage      | Maxi décollage | FLAP_5  |                           |                            |                     |                              |
| 7878R  | ICAO_B     | 3              | 2        | Montée         | Maxi décollage | FLAP_5  | 1 000                     |                            |                     |                              |

| ACFTID | Profile_ID | Longueur phase | N° étape | Type étape     | Indice poussée | Flap_ID | Altitude point final (ft) | Vitesse de montée (ft/min) | CAS point final(kt) | Pourcentage_accélération (%) |
|--------|------------|----------------|----------|----------------|----------------|---------|---------------------------|----------------------------|---------------------|------------------------------|
| 7878R  | ICAO_B     | 3              | 3        | Accélération_% | Maxi décollage | FLAP_5  |                           |                            | 220                 | 55                           |
| 7878R  | ICAO_B     | 3              | 4        | Montée         | Maxi décollage | FLAP_1  | 2 700                     |                            |                     |                              |
| 7878R  | ICAO_B     | 3              | 5        | Montée         | Maxi montée    | FLAP_0  | 3 000                     |                            |                     |                              |
| 7878R  | ICAO_B     | 3              | 6        | Accélération_% | Maxi montée    | FLAP_0  |                           |                            | 250                 | 50                           |
| 7878R  | ICAO_B     | 3              | 7        | Montée         | Maxi montée    | FLAP_0  | 10 000                    |                            |                     |                              |
| 7878R  | ICAO_B     | 4              | 1        | Décollage      | Maxi décollage | FLAP_5  |                           |                            |                     |                              |
| 7878R  | ICAO_B     | 4              | 2        | Montée         | Maxi décollage | FLAP_5  | 1 000                     |                            |                     |                              |
| 7878R  | ICAO_B     | 4              | 3        | Accélération_% | Maxi décollage | FLAP_5  |                           |                            | 225                 | 55                           |
| 7878R  | ICAO_B     | 4              | 4        | Montée         | Maxi décollage | FLAP_1  | 2 600                     |                            |                     |                              |
| 7878R  | ICAO_B     | 4              | 5        | Montée         | Maxi montée    | FLAP_0  | 3 000                     |                            |                     |                              |
| 7878R  | ICAO_B     | 4              | 6        | Accélération_% | Maxi montée    | FLAP_0  |                           |                            | 250                 | 50                           |
| 7878R  | ICAO_B     | 4              | 7        | Montée         | Maxi montée    | FLAP_0  | 10 000                    |                            |                     |                              |
| 7878R  | ICAO_B     | 5              | 1        | Décollage      | Maxi décollage | FLAP_5  |                           |                            |                     |                              |
| 7878R  | ICAO_B     | 5              | 2        | Montée         | Maxi décollage | FLAP_5  | 1 000                     |                            |                     |                              |
| 7878R  | ICAO_B     | 5              | 3        | Accélération_% | Maxi décollage | FLAP_5  |                           |                            | 230                 | 55                           |
| 7878R  | ICAO_B     | 5              | 4        | Montée         | Maxi décollage | FLAP_1  | 2 500                     |                            |                     |                              |
| 7878R  | ICAO_B     | 5              | 5        | Montée         | Maxi montée    | FLAP_0  | 3 000                     |                            |                     |                              |
| 7878R  | ICAO_B     | 5              | 6        | Accélération_% | Maxi montée    | FLAP_0  |                           |                            | 250                 | 50                           |
| 7878R  | ICAO_B     | 5              | 7        | Montée         | Maxi montée    | FLAP_0  | 10 000                    |                            |                     |                              |
| 7878R  | ICAO_B     | 6              | 1        | Décollage      | Maxi décollage | FLAP_5  |                           |                            |                     |                              |

| ACFTID | Profile_ID | Longueur phase | N° étape | Type étape     | Indice poussée | Flap_ID | Altitude point final (ft) | Vitesse de montée (ft/min) | CAS point final(kt) | Pourcentage_accélération (%) |
|--------|------------|----------------|----------|----------------|----------------|---------|---------------------------|----------------------------|---------------------|------------------------------|
| 7878R  | ICAO_B     | 6              | 2        | Montée         | Maxi décollage | FLAP_5  | 1 000                     |                            |                     |                              |
| 7878R  | ICAO_B     | 6              | 3        | Accélération_% | Maxi décollage | FLAP_5  |                           |                            | 230                 | 55                           |
| 7878R  | ICAO_B     | 6              | 4        | Montée         | Maxi décollage | FLAP_1  | 2 400                     |                            |                     |                              |
| 7878R  | ICAO_B     | 6              | 5        | Montée         | Maxi montée    | FLAP_0  | 3 000                     |                            |                     |                              |
| 7878R  | ICAO_B     | 6              | 6        | Accélération_% | Maxi montée    | FLAP_0  |                           |                            | 250                 | 50                           |
| 7878R  | ICAO_B     | 6              | 7        | Montée         | Maxi montée    | FLAP_0  | 10 000                    |                            |                     |                              |
| 7878R  | ICAO_B     | 7              | 1        | Décollage      | Maxi décollage | FLAP_5  |                           |                            |                     |                              |
| 7878R  | ICAO_B     | 7              | 2        | Montée         | Maxi décollage | FLAP_5  | 1 000                     |                            |                     |                              |
| 7878R  | ICAO_B     | 7              | 3        | Accélération_% | Maxi décollage | FLAP_5  |                           |                            | 235                 | 55                           |
| 7878R  | ICAO_B     | 7              | 4        | Montée         | Maxi décollage | FLAP_1  | 2 200                     |                            |                     |                              |
| 7878R  | ICAO_B     | 7              | 5        | Montée         | Maxi montée    | FLAP_0  | 3 000                     |                            |                     |                              |
| 7878R  | ICAO_B     | 7              | 6        | Accélération_% | Maxi montée    | FLAP_0  |                           |                            | 250                 | 50                           |
| 7878R  | ICAO_B     | 7              | 7        | Montée         | Maxi montée    | FLAP_0  | 10 000                    |                            |                     |                              |
| 7878R  | ICAO_B     | 8              | 1        | Décollage      | Maxi décollage | FLAP_5  |                           |                            |                     |                              |
| 7878R  | ICAO_B     | 8              | 2        | Montée         | Maxi décollage | FLAP_5  | 1 000                     |                            |                     |                              |
| 7878R  | ICAO_B     | 8              | 3        | Accélération_% | Maxi décollage | FLAP_5  |                           |                            | 240                 | 55                           |
| 7878R  | ICAO_B     | 8              | 4        | Montée         | Maxi décollage | FLAP_1  | 2 100                     |                            |                     |                              |
| 7878R  | ICAO_B     | 8              | 5        | Montée         | Maxi montée    | FLAP_0  | 3 000                     |                            |                     |                              |
| 7878R  | ICAO_B     | 8              | 6        | Accélération_% | Maxi montée    | FLAP_0  |                           |                            | 250                 | 50                           |
| 7878R  | ICAO_B     | 8              | 7        | Montée         | Maxi montée    | FLAP_0  | 10 000                    |                            |                     |                              |

| ACFTID    | Profile_ID | Longueur phase | N° étape | Type étape     | Indice poussée | Flap_ID | Altitude point final (ft) | Vitesse de montée (ft/min) | CAS point final(kt) | Pourcentage_accélération (%) |
|-----------|------------|----------------|----------|----------------|----------------|---------|---------------------------|----------------------------|---------------------|------------------------------|
| 7878R     | ICAO_B     | 9              | 1        | Décollage      | Maxi décollage | FLAP_5  |                           |                            |                     |                              |
| 7878R     | ICAO_B     | 9              | 2        | Montée         | Maxi décollage | FLAP_5  | 1 000                     |                            |                     |                              |
| 7878R     | ICAO_B     | 9              | 3        | Accélération_% | Maxi décollage | FLAP_5  |                           |                            | 245                 | 55                           |
| 7878R     | ICAO_B     | 9              | 4        | Montée         | Maxi décollage | FLAP_1  | 2 100                     |                            |                     |                              |
| 7878R     | ICAO_B     | 9              | 5        | Montée         | Maxi montée    | FLAP_0  | 3 000                     |                            |                     |                              |
| 7878R     | ICAO_B     | 9              | 6        | Accélération_% | Maxi montée    | FLAP_0  |                           |                            | 250                 | 50                           |
| 7878R     | ICAO_B     | 9              | 7        | Montée         | Maxi montée    | FLAP_0  | 10 000                    |                            |                     |                              |
| A300-622R | DEFAULT    | 1              | 1        | Décollage      | Maxi décollage | 1500    |                           |                            |                     |                              |
| A300-622R | DEFAULT    | 1              | 2        | Montée         | Maxi décollage | 1500    | 1 000                     |                            |                     |                              |
| A300-622R | DEFAULT    | 1              | 3        | Accélération   | Maxi décollage | 1500    |                           | 1 419,5                    | 185,3               |                              |
| A300-622R | DEFAULT    | 1              | 4        | Montée         | Maxi montée    | 0       | 3 000                     |                            |                     |                              |
| A300-622R | DEFAULT    | 1              | 5        | Accélération   | Maxi montée    | 0       |                           | 1 275                      | 250                 |                              |
| A300-622R | DEFAULT    | 1              | 6        | Montée         | Maxi montée    | 0       | 5 500                     |                            |                     |                              |
| A300-622R | DEFAULT    | 1              | 7        | Montée         | Maxi montée    | 0       | 7 500                     |                            |                     |                              |
| A300-622R | DEFAULT    | 1              | 8        | Montée         | Maxi montée    | 0       | 10 000                    |                            |                     |                              |
| A300-622R | DEFAULT    | 2              | 1        | Décollage      | Maxi décollage | 1500    |                           |                            |                     |                              |
| A300-622R | DEFAULT    | 2              | 2        | Montée         | Maxi décollage | 1500    | 1 000                     |                            |                     |                              |
| A300-622R | DEFAULT    | 2              | 3        | Accélération   | Maxi décollage | 1500    |                           | 1 361,3                    | 189,3               |                              |
| A300-622R | DEFAULT    | 2              | 4        | Montée         | Maxi montée    | 0       | 3 000                     |                            |                     |                              |
| A300-622R | DEFAULT    | 2              | 5        | Accélération   | Maxi montée    | 0       |                           | 1 216,8                    | 250                 |                              |

| ACFTID    | Profile_ID | Longueur phase | N° étape | Type étape   | Indice poussée | Flap_ID | Altitude point final (ft) | Vitesse de montée (ft/min) | CAS point final(kt) | Pourcentage accélération (%) |
|-----------|------------|----------------|----------|--------------|----------------|---------|---------------------------|----------------------------|---------------------|------------------------------|
| A300-622R | DEFAULT    | 2              | 6        | Montée       | Maxi montée    | 0       | 5 500                     |                            |                     |                              |
| A300-622R | DEFAULT    | 2              | 7        | Montée       | Maxi montée    | 0       | 7 500                     |                            |                     |                              |
| A300-622R | DEFAULT    | 2              | 8        | Montée       | Maxi montée    | 0       | 10 000                    |                            |                     |                              |
| A300-622R | DEFAULT    | 3              | 1        | Décollage    | Maxi décollage | 1500    |                           |                            |                     |                              |
| A300-622R | DEFAULT    | 3              | 2        | Montée       | Maxi décollage | 1500    | 1 000                     |                            |                     |                              |
| A300-622R | DEFAULT    | 3              | 3        | Accélération | Maxi décollage | 1500    |                           | 1 303,7                    | 193,2               |                              |
| A300-622R | DEFAULT    | 3              | 4        | Montée       | Maxi montée    | 0       | 3 000                     |                            |                     |                              |
| A300-622R | DEFAULT    | 3              | 5        | Accélération | Maxi montée    | 0       |                           | 1 159,4                    | 250                 |                              |
| A300-622R | DEFAULT    | 3              | 6        | Montée       | Maxi montée    | 0       | 5 500                     |                            |                     |                              |
| A300-622R | DEFAULT    | 3              | 7        | Montée       | Maxi montée    | 0       | 7 500                     |                            |                     |                              |
| A300-622R | DEFAULT    | 3              | 8        | Montée       | Maxi montée    | 0       | 10 000                    |                            |                     |                              |
| A300-622R | DEFAULT    | 4              | 1        | Décollage    | Maxi décollage | 1500    |                           |                            |                     |                              |
| A300-622R | DEFAULT    | 4              | 2        | Montée       | Maxi décollage | 1500    | 1 000                     |                            |                     |                              |
| A300-622R | DEFAULT    | 4              | 3        | Accélération | Maxi décollage | 1500    |                           | 1 210,4                    | 200,1               |                              |
| A300-622R | DEFAULT    | 4              | 4        | Montée       | Maxi montée    | 0       | 3 000                     |                            |                     |                              |
| A300-622R | DEFAULT    | 4              | 5        | Accélération | Maxi montée    | 0       |                           | 1 065,5                    | 250                 |                              |
| A300-622R | DEFAULT    | 4              | 6        | Montée       | Maxi montée    | 0       | 5 500                     |                            |                     |                              |
| A300-622R | DEFAULT    | 4              | 7        | Montée       | Maxi montée    | 0       | 7 500                     |                            |                     |                              |
| A300-622R | DEFAULT    | 4              | 8        | Montée       | Maxi montée    | 0       | 10 000                    |                            |                     |                              |
| A300-622R | DEFAULT    | 5              | 1        | Décollage    | Maxi décollage | 1500    |                           |                            |                     |                              |

| ACFTID    | Profile_ID | Longueur phase | N° étape | Type étape   | Indice poussée | Flap_ID | Altitude point final (ft) | Vitesse de montée (ft/min) | CAS point final(kt) | Pourcentage_accélération (%) |
|-----------|------------|----------------|----------|--------------|----------------|---------|---------------------------|----------------------------|---------------------|------------------------------|
| A300-622R | DEFAULT    | 5              | 2        | Montée       | Maxi décollage | 1500    | 1 000                     |                            |                     |                              |
| A300-622R | DEFAULT    | 5              | 3        | Accélération | Maxi décollage | 1500    |                           | 1 099,6                    | 209,1               |                              |
| A300-622R | DEFAULT    | 5              | 4        | Montée       | Maxi montée    | 0       | 3 000                     |                            |                     |                              |
| A300-622R | DEFAULT    | 5              | 5        | Accélération | Maxi montée    | 0       |                           | 953,9                      | 250                 |                              |
| A300-622R | DEFAULT    | 5              | 6        | Montée       | Maxi montée    | 0       | 5 500                     |                            |                     |                              |
| A300-622R | DEFAULT    | 5              | 7        | Montée       | Maxi montée    | 0       | 7 500                     |                            |                     |                              |
| A300-622R | DEFAULT    | 5              | 8        | Montée       | Maxi montée    | 0       | 10 000                    |                            |                     |                              |
| A300-622R | DEFAULT    | 6              | 1        | Décollage    | Maxi décollage | 1500    |                           |                            |                     |                              |
| A300-622R | DEFAULT    | 6              | 2        | Montée       | Maxi décollage | 1500    | 1 000                     |                            |                     |                              |
| A300-622R | DEFAULT    | 6              | 3        | Accélération | Maxi décollage | 1500    |                           | 1 015,3                    | 216,4               |                              |
| A300-622R | DEFAULT    | 6              | 4        | Montée       | Maxi montée    | 0       | 3 000                     |                            |                     |                              |
| A300-622R | DEFAULT    | 6              | 5        | Accélération | Maxi montée    | 0       |                           | 870,9                      | 250                 |                              |
| A300-622R | DEFAULT    | 6              | 6        | Montée       | Maxi montée    | 0       | 5 500                     |                            |                     |                              |
| A300-622R | DEFAULT    | 6              | 7        | Montée       | Maxi montée    | 0       | 7 500                     |                            |                     |                              |
| A300-622R | DEFAULT    | 6              | 8        | Montée       | Maxi montée    | 0       | 10 000                    |                            |                     |                              |
| A300-622R | ICAO_A     | 1              | 1        | Décollage    | Maxi décollage | 1500    |                           |                            |                     |                              |
| A300-622R | ICAO_A     | 1              | 2        | Montée       | Maxi décollage | 1500    | 1 500                     |                            |                     |                              |
| A300-622R | ICAO_A     | 1              | 3        | Montée       | Maxi montée    | 1500    | 3 000                     |                            |                     |                              |
| A300-622R | ICAO_A     | 1              | 4        | Accélération | Maxi montée    | 1500    |                           | 979,6                      | 185,2               |                              |
| A300-622R | ICAO_A     | 1              | 5        | Accélération | Maxi montée    | 0       |                           | 1 107,6                    | 204,5               |                              |

| ACFTID    | Profile_ID | Longueur phase | N° étape | Type étape   | Indice poussée | Flap_ID | Altitude point final (ft) | Vitesse de montée (ft/min) | CAS point final(kt) | Pourcentage_accélération (%) |
|-----------|------------|----------------|----------|--------------|----------------|---------|---------------------------|----------------------------|---------------------|------------------------------|
| A300-622R | ICAO_A     | 1              | 6        | Accélération | Maxi montée    | 0       |                           | 1 303,7                    | 250                 |                              |
| A300-622R | ICAO_A     | 1              | 7        | Montée       | Maxi montée    | 0       | 5 500                     |                            |                     |                              |
| A300-622R | ICAO_A     | 1              | 8        | Montée       | Maxi montée    | 0       | 7 500                     |                            |                     |                              |
| A300-622R | ICAO_A     | 1              | 9        | Montée       | Maxi montée    | 0       | 10 000                    |                            |                     |                              |
| A300-622R | ICAO_A     | 2              | 1        | Décollage    | Maxi décollage | 1500    |                           |                            |                     |                              |
| A300-622R | ICAO_A     | 2              | 2        | Montée       | Maxi décollage | 1500    | 1 500                     |                            |                     |                              |
| A300-622R | ICAO_A     | 2              | 3        | Montée       | Maxi montée    | 1500    | 3 000                     |                            |                     |                              |
| A300-622R | ICAO_A     | 2              | 4        | Accélération | Maxi montée    | 1500    |                           | 935                        | 189,1               |                              |
| A300-622R | ICAO_A     | 2              | 5        | Accélération | Maxi montée    | 0       |                           | 1 059,7                    | 207,3               |                              |
| A300-622R | ICAO_A     | 2              | 6        | Accélération | Maxi montée    | 0       |                           | 1 241,6                    | 250                 |                              |
| A300-622R | ICAO_A     | 2              | 7        | Montée       | Maxi montée    | 0       | 5 500                     |                            |                     |                              |
| A300-622R | ICAO_A     | 2              | 8        | Montée       | Maxi montée    | 0       | 7 500                     |                            |                     |                              |
| A300-622R | ICAO_A     | 2              | 9        | Montée       | Maxi montée    | 0       | 10 000                    |                            |                     |                              |
| A300-622R | ICAO_A     | 3              | 1        | Décollage    | Maxi décollage | 1500    |                           |                            |                     |                              |
| A300-622R | ICAO_A     | 3              | 2        | Montée       | Maxi décollage | 1500    | 1 500                     |                            |                     |                              |
| A300-622R | ICAO_A     | 3              | 3        | Montée       | Maxi montée    | 1500    | 3 000                     |                            |                     |                              |
| A300-622R | ICAO_A     | 3              | 4        | Accélération | Maxi montée    | 1500    |                           | 890,5                      | 193,1               |                              |
| A300-622R | ICAO_A     | 3              | 5        | Accélération | Maxi montée    | 0       |                           | 1 012,1                    | 210,1               |                              |
| A300-622R | ICAO_A     | 3              | 6        | Accélération | Maxi montée    | 0       |                           | 1 180,8                    | 250                 |                              |
| A300-622R | ICAO_A     | 3              | 7        | Montée       | Maxi montée    | 0       | 5 500                     |                            |                     |                              |

| ACFTID    | Profile_ID | Longueur phase | N° étape | Type étape   | Indice poussée | Flap_ID | Altitude point final (ft) | Vitesse de montée (ft/min) | CAS point final(kt) | Pourcentage accélération (%) |
|-----------|------------|----------------|----------|--------------|----------------|---------|---------------------------|----------------------------|---------------------|------------------------------|
| A300-622R | ICAO_A     | 3              | 8        | Montée       | Maxi montée    | 0       | 7 500                     |                            |                     |                              |
| A300-622R | ICAO_A     | 3              | 9        | Montée       | Maxi montée    | 0       | 10 000                    |                            |                     |                              |
| A300-622R | ICAO_A     | 4              | 1        | Décollage    | Maxi décollage | 1500    |                           |                            |                     |                              |
| A300-622R | ICAO_A     | 4              | 2        | Montée       | Maxi décollage | 1500    | 1 500                     |                            |                     |                              |
| A300-622R | ICAO_A     | 4              | 3        | Montée       | Maxi montée    | 1500    | 3 000                     |                            |                     |                              |
| A300-622R | ICAO_A     | 4              | 4        | Accélération | Maxi montée    | 1500    |                           | 817,4                      | 200                 |                              |
| A300-622R | ICAO_A     | 4              | 5        | Accélération | Maxi montée    | 0       |                           | 933,4                      | 215,2               |                              |
| A300-622R | ICAO_A     | 4              | 6        | Accélération | Maxi montée    | 0       |                           | 1 081,4                    | 250                 |                              |
| A300-622R | ICAO_A     | 4              | 7        | Montée       | Maxi montée    | 0       | 5 500                     |                            |                     |                              |
| A300-622R | ICAO_A     | 4              | 8        | Montée       | Maxi montée    | 0       | 7 500                     |                            |                     |                              |
| A300-622R | ICAO_A     | 4              | 9        | Montée       | Maxi montée    | 0       | 10 000                    |                            |                     |                              |
| A300-622R | ICAO_A     | 5              | 1        | Décollage    | Maxi décollage | 1500    |                           |                            |                     |                              |
| A300-622R | ICAO_A     | 5              | 2        | Montée       | Maxi décollage | 1500    | 1 500                     |                            |                     |                              |
| A300-622R | ICAO_A     | 5              | 3        | Montée       | Maxi montée    | 1500    | 3 000                     |                            |                     |                              |
| A300-622R | ICAO_A     | 5              | 4        | Accélération | Maxi montée    | 1500    |                           | 729                        | 208,9               |                              |
| A300-622R | ICAO_A     | 5              | 5        | Accélération | Maxi montée    | 0       |                           | 839,1                      | 222,1               |                              |
| A300-622R | ICAO_A     | 5              | 6        | Accélération | Maxi montée    | 0       |                           | 963,8                      | 250                 |                              |
| A300-622R | ICAO_A     | 5              | 7        | Montée       | Maxi montée    | 0       | 5 500                     |                            |                     |                              |
| A300-622R | ICAO_A     | 5              | 8        | Montée       | Maxi montée    | 0       | 7 500                     |                            |                     |                              |
| A300-622R | ICAO_A     | 5              | 9        | Montée       | Maxi montée    | 0       | 10 000                    |                            |                     |                              |

| ACFTID    | Profile_ID | Longueur phase | N° étape | Type étape   | Indice poussée | Flap_ID | Altitude point final (ft) | Vitesse de montée (ft/min) | CAS point final(kt) | Pourcentage accélération (%) |
|-----------|------------|----------------|----------|--------------|----------------|---------|---------------------------|----------------------------|---------------------|------------------------------|
| A300-622R | ICAO_A     | 6              | 1        | Décollage    | Maxi décollage | 1500    |                           |                            |                     |                              |
| A300-622R | ICAO_A     | 6              | 2        | Montée       | Maxi décollage | 1500    | 1 500                     |                            |                     |                              |
| A300-622R | ICAO_A     | 6              | 3        | Montée       | Maxi montée    | 1500    | 3 000                     |                            |                     |                              |
| A300-622R | ICAO_A     | 6              | 4        | Accélération | Maxi montée    | 1500    |                           | 660,6                      | 216,3               |                              |
| A300-622R | ICAO_A     | 6              | 5        | Accélération | Maxi montée    | 0       |                           | 765,7                      | 227,9               |                              |
| A300-622R | ICAO_A     | 6              | 6        | Accélération | Maxi montée    | 0       |                           | 876,5                      | 250                 |                              |
| A300-622R | ICAO_A     | 6              | 7        | Montée       | Maxi montée    | 0       | 5 500                     |                            |                     |                              |
| A300-622R | ICAO_A     | 6              | 8        | Montée       | Maxi montée    | 0       | 7 500                     |                            |                     |                              |
| A300-622R | ICAO_A     | 6              | 9        | Montée       | Maxi montée    | 0       | 10 000                    |                            |                     |                              |
| A300-622R | ICAO_B     | 1              | 1        | Décollage    | Maxi décollage | 1500    |                           |                            |                     |                              |
| A300-622R | ICAO_B     | 1              | 2        | Montée       | Maxi décollage | 1500    | 1 000                     |                            |                     |                              |
| A300-622R | ICAO_B     | 1              | 3        | Accélération | Maxi décollage | 1500    |                           | 1 419,5                    | 185,3               |                              |
| A300-622R | ICAO_B     | 1              | 4        | Montée       | Maxi montée    | 0       | 3 000                     |                            |                     |                              |
| A300-622R | ICAO_B     | 1              | 5        | Accélération | Maxi montée    | 0       |                           | 1 275                      | 250                 |                              |
| A300-622R | ICAO_B     | 1              | 6        | Montée       | Maxi montée    | 0       | 5 500                     |                            |                     |                              |
| A300-622R | ICAO_B     | 1              | 7        | Montée       | Maxi montée    | 0       | 7 500                     |                            |                     |                              |
| A300-622R | ICAO_B     | 1              | 8        | Montée       | Maxi montée    | 0       | 10 000                    |                            |                     |                              |
| A300-622R | ICAO_B     | 2              | 1        | Décollage    | Maxi décollage | 1500    |                           |                            |                     |                              |
| A300-622R | ICAO_B     | 2              | 2        | Montée       | Maxi décollage | 1500    | 1 000                     |                            |                     |                              |
| A300-622R | ICAO_B     | 2              | 3        | Accélération | Maxi décollage | 1500    |                           | 1 361,3                    | 189,3               |                              |

| ACFTID    | Profile_ID | Longueur phase | N° étape | Type étape   | Indice poussée | Flap_ID | Altitude point final (ft) | Vitesse de montée (ft/min) | CAS point final(kt) | Pourcentage_accélération (%) |
|-----------|------------|----------------|----------|--------------|----------------|---------|---------------------------|----------------------------|---------------------|------------------------------|
| A300-622R | ICAO_B     | 2              | 4        | Montée       | Maxi montée    | 0       | 3 000                     |                            |                     |                              |
| A300-622R | ICAO_B     | 2              | 5        | Accélération | Maxi montée    | 0       |                           | 1 216,8                    | 250                 |                              |
| A300-622R | ICAO_B     | 2              | 6        | Montée       | Maxi montée    | 0       | 5 500                     |                            |                     |                              |
| A300-622R | ICAO_B     | 2              | 7        | Montée       | Maxi montée    | 0       | 7 500                     |                            |                     |                              |
| A300-622R | ICAO_B     | 2              | 8        | Montée       | Maxi montée    | 0       | 10 000                    |                            |                     |                              |
| A300-622R | ICAO_B     | 3              | 1        | Décollage    | Maxi décollage | 1500    |                           |                            |                     |                              |
| A300-622R | ICAO_B     | 3              | 2        | Montée       | Maxi décollage | 1500    | 1 000                     |                            |                     |                              |
| A300-622R | ICAO_B     | 3              | 3        | Accélération | Maxi décollage | 1500    |                           | 1 303,7                    | 193,2               |                              |
| A300-622R | ICAO_B     | 3              | 4        | Montée       | Maxi montée    | 0       | 3 000                     |                            |                     |                              |
| A300-622R | ICAO_B     | 3              | 5        | Accélération | Maxi montée    | 0       |                           | 1 159,4                    | 250                 |                              |
| A300-622R | ICAO_B     | 3              | 6        | Montée       | Maxi montée    | 0       | 5 500                     |                            |                     |                              |
| A300-622R | ICAO_B     | 3              | 7        | Montée       | Maxi montée    | 0       | 7 500                     |                            |                     |                              |
| A300-622R | ICAO_B     | 3              | 8        | Montée       | Maxi montée    | 0       | 10 000                    |                            |                     |                              |
| A300-622R | ICAO_B     | 4              | 1        | Décollage    | Maxi décollage | 1500    |                           |                            |                     |                              |
| A300-622R | ICAO_B     | 4              | 2        | Montée       | Maxi décollage | 1500    | 1 000                     |                            |                     |                              |
| A300-622R | ICAO_B     | 4              | 3        | Accélération | Maxi décollage | 1500    |                           | 1 210,4                    | 200,1               |                              |
| A300-622R | ICAO_B     | 4              | 4        | Montée       | Maxi montée    | 0       | 3 000                     |                            |                     |                              |
| A300-622R | ICAO_B     | 4              | 5        | Accélération | Maxi montée    | 0       |                           | 1 065,5                    | 250                 |                              |
| A300-622R | ICAO_B     | 4              | 6        | Montée       | Maxi montée    | 0       | 5 500                     |                            |                     |                              |
| A300-622R | ICAO_B     | 4              | 7        | Montée       | Maxi montée    | 0       | 7 500                     |                            |                     |                              |

| ACFTID     | Profile_ID | Longueur phase | N° étape | Type étape   | Indice poussée | Flap_ID | Altitude point final (ft) | Vitesse de montée (ft/min) | CAS point final(kt) | Pourcentage accélération (%) |
|------------|------------|----------------|----------|--------------|----------------|---------|---------------------------|----------------------------|---------------------|------------------------------|
| A300-622R  | ICAO_B     | 4              | 8        | Montée       | Maxi montée    | 0       | 10 000                    |                            |                     |                              |
| A300-622R  | ICAO_B     | 5              | 1        | Décollage    | Maxi décollage | 1500    |                           |                            |                     |                              |
| A300-622R  | ICAO_B     | 5              | 2        | Montée       | Maxi décollage | 1500    | 1 000                     |                            |                     |                              |
| A300-622R  | ICAO_B     | 5              | 3        | Accélération | Maxi décollage | 1500    |                           | 1 099,6                    | 209,1               |                              |
| A300-622R  | ICAO_B     | 5              | 4        | Montée       | Maxi montée    | 0       | 3 000                     |                            |                     |                              |
| A300-622R  | ICAO_B     | 5              | 5        | Accélération | Maxi montée    | 0       |                           | 953,9                      | 250                 |                              |
| A300-622R  | ICAO_B     | 5              | 6        | Montée       | Maxi montée    | 0       | 5 500                     |                            |                     |                              |
| A300-622R  | ICAO_B     | 5              | 7        | Montée       | Maxi montée    | 0       | 7 500                     |                            |                     |                              |
| A300-622R  | ICAO_B     | 5              | 8        | Montée       | Maxi montée    | 0       | 10 000                    |                            |                     |                              |
| A300-622R  | ICAO_B     | 6              | 1        | Décollage    | Maxi décollage | 1500    |                           |                            |                     |                              |
| A300-622R  | ICAO_B     | 6              | 2        | Montée       | Maxi décollage | 1500    | 1 000                     |                            |                     |                              |
| A300-622R  | ICAO_B     | 6              | 3        | Accélération | Maxi décollage | 1500    |                           | 1 015,3                    | 216,4               |                              |
| A300-622R  | ICAO_B     | 6              | 4        | Montée       | Maxi montée    | 0       | 3 000                     |                            |                     |                              |
| A300-622R  | ICAO_B     | 6              | 5        | Accélération | Maxi montée    | 0       |                           | 870,9                      | 250                 |                              |
| A300-622R  | ICAO_B     | 6              | 6        | Montée       | Maxi montée    | 0       | 5 500                     |                            |                     |                              |
| A300-622R  | ICAO_B     | 6              | 7        | Montée       | Maxi montée    | 0       | 7 500                     |                            |                     |                              |
| A300-622R  | ICAO_B     | 6              | 8        | Montée       | Maxi montée    | 0       | 10 000                    |                            |                     |                              |
| A300B4-203 | DEFAULT    | 1              | 1        | Décollage    | Maxi décollage | 8       |                           |                            |                     |                              |
| A300B4-203 | DEFAULT    | 1              | 2        | Montée       | Maxi décollage | 8       | 1 000                     |                            |                     |                              |
| A300B4-203 | DEFAULT    | 1              | 3        | Accélération | Maxi décollage | 8       |                           | 2 440                      | 169                 |                              |

| ACFTID     | Profile_ID | Longueur phase | N° étape | Type étape   | Indice poussée | Flap_ID | Altitude point final (ft) | Vitesse de montée (ft/min) | CAS point final(kt) | Pourcentage_accélération (%) |
|------------|------------|----------------|----------|--------------|----------------|---------|---------------------------|----------------------------|---------------------|------------------------------|
| A300B4-203 | DEFAULT    | 1              | 4        | Accélération | Maxi décollage | 1       |                           | 1 830                      | 189                 |                              |
| A300B4-203 | DEFAULT    | 1              | 5        | Accélération | Maxi montée    | ZERO    |                           | 1 000                      | 209                 |                              |
| A300B4-203 | DEFAULT    | 1              | 6        | Montée       | Maxi montée    | ZERO    | 3 000                     |                            |                     |                              |
| A300B4-203 | DEFAULT    | 1              | 7        | Accélération | Maxi montée    | ZERO    |                           | 1 000                      | 250                 |                              |
| A300B4-203 | DEFAULT    | 1              | 8        | Montée       | Maxi montée    | ZERO    | 5 500                     |                            |                     |                              |
| A300B4-203 | DEFAULT    | 1              | 9        | Montée       | Maxi montée    | ZERO    | 7 500                     |                            |                     |                              |
| A300B4-203 | DEFAULT    | 1              | 10       | Montée       | Maxi montée    | ZERO    | 10 000                    |                            |                     |                              |
| A300B4-203 | DEFAULT    | 2              | 1        | Décollage    | Maxi décollage | 8       |                           |                            |                     |                              |
| A300B4-203 | DEFAULT    | 2              | 2        | Montée       | Maxi décollage | 8       | 1 000                     |                            |                     |                              |
| A300B4-203 | DEFAULT    | 2              | 3        | Accélération | Maxi décollage | 8       |                           | 2 268                      | 174                 |                              |
| A300B4-203 | DEFAULT    | 2              | 4        | Accélération | Maxi décollage | 1       |                           | 1 701                      | 194                 |                              |
| A300B4-203 | DEFAULT    | 2              | 5        | Accélération | Maxi montée    | ZERO    |                           | 1 000                      | 214                 |                              |
| A300B4-203 | DEFAULT    | 2              | 6        | Montée       | Maxi montée    | ZERO    | 3 000                     |                            |                     |                              |
| A300B4-203 | DEFAULT    | 2              | 7        | Accélération | Maxi montée    | ZERO    |                           | 1 000                      | 250                 |                              |
| A300B4-203 | DEFAULT    | 2              | 8        | Montée       | Maxi montée    | ZERO    | 5 500                     |                            |                     |                              |
| A300B4-203 | DEFAULT    | 2              | 9        | Montée       | Maxi montée    | ZERO    | 7 500                     |                            |                     |                              |
| A300B4-203 | DEFAULT    | 2              | 10       | Montée       | Maxi montée    | ZERO    | 10 000                    |                            |                     |                              |
| A300B4-203 | DEFAULT    | 3              | 1        | Décollage    | Maxi décollage | 8       |                           |                            |                     |                              |
| A300B4-203 | DEFAULT    | 3              | 2        | Montée       | Maxi décollage | 8       | 1 000                     |                            |                     |                              |
| A300B4-203 | DEFAULT    | 3              | 3        | Accélération | Maxi décollage | 8       |                           | 2 137                      | 178                 |                              |

| ACFTID     | Profile_ID | Longueur phase | N° étape | Type étape   | Indice poussée | Flap_ID | Altitude point final (ft) | Vitesse de montée (ft/min) | CAS point final(kt) | Pourcentage_accélération (%) |
|------------|------------|----------------|----------|--------------|----------------|---------|---------------------------|----------------------------|---------------------|------------------------------|
| A300B4-203 | DEFAULT    | 3              | 4        | Accélération | Maxi décollage | 1       |                           | 1 603                      | 198                 |                              |
| A300B4-203 | DEFAULT    | 3              | 5        | Accélération | Maxi montée    | ZERO    |                           | 1 000                      | 218                 |                              |
| A300B4-203 | DEFAULT    | 3              | 6        | Montée       | Maxi montée    | ZERO    | 3 000                     |                            |                     |                              |
| A300B4-203 | DEFAULT    | 3              | 7        | Accélération | Maxi montée    | ZERO    |                           | 1 000                      | 250                 |                              |
| A300B4-203 | DEFAULT    | 3              | 8        | Montée       | Maxi montée    | ZERO    | 5 500                     |                            |                     |                              |
| A300B4-203 | DEFAULT    | 3              | 9        | Montée       | Maxi montée    | ZERO    | 7 500                     |                            |                     |                              |
| A300B4-203 | DEFAULT    | 3              | 10       | Montée       | Maxi montée    | ZERO    | 10 000                    |                            |                     |                              |
| A300B4-203 | DEFAULT    | 4              | 1        | Décollage    | Maxi décollage | 8       |                           |                            |                     |                              |
| A300B4-203 | DEFAULT    | 4              | 2        | Montée       | Maxi décollage | 8       | 1 000                     |                            |                     |                              |
| A300B4-203 | DEFAULT    | 4              | 3        | Accélération | Maxi décollage | 8       |                           | 1 912                      | 186                 |                              |
| A300B4-203 | DEFAULT    | 4              | 4        | Accélération | Maxi décollage | 1       |                           | 1 434                      | 206                 |                              |
| A300B4-203 | DEFAULT    | 4              | 5        | Accélération | Maxi montée    | ZERO    |                           | 1 000                      | 226                 |                              |
| A300B4-203 | DEFAULT    | 4              | 6        | Montée       | Maxi montée    | ZERO    | 3 000                     |                            |                     |                              |
| A300B4-203 | DEFAULT    | 4              | 7        | Accélération | Maxi montée    | ZERO    |                           | 1 000                      | 250                 |                              |
| A300B4-203 | DEFAULT    | 4              | 8        | Montée       | Maxi montée    | ZERO    | 5 500                     |                            |                     |                              |
| A300B4-203 | DEFAULT    | 4              | 9        | Montée       | Maxi montée    | ZERO    | 7 500                     |                            |                     |                              |
| A300B4-203 | DEFAULT    | 4              | 10       | Montée       | Maxi montée    | ZERO    | 10 000                    |                            |                     |                              |
| A300B4-203 | DEFAULT    | 5              | 1        | Décollage    | Maxi décollage | 8       |                           |                            |                     |                              |
| A300B4-203 | DEFAULT    | 5              | 2        | Montée       | Maxi décollage | 8       | 1 000                     |                            |                     |                              |
| A300B4-203 | DEFAULT    | 5              | 3        | Accélération | Maxi décollage | 8       |                           | 1 688                      | 194                 |                              |

| ACFTID     | Profile_ID | Longueur phase | N° étape | Type étape   | Indice poussée | Flap_ID | Altitude point final (ft) | Vitesse de montée (ft/min) | CAS point final(kt) | Pourcentage_accélération (%) |
|------------|------------|----------------|----------|--------------|----------------|---------|---------------------------|----------------------------|---------------------|------------------------------|
| A300B4-203 | DEFAULT    | 5              | 4        | Accélération | Maxi décollage | 1       |                           | 1 266                      | 214                 |                              |
| A300B4-203 | DEFAULT    | 5              | 5        | Accélération | Maxi montée    | ZERO    |                           | 1 000                      | 234                 |                              |
| A300B4-203 | DEFAULT    | 5              | 6        | Montée       | Maxi montée    | ZERO    | 3 000                     |                            |                     |                              |
| A300B4-203 | DEFAULT    | 5              | 7        | Accélération | Maxi montée    | ZERO    |                           | 1 000                      | 250                 |                              |
| A300B4-203 | DEFAULT    | 5              | 8        | Montée       | Maxi montée    | ZERO    | 5 500                     |                            |                     |                              |
| A300B4-203 | DEFAULT    | 5              | 9        | Montée       | Maxi montée    | ZERO    | 7 500                     |                            |                     |                              |
| A300B4-203 | DEFAULT    | 5              | 10       | Montée       | Maxi montée    | ZERO    | 10 000                    |                            |                     |                              |
| A310-304   | DEFAULT    | 1              | 1        | Décollage    | Maxi décollage | 1500    |                           |                            |                     |                              |
| A310-304   | DEFAULT    | 1              | 2        | Montée       | Maxi décollage | 1500    | 1 000                     |                            |                     |                              |
| A310-304   | DEFAULT    | 1              | 3        | Accélération | Maxi décollage | 1500    |                           | 1 475,7                    | 179,5               |                              |
| A310-304   | DEFAULT    | 1              | 4        | Montée       | Maxi montée    | 0       | 3 000                     |                            |                     |                              |
| A310-304   | DEFAULT    | 1              | 5        | Accélération | Maxi montée    | 0       |                           | 1 454,9                    | 250                 |                              |
| A310-304   | DEFAULT    | 1              | 6        | Montée       | Maxi montée    | 0       | 5 500                     |                            |                     |                              |
| A310-304   | DEFAULT    | 1              | 7        | Montée       | Maxi montée    | 0       | 7 500                     |                            |                     |                              |
| A310-304   | DEFAULT    | 1              | 8        | Montée       | Maxi montée    | 0       | 10 000                    |                            |                     |                              |
| A310-304   | DEFAULT    | 2              | 1        | Décollage    | Maxi décollage | 1500    |                           |                            |                     |                              |
| A310-304   | DEFAULT    | 2              | 2        | Montée       | Maxi décollage | 1500    | 1 000                     |                            |                     |                              |
| A310-304   | DEFAULT    | 2              | 3        | Accélération | Maxi décollage | 1500    |                           | 1 415,7                    | 183                 |                              |
| A310-304   | DEFAULT    | 2              | 4        | Montée       | Maxi montée    | 0       | 3 000                     |                            |                     |                              |
| A310-304   | DEFAULT    | 2              | 5        | Accélération | Maxi montée    | 0       |                           | 1 392,7                    | 250                 |                              |

| ACFTID   | Profile_ID | Longueur phase | N° étape | Type étape   | Indice poussée | Flap_ID | Altitude point final (ft) | Vitesse de montée (ft/min) | CAS point final(kt) | Pourcentage_accélération (%) |
|----------|------------|----------------|----------|--------------|----------------|---------|---------------------------|----------------------------|---------------------|------------------------------|
| A310-304 | DEFAULT    | 2              | 6        | Montée       | Maxi montée    | 0       | 5 500                     |                            |                     |                              |
| A310-304 | DEFAULT    | 2              | 7        | Montée       | Maxi montée    | 0       | 7 500                     |                            |                     |                              |
| A310-304 | DEFAULT    | 2              | 8        | Montée       | Maxi montée    | 0       | 10 000                    |                            |                     |                              |
| A310-304 | DEFAULT    | 3              | 1        | Décollage    | Maxi décollage | 1500    |                           |                            |                     |                              |
| A310-304 | DEFAULT    | 3              | 2        | Montée       | Maxi décollage | 1500    | 1 000                     |                            |                     |                              |
| A310-304 | DEFAULT    | 3              | 3        | Accélération | Maxi décollage | 1500    |                           | 1 357                      | 186,6               |                              |
| A310-304 | DEFAULT    | 3              | 4        | Montée       | Maxi montée    | 0       | 3 000                     |                            |                     |                              |
| A310-304 | DEFAULT    | 3              | 5        | Accélération | Maxi montée    | 0       |                           | 1 332,3                    | 250                 |                              |
| A310-304 | DEFAULT    | 3              | 6        | Montée       | Maxi montée    | 0       | 5 500                     |                            |                     |                              |
| A310-304 | DEFAULT    | 3              | 7        | Montée       | Maxi montée    | 0       | 7 500                     |                            |                     |                              |
| A310-304 | DEFAULT    | 3              | 8        | Montée       | Maxi montée    | 0       | 10 000                    |                            |                     |                              |
| A310-304 | DEFAULT    | 4              | 1        | Décollage    | Maxi décollage | 1500    |                           |                            |                     |                              |
| A310-304 | DEFAULT    | 4              | 2        | Montée       | Maxi décollage | 1500    | 1 000                     |                            |                     |                              |
| A310-304 | DEFAULT    | 4              | 3        | Accélération | Maxi décollage | 1500    |                           | 1 262,8                    | 192,8               |                              |
| A310-304 | DEFAULT    | 4              | 4        | Montée       | Maxi montée    | 0       | 3 000                     |                            |                     |                              |
| A310-304 | DEFAULT    | 4              | 5        | Accélération | Maxi montée    | 0       |                           | 1 234,1                    | 250                 |                              |
| A310-304 | DEFAULT    | 4              | 6        | Montée       | Maxi montée    | 0       | 5 500                     |                            |                     |                              |
| A310-304 | DEFAULT    | 4              | 7        | Montée       | Maxi montée    | 0       | 7 500                     |                            |                     |                              |
| A310-304 | DEFAULT    | 4              | 8        | Montée       | Maxi montée    | 0       | 10 000                    |                            |                     |                              |
| A310-304 | DEFAULT    | 5              | 1        | Décollage    | Maxi décollage | 1500    |                           |                            |                     |                              |

| ACFTID   | Profile_ID | Longueur phase | N° étape | Type étape   | Indice poussée | Flap_ID | Altitude point final (ft) | Vitesse de montée (ft/min) | CAS point final(kt) | Pourcentage_accélération (%) |
|----------|------------|----------------|----------|--------------|----------------|---------|---------------------------|----------------------------|---------------------|------------------------------|
| A310-304 | DEFAULT    | 5              | 2        | Montée       | Maxi décollage | 1500    | 1 000                     |                            |                     |                              |
| A310-304 | DEFAULT    | 5              | 3        | Accélération | Maxi décollage | 1500    |                           | 1 151,8                    | 200,9               |                              |
| A310-304 | DEFAULT    | 5              | 4        | Montée       | Maxi montée    | 0       | 3 000                     |                            |                     |                              |
| A310-304 | DEFAULT    | 5              | 5        | Accélération | Maxi montée    | 0       |                           | 1 117,9                    | 250                 |                              |
| A310-304 | DEFAULT    | 5              | 6        | Montée       | Maxi montée    | 0       | 5 500                     |                            |                     |                              |
| A310-304 | DEFAULT    | 5              | 7        | Montée       | Maxi montée    | 0       | 7 500                     |                            |                     |                              |
| A310-304 | DEFAULT    | 5              | 8        | Montée       | Maxi montée    | 0       | 10 000                    |                            |                     |                              |
| A310-304 | DEFAULT    | 6              | 1        | Décollage    | Maxi décollage | 1500    |                           |                            |                     |                              |
| A310-304 | DEFAULT    | 6              | 2        | Montée       | Maxi décollage | 1500    | 1 000                     |                            |                     |                              |
| A310-304 | DEFAULT    | 6              | 3        | Accélération | Maxi décollage | 1500    |                           | 990,5                      | 214,3               |                              |
| A310-304 | DEFAULT    | 6              | 4        | Montée       | Maxi montée    | 0       | 3 000                     |                            |                     |                              |
| A310-304 | DEFAULT    | 6              | 5        | Accélération | Maxi montée    | 0       |                           | 944,8                      | 250                 |                              |
| A310-304 | DEFAULT    | 6              | 6        | Montée       | Maxi montée    | 0       | 5 500                     |                            |                     |                              |
| A310-304 | DEFAULT    | 6              | 7        | Montée       | Maxi montée    | 0       | 7 500                     |                            |                     |                              |
| A310-304 | DEFAULT    | 6              | 8        | Montée       | Maxi montée    | 0       | 10 000                    |                            |                     |                              |
| A310-304 | ICAO_A     | 1              | 1        | Décollage    | Maxi décollage | 1500    |                           |                            |                     |                              |
| A310-304 | ICAO_A     | 1              | 2        | Montée       | Maxi décollage | 1500    | 1 500                     |                            |                     |                              |
| A310-304 | ICAO_A     | 1              | 3        | Montée       | Maxi montée    | 1500    | 3 000                     |                            |                     |                              |
| A310-304 | ICAO_A     | 1              | 4        | Accélération | Maxi montée    | 1500    |                           | 1 167,6                    | 179,4               |                              |
| A310-304 | ICAO_A     | 1              | 5        | Accélération | Maxi montée    | 0       |                           | 1 273,6                    | 200,4               |                              |

| ACFTID   | Profile_ID | Longueur phase | N° étape | Type étape   | Indice poussée | Flap_ID | Altitude point final (ft) | Vitesse de montée (ft/min) | CAS point final(kt) | Pourcentage_accélération (%) |
|----------|------------|----------------|----------|--------------|----------------|---------|---------------------------|----------------------------|---------------------|------------------------------|
| A310-304 | ICAO_A     | 1              | 6        | Accélération | Maxi montée    | 0       |                           | 1 496,6                    | 250                 |                              |
| A310-304 | ICAO_A     | 1              | 7        | Montée       | Maxi montée    | 0       | 5 500                     |                            |                     |                              |
| A310-304 | ICAO_A     | 1              | 8        | Montée       | Maxi montée    | 0       | 7 500                     |                            |                     |                              |
| A310-304 | ICAO_A     | 1              | 9        | Montée       | Maxi montée    | 0       | 10 000                    |                            |                     |                              |
| A310-304 | ICAO_A     | 2              | 1        | Décollage    | Maxi décollage | 1500    |                           |                            |                     |                              |
| A310-304 | ICAO_A     | 2              | 2        | Montée       | Maxi décollage | 1500    | 1 500                     |                            |                     |                              |
| A310-304 | ICAO_A     | 2              | 3        | Montée       | Maxi montée    | 1500    | 3 000                     |                            |                     |                              |
| A310-304 | ICAO_A     | 2              | 4        | Accélération | Maxi montée    | 1500    |                           | 1 115,8                    | 182,9               |                              |
| A310-304 | ICAO_A     | 2              | 5        | Accélération | Maxi montée    | 0       |                           | 1 222,3                    | 202,8               |                              |
| A310-304 | ICAO_A     | 2              | 6        | Accélération | Maxi montée    | 0       |                           | 1 430,5                    | 250                 |                              |
| A310-304 | ICAO_A     | 2              | 7        | Montée       | Maxi montée    | 0       | 5 500                     |                            |                     |                              |
| A310-304 | ICAO_A     | 2              | 8        | Montée       | Maxi montée    | 0       | 7 500                     |                            |                     |                              |
| A310-304 | ICAO_A     | 2              | 9        | Montée       | Maxi montée    | 0       | 10 000                    |                            |                     |                              |
| A310-304 | ICAO_A     | 3              | 1        | Décollage    | Maxi décollage | 1500    |                           |                            |                     |                              |
| A310-304 | ICAO_A     | 3              | 2        | Montée       | Maxi décollage | 1500    | 1 500                     |                            |                     |                              |
| A310-304 | ICAO_A     | 3              | 3        | Montée       | Maxi montée    | 1500    | 3 000                     |                            |                     |                              |
| A310-304 | ICAO_A     | 3              | 4        | Accélération | Maxi montée    | 1500    |                           | 1 065,4                    | 186,5               |                              |
| A310-304 | ICAO_A     | 3              | 5        | Accélération | Maxi montée    | 0       |                           | 1 172,6                    | 205,3               |                              |
| A310-304 | ICAO_A     | 3              | 6        | Accélération | Maxi montée    | 0       |                           | 1 366,6                    | 250                 |                              |
| A310-304 | ICAO_A     | 3              | 7        | Montée       | Maxi montée    | 0       | 5 500                     |                            |                     |                              |

| ACFTID   | Profile_ID | Longueur phase | N° étape | Type étape   | Indice poussée | Flap_ID | Altitude point final (ft) | Vitesse de montée (ft/min) | CAS point final(kt) | Pourcentage accélération (%) |
|----------|------------|----------------|----------|--------------|----------------|---------|---------------------------|----------------------------|---------------------|------------------------------|
| A310-304 | ICAO_A     | 3              | 8        | Montée       | Maxi montée    | 0       | 7 500                     |                            |                     |                              |
| A310-304 | ICAO_A     | 3              | 9        | Montée       | Maxi montée    | 0       | 10 000                    |                            |                     |                              |
| A310-304 | ICAO_A     | 4              | 1        | Décollage    | Maxi décollage | 1500    |                           |                            |                     |                              |
| A310-304 | ICAO_A     | 4              | 2        | Montée       | Maxi décollage | 1500    | 1 500                     |                            |                     |                              |
| A310-304 | ICAO_A     | 4              | 3        | Montée       | Maxi montée    | 1500    | 3 000                     |                            |                     |                              |
| A310-304 | ICAO_A     | 4              | 4        | Accélération | Maxi montée    | 1500    |                           | 984,3                      | 192,7               |                              |
| A310-304 | ICAO_A     | 4              | 5        | Accélération | Maxi montée    | 0       |                           | 1 091,4                    | 209,7               |                              |
| A310-304 | ICAO_A     | 4              | 6        | Accélération | Maxi montée    | 0       |                           | 1 262,9                    | 250                 |                              |
| A310-304 | ICAO_A     | 4              | 7        | Montée       | Maxi montée    | 0       | 5 500                     |                            |                     |                              |
| A310-304 | ICAO_A     | 4              | 8        | Montée       | Maxi montée    | 0       | 7 500                     |                            |                     |                              |
| A310-304 | ICAO_A     | 4              | 9        | Montée       | Maxi montée    | 0       | 10 000                    |                            |                     |                              |
| A310-304 | ICAO_A     | 5              | 1        | Décollage    | Maxi décollage | 1500    |                           |                            |                     |                              |
| A310-304 | ICAO_A     | 5              | 2        | Montée       | Maxi décollage | 1500    | 1 500                     |                            |                     |                              |
| A310-304 | ICAO_A     | 5              | 3        | Montée       | Maxi montée    | 1500    | 3 000                     |                            |                     |                              |
| A310-304 | ICAO_A     | 5              | 4        | Accélération | Maxi montée    | 1500    |                           | 888,4                      | 200,8               |                              |
| A310-304 | ICAO_A     | 5              | 5        | Accélération | Maxi montée    | 0       |                           | 994,5                      | 215,7               |                              |
| A310-304 | ICAO_A     | 5              | 6        | Accélération | Maxi montée    | 0       |                           | 1 140,7                    | 250                 |                              |
| A310-304 | ICAO_A     | 5              | 7        | Montée       | Maxi montée    | 0       | 5 500                     |                            |                     |                              |
| A310-304 | ICAO_A     | 5              | 8        | Montée       | Maxi montée    | 0       | 7 500                     |                            |                     |                              |
| A310-304 | ICAO_A     | 5              | 9        | Montée       | Maxi montée    | 0       | 10 000                    |                            |                     |                              |

| ACFTID   | Profile_ID | Longueur phase | N° étape | Type étape   | Indice poussée | Flap_ID | Altitude point final (ft) | Vitesse de montée (ft/min) | CAS point final(kt) | Pourcentage accélération (%) |
|----------|------------|----------------|----------|--------------|----------------|---------|---------------------------|----------------------------|---------------------|------------------------------|
| A310-304 | ICAO_A     | 6              | 1        | Décollage    | Maxi décollage | 1500    |                           |                            |                     |                              |
| A310-304 | ICAO_A     | 6              | 2        | Montée       | Maxi décollage | 1500    | 1 500                     |                            |                     |                              |
| A310-304 | ICAO_A     | 6              | 3        | Montée       | Maxi montée    | 1500    | 3 000                     |                            |                     |                              |
| A310-304 | ICAO_A     | 6              | 4        | Accélération | Maxi montée    | 1500    |                           | 747,4                      | 214,2               |                              |
| A310-304 | ICAO_A     | 6              | 5        | Accélération | Maxi montée    | 0       |                           | 848,6                      | 226,2               |                              |
| A310-304 | ICAO_A     | 6              | 6        | Accélération | Maxi montée    | 0       |                           | 959,5                      | 250                 |                              |
| A310-304 | ICAO_A     | 6              | 7        | Montée       | Maxi montée    | 0       | 5 500                     |                            |                     |                              |
| A310-304 | ICAO_A     | 6              | 8        | Montée       | Maxi montée    | 0       | 7 500                     |                            |                     |                              |
| A310-304 | ICAO_A     | 6              | 9        | Montée       | Maxi montée    | 0       | 10 000                    |                            |                     |                              |
| A310-304 | ICAO_B     | 1              | 1        | Décollage    | Maxi décollage | 1500    |                           |                            |                     |                              |
| A310-304 | ICAO_B     | 1              | 2        | Montée       | Maxi décollage | 1500    | 1 000                     |                            |                     |                              |
| A310-304 | ICAO_B     | 1              | 3        | Accélération | Maxi décollage | 1500    |                           | 1 475,7                    | 179,5               |                              |
| A310-304 | ICAO_B     | 1              | 4        | Montée       | Maxi montée    | 0       | 3 000                     |                            |                     |                              |
| A310-304 | ICAO_B     | 1              | 5        | Accélération | Maxi montée    | 0       |                           | 1 454,9                    | 250                 |                              |
| A310-304 | ICAO_B     | 1              | 6        | Montée       | Maxi montée    | 0       | 5 500                     |                            |                     |                              |
| A310-304 | ICAO_B     | 1              | 7        | Montée       | Maxi montée    | 0       | 7 500                     |                            |                     |                              |
| A310-304 | ICAO_B     | 1              | 8        | Montée       | Maxi montée    | 0       | 10 000                    |                            |                     |                              |
| A310-304 | ICAO_B     | 2              | 1        | Décollage    | Maxi décollage | 1500    |                           |                            |                     |                              |
| A310-304 | ICAO_B     | 2              | 2        | Montée       | Maxi décollage | 1500    | 1 000                     |                            |                     |                              |
| A310-304 | ICAO_B     | 2              | 3        | Accélération | Maxi décollage | 1500    |                           | 1 415,7                    | 183                 |                              |

| ACFTID   | Profile_ID | Longueur phase | N° étape | Type étape   | Indice poussée | Flap_ID | Altitude point final (ft) | Vitesse de montée (ft/min) | CAS point final(kt) | Pourcentage_accélération (%) |
|----------|------------|----------------|----------|--------------|----------------|---------|---------------------------|----------------------------|---------------------|------------------------------|
| A310-304 | ICAO_B     | 2              | 4        | Montée       | Maxi montée    | 0       | 3 000                     |                            |                     |                              |
| A310-304 | ICAO_B     | 2              | 5        | Accélération | Maxi montée    | 0       |                           | 1 392,7                    | 250                 |                              |
| A310-304 | ICAO_B     | 2              | 6        | Montée       | Maxi montée    | 0       | 5 500                     |                            |                     |                              |
| A310-304 | ICAO_B     | 2              | 7        | Montée       | Maxi montée    | 0       | 7 500                     |                            |                     |                              |
| A310-304 | ICAO_B     | 2              | 8        | Montée       | Maxi montée    | 0       | 10 000                    |                            |                     |                              |
| A310-304 | ICAO_B     | 3              | 1        | Décollage    | Maxi décollage | 1500    |                           |                            |                     |                              |
| A310-304 | ICAO_B     | 3              | 2        | Montée       | Maxi décollage | 1500    | 1 000                     |                            |                     |                              |
| A310-304 | ICAO_B     | 3              | 3        | Accélération | Maxi décollage | 1500    |                           | 1 357                      | 186,6               |                              |
| A310-304 | ICAO_B     | 3              | 4        | Montée       | Maxi montée    | 0       | 3 000                     |                            |                     |                              |
| A310-304 | ICAO_B     | 3              | 5        | Accélération | Maxi montée    | 0       |                           | 1 332,3                    | 250                 |                              |
| A310-304 | ICAO_B     | 3              | 6        | Montée       | Maxi montée    | 0       | 5 500                     |                            |                     |                              |
| A310-304 | ICAO_B     | 3              | 7        | Montée       | Maxi montée    | 0       | 7 500                     |                            |                     |                              |
| A310-304 | ICAO_B     | 3              | 8        | Montée       | Maxi montée    | 0       | 10 000                    |                            |                     |                              |
| A310-304 | ICAO_B     | 4              | 1        | Décollage    | Maxi décollage | 1500    |                           |                            |                     |                              |
| A310-304 | ICAO_B     | 4              | 2        | Montée       | Maxi décollage | 1500    | 1 000                     |                            |                     |                              |
| A310-304 | ICAO_B     | 4              | 3        | Accélération | Maxi décollage | 1500    |                           | 1 262,8                    | 192,8               |                              |
| A310-304 | ICAO_B     | 4              | 4        | Montée       | Maxi montée    | 0       | 3 000                     |                            |                     |                              |
| A310-304 | ICAO_B     | 4              | 5        | Accélération | Maxi montée    | 0       |                           | 1 234,1                    | 250                 |                              |
| A310-304 | ICAO_B     | 4              | 6        | Montée       | Maxi montée    | 0       | 5 500                     |                            |                     |                              |
| A310-304 | ICAO_B     | 4              | 7        | Montée       | Maxi montée    | 0       | 7 500                     |                            |                     |                              |

| ACFTID   | Profile_ID | Longueur phase | N° étape | Type étape   | Indice poussée | Flap_ID | Altitude point final (ft) | Vitesse de montée (ft/min) | CAS point final(kt) | Pourcentage accélération (%) |
|----------|------------|----------------|----------|--------------|----------------|---------|---------------------------|----------------------------|---------------------|------------------------------|
| A310-304 | ICAO_B     | 4              | 8        | Montée       | Maxi montée    | 0       | 10 000                    |                            |                     |                              |
| A310-304 | ICAO_B     | 5              | 1        | Décollage    | Maxi décollage | 1500    |                           |                            |                     |                              |
| A310-304 | ICAO_B     | 5              | 2        | Montée       | Maxi décollage | 1500    | 1 000                     |                            |                     |                              |
| A310-304 | ICAO_B     | 5              | 3        | Accélération | Maxi décollage | 1500    |                           | 1 151,8                    | 200,9               |                              |
| A310-304 | ICAO_B     | 5              | 4        | Montée       | Maxi montée    | 0       | 3 000                     |                            |                     |                              |
| A310-304 | ICAO_B     | 5              | 5        | Accélération | Maxi montée    | 0       |                           | 1 117,9                    | 250                 |                              |
| A310-304 | ICAO_B     | 5              | 6        | Montée       | Maxi montée    | 0       | 5 500                     |                            |                     |                              |
| A310-304 | ICAO_B     | 5              | 7        | Montée       | Maxi montée    | 0       | 7 500                     |                            |                     |                              |
| A310-304 | ICAO_B     | 5              | 8        | Montée       | Maxi montée    | 0       | 10 000                    |                            |                     |                              |
| A310-304 | ICAO_B     | 6              | 1        | Décollage    | Maxi décollage | 1500    |                           |                            |                     |                              |
| A310-304 | ICAO_B     | 6              | 2        | Montée       | Maxi décollage | 1500    | 1 000                     |                            |                     |                              |
| A310-304 | ICAO_B     | 6              | 3        | Accélération | Maxi décollage | 1500    |                           | 990,5                      | 214,3               |                              |
| A310-304 | ICAO_B     | 6              | 4        | Montée       | Maxi montée    | 0       | 3 000                     |                            |                     |                              |
| A310-304 | ICAO_B     | 6              | 5        | Accélération | Maxi montée    | 0       |                           | 944,8                      | 250                 |                              |
| A310-304 | ICAO_B     | 6              | 6        | Montée       | Maxi montée    | 0       | 5 500                     |                            |                     |                              |
| A310-304 | ICAO_B     | 6              | 7        | Montée       | Maxi montée    | 0       | 7 500                     |                            |                     |                              |
| A310-304 | ICAO_B     | 6              | 8        | Montée       | Maxi montée    | 0       | 10 000                    |                            |                     |                              |
| A319-131 | DEFAULT    | 1              | 1        | Décollage    | Maxi décollage | 1+F     |                           |                            |                     |                              |
| A319-131 | DEFAULT    | 1              | 2        | Montée       | Maxi décollage | 1+F     | 1 000                     |                            |                     |                              |
| A319-131 | DEFAULT    | 1              | 3        | Accélération | Maxi décollage | 1+F     |                           | 1 042,6                    | 181,6               |                              |

| ACFTID   | Profile_ID | Longueur phase | N° étape | Type étape   | Indice poussée | Flap_ID | Altitude point final (ft) | Vitesse de montée (ft/min) | CAS point final(kt) | Pourcentage_accélération (%) |
|----------|------------|----------------|----------|--------------|----------------|---------|---------------------------|----------------------------|---------------------|------------------------------|
| A319-131 | DEFAULT    | 1              | 4        | Accélération | Maxi décollage | 1       |                           | 1 177,5                    | 200,7               |                              |
| A319-131 | DEFAULT    | 1              | 5        | Montée       | Maxi montée    | ZERO    | 3 000                     |                            |                     |                              |
| A319-131 | DEFAULT    | 1              | 6        | Accélération | Maxi montée    | ZERO    |                           | 1 320,8                    | 250                 |                              |
| A319-131 | DEFAULT    | 1              | 7        | Montée       | Maxi montée    | ZERO    | 5 500                     |                            |                     |                              |
| A319-131 | DEFAULT    | 1              | 8        | Montée       | Maxi montée    | ZERO    | 7 500                     |                            |                     |                              |
| A319-131 | DEFAULT    | 1              | 9        | Montée       | Maxi montée    | ZERO    | 10 000                    |                            |                     |                              |
| A319-131 | DEFAULT    | 2              | 1        | Décollage    | Maxi décollage | 1+F     |                           |                            |                     |                              |
| A319-131 | DEFAULT    | 2              | 2        | Montée       | Maxi décollage | 1+F     | 1 000                     |                            |                     |                              |
| A319-131 | DEFAULT    | 2              | 3        | Accélération | Maxi décollage | 1+F     |                           | 997,1                      | 185,3               |                              |
| A319-131 | DEFAULT    | 2              | 4        | Accélération | Maxi décollage | 1       |                           | 1 128,9                    | 203,3               |                              |
| A319-131 | DEFAULT    | 2              | 5        | Montée       | Maxi montée    | ZERO    | 3 000                     |                            |                     |                              |
| A319-131 | DEFAULT    | 2              | 6        | Accélération | Maxi montée    | ZERO    |                           | 1 264                      | 250                 |                              |
| A319-131 | DEFAULT    | 2              | 7        | Montée       | Maxi montée    | ZERO    | 5 500                     |                            |                     |                              |
| A319-131 | DEFAULT    | 2              | 8        | Montée       | Maxi montée    | ZERO    | 7 500                     |                            |                     |                              |
| A319-131 | DEFAULT    | 2              | 9        | Montée       | Maxi montée    | ZERO    | 10 000                    |                            |                     |                              |
| A319-131 | DEFAULT    | 3              | 1        | Décollage    | Maxi décollage | 1+F     |                           |                            |                     |                              |
| A319-131 | DEFAULT    | 3              | 2        | Montée       | Maxi décollage | 1+F     | 1 000                     |                            |                     |                              |
| A319-131 | DEFAULT    | 3              | 3        | Accélération | Maxi décollage | 1+F     |                           | 952,7                      | 189                 |                              |
| A319-131 | DEFAULT    | 3              | 4        | Accélération | Maxi décollage | 1       |                           | 1 081                      | 206                 |                              |
| A319-131 | DEFAULT    | 3              | 5        | Montée       | Maxi montée    | ZERO    | 3 000                     |                            |                     |                              |

| ACFTID   | Profile_ID | Longueur phase | N° étape | Type étape   | Indice poussée | Flap_ID | Altitude point final (ft) | Vitesse de montée (ft/min) | CAS point final(kt) | Pourcentage_accélération (%) |
|----------|------------|----------------|----------|--------------|----------------|---------|---------------------------|----------------------------|---------------------|------------------------------|
| A319-131 | DEFAULT    | 3              | 6        | Accélération | Maxi montée    | ZERO    |                           | 1 208,7                    | 250                 |                              |
| A319-131 | DEFAULT    | 3              | 7        | Montée       | Maxi montée    | ZERO    | 5 500                     |                            |                     |                              |
| A319-131 | DEFAULT    | 3              | 8        | Montée       | Maxi montée    | ZERO    | 7 500                     |                            |                     |                              |
| A319-131 | DEFAULT    | 3              | 9        | Montée       | Maxi montée    | ZERO    | 10 000                    |                            |                     |                              |
| A319-131 | DEFAULT    | 4              | 1        | Décollage    | Maxi décollage | 1+F     |                           |                            |                     |                              |
| A319-131 | DEFAULT    | 4              | 2        | Montée       | Maxi décollage | 1+F     | 1 000                     |                            |                     |                              |
| A319-131 | DEFAULT    | 4              | 3        | Accélération | Maxi décollage | 1+F     |                           | 880,8                      | 195,6               |                              |
| A319-131 | DEFAULT    | 4              | 4        | Accélération | Maxi décollage | 1       |                           | 1 001,7                    | 210,8               |                              |
| A319-131 | DEFAULT    | 4              | 5        | Montée       | Maxi montée    | ZERO    | 3 000                     |                            |                     |                              |
| A319-131 | DEFAULT    | 4              | 6        | Accélération | Maxi montée    | ZERO    |                           | 1 119,6                    | 250                 |                              |
| A319-131 | DEFAULT    | 4              | 7        | Montée       | Maxi montée    | ZERO    | 5 500                     |                            |                     |                              |
| A319-131 | DEFAULT    | 4              | 8        | Montée       | Maxi montée    | ZERO    | 7 500                     |                            |                     |                              |
| A319-131 | DEFAULT    | 4              | 9        | Montée       | Maxi montée    | ZERO    | 10 000                    |                            |                     |                              |
| A319-131 | DEFAULT    | 5              | 1        | Décollage    | Maxi décollage | 1+F     |                           |                            |                     |                              |
| A319-131 | DEFAULT    | 5              | 2        | Accélération | Maxi décollage | 1+F     |                           | 735,2                      | 169,7               |                              |
| A319-131 | DEFAULT    | 5              | 3        | Montée       | Maxi décollage | 1+F     | 1 000                     |                            |                     |                              |
| A319-131 | DEFAULT    | 5              | 4        | Accélération | Maxi décollage | 1+F     |                           | 793,4                      | 208,8               |                              |
| A319-131 | DEFAULT    | 5              | 5        | Accélération | Maxi décollage | ZERO    |                           | 860                        | 221,2               |                              |
| A319-131 | DEFAULT    | 5              | 6        | Montée       | Maxi montée    | ZERO    | 3 000                     |                            |                     |                              |
| A319-131 | DEFAULT    | 5              | 7        | Accélération | Maxi montée    | ZERO    |                           | 964,2                      | 250                 |                              |

| ACFTID   | Profile_ID | Longueur phase | N° étape | Type étape   | Indice poussée | Flap_ID | Altitude point final (ft) | Vitesse de montée (ft/min) | CAS point final(kt) | Pourcentage_accélération (%) |
|----------|------------|----------------|----------|--------------|----------------|---------|---------------------------|----------------------------|---------------------|------------------------------|
| A319-131 | DEFAULT    | 5              | 8        | Montée       | Maxi montée    | ZERO    | 5 500                     |                            |                     |                              |
| A319-131 | DEFAULT    | 5              | 9        | Montée       | Maxi montée    | ZERO    | 7 500                     |                            |                     |                              |
| A319-131 | DEFAULT    | 5              | 10       | Montée       | Maxi montée    | ZERO    | 10 000                    |                            |                     |                              |
| A319-131 | ICAO_A     | 1              | 1        | Décollage    | Maxi décollage | 1+F     |                           |                            |                     |                              |
| A319-131 | ICAO_A     | 1              | 2        | Montée       | Maxi décollage | 1+F     | 1 500                     |                            |                     |                              |
| A319-131 | ICAO_A     | 1              | 3        | Montée       | Maxi montée    | 1+F     | 3 000                     |                            |                     |                              |
| A319-131 | ICAO_A     | 1              | 4        | Accélération | Maxi montée    | 1+F     |                           | 822,7                      | 181,4               |                              |
| A319-131 | ICAO_A     | 1              | 5        | Accélération | Maxi montée    | 1       |                           | 972,3                      | 196,5               |                              |
| A319-131 | ICAO_A     | 1              | 6        | Accélération | Maxi montée    | ZERO    |                           | 1 162,8                    | 223,8               |                              |
| A319-131 | ICAO_A     | 1              | 7        | Accélération | Maxi montée    | ZERO    |                           | 1 374,2                    | 250                 |                              |
| A319-131 | ICAO_A     | 1              | 8        | Montée       | Maxi montée    | ZERO    | 5 500                     |                            |                     |                              |
| A319-131 | ICAO_A     | 1              | 9        | Montée       | Maxi montée    | ZERO    | 7 500                     |                            |                     |                              |
| A319-131 | ICAO_A     | 1              | 10       | Montée       | Maxi montée    | ZERO    | 10 000                    |                            |                     |                              |
| A319-131 | ICAO_A     | 2              | 1        | Décollage    | Maxi décollage | 1+F     |                           |                            |                     |                              |
| A319-131 | ICAO_A     | 2              | 2        | Montée       | Maxi décollage | 1+F     | 1 500                     |                            |                     |                              |
| A319-131 | ICAO_A     | 2              | 3        | Montée       | Maxi montée    | 1+F     | 3 000                     |                            |                     |                              |
| A319-131 | ICAO_A     | 2              | 4        | Accélération | Maxi montée    | 1+F     |                           | 786,5                      | 185,2               |                              |
| A319-131 | ICAO_A     | 2              | 5        | Accélération | Maxi montée    | 1       |                           | 935,4                      | 199,4               |                              |
| A319-131 | ICAO_A     | 2              | 6        | Accélération | Maxi montée    | ZERO    |                           | 1 115,9                    | 225,3               |                              |
| A319-131 | ICAO_A     | 2              | 7        | Accélération | Maxi montée    | ZERO    |                           | 1 312,1                    | 250                 |                              |

| ACFTID   | Profile_ID | Longueur phase | N° étape | Type étape   | Indice poussée | Flap_ID | Altitude point final (ft) | Vitesse de montée (ft/min) | CAS point final(kt) | Pourcentage_accélération (%) |
|----------|------------|----------------|----------|--------------|----------------|---------|---------------------------|----------------------------|---------------------|------------------------------|
| A319-131 | ICAO_A     | 2              | 8        | Montée       | Maxi montée    | ZERO    | 5 500                     |                            |                     |                              |
| A319-131 | ICAO_A     | 2              | 9        | Montée       | Maxi montée    | ZERO    | 7 500                     |                            |                     |                              |
| A319-131 | ICAO_A     | 2              | 10       | Montée       | Maxi montée    | ZERO    | 10 000                    |                            |                     |                              |
| A319-131 | ICAO_A     | 3              | 1        | Décollage    | Maxi décollage | 1+F     |                           |                            |                     |                              |
| A319-131 | ICAO_A     | 3              | 2        | Montée       | Maxi décollage | 1+F     | 1 500                     |                            |                     |                              |
| A319-131 | ICAO_A     | 3              | 3        | Montée       | Maxi montée    | 1+F     | 3 000                     |                            |                     |                              |
| A319-131 | ICAO_A     | 3              | 4        | Accélération | Maxi montée    | 1+F     |                           | 751,1                      | 188,9               |                              |
| A319-131 | ICAO_A     | 3              | 5        | Accélération | Maxi montée    | 1       |                           | 899,4                      | 202,4               |                              |
| A319-131 | ICAO_A     | 3              | 6        | Accélération | Maxi montée    | ZERO    |                           | 1 070,2                    | 226,9               |                              |
| A319-131 | ICAO_A     | 3              | 7        | Accélération | Maxi montée    | ZERO    |                           | 1 252                      | 250                 |                              |
| A319-131 | ICAO_A     | 3              | 8        | Montée       | Maxi montée    | ZERO    | 5 500                     |                            |                     |                              |
| A319-131 | ICAO_A     | 3              | 9        | Montée       | Maxi montée    | ZERO    | 7 500                     |                            |                     |                              |
| A319-131 | ICAO_A     | 3              | 10       | Montée       | Maxi montée    | ZERO    | 10 000                    |                            |                     |                              |
| A319-131 | ICAO_A     | 4              | 1        | Décollage    | Maxi décollage | 1+F     |                           |                            |                     |                              |
| A319-131 | ICAO_A     | 4              | 2        | Montée       | Maxi décollage | 1+F     | 1 500                     |                            |                     |                              |
| A319-131 | ICAO_A     | 4              | 3        | Montée       | Maxi montée    | 1+F     | 3 000                     |                            |                     |                              |
| A319-131 | ICAO_A     | 4              | 4        | Accélération | Maxi montée    | 1+F     |                           | 693,7                      | 195,4               |                              |
| A319-131 | ICAO_A     | 4              | 5        | Accélération | Maxi montée    | 1       |                           | 840,2                      | 207,6               |                              |
| A319-131 | ICAO_A     | 4              | 6        | Accélération | Maxi montée    | ZERO    |                           | 996,8                      | 230                 |                              |
| A319-131 | ICAO_A     | 4              | 7        | Accélération | Maxi montée    | ZERO    |                           | 1 155,3                    | 250                 |                              |

| ACFTID   | Profile_ID | Longueur phase | N° étape | Type étape   | Indice poussée | Flap_ID | Altitude point final (ft) | Vitesse de montée (ft/min) | CAS point final(kt) | Pourcentage_accélération (%) |
|----------|------------|----------------|----------|--------------|----------------|---------|---------------------------|----------------------------|---------------------|------------------------------|
| A319-131 | ICAO_A     | 4              | 8        | Montée       | Maxi montée    | ZERO    | 5 500                     |                            |                     |                              |
| A319-131 | ICAO_A     | 4              | 9        | Montée       | Maxi montée    | ZERO    | 7 500                     |                            |                     |                              |
| A319-131 | ICAO_A     | 4              | 10       | Montée       | Maxi montée    | ZERO    | 10 000                    |                            |                     |                              |
| A319-131 | ICAO_A     | 5              | 1        | Décollage    | Maxi décollage | 1+F     |                           |                            |                     |                              |
| A319-131 | ICAO_A     | 5              | 2        | Accélération | Maxi décollage | 1+F     |                           | 735,2                      | 169,7               |                              |
| A319-131 | ICAO_A     | 5              | 3        | Montée       | Maxi décollage | 1+F     | 1 500                     |                            |                     |                              |
| A319-131 | ICAO_A     | 5              | 4        | Montée       | Maxi montée    | 1+F     | 3 000                     |                            |                     |                              |
| A319-131 | ICAO_A     | 5              | 5        | Accélération | Maxi montée    | 1+F     |                           | 637,2                      | 208,7               |                              |
| A319-131 | ICAO_A     | 5              | 6        | Accélération | Maxi montée    | 1       |                           | 733,4                      | 218,7               |                              |
| A319-131 | ICAO_A     | 5              | 7        | Accélération | Maxi montée    | ZERO    |                           | 869,2                      | 237,4               |                              |
| A319-131 | ICAO_A     | 5              | 8        | Accélération | Maxi montée    | ZERO    |                           | 987,8                      | 250                 |                              |
| A319-131 | ICAO_A     | 5              | 9        | Montée       | Maxi montée    | ZERO    | 5 500                     |                            |                     |                              |
| A319-131 | ICAO_A     | 5              | 10       | Montée       | Maxi montée    | ZERO    | 7 500                     |                            |                     |                              |
| A319-131 | ICAO_A     | 5              | 11       | Montée       | Maxi montée    | ZERO    | 10 000                    |                            |                     |                              |
| A319-131 | ICAO_B     | 1              | 1        | Décollage    | Maxi décollage | 1+F     |                           |                            |                     |                              |
| A319-131 | ICAO_B     | 1              | 2        | Montée       | Maxi décollage | 1+F     | 1 000                     |                            |                     |                              |
| A319-131 | ICAO_B     | 1              | 3        | Accélération | Maxi décollage | 1+F     |                           | 1 042,6                    | 181,6               |                              |
| A319-131 | ICAO_B     | 1              | 4        | Accélération | Maxi décollage | 1       |                           | 1 177,5                    | 200,7               |                              |
| A319-131 | ICAO_B     | 1              | 5        | Montée       | Maxi montée    | ZERO    | 3 000                     |                            |                     |                              |
| A319-131 | ICAO_B     | 1              | 6        | Accélération | Maxi montée    | ZERO    |                           | 1 320,8                    | 250                 |                              |

| ACFTID   | Profile_ID | Longueur phase | N° étape | Type étape   | Indice poussée | Flap_ID | Altitude point final (ft) | Vitesse de montée (ft/min) | CAS point final(kt) | Pourcentage_accélération (%) |
|----------|------------|----------------|----------|--------------|----------------|---------|---------------------------|----------------------------|---------------------|------------------------------|
| A319-131 | ICAO_B     | 1              | 7        | Montée       | Maxi montée    | ZERO    | 5 500                     |                            |                     |                              |
| A319-131 | ICAO_B     | 1              | 8        | Montée       | Maxi montée    | ZERO    | 7 500                     |                            |                     |                              |
| A319-131 | ICAO_B     | 1              | 9        | Montée       | Maxi montée    | ZERO    | 10 000                    |                            |                     |                              |
| A319-131 | ICAO_B     | 2              | 1        | Décollage    | Maxi décollage | 1+F     |                           |                            |                     |                              |
| A319-131 | ICAO_B     | 2              | 2        | Montée       | Maxi décollage | 1+F     | 1 000                     |                            |                     |                              |
| A319-131 | ICAO_B     | 2              | 3        | Accélération | Maxi décollage | 1+F     |                           | 997,1                      | 185,3               |                              |
| A319-131 | ICAO_B     | 2              | 4        | Accélération | Maxi décollage | 1       |                           | 1 128,9                    | 203,3               |                              |
| A319-131 | ICAO_B     | 2              | 5        | Montée       | Maxi montée    | ZERO    | 3 000                     |                            |                     |                              |
| A319-131 | ICAO_B     | 2              | 6        | Accélération | Maxi montée    | ZERO    |                           | 1 264                      | 250                 |                              |
| A319-131 | ICAO_B     | 2              | 7        | Montée       | Maxi montée    | ZERO    | 5 500                     |                            |                     |                              |
| A319-131 | ICAO_B     | 2              | 8        | Montée       | Maxi montée    | ZERO    | 7 500                     |                            |                     |                              |
| A319-131 | ICAO_B     | 2              | 9        | Montée       | Maxi montée    | ZERO    | 10 000                    |                            |                     |                              |
| A319-131 | ICAO_B     | 3              | 1        | Décollage    | Maxi décollage | 1+F     |                           |                            |                     |                              |
| A319-131 | ICAO_B     | 3              | 2        | Montée       | Maxi décollage | 1+F     | 1 000                     |                            |                     |                              |
| A319-131 | ICAO_B     | 3              | 3        | Accélération | Maxi décollage | 1+F     |                           | 952,7                      | 189                 |                              |
| A319-131 | ICAO_B     | 3              | 4        | Accélération | Maxi décollage | 1       |                           | 1 081                      | 206                 |                              |
| A319-131 | ICAO_B     | 3              | 5        | Montée       | Maxi montée    | ZERO    | 3 000                     |                            |                     |                              |
| A319-131 | ICAO_B     | 3              | 6        | Accélération | Maxi montée    | ZERO    |                           | 1 208,7                    | 250                 |                              |
| A319-131 | ICAO_B     | 3              | 7        | Montée       | Maxi montée    | ZERO    | 5 500                     |                            |                     |                              |
| A319-131 | ICAO_B     | 3              | 8        | Montée       | Maxi montée    | ZERO    | 7 500                     |                            |                     |                              |

| ACFTID   | Profile_ID | Longueur phase | N° étape | Type étape   | Indice poussée | Flap_ID | Altitude point final (ft) | Vitesse de montée (ft/min) | CAS point final(kt) | Pourcentage_accélération (%) |
|----------|------------|----------------|----------|--------------|----------------|---------|---------------------------|----------------------------|---------------------|------------------------------|
| A319-131 | ICAO_B     | 3              | 9        | Montée       | Maxi montée    | ZERO    | 10 000                    |                            |                     |                              |
| A319-131 | ICAO_B     | 4              | 1        | Décollage    | Maxi décollage | 1+F     |                           |                            |                     |                              |
| A319-131 | ICAO_B     | 4              | 2        | Montée       | Maxi décollage | 1+F     | 1 000                     |                            |                     |                              |
| A319-131 | ICAO_B     | 4              | 3        | Accélération | Maxi décollage | 1+F     |                           | 880,8                      | 195,6               |                              |
| A319-131 | ICAO_B     | 4              | 4        | Accélération | Maxi décollage | 1       |                           | 1 001,7                    | 210,8               |                              |
| A319-131 | ICAO_B     | 4              | 5        | Montée       | Maxi montée    | ZERO    | 3 000                     |                            |                     |                              |
| A319-131 | ICAO_B     | 4              | 6        | Accélération | Maxi montée    | ZERO    |                           | 1 119,6                    | 250                 |                              |
| A319-131 | ICAO_B     | 4              | 7        | Montée       | Maxi montée    | ZERO    | 5 500                     |                            |                     |                              |
| A319-131 | ICAO_B     | 4              | 8        | Montée       | Maxi montée    | ZERO    | 7 500                     |                            |                     |                              |
| A319-131 | ICAO_B     | 4              | 9        | Montée       | Maxi montée    | ZERO    | 10 000                    |                            |                     |                              |
| A319-131 | ICAO_B     | 5              | 1        | Décollage    | Maxi décollage | 1+F     |                           |                            |                     |                              |
| A319-131 | ICAO_B     | 5              | 2        | Accélération | Maxi décollage | 1+F     |                           | 735,2                      | 169,7               |                              |
| A319-131 | ICAO_B     | 5              | 3        | Montée       | Maxi décollage | 1+F     | 1 000                     |                            |                     |                              |
| A319-131 | ICAO_B     | 5              | 4        | Accélération | Maxi décollage | 1+F     |                           | 793,4                      | 208,8               |                              |
| A319-131 | ICAO_B     | 5              | 5        | Accélération | Maxi décollage | ZERO    |                           | 860                        | 221,2               |                              |
| A319-131 | ICAO_B     | 5              | 6        | Montée       | Maxi montée    | ZERO    | 3 000                     |                            |                     |                              |
| A319-131 | ICAO_B     | 5              | 7        | Accélération | Maxi montée    | ZERO    |                           | 964,2                      | 250                 |                              |
| A319-131 | ICAO_B     | 5              | 8        | Montée       | Maxi montée    | ZERO    | 5 500                     |                            |                     |                              |
| A319-131 | ICAO_B     | 5              | 9        | Montée       | Maxi montée    | ZERO    | 7 500                     |                            |                     |                              |
| A319-131 | ICAO_B     | 5              | 10       | Montée       | Maxi montée    | ZERO    | 10 000                    |                            |                     |                              |

| ACFTID   | Profile_ID | Longueur phase | N° étape | Type étape   | Indice poussée | Flap_ID | Altitude point final (ft) | Vitesse de montée (ft/min) | CAS point final(kt) | Pourcentage_accélération (%) |
|----------|------------|----------------|----------|--------------|----------------|---------|---------------------------|----------------------------|---------------------|------------------------------|
| A320-211 | DEFAULT    | 1              | 1        | Décollage    | Maxi décollage | 1+F     |                           |                            |                     |                              |
| A320-211 | DEFAULT    | 1              | 2        | Montée       | Maxi décollage | 1+F     | 1 000                     |                            |                     |                              |
| A320-211 | DEFAULT    | 1              | 3        | Accélération | Maxi décollage | 1+F     |                           | 1 150,5                    | 186,2               |                              |
| A320-211 | DEFAULT    | 1              | 4        | Accélération | Maxi décollage | 1       |                           | 1 300,7                    | 208,1               |                              |
| A320-211 | DEFAULT    | 1              | 5        | Montée       | Maxi montée    | ZERO    | 3 000                     |                            |                     |                              |
| A320-211 | DEFAULT    | 1              | 6        | Accélération | Maxi montée    | ZERO    |                           | 1 230,7                    | 250                 |                              |
| A320-211 | DEFAULT    | 1              | 7        | Montée       | Maxi montée    | ZERO    | 5 500                     |                            |                     |                              |
| A320-211 | DEFAULT    | 1              | 8        | Montée       | Maxi montée    | ZERO    | 7 500                     |                            |                     |                              |
| A320-211 | DEFAULT    | 1              | 9        | Montée       | Maxi montée    | ZERO    | 10 000                    |                            |                     |                              |
| A320-211 | DEFAULT    | 2              | 1        | Décollage    | Maxi décollage | 1+F     |                           |                            |                     |                              |
| A320-211 | DEFAULT    | 2              | 2        | Montée       | Maxi décollage | 1+F     | 1 000                     |                            |                     |                              |
| A320-211 | DEFAULT    | 2              | 3        | Accélération | Maxi décollage | 1+F     |                           | 1 098,5                    | 190,2               |                              |
| A320-211 | DEFAULT    | 2              | 4        | Accélération | Maxi décollage | 1       |                           | 1 243,7                    | 210,7               |                              |
| A320-211 | DEFAULT    | 2              | 5        | Montée       | Maxi montée    | ZERO    | 3 000                     |                            |                     |                              |
| A320-211 | DEFAULT    | 2              | 6        | Accélération | Maxi montée    | ZERO    |                           | 1 171                      | 250                 |                              |
| A320-211 | DEFAULT    | 2              | 7        | Montée       | Maxi montée    | ZERO    | 5 500                     |                            |                     |                              |
| A320-211 | DEFAULT    | 2              | 8        | Montée       | Maxi montée    | ZERO    | 7 500                     |                            |                     |                              |
| A320-211 | DEFAULT    | 2              | 9        | Montée       | Maxi montée    | ZERO    | 10 000                    |                            |                     |                              |
| A320-211 | DEFAULT    | 3              | 1        | Décollage    | Maxi décollage | 1+F     |                           |                            |                     |                              |
| A320-211 | DEFAULT    | 3              | 2        | Montée       | Maxi décollage | 1+F     | 1 000                     |                            |                     |                              |

| ACFTID   | Profile_ID | Longueur phase | N° étape | Type étape   | Indice poussée | Flap_ID | Altitude point final (ft) | Vitesse de montée (ft/min) | CAS point final(kt) | Pourcentage_accélération (%) |
|----------|------------|----------------|----------|--------------|----------------|---------|---------------------------|----------------------------|---------------------|------------------------------|
| A320-211 | DEFAULT    | 3              | 3        | Accélération | Maxi décollage | 1+F     |                           | 1 049,6                    | 194,3               |                              |
| A320-211 | DEFAULT    | 3              | 4        | Accélération | Maxi décollage | 1       |                           | 1 189,2                    | 213,5               |                              |
| A320-211 | DEFAULT    | 3              | 5        | Montée       | Maxi montée    | ZERO    | 3 000                     |                            |                     |                              |
| A320-211 | DEFAULT    | 3              | 6        | Accélération | Maxi montée    | ZERO    |                           | 1 113,9                    | 250                 |                              |
| A320-211 | DEFAULT    | 3              | 7        | Montée       | Maxi montée    | ZERO    | 5 500                     |                            |                     |                              |
| A320-211 | DEFAULT    | 3              | 8        | Montée       | Maxi montée    | ZERO    | 7 500                     |                            |                     |                              |
| A320-211 | DEFAULT    | 3              | 9        | Montée       | Maxi montée    | ZERO    | 10 000                    |                            |                     |                              |
| A320-211 | DEFAULT    | 4              | 1        | Décollage    | Maxi décollage | 1+F     |                           |                            |                     |                              |
| A320-211 | DEFAULT    | 4              | 2        | Montée       | Maxi décollage | 1+F     | 1 000                     |                            |                     |                              |
| A320-211 | DEFAULT    | 4              | 3        | Accélération | Maxi décollage | 1+F     |                           | 972,6                      | 201,4               |                              |
| A320-211 | DEFAULT    | 4              | 4        | Accélération | Maxi décollage | 1       |                           | 1 101                      | 218,7               |                              |
| A320-211 | DEFAULT    | 4              | 5        | Montée       | Maxi montée    | ZERO    | 3 000                     |                            |                     |                              |
| A320-211 | DEFAULT    | 4              | 6        | Accélération | Maxi montée    | ZERO    |                           | 1 021                      | 250                 |                              |
| A320-211 | DEFAULT    | 4              | 7        | Montée       | Maxi montée    | ZERO    | 5 500                     |                            |                     |                              |
| A320-211 | DEFAULT    | 4              | 8        | Montée       | Maxi montée    | ZERO    | 7 500                     |                            |                     |                              |
| A320-211 | DEFAULT    | 4              | 9        | Montée       | Maxi montée    | ZERO    | 10 000                    |                            |                     |                              |
| A320-211 | DEFAULT    | 5              | 1        | Décollage    | Maxi décollage | 1+F     |                           |                            |                     |                              |
| A320-211 | DEFAULT    | 5              | 2        | Montée       | Maxi décollage | 1+F     | 1 000                     |                            |                     |                              |
| A320-211 | DEFAULT    | 5              | 3        | Accélération | Maxi décollage | 1+F     |                           | 933,1                      | 205,1               |                              |
| A320-211 | DEFAULT    | 5              | 4        | Accélération | Maxi décollage | 1       |                           | 1 056                      | 221,4               |                              |

| ACFTID   | Profile_ID | Longueur phase | N° étape | Type étape   | Indice poussée | Flap_ID | Altitude point final (ft) | Vitesse de montée (ft/min) | CAS point final(kt) | Pourcentage_accélération (%) |
|----------|------------|----------------|----------|--------------|----------------|---------|---------------------------|----------------------------|---------------------|------------------------------|
| A320-211 | DEFAULT    | 5              | 5        | Montée       | Maxi montée    | ZERO    | 3 000                     |                            |                     |                              |
| A320-211 | DEFAULT    | 5              | 6        | Accélération | Maxi montée    | ZERO    |                           | 973,2                      | 250                 |                              |
| A320-211 | DEFAULT    | 5              | 7        | Montée       | Maxi montée    | ZERO    | 5 500                     |                            |                     |                              |
| A320-211 | DEFAULT    | 5              | 8        | Montée       | Maxi montée    | ZERO    | 7 500                     |                            |                     |                              |
| A320-211 | DEFAULT    | 5              | 9        | Montée       | Maxi montée    | ZERO    | 10 000                    |                            |                     |                              |
| A320-211 | ICAO_A     | 1              | 1        | Décollage    | Maxi décollage | 1+F     |                           |                            |                     |                              |
| A320-211 | ICAO_A     | 1              | 2        | Montée       | Maxi décollage | 1+F     | 1 500                     |                            |                     |                              |
| A320-211 | ICAO_A     | 1              | 3        | Montée       | Maxi montée    | 1+F     | 3 000                     |                            |                     |                              |
| A320-211 | ICAO_A     | 1              | 4        | Accélération | Maxi montée    | 1+F     |                           | 812,1                      | 186,1               |                              |
| A320-211 | ICAO_A     | 1              | 5        | Accélération | Maxi montée    | 1       |                           | 933,5                      | 201,2               |                              |
| A320-211 | ICAO_A     | 1              | 6        | Accélération | Maxi montée    | ZERO    |                           | 1 119,7                    | 228,2               |                              |
| A320-211 | ICAO_A     | 1              | 7        | Accélération | Maxi montée    | ZERO    |                           | 1 240,5                    | 250                 |                              |
| A320-211 | ICAO_A     | 1              | 8        | Montée       | Maxi montée    | ZERO    | 5 500                     |                            |                     |                              |
| A320-211 | ICAO_A     | 1              | 9        | Montée       | Maxi montée    | ZERO    | 7 500                     |                            |                     |                              |
| A320-211 | ICAO_A     | 1              | 10       | Montée       | Maxi montée    | ZERO    | 10 000                    |                            |                     |                              |
| A320-211 | ICAO_A     | 2              | 1        | Décollage    | Maxi décollage | 1+F     |                           |                            |                     |                              |
| A320-211 | ICAO_A     | 2              | 2        | Montée       | Maxi décollage | 1+F     | 1 500                     |                            |                     |                              |
| A320-211 | ICAO_A     | 2              | 3        | Montée       | Maxi montée    | 1+F     | 3 000                     |                            |                     |                              |
| A320-211 | ICAO_A     | 2              | 4        | Accélération | Maxi montée    | 1+F     |                           | 769,5                      | 190,1               |                              |
| A320-211 | ICAO_A     | 2              | 5        | Accélération | Maxi montée    | 1       |                           | 899,8                      | 204,3               |                              |

| ACFTID   | Profile_ID | Longueur phase | N° étape | Type étape   | Indice poussée | Flap_ID | Altitude point final (ft) | Vitesse de montée (ft/min) | CAS point final(kt) | Pourcentage accélération (%) |
|----------|------------|----------------|----------|--------------|----------------|---------|---------------------------|----------------------------|---------------------|------------------------------|
| A320-211 | ICAO_A     | 2              | 6        | Accélération | Maxi montée    | ZERO    |                           | 1 069,9                    | 229,9               |                              |
| A320-211 | ICAO_A     | 2              | 7        | Accélération | Maxi montée    | ZERO    |                           | 1 176,4                    | 250                 |                              |
| A320-211 | ICAO_A     | 2              | 8        | Montée       | Maxi montée    | ZERO    | 5 500                     |                            |                     |                              |
| A320-211 | ICAO_A     | 2              | 9        | Montée       | Maxi montée    | ZERO    | 7 500                     |                            |                     |                              |
| A320-211 | ICAO_A     | 2              | 10       | Montée       | Maxi montée    | ZERO    | 10 000                    |                            |                     |                              |
| A320-211 | ICAO_A     | 3              | 1        | Décollage    | Maxi décollage | 1+F     |                           |                            |                     |                              |
| A320-211 | ICAO_A     | 3              | 2        | Montée       | Maxi décollage | 1+F     | 1 500                     |                            |                     |                              |
| A320-211 | ICAO_A     | 3              | 3        | Montée       | Maxi montée    | 1+F     | 3 000                     |                            |                     |                              |
| A320-211 | ICAO_A     | 3              | 4        | Accélération | Maxi montée    | 1+F     |                           | 730,3                      | 194,1               |                              |
| A320-211 | ICAO_A     | 3              | 5        | Accélération | Maxi montée    | 1       |                           | 868                        | 207,6               |                              |
| A320-211 | ICAO_A     | 3              | 6        | Accélération | Maxi montée    | ZERO    |                           | 1 021,8                    | 231,7               |                              |
| A320-211 | ICAO_A     | 3              | 7        | Accélération | Maxi montée    | ZERO    |                           | 1 115,4                    | 250                 |                              |
| A320-211 | ICAO_A     | 3              | 8        | Montée       | Maxi montée    | ZERO    | 5 500                     |                            |                     |                              |
| A320-211 | ICAO_A     | 3              | 9        | Montée       | Maxi montée    | ZERO    | 7 500                     |                            |                     |                              |
| A320-211 | ICAO_A     | 3              | 10       | Montée       | Maxi montée    | ZERO    | 10 000                    |                            |                     |                              |
| A320-211 | ICAO_A     | 4              | 1        | Décollage    | Maxi décollage | 1+F     |                           |                            |                     |                              |
| A320-211 | ICAO_A     | 4              | 2        | Montée       | Maxi décollage | 1+F     | 1 500                     |                            |                     |                              |
| A320-211 | ICAO_A     | 4              | 3        | Montée       | Maxi montée    | 1+F     | 3 000                     |                            |                     |                              |
| A320-211 | ICAO_A     | 4              | 4        | Accélération | Maxi montée    | 1+F     |                           | 670,3                      | 201,2               |                              |
| A320-211 | ICAO_A     | 4              | 5        | Accélération | Maxi montée    | 1       |                           | 816,4                      | 213,5               |                              |

| ACFTID   | Profile_ID | Longueur phase | N° étape | Type étape   | Indice poussée | Flap_ID | Altitude point final (ft) | Vitesse de montée (ft/min) | CAS point final(kt) | Pourcentage_accélération (%) |
|----------|------------|----------------|----------|--------------|----------------|---------|---------------------------|----------------------------|---------------------|------------------------------|
| A320-211 | ICAO_A     | 4              | 6        | Accélération | Maxi montée    | ZERO    |                           | 942                        | 235,2               |                              |
| A320-211 | ICAO_A     | 4              | 7        | Accélération | Maxi montée    | ZERO    |                           | 1 017,5                    | 250                 |                              |
| A320-211 | ICAO_A     | 4              | 8        | Montée       | Maxi montée    | ZERO    | 5 500                     |                            |                     |                              |
| A320-211 | ICAO_A     | 4              | 9        | Montée       | Maxi montée    | ZERO    | 7 500                     |                            |                     |                              |
| A320-211 | ICAO_A     | 4              | 10       | Montée       | Maxi montée    | ZERO    | 10 000                    |                            |                     |                              |
| A320-211 | ICAO_A     | 5              | 1        | Décollage    | Maxi décollage | 1+F     |                           |                            |                     |                              |
| A320-211 | ICAO_A     | 5              | 2        | Montée       | Maxi décollage | 1+F     | 1 500                     |                            |                     |                              |
| A320-211 | ICAO_A     | 5              | 3        | Montée       | Maxi montée    | 1+F     | 3 000                     |                            |                     |                              |
| A320-211 | ICAO_A     | 5              | 4        | Accélération | Maxi montée    | 1+F     |                           | 640,5                      | 205                 |                              |
| A320-211 | ICAO_A     | 5              | 5        | Accélération | Maxi montée    | 1       |                           | 789,5                      | 216,6               |                              |
| A320-211 | ICAO_A     | 5              | 6        | Accélération | Maxi montée    | ZERO    |                           | 899,5                      | 237,1               |                              |
| A320-211 | ICAO_A     | 5              | 7        | Accélération | Maxi montée    | ZERO    |                           | 968,2                      | 250                 |                              |
| A320-211 | ICAO_A     | 5              | 8        | Montée       | Maxi montée    | ZERO    | 5 500                     |                            |                     |                              |
| A320-211 | ICAO_A     | 5              | 9        | Montée       | Maxi montée    | ZERO    | 7 500                     |                            |                     |                              |
| A320-211 | ICAO_A     | 5              | 10       | Montée       | Maxi montée    | ZERO    | 10 000                    |                            |                     |                              |
| A320-211 | ICAO_B     | 1              | 1        | Décollage    | Maxi décollage | 1+F     |                           |                            |                     |                              |
| A320-211 | ICAO_B     | 1              | 2        | Montée       | Maxi décollage | 1+F     | 1 000                     |                            |                     |                              |
| A320-211 | ICAO_B     | 1              | 3        | Accélération | Maxi décollage | 1+F     |                           | 1 150,5                    | 186,2               |                              |
| A320-211 | ICAO_B     | 1              | 4        | Accélération | Maxi décollage | 1       |                           | 1 300,7                    | 208,1               |                              |
| A320-211 | ICAO_B     | 1              | 5        | Montée       | Maxi montée    | ZERO    | 3 000                     |                            |                     |                              |

| ACFTID   | Profile_ID | Longueur phase | N° étape | Type étape   | Indice poussée | Flap_ID | Altitude point final (ft) | Vitesse de montée (ft/min) | CAS point final(kt) | Pourcentage accélération (%) |
|----------|------------|----------------|----------|--------------|----------------|---------|---------------------------|----------------------------|---------------------|------------------------------|
| A320-211 | ICAO_B     | 1              | 6        | Accélération | Maxi montée    | ZERO    |                           | 1 230,7                    | 250                 |                              |
| A320-211 | ICAO_B     | 1              | 7        | Montée       | Maxi montée    | ZERO    | 5 500                     |                            |                     |                              |
| A320-211 | ICAO_B     | 1              | 8        | Montée       | Maxi montée    | ZERO    | 7 500                     |                            |                     |                              |
| A320-211 | ICAO_B     | 1              | 9        | Montée       | Maxi montée    | ZERO    | 10 000                    |                            |                     |                              |
| A320-211 | ICAO_B     | 2              | 1        | Décollage    | Maxi décollage | 1+F     |                           |                            |                     |                              |
| A320-211 | ICAO_B     | 2              | 2        | Montée       | Maxi décollage | 1+F     | 1 000                     |                            |                     |                              |
| A320-211 | ICAO_B     | 2              | 3        | Accélération | Maxi décollage | 1+F     |                           | 1 098,5                    | 190,2               |                              |
| A320-211 | ICAO_B     | 2              | 4        | Accélération | Maxi décollage | 1       |                           | 1 243,7                    | 210,7               |                              |
| A320-211 | ICAO_B     | 2              | 5        | Montée       | Maxi montée    | ZERO    | 3 000                     |                            |                     |                              |
| A320-211 | ICAO_B     | 2              | 6        | Accélération | Maxi montée    | ZERO    |                           | 1 171                      | 250                 |                              |
| A320-211 | ICAO_B     | 2              | 7        | Montée       | Maxi montée    | ZERO    | 5 500                     |                            |                     |                              |
| A320-211 | ICAO_B     | 2              | 8        | Montée       | Maxi montée    | ZERO    | 7 500                     |                            |                     |                              |
| A320-211 | ICAO_B     | 2              | 9        | Montée       | Maxi montée    | ZERO    | 10 000                    |                            |                     |                              |
| A320-211 | ICAO_B     | 3              | 1        | Décollage    | Maxi décollage | 1+F     |                           |                            |                     |                              |
| A320-211 | ICAO_B     | 3              | 2        | Montée       | Maxi décollage | 1+F     | 1 000                     |                            |                     |                              |
| A320-211 | ICAO_B     | 3              | 3        | Accélération | Maxi décollage | 1+F     |                           | 1 049,6                    | 194,3               |                              |
| A320-211 | ICAO_B     | 3              | 4        | Accélération | Maxi décollage | 1       |                           | 1 189,2                    | 213,5               |                              |
| A320-211 | ICAO_B     | 3              | 5        | Montée       | Maxi montée    | ZERO    | 3 000                     |                            |                     |                              |
| A320-211 | ICAO_B     | 3              | 6        | Accélération | Maxi montée    | ZERO    |                           | 1 113,9                    | 250                 |                              |
| A320-211 | ICAO_B     | 3              | 7        | Montée       | Maxi montée    | ZERO    | 5 500                     |                            |                     |                              |

| ACFTID   | Profile_ID | Longueur phase | N° étape | Type étape   | Indice poussée | Flap_ID | Altitude point final (ft) | Vitesse de montée (ft/min) | CAS point final(kt) | Pourcentage accélération (%) |
|----------|------------|----------------|----------|--------------|----------------|---------|---------------------------|----------------------------|---------------------|------------------------------|
| A320-211 | ICAO_B     | 3              | 8        | Montée       | Maxi montée    | ZERO    | 7 500                     |                            |                     |                              |
| A320-211 | ICAO_B     | 3              | 9        | Montée       | Maxi montée    | ZERO    | 10 000                    |                            |                     |                              |
| A320-211 | ICAO_B     | 4              | 1        | Décollage    | Maxi décollage | 1+F     |                           |                            |                     |                              |
| A320-211 | ICAO_B     | 4              | 2        | Montée       | Maxi décollage | 1+F     | 1 000                     |                            |                     |                              |
| A320-211 | ICAO_B     | 4              | 3        | Accélération | Maxi décollage | 1+F     |                           | 972,6                      | 201,4               |                              |
| A320-211 | ICAO_B     | 4              | 4        | Accélération | Maxi décollage | 1       |                           | 1 101                      | 218,7               |                              |
| A320-211 | ICAO_B     | 4              | 5        | Montée       | Maxi montée    | ZERO    | 3 000                     |                            |                     |                              |
| A320-211 | ICAO_B     | 4              | 6        | Accélération | Maxi montée    | ZERO    |                           | 1 021                      | 250                 |                              |
| A320-211 | ICAO_B     | 4              | 7        | Montée       | Maxi montée    | ZERO    | 5 500                     |                            |                     |                              |
| A320-211 | ICAO_B     | 4              | 8        | Montée       | Maxi montée    | ZERO    | 7 500                     |                            |                     |                              |
| A320-211 | ICAO_B     | 4              | 9        | Montée       | Maxi montée    | ZERO    | 10 000                    |                            |                     |                              |
| A320-211 | ICAO_B     | 5              | 1        | Décollage    | Maxi décollage | 1+F     |                           |                            |                     |                              |
| A320-211 | ICAO_B     | 5              | 2        | Montée       | Maxi décollage | 1+F     | 1 000                     |                            |                     |                              |
| A320-211 | ICAO_B     | 5              | 3        | Accélération | Maxi décollage | 1+F     |                           | 933,1                      | 205,1               |                              |
| A320-211 | ICAO_B     | 5              | 4        | Accélération | Maxi décollage | 1       |                           | 1 056                      | 221,4               |                              |
| A320-211 | ICAO_B     | 5              | 5        | Montée       | Maxi montée    | ZERO    | 3 000                     |                            |                     |                              |
| A320-211 | ICAO_B     | 5              | 6        | Accélération | Maxi montée    | ZERO    |                           | 973,2                      | 250                 |                              |
| A320-211 | ICAO_B     | 5              | 7        | Montée       | Maxi montée    | ZERO    | 5 500                     |                            |                     |                              |
| A320-211 | ICAO_B     | 5              | 8        | Montée       | Maxi montée    | ZERO    | 7 500                     |                            |                     |                              |
| A320-211 | ICAO_B     | 5              | 9        | Montée       | Maxi montée    | ZERO    | 10 000                    |                            |                     |                              |

| ACFTID   | Profile_ID | Longueur phase | N° étape | Type étape   | Indice poussée | Flap_ID | Altitude point final (ft) | Vitesse de montée (ft/min) | CAS point final(kt) | Pourcentage_accélération (%) |
|----------|------------|----------------|----------|--------------|----------------|---------|---------------------------|----------------------------|---------------------|------------------------------|
| A320-232 | DEFAULT    | 1              | 1        | Décollage    | Maxi décollage | 1+F     |                           |                            |                     |                              |
| A320-232 | DEFAULT    | 1              | 2        | Montée       | Maxi décollage | 1+F     | 1 000                     |                            |                     |                              |
| A320-232 | DEFAULT    | 1              | 3        | Accélération | Maxi décollage | 1+F     |                           | 1 219,6                    | 185,5               |                              |
| A320-232 | DEFAULT    | 1              | 4        | Accélération | Maxi décollage | 1       |                           | 1 372,6                    | 208,6               |                              |
| A320-232 | DEFAULT    | 1              | 5        | Montée       | Maxi montée    | ZERO    | 3 000                     |                            |                     |                              |
| A320-232 | DEFAULT    | 1              | 6        | Accélération | Maxi montée    | ZERO    |                           | 1 192,1                    | 250                 |                              |
| A320-232 | DEFAULT    | 1              | 7        | Montée       | Maxi montée    | ZERO    | 5 500                     |                            |                     |                              |
| A320-232 | DEFAULT    | 1              | 8        | Montée       | Maxi montée    | ZERO    | 7 500                     |                            |                     |                              |
| A320-232 | DEFAULT    | 1              | 9        | Montée       | Maxi montée    | ZERO    | 10 000                    |                            |                     |                              |
| A320-232 | DEFAULT    | 2              | 1        | Décollage    | Maxi décollage | 1+F     |                           |                            |                     |                              |
| A320-232 | DEFAULT    | 2              | 2        | Montée       | Maxi décollage | 1+F     | 1 000                     |                            |                     |                              |
| A320-232 | DEFAULT    | 2              | 3        | Accélération | Maxi décollage | 1+F     |                           | 1 167,9                    | 189,3               |                              |
| A320-232 | DEFAULT    | 2              | 4        | Accélération | Maxi décollage | 1       |                           | 1 315,7                    | 211                 |                              |
| A320-232 | DEFAULT    | 2              | 5        | Montée       | Maxi montée    | ZERO    | 3 000                     |                            |                     |                              |
| A320-232 | DEFAULT    | 2              | 6        | Accélération | Maxi montée    | ZERO    |                           | 1 137,4                    | 250                 |                              |
| A320-232 | DEFAULT    | 2              | 7        | Montée       | Maxi montée    | ZERO    | 5 500                     |                            |                     |                              |
| A320-232 | DEFAULT    | 2              | 8        | Montée       | Maxi montée    | ZERO    | 7 500                     |                            |                     |                              |
| A320-232 | DEFAULT    | 2              | 9        | Montée       | Maxi montée    | ZERO    | 10 000                    |                            |                     |                              |
| A320-232 | DEFAULT    | 3              | 1        | Décollage    | Maxi décollage | 1+F     |                           |                            |                     |                              |
| A320-232 | DEFAULT    | 3              | 2        | Montée       | Maxi décollage | 1+F     | 1 000                     |                            |                     |                              |

| ACFTID   | Profile_ID | Longueur phase | N° étape | Type étape   | Indice poussée | Flap_ID | Altitude point final (ft) | Vitesse de montée (ft/min) | CAS point final(kt) | Pourcentage_accélération (%) |
|----------|------------|----------------|----------|--------------|----------------|---------|---------------------------|----------------------------|---------------------|------------------------------|
| A320-232 | DEFAULT    | 3              | 3        | Accélération | Maxi décollage | 1+F     |                           | 1 118,6                    | 193,2               |                              |
| A320-232 | DEFAULT    | 3              | 4        | Accélération | Maxi décollage | 1       |                           | 1 260,6                    | 213,6               |                              |
| A320-232 | DEFAULT    | 3              | 5        | Montée       | Maxi montée    | ZERO    | 3 000                     |                            |                     |                              |
| A320-232 | DEFAULT    | 3              | 6        | Accélération | Maxi montée    | ZERO    |                           | 1 085,2                    | 250                 |                              |
| A320-232 | DEFAULT    | 3              | 7        | Montée       | Maxi montée    | ZERO    | 5 500                     |                            |                     |                              |
| A320-232 | DEFAULT    | 3              | 8        | Montée       | Maxi montée    | ZERO    | 7 500                     |                            |                     |                              |
| A320-232 | DEFAULT    | 3              | 9        | Montée       | Maxi montée    | ZERO    | 10 000                    |                            |                     |                              |
| A320-232 | DEFAULT    | 4              | 1        | Décollage    | Maxi décollage | 1+F     |                           |                            |                     |                              |
| A320-232 | DEFAULT    | 4              | 2        | Montée       | Maxi décollage | 1+F     | 1 000                     |                            |                     |                              |
| A320-232 | DEFAULT    | 4              | 3        | Accélération | Maxi décollage | 1+F     |                           | 1 040,6                    | 199,9               |                              |
| A320-232 | DEFAULT    | 4              | 4        | Accélération | Maxi décollage | 1       |                           | 1 170,7                    | 218,4               |                              |
| A320-232 | DEFAULT    | 4              | 5        | Montée       | Maxi montée    | ZERO    | 3 000                     |                            |                     |                              |
| A320-232 | DEFAULT    | 4              | 6        | Accélération | Maxi montée    | ZERO    |                           | 1 001,5                    | 250                 |                              |
| A320-232 | DEFAULT    | 4              | 7        | Montée       | Maxi montée    | ZERO    | 5 500                     |                            |                     |                              |
| A320-232 | DEFAULT    | 4              | 8        | Montée       | Maxi montée    | ZERO    | 7 500                     |                            |                     |                              |
| A320-232 | DEFAULT    | 4              | 9        | Montée       | Maxi montée    | ZERO    | 10 000                    |                            |                     |                              |
| A320-232 | DEFAULT    | 5              | 1        | Décollage    | Maxi décollage | 1+F     |                           |                            |                     |                              |
| A320-232 | DEFAULT    | 5              | 2        | Montée       | Maxi décollage | 1+F     | 1 000                     |                            |                     |                              |
| A320-232 | DEFAULT    | 5              | 3        | Accélération | Maxi décollage | 1+F     |                           | 921,9                      | 210,9               |                              |
| A320-232 | DEFAULT    | 5              | 4        | Accélération | Maxi décollage | 1       |                           | 1 033,9                    | 226,5               |                              |

| ACFTID   | Profile_ID | Longueur phase | N° étape | Type étape   | Indice poussée | Flap_ID | Altitude point final (ft) | Vitesse de montée (ft/min) | CAS point final(kt) | Pourcentage accélération (%) |
|----------|------------|----------------|----------|--------------|----------------|---------|---------------------------|----------------------------|---------------------|------------------------------|
| A320-232 | DEFAULT    | 5              | 5        | Montée       | Maxi montée    | ZERO    | 3 000                     |                            |                     |                              |
| A320-232 | DEFAULT    | 5              | 6        | Accélération | Maxi montée    | ZERO    |                           | 876,3                      | 250                 |                              |
| A320-232 | DEFAULT    | 5              | 7        | Montée       | Maxi montée    | ZERO    | 5 500                     |                            |                     |                              |
| A320-232 | DEFAULT    | 5              | 8        | Montée       | Maxi montée    | ZERO    | 7 500                     |                            |                     |                              |
| A320-232 | DEFAULT    | 5              | 9        | Montée       | Maxi montée    | ZERO    | 10 000                    |                            |                     |                              |
| A320-232 | ICAO_A     | 1              | 1        | Décollage    | Maxi décollage | 1+F     |                           |                            |                     |                              |
| A320-232 | ICAO_A     | 1              | 2        | Montée       | Maxi décollage | 1+F     | 1 500                     |                            |                     |                              |
| A320-232 | ICAO_A     | 1              | 3        | Montée       | Maxi montée    | 1+F     | 3 000                     |                            |                     |                              |
| A320-232 | ICAO_A     | 1              | 4        | Accélération | Maxi montée    | 1+F     |                           | 776,1                      | 185,4               |                              |
| A320-232 | ICAO_A     | 1              | 5        | Accélération | Maxi montée    | 1       |                           | 906,7                      | 200,1               |                              |
| A320-232 | ICAO_A     | 1              | 6        | Accélération | Maxi montée    | ZERO    |                           | 1 062                      | 226                 |                              |
| A320-232 | ICAO_A     | 1              | 7        | Accélération | Maxi montée    | ZERO    |                           | 1 218,7                    | 250                 |                              |
| A320-232 | ICAO_A     | 1              | 8        | Montée       | Maxi montée    | ZERO    | 5 500                     |                            |                     |                              |
| A320-232 | ICAO_A     | 1              | 9        | Montée       | Maxi montée    | ZERO    | 7 500                     |                            |                     |                              |
| A320-232 | ICAO_A     | 1              | 10       | Montée       | Maxi montée    | ZERO    | 10 000                    |                            |                     |                              |
| A320-232 | ICAO_A     | 2              | 1        | Décollage    | Maxi décollage | 1+F     |                           |                            |                     |                              |
| A320-232 | ICAO_A     | 2              | 2        | Montée       | Maxi décollage | 1+F     | 1 500                     |                            |                     |                              |
| A320-232 | ICAO_A     | 2              | 3        | Montée       | Maxi montée    | 1+F     | 3 000                     |                            |                     |                              |
| A320-232 | ICAO_A     | 2              | 4        | Accélération | Maxi montée    | 1+F     |                           | 739,7                      | 189,1               |                              |
| A320-232 | ICAO_A     | 2              | 5        | Accélération | Maxi montée    | 1       |                           | 870                        | 203                 |                              |

| ACFTID   | Profile_ID | Longueur phase | N° étape | Type étape   | Indice poussée | Flap_ID | Altitude point final (ft) | Vitesse de montée (ft/min) | CAS point final(kt) | Pourcentage_accélération (%) |
|----------|------------|----------------|----------|--------------|----------------|---------|---------------------------|----------------------------|---------------------|------------------------------|
| A320-232 | ICAO_A     | 2              | 6        | Accélération | Maxi montée    | ZERO    |                           | 1 015,7                    | 227,5               |                              |
| A320-232 | ICAO_A     | 2              | 7        | Accélération | Maxi montée    | ZERO    |                           | 1 160,7                    | 250                 |                              |
| A320-232 | ICAO_A     | 2              | 8        | Montée       | Maxi montée    | ZERO    | 5 500                     |                            |                     |                              |
| A320-232 | ICAO_A     | 2              | 9        | Montée       | Maxi montée    | ZERO    | 7 500                     |                            |                     |                              |
| A320-232 | ICAO_A     | 2              | 10       | Montée       | Maxi montée    | ZERO    | 10 000                    |                            |                     |                              |
| A320-232 | ICAO_A     | 3              | 1        | Décollage    | Maxi décollage | 1+F     |                           |                            |                     |                              |
| A320-232 | ICAO_A     | 3              | 2        | Montée       | Maxi décollage | 1+F     | 1 500                     |                            |                     |                              |
| A320-232 | ICAO_A     | 3              | 3        | Montée       | Maxi montée    | 1+F     | 3 000                     |                            |                     |                              |
| A320-232 | ICAO_A     | 3              | 4        | Accélération | Maxi montée    | 1+F     |                           | 705                        | 193                 |                              |
| A320-232 | ICAO_A     | 3              | 5        | Accélération | Maxi montée    | 1       |                           | 834,6                      | 206,1               |                              |
| A320-232 | ICAO_A     | 3              | 6        | Accélération | Maxi montée    | ZERO    |                           | 971,6                      | 229,2               |                              |
| A320-232 | ICAO_A     | 3              | 7        | Accélération | Maxi montée    | ZERO    |                           | 1 105,4                    | 250                 |                              |
| A320-232 | ICAO_A     | 3              | 8        | Montée       | Maxi montée    | ZERO    | 5 500                     |                            |                     |                              |
| A320-232 | ICAO_A     | 3              | 9        | Montée       | Maxi montée    | ZERO    | 7 500                     |                            |                     |                              |
| A320-232 | ICAO_A     | 3              | 10       | Montée       | Maxi montée    | ZERO    | 10 000                    |                            |                     |                              |
| A320-232 | ICAO_A     | 4              | 1        | Décollage    | Maxi décollage | 1+F     |                           |                            |                     |                              |
| A320-232 | ICAO_A     | 4              | 2        | Montée       | Maxi décollage | 1+F     | 1 500                     |                            |                     |                              |
| A320-232 | ICAO_A     | 4              | 3        | Montée       | Maxi montée    | 1+F     | 3 000                     |                            |                     |                              |
| A320-232 | ICAO_A     | 4              | 4        | Accélération | Maxi montée    | 1+F     |                           | 650,5                      | 199,8               |                              |
| A320-232 | ICAO_A     | 4              | 5        | Accélération | Maxi montée    | 1       |                           | 776,9                      | 211,6               |                              |

| ACFTID   | Profile_ID | Longueur phase | N° étape | Type étape   | Indice poussée | Flap_ID | Altitude point final (ft) | Vitesse de montée (ft/min) | CAS point final(kt) | Pourcentage accélération (%) |
|----------|------------|----------------|----------|--------------|----------------|---------|---------------------------|----------------------------|---------------------|------------------------------|
| A320-232 | ICAO_A     | 4              | 6        | Accélération | Maxi montée    | ZERO    |                           | 901,1                      | 232,6               |                              |
| A320-232 | ICAO_A     | 4              | 7        | Accélération | Maxi montée    | ZERO    |                           | 1 016,8                    | 250                 |                              |
| A320-232 | ICAO_A     | 4              | 8        | Montée       | Maxi montée    | ZERO    | 5 500                     |                            |                     |                              |
| A320-232 | ICAO_A     | 4              | 9        | Montée       | Maxi montée    | ZERO    | 7 500                     |                            |                     |                              |
| A320-232 | ICAO_A     | 4              | 10       | Montée       | Maxi montée    | ZERO    | 10 000                    |                            |                     |                              |
| A320-232 | ICAO_A     | 5              | 1        | Décollage    | Maxi décollage | 1+F     |                           |                            |                     |                              |
| A320-232 | ICAO_A     | 5              | 2        | Montée       | Maxi décollage | 1+F     | 1 500                     |                            |                     |                              |
| A320-232 | ICAO_A     | 5              | 3        | Montée       | Maxi montée    | 1+F     | 3 000                     |                            |                     |                              |
| A320-232 | ICAO_A     | 5              | 4        | Accélération | Maxi montée    | 1+F     |                           | 568,3                      | 210,7               |                              |
| A320-232 | ICAO_A     | 5              | 5        | Accélération | Maxi montée    | 1       |                           | 687,3                      | 220,6               |                              |
| A320-232 | ICAO_A     | 5              | 6        | Accélération | Maxi montée    | ZERO    |                           | 794,5                      | 238,5               |                              |
| A320-232 | ICAO_A     | 5              | 7        | Accélération | Maxi montée    | ZERO    |                           | 884,4                      | 250                 |                              |
| A320-232 | ICAO_A     | 5              | 8        | Montée       | Maxi montée    | ZERO    | 5 500                     |                            |                     |                              |
| A320-232 | ICAO_A     | 5              | 9        | Montée       | Maxi montée    | ZERO    | 7 500                     |                            |                     |                              |
| A320-232 | ICAO_A     | 5              | 10       | Montée       | Maxi montée    | ZERO    | 10 000                    |                            |                     |                              |
| A320-232 | ICAO_B     | 1              | 1        | Décollage    | Maxi décollage | 1+F     |                           |                            |                     |                              |
| A320-232 | ICAO_B     | 1              | 2        | Montée       | Maxi décollage | 1+F     | 1 000                     |                            |                     |                              |
| A320-232 | ICAO_B     | 1              | 3        | Accélération | Maxi décollage | 1+F     |                           | 1 219,6                    | 185,5               |                              |
| A320-232 | ICAO_B     | 1              | 4        | Accélération | Maxi décollage | 1       |                           | 1 372,6                    | 208,6               |                              |
| A320-232 | ICAO_B     | 1              | 5        | Montée       | Maxi montée    | ZERO    | 3 000                     |                            |                     |                              |

| ACFTID   | Profile_ID | Longueur phase | N° étape | Type étape   | Indice poussée | Flap_ID | Altitude point final (ft) | Vitesse de montée (ft/min) | CAS point final(kt) | Pourcentage accélération (%) |
|----------|------------|----------------|----------|--------------|----------------|---------|---------------------------|----------------------------|---------------------|------------------------------|
| A320-232 | ICAO_B     | 1              | 6        | Accélération | Maxi montée    | ZERO    |                           | 1 192,1                    | 250                 |                              |
| A320-232 | ICAO_B     | 1              | 7        | Montée       | Maxi montée    | ZERO    | 5 500                     |                            |                     |                              |
| A320-232 | ICAO_B     | 1              | 8        | Montée       | Maxi montée    | ZERO    | 7 500                     |                            |                     |                              |
| A320-232 | ICAO_B     | 1              | 9        | Montée       | Maxi montée    | ZERO    | 10 000                    |                            |                     |                              |
| A320-232 | ICAO_B     | 2              | 1        | Décollage    | Maxi décollage | 1+F     |                           |                            |                     |                              |
| A320-232 | ICAO_B     | 2              | 2        | Montée       | Maxi décollage | 1+F     | 1 000                     |                            |                     |                              |
| A320-232 | ICAO_B     | 2              | 3        | Accélération | Maxi décollage | 1+F     |                           | 1 167,9                    | 189,3               |                              |
| A320-232 | ICAO_B     | 2              | 4        | Accélération | Maxi décollage | 1       |                           | 1 315,7                    | 211                 |                              |
| A320-232 | ICAO_B     | 2              | 5        | Montée       | Maxi montée    | ZERO    | 3 000                     |                            |                     |                              |
| A320-232 | ICAO_B     | 2              | 6        | Accélération | Maxi montée    | ZERO    |                           | 1 137,4                    | 250                 |                              |
| A320-232 | ICAO_B     | 2              | 7        | Montée       | Maxi montée    | ZERO    | 5 500                     |                            |                     |                              |
| A320-232 | ICAO_B     | 2              | 8        | Montée       | Maxi montée    | ZERO    | 7 500                     |                            |                     |                              |
| A320-232 | ICAO_B     | 2              | 9        | Montée       | Maxi montée    | ZERO    | 10 000                    |                            |                     |                              |
| A320-232 | ICAO_B     | 3              | 1        | Décollage    | Maxi décollage | 1+F     |                           |                            |                     |                              |
| A320-232 | ICAO_B     | 3              | 2        | Montée       | Maxi décollage | 1+F     | 1 000                     |                            |                     |                              |
| A320-232 | ICAO_B     | 3              | 3        | Accélération | Maxi décollage | 1+F     |                           | 1 118,6                    | 193,2               |                              |
| A320-232 | ICAO_B     | 3              | 4        | Accélération | Maxi décollage | 1       |                           | 1 260,6                    | 213,6               |                              |
| A320-232 | ICAO_B     | 3              | 5        | Montée       | Maxi montée    | ZERO    | 3 000                     |                            |                     |                              |
| A320-232 | ICAO_B     | 3              | 6        | Accélération | Maxi montée    | ZERO    |                           | 1 085,2                    | 250                 |                              |
| A320-232 | ICAO_B     | 3              | 7        | Montée       | Maxi montée    | ZERO    | 5 500                     |                            |                     |                              |

| ACFTID   | Profile_ID | Longueur phase | N° étape | Type étape | Indice poussée | Flap_ID | Altitude point final (ft) | Vitesse de montée (ft/min) | CAS point final (kt) | Pourcentage accélération (%) |
|----------|------------|----------------|----------|------------|----------------|---------|---------------------------|----------------------------|----------------------|------------------------------|
| A320-232 | ICAO_B     | 3              | 8        | Montée     | Maxi montée    | ZERO    | 7 500                     |                            |                      |                              |
| A320-232 | ICAO_B     | 3              | 9        | Montée     | Maxi montée    | ZERO    | 10 000                    |                            |                      |                              |

Tableau I-4 (partie 3)

**Étapes de procédure de départ par défaut**

| ACFTID   | Profile_ID | Longueur phase | N° étape | Type étape   | Indice poussée | Flap_ID | Altitude point final (ft) | Vitesse de montée (ft/min) | CAS point final (kt) | Pourcentage accélération (%) |
|----------|------------|----------------|----------|--------------|----------------|---------|---------------------------|----------------------------|----------------------|------------------------------|
| A320-232 | ICAO_B     | 4              | 1        | Décollage    | Maxi décollage | 1+F     |                           |                            |                      |                              |
| A320-232 | ICAO_B     | 4              | 2        | Montée       | Maxi décollage | 1+F     | 1 000                     |                            |                      |                              |
| A320-232 | ICAO_B     | 4              | 3        | Accélération | Maxi décollage | 1+F     |                           | 1 040,6                    | 199,9                |                              |
| A320-232 | ICAO_B     | 4              | 4        | Accélération | Maxi décollage | 1       |                           | 1 170,7                    | 218,4                |                              |
| A320-232 | ICAO_B     | 4              | 5        | Montée       | Maxi montée    | ZERO    | 3 000                     |                            |                      |                              |
| A320-232 | ICAO_B     | 4              | 6        | Accélération | Maxi montée    | ZERO    |                           | 1 001,5                    | 250                  |                              |
| A320-232 | ICAO_B     | 4              | 7        | Montée       | Maxi montée    | ZERO    | 5 500                     |                            |                      |                              |
| A320-232 | ICAO_B     | 4              | 8        | Montée       | Maxi montée    | ZERO    | 7 500                     |                            |                      |                              |
| A320-232 | ICAO_B     | 4              | 9        | Montée       | Maxi montée    | ZERO    | 10 000                    |                            |                      |                              |
| A320-232 | ICAO_B     | 5              | 1        | Décollage    | Maxi décollage | 1+F     |                           |                            |                      |                              |
| A320-232 | ICAO_B     | 5              | 2        | Montée       | Maxi décollage | 1+F     | 1 000                     |                            |                      |                              |
| A320-232 | ICAO_B     | 5              | 3        | Accélération | Maxi décollage | 1+F     |                           | 921,9                      | 210,9                |                              |
| A320-232 | ICAO_B     | 5              | 4        | Accélération | Maxi décollage | 1       |                           | 1 033,9                    | 226,5                |                              |
| A320-232 | ICAO_B     | 5              | 5        | Montée       | Maxi montée    | ZERO    | 3 000                     |                            |                      |                              |
| A320-232 | ICAO_B     | 5              | 6        | Accélération | Maxi montée    | ZERO    |                           | 876,3                      | 250                  |                              |

| ACFTID   | Profile_ID | Longueur phase | N° étape | Type étape   | Indice poussée | Flap_ID | Altitude point final (ft) | Vitesse de montée (ft/min) | CAS point final (kt) | Pourcentage accélération (%) |
|----------|------------|----------------|----------|--------------|----------------|---------|---------------------------|----------------------------|----------------------|------------------------------|
| A320-232 | ICAO_B     | 5              | 7        | Montée       | Maxi montée    | ZERO    | 5 500                     |                            |                      |                              |
| A320-232 | ICAO_B     | 5              | 8        | Montée       | Maxi montée    | ZERO    | 7 500                     |                            |                      |                              |
| A320-232 | ICAO_B     | 5              | 9        | Montée       | Maxi montée    | ZERO    | 10 000                    |                            |                      |                              |
| A321-232 | DEFAULT    | 1              | 1        | Décollage    | Maxi décollage | 1+F     |                           |                            |                      |                              |
| A321-232 | DEFAULT    | 1              | 2        | Montée       | Maxi décollage | 1+F     | 1 000                     |                            |                      |                              |
| A321-232 | DEFAULT    | 1              | 3        | Accélération | Maxi décollage | 1+F     |                           | 1 235,6                    | 195                  |                              |
| A321-232 | DEFAULT    | 1              | 4        | Accélération | Maxi décollage | 1       |                           | 1 376                      | 219,7                |                              |
| A321-232 | DEFAULT    | 1              | 5        | Montée       | Maxi montée    | ZERO    | 3 000                     |                            |                      |                              |
| A321-232 | DEFAULT    | 1              | 6        | Accélération | Maxi montée    | ZERO    |                           | 1 127,8                    | 250                  |                              |
| A321-232 | DEFAULT    | 1              | 7        | Montée       | Maxi montée    | ZERO    | 5 500                     |                            |                      |                              |
| A321-232 | DEFAULT    | 1              | 8        | Montée       | Maxi montée    | ZERO    | 7 500                     |                            |                      |                              |
| A321-232 | DEFAULT    | 1              | 9        | Montée       | Maxi montée    | ZERO    | 10 000                    |                            |                      |                              |
| A321-232 | DEFAULT    | 2              | 1        | Décollage    | Maxi décollage | 1+F     |                           |                            |                      |                              |
| A321-232 | DEFAULT    | 2              | 2        | Montée       | Maxi décollage | 1+F     | 1 000                     |                            |                      |                              |
| A321-232 | DEFAULT    | 2              | 3        | Accélération | Maxi décollage | 1+F     |                           | 1 180,9                    | 199                  |                              |
| A321-232 | DEFAULT    | 2              | 4        | Accélération | Maxi décollage | 1       |                           | 1 316,8                    | 222,2                |                              |
| A321-232 | DEFAULT    | 2              | 5        | Montée       | Maxi montée    | ZERO    | 3 000                     |                            |                      |                              |
| A321-232 | DEFAULT    | 2              | 6        | Accélération | Maxi montée    | ZERO    |                           | 1 070,3                    | 250                  |                              |
| A321-232 | DEFAULT    | 2              | 7        | Montée       | Maxi montée    | ZERO    | 5 500                     |                            |                      |                              |
| A321-232 | DEFAULT    | 2              | 8        | Montée       | Maxi montée    | ZERO    | 7 500                     |                            |                      |                              |

| ACFTID   | Profile_ID | Longueur phase | N° étape | Type étape   | Indice poussée | Flap_ID | Altitude point final (ft) | Vitesse de montée (ft/min) | CAS point final (kt) | Pourcentage accélération (%) |
|----------|------------|----------------|----------|--------------|----------------|---------|---------------------------|----------------------------|----------------------|------------------------------|
| A321-232 | DEFAULT    | 2              | 9        | Montée       | Maxi montée    | ZERO    | 10 000                    |                            |                      |                              |
| A321-232 | DEFAULT    | 3              | 1        | Décollage    | Maxi décollage | 1+F     |                           |                            |                      |                              |
| A321-232 | DEFAULT    | 3              | 2        | Montée       | Maxi décollage | 1+F     | 1 000                     |                            |                      |                              |
| A321-232 | DEFAULT    | 3              | 3        | Accélération | Maxi décollage | 1+F     |                           | 1 127,9                    | 203                  |                              |
| A321-232 | DEFAULT    | 3              | 4        | Accélération | Maxi décollage | 1       |                           | 1 259,2                    | 224,8                |                              |
| A321-232 | DEFAULT    | 3              | 5        | Montée       | Maxi montée    | ZERO    | 3 000                     |                            |                      |                              |
| A321-232 | DEFAULT    | 3              | 6        | Accélération | Maxi montée    | ZERO    |                           | 1 015,1                    | 250                  |                              |
| A321-232 | DEFAULT    | 3              | 7        | Montée       | Maxi montée    | ZERO    | 5 500                     |                            |                      |                              |
| A321-232 | DEFAULT    | 3              | 8        | Montée       | Maxi montée    | ZERO    | 7 500                     |                            |                      |                              |
| A321-232 | DEFAULT    | 3              | 9        | Montée       | Maxi montée    | ZERO    | 10 000                    |                            |                      |                              |
| A321-232 | DEFAULT    | 4              | 1        | Décollage    | Maxi décollage | 1+F     |                           |                            |                      |                              |
| A321-232 | DEFAULT    | 4              | 2        | Montée       | Maxi décollage | 1+F     | 1 000                     |                            |                      |                              |
| A321-232 | DEFAULT    | 4              | 3        | Accélération | Maxi décollage | 1+F     |                           | 1 039                      | 209                  |                              |
| A321-232 | DEFAULT    | 4              | 4        | Accélération | Maxi décollage | 1       |                           | 1 161,6                    | 228,6                |                              |
| A321-232 | DEFAULT    | 4              | 5        | Montée       | Maxi montée    | ZERO    | 3 000                     |                            |                      |                              |
| A321-232 | DEFAULT    | 4              | 6        | Accélération | Maxi montée    | ZERO    |                           | 923,7                      | 250                  |                              |
| A321-232 | DEFAULT    | 4              | 7        | Montée       | Maxi montée    | ZERO    | 5 500                     |                            |                      |                              |
| A321-232 | DEFAULT    | 4              | 8        | Montée       | Maxi montée    | ZERO    | 7 500                     |                            |                      |                              |
| A321-232 | DEFAULT    | 4              | 9        | Montée       | Maxi montée    | ZERO    | 10 000                    |                            |                      |                              |
| A321-232 | DEFAULT    | 5              | 1        | Décollage    | Maxi décollage | 1+F     |                           |                            |                      |                              |

| ACFTID   | Profile_ID | Longueur phase | N° étape | Type étape   | Indice poussée | Flap_ID | Altitude point final (ft) | Vitesse de montée (ft/min) | CAS point final (kt) | Pourcentage accélération (%) |
|----------|------------|----------------|----------|--------------|----------------|---------|---------------------------|----------------------------|----------------------|------------------------------|
| A321-232 | DEFAULT    | 5              | 2        | Montée       | Maxi décollage | 1+F     | 1 000                     |                            |                      |                              |
| A321-232 | DEFAULT    | 5              | 3        | Accélération | Maxi décollage | 1+F     |                           | 889,6                      | 210                  |                              |
| A321-232 | DEFAULT    | 5              | 4        | Accélération | Maxi décollage | 1       |                           | 969,1                      | 226,5                |                              |
| A321-232 | DEFAULT    | 5              | 5        | Montée       | Maxi montée    | ZERO    | 3 000                     |                            |                      |                              |
| A321-232 | DEFAULT    | 5              | 6        | Accélération | Maxi montée    | ZERO    |                           | 752,3                      | 250                  |                              |
| A321-232 | DEFAULT    | 5              | 7        | Montée       | Maxi montée    | ZERO    | 5 500                     |                            |                      |                              |
| A321-232 | DEFAULT    | 5              | 8        | Montée       | Maxi montée    | ZERO    | 7 500                     |                            |                      |                              |
| A321-232 | DEFAULT    | 5              | 9        | Montée       | Maxi montée    | ZERO    | 10 000                    |                            |                      |                              |
| A321-232 | ICAO_A     | 1              | 1        | Décollage    | Maxi décollage | 1+F     |                           |                            |                      |                              |
| A321-232 | ICAO_A     | 1              | 2        | Montée       | Maxi décollage | 1+F     | 1 500                     |                            |                      |                              |
| A321-232 | ICAO_A     | 1              | 3        | Montée       | Maxi montée    | 1+F     | 3 000                     |                            |                      |                              |
| A321-232 | ICAO_A     | 1              | 4        | Accélération | Maxi montée    | 1+F     |                           | 819,7                      | 194,9                |                              |
| A321-232 | ICAO_A     | 1              | 5        | Accélération | Maxi montée    | 1       |                           | 920,7                      | 210,8                |                              |
| A321-232 | ICAO_A     | 1              | 6        | Accélération | Maxi montée    | ZERO    |                           | 1 039,9                    | 234,6                |                              |
| A321-232 | ICAO_A     | 1              | 7        | Accélération | Maxi montée    | ZERO    |                           | 1 125,4                    | 250                  |                              |
| A321-232 | ICAO_A     | 1              | 8        | Montée       | Maxi montée    | ZERO    | 5 500                     |                            |                      |                              |
| A321-232 | ICAO_A     | 1              | 9        | Montée       | Maxi montée    | ZERO    | 7 500                     |                            |                      |                              |
| A321-232 | ICAO_A     | 1              | 10       | Montée       | Maxi montée    | ZERO    | 10 000                    |                            |                      |                              |
| A321-232 | ICAO_A     | 2              | 1        | Décollage    | Maxi décollage | 1+F     |                           |                            |                      |                              |
| A321-232 | ICAO_A     | 2              | 2        | Montée       | Maxi décollage | 1+F     | 1 500                     |                            |                      |                              |

| ACFTID   | Profile_ID | Longueur phase | N° étape | Type étape   | Indice poussée | Flap_ID | Altitude point final (ft) | Vitesse de montée (ft/min) | CAS point final (kt) | Pourcentage accélération (%) |
|----------|------------|----------------|----------|--------------|----------------|---------|---------------------------|----------------------------|----------------------|------------------------------|
| A321-232 | ICAO_A     | 2              | 3        | Montée       | Maxi montée    | 1+F     | 3 000                     |                            |                      |                              |
| A321-232 | ICAO_A     | 2              | 4        | Accélération | Maxi montée    | 1+F     |                           | 778,4                      | 198,9                |                              |
| A321-232 | ICAO_A     | 2              | 5        | Accélération | Maxi montée    | 1       |                           | 874,3                      | 213,7                |                              |
| A321-232 | ICAO_A     | 2              | 6        | Accélération | Maxi montée    | ZERO    |                           | 987,1                      | 236,1                |                              |
| A321-232 | ICAO_A     | 2              | 7        | Accélération | Maxi montée    | ZERO    |                           | 1 066,3                    | 250                  |                              |
| A321-232 | ICAO_A     | 2              | 8        | Montée       | Maxi montée    | ZERO    | 5 500                     |                            |                      |                              |
| A321-232 | ICAO_A     | 2              | 9        | Montée       | Maxi montée    | ZERO    | 7 500                     |                            |                      |                              |
| A321-232 | ICAO_A     | 2              | 10       | Montée       | Maxi montée    | ZERO    | 10 000                    |                            |                      |                              |
| A321-232 | ICAO_A     | 3              | 1        | Décollage    | Maxi décollage | 1+F     |                           |                            |                      |                              |
| A321-232 | ICAO_A     | 3              | 2        | Montée       | Maxi décollage | 1+F     | 1 500                     |                            |                      |                              |
| A321-232 | ICAO_A     | 3              | 3        | Montée       | Maxi montée    | 1+F     | 3 000                     |                            |                      |                              |
| A321-232 | ICAO_A     | 3              | 4        | Accélération | Maxi montée    | 1+F     |                           | 737,9                      | 202,9                |                              |
| A321-232 | ICAO_A     | 3              | 5        | Accélération | Maxi montée    | 1       |                           | 829,1                      | 216,7                |                              |
| A321-232 | ICAO_A     | 3              | 6        | Accélération | Maxi montée    | ZERO    |                           | 936,1                      | 237,7                |                              |
| A321-232 | ICAO_A     | 3              | 7        | Accélération | Maxi montée    | ZERO    |                           | 1 009,5                    | 250                  |                              |
| A321-232 | ICAO_A     | 3              | 8        | Montée       | Maxi montée    | ZERO    | 5 500                     |                            |                      |                              |
| A321-232 | ICAO_A     | 3              | 9        | Montée       | Maxi montée    | ZERO    | 7 500                     |                            |                      |                              |
| A321-232 | ICAO_A     | 3              | 10       | Montée       | Maxi montée    | ZERO    | 10 000                    |                            |                      |                              |
| A321-232 | ICAO_A     | 4              | 1        | Décollage    | Maxi décollage | 1+F     |                           |                            |                      |                              |
| A321-232 | ICAO_A     | 4              | 2        | Montée       | Maxi décollage | 1+F     | 1 500                     |                            |                      |                              |

| ACFTID   | Profile_ID | Longueur phase | N° étape | Type étape   | Indice poussée | Flap_ID | Altitude point final (ft) | Vitesse de montée (ft/min) | CAS point final (kt) | Pourcentage accélération (%) |
|----------|------------|----------------|----------|--------------|----------------|---------|---------------------------|----------------------------|----------------------|------------------------------|
| A321-232 | ICAO_A     | 4              | 3        | Montée       | Maxi montée    | 1+F     | 3 000                     |                            |                      |                              |
| A321-232 | ICAO_A     | 4              | 4        | Accélération | Maxi montée    | 1+F     |                           | 670,5                      | 209,9                |                              |
| A321-232 | ICAO_A     | 4              | 5        | Accélération | Maxi montée    | 1       |                           | 754,2                      | 222,1                |                              |
| A321-232 | ICAO_A     | 4              | 6        | Accélération | Maxi montée    | ZERO    |                           | 852,9                      | 240,9                |                              |
| A321-232 | ICAO_A     | 4              | 7        | Accélération | Maxi montée    | ZERO    |                           | 917,2                      | 250                  |                              |
| A321-232 | ICAO_A     | 4              | 8        | Montée       | Maxi montée    | ZERO    | 5 500                     |                            |                      |                              |
| A321-232 | ICAO_A     | 4              | 9        | Montée       | Maxi montée    | ZERO    | 7 500                     |                            |                      |                              |
| A321-232 | ICAO_A     | 4              | 10       | Montée       | Maxi montée    | ZERO    | 10 000                    |                            |                      |                              |
| A321-232 | ICAO_A     | 5              | 1        | Décollage    | Maxi décollage | 1+F     |                           |                            |                      |                              |
| A321-232 | ICAO_A     | 5              | 2        | Montée       | Maxi décollage | 1+F     | 1 500                     |                            |                      |                              |
| A321-232 | ICAO_A     | 5              | 3        | Montée       | Maxi montée    | 1+F     | 3 000                     |                            |                      |                              |
| A321-232 | ICAO_A     | 5              | 4        | Accélération | Maxi montée    | 1+F     |                           | 551,5                      | 210                  |                              |
| A321-232 | ICAO_A     | 5              | 5        | Accélération | Maxi montée    | 1       |                           | 604,9                      | 219,9                |                              |
| A321-232 | ICAO_A     | 5              | 6        | Accélération | Maxi montée    | ZERO    |                           | 685,2                      | 235,3                |                              |
| A321-232 | ICAO_A     | 5              | 7        | Accélération | Maxi montée    | ZERO    |                           | 749,8                      | 250                  |                              |
| A321-232 | ICAO_A     | 5              | 8        | Montée       | Maxi montée    | ZERO    | 5 500                     |                            |                      |                              |
| A321-232 | ICAO_A     | 5              | 9        | Montée       | Maxi montée    | ZERO    | 7 500                     |                            |                      |                              |
| A321-232 | ICAO_A     | 5              | 10       | Montée       | Maxi montée    | ZERO    | 10 000                    |                            |                      |                              |
| A321-232 | ICAO_B     | 1              | 1        | Décollage    | Maxi décollage | 1+F     |                           |                            |                      |                              |
| A321-232 | ICAO_B     | 1              | 2        | Montée       | Maxi décollage | 1+F     | 1 000                     |                            |                      |                              |

| ACFTID   | Profile_ID | Longueur phase | N° étape | Type étape   | Indice poussée | Flap_ID | Altitude point final (ft) | Vitesse de montée (ft/min) | CAS point final (kt) | Pourcentage accélération (%) |
|----------|------------|----------------|----------|--------------|----------------|---------|---------------------------|----------------------------|----------------------|------------------------------|
| A321-232 | ICAO_B     | 1              | 3        | Accélération | Maxi décollage | 1+F     |                           | 1 235,6                    | 195                  |                              |
| A321-232 | ICAO_B     | 1              | 4        | Accélération | Maxi décollage | 1       |                           | 1 376                      | 219,7                |                              |
| A321-232 | ICAO_B     | 1              | 5        | Montée       | Maxi montée    | ZERO    | 3 000                     |                            |                      |                              |
| A321-232 | ICAO_B     | 1              | 6        | Accélération | Maxi montée    | ZERO    |                           | 1 127,8                    | 250                  |                              |
| A321-232 | ICAO_B     | 1              | 7        | Montée       | Maxi montée    | ZERO    | 5 500                     |                            |                      |                              |
| A321-232 | ICAO_B     | 1              | 8        | Montée       | Maxi montée    | ZERO    | 7 500                     |                            |                      |                              |
| A321-232 | ICAO_B     | 1              | 9        | Montée       | Maxi montée    | ZERO    | 10 000                    |                            |                      |                              |
| A321-232 | ICAO_B     | 2              | 1        | Décollage    | Maxi décollage | 1+F     |                           |                            |                      |                              |
| A321-232 | ICAO_B     | 2              | 2        | Montée       | Maxi décollage | 1+F     | 1 000                     |                            |                      |                              |
| A321-232 | ICAO_B     | 2              | 3        | Accélération | Maxi décollage | 1+F     |                           | 1 180,9                    | 199                  |                              |
| A321-232 | ICAO_B     | 2              | 4        | Accélération | Maxi décollage | 1       |                           | 1 316,8                    | 222,2                |                              |
| A321-232 | ICAO_B     | 2              | 5        | Montée       | Maxi montée    | ZERO    | 3 000                     |                            |                      |                              |
| A321-232 | ICAO_B     | 2              | 6        | Accélération | Maxi montée    | ZERO    |                           | 1 070,3                    | 250                  |                              |
| A321-232 | ICAO_B     | 2              | 7        | Montée       | Maxi montée    | ZERO    | 5 500                     |                            |                      |                              |
| A321-232 | ICAO_B     | 2              | 8        | Montée       | Maxi montée    | ZERO    | 7 500                     |                            |                      |                              |
| A321-232 | ICAO_B     | 2              | 9        | Montée       | Maxi montée    | ZERO    | 10 000                    |                            |                      |                              |
| A321-232 | ICAO_B     | 3              | 1        | Décollage    | Maxi décollage | 1+F     |                           |                            |                      |                              |
| A321-232 | ICAO_B     | 3              | 2        | Montée       | Maxi décollage | 1+F     | 1 000                     |                            |                      |                              |
| A321-232 | ICAO_B     | 3              | 3        | Accélération | Maxi décollage | 1+F     |                           | 1 127,9                    | 203                  |                              |
| A321-232 | ICAO_B     | 3              | 4        | Accélération | Maxi décollage | 1       |                           | 1 259,2                    | 224,8                |                              |

| ACFTID   | Profile_ID | Longueur phase | N° étape | Type étape   | Indice poussée | Flap_ID | Altitude point final (ft) | Vitesse de montée (ft/min) | CAS point final (kt) | Pourcentage accélération (%) |
|----------|------------|----------------|----------|--------------|----------------|---------|---------------------------|----------------------------|----------------------|------------------------------|
| A321-232 | ICAO_B     | 3              | 5        | Montée       | Maxi montée    | ZERO    | 3 000                     |                            |                      |                              |
| A321-232 | ICAO_B     | 3              | 6        | Accélération | Maxi montée    | ZERO    |                           | 1 015,1                    | 250                  |                              |
| A321-232 | ICAO_B     | 3              | 7        | Montée       | Maxi montée    | ZERO    | 5 500                     |                            |                      |                              |
| A321-232 | ICAO_B     | 3              | 8        | Montée       | Maxi montée    | ZERO    | 7 500                     |                            |                      |                              |
| A321-232 | ICAO_B     | 3              | 9        | Montée       | Maxi montée    | ZERO    | 10 000                    |                            |                      |                              |
| A321-232 | ICAO_B     | 4              | 1        | Décollage    | Maxi décollage | 1+F     |                           |                            |                      |                              |
| A321-232 | ICAO_B     | 4              | 2        | Montée       | Maxi décollage | 1+F     | 1 000                     |                            |                      |                              |
| A321-232 | ICAO_B     | 4              | 3        | Accélération | Maxi décollage | 1+F     |                           | 1 039                      | 209                  |                              |
| A321-232 | ICAO_B     | 4              | 4        | Accélération | Maxi décollage | 1       |                           | 1 161,6                    | 228,6                |                              |
| A321-232 | ICAO_B     | 4              | 5        | Montée       | Maxi montée    | ZERO    | 3 000                     |                            |                      |                              |
| A321-232 | ICAO_B     | 4              | 6        | Accélération | Maxi montée    | ZERO    |                           | 923,7                      | 250                  |                              |
| A321-232 | ICAO_B     | 4              | 7        | Montée       | Maxi montée    | ZERO    | 5 500                     |                            |                      |                              |
| A321-232 | ICAO_B     | 4              | 8        | Montée       | Maxi montée    | ZERO    | 7 500                     |                            |                      |                              |
| A321-232 | ICAO_B     | 4              | 9        | Montée       | Maxi montée    | ZERO    | 10 000                    |                            |                      |                              |
| A321-232 | ICAO_B     | 5              | 1        | Décollage    | Maxi décollage | 1+F     |                           |                            |                      |                              |
| A321-232 | ICAO_B     | 5              | 2        | Montée       | Maxi décollage | 1+F     | 1 000                     |                            |                      |                              |
| A321-232 | ICAO_B     | 5              | 3        | Accélération | Maxi décollage | 1+F     |                           | 889,6                      | 210                  |                              |
| A321-232 | ICAO_B     | 5              | 4        | Accélération | Maxi décollage | 1       |                           | 969,1                      | 226,5                |                              |
| A321-232 | ICAO_B     | 5              | 5        | Montée       | Maxi montée    | ZERO    | 3 000                     |                            |                      |                              |
| A321-232 | ICAO_B     | 5              | 6        | Accélération | Maxi montée    | ZERO    |                           | 752,3                      | 250                  |                              |

| ACFTID   | Profile_ID | Longueur phase | N° étape | Type étape   | Indice poussée | Flap_ID | Altitude point final (ft) | Vitesse de montée (ft/min) | CAS point final (kt) | Pourcentage accélération (%) |
|----------|------------|----------------|----------|--------------|----------------|---------|---------------------------|----------------------------|----------------------|------------------------------|
| A321-232 | ICAO_B     | 5              | 7        | Montée       | Maxi montée    | ZERO    | 5 500                     |                            |                      |                              |
| A321-232 | ICAO_B     | 5              | 8        | Montée       | Maxi montée    | ZERO    | 7 500                     |                            |                      |                              |
| A321-232 | ICAO_B     | 5              | 9        | Montée       | Maxi montée    | ZERO    | 10 000                    |                            |                      |                              |
| A330-301 | DEFAULT    | 1              | 1        | Décollage    | Maxi décollage | 1+F     |                           |                            |                      |                              |
| A330-301 | DEFAULT    | 1              | 2        | Montée       | Maxi décollage | 1+F     | 1 000                     |                            |                      |                              |
| A330-301 | DEFAULT    | 1              | 3        | Accélération | Maxi décollage | 1+F     |                           | 1 160,6                    | 170,7                |                              |
| A330-301 | DEFAULT    | 1              | 4        | Accélération | Maxi décollage | 1       |                           | 1 267,7                    | 207,4                |                              |
| A330-301 | DEFAULT    | 1              | 5        | Montée       | Maxi montée    | ZERO    | 3 000                     |                            |                      |                              |
| A330-301 | DEFAULT    | 1              | 6        | Accélération | Maxi montée    | ZERO    |                           | 1 218,2                    | 250                  |                              |
| A330-301 | DEFAULT    | 1              | 7        | Montée       | Maxi montée    | ZERO    | 5 500                     |                            |                      |                              |
| A330-301 | DEFAULT    | 1              | 8        | Montée       | Maxi montée    | ZERO    | 7 500                     |                            |                      |                              |
| A330-301 | DEFAULT    | 1              | 9        | Montée       | Maxi montée    | ZERO    | 10 000                    |                            |                      |                              |
| A330-301 | DEFAULT    | 2              | 1        | Décollage    | Maxi décollage | 1+F     |                           |                            |                      |                              |
| A330-301 | DEFAULT    | 2              | 2        | Montée       | Maxi décollage | 1+F     | 1 000                     |                            |                      |                              |
| A330-301 | DEFAULT    | 2              | 3        | Accélération | Maxi décollage | 1+F     |                           | 1 121,7                    | 173,4                |                              |
| A330-301 | DEFAULT    | 2              | 4        | Accélération | Maxi décollage | 1       |                           | 1 228,7                    | 208,6                |                              |
| A330-301 | DEFAULT    | 2              | 5        | Montée       | Maxi montée    | ZERO    | 3 000                     |                            |                      |                              |
| A330-301 | DEFAULT    | 2              | 6        | Accélération | Maxi montée    | ZERO    |                           | 1 176                      | 250                  |                              |
| A330-301 | DEFAULT    | 2              | 7        | Montée       | Maxi montée    | ZERO    | 5 500                     |                            |                      |                              |
| A330-301 | DEFAULT    | 2              | 8        | Montée       | Maxi montée    | ZERO    | 7 500                     |                            |                      |                              |

| ACFTID   | Profile_ID | Longueur phase | N° étape | Type étape   | Indice poussée | Flap_ID | Altitude point final (ft) | Vitesse de montée (ft/min) | CAS point final (kt) | Pourcentage accélération (%) |
|----------|------------|----------------|----------|--------------|----------------|---------|---------------------------|----------------------------|----------------------|------------------------------|
| A330-301 | DEFAULT    | 2              | 9        | Montée       | Maxi montée    | ZERO    | 10 000                    |                            |                      |                              |
| A330-301 | DEFAULT    | 3              | 1        | Décollage    | Maxi décollage | 1+F     |                           |                            |                      |                              |
| A330-301 | DEFAULT    | 3              | 2        | Montée       | Maxi décollage | 1+F     | 1 000                     |                            |                      |                              |
| A330-301 | DEFAULT    | 3              | 3        | Accélération | Maxi décollage | 1+F     |                           | 1 083,6                    | 176,1                |                              |
| A330-301 | DEFAULT    | 3              | 4        | Accélération | Maxi décollage | 1       |                           | 1 190,2                    | 209,8                |                              |
| A330-301 | DEFAULT    | 3              | 5        | Montée       | Maxi montée    | ZERO    | 3 000                     |                            |                      |                              |
| A330-301 | DEFAULT    | 3              | 6        | Accélération | Maxi montée    | ZERO    |                           | 1 134,5                    | 250                  |                              |
| A330-301 | DEFAULT    | 3              | 7        | Montée       | Maxi montée    | ZERO    | 5 500                     |                            |                      |                              |
| A330-301 | DEFAULT    | 3              | 8        | Montée       | Maxi montée    | ZERO    | 7 500                     |                            |                      |                              |
| A330-301 | DEFAULT    | 3              | 9        | Montée       | Maxi montée    | ZERO    | 10 000                    |                            |                      |                              |
| A330-301 | DEFAULT    | 4              | 1        | Décollage    | Maxi décollage | 1+F     |                           |                            |                      |                              |
| A330-301 | DEFAULT    | 4              | 2        | Montée       | Maxi décollage | 1+F     | 1 000                     |                            |                      |                              |
| A330-301 | DEFAULT    | 4              | 3        | Accélération | Maxi décollage | 1+F     |                           | 1 022,6                    | 180,8                |                              |
| A330-301 | DEFAULT    | 4              | 4        | Accélération | Maxi décollage | 1       |                           | 1 126,6                    | 212,1                |                              |
| A330-301 | DEFAULT    | 4              | 5        | Montée       | Maxi montée    | ZERO    | 3 000                     |                            |                      |                              |
| A330-301 | DEFAULT    | 4              | 6        | Accélération | Maxi montée    | ZERO    |                           | 1 066,4                    | 250                  |                              |
| A330-301 | DEFAULT    | 4              | 7        | Montée       | Maxi montée    | ZERO    | 5 500                     |                            |                      |                              |
| A330-301 | DEFAULT    | 4              | 8        | Montée       | Maxi montée    | ZERO    | 7 500                     |                            |                      |                              |
| A330-301 | DEFAULT    | 4              | 9        | Montée       | Maxi montée    | ZERO    | 10 000                    |                            |                      |                              |
| A330-301 | DEFAULT    | 5              | 1        | Décollage    | Maxi décollage | 1+F     |                           |                            |                      |                              |

| ACFTID   | Profile_ID | Longueur phase | N° étape | Type étape   | Indice poussée | Flap_ID | Altitude point final (ft) | Vitesse de montée (ft/min) | CAS point final (kt) | Pourcentage_accélération (%) |
|----------|------------|----------------|----------|--------------|----------------|---------|---------------------------|----------------------------|----------------------|------------------------------|
| A330-301 | DEFAULT    | 5              | 2        | Montée       | Maxi décollage | 1+F     | 1 000                     |                            |                      |                              |
| A330-301 | DEFAULT    | 5              | 3        | Accélération | Maxi décollage | 1+F     |                           | 951,6                      | 186,7                |                              |
| A330-301 | DEFAULT    | 5              | 4        | Accélération | Maxi décollage | 1       |                           | 1 051,7                    | 215,3                |                              |
| A330-301 | DEFAULT    | 5              | 5        | Montée       | Maxi montée    | ZERO    | 3 000                     |                            |                      |                              |
| A330-301 | DEFAULT    | 5              | 6        | Accélération | Maxi montée    | ZERO    |                           | 986,6                      | 250                  |                              |
| A330-301 | DEFAULT    | 5              | 7        | Montée       | Maxi montée    | ZERO    | 5 500                     |                            |                      |                              |
| A330-301 | DEFAULT    | 5              | 8        | Montée       | Maxi montée    | ZERO    | 7 500                     |                            |                      |                              |
| A330-301 | DEFAULT    | 5              | 9        | Montée       | Maxi montée    | ZERO    | 10 000                    |                            |                      |                              |
| A330-301 | DEFAULT    | 6              | 1        | Décollage    | Maxi décollage | 1+F     |                           |                            |                      |                              |
| A330-301 | DEFAULT    | 6              | 2        | Montée       | Maxi décollage | 1+F     | 1 000                     |                            |                      |                              |
| A330-301 | DEFAULT    | 6              | 3        | Accélération | Maxi décollage | 1+F     |                           | 883,9                      | 193                  |                              |
| A330-301 | DEFAULT    | 6              | 4        | Accélération | Maxi décollage | 1       |                           | 978,1                      | 218,9                |                              |
| A330-301 | DEFAULT    | 6              | 5        | Montée       | Maxi montée    | ZERO    | 3 000                     |                            |                      |                              |
| A330-301 | DEFAULT    | 6              | 6        | Accélération | Maxi montée    | ZERO    |                           | 908,7                      | 250                  |                              |
| A330-301 | DEFAULT    | 6              | 7        | Montée       | Maxi montée    | ZERO    | 5 500                     |                            |                      |                              |
| A330-301 | DEFAULT    | 6              | 8        | Montée       | Maxi montée    | ZERO    | 7 500                     |                            |                      |                              |
| A330-301 | DEFAULT    | 6              | 9        | Montée       | Maxi montée    | ZERO    | 10 000                    |                            |                      |                              |
| A330-301 | DEFAULT    | 7              | 1        | Décollage    | Maxi décollage | 1+F     |                           |                            |                      |                              |
| A330-301 | DEFAULT    | 7              | 2        | Montée       | Maxi décollage | 1+F     | 1 000                     |                            |                      |                              |
| A330-301 | DEFAULT    | 7              | 3        | Accélération | Maxi décollage | 1+F     |                           | 864,2                      | 195                  |                              |

| ACFTID   | Profile_ID | Longueur phase | N° étape | Type étape   | Indice poussée | Flap_ID | Altitude point final (ft) | Vitesse de montée (ft/min) | CAS point final (kt) | Pourcentage accélération (%) |
|----------|------------|----------------|----------|--------------|----------------|---------|---------------------------|----------------------------|----------------------|------------------------------|
| A330-301 | DEFAULT    | 7              | 4        | Accélération | Maxi décollage | 1       |                           | 956,5                      | 220,1                |                              |
| A330-301 | DEFAULT    | 7              | 5        | Montée       | Maxi montée    | ZERO    | 3 000                     |                            |                      |                              |
| A330-301 | DEFAULT    | 7              | 6        | Accélération | Maxi montée    | ZERO    |                           | 885,7                      | 250                  |                              |
| A330-301 | DEFAULT    | 7              | 7        | Montée       | Maxi montée    | ZERO    | 5 500                     |                            |                      |                              |
| A330-301 | DEFAULT    | 7              | 8        | Montée       | Maxi montée    | ZERO    | 7 500                     |                            |                      |                              |
| A330-301 | DEFAULT    | 7              | 9        | Montée       | Maxi montée    | ZERO    | 10 000                    |                            |                      |                              |
| A330-301 | ICAO_A     | 1              | 1        | Décollage    | Maxi décollage | 1+F     |                           |                            |                      |                              |
| A330-301 | ICAO_A     | 1              | 2        | Montée       | Maxi décollage | 1+F     | 1 500                     |                            |                      |                              |
| A330-301 | ICAO_A     | 1              | 3        | Montée       | Maxi montée    | 1+F     | 3 000                     |                            |                      |                              |
| A330-301 | ICAO_A     | 1              | 4        | Accélération | Maxi montée    | 1+F     |                           | 722,8                      | 170,7                |                              |
| A330-301 | ICAO_A     | 1              | 5        | Accélération | Maxi montée    | 1       |                           | 783,9                      | 193                  |                              |
| A330-301 | ICAO_A     | 1              | 6        | Accélération | Maxi montée    | ZERO    |                           | 965                        | 210,2                |                              |
| A330-301 | ICAO_A     | 1              | 7        | Accélération | Maxi montée    | ZERO    |                           | 1 210,9                    | 250                  |                              |
| A330-301 | ICAO_A     | 1              | 8        | Montée       | Maxi montée    | ZERO    | 5 500                     |                            |                      |                              |
| A330-301 | ICAO_A     | 1              | 9        | Montée       | Maxi montée    | ZERO    | 7 500                     |                            |                      |                              |
| A330-301 | ICAO_A     | 1              | 10       | Montée       | Maxi montée    | ZERO    | 10 000                    |                            |                      |                              |
| A330-301 | ICAO_A     | 2              | 1        | Décollage    | Maxi décollage | 1+F     |                           |                            |                      |                              |
| A330-301 | ICAO_A     | 2              | 2        | Montée       | Maxi décollage | 1+F     | 1 500                     |                            |                      |                              |
| A330-301 | ICAO_A     | 2              | 3        | Montée       | Maxi montée    | 1+F     | 3 000                     |                            |                      |                              |
| A330-301 | ICAO_A     | 2              | 4        | Accélération | Maxi montée    | 1+F     |                           | 694,4                      | 173,3                |                              |

| ACFTID   | Profile_ID | Longueur phase | N° étape | Type étape   | Indice poussée | Flap_ID | Altitude point final (ft) | Vitesse de montée (ft/min) | CAS point final (kt) | Pourcentage accélération (%) |
|----------|------------|----------------|----------|--------------|----------------|---------|---------------------------|----------------------------|----------------------|------------------------------|
| A330-301 | ICAO_A     | 2              | 5        | Accélération | Maxi montée    | 1       |                           | 758,4                      | 194,7                |                              |
| A330-301 | ICAO_A     | 2              | 6        | Accélération | Maxi montée    | ZERO    |                           | 938                        | 211,3                |                              |
| A330-301 | ICAO_A     | 2              | 7        | Accélération | Maxi montée    | ZERO    |                           | 1 168,1                    | 250                  |                              |
| A330-301 | ICAO_A     | 2              | 8        | Montée       | Maxi montée    | ZERO    | 5 500                     |                            |                      |                              |
| A330-301 | ICAO_A     | 2              | 9        | Montée       | Maxi montée    | ZERO    | 7 500                     |                            |                      |                              |
| A330-301 | ICAO_A     | 2              | 10       | Montée       | Maxi montée    | ZERO    | 10 000                    |                            |                      |                              |
| A330-301 | ICAO_A     | 3              | 1        | Décollage    | Maxi décollage | 1+F     |                           |                            |                      |                              |
| A330-301 | ICAO_A     | 3              | 2        | Montée       | Maxi décollage | 1+F     | 1 500                     |                            |                      |                              |
| A330-301 | ICAO_A     | 3              | 3        | Montée       | Maxi montée    | 1+F     | 3 000                     |                            |                      |                              |
| A330-301 | ICAO_A     | 3              | 4        | Accélération | Maxi montée    | 1+F     |                           | 668,3                      | 176                  |                              |
| A330-301 | ICAO_A     | 3              | 5        | Accélération | Maxi montée    | 1       |                           | 734,4                      | 196,4                |                              |
| A330-301 | ICAO_A     | 3              | 6        | Accélération | Maxi montée    | ZERO    |                           | 911,9                      | 212,4                |                              |
| A330-301 | ICAO_A     | 3              | 7        | Accélération | Maxi montée    | ZERO    |                           | 1 126,3                    | 250                  |                              |
| A330-301 | ICAO_A     | 3              | 8        | Montée       | Maxi montée    | ZERO    | 5 500                     |                            |                      |                              |
| A330-301 | ICAO_A     | 3              | 9        | Montée       | Maxi montée    | ZERO    | 7 500                     |                            |                      |                              |
| A330-301 | ICAO_A     | 3              | 10       | Montée       | Maxi montée    | ZERO    | 10 000                    |                            |                      |                              |
| A330-301 | ICAO_A     | 4              | 1        | Décollage    | Maxi décollage | 1+F     |                           |                            |                      |                              |
| A330-301 | ICAO_A     | 4              | 2        | Montée       | Maxi décollage | 1+F     | 1 500                     |                            |                      |                              |
| A330-301 | ICAO_A     | 4              | 3        | Montée       | Maxi montée    | 1+F     | 3 000                     |                            |                      |                              |
| A330-301 | ICAO_A     | 4              | 4        | Accélération | Maxi montée    | 1+F     |                           | 622                        | 180,8                |                              |

| ACFTID   | Profile_ID | Longueur phase | N° étape | Type étape   | Indice poussée | Flap_ID | Altitude point final (ft) | Vitesse de montée (ft/min) | CAS point final (kt) | Pourcentage accélération (%) |
|----------|------------|----------------|----------|--------------|----------------|---------|---------------------------|----------------------------|----------------------|------------------------------|
| A330-301 | ICAO_A     | 4              | 5        | Accélération | Maxi montée    | 1       |                           | 698,3                      | 199,8                |                              |
| A330-301 | ICAO_A     | 4              | 6        | Accélération | Maxi montée    | ZERO    |                           | 871,8                      | 214,9                |                              |
| A330-301 | ICAO_A     | 4              | 7        | Accélération | Maxi montée    | ZERO    |                           | 1 057,8                    | 250                  |                              |
| A330-301 | ICAO_A     | 4              | 8        | Montée       | Maxi montée    | ZERO    | 5 500                     |                            |                      |                              |
| A330-301 | ICAO_A     | 4              | 9        | Montée       | Maxi montée    | ZERO    | 7 500                     |                            |                      |                              |
| A330-301 | ICAO_A     | 4              | 10       | Montée       | Maxi montée    | ZERO    | 10 000                    |                            |                      |                              |
| A330-301 | ICAO_A     | 5              | 1        | Décollage    | Maxi décollage | 1+F     |                           |                            |                      |                              |
| A330-301 | ICAO_A     | 5              | 2        | Montée       | Maxi décollage | 1+F     | 1 500                     |                            |                      |                              |
| A330-301 | ICAO_A     | 5              | 3        | Montée       | Maxi montée    | 1+F     | 3 000                     |                            |                      |                              |
| A330-301 | ICAO_A     | 5              | 4        | Accélération | Maxi montée    | 1+F     |                           | 569,3                      | 186,8                |                              |
| A330-301 | ICAO_A     | 5              | 5        | Accélération | Maxi montée    | 1       |                           | 663,1                      | 204,4                |                              |
| A330-301 | ICAO_A     | 5              | 6        | Accélération | Maxi montée    | ZERO    |                           | 827,1                      | 218,4                |                              |
| A330-301 | ICAO_A     | 5              | 7        | Accélération | Maxi montée    | ZERO    |                           | 977,1                      | 250                  |                              |
| A330-301 | ICAO_A     | 5              | 8        | Montée       | Maxi montée    | ZERO    | 5 500                     |                            |                      |                              |
| A330-301 | ICAO_A     | 5              | 9        | Montée       | Maxi montée    | ZERO    | 7 500                     |                            |                      |                              |
| A330-301 | ICAO_A     | 5              | 10       | Montée       | Maxi montée    | ZERO    | 10 000                    |                            |                      |                              |
| A330-301 | ICAO_A     | 6              | 1        | Décollage    | Maxi décollage | 1+F     |                           |                            |                      |                              |
| A330-301 | ICAO_A     | 6              | 2        | Montée       | Maxi décollage | 1+F     | 1 500                     |                            |                      |                              |
| A330-301 | ICAO_A     | 6              | 3        | Montée       | Maxi montée    | 1+F     | 3 000                     |                            |                      |                              |
| A330-301 | ICAO_A     | 6              | 4        | Accélération | Maxi montée    | 1+F     |                           | 519,8                      | 193                  |                              |

| ACFTID   | Profile_ID | Longueur phase | N° étape | Type étape   | Indice poussée | Flap_ID | Altitude point final (ft) | Vitesse de montée (ft/min) | CAS point final (kt) | Pourcentage accélération (%) |
|----------|------------|----------------|----------|--------------|----------------|---------|---------------------------|----------------------------|----------------------|------------------------------|
| A330-301 | ICAO_A     | 6              | 5        | Accélération | Maxi montée    | 1       |                           | 634,2                      | 209,3                |                              |
| A330-301 | ICAO_A     | 6              | 6        | Accélération | Maxi montée    | ZERO    |                           | 781                        | 222,2                |                              |
| A330-301 | ICAO_A     | 6              | 7        | Accélération | Maxi montée    | ZERO    |                           | 898,1                      | 250                  |                              |
| A330-301 | ICAO_A     | 6              | 8        | Montée       | Maxi montée    | ZERO    | 5 500                     |                            |                      |                              |
| A330-301 | ICAO_A     | 6              | 9        | Montée       | Maxi montée    | ZERO    | 7 500                     |                            |                      |                              |
| A330-301 | ICAO_A     | 6              | 10       | Montée       | Maxi montée    | ZERO    | 10 000                    |                            |                      |                              |
| A330-301 | ICAO_A     | 7              | 1        | Décollage    | Maxi décollage | 1+F     |                           |                            |                      |                              |
| A330-301 | ICAO_A     | 7              | 2        | Montée       | Maxi décollage | 1+F     | 1 500                     |                            |                      |                              |
| A330-301 | ICAO_A     | 7              | 3        | Montée       | Maxi montée    | 1+F     | 3 000                     |                            |                      |                              |
| A330-301 | ICAO_A     | 7              | 4        | Accélération | Maxi montée    | 1+F     |                           | 506,2                      | 194,9                |                              |
| A330-301 | ICAO_A     | 7              | 5        | Accélération | Maxi montée    | 1       |                           | 625,8                      | 210,8                |                              |
| A330-301 | ICAO_A     | 7              | 6        | Accélération | Maxi montée    | ZERO    |                           | 766,4                      | 223,5                |                              |
| A330-301 | ICAO_A     | 7              | 7        | Accélération | Maxi montée    | ZERO    |                           | 875,2                      | 250                  |                              |
| A330-301 | ICAO_A     | 7              | 8        | Montée       | Maxi montée    | ZERO    | 5 500                     |                            |                      |                              |
| A330-301 | ICAO_A     | 7              | 9        | Montée       | Maxi montée    | ZERO    | 7 500                     |                            |                      |                              |
| A330-301 | ICAO_A     | 7              | 10       | Montée       | Maxi montée    | ZERO    | 10 000                    |                            |                      |                              |
| A330-301 | ICAO_B     | 1              | 1        | Décollage    | Maxi décollage | 1+F     |                           |                            |                      |                              |
| A330-301 | ICAO_B     | 1              | 2        | Montée       | Maxi décollage | 1+F     | 1 000                     |                            |                      |                              |
| A330-301 | ICAO_B     | 1              | 3        | Accélération | Maxi décollage | 1+F     |                           | 1 160,6                    | 170,7                |                              |
| A330-301 | ICAO_B     | 1              | 4        | Accélération | Maxi décollage | 1       |                           | 1 267,7                    | 207,4                |                              |

| ACFTID   | Profile_ID | Longueur phase | N° étape | Type étape   | Indice poussée | Flap_ID | Altitude point final (ft) | Vitesse de montée (ft/min) | CAS point final (kt) | Pourcentage accélération (%) |
|----------|------------|----------------|----------|--------------|----------------|---------|---------------------------|----------------------------|----------------------|------------------------------|
| A330-301 | ICAO_B     | 1              | 5        | Montée       | Maxi montée    | ZERO    | 3 000                     |                            |                      |                              |
| A330-301 | ICAO_B     | 1              | 6        | Accélération | Maxi montée    | ZERO    |                           | 1 218,2                    | 250                  |                              |
| A330-301 | ICAO_B     | 1              | 7        | Montée       | Maxi montée    | ZERO    | 5 500                     |                            |                      |                              |
| A330-301 | ICAO_B     | 1              | 8        | Montée       | Maxi montée    | ZERO    | 7 500                     |                            |                      |                              |
| A330-301 | ICAO_B     | 1              | 9        | Montée       | Maxi montée    | ZERO    | 10 000                    |                            |                      |                              |
| A330-301 | ICAO_B     | 2              | 1        | Décollage    | Maxi décollage | 1+F     |                           |                            |                      |                              |
| A330-301 | ICAO_B     | 2              | 2        | Montée       | Maxi décollage | 1+F     | 1 000                     |                            |                      |                              |
| A330-301 | ICAO_B     | 2              | 3        | Accélération | Maxi décollage | 1+F     |                           | 1 121,7                    | 173,4                |                              |
| A330-301 | ICAO_B     | 2              | 4        | Accélération | Maxi décollage | 1       |                           | 1 228,7                    | 208,6                |                              |
| A330-301 | ICAO_B     | 2              | 5        | Montée       | Maxi montée    | ZERO    | 3 000                     |                            |                      |                              |
| A330-301 | ICAO_B     | 2              | 6        | Accélération | Maxi montée    | ZERO    |                           | 1 176                      | 250                  |                              |
| A330-301 | ICAO_B     | 2              | 7        | Montée       | Maxi montée    | ZERO    | 5 500                     |                            |                      |                              |
| A330-301 | ICAO_B     | 2              | 8        | Montée       | Maxi montée    | ZERO    | 7 500                     |                            |                      |                              |
| A330-301 | ICAO_B     | 2              | 9        | Montée       | Maxi montée    | ZERO    | 10 000                    |                            |                      |                              |
| A330-301 | ICAO_B     | 3              | 1        | Décollage    | Maxi décollage | 1+F     |                           |                            |                      |                              |
| A330-301 | ICAO_B     | 3              | 2        | Montée       | Maxi décollage | 1+F     | 1 000                     |                            |                      |                              |
| A330-301 | ICAO_B     | 3              | 3        | Accélération | Maxi décollage | 1+F     |                           | 1 083,6                    | 176,1                |                              |
| A330-301 | ICAO_B     | 3              | 4        | Accélération | Maxi décollage | 1       |                           | 1 190,2                    | 209,8                |                              |
| A330-301 | ICAO_B     | 3              | 5        | Montée       | Maxi montée    | ZERO    | 3 000                     |                            |                      |                              |
| A330-301 | ICAO_B     | 3              | 6        | Accélération | Maxi montée    | ZERO    |                           | 1 134,5                    | 250                  |                              |

| ACFTID   | Profile_ID | Longueur phase | N° étape | Type étape   | Indice poussée | Flap_ID | Altitude point final (ft) | Vitesse de montée (ft/min) | CAS point final (kt) | Pourcentage accélération (%) |
|----------|------------|----------------|----------|--------------|----------------|---------|---------------------------|----------------------------|----------------------|------------------------------|
| A330-301 | ICAO_B     | 3              | 7        | Montée       | Maxi montée    | ZERO    | 5 500                     |                            |                      |                              |
| A330-301 | ICAO_B     | 3              | 8        | Montée       | Maxi montée    | ZERO    | 7 500                     |                            |                      |                              |
| A330-301 | ICAO_B     | 3              | 9        | Montée       | Maxi montée    | ZERO    | 10 000                    |                            |                      |                              |
| A330-301 | ICAO_B     | 4              | 1        | Décollage    | Maxi décollage | 1+F     |                           |                            |                      |                              |
| A330-301 | ICAO_B     | 4              | 2        | Montée       | Maxi décollage | 1+F     | 1 000                     |                            |                      |                              |
| A330-301 | ICAO_B     | 4              | 3        | Accélération | Maxi décollage | 1+F     |                           | 1 022,6                    | 180,8                |                              |
| A330-301 | ICAO_B     | 4              | 4        | Accélération | Maxi décollage | 1       |                           | 1 126,6                    | 212,1                |                              |
| A330-301 | ICAO_B     | 4              | 5        | Montée       | Maxi montée    | ZERO    | 3 000                     |                            |                      |                              |
| A330-301 | ICAO_B     | 4              | 6        | Accélération | Maxi montée    | ZERO    |                           | 1 066,4                    | 250                  |                              |
| A330-301 | ICAO_B     | 4              | 7        | Montée       | Maxi montée    | ZERO    | 5 500                     |                            |                      |                              |
| A330-301 | ICAO_B     | 4              | 8        | Montée       | Maxi montée    | ZERO    | 7 500                     |                            |                      |                              |
| A330-301 | ICAO_B     | 4              | 9        | Montée       | Maxi montée    | ZERO    | 10 000                    |                            |                      |                              |
| A330-301 | ICAO_B     | 5              | 1        | Décollage    | Maxi décollage | 1+F     |                           |                            |                      |                              |
| A330-301 | ICAO_B     | 5              | 2        | Montée       | Maxi décollage | 1+F     | 1 000                     |                            |                      |                              |
| A330-301 | ICAO_B     | 5              | 3        | Accélération | Maxi décollage | 1+F     |                           | 951,6                      | 186,7                |                              |
| A330-301 | ICAO_B     | 5              | 4        | Accélération | Maxi décollage | 1       |                           | 1 051,7                    | 215,3                |                              |
| A330-301 | ICAO_B     | 5              | 5        | Montée       | Maxi montée    | ZERO    | 3 000                     |                            |                      |                              |
| A330-301 | ICAO_B     | 5              | 6        | Accélération | Maxi montée    | ZERO    |                           | 986,6                      | 250                  |                              |
| A330-301 | ICAO_B     | 5              | 7        | Montée       | Maxi montée    | ZERO    | 5 500                     |                            |                      |                              |
| A330-301 | ICAO_B     | 5              | 8        | Montée       | Maxi montée    | ZERO    | 7 500                     |                            |                      |                              |

| ACFTID   | Profile_ID | Longueur phase | N° étape | Type étape   | Indice poussée | Flap_ID | Altitude point final (ft) | Vitesse de montée (ft/min) | CAS point final (kt) | Pourcentage accélération (%) |
|----------|------------|----------------|----------|--------------|----------------|---------|---------------------------|----------------------------|----------------------|------------------------------|
| A330-301 | ICAO_B     | 5              | 9        | Montée       | Maxi montée    | ZERO    | 10 000                    |                            |                      |                              |
| A330-301 | ICAO_B     | 6              | 1        | Décollage    | Maxi décollage | 1+F     |                           |                            |                      |                              |
| A330-301 | ICAO_B     | 6              | 2        | Montée       | Maxi décollage | 1+F     | 1 000                     |                            |                      |                              |
| A330-301 | ICAO_B     | 6              | 3        | Accélération | Maxi décollage | 1+F     |                           | 883,9                      | 193                  |                              |
| A330-301 | ICAO_B     | 6              | 4        | Accélération | Maxi décollage | 1       |                           | 978,1                      | 218,9                |                              |
| A330-301 | ICAO_B     | 6              | 5        | Montée       | Maxi montée    | ZERO    | 3 000                     |                            |                      |                              |
| A330-301 | ICAO_B     | 6              | 6        | Accélération | Maxi montée    | ZERO    |                           | 908,7                      | 250                  |                              |
| A330-301 | ICAO_B     | 6              | 7        | Montée       | Maxi montée    | ZERO    | 5 500                     |                            |                      |                              |
| A330-301 | ICAO_B     | 6              | 8        | Montée       | Maxi montée    | ZERO    | 7 500                     |                            |                      |                              |
| A330-301 | ICAO_B     | 6              | 9        | Montée       | Maxi montée    | ZERO    | 10 000                    |                            |                      |                              |
| A330-301 | ICAO_B     | 7              | 1        | Décollage    | Maxi décollage | 1+F     |                           |                            |                      |                              |
| A330-301 | ICAO_B     | 7              | 2        | Montée       | Maxi décollage | 1+F     | 1 000                     |                            |                      |                              |
| A330-301 | ICAO_B     | 7              | 3        | Accélération | Maxi décollage | 1+F     |                           | 864,2                      | 195                  |                              |
| A330-301 | ICAO_B     | 7              | 4        | Accélération | Maxi décollage | 1       |                           | 956,5                      | 220,1                |                              |
| A330-301 | ICAO_B     | 7              | 5        | Montée       | Maxi montée    | ZERO    | 3 000                     |                            |                      |                              |
| A330-301 | ICAO_B     | 7              | 6        | Accélération | Maxi montée    | ZERO    |                           | 885,7                      | 250                  |                              |
| A330-301 | ICAO_B     | 7              | 7        | Montée       | Maxi montée    | ZERO    | 5 500                     |                            |                      |                              |
| A330-301 | ICAO_B     | 7              | 8        | Montée       | Maxi montée    | ZERO    | 7 500                     |                            |                      |                              |
| A330-301 | ICAO_B     | 7              | 9        | Montée       | Maxi montée    | ZERO    | 10 000                    |                            |                      |                              |
| A330-343 | DEFAULT    | 1              | 1        | Décollage    | Maxi décollage | 1+F     |                           |                            |                      |                              |

| ACFTID   | Profile_ID | Longueur phase | N° étape | Type étape   | Indice poussée | Flap_ID | Altitude point final (ft) | Vitesse de montée (ft/min) | CAS point final (kt) | Pourcentage accélération (%) |
|----------|------------|----------------|----------|--------------|----------------|---------|---------------------------|----------------------------|----------------------|------------------------------|
| A330-343 | DEFAULT    | 1              | 2        | Montée       | Maxi décollage | 1+F     | 1 000                     |                            |                      |                              |
| A330-343 | DEFAULT    | 1              | 3        | Accélération | Maxi décollage | 1+F     |                           | 1 273,5                    | 174,9                |                              |
| A330-343 | DEFAULT    | 1              | 4        | Accélération | Maxi décollage | 1       |                           | 1 384,8                    | 213,9                |                              |
| A330-343 | DEFAULT    | 1              | 5        | Montée       | Maxi montée    | ZERO    | 3 000                     |                            |                      |                              |
| A330-343 | DEFAULT    | 1              | 6        | Accélération | Maxi montée    | ZERO    |                           | 1 268,1                    | 250                  |                              |
| A330-343 | DEFAULT    | 1              | 7        | Montée       | Maxi montée    | ZERO    | 5 500                     |                            |                      |                              |
| A330-343 | DEFAULT    | 1              | 8        | Montée       | Maxi montée    | ZERO    | 7 500                     |                            |                      |                              |
| A330-343 | DEFAULT    | 1              | 9        | Montée       | Maxi montée    | ZERO    | 10 000                    |                            |                      |                              |
| A330-343 | DEFAULT    | 2              | 1        | Décollage    | Maxi décollage | 1+F     |                           |                            |                      |                              |
| A330-343 | DEFAULT    | 2              | 2        | Montée       | Maxi décollage | 1+F     | 1 000                     |                            |                      |                              |
| A330-343 | DEFAULT    | 2              | 3        | Accélération | Maxi décollage | 1+F     |                           | 1 218,9                    | 177,7                |                              |
| A330-343 | DEFAULT    | 2              | 4        | Accélération | Maxi décollage | 1       |                           | 1 340,4                    | 215                  |                              |
| A330-343 | DEFAULT    | 2              | 5        | Montée       | Maxi montée    | ZERO    | 3 000                     |                            |                      |                              |
| A330-343 | DEFAULT    | 2              | 6        | Accélération | Maxi montée    | ZERO    |                           | 1 223,6                    | 250                  |                              |
| A330-343 | DEFAULT    | 2              | 7        | Montée       | Maxi montée    | ZERO    | 5 500                     |                            |                      |                              |
| A330-343 | DEFAULT    | 2              | 8        | Montée       | Maxi montée    | ZERO    | 7 500                     |                            |                      |                              |
| A330-343 | DEFAULT    | 2              | 9        | Montée       | Maxi montée    | ZERO    | 10 000                    |                            |                      |                              |
| A330-343 | DEFAULT    | 3              | 1        | Décollage    | Maxi décollage | 1+F     |                           |                            |                      |                              |
| A330-343 | DEFAULT    | 3              | 2        | Montée       | Maxi décollage | 1+F     | 1 000                     |                            |                      |                              |
| A330-343 | DEFAULT    | 3              | 3        | Accélération | Maxi décollage | 1+F     |                           | 1 181,2                    | 180,4                |                              |

| ACFTID   | Profile_ID | Longueur phase | N° étape | Type étape   | Indice poussée | Flap_ID | Altitude point final (ft) | Vitesse de montée (ft/min) | CAS point final (kt) | Pourcentage accélération (%) |
|----------|------------|----------------|----------|--------------|----------------|---------|---------------------------|----------------------------|----------------------|------------------------------|
| A330-343 | DEFAULT    | 3              | 4        | Accélération | Maxi décollage | 1       |                           | 1 296,6                    | 216,1                |                              |
| A330-343 | DEFAULT    | 3              | 5        | Montée       | Maxi montée    | ZERO    | 3 000                     |                            |                      |                              |
| A330-343 | DEFAULT    | 3              | 6        | Accélération | Maxi montée    | ZERO    |                           | 1 180                      | 250                  |                              |
| A330-343 | DEFAULT    | 3              | 7        | Montée       | Maxi montée    | ZERO    | 5 500                     |                            |                      |                              |
| A330-343 | DEFAULT    | 3              | 8        | Montée       | Maxi montée    | ZERO    | 7 500                     |                            |                      |                              |
| A330-343 | DEFAULT    | 3              | 9        | Montée       | Maxi montée    | ZERO    | 10 000                    |                            |                      |                              |
| A330-343 | DEFAULT    | 4              | 1        | Décollage    | Maxi décollage | 1+F     |                           |                            |                      |                              |
| A330-343 | DEFAULT    | 4              | 2        | Montée       | Maxi décollage | 1+F     | 1 000                     |                            |                      |                              |
| A330-343 | DEFAULT    | 4              | 3        | Accélération | Maxi décollage | 1+F     |                           | 1 115,2                    | 185,2                |                              |
| A330-343 | DEFAULT    | 4              | 4        | Accélération | Maxi décollage | 1       |                           | 1 224,1                    | 218,3                |                              |
| A330-343 | DEFAULT    | 4              | 5        | Montée       | Maxi montée    | ZERO    | 3 000                     |                            |                      |                              |
| A330-343 | DEFAULT    | 4              | 6        | Accélération | Maxi montée    | ZERO    |                           | 1 108,4                    | 250                  |                              |
| A330-343 | DEFAULT    | 4              | 7        | Montée       | Maxi montée    | ZERO    | 5 500                     |                            |                      |                              |
| A330-343 | DEFAULT    | 4              | 8        | Montée       | Maxi montée    | ZERO    | 7 500                     |                            |                      |                              |
| A330-343 | DEFAULT    | 4              | 9        | Montée       | Maxi montée    | ZERO    | 10 000                    |                            |                      |                              |
| A330-343 | DEFAULT    | 5              | 1        | Décollage    | Maxi décollage | 1+F     |                           |                            |                      |                              |
| A330-343 | DEFAULT    | 5              | 2        | Montée       | Maxi décollage | 1+F     | 1 000                     |                            |                      |                              |
| A330-343 | DEFAULT    | 5              | 3        | Accélération | Maxi décollage | 1+F     |                           | 1 038,3                    | 191,3                |                              |
| A330-343 | DEFAULT    | 5              | 4        | Accélération | Maxi décollage | 1       |                           | 1 139,2                    | 221,4                |                              |
| A330-343 | DEFAULT    | 5              | 5        | Montée       | Maxi montée    | ZERO    | 3 000                     |                            |                      |                              |

| ACFTID   | Profile_ID | Longueur phase | N° étape | Type étape   | Indice poussée | Flap_ID | Altitude point final (ft) | Vitesse de montée (ft/min) | CAS point final (kt) | Pourcentage_accélération (%) |
|----------|------------|----------------|----------|--------------|----------------|---------|---------------------------|----------------------------|----------------------|------------------------------|
| A330-343 | DEFAULT    | 5              | 6        | Accélération | Maxi montée    | ZERO    |                           | 1 025,2                    | 250                  |                              |
| A330-343 | DEFAULT    | 5              | 7        | Montée       | Maxi montée    | ZERO    | 5 500                     |                            |                      |                              |
| A330-343 | DEFAULT    | 5              | 8        | Montée       | Maxi montée    | ZERO    | 7 500                     |                            |                      |                              |
| A330-343 | DEFAULT    | 5              | 9        | Montée       | Maxi montée    | ZERO    | 10 000                    |                            |                      |                              |
| A330-343 | DEFAULT    | 6              | 1        | Décollage    | Maxi décollage | 1+F     |                           |                            |                      |                              |
| A330-343 | DEFAULT    | 6              | 2        | Montée       | Maxi décollage | 1+F     | 1 000                     |                            |                      |                              |
| A330-343 | DEFAULT    | 6              | 3        | Accélération | Maxi décollage | 1+F     |                           | 962,8                      | 197,3                |                              |
| A330-343 | DEFAULT    | 6              | 4        | Accélération | Maxi décollage | 1       |                           | 1 054,3                    | 224,5                |                              |
| A330-343 | DEFAULT    | 6              | 5        | Montée       | Maxi montée    | ZERO    | 3 000                     |                            |                      |                              |
| A330-343 | DEFAULT    | 6              | 6        | Accélération | Maxi montée    | ZERO    |                           | 943,3                      | 250                  |                              |
| A330-343 | DEFAULT    | 6              | 7        | Montée       | Maxi montée    | ZERO    | 5 500                     |                            |                      |                              |
| A330-343 | DEFAULT    | 6              | 8        | Montée       | Maxi montée    | ZERO    | 7 500                     |                            |                      |                              |
| A330-343 | DEFAULT    | 6              | 9        | Montée       | Maxi montée    | ZERO    | 10 000                    |                            |                      |                              |
| A330-343 | DEFAULT    | 7              | 1        | Décollage    | Maxi décollage | 1+F     |                           |                            |                      |                              |
| A330-343 | DEFAULT    | 7              | 2        | Montée       | Maxi décollage | 1+F     | 1 000                     |                            |                      |                              |
| A330-343 | DEFAULT    | 7              | 3        | Accélération | Maxi décollage | 1+F     |                           | 869,5                      | 200,8                |                              |
| A330-343 | DEFAULT    | 7              | 4        | Accélération | Maxi décollage | 1       |                           | 948,6                      | 225                  |                              |
| A330-343 | DEFAULT    | 7              | 5        | Montée       | Maxi montée    | ZERO    | 3 000                     |                            |                      |                              |
| A330-343 | DEFAULT    | 7              | 6        | Accélération | Maxi montée    | ZERO    |                           | 842                        | 250                  |                              |
| A330-343 | DEFAULT    | 7              | 7        | Montée       | Maxi montée    | ZERO    | 5 500                     |                            |                      |                              |

| ACFTID   | Profile_ID | Longueur phase | N° étape | Type étape   | Indice poussée | Flap_ID | Altitude point final (ft) | Vitesse de montée (ft/min) | CAS point final (kt) | Pourcentage accélération (%) |
|----------|------------|----------------|----------|--------------|----------------|---------|---------------------------|----------------------------|----------------------|------------------------------|
| A330-343 | DEFAULT    | 7              | 8        | Montée       | Maxi montée    | ZERO    | 7 500                     |                            |                      |                              |
| A330-343 | DEFAULT    | 7              | 9        | Montée       | Maxi montée    | ZERO    | 10 000                    |                            |                      |                              |
| A330-343 | ICAO_A     | 1              | 1        | Décollage    | Maxi décollage | 1+F     |                           |                            |                      |                              |
| A330-343 | ICAO_A     | 1              | 2        | Montée       | Maxi décollage | 1+F     | 1 500                     |                            |                      |                              |
| A330-343 | ICAO_A     | 1              | 3        | Montée       | Maxi montée    | 1+F     | 3 000                     |                            |                      |                              |
| A330-343 | ICAO_A     | 1              | 4        | Accélération | Maxi montée    | 1+F     |                           | 839,6                      | 174,8                |                              |
| A330-343 | ICAO_A     | 1              | 5        | Accélération | Maxi montée    | 1       |                           | 914,2                      | 200,1                |                              |
| A330-343 | ICAO_A     | 1              | 6        | Accélération | Maxi montée    | ZERO    |                           | 1 103,7                    | 218,9                |                              |
| A330-343 | ICAO_A     | 1              | 7        | Accélération | Maxi montée    | ZERO    |                           | 1 253,2                    | 250                  |                              |
| A330-343 | ICAO_A     | 1              | 8        | Montée       | Maxi montée    | ZERO    | 5 500                     |                            |                      |                              |
| A330-343 | ICAO_A     | 1              | 9        | Montée       | Maxi montée    | ZERO    | 7 500                     |                            |                      |                              |
| A330-343 | ICAO_A     | 1              | 10       | Montée       | Maxi montée    | ZERO    | 10 000                    |                            |                      |                              |
| A330-343 | ICAO_A     | 2              | 1        | Décollage    | Maxi décollage | 1+F     |                           |                            |                      |                              |
| A330-343 | ICAO_A     | 2              | 2        | Montée       | Maxi décollage | 1+F     | 1 500                     |                            |                      |                              |
| A330-343 | ICAO_A     | 2              | 3        | Montée       | Maxi montée    | 1+F     | 3 000                     |                            |                      |                              |
| A330-343 | ICAO_A     | 2              | 4        | Accélération | Maxi montée    | 1+F     |                           | 801,5                      | 177,5                |                              |
| A330-343 | ICAO_A     | 2              | 5        | Accélération | Maxi montée    | 1       |                           | 885,4                      | 201,7                |                              |
| A330-343 | ICAO_A     | 2              | 6        | Accélération | Maxi montée    | ZERO    |                           | 1 068,3                    | 219,8                |                              |
| A330-343 | ICAO_A     | 2              | 7        | Accélération | Maxi montée    | ZERO    |                           | 1 208,4                    | 250                  |                              |
| A330-343 | ICAO_A     | 2              | 8        | Montée       | Maxi montée    | ZERO    | 5 500                     |                            |                      |                              |

| ACFTID   | Profile_ID | Longueur phase | N° étape | Type étape   | Indice poussée | Flap_ID | Altitude point final (ft) | Vitesse de montée (ft/min) | CAS point final (kt) | Pourcentage accélération (%) |
|----------|------------|----------------|----------|--------------|----------------|---------|---------------------------|----------------------------|----------------------|------------------------------|
| A330-343 | ICAO_A     | 2              | 9        | Montée       | Maxi montée    | ZERO    | 7 500                     |                            |                      |                              |
| A330-343 | ICAO_A     | 2              | 10       | Montée       | Maxi montée    | ZERO    | 10 000                    |                            |                      |                              |
| A330-343 | ICAO_A     | 3              | 1        | Décollage    | Maxi décollage | 1+F     |                           |                            |                      |                              |
| A330-343 | ICAO_A     | 3              | 2        | Montée       | Maxi décollage | 1+F     | 1 500                     |                            |                      |                              |
| A330-343 | ICAO_A     | 3              | 3        | Montée       | Maxi montée    | 1+F     | 3 000                     |                            |                      |                              |
| A330-343 | ICAO_A     | 3              | 4        | Accélération | Maxi montée    | 1+F     |                           | 766,4                      | 180,3                |                              |
| A330-343 | ICAO_A     | 3              | 5        | Accélération | Maxi montée    | 1       |                           | 857,9                      | 203,5                |                              |
| A330-343 | ICAO_A     | 3              | 6        | Accélération | Maxi montée    | ZERO    |                           | 1 033,8                    | 220,9                |                              |
| A330-343 | ICAO_A     | 3              | 7        | Accélération | Maxi montée    | ZERO    |                           | 1 164,8                    | 250                  |                              |
| A330-343 | ICAO_A     | 3              | 8        | Montée       | Maxi montée    | ZERO    | 5 500                     |                            |                      |                              |
| A330-343 | ICAO_A     | 3              | 9        | Montée       | Maxi montée    | ZERO    | 7 500                     |                            |                      |                              |
| A330-343 | ICAO_A     | 3              | 10       | Montée       | Maxi montée    | ZERO    | 10 000                    |                            |                      |                              |
| A330-343 | ICAO_A     | 4              | 1        | Décollage    | Maxi décollage | 1+F     |                           |                            |                      |                              |
| A330-343 | ICAO_A     | 4              | 2        | Montée       | Maxi décollage | 1+F     | 1 500                     |                            |                      |                              |
| A330-343 | ICAO_A     | 4              | 3        | Montée       | Maxi montée    | 1+F     | 3 000                     |                            |                      |                              |
| A330-343 | ICAO_A     | 4              | 4        | Accélération | Maxi montée    | 1+F     |                           | 717,5                      | 185,3                |                              |
| A330-343 | ICAO_A     | 4              | 5        | Accélération | Maxi montée    | 1       |                           | 814,6                      | 206,8                |                              |
| A330-343 | ICAO_A     | 4              | 6        | Accélération | Maxi montée    | ZERO    |                           | 977,3                      | 223                  |                              |
| A330-343 | ICAO_A     | 4              | 7        | Accélération | Maxi montée    | ZERO    |                           | 1 093,5                    | 250                  |                              |
| A330-343 | ICAO_A     | 4              | 8        | Montée       | Maxi montée    | ZERO    | 5 500                     |                            |                      |                              |

| ACFTID   | Profile_ID | Longueur phase | N° étape | Type étape   | Indice poussée | Flap_ID | Altitude point final (ft) | Vitesse de montée (ft/min) | CAS point final (kt) | Pourcentage accélération (%) |
|----------|------------|----------------|----------|--------------|----------------|---------|---------------------------|----------------------------|----------------------|------------------------------|
| A330-343 | ICAO_A     | 4              | 9        | Montée       | Maxi montée    | ZERO    | 7 500                     |                            |                      |                              |
| A330-343 | ICAO_A     | 4              | 10       | Montée       | Maxi montée    | ZERO    | 10 000                    |                            |                      |                              |
| A330-343 | ICAO_A     | 5              | 1        | Décollage    | Maxi décollage | 1+F     |                           |                            |                      |                              |
| A330-343 | ICAO_A     | 5              | 2        | Montée       | Maxi décollage | 1+F     | 1 500                     |                            |                      |                              |
| A330-343 | ICAO_A     | 5              | 3        | Montée       | Maxi montée    | 1+F     | 3 000                     |                            |                      |                              |
| A330-343 | ICAO_A     | 5              | 4        | Accélération | Maxi montée    | 1+F     |                           | 661,1                      | 191,5                |                              |
| A330-343 | ICAO_A     | 5              | 5        | Accélération | Maxi montée    | 1       |                           | 767                        | 211,2                |                              |
| A330-343 | ICAO_A     | 5              | 6        | Accélération | Maxi montée    | ZERO    |                           | 910,6                      | 226,1                |                              |
| A330-343 | ICAO_A     | 5              | 7        | Accélération | Maxi montée    | ZERO    |                           | 1 011                      | 250                  |                              |
| A330-343 | ICAO_A     | 5              | 8        | Montée       | Maxi montée    | ZERO    | 5 500                     |                            |                      |                              |
| A330-343 | ICAO_A     | 5              | 9        | Montée       | Maxi montée    | ZERO    | 7 500                     |                            |                      |                              |
| A330-343 | ICAO_A     | 5              | 10       | Montée       | Maxi montée    | ZERO    | 10 000                    |                            |                      |                              |
| A330-343 | ICAO_A     | 6              | 1        | Décollage    | Maxi décollage | 1+F     |                           |                            |                      |                              |
| A330-343 | ICAO_A     | 6              | 2        | Montée       | Maxi décollage | 1+F     | 1 500                     |                            |                      |                              |
| A330-343 | ICAO_A     | 6              | 3        | Montée       | Maxi montée    | 1+F     | 3 000                     |                            |                      |                              |
| A330-343 | ICAO_A     | 6              | 4        | Accélération | Maxi montée    | 1+F     |                           | 607,1                      | 197,4                |                              |
| A330-343 | ICAO_A     | 6              | 5        | Accélération | Maxi montée    | 1       |                           | 717                        | 215,3                |                              |
| A330-343 | ICAO_A     | 6              | 6        | Accélération | Maxi montée    | ZERO    |                           | 840,3                      | 228,8                |                              |
| A330-343 | ICAO_A     | 6              | 7        | Accélération | Maxi montée    | ZERO    |                           | 929,9                      | 250                  |                              |
| A330-343 | ICAO_A     | 6              | 8        | Montée       | Maxi montée    | ZERO    | 5 500                     |                            |                      |                              |

| ACFTID   | Profile_ID | Longueur phase | N° étape | Type étape   | Indice poussée | Flap_ID | Altitude point final (ft) | Vitesse de montée (ft/min) | CAS point final (kt) | Pourcentage accélération (%) |
|----------|------------|----------------|----------|--------------|----------------|---------|---------------------------|----------------------------|----------------------|------------------------------|
| A330-343 | ICAO_A     | 6              | 9        | Montée       | Maxi montée    | ZERO    | 7 500                     |                            |                      |                              |
| A330-343 | ICAO_A     | 6              | 10       | Montée       | Maxi montée    | ZERO    | 10 000                    |                            |                      |                              |
| A330-343 | ICAO_A     | 7              | 1        | Décollage    | Maxi décollage | 1+F     |                           |                            |                      |                              |
| A330-343 | ICAO_A     | 7              | 2        | Montée       | Maxi décollage | 1+F     | 1 500                     |                            |                      |                              |
| A330-343 | ICAO_A     | 7              | 3        | Montée       | Maxi montée    | 1+F     | 3 000                     |                            |                      |                              |
| A330-343 | ICAO_A     | 7              | 4        | Accélération | Maxi montée    | 1+F     |                           | 538                        | 200,4                |                              |
| A330-343 | ICAO_A     | 7              | 5        | Accélération | Maxi montée    | 1       |                           | 638,8                      | 216,2                |                              |
| A330-343 | ICAO_A     | 7              | 6        | Accélération | Maxi montée    | ZERO    |                           | 743,9                      | 228,1                |                              |
| A330-343 | ICAO_A     | 7              | 7        | Accélération | Maxi montée    | ZERO    |                           | 830,4                      | 250                  |                              |
| A330-343 | ICAO_A     | 7              | 8        | Montée       | Maxi montée    | ZERO    | 5 500                     |                            |                      |                              |
| A330-343 | ICAO_A     | 7              | 9        | Montée       | Maxi montée    | ZERO    | 7 500                     |                            |                      |                              |
| A330-343 | ICAO_A     | 7              | 10       | Montée       | Maxi montée    | ZERO    | 10 000                    |                            |                      |                              |
| A330-343 | ICAO_B     | 1              | 1        | Décollage    | Maxi décollage | 1+F     |                           |                            |                      |                              |
| A330-343 | ICAO_B     | 1              | 2        | Montée       | Maxi décollage | 1+F     | 1 000                     |                            |                      |                              |
| A330-343 | ICAO_B     | 1              | 3        | Accélération | Maxi décollage | 1+F     |                           | 1 273,5                    | 174,9                |                              |
| A330-343 | ICAO_B     | 1              | 4        | Accélération | Maxi décollage | 1       |                           | 1 384,8                    | 213,9                |                              |
| A330-343 | ICAO_B     | 1              | 5        | Montée       | Maxi montée    | ZERO    | 3 000                     |                            |                      |                              |
| A330-343 | ICAO_B     | 1              | 6        | Accélération | Maxi montée    | ZERO    |                           | 1 268,1                    | 250                  |                              |
| A330-343 | ICAO_B     | 1              | 7        | Montée       | Maxi montée    | ZERO    | 5 500                     |                            |                      |                              |
| A330-343 | ICAO_B     | 1              | 8        | Montée       | Maxi montée    | ZERO    | 7 500                     |                            |                      |                              |

| ACFTID   | Profile_ID | Longueur phase | N° étape | Type étape   | Indice poussée | Flap_ID | Altitude point final (ft) | Vitesse de montée (ft/min) | CAS point final (kt) | Pourcentage accélération (%) |
|----------|------------|----------------|----------|--------------|----------------|---------|---------------------------|----------------------------|----------------------|------------------------------|
| A330-343 | ICAO_B     | 1              | 9        | Montée       | Maxi montée    | ZERO    | 10 000                    |                            |                      |                              |
| A330-343 | ICAO_B     | 2              | 1        | Décollage    | Maxi décollage | 1+F     |                           |                            |                      |                              |
| A330-343 | ICAO_B     | 2              | 2        | Montée       | Maxi décollage | 1+F     | 1 000                     |                            |                      |                              |
| A330-343 | ICAO_B     | 2              | 3        | Accélération | Maxi décollage | 1+F     |                           | 1 218,9                    | 177,7                |                              |
| A330-343 | ICAO_B     | 2              | 4        | Accélération | Maxi décollage | 1       |                           | 1 340,4                    | 215                  |                              |
| A330-343 | ICAO_B     | 2              | 5        | Montée       | Maxi montée    | ZERO    | 3 000                     |                            |                      |                              |
| A330-343 | ICAO_B     | 2              | 6        | Accélération | Maxi montée    | ZERO    |                           | 1 223,6                    | 250                  |                              |
| A330-343 | ICAO_B     | 2              | 7        | Montée       | Maxi montée    | ZERO    | 5 500                     |                            |                      |                              |
| A330-343 | ICAO_B     | 2              | 8        | Montée       | Maxi montée    | ZERO    | 7 500                     |                            |                      |                              |
| A330-343 | ICAO_B     | 2              | 9        | Montée       | Maxi montée    | ZERO    | 10 000                    |                            |                      |                              |
| A330-343 | ICAO_B     | 3              | 1        | Décollage    | Maxi décollage | 1+F     |                           |                            |                      |                              |
| A330-343 | ICAO_B     | 3              | 2        | Montée       | Maxi décollage | 1+F     | 1 000                     |                            |                      |                              |
| A330-343 | ICAO_B     | 3              | 3        | Accélération | Maxi décollage | 1+F     |                           | 1 181,2                    | 180,4                |                              |
| A330-343 | ICAO_B     | 3              | 4        | Accélération | Maxi décollage | 1       |                           | 1 296,6                    | 216,1                |                              |
| A330-343 | ICAO_B     | 3              | 5        | Montée       | Maxi montée    | ZERO    | 3 000                     |                            |                      |                              |
| A330-343 | ICAO_B     | 3              | 6        | Accélération | Maxi montée    | ZERO    |                           | 1 180                      | 250                  |                              |
| A330-343 | ICAO_B     | 3              | 7        | Montée       | Maxi montée    | ZERO    | 5 500                     |                            |                      |                              |
| A330-343 | ICAO_B     | 3              | 8        | Montée       | Maxi montée    | ZERO    | 7 500                     |                            |                      |                              |
| A330-343 | ICAO_B     | 3              | 9        | Montée       | Maxi montée    | ZERO    | 10 000                    |                            |                      |                              |
| A330-343 | ICAO_B     | 4              | 1        | Décollage    | Maxi décollage | 1+F     |                           |                            |                      |                              |

| ACFTID   | Profile_ID | Longueur phase | N° étape | Type étape   | Indice poussée | Flap_ID | Altitude point final (ft) | Vitesse de montée (ft/min) | CAS point final (kt) | Pourcentage accélération (%) |
|----------|------------|----------------|----------|--------------|----------------|---------|---------------------------|----------------------------|----------------------|------------------------------|
| A330-343 | ICAO_B     | 4              | 2        | Montée       | Maxi décollage | 1+F     | 1 000                     |                            |                      |                              |
| A330-343 | ICAO_B     | 4              | 3        | Accélération | Maxi décollage | 1+F     |                           | 1 115,2                    | 185,2                |                              |
| A330-343 | ICAO_B     | 4              | 4        | Accélération | Maxi décollage | 1       |                           | 1 224,1                    | 218,3                |                              |
| A330-343 | ICAO_B     | 4              | 5        | Montée       | Maxi montée    | ZERO    | 3 000                     |                            |                      |                              |
| A330-343 | ICAO_B     | 4              | 6        | Accélération | Maxi montée    | ZERO    |                           | 1 108,4                    | 250                  |                              |
| A330-343 | ICAO_B     | 4              | 7        | Montée       | Maxi montée    | ZERO    | 5 500                     |                            |                      |                              |
| A330-343 | ICAO_B     | 4              | 8        | Montée       | Maxi montée    | ZERO    | 7 500                     |                            |                      |                              |
| A330-343 | ICAO_B     | 4              | 9        | Montée       | Maxi montée    | ZERO    | 10 000                    |                            |                      |                              |
| A330-343 | ICAO_B     | 5              | 1        | Décollage    | Maxi décollage | 1+F     |                           |                            |                      |                              |
| A330-343 | ICAO_B     | 5              | 2        | Montée       | Maxi décollage | 1+F     | 1 000                     |                            |                      |                              |
| A330-343 | ICAO_B     | 5              | 3        | Accélération | Maxi décollage | 1+F     |                           | 1 038,3                    | 191,3                |                              |
| A330-343 | ICAO_B     | 5              | 4        | Accélération | Maxi décollage | 1       |                           | 1 139,2                    | 221,4                |                              |
| A330-343 | ICAO_B     | 5              | 5        | Montée       | Maxi montée    | ZERO    | 3 000                     |                            |                      |                              |
| A330-343 | ICAO_B     | 5              | 6        | Accélération | Maxi montée    | ZERO    |                           | 1 025,2                    | 250                  |                              |
| A330-343 | ICAO_B     | 5              | 7        | Montée       | Maxi montée    | ZERO    | 5 500                     |                            |                      |                              |
| A330-343 | ICAO_B     | 5              | 8        | Montée       | Maxi montée    | ZERO    | 7 500                     |                            |                      |                              |
| A330-343 | ICAO_B     | 5              | 9        | Montée       | Maxi montée    | ZERO    | 10 000                    |                            |                      |                              |
| A330-343 | ICAO_B     | 6              | 1        | Décollage    | Maxi décollage | 1+F     |                           |                            |                      |                              |
| A330-343 | ICAO_B     | 6              | 2        | Montée       | Maxi décollage | 1+F     | 1 000                     |                            |                      |                              |
| A330-343 | ICAO_B     | 6              | 3        | Accélération | Maxi décollage | 1+F     |                           | 962,8                      | 197,3                |                              |

| ACFTID   | Profile_ID | Longueur phase | N° étape | Type étape   | Indice poussée | Flap_ID | Altitude point final (ft) | Vitesse de montée (ft/min) | CAS point final (kt) | Pourcentage accélération (%) |
|----------|------------|----------------|----------|--------------|----------------|---------|---------------------------|----------------------------|----------------------|------------------------------|
| A330-343 | ICAO_B     | 6              | 4        | Accélération | Maxi décollage | 1       |                           | 1 054,3                    | 224,5                |                              |
| A330-343 | ICAO_B     | 6              | 5        | Montée       | Maxi montée    | ZERO    | 3 000                     |                            |                      |                              |
| A330-343 | ICAO_B     | 6              | 6        | Accélération | Maxi montée    | ZERO    |                           | 943,3                      | 250                  |                              |
| A330-343 | ICAO_B     | 6              | 7        | Montée       | Maxi montée    | ZERO    | 5 500                     |                            |                      |                              |
| A330-343 | ICAO_B     | 6              | 8        | Montée       | Maxi montée    | ZERO    | 7 500                     |                            |                      |                              |
| A330-343 | ICAO_B     | 6              | 9        | Montée       | Maxi montée    | ZERO    | 10 000                    |                            |                      |                              |
| A330-343 | ICAO_B     | 7              | 1        | Décollage    | Maxi décollage | 1+F     |                           |                            |                      |                              |
| A330-343 | ICAO_B     | 7              | 2        | Montée       | Maxi décollage | 1+F     | 1 000                     |                            |                      |                              |
| A330-343 | ICAO_B     | 7              | 3        | Accélération | Maxi décollage | 1+F     |                           | 869,5                      | 200,8                |                              |
| A330-343 | ICAO_B     | 7              | 4        | Accélération | Maxi décollage | 1       |                           | 948,6                      | 225                  |                              |
| A330-343 | ICAO_B     | 7              | 5        | Montée       | Maxi montée    | ZERO    | 3 000                     |                            |                      |                              |
| A330-343 | ICAO_B     | 7              | 6        | Accélération | Maxi montée    | ZERO    |                           | 842                        | 250                  |                              |
| A330-343 | ICAO_B     | 7              | 7        | Montée       | Maxi montée    | ZERO    | 5 500                     |                            |                      |                              |
| A330-343 | ICAO_B     | 7              | 8        | Montée       | Maxi montée    | ZERO    | 7 500                     |                            |                      |                              |
| A330-343 | ICAO_B     | 7              | 9        | Montée       | Maxi montée    | ZERO    | 10 000                    |                            |                      |                              |
| A340-211 | DEFAULT    | 1              | 1        | Décollage    | Maxi décollage | 1+F     |                           |                            |                      |                              |
| A340-211 | DEFAULT    | 1              | 2        | Montée       | Maxi décollage | 1+F     | 1 000                     |                            |                      |                              |
| A340-211 | DEFAULT    | 1              | 3        | Accélération | Maxi décollage | 1+F     |                           | 1 019,3                    | 177,6                |                              |
| A340-211 | DEFAULT    | 1              | 4        | Accélération | Maxi décollage | 1       |                           | 1 101,1                    | 215,2                |                              |
| A340-211 | DEFAULT    | 1              | 5        | Montée       | Maxi montée    | ZERO    | 3 000                     |                            |                      |                              |

| ACFTID   | Profile_ID | Longueur phase | N° étape | Type étape   | Indice poussée | Flap_ID | Altitude point final (ft) | Vitesse de montée (ft/min) | CAS point final (kt) | Pourcentage_accélération (%) |
|----------|------------|----------------|----------|--------------|----------------|---------|---------------------------|----------------------------|----------------------|------------------------------|
| A340-211 | DEFAULT    | 1              | 6        | Accélération | Maxi montée    | ZERO    |                           | 1 165,6                    | 250                  |                              |
| A340-211 | DEFAULT    | 1              | 7        | Montée       | Maxi montée    | ZERO    | 5 500                     |                            |                      |                              |
| A340-211 | DEFAULT    | 1              | 8        | Montée       | Maxi montée    | ZERO    | 7 500                     |                            |                      |                              |
| A340-211 | DEFAULT    | 1              | 9        | Montée       | Maxi montée    | ZERO    | 10 000                    |                            |                      |                              |
| A340-211 | DEFAULT    | 2              | 1        | Décollage    | Maxi décollage | 1+F     |                           |                            |                      |                              |
| A340-211 | DEFAULT    | 2              | 2        | Montée       | Maxi décollage | 1+F     | 1 000                     |                            |                      |                              |
| A340-211 | DEFAULT    | 2              | 3        | Accélération | Maxi décollage | 1+F     |                           | 973,9                      | 180,5                |                              |
| A340-211 | DEFAULT    | 2              | 4        | Accélération | Maxi décollage | 1       |                           | 1 061,1                    | 216,3                |                              |
| A340-211 | DEFAULT    | 2              | 5        | Montée       | Maxi montée    | ZERO    | 3 000                     |                            |                      |                              |
| A340-211 | DEFAULT    | 2              | 6        | Accélération | Maxi montée    | ZERO    |                           | 1 120,6                    | 250                  |                              |
| A340-211 | DEFAULT    | 2              | 7        | Montée       | Maxi montée    | ZERO    | 5 500                     |                            |                      |                              |
| A340-211 | DEFAULT    | 2              | 8        | Montée       | Maxi montée    | ZERO    | 7 500                     |                            |                      |                              |
| A340-211 | DEFAULT    | 2              | 9        | Montée       | Maxi montée    | ZERO    | 10 000                    |                            |                      |                              |
| A340-211 | DEFAULT    | 3              | 1        | Décollage    | Maxi décollage | 1+F     |                           |                            |                      |                              |
| A340-211 | DEFAULT    | 3              | 2        | Montée       | Maxi décollage | 1+F     | 1 000                     |                            |                      |                              |
| A340-211 | DEFAULT    | 3              | 3        | Accélération | Maxi décollage | 1+F     |                           | 930,2                      | 183,1                |                              |
| A340-211 | DEFAULT    | 3              | 4        | Accélération | Maxi décollage | 1       |                           | 1 021,2                    | 217,3                |                              |
| A340-211 | DEFAULT    | 3              | 5        | Montée       | Maxi montée    | ZERO    | 3 000                     |                            |                      |                              |
| A340-211 | DEFAULT    | 3              | 6        | Accélération | Maxi montée    | ZERO    |                           | 1 076,1                    | 250                  |                              |
| A340-211 | DEFAULT    | 3              | 7        | Montée       | Maxi montée    | ZERO    | 5 500                     |                            |                      |                              |

| ACFTID   | Profile_ID | Longueur phase | N° étape | Type étape   | Indice poussée | Flap_ID | Altitude point final (ft) | Vitesse de montée (ft/min) | CAS point final (kt) | Pourcentage accélération (%) |
|----------|------------|----------------|----------|--------------|----------------|---------|---------------------------|----------------------------|----------------------|------------------------------|
| A340-211 | DEFAULT    | 3              | 8        | Montée       | Maxi montée    | ZERO    | 7 500                     |                            |                      |                              |
| A340-211 | DEFAULT    | 3              | 9        | Montée       | Maxi montée    | ZERO    | 10 000                    |                            |                      |                              |
| A340-211 | DEFAULT    | 4              | 1        | Décollage    | Maxi décollage | 1+F     |                           |                            |                      |                              |
| A340-211 | DEFAULT    | 4              | 2        | Montée       | Maxi décollage | 1+F     | 1 000                     |                            |                      |                              |
| A340-211 | DEFAULT    | 4              | 3        | Accélération | Maxi décollage | 1+F     |                           | 860,1                      | 188,2                |                              |
| A340-211 | DEFAULT    | 4              | 4        | Accélération | Maxi décollage | 1       |                           | 955,9                      | 219,5                |                              |
| A340-211 | DEFAULT    | 4              | 5        | Montée       | Maxi montée    | ZERO    | 3 000                     |                            |                      |                              |
| A340-211 | DEFAULT    | 4              | 6        | Accélération | Maxi montée    | ZERO    |                           | 1 003,9                    | 250                  |                              |
| A340-211 | DEFAULT    | 4              | 7        | Montée       | Maxi montée    | ZERO    | 5 500                     |                            |                      |                              |
| A340-211 | DEFAULT    | 4              | 8        | Montée       | Maxi montée    | ZERO    | 7 500                     |                            |                      |                              |
| A340-211 | DEFAULT    | 4              | 9        | Montée       | Maxi montée    | ZERO    | 10 000                    |                            |                      |                              |
| A340-211 | DEFAULT    | 5              | 1        | Décollage    | Maxi décollage | 1+F     |                           |                            |                      |                              |
| A340-211 | DEFAULT    | 5              | 2        | Montée       | Maxi décollage | 1+F     | 1 000                     |                            |                      |                              |
| A340-211 | DEFAULT    | 5              | 3        | Accélération | Maxi décollage | 1+F     |                           | 779,4                      | 194,9                |                              |
| A340-211 | DEFAULT    | 5              | 4        | Accélération | Maxi décollage | 1       |                           | 879,4                      | 222,9                |                              |
| A340-211 | DEFAULT    | 5              | 5        | Montée       | Maxi montée    | ZERO    | 3 000                     |                            |                      |                              |
| A340-211 | DEFAULT    | 5              | 6        | Accélération | Maxi montée    | ZERO    |                           | 920,2                      | 250                  |                              |
| A340-211 | DEFAULT    | 5              | 7        | Montée       | Maxi montée    | ZERO    | 5 500                     |                            |                      |                              |
| A340-211 | DEFAULT    | 5              | 8        | Montée       | Maxi montée    | ZERO    | 7 500                     |                            |                      |                              |
| A340-211 | DEFAULT    | 5              | 9        | Montée       | Maxi montée    | ZERO    | 10 000                    |                            |                      |                              |

| ACFTID   | Profile_ID | Longueur phase | N° étape | Type étape   | Indice poussée | Flap_ID | Altitude point final (ft) | Vitesse de montée (ft/min) | CAS point final (kt) | Pourcentage_accélération (%) |
|----------|------------|----------------|----------|--------------|----------------|---------|---------------------------|----------------------------|----------------------|------------------------------|
| A340-211 | DEFAULT    | 6              | 1        | Décollage    | Maxi décollage | 1+F     |                           |                            |                      |                              |
| A340-211 | DEFAULT    | 6              | 2        | Montée       | Maxi décollage | 1+F     | 1 000                     |                            |                      |                              |
| A340-211 | DEFAULT    | 6              | 3        | Accélération | Maxi décollage | 1+F     |                           | 705,2                      | 199,2                |                              |
| A340-211 | DEFAULT    | 6              | 4        | Accélération | Maxi décollage | 1       |                           | 802                        | 224,4                |                              |
| A340-211 | DEFAULT    | 6              | 5        | Montée       | Maxi montée    | ZERO    | 3 000                     |                            |                      |                              |
| A340-211 | DEFAULT    | 6              | 6        | Accélération | Maxi montée    | ZERO    |                           | 836,4                      | 250                  |                              |
| A340-211 | DEFAULT    | 6              | 7        | Montée       | Maxi montée    | ZERO    | 5 500                     |                            |                      |                              |
| A340-211 | DEFAULT    | 6              | 8        | Montée       | Maxi montée    | ZERO    | 7 500                     |                            |                      |                              |
| A340-211 | DEFAULT    | 6              | 9        | Montée       | Maxi montée    | ZERO    | 10 000                    |                            |                      |                              |
| A340-211 | DEFAULT    | 7              | 1        | Décollage    | Maxi décollage | 1+F     |                           |                            |                      |                              |
| A340-211 | DEFAULT    | 7              | 2        | Montée       | Maxi décollage | 1+F     | 1 000                     |                            |                      |                              |
| A340-211 | DEFAULT    | 7              | 3        | Accélération | Maxi décollage | 1+F     |                           | 519,8                      | 199,2                |                              |
| A340-211 | DEFAULT    | 7              | 4        | Accélération | Maxi décollage | 1       |                           | 591,5                      | 218,2                |                              |
| A340-211 | DEFAULT    | 7              | 5        | Accélération | Maxi décollage | 1       |                           | 653,7                      | 223,4                |                              |
| A340-211 | DEFAULT    | 7              | 6        | Montée       | Maxi montée    | ZERO    | 3 000                     |                            |                      |                              |
| A340-211 | DEFAULT    | 7              | 7        | Accélération | Maxi montée    | ZERO    |                           | 622,6                      | 250                  |                              |
| A340-211 | DEFAULT    | 7              | 8        | Montée       | Maxi montée    | ZERO    | 5 500                     |                            |                      |                              |
| A340-211 | DEFAULT    | 7              | 9        | Montée       | Maxi montée    | ZERO    | 7 500                     |                            |                      |                              |
| A340-211 | DEFAULT    | 7              | 10       | Montée       | Maxi montée    | ZERO    | 10 000                    |                            |                      |                              |
| A340-211 | ICAO_A     | 1              | 1        | Décollage    | Maxi décollage | 1+F     |                           |                            |                      |                              |

| ACFTID   | Profile_ID | Longueur phase | N° étape | Type étape   | Indice poussée | Flap_ID | Altitude point final (ft) | Vitesse de montée (ft/min) | CAS point final (kt) | Pourcentage accélération (%) |
|----------|------------|----------------|----------|--------------|----------------|---------|---------------------------|----------------------------|----------------------|------------------------------|
| A340-211 | ICAO_A     | 1              | 2        | Montée       | Maxi décollage | 1+F     | 1 500                     |                            |                      |                              |
| A340-211 | ICAO_A     | 1              | 3        | Montée       | Maxi montée    | 1+F     | 3 000                     |                            |                      |                              |
| A340-211 | ICAO_A     | 1              | 4        | Accélération | Maxi montée    | 1+F     |                           | 832,3                      | 177,4                |                              |
| A340-211 | ICAO_A     | 1              | 5        | Accélération | Maxi montée    | 1       |                           | 890,6                      | 206,8                |                              |
| A340-211 | ICAO_A     | 1              | 6        | Accélération | Maxi montée    | ZERO    |                           | 1 039,6                    | 227,9                |                              |
| A340-211 | ICAO_A     | 1              | 7        | Accélération | Maxi montée    | ZERO    |                           | 1 154,4                    | 250                  |                              |
| A340-211 | ICAO_A     | 1              | 8        | Montée       | Maxi montée    | ZERO    | 5 500                     |                            |                      |                              |
| A340-211 | ICAO_A     | 1              | 9        | Montée       | Maxi montée    | ZERO    | 7 500                     |                            |                      |                              |
| A340-211 | ICAO_A     | 1              | 10       | Montée       | Maxi montée    | ZERO    | 10 000                    |                            |                      |                              |
| A340-211 | ICAO_A     | 2              | 1        | Décollage    | Maxi décollage | 1+F     |                           |                            |                      |                              |
| A340-211 | ICAO_A     | 2              | 2        | Montée       | Maxi décollage | 1+F     | 1 500                     |                            |                      |                              |
| A340-211 | ICAO_A     | 2              | 3        | Montée       | Maxi montée    | 1+F     | 3 000                     |                            |                      |                              |
| A340-211 | ICAO_A     | 2              | 4        | Accélération | Maxi montée    | 1+F     |                           | 793                        | 180,4                |                              |
| A340-211 | ICAO_A     | 2              | 5        | Accélération | Maxi montée    | 1       |                           | 855,5                      | 208,3                |                              |
| A340-211 | ICAO_A     | 2              | 6        | Accélération | Maxi montée    | ZERO    |                           | 999,1                      | 228,5                |                              |
| A340-211 | ICAO_A     | 2              | 7        | Accélération | Maxi montée    | ZERO    |                           | 1 109,1                    | 250                  |                              |
| A340-211 | ICAO_A     | 2              | 8        | Montée       | Maxi montée    | ZERO    | 5 500                     |                            |                      |                              |
| A340-211 | ICAO_A     | 2              | 9        | Montée       | Maxi montée    | ZERO    | 7 500                     |                            |                      |                              |
| A340-211 | ICAO_A     | 2              | 10       | Montée       | Maxi montée    | ZERO    | 10 000                    |                            |                      |                              |
| A340-211 | ICAO_A     | 3              | 1        | Décollage    | Maxi décollage | 1+F     |                           |                            |                      |                              |

| ACFTID   | Profile_ID | Longueur phase | N° étape | Type étape   | Indice poussée | Flap_ID | Altitude point final (ft) | Vitesse de montée (ft/min) | CAS point final (kt) | Pourcentage accélération (%) |
|----------|------------|----------------|----------|--------------|----------------|---------|---------------------------|----------------------------|----------------------|------------------------------|
| A340-211 | ICAO_A     | 3              | 2        | Montée       | Maxi décollage | 1+F     | 1 500                     |                            |                      |                              |
| A340-211 | ICAO_A     | 3              | 3        | Montée       | Maxi montée    | 1+F     | 3 000                     |                            |                      |                              |
| A340-211 | ICAO_A     | 3              | 4        | Accélération | Maxi montée    | 1+F     |                           | 754,7                      | 183                  |                              |
| A340-211 | ICAO_A     | 3              | 5        | Accélération | Maxi montée    | 1       |                           | 820,5                      | 209,4                |                              |
| A340-211 | ICAO_A     | 3              | 6        | Accélération | Maxi montée    | ZERO    |                           | 959,1                      | 228,8                |                              |
| A340-211 | ICAO_A     | 3              | 7        | Accélération | Maxi montée    | ZERO    |                           | 1 064,5                    | 250                  |                              |
| A340-211 | ICAO_A     | 3              | 8        | Montée       | Maxi montée    | ZERO    | 5 500                     |                            |                      |                              |
| A340-211 | ICAO_A     | 3              | 9        | Montée       | Maxi montée    | ZERO    | 7 500                     |                            |                      |                              |
| A340-211 | ICAO_A     | 3              | 10       | Montée       | Maxi montée    | ZERO    | 10 000                    |                            |                      |                              |
| A340-211 | ICAO_A     | 4              | 1        | Décollage    | Maxi décollage | 1+F     |                           |                            |                      |                              |
| A340-211 | ICAO_A     | 4              | 2        | Montée       | Maxi décollage | 1+F     | 1 500                     |                            |                      |                              |
| A340-211 | ICAO_A     | 4              | 3        | Montée       | Maxi montée    | 1+F     | 3 000                     |                            |                      |                              |
| A340-211 | ICAO_A     | 4              | 4        | Accélération | Maxi montée    | 1+F     |                           | 690,8                      | 188,1                |                              |
| A340-211 | ICAO_A     | 4              | 5        | Accélération | Maxi montée    | 1       |                           | 763                        | 212,2                |                              |
| A340-211 | ICAO_A     | 4              | 6        | Accélération | Maxi montée    | ZERO    |                           | 893,8                      | 230                  |                              |
| A340-211 | ICAO_A     | 4              | 7        | Accélération | Maxi montée    | ZERO    |                           | 991,5                      | 250                  |                              |
| A340-211 | ICAO_A     | 4              | 8        | Montée       | Maxi montée    | ZERO    | 5 500                     |                            |                      |                              |
| A340-211 | ICAO_A     | 4              | 9        | Montée       | Maxi montée    | ZERO    | 7 500                     |                            |                      |                              |
| A340-211 | ICAO_A     | 4              | 10       | Montée       | Maxi montée    | ZERO    | 10 000                    |                            |                      |                              |
| A340-211 | ICAO_A     | 5              | 1        | Décollage    | Maxi décollage | 1+F     |                           |                            |                      |                              |

| ACFTID   | Profile_ID | Longueur phase | N° étape | Type étape   | Indice poussée | Flap_ID | Altitude point final (ft) | Vitesse de montée (ft/min) | CAS point final (kt) | Pourcentage accélération (%) |
|----------|------------|----------------|----------|--------------|----------------|---------|---------------------------|----------------------------|----------------------|------------------------------|
| A340-211 | ICAO_A     | 5              | 2        | Montée       | Maxi décollage | 1+F     | 1 500                     |                            |                      |                              |
| A340-211 | ICAO_A     | 5              | 3        | Montée       | Maxi montée    | 1+F     | 3 000                     |                            |                      |                              |
| A340-211 | ICAO_A     | 5              | 4        | Accélération | Maxi montée    | 1+F     |                           | 621,5                      | 194,8                |                              |
| A340-211 | ICAO_A     | 5              | 5        | Accélération | Maxi montée    | 1       |                           | 695,5                      | 216,1                |                              |
| A340-211 | ICAO_A     | 5              | 6        | Accélération | Maxi montée    | ZERO    |                           | 818,3                      | 232,2                |                              |
| A340-211 | ICAO_A     | 5              | 7        | Accélération | Maxi montée    | ZERO    |                           | 906,8                      | 250                  |                              |
| A340-211 | ICAO_A     | 5              | 8        | Montée       | Maxi montée    | ZERO    | 5 500                     |                            |                      |                              |
| A340-211 | ICAO_A     | 5              | 9        | Montée       | Maxi montée    | ZERO    | 7 500                     |                            |                      |                              |
| A340-211 | ICAO_A     | 5              | 10       | Montée       | Maxi montée    | ZERO    | 10 000                    |                            |                      |                              |
| A340-211 | ICAO_A     | 6              | 1        | Décollage    | Maxi décollage | 1+F     |                           |                            |                      |                              |
| A340-211 | ICAO_A     | 6              | 2        | Montée       | Maxi décollage | 1+F     | 1 500                     |                            |                      |                              |
| A340-211 | ICAO_A     | 6              | 3        | Montée       | Maxi montée    | 1+F     | 3 000                     |                            |                      |                              |
| A340-211 | ICAO_A     | 6              | 4        | Accélération | Maxi montée    | 1+F     |                           | 555,3                      | 199,2                |                              |
| A340-211 | ICAO_A     | 6              | 5        | Accélération | Maxi montée    | 1       |                           | 627,4                      | 218,1                |                              |
| A340-211 | ICAO_A     | 6              | 6        | Accélération | Maxi montée    | ZERO    |                           | 742,5                      | 232,6                |                              |
| A340-211 | ICAO_A     | 6              | 7        | Accélération | Maxi montée    | ZERO    |                           | 824,1                      | 250                  |                              |
| A340-211 | ICAO_A     | 6              | 8        | Montée       | Maxi montée    | ZERO    | 5 500                     |                            |                      |                              |
| A340-211 | ICAO_A     | 6              | 9        | Montée       | Maxi montée    | ZERO    | 7 500                     |                            |                      |                              |
| A340-211 | ICAO_A     | 6              | 10       | Montée       | Maxi montée    | ZERO    | 10 000                    |                            |                      |                              |
| A340-211 | ICAO_A     | 7              | 1        | Décollage    | Maxi décollage | 1+F     |                           |                            |                      |                              |

| ACFTID   | Profile_ID | Longueur phase | N° étape | Type étape   | Indice poussée | Flap_ID | Altitude point final (ft) | Vitesse de montée (ft/min) | CAS point final (kt) | Pourcentage_accélération (%) |
|----------|------------|----------------|----------|--------------|----------------|---------|---------------------------|----------------------------|----------------------|------------------------------|
| A340-211 | ICAO_A     | 7              | 2        | Montée       | Maxi décollage | 1+F     | 1 500                     |                            |                      |                              |
| A340-211 | ICAO_A     | 7              | 3        | Montée       | Maxi montée    | 1+F     | 3 000                     |                            |                      |                              |
| A340-211 | ICAO_A     | 7              | 4        | Accélération | Maxi montée    | 1+F     |                           | 388,7                      | 199,2                |                              |
| A340-211 | ICAO_A     | 7              | 5        | Accélération | Maxi montée    | 1       |                           | 444,2                      | 212,8                |                              |
| A340-211 | ICAO_A     | 7              | 6        | Accélération | Maxi montée    | 1       |                           | 500,7                      | 224,8                |                              |
| A340-211 | ICAO_A     | 7              | 7        | Accélération | Maxi montée    | ZERO    |                           | 555,6                      | 235,4                |                              |
| A340-211 | ICAO_A     | 7              | 8        | Accélération | Maxi montée    | ZERO    |                           | 623                        | 250                  |                              |
| A340-211 | ICAO_A     | 7              | 9        | Montée       | Maxi montée    | ZERO    | 5 500                     |                            |                      |                              |
| A340-211 | ICAO_A     | 7              | 10       | Montée       | Maxi montée    | ZERO    | 7 500                     |                            |                      |                              |
| A340-211 | ICAO_A     | 7              | 11       | Montée       | Maxi montée    | ZERO    | 10 000                    |                            |                      |                              |
| A340-211 | ICAO_B     | 1              | 1        | Décollage    | Maxi décollage | 1+F     |                           |                            |                      |                              |
| A340-211 | ICAO_B     | 1              | 2        | Montée       | Maxi décollage | 1+F     | 1 000                     |                            |                      |                              |
| A340-211 | ICAO_B     | 1              | 3        | Accélération | Maxi décollage | 1+F     |                           | 1 019,3                    | 177,6                |                              |
| A340-211 | ICAO_B     | 1              | 4        | Accélération | Maxi décollage | 1       |                           | 1 101,1                    | 215,2                |                              |
| A340-211 | ICAO_B     | 1              | 5        | Montée       | Maxi montée    | ZERO    | 3 000                     |                            |                      |                              |
| A340-211 | ICAO_B     | 1              | 6        | Accélération | Maxi montée    | ZERO    |                           | 1 165,6                    | 250                  |                              |
| A340-211 | ICAO_B     | 1              | 7        | Montée       | Maxi montée    | ZERO    | 5 500                     |                            |                      |                              |
| A340-211 | ICAO_B     | 1              | 8        | Montée       | Maxi montée    | ZERO    | 7 500                     |                            |                      |                              |
| A340-211 | ICAO_B     | 1              | 9        | Montée       | Maxi montée    | ZERO    | 10 000                    |                            |                      |                              |
| A340-211 | ICAO_B     | 2              | 1        | Décollage    | Maxi décollage | 1+F     |                           |                            |                      |                              |

| ACFTID   | Profile_ID | Longueur phase | N° étape | Type étape   | Indice poussée | Flap_ID | Altitude point final (ft) | Vitesse de montée (ft/min) | CAS point final (kt) | Pourcentage accélération (%) |
|----------|------------|----------------|----------|--------------|----------------|---------|---------------------------|----------------------------|----------------------|------------------------------|
| A340-211 | ICAO_B     | 2              | 2        | Montée       | Maxi décollage | 1+F     | 1 000                     |                            |                      |                              |
| A340-211 | ICAO_B     | 2              | 3        | Accélération | Maxi décollage | 1+F     |                           | 973,9                      | 180,5                |                              |
| A340-211 | ICAO_B     | 2              | 4        | Accélération | Maxi décollage | 1       |                           | 1 061,1                    | 216,3                |                              |
| A340-211 | ICAO_B     | 2              | 5        | Montée       | Maxi montée    | ZERO    | 3 000                     |                            |                      |                              |
| A340-211 | ICAO_B     | 2              | 6        | Accélération | Maxi montée    | ZERO    |                           | 1 120,6                    | 250                  |                              |
| A340-211 | ICAO_B     | 2              | 7        | Montée       | Maxi montée    | ZERO    | 5 500                     |                            |                      |                              |
| A340-211 | ICAO_B     | 2              | 8        | Montée       | Maxi montée    | ZERO    | 7 500                     |                            |                      |                              |
| A340-211 | ICAO_B     | 2              | 9        | Montée       | Maxi montée    | ZERO    | 10 000                    |                            |                      |                              |
| A340-211 | ICAO_B     | 3              | 1        | Décollage    | Maxi décollage | 1+F     |                           |                            |                      |                              |
| A340-211 | ICAO_B     | 3              | 2        | Montée       | Maxi décollage | 1+F     | 1 000                     |                            |                      |                              |
| A340-211 | ICAO_B     | 3              | 3        | Accélération | Maxi décollage | 1+F     |                           | 930,2                      | 183,1                |                              |
| A340-211 | ICAO_B     | 3              | 4        | Accélération | Maxi décollage | 1       |                           | 1 021,2                    | 217,3                |                              |
| A340-211 | ICAO_B     | 3              | 5        | Montée       | Maxi montée    | ZERO    | 3 000                     |                            |                      |                              |
| A340-211 | ICAO_B     | 3              | 6        | Accélération | Maxi montée    | ZERO    |                           | 1 076,1                    | 250                  |                              |
| A340-211 | ICAO_B     | 3              | 7        | Montée       | Maxi montée    | ZERO    | 5 500                     |                            |                      |                              |
| A340-211 | ICAO_B     | 3              | 8        | Montée       | Maxi montée    | ZERO    | 7 500                     |                            |                      |                              |
| A340-211 | ICAO_B     | 3              | 9        | Montée       | Maxi montée    | ZERO    | 10 000                    |                            |                      |                              |
| A340-211 | ICAO_B     | 4              | 1        | Décollage    | Maxi décollage | 1+F     |                           |                            |                      |                              |
| A340-211 | ICAO_B     | 4              | 2        | Montée       | Maxi décollage | 1+F     | 1 000                     |                            |                      |                              |
| A340-211 | ICAO_B     | 4              | 3        | Accélération | Maxi décollage | 1+F     |                           | 860,1                      | 188,2                |                              |

| ACFTID   | Profile_ID | Longueur phase | N° étape | Type étape   | Indice poussée | Flap_ID | Altitude point final (ft) | Vitesse de montée (ft/min) | CAS point final (kt) | Pourcentage accélération (%) |
|----------|------------|----------------|----------|--------------|----------------|---------|---------------------------|----------------------------|----------------------|------------------------------|
| A340-211 | ICAO_B     | 4              | 4        | Accélération | Maxi décollage | 1       |                           | 955,9                      | 219,5                |                              |
| A340-211 | ICAO_B     | 4              | 5        | Montée       | Maxi montée    | ZERO    | 3 000                     |                            |                      |                              |
| A340-211 | ICAO_B     | 4              | 6        | Accélération | Maxi montée    | ZERO    |                           | 1 003,9                    | 250                  |                              |
| A340-211 | ICAO_B     | 4              | 7        | Montée       | Maxi montée    | ZERO    | 5 500                     |                            |                      |                              |
| A340-211 | ICAO_B     | 4              | 8        | Montée       | Maxi montée    | ZERO    | 7 500                     |                            |                      |                              |
| A340-211 | ICAO_B     | 4              | 9        | Montée       | Maxi montée    | ZERO    | 10 000                    |                            |                      |                              |
| A340-211 | ICAO_B     | 5              | 1        | Décollage    | Maxi décollage | 1+F     |                           |                            |                      |                              |
| A340-211 | ICAO_B     | 5              | 2        | Montée       | Maxi décollage | 1+F     | 1 000                     |                            |                      |                              |
| A340-211 | ICAO_B     | 5              | 3        | Accélération | Maxi décollage | 1+F     |                           | 779,4                      | 194,9                |                              |
| A340-211 | ICAO_B     | 5              | 4        | Accélération | Maxi décollage | 1       |                           | 879,4                      | 222,9                |                              |
| A340-211 | ICAO_B     | 5              | 5        | Montée       | Maxi montée    | ZERO    | 3 000                     |                            |                      |                              |
| A340-211 | ICAO_B     | 5              | 6        | Accélération | Maxi montée    | ZERO    |                           | 920,2                      | 250                  |                              |
| A340-211 | ICAO_B     | 5              | 7        | Montée       | Maxi montée    | ZERO    | 5 500                     |                            |                      |                              |
| A340-211 | ICAO_B     | 5              | 8        | Montée       | Maxi montée    | ZERO    | 7 500                     |                            |                      |                              |
| A340-211 | ICAO_B     | 5              | 9        | Montée       | Maxi montée    | ZERO    | 10 000                    |                            |                      |                              |
| A340-211 | ICAO_B     | 6              | 1        | Décollage    | Maxi décollage | 1+F     |                           |                            |                      |                              |
| A340-211 | ICAO_B     | 6              | 2        | Montée       | Maxi décollage | 1+F     | 1 000                     |                            |                      |                              |
| A340-211 | ICAO_B     | 6              | 3        | Accélération | Maxi décollage | 1+F     |                           | 705,2                      | 199,2                |                              |
| A340-211 | ICAO_B     | 6              | 4        | Accélération | Maxi décollage | 1       |                           | 802                        | 224,4                |                              |
| A340-211 | ICAO_B     | 6              | 5        | Montée       | Maxi montée    | ZERO    | 3 000                     |                            |                      |                              |

| ACFTID   | Profile_ID | Longueur phase | N° étape | Type étape   | Indice poussée | Flap_ID | Altitude point final (ft) | Vitesse de montée (ft/min) | CAS point final (kt) | Pourcentage accélération (%) |
|----------|------------|----------------|----------|--------------|----------------|---------|---------------------------|----------------------------|----------------------|------------------------------|
| A340-211 | ICAO_B     | 6              | 6        | Accélération | Maxi montée    | ZERO    |                           | 836,4                      | 250                  |                              |
| A340-211 | ICAO_B     | 6              | 7        | Montée       | Maxi montée    | ZERO    | 5 500                     |                            |                      |                              |
| A340-211 | ICAO_B     | 6              | 8        | Montée       | Maxi montée    | ZERO    | 7 500                     |                            |                      |                              |
| A340-211 | ICAO_B     | 6              | 9        | Montée       | Maxi montée    | ZERO    | 10 000                    |                            |                      |                              |
| A340-211 | ICAO_B     | 7              | 1        | Décollage    | Maxi décollage | 1+F     |                           |                            |                      |                              |
| A340-211 | ICAO_B     | 7              | 2        | Montée       | Maxi décollage | 1+F     | 1 000                     |                            |                      |                              |
| A340-211 | ICAO_B     | 7              | 3        | Accélération | Maxi décollage | 1+F     |                           | 519,8                      | 199,2                |                              |
| A340-211 | ICAO_B     | 7              | 4        | Accélération | Maxi décollage | 1       |                           | 591,5                      | 218,2                |                              |
| A340-211 | ICAO_B     | 7              | 5        | Accélération | Maxi décollage | 1       |                           | 653,7                      | 223,4                |                              |
| A340-211 | ICAO_B     | 7              | 6        | Montée       | Maxi montée    | ZERO    | 3 000                     |                            |                      |                              |
| A340-211 | ICAO_B     | 7              | 7        | Accélération | Maxi montée    | ZERO    |                           | 622,6                      | 250                  |                              |
| A340-211 | ICAO_B     | 7              | 8        | Montée       | Maxi montée    | ZERO    | 5 500                     |                            |                      |                              |
| A340-211 | ICAO_B     | 7              | 9        | Montée       | Maxi montée    | ZERO    | 7 500                     |                            |                      |                              |
| A340-211 | ICAO_B     | 7              | 10       | Montée       | Maxi montée    | ZERO    | 10 000                    |                            |                      |                              |
| A340-642 | DEFAULT    | 1              | 1        | Décollage    | Maxi décollage | 1+F     |                           |                            |                      |                              |
| A340-642 | DEFAULT    | 1              | 2        | Accélération | Maxi décollage | 1+F     |                           | 1 518,1                    | 178,9                |                              |
| A340-642 | DEFAULT    | 1              | 3        | Montée       | Maxi décollage | 1+F     | 1 000                     |                            |                      |                              |
| A340-642 | DEFAULT    | 1              | 4        | Accélération | Maxi décollage | 1+F     |                           | 1 534,7                    | 191,5                |                              |
| A340-642 | DEFAULT    | 1              | 5        | Accélération | Maxi décollage | 1       |                           | 1 638,4                    | 240,3                |                              |
| A340-642 | DEFAULT    | 1              | 6        | Montée       | Maxi montée    | ZERO    | 3 000                     |                            |                      |                              |

| ACFTID   | Profile_ID | Longueur phase | N° étape | Type étape   | Indice poussée | Flap_ID | Altitude point final (ft) | Vitesse de montée (ft/min) | CAS point final (kt) | Pourcentage_accélération (%) |
|----------|------------|----------------|----------|--------------|----------------|---------|---------------------------|----------------------------|----------------------|------------------------------|
| A340-642 | DEFAULT    | 1              | 7        | Accélération | Maxi montée    | ZERO    |                           | 1 461,4                    | 250                  |                              |
| A340-642 | DEFAULT    | 1              | 8        | Montée       | Maxi montée    | ZERO    | 5 500                     |                            |                      |                              |
| A340-642 | DEFAULT    | 1              | 9        | Montée       | Maxi montée    | ZERO    | 7 500                     |                            |                      |                              |
| A340-642 | DEFAULT    | 1              | 10       | Montée       | Maxi montée    | ZERO    | 10 000                    |                            |                      |                              |
| A340-642 | DEFAULT    | 2              | 1        | Décollage    | Maxi décollage | 1+F     |                           |                            |                      |                              |
| A340-642 | DEFAULT    | 2              | 2        | Accélération | Maxi décollage | 1+F     |                           | 1 481                      | 178,3                |                              |
| A340-642 | DEFAULT    | 2              | 3        | Montée       | Maxi décollage | 1+F     | 1 000                     |                            |                      |                              |
| A340-642 | DEFAULT    | 2              | 4        | Accélération | Maxi décollage | 1+F     |                           | 1 452,6                    | 194,6                |                              |
| A340-642 | DEFAULT    | 2              | 5        | Accélération | Maxi décollage | 1       |                           | 1 595,8                    | 241,6                |                              |
| A340-642 | DEFAULT    | 2              | 6        | Montée       | Maxi montée    | ZERO    | 3 000                     |                            |                      |                              |
| A340-642 | DEFAULT    | 2              | 7        | Accélération | Maxi montée    | ZERO    |                           | 1 415                      | 250                  |                              |
| A340-642 | DEFAULT    | 2              | 8        | Montée       | Maxi montée    | ZERO    | 5 500                     |                            |                      |                              |
| A340-642 | DEFAULT    | 2              | 9        | Montée       | Maxi montée    | ZERO    | 7 500                     |                            |                      |                              |
| A340-642 | DEFAULT    | 2              | 10       | Montée       | Maxi montée    | ZERO    | 10 000                    |                            |                      |                              |
| A340-642 | DEFAULT    | 3              | 1        | Décollage    | Maxi décollage | 1+F     |                           |                            |                      |                              |
| A340-642 | DEFAULT    | 3              | 2        | Accélération | Maxi décollage | 1+F     |                           | 1 444,1                    | 177,7                |                              |
| A340-642 | DEFAULT    | 3              | 3        | Montée       | Maxi décollage | 1+F     | 1 000                     |                            |                      |                              |
| A340-642 | DEFAULT    | 3              | 4        | Accélération | Maxi décollage | 1+F     |                           | 1 382,6                    | 197,7                |                              |
| A340-642 | DEFAULT    | 3              | 5        | Accélération | Maxi décollage | 1       |                           | 1 554,9                    | 243                  |                              |
| A340-642 | DEFAULT    | 3              | 6        | Montée       | Maxi montée    | ZERO    | 3 000                     |                            |                      |                              |

| ACFTID   | Profile_ID | Longueur phase | N° étape | Type étape   | Indice poussée | Flap_ID | Altitude point final (ft) | Vitesse de montée (ft/min) | CAS point final (kt) | Pourcentage accélération (%) |
|----------|------------|----------------|----------|--------------|----------------|---------|---------------------------|----------------------------|----------------------|------------------------------|
| A340-642 | DEFAULT    | 3              | 7        | Accélération | Maxi montée    | ZERO    |                           | 1 374,5                    | 250                  |                              |
| A340-642 | DEFAULT    | 3              | 8        | Montée       | Maxi montée    | ZERO    | 5 500                     |                            |                      |                              |
| A340-642 | DEFAULT    | 3              | 9        | Montée       | Maxi montée    | ZERO    | 7 500                     |                            |                      |                              |
| A340-642 | DEFAULT    | 3              | 10       | Montée       | Maxi montée    | ZERO    | 10 000                    |                            |                      |                              |
| A340-642 | DEFAULT    | 4              | 1        | Décollage    | Maxi décollage | 1+F     |                           |                            |                      |                              |
| A340-642 | DEFAULT    | 4              | 2        | Accélération | Maxi décollage | 1+F     |                           | 1 383,2                    | 176,9                |                              |
| A340-642 | DEFAULT    | 4              | 3        | Montée       | Maxi décollage | 1+F     | 1 000                     |                            |                      |                              |
| A340-642 | DEFAULT    | 4              | 4        | Accélération | Maxi décollage | 1+F     |                           | 1 292                      | 203                  |                              |
| A340-642 | DEFAULT    | 4              | 5        | Accélération | Maxi décollage | 1       |                           | 1 478,5                    | 245,2                |                              |
| A340-642 | DEFAULT    | 4              | 6        | Montée       | Maxi montée    | ZERO    | 3 000                     |                            |                      |                              |
| A340-642 | DEFAULT    | 4              | 7        | Accélération | Maxi montée    | ZERO    |                           | 1 320,3                    | 250                  |                              |
| A340-642 | DEFAULT    | 4              | 8        | Montée       | Maxi montée    | ZERO    | 5 500                     |                            |                      |                              |
| A340-642 | DEFAULT    | 4              | 9        | Montée       | Maxi montée    | ZERO    | 7 500                     |                            |                      |                              |
| A340-642 | DEFAULT    | 4              | 10       | Montée       | Maxi montée    | ZERO    | 10 000                    |                            |                      |                              |
| A340-642 | DEFAULT    | 5              | 1        | Décollage    | Maxi décollage | 1+F     |                           |                            |                      |                              |
| A340-642 | DEFAULT    | 5              | 2        | Accélération | Maxi décollage | 1+F     |                           | 1 327,9                    | 180,6                |                              |
| A340-642 | DEFAULT    | 5              | 3        | Montée       | Maxi décollage | 1+F     | 1 000                     |                            |                      |                              |
| A340-642 | DEFAULT    | 5              | 4        | Accélération | Maxi décollage | 1+F     |                           | 1 209,7                    | 210,1                |                              |
| A340-642 | DEFAULT    | 5              | 5        | Accélération | Maxi décollage | 1       |                           | 1 373,5                    | 248,4                |                              |
| A340-642 | DEFAULT    | 5              | 6        | Montée       | Maxi montée    | ZERO    | 3 000                     |                            |                      |                              |

| ACFTID   | Profile_ID | Longueur phase | N° étape | Type étape   | Indice poussée | Flap_ID | Altitude point final (ft) | Vitesse de montée (ft/min) | CAS point final (kt) | Pourcentage_accélération (%) |
|----------|------------|----------------|----------|--------------|----------------|---------|---------------------------|----------------------------|----------------------|------------------------------|
| A340-642 | DEFAULT    | 5              | 7        | Accélération | Maxi montée    | ZERO    |                           | 1 410,4                    | 250                  |                              |
| A340-642 | DEFAULT    | 5              | 8        | Montée       | Maxi montée    | ZERO    | 5 500                     |                            |                      |                              |
| A340-642 | DEFAULT    | 5              | 9        | Montée       | Maxi montée    | ZERO    | 7 500                     |                            |                      |                              |
| A340-642 | DEFAULT    | 5              | 10       | Montée       | Maxi montée    | ZERO    | 10 000                    |                            |                      |                              |
| A340-642 | DEFAULT    | 6              | 1        | Décollage    | Maxi décollage | 1+F     |                           |                            |                      |                              |
| A340-642 | DEFAULT    | 6              | 2        | Accélération | Maxi décollage | 1+F     |                           | 1 185                      | 185,4                |                              |
| A340-642 | DEFAULT    | 6              | 3        | Montée       | Maxi décollage | 1+F     | 1 000                     |                            |                      |                              |
| A340-642 | DEFAULT    | 6              | 4        | Accélération | Maxi décollage | 1+F     |                           | 1 126,6                    | 214,9                |                              |
| A340-642 | DEFAULT    | 6              | 5        | Accélération | Maxi décollage | 1       |                           | 1 268,8                    | 249,8                |                              |
| A340-642 | DEFAULT    | 6              | 6        | Montée       | Maxi montée    | ZERO    | 3 000                     |                            |                      |                              |
| A340-642 | DEFAULT    | 6              | 7        | Accélération | Maxi montée    | ZERO    |                           | 2 048,9                    | 250                  |                              |
| A340-642 | DEFAULT    | 6              | 8        | Montée       | Maxi montée    | ZERO    | 5 500                     |                            |                      |                              |
| A340-642 | DEFAULT    | 6              | 9        | Montée       | Maxi montée    | ZERO    | 7 500                     |                            |                      |                              |
| A340-642 | DEFAULT    | 6              | 10       | Montée       | Maxi montée    | ZERO    | 10 000                    |                            |                      |                              |
| A340-642 | DEFAULT    | 7              | 1        | Décollage    | Maxi décollage | 1+F     |                           |                            |                      |                              |
| A340-642 | DEFAULT    | 7              | 2        | Montée       | Maxi décollage | 1+F     | 1 000                     |                            |                      |                              |
| A340-642 | DEFAULT    | 7              | 3        | Accélération | Maxi décollage | 1+F     |                           | 868,2                      | 214,9                |                              |
| A340-642 | DEFAULT    | 7              | 4        | Accélération | Maxi décollage | 1       |                           | 929,6                      | 241,1                |                              |
| A340-642 | DEFAULT    | 7              | 5        | Montée       | Maxi montée    | ZERO    | 3 000                     |                            |                      |                              |
| A340-642 | DEFAULT    | 7              | 6        | Accélération | Maxi montée    | ZERO    |                           | 748,4                      | 250                  |                              |

| ACFTID   | Profile_ID | Longueur phase | N° étape | Type étape   | Indice poussée | Flap_ID | Altitude point final (ft) | Vitesse de montée (ft/min) | CAS point final (kt) | Pourcentage accélération (%) |
|----------|------------|----------------|----------|--------------|----------------|---------|---------------------------|----------------------------|----------------------|------------------------------|
| A340-642 | DEFAULT    | 7              | 7        | Montée       | Maxi montée    | ZERO    | 5 500                     |                            |                      |                              |
| A340-642 | DEFAULT    | 7              | 8        | Montée       | Maxi montée    | ZERO    | 7 500                     |                            |                      |                              |
| A340-642 | DEFAULT    | 7              | 9        | Montée       | Maxi montée    | ZERO    | 10 000                    |                            |                      |                              |
| A340-642 | ICAO_A     | 1              | 1        | Décollage    | Maxi décollage | 1+F     |                           |                            |                      |                              |
| A340-642 | ICAO_A     | 1              | 2        | Accélération | Maxi décollage | 1+F     |                           | 1 518,1                    | 178,9                |                              |
| A340-642 | ICAO_A     | 1              | 3        | Montée       | Maxi décollage | 1+F     | 1 500                     |                            |                      |                              |
| A340-642 | ICAO_A     | 1              | 4        | Montée       | Maxi montée    | 1+F     | 3 000                     |                            |                      |                              |
| A340-642 | ICAO_A     | 1              | 5        | Accélération | Maxi montée    | 1+F     |                           | 1 110,7                    | 191,6                |                              |
| A340-642 | ICAO_A     | 1              | 6        | Accélération | Maxi montée    | 1       |                           | 1 176,6                    | 225,9                |                              |
| A340-642 | ICAO_A     | 1              | 7        | Accélération | Maxi montée    | 1       |                           | 1 342,4                    | 250                  |                              |
| A340-642 | ICAO_A     | 1              | 8        | Montée       | Maxi montée    | ZERO    | 5 500                     |                            |                      |                              |
| A340-642 | ICAO_A     | 1              | 9        | Montée       | Maxi montée    | ZERO    | 7 500                     |                            |                      |                              |
| A340-642 | ICAO_A     | 1              | 10       | Montée       | Maxi montée    | ZERO    | 10 000                    |                            |                      |                              |
| A340-642 | ICAO_A     | 2              | 1        | Décollage    | Maxi décollage | 1+F     |                           |                            |                      |                              |
| A340-642 | ICAO_A     | 2              | 2        | Accélération | Maxi décollage | 1+F     |                           | 1 481                      | 178,3                |                              |
| A340-642 | ICAO_A     | 2              | 3        | Montée       | Maxi décollage | 1+F     | 1 500                     |                            |                      |                              |
| A340-642 | ICAO_A     | 2              | 4        | Montée       | Maxi montée    | 1+F     | 3 000                     |                            |                      |                              |
| A340-642 | ICAO_A     | 2              | 5        | Accélération | Maxi montée    | 1+F     |                           | 1 053,1                    | 194,6                |                              |
| A340-642 | ICAO_A     | 2              | 6        | Accélération | Maxi montée    | 1       |                           | 1 135,6                    | 227,4                |                              |
| A340-642 | ICAO_A     | 2              | 7        | Accélération | Maxi montée    | 1       |                           | 1 292,5                    | 250                  |                              |

| ACFTID   | Profile_ID | Longueur phase | N° étape | Type étape   | Indice poussée | Flap_ID | Altitude point final (ft) | Vitesse de montée (ft/min) | CAS point final (kt) | Pourcentage accélération (%) |
|----------|------------|----------------|----------|--------------|----------------|---------|---------------------------|----------------------------|----------------------|------------------------------|
| A340-642 | ICAO_A     | 2              | 8        | Montée       | Maxi montée    | ZERO    | 5 500                     |                            |                      |                              |
| A340-642 | ICAO_A     | 2              | 9        | Montée       | Maxi montée    | ZERO    | 7 500                     |                            |                      |                              |
| A340-642 | ICAO_A     | 2              | 10       | Montée       | Maxi montée    | ZERO    | 10 000                    |                            |                      |                              |
| A340-642 | ICAO_A     | 3              | 1        | Décollage    | Maxi décollage | 1+F     |                           |                            |                      |                              |
| A340-642 | ICAO_A     | 3              | 2        | Accélération | Maxi décollage | 1+F     |                           | 1 444,1                    | 177,7                |                              |
| A340-642 | ICAO_A     | 3              | 3        | Montée       | Maxi décollage | 1+F     | 1 500                     |                            |                      |                              |
| A340-642 | ICAO_A     | 3              | 4        | Montée       | Maxi montée    | 1+F     | 3 000                     |                            |                      |                              |
| A340-642 | ICAO_A     | 3              | 5        | Accélération | Maxi montée    | 1+F     |                           | 1 002,2                    | 197,7                |                              |
| A340-642 | ICAO_A     | 3              | 6        | Accélération | Maxi montée    | 1       |                           | 1 095,6                    | 228,9                |                              |
| A340-642 | ICAO_A     | 3              | 7        | Accélération | Maxi montée    | 1       |                           | 1 243,9                    | 250                  |                              |
| A340-642 | ICAO_A     | 3              | 8        | Montée       | Maxi montée    | ZERO    | 5 500                     |                            |                      |                              |
| A340-642 | ICAO_A     | 3              | 9        | Montée       | Maxi montée    | ZERO    | 7 500                     |                            |                      |                              |
| A340-642 | ICAO_A     | 3              | 10       | Montée       | Maxi montée    | ZERO    | 10 000                    |                            |                      |                              |
| A340-642 | ICAO_A     | 4              | 1        | Décollage    | Maxi décollage | 1+F     |                           |                            |                      |                              |
| A340-642 | ICAO_A     | 4              | 2        | Accélération | Maxi décollage | 1+F     |                           | 1 383,2                    | 176,9                |                              |
| A340-642 | ICAO_A     | 4              | 3        | Montée       | Maxi décollage | 1+F     | 1 500                     |                            |                      |                              |
| A340-642 | ICAO_A     | 4              | 4        | Montée       | Maxi montée    | 1+F     | 3 000                     |                            |                      |                              |
| A340-642 | ICAO_A     | 4              | 5        | Accélération | Maxi montée    | 1+F     |                           | 925,2                      | 203,3                |                              |
| A340-642 | ICAO_A     | 4              | 6        | Accélération | Maxi montée    | 1       |                           | 1 029,9                    | 232                  |                              |
| A340-642 | ICAO_A     | 4              | 7        | Accélération | Maxi montée    | 1       |                           | 1 164                      | 250                  |                              |

| ACFTID   | Profile_ID | Longueur phase | N° étape | Type étape   | Indice poussée | Flap_ID | Altitude point final (ft) | Vitesse de montée (ft/min) | CAS point final (kt) | Pourcentage accélération (%) |
|----------|------------|----------------|----------|--------------|----------------|---------|---------------------------|----------------------------|----------------------|------------------------------|
| A340-642 | ICAO_A     | 4              | 8        | Montée       | Maxi montée    | ZERO    | 5 500                     |                            |                      |                              |
| A340-642 | ICAO_A     | 4              | 9        | Montée       | Maxi montée    | ZERO    | 7 500                     |                            |                      |                              |
| A340-642 | ICAO_A     | 4              | 10       | Montée       | Maxi montée    | ZERO    | 10 000                    |                            |                      |                              |
| A340-642 | ICAO_A     | 5              | 1        | Décollage    | Maxi décollage | 1+F     |                           |                            |                      |                              |
| A340-642 | ICAO_A     | 5              | 2        | Accélération | Maxi décollage | 1+F     |                           | 1 327,9                    | 180,6                |                              |
| A340-642 | ICAO_A     | 5              | 3        | Montée       | Maxi décollage | 1+F     | 1 500                     |                            |                      |                              |
| A340-642 | ICAO_A     | 5              | 4        | Montée       | Maxi montée    | 1+F     | 3 000                     |                            |                      |                              |
| A340-642 | ICAO_A     | 5              | 5        | Accélération | Maxi montée    | 1+F     |                           | 848,8                      | 210,8                |                              |
| A340-642 | ICAO_A     | 5              | 6        | Accélération | Maxi montée    | 1       |                           | 950,4                      | 236,5                |                              |
| A340-642 | ICAO_A     | 5              | 7        | Accélération | Maxi montée    | 1       |                           | 1 067,5                    | 250                  |                              |
| A340-642 | ICAO_A     | 5              | 8        | Montée       | Maxi montée    | ZERO    | 5 500                     |                            |                      |                              |
| A340-642 | ICAO_A     | 5              | 9        | Montée       | Maxi montée    | ZERO    | 7 500                     |                            |                      |                              |
| A340-642 | ICAO_A     | 5              | 10       | Montée       | Maxi montée    | ZERO    | 10 000                    |                            |                      |                              |
| A340-642 | ICAO_A     | 6              | 1        | Décollage    | Maxi décollage | 1+F     |                           |                            |                      |                              |
| A340-642 | ICAO_A     | 6              | 2        | Accélération | Maxi décollage | 1+F     |                           | 1 185                      | 185,4                |                              |
| A340-642 | ICAO_A     | 6              | 3        | Montée       | Maxi décollage | 1+F     | 1 500                     |                            |                      |                              |
| A340-642 | ICAO_A     | 6              | 4        | Montée       | Maxi montée    | 1+F     | 3 000                     |                            |                      |                              |
| A340-642 | ICAO_A     | 6              | 5        | Accélération | Maxi montée    | 1+F     |                           | 780,5                      | 219                  |                              |
| A340-642 | ICAO_A     | 6              | 6        | Accélération | Maxi montée    | 1       |                           | 875,9                      | 242                  |                              |
| A340-642 | ICAO_A     | 6              | 7        | Accélération | Maxi montée    | 1       |                           | 975,3                      | 250                  |                              |

| ACFTID   | Profile_ID | Longueur phase | N° étape | Type étape   | Indice poussée | Flap_ID | Altitude point final (ft) | Vitesse de montée (ft/min) | CAS point final (kt) | Pourcentage accélération (%) |
|----------|------------|----------------|----------|--------------|----------------|---------|---------------------------|----------------------------|----------------------|------------------------------|
| A340-642 | ICAO_A     | 6              | 8        | Montée       | Maxi montée    | ZERO    | 5 500                     |                            |                      |                              |
| A340-642 | ICAO_A     | 6              | 9        | Montée       | Maxi montée    | ZERO    | 7 500                     |                            |                      |                              |
| A340-642 | ICAO_A     | 6              | 10       | Montée       | Maxi montée    | ZERO    | 10 000                    |                            |                      |                              |
| A340-642 | ICAO_A     | 7              | 1        | Décollage    | Maxi décollage | 1+F     |                           |                            |                      |                              |
| A340-642 | ICAO_A     | 7              | 2        | Montée       | Maxi décollage | 1+F     | 1 500                     |                            |                      |                              |
| A340-642 | ICAO_A     | 7              | 3        | Montée       | Maxi montée    | 1+F     | 3 000                     |                            |                      |                              |
| A340-642 | ICAO_A     | 7              | 4        | Accélération | Maxi montée    | 1+F     |                           | 556,7                      | 214,9                |                              |
| A340-642 | ICAO_A     | 7              | 5        | Accélération | Maxi montée    | 1       |                           | 601,9                      | 231,3                |                              |
| A340-642 | ICAO_A     | 7              | 6        | Accélération | Maxi montée    | ZERO    |                           | 681,8                      | 244                  |                              |
| A340-642 | ICAO_A     | 7              | 7        | Accélération | Maxi montée    | ZERO    |                           | 729,1                      | 250                  |                              |
| A340-642 | ICAO_A     | 7              | 8        | Montée       | Maxi montée    | ZERO    | 5 500                     |                            |                      |                              |
| A340-642 | ICAO_A     | 7              | 9        | Montée       | Maxi montée    | ZERO    | 7 500                     |                            |                      |                              |
| A340-642 | ICAO_A     | 7              | 10       | Montée       | Maxi montée    | ZERO    | 10 000                    |                            |                      |                              |
| A340-642 | ICAO_B     | 1              | 1        | Décollage    | Maxi décollage | 1+F     |                           |                            |                      |                              |
| A340-642 | ICAO_B     | 1              | 2        | Accélération | Maxi décollage | 1+F     |                           | 1 518,1                    | 178,9                |                              |
| A340-642 | ICAO_B     | 1              | 3        | Montée       | Maxi décollage | 1+F     | 1 000                     |                            |                      |                              |
| A340-642 | ICAO_B     | 1              | 4        | Accélération | Maxi décollage | 1+F     |                           | 1 534,7                    | 191,5                |                              |
| A340-642 | ICAO_B     | 1              | 5        | Accélération | Maxi décollage | 1       |                           | 1 638,4                    | 240,3                |                              |
| A340-642 | ICAO_B     | 1              | 6        | Montée       | Maxi montée    | ZERO    | 3 000                     |                            |                      |                              |
| A340-642 | ICAO_B     | 1              | 7        | Accélération | Maxi montée    | ZERO    |                           | 1 461,4                    | 250                  |                              |

| ACFTID   | Profile_ID | Longueur phase | N° étape | Type étape   | Indice poussée | Flap_ID | Altitude point final (ft) | Vitesse de montée (ft/min) | CAS point final (kt) | Pourcentage accélération (%) |
|----------|------------|----------------|----------|--------------|----------------|---------|---------------------------|----------------------------|----------------------|------------------------------|
| A340-642 | ICAO_B     | 1              | 8        | Montée       | Maxi montée    | ZERO    | 5 500                     |                            |                      |                              |
| A340-642 | ICAO_B     | 1              | 9        | Montée       | Maxi montée    | ZERO    | 7 500                     |                            |                      |                              |
| A340-642 | ICAO_B     | 1              | 10       | Montée       | Maxi montée    | ZERO    | 10 000                    |                            |                      |                              |
| A340-642 | ICAO_B     | 2              | 1        | Décollage    | Maxi décollage | 1+F     |                           |                            |                      |                              |
| A340-642 | ICAO_B     | 2              | 2        | Accélération | Maxi décollage | 1+F     |                           | 1 481                      | 178,3                |                              |
| A340-642 | ICAO_B     | 2              | 3        | Montée       | Maxi décollage | 1+F     | 1 000                     |                            |                      |                              |
| A340-642 | ICAO_B     | 2              | 4        | Accélération | Maxi décollage | 1+F     |                           | 1 452,6                    | 194,6                |                              |
| A340-642 | ICAO_B     | 2              | 5        | Accélération | Maxi décollage | 1       |                           | 1 595,8                    | 241,6                |                              |
| A340-642 | ICAO_B     | 2              | 6        | Montée       | Maxi montée    | ZERO    | 3 000                     |                            |                      |                              |
| A340-642 | ICAO_B     | 2              | 7        | Accélération | Maxi montée    | ZERO    |                           | 1 415                      | 250                  |                              |
| A340-642 | ICAO_B     | 2              | 8        | Montée       | Maxi montée    | ZERO    | 5 500                     |                            |                      |                              |
| A340-642 | ICAO_B     | 2              | 9        | Montée       | Maxi montée    | ZERO    | 7 500                     |                            |                      |                              |
| A340-642 | ICAO_B     | 2              | 10       | Montée       | Maxi montée    | ZERO    | 10 000                    |                            |                      |                              |
| A340-642 | ICAO_B     | 3              | 1        | Décollage    | Maxi décollage | 1+F     |                           |                            |                      |                              |
| A340-642 | ICAO_B     | 3              | 2        | Accélération | Maxi décollage | 1+F     |                           | 1 444,1                    | 177,7                |                              |
| A340-642 | ICAO_B     | 3              | 3        | Montée       | Maxi décollage | 1+F     | 1 000                     |                            |                      |                              |
| A340-642 | ICAO_B     | 3              | 4        | Accélération | Maxi décollage | 1+F     |                           | 1 382,6                    | 197,7                |                              |
| A340-642 | ICAO_B     | 3              | 5        | Accélération | Maxi décollage | 1       |                           | 1 554,9                    | 243                  |                              |
| A340-642 | ICAO_B     | 3              | 6        | Montée       | Maxi montée    | ZERO    | 3 000                     |                            |                      |                              |
| A340-642 | ICAO_B     | 3              | 7        | Accélération | Maxi montée    | ZERO    |                           | 1 374,5                    | 250                  |                              |

| ACFTID   | Profile_ID | Longueur phase | N° étape | Type étape   | Indice poussée | Flap_ID | Altitude point final (ft) | Vitesse de montée (ft/min) | CAS point final (kt) | Pourcentage accélération (%) |
|----------|------------|----------------|----------|--------------|----------------|---------|---------------------------|----------------------------|----------------------|------------------------------|
| A340-642 | ICAO_B     | 3              | 8        | Montée       | Maxi montée    | ZERO    | 5 500                     |                            |                      |                              |
| A340-642 | ICAO_B     | 3              | 9        | Montée       | Maxi montée    | ZERO    | 7 500                     |                            |                      |                              |
| A340-642 | ICAO_B     | 3              | 10       | Montée       | Maxi montée    | ZERO    | 10 000                    |                            |                      |                              |
| A340-642 | ICAO_B     | 4              | 1        | Décollage    | Maxi décollage | 1+F     |                           |                            |                      |                              |
| A340-642 | ICAO_B     | 4              | 2        | Accélération | Maxi décollage | 1+F     |                           | 1 383,2                    | 176,9                |                              |
| A340-642 | ICAO_B     | 4              | 3        | Montée       | Maxi décollage | 1+F     | 1 000                     |                            |                      |                              |
| A340-642 | ICAO_B     | 4              | 4        | Accélération | Maxi décollage | 1+F     |                           | 1 292                      | 203                  |                              |
| A340-642 | ICAO_B     | 4              | 5        | Accélération | Maxi décollage | 1       |                           | 1 478,5                    | 245,2                |                              |
| A340-642 | ICAO_B     | 4              | 6        | Montée       | Maxi montée    | ZERO    | 3 000                     |                            |                      |                              |
| A340-642 | ICAO_B     | 4              | 7        | Accélération | Maxi montée    | ZERO    |                           | 1 320,3                    | 250                  |                              |
| A340-642 | ICAO_B     | 4              | 8        | Montée       | Maxi montée    | ZERO    | 5 500                     |                            |                      |                              |
| A340-642 | ICAO_B     | 4              | 9        | Montée       | Maxi montée    | ZERO    | 7 500                     |                            |                      |                              |
| A340-642 | ICAO_B     | 4              | 10       | Montée       | Maxi montée    | ZERO    | 10 000                    |                            |                      |                              |
| A340-642 | ICAO_B     | 5              | 1        | Décollage    | Maxi décollage | 1+F     |                           |                            |                      |                              |
| A340-642 | ICAO_B     | 5              | 2        | Accélération | Maxi décollage | 1+F     |                           | 1 327,9                    | 180,6                |                              |
| A340-642 | ICAO_B     | 5              | 3        | Montée       | Maxi décollage | 1+F     | 1 000                     |                            |                      |                              |
| A340-642 | ICAO_B     | 5              | 4        | Accélération | Maxi décollage | 1+F     |                           | 1 209,7                    | 210,1                |                              |
| A340-642 | ICAO_B     | 5              | 5        | Accélération | Maxi décollage | 1       |                           | 1 373,5                    | 248,4                |                              |
| A340-642 | ICAO_B     | 5              | 6        | Montée       | Maxi montée    | ZERO    | 3 000                     |                            |                      |                              |
| A340-642 | ICAO_B     | 5              | 7        | Accélération | Maxi montée    | ZERO    |                           | 1 410,4                    | 250                  |                              |

| ACFTID   | Profile_ID | Longueur phase | N° étape | Type étape   | Indice poussée | Flap_ID | Altitude point final (ft) | Vitesse de montée (ft/min) | CAS point final (kt) | Pourcentage accélération (%) |
|----------|------------|----------------|----------|--------------|----------------|---------|---------------------------|----------------------------|----------------------|------------------------------|
| A340-642 | ICAO_B     | 5              | 8        | Montée       | Maxi montée    | ZERO    | 5 500                     |                            |                      |                              |
| A340-642 | ICAO_B     | 5              | 9        | Montée       | Maxi montée    | ZERO    | 7 500                     |                            |                      |                              |
| A340-642 | ICAO_B     | 5              | 10       | Montée       | Maxi montée    | ZERO    | 10 000                    |                            |                      |                              |
| A340-642 | ICAO_B     | 6              | 1        | Décollage    | Maxi décollage | 1+F     |                           |                            |                      |                              |
| A340-642 | ICAO_B     | 6              | 2        | Accélération | Maxi décollage | 1+F     |                           | 1 185                      | 185,4                |                              |
| A340-642 | ICAO_B     | 6              | 3        | Montée       | Maxi décollage | 1+F     | 1 000                     |                            |                      |                              |
| A340-642 | ICAO_B     | 6              | 4        | Accélération | Maxi décollage | 1+F     |                           | 1 126,6                    | 214,9                |                              |
| A340-642 | ICAO_B     | 6              | 5        | Accélération | Maxi décollage | 1       |                           | 1 268,8                    | 249,8                |                              |
| A340-642 | ICAO_B     | 6              | 6        | Montée       | Maxi montée    | ZERO    | 3 000                     |                            |                      |                              |
| A340-642 | ICAO_B     | 6              | 7        | Accélération | Maxi montée    | ZERO    |                           | 2 048,9                    | 250                  |                              |
| A340-642 | ICAO_B     | 6              | 8        | Montée       | Maxi montée    | ZERO    | 5 500                     |                            |                      |                              |
| A340-642 | ICAO_B     | 6              | 9        | Montée       | Maxi montée    | ZERO    | 7 500                     |                            |                      |                              |
| A340-642 | ICAO_B     | 6              | 10       | Montée       | Maxi montée    | ZERO    | 10 000                    |                            |                      |                              |
| A340-642 | ICAO_B     | 7              | 1        | Décollage    | Maxi décollage | 1+F     |                           |                            |                      |                              |
| A340-642 | ICAO_B     | 7              | 2        | Montée       | Maxi décollage | 1+F     | 1 000                     |                            |                      |                              |
| A340-642 | ICAO_B     | 7              | 3        | Accélération | Maxi décollage | 1+F     |                           | 868,2                      | 214,9                |                              |
| A340-642 | ICAO_B     | 7              | 4        | Accélération | Maxi décollage | 1       |                           | 929,6                      | 241,1                |                              |
| A340-642 | ICAO_B     | 7              | 5        | Montée       | Maxi montée    | ZERO    | 3 000                     |                            |                      |                              |
| A340-642 | ICAO_B     | 7              | 6        | Accélération | Maxi montée    | ZERO    |                           | 748,4                      | 250                  |                              |
| A340-642 | ICAO_B     | 7              | 7        | Montée       | Maxi montée    | ZERO    | 5 500                     |                            |                      |                              |

| ACFTID   | Profile_ID | Longueur phase | N° étape | Type étape   | Indice poussée | Flap_ID | Altitude point final (ft) | Vitesse de montée (ft/min) | CAS point final (kt) | Pourcentage accélération (%) |
|----------|------------|----------------|----------|--------------|----------------|---------|---------------------------|----------------------------|----------------------|------------------------------|
| A340-642 | ICAO_B     | 7              | 8        | Montée       | Maxi montée    | ZERO    | 7 500                     |                            |                      |                              |
| A340-642 | ICAO_B     | 7              | 9        | Montée       | Maxi montée    | ZERO    | 10 000                    |                            |                      |                              |
| A380-841 | DEFAULT    | 1              | 1        | Décollage    | Maxi décollage | D_1+F   |                           |                            |                      |                              |
| A380-841 | DEFAULT    | 1              | 2        | Montée       | Maxi décollage | D_1+F   | 1 000                     |                            |                      |                              |
| A380-841 | DEFAULT    | 1              | 3        | Accélération | Maxi décollage | D_1+F   |                           | 1 085                      | 175,1                |                              |
| A380-841 | DEFAULT    | 1              | 4        | Accélération | Maxi décollage | D_1     |                           | 1 306                      | 238,9                |                              |
| A380-841 | DEFAULT    | 1              | 5        | Montée       | Maxi montée    | D_1     | 3 000                     |                            |                      |                              |
| A380-841 | DEFAULT    | 1              | 6        | Accélération | Maxi montée    | ZERO    |                           | 1 497,8                    | 250                  |                              |
| A380-841 | DEFAULT    | 1              | 7        | Montée       | Maxi montée    | ZERO    | 10 000                    |                            |                      |                              |
| A380-841 | DEFAULT    | 2              | 1        | Décollage    | Maxi décollage | D_1+F   |                           |                            |                      |                              |
| A380-841 | DEFAULT    | 2              | 2        | Montée       | Maxi décollage | D_1+F   | 1 000                     |                            |                      |                              |
| A380-841 | DEFAULT    | 2              | 3        | Accélération | Maxi décollage | D_1+F   |                           | 1 054                      | 177,6                |                              |
| A380-841 | DEFAULT    | 2              | 4        | Accélération | Maxi décollage | D_1     |                           | 1 262,8                    | 238,9                |                              |
| A380-841 | DEFAULT    | 2              | 5        | Montée       | Maxi montée    | D_1     | 3 000                     |                            |                      |                              |
| A380-841 | DEFAULT    | 2              | 6        | Accélération | Maxi montée    | ZERO    |                           | 1 444,8                    | 250                  |                              |
| A380-841 | DEFAULT    | 2              | 7        | Montée       | Maxi montée    | ZERO    | 10 000                    |                            |                      |                              |
| A380-841 | DEFAULT    | 3              | 1        | Décollage    | Maxi décollage | D_1+F   |                           |                            |                      |                              |
| A380-841 | DEFAULT    | 3              | 2        | Montée       | Maxi décollage | D_1+F   | 1 000                     |                            |                      |                              |
| A380-841 | DEFAULT    | 3              | 3        | Accélération | Maxi décollage | D_1+F   |                           | 1 022,1                    | 180,2                |                              |
| A380-841 | DEFAULT    | 3              | 4        | Accélération | Maxi décollage | D_1     |                           | 1 220,9                    | 239,1                |                              |

| ACFTID   | Profile_ID | Longueur phase | N° étape | Type étape   | Indice poussée | Flap_ID | Altitude point final (ft) | Vitesse de montée (ft/min) | CAS point final (kt) | Pourcentage accélération (%) |
|----------|------------|----------------|----------|--------------|----------------|---------|---------------------------|----------------------------|----------------------|------------------------------|
| A380-841 | DEFAULT    | 3              | 5        | Montée       | Maxi montée    | D_1     | 3 000                     |                            |                      |                              |
| A380-841 | DEFAULT    | 3              | 6        | Accélération | Maxi montée    | ZERO    |                           | 1 394,3                    | 250                  |                              |
| A380-841 | DEFAULT    | 3              | 7        | Montée       | Maxi montée    | ZERO    | 10 000                    |                            |                      |                              |
| A380-841 | DEFAULT    | 4              | 1        | Décollage    | Maxi décollage | D_1+F   |                           |                            |                      |                              |
| A380-841 | DEFAULT    | 4              | 2        | Montée       | Maxi décollage | D_1+F   | 1 000                     |                            |                      |                              |
| A380-841 | DEFAULT    | 4              | 3        | Accélération | Maxi décollage | D_1+F   |                           | 975,4                      | 184,8                |                              |
| A380-841 | DEFAULT    | 4              | 4        | Accélération | Maxi décollage | D_1     |                           | 1 152,5                    | 239,6                |                              |
| A380-841 | DEFAULT    | 4              | 5        | Montée       | Maxi montée    | D_1     | 3 000                     |                            |                      |                              |
| A380-841 | DEFAULT    | 4              | 6        | Accélération | Maxi montée    | ZERO    |                           | 1 313,6                    | 250                  |                              |
| A380-841 | DEFAULT    | 4              | 7        | Montée       | Maxi montée    | ZERO    | 10 000                    |                            |                      |                              |
| A380-841 | DEFAULT    | 5              | 1        | Décollage    | Maxi décollage | D_1+F   |                           |                            |                      |                              |
| A380-841 | DEFAULT    | 5              | 2        | Montée       | Maxi décollage | D_1+F   | 1 000                     |                            |                      |                              |
| A380-841 | DEFAULT    | 5              | 3        | Accélération | Maxi décollage | D_1+F   |                           | 908,1                      | 190,6                |                              |
| A380-841 | DEFAULT    | 5              | 4        | Accélération | Maxi décollage | D_1     |                           | 1 072,2                    | 240,8                |                              |
| A380-841 | DEFAULT    | 5              | 5        | Montée       | Maxi montée    | D_1     | 3 000                     |                            |                      |                              |
| A380-841 | DEFAULT    | 5              | 6        | Accélération | Maxi montée    | ZERO    |                           | 1 220,7                    | 250                  |                              |
| A380-841 | DEFAULT    | 5              | 7        | Montée       | Maxi montée    | ZERO    | 10 000                    |                            |                      |                              |
| A380-841 | DEFAULT    | 6              | 1        | Décollage    | Maxi décollage | D_1+F   |                           |                            |                      |                              |
| A380-841 | DEFAULT    | 6              | 2        | Montée       | Maxi décollage | D_1+F   | 1 000                     |                            |                      |                              |
| A380-841 | DEFAULT    | 6              | 3        | Accélération | Maxi décollage | D_1+F   |                           | 843                        | 196,7                |                              |

| ACFTID   | Profile_ID | Longueur phase | N° étape | Type étape   | Indice poussée | Flap_ID | Altitude point final (ft) | Vitesse de montée (ft/min) | CAS point final (kt) | Pourcentage accélération (%) |
|----------|------------|----------------|----------|--------------|----------------|---------|---------------------------|----------------------------|----------------------|------------------------------|
| A380-841 | DEFAULT    | 6              | 4        | Accélération | Maxi décollage | D_1     |                           | 994,4                      | 242,4                |                              |
| A380-841 | DEFAULT    | 6              | 5        | Montée       | Maxi montée    | D_1     | 3 000                     |                            |                      |                              |
| A380-841 | DEFAULT    | 6              | 6        | Accélération | Maxi montée    | ZERO    |                           | 1 134,1                    | 250                  |                              |
| A380-841 | DEFAULT    | 6              | 7        | Montée       | Maxi montée    | ZERO    | 10 000                    |                            |                      |                              |
| A380-841 | DEFAULT    | 7              | 1        | Décollage    | Maxi décollage | D_1+F   |                           |                            |                      |                              |
| A380-841 | DEFAULT    | 7              | 2        | Montée       | Maxi décollage | D_1+F   | 1 000                     |                            |                      |                              |
| A380-841 | DEFAULT    | 7              | 3        | Accélération | Maxi décollage | D_1+F   |                           | 783                        | 202,7                |                              |
| A380-841 | DEFAULT    | 7              | 4        | Accélération | Maxi décollage | D_1     |                           | 925                        | 244,4                |                              |
| A380-841 | DEFAULT    | 7              | 5        | Montée       | Maxi montée    | D_1     | 3 000                     |                            |                      |                              |
| A380-841 | DEFAULT    | 7              | 6        | Accélération | Maxi montée    | ZERO    |                           | 1 065,1                    | 250                  |                              |
| A380-841 | DEFAULT    | 7              | 7        | Montée       | Maxi montée    | ZERO    | 10 000                    |                            |                      |                              |
| A380-841 | DEFAULT    | 8              | 1        | Décollage    | Maxi décollage | D_1+F   |                           |                            |                      |                              |
| A380-841 | DEFAULT    | 8              | 2        | Montée       | Maxi décollage | D_1+F   | 1 000                     |                            |                      |                              |
| A380-841 | DEFAULT    | 8              | 3        | Accélération | Maxi décollage | D_1+F   |                           | 622,4                      | 220                  |                              |
| A380-841 | DEFAULT    | 8              | 4        | Accélération | Maxi décollage | D_1     |                           | 744,8                      | 251,7                |                              |
| A380-841 | DEFAULT    | 8              | 5        | Montée       | Maxi montée    | D_1     | 3 000                     |                            |                      |                              |
| A380-841 | DEFAULT    | 8              | 6        | Montée       | Maxi montée    | ZERO    | 10 000                    |                            |                      |                              |
| A380-841 | ICAO_A     | 1              | 1        | Décollage    | Maxi décollage | D_1+F   |                           |                            |                      |                              |
| A380-841 | ICAO_A     | 1              | 2        | Montée       | Maxi décollage | D_1+F   | 1 500                     |                            |                      |                              |
| A380-841 | ICAO_A     | 1              | 3        | Montée       | Maxi montée    | D_1+F   | 3 000                     |                            |                      |                              |

| ACFTID   | Profile_ID | Longueur phase | N° étape | Type étape   | Indice poussée | Flap_ID | Altitude point final (ft) | Vitesse de montée (ft/min) | CAS point final (kt) | Pourcentage accélération (%) |
|----------|------------|----------------|----------|--------------|----------------|---------|---------------------------|----------------------------|----------------------|------------------------------|
| A380-841 | ICAO_A     | 1              | 4        | Accélération | Maxi montée    | D_1     |                           | 1 049,1                    | 175,1                |                              |
| A380-841 | ICAO_A     | 1              | 5        | Accélération | Maxi montée    | D_1     |                           | 1 257,9                    | 233,9                |                              |
| A380-841 | ICAO_A     | 1              | 6        | Accélération | Maxi montée    | ZERO    |                           | 1 403,3                    | 250                  |                              |
| A380-841 | ICAO_A     | 1              | 7        | Montée       | Maxi montée    | ZERO    | 10 000                    |                            |                      |                              |
| A380-841 | ICAO_A     | 2              | 1        | Décollage    | Maxi décollage | D_1+F   |                           |                            |                      |                              |
| A380-841 | ICAO_A     | 2              | 2        | Montée       | Maxi décollage | D_1+F   | 1 500                     |                            |                      |                              |
| A380-841 | ICAO_A     | 2              | 3        | Montée       | Maxi montée    | D_1+F   | 3 000                     |                            |                      |                              |
| A380-841 | ICAO_A     | 2              | 4        | Accélération | Maxi montée    | D_1     |                           | 1 005,4                    | 177,7                |                              |
| A380-841 | ICAO_A     | 2              | 5        | Accélération | Maxi montée    | D_1     |                           | 1 217,2                    | 234,1                |                              |
| A380-841 | ICAO_A     | 2              | 6        | Accélération | Maxi montée    | ZERO    |                           | 1 355,3                    | 250                  |                              |
| A380-841 | ICAO_A     | 2              | 7        | Montée       | Maxi montée    | ZERO    | 10 000                    |                            |                      |                              |
| A380-841 | ICAO_A     | 3              | 1        | Décollage    | Maxi décollage | D_1+F   |                           |                            |                      |                              |
| A380-841 | ICAO_A     | 3              | 2        | Montée       | Maxi décollage | D_1+F   | 1 500                     |                            |                      |                              |
| A380-841 | ICAO_A     | 3              | 3        | Montée       | Maxi montée    | D_1+F   | 3 000                     |                            |                      |                              |
| A380-841 | ICAO_A     | 3              | 4        | Accélération | Maxi montée    | D_1     |                           | 965,1                      | 180,3                |                              |
| A380-841 | ICAO_A     | 3              | 5        | Accélération | Maxi montée    | D_1     |                           | 1 177,8                    | 234,5                |                              |
| A380-841 | ICAO_A     | 3              | 6        | Accélération | Maxi montée    | ZERO    |                           | 1 308,6                    | 250                  |                              |
| A380-841 | ICAO_A     | 3              | 7        | Montée       | Maxi montée    | ZERO    | 10 000                    |                            |                      |                              |
| A380-841 | ICAO_A     | 4              | 1        | Décollage    | Maxi décollage | D_1+F   |                           |                            |                      |                              |
| A380-841 | ICAO_A     | 4              | 2        | Montée       | Maxi décollage | D_1+F   | 1 500                     |                            |                      |                              |

| ACFTID   | Profile_ID | Longueur phase | N° étape | Type étape   | Indice poussée | Flap_ID | Altitude point final (ft) | Vitesse de montée (ft/min) | CAS point final (kt) | Pourcentage accélération (%) |
|----------|------------|----------------|----------|--------------|----------------|---------|---------------------------|----------------------------|----------------------|------------------------------|
| A380-841 | ICAO_A     | 4              | 3        | Montée       | Maxi montée    | D_1+F   | 3 000                     |                            |                      |                              |
| A380-841 | ICAO_A     | 4              | 4        | Accélération | Maxi montée    | D_1     |                           | 912,3                      | 184,9                |                              |
| A380-841 | ICAO_A     | 4              | 5        | Accélération | Maxi montée    | D_1     |                           | 1 113,9                    | 235,4                |                              |
| A380-841 | ICAO_A     | 4              | 6        | Accélération | Maxi montée    | ZERO    |                           | 1 231,9                    | 250                  |                              |
| A380-841 | ICAO_A     | 4              | 7        | Montée       | Maxi montée    | ZERO    | 10 000                    |                            |                      |                              |
| A380-841 | ICAO_A     | 5              | 1        | Décollage    | Maxi décollage | D_1+F   |                           |                            |                      |                              |
| A380-841 | ICAO_A     | 5              | 2        | Montée       | Maxi décollage | D_1+F   | 1 500                     |                            |                      |                              |
| A380-841 | ICAO_A     | 5              | 3        | Montée       | Maxi montée    | D_1+F   | 3 000                     |                            |                      |                              |
| A380-841 | ICAO_A     | 5              | 4        | Accélération | Maxi montée    | D_1     |                           | 850,1                      | 190,8                |                              |
| A380-841 | ICAO_A     | 5              | 5        | Accélération | Maxi montée    | D_1     |                           | 1 038,8                    | 237,1                |                              |
| A380-841 | ICAO_A     | 5              | 6        | Accélération | Maxi montée    | ZERO    |                           | 1 141,2                    | 250                  |                              |
| A380-841 | ICAO_A     | 5              | 7        | Montée       | Maxi montée    | ZERO    | 10 000                    |                            |                      |                              |
| A380-841 | ICAO_A     | 6              | 1        | Décollage    | Maxi décollage | D_1+F   |                           |                            |                      |                              |
| A380-841 | ICAO_A     | 6              | 2        | Montée       | Maxi décollage | D_1+F   | 1 500                     |                            |                      |                              |
| A380-841 | ICAO_A     | 6              | 3        | Montée       | Maxi montée    | D_1+F   | 3 000                     |                            |                      |                              |
| A380-841 | ICAO_A     | 6              | 4        | Accélération | Maxi montée    | D_1     |                           | 789,5                      | 196,9                |                              |
| A380-841 | ICAO_A     | 6              | 5        | Accélération | Maxi montée    | D_1     |                           | 965,9                      | 239,1                |                              |
| A380-841 | ICAO_A     | 6              | 6        | Accélération | Maxi montée    | ZERO    |                           | 1 053                      | 250                  |                              |
| A380-841 | ICAO_A     | 6              | 7        | Montée       | Maxi montée    | ZERO    | 10 000                    |                            |                      |                              |
| A380-841 | ICAO_A     | 7              | 1        | Décollage    | Maxi décollage | D_1+F   |                           |                            |                      |                              |

| ACFTID   | Profile_ID | Longueur phase | N° étape | Type étape   | Indice poussée | Flap_ID | Altitude point final (ft) | Vitesse de montée (ft/min) | CAS point final (kt) | Pourcentage accélération (%) |
|----------|------------|----------------|----------|--------------|----------------|---------|---------------------------|----------------------------|----------------------|------------------------------|
| A380-841 | ICAO_A     | 7              | 2        | Montée       | Maxi décollage | D_1+F   | 1 500                     |                            |                      |                              |
| A380-841 | ICAO_A     | 7              | 3        | Montée       | Maxi montée    | D_1+F   | 3 000                     |                            |                      |                              |
| A380-841 | ICAO_A     | 7              | 4        | Accélération | Maxi montée    | D_1     |                           | 735,4                      | 203,1                |                              |
| A380-841 | ICAO_A     | 7              | 5        | Accélération | Maxi montée    | D_1     |                           | 900,3                      | 241,6                |                              |
| A380-841 | ICAO_A     | 7              | 6        | Accélération | Maxi montée    | ZERO    |                           | 973,7                      | 250                  |                              |
| A380-841 | ICAO_A     | 7              | 7        | Montée       | Maxi montée    | ZERO    | 10 000                    |                            |                      |                              |
| A380-841 | ICAO_A     | 8              | 1        | Décollage    | Maxi décollage | D_1+F   |                           |                            |                      |                              |
| A380-841 | ICAO_A     | 8              | 2        | Montée       | Maxi décollage | D_1+F   | 1 500                     |                            |                      |                              |
| A380-841 | ICAO_A     | 8              | 3        | Montée       | Maxi montée    | D_1+F   | 3 000                     |                            |                      |                              |
| A380-841 | ICAO_A     | 8              | 4        | Accélération | Maxi montée    | D_1     |                           | 587,9                      | 220                  |                              |
| A380-841 | ICAO_A     | 8              | 5        | Accélération | Maxi montée    | D_1     |                           | 722,8                      | 249,2                |                              |
| A380-841 | ICAO_A     | 8              | 6        | Accélération | Maxi montée    | ZERO    |                           | 762,6                      | 250                  |                              |
| A380-841 | ICAO_A     | 8              | 7        | Montée       | Maxi montée    | ZERO    | 10 000                    |                            |                      |                              |
| A380-841 | ICAO_B     | 1              | 1        | Décollage    | Maxi décollage | D_1+F   |                           |                            |                      |                              |
| A380-841 | ICAO_B     | 1              | 2        | Montée       | Maxi décollage | D_1+F   | 1 000                     |                            |                      |                              |
| A380-841 | ICAO_B     | 1              | 3        | Accélération | Maxi décollage | D_1+F   |                           | 1 085                      | 175,1                |                              |
| A380-841 | ICAO_B     | 1              | 4        | Accélération | Maxi décollage | D_1     |                           | 1 306                      | 238,9                |                              |
| A380-841 | ICAO_B     | 1              | 5        | Montée       | Maxi montée    | D_1     | 3 000                     |                            |                      |                              |
| A380-841 | ICAO_B     | 1              | 6        | Accélération | Maxi montée    | ZERO    |                           | 1 497,8                    | 250                  |                              |
| A380-841 | ICAO_B     | 1              | 7        | Montée       | Maxi montée    | ZERO    | 10 000                    |                            |                      |                              |

| ACFTID   | Profile_ID | Longueur phase | N° étape | Type étape   | Indice poussée | Flap_ID | Altitude point final (ft) | Vitesse de montée (ft/min) | CAS point final (kt) | Pourcentage_accélération (%) |
|----------|------------|----------------|----------|--------------|----------------|---------|---------------------------|----------------------------|----------------------|------------------------------|
| A380-841 | ICAO_B     | 2              | 1        | Décollage    | Maxi décollage | D_1+F   |                           |                            |                      |                              |
| A380-841 | ICAO_B     | 2              | 2        | Montée       | Maxi décollage | D_1+F   | 1 000                     |                            |                      |                              |
| A380-841 | ICAO_B     | 2              | 3        | Accélération | Maxi décollage | D_1+F   |                           | 1 054                      | 177,6                |                              |
| A380-841 | ICAO_B     | 2              | 4        | Accélération | Maxi décollage | D_1     |                           | 1 262,8                    | 238,9                |                              |
| A380-841 | ICAO_B     | 2              | 5        | Montée       | Maxi montée    | D_1     | 3 000                     |                            |                      |                              |
| A380-841 | ICAO_B     | 2              | 6        | Accélération | Maxi montée    | ZERO    |                           | 1 444,8                    | 250                  |                              |
| A380-841 | ICAO_B     | 2              | 7        | Montée       | Maxi montée    | ZERO    | 10 000                    |                            |                      |                              |
| A380-841 | ICAO_B     | 3              | 1        | Décollage    | Maxi décollage | D_1+F   |                           |                            |                      |                              |
| A380-841 | ICAO_B     | 3              | 2        | Montée       | Maxi décollage | D_1+F   | 1 000                     |                            |                      |                              |
| A380-841 | ICAO_B     | 3              | 3        | Accélération | Maxi décollage | D_1+F   |                           | 1 022,1                    | 180,2                |                              |
| A380-841 | ICAO_B     | 3              | 4        | Accélération | Maxi décollage | D_1     |                           | 1 220,9                    | 239,1                |                              |
| A380-841 | ICAO_B     | 3              | 5        | Montée       | Maxi montée    | D_1     | 3 000                     |                            |                      |                              |
| A380-841 | ICAO_B     | 3              | 6        | Accélération | Maxi montée    | ZERO    |                           | 1 394,3                    | 250                  |                              |
| A380-841 | ICAO_B     | 3              | 7        | Montée       | Maxi montée    | ZERO    | 10 000                    |                            |                      |                              |
| A380-841 | ICAO_B     | 4              | 1        | Décollage    | Maxi décollage | D_1+F   |                           |                            |                      |                              |
| A380-841 | ICAO_B     | 4              | 2        | Montée       | Maxi décollage | D_1+F   | 1 000                     |                            |                      |                              |
| A380-841 | ICAO_B     | 4              | 3        | Accélération | Maxi décollage | D_1+F   |                           | 975,4                      | 184,8                |                              |
| A380-841 | ICAO_B     | 4              | 4        | Accélération | Maxi décollage | D_1     |                           | 1 152,5                    | 239,6                |                              |
| A380-841 | ICAO_B     | 4              | 5        | Montée       | Maxi montée    | D_1     | 3 000                     |                            |                      |                              |
| A380-841 | ICAO_B     | 4              | 6        | Accélération | Maxi montée    | ZERO    |                           | 1 313,6                    | 250                  |                              |

| ACFTID   | Profile_ID | Longueur phase | N° étape | Type étape   | Indice poussée | Flap_ID | Altitude point final (ft) | Vitesse de montée (ft/min) | CAS point final (kt) | Pourcentage accélération (%) |
|----------|------------|----------------|----------|--------------|----------------|---------|---------------------------|----------------------------|----------------------|------------------------------|
| A380-841 | ICAO_B     | 4              | 7        | Montée       | Maxi montée    | ZERO    | 10 000                    |                            |                      |                              |
| A380-841 | ICAO_B     | 5              | 1        | Décollage    | Maxi décollage | D_1+F   |                           |                            |                      |                              |
| A380-841 | ICAO_B     | 5              | 2        | Montée       | Maxi décollage | D_1+F   | 1 000                     |                            |                      |                              |
| A380-841 | ICAO_B     | 5              | 3        | Accélération | Maxi décollage | D_1+F   |                           | 908,1                      | 190,6                |                              |
| A380-841 | ICAO_B     | 5              | 4        | Accélération | Maxi décollage | D_1     |                           | 1 072,2                    | 240,8                |                              |
| A380-841 | ICAO_B     | 5              | 5        | Montée       | Maxi montée    | D_1     | 3 000                     |                            |                      |                              |
| A380-841 | ICAO_B     | 5              | 6        | Accélération | Maxi montée    | ZERO    |                           | 1 220,7                    | 250                  |                              |
| A380-841 | ICAO_B     | 5              | 7        | Montée       | Maxi montée    | ZERO    | 10 000                    |                            |                      |                              |
| A380-841 | ICAO_B     | 6              | 1        | Décollage    | Maxi décollage | D_1+F   |                           |                            |                      |                              |
| A380-841 | ICAO_B     | 6              | 2        | Montée       | Maxi décollage | D_1+F   | 1 000                     |                            |                      |                              |
| A380-841 | ICAO_B     | 6              | 3        | Accélération | Maxi décollage | D_1+F   |                           | 843                        | 196,7                |                              |
| A380-841 | ICAO_B     | 6              | 4        | Accélération | Maxi décollage | D_1     |                           | 994,4                      | 242,4                |                              |
| A380-841 | ICAO_B     | 6              | 5        | Montée       | Maxi montée    | D_1     | 3 000                     |                            |                      |                              |
| A380-841 | ICAO_B     | 6              | 6        | Accélération | Maxi montée    | ZERO    |                           | 1 134,1                    | 250                  |                              |
| A380-841 | ICAO_B     | 6              | 7        | Montée       | Maxi montée    | ZERO    | 10 000                    |                            |                      |                              |
| A380-841 | ICAO_B     | 7              | 1        | Décollage    | Maxi décollage | D_1+F   |                           |                            |                      |                              |
| A380-841 | ICAO_B     | 7              | 2        | Montée       | Maxi décollage | D_1+F   | 1 000                     |                            |                      |                              |
| A380-841 | ICAO_B     | 7              | 3        | Accélération | Maxi décollage | D_1+F   |                           | 783                        | 202,7                |                              |
| A380-841 | ICAO_B     | 7              | 4        | Accélération | Maxi décollage | D_1     |                           | 925                        | 244,4                |                              |
| A380-841 | ICAO_B     | 7              | 5        | Montée       | Maxi montée    | D_1     | 3 000                     |                            |                      |                              |

| ACFTID   | Profile_ID | Longueur phase | N° étape | Type étape   | Indice poussée | Flap_ID | Altitude point final (ft) | Vitesse de montée (ft/min) | CAS point final (kt) | Pourcentage accélération (%) |
|----------|------------|----------------|----------|--------------|----------------|---------|---------------------------|----------------------------|----------------------|------------------------------|
| A380-841 | ICAO_B     | 7              | 6        | Accélération | Maxi montée    | ZERO    |                           | 1 065,1                    | 250                  |                              |
| A380-841 | ICAO_B     | 7              | 7        | Montée       | Maxi montée    | ZERO    | 10 000                    |                            |                      |                              |
| A380-841 | ICAO_B     | 8              | 1        | Décollage    | Maxi décollage | D_1+F   |                           |                            |                      |                              |
| A380-841 | ICAO_B     | 8              | 2        | Montée       | Maxi décollage | D_1+F   | 1 000                     |                            |                      |                              |
| A380-841 | ICAO_B     | 8              | 3        | Accélération | Maxi décollage | D_1+F   |                           | 622,4                      | 220                  |                              |
| A380-841 | ICAO_B     | 8              | 4        | Accélération | Maxi décollage | D_1     |                           | 744,8                      | 251,7                |                              |
| A380-841 | ICAO_B     | 8              | 5        | Montée       | Maxi montée    | D_1     | 3 000                     |                            |                      |                              |
| A380-841 | ICAO_B     | 8              | 6        | Montée       | Maxi montée    | ZERO    | 10 000                    |                            |                      |                              |
| A380-861 | DEFAULT    | 1              | 1        | Décollage    | Maxi décollage | D_1+F   |                           |                            |                      |                              |
| A380-861 | DEFAULT    | 1              | 2        | Montée       | Maxi décollage | D_1+F   | 1 000                     |                            |                      |                              |
| A380-861 | DEFAULT    | 1              | 3        | Accélération | Maxi décollage | D_1+F   |                           | 1 086                      | 175,1                |                              |
| A380-861 | DEFAULT    | 1              | 4        | Accélération | Maxi décollage | D_1     |                           | 1 312,2                    | 239,2                |                              |
| A380-861 | DEFAULT    | 1              | 5        | Montée       | Maxi montée    | D_1     | 3 000                     |                            |                      |                              |
| A380-861 | DEFAULT    | 1              | 6        | Accélération | Maxi montée    | ZERO    |                           | 1 499,1                    | 250                  |                              |
| A380-861 | DEFAULT    | 1              | 7        | Montée       | Maxi montée    | ZERO    | 10 000                    |                            |                      |                              |
| A380-861 | DEFAULT    | 2              | 1        | Décollage    | Maxi décollage | D_1+F   |                           |                            |                      |                              |
| A380-861 | DEFAULT    | 2              | 2        | Montée       | Maxi décollage | D_1+F   | 1 000                     |                            |                      |                              |
| A380-861 | DEFAULT    | 2              | 3        | Accélération | Maxi décollage | D_1+F   |                           | 1 056                      | 177,6                |                              |
| A380-861 | DEFAULT    | 2              | 4        | Accélération | Maxi décollage | D_1     |                           | 1 269                      | 239,2                |                              |
| A380-861 | DEFAULT    | 2              | 5        | Montée       | Maxi montée    | D_1     | 3 000                     |                            |                      |                              |

| ACFTID   | Profile_ID | Longueur phase | N° étape | Type étape   | Indice poussée | Flap_ID | Altitude point final (ft) | Vitesse de montée (ft/min) | CAS point final (kt) | Pourcentage accélération (%) |
|----------|------------|----------------|----------|--------------|----------------|---------|---------------------------|----------------------------|----------------------|------------------------------|
| A380-861 | DEFAULT    | 2              | 6        | Accélération | Maxi montée    | ZERO    |                           | 1 446,4                    | 250                  |                              |
| A380-861 | DEFAULT    | 2              | 7        | Montée       | Maxi montée    | ZERO    | 10 000                    |                            |                      |                              |
| A380-861 | DEFAULT    | 3              | 1        | Décollage    | Maxi décollage | D_1+F   |                           |                            |                      |                              |
| A380-861 | DEFAULT    | 3              | 2        | Montée       | Maxi décollage | D_1+F   | 1 000                     |                            |                      |                              |
| A380-861 | DEFAULT    | 3              | 3        | Accélération | Maxi décollage | D_1+F   |                           | 1 024,4                    | 180,2                |                              |
| A380-861 | DEFAULT    | 3              | 4        | Accélération | Maxi décollage | D_1     |                           | 1 226,4                    | 239,2                |                              |
| A380-861 | DEFAULT    | 3              | 5        | Montée       | Maxi montée    | D_1     | 3 000                     |                            |                      |                              |
| A380-861 | DEFAULT    | 3              | 6        | Accélération | Maxi montée    | ZERO    |                           | 1 394,9                    | 250                  |                              |
| A380-861 | DEFAULT    | 3              | 7        | Montée       | Maxi montée    | ZERO    | 10 000                    |                            |                      |                              |
| A380-861 | DEFAULT    | 4              | 1        | Décollage    | Maxi décollage | D_1+F   |                           |                            |                      |                              |
| A380-861 | DEFAULT    | 4              | 2        | Montée       | Maxi décollage | D_1+F   | 1 000                     |                            |                      |                              |
| A380-861 | DEFAULT    | 4              | 3        | Accélération | Maxi décollage | D_1+F   |                           | 972,5                      | 184,7                |                              |
| A380-861 | DEFAULT    | 4              | 4        | Accélération | Maxi décollage | D_1     |                           | 1 158,3                    | 239,8                |                              |
| A380-861 | DEFAULT    | 4              | 5        | Montée       | Maxi montée    | D_1     | 3 000                     |                            |                      |                              |
| A380-861 | DEFAULT    | 4              | 6        | Accélération | Maxi montée    | ZERO    |                           | 1 315,9                    | 250                  |                              |
| A380-861 | DEFAULT    | 4              | 7        | Montée       | Maxi montée    | ZERO    | 10 000                    |                            |                      |                              |
| A380-861 | DEFAULT    | 5              | 1        | Décollage    | Maxi décollage | D_1+F   |                           |                            |                      |                              |
| A380-861 | DEFAULT    | 5              | 2        | Montée       | Maxi décollage | D_1+F   | 1 000                     |                            |                      |                              |
| A380-861 | DEFAULT    | 5              | 3        | Accélération | Maxi décollage | D_1+F   |                           | 906,2                      | 190,4                |                              |
| A380-861 | DEFAULT    | 5              | 4        | Accélération | Maxi décollage | D_1     |                           | 1 080,4                    | 240,9                |                              |

| ACFTID   | Profile_ID | Longueur phase | N° étape | Type étape   | Indice poussée | Flap_ID | Altitude point final (ft) | Vitesse de montée (ft/min) | CAS point final (kt) | Pourcentage accélération (%) |
|----------|------------|----------------|----------|--------------|----------------|---------|---------------------------|----------------------------|----------------------|------------------------------|
| A380-861 | DEFAULT    | 5              | 5        | Montée       | Maxi montée    | D_1     | 3 000                     |                            |                      |                              |
| A380-861 | DEFAULT    | 5              | 6        | Accélération | Maxi montée    | ZERO    |                           | 1 225,2                    | 250                  |                              |
| A380-861 | DEFAULT    | 5              | 7        | Montée       | Maxi montée    | ZERO    | 10 000                    |                            |                      |                              |
| A380-861 | DEFAULT    | 6              | 1        | Décollage    | Maxi décollage | D_1+F   |                           |                            |                      |                              |
| A380-861 | DEFAULT    | 6              | 2        | Montée       | Maxi décollage | D_1+F   | 1 000                     |                            |                      |                              |
| A380-861 | DEFAULT    | 6              | 3        | Accélération | Maxi décollage | D_1+F   |                           | 840                        | 196,4                |                              |
| A380-861 | DEFAULT    | 6              | 4        | Accélération | Maxi décollage | D_1     |                           | 1 003                      | 242,5                |                              |
| A380-861 | DEFAULT    | 6              | 5        | Montée       | Maxi montée    | D_1     | 3 000                     |                            |                      |                              |
| A380-861 | DEFAULT    | 6              | 6        | Accélération | Maxi montée    | ZERO    |                           | 1 139                      | 250                  |                              |
| A380-861 | DEFAULT    | 6              | 7        | Montée       | Maxi montée    | ZERO    | 10 000                    |                            |                      |                              |
| A380-861 | DEFAULT    | 7              | 1        | Décollage    | Maxi décollage | D_1+F   |                           |                            |                      |                              |
| A380-861 | DEFAULT    | 7              | 2        | Montée       | Maxi décollage | D_1+F   | 1 000                     |                            |                      |                              |
| A380-861 | DEFAULT    | 7              | 3        | Accélération | Maxi décollage | D_1+F   |                           | 777,6                      | 202,7                |                              |
| A380-861 | DEFAULT    | 7              | 4        | Accélération | Maxi décollage | D_1     |                           | 930,4                      | 244,6                |                              |
| A380-861 | DEFAULT    | 7              | 5        | Montée       | Maxi montée    | D_1     | 3 000                     |                            |                      |                              |
| A380-861 | DEFAULT    | 7              | 6        | Accélération | Maxi montée    | ZERO    |                           | 1 063,2                    | 250                  |                              |
| A380-861 | DEFAULT    | 7              | 7        | Montée       | Maxi montée    | ZERO    | 10 000                    |                            |                      |                              |
| A380-861 | DEFAULT    | 8              | 1        | Décollage    | Maxi décollage | D_1+F   |                           |                            |                      |                              |
| A380-861 | DEFAULT    | 8              | 2        | Montée       | Maxi décollage | D_1+F   | 1 000                     |                            |                      |                              |
| A380-861 | DEFAULT    | 8              | 3        | Accélération | Maxi décollage | D_1+F   |                           | 618,5                      | 220                  |                              |

| ACFTID   | Profile_ID | Longueur phase | N° étape | Type étape   | Indice poussée | Flap_ID | Altitude point final (ft) | Vitesse de montée (ft/min) | CAS point final (kt) | Pourcentage accélération (%) |
|----------|------------|----------------|----------|--------------|----------------|---------|---------------------------|----------------------------|----------------------|------------------------------|
| A380-861 | DEFAULT    | 8              | 4        | Accélération | Maxi décollage | D_1     |                           | 746,6                      | 251,8                |                              |
| A380-861 | DEFAULT    | 8              | 5        | Montée       | Maxi montée    | D_1     | 3 000                     |                            |                      |                              |
| A380-861 | DEFAULT    | 8              | 6        | Montée       | Maxi montée    | ZERO    | 10 000                    |                            |                      |                              |
| A380-861 | ICAO_A     | 1              | 1        | Décollage    | Maxi décollage | D_1+F   |                           |                            |                      |                              |
| A380-861 | ICAO_A     | 1              | 2        | Montée       | Maxi décollage | D_1+F   | 1 500                     |                            |                      |                              |
| A380-861 | ICAO_A     | 1              | 3        | Montée       | Maxi montée    | D_1+F   | 3 000                     |                            |                      |                              |
| A380-861 | ICAO_A     | 1              | 4        | Accélération | Maxi montée    | D_1     |                           | 1 057,7                    | 175,1                |                              |
| A380-861 | ICAO_A     | 1              | 5        | Accélération | Maxi montée    | D_1     |                           | 1 257,2                    | 233,9                |                              |
| A380-861 | ICAO_A     | 1              | 6        | Accélération | Maxi montée    | ZERO    |                           | 1 386,8                    | 250                  |                              |
| A380-861 | ICAO_A     | 1              | 7        | Montée       | Maxi montée    | ZERO    | 10 000                    |                            |                      |                              |
| A380-861 | ICAO_A     | 2              | 1        | Décollage    | Maxi décollage | D_1+F   |                           |                            |                      |                              |
| A380-861 | ICAO_A     | 2              | 2        | Montée       | Maxi décollage | D_1+F   | 1 500                     |                            |                      |                              |
| A380-861 | ICAO_A     | 2              | 3        | Montée       | Maxi montée    | D_1+F   | 3 000                     |                            |                      |                              |
| A380-861 | ICAO_A     | 2              | 4        | Accélération | Maxi montée    | D_1     |                           | 1 012,5                    | 177,6                |                              |
| A380-861 | ICAO_A     | 2              | 5        | Accélération | Maxi montée    | D_1     |                           | 1 208,1                    | 233,8                |                              |
| A380-861 | ICAO_A     | 2              | 6        | Accélération | Maxi montée    | ZERO    |                           | 1 339,4                    | 250                  |                              |
| A380-861 | ICAO_A     | 2              | 7        | Montée       | Maxi montée    | ZERO    | 10 000                    |                            |                      |                              |
| A380-861 | ICAO_A     | 3              | 1        | Décollage    | Maxi décollage | D_1+F   |                           |                            |                      |                              |
| A380-861 | ICAO_A     | 3              | 2        | Montée       | Maxi décollage | D_1+F   | 1 500                     |                            |                      |                              |
| A380-861 | ICAO_A     | 3              | 3        | Montée       | Maxi montée    | D_1+F   | 3 000                     |                            |                      |                              |

| ACFTID   | Profile_ID | Longueur phase | N° étape | Type étape   | Indice poussée | Flap_ID | Altitude point final (ft) | Vitesse de montée (ft/min) | CAS point final (kt) | Pourcentage accélération (%) |
|----------|------------|----------------|----------|--------------|----------------|---------|---------------------------|----------------------------|----------------------|------------------------------|
| A380-861 | ICAO_A     | 3              | 4        | Accélération | Maxi montée    | D_1     |                           | 970                        | 180,2                |                              |
| A380-861 | ICAO_A     | 3              | 5        | Accélération | Maxi montée    | D_1     |                           | 1 168,2                    | 234,1                |                              |
| A380-861 | ICAO_A     | 3              | 6        | Accélération | Maxi montée    | ZERO    |                           | 1 293                      | 250                  |                              |
| A380-861 | ICAO_A     | 3              | 7        | Montée       | Maxi montée    | ZERO    | 10 000                    |                            |                      |                              |
| A380-861 | ICAO_A     | 4              | 1        | Décollage    | Maxi décollage | D_1+F   |                           |                            |                      |                              |
| A380-861 | ICAO_A     | 4              | 2        | Montée       | Maxi décollage | D_1+F   | 1 500                     |                            |                      |                              |
| A380-861 | ICAO_A     | 4              | 3        | Montée       | Maxi montée    | D_1+F   | 3 000                     |                            |                      |                              |
| A380-861 | ICAO_A     | 4              | 4        | Accélération | Maxi montée    | D_1     |                           | 908,4                      | 184,8                |                              |
| A380-861 | ICAO_A     | 4              | 5        | Accélération | Maxi montée    | D_1     |                           | 1 103,5                    | 235                  |                              |
| A380-861 | ICAO_A     | 4              | 6        | Accélération | Maxi montée    | ZERO    |                           | 1 216,8                    | 250                  |                              |
| A380-861 | ICAO_A     | 4              | 7        | Montée       | Maxi montée    | ZERO    | 10 000                    |                            |                      |                              |
| A380-861 | ICAO_A     | 5              | 1        | Décollage    | Maxi décollage | D_1+F   |                           |                            |                      |                              |
| A380-861 | ICAO_A     | 5              | 2        | Montée       | Maxi décollage | D_1+F   | 1 500                     |                            |                      |                              |
| A380-861 | ICAO_A     | 5              | 3        | Montée       | Maxi montée    | D_1+F   | 3 000                     |                            |                      |                              |
| A380-861 | ICAO_A     | 5              | 4        | Accélération | Maxi montée    | D_1     |                           | 847,3                      | 190,5                |                              |
| A380-861 | ICAO_A     | 5              | 5        | Accélération | Maxi montée    | D_1     |                           | 1 029,6                    | 236,5                |                              |
| A380-861 | ICAO_A     | 5              | 6        | Accélération | Maxi montée    | ZERO    |                           | 1 129,4                    | 250                  |                              |
| A380-861 | ICAO_A     | 5              | 7        | Montée       | Maxi montée    | ZERO    | 10 000                    |                            |                      |                              |
| A380-861 | ICAO_A     | 6              | 1        | Décollage    | Maxi décollage | D_1+F   |                           |                            |                      |                              |
| A380-861 | ICAO_A     | 6              | 2        | Montée       | Maxi décollage | D_1+F   | 1 500                     |                            |                      |                              |

| ACFTID   | Profile_ID | Longueur phase | N° étape | Type étape   | Indice poussée | Flap_ID | Altitude point final (ft) | Vitesse de montée (ft/min) | CAS point final (kt) | Pourcentage accélération (%) |
|----------|------------|----------------|----------|--------------|----------------|---------|---------------------------|----------------------------|----------------------|------------------------------|
| A380-861 | ICAO_A     | 6              | 3        | Montée       | Maxi montée    | D_1+F   | 3 000                     |                            |                      |                              |
| A380-861 | ICAO_A     | 6              | 4        | Accélération | Maxi montée    | D_1     |                           | 786                        | 196,7                |                              |
| A380-861 | ICAO_A     | 6              | 5        | Accélération | Maxi montée    | D_1     |                           | 955,7                      | 238,5                |                              |
| A380-861 | ICAO_A     | 6              | 6        | Accélération | Maxi montée    | ZERO    |                           | 1 041,8                    | 250                  |                              |
| A380-861 | ICAO_A     | 6              | 7        | Montée       | Maxi montée    | ZERO    | 10 000                    |                            |                      |                              |
| A380-861 | ICAO_A     | 7              | 1        | Décollage    | Maxi décollage | D_1+F   |                           |                            |                      |                              |
| A380-861 | ICAO_A     | 7              | 2        | Montée       | Maxi décollage | D_1+F   | 1 500                     |                            |                      |                              |
| A380-861 | ICAO_A     | 7              | 3        | Montée       | Maxi montée    | D_1+F   | 3 000                     |                            |                      |                              |
| A380-861 | ICAO_A     | 7              | 4        | Accélération | Maxi montée    | D_1     |                           | 728,1                      | 203,1                |                              |
| A380-861 | ICAO_A     | 7              | 5        | Accélération | Maxi montée    | D_1     |                           | 886,1                      | 241,1                |                              |
| A380-861 | ICAO_A     | 7              | 6        | Accélération | Maxi montée    | ZERO    |                           | 959,3                      | 250                  |                              |
| A380-861 | ICAO_A     | 7              | 7        | Montée       | Maxi montée    | ZERO    | 10 000                    |                            |                      |                              |
| A380-861 | ICAO_A     | 8              | 1        | Décollage    | Maxi décollage | D_1+F   |                           |                            |                      |                              |
| A380-861 | ICAO_A     | 8              | 2        | Montée       | Maxi décollage | D_1+F   | 1 500                     |                            |                      |                              |
| A380-861 | ICAO_A     | 8              | 3        | Montée       | Maxi montée    | D_1+F   | 3 000                     |                            |                      |                              |
| A380-861 | ICAO_A     | 8              | 4        | Accélération | Maxi montée    | D_1     |                           | 577,2                      | 220                  |                              |
| A380-861 | ICAO_A     | 8              | 5        | Accélération | Maxi montée    | D_1     |                           | 705,6                      | 248,6                |                              |
| A380-861 | ICAO_A     | 8              | 6        | Accélération | Maxi montée    | ZERO    |                           | 749,1                      | 250                  |                              |
| A380-861 | ICAO_A     | 8              | 7        | Montée       | Maxi montée    | ZERO    | 10 000                    |                            |                      |                              |
| A380-861 | ICAO_B     | 1              | 1        | Décollage    | Maxi décollage | D_1+F   |                           |                            |                      |                              |

| ACFTID   | Profile_ID | Longueur phase | N° étape | Type étape   | Indice poussée | Flap_ID | Altitude point final (ft) | Vitesse de montée (ft/min) | CAS point final (kt) | Pourcentage accélération (%) |
|----------|------------|----------------|----------|--------------|----------------|---------|---------------------------|----------------------------|----------------------|------------------------------|
| A380-861 | ICAO_B     | 1              | 2        | Montée       | Maxi décollage | D_1+F   | 1 000                     |                            |                      |                              |
| A380-861 | ICAO_B     | 1              | 3        | Accélération | Maxi décollage | D_1+F   |                           | 1 086                      | 175,1                |                              |
| A380-861 | ICAO_B     | 1              | 4        | Accélération | Maxi décollage | D_1     |                           | 1 312,2                    | 239,2                |                              |
| A380-861 | ICAO_B     | 1              | 5        | Montée       | Maxi montée    | D_1     | 3 000                     |                            |                      |                              |
| A380-861 | ICAO_B     | 1              | 6        | Accélération | Maxi montée    | ZERO    |                           | 1 499,1                    | 250                  |                              |
| A380-861 | ICAO_B     | 1              | 7        | Montée       | Maxi montée    | ZERO    | 10 000                    |                            |                      |                              |
| A380-861 | ICAO_B     | 2              | 1        | Décollage    | Maxi décollage | D_1+F   |                           |                            |                      |                              |
| A380-861 | ICAO_B     | 2              | 2        | Montée       | Maxi décollage | D_1+F   | 1 000                     |                            |                      |                              |
| A380-861 | ICAO_B     | 2              | 3        | Accélération | Maxi décollage | D_1+F   |                           | 1 056                      | 177,6                |                              |
| A380-861 | ICAO_B     | 2              | 4        | Accélération | Maxi décollage | D_1     |                           | 1 269                      | 239,2                |                              |
| A380-861 | ICAO_B     | 2              | 5        | Montée       | Maxi montée    | D_1     | 3 000                     |                            |                      |                              |
| A380-861 | ICAO_B     | 2              | 6        | Accélération | Maxi montée    | ZERO    |                           | 1 446,4                    | 250                  |                              |
| A380-861 | ICAO_B     | 2              | 7        | Montée       | Maxi montée    | ZERO    | 10 000                    |                            |                      |                              |
| A380-861 | ICAO_B     | 3              | 1        | Décollage    | Maxi décollage | D_1+F   |                           |                            |                      |                              |
| A380-861 | ICAO_B     | 3              | 2        | Montée       | Maxi décollage | D_1+F   | 1 000                     |                            |                      |                              |
| A380-861 | ICAO_B     | 3              | 3        | Accélération | Maxi décollage | D_1+F   |                           | 1 024,4                    | 180,2                |                              |
| A380-861 | ICAO_B     | 3              | 4        | Accélération | Maxi décollage | D_1     |                           | 1 226,4                    | 239,2                |                              |
| A380-861 | ICAO_B     | 3              | 5        | Montée       | Maxi montée    | D_1     | 3 000                     |                            |                      |                              |
| A380-861 | ICAO_B     | 3              | 6        | Accélération | Maxi montée    | ZERO    |                           | 1 394,9                    | 250                  |                              |
| A380-861 | ICAO_B     | 3              | 7        | Montée       | Maxi montée    | ZERO    | 10 000                    |                            |                      |                              |

| ACFTID   | Profile_ID | Longueur phase | N° étape | Type étape   | Indice poussée | Flap_ID | Altitude point final (ft) | Vitesse de montée (ft/min) | CAS point final (kt) | Pourcentage accélération (%) |
|----------|------------|----------------|----------|--------------|----------------|---------|---------------------------|----------------------------|----------------------|------------------------------|
| A380-861 | ICAO_B     | 4              | 1        | Décollage    | Maxi décollage | D_1+F   |                           |                            |                      |                              |
| A380-861 | ICAO_B     | 4              | 2        | Montée       | Maxi décollage | D_1+F   | 1 000                     |                            |                      |                              |
| A380-861 | ICAO_B     | 4              | 3        | Accélération | Maxi décollage | D_1+F   |                           | 972,5                      | 184,7                |                              |
| A380-861 | ICAO_B     | 4              | 4        | Accélération | Maxi décollage | D_1     |                           | 1 158,3                    | 239,8                |                              |
| A380-861 | ICAO_B     | 4              | 5        | Montée       | Maxi montée    | D_1     | 3 000                     |                            |                      |                              |
| A380-861 | ICAO_B     | 4              | 6        | Accélération | Maxi montée    | ZERO    |                           | 1 315,9                    | 250                  |                              |
| A380-861 | ICAO_B     | 4              | 7        | Montée       | Maxi montée    | ZERO    | 10 000                    |                            |                      |                              |
| A380-861 | ICAO_B     | 5              | 1        | Décollage    | Maxi décollage | D_1+F   |                           |                            |                      |                              |
| A380-861 | ICAO_B     | 5              | 2        | Montée       | Maxi décollage | D_1+F   | 1 000                     |                            |                      |                              |
| A380-861 | ICAO_B     | 5              | 3        | Accélération | Maxi décollage | D_1+F   |                           | 906,2                      | 190,4                |                              |
| A380-861 | ICAO_B     | 5              | 4        | Accélération | Maxi décollage | D_1     |                           | 1 080,4                    | 240,9                |                              |
| A380-861 | ICAO_B     | 5              | 5        | Montée       | Maxi montée    | D_1     | 3 000                     |                            |                      |                              |
| A380-861 | ICAO_B     | 5              | 6        | Accélération | Maxi montée    | ZERO    |                           | 1 225,2                    | 250                  |                              |
| A380-861 | ICAO_B     | 5              | 7        | Montée       | Maxi montée    | ZERO    | 10 000                    |                            |                      |                              |
| A380-861 | ICAO_B     | 6              | 1        | Décollage    | Maxi décollage | D_1+F   |                           |                            |                      |                              |
| A380-861 | ICAO_B     | 6              | 2        | Montée       | Maxi décollage | D_1+F   | 1 000                     |                            |                      |                              |
| A380-861 | ICAO_B     | 6              | 3        | Accélération | Maxi décollage | D_1+F   |                           | 840                        | 196,4                |                              |
| A380-861 | ICAO_B     | 6              | 4        | Accélération | Maxi décollage | D_1     |                           | 1 003                      | 242,5                |                              |
| A380-861 | ICAO_B     | 6              | 5        | Montée       | Maxi montée    | D_1     | 3 000                     |                            |                      |                              |
| A380-861 | ICAO_B     | 6              | 6        | Accélération | Maxi montée    | ZERO    |                           | 1 139                      | 250                  |                              |

| ACFTID   | Profile_ID | Longueur phase | N° étape | Type étape   | Indice poussée | Flap_ID | Altitude point final (ft) | Vitesse de montée (ft/min) | CAS point final (kt) | Pourcentage accélération (%) |
|----------|------------|----------------|----------|--------------|----------------|---------|---------------------------|----------------------------|----------------------|------------------------------|
| A380-861 | ICAO_B     | 6              | 7        | Montée       | Maxi montée    | ZERO    | 10 000                    |                            |                      |                              |
| A380-861 | ICAO_B     | 7              | 1        | Décollage    | Maxi décollage | D_1+F   |                           |                            |                      |                              |
| A380-861 | ICAO_B     | 7              | 2        | Montée       | Maxi décollage | D_1+F   | 1 000                     |                            |                      |                              |
| A380-861 | ICAO_B     | 7              | 3        | Accélération | Maxi décollage | D_1+F   |                           | 777,6                      | 202,7                |                              |
| A380-861 | ICAO_B     | 7              | 4        | Accélération | Maxi décollage | D_1     |                           | 930,4                      | 244,6                |                              |
| A380-861 | ICAO_B     | 7              | 5        | Montée       | Maxi montée    | D_1     | 3 000                     |                            |                      |                              |
| A380-861 | ICAO_B     | 7              | 6        | Accélération | Maxi montée    | ZERO    |                           | 1 063,2                    | 250                  |                              |
| A380-861 | ICAO_B     | 7              | 7        | Montée       | Maxi montée    | ZERO    | 10 000                    |                            |                      |                              |
| A380-861 | ICAO_B     | 8              | 1        | Décollage    | Maxi décollage | D_1+F   |                           |                            |                      |                              |
| A380-861 | ICAO_B     | 8              | 2        | Montée       | Maxi décollage | D_1+F   | 1 000                     |                            |                      |                              |
| A380-861 | ICAO_B     | 8              | 3        | Accélération | Maxi décollage | D_1+F   |                           | 618,5                      | 220                  |                              |
| A380-861 | ICAO_B     | 8              | 4        | Accélération | Maxi décollage | D_1     |                           | 746,6                      | 251,8                |                              |
| A380-861 | ICAO_B     | 8              | 5        | Montée       | Maxi montée    | D_1     | 3 000                     |                            |                      |                              |
| A380-861 | ICAO_B     | 8              | 6        | Montée       | Maxi montée    | ZERO    | 10 000                    |                            |                      |                              |
| BAC111   | DEFAULT    | 1              | 1        | Décollage    | Maxi décollage | 8       |                           |                            |                      |                              |
| BAC111   | DEFAULT    | 1              | 2        | Montée       | Maxi décollage | 8       | 1 000                     |                            |                      |                              |
| BAC111   | DEFAULT    | 1              | 3        | Accélération | Maxi décollage | 8       |                           | 1 942                      | 158                  |                              |
| BAC111   | DEFAULT    | 1              | 4        | Accélération | Maxi décollage | INT1    |                           | 1 457                      | 178                  |                              |
| BAC111   | DEFAULT    | 1              | 5        | Accélération | Maxi montée    | INT1    |                           | 1 000                      | 198                  |                              |
| BAC111   | DEFAULT    | 1              | 6        | Montée       | Maxi montée    | ZERO    | 3 000                     |                            |                      |                              |

| ACFTID | Profile_ID | Longueur phase | N° étape | Type étape   | Indice poussée | Flap_ID | Altitude point final (ft) | Vitesse de montée (ft/min) | CAS point final (kt) | Pourcentage accélération (%) |
|--------|------------|----------------|----------|--------------|----------------|---------|---------------------------|----------------------------|----------------------|------------------------------|
| BAC111 | DEFAULT    | 1              | 7        | Accélération | Maxi montée    | ZERO    |                           | 1 000                      | 250                  |                              |
| BAC111 | DEFAULT    | 1              | 8        | Montée       | Maxi montée    | ZERO    | 5 500                     |                            |                      |                              |
| BAC111 | DEFAULT    | 1              | 9        | Montée       | Maxi montée    | ZERO    | 7 500                     |                            |                      |                              |
| BAC111 | DEFAULT    | 1              | 10       | Montée       | Maxi montée    | ZERO    | 10 000                    |                            |                      |                              |
| BAC111 | DEFAULT    | 2              | 1        | Décollage    | Maxi décollage | 8       |                           |                            |                      |                              |
| BAC111 | DEFAULT    | 2              | 2        | Montée       | Maxi décollage | 8       | 1 000                     |                            |                      |                              |
| BAC111 | DEFAULT    | 2              | 3        | Accélération | Maxi décollage | 8       |                           | 1 809                      | 163                  |                              |
| BAC111 | DEFAULT    | 2              | 4        | Accélération | Maxi décollage | INT1    |                           | 1 357                      | 183                  |                              |
| BAC111 | DEFAULT    | 2              | 5        | Accélération | Maxi montée    | INT1    |                           | 1 000                      | 203                  |                              |
| BAC111 | DEFAULT    | 2              | 6        | Montée       | Maxi montée    | ZERO    | 3 000                     |                            |                      |                              |
| BAC111 | DEFAULT    | 2              | 7        | Accélération | Maxi montée    | ZERO    |                           | 1 000                      | 250                  |                              |
| BAC111 | DEFAULT    | 2              | 8        | Montée       | Maxi montée    | ZERO    | 5 500                     |                            |                      |                              |
| BAC111 | DEFAULT    | 2              | 9        | Montée       | Maxi montée    | ZERO    | 7 500                     |                            |                      |                              |
| BAC111 | DEFAULT    | 2              | 10       | Montée       | Maxi montée    | ZERO    | 10 000                    |                            |                      |                              |
| BAC111 | DEFAULT    | 3              | 1        | Décollage    | Maxi décollage | 8       |                           |                            |                      |                              |
| BAC111 | DEFAULT    | 3              | 2        | Montée       | Maxi décollage | 8       | 1 000                     |                            |                      |                              |
| BAC111 | DEFAULT    | 3              | 3        | Accélération | Maxi décollage | 8       |                           | 1 665                      | 169                  |                              |
| BAC111 | DEFAULT    | 3              | 4        | Accélération | Maxi décollage | INT1    |                           | 1 249                      | 189                  |                              |
| BAC111 | DEFAULT    | 3              | 5        | Accélération | Maxi montée    | INT1    |                           | 1 000                      | 209                  |                              |
| BAC111 | DEFAULT    | 3              | 6        | Montée       | Maxi montée    | ZERO    | 3 000                     |                            |                      |                              |

| ACFTID | Profile_ID | Longueur phase | N° étape | Type étape   | Indice poussée | Flap_ID | Altitude point final (ft) | Vitesse de montée (ft/min) | CAS point final (kt) | Pourcentage accélération (%) |
|--------|------------|----------------|----------|--------------|----------------|---------|---------------------------|----------------------------|----------------------|------------------------------|
| BAC111 | DEFAULT    | 3              | 7        | Accélération | Maxi montée    | ZERO    |                           | 1 000                      | 250                  |                              |
| BAC111 | DEFAULT    | 3              | 8        | Montée       | Maxi montée    | ZERO    | 5 500                     |                            |                      |                              |
| BAC111 | DEFAULT    | 3              | 9        | Montée       | Maxi montée    | ZERO    | 7 500                     |                            |                      |                              |
| BAC111 | DEFAULT    | 3              | 10       | Montée       | Maxi montée    | ZERO    | 10 000                    |                            |                      |                              |
| BAE146 | DEFAULT    | 1              | 1        | Décollage    | Maxi décollage | 18      |                           |                            |                      |                              |
| BAE146 | DEFAULT    | 1              | 2        | Montée       | Maxi décollage | 18      | 1 000                     |                            |                      |                              |
| BAE146 | DEFAULT    | 1              | 3        | Accélération | Maxi décollage | 18      |                           | 970                        | 171                  |                              |
| BAE146 | DEFAULT    | 1              | 4        | Accélération | Maxi montée    | ZERO    |                           | 900                        | 201                  |                              |
| BAE146 | DEFAULT    | 1              | 5        | Montée       | Maxi montée    | ZERO    | 3 000                     |                            |                      |                              |
| BAE146 | DEFAULT    | 1              | 6        | Accélération | Maxi montée    | ZERO    |                           | 900                        | 250                  |                              |
| BAE146 | DEFAULT    | 1              | 7        | Montée       | Maxi montée    | ZERO    | 5 500                     |                            |                      |                              |
| BAE146 | DEFAULT    | 1              | 8        | Montée       | Maxi montée    | ZERO    | 7 500                     |                            |                      |                              |
| BAE146 | DEFAULT    | 1              | 9        | Montée       | Maxi montée    | ZERO    | 10 000                    |                            |                      |                              |
| BAE146 | DEFAULT    | 2              | 1        | Décollage    | Maxi décollage | 18      |                           |                            |                      |                              |
| BAE146 | DEFAULT    | 2              | 2        | Montée       | Maxi décollage | 18      | 1 000                     |                            |                      |                              |
| BAE146 | DEFAULT    | 2              | 3        | Accélération | Maxi décollage | 18      |                           | 801                        | 178                  |                              |
| BAE146 | DEFAULT    | 2              | 4        | Accélération | Maxi montée    | ZERO    |                           | 750                        | 208                  |                              |
| BAE146 | DEFAULT    | 2              | 5        | Montée       | Maxi montée    | ZERO    | 3 000                     |                            |                      |                              |
| BAE146 | DEFAULT    | 2              | 6        | Accélération | Maxi montée    | ZERO    |                           | 750                        | 250                  |                              |
| BAE146 | DEFAULT    | 2              | 7        | Montée       | Maxi montée    | ZERO    | 5 500                     |                            |                      |                              |

| ACFTID | Profile_ID | Longueur phase | N° étape | Type étape   | Indice poussée | Flap_ID | Altitude point final (ft) | Vitesse de montée (ft/min) | CAS point final (kt) | Pourcentage accélération (%) |
|--------|------------|----------------|----------|--------------|----------------|---------|---------------------------|----------------------------|----------------------|------------------------------|
| BAE146 | DEFAULT    | 2              | 8        | Montée       | Maxi montée    | ZERO    | 7 500                     |                            |                      |                              |
| BAE146 | DEFAULT    | 2              | 9        | Montée       | Maxi montée    | ZERO    | 10 000                    |                            |                      |                              |
| BAE146 | DEFAULT    | 3              | 1        | Décollage    | Maxi décollage | 18      |                           |                            |                      |                              |
| BAE146 | DEFAULT    | 3              | 2        | Montée       | Maxi décollage | 18      | 1 000                     |                            |                      |                              |
| BAE146 | DEFAULT    | 3              | 3        | Accélération | Maxi décollage | 18      |                           | 671                        | 184                  |                              |
| BAE146 | DEFAULT    | 3              | 4        | Accélération | Maxi montée    | ZERO    |                           | 500                        | 214                  |                              |
| BAE146 | DEFAULT    | 3              | 5        | Montée       | Maxi montée    | ZERO    | 3 000                     |                            |                      |                              |
| BAE146 | DEFAULT    | 3              | 6        | Accélération | Maxi montée    | ZERO    |                           | 500                        | 250                  |                              |
| BAE146 | DEFAULT    | 3              | 7        | Montée       | Maxi montée    | ZERO    | 5 500                     |                            |                      |                              |
| BAE146 | DEFAULT    | 3              | 8        | Montée       | Maxi montée    | ZERO    | 7 500                     |                            |                      |                              |
| BAE146 | DEFAULT    | 3              | 9        | Montée       | Maxi montée    | ZERO    | 10 000                    |                            |                      |                              |
| BAE300 | DEFAULT    | 1              | 1        | Décollage    | Maxi décollage | 18      |                           |                            |                      |                              |
| BAE300 | DEFAULT    | 1              | 2        | Montée       | Maxi décollage | 18      | 1 000                     |                            |                      |                              |
| BAE300 | DEFAULT    | 1              | 3        | Accélération | Maxi décollage | 18      |                           | 920                        | 176                  |                              |
| BAE300 | DEFAULT    | 1              | 4        | Accélération | Maxi montée    | ZERO    |                           | 900                        | 206                  |                              |
| BAE300 | DEFAULT    | 1              | 5        | Montée       | Maxi montée    | ZERO    | 3 000                     |                            |                      |                              |
| BAE300 | DEFAULT    | 1              | 6        | Accélération | Maxi montée    | ZERO    |                           | 900                        | 250                  |                              |
| BAE300 | DEFAULT    | 1              | 7        | Montée       | Maxi montée    | ZERO    | 5 500                     |                            |                      |                              |
| BAE300 | DEFAULT    | 1              | 8        | Montée       | Maxi montée    | ZERO    | 7 500                     |                            |                      |                              |
| BAE300 | DEFAULT    | 1              | 9        | Montée       | Maxi montée    | ZERO    | 10 000                    |                            |                      |                              |

| ACFTID | Profile_ID | Longueur phase | N° étape | Type étape   | Indice poussée | Flap_ID | Altitude point final (ft) | Vitesse de montée (ft/min) | CAS point final (kt) | Pourcentage_accélération (%) |
|--------|------------|----------------|----------|--------------|----------------|---------|---------------------------|----------------------------|----------------------|------------------------------|
| BAE300 | DEFAULT    | 2              | 1        | Décollage    | Maxi décollage | 18      |                           |                            |                      |                              |
| BAE300 | DEFAULT    | 2              | 2        | Montée       | Maxi décollage | 18      | 1 000                     |                            |                      |                              |
| BAE300 | DEFAULT    | 2              | 3        | Accélération | Maxi décollage | 18      |                           | 762                        | 183                  |                              |
| BAE300 | DEFAULT    | 2              | 4        | Accélération | Maxi montée    | ZERO    |                           | 750                        | 213                  |                              |
| BAE300 | DEFAULT    | 2              | 5        | Montée       | Maxi montée    | ZERO    | 3 000                     |                            |                      |                              |
| BAE300 | DEFAULT    | 2              | 6        | Accélération | Maxi montée    | ZERO    |                           | 750                        | 250                  |                              |
| BAE300 | DEFAULT    | 2              | 7        | Montée       | Maxi montée    | ZERO    | 5 500                     |                            |                      |                              |
| BAE300 | DEFAULT    | 2              | 8        | Montée       | Maxi montée    | ZERO    | 7 500                     |                            |                      |                              |
| BAE300 | DEFAULT    | 2              | 9        | Montée       | Maxi montée    | ZERO    | 10 000                    |                            |                      |                              |
| BAE300 | DEFAULT    | 3              | 1        | Décollage    | Maxi décollage | 18      |                           |                            |                      |                              |
| BAE300 | DEFAULT    | 3              | 2        | Montée       | Maxi décollage | 18      | 1 000                     |                            |                      |                              |
| BAE300 | DEFAULT    | 3              | 3        | Accélération | Maxi décollage | 18      |                           | 622                        | 189                  |                              |
| BAE300 | DEFAULT    | 3              | 4        | Accélération | Maxi montée    | ZERO    |                           | 500                        | 219                  |                              |
| BAE300 | DEFAULT    | 3              | 5        | Montée       | Maxi montée    | ZERO    | 3 000                     |                            |                      |                              |
| BAE300 | DEFAULT    | 3              | 6        | Accélération | Maxi montée    | ZERO    |                           | 500                        | 250                  |                              |
| BAE300 | DEFAULT    | 3              | 7        | Montée       | Maxi montée    | ZERO    | 5 500                     |                            |                      |                              |
| BAE300 | DEFAULT    | 3              | 8        | Montée       | Maxi montée    | ZERO    | 7 500                     |                            |                      |                              |
| BAE300 | DEFAULT    | 3              | 9        | Montée       | Maxi montée    | ZERO    | 10 000                    |                            |                      |                              |
| BEC58P | DEFAULT    | 1              | 1        | Décollage    | Maxi décollage | TO      |                           |                            |                      |                              |
| BEC58P | DEFAULT    | 1              | 2        | Accélération | Maxi décollage | TO      |                           | 1 040                      | 115                  |                              |

| ACFTID | Profile_ID | Longueur phase | N° étape | Type étape   | Indice poussée | Flap_ID | Altitude point final (ft) | Vitesse de montée (ft/min) | CAS point final (kt) | Pourcentage accélération (%) |
|--------|------------|----------------|----------|--------------|----------------|---------|---------------------------|----------------------------|----------------------|------------------------------|
| BEC58P | DEFAULT    | 1              | 3        | Montée       | Maxi décollage | TO      | 1 000                     |                            |                      |                              |
| BEC58P | DEFAULT    | 1              | 4        | Accélération | Maxi décollage | TO      |                           | 1 040                      | 130                  |                              |
| BEC58P | DEFAULT    | 1              | 5        | Montée       | Maxi montée    | ZERO    | 3 000                     |                            |                      |                              |
| BEC58P | DEFAULT    | 1              | 6        | Montée       | Maxi montée    | ZERO    | 5 500                     |                            |                      |                              |
| BEC58P | DEFAULT    | 1              | 7        | Montée       | Maxi montée    | ZERO    | 7 500                     |                            |                      |                              |
| BEC58P | DEFAULT    | 1              | 8        | Montée       | Maxi montée    | ZERO    | 10 000                    |                            |                      |                              |
| CIT3   | DEFAULT    | 1              | 1        | Décollage    | Maxi décollage | 20      |                           |                            |                      |                              |
| CIT3   | DEFAULT    | 1              | 2        | Accélération | Maxi décollage | 20      |                           | 1 146                      | 149                  |                              |
| CIT3   | DEFAULT    | 1              | 3        | Montée       | Maxi décollage | 20      | 1 500                     |                            |                      |                              |
| CIT3   | DEFAULT    | 1              | 4        | Accélération | Maxi décollage | 10      |                           | 1 146                      | 174                  |                              |
| CIT3   | DEFAULT    | 1              | 5        | Montée       | Maxi montée    | ZERO    | 3 000                     |                            |                      |                              |
| CIT3   | DEFAULT    | 1              | 6        | Accélération | Maxi montée    | ZERO    |                           | 1 503                      | 250                  |                              |
| CIT3   | DEFAULT    | 1              | 7        | Montée       | Maxi montée    | ZERO    | 5 500                     |                            |                      |                              |
| CIT3   | DEFAULT    | 1              | 8        | Montée       | Maxi montée    | ZERO    | 7 500                     |                            |                      |                              |
| CIT3   | DEFAULT    | 1              | 9        | Montée       | Maxi montée    | ZERO    | 10 000                    |                            |                      |                              |
| CL600  | DEFAULT    | 1              | 1        | Décollage    | Maxi décollage | 20      |                           |                            |                      |                              |
| CL600  | DEFAULT    | 1              | 2        | Accélération | Maxi décollage | 20      |                           | 1 554                      | 163                  |                              |
| CL600  | DEFAULT    | 1              | 3        | Montée       | Maxi décollage | 20      | 1 500                     |                            |                      |                              |
| CL600  | DEFAULT    | 1              | 4        | Accélération | Maxi décollage | 10      |                           | 1 554                      | 200                  |                              |
| CL600  | DEFAULT    | 1              | 5        | Montée       | Maxi montée    | ZERO    | 3 000                     |                            |                      |                              |

| ACFTID | Profile_ID | Longueur phase | N° étape | Type étape   | Indice poussée | Flap_ID | Altitude point final (ft) | Vitesse de montée (ft/min) | CAS point final (kt) | Pourcentage accélération (%) |
|--------|------------|----------------|----------|--------------|----------------|---------|---------------------------|----------------------------|----------------------|------------------------------|
| CL600  | DEFAULT    | 1              | 6        | Accélération | Maxi montée    | ZERO    |                           | 1 771                      | 250                  |                              |
| CL600  | DEFAULT    | 1              | 7        | Montée       | Maxi montée    | ZERO    | 5 500                     |                            |                      |                              |
| CL600  | DEFAULT    | 1              | 8        | Montée       | Maxi montée    | ZERO    | 7 500                     |                            |                      |                              |
| CL600  | DEFAULT    | 1              | 9        | Montée       | Maxi montée    | ZERO    | 10 000                    |                            |                      |                              |
| CL601  | DEFAULT    | 1              | 1        | Décollage    | Maxi décollage | 20      |                           |                            |                      |                              |
| CL601  | DEFAULT    | 1              | 2        | Accélération | Maxi décollage | 20      |                           | 1 673                      | 177                  |                              |
| CL601  | DEFAULT    | 1              | 3        | Montée       | Maxi décollage | 20      | 1 500                     |                            |                      |                              |
| CL601  | DEFAULT    | 1              | 4        | Accélération | Maxi décollage | 10      |                           | 1 673                      | 200                  |                              |
| CL601  | DEFAULT    | 1              | 5        | Montée       | Maxi montée    | ZERO    | 3 000                     |                            |                      |                              |
| CL601  | DEFAULT    | 1              | 6        | Accélération | Maxi montée    | ZERO    |                           | 1 724                      | 250                  |                              |
| CL601  | DEFAULT    | 1              | 7        | Montée       | Maxi montée    | ZERO    | 5 500                     |                            |                      |                              |
| CL601  | DEFAULT    | 1              | 8        | Montée       | Maxi montée    | ZERO    | 7 500                     |                            |                      |                              |
| CL601  | DEFAULT    | 1              | 9        | Montée       | Maxi montée    | ZERO    | 10 000                    |                            |                      |                              |
| CNA172 | DEFAULT    | 1              | 1        | Décollage    | Maxi décollage | ZERO-C  |                           |                            |                      |                              |
| CNA172 | DEFAULT    | 1              | 2        | Accélération | Maxi décollage | ZERO-C  |                           | 500                        | 75                   |                              |
| CNA172 | DEFAULT    | 1              | 3        | Montée       | Maxi décollage | ZERO-C  | 1 000                     |                            |                      |                              |
| CNA172 | DEFAULT    | 1              | 4        | Accélération | Maxi décollage | ZERO-C  |                           | 500                        | 80                   |                              |
| CNA172 | DEFAULT    | 1              | 5        | Montée       | Maxi montée    | ZERO-C  | 3 000                     |                            |                      |                              |
| CNA172 | DEFAULT    | 1              | 6        | Montée       | Maxi montée    | ZERO-C  | 5 000                     |                            |                      |                              |
| CNA172 | DEFAULT    | 1              | 7        | Montée       | Maxi montée    | ZERO-C  | 8 000                     |                            |                      |                              |

| ACFTID | Profile_ID | Longueur phase | N° étape | Type étape   | Indice poussée | Flap_ID | Altitude point final (ft) | Vitesse de montée (ft/min) | CAS point final (kt) | Pourcentage accélération (%) |
|--------|------------|----------------|----------|--------------|----------------|---------|---------------------------|----------------------------|----------------------|------------------------------|
| CNA182 | DEFAULT    | 1              | 1        | Décollage    | Maxi décollage | F-20D   |                           |                            |                      |                              |
| CNA182 | DEFAULT    | 1              | 2        | Accélération | Maxi décollage | F-20D   |                           | 500                        | 80                   |                              |
| CNA182 | DEFAULT    | 1              | 3        | Montée       | Maxi décollage | ZERO    | 1 000                     |                            |                      |                              |
| CNA182 | DEFAULT    | 1              | 4        | Accélération | Maxi décollage | ZERO    |                           | 500                        | 85                   |                              |
| CNA182 | DEFAULT    | 1              | 5        | Montée       | Maxi montée    | ZERO    | 3 000                     |                            |                      |                              |
| CNA182 | DEFAULT    | 1              | 6        | Montée       | Maxi montée    | ZERO    | 5 000                     |                            |                      |                              |
| CNA182 | DEFAULT    | 1              | 7        | Montée       | Maxi montée    | ZERO    | 8 000                     |                            |                      |                              |
| CNA182 | DEFAULT    | 1              | 8        | Montée       | Maxi montée    | ZERO    | 10 000                    |                            |                      |                              |
| CNA208 | DEFAULT    | 1              | 1        | Décollage    | Maxi décollage | F-20D   |                           |                            |                      |                              |
| CNA208 | DEFAULT    | 1              | 2        | Accélération | Maxi décollage | F-20D   |                           | 915                        | 104                  |                              |
| CNA208 | DEFAULT    | 1              | 3        | Montée       | Maxi décollage | ZERO    | 1 000                     |                            |                      |                              |
| CNA208 | DEFAULT    | 1              | 4        | Accélération | Maxi montée    | ZERO    |                           | 846                        | 115                  |                              |
| CNA208 | DEFAULT    | 1              | 5        | Montée       | Maxi montée    | ZERO    | 2 000                     |                            |                      |                              |
| CNA208 | DEFAULT    | 1              | 6        | Montée       | Maxi montée    | ZERO    | 4 000                     |                            |                      |                              |
| CNA208 | DEFAULT    | 1              | 7        | Montée       | Maxi montée    | ZERO    | 6 000                     |                            |                      |                              |
| CNA208 | DEFAULT    | 1              | 8        | Montée       | Maxi montée    | ZERO    | 8 000                     |                            |                      |                              |
| CNA208 | DEFAULT    | 1              | 9        | Montée       | Maxi montée    | ZERO    | 10 000                    |                            |                      |                              |
| CNA441 | DEFAULT    | 1              | 1        | Décollage    | Maxi décollage | TO      |                           |                            |                      |                              |
| CNA441 | DEFAULT    | 1              | 2        | Accélération | Maxi décollage | TO      |                           | 1 216                      | 120                  |                              |
| CNA441 | DEFAULT    | 1              | 3        | Accélération | Maxi décollage | ZERO    |                           | 1 216                      | 140                  |                              |

| ACFTID | Profile_ID | Longueur phase | N° étape | Type étape   | Indice poussée | Flap_ID | Altitude point final (ft) | Vitesse de montée (ft/min) | CAS point final (kt) | Pourcentage_accélération (%) |
|--------|------------|----------------|----------|--------------|----------------|---------|---------------------------|----------------------------|----------------------|------------------------------|
| CNA441 | DEFAULT    | 1              | 4        | Montée       | Maxi décollage | ZERO    | 3 000                     |                            |                      |                              |
| CNA441 | DEFAULT    | 1              | 5        | Montée       | Maxi montée    | ZERO    | 5 500                     |                            |                      |                              |
| CNA441 | DEFAULT    | 1              | 6        | Montée       | Maxi montée    | ZERO    | 7 500                     |                            |                      |                              |
| CNA441 | DEFAULT    | 1              | 7        | Montée       | Maxi montée    | ZERO    | 10 000                    |                            |                      |                              |
| CNA500 | DEFAULT    | 1              | 1        | Décollage    | Maxi décollage | 12      |                           |                            |                      |                              |
| CNA500 | DEFAULT    | 1              | 2        | Accélération | Maxi décollage | 12      |                           | 997                        | 131                  |                              |
| CNA500 | DEFAULT    | 1              | 3        | Montée       | Maxi décollage | 12      | 1 500                     |                            |                      |                              |
| CNA500 | DEFAULT    | 1              | 4        | Accélération | Maxi décollage | 1       |                           | 997                        | 200                  |                              |
| CNA500 | DEFAULT    | 1              | 5        | Montée       | Maxi montée    | ZERO    | 3 000                     |                            |                      |                              |
| CNA500 | DEFAULT    | 1              | 6        | Accélération | Maxi montée    | ZERO    |                           | 1 459                      | 250                  |                              |
| CNA500 | DEFAULT    | 1              | 7        | Montée       | Maxi montée    | ZERO    | 5 500                     |                            |                      |                              |
| CNA500 | DEFAULT    | 1              | 8        | Montée       | Maxi montée    | ZERO    | 7 500                     |                            |                      |                              |
| CNA500 | DEFAULT    | 1              | 9        | Montée       | Maxi montée    | ZERO    | 10 000                    |                            |                      |                              |
| CNA510 | DEFAULT    | 1              | 1        | Décollage    | Maxi décollage | D_15    |                           |                            |                      |                              |
| CNA510 | DEFAULT    | 1              | 2        | Montée       | Maxi décollage | D_15    | 535                       |                            |                      |                              |
| CNA510 | DEFAULT    | 1              | 3        | Accélération | Maxi décollage | D_15    |                           | 1 500                      | 138,3                |                              |
| CNA510 | DEFAULT    | 1              | 4        | Montée       | Maxi décollage | D_15    | 1 500                     |                            |                      |                              |
| CNA510 | DEFAULT    | 1              | 5        | Accélération | Maxi montée    | ZERO_C  |                           | 1 500                      | 171                  |                              |
| CNA510 | DEFAULT    | 1              | 6        | Montée       | Maxi montée    | ZERO_C  | 3 000                     |                            |                      |                              |
| CNA510 | DEFAULT    | 1              | 7        | Accélération | Maxi montée    | ZERO_C  |                           | 1 000                      | 250                  |                              |

| ACFTID | Profile_ID | Longueur phase | N° étape | Type étape   | Indice poussée | Flap_ID | Altitude point final (ft) | Vitesse de montée (ft/min) | CAS point final (kt) | Pourcentage accélération (%) |
|--------|------------|----------------|----------|--------------|----------------|---------|---------------------------|----------------------------|----------------------|------------------------------|
| CNA510 | DEFAULT    | 1              | 8        | Montée       | Maxi montée    | ZERO_C  | 5 500                     |                            |                      |                              |
| CNA510 | DEFAULT    | 1              | 9        | Montée       | Maxi montée    | ZERO_C  | 7 500                     |                            |                      |                              |
| CNA510 | DEFAULT    | 1              | 10       | Montée       | Maxi montée    | ZERO_C  | 10 000                    |                            |                      |                              |
| CNA510 | FLAPS_0    | 1              | 1        | Décollage    | Maxi décollage | ZERO_D  |                           |                            |                      |                              |
| CNA510 | FLAPS_0    | 1              | 2        | Montée       | Maxi décollage | ZERO_D  | 601                       |                            |                      |                              |
| CNA510 | FLAPS_0    | 1              | 3        | Accélération | Maxi décollage | ZERO_D  |                           | 1 500                      | 138,3                |                              |
| CNA510 | FLAPS_0    | 1              | 4        | Montée       | Maxi décollage | ZERO_D  | 1 500                     |                            |                      |                              |
| CNA510 | FLAPS_0    | 1              | 5        | Accélération | Maxi montée    | ZERO_C  |                           | 1 500                      | 171                  |                              |
| CNA510 | FLAPS_0    | 1              | 6        | Montée       | Maxi montée    | ZERO_C  | 3 000                     |                            |                      |                              |
| CNA510 | FLAPS_0    | 1              | 7        | Accélération | Maxi montée    | ZERO_C  |                           | 1 000                      | 250                  |                              |
| CNA510 | FLAPS_0    | 1              | 8        | Montée       | Maxi montée    | ZERO_C  | 5 500                     |                            |                      |                              |
| CNA510 | FLAPS_0    | 1              | 9        | Montée       | Maxi montée    | ZERO_C  | 7 500                     |                            |                      |                              |
| CNA510 | FLAPS_0    | 1              | 10       | Montée       | Maxi montée    | ZERO_C  | 10 000                    |                            |                      |                              |
| CNA510 | FLAPS_15   | 1              | 1        | Décollage    | Maxi décollage | D_15    |                           |                            |                      |                              |
| CNA510 | FLAPS_15   | 1              | 2        | Montée       | Maxi décollage | D_15    | 535                       |                            |                      |                              |
| CNA510 | FLAPS_15   | 1              | 3        | Accélération | Maxi décollage | D_15    |                           | 1 500                      | 138,3                |                              |
| CNA510 | FLAPS_15   | 1              | 4        | Montée       | Maxi décollage | D_15    | 1 500                     |                            |                      |                              |
| CNA510 | FLAPS_15   | 1              | 5        | Accélération | Maxi montée    | ZERO_C  |                           | 1 500                      | 171                  |                              |
| CNA510 | FLAPS_15   | 1              | 6        | Montée       | Maxi montée    | ZERO_C  | 3 000                     |                            |                      |                              |
| CNA510 | FLAPS_15   | 1              | 7        | Accélération | Maxi montée    | ZERO_C  |                           | 1 000                      | 250                  |                              |

| ACFTID  | Profile_ID | Longueur phase | N° étape | Type étape   | Indice poussée | Flap_ID | Altitude point final (ft) | Vitesse de montée (ft/min) | CAS point final (kt) | Pourcentage accélération (%) |
|---------|------------|----------------|----------|--------------|----------------|---------|---------------------------|----------------------------|----------------------|------------------------------|
| CNA510  | FLAPS_15   | 1              | 8        | Montée       | Maxi montée    | ZERO_C  | 5 500                     |                            |                      |                              |
| CNA510  | FLAPS_15   | 1              | 9        | Montée       | Maxi montée    | ZERO_C  | 7 500                     |                            |                      |                              |
| CNA510  | FLAPS_15   | 1              | 10       | Montée       | Maxi montée    | ZERO_C  | 10 000                    |                            |                      |                              |
| CNA525C | DEFAULT    | 1              | 1        | Décollage    | Maxi décollage | D-15    |                           |                            |                      |                              |
| CNA525C | DEFAULT    | 1              | 2        | Montée       | Maxi décollage | D-15    | 482,5                     |                            |                      |                              |
| CNA525C | DEFAULT    | 1              | 3        | Accélération | Maxi décollage | D-15    |                           | 1 500                      | 140,3                |                              |
| CNA525C | DEFAULT    | 1              | 4        | Montée       | Maxi décollage | D-15    | 1 500                     |                            |                      |                              |
| CNA525C | DEFAULT    | 1              | 5        | Accélération | Maxi montée    | ZERO_C  |                           | 1 500                      | 171                  |                              |
| CNA525C | DEFAULT    | 1              | 6        | Montée       | Maxi montée    | ZERO_C  | 3 000                     |                            |                      |                              |
| CNA525C | DEFAULT    | 1              | 7        | Accélération | Maxi montée    | ZERO_C  |                           | 1 000                      | 250                  |                              |
| CNA525C | DEFAULT    | 1              | 8        | Montée       | Maxi montée    | ZERO_C  | 5 500                     |                            |                      |                              |
| CNA525C | DEFAULT    | 1              | 9        | Montée       | Maxi montée    | ZERO_C  | 7 500                     |                            |                      |                              |
| CNA525C | DEFAULT    | 1              | 10       | Montée       | Maxi montée    | ZERO_C  | 10 000                    |                            |                      |                              |
| CNA55B  | DEFAULT    | 1              | 1        | Décollage    | Maxi décollage | D_15    |                           |                            |                      |                              |
| CNA55B  | DEFAULT    | 1              | 2        | Montée       | Maxi décollage | D_15    | 379                       |                            |                      |                              |
| CNA55B  | DEFAULT    | 1              | 3        | Accélération | Maxi décollage | D_15    |                           | 1 500                      | 146,5                |                              |
| CNA55B  | DEFAULT    | 1              | 4        | Montée       | Maxi décollage | D_15    | 1 500                     |                            |                      |                              |
| CNA55B  | DEFAULT    | 1              | 5        | Accélération | Maxi montée    | ZERO_C  |                           | 1 500                      | 171,5                |                              |
| CNA55B  | DEFAULT    | 1              | 6        | Montée       | Maxi montée    | ZERO_C  | 3 000                     |                            |                      |                              |
| CNA55B  | DEFAULT    | 1              | 7        | Accélération | Maxi montée    | ZERO_C  |                           | 1 000                      | 250                  |                              |

| ACFTID | Profile_ID | Longueur phase | N° étape | Type étape   | Indice poussée | Flap_ID | Altitude point final (ft) | Vitesse de montée (ft/min) | CAS point final (kt) | Pourcentage accélération (%) |
|--------|------------|----------------|----------|--------------|----------------|---------|---------------------------|----------------------------|----------------------|------------------------------|
| CNA55B | DEFAULT    | 1              | 8        | Montée       | Maxi montée    | ZERO_C  | 5 500                     |                            |                      |                              |
| CNA55B | DEFAULT    | 1              | 9        | Montée       | Maxi montée    | ZERO_C  | 7 500                     |                            |                      |                              |
| CNA55B | DEFAULT    | 1              | 10       | Montée       | Maxi montée    | ZERO_C  | 10 000                    |                            |                      |                              |
| CNA55B | FLAPS_0    | 1              | 1        | Décollage    | Maxi décollage | ZERO_D  |                           |                            |                      |                              |
| CNA55B | FLAPS_0    | 1              | 2        | Montée       | Maxi décollage | ZERO_D  | 420                       |                            |                      |                              |
| CNA55B | FLAPS_0    | 1              | 3        | Accélération | Maxi décollage | ZERO_D  |                           | 1 500                      | 156                  |                              |
| CNA55B | FLAPS_0    | 1              | 4        | Montée       | Maxi décollage | ZERO_D  | 1 500                     |                            |                      |                              |
| CNA55B | FLAPS_0    | 1              | 5        | Accélération | Maxi montée    | ZERO_C  |                           | 1 500                      | 181,1                |                              |
| CNA55B | FLAPS_0    | 1              | 6        | Montée       | Maxi montée    | ZERO_C  | 3 000                     |                            |                      |                              |
| CNA55B | FLAPS_0    | 1              | 7        | Accélération | Maxi montée    | ZERO_C  |                           | 1 000                      | 250                  |                              |
| CNA55B | FLAPS_0    | 1              | 8        | Montée       | Maxi montée    | ZERO_C  | 5 500                     |                            |                      |                              |
| CNA55B | FLAPS_0    | 1              | 9        | Montée       | Maxi montée    | ZERO_C  | 7 500                     |                            |                      |                              |
| CNA55B | FLAPS_0    | 1              | 10       | Montée       | Maxi montée    | ZERO_C  | 10 000                    |                            |                      |                              |
| CNA55B | FLAPS_15   | 1              | 1        | Décollage    | Maxi décollage | D_15    |                           |                            |                      |                              |
| CNA55B | FLAPS_15   | 1              | 2        | Montée       | Maxi décollage | D_15    | 379                       |                            |                      |                              |
| CNA55B | FLAPS_15   | 1              | 3        | Accélération | Maxi décollage | D_15    |                           | 1 500                      | 146,5                |                              |
| CNA55B | FLAPS_15   | 1              | 4        | Montée       | Maxi décollage | D_15    | 1 500                     |                            |                      |                              |
| CNA55B | FLAPS_15   | 1              | 5        | Accélération | Maxi montée    | ZERO_C  |                           | 1 500                      | 171,5                |                              |
| CNA55B | FLAPS_15   | 1              | 6        | Montée       | Maxi montée    | ZERO_C  | 3 000                     |                            |                      |                              |
| CNA55B | FLAPS_15   | 1              | 7        | Accélération | Maxi montée    | ZERO_C  |                           | 1 000                      | 250                  |                              |

| ACFTID  | Profile_ID | Longueur phase | N° étape | Type étape   | Indice poussée | Flap_ID | Altitude point final (ft) | Vitesse de montée (ft/min) | CAS point final (kt) | Pourcentage accélération (%) |
|---------|------------|----------------|----------|--------------|----------------|---------|---------------------------|----------------------------|----------------------|------------------------------|
| CNA55B  | FLAPS_15   | 1              | 8        | Montée       | Maxi montée    | ZERO_C  | 5 500                     |                            |                      |                              |
| CNA55B  | FLAPS_15   | 1              | 9        | Montée       | Maxi montée    | ZERO_C  | 7 500                     |                            |                      |                              |
| CNA55B  | FLAPS_15   | 1              | 10       | Montée       | Maxi montée    | ZERO_C  | 10 000                    |                            |                      |                              |
| CNA560E | DEFAULT    | 1              | 1        | Décollage    | Maxi décollage | 15      |                           |                            |                      |                              |
| CNA560E | DEFAULT    | 1              | 2        | Montée       | Maxi décollage | 15      | 277                       |                            |                      |                              |
| CNA560E | DEFAULT    | 1              | 3        | Accélération | Maxi décollage | 15      |                           | 1 500                      | 161,7                |                              |
| CNA560E | DEFAULT    | 1              | 4        | Montée       | Maxi décollage | 15      | 1 500                     |                            |                      |                              |
| CNA560E | DEFAULT    | 1              | 5        | Accélération | Maxi montée    | 15      |                           | 1 500                      | 186,7                |                              |
| CNA560E | DEFAULT    | 1              | 6        | Montée       | Maxi montée    | ZERO    | 3 000                     |                            |                      |                              |
| CNA560E | DEFAULT    | 1              | 7        | Accélération | Maxi montée    | ZERO    |                           | 1 000                      | 250                  |                              |
| CNA560E | DEFAULT    | 1              | 8        | Montée       | Maxi montée    | ZERO    | 5 500                     |                            |                      |                              |
| CNA560E | DEFAULT    | 1              | 9        | Montée       | Maxi montée    | ZERO    | 7 500                     |                            |                      |                              |
| CNA560E | DEFAULT    | 1              | 10       | Montée       | Maxi montée    | ZERO    | 10 000                    |                            |                      |                              |
| CNA560U | DEFAULT    | 1              | 1        | Décollage    | Maxi décollage | 15      |                           |                            |                      |                              |
| CNA560U | DEFAULT    | 1              | 2        | Accélération | Maxi décollage | 15      |                           | 1 200                      | 148                  |                              |
| CNA560U | DEFAULT    | 1              | 3        | Montée       | Maxi décollage | 15      | 1 500                     |                            |                      |                              |
| CNA560U | DEFAULT    | 1              | 4        | Accélération | Maxi décollage | ZERO    |                           | 1 500                      | 175                  |                              |
| CNA560U | DEFAULT    | 1              | 5        | Montée       | Maxi montée    | ZERO    | 3 000                     |                            |                      |                              |
| CNA560U | DEFAULT    | 1              | 6        | Accélération | Maxi montée    | ZERO    |                           | 1 500                      | 250                  |                              |
| CNA560U | DEFAULT    | 1              | 7        | Montée       | Maxi montée    | ZERO    | 5 500                     |                            |                      |                              |

| ACFTID   | Profile_ID | Longueur phase | N° étape | Type étape   | Indice poussée | Flap_ID | Altitude point final (ft) | Vitesse de montée (ft/min) | CAS point final (kt) | Pourcentage accélération (%) |
|----------|------------|----------------|----------|--------------|----------------|---------|---------------------------|----------------------------|----------------------|------------------------------|
| CNA560U  | DEFAULT    | 1              | 8        | Montée       | Maxi montée    | ZERO    | 7 500                     |                            |                      |                              |
| CNA560U  | DEFAULT    | 1              | 9        | Montée       | Maxi montée    | ZERO    | 10 000                    |                            |                      |                              |
| CNA560XL | DEFAULT    | 1              | 1        | Décollage    | Maxi décollage | 15      |                           |                            |                      |                              |
| CNA560XL | DEFAULT    | 1              | 2        | Accélération | Maxi décollage | 15      |                           | 1 500                      | 158                  |                              |
| CNA560XL | DEFAULT    | 1              | 3        | Montée       | Maxi décollage | 15      | 1 500                     |                            |                      |                              |
| CNA560XL | DEFAULT    | 1              | 4        | Accélération | Maxi montée    | ZERO    |                           | 1 500                      | 185                  |                              |
| CNA560XL | DEFAULT    | 1              | 5        | Montée       | Maxi montée    | ZERO    | 3 000                     |                            |                      |                              |
| CNA560XL | DEFAULT    | 1              | 6        | Accélération | Maxi montée    | ZERO    |                           | 1 500                      | 250                  |                              |
| CNA560XL | DEFAULT    | 1              | 7        | Montée       | Maxi montée    | ZERO    | 10 000                    |                            |                      |                              |
| CNA680   | DEFAULT    | 1              | 1        | Décollage    | Maxi décollage | 15      |                           |                            |                      |                              |
| CNA680   | DEFAULT    | 1              | 2        | Montée       | Maxi décollage | 15      | 386                       |                            |                      |                              |
| CNA680   | DEFAULT    | 1              | 3        | Accélération | Maxi décollage | 15      |                           | 1 000                      | 140,6                |                              |
| CNA680   | DEFAULT    | 1              | 4        | Montée       | Maxi décollage | 15      | 1 500                     |                            |                      |                              |
| CNA680   | DEFAULT    | 1              | 5        | Accélération | Maxi montée    | 15      |                           | 1 500                      | 175                  |                              |
| CNA680   | DEFAULT    | 1              | 6        | Montée       | Maxi montée    | ZERO    | 3 000                     |                            |                      |                              |
| CNA680   | DEFAULT    | 1              | 7        | Accélération | Maxi montée    | ZERO    |                           | 1 500                      | 250                  |                              |
| CNA680   | DEFAULT    | 1              | 8        | Montée       | Maxi montée    | ZERO    | 5 500                     |                            |                      |                              |
| CNA680   | DEFAULT    | 1              | 9        | Montée       | Maxi montée    | ZERO    | 7 500                     |                            |                      |                              |
| CNA680   | DEFAULT    | 1              | 10       | Montée       | Maxi montée    | ZERO    | 10 000                    |                            |                      |                              |
| CNA750   | DEFAULT    | 1              | 1        | Décollage    | Maxi décollage | 15      |                           |                            |                      |                              |

| ACFTID | Profile_ID | Longueur phase | N° étape | Type étape   | Indice poussée | Flap_ID | Altitude point final (ft) | Vitesse de montée (ft/min) | CAS point final (kt) | Pourcentage accélération (%) |
|--------|------------|----------------|----------|--------------|----------------|---------|---------------------------|----------------------------|----------------------|------------------------------|
| CNA750 | DEFAULT    | 1              | 2        | Montée       | Maxi décollage | 15      | 277                       |                            |                      |                              |
| CNA750 | DEFAULT    | 1              | 3        | Accélération | Maxi décollage | 15      |                           | 1 500                      | 161,7                |                              |
| CNA750 | DEFAULT    | 1              | 4        | Montée       | Maxi décollage | 15      | 1 500                     |                            |                      |                              |
| CNA750 | DEFAULT    | 1              | 5        | Accélération | Maxi montée    | 15      |                           | 1 500                      | 186,7                |                              |
| CNA750 | DEFAULT    | 1              | 6        | Montée       | Maxi montée    | ZERO    | 3 000                     |                            |                      |                              |
| CNA750 | DEFAULT    | 1              | 7        | Accélération | Maxi montée    | ZERO    |                           | 1 000                      | 250                  |                              |
| CNA750 | DEFAULT    | 1              | 8        | Montée       | Maxi montée    | ZERO    | 5 500                     |                            |                      |                              |
| CNA750 | DEFAULT    | 1              | 9        | Montée       | Maxi montée    | ZERO    | 7 500                     |                            |                      |                              |
| CNA750 | DEFAULT    | 1              | 10       | Montée       | Maxi montée    | ZERO    | 10 000                    |                            |                      |                              |
| CNA750 | FLAP_15    | 1              | 1        | Décollage    | Maxi décollage | 15      |                           |                            |                      |                              |
| CNA750 | FLAP_15    | 1              | 2        | Montée       | Maxi décollage | 15      | 277                       |                            |                      |                              |
| CNA750 | FLAP_15    | 1              | 3        | Accélération | Maxi décollage | 15      |                           | 1 500                      | 161,7                |                              |
| CNA750 | FLAP_15    | 1              | 4        | Montée       | Maxi décollage | 15      | 1 500                     |                            |                      |                              |
| CNA750 | FLAP_15    | 1              | 5        | Accélération | Maxi montée    | 15      |                           | 1 500                      | 186,7                |                              |
| CNA750 | FLAP_15    | 1              | 6        | Montée       | Maxi montée    | ZERO    | 3 000                     |                            |                      |                              |
| CNA750 | FLAP_15    | 1              | 7        | Accélération | Maxi montée    | ZERO    |                           | 1 000                      | 250                  |                              |
| CNA750 | FLAP_15    | 1              | 8        | Montée       | Maxi montée    | ZERO    | 5 500                     |                            |                      |                              |
| CNA750 | FLAP_15    | 1              | 9        | Montée       | Maxi montée    | ZERO    | 7 500                     |                            |                      |                              |
| CNA750 | FLAP_15    | 1              | 10       | Montée       | Maxi montée    | ZERO    | 10 000                    |                            |                      |                              |
| CNA750 | FLAP_5     | 1              | 1        | Décollage    | Maxi décollage | 5       |                           |                            |                      |                              |

| ACFTID  | Profile_ID | Longueur phase | N° étape | Type étape   | Indice poussée | Flap_ID | Altitude point final (ft) | Vitesse de montée (ft/min) | CAS point final (kt) | Pourcentage accélération (%) |
|---------|------------|----------------|----------|--------------|----------------|---------|---------------------------|----------------------------|----------------------|------------------------------|
| CNA750  | FLAP_5     | 1              | 2        | Montée       | Maxi décollage | 5       | 285                       |                            |                      |                              |
| CNA750  | FLAP_5     | 1              | 3        | Accélération | Maxi décollage | 5       |                           | 1 500                      | 168,9                |                              |
| CNA750  | FLAP_5     | 1              | 4        | Montée       | Maxi décollage | 5       | 1 500                     |                            |                      |                              |
| CNA750  | FLAP_5     | 1              | 5        | Accélération | Maxi montée    | 5       |                           | 1 500                      | 193,9                |                              |
| CNA750  | FLAP_5     | 1              | 6        | Montée       | Maxi montée    | ZERO    | 3 000                     |                            |                      |                              |
| CNA750  | FLAP_5     | 1              | 7        | Accélération | Maxi montée    | ZERO    |                           | 1 000                      | 250                  |                              |
| CNA750  | FLAP_5     | 1              | 8        | Montée       | Maxi montée    | ZERO    | 5 500                     |                            |                      |                              |
| CNA750  | FLAP_5     | 1              | 9        | Montée       | Maxi montée    | ZERO    | 7 500                     |                            |                      |                              |
| CNA750  | FLAP_5     | 1              | 10       | Montée       | Maxi montée    | ZERO    | 10 000                    |                            |                      |                              |
| CRJ9-ER | DEFAULT    | 1              | 1        | Décollage    | Maxi décollage | D-8     |                           |                            |                      |                              |
| CRJ9-ER | DEFAULT    | 1              | 2        | Montée       | Maxi décollage | D-8     | 595                       |                            |                      |                              |
| CRJ9-ER | DEFAULT    | 1              | 3        | Montée       | Maxi décollage | U-8     | 1 000                     |                            |                      |                              |
| CRJ9-ER | DEFAULT    | 1              | 4        | Accélération | Maxi montée    | 0-204   |                           | 500                        | 204                  |                              |
| CRJ9-ER | DEFAULT    | 1              | 5        | Montée       | Maxi montée    | ZERO    | 3 000                     |                            |                      |                              |
| CRJ9-ER | DEFAULT    | 1              | 6        | Accélération | Maxi montée    | 0-250   |                           | 500                        | 250                  |                              |
| CRJ9-ER | DEFAULT    | 1              | 7        | Montée       | Maxi montée    | ZERO    | 10 000                    |                            |                      |                              |
| CRJ9-ER | DEFAULT    | 2              | 1        | Décollage    | Maxi décollage | D-8     |                           |                            |                      |                              |
| CRJ9-ER | DEFAULT    | 2              | 2        | Montée       | Maxi décollage | D-8     | 555                       |                            |                      |                              |
| CRJ9-ER | DEFAULT    | 2              | 3        | Montée       | Maxi décollage | U-8     | 1 000                     |                            |                      |                              |
| CRJ9-ER | DEFAULT    | 2              | 4        | Accélération | Maxi montée    | 0-204   |                           | 500                        | 204                  |                              |

| ACFTID  | Profile_ID | Longueur phase | N° étape | Type étape   | Indice poussée | Flap_ID | Altitude point final (ft) | Vitesse de montée (ft/min) | CAS point final (kt) | Pourcentage accélération (%) |
|---------|------------|----------------|----------|--------------|----------------|---------|---------------------------|----------------------------|----------------------|------------------------------|
| CRJ9-ER | DEFAULT    | 2              | 5        | Montée       | Maxi montée    | ZERO    | 3 000                     |                            |                      |                              |
| CRJ9-ER | DEFAULT    | 2              | 6        | Accélération | Maxi montée    | 0-250   |                           | 500                        | 250                  |                              |
| CRJ9-ER | DEFAULT    | 2              | 7        | Montée       | Maxi montée    | ZERO    | 10 000                    |                            |                      |                              |
| CRJ9-ER | DEFAULT    | 3              | 1        | Décollage    | Maxi décollage | D-8     |                           |                            |                      |                              |
| CRJ9-ER | DEFAULT    | 3              | 2        | Montée       | Maxi décollage | D-8     | 525                       |                            |                      |                              |
| CRJ9-ER | DEFAULT    | 3              | 3        | Montée       | Maxi décollage | U-8     | 1 000                     |                            |                      |                              |
| CRJ9-ER | DEFAULT    | 3              | 4        | Accélération | Maxi montée    | 0-204   |                           | 500                        | 204                  |                              |
| CRJ9-ER | DEFAULT    | 3              | 5        | Montée       | Maxi montée    | ZERO    | 3 000                     |                            |                      |                              |
| CRJ9-ER | DEFAULT    | 3              | 6        | Accélération | Maxi montée    | 0-250   |                           | 500                        | 250                  |                              |
| CRJ9-ER | DEFAULT    | 3              | 7        | Montée       | Maxi montée    | ZERO    | 10 000                    |                            |                      |                              |
| CRJ9-ER | DEFAULT    | 4              | 1        | Décollage    | Maxi décollage | D-8     |                           |                            |                      |                              |
| CRJ9-ER | DEFAULT    | 4              | 2        | Montée       | Maxi décollage | D-8     | 485                       |                            |                      |                              |
| CRJ9-ER | DEFAULT    | 4              | 3        | Montée       | Maxi décollage | U-8     | 1 000                     |                            |                      |                              |
| CRJ9-ER | DEFAULT    | 4              | 4        | Accélération | Maxi montée    | 0-204   |                           | 500                        | 204                  |                              |
| CRJ9-ER | DEFAULT    | 4              | 5        | Montée       | Maxi montée    | ZERO    | 3 000                     |                            |                      |                              |
| CRJ9-ER | DEFAULT    | 4              | 6        | Accélération | Maxi montée    | 0-250   |                           | 500                        | 250                  |                              |
| CRJ9-ER | DEFAULT    | 4              | 7        | Montée       | Maxi montée    | ZERO    | 10 000                    |                            |                      |                              |
| CRJ9-ER | DEFAULT    | 5              | 1        | Décollage    | Maxi décollage | D-8     |                           |                            |                      |                              |
| CRJ9-ER | DEFAULT    | 5              | 2        | Montée       | Maxi décollage | D-8     | 465                       |                            |                      |                              |
| CRJ9-ER | DEFAULT    | 5              | 3        | Montée       | Maxi décollage | U-8     | 1 000                     |                            |                      |                              |

| ACFTID  | Profile_ID | Longueur phase | N° étape | Type étape   | Indice poussée | Flap_ID | Altitude point final (ft) | Vitesse de montée (ft/min) | CAS point final (kt) | Pourcentage accélération (%) |
|---------|------------|----------------|----------|--------------|----------------|---------|---------------------------|----------------------------|----------------------|------------------------------|
| CRJ9-ER | DEFAULT    | 5              | 4        | Accélération | Maxi montée    | 0-204   |                           | 500                        | 204                  |                              |
| CRJ9-ER | DEFAULT    | 5              | 5        | Montée       | Maxi montée    | 0-204   | 3 000                     |                            |                      |                              |
| CRJ9-ER | DEFAULT    | 5              | 6        | Accélération | Maxi montée    | 0-250   |                           | 500                        | 250                  |                              |
| CRJ9-ER | DEFAULT    | 5              | 7        | Montée       | Maxi montée    | ZERO    | 10 000                    |                            |                      |                              |
| CRJ9-ER | ICAO_A     | 1              | 1        | Décollage    | Maxi décollage | D-8     |                           |                            |                      |                              |
| CRJ9-ER | ICAO_A     | 1              | 2        | Montée       | Maxi décollage | D-8     | 595                       |                            |                      |                              |
| CRJ9-ER | ICAO_A     | 1              | 3        | Montée       | Maxi décollage | U-8     | 1 500                     |                            |                      |                              |
| CRJ9-ER | ICAO_A     | 1              | 4        | Montée       | Maxi montée    | U-8     | 3 000                     |                            |                      |                              |
| CRJ9-ER | ICAO_A     | 1              | 5        | Accélération | Maxi montée    | 0-250   |                           | 500                        | 250                  |                              |
| CRJ9-ER | ICAO_A     | 1              | 6        | Montée       | Maxi montée    | ZERO    | 10 000                    |                            |                      |                              |
| CRJ9-ER | ICAO_A     | 2              | 1        | Décollage    | Maxi décollage | D-8     |                           |                            |                      |                              |
| CRJ9-ER | ICAO_A     | 2              | 2        | Montée       | Maxi décollage | D-8     | 555                       |                            |                      |                              |
| CRJ9-ER | ICAO_A     | 2              | 3        | Montée       | Maxi décollage | U-8     | 1 500                     |                            |                      |                              |
| CRJ9-ER | ICAO_A     | 2              | 4        | Montée       | Maxi montée    | U-8     | 3 000                     |                            |                      |                              |
| CRJ9-ER | ICAO_A     | 2              | 5        | Accélération | Maxi montée    | 0-250   |                           | 500                        | 250                  |                              |
| CRJ9-ER | ICAO_A     | 2              | 6        | Montée       | Maxi montée    | ZERO    | 10 000                    |                            |                      |                              |
| CRJ9-ER | ICAO_A     | 3              | 1        | Décollage    | Maxi décollage | D-8     |                           |                            |                      |                              |
| CRJ9-ER | ICAO_A     | 3              | 2        | Montée       | Maxi décollage | D-8     | 525                       |                            |                      |                              |
| CRJ9-ER | ICAO_A     | 3              | 3        | Montée       | Maxi décollage | U-8     | 1 500                     |                            |                      |                              |
| CRJ9-ER | ICAO_A     | 3              | 4        | Montée       | Maxi montée    | U-8     | 3 000                     |                            |                      |                              |

| ACFTID  | Profile_ID | Longueur phase | N° étape | Type étape   | Indice poussée | Flap_ID | Altitude point final (ft) | Vitesse de montée (ft/min) | CAS point final (kt) | Pourcentage accélération (%) |
|---------|------------|----------------|----------|--------------|----------------|---------|---------------------------|----------------------------|----------------------|------------------------------|
| CRJ9-ER | ICAO_A     | 3              | 5        | Accélération | Maxi montée    | 0-250   |                           | 500                        | 250                  |                              |
| CRJ9-ER | ICAO_A     | 3              | 6        | Montée       | Maxi montée    | ZERO    | 10 000                    |                            |                      |                              |
| CRJ9-ER | ICAO_A     | 4              | 1        | Décollage    | Maxi décollage | D-8     |                           |                            |                      |                              |
| CRJ9-ER | ICAO_A     | 4              | 2        | Montée       | Maxi décollage | D-8     | 485                       |                            |                      |                              |
| CRJ9-ER | ICAO_A     | 4              | 3        | Montée       | Maxi décollage | U-8     | 1 500                     |                            |                      |                              |
| CRJ9-ER | ICAO_A     | 4              | 4        | Montée       | Maxi montée    | U-8     | 3 000                     |                            |                      |                              |
| CRJ9-ER | ICAO_A     | 4              | 5        | Accélération | Maxi montée    | 0-250   |                           | 500                        | 250                  |                              |
| CRJ9-ER | ICAO_A     | 4              | 6        | Montée       | Maxi montée    | ZERO    | 10 000                    |                            |                      |                              |
| CRJ9-ER | ICAO_A     | 5              | 1        | Décollage    | Maxi décollage | D-8     |                           |                            |                      |                              |
| CRJ9-ER | ICAO_A     | 5              | 2        | Montée       | Maxi décollage | D-8     | 465                       |                            |                      |                              |
| CRJ9-ER | ICAO_A     | 5              | 3        | Montée       | Maxi décollage | U-8     | 1 500                     |                            |                      |                              |
| CRJ9-ER | ICAO_A     | 5              | 4        | Montée       | Maxi montée    | U-8     | 3 000                     |                            |                      |                              |
| CRJ9-ER | ICAO_A     | 5              | 5        | Accélération | Maxi montée    | 0-250   |                           | 500                        | 250                  |                              |
| CRJ9-ER | ICAO_A     | 5              | 6        | Montée       | Maxi montée    | ZERO    | 10 000                    |                            |                      |                              |
| CRJ9-ER | ICAO_B     | 1              | 1        | Décollage    | Maxi décollage | D-8     |                           |                            |                      |                              |
| CRJ9-ER | ICAO_B     | 1              | 2        | Montée       | Maxi décollage | D-8     | 595                       |                            |                      |                              |
| CRJ9-ER | ICAO_B     | 1              | 3        | Montée       | Maxi décollage | U-8     | 1 000                     |                            |                      |                              |
| CRJ9-ER | ICAO_B     | 1              | 4        | Accélération | Maxi décollage | 0-204   |                           | 500                        | 204                  |                              |
| CRJ9-ER | ICAO_B     | 1              | 5        | Montée       | Maxi montée    | ZERO    | 3 000                     |                            |                      |                              |
| CRJ9-ER | ICAO_B     | 1              | 6        | Accélération | Maxi montée    | 0-250   |                           | 500                        | 250                  |                              |

| ACFTID  | Profile_ID | Longueur phase | N° étape | Type étape   | Indice poussée | Flap_ID | Altitude point final (ft) | Vitesse de montée (ft/min) | CAS point final (kt) | Pourcentage accélération (%) |
|---------|------------|----------------|----------|--------------|----------------|---------|---------------------------|----------------------------|----------------------|------------------------------|
| CRJ9-ER | ICAO_B     | 1              | 7        | Montée       | Maxi montée    | ZERO    | 10 000                    |                            |                      |                              |
| CRJ9-ER | ICAO_B     | 2              | 1        | Décollage    | Maxi décollage | D-8     |                           |                            |                      |                              |
| CRJ9-ER | ICAO_B     | 2              | 2        | Montée       | Maxi décollage | D-8     | 555                       |                            |                      |                              |
| CRJ9-ER | ICAO_B     | 2              | 3        | Montée       | Maxi décollage | U-8     | 1 000                     |                            |                      |                              |
| CRJ9-ER | ICAO_B     | 2              | 4        | Accélération | Maxi décollage | 0-204   |                           | 500                        | 204                  |                              |
| CRJ9-ER | ICAO_B     | 2              | 5        | Montée       | Maxi montée    | ZERO    | 3 000                     |                            |                      |                              |
| CRJ9-ER | ICAO_B     | 2              | 6        | Accélération | Maxi montée    | 0-250   |                           | 500                        | 250                  |                              |
| CRJ9-ER | ICAO_B     | 2              | 7        | Montée       | Maxi montée    | ZERO    | 10 000                    |                            |                      |                              |
| CRJ9-ER | ICAO_B     | 3              | 1        | Décollage    | Maxi décollage | D-8     |                           |                            |                      |                              |
| CRJ9-ER | ICAO_B     | 3              | 2        | Montée       | Maxi décollage | D-8     | 525                       |                            |                      |                              |
| CRJ9-ER | ICAO_B     | 3              | 3        | Montée       | Maxi décollage | U-8     | 1 000                     |                            |                      |                              |
| CRJ9-ER | ICAO_B     | 3              | 4        | Accélération | Maxi décollage | 0-204   |                           | 500                        | 204                  |                              |
| CRJ9-ER | ICAO_B     | 3              | 5        | Montée       | Maxi montée    | ZERO    | 3 000                     |                            |                      |                              |
| CRJ9-ER | ICAO_B     | 3              | 6        | Accélération | Maxi montée    | 0-250   |                           | 500                        | 250                  |                              |
| CRJ9-ER | ICAO_B     | 3              | 7        | Montée       | Maxi montée    | ZERO    | 10 000                    |                            |                      |                              |
| CRJ9-ER | ICAO_B     | 4              | 1        | Décollage    | Maxi décollage | D-8     |                           |                            |                      |                              |
| CRJ9-ER | ICAO_B     | 4              | 2        | Montée       | Maxi décollage | D-8     | 485                       |                            |                      |                              |
| CRJ9-ER | ICAO_B     | 4              | 3        | Montée       | Maxi décollage | U-8     | 1 000                     |                            |                      |                              |
| CRJ9-ER | ICAO_B     | 4              | 4        | Accélération | Maxi décollage | 0-204   |                           | 500                        | 204                  |                              |
| CRJ9-ER | ICAO_B     | 4              | 5        | Montée       | Maxi montée    | ZERO    | 3 000                     |                            |                      |                              |

| ACFTID  | Profile_ID | Longueur phase | N° étape | Type étape   | Indice poussée | Flap_ID | Altitude point final (ft) | Vitesse de montée (ft/min) | CAS point final (kt) | Pourcentage accélération (%) |
|---------|------------|----------------|----------|--------------|----------------|---------|---------------------------|----------------------------|----------------------|------------------------------|
| CRJ9-ER | ICAO_B     | 4              | 6        | Accélération | Maxi montée    | 0-250   |                           | 500                        | 250                  |                              |
| CRJ9-ER | ICAO_B     | 4              | 7        | Montée       | Maxi montée    | ZERO    | 10 000                    |                            |                      |                              |
| CRJ9-ER | ICAO_B     | 5              | 1        | Décollage    | Maxi décollage | D-8     |                           |                            |                      |                              |
| CRJ9-ER | ICAO_B     | 5              | 2        | Montée       | Maxi décollage | D-8     | 465                       |                            |                      |                              |
| CRJ9-ER | ICAO_B     | 5              | 3        | Montée       | Maxi décollage | U-8     | 1 000                     |                            |                      |                              |
| CRJ9-ER | ICAO_B     | 5              | 4        | Accélération | Maxi décollage | 0-204   |                           | 500                        | 204                  |                              |
| CRJ9-ER | ICAO_B     | 5              | 5        | Montée       | Maxi montée    | ZERO    | 3 000                     |                            |                      |                              |
| CRJ9-ER | ICAO_B     | 5              | 6        | Accélération | Maxi montée    | 0-250   |                           | 500                        | 250                  |                              |
| CRJ9-ER | ICAO_B     | 5              | 7        | Montée       | Maxi montée    | ZERO    | 10 000                    |                            |                      |                              |
| CRJ9-LR | DEFAULT    | 1              | 1        | Décollage    | Maxi décollage | D-8     |                           |                            |                      |                              |
| CRJ9-LR | DEFAULT    | 1              | 2        | Montée       | Maxi décollage | D-8     | 615                       |                            |                      |                              |
| CRJ9-LR | DEFAULT    | 1              | 3        | Montée       | Maxi décollage | U-8     | 1 000                     |                            |                      |                              |
| CRJ9-LR | DEFAULT    | 1              | 4        | Accélération | Maxi montée    | 0-204   |                           | 500                        | 204                  |                              |
| CRJ9-LR | DEFAULT    | 1              | 5        | Montée       | Maxi montée    | ZERO    | 3 000                     |                            |                      |                              |
| CRJ9-LR | DEFAULT    | 1              | 6        | Accélération | Maxi montée    | 0-250   |                           | 500                        | 250                  |                              |
| CRJ9-LR | DEFAULT    | 1              | 7        | Montée       | Maxi montée    | ZERO    | 10 000                    |                            |                      |                              |
| CRJ9-LR | DEFAULT    | 2              | 1        | Décollage    | Maxi décollage | D-8     |                           |                            |                      |                              |
| CRJ9-LR | DEFAULT    | 2              | 2        | Montée       | Maxi décollage | D-8     | 575                       |                            |                      |                              |
| CRJ9-LR | DEFAULT    | 2              | 3        | Montée       | Maxi décollage | U-8     | 1 000                     |                            |                      |                              |
| CRJ9-LR | DEFAULT    | 2              | 4        | Accélération | Maxi montée    | 0-204   |                           | 500                        | 204                  |                              |

| ACFTID  | Profile_ID | Longueur phase | N° étape | Type étape   | Indice poussée | Flap_ID | Altitude point final (ft) | Vitesse de montée (ft/min) | CAS point final (kt) | Pourcentage accélération (%) |
|---------|------------|----------------|----------|--------------|----------------|---------|---------------------------|----------------------------|----------------------|------------------------------|
| CRJ9-LR | DEFAULT    | 2              | 5        | Montée       | Maxi montée    | ZERO    | 3 000                     |                            |                      |                              |
| CRJ9-LR | DEFAULT    | 2              | 6        | Accélération | Maxi montée    | 0-250   |                           | 500                        | 250                  |                              |
| CRJ9-LR | DEFAULT    | 2              | 7        | Montée       | Maxi montée    | ZERO    | 10 000                    |                            |                      |                              |
| CRJ9-LR | DEFAULT    | 3              | 1        | Décollage    | Maxi décollage | D-8     |                           |                            |                      |                              |
| CRJ9-LR | DEFAULT    | 3              | 2        | Montée       | Maxi décollage | D-8     | 545                       |                            |                      |                              |
| CRJ9-LR | DEFAULT    | 3              | 3        | Montée       | Maxi décollage | U-8     | 1 000                     |                            |                      |                              |
| CRJ9-LR | DEFAULT    | 3              | 4        | Accélération | Maxi montée    | 0-204   |                           | 500                        | 204                  |                              |
| CRJ9-LR | DEFAULT    | 3              | 5        | Montée       | Maxi montée    | 0-204   | 3 000                     |                            |                      |                              |
| CRJ9-LR | DEFAULT    | 3              | 6        | Accélération | Maxi montée    | 0-250   |                           | 500                        | 250                  |                              |
| CRJ9-LR | DEFAULT    | 3              | 7        | Montée       | Maxi montée    | ZERO    | 10 000                    |                            |                      |                              |
| CRJ9-LR | DEFAULT    | 4              | 1        | Décollage    | Maxi décollage | D-8     |                           |                            |                      |                              |
| CRJ9-LR | DEFAULT    | 4              | 2        | Montée       | Maxi décollage | D-8     | 505                       |                            |                      |                              |
| CRJ9-LR | DEFAULT    | 4              | 3        | Montée       | Maxi décollage | U-8     | 1 000                     |                            |                      |                              |
| CRJ9-LR | DEFAULT    | 4              | 4        | Accélération | Maxi montée    | 0-204   |                           | 500                        | 204                  |                              |
| CRJ9-LR | DEFAULT    | 4              | 5        | Montée       | Maxi montée    | ZERO    | 3 000                     |                            |                      |                              |
| CRJ9-LR | DEFAULT    | 4              | 6        | Accélération | Maxi montée    | 0-250   |                           | 500                        | 250                  |                              |
| CRJ9-LR | DEFAULT    | 4              | 7        | Montée       | Maxi montée    | 0-250   | 10 000                    |                            |                      |                              |
| CRJ9-LR | DEFAULT    | 5              | 1        | Décollage    | Maxi décollage | D-8     |                           |                            |                      |                              |
| CRJ9-LR | DEFAULT    | 5              | 2        | Montée       | Maxi décollage | D-8     | 455                       |                            |                      |                              |
| CRJ9-LR | DEFAULT    | 5              | 3        | Montée       | Maxi décollage | U-8     | 1 000                     |                            |                      |                              |

| ACFTID  | Profile_ID | Longueur phase | N° étape | Type étape   | Indice poussée | Flap_ID | Altitude point final (ft) | Vitesse de montée (ft/min) | CAS point final (kt) | Pourcentage accélération (%) |
|---------|------------|----------------|----------|--------------|----------------|---------|---------------------------|----------------------------|----------------------|------------------------------|
| CRJ9-LR | DEFAULT    | 5              | 4        | Accélération | Maxi montée    | 0-204   |                           | 500                        | 204                  |                              |
| CRJ9-LR | DEFAULT    | 5              | 5        | Montée       | Maxi montée    | ZERO    | 3 000                     |                            |                      |                              |
| CRJ9-LR | DEFAULT    | 5              | 6        | Accélération | Maxi montée    | 0-250   |                           | 500                        | 250                  |                              |
| CRJ9-LR | DEFAULT    | 5              | 7        | Montée       | Maxi montée    | ZERO    | 10 000                    |                            |                      |                              |
| CRJ9-LR | ICAO_A     | 1              | 1        | Décollage    | Maxi décollage | D-8     |                           |                            |                      |                              |
| CRJ9-LR | ICAO_A     | 1              | 2        | Montée       | Maxi décollage | D-8     | 615                       |                            |                      |                              |
| CRJ9-LR | ICAO_A     | 1              | 3        | Montée       | Maxi décollage | U-8     | 1 500                     |                            |                      |                              |
| CRJ9-LR | ICAO_A     | 1              | 4        | Montée       | Maxi montée    | U-8     | 3 000                     |                            |                      |                              |
| CRJ9-LR | ICAO_A     | 1              | 5        | Accélération | Maxi montée    | 0-250   |                           | 500                        | 250                  |                              |
| CRJ9-LR | ICAO_A     | 1              | 6        | Montée       | Maxi montée    | ZERO    | 10 000                    |                            |                      |                              |
| CRJ9-LR | ICAO_A     | 2              | 1        | Décollage    | Maxi décollage | D-8     |                           |                            |                      |                              |
| CRJ9-LR | ICAO_A     | 2              | 2        | Montée       | Maxi décollage | D-8     | 575                       |                            |                      |                              |
| CRJ9-LR | ICAO_A     | 2              | 3        | Montée       | Maxi décollage | U-8     | 1 500                     |                            |                      |                              |
| CRJ9-LR | ICAO_A     | 2              | 4        | Montée       | Maxi montée    | U-8     | 3 000                     |                            |                      |                              |
| CRJ9-LR | ICAO_A     | 2              | 5        | Accélération | Maxi montée    | U-8     |                           | 500                        | 250                  |                              |
| CRJ9-LR | ICAO_A     | 2              | 6        | Montée       | Maxi montée    | ZERO    | 10 000                    |                            |                      |                              |
| CRJ9-LR | ICAO_A     | 3              | 1        | Décollage    | Maxi décollage | D-8     |                           |                            |                      |                              |
| CRJ9-LR | ICAO_A     | 3              | 2        | Montée       | Maxi décollage | D-8     | 545                       |                            |                      |                              |
| CRJ9-LR | ICAO_A     | 3              | 3        | Montée       | Maxi décollage | U-8     | 1 500                     |                            |                      |                              |
| CRJ9-LR | ICAO_A     | 3              | 4        | Montée       | Maxi montée    | U-8     | 3 000                     |                            |                      |                              |

| ACFTID  | Profile_ID | Longueur phase | N° étape | Type étape   | Indice poussée | Flap_ID | Altitude point final (ft) | Vitesse de montée (ft/min) | CAS point final (kt) | Pourcentage accélération (%) |
|---------|------------|----------------|----------|--------------|----------------|---------|---------------------------|----------------------------|----------------------|------------------------------|
| CRJ9-LR | ICAO_A     | 3              | 5        | Accélération | Maxi montée    | U-8     |                           | 500                        | 250                  |                              |
| CRJ9-LR | ICAO_A     | 3              | 6        | Montée       | Maxi montée    | ZERO    | 10 000                    |                            |                      |                              |
| CRJ9-LR | ICAO_A     | 4              | 1        | Décollage    | Maxi décollage | D-8     |                           |                            |                      |                              |
| CRJ9-LR | ICAO_A     | 4              | 2        | Montée       | Maxi décollage | D-8     | 505                       |                            |                      |                              |
| CRJ9-LR | ICAO_A     | 4              | 3        | Montée       | Maxi décollage | U-8     | 1 500                     |                            |                      |                              |
| CRJ9-LR | ICAO_A     | 4              | 4        | Montée       | Maxi montée    | U-8     | 3 000                     |                            |                      |                              |
| CRJ9-LR | ICAO_A     | 4              | 5        | Accélération | Maxi montée    | U-8     |                           | 500                        | 250                  |                              |
| CRJ9-LR | ICAO_A     | 4              | 6        | Montée       | Maxi montée    | ZERO    | 10 000                    |                            |                      |                              |
| CRJ9-LR | ICAO_A     | 5              | 1        | Décollage    | Maxi décollage | D-8     |                           |                            |                      |                              |
| CRJ9-LR | ICAO_A     | 5              | 2        | Montée       | Maxi décollage | D-8     | 455                       |                            |                      |                              |
| CRJ9-LR | ICAO_A     | 5              | 3        | Montée       | Maxi décollage | U-8     | 1 500                     |                            |                      |                              |
| CRJ9-LR | ICAO_A     | 5              | 4        | Montée       | Maxi montée    | U-8     | 3 000                     |                            |                      |                              |
| CRJ9-LR | ICAO_A     | 5              | 5        | Accélération | Maxi montée    | 0-250   |                           | 500                        | 250                  |                              |
| CRJ9-LR | ICAO_A     | 5              | 6        | Montée       | Maxi montée    | ZERO    | 10 000                    |                            |                      |                              |
| CRJ9-LR | ICAO_B     | 1              | 1        | Décollage    | Maxi décollage | D-8     |                           |                            |                      |                              |
| CRJ9-LR | ICAO_B     | 1              | 2        | Montée       | Maxi décollage | D-8     | 615                       |                            |                      |                              |
| CRJ9-LR | ICAO_B     | 1              | 3        | Montée       | Maxi décollage | U-8     | 1 000                     |                            |                      |                              |
| CRJ9-LR | ICAO_B     | 1              | 4        | Accélération | Maxi décollage | 0-204   |                           | 500                        | 204                  |                              |
| CRJ9-LR | ICAO_B     | 1              | 5        | Montée       | Maxi montée    | ZERO    | 3 000                     |                            |                      |                              |
| CRJ9-LR | ICAO_B     | 1              | 6        | Accélération | Maxi montée    | 0-250   |                           | 500                        | 250                  |                              |

| ACFTID  | Profile_ID | Longueur phase | N° étape | Type étape   | Indice poussée | Flap_ID | Altitude point final (ft) | Vitesse de montée (ft/min) | CAS point final (kt) | Pourcentage accélération (%) |
|---------|------------|----------------|----------|--------------|----------------|---------|---------------------------|----------------------------|----------------------|------------------------------|
| CRJ9-LR | ICAO_B     | 1              | 7        | Montée       | Maxi montée    | ZERO    | 10 000                    |                            |                      |                              |
| CRJ9-LR | ICAO_B     | 2              | 1        | Décollage    | Maxi décollage | D-8     |                           |                            |                      |                              |
| CRJ9-LR | ICAO_B     | 2              | 2        | Montée       | Maxi décollage | D-8     | 575                       |                            |                      |                              |
| CRJ9-LR | ICAO_B     | 2              | 3        | Montée       | Maxi décollage | U-8     | 1 000                     |                            |                      |                              |
| CRJ9-LR | ICAO_B     | 2              | 4        | Accélération | Maxi décollage | 0-204   |                           | 500                        | 204                  |                              |
| CRJ9-LR | ICAO_B     | 2              | 5        | Montée       | Maxi montée    | ZERO    | 3 000                     |                            |                      |                              |
| CRJ9-LR | ICAO_B     | 2              | 6        | Accélération | Maxi montée    | 0-250   |                           | 500                        | 250                  |                              |
| CRJ9-LR | ICAO_B     | 2              | 7        | Montée       | Maxi montée    | ZERO    | 10 000                    |                            |                      |                              |
| CRJ9-LR | ICAO_B     | 3              | 1        | Décollage    | Maxi décollage | D-8     |                           |                            |                      |                              |
| CRJ9-LR | ICAO_B     | 3              | 2        | Montée       | Maxi décollage | D-8     | 545                       |                            |                      |                              |
| CRJ9-LR | ICAO_B     | 3              | 3        | Montée       | Maxi décollage | U-8     | 1 000                     |                            |                      |                              |
| CRJ9-LR | ICAO_B     | 3              | 4        | Accélération | Maxi décollage | 0-204   |                           | 500                        | 204                  |                              |
| CRJ9-LR | ICAO_B     | 3              | 5        | Montée       | Maxi montée    | ZERO    | 3 000                     |                            |                      |                              |
| CRJ9-LR | ICAO_B     | 3              | 6        | Accélération | Maxi montée    | 0-250   |                           | 500                        | 250                  |                              |
| CRJ9-LR | ICAO_B     | 3              | 7        | Montée       | Maxi montée    | ZERO    | 10 000                    |                            |                      |                              |
| CRJ9-LR | ICAO_B     | 4              | 1        | Décollage    | Maxi décollage | D-8     |                           |                            |                      |                              |
| CRJ9-LR | ICAO_B     | 4              | 2        | Montée       | Maxi décollage | D-8     | 505                       |                            |                      |                              |
| CRJ9-LR | ICAO_B     | 4              | 3        | Montée       | Maxi décollage | U-8     | 1 000                     |                            |                      |                              |
| CRJ9-LR | ICAO_B     | 4              | 4        | Accélération | Maxi décollage | 0-204   |                           | 500                        | 204                  |                              |
| CRJ9-LR | ICAO_B     | 4              | 5        | Montée       | Maxi montée    | ZERO    | 3 000                     |                            |                      |                              |

| ACFTID  | Profile_ID | Longueur phase | N° étape | Type étape   | Indice poussée | Flap_ID | Altitude point final (ft) | Vitesse de montée (ft/min) | CAS point final (kt) | Pourcentage accélération (%) |
|---------|------------|----------------|----------|--------------|----------------|---------|---------------------------|----------------------------|----------------------|------------------------------|
| CRJ9-LR | ICAO_B     | 4              | 6        | Accélération | Maxi montée    | 0-250   |                           | 500                        | 250                  |                              |
| CRJ9-LR | ICAO_B     | 4              | 7        | Montée       | Maxi montée    | ZERO    | 10 000                    |                            |                      |                              |
| CRJ9-LR | ICAO_B     | 5              | 1        | Décollage    | Maxi décollage | D-8     |                           |                            |                      |                              |
| CRJ9-LR | ICAO_B     | 5              | 2        | Montée       | Maxi décollage | D-8     | 455                       |                            |                      |                              |
| CRJ9-LR | ICAO_B     | 5              | 3        | Montée       | Maxi décollage | U-8     | 1 000                     |                            |                      |                              |
| CRJ9-LR | ICAO_B     | 5              | 4        | Accélération | Maxi décollage | 0-204   |                           | 500                        | 204                  |                              |
| CRJ9-LR | ICAO_B     | 5              | 5        | Montée       | Maxi montée    | ZERO    | 3 000                     |                            |                      |                              |
| CRJ9-LR | ICAO_B     | 5              | 6        | Accélération | Maxi montée    | 0-250   |                           | 500                        | 250                  |                              |
| CRJ9-LR | ICAO_B     | 5              | 7        | Montée       | Maxi montée    | ZERO    | 10 000                    |                            |                      |                              |
| CVR580  | DEFAULT    | 1              | 1        | Décollage    | Maxi décollage | 10      |                           |                            |                      |                              |
| CVR580  | DEFAULT    | 1              | 2        | Montée       | Maxi décollage | 10      | 1 000                     |                            |                      |                              |
| CVR580  | DEFAULT    | 1              | 3        | Accélération | Maxi décollage | 10      |                           | 1 907                      | 130                  |                              |
| CVR580  | DEFAULT    | 1              | 4        | Accélération | Maxi montée    | INTR    |                           | 1 430                      | 150                  |                              |
| CVR580  | DEFAULT    | 1              | 5        | Montée       | Maxi montée    | ZERO    | 3 000                     |                            |                      |                              |
| CVR580  | DEFAULT    | 1              | 6        | Montée       | Maxi montée    | ZERO    | 5 500                     |                            |                      |                              |
| CVR580  | DEFAULT    | 1              | 7        | Montée       | Maxi montée    | ZERO    | 7 500                     |                            |                      |                              |
| CVR580  | DEFAULT    | 1              | 8        | Montée       | Maxi montée    | ZERO    | 10 000                    |                            |                      |                              |
| CVR580  | DEFAULT    | 2              | 1        | Décollage    | Maxi décollage | 10      |                           |                            |                      |                              |
| CVR580  | DEFAULT    | 2              | 2        | Montée       | Maxi décollage | 10      | 1 000                     |                            |                      |                              |
| CVR580  | DEFAULT    | 2              | 3        | Accélération | Maxi décollage | 10      |                           | 1 557                      | 136                  |                              |

| ACFTID | Profile_ID | Longueur phase | N° étape | Type étape   | Indice poussée | Flap_ID | Altitude point final (ft) | Vitesse de montée (ft/min) | CAS point final (kt) | Pourcentage_accélération (%) |
|--------|------------|----------------|----------|--------------|----------------|---------|---------------------------|----------------------------|----------------------|------------------------------|
| CVR580 | DEFAULT    | 2              | 4        | Accélération | Maxi montée    | INTR    |                           | 1 168                      | 156                  |                              |
| CVR580 | DEFAULT    | 2              | 5        | Montée       | Maxi montée    | ZERO    | 3 000                     |                            |                      |                              |
| CVR580 | DEFAULT    | 2              | 6        | Montée       | Maxi montée    | ZERO    | 5 500                     |                            |                      |                              |
| CVR580 | DEFAULT    | 2              | 7        | Montée       | Maxi montée    | ZERO    | 7 500                     |                            |                      |                              |
| CVR580 | DEFAULT    | 2              | 8        | Montée       | Maxi montée    | ZERO    | 10 000                    |                            |                      |                              |
| CVR580 | DEFAULT    | 3              | 1        | Décollage    | Maxi décollage | 10      |                           |                            |                      |                              |
| CVR580 | DEFAULT    | 3              | 2        | Montée       | Maxi décollage | 10      | 1 000                     |                            |                      |                              |
| CVR580 | DEFAULT    | 3              | 3        | Accélération | Maxi décollage | 10      |                           | 1 321                      | 140                  |                              |
| CVR580 | DEFAULT    | 3              | 4        | Accélération | Maxi montée    | INTR    |                           | 991                        | 160                  |                              |
| CVR580 | DEFAULT    | 3              | 5        | Montée       | Maxi montée    | ZERO    | 3 000                     |                            |                      |                              |
| CVR580 | DEFAULT    | 3              | 6        | Montée       | Maxi montée    | ZERO    | 5 500                     |                            |                      |                              |
| CVR580 | DEFAULT    | 3              | 7        | Montée       | Maxi montée    | ZERO    | 7 500                     |                            |                      |                              |
| CVR580 | DEFAULT    | 3              | 8        | Montée       | Maxi montée    | ZERO    | 10 000                    |                            |                      |                              |
| DC1010 | DEFAULT    | 1              | 1        | Décollage    | Maxi décollage | 10      |                           |                            |                      |                              |
| DC1010 | DEFAULT    | 1              | 2        | Montée       | Maxi décollage | 10      | 1 000                     |                            |                      |                              |
| DC1010 | DEFAULT    | 1              | 3        | Accélération | Maxi décollage | 10      |                           | 1 904                      | 159                  |                              |
| DC1010 | DEFAULT    | 1              | 4        | Accélération | Maxi décollage | 5       |                           | 1 428                      | 174                  |                              |
| DC1010 | DEFAULT    | 1              | 5        | Accélération | Maxi montée    | INT     |                           | 1 000                      | 189                  |                              |
| DC1010 | DEFAULT    | 1              | 6        | Montée       | Maxi montée    | ZERO    | 3 000                     |                            |                      |                              |
| DC1010 | DEFAULT    | 1              | 7        | Accélération | Maxi montée    | ZERO    |                           | 1 000                      | 250                  |                              |

| ACFTID | Profile_ID | Longueur phase | N° étape | Type étape   | Indice poussée | Flap_ID | Altitude point final (ft) | Vitesse de montée (ft/min) | CAS point final (kt) | Pourcentage_accélération (%) |
|--------|------------|----------------|----------|--------------|----------------|---------|---------------------------|----------------------------|----------------------|------------------------------|
| DC1010 | DEFAULT    | 1              | 8        | Montée       | Maxi montée    | ZERO    | 5 500                     |                            |                      |                              |
| DC1010 | DEFAULT    | 1              | 9        | Montée       | Maxi montée    | ZERO    | 7 500                     |                            |                      |                              |
| DC1010 | DEFAULT    | 1              | 10       | Montée       | Maxi montée    | ZERO    | 10 000                    |                            |                      |                              |
| DC1010 | DEFAULT    | 2              | 1        | Décollage    | Maxi décollage | 10      |                           |                            |                      |                              |
| DC1010 | DEFAULT    | 2              | 2        | Montée       | Maxi décollage | 10      | 1 000                     |                            |                      |                              |
| DC1010 | DEFAULT    | 2              | 3        | Accélération | Maxi décollage | 10      |                           | 1 799                      | 163                  |                              |
| DC1010 | DEFAULT    | 2              | 4        | Accélération | Maxi décollage | 5       |                           | 1 350                      | 178                  |                              |
| DC1010 | DEFAULT    | 2              | 5        | Accélération | Maxi montée    | INT     |                           | 1 000                      | 193                  |                              |
| DC1010 | DEFAULT    | 2              | 6        | Montée       | Maxi montée    | ZERO    | 3 000                     |                            |                      |                              |
| DC1010 | DEFAULT    | 2              | 7        | Accélération | Maxi montée    | ZERO    |                           | 1 000                      | 250                  |                              |
| DC1010 | DEFAULT    | 2              | 8        | Montée       | Maxi montée    | ZERO    | 5 500                     |                            |                      |                              |
| DC1010 | DEFAULT    | 2              | 9        | Montée       | Maxi montée    | ZERO    | 7 500                     |                            |                      |                              |
| DC1010 | DEFAULT    | 2              | 10       | Montée       | Maxi montée    | ZERO    | 10 000                    |                            |                      |                              |
| DC1010 | DEFAULT    | 3              | 1        | Décollage    | Maxi décollage | 10      |                           |                            |                      |                              |
| DC1010 | DEFAULT    | 3              | 2        | Montée       | Maxi décollage | 10      | 1 000                     |                            |                      |                              |
| DC1010 | DEFAULT    | 3              | 3        | Accélération | Maxi décollage | 10      |                           | 1 670                      | 167                  |                              |
| DC1010 | DEFAULT    | 3              | 4        | Accélération | Maxi décollage | 5       |                           | 1 253                      | 182                  |                              |
| DC1010 | DEFAULT    | 3              | 5        | Accélération | Maxi montée    | INT     |                           | 1 000                      | 197                  |                              |
| DC1010 | DEFAULT    | 3              | 6        | Montée       | Maxi montée    | ZERO    | 3 000                     |                            |                      |                              |
| DC1010 | DEFAULT    | 3              | 7        | Accélération | Maxi montée    | ZERO    |                           | 1 000                      | 250                  |                              |

| ACFTID | Profile_ID | Longueur phase | N° étape | Type étape   | Indice poussée | Flap_ID | Altitude point final (ft) | Vitesse de montée (ft/min) | CAS point final (kt) | Pourcentage_accélération (%) |
|--------|------------|----------------|----------|--------------|----------------|---------|---------------------------|----------------------------|----------------------|------------------------------|
| DC1010 | DEFAULT    | 3              | 8        | Montée       | Maxi montée    | ZERO    | 5 500                     |                            |                      |                              |
| DC1010 | DEFAULT    | 3              | 9        | Montée       | Maxi montée    | ZERO    | 7 500                     |                            |                      |                              |
| DC1010 | DEFAULT    | 3              | 10       | Montée       | Maxi montée    | ZERO    | 10 000                    |                            |                      |                              |
| DC1010 | DEFAULT    | 4              | 1        | Décollage    | Maxi décollage | 10      |                           |                            |                      |                              |
| DC1010 | DEFAULT    | 4              | 2        | Montée       | Maxi décollage | 10      | 1 000                     |                            |                      |                              |
| DC1010 | DEFAULT    | 4              | 3        | Accélération | Maxi décollage | 10      |                           | 1 494                      | 174                  |                              |
| DC1010 | DEFAULT    | 4              | 4        | Accélération | Maxi décollage | 5       |                           | 1 121                      | 189                  |                              |
| DC1010 | DEFAULT    | 4              | 5        | Accélération | Maxi montée    | INT     |                           | 1 000                      | 204                  |                              |
| DC1010 | DEFAULT    | 4              | 6        | Montée       | Maxi montée    | ZERO    | 3 000                     |                            |                      |                              |
| DC1010 | DEFAULT    | 4              | 7        | Accélération | Maxi montée    | ZERO    |                           | 1 000                      | 250                  |                              |
| DC1010 | DEFAULT    | 4              | 8        | Montée       | Maxi montée    | ZERO    | 5 500                     |                            |                      |                              |
| DC1010 | DEFAULT    | 4              | 9        | Montée       | Maxi montée    | ZERO    | 7 500                     |                            |                      |                              |
| DC1010 | DEFAULT    | 4              | 10       | Montée       | Maxi montée    | ZERO    | 10 000                    |                            |                      |                              |
| DC1010 | DEFAULT    | 5              | 1        | Décollage    | Maxi décollage | 10      |                           |                            |                      |                              |
| DC1010 | DEFAULT    | 5              | 2        | Montée       | Maxi décollage | 10      | 1 000                     |                            |                      |                              |
| DC1010 | DEFAULT    | 5              | 3        | Accélération | Maxi décollage | 10      |                           | 1 335                      | 180                  |                              |
| DC1010 | DEFAULT    | 5              | 4        | Accélération | Maxi décollage | 5       |                           | 1 002                      | 195                  |                              |
| DC1010 | DEFAULT    | 5              | 5        | Accélération | Maxi montée    | INT     |                           | 1 000                      | 210                  |                              |
| DC1010 | DEFAULT    | 5              | 6        | Montée       | Maxi montée    | ZERO    | 3 000                     |                            |                      |                              |
| DC1010 | DEFAULT    | 5              | 7        | Accélération | Maxi montée    | ZERO    |                           | 1 000                      | 250                  |                              |

| ACFTID | Profile_ID | Longueur phase | N° étape | Type étape   | Indice poussée | Flap_ID | Altitude point final (ft) | Vitesse de montée (ft/min) | CAS point final (kt) | Pourcentage_accélération (%) |
|--------|------------|----------------|----------|--------------|----------------|---------|---------------------------|----------------------------|----------------------|------------------------------|
| DC1010 | DEFAULT    | 5              | 8        | Montée       | Maxi montée    | ZERO    | 5 500                     |                            |                      |                              |
| DC1010 | DEFAULT    | 5              | 9        | Montée       | Maxi montée    | ZERO    | 7 500                     |                            |                      |                              |
| DC1010 | DEFAULT    | 5              | 10       | Montée       | Maxi montée    | ZERO    | 10 000                    |                            |                      |                              |
| DC1010 | DEFAULT    | 6              | 1        | Décollage    | Maxi décollage | 10      |                           |                            |                      |                              |
| DC1010 | DEFAULT    | 6              | 2        | Montée       | Maxi décollage | 10      | 1 000                     |                            |                      |                              |
| DC1010 | DEFAULT    | 6              | 3        | Accélération | Maxi décollage | 10      |                           | 1 191                      | 186                  |                              |
| DC1010 | DEFAULT    | 6              | 4        | Accélération | Maxi décollage | 5       |                           | 894                        | 201                  |                              |
| DC1010 | DEFAULT    | 6              | 5        | Accélération | Maxi montée    | INT     |                           | 800                        | 216                  |                              |
| DC1010 | DEFAULT    | 6              | 6        | Montée       | Maxi montée    | ZERO    | 3 000                     |                            |                      |                              |
| DC1010 | DEFAULT    | 6              | 7        | Accélération | Maxi montée    | ZERO    |                           | 800                        | 250                  |                              |
| DC1010 | DEFAULT    | 6              | 8        | Montée       | Maxi montée    | ZERO    | 5 500                     |                            |                      |                              |
| DC1010 | DEFAULT    | 6              | 9        | Montée       | Maxi montée    | ZERO    | 7 500                     |                            |                      |                              |
| DC1010 | DEFAULT    | 6              | 10       | Montée       | Maxi montée    | ZERO    | 10 000                    |                            |                      |                              |
| DC1040 | DEFAULT    | 1              | 1        | Décollage    | Maxi décollage | 15      |                           |                            |                      |                              |
| DC1040 | DEFAULT    | 1              | 2        | Montée       | Maxi décollage | 15      | 1 000                     |                            |                      |                              |
| DC1040 | DEFAULT    | 1              | 3        | Accélération | Maxi décollage | 15      |                           | 2 255                      | 175                  |                              |
| DC1040 | DEFAULT    | 1              | 4        | Accélération | Maxi décollage | 5       |                           | 1 692                      | 190                  |                              |
| DC1040 | DEFAULT    | 1              | 5        | Accélération | Maxi montée    | INT     |                           | 1 000                      | 205                  |                              |
| DC1040 | DEFAULT    | 1              | 6        | Montée       | Maxi montée    | ZERO    | 3 000                     |                            |                      |                              |
| DC1040 | DEFAULT    | 1              | 7        | Accélération | Maxi montée    | ZERO    |                           | 1 000                      | 250                  |                              |

| ACFTID | Profile_ID | Longueur phase | N° étape | Type étape   | Indice poussée | Flap_ID | Altitude point final (ft) | Vitesse de montée (ft/min) | CAS point final (kt) | Pourcentage_accélération (%) |
|--------|------------|----------------|----------|--------------|----------------|---------|---------------------------|----------------------------|----------------------|------------------------------|
| DC1040 | DEFAULT    | 1              | 8        | Montée       | Maxi montée    | ZERO    | 5 500                     |                            |                      |                              |
| DC1040 | DEFAULT    | 1              | 9        | Montée       | Maxi montée    | ZERO    | 7 500                     |                            |                      |                              |
| DC1040 | DEFAULT    | 1              | 10       | Montée       | Maxi montée    | ZERO    | 10 000                    |                            |                      |                              |
| DC1040 | DEFAULT    | 2              | 1        | Décollage    | Maxi décollage | 15      |                           |                            |                      |                              |
| DC1040 | DEFAULT    | 2              | 2        | Montée       | Maxi décollage | 15      | 1 000                     |                            |                      |                              |
| DC1040 | DEFAULT    | 2              | 3        | Accélération | Maxi décollage | 15      |                           | 2 146                      | 178                  |                              |
| DC1040 | DEFAULT    | 2              | 4        | Accélération | Maxi décollage | 5       |                           | 1 610                      | 193                  |                              |
| DC1040 | DEFAULT    | 2              | 5        | Accélération | Maxi montée    | INT     |                           | 1 000                      | 208                  |                              |
| DC1040 | DEFAULT    | 2              | 6        | Montée       | Maxi montée    | ZERO    | 3 000                     |                            |                      |                              |
| DC1040 | DEFAULT    | 2              | 7        | Accélération | Maxi montée    | ZERO    |                           | 1 000                      | 250                  |                              |
| DC1040 | DEFAULT    | 2              | 8        | Montée       | Maxi montée    | ZERO    | 5 500                     |                            |                      |                              |
| DC1040 | DEFAULT    | 2              | 9        | Montée       | Maxi montée    | ZERO    | 7 500                     |                            |                      |                              |
| DC1040 | DEFAULT    | 2              | 10       | Montée       | Maxi montée    | ZERO    | 10 000                    |                            |                      |                              |
| DC1040 | DEFAULT    | 3              | 1        | Décollage    | Maxi décollage | 15      |                           |                            |                      |                              |
| DC1040 | DEFAULT    | 3              | 2        | Montée       | Maxi décollage | 15      | 1 000                     |                            |                      |                              |
| DC1040 | DEFAULT    | 3              | 3        | Accélération | Maxi décollage | 15      |                           | 2 050                      | 181                  |                              |
| DC1040 | DEFAULT    | 3              | 4        | Accélération | Maxi décollage | 5       |                           | 1 538                      | 196                  |                              |
| DC1040 | DEFAULT    | 3              | 5        | Accélération | Maxi montée    | INT     |                           | 1 000                      | 211                  |                              |
| DC1040 | DEFAULT    | 3              | 6        | Montée       | Maxi montée    | ZERO    | 3 000                     |                            |                      |                              |
| DC1040 | DEFAULT    | 3              | 7        | Accélération | Maxi montée    | ZERO    |                           | 1 000                      | 250                  |                              |

| ACFTID | Profile_ID | Longueur phase | N° étape | Type étape   | Indice poussée | Flap_ID | Altitude point final (ft) | Vitesse de montée (ft/min) | CAS point final (kt) | Pourcentage accélération (%) |
|--------|------------|----------------|----------|--------------|----------------|---------|---------------------------|----------------------------|----------------------|------------------------------|
| DC1040 | DEFAULT    | 3              | 8        | Montée       | Maxi montée    | ZERO    | 5 500                     |                            |                      |                              |
| DC1040 | DEFAULT    | 3              | 9        | Montée       | Maxi montée    | ZERO    | 7 500                     |                            |                      |                              |
| DC1040 | DEFAULT    | 3              | 10       | Montée       | Maxi montée    | ZERO    | 10 000                    |                            |                      |                              |
| DC1040 | DEFAULT    | 4              | 1        | Décollage    | Maxi décollage | 15      |                           |                            |                      |                              |
| DC1040 | DEFAULT    | 4              | 2        | Montée       | Maxi décollage | 15      | 1 000                     |                            |                      |                              |
| DC1040 | DEFAULT    | 4              | 3        | Accélération | Maxi décollage | 15      |                           | 1 859                      | 187                  |                              |
| DC1040 | DEFAULT    | 4              | 4        | Accélération | Maxi décollage | 5       |                           | 1 395                      | 202                  |                              |
| DC1040 | DEFAULT    | 4              | 5        | Accélération | Maxi montée    | INT     |                           | 1 000                      | 217                  |                              |
| DC1040 | DEFAULT    | 4              | 6        | Montée       | Maxi montée    | ZERO    | 3 000                     |                            |                      |                              |
| DC1040 | DEFAULT    | 4              | 7        | Accélération | Maxi montée    | ZERO    |                           | 1 000                      | 250                  |                              |
| DC1040 | DEFAULT    | 4              | 8        | Montée       | Maxi montée    | ZERO    | 5 500                     |                            |                      |                              |
| DC1040 | DEFAULT    | 4              | 9        | Montée       | Maxi montée    | ZERO    | 7 500                     |                            |                      |                              |
| DC1040 | DEFAULT    | 4              | 10       | Montée       | Maxi montée    | ZERO    | 10 000                    |                            |                      |                              |
| DC1040 | DEFAULT    | 5              | 1        | Décollage    | Maxi décollage | 15      |                           |                            |                      |                              |
| DC1040 | DEFAULT    | 5              | 2        | Montée       | Maxi décollage | 15      | 1 000                     |                            |                      |                              |
| DC1040 | DEFAULT    | 5              | 3        | Accélération | Maxi décollage | 15      |                           | 1 639                      | 195                  |                              |
| DC1040 | DEFAULT    | 5              | 4        | Accélération | Maxi décollage | 5       |                           | 1 229                      | 210                  |                              |
| DC1040 | DEFAULT    | 5              | 5        | Accélération | Maxi montée    | INT     |                           | 1 000                      | 225                  |                              |
| DC1040 | DEFAULT    | 5              | 6        | Montée       | Maxi montée    | ZERO    | 3 000                     |                            |                      |                              |
| DC1040 | DEFAULT    | 5              | 7        | Accélération | Maxi montée    | ZERO    |                           | 1 000                      | 250                  |                              |

| ACFTID | Profile_ID | Longueur phase | N° étape | Type étape   | Indice poussée | Flap_ID | Altitude point final (ft) | Vitesse de montée (ft/min) | CAS point final (kt) | Pourcentage_accélération (%) |
|--------|------------|----------------|----------|--------------|----------------|---------|---------------------------|----------------------------|----------------------|------------------------------|
| DC1040 | DEFAULT    | 5              | 8        | Montée       | Maxi montée    | ZERO    | 5 500                     |                            |                      |                              |
| DC1040 | DEFAULT    | 5              | 9        | Montée       | Maxi montée    | ZERO    | 7 500                     |                            |                      |                              |
| DC1040 | DEFAULT    | 5              | 10       | Montée       | Maxi montée    | ZERO    | 10 000                    |                            |                      |                              |
| DC1040 | DEFAULT    | 6              | 1        | Décollage    | Maxi décollage | 15      |                           |                            |                      |                              |
| DC1040 | DEFAULT    | 6              | 2        | Montée       | Maxi décollage | 15      | 1 000                     |                            |                      |                              |
| DC1040 | DEFAULT    | 6              | 3        | Accélération | Maxi décollage | 15      |                           | 1 436                      | 203                  |                              |
| DC1040 | DEFAULT    | 6              | 4        | Accélération | Maxi décollage | 5       |                           | 1 077                      | 218                  |                              |
| DC1040 | DEFAULT    | 6              | 5        | Accélération | Maxi montée    | INT     |                           | 1 000                      | 233                  |                              |
| DC1040 | DEFAULT    | 6              | 6        | Montée       | Maxi montée    | ZERO    | 3 000                     |                            |                      |                              |
| DC1040 | DEFAULT    | 6              | 7        | Accélération | Maxi montée    | ZERO    |                           | 1 000                      | 250                  |                              |
| DC1040 | DEFAULT    | 6              | 8        | Montée       | Maxi montée    | ZERO    | 5 500                     |                            |                      |                              |
| DC1040 | DEFAULT    | 6              | 9        | Montée       | Maxi montée    | ZERO    | 7 500                     |                            |                      |                              |
| DC1040 | DEFAULT    | 6              | 10       | Montée       | Maxi montée    | ZERO    | 10 000                    |                            |                      |                              |
| DC1040 | DEFAULT    | 7              | 1        | Décollage    | Maxi décollage | 15      |                           |                            |                      |                              |
| DC1040 | DEFAULT    | 7              | 2        | Montée       | Maxi décollage | 15      | 1 000                     |                            |                      |                              |
| DC1040 | DEFAULT    | 7              | 3        | Accélération | Maxi décollage | 15      |                           | 1 170                      | 211                  |                              |
| DC1040 | DEFAULT    | 7              | 4        | Accélération | Maxi décollage | 5       |                           | 878                        | 226                  |                              |
| DC1040 | DEFAULT    | 7              | 5        | Accélération | Maxi montée    | INT     |                           | 800                        | 241                  |                              |
| DC1040 | DEFAULT    | 7              | 6        | Montée       | Maxi montée    | ZERO    | 3 000                     |                            |                      |                              |
| DC1040 | DEFAULT    | 7              | 7        | Accélération | Maxi montée    | ZERO    |                           | 800                        | 250                  |                              |

| ACFTID | Profile_ID | Longueur phase | N° étape | Type étape   | Indice poussée | Flap_ID | Altitude point final (ft) | Vitesse de montée (ft/min) | CAS point final (kt) | Pourcentage accélération (%) |
|--------|------------|----------------|----------|--------------|----------------|---------|---------------------------|----------------------------|----------------------|------------------------------|
| DC1040 | DEFAULT    | 7              | 8        | Montée       | Maxi montée    | ZERO    | 5 500                     |                            |                      |                              |
| DC1040 | DEFAULT    | 7              | 9        | Montée       | Maxi montée    | ZERO    | 7 500                     |                            |                      |                              |
| DC1040 | DEFAULT    | 7              | 10       | Montée       | Maxi montée    | ZERO    | 10 000                    |                            |                      |                              |
| DC3    | DEFAULT    | 1              | 1        | Décollage    | Maxi décollage | TO      |                           |                            |                      |                              |
| DC3    | DEFAULT    | 1              | 2        | Montée       | Maxi décollage | TO      | 400                       |                            |                      |                              |
| DC3    | DEFAULT    | 1              | 3        | Montée       | Maxi montée    | ZERO    | 3 000                     |                            |                      |                              |
| DC3    | DEFAULT    | 1              | 4        | Accélération | Maxi montée    | ZERO    |                           | 1 000                      | 126                  |                              |
| DC3    | DEFAULT    | 1              | 5        | Montée       | Maxi montée    | ZERO    | 5 500                     |                            |                      |                              |
| DC3    | DEFAULT    | 1              | 6        | Montée       | Maxi montée    | ZERO    | 7 500                     |                            |                      |                              |
| DC3    | DEFAULT    | 1              | 7        | Montée       | Maxi montée    | ZERO    | 10 000                    |                            |                      |                              |
| DC3    | DEFAULT    | 2              | 1        | Décollage    | Maxi décollage | TO      |                           |                            |                      |                              |
| DC3    | DEFAULT    | 2              | 2        | Montée       | Maxi décollage | TO      | 400                       |                            |                      |                              |
| DC3    | DEFAULT    | 2              | 3        | Montée       | Maxi montée    | ZERO    | 3 000                     |                            |                      |                              |
| DC3    | DEFAULT    | 2              | 4        | Accélération | Maxi montée    | ZERO    |                           | 800                        | 130                  |                              |
| DC3    | DEFAULT    | 2              | 5        | Montée       | Maxi montée    | ZERO    | 5 500                     |                            |                      |                              |
| DC3    | DEFAULT    | 2              | 6        | Montée       | Maxi montée    | ZERO    | 7 500                     |                            |                      |                              |
| DC3    | DEFAULT    | 2              | 7        | Montée       | Maxi montée    | ZERO    | 10 000                    |                            |                      |                              |
| DC3    | DEFAULT    | 3              | 1        | Décollage    | Maxi décollage | TO      |                           |                            |                      |                              |
| DC3    | DEFAULT    | 3              | 2        | Montée       | Maxi décollage | TO      | 400                       |                            |                      |                              |
| DC3    | DEFAULT    | 3              | 3        | Montée       | Maxi montée    | ZERO    | 3 000                     |                            |                      |                              |

| ACFTID | Profile_ID | Longueur phase | N° étape | Type étape   | Indice poussée | Flap_ID | Altitude point final (ft) | Vitesse de montée (ft/min) | CAS point final (kt) | Pourcentage accélération (%) |
|--------|------------|----------------|----------|--------------|----------------|---------|---------------------------|----------------------------|----------------------|------------------------------|
| DC3    | DEFAULT    | 3              | 4        | Accélération | Maxi montée    | ZERO    |                           | 633                        | 134                  |                              |
| DC3    | DEFAULT    | 3              | 5        | Montée       | Maxi montée    | ZERO    | 7 500                     |                            |                      |                              |
| DC3    | DEFAULT    | 3              | 6        | Montée       | Maxi montée    | ZERO    | 10 000                    |                            |                      |                              |
| DC6    | DEFAULT    | 1              | 1        | Décollage    | Maxi décollage | TO      |                           |                            |                      |                              |
| DC6    | DEFAULT    | 1              | 2        | Montée       | Maxi décollage | TO      | 1 500                     |                            |                      |                              |
| DC6    | DEFAULT    | 1              | 3        | Accélération | Maxi décollage | TO      |                           | 818                        | 135                  |                              |
| DC6    | DEFAULT    | 1              | 4        | Montée       | Maxi montée    | ZERO    | 3 000                     |                            |                      |                              |
| DC6    | DEFAULT    | 1              | 5        | Montée       | Maxi montée    | ZERO    | 5 500                     |                            |                      |                              |
| DC6    | DEFAULT    | 1              | 6        | Montée       | Maxi montée    | ZERO    | 7 500                     |                            |                      |                              |
| DC6    | DEFAULT    | 1              | 7        | Montée       | Maxi montée    | ZERO    | 10 000                    |                            |                      |                              |
| DC6    | DEFAULT    | 2              | 1        | Décollage    | Maxi décollage | TO      |                           |                            |                      |                              |
| DC6    | DEFAULT    | 2              | 2        | Montée       | Maxi décollage | TO      | 1 500                     |                            |                      |                              |
| DC6    | DEFAULT    | 2              | 3        | Accélération | Maxi décollage | TO      |                           | 643                        | 143                  |                              |
| DC6    | DEFAULT    | 2              | 4        | Montée       | Maxi montée    | ZERO    | 3 000                     |                            |                      |                              |
| DC6    | DEFAULT    | 2              | 5        | Montée       | Maxi montée    | ZERO    | 5 500                     |                            |                      |                              |
| DC6    | DEFAULT    | 2              | 6        | Montée       | Maxi montée    | ZERO    | 7 500                     |                            |                      |                              |
| DC6    | DEFAULT    | 2              | 7        | Montée       | Maxi montée    | ZERO    | 10 000                    |                            |                      |                              |
| DC6    | DEFAULT    | 3              | 1        | Décollage    | Maxi décollage | TO      |                           |                            |                      |                              |
| DC6    | DEFAULT    | 3              | 2        | Montée       | Maxi décollage | TO      | 1 500                     |                            |                      |                              |
| DC6    | DEFAULT    | 3              | 3        | Accélération | Maxi décollage | TO      |                           | 498                        | 149                  |                              |

| ACFTID | Profile_ID | Longueur phase | N° étape | Type étape   | Indice poussée | Flap_ID | Altitude point final (ft) | Vitesse de montée (ft/min) | CAS point final (kt) | Pourcentage accélération (%) |
|--------|------------|----------------|----------|--------------|----------------|---------|---------------------------|----------------------------|----------------------|------------------------------|
| DC6    | DEFAULT    | 3              | 4        | Montée       | Maxi montée    | ZERO    | 3 000                     |                            |                      |                              |
| DC6    | DEFAULT    | 3              | 5        | Montée       | Maxi montée    | ZERO    | 5 500                     |                            |                      |                              |
| DC6    | DEFAULT    | 3              | 6        | Montée       | Maxi montée    | ZERO    | 7 500                     |                            |                      |                              |
| DC6    | DEFAULT    | 3              | 7        | Montée       | Maxi montée    | ZERO    | 10 000                    |                            |                      |                              |
| DC850  | DEFAULT    | 1              | 1        | Décollage    | Maxi décollage | 15      |                           |                            |                      |                              |
| DC850  | DEFAULT    | 1              | 2        | Montée       | Maxi décollage | 15      | 1 000                     |                            |                      |                              |
| DC850  | DEFAULT    | 1              | 3        | Accélération | Maxi décollage | 15      |                           | 2 205                      | 149                  |                              |
| DC850  | DEFAULT    | 1              | 4        | Accélération | Maxi décollage | INT     |                           | 1 654                      | 169                  |                              |
| DC850  | DEFAULT    | 1              | 5        | Accélération | Maxi montée    | INT     |                           | 1 000                      | 189                  |                              |
| DC850  | DEFAULT    | 1              | 6        | Montée       | Maxi montée    | ZERO    | 3 000                     |                            |                      |                              |
| DC850  | DEFAULT    | 1              | 7        | Accélération | Maxi montée    | ZERO    |                           | 1 000                      | 250                  |                              |
| DC850  | DEFAULT    | 1              | 8        | Montée       | Maxi montée    | ZERO    | 5 500                     |                            |                      |                              |
| DC850  | DEFAULT    | 1              | 9        | Montée       | Maxi montée    | ZERO    | 7 500                     |                            |                      |                              |
| DC850  | DEFAULT    | 1              | 10       | Montée       | Maxi montée    | ZERO    | 10 000                    |                            |                      |                              |
| DC850  | DEFAULT    | 2              | 1        | Décollage    | Maxi décollage | 15      |                           |                            |                      |                              |
| DC850  | DEFAULT    | 2              | 2        | Montée       | Maxi décollage | 15      | 1 000                     |                            |                      |                              |
| DC850  | DEFAULT    | 2              | 3        | Accélération | Maxi décollage | 15      |                           | 2 089                      | 153                  |                              |
| DC850  | DEFAULT    | 2              | 4        | Accélération | Maxi décollage | INT     |                           | 1 567                      | 173                  |                              |
| DC850  | DEFAULT    | 2              | 5        | Accélération | Maxi montée    | INT     |                           | 1 000                      | 193                  |                              |
| DC850  | DEFAULT    | 2              | 6        | Montée       | Maxi montée    | ZERO    | 3 000                     |                            |                      |                              |

| ACFTID | Profile_ID | Longueur phase | N° étape | Type étape   | Indice poussée | Flap_ID | Altitude point final (ft) | Vitesse de montée (ft/min) | CAS point final (kt) | Pourcentage_accélération (%) |
|--------|------------|----------------|----------|--------------|----------------|---------|---------------------------|----------------------------|----------------------|------------------------------|
| DC850  | DEFAULT    | 2              | 7        | Accélération | Maxi montée    | ZERO    |                           | 1 000                      | 250                  |                              |
| DC850  | DEFAULT    | 2              | 8        | Montée       | Maxi montée    | ZERO    | 5 500                     |                            |                      |                              |
| DC850  | DEFAULT    | 2              | 9        | Montée       | Maxi montée    | ZERO    | 7 500                     |                            |                      |                              |
| DC850  | DEFAULT    | 2              | 10       | Montée       | Maxi montée    | ZERO    | 10 000                    |                            |                      |                              |
| DC850  | DEFAULT    | 3              | 1        | Décollage    | Maxi décollage | 15      |                           |                            |                      |                              |
| DC850  | DEFAULT    | 3              | 2        | Montée       | Maxi décollage | 15      | 1 000                     |                            |                      |                              |
| DC850  | DEFAULT    | 3              | 3        | Accélération | Maxi décollage | 15      |                           | 1 930                      | 158                  |                              |
| DC850  | DEFAULT    | 3              | 4        | Accélération | Maxi décollage | INT     |                           | 1 448                      | 178                  |                              |
| DC850  | DEFAULT    | 3              | 5        | Accélération | Maxi montée    | INT     |                           | 1 000                      | 198                  |                              |
| DC850  | DEFAULT    | 3              | 6        | Montée       | Maxi montée    | ZERO    | 3 000                     |                            |                      |                              |
| DC850  | DEFAULT    | 3              | 7        | Accélération | Maxi montée    | ZERO    |                           | 1 000                      | 250                  |                              |
| DC850  | DEFAULT    | 3              | 8        | Montée       | Maxi montée    | ZERO    | 5 500                     |                            |                      |                              |
| DC850  | DEFAULT    | 3              | 9        | Montée       | Maxi montée    | ZERO    | 7 500                     |                            |                      |                              |
| DC850  | DEFAULT    | 3              | 10       | Montée       | Maxi montée    | ZERO    | 10 000                    |                            |                      |                              |
| DC850  | DEFAULT    | 4              | 1        | Décollage    | Maxi décollage | 15      |                           |                            |                      |                              |
| DC850  | DEFAULT    | 4              | 2        | Montée       | Maxi décollage | 15      | 1 000                     |                            |                      |                              |
| DC850  | DEFAULT    | 4              | 3        | Accélération | Maxi décollage | 15      |                           | 1 743                      | 165                  |                              |
| DC850  | DEFAULT    | 4              | 4        | Accélération | Maxi décollage | INT     |                           | 1 308                      | 185                  |                              |
| DC850  | DEFAULT    | 4              | 5        | Accélération | Maxi montée    | INT     |                           | 1 000                      | 205                  |                              |
| DC850  | DEFAULT    | 4              | 6        | Montée       | Maxi montée    | ZERO    | 3 000                     |                            |                      |                              |

| ACFTID | Profile_ID | Longueur phase | N° étape | Type étape   | Indice poussée | Flap_ID | Altitude point final (ft) | Vitesse de montée (ft/min) | CAS point final (kt) | Pourcentage accélération (%) |
|--------|------------|----------------|----------|--------------|----------------|---------|---------------------------|----------------------------|----------------------|------------------------------|
| DC850  | DEFAULT    | 4              | 7        | Accélération | Maxi montée    | ZERO    |                           | 1 000                      | 250                  |                              |
| DC850  | DEFAULT    | 4              | 8        | Montée       | Maxi montée    | ZERO    | 5 500                     |                            |                      |                              |
| DC850  | DEFAULT    | 4              | 9        | Montée       | Maxi montée    | ZERO    | 7 500                     |                            |                      |                              |
| DC850  | DEFAULT    | 4              | 10       | Montée       | Maxi montée    | ZERO    | 10 000                    |                            |                      |                              |
| DC850  | DEFAULT    | 5              | 1        | Décollage    | Maxi décollage | 15      |                           |                            |                      |                              |
| DC850  | DEFAULT    | 5              | 2        | Montée       | Maxi décollage | 15      | 1 000                     |                            |                      |                              |
| DC850  | DEFAULT    | 5              | 3        | Accélération | Maxi décollage | 15      |                           | 1 541                      | 173                  |                              |
| DC850  | DEFAULT    | 5              | 4        | Accélération | Maxi décollage | INT     |                           | 1 156                      | 193                  |                              |
| DC850  | DEFAULT    | 5              | 5        | Accélération | Maxi montée    | INT     |                           | 1 000                      | 213                  |                              |
| DC850  | DEFAULT    | 5              | 6        | Montée       | Maxi montée    | ZERO    | 3 000                     |                            |                      |                              |
| DC850  | DEFAULT    | 5              | 7        | Accélération | Maxi montée    | ZERO    |                           | 1 000                      | 250                  |                              |
| DC850  | DEFAULT    | 5              | 8        | Montée       | Maxi montée    | ZERO    | 5 500                     |                            |                      |                              |
| DC850  | DEFAULT    | 5              | 9        | Montée       | Maxi montée    | ZERO    | 7 500                     |                            |                      |                              |
| DC850  | DEFAULT    | 5              | 10       | Montée       | Maxi montée    | ZERO    | 10 000                    |                            |                      |                              |
| DC850  | DEFAULT    | 6              | 1        | Décollage    | Maxi décollage | 15      |                           |                            |                      |                              |
| DC850  | DEFAULT    | 6              | 2        | Montée       | Maxi décollage | 15      | 1 000                     |                            |                      |                              |
| DC850  | DEFAULT    | 6              | 3        | Accélération | Maxi décollage | 15      |                           | 1 397                      | 180                  |                              |
| DC850  | DEFAULT    | 6              | 4        | Accélération | Maxi décollage | INT     |                           | 1 048                      | 200                  |                              |
| DC850  | DEFAULT    | 6              | 5        | Accélération | Maxi montée    | INT     |                           | 1 000                      | 220                  |                              |
| DC850  | DEFAULT    | 6              | 6        | Montée       | Maxi montée    | ZERO    | 3 000                     |                            |                      |                              |

| ACFTID | Profile_ID | Longueur phase | N° étape | Type étape   | Indice poussée | Flap_ID | Altitude point final (ft) | Vitesse de montée (ft/min) | CAS point final (kt) | Pourcentage_accélération (%) |
|--------|------------|----------------|----------|--------------|----------------|---------|---------------------------|----------------------------|----------------------|------------------------------|
| DC850  | DEFAULT    | 6              | 7        | Accélération | Maxi montée    | ZERO    |                           | 1 000                      | 250                  |                              |
| DC850  | DEFAULT    | 6              | 8        | Montée       | Maxi montée    | ZERO    | 5 500                     |                            |                      |                              |
| DC850  | DEFAULT    | 6              | 9        | Montée       | Maxi montée    | ZERO    | 7 500                     |                            |                      |                              |
| DC850  | DEFAULT    | 6              | 10       | Montée       | Maxi montée    | ZERO    | 10 000                    |                            |                      |                              |
| DC860  | DEFAULT    | 1              | 1        | Décollage    | Maxi décollage | 12      |                           |                            |                      |                              |
| DC860  | DEFAULT    | 1              | 2        | Montée       | Maxi décollage | 12      | 1 000                     |                            |                      |                              |
| DC860  | DEFAULT    | 1              | 3        | Accélération | Maxi décollage | 12      |                           | 2 055                      | 160                  |                              |
| DC860  | DEFAULT    | 1              | 4        | Accélération | Maxi décollage | INT     |                           | 1 541                      | 180                  |                              |
| DC860  | DEFAULT    | 1              | 5        | Accélération | Maxi montée    | INT     |                           | 1 000                      | 200                  |                              |
| DC860  | DEFAULT    | 1              | 6        | Montée       | Maxi montée    | ZERO    | 3 000                     |                            |                      |                              |
| DC860  | DEFAULT    | 1              | 7        | Accélération | Maxi montée    | ZERO    |                           | 1 000                      | 250                  |                              |
| DC860  | DEFAULT    | 1              | 8        | Montée       | Maxi montée    | ZERO    | 5 500                     |                            |                      |                              |
| DC860  | DEFAULT    | 1              | 9        | Montée       | Maxi montée    | ZERO    | 7 500                     |                            |                      |                              |
| DC860  | DEFAULT    | 1              | 10       | Montée       | Maxi montée    | ZERO    | 10 000                    |                            |                      |                              |
| DC860  | DEFAULT    | 2              | 1        | Décollage    | Maxi décollage | 12      |                           |                            |                      |                              |
| DC860  | DEFAULT    | 2              | 2        | Montée       | Maxi décollage | 12      | 1 000                     |                            |                      |                              |
| DC860  | DEFAULT    | 2              | 3        | Accélération | Maxi décollage | 12      |                           | 1 959                      | 164                  |                              |
| DC860  | DEFAULT    | 2              | 4        | Accélération | Maxi décollage | INT     |                           | 1 470                      | 184                  |                              |
| DC860  | DEFAULT    | 2              | 5        | Accélération | Maxi montée    | INT     |                           | 1 000                      | 204                  |                              |
| DC860  | DEFAULT    | 2              | 6        | Montée       | Maxi montée    | ZERO    | 3 000                     |                            |                      |                              |

| ACFTID | Profile_ID | Longueur phase | N° étape | Type étape   | Indice poussée | Flap_ID | Altitude point final (ft) | Vitesse de montée (ft/min) | CAS point final (kt) | Pourcentage accélération (%) |
|--------|------------|----------------|----------|--------------|----------------|---------|---------------------------|----------------------------|----------------------|------------------------------|
| DC860  | DEFAULT    | 2              | 7        | Accélération | Maxi montée    | ZERO    |                           | 1 000                      | 250                  |                              |
| DC860  | DEFAULT    | 2              | 8        | Montée       | Maxi montée    | ZERO    | 5 500                     |                            |                      |                              |
| DC860  | DEFAULT    | 2              | 9        | Montée       | Maxi montée    | ZERO    | 7 500                     |                            |                      |                              |
| DC860  | DEFAULT    | 2              | 10       | Montée       | Maxi montée    | ZERO    | 10 000                    |                            |                      |                              |
| DC860  | DEFAULT    | 3              | 1        | Décollage    | Maxi décollage | 12      |                           |                            |                      |                              |
| DC860  | DEFAULT    | 3              | 2        | Montée       | Maxi décollage | 12      | 1 000                     |                            |                      |                              |
| DC860  | DEFAULT    | 3              | 3        | Accélération | Maxi décollage | 12      |                           | 1 827                      | 168                  |                              |
| DC860  | DEFAULT    | 3              | 4        | Accélération | Maxi décollage | INT     |                           | 1 371                      | 188                  |                              |
| DC860  | DEFAULT    | 3              | 5        | Accélération | Maxi montée    | INT     |                           | 1 000                      | 208                  |                              |
| DC860  | DEFAULT    | 3              | 6        | Montée       | Maxi montée    | ZERO    | 3 000                     |                            |                      |                              |
| DC860  | DEFAULT    | 3              | 7        | Accélération | Maxi montée    | ZERO    |                           | 1 000                      | 250                  |                              |
| DC860  | DEFAULT    | 3              | 8        | Montée       | Maxi montée    | ZERO    | 5 500                     |                            |                      |                              |
| DC860  | DEFAULT    | 3              | 9        | Montée       | Maxi montée    | ZERO    | 7 500                     |                            |                      |                              |
| DC860  | DEFAULT    | 3              | 10       | Montée       | Maxi montée    | ZERO    | 10 000                    |                            |                      |                              |
| DC860  | DEFAULT    | 4              | 1        | Décollage    | Maxi décollage | 12      |                           |                            |                      |                              |
| DC860  | DEFAULT    | 4              | 2        | Montée       | Maxi décollage | 12      | 1 000                     |                            |                      |                              |
| DC860  | DEFAULT    | 4              | 3        | Accélération | Maxi décollage | 12      |                           | 1 668                      | 175                  |                              |
| DC860  | DEFAULT    | 4              | 4        | Accélération | Maxi décollage | INT     |                           | 1 251                      | 195                  |                              |
| DC860  | DEFAULT    | 4              | 5        | Accélération | Maxi montée    | INT     |                           | 1 000                      | 215                  |                              |
| DC860  | DEFAULT    | 4              | 6        | Montée       | Maxi montée    | ZERO    | 3 000                     |                            |                      |                              |

| ACFTID | Profile_ID | Longueur phase | N° étape | Type étape   | Indice poussée | Flap_ID | Altitude point final (ft) | Vitesse de montée (ft/min) | CAS point final (kt) | Pourcentage_accélération (%) |
|--------|------------|----------------|----------|--------------|----------------|---------|---------------------------|----------------------------|----------------------|------------------------------|
| DC860  | DEFAULT    | 4              | 7        | Accélération | Maxi montée    | ZERO    |                           | 1 000                      | 250                  |                              |
| DC860  | DEFAULT    | 4              | 8        | Montée       | Maxi montée    | ZERO    | 5 500                     |                            |                      |                              |
| DC860  | DEFAULT    | 4              | 9        | Montée       | Maxi montée    | ZERO    | 7 500                     |                            |                      |                              |
| DC860  | DEFAULT    | 4              | 10       | Montée       | Maxi montée    | ZERO    | 10 000                    |                            |                      |                              |
| DC860  | DEFAULT    | 5              | 1        | Décollage    | Maxi décollage | 12      |                           |                            |                      |                              |
| DC860  | DEFAULT    | 5              | 2        | Montée       | Maxi décollage | 12      | 1 000                     |                            |                      |                              |
| DC860  | DEFAULT    | 5              | 3        | Accélération | Maxi décollage | 12      |                           | 1 491                      | 182                  |                              |
| DC860  | DEFAULT    | 5              | 4        | Accélération | Maxi décollage | INT     |                           | 1 118                      | 202                  |                              |
| DC860  | DEFAULT    | 5              | 5        | Accélération | Maxi montée    | INT     |                           | 1 000                      | 222                  |                              |
| DC860  | DEFAULT    | 5              | 6        | Montée       | Maxi montée    | ZERO    | 3 000                     |                            |                      |                              |
| DC860  | DEFAULT    | 5              | 7        | Accélération | Maxi montée    | ZERO    |                           | 1 000                      | 250                  |                              |
| DC860  | DEFAULT    | 5              | 8        | Montée       | Maxi montée    | ZERO    | 5 500                     |                            |                      |                              |
| DC860  | DEFAULT    | 5              | 9        | Montée       | Maxi montée    | ZERO    | 7 500                     |                            |                      |                              |
| DC860  | DEFAULT    | 5              | 10       | Montée       | Maxi montée    | ZERO    | 10 000                    |                            |                      |                              |
| DC860  | DEFAULT    | 6              | 1        | Décollage    | Maxi décollage | 12      |                           |                            |                      |                              |
| DC860  | DEFAULT    | 6              | 2        | Montée       | Maxi décollage | 12      | 1 000                     |                            |                      |                              |
| DC860  | DEFAULT    | 6              | 3        | Accélération | Maxi décollage | 12      |                           | 1 394                      | 187                  |                              |
| DC860  | DEFAULT    | 6              | 4        | Accélération | Maxi décollage | INT     |                           | 1 046                      | 207                  |                              |
| DC860  | DEFAULT    | 6              | 5        | Accélération | Maxi montée    | INT     |                           | 1 000                      | 227                  |                              |
| DC860  | DEFAULT    | 6              | 6        | Montée       | Maxi montée    | ZERO    | 3 000                     |                            |                      |                              |

| ACFTID | Profile_ID | Longueur phase | N° étape | Type étape   | Indice poussée | Flap_ID | Altitude point final (ft) | Vitesse de montée (ft/min) | CAS point final (kt) | Pourcentage accélération (%) |
|--------|------------|----------------|----------|--------------|----------------|---------|---------------------------|----------------------------|----------------------|------------------------------|
| DC860  | DEFAULT    | 6              | 7        | Accélération | Maxi montée    | ZERO    |                           | 1 000                      | 250                  |                              |
| DC860  | DEFAULT    | 6              | 8        | Montée       | Maxi montée    | ZERO    | 5 500                     |                            |                      |                              |
| DC860  | DEFAULT    | 6              | 9        | Montée       | Maxi montée    | ZERO    | 7 500                     |                            |                      |                              |
| DC860  | DEFAULT    | 6              | 10       | Montée       | Maxi montée    | ZERO    | 10 000                    |                            |                      |                              |
| DC860  | DEFAULT    | 7              | 1        | Décollage    | Maxi décollage | 12      |                           |                            |                      |                              |
| DC860  | DEFAULT    | 7              | 2        | Montée       | Maxi décollage | 12      | 1 000                     |                            |                      |                              |
| DC860  | DEFAULT    | 7              | 3        | Accélération | Maxi décollage | 12      |                           | 1 275                      | 192                  |                              |
| DC860  | DEFAULT    | 7              | 4        | Accélération | Maxi décollage | INT     |                           | 956                        | 212                  |                              |
| DC860  | DEFAULT    | 7              | 5        | Accélération | Maxi montée    | INT     |                           | 900                        | 232                  |                              |
| DC860  | DEFAULT    | 7              | 6        | Montée       | Maxi montée    | ZERO    | 3 000                     |                            |                      |                              |
| DC860  | DEFAULT    | 7              | 7        | Accélération | Maxi montée    | ZERO    |                           | 900                        | 250                  |                              |
| DC860  | DEFAULT    | 7              | 8        | Montée       | Maxi montée    | ZERO    | 5 500                     |                            |                      |                              |
| DC860  | DEFAULT    | 7              | 9        | Montée       | Maxi montée    | ZERO    | 7 500                     |                            |                      |                              |
| DC860  | DEFAULT    | 7              | 10       | Montée       | Maxi montée    | ZERO    | 10 000                    |                            |                      |                              |
| DC870  | DEFAULT    | 1              | 1        | Décollage    | Maxi décollage | 12      |                           |                            |                      |                              |
| DC870  | DEFAULT    | 1              | 2        | Montée       | Maxi décollage | 12      | 1 000                     |                            |                      |                              |
| DC870  | DEFAULT    | 1              | 3        | Accélération | Maxi décollage | 12      |                           | 2 405                      | 160                  |                              |
| DC870  | DEFAULT    | 1              | 4        | Accélération | Maxi décollage | INT     |                           | 1 804                      | 180                  |                              |
| DC870  | DEFAULT    | 1              | 5        | Accélération | Maxi montée    | INT     |                           | 1 000                      | 200                  |                              |
| DC870  | DEFAULT    | 1              | 6        | Montée       | Maxi montée    | ZERO    | 3 000                     |                            |                      |                              |

| ACFTID | Profile_ID | Longueur phase | N° étape | Type étape   | Indice poussée | Flap_ID | Altitude point final (ft) | Vitesse de montée (ft/min) | CAS point final (kt) | Pourcentage_accélération (%) |
|--------|------------|----------------|----------|--------------|----------------|---------|---------------------------|----------------------------|----------------------|------------------------------|
| DC870  | DEFAULT    | 1              | 7        | Accélération | Maxi montée    | ZERO    |                           | 1 000                      | 250                  |                              |
| DC870  | DEFAULT    | 1              | 8        | Montée       | Maxi montée    | ZERO    | 5 500                     |                            |                      |                              |
| DC870  | DEFAULT    | 1              | 9        | Montée       | Maxi montée    | ZERO    | 7 500                     |                            |                      |                              |
| DC870  | DEFAULT    | 1              | 10       | Montée       | Maxi montée    | ZERO    | 10 000                    |                            |                      |                              |
| DC870  | DEFAULT    | 2              | 1        | Décollage    | Maxi décollage | 12      |                           |                            |                      |                              |
| DC870  | DEFAULT    | 2              | 2        | Montée       | Maxi décollage | 12      | 1 000                     |                            |                      |                              |
| DC870  | DEFAULT    | 2              | 3        | Accélération | Maxi décollage | 12      |                           | 2 289                      | 164                  |                              |
| DC870  | DEFAULT    | 2              | 4        | Accélération | Maxi décollage | INT     |                           | 1 717                      | 184                  |                              |
| DC870  | DEFAULT    | 2              | 5        | Accélération | Maxi montée    | INT     |                           | 1 000                      | 204                  |                              |
| DC870  | DEFAULT    | 2              | 6        | Montée       | Maxi montée    | ZERO    | 3 000                     |                            |                      |                              |
| DC870  | DEFAULT    | 2              | 7        | Accélération | Maxi montée    | ZERO    |                           | 1 000                      | 250                  |                              |
| DC870  | DEFAULT    | 2              | 8        | Montée       | Maxi montée    | ZERO    | 5 500                     |                            |                      |                              |
| DC870  | DEFAULT    | 2              | 9        | Montée       | Maxi montée    | ZERO    | 7 500                     |                            |                      |                              |
| DC870  | DEFAULT    | 2              | 10       | Montée       | Maxi montée    | ZERO    | 10 000                    |                            |                      |                              |
| DC870  | DEFAULT    | 3              | 1        | Décollage    | Maxi décollage | 12      |                           |                            |                      |                              |
| DC870  | DEFAULT    | 3              | 2        | Montée       | Maxi décollage | 12      | 1 000                     |                            |                      |                              |
| DC870  | DEFAULT    | 3              | 3        | Accélération | Maxi décollage | 12      |                           | 2 129                      | 168                  |                              |
| DC870  | DEFAULT    | 3              | 4        | Accélération | Maxi décollage | INT     |                           | 1 597                      | 188                  |                              |
| DC870  | DEFAULT    | 3              | 5        | Accélération | Maxi montée    | INT     |                           | 1 000                      | 208                  |                              |
| DC870  | DEFAULT    | 3              | 6        | Montée       | Maxi montée    | ZERO    | 3 000                     |                            |                      |                              |

| ACFTID | Profile_ID | Longueur phase | N° étape | Type étape   | Indice poussée | Flap_ID | Altitude point final (ft) | Vitesse de montée (ft/min) | CAS point final (kt) | Pourcentage accélération (%) |
|--------|------------|----------------|----------|--------------|----------------|---------|---------------------------|----------------------------|----------------------|------------------------------|
| DC870  | DEFAULT    | 3              | 7        | Accélération | Maxi montée    | ZERO    |                           | 1 000                      | 250                  |                              |
| DC870  | DEFAULT    | 3              | 8        | Montée       | Maxi montée    | ZERO    | 5 500                     |                            |                      |                              |
| DC870  | DEFAULT    | 3              | 9        | Montée       | Maxi montée    | ZERO    | 7 500                     |                            |                      |                              |
| DC870  | DEFAULT    | 3              | 10       | Montée       | Maxi montée    | ZERO    | 10 000                    |                            |                      |                              |
| DC870  | DEFAULT    | 4              | 1        | Décollage    | Maxi décollage | 12      |                           |                            |                      |                              |
| DC870  | DEFAULT    | 4              | 2        | Montée       | Maxi décollage | 12      | 1 000                     |                            |                      |                              |
| DC870  | DEFAULT    | 4              | 3        | Accélération | Maxi décollage | 12      |                           | 1 938                      | 175                  |                              |
| DC870  | DEFAULT    | 4              | 4        | Accélération | Maxi décollage | INT     |                           | 1 454                      | 195                  |                              |
| DC870  | DEFAULT    | 4              | 5        | Accélération | Maxi montée    | INT     |                           | 1 000                      | 215                  |                              |
| DC870  | DEFAULT    | 4              | 6        | Montée       | Maxi montée    | ZERO    | 3 000                     |                            |                      |                              |
| DC870  | DEFAULT    | 4              | 7        | Accélération | Maxi montée    | ZERO    |                           | 1 000                      | 250                  |                              |
| DC870  | DEFAULT    | 4              | 8        | Montée       | Maxi montée    | ZERO    | 5 500                     |                            |                      |                              |
| DC870  | DEFAULT    | 4              | 9        | Montée       | Maxi montée    | ZERO    | 7 500                     |                            |                      |                              |
| DC870  | DEFAULT    | 4              | 10       | Montée       | Maxi montée    | ZERO    | 10 000                    |                            |                      |                              |
| DC870  | DEFAULT    | 5              | 1        | Décollage    | Maxi décollage | 12      |                           |                            |                      |                              |
| DC870  | DEFAULT    | 5              | 2        | Montée       | Maxi décollage | 12      | 1 000                     |                            |                      |                              |
| DC870  | DEFAULT    | 5              | 3        | Accélération | Maxi décollage | 12      |                           | 1 727                      | 182                  |                              |
| DC870  | DEFAULT    | 5              | 4        | Accélération | Maxi décollage | INT     |                           | 1 295                      | 202                  |                              |
| DC870  | DEFAULT    | 5              | 5        | Accélération | Maxi montée    | INT     |                           | 1 000                      | 222                  |                              |
| DC870  | DEFAULT    | 5              | 6        | Montée       | Maxi montée    | ZERO    | 3 000                     |                            |                      |                              |

| ACFTID | Profile_ID | Longueur phase | N° étape | Type étape   | Indice poussée | Flap_ID | Altitude point final (ft) | Vitesse de montée (ft/min) | CAS point final (kt) | Pourcentage_accélération (%) |
|--------|------------|----------------|----------|--------------|----------------|---------|---------------------------|----------------------------|----------------------|------------------------------|
| DC870  | DEFAULT    | 5              | 7        | Accélération | Maxi montée    | ZERO    |                           | 1 000                      | 250                  |                              |
| DC870  | DEFAULT    | 5              | 8        | Montée       | Maxi montée    | ZERO    | 5 500                     |                            |                      |                              |
| DC870  | DEFAULT    | 5              | 9        | Montée       | Maxi montée    | ZERO    | 7 500                     |                            |                      |                              |
| DC870  | DEFAULT    | 5              | 10       | Montée       | Maxi montée    | ZERO    | 10 000                    |                            |                      |                              |
| DC870  | DEFAULT    | 6              | 1        | Décollage    | Maxi décollage | 12      |                           |                            |                      |                              |
| DC870  | DEFAULT    | 6              | 2        | Montée       | Maxi décollage | 12      | 1 000                     |                            |                      |                              |
| DC870  | DEFAULT    | 6              | 3        | Accélération | Maxi décollage | 12      |                           | 1 611                      | 187                  |                              |
| DC870  | DEFAULT    | 6              | 4        | Accélération | Maxi décollage | INT     |                           | 1 209                      | 207                  |                              |
| DC870  | DEFAULT    | 6              | 5        | Accélération | Maxi montée    | INT     |                           | 1 000                      | 227                  |                              |
| DC870  | DEFAULT    | 6              | 6        | Montée       | Maxi montée    | ZERO    | 3 000                     |                            |                      |                              |
| DC870  | DEFAULT    | 6              | 7        | Accélération | Maxi montée    | ZERO    |                           | 1 000                      | 250                  |                              |
| DC870  | DEFAULT    | 6              | 8        | Montée       | Maxi montée    | ZERO    | 5 500                     |                            |                      |                              |
| DC870  | DEFAULT    | 6              | 9        | Montée       | Maxi montée    | ZERO    | 7 500                     |                            |                      |                              |
| DC870  | DEFAULT    | 6              | 10       | Montée       | Maxi montée    | ZERO    | 10 000                    |                            |                      |                              |
| DC870  | DEFAULT    | 7              | 1        | Décollage    | Maxi décollage | 12      |                           |                            |                      |                              |
| DC870  | DEFAULT    | 7              | 2        | Montée       | Maxi décollage | 12      | 1 000                     |                            |                      |                              |
| DC870  | DEFAULT    | 7              | 3        | Accélération | Maxi décollage | 12      |                           | 1 470                      | 192                  |                              |
| DC870  | DEFAULT    | 7              | 4        | Accélération | Maxi décollage | INT     |                           | 1 103                      | 212                  |                              |
| DC870  | DEFAULT    | 7              | 5        | Accélération | Maxi montée    | INT     |                           | 1 000                      | 232                  |                              |
| DC870  | DEFAULT    | 7              | 6        | Montée       | Maxi montée    | ZERO    | 3 000                     |                            |                      |                              |

| ACFTID | Profile_ID | Longueur phase | N° étape | Type étape   | Indice poussée | Flap_ID | Altitude point final (ft) | Vitesse de montée (ft/min) | CAS point final (kt) | Pourcentage accélération (%) |
|--------|------------|----------------|----------|--------------|----------------|---------|---------------------------|----------------------------|----------------------|------------------------------|
| DC870  | DEFAULT    | 7              | 7        | Accélération | Maxi montée    | ZERO    |                           | 1 000                      | 250                  |                              |
| DC870  | DEFAULT    | 7              | 8        | Montée       | Maxi montée    | ZERO    | 5 500                     |                            |                      |                              |
| DC870  | DEFAULT    | 7              | 9        | Montée       | Maxi montée    | ZERO    | 7 500                     |                            |                      |                              |
| DC870  | DEFAULT    | 7              | 10       | Montée       | Maxi montée    | ZERO    | 10 000                    |                            |                      |                              |
| DC8QN  | DEFAULT    | 1              | 1        | Décollage    | Maxi décollage | 12      |                           |                            |                      |                              |
| DC8QN  | DEFAULT    | 1              | 2        | Montée       | Maxi décollage | 12      | 1 000                     |                            |                      |                              |
| DC8QN  | DEFAULT    | 1              | 3        | Accélération | Maxi décollage | 12      |                           | 2 055                      | 160                  |                              |
| DC8QN  | DEFAULT    | 1              | 4        | Accélération | Maxi décollage | INT     |                           | 1 541                      | 180                  |                              |
| DC8QN  | DEFAULT    | 1              | 5        | Accélération | Maxi montée    | INT     |                           | 1 000                      | 200                  |                              |
| DC8QN  | DEFAULT    | 1              | 6        | Montée       | Maxi montée    | ZERO    | 3 000                     |                            |                      |                              |
| DC8QN  | DEFAULT    | 1              | 7        | Accélération | Maxi montée    | ZERO    |                           | 1 000                      | 250                  |                              |
| DC8QN  | DEFAULT    | 1              | 8        | Montée       | Maxi montée    | ZERO    | 5 500                     |                            |                      |                              |
| DC8QN  | DEFAULT    | 1              | 9        | Montée       | Maxi montée    | ZERO    | 7 500                     |                            |                      |                              |
| DC8QN  | DEFAULT    | 1              | 10       | Montée       | Maxi montée    | ZERO    | 10 000                    |                            |                      |                              |
| DC8QN  | DEFAULT    | 2              | 1        | Décollage    | Maxi décollage | 12      |                           |                            |                      |                              |
| DC8QN  | DEFAULT    | 2              | 2        | Montée       | Maxi décollage | 12      | 1 000                     |                            |                      |                              |
| DC8QN  | DEFAULT    | 2              | 3        | Accélération | Maxi décollage | 12      |                           | 1 959                      | 164                  |                              |
| DC8QN  | DEFAULT    | 2              | 4        | Accélération | Maxi décollage | INT     |                           | 1 470                      | 184                  |                              |
| DC8QN  | DEFAULT    | 2              | 5        | Accélération | Maxi montée    | INT     |                           | 1 000                      | 204                  |                              |
| DC8QN  | DEFAULT    | 2              | 6        | Montée       | Maxi montée    | ZERO    | 3 000                     |                            |                      |                              |

| ACFTID | Profile_ID | Longueur phase | N° étape | Type étape   | Indice poussée | Flap_ID | Altitude point final (ft) | Vitesse de montée (ft/min) | CAS point final (kt) | Pourcentage_accélération (%) |
|--------|------------|----------------|----------|--------------|----------------|---------|---------------------------|----------------------------|----------------------|------------------------------|
| DC8QN  | DEFAULT    | 2              | 7        | Accélération | Maxi montée    | ZERO    |                           | 1 000                      | 250                  |                              |
| DC8QN  | DEFAULT    | 2              | 8        | Montée       | Maxi montée    | ZERO    | 5 500                     |                            |                      |                              |
| DC8QN  | DEFAULT    | 2              | 9        | Montée       | Maxi montée    | ZERO    | 7 500                     |                            |                      |                              |
| DC8QN  | DEFAULT    | 2              | 10       | Montée       | Maxi montée    | ZERO    | 10 000                    |                            |                      |                              |
| DC8QN  | DEFAULT    | 3              | 1        | Décollage    | Maxi décollage | 12      |                           |                            |                      |                              |
| DC8QN  | DEFAULT    | 3              | 2        | Montée       | Maxi décollage | 12      | 1 000                     |                            |                      |                              |
| DC8QN  | DEFAULT    | 3              | 3        | Accélération | Maxi décollage | 12      |                           | 1 827                      | 168                  |                              |
| DC8QN  | DEFAULT    | 3              | 4        | Accélération | Maxi décollage | INT     |                           | 1 371                      | 188                  |                              |
| DC8QN  | DEFAULT    | 3              | 5        | Accélération | Maxi montée    | INT     |                           | 1 000                      | 208                  |                              |
| DC8QN  | DEFAULT    | 3              | 6        | Montée       | Maxi montée    | ZERO    | 3 000                     |                            |                      |                              |
| DC8QN  | DEFAULT    | 3              | 7        | Accélération | Maxi montée    | ZERO    |                           | 1 000                      | 250                  |                              |
| DC8QN  | DEFAULT    | 3              | 8        | Montée       | Maxi montée    | ZERO    | 5 500                     |                            |                      |                              |
| DC8QN  | DEFAULT    | 3              | 9        | Montée       | Maxi montée    | ZERO    | 7 500                     |                            |                      |                              |
| DC8QN  | DEFAULT    | 3              | 10       | Montée       | Maxi montée    | ZERO    | 10 000                    |                            |                      |                              |
| DC8QN  | DEFAULT    | 4              | 1        | Décollage    | Maxi décollage | 12      |                           |                            |                      |                              |
| DC8QN  | DEFAULT    | 4              | 2        | Montée       | Maxi décollage | 12      | 1 000                     |                            |                      |                              |
| DC8QN  | DEFAULT    | 4              | 3        | Accélération | Maxi décollage | 12      |                           | 1 668                      | 175                  |                              |
| DC8QN  | DEFAULT    | 4              | 4        | Accélération | Maxi décollage | INT     |                           | 1 251                      | 195                  |                              |
| DC8QN  | DEFAULT    | 4              | 5        | Accélération | Maxi montée    | INT     |                           | 1 000                      | 215                  |                              |
| DC8QN  | DEFAULT    | 4              | 6        | Montée       | Maxi montée    | ZERO    | 3 000                     |                            |                      |                              |

| ACFTID | Profile_ID | Longueur phase | N° étape | Type étape   | Indice poussée | Flap_ID | Altitude point final (ft) | Vitesse de montée (ft/min) | CAS point final (kt) | Pourcentage accélération (%) |
|--------|------------|----------------|----------|--------------|----------------|---------|---------------------------|----------------------------|----------------------|------------------------------|
| DC8QN  | DEFAULT    | 4              | 7        | Accélération | Maxi montée    | ZERO    |                           | 1 000                      | 250                  |                              |
| DC8QN  | DEFAULT    | 4              | 8        | Montée       | Maxi montée    | ZERO    | 5 500                     |                            |                      |                              |
| DC8QN  | DEFAULT    | 4              | 9        | Montée       | Maxi montée    | ZERO    | 7 500                     |                            |                      |                              |
| DC8QN  | DEFAULT    | 4              | 10       | Montée       | Maxi montée    | ZERO    | 10 000                    |                            |                      |                              |
| DC8QN  | DEFAULT    | 5              | 1        | Décollage    | Maxi décollage | 12      |                           |                            |                      |                              |
| DC8QN  | DEFAULT    | 5              | 2        | Montée       | Maxi décollage | 12      | 1 000                     |                            |                      |                              |
| DC8QN  | DEFAULT    | 5              | 3        | Accélération | Maxi décollage | 12      |                           | 1 491                      | 182                  |                              |
| DC8QN  | DEFAULT    | 5              | 4        | Accélération | Maxi décollage | INT     |                           | 1 118                      | 202                  |                              |
| DC8QN  | DEFAULT    | 5              | 5        | Accélération | Maxi montée    | INT     |                           | 1 000                      | 222                  |                              |
| DC8QN  | DEFAULT    | 5              | 6        | Montée       | Maxi montée    | ZERO    | 3 000                     |                            |                      |                              |
| DC8QN  | DEFAULT    | 5              | 7        | Accélération | Maxi montée    | ZERO    |                           | 1 000                      | 250                  |                              |
| DC8QN  | DEFAULT    | 5              | 8        | Montée       | Maxi montée    | ZERO    | 5 500                     |                            |                      |                              |
| DC8QN  | DEFAULT    | 5              | 9        | Montée       | Maxi montée    | ZERO    | 7 500                     |                            |                      |                              |
| DC8QN  | DEFAULT    | 5              | 10       | Montée       | Maxi montée    | ZERO    | 10 000                    |                            |                      |                              |
| DC8QN  | DEFAULT    | 6              | 1        | Décollage    | Maxi décollage | 12      |                           |                            |                      |                              |
| DC8QN  | DEFAULT    | 6              | 2        | Montée       | Maxi décollage | 12      | 1 000                     |                            |                      |                              |
| DC8QN  | DEFAULT    | 6              | 3        | Accélération | Maxi décollage | 12      |                           | 1 394                      | 187                  |                              |
| DC8QN  | DEFAULT    | 6              | 4        | Accélération | Maxi décollage | INT     |                           | 1 046                      | 207                  |                              |
| DC8QN  | DEFAULT    | 6              | 5        | Accélération | Maxi montée    | INT     |                           | 1 000                      | 227                  |                              |
| DC8QN  | DEFAULT    | 6              | 6        | Montée       | Maxi montée    | ZERO    | 3 000                     |                            |                      |                              |

| ACFTID | Profile_ID | Longueur phase | N° étape | Type étape   | Indice poussée | Flap_ID | Altitude point final (ft) | Vitesse de montée (ft/min) | CAS point final (kt) | Pourcentage_accélération (%) |
|--------|------------|----------------|----------|--------------|----------------|---------|---------------------------|----------------------------|----------------------|------------------------------|
| DC8QN  | DEFAULT    | 6              | 7        | Accélération | Maxi montée    | ZERO    |                           | 1 000                      | 250                  |                              |
| DC8QN  | DEFAULT    | 6              | 8        | Montée       | Maxi montée    | ZERO    | 5 500                     |                            |                      |                              |
| DC8QN  | DEFAULT    | 6              | 9        | Montée       | Maxi montée    | ZERO    | 7 500                     |                            |                      |                              |
| DC8QN  | DEFAULT    | 6              | 10       | Montée       | Maxi montée    | ZERO    | 10 000                    |                            |                      |                              |
| DC8QN  | DEFAULT    | 7              | 1        | Décollage    | Maxi décollage | 12      |                           |                            |                      |                              |
| DC8QN  | DEFAULT    | 7              | 2        | Montée       | Maxi décollage | 12      | 1 000                     |                            |                      |                              |
| DC8QN  | DEFAULT    | 7              | 3        | Accélération | Maxi décollage | 12      |                           | 1 275                      | 192                  |                              |
| DC8QN  | DEFAULT    | 7              | 4        | Accélération | Maxi décollage | INT     |                           | 956                        | 212                  |                              |
| DC8QN  | DEFAULT    | 7              | 5        | Accélération | Maxi montée    | INT     |                           | 900                        | 232                  |                              |
| DC8QN  | DEFAULT    | 7              | 6        | Montée       | Maxi montée    | ZERO    | 3 000                     |                            |                      |                              |
| DC8QN  | DEFAULT    | 7              | 7        | Accélération | Maxi montée    | ZERO    |                           | 900                        | 250                  |                              |
| DC8QN  | DEFAULT    | 7              | 8        | Montée       | Maxi montée    | ZERO    | 5 500                     |                            |                      |                              |
| DC8QN  | DEFAULT    | 7              | 9        | Montée       | Maxi montée    | ZERO    | 7 500                     |                            |                      |                              |
| DC8QN  | DEFAULT    | 7              | 10       | Montée       | Maxi montée    | ZERO    | 10 000                    |                            |                      |                              |
| DC910  | DEFAULT    | 1              | 1        | Décollage    | Maxi décollage | 15      |                           |                            |                      |                              |
| DC910  | DEFAULT    | 1              | 2        | Montée       | Maxi décollage | 15      | 1 000                     |                            |                      |                              |
| DC910  | DEFAULT    | 1              | 3        | Accélération | Maxi décollage | 15      |                           | 2 296                      | 136                  |                              |
| DC910  | DEFAULT    | 1              | 4        | Accélération | Maxi décollage | 5       |                           | 1 722                      | 146                  |                              |
| DC910  | DEFAULT    | 1              | 5        | Accélération | Maxi montée    | INT     |                           | 1 000                      | 181                  |                              |
| DC910  | DEFAULT    | 1              | 6        | Montée       | Maxi montée    | ZERO    | 3 000                     |                            |                      |                              |

| ACFTID | Profile_ID | Longueur phase | N° étape | Type étape   | Indice poussée | Flap_ID | Altitude point final (ft) | Vitesse de montée (ft/min) | CAS point final (kt) | Pourcentage accélération (%) |
|--------|------------|----------------|----------|--------------|----------------|---------|---------------------------|----------------------------|----------------------|------------------------------|
| DC910  | DEFAULT    | 1              | 7        | Accélération | Maxi montée    | ZERO    |                           | 1 000                      | 250                  |                              |
| DC910  | DEFAULT    | 1              | 8        | Montée       | Maxi montée    | ZERO    | 5 500                     |                            |                      |                              |
| DC910  | DEFAULT    | 1              | 9        | Montée       | Maxi montée    | ZERO    | 7 500                     |                            |                      |                              |
| DC910  | DEFAULT    | 1              | 10       | Montée       | Maxi montée    | ZERO    | 10 000                    |                            |                      |                              |
| DC910  | DEFAULT    | 2              | 1        | Décollage    | Maxi décollage | 15      |                           |                            |                      |                              |
| DC910  | DEFAULT    | 2              | 2        | Montée       | Maxi décollage | 15      | 1 000                     |                            |                      |                              |
| DC910  | DEFAULT    | 2              | 3        | Accélération | Maxi décollage | 15      |                           | 2 070                      | 143                  |                              |
| DC910  | DEFAULT    | 2              | 4        | Accélération | Maxi décollage | 5       |                           | 1 553                      | 153                  |                              |
| DC910  | DEFAULT    | 2              | 5        | Accélération | Maxi montée    | INT     |                           | 1 000                      | 188                  |                              |
| DC910  | DEFAULT    | 2              | 6        | Montée       | Maxi montée    | ZERO    | 3 000                     |                            |                      |                              |
| DC910  | DEFAULT    | 2              | 7        | Accélération | Maxi montée    | ZERO    |                           | 1 000                      | 250                  |                              |
| DC910  | DEFAULT    | 2              | 8        | Montée       | Maxi montée    | ZERO    | 5 500                     |                            |                      |                              |
| DC910  | DEFAULT    | 2              | 9        | Montée       | Maxi montée    | ZERO    | 7 500                     |                            |                      |                              |
| DC910  | DEFAULT    | 2              | 10       | Montée       | Maxi montée    | ZERO    | 10 000                    |                            |                      |                              |
| DC910  | DEFAULT    | 3              | 1        | Décollage    | Maxi décollage | 15      |                           |                            |                      |                              |
| DC910  | DEFAULT    | 3              | 2        | Montée       | Maxi décollage | 15      | 1 000                     |                            |                      |                              |
| DC910  | DEFAULT    | 3              | 3        | Accélération | Maxi décollage | 15      |                           | 1 901                      | 149                  |                              |
| DC910  | DEFAULT    | 3              | 4        | Accélération | Maxi décollage | 5       |                           | 1 426                      | 159                  |                              |
| DC910  | DEFAULT    | 3              | 5        | Accélération | Maxi montée    | INT     |                           | 1 000                      | 194                  |                              |
| DC910  | DEFAULT    | 3              | 6        | Montée       | Maxi montée    | ZERO    | 3 000                     |                            |                      |                              |

| ACFTID | Profile_ID | Longueur phase | N° étape | Type étape   | Indice poussée | Flap_ID | Altitude point final (ft) | Vitesse de montée (ft/min) | CAS point final (kt) | Pourcentage_accélération (%) |
|--------|------------|----------------|----------|--------------|----------------|---------|---------------------------|----------------------------|----------------------|------------------------------|
| DC910  | DEFAULT    | 3              | 7        | Accélération | Maxi montée    | ZERO    |                           | 1 000                      | 250                  |                              |
| DC910  | DEFAULT    | 3              | 8        | Montée       | Maxi montée    | ZERO    | 5 500                     |                            |                      |                              |
| DC910  | DEFAULT    | 3              | 9        | Montée       | Maxi montée    | ZERO    | 7 500                     |                            |                      |                              |
| DC910  | DEFAULT    | 3              | 10       | Montée       | Maxi montée    | ZERO    | 10 000                    |                            |                      |                              |
| DC930  | DEFAULT    | 1              | 1        | Décollage    | Maxi décollage | 15      |                           |                            |                      |                              |
| DC930  | DEFAULT    | 1              | 2        | Montée       | Maxi décollage | 15      | 1 000                     |                            |                      |                              |
| DC930  | DEFAULT    | 1              | 3        | Accélération | Maxi décollage | 15      |                           | 1 741                      | 154                  |                              |
| DC930  | DEFAULT    | 1              | 4        | Accélération | Maxi décollage | 5       |                           | 1 306                      | 164                  |                              |
| DC930  | DEFAULT    | 1              | 5        | Accélération | Maxi montée    | INT     |                           | 1 000                      | 199                  |                              |
| DC930  | DEFAULT    | 1              | 6        | Montée       | Maxi montée    | ZERO    | 3 000                     |                            |                      |                              |
| DC930  | DEFAULT    | 1              | 7        | Accélération | Maxi montée    | ZERO    |                           | 1 000                      | 250                  |                              |
| DC930  | DEFAULT    | 1              | 8        | Montée       | Maxi montée    | ZERO    | 5 500                     |                            |                      |                              |
| DC930  | DEFAULT    | 1              | 9        | Montée       | Maxi montée    | ZERO    | 7 500                     |                            |                      |                              |
| DC930  | DEFAULT    | 1              | 10       | Montée       | Maxi montée    | ZERO    | 10 000                    |                            |                      |                              |
| DC930  | DEFAULT    | 2              | 1        | Décollage    | Maxi décollage | 15      |                           |                            |                      |                              |
| DC930  | DEFAULT    | 2              | 2        | Montée       | Maxi décollage | 15      | 1 000                     |                            |                      |                              |
| DC930  | DEFAULT    | 2              | 3        | Accélération | Maxi décollage | 15      |                           | 1 559                      | 161                  |                              |
| DC930  | DEFAULT    | 2              | 4        | Accélération | Maxi décollage | 5       |                           | 1 169                      | 171                  |                              |
| DC930  | DEFAULT    | 2              | 5        | Accélération | Maxi montée    | INT     |                           | 1 000                      | 206                  |                              |
| DC930  | DEFAULT    | 2              | 6        | Montée       | Maxi montée    | ZERO    | 3 000                     |                            |                      |                              |

| ACFTID | Profile_ID | Longueur phase | N° étape | Type étape   | Indice poussée | Flap_ID | Altitude point final (ft) | Vitesse de montée (ft/min) | CAS point final (kt) | Pourcentage accélération (%) |
|--------|------------|----------------|----------|--------------|----------------|---------|---------------------------|----------------------------|----------------------|------------------------------|
| DC930  | DEFAULT    | 2              | 7        | Accélération | Maxi montée    | ZERO    |                           | 1 000                      | 250                  |                              |
| DC930  | DEFAULT    | 2              | 8        | Montée       | Maxi montée    | ZERO    | 5 500                     |                            |                      |                              |
| DC930  | DEFAULT    | 2              | 9        | Montée       | Maxi montée    | ZERO    | 7 500                     |                            |                      |                              |
| DC930  | DEFAULT    | 2              | 10       | Montée       | Maxi montée    | ZERO    | 10 000                    |                            |                      |                              |
| DC930  | DEFAULT    | 3              | 1        | Décollage    | Maxi décollage | 15      |                           |                            |                      |                              |
| DC930  | DEFAULT    | 3              | 2        | Montée       | Maxi décollage | 15      | 1 000                     |                            |                      |                              |
| DC930  | DEFAULT    | 3              | 3        | Accélération | Maxi décollage | 15      |                           | 1 406                      | 168                  |                              |
| DC930  | DEFAULT    | 3              | 4        | Accélération | Maxi décollage | 5       |                           | 1 055                      | 178                  |                              |
| DC930  | DEFAULT    | 3              | 5        | Accélération | Maxi montée    | INT     |                           | 1 000                      | 213                  |                              |
| DC930  | DEFAULT    | 3              | 6        | Montée       | Maxi montée    | ZERO    | 3 000                     |                            |                      |                              |
| DC930  | DEFAULT    | 3              | 7        | Accélération | Maxi montée    | ZERO    |                           | 1 000                      | 250                  |                              |
| DC930  | DEFAULT    | 3              | 8        | Montée       | Maxi montée    | ZERO    | 5 500                     |                            |                      |                              |
| DC930  | DEFAULT    | 3              | 9        | Montée       | Maxi montée    | ZERO    | 7 500                     |                            |                      |                              |
| DC930  | DEFAULT    | 3              | 10       | Montée       | Maxi montée    | ZERO    | 10 000                    |                            |                      |                              |
| DC93LW | DEFAULT    | 1              | 1        | Décollage    | Maxi décollage | 15      |                           |                            |                      |                              |
| DC93LW | DEFAULT    | 1              | 2        | Montée       | Maxi décollage | 15      | 1 000                     |                            |                      |                              |
| DC93LW | DEFAULT    | 1              | 3        | Accélération | Maxi décollage | 15      |                           | 1 741                      | 154                  |                              |
| DC93LW | DEFAULT    | 1              | 4        | Accélération | Maxi décollage | 5       |                           | 1 306                      | 164                  |                              |
| DC93LW | DEFAULT    | 1              | 5        | Accélération | Maxi montée    | INT     |                           | 1 000                      | 199                  |                              |
| DC93LW | DEFAULT    | 1              | 6        | Montée       | Maxi montée    | ZERO    | 3 000                     |                            |                      |                              |

| ACFTID | Profile_ID | Longueur phase | N° étape | Type étape   | Indice poussée | Flap_ID | Altitude point final (ft) | Vitesse de montée (ft/min) | CAS point final (kt) | Pourcentage_accélération (%) |
|--------|------------|----------------|----------|--------------|----------------|---------|---------------------------|----------------------------|----------------------|------------------------------|
| DC93LW | DEFAULT    | 1              | 7        | Accélération | Maxi montée    | ZERO    |                           | 1 000                      | 250                  |                              |
| DC93LW | DEFAULT    | 1              | 8        | Montée       | Maxi montée    | ZERO    | 5 500                     |                            |                      |                              |
| DC93LW | DEFAULT    | 1              | 9        | Montée       | Maxi montée    | ZERO    | 7 500                     |                            |                      |                              |
| DC93LW | DEFAULT    | 1              | 10       | Montée       | Maxi montée    | ZERO    | 10 000                    |                            |                      |                              |
| DC93LW | DEFAULT    | 2              | 1        | Décollage    | Maxi décollage | 15      |                           |                            |                      |                              |
| DC93LW | DEFAULT    | 2              | 2        | Montée       | Maxi décollage | 15      | 1 000                     |                            |                      |                              |
| DC93LW | DEFAULT    | 2              | 3        | Accélération | Maxi décollage | 15      |                           | 1 559                      | 161                  |                              |
| DC93LW | DEFAULT    | 2              | 4        | Accélération | Maxi décollage | 5       |                           | 1 169                      | 171                  |                              |
| DC93LW | DEFAULT    | 2              | 5        | Accélération | Maxi montée    | INT     |                           | 1 000                      | 206                  |                              |
| DC93LW | DEFAULT    | 2              | 6        | Montée       | Maxi montée    | ZERO    | 3 000                     |                            |                      |                              |
| DC93LW | DEFAULT    | 2              | 7        | Accélération | Maxi montée    | ZERO    |                           | 1 000                      | 250                  |                              |
| DC93LW | DEFAULT    | 2              | 8        | Montée       | Maxi montée    | ZERO    | 5 500                     |                            |                      |                              |
| DC93LW | DEFAULT    | 2              | 9        | Montée       | Maxi montée    | ZERO    | 7 500                     |                            |                      |                              |
| DC93LW | DEFAULT    | 2              | 10       | Montée       | Maxi montée    | ZERO    | 10 000                    |                            |                      |                              |
| DC93LW | DEFAULT    | 3              | 1        | Décollage    | Maxi décollage | 15      |                           |                            |                      |                              |
| DC93LW | DEFAULT    | 3              | 2        | Montée       | Maxi décollage | 15      | 1 000                     |                            |                      |                              |
| DC93LW | DEFAULT    | 3              | 3        | Accélération | Maxi décollage | 15      |                           | 1 406                      | 168                  |                              |
| DC93LW | DEFAULT    | 3              | 4        | Accélération | Maxi décollage | 5       |                           | 1 055                      | 178                  |                              |
| DC93LW | DEFAULT    | 3              | 5        | Accélération | Maxi montée    | INT     |                           | 1 000                      | 213                  |                              |
| DC93LW | DEFAULT    | 3              | 6        | Montée       | Maxi montée    | ZERO    | 3 000                     |                            |                      |                              |

| ACFTID | Profile_ID | Longueur phase | N° étape | Type étape   | Indice poussée | Flap_ID | Altitude point final (ft) | Vitesse de montée (ft/min) | CAS point final (kt) | Pourcentage_accélération (%) |
|--------|------------|----------------|----------|--------------|----------------|---------|---------------------------|----------------------------|----------------------|------------------------------|
| DC93LW | DEFAULT    | 3              | 7        | Accélération | Maxi montée    | ZERO    |                           | 1 000                      | 250                  |                              |
| DC93LW | DEFAULT    | 3              | 8        | Montée       | Maxi montée    | ZERO    | 5 500                     |                            |                      |                              |
| DC93LW | DEFAULT    | 3              | 9        | Montée       | Maxi montée    | ZERO    | 7 500                     |                            |                      |                              |
| DC93LW | DEFAULT    | 3              | 10       | Montée       | Maxi montée    | ZERO    | 10 000                    |                            |                      |                              |
| DC950  | DEFAULT    | 1              | 1        | Décollage    | Maxi décollage | 15      |                           |                            |                      |                              |
| DC950  | DEFAULT    | 1              | 2        | Montée       | Maxi décollage | 15      | 1 000                     |                            |                      |                              |
| DC950  | DEFAULT    | 1              | 3        | Accélération | Maxi décollage | 15      |                           | 1 983                      | 159                  |                              |
| DC950  | DEFAULT    | 1              | 4        | Accélération | Maxi décollage | 5       |                           | 1 487                      | 169                  |                              |
| DC950  | DEFAULT    | 1              | 5        | Accélération | Maxi montée    | INTR    |                           | 1 000                      | 204                  |                              |
| DC950  | DEFAULT    | 1              | 6        | Montée       | Maxi montée    | ZERO    | 3 000                     |                            |                      |                              |
| DC950  | DEFAULT    | 1              | 7        | Accélération | Maxi montée    | ZERO    |                           | 1 000                      | 250                  |                              |
| DC950  | DEFAULT    | 1              | 8        | Montée       | Maxi montée    | ZERO    | 5 500                     |                            |                      |                              |
| DC950  | DEFAULT    | 1              | 9        | Montée       | Maxi montée    | ZERO    | 7 500                     |                            |                      |                              |
| DC950  | DEFAULT    | 1              | 10       | Montée       | Maxi montée    | ZERO    | 10 000                    |                            |                      |                              |
| DC950  | DEFAULT    | 2              | 1        | Décollage    | Maxi décollage | 15      |                           |                            |                      |                              |
| DC950  | DEFAULT    | 2              | 2        | Montée       | Maxi décollage | 15      | 1 000                     |                            |                      |                              |
| DC950  | DEFAULT    | 2              | 3        | Accélération | Maxi décollage | 15      |                           | 1 843                      | 164                  |                              |
| DC950  | DEFAULT    | 2              | 4        | Accélération | Maxi décollage | 5       |                           | 1 382                      | 174                  |                              |
| DC950  | DEFAULT    | 2              | 5        | Accélération | Maxi montée    | INTR    |                           | 1 000                      | 209                  |                              |
| DC950  | DEFAULT    | 2              | 6        | Montée       | Maxi montée    | ZERO    | 3 000                     |                            |                      |                              |

| ACFTID | Profile_ID | Longueur phase | N° étape | Type étape   | Indice poussée | Flap_ID | Altitude point final (ft) | Vitesse de montée (ft/min) | CAS point final (kt) | Pourcentage_accélération (%) |
|--------|------------|----------------|----------|--------------|----------------|---------|---------------------------|----------------------------|----------------------|------------------------------|
| DC950  | DEFAULT    | 2              | 7        | Accélération | Maxi montée    | ZERO    |                           | 1 000                      | 250                  |                              |
| DC950  | DEFAULT    | 2              | 8        | Montée       | Maxi montée    | ZERO    | 5 500                     |                            |                      |                              |
| DC950  | DEFAULT    | 2              | 9        | Montée       | Maxi montée    | ZERO    | 7 500                     |                            |                      |                              |
| DC950  | DEFAULT    | 2              | 10       | Montée       | Maxi montée    | ZERO    | 10 000                    |                            |                      |                              |
| DC950  | DEFAULT    | 3              | 1        | Décollage    | Maxi décollage | 15      |                           |                            |                      |                              |
| DC950  | DEFAULT    | 3              | 2        | Montée       | Maxi décollage | 15      | 1 000                     |                            |                      |                              |
| DC950  | DEFAULT    | 3              | 3        | Accélération | Maxi décollage | 15      |                           | 1 698                      | 170                  |                              |
| DC950  | DEFAULT    | 3              | 4        | Accélération | Maxi décollage | 5       |                           | 1 274                      | 180                  |                              |
| DC950  | DEFAULT    | 3              | 5        | Accélération | Maxi montée    | INTR    |                           | 1 000                      | 215                  |                              |
| DC950  | DEFAULT    | 3              | 6        | Montée       | Maxi montée    | ZERO    | 3 000                     |                            |                      |                              |
| DC950  | DEFAULT    | 3              | 7        | Accélération | Maxi montée    | ZERO    |                           | 1 000                      | 250                  |                              |
| DC950  | DEFAULT    | 3              | 8        | Montée       | Maxi montée    | ZERO    | 5 500                     |                            |                      |                              |
| DC950  | DEFAULT    | 3              | 9        | Montée       | Maxi montée    | ZERO    | 7 500                     |                            |                      |                              |
| DC950  | DEFAULT    | 3              | 10       | Montée       | Maxi montée    | ZERO    | 10 000                    |                            |                      |                              |
| DC95HW | DEFAULT    | 1              | 1        | Décollage    | Maxi décollage | 15      |                           |                            |                      |                              |
| DC95HW | DEFAULT    | 1              | 2        | Montée       | Maxi décollage | 15      | 1 000                     |                            |                      |                              |
| DC95HW | DEFAULT    | 1              | 3        | Accélération | Maxi décollage | 15      |                           | 1 983                      | 159                  |                              |
| DC95HW | DEFAULT    | 1              | 4        | Accélération | Maxi décollage | 5       |                           | 1 487                      | 169                  |                              |
| DC95HW | DEFAULT    | 1              | 5        | Accélération | Maxi montée    | INTR    |                           | 1 000                      | 204                  |                              |
| DC95HW | DEFAULT    | 1              | 6        | Montée       | Maxi montée    | ZERO    | 3 000                     |                            |                      |                              |

| ACFTID | Profile_ID | Longueur phase | N° étape | Type étape   | Indice poussée | Flap_ID | Altitude point final (ft) | Vitesse de montée (ft/min) | CAS point final (kt) | Pourcentage_accélération (%) |
|--------|------------|----------------|----------|--------------|----------------|---------|---------------------------|----------------------------|----------------------|------------------------------|
| DC95HW | DEFAULT    | 1              | 7        | Accélération | Maxi montée    | ZERO    |                           | 1 000                      | 250                  |                              |
| DC95HW | DEFAULT    | 1              | 8        | Montée       | Maxi montée    | ZERO    | 5 500                     |                            |                      |                              |
| DC95HW | DEFAULT    | 1              | 9        | Montée       | Maxi montée    | ZERO    | 7 500                     |                            |                      |                              |
| DC95HW | DEFAULT    | 1              | 10       | Montée       | Maxi montée    | ZERO    | 10 000                    |                            |                      |                              |
| DC95HW | DEFAULT    | 2              | 1        | Décollage    | Maxi décollage | 15      |                           |                            |                      |                              |
| DC95HW | DEFAULT    | 2              | 2        | Montée       | Maxi décollage | 15      | 1 000                     |                            |                      |                              |
| DC95HW | DEFAULT    | 2              | 3        | Accélération | Maxi décollage | 15      |                           | 1 843                      | 164                  |                              |
| DC95HW | DEFAULT    | 2              | 4        | Accélération | Maxi décollage | 5       |                           | 1 382                      | 174                  |                              |
| DC95HW | DEFAULT    | 2              | 5        | Accélération | Maxi montée    | INTR    |                           | 1 000                      | 209                  |                              |
| DC95HW | DEFAULT    | 2              | 6        | Montée       | Maxi montée    | ZERO    | 3 000                     |                            |                      |                              |
| DC95HW | DEFAULT    | 2              | 7        | Accélération | Maxi montée    | ZERO    |                           | 1 000                      | 250                  |                              |
| DC95HW | DEFAULT    | 2              | 8        | Montée       | Maxi montée    | ZERO    | 5 500                     |                            |                      |                              |
| DC95HW | DEFAULT    | 2              | 9        | Montée       | Maxi montée    | ZERO    | 7 500                     |                            |                      |                              |
| DC95HW | DEFAULT    | 2              | 10       | Montée       | Maxi montée    | ZERO    | 10 000                    |                            |                      |                              |
| DC95HW | DEFAULT    | 3              | 1        | Décollage    | Maxi décollage | 15      |                           |                            |                      |                              |
| DC95HW | DEFAULT    | 3              | 2        | Montée       | Maxi décollage | 15      | 1 000                     |                            |                      |                              |
| DC95HW | DEFAULT    | 3              | 3        | Accélération | Maxi décollage | 15      |                           | 1 698                      | 170                  |                              |
| DC95HW | DEFAULT    | 3              | 4        | Accélération | Maxi décollage | 5       |                           | 1 274                      | 180                  |                              |
| DC95HW | DEFAULT    | 3              | 5        | Accélération | Maxi montée    | INTR    |                           | 1 000                      | 215                  |                              |
| DC95HW | DEFAULT    | 3              | 6        | Montée       | Maxi montée    | ZERO    | 3 000                     |                            |                      |                              |

| ACFTID | Profile_ID | Longueur phase | N° étape | Type étape   | Indice poussée | Flap_ID | Altitude point final (ft) | Vitesse de montée (ft/min) | CAS point final (kt) | Pourcentage_accélération (%) |
|--------|------------|----------------|----------|--------------|----------------|---------|---------------------------|----------------------------|----------------------|------------------------------|
| DC95HW | DEFAULT    | 3              | 7        | Accélération | Maxi montée    | ZERO    |                           | 1 000                      | 250                  |                              |
| DC95HW | DEFAULT    | 3              | 8        | Montée       | Maxi montée    | ZERO    | 5 500                     |                            |                      |                              |
| DC95HW | DEFAULT    | 3              | 9        | Montée       | Maxi montée    | ZERO    | 7 500                     |                            |                      |                              |
| DC95HW | DEFAULT    | 3              | 10       | Montée       | Maxi montée    | ZERO    | 10 000                    |                            |                      |                              |
| DC9Q7  | DEFAULT    | 1              | 1        | Décollage    | Maxi décollage | 15      |                           |                            |                      |                              |
| DC9Q7  | DEFAULT    | 1              | 2        | Montée       | Maxi décollage | 15      | 1 000                     |                            |                      |                              |
| DC9Q7  | DEFAULT    | 1              | 3        | Accélération | Maxi décollage | 15      |                           | 2 296                      | 136                  |                              |
| DC9Q7  | DEFAULT    | 1              | 4        | Accélération | Maxi décollage | 5       |                           | 1 722                      | 146                  |                              |
| DC9Q7  | DEFAULT    | 1              | 5        | Accélération | Maxi montée    | INT     |                           | 1 000                      | 181                  |                              |
| DC9Q7  | DEFAULT    | 1              | 6        | Montée       | Maxi montée    | ZERO    | 3 000                     |                            |                      |                              |
| DC9Q7  | DEFAULT    | 1              | 7        | Accélération | Maxi montée    | ZERO    |                           | 1 000                      | 250                  |                              |
| DC9Q7  | DEFAULT    | 1              | 8        | Montée       | Maxi montée    | ZERO    | 5 500                     |                            |                      |                              |
| DC9Q7  | DEFAULT    | 1              | 9        | Montée       | Maxi montée    | ZERO    | 7 500                     |                            |                      |                              |
| DC9Q7  | DEFAULT    | 1              | 10       | Montée       | Maxi montée    | ZERO    | 10 000                    |                            |                      |                              |
| DC9Q7  | DEFAULT    | 2              | 1        | Décollage    | Maxi décollage | 15      |                           |                            |                      |                              |
| DC9Q7  | DEFAULT    | 2              | 2        | Montée       | Maxi décollage | 15      | 1 000                     |                            |                      |                              |
| DC9Q7  | DEFAULT    | 2              | 3        | Accélération | Maxi décollage | 15      |                           | 2 070                      | 143                  |                              |
| DC9Q7  | DEFAULT    | 2              | 4        | Accélération | Maxi décollage | 5       |                           | 1 553                      | 153                  |                              |
| DC9Q7  | DEFAULT    | 2              | 5        | Accélération | Maxi montée    | INT     |                           | 1 000                      | 188                  |                              |
| DC9Q7  | DEFAULT    | 2              | 6        | Montée       | Maxi montée    | ZERO    | 3 000                     |                            |                      |                              |

| ACFTID | Profile_ID | Longueur phase | N° étape | Type étape   | Indice poussée | Flap_ID | Altitude point final (ft) | Vitesse de montée (ft/min) | CAS point final (kt) | Pourcentage_accélération (%) |
|--------|------------|----------------|----------|--------------|----------------|---------|---------------------------|----------------------------|----------------------|------------------------------|
| DC9Q7  | DEFAULT    | 2              | 7        | Accélération | Maxi montée    | ZERO    |                           | 1 000                      | 250                  |                              |
| DC9Q7  | DEFAULT    | 2              | 8        | Montée       | Maxi montée    | ZERO    | 5 500                     |                            |                      |                              |
| DC9Q7  | DEFAULT    | 2              | 9        | Montée       | Maxi montée    | ZERO    | 7 500                     |                            |                      |                              |
| DC9Q7  | DEFAULT    | 2              | 10       | Montée       | Maxi montée    | ZERO    | 10 000                    |                            |                      |                              |
| DC9Q7  | DEFAULT    | 3              | 1        | Décollage    | Maxi décollage | 15      |                           |                            |                      |                              |
| DC9Q7  | DEFAULT    | 3              | 2        | Montée       | Maxi décollage | 15      | 1 000                     |                            |                      |                              |
| DC9Q7  | DEFAULT    | 3              | 3        | Accélération | Maxi décollage | 15      |                           | 1 901                      | 149                  |                              |
| DC9Q7  | DEFAULT    | 3              | 4        | Accélération | Maxi décollage | 5       |                           | 1 426                      | 159                  |                              |
| DC9Q7  | DEFAULT    | 3              | 5        | Accélération | Maxi montée    | INT     |                           | 1 000                      | 194                  |                              |
| DC9Q7  | DEFAULT    | 3              | 6        | Montée       | Maxi montée    | ZERO    | 3 000                     |                            |                      |                              |
| DC9Q7  | DEFAULT    | 3              | 7        | Accélération | Maxi montée    | ZERO    |                           | 1 000                      | 250                  |                              |
| DC9Q7  | DEFAULT    | 3              | 8        | Montée       | Maxi montée    | ZERO    | 5 500                     |                            |                      |                              |
| DC9Q7  | DEFAULT    | 3              | 9        | Montée       | Maxi montée    | ZERO    | 7 500                     |                            |                      |                              |
| DC9Q7  | DEFAULT    | 3              | 10       | Montée       | Maxi montée    | ZERO    | 10 000                    |                            |                      |                              |
| DC9Q9  | DEFAULT    | 1              | 1        | Décollage    | Maxi décollage | 15      |                           |                            |                      |                              |
| DC9Q9  | DEFAULT    | 1              | 2        | Montée       | Maxi décollage | 15      | 1 000                     |                            |                      |                              |
| DC9Q9  | DEFAULT    | 1              | 3        | Accélération | Maxi décollage | 15      |                           | 1 741                      | 154                  |                              |
| DC9Q9  | DEFAULT    | 1              | 4        | Accélération | Maxi décollage | 5       |                           | 1 306                      | 164                  |                              |
| DC9Q9  | DEFAULT    | 1              | 5        | Accélération | Maxi montée    | INT     |                           | 1 000                      | 199                  |                              |
| DC9Q9  | DEFAULT    | 1              | 6        | Montée       | Maxi montée    | ZERO    | 3 000                     |                            |                      |                              |

| ACFTID | Profile_ID | Longueur phase | N° étape | Type étape   | Indice poussée | Flap_ID | Altitude point final (ft) | Vitesse de montée (ft/min) | CAS point final (kt) | Pourcentage_accélération (%) |
|--------|------------|----------------|----------|--------------|----------------|---------|---------------------------|----------------------------|----------------------|------------------------------|
| DC9Q9  | DEFAULT    | 1              | 7        | Accélération | Maxi montée    | ZERO    |                           | 1 000                      | 250                  |                              |
| DC9Q9  | DEFAULT    | 1              | 8        | Montée       | Maxi montée    | ZERO    | 5 500                     |                            |                      |                              |
| DC9Q9  | DEFAULT    | 1              | 9        | Montée       | Maxi montée    | ZERO    | 7 500                     |                            |                      |                              |
| DC9Q9  | DEFAULT    | 1              | 10       | Montée       | Maxi montée    | ZERO    | 10 000                    |                            |                      |                              |
| DC9Q9  | DEFAULT    | 2              | 1        | Décollage    | Maxi décollage | 15      |                           |                            |                      |                              |
| DC9Q9  | DEFAULT    | 2              | 2        | Montée       | Maxi décollage | 15      | 1 000                     |                            |                      |                              |
| DC9Q9  | DEFAULT    | 2              | 3        | Accélération | Maxi décollage | 15      |                           | 1 559                      | 161                  |                              |
| DC9Q9  | DEFAULT    | 2              | 4        | Accélération | Maxi décollage | 5       |                           | 1 169                      | 171                  |                              |
| DC9Q9  | DEFAULT    | 2              | 5        | Accélération | Maxi montée    | INT     |                           | 1 000                      | 206                  |                              |
| DC9Q9  | DEFAULT    | 2              | 6        | Montée       | Maxi montée    | ZERO    | 3 000                     |                            |                      |                              |
| DC9Q9  | DEFAULT    | 2              | 7        | Accélération | Maxi montée    | ZERO    |                           | 1 000                      | 250                  |                              |
| DC9Q9  | DEFAULT    | 2              | 8        | Montée       | Maxi montée    | ZERO    | 5 500                     |                            |                      |                              |
| DC9Q9  | DEFAULT    | 2              | 9        | Montée       | Maxi montée    | ZERO    | 7 500                     |                            |                      |                              |
| DC9Q9  | DEFAULT    | 2              | 10       | Montée       | Maxi montée    | ZERO    | 10 000                    |                            |                      |                              |
| DC9Q9  | DEFAULT    | 3              | 1        | Décollage    | Maxi décollage | 15      |                           |                            |                      |                              |
| DC9Q9  | DEFAULT    | 3              | 2        | Montée       | Maxi décollage | 15      | 1 000                     |                            |                      |                              |
| DC9Q9  | DEFAULT    | 3              | 3        | Accélération | Maxi décollage | 15      |                           | 1 406                      | 168                  |                              |
| DC9Q9  | DEFAULT    | 3              | 4        | Accélération | Maxi décollage | 5       |                           | 1 055                      | 178                  |                              |
| DC9Q9  | DEFAULT    | 3              | 5        | Accélération | Maxi montée    | INT     |                           | 1 000                      | 213                  |                              |
| DC9Q9  | DEFAULT    | 3              | 6        | Montée       | Maxi montée    | ZERO    | 3 000                     |                            |                      |                              |

| ACFTID | Profile_ID | Longueur phase | N° étape | Type étape   | Indice poussée | Flap_ID | Altitude point final (ft) | Vitesse de montée (ft/min) | CAS point final (kt) | Pourcentage_accélération (%) |
|--------|------------|----------------|----------|--------------|----------------|---------|---------------------------|----------------------------|----------------------|------------------------------|
| DC9Q9  | DEFAULT    | 3              | 7        | Accélération | Maxi montée    | ZERO    |                           | 1 000                      | 250                  |                              |
| DC9Q9  | DEFAULT    | 3              | 8        | Montée       | Maxi montée    | ZERO    | 5 500                     |                            |                      |                              |
| DC9Q9  | DEFAULT    | 3              | 9        | Montée       | Maxi montée    | ZERO    | 7 500                     |                            |                      |                              |
| DC9Q9  | DEFAULT    | 3              | 10       | Montée       | Maxi montée    | ZERO    | 10 000                    |                            |                      |                              |
| DHC6   | DEFAULT    | 1              | 1        | Décollage    | Maxi décollage | TO      |                           |                            |                      |                              |
| DHC6   | DEFAULT    | 1              | 2        | Montée       | Maxi décollage | TO      | 1 000                     |                            |                      |                              |
| DHC6   | DEFAULT    | 1              | 3        | Accélération | Maxi décollage | TO      |                           | 952                        | 98                   |                              |
| DHC6   | DEFAULT    | 1              | 4        | Montée       | Maxi montée    | ZERO    | 3 000                     |                            |                      |                              |
| DHC6   | DEFAULT    | 1              | 5        | Montée       | Maxi montée    | ZERO    | 5 500                     |                            |                      |                              |
| DHC6   | DEFAULT    | 1              | 6        | Montée       | Maxi montée    | ZERO    | 7 500                     |                            |                      |                              |
| DHC6   | DEFAULT    | 1              | 7        | Montée       | Maxi montée    | ZERO    | 10 000                    |                            |                      |                              |
| DHC6QP | DEFAULT    | 1              | 1        | Décollage    | Maxi décollage | TO      |                           |                            |                      |                              |
| DHC6QP | DEFAULT    | 1              | 2        | Montée       | Maxi décollage | TO      | 1 000                     |                            |                      |                              |
| DHC6QP | DEFAULT    | 1              | 3        | Accélération | Maxi décollage | TO      |                           | 952                        | 98                   |                              |
| DHC6QP | DEFAULT    | 1              | 4        | Montée       | Maxi montée    | ZERO    | 3 000                     |                            |                      |                              |
| DHC6QP | DEFAULT    | 1              | 5        | Montée       | Maxi montée    | ZERO    | 5 500                     |                            |                      |                              |
| DHC6QP | DEFAULT    | 1              | 6        | Montée       | Maxi montée    | ZERO    | 7 500                     |                            |                      |                              |
| DHC6QP | DEFAULT    | 1              | 7        | Montée       | Maxi montée    | ZERO    | 10 000                    |                            |                      |                              |
| DHC7   | DEFAULT    | 1              | 1        | Décollage    | Maxi décollage | 25      |                           |                            |                      |                              |
| DHC7   | DEFAULT    | 1              | 2        | Montée       | Maxi décollage | 25      | 1 000                     |                            |                      |                              |

| ACFTID | Profile_ID | Longueur phase | N° étape | Type étape   | Indice poussée | Flap_ID | Altitude point final (ft) | Vitesse de montée (ft/min) | CAS point final (kt) | Pourcentage_accélération (%) |
|--------|------------|----------------|----------|--------------|----------------|---------|---------------------------|----------------------------|----------------------|------------------------------|
| DHC7   | DEFAULT    | 1              | 3        | Accélération | Maxi décollage | 25      |                           | 933                        | 102                  |                              |
| DHC7   | DEFAULT    | 1              | 4        | Accélération | Maxi décollage | 10      |                           | 700                        | 122                  |                              |
| DHC7   | DEFAULT    | 1              | 5        | Montée       | Maxi montée    | ZERO    | 3 000                     |                            |                      |                              |
| DHC7   | DEFAULT    | 1              | 6        | Accélération | Maxi montée    | ZERO    |                           | 700                        | 160                  |                              |
| DHC7   | DEFAULT    | 1              | 7        | Montée       | Maxi montée    | ZERO    | 5 500                     |                            |                      |                              |
| DHC7   | DEFAULT    | 1              | 8        | Montée       | Maxi montée    | ZERO    | 7 500                     |                            |                      |                              |
| DHC7   | DEFAULT    | 1              | 9        | Montée       | Maxi montée    | ZERO    | 10 000                    |                            |                      |                              |
| DHC8   | DEFAULT    | 1              | 1        | Décollage    | Maxi décollage | 15      |                           |                            |                      |                              |
| DHC8   | DEFAULT    | 1              | 2        | Montée       | Maxi décollage | 15      | 1 000                     |                            |                      |                              |
| DHC8   | DEFAULT    | 1              | 3        | Accélération | Maxi décollage | 15      |                           | 1 491                      | 110                  |                              |
| DHC8   | DEFAULT    | 1              | 4        | Accélération | Maxi montée    | 5       |                           | 1 119                      | 125                  |                              |
| DHC8   | DEFAULT    | 1              | 5        | Montée       | Maxi montée    | ZERO    | 3 000                     |                            |                      |                              |
| DHC8   | DEFAULT    | 1              | 6        | Accélération | Maxi montée    | ZERO    |                           | 1 119                      | 165                  |                              |
| DHC8   | DEFAULT    | 1              | 7        | Montée       | Maxi montée    | ZERO    | 5 500                     |                            |                      |                              |
| DHC8   | DEFAULT    | 1              | 8        | Montée       | Maxi montée    | ZERO    | 7 500                     |                            |                      |                              |
| DHC8   | DEFAULT    | 1              | 9        | Montée       | Maxi montée    | ZERO    | 10 000                    |                            |                      |                              |

Tableau I-4 (partie 4)

## Étapes de procédure de départ par défaut

| ACFTID | ID_Profil | Longueur phase | N° étape | Type étape   | Indice poussée | ID_Flap | Altitude point final (ft) | Vitesse de montée (ft/min) | CAS point final (kt) | Pourcentage accélération (%) |
|--------|-----------|----------------|----------|--------------|----------------|---------|---------------------------|----------------------------|----------------------|------------------------------|
| DHC830 | DEFAULT   | 1              | 1        | Décollage    | Maxi décollage | 10      |                           |                            |                      |                              |
| DHC830 | DEFAULT   | 1              | 2        | Montée       | Maxi décollage | 10      | 1 000                     |                            |                      |                              |
| DHC830 | DEFAULT   | 1              | 3        | Accélération | Maxi décollage | 10      |                           | 1 280                      | 122                  |                              |
| DHC830 | DEFAULT   | 1              | 4        | Accélération | Maxi montée    | 5       |                           | 960                        | 137                  |                              |
| DHC830 | DEFAULT   | 1              | 5        | Montée       | Maxi montée    | ZERO    | 3 000                     |                            |                      |                              |
| DHC830 | DEFAULT   | 1              | 6        | Accélération | Maxi montée    | ZERO    |                           | 960                        | 179                  |                              |
| DHC830 | DEFAULT   | 1              | 7        | Montée       | Maxi montée    | ZERO    | 5 500                     |                            |                      |                              |
| DHC830 | DEFAULT   | 1              | 8        | Montée       | Maxi montée    | ZERO    | 7 500                     |                            |                      |                              |
| DHC830 | DEFAULT   | 1              | 9        | Montée       | Maxi montée    | ZERO    | 10 000                    |                            |                      |                              |
| DO228  | DEFAULT   | 1              | 1        | Décollage    | Maxi décollage | FLAPS1  |                           |                            |                      |                              |
| DO228  | DEFAULT   | 1              | 2        | Accélération | Maxi décollage | FLAPS1  |                           | 1 000                      | 101                  |                              |
| DO228  | DEFAULT   | 1              | 3        | Montée       | Maxi décollage | ZERO    | 1 000                     |                            |                      |                              |
| DO228  | DEFAULT   | 1              | 4        | Accélération | Maxi montée    | ZERO    |                           | 1 000                      | 122                  |                              |
| DO228  | DEFAULT   | 1              | 5        | Montée       | Maxi montée    | ZERO    | 2 000                     |                            |                      |                              |
| DO228  | DEFAULT   | 1              | 6        | Montée       | Maxi montée    | ZERO    | 4 000                     |                            |                      |                              |
| DO228  | DEFAULT   | 1              | 7        | Montée       | Maxi montée    | ZERO    | 6 000                     |                            |                      |                              |
| DO228  | DEFAULT   | 1              | 8        | Montée       | Maxi montée    | ZERO    | 8 000                     |                            |                      |                              |
| DO228  | DEFAULT   | 1              | 9        | Montée       | Maxi montée    | ZERO    | 10 000                    |                            |                      |                              |
| DO328  | DEFAULT   | 1              | 1        | Décollage    | Maxi décollage | F12-D   |                           |                            |                      |                              |
| DO328  | DEFAULT   | 1              | 2        | Accélération | Maxi décollage | F12-D   |                           | 1 000                      | 120                  |                              |

| ACFTID     | ID_Profil | Longueur phase | N° étape | Type étape   | Indice poussée   | ID_Flap | Altitude point final (ft) | Vitesse de montée (ft/min) | CAS point final (kt) | Pourcentage_accélération (%) |
|------------|-----------|----------------|----------|--------------|------------------|---------|---------------------------|----------------------------|----------------------|------------------------------|
| DO328      | DEFAULT   | 1              | 3        | Montée       | Maxi décollage   | ZERO    | 1 000                     |                            |                      |                              |
| DO328      | DEFAULT   | 1              | 4        | Accélération | Maxi décollage   | ZERO    |                           | 1 000                      | 130                  |                              |
| DO328      | DEFAULT   | 1              | 5        | Montée       | Maxi montée      | ZERO    | 2 000                     |                            |                      |                              |
| DO328      | DEFAULT   | 1              | 6        | Montée       | Maxi montée      | ZERO    | 4 000                     |                            |                      |                              |
| DO328      | DEFAULT   | 1              | 7        | Montée       | Maxi montée      | ZERO    | 6 000                     |                            |                      |                              |
| DO328      | DEFAULT   | 1              | 8        | Montée       | Maxi montée      | ZERO    | 8 000                     |                            |                      |                              |
| DO328      | DEFAULT   | 1              | 9        | Montée       | Maxi montée      | ZERO    | 10 000                    |                            |                      |                              |
| ECLIPSE500 | DEFAULT   | 1              | 1        | Décollage    | Maxi décollage   | TO_DN   |                           |                            |                      |                              |
| ECLIPSE500 | DEFAULT   | 1              | 2        | Montée       | Maxi décollage   | TO_DN   | 200                       |                            |                      |                              |
| ECLIPSE500 | DEFAULT   | 1              | 3        | Montée       | Maxi décollage   | TO_UP   | 400                       |                            |                      |                              |
| ECLIPSE500 | DEFAULT   | 1              | 4        | Accélération | Maxi montée      | UP_UP   |                           | 1 972,9                    | 114                  |                              |
| ECLIPSE500 | DEFAULT   | 1              | 5        | Accélération | Maxi montée      | UP_UP   |                           | 2 153,3                    | 130,7                |                              |
| ECLIPSE500 | DEFAULT   | 1              | 6        | Accélération | Maxi montée      | UP_UP   |                           | 2 276                      | 145,3                |                              |
| ECLIPSE500 | DEFAULT   | 1              | 7        | Accélération | Maxi montée      | UP_UP   |                           | 2 313,3                    | 158,2                |                              |
| ECLIPSE500 | DEFAULT   | 1              | 8        | Accélération | Maxi montée      | UP_UP   |                           | 2 288,2                    | 170                  |                              |
| ECLIPSE500 | DEFAULT   | 1              | 9        | Montée       | Réduction montée | UP_UP   | 6 000                     |                            |                      |                              |
| ECLIPSE500 | DEFAULT   | 1              | 10       | Montée       | Réduction montée | UP_UP   | 8 000                     |                            |                      |                              |
| ECLIPSE500 | DEFAULT   | 1              | 11       | Montée       | Réduction montée | UP_UP   | 10 000                    |                            |                      |                              |
| ECLIPSE500 | DEFAULT   | 2              | 1        | Décollage    | Maxi décollage   | TO_DN   |                           |                            |                      |                              |
| ECLIPSE500 | DEFAULT   | 2              | 2        | Montée       | Maxi décollage   | TO_DN   | 200                       |                            |                      |                              |

| ACFTID     | ID_Profil | Longueur phase | N° étape | Type étape   | Indice poussée   | ID_Flap | Altitude point final (ft) | Vitesse de montée (ft/min) | CAS point final (kt) | Pourcentage accélération (%) |
|------------|-----------|----------------|----------|--------------|------------------|---------|---------------------------|----------------------------|----------------------|------------------------------|
| ECLIPSE500 | DEFAULT   | 2              | 3        | Montée       | Maxi décollage   | TO_UP   | 400                       |                            |                      |                              |
| ECLIPSE500 | DEFAULT   | 2              | 4        | Accélération | Maxi montée      | UP_UP   |                           | 1 803,3                    | 114,8                |                              |
| ECLIPSE500 | DEFAULT   | 2              | 5        | Accélération | Maxi montée      | UP_UP   |                           | 1 971,7                    | 131,2                |                              |
| ECLIPSE500 | DEFAULT   | 2              | 6        | Accélération | Maxi montée      | UP_UP   |                           | 2 087,6                    | 145,6                |                              |
| ECLIPSE500 | DEFAULT   | 2              | 7        | Accélération | Maxi montée      | UP_UP   |                           | 2 124,1                    | 158,4                |                              |
| ECLIPSE500 | DEFAULT   | 2              | 8        | Accélération | Maxi montée      | UP_UP   |                           | 2 102,8                    | 170                  |                              |
| ECLIPSE500 | DEFAULT   | 2              | 9        | Montée       | Réduction montée | UP_UP   | 6 000                     |                            |                      |                              |
| ECLIPSE500 | DEFAULT   | 2              | 10       | Montée       | Réduction montée | UP_UP   | 8 000                     |                            |                      |                              |
| ECLIPSE500 | DEFAULT   | 2              | 11       | Montée       | Réduction montée | UP_UP   | 10 000                    |                            |                      |                              |
| ECLIPSE500 | DEFAULT   | 3              | 1        | Décollage    | Maxi décollage   | TO_DN   |                           |                            |                      |                              |
| ECLIPSE500 | DEFAULT   | 3              | 2        | Montée       | Maxi décollage   | TO_DN   | 200                       |                            |                      |                              |
| ECLIPSE500 | DEFAULT   | 3              | 3        | Montée       | Maxi décollage   | TO_UP   | 400                       |                            |                      |                              |
| ECLIPSE500 | DEFAULT   | 3              | 4        | Accélération | Maxi montée      | UP_UP   |                           | 1 760,4                    | 115                  |                              |
| ECLIPSE500 | DEFAULT   | 3              | 5        | Accélération | Maxi montée      | UP_UP   |                           | 1 926,2                    | 131,4                |                              |
| ECLIPSE500 | DEFAULT   | 3              | 6        | Accélération | Maxi montée      | UP_UP   |                           | 2 039,6                    | 145,7                |                              |
| ECLIPSE500 | DEFAULT   | 3              | 7        | Accélération | Maxi montée      | UP_UP   |                           | 2 075,3                    | 158,4                |                              |
| ECLIPSE500 | DEFAULT   | 3              | 8        | Accélération | Maxi montée      | UP_UP   |                           | 2 054,5                    | 170                  |                              |
| ECLIPSE500 | DEFAULT   | 3              | 9        | Montée       | Réduction montée | UP_UP   | 6 000                     |                            |                      |                              |
| ECLIPSE500 | DEFAULT   | 3              | 10       | Montée       | Réduction montée | UP_UP   | 8 000                     |                            |                      |                              |
| ECLIPSE500 | DEFAULT   | 3              | 11       | Montée       | Réduction montée | UP_UP   | 10 000                    |                            |                      |                              |

| ACFTID     | ID_Profil | Longueur phase | N° étape | Type étape   | Indice poussée   | ID_Flap | Altitude point final (ft) | Vitesse de montée (ft/min) | CAS point final (kt) | Pourcentage accélération (%) |
|------------|-----------|----------------|----------|--------------|------------------|---------|---------------------------|----------------------------|----------------------|------------------------------|
| ECLIPSE500 | HI_ALT    | 1              | 1        | Décollage    | Maxi décollage   | TO_DN   |                           |                            |                      |                              |
| ECLIPSE500 | HI_ALT    | 1              | 2        | Montée       | Maxi décollage   | TO_DN   | 200                       |                            |                      |                              |
| ECLIPSE500 | HI_ALT    | 1              | 3        | Montée       | Maxi décollage   | TO_UP   | 400                       |                            |                      |                              |
| ECLIPSE500 | HI_ALT    | 1              | 4        | Accélération | Réduction montée | UP_UP   |                           | 1 798,3                    | 113,9                |                              |
| ECLIPSE500 | HI_ALT    | 1              | 5        | Accélération | Réduction montée | UP_UP   |                           | 1 951,8                    | 130,7                |                              |
| ECLIPSE500 | HI_ALT    | 1              | 6        | Accélération | Réduction montée | UP_UP   |                           | 2 043,9                    | 145,3                |                              |
| ECLIPSE500 | HI_ALT    | 1              | 7        | Accélération | Réduction montée | UP_UP   |                           | 2 054,7                    | 158,2                |                              |
| ECLIPSE500 | HI_ALT    | 1              | 8        | Accélération | Réduction montée | UP_UP   |                           | 1 998,7                    | 170                  |                              |
| ECLIPSE500 | HI_ALT    | 1              | 9        | Montée       | Réduction montée | UP_UP   | 6 000                     |                            |                      |                              |
| ECLIPSE500 | HI_ALT    | 1              | 10       | Montée       | Réduction montée | UP_UP   | 8 000                     |                            |                      |                              |
| ECLIPSE500 | HI_ALT    | 1              | 11       | Montée       | Réduction montée | UP_UP   | 10 000                    |                            |                      |                              |
| ECLIPSE500 | HI_ALT    | 2              | 1        | Décollage    | Maxi décollage   | TO_DN   |                           |                            |                      |                              |
| ECLIPSE500 | HI_ALT    | 2              | 2        | Montée       | Maxi décollage   | TO_DN   | 200                       |                            |                      |                              |
| ECLIPSE500 | HI_ALT    | 2              | 3        | Montée       | Maxi décollage   | TO_UP   | 400                       |                            |                      |                              |
| ECLIPSE500 | HI_ALT    | 2              | 4        | Accélération | Réduction montée | UP_UP   |                           | 1 637                      | 114,8                |                              |
| ECLIPSE500 | HI_ALT    | 2              | 5        | Accélération | Réduction montée | UP_UP   |                           | 1 780,8                    | 131,2                |                              |
| ECLIPSE500 | HI_ALT    | 2              | 6        | Accélération | Réduction montée | UP_UP   |                           | 1 868,3                    | 145,6                |                              |
| ECLIPSE500 | HI_ALT    | 2              | 7        | Accélération | Réduction montée | UP_UP   |                           | 1 880,3                    | 158,4                |                              |
| ECLIPSE500 | HI_ALT    | 2              | 8        | Accélération | Réduction montée | UP_UP   |                           | 1 838,2                    | 170                  |                              |
| ECLIPSE500 | HI_ALT    | 2              | 9        | Montée       | Réduction montée | UP_UP   | 6 000                     |                            |                      |                              |

| ACFTID     | ID_Profil | Longueur phase | N° étape | Type étape   | Indice poussée   | ID_Flap | Altitude point final (ft) | Vitesse de montée (ft/min) | CAS point final (kt) | Pourcentage accélération (%) |
|------------|-----------|----------------|----------|--------------|------------------|---------|---------------------------|----------------------------|----------------------|------------------------------|
| ECLIPSE500 | HI_ALT    | 2              | 10       | Montée       | Réduction montée | UP_UP   | 8 000                     |                            |                      |                              |
| ECLIPSE500 | HI_ALT    | 2              | 11       | Montée       | Réduction montée | UP_UP   | 10 000                    |                            |                      |                              |
| ECLIPSE500 | HI_ALT    | 3              | 1        | Décollage    | Maxi décollage   | TO_DN   |                           |                            |                      |                              |
| ECLIPSE500 | HI_ALT    | 3              | 2        | Montée       | Maxi décollage   | TO_DN   | 200                       |                            |                      |                              |
| ECLIPSE500 | HI_ALT    | 3              | 3        | Montée       | Maxi décollage   | TO_UP   | 400                       |                            |                      |                              |
| ECLIPSE500 | HI_ALT    | 3              | 4        | Accélération | Réduction montée | UP_UP   |                           | 1 595,5                    | 115                  |                              |
| ECLIPSE500 | HI_ALT    | 3              | 5        | Accélération | Réduction montée | UP_UP   |                           | 1 736,8                    | 131,4                |                              |
| ECLIPSE500 | HI_ALT    | 3              | 6        | Accélération | Réduction montée | UP_UP   |                           | 1 823,1                    | 145,6                |                              |
| ECLIPSE500 | HI_ALT    | 3              | 7        | Accélération | Réduction montée | UP_UP   |                           | 1 835,6                    | 158,4                |                              |
| ECLIPSE500 | HI_ALT    | 3              | 8        | Accélération | Réduction montée | UP_UP   |                           | 1 794,8                    | 170                  |                              |
| ECLIPSE500 | HI_ALT    | 3              | 9        | Montée       | Réduction montée | UP_UP   | 6 000                     |                            |                      |                              |
| ECLIPSE500 | HI_ALT    | 3              | 10       | Montée       | Réduction montée | UP_UP   | 8 000                     |                            |                      |                              |
| ECLIPSE500 | HI_ALT    | 3              | 11       | Montée       | Réduction montée | UP_UP   | 10 000                    |                            |                      |                              |
| EMB120     | DEFAULT   | 1              | 1        | Décollage    | Maxi décollage   | 15      |                           |                            |                      |                              |
| EMB120     | DEFAULT   | 1              | 2        | Montée       | Maxi décollage   | 15      | 1 000                     |                            |                      |                              |
| EMB120     | DEFAULT   | 1              | 3        | Accélération | Maxi décollage   | 15      |                           | 460                        | 130                  |                              |
| EMB120     | DEFAULT   | 1              | 4        | Accélération | Maxi décollage   | ZERO    |                           | 345                        | 135                  |                              |
| EMB120     | DEFAULT   | 1              | 5        | Accélération | Maxi montée      | ZERO    |                           | 1 000                      | 143                  |                              |
| EMB120     | DEFAULT   | 1              | 6        | Montée       | Maxi montée      | ZERO    | 3 000                     |                            |                      |                              |
| EMB120     | DEFAULT   | 1              | 7        | Montée       | Maxi montée      | ZERO    | 5 500                     |                            |                      |                              |

| ACFTID | ID_Profil | Longueur phase | N° étape | Type étape   | Indice poussée | ID_Flap | Altitude point final (ft) | Vitesse de montée (ft/min) | CAS point final (kt) | Pourcentage accélération (%) |
|--------|-----------|----------------|----------|--------------|----------------|---------|---------------------------|----------------------------|----------------------|------------------------------|
| EMB120 | DEFAULT   | 1              | 8        | Montée       | Maxi montée    | ZERO    | 7 500                     |                            |                      |                              |
| EMB120 | DEFAULT   | 1              | 9        | Montée       | Maxi montée    | ZERO    | 10 000                    |                            |                      |                              |
| EMB145 | DEFAULT   | 1              | 1        | Décollage    | Maxi décollage | 9-GEAR  |                           |                            |                      |                              |
| EMB145 | DEFAULT   | 1              | 2        | Montée       | Maxi décollage | 9       | 1 000                     |                            |                      |                              |
| EMB145 | DEFAULT   | 1              | 3        | Accélération | Maxi montée    | ZERO    |                           | 1 367                      | 220                  |                              |
| EMB145 | DEFAULT   | 1              | 4        | Montée       | Maxi montée    | ZERO    | 3 000                     |                            |                      |                              |
| EMB145 | DEFAULT   | 1              | 5        | Accélération | Maxi montée    | ZERO    |                           | 1 000                      | 250                  |                              |
| EMB145 | DEFAULT   | 1              | 6        | Montée       | Maxi montée    | ZERO    | 5 500                     |                            |                      |                              |
| EMB145 | DEFAULT   | 1              | 7        | Montée       | Maxi montée    | ZERO    | 7 500                     |                            |                      |                              |
| EMB145 | DEFAULT   | 1              | 8        | Montée       | Maxi montée    | ZERO    | 10 000                    |                            |                      |                              |
| EMB145 | DEFAULT   | 2              | 1        | Décollage    | Maxi décollage | 9-GEAR  |                           |                            |                      |                              |
| EMB145 | DEFAULT   | 2              | 2        | Montée       | Maxi décollage | 9       | 1 000                     |                            |                      |                              |
| EMB145 | DEFAULT   | 2              | 3        | Accélération | Maxi montée    | ZERO    |                           | 1 334                      | 220                  |                              |
| EMB145 | DEFAULT   | 2              | 4        | Montée       | Maxi montée    | ZERO    | 3 000                     |                            |                      |                              |
| EMB145 | DEFAULT   | 2              | 5        | Accélération | Maxi montée    | ZERO    |                           | 1 000                      | 250                  |                              |
| EMB145 | DEFAULT   | 2              | 6        | Montée       | Maxi montée    | ZERO    | 5 500                     |                            |                      |                              |
| EMB145 | DEFAULT   | 2              | 7        | Montée       | Maxi montée    | ZERO    | 7 500                     |                            |                      |                              |
| EMB145 | DEFAULT   | 2              | 8        | Montée       | Maxi montée    | ZERO    | 10 000                    |                            |                      |                              |
| EMB145 | DEFAULT   | 3              | 1        | Décollage    | Maxi décollage | 9-GEAR  |                           |                            |                      |                              |
| EMB145 | DEFAULT   | 3              | 2        | Montée       | Maxi décollage | 9       | 1 000                     |                            |                      |                              |

| ACFTID | ID_Profil | Longueur phase | N° étape | Type étape   | Indice poussée | ID_Flap | Altitude point final (ft) | Vitesse de montée (ft/min) | CAS point final (kt) | Pourcentage_accélération (%) |
|--------|-----------|----------------|----------|--------------|----------------|---------|---------------------------|----------------------------|----------------------|------------------------------|
| EMB145 | DEFAULT   | 3              | 3        | Accélération | Maxi montée    | ZERO    |                           | 1 315                      | 220                  |                              |
| EMB145 | DEFAULT   | 3              | 4        | Montée       | Maxi montée    | ZERO    | 3 000                     |                            |                      |                              |
| EMB145 | DEFAULT   | 3              | 5        | Accélération | Maxi montée    | ZERO    |                           | 1 000                      | 250                  |                              |
| EMB145 | DEFAULT   | 3              | 6        | Montée       | Maxi montée    | ZERO    | 5 500                     |                            |                      |                              |
| EMB145 | DEFAULT   | 3              | 7        | Montée       | Maxi montée    | ZERO    | 7 500                     |                            |                      |                              |
| EMB145 | DEFAULT   | 3              | 8        | Montée       | Maxi montée    | ZERO    | 10 000                    |                            |                      |                              |
| EMB145 | DEFAULT   | 4              | 1        | Décollage    | Maxi décollage | 9-GEAR  |                           |                            |                      |                              |
| EMB145 | DEFAULT   | 4              | 2        | Montée       | Maxi décollage | 9       | 1 000                     |                            |                      |                              |
| EMB145 | DEFAULT   | 4              | 3        | Accélération | Maxi montée    | ZERO    |                           | 1 293                      | 220                  |                              |
| EMB145 | DEFAULT   | 4              | 4        | Montée       | Maxi montée    | ZERO    | 3 200                     |                            |                      |                              |
| EMB145 | DEFAULT   | 4              | 5        | Accélération | Maxi montée    | ZERO    |                           | 1 000                      | 250                  |                              |
| EMB145 | DEFAULT   | 4              | 6        | Montée       | Maxi montée    | ZERO    | 5 500                     |                            |                      |                              |
| EMB145 | DEFAULT   | 4              | 7        | Montée       | Maxi montée    | ZERO    | 7 500                     |                            |                      |                              |
| EMB145 | DEFAULT   | 4              | 8        | Montée       | Maxi montée    | ZERO    | 10 000                    |                            |                      |                              |
| EMB14L | DEFAULT   | 1              | 1        | Décollage    | Maxi décollage | 9-GEAR  |                           |                            |                      |                              |
| EMB14L | DEFAULT   | 1              | 2        | Montée       | Maxi décollage | 9       | 1 000                     |                            |                      |                              |
| EMB14L | DEFAULT   | 1              | 3        | Accélération | Maxi montée    | ZERO    |                           | 1 465                      | 220                  |                              |
| EMB14L | DEFAULT   | 1              | 4        | Montée       | Maxi montée    | ZERO    | 3 000                     |                            |                      |                              |
| EMB14L | DEFAULT   | 1              | 5        | Accélération | Maxi montée    | ZERO    |                           | 1 000                      | 250                  |                              |
| EMB14L | DEFAULT   | 1              | 6        | Montée       | Maxi montée    | ZERO    | 5 500                     |                            |                      |                              |

| ACFTID | ID_Profil | Longueur phase | N° étape | Type étape   | Indice poussée | ID_Flap | Altitude point final (ft) | Vitesse de montée (ft/min) | CAS point final (kt) | Pourcentage_accélération (%) |
|--------|-----------|----------------|----------|--------------|----------------|---------|---------------------------|----------------------------|----------------------|------------------------------|
| EMB14L | DEFAULT   | 1              | 7        | Montée       | Maxi montée    | ZERO    | 7 500                     |                            |                      |                              |
| EMB14L | DEFAULT   | 1              | 8        | Montée       | Maxi montée    | ZERO    | 10 000                    |                            |                      |                              |
| EMB14L | DEFAULT   | 2              | 1        | Décollage    | Maxi décollage | 9-GEAR  |                           |                            |                      |                              |
| EMB14L | DEFAULT   | 2              | 2        | Montée       | Maxi décollage | 9       | 1 000                     |                            |                      |                              |
| EMB14L | DEFAULT   | 2              | 3        | Accélération | Maxi montée    | ZERO    |                           | 1 420                      | 220                  |                              |
| EMB14L | DEFAULT   | 2              | 4        | Montée       | Maxi montée    | ZERO    | 3 000                     |                            |                      |                              |
| EMB14L | DEFAULT   | 2              | 5        | Accélération | Maxi montée    | ZERO    |                           | 1 000                      | 250                  |                              |
| EMB14L | DEFAULT   | 2              | 6        | Montée       | Maxi montée    | ZERO    | 5 500                     |                            |                      |                              |
| EMB14L | DEFAULT   | 2              | 7        | Montée       | Maxi montée    | ZERO    | 7 500                     |                            |                      |                              |
| EMB14L | DEFAULT   | 2              | 8        | Montée       | Maxi montée    | ZERO    | 10 000                    |                            |                      |                              |
| EMB14L | DEFAULT   | 3              | 1        | Décollage    | Maxi décollage | 9-GEAR  |                           |                            |                      |                              |
| EMB14L | DEFAULT   | 3              | 2        | Montée       | Maxi décollage | 9       | 1 000                     |                            |                      |                              |
| EMB14L | DEFAULT   | 3              | 3        | Accélération | Maxi montée    | ZERO    |                           | 1 395                      | 220                  |                              |
| EMB14L | DEFAULT   | 3              | 4        | Montée       | Maxi montée    | ZERO    | 3 000                     |                            |                      |                              |
| EMB14L | DEFAULT   | 3              | 5        | Accélération | Maxi montée    | ZERO    |                           | 1 000                      | 250                  |                              |
| EMB14L | DEFAULT   | 3              | 6        | Montée       | Maxi montée    | ZERO    | 5 500                     |                            |                      |                              |
| EMB14L | DEFAULT   | 3              | 7        | Montée       | Maxi montée    | ZERO    | 7 500                     |                            |                      |                              |
| EMB14L | DEFAULT   | 3              | 8        | Montée       | Maxi montée    | ZERO    | 10 000                    |                            |                      |                              |
| EMB14L | DEFAULT   | 4              | 1        | Décollage    | Maxi décollage | 9-GEAR  |                           |                            |                      |                              |
| EMB14L | DEFAULT   | 4              | 2        | Montée       | Maxi décollage | 9       | 1 000                     |                            |                      |                              |

| ACFTID | ID_Profil | Longueur phase | N° étape | Type étape   | Indice poussée | ID_Flap | Altitude point final (ft) | Vitesse de montée (ft/min) | CAS point final (kt) | Pourcentage_accélération (%) |
|--------|-----------|----------------|----------|--------------|----------------|---------|---------------------------|----------------------------|----------------------|------------------------------|
| EMB14L | DEFAULT   | 4              | 3        | Accélération | Maxi montée    | ZERO    |                           | 1 366                      | 220                  |                              |
| EMB14L | DEFAULT   | 4              | 4        | Montée       | Maxi montée    | ZERO    | 3 000                     |                            |                      |                              |
| EMB14L | DEFAULT   | 4              | 5        | Accélération | Maxi montée    | ZERO    |                           | 1 000                      | 250                  |                              |
| EMB14L | DEFAULT   | 4              | 6        | Montée       | Maxi montée    | ZERO    | 5 500                     |                            |                      |                              |
| EMB14L | DEFAULT   | 4              | 7        | Montée       | Maxi montée    | ZERO    | 7 500                     |                            |                      |                              |
| EMB14L | DEFAULT   | 4              | 8        | Montée       | Maxi montée    | ZERO    | 10 000                    |                            |                      |                              |
| EMB14L | DEFAULT   | 5              | 1        | Décollage    | Maxi décollage | 9-GEAR  |                           |                            |                      |                              |
| EMB14L | DEFAULT   | 5              | 2        | Montée       | Maxi décollage | 9       | 1 000                     |                            |                      |                              |
| EMB14L | DEFAULT   | 5              | 3        | Accélération | Maxi montée    | ZERO    |                           | 1 335                      | 220                  |                              |
| EMB14L | DEFAULT   | 5              | 4        | Montée       | Maxi montée    | ZERO    | 3 000                     |                            |                      |                              |
| EMB14L | DEFAULT   | 5              | 5        | Accélération | Maxi montée    | ZERO    |                           | 1 000                      | 250                  |                              |
| EMB14L | DEFAULT   | 5              | 6        | Montée       | Maxi montée    | ZERO    | 5 500                     |                            |                      |                              |
| EMB14L | DEFAULT   | 5              | 7        | Montée       | Maxi montée    | ZERO    | 7 500                     |                            |                      |                              |
| EMB14L | DEFAULT   | 5              | 8        | Montée       | Maxi montée    | ZERO    | 10 000                    |                            |                      |                              |
| EMB14L | DEFAULT   | 6              | 1        | Décollage    | Maxi décollage | 9-GEAR  |                           |                            |                      |                              |
| EMB14L | DEFAULT   | 6              | 2        | Montée       | Maxi décollage | 9       | 1 000                     |                            |                      |                              |
| EMB14L | DEFAULT   | 6              | 3        | Accélération | Maxi montée    | ZERO    |                           | 1 298                      | 220                  |                              |
| EMB14L | DEFAULT   | 6              | 4        | Montée       | Maxi montée    | ZERO    | 3 000                     |                            |                      |                              |
| EMB14L | DEFAULT   | 6              | 5        | Accélération | Maxi montée    | ZERO    |                           | 1 000                      | 250                  |                              |
| EMB14L | DEFAULT   | 6              | 6        | Montée       | Maxi montée    | ZERO    | 5 500                     |                            |                      |                              |

| ACFTID | ID_Profil | Longueur phase | N° étape | Type étape   | Indice poussée | ID_Flap | Altitude point final (ft) | Vitesse de montée (ft/min) | CAS point final (kt) | Pourcentage accélération (%) |
|--------|-----------|----------------|----------|--------------|----------------|---------|---------------------------|----------------------------|----------------------|------------------------------|
| EMB14L | DEFAULT   | 6              | 7        | Montée       | Maxi montée    | ZERO    | 7 500                     |                            |                      |                              |
| EMB14L | DEFAULT   | 6              | 8        | Montée       | Maxi montée    | ZERO    | 10 000                    |                            |                      |                              |
| EMB170 | DEFAULT   | 1              | 1        | Décollage    | Maxi décollage | 1       |                           |                            |                      |                              |
| EMB170 | DEFAULT   | 1              | 2        | Montée       | Maxi décollage | 1       | 1 000                     |                            |                      |                              |
| EMB170 | DEFAULT   | 1              | 3        | Accélération | Maxi montée    | ZERO    |                           | 1 936                      | 196                  |                              |
| EMB170 | DEFAULT   | 1              | 4        | Montée       | Maxi montée    | ZERO    | 3 000                     |                            |                      |                              |
| EMB170 | DEFAULT   | 1              | 5        | Accélération | Maxi montée    | ZERO    |                           | 2 339                      | 240                  |                              |
| EMB170 | DEFAULT   | 1              | 6        | Montée       | Maxi montée    | ZERO    | 5 500                     |                            |                      |                              |
| EMB170 | DEFAULT   | 1              | 7        | Montée       | Maxi montée    | ZERO    | 7 500                     |                            |                      |                              |
| EMB170 | DEFAULT   | 1              | 8        | Montée       | Maxi montée    | ZERO    | 10 000                    |                            |                      |                              |
| EMB170 | DEFAULT   | 2              | 1        | Décollage    | Maxi décollage | 1       |                           |                            |                      |                              |
| EMB170 | DEFAULT   | 2              | 2        | Montée       | Maxi décollage | 1       | 1 000                     |                            |                      |                              |
| EMB170 | DEFAULT   | 2              | 3        | Accélération | Maxi montée    | ZERO    |                           | 1 836                      | 197,1                |                              |
| EMB170 | DEFAULT   | 2              | 4        | Montée       | Maxi montée    | ZERO    | 3 000                     |                            |                      |                              |
| EMB170 | DEFAULT   | 2              | 5        | Accélération | Maxi montée    | ZERO    |                           | 2 228                      | 240                  |                              |
| EMB170 | DEFAULT   | 2              | 6        | Montée       | Maxi montée    | ZERO    | 5 500                     |                            |                      |                              |
| EMB170 | DEFAULT   | 2              | 7        | Montée       | Maxi montée    | ZERO    | 7 500                     |                            |                      |                              |
| EMB170 | DEFAULT   | 2              | 8        | Montée       | Maxi montée    | ZERO    | 10 000                    |                            |                      |                              |
| EMB170 | DEFAULT   | 3              | 1        | Décollage    | Maxi décollage | 1       |                           |                            |                      |                              |
| EMB170 | DEFAULT   | 3              | 2        | Montée       | Maxi décollage | 1       | 1 000                     |                            |                      |                              |

| ACFTID | ID_Profil | Longueur phase | N° étape | Type étape   | Indice poussée | ID_Flap | Altitude point final (ft) | Vitesse de montée (ft/min) | CAS point final (kt) | Pourcentage_accélération (%) |
|--------|-----------|----------------|----------|--------------|----------------|---------|---------------------------|----------------------------|----------------------|------------------------------|
| EMB170 | DEFAULT   | 3              | 3        | Accélération | Maxi montée    | ZERO    |                           | 1 772                      | 200,9                |                              |
| EMB170 | DEFAULT   | 3              | 4        | Montée       | Maxi montée    | ZERO    | 3 000                     |                            |                      |                              |
| EMB170 | DEFAULT   | 3              | 5        | Accélération | Maxi montée    | ZERO    |                           | 2 120                      | 240                  |                              |
| EMB170 | DEFAULT   | 3              | 6        | Montée       | Maxi montée    | ZERO    | 5 500                     |                            |                      |                              |
| EMB170 | DEFAULT   | 3              | 7        | Montée       | Maxi montée    | ZERO    | 7 500                     |                            |                      |                              |
| EMB170 | DEFAULT   | 3              | 8        | Montée       | Maxi montée    | ZERO    | 10 000                    |                            |                      |                              |
| EMB170 | ICAO_A    | 1              | 1        | Décollage    | Maxi décollage | 1       |                           |                            |                      |                              |
| EMB170 | ICAO_A    | 1              | 2        | Montée       | Maxi décollage | 1       | 1 500                     |                            |                      |                              |
| EMB170 | ICAO_A    | 1              | 3        | Montée       | Maxi montée    | 1       | 3 000                     |                            |                      |                              |
| EMB170 | ICAO_A    | 1              | 4        | Accélération | Maxi montée    | ZERO    |                           | 1 650                      | 195                  |                              |
| EMB170 | ICAO_A    | 1              | 5        | Accélération | Maxi montée    | ZERO    |                           | 2 035                      | 240                  |                              |
| EMB170 | ICAO_A    | 1              | 6        | Montée       | Maxi montée    | ZERO    | 5 500                     |                            |                      |                              |
| EMB170 | ICAO_A    | 1              | 7        | Montée       | Maxi montée    | ZERO    | 7 500                     |                            |                      |                              |
| EMB170 | ICAO_A    | 1              | 8        | Montée       | Maxi montée    | ZERO    | 10 000                    |                            |                      |                              |
| EMB170 | ICAO_A    | 2              | 1        | Décollage    | Maxi décollage | 1       |                           |                            |                      |                              |
| EMB170 | ICAO_A    | 2              | 2        | Montée       | Maxi décollage | 1       | 1 500                     |                            |                      |                              |
| EMB170 | ICAO_A    | 2              | 3        | Montée       | Maxi montée    | 1       | 3 000                     |                            |                      |                              |
| EMB170 | ICAO_A    | 2              | 4        | Accélération | Maxi montée    | ZERO    |                           | 1 617                      | 198,1                |                              |
| EMB170 | ICAO_A    | 2              | 5        | Accélération | Maxi montée    | ZERO    |                           | 1 944                      | 240                  |                              |
| EMB170 | ICAO_A    | 2              | 6        | Montée       | Maxi montée    | ZERO    | 5 500                     |                            |                      |                              |

| ACFTID | ID_Profil | Longueur phase | N° étape | Type étape   | Indice poussée | ID_Flap | Altitude point final (ft) | Vitesse de montée (ft/min) | CAS point final (kt) | Pourcentage accélération (%) |
|--------|-----------|----------------|----------|--------------|----------------|---------|---------------------------|----------------------------|----------------------|------------------------------|
| EMB170 | ICAO_A    | 2              | 7        | Montée       | Maxi montée    | ZERO    | 7 500                     |                            |                      |                              |
| EMB170 | ICAO_A    | 2              | 8        | Montée       | Maxi montée    | ZERO    | 10 000                    |                            |                      |                              |
| EMB170 | ICAO_A    | 3              | 1        | Décollage    | Maxi décollage | 1       |                           |                            |                      |                              |
| EMB170 | ICAO_A    | 3              | 2        | Montée       | Maxi décollage | 1       | 1 500                     |                            |                      |                              |
| EMB170 | ICAO_A    | 3              | 3        | Montée       | Maxi montée    | 1       | 3 000                     |                            |                      |                              |
| EMB170 | ICAO_A    | 3              | 4        | Accélération | Maxi montée    | ZERO    |                           | 1 546                      | 200,4                |                              |
| EMB170 | ICAO_A    | 3              | 5        | Accélération | Maxi montée    | ZERO    |                           | 1 850                      | 240                  |                              |
| EMB170 | ICAO_A    | 3              | 6        | Montée       | Maxi montée    | ZERO    | 5 500                     |                            |                      |                              |
| EMB170 | ICAO_A    | 3              | 7        | Montée       | Maxi montée    | ZERO    | 7 500                     |                            |                      |                              |
| EMB170 | ICAO_A    | 3              | 8        | Montée       | Maxi montée    | ZERO    | 10 000                    |                            |                      |                              |
| EMB170 | ICAO_B    | 1              | 1        | Décollage    | Maxi décollage | 1       |                           |                            |                      |                              |
| EMB170 | ICAO_B    | 1              | 2        | Montée       | Maxi décollage | 1       | 1 000                     |                            |                      |                              |
| EMB170 | ICAO_B    | 1              | 3        | Accélération | Maxi décollage | ZERO    |                           | 1 899                      | 195,5                |                              |
| EMB170 | ICAO_B    | 1              | 4        | Montée       | Maxi montée    | ZERO    | 3 000                     |                            |                      |                              |
| EMB170 | ICAO_B    | 1              | 5        | Accélération | Maxi montée    | ZERO    |                           | 2 301                      | 240                  |                              |
| EMB170 | ICAO_B    | 1              | 6        | Montée       | Maxi montée    | ZERO    | 5 500                     |                            |                      |                              |
| EMB170 | ICAO_B    | 1              | 7        | Montée       | Maxi montée    | ZERO    | 7 500                     |                            |                      |                              |
| EMB170 | ICAO_B    | 1              | 8        | Montée       | Maxi montée    | ZERO    | 10 000                    |                            |                      |                              |
| EMB170 | ICAO_B    | 2              | 1        | Décollage    | Maxi décollage | 1       |                           |                            |                      |                              |
| EMB170 | ICAO_B    | 2              | 2        | Montée       | Maxi décollage | 1       | 1 000                     |                            |                      |                              |

| ACFTID | ID_Profil | Longueur phase | N° étape | Type étape   | Indice poussée | ID_Flap | Altitude point final (ft) | Vitesse de montée (ft/min) | CAS point final (kt) | Pourcentage_accélération (%) |
|--------|-----------|----------------|----------|--------------|----------------|---------|---------------------------|----------------------------|----------------------|------------------------------|
| EMB170 | ICAO_B    | 2              | 3        | Accélération | Maxi décollage | ZERO    |                           | 1 823                      | 198,2                |                              |
| EMB170 | ICAO_B    | 2              | 4        | Montée       | Maxi montée    | ZERO    | 3 000                     |                            |                      |                              |
| EMB170 | ICAO_B    | 2              | 5        | Accélération | Maxi montée    | ZERO    |                           | 2 195                      | 240                  |                              |
| EMB170 | ICAO_B    | 2              | 6        | Montée       | Maxi montée    | ZERO    | 5 500                     |                            |                      |                              |
| EMB170 | ICAO_B    | 2              | 7        | Montée       | Maxi montée    | ZERO    | 7 500                     |                            |                      |                              |
| EMB170 | ICAO_B    | 2              | 8        | Montée       | Maxi montée    | ZERO    | 10 000                    |                            |                      |                              |
| EMB170 | ICAO_B    | 3              | 1        | Décollage    | Maxi décollage | 1       |                           |                            |                      |                              |
| EMB170 | ICAO_B    | 3              | 2        | Montée       | Maxi décollage | 1       | 1 000                     |                            |                      |                              |
| EMB170 | ICAO_B    | 3              | 3        | Accélération | Maxi décollage | ZERO    |                           | 1 743                      | 201                  |                              |
| EMB170 | ICAO_B    | 3              | 4        | Montée       | Maxi montée    | ZERO    | 3 000                     |                            |                      |                              |
| EMB170 | ICAO_B    | 3              | 5        | Accélération | Maxi montée    | ZERO    |                           | 2 085                      | 240                  |                              |
| EMB170 | ICAO_B    | 3              | 6        | Montée       | Maxi montée    | ZERO    | 5 500                     |                            |                      |                              |
| EMB170 | ICAO_B    | 3              | 7        | Montée       | Maxi montée    | ZERO    | 7 500                     |                            |                      |                              |
| EMB170 | ICAO_B    | 3              | 8        | Montée       | Maxi montée    | ZERO    | 10 000                    |                            |                      |                              |
| EMB175 | DEFAULT   | 1              | 1        | Décollage    | Maxi décollage | 1       |                           |                            |                      |                              |
| EMB175 | DEFAULT   | 1              | 2        | Montée       | Maxi décollage | 1       | 1 000                     |                            |                      |                              |
| EMB175 | DEFAULT   | 1              | 3        | Accélération | Maxi montée    | ZERO    |                           | 1 900                      | 196                  |                              |
| EMB175 | DEFAULT   | 1              | 4        | Montée       | Maxi montée    | ZERO    | 3 000                     |                            |                      |                              |
| EMB175 | DEFAULT   | 1              | 5        | Accélération | Maxi montée    | ZERO    |                           | 2 308                      | 240                  |                              |
| EMB175 | DEFAULT   | 1              | 6        | Montée       | Maxi montée    | ZERO    | 5 500                     |                            |                      |                              |

| ACFTID | ID_Profil | Longueur phase | N° étape | Type étape   | Indice poussée | ID_Flap | Altitude point final (ft) | Vitesse de montée (ft/min) | CAS point final (kt) | Pourcentage_accélération (%) |
|--------|-----------|----------------|----------|--------------|----------------|---------|---------------------------|----------------------------|----------------------|------------------------------|
| EMB175 | DEFAULT   | 1              | 7        | Montée       | Maxi montée    | ZERO    | 7 500                     |                            |                      |                              |
| EMB175 | DEFAULT   | 1              | 8        | Montée       | Maxi montée    | ZERO    | 10 000                    |                            |                      |                              |
| EMB175 | DEFAULT   | 2              | 1        | Décollage    | Maxi décollage | 1       |                           |                            |                      |                              |
| EMB175 | DEFAULT   | 2              | 2        | Montée       | Maxi décollage | 1       | 1 000                     |                            |                      |                              |
| EMB175 | DEFAULT   | 2              | 3        | Accélération | Maxi montée    | ZERO    |                           | 1 823                      | 198,1                |                              |
| EMB175 | DEFAULT   | 2              | 4        | Montée       | Maxi montée    | ZERO    | 3 000                     |                            |                      |                              |
| EMB175 | DEFAULT   | 2              | 5        | Accélération | Maxi montée    | ZERO    |                           | 2 190                      | 240                  |                              |
| EMB175 | DEFAULT   | 2              | 6        | Montée       | Maxi montée    | ZERO    | 5 500                     |                            |                      |                              |
| EMB175 | DEFAULT   | 2              | 7        | Montée       | Maxi montée    | ZERO    | 7 500                     |                            |                      |                              |
| EMB175 | DEFAULT   | 2              | 8        | Montée       | Maxi montée    | ZERO    | 10 000                    |                            |                      |                              |
| EMB175 | DEFAULT   | 3              | 1        | Décollage    | Maxi décollage | 1       |                           |                            |                      |                              |
| EMB175 | DEFAULT   | 3              | 2        | Montée       | Maxi décollage | 1       | 1 000                     |                            |                      |                              |
| EMB175 | DEFAULT   | 3              | 3        | Accélération | Maxi montée    | ZERO    |                           | 1 745                      | 200,3                |                              |
| EMB175 | DEFAULT   | 3              | 4        | Montée       | Maxi montée    | ZERO    | 3 000                     |                            |                      |                              |
| EMB175 | DEFAULT   | 3              | 5        | Accélération | Maxi montée    | ZERO    |                           | 2 086                      | 240                  |                              |
| EMB175 | DEFAULT   | 3              | 6        | Montée       | Maxi montée    | ZERO    | 5 500                     |                            |                      |                              |
| EMB175 | DEFAULT   | 3              | 7        | Montée       | Maxi montée    | ZERO    | 7 500                     |                            |                      |                              |
| EMB175 | DEFAULT   | 3              | 8        | Montée       | Maxi montée    | ZERO    | 10 000                    |                            |                      |                              |
| EMB175 | ICAO_A    | 1              | 1        | Décollage    | Maxi décollage | 1       |                           |                            |                      |                              |
| EMB175 | ICAO_A    | 1              | 2        | Montée       | Maxi décollage | 1       | 1 500                     |                            |                      |                              |

| ACFTID | ID_Profil | Longueur phase | N° étape | Type étape   | Indice poussée | ID_Flap | Altitude point final (ft) | Vitesse de montée (ft/min) | CAS point final (kt) | Pourcentage_accélération (%) |
|--------|-----------|----------------|----------|--------------|----------------|---------|---------------------------|----------------------------|----------------------|------------------------------|
| EMB175 | ICAO_A    | 1              | 3        | Montée       | Maxi montée    | 1       | 3 000                     |                            |                      |                              |
| EMB175 | ICAO_A    | 1              | 4        | Accélération | Maxi montée    | ZERO    |                           | 1 634                      | 195                  |                              |
| EMB175 | ICAO_A    | 1              | 5        | Accélération | Maxi montée    | ZERO    |                           | 1 979                      | 240                  |                              |
| EMB175 | ICAO_A    | 1              | 6        | Montée       | Maxi montée    | ZERO    | 5 500                     |                            |                      |                              |
| EMB175 | ICAO_A    | 1              | 7        | Montée       | Maxi montée    | ZERO    | 7 500                     |                            |                      |                              |
| EMB175 | ICAO_A    | 1              | 8        | Montée       | Maxi montée    | ZERO    | 10 000                    |                            |                      |                              |
| EMB175 | ICAO_A    | 2              | 1        | Décollage    | Maxi décollage | 1       |                           |                            |                      |                              |
| EMB175 | ICAO_A    | 2              | 2        | Montée       | Maxi décollage | 1       | 1 500                     |                            |                      |                              |
| EMB175 | ICAO_A    | 2              | 3        | Montée       | Maxi montée    | 1       | 3 000                     |                            |                      |                              |
| EMB175 | ICAO_A    | 2              | 4        | Accélération | Maxi montée    | ZERO    |                           | 1 568                      | 198,5                |                              |
| EMB175 | ICAO_A    | 2              | 5        | Accélération | Maxi montée    | ZERO    |                           | 1 885                      | 240                  |                              |
| EMB175 | ICAO_A    | 2              | 6        | Montée       | Maxi montée    | ZERO    | 5 500                     |                            |                      |                              |
| EMB175 | ICAO_A    | 2              | 7        | Montée       | Maxi montée    | ZERO    | 7 500                     |                            |                      |                              |
| EMB175 | ICAO_A    | 2              | 8        | Montée       | Maxi montée    | ZERO    | 10 000                    |                            |                      |                              |
| EMB175 | ICAO_A    | 3              | 1        | Décollage    | Maxi décollage | 1       |                           |                            |                      |                              |
| EMB175 | ICAO_A    | 3              | 2        | Montée       | Maxi décollage | 1       | 1 500                     |                            |                      |                              |
| EMB175 | ICAO_A    | 3              | 3        | Montée       | Maxi montée    | 1       | 3 000                     |                            |                      |                              |
| EMB175 | ICAO_A    | 3              | 4        | Accélération | Maxi montée    | ZERO    |                           | 1 499                      | 201,3                |                              |
| EMB175 | ICAO_A    | 3              | 5        | Accélération | Maxi montée    | ZERO    |                           | 1 794                      | 240                  |                              |
| EMB175 | ICAO_A    | 3              | 6        | Montée       | Maxi montée    | ZERO    | 5 500                     |                            |                      |                              |

| ACFTID | ID_Profil | Longueur phase | N° étape | Type étape   | Indice poussée | ID_Flap | Altitude point final (ft) | Vitesse de montée (ft/min) | CAS point final (kt) | Pourcentage_accélération (%) |
|--------|-----------|----------------|----------|--------------|----------------|---------|---------------------------|----------------------------|----------------------|------------------------------|
| EMB175 | ICAO_A    | 3              | 7        | Montée       | Maxi montée    | ZERO    | 7 500                     |                            |                      |                              |
| EMB175 | ICAO_A    | 3              | 8        | Montée       | Maxi montée    | ZERO    | 10 000                    |                            |                      |                              |
| EMB175 | ICAO_B    | 1              | 1        | Décollage    | Maxi décollage | 1       |                           |                            |                      |                              |
| EMB175 | ICAO_B    | 1              | 2        | Montée       | Maxi décollage | 1       | 1 000                     |                            |                      |                              |
| EMB175 | ICAO_B    | 1              | 3        | Accélération | Maxi décollage | ZERO    |                           | 1 818                      | 195,5                |                              |
| EMB175 | ICAO_B    | 1              | 4        | Montée       | Maxi montée    | ZERO    | 3 000                     |                            |                      |                              |
| EMB175 | ICAO_B    | 1              | 5        | Accélération | Maxi montée    | ZERO    |                           | 2 202                      | 240                  |                              |
| EMB175 | ICAO_B    | 1              | 6        | Montée       | Maxi montée    | ZERO    | 5 500                     |                            |                      |                              |
| EMB175 | ICAO_B    | 1              | 7        | Montée       | Maxi montée    | ZERO    | 7 500                     |                            |                      |                              |
| EMB175 | ICAO_B    | 1              | 8        | Montée       | Maxi montée    | ZERO    | 10 000                    |                            |                      |                              |
| EMB175 | ICAO_B    | 2              | 1        | Décollage    | Maxi décollage | 1       |                           |                            |                      |                              |
| EMB175 | ICAO_B    | 2              | 2        | Montée       | Maxi décollage | 1       | 1 000                     |                            |                      |                              |
| EMB175 | ICAO_B    | 2              | 3        | Accélération | Maxi décollage | ZERO    |                           | 1 744                      | 197,1                |                              |
| EMB175 | ICAO_B    | 2              | 4        | Montée       | Maxi montée    | ZERO    | 3 000                     |                            |                      |                              |
| EMB175 | ICAO_B    | 2              | 5        | Accélération | Maxi montée    | ZERO    |                           | 2 099                      | 240                  |                              |
| EMB175 | ICAO_B    | 2              | 6        | Montée       | Maxi montée    | ZERO    | 5 500                     |                            |                      |                              |
| EMB175 | ICAO_B    | 2              | 7        | Montée       | Maxi montée    | ZERO    | 7 500                     |                            |                      |                              |
| EMB175 | ICAO_B    | 2              | 8        | Montée       | Maxi montée    | ZERO    | 10 000                    |                            |                      |                              |
| EMB175 | ICAO_B    | 3              | 1        | Décollage    | Maxi décollage | 1       |                           |                            |                      |                              |
| EMB175 | ICAO_B    | 3              | 2        | Montée       | Maxi décollage | 1       | 1 000                     |                            |                      |                              |

| ACFTID | ID_Profil | Longueur phase | N° étape | Type étape   | Indice poussée | ID_Flap | Altitude point final (ft) | Vitesse de montée (ft/min) | CAS point final (kt) | Pourcentage_accélération (%) |
|--------|-----------|----------------|----------|--------------|----------------|---------|---------------------------|----------------------------|----------------------|------------------------------|
| EMB175 | ICAO_B    | 3              | 3        | Accélération | Maxi décollage | ZERO    |                           | 1 668                      | 200,8                |                              |
| EMB175 | ICAO_B    | 3              | 4        | Montée       | Maxi montée    | ZERO    | 3 000                     |                            |                      |                              |
| EMB175 | ICAO_B    | 3              | 5        | Accélération | Maxi montée    | ZERO    |                           | 1 996                      | 240                  |                              |
| EMB175 | ICAO_B    | 3              | 6        | Montée       | Maxi montée    | ZERO    | 5 500                     |                            |                      |                              |
| EMB175 | ICAO_B    | 3              | 7        | Montée       | Maxi montée    | ZERO    | 7 500                     |                            |                      |                              |
| EMB175 | ICAO_B    | 3              | 8        | Montée       | Maxi montée    | ZERO    | 10 000                    |                            |                      |                              |
| EMB190 | DEFAULT   | 1              | 1        | Décollage    | Maxi décollage | 1       |                           |                            |                      |                              |
| EMB190 | DEFAULT   | 1              | 2        | Montée       | Maxi décollage | 1       | 1 000                     |                            |                      |                              |
| EMB190 | DEFAULT   | 1              | 3        | Accélération | Maxi montée    | ZERO    |                           | 1 685                      | 194,5                |                              |
| EMB190 | DEFAULT   | 1              | 4        | Montée       | Maxi montée    | ZERO    | 3 000                     |                            |                      |                              |
| EMB190 | DEFAULT   | 1              | 5        | Accélération | Maxi montée    | ZERO    |                           | 2 041                      | 250                  |                              |
| EMB190 | DEFAULT   | 1              | 6        | Montée       | Maxi montée    | ZERO    | 5 500                     |                            |                      |                              |
| EMB190 | DEFAULT   | 1              | 7        | Montée       | Maxi montée    | ZERO    | 7 500                     |                            |                      |                              |
| EMB190 | DEFAULT   | 1              | 8        | Montée       | Maxi montée    | ZERO    | 10 000                    |                            |                      |                              |
| EMB190 | DEFAULT   | 2              | 1        | Décollage    | Maxi décollage | 1       |                           |                            |                      |                              |
| EMB190 | DEFAULT   | 2              | 2        | Montée       | Maxi décollage | 1       | 1 000                     |                            |                      |                              |
| EMB190 | DEFAULT   | 2              | 3        | Accélération | Maxi montée    | ZERO    |                           | 1 616                      | 197,1                |                              |
| EMB190 | DEFAULT   | 2              | 4        | Montée       | Maxi montée    | ZERO    | 3 000                     |                            |                      |                              |
| EMB190 | DEFAULT   | 2              | 5        | Accélération | Maxi montée    | ZERO    |                           | 1 944                      | 250                  |                              |
| EMB190 | DEFAULT   | 2              | 6        | Montée       | Maxi montée    | ZERO    | 5 500                     |                            |                      |                              |

| ACFTID | ID_Profil | Longueur phase | N° étape | Type étape   | Indice poussée | ID_Flap | Altitude point final (ft) | Vitesse de montée (ft/min) | CAS point final (kt) | Pourcentage accélération (%) |
|--------|-----------|----------------|----------|--------------|----------------|---------|---------------------------|----------------------------|----------------------|------------------------------|
| EMB190 | DEFAULT   | 2              | 7        | Montée       | Maxi montée    | ZERO    | 7 500                     |                            |                      |                              |
| EMB190 | DEFAULT   | 2              | 8        | Montée       | Maxi montée    | ZERO    | 10 000                    |                            |                      |                              |
| EMB190 | DEFAULT   | 3              | 1        | Décollage    | Maxi décollage | 1       |                           |                            |                      |                              |
| EMB190 | DEFAULT   | 3              | 2        | Montée       | Maxi décollage | 1       | 1 000                     |                            |                      |                              |
| EMB190 | DEFAULT   | 3              | 3        | Accélération | Maxi montée    | ZERO    |                           | 1 546                      | 199,7                |                              |
| EMB190 | DEFAULT   | 3              | 4        | Montée       | Maxi montée    | ZERO    | 3 000                     |                            |                      |                              |
| EMB190 | DEFAULT   | 3              | 5        | Accélération | Maxi montée    | ZERO    |                           | 1 850                      | 250                  |                              |
| EMB190 | DEFAULT   | 3              | 6        | Montée       | Maxi montée    | ZERO    | 5 500                     |                            |                      |                              |
| EMB190 | DEFAULT   | 3              | 7        | Montée       | Maxi montée    | ZERO    | 7 500                     |                            |                      |                              |
| EMB190 | DEFAULT   | 3              | 8        | Montée       | Maxi montée    | ZERO    | 10 000                    |                            |                      |                              |
| EMB190 | DEFAULT   | 4              | 1        | Décollage    | Maxi décollage | 1       |                           |                            |                      |                              |
| EMB190 | DEFAULT   | 4              | 2        | Montée       | Maxi décollage | 1       | 1 000                     |                            |                      |                              |
| EMB190 | DEFAULT   | 4              | 3        | Accélération | Maxi montée    | ZERO    |                           | 1 416                      | 205,2                |                              |
| EMB190 | DEFAULT   | 4              | 4        | Montée       | Maxi montée    | ZERO    | 3 000                     |                            |                      |                              |
| EMB190 | DEFAULT   | 4              | 5        | Accélération | Maxi montée    | ZERO    |                           | 1 677                      | 250                  |                              |
| EMB190 | DEFAULT   | 4              | 6        | Montée       | Maxi montée    | ZERO    | 5 500                     |                            |                      |                              |
| EMB190 | DEFAULT   | 4              | 7        | Montée       | Maxi montée    | ZERO    | 7 500                     |                            |                      |                              |
| EMB190 | DEFAULT   | 4              | 8        | Montée       | Maxi montée    | ZERO    | 10 000                    |                            |                      |                              |
| EMB190 | ICAO_A    | 1              | 1        | Décollage    | Maxi décollage | 1       |                           |                            |                      |                              |
| EMB190 | ICAO_A    | 1              | 2        | Montée       | Maxi décollage | 1       | 1 500                     |                            |                      |                              |

| ACFTID | ID_Profil | Longueur phase | N° étape | Type étape   | Indice poussée | ID_Flap | Altitude point final (ft) | Vitesse de montée (ft/min) | CAS point final (kt) | Pourcentage_accélération (%) |
|--------|-----------|----------------|----------|--------------|----------------|---------|---------------------------|----------------------------|----------------------|------------------------------|
| EMB190 | ICAO_A    | 1              | 3        | Montée       | Maxi montée    | 1       | 3 000                     |                            |                      |                              |
| EMB190 | ICAO_A    | 1              | 4        | Accélération | Maxi montée    | ZERO    |                           | 1 652                      | 194,1                |                              |
| EMB190 | ICAO_A    | 1              | 5        | Accélération | Maxi montée    | ZERO    |                           | 2 012                      | 250                  |                              |
| EMB190 | ICAO_A    | 1              | 6        | Montée       | Maxi montée    | ZERO    | 5 500                     |                            |                      |                              |
| EMB190 | ICAO_A    | 1              | 7        | Montée       | Maxi montée    | ZERO    | 7 500                     |                            |                      |                              |
| EMB190 | ICAO_A    | 1              | 8        | Montée       | Maxi montée    | ZERO    | 10 000                    |                            |                      |                              |
| EMB190 | ICAO_A    | 2              | 1        | Décollage    | Maxi décollage | 1       |                           |                            |                      |                              |
| EMB190 | ICAO_A    | 2              | 2        | Montée       | Maxi décollage | 1       | 1 500                     |                            |                      |                              |
| EMB190 | ICAO_A    | 2              | 3        | Montée       | Maxi montée    | 1       | 3 000                     |                            |                      |                              |
| EMB190 | ICAO_A    | 2              | 4        | Accélération | Maxi montée    | ZERO    |                           | 1 582                      | 196,6                |                              |
| EMB190 | ICAO_A    | 2              | 5        | Accélération | Maxi montée    | ZERO    |                           | 1 918                      | 250                  |                              |
| EMB190 | ICAO_A    | 2              | 6        | Montée       | Maxi montée    | ZERO    | 5 500                     |                            |                      |                              |
| EMB190 | ICAO_A    | 2              | 7        | Montée       | Maxi montée    | ZERO    | 7 500                     |                            |                      |                              |
| EMB190 | ICAO_A    | 2              | 8        | Montée       | Maxi montée    | ZERO    | 10 000                    |                            |                      |                              |
| EMB190 | ICAO_A    | 3              | 1        | Décollage    | Maxi décollage | 1       |                           |                            |                      |                              |
| EMB190 | ICAO_A    | 3              | 2        | Montée       | Maxi décollage | 1       | 1 500                     |                            |                      |                              |
| EMB190 | ICAO_A    | 3              | 3        | Montée       | Maxi montée    | 1       | 3 000                     |                            |                      |                              |
| EMB190 | ICAO_A    | 3              | 4        | Accélération | Maxi montée    | ZERO    |                           | 1 513                      | 199,4                |                              |
| EMB190 | ICAO_A    | 3              | 5        | Accélération | Maxi montée    | ZERO    |                           | 1 826                      | 250                  |                              |
| EMB190 | ICAO_A    | 3              | 6        | Montée       | Maxi montée    | ZERO    | 5 500                     |                            |                      |                              |

| ACFTID | ID_Profil | Longueur phase | N° étape | Type étape   | Indice poussée | ID_Flap | Altitude point final (ft) | Vitesse de montée (ft/min) | CAS point final (kt) | Pourcentage_accélération (%) |
|--------|-----------|----------------|----------|--------------|----------------|---------|---------------------------|----------------------------|----------------------|------------------------------|
| EMB190 | ICAO_A    | 3              | 7        | Montée       | Maxi montée    | ZERO    | 7 500                     |                            |                      |                              |
| EMB190 | ICAO_A    | 3              | 8        | Montée       | Maxi montée    | ZERO    | 10 000                    |                            |                      |                              |
| EMB190 | ICAO_A    | 4              | 1        | Décollage    | Maxi décollage | 1       |                           |                            |                      |                              |
| EMB190 | ICAO_A    | 4              | 2        | Montée       | Maxi décollage | 1       | 1 500                     |                            |                      |                              |
| EMB190 | ICAO_A    | 4              | 3        | Montée       | Maxi montée    | 1       | 3 000                     |                            |                      |                              |
| EMB190 | ICAO_A    | 4              | 4        | Accélération | Maxi montée    | ZERO    |                           | 1 382                      | 204,8                |                              |
| EMB190 | ICAO_A    | 4              | 5        | Accélération | Maxi montée    | ZERO    |                           | 1 658                      | 250                  |                              |
| EMB190 | ICAO_A    | 4              | 6        | Montée       | Maxi montée    | ZERO    | 7 500                     |                            |                      |                              |
| EMB190 | ICAO_A    | 4              | 7        | Montée       | Maxi montée    | ZERO    | 10 000                    |                            |                      |                              |
| EMB190 | ICAO_B    | 1              | 1        | Décollage    | Maxi décollage | 1       |                           |                            |                      |                              |
| EMB190 | ICAO_B    | 1              | 2        | Montée       | Maxi décollage | 1       | 1 000                     |                            |                      |                              |
| EMB190 | ICAO_B    | 1              | 3        | Accélération | Maxi décollage | ZERO    |                           | 1 899                      | 194,4                |                              |
| EMB190 | ICAO_B    | 1              | 4        | Montée       | Maxi montée    | ZERO    | 3 000                     |                            |                      |                              |
| EMB190 | ICAO_B    | 1              | 5        | Accélération | Maxi montée    | ZERO    |                           | 2 171                      | 250                  |                              |
| EMB190 | ICAO_B    | 1              | 6        | Montée       | Maxi montée    | ZERO    | 5 500                     |                            |                      |                              |
| EMB190 | ICAO_B    | 1              | 7        | Montée       | Maxi montée    | ZERO    | 7 500                     |                            |                      |                              |
| EMB190 | ICAO_B    | 1              | 8        | Montée       | Maxi montée    | ZERO    | 10 000                    |                            |                      |                              |
| EMB190 | ICAO_B    | 2              | 1        | Décollage    | Maxi décollage | 1       |                           |                            |                      |                              |
| EMB190 | ICAO_B    | 2              | 2        | Montée       | Maxi décollage | 1       | 1 000                     |                            |                      |                              |
| EMB190 | ICAO_B    | 2              | 3        | Accélération | Maxi décollage | ZERO    |                           | 1 824                      | 197                  |                              |

| ACFTID | ID_Profil | Longueur phase | N° étape | Type étape   | Indice poussée | ID_Flap | Altitude point final (ft) | Vitesse de montée (ft/min) | CAS point final (kt) | Pourcentage accélération (%) |
|--------|-----------|----------------|----------|--------------|----------------|---------|---------------------------|----------------------------|----------------------|------------------------------|
| EMB190 | ICAO_B    | 2              | 4        | Montée       | Maxi montée    | ZERO    | 3 000                     |                            |                      |                              |
| EMB190 | ICAO_B    | 2              | 5        | Accélération | Maxi montée    | ZERO    |                           | 2 069                      | 250                  |                              |
| EMB190 | ICAO_B    | 2              | 6        | Montée       | Maxi montée    | ZERO    | 5 500                     |                            |                      |                              |
| EMB190 | ICAO_B    | 2              | 7        | Montée       | Maxi montée    | ZERO    | 7 500                     |                            |                      |                              |
| EMB190 | ICAO_B    | 2              | 8        | Montée       | Maxi montée    | ZERO    | 10 000                    |                            |                      |                              |
| EMB190 | ICAO_B    | 3              | 1        | Décollage    | Maxi décollage | 1       |                           |                            |                      |                              |
| EMB190 | ICAO_B    | 3              | 2        | Montée       | Maxi décollage | 1       | 1 000                     |                            |                      |                              |
| EMB190 | ICAO_B    | 3              | 3        | Accélération | Maxi décollage | ZERO    |                           | 1 628                      | 199,7                |                              |
| EMB190 | ICAO_B    | 3              | 4        | Montée       | Maxi montée    | ZERO    | 3 000                     |                            |                      |                              |
| EMB190 | ICAO_B    | 3              | 5        | Accélération | Maxi montée    | ZERO    |                           | 1 969                      | 250                  |                              |
| EMB190 | ICAO_B    | 3              | 6        | Montée       | Maxi montée    | ZERO    | 5 500                     |                            |                      |                              |
| EMB190 | ICAO_B    | 3              | 7        | Montée       | Maxi montée    | ZERO    | 7 500                     |                            |                      |                              |
| EMB190 | ICAO_B    | 3              | 8        | Montée       | Maxi montée    | ZERO    | 10 000                    |                            |                      |                              |
| EMB190 | ICAO_B    | 4              | 1        | Décollage    | Maxi décollage | 1       |                           |                            |                      |                              |
| EMB190 | ICAO_B    | 4              | 2        | Montée       | Maxi décollage | 1       | 1 000                     |                            |                      |                              |
| EMB190 | ICAO_B    | 4              | 3        | Accélération | Maxi décollage | ZERO    |                           | 1 603                      | 205,1                |                              |
| EMB190 | ICAO_B    | 4              | 4        | Montée       | Maxi montée    | ZERO    | 3 000                     |                            |                      |                              |
| EMB190 | ICAO_B    | 4              | 5        | Accélération | Maxi montée    | ZERO    |                           | 1 784                      | 250                  |                              |
| EMB190 | ICAO_B    | 4              | 6        | Montée       | Maxi montée    | ZERO    | 5 500                     |                            |                      |                              |
| EMB190 | ICAO_B    | 4              | 7        | Montée       | Maxi montée    | ZERO    | 7 500                     |                            |                      |                              |

| ACFTID | ID_Profil | Longueur phase | N° étape | Type étape   | Indice poussée | ID_Flap | Altitude point final (ft) | Vitesse de montée (ft/min) | CAS point final (kt) | Pourcentage_accélération (%) |
|--------|-----------|----------------|----------|--------------|----------------|---------|---------------------------|----------------------------|----------------------|------------------------------|
| EMB190 | ICAO_B    | 4              | 8        | Montée       | Maxi montée    | ZERO    | 10 000                    |                            |                      |                              |
| EMB195 | DEFAULT   | 1              | 1        | Décollage    | Maxi décollage | 1       |                           |                            |                      |                              |
| EMB195 | DEFAULT   | 1              | 2        | Montée       | Maxi décollage | 1       | 1 000                     |                            |                      |                              |
| EMB195 | DEFAULT   | 1              | 3        | Accélération | Maxi montée    | ZERO    |                           | 1 622                      | 195                  |                              |
| EMB195 | DEFAULT   | 1              | 4        | Montée       | Maxi montée    | ZERO    | 3 000                     |                            |                      |                              |
| EMB195 | DEFAULT   | 1              | 5        | Accélération | Maxi montée    | ZERO    |                           | 1 965                      | 250                  |                              |
| EMB195 | DEFAULT   | 1              | 6        | Montée       | Maxi montée    | ZERO    | 5 500                     |                            |                      |                              |
| EMB195 | DEFAULT   | 1              | 7        | Montée       | Maxi montée    | ZERO    | 7 500                     |                            |                      |                              |
| EMB195 | DEFAULT   | 1              | 8        | Montée       | Maxi montée    | ZERO    | 10 000                    |                            |                      |                              |
| EMB195 | DEFAULT   | 2              | 1        | Décollage    | Maxi décollage | 1       |                           |                            |                      |                              |
| EMB195 | DEFAULT   | 2              | 2        | Montée       | Maxi décollage | 1       | 1 000                     |                            |                      |                              |
| EMB195 | DEFAULT   | 2              | 3        | Accélération | Maxi montée    | ZERO    |                           | 1 556                      | 197,6                |                              |
| EMB195 | DEFAULT   | 2              | 4        | Montée       | Maxi montée    | ZERO    | 3 000                     |                            |                      |                              |
| EMB195 | DEFAULT   | 2              | 5        | Accélération | Maxi montée    | ZERO    |                           | 1 872                      | 250                  |                              |
| EMB195 | DEFAULT   | 2              | 6        | Montée       | Maxi montée    | ZERO    | 5 500                     |                            |                      |                              |
| EMB195 | DEFAULT   | 2              | 7        | Montée       | Maxi montée    | ZERO    | 7 500                     |                            |                      |                              |
| EMB195 | DEFAULT   | 2              | 8        | Montée       | Maxi montée    | ZERO    | 10 000                    |                            |                      |                              |
| EMB195 | DEFAULT   | 3              | 1        | Décollage    | Maxi décollage | 1       |                           |                            |                      |                              |
| EMB195 | DEFAULT   | 3              | 2        | Montée       | Maxi décollage | 1       | 1 000                     |                            |                      |                              |
| EMB195 | DEFAULT   | 3              | 3        | Accélération | Maxi montée    | ZERO    |                           | 1 489                      | 200,2                |                              |

| ACFTID | ID_Profil | Longueur phase | N° étape | Type étape   | Indice poussée | ID_Flap | Altitude point final (ft) | Vitesse de montée (ft/min) | CAS point final (kt) | Pourcentage accélération (%) |
|--------|-----------|----------------|----------|--------------|----------------|---------|---------------------------|----------------------------|----------------------|------------------------------|
| EMB195 | DEFAULT   | 3              | 4        | Montée       | Maxi montée    | ZERO    | 3 000                     |                            |                      |                              |
| EMB195 | DEFAULT   | 3              | 5        | Accélération | Maxi montée    | ZERO    |                           | 1 781                      | 250                  |                              |
| EMB195 | DEFAULT   | 3              | 6        | Montée       | Maxi montée    | ZERO    | 5 500                     |                            |                      |                              |
| EMB195 | DEFAULT   | 3              | 7        | Montée       | Maxi montée    | ZERO    | 7 500                     |                            |                      |                              |
| EMB195 | DEFAULT   | 3              | 8        | Montée       | Maxi montée    | ZERO    | 10 000                    |                            |                      |                              |
| EMB195 | DEFAULT   | 4              | 1        | Décollage    | Maxi décollage | 1       |                           |                            |                      |                              |
| EMB195 | DEFAULT   | 4              | 2        | Montée       | Maxi décollage | 1       | 1 000                     |                            |                      |                              |
| EMB195 | DEFAULT   | 4              | 3        | Accélération | Maxi montée    | ZERO    |                           | 1 364                      | 205,7                |                              |
| EMB195 | DEFAULT   | 4              | 4        | Montée       | Maxi montée    | ZERO    | 3 000                     |                            |                      |                              |
| EMB195 | DEFAULT   | 4              | 5        | Accélération | Maxi montée    | ZERO    |                           | 1 615                      | 250                  |                              |
| EMB195 | DEFAULT   | 4              | 6        | Montée       | Maxi montée    | ZERO    | 7 500                     |                            |                      |                              |
| EMB195 | DEFAULT   | 4              | 7        | Montée       | Maxi montée    | ZERO    | 10 000                    |                            |                      |                              |
| EMB195 | ICAO_A    | 1              | 1        | Décollage    | Maxi décollage | 1       |                           |                            |                      |                              |
| EMB195 | ICAO_A    | 1              | 2        | Montée       | Maxi décollage | 1       | 1 500                     |                            |                      |                              |
| EMB195 | ICAO_A    | 1              | 3        | Montée       | Maxi montée    | 1       | 3 000                     |                            |                      |                              |
| EMB195 | ICAO_A    | 1              | 4        | Accélération | Maxi montée    | ZERO    |                           | 1 605                      | 196,5                |                              |
| EMB195 | ICAO_A    | 1              | 5        | Accélération | Maxi montée    | ZERO    |                           | 1 930                      | 250                  |                              |
| EMB195 | ICAO_A    | 1              | 6        | Montée       | Maxi montée    | ZERO    | 7 500                     |                            |                      |                              |
| EMB195 | ICAO_A    | 1              | 7        | Montée       | Maxi montée    | ZERO    | 10 000                    |                            |                      |                              |
| EMB195 | ICAO_A    | 2              | 1        | Décollage    | Maxi décollage | 1       |                           |                            |                      |                              |

| ACFTID | ID_Profil | Longueur phase | N° étape | Type étape   | Indice poussée | ID_Flap | Altitude point final (ft) | Vitesse de montée (ft/min) | CAS point final (kt) | Pourcentage_accélération (%) |
|--------|-----------|----------------|----------|--------------|----------------|---------|---------------------------|----------------------------|----------------------|------------------------------|
| EMB195 | ICAO_A    | 2              | 2        | Montée       | Maxi décollage | 1       | 1 500                     |                            |                      |                              |
| EMB195 | ICAO_A    | 2              | 3        | Montée       | Maxi montée    | 1       | 3 000                     |                            |                      |                              |
| EMB195 | ICAO_A    | 2              | 4        | Accélération | Maxi montée    | ZERO    |                           | 1 538                      | 198,1                |                              |
| EMB195 | ICAO_A    | 2              | 5        | Accélération | Maxi montée    | ZERO    |                           | 1 871                      | 250                  |                              |
| EMB195 | ICAO_A    | 2              | 6        | Montée       | Maxi montée    | ZERO    | 7 500                     |                            |                      |                              |
| EMB195 | ICAO_A    | 2              | 7        | Montée       | Maxi montée    | ZERO    | 10 000                    |                            |                      |                              |
| EMB195 | ICAO_A    | 3              | 1        | Décollage    | Maxi décollage | 1       |                           |                            |                      |                              |
| EMB195 | ICAO_A    | 3              | 2        | Montée       | Maxi décollage | 1       | 1 500                     |                            |                      |                              |
| EMB195 | ICAO_A    | 3              | 3        | Montée       | Maxi montée    | 1       | 3 000                     |                            |                      |                              |
| EMB195 | ICAO_A    | 3              | 4        | Accélération | Maxi montée    | ZERO    |                           | 1 467                      | 201,3                |                              |
| EMB195 | ICAO_A    | 3              | 5        | Accélération | Maxi montée    | ZERO    |                           | 1 768                      | 250                  |                              |
| EMB195 | ICAO_A    | 3              | 6        | Montée       | Maxi montée    | ZERO    | 7 500                     |                            |                      |                              |
| EMB195 | ICAO_A    | 3              | 7        | Montée       | Maxi montée    | ZERO    | 10 000                    |                            |                      |                              |
| EMB195 | ICAO_A    | 4              | 1        | Décollage    | Maxi décollage | 1       |                           |                            |                      |                              |
| EMB195 | ICAO_A    | 4              | 2        | Montée       | Maxi décollage | 1       | 1 500                     |                            |                      |                              |
| EMB195 | ICAO_A    | 4              | 3        | Montée       | Maxi montée    | 1       | 3 000                     |                            |                      |                              |
| EMB195 | ICAO_A    | 4              | 4        | Accélération | Maxi montée    | ZERO    |                           | 1 336                      | 206,2                |                              |
| EMB195 | ICAO_A    | 4              | 5        | Accélération | Maxi montée    | ZERO    |                           | 1 607                      | 250                  |                              |
| EMB195 | ICAO_A    | 4              | 6        | Montée       | Maxi montée    | ZERO    | 7 500                     |                            |                      |                              |
| EMB195 | ICAO_A    | 4              | 7        | Montée       | Maxi montée    | ZERO    | 10 000                    |                            |                      |                              |

| ACFTID | ID_Profil | Longueur phase | N° étape | Type étape   | Indice poussée | ID_Flap | Altitude point final (ft) | Vitesse de montée (ft/min) | CAS point final (kt) | Pourcentage_accélération (%) |
|--------|-----------|----------------|----------|--------------|----------------|---------|---------------------------|----------------------------|----------------------|------------------------------|
| EMB195 | ICAO_B    | 1              | 1        | Décollage    | Maxi décollage | 1       |                           |                            |                      |                              |
| EMB195 | ICAO_B    | 1              | 2        | Montée       | Maxi décollage | 1       | 1 000                     |                            |                      |                              |
| EMB195 | ICAO_B    | 1              | 3        | Accélération | Maxi décollage | ZERO    |                           | 1 732                      | 194,8                |                              |
| EMB195 | ICAO_B    | 1              | 4        | Montée       | Maxi montée    | ZERO    | 3 000                     |                            |                      |                              |
| EMB195 | ICAO_B    | 1              | 5        | Accélération | Maxi montée    | ZERO    |                           | 1 988                      | 250                  |                              |
| EMB195 | ICAO_B    | 1              | 6        | Montée       | Maxi montée    | ZERO    | 5 500                     |                            |                      |                              |
| EMB195 | ICAO_B    | 1              | 7        | Montée       | Maxi montée    | ZERO    | 7 500                     |                            |                      |                              |
| EMB195 | ICAO_B    | 1              | 8        | Montée       | Maxi montée    | ZERO    | 10 000                    |                            |                      |                              |
| EMB195 | ICAO_B    | 2              | 1        | Décollage    | Maxi décollage | 1       |                           |                            |                      |                              |
| EMB195 | ICAO_B    | 2              | 2        | Montée       | Maxi décollage | 1       | 1 000                     |                            |                      |                              |
| EMB195 | ICAO_B    | 2              | 3        | Accélération | Maxi décollage | ZERO    |                           | 1 664                      | 197                  |                              |
| EMB195 | ICAO_B    | 2              | 4        | Montée       | Maxi montée    | ZERO    | 3 000                     |                            |                      |                              |
| EMB195 | ICAO_B    | 2              | 5        | Accélération | Maxi montée    | ZERO    |                           | 1 895                      | 250                  |                              |
| EMB195 | ICAO_B    | 2              | 6        | Montée       | Maxi montée    | ZERO    | 5 500                     |                            |                      |                              |
| EMB195 | ICAO_B    | 2              | 7        | Montée       | Maxi montée    | ZERO    | 7 500                     |                            |                      |                              |
| EMB195 | ICAO_B    | 2              | 8        | Montée       | Maxi montée    | ZERO    | 10 000                    |                            |                      |                              |
| EMB195 | ICAO_B    | 3              | 1        | Décollage    | Maxi décollage | 1       |                           |                            |                      |                              |
| EMB195 | ICAO_B    | 3              | 2        | Montée       | Maxi décollage | 1       | 1 000                     |                            |                      |                              |
| EMB195 | ICAO_B    | 3              | 3        | Accélération | Maxi décollage | ZERO    |                           | 1 485                      | 195                  |                              |
| EMB195 | ICAO_B    | 3              | 4        | Montée       | Maxi montée    | ZERO    | 3 000                     |                            |                      |                              |

| ACFTID | ID_Profil | Longueur phase | N° étape | Type étape   | Indice poussée | ID_Flap | Altitude point final (ft) | Vitesse de montée (ft/min) | CAS point final (kt) | Pourcentage_accélération (%) |
|--------|-----------|----------------|----------|--------------|----------------|---------|---------------------------|----------------------------|----------------------|------------------------------|
| EMB195 | ICAO_B    | 3              | 5        | Accélération | Maxi montée    | ZERO    |                           | 1 800                      | 250                  |                              |
| EMB195 | ICAO_B    | 3              | 6        | Montée       | Maxi montée    | ZERO    | 5 500                     |                            |                      |                              |
| EMB195 | ICAO_B    | 3              | 7        | Montée       | Maxi montée    | ZERO    | 7 500                     |                            |                      |                              |
| EMB195 | ICAO_B    | 3              | 8        | Montée       | Maxi montée    | ZERO    | 10 000                    |                            |                      |                              |
| EMB195 | ICAO_B    | 4              | 1        | Décollage    | Maxi décollage | 1       |                           |                            |                      |                              |
| EMB195 | ICAO_B    | 4              | 2        | Montée       | Maxi décollage | 1       | 1 000                     |                            |                      |                              |
| EMB195 | ICAO_B    | 4              | 3        | Accélération | Maxi décollage | ZERO    |                           | 1 468                      | 205,4                |                              |
| EMB195 | ICAO_B    | 4              | 4        | Montée       | Maxi montée    | ZERO    | 3 000                     |                            |                      |                              |
| EMB195 | ICAO_B    | 4              | 5        | Accélération | Maxi montée    | ZERO    |                           | 1 631                      | 250                  |                              |
| EMB195 | ICAO_B    | 4              | 6        | Montée       | Maxi montée    | ZERO    | 5 500                     |                            |                      |                              |
| EMB195 | ICAO_B    | 4              | 7        | Montée       | Maxi montée    | ZERO    | 7 500                     |                            |                      |                              |
| EMB195 | ICAO_B    | 4              | 8        | Montée       | Maxi montée    | ZERO    | 10 000                    |                            |                      |                              |
| F10062 | DEFAULT   | 1              | 1        | Décollage    | Maxi décollage | TO      |                           |                            |                      |                              |
| F10062 | DEFAULT   | 1              | 2        | Montée       | Maxi décollage | TO      | 1 000                     |                            |                      |                              |
| F10062 | DEFAULT   | 1              | 3        | Accélération | Maxi décollage | TO      |                           | 2 196                      | 154                  |                              |
| F10062 | DEFAULT   | 1              | 4        | Accélération | Maxi décollage | TO      |                           | 1 647                      | 169                  |                              |
| F10062 | DEFAULT   | 1              | 5        | Accélération | Maxi montée    | TO      |                           | 1 000                      | 184                  |                              |
| F10062 | DEFAULT   | 1              | 6        | Montée       | Maxi montée    | TO      | 3 000                     |                            |                      |                              |
| F10062 | DEFAULT   | 1              | 7        | Accélération | Maxi montée    | TO      |                           | 1 000                      | 250                  |                              |
| F10062 | DEFAULT   | 1              | 8        | Montée       | Maxi montée    | TO      | 5 500                     |                            |                      |                              |

| ACFTID | ID_Profil | Longueur phase | N° étape | Type étape   | Indice poussée | ID_Flap | Altitude point final (ft) | Vitesse de montée (ft/min) | CAS point final (kt) | Pourcentage_accélération (%) |
|--------|-----------|----------------|----------|--------------|----------------|---------|---------------------------|----------------------------|----------------------|------------------------------|
| F10062 | DEFAULT   | 1              | 9        | Montée       | Maxi montée    | TO      | 7 500                     |                            |                      |                              |
| F10062 | DEFAULT   | 1              | 10       | Montée       | Maxi montée    | TO      | 10 000                    |                            |                      |                              |
| F10062 | DEFAULT   | 2              | 1        | Décollage    | Maxi décollage | TO      |                           |                            |                      |                              |
| F10062 | DEFAULT   | 2              | 2        | Montée       | Maxi décollage | TO      | 1 000                     |                            |                      |                              |
| F10062 | DEFAULT   | 2              | 3        | Accélération | Maxi décollage | TO      |                           | 1 982                      | 161                  |                              |
| F10062 | DEFAULT   | 2              | 4        | Accélération | Maxi décollage | TO      |                           | 1 487                      | 176                  |                              |
| F10062 | DEFAULT   | 2              | 5        | Accélération | Maxi montée    | TO      |                           | 1 000                      | 191                  |                              |
| F10062 | DEFAULT   | 2              | 6        | Montée       | Maxi montée    | TO      | 3 000                     |                            |                      |                              |
| F10062 | DEFAULT   | 2              | 7        | Accélération | Maxi montée    | TO      |                           | 1 000                      | 250                  |                              |
| F10062 | DEFAULT   | 2              | 8        | Montée       | Maxi montée    | TO      | 5 500                     |                            |                      |                              |
| F10062 | DEFAULT   | 2              | 9        | Montée       | Maxi montée    | TO      | 7 500                     |                            |                      |                              |
| F10062 | DEFAULT   | 2              | 10       | Montée       | Maxi montée    | TO      | 10 000                    |                            |                      |                              |
| F10062 | DEFAULT   | 3              | 1        | Décollage    | Maxi décollage | TO      |                           |                            |                      |                              |
| F10062 | DEFAULT   | 3              | 2        | Montée       | Maxi décollage | TO      | 1 000                     |                            |                      |                              |
| F10062 | DEFAULT   | 3              | 3        | Accélération | Maxi décollage | TO      |                           | 1 819                      | 167                  |                              |
| F10062 | DEFAULT   | 3              | 4        | Accélération | Maxi décollage | TO      |                           | 1 364                      | 182                  |                              |
| F10062 | DEFAULT   | 3              | 5        | Accélération | Maxi montée    | TO      |                           | 1 000                      | 197                  |                              |
| F10062 | DEFAULT   | 3              | 6        | Montée       | Maxi montée    | TO      | 3 000                     |                            |                      |                              |
| F10062 | DEFAULT   | 3              | 7        | Accélération | Maxi montée    | TO      |                           | 1 000                      | 250                  |                              |
| F10062 | DEFAULT   | 3              | 8        | Montée       | Maxi montée    | TO      | 5 500                     |                            |                      |                              |

| ACFTID | ID_Profil | Longueur phase | N° étape | Type étape   | Indice poussée | ID_Flap | Altitude point final (ft) | Vitesse de montée (ft/min) | CAS point final (kt) | Pourcentage_accélération (%) |
|--------|-----------|----------------|----------|--------------|----------------|---------|---------------------------|----------------------------|----------------------|------------------------------|
| F10062 | DEFAULT   | 3              | 9        | Montée       | Maxi montée    | TO      | 7 500                     |                            |                      |                              |
| F10062 | DEFAULT   | 3              | 10       | Montée       | Maxi montée    | TO      | 10 000                    |                            |                      |                              |
| F10065 | DEFAULT   | 1              | 1        | Décollage    | Maxi décollage | TO      |                           |                            |                      |                              |
| F10065 | DEFAULT   | 1              | 2        | Montée       | Maxi décollage | TO      | 1 000                     |                            |                      |                              |
| F10065 | DEFAULT   | 1              | 3        | Accélération | Maxi décollage | TO      |                           | 2 446                      | 157                  |                              |
| F10065 | DEFAULT   | 1              | 4        | Accélération | Maxi décollage | TO      |                           | 1 835                      | 172                  |                              |
| F10065 | DEFAULT   | 1              | 5        | Accélération | Maxi montée    | TO      |                           | 1 000                      | 187                  |                              |
| F10065 | DEFAULT   | 1              | 6        | Montée       | Maxi montée    | TO      | 3 000                     |                            |                      |                              |
| F10065 | DEFAULT   | 1              | 7        | Accélération | Maxi montée    | TO      |                           | 1 000                      | 250                  |                              |
| F10065 | DEFAULT   | 1              | 8        | Montée       | Maxi montée    | TO      | 5 500                     |                            |                      |                              |
| F10065 | DEFAULT   | 1              | 9        | Montée       | Maxi montée    | TO      | 7 500                     |                            |                      |                              |
| F10065 | DEFAULT   | 1              | 10       | Montée       | Maxi montée    | TO      | 10 000                    |                            |                      |                              |
| F10065 | DEFAULT   | 2              | 1        | Décollage    | Maxi décollage | TO      |                           |                            |                      |                              |
| F10065 | DEFAULT   | 2              | 2        | Montée       | Maxi décollage | TO      | 1 000                     |                            |                      |                              |
| F10065 | DEFAULT   | 2              | 3        | Accélération | Maxi décollage | TO      |                           | 2 218                      | 165                  |                              |
| F10065 | DEFAULT   | 2              | 4        | Accélération | Maxi décollage | TO      |                           | 1 664                      | 180                  |                              |
| F10065 | DEFAULT   | 2              | 5        | Accélération | Maxi montée    | TO      |                           | 1 000                      | 195                  |                              |
| F10065 | DEFAULT   | 2              | 6        | Montée       | Maxi montée    | TO      | 3 000                     |                            |                      |                              |
| F10065 | DEFAULT   | 2              | 7        | Accélération | Maxi montée    | TO      |                           | 1 000                      | 250                  |                              |
| F10065 | DEFAULT   | 2              | 8        | Montée       | Maxi montée    | TO      | 5 500                     |                            |                      |                              |
| F10065 | DEFAULT   | 2              | 9        | Montée       | Maxi montée    | TO      | 7 500                     |                            |                      |                              |

| ACFTID | ID_Profil | Longueur phase | N° étape | Type étape   | Indice poussée | ID_Flap | Altitude point final (ft) | Vitesse de montée (ft/min) | CAS point final (kt) | Pourcentage accélération (%) |
|--------|-----------|----------------|----------|--------------|----------------|---------|---------------------------|----------------------------|----------------------|------------------------------|
| F10065 | DEFAULT   | 2              | 10       | Montée       | Maxi montée    | TO      | 10 000                    |                            |                      |                              |
| F10065 | DEFAULT   | 3              | 1        | Décollage    | Maxi décollage | TO      |                           |                            |                      |                              |
| F10065 | DEFAULT   | 3              | 2        | Montée       | Maxi décollage | TO      | 1 000                     |                            |                      |                              |
| F10065 | DEFAULT   | 3              | 3        | Accélération | Maxi décollage | TO      |                           | 2 021                      | 171                  |                              |
| F10065 | DEFAULT   | 3              | 4        | Accélération | Maxi décollage | TO      |                           | 1 516                      | 186                  |                              |
| F10065 | DEFAULT   | 3              | 5        | Accélération | Maxi montée    | TO      |                           | 1 000                      | 201                  |                              |
| F10065 | DEFAULT   | 3              | 6        | Montée       | Maxi montée    | TO      | 3 000                     |                            |                      |                              |
| F10065 | DEFAULT   | 3              | 7        | Accélération | Maxi montée    | TO      |                           | 1 000                      | 250                  |                              |
| F10065 | DEFAULT   | 3              | 8        | Montée       | Maxi montée    | TO      | 5 500                     |                            |                      |                              |
| F10065 | DEFAULT   | 3              | 9        | Montée       | Maxi montée    | TO      | 7 500                     |                            |                      |                              |
| F10065 | DEFAULT   | 3              | 10       | Montée       | Maxi montée    | TO      | 10 000                    |                            |                      |                              |
| F28MK2 | DEFAULT   | 1              | 1        | Décollage    | Maxi décollage | 6       |                           |                            |                      |                              |
| F28MK2 | DEFAULT   | 1              | 2        | Montée       | Maxi décollage | 6       | 1 000                     |                            |                      |                              |
| F28MK2 | DEFAULT   | 1              | 3        | Accélération | Maxi décollage | 6       |                           | 2 229                      | 155                  |                              |
| F28MK2 | DEFAULT   | 1              | 4        | Accélération | Maxi décollage | ZERO    |                           | 1 672                      | 170                  |                              |
| F28MK2 | DEFAULT   | 1              | 5        | Accélération | Maxi montée    | ZERO    |                           | 1 000                      | 185                  |                              |
| F28MK2 | DEFAULT   | 1              | 6        | Montée       | Maxi montée    | ZERO    | 3 000                     |                            |                      |                              |
| F28MK2 | DEFAULT   | 1              | 7        | Accélération | Maxi montée    | ZERO    |                           | 1 000                      | 250                  |                              |
| F28MK2 | DEFAULT   | 1              | 8        | Montée       | Maxi montée    | ZERO    | 5 500                     |                            |                      |                              |
| F28MK2 | DEFAULT   | 1              | 9        | Montée       | Maxi montée    | ZERO    | 7 500                     |                            |                      |                              |

| ACFTID | ID_Profil | Longueur phase | N° étape | Type étape   | Indice poussée | ID_Flap | Altitude point final (ft) | Vitesse de montée (ft/min) | CAS point final (kt) | Pourcentage_accélération (%) |
|--------|-----------|----------------|----------|--------------|----------------|---------|---------------------------|----------------------------|----------------------|------------------------------|
| F28MK2 | DEFAULT   | 1              | 10       | Montée       | Maxi montée    | ZERO    | 10 000                    |                            |                      |                              |
| F28MK2 | DEFAULT   | 2              | 1        | Décollage    | Maxi décollage | 6       |                           |                            |                      |                              |
| F28MK2 | DEFAULT   | 2              | 2        | Montée       | Maxi décollage | 6       | 1 000                     |                            |                      |                              |
| F28MK2 | DEFAULT   | 2              | 3        | Accélération | Maxi décollage | 6       |                           | 2 011                      | 162                  |                              |
| F28MK2 | DEFAULT   | 2              | 4        | Accélération | Maxi décollage | ZERO    |                           | 1 508                      | 177                  |                              |
| F28MK2 | DEFAULT   | 2              | 5        | Accélération | Maxi montée    | ZERO    |                           | 1 000                      | 192                  |                              |
| F28MK2 | DEFAULT   | 2              | 6        | Montée       | Maxi montée    | ZERO    | 3 000                     |                            |                      |                              |
| F28MK2 | DEFAULT   | 2              | 7        | Accélération | Maxi montée    | ZERO    |                           | 1 000                      | 250                  |                              |
| F28MK2 | DEFAULT   | 2              | 8        | Montée       | Maxi montée    | ZERO    | 5 500                     |                            |                      |                              |
| F28MK2 | DEFAULT   | 2              | 9        | Montée       | Maxi montée    | ZERO    | 7 500                     |                            |                      |                              |
| F28MK2 | DEFAULT   | 2              | 10       | Montée       | Maxi montée    | ZERO    | 10 000                    |                            |                      |                              |
| F28MK4 | DEFAULT   | 1              | 1        | Décollage    | Maxi décollage | 6       |                           |                            |                      |                              |
| F28MK4 | DEFAULT   | 1              | 2        | Montée       | Maxi décollage | 6       | 1 000                     |                            |                      |                              |
| F28MK4 | DEFAULT   | 1              | 3        | Accélération | Maxi décollage | 6       |                           | 2 103                      | 152                  |                              |
| F28MK4 | DEFAULT   | 1              | 4        | Accélération | Maxi décollage | ZERO    |                           | 1 578                      | 167                  |                              |
| F28MK4 | DEFAULT   | 1              | 5        | Accélération | Maxi montée    | ZERO    |                           | 1 000                      | 182                  |                              |
| F28MK4 | DEFAULT   | 1              | 6        | Montée       | Maxi montée    | ZERO    | 3 000                     |                            |                      |                              |
| F28MK4 | DEFAULT   | 1              | 7        | Accélération | Maxi montée    | ZERO    |                           | 1 000                      | 250                  |                              |
| F28MK4 | DEFAULT   | 1              | 8        | Montée       | Maxi montée    | ZERO    | 5 500                     |                            |                      |                              |
| F28MK4 | DEFAULT   | 1              | 9        | Montée       | Maxi montée    | ZERO    | 7 500                     |                            |                      |                              |

| ACFTID | ID_Profil | Longueur phase | N° étape | Type étape   | Indice poussée | ID_Flap | Altitude point final (ft) | Vitesse de montée (ft/min) | CAS point final (kt) | Pourcentage_accélération (%) |
|--------|-----------|----------------|----------|--------------|----------------|---------|---------------------------|----------------------------|----------------------|------------------------------|
| F28MK4 | DEFAULT   | 1              | 10       | Montée       | Maxi montée    | ZERO    | 10 000                    |                            |                      |                              |
| F28MK4 | DEFAULT   | 2              | 1        | Décollage    | Maxi décollage | 6       |                           |                            |                      |                              |
| F28MK4 | DEFAULT   | 2              | 2        | Montée       | Maxi décollage | 6       | 1 000                     |                            |                      |                              |
| F28MK4 | DEFAULT   | 2              | 3        | Accélération | Maxi décollage | 6       |                           | 1 941                      | 157                  |                              |
| F28MK4 | DEFAULT   | 2              | 4        | Accélération | Maxi décollage | ZERO    |                           | 1 456                      | 172                  |                              |
| F28MK4 | DEFAULT   | 2              | 5        | Accélération | Maxi montée    | ZERO    |                           | 1 000                      | 187                  |                              |
| F28MK4 | DEFAULT   | 2              | 6        | Montée       | Maxi montée    | ZERO    | 3 000                     |                            |                      |                              |
| F28MK4 | DEFAULT   | 2              | 7        | Accélération | Maxi montée    | ZERO    |                           | 1 000                      | 250                  |                              |
| F28MK4 | DEFAULT   | 2              | 8        | Montée       | Maxi montée    | ZERO    | 5 500                     |                            |                      |                              |
| F28MK4 | DEFAULT   | 2              | 9        | Montée       | Maxi montée    | ZERO    | 7 500                     |                            |                      |                              |
| F28MK4 | DEFAULT   | 2              | 10       | Montée       | Maxi montée    | ZERO    | 10 000                    |                            |                      |                              |
| F28MK4 | DEFAULT   | 3              | 1        | Décollage    | Maxi décollage | 6       |                           |                            |                      |                              |
| F28MK4 | DEFAULT   | 3              | 2        | Montée       | Maxi décollage | 6       | 1 000                     |                            |                      |                              |
| F28MK4 | DEFAULT   | 3              | 3        | Accélération | Maxi décollage | 6       |                           | 1 743                      | 165                  |                              |
| F28MK4 | DEFAULT   | 3              | 4        | Accélération | Maxi décollage | 6       |                           | 1 307                      | 180                  |                              |
| F28MK4 | DEFAULT   | 3              | 5        | Accélération | Maxi montée    | ZERO    |                           | 1 000                      | 195                  |                              |
| F28MK4 | DEFAULT   | 3              | 6        | Montée       | Maxi montée    | ZERO    | 3 000                     |                            |                      |                              |
| F28MK4 | DEFAULT   | 3              | 7        | Accélération | Maxi montée    | ZERO    |                           | 1 000                      | 250                  |                              |
| F28MK4 | DEFAULT   | 3              | 8        | Montée       | Maxi montée    | ZERO    | 5 500                     |                            |                      |                              |
| F28MK4 | DEFAULT   | 3              | 9        | Montée       | Maxi montée    | ZERO    | 7 500                     |                            |                      |                              |

| ACFTID | ID_Profil | Longueur phase | N° étape | Type étape   | Indice poussée      | ID_Flap | Altitude point final (ft) | Vitesse de montée (ft/min) | CAS point final (kt) | Pourcentage accélération (%) |
|--------|-----------|----------------|----------|--------------|---------------------|---------|---------------------------|----------------------------|----------------------|------------------------------|
| F28MK4 | DEFAULT   | 3              | 10       | Montée       | Maxi montée         | ZERO    | 10 000                    |                            |                      |                              |
| FAL20  | DEFAULT   | 1              | 1        | Décollage    | Maxi décollage      | 10      |                           |                            |                      |                              |
| FAL20  | DEFAULT   | 1              | 2        | Accélération | Maxi décollage      | 10      |                           | 1 388                      | 152                  |                              |
| FAL20  | DEFAULT   | 1              | 3        | Montée       | Maxi décollage      | 10      | 1 500                     |                            |                      |                              |
| FAL20  | DEFAULT   | 1              | 4        | Accélération | Maxi décollage      | 10      |                           | 1 388                      | 162                  |                              |
| FAL20  | DEFAULT   | 1              | 5        | Accélération | Maxi montée         | INTR    |                           | 1 041                      | 177                  |                              |
| FAL20  | DEFAULT   | 1              | 6        | Montée       | Maxi montée         | ZERO    | 3 000                     |                            |                      |                              |
| FAL20  | DEFAULT   | 1              | 7        | Accélération | Maxi montée         | ZERO    |                           | 1 432                      | 250                  |                              |
| FAL20  | DEFAULT   | 1              | 8        | Montée       | Maxi montée         | ZERO    | 5 500                     |                            |                      |                              |
| FAL20  | DEFAULT   | 1              | 9        | Montée       | Maxi montée         | ZERO    | 7 500                     |                            |                      |                              |
| FAL20  | DEFAULT   | 1              | 10       | Montée       | Maxi montée         | ZERO    | 10 000                    |                            |                      |                              |
| GII    | DEFAULT   | 1              | 1        | Décollage    | Réduction décollage | T-20-D  |                           |                            |                      |                              |
| GII    | DEFAULT   | 1              | 2        | Montée       | Réduction décollage | T-20-D  | 35                        |                            |                      |                              |
| GII    | DEFAULT   | 1              | 3        | Accélération | Réduction décollage | T-20-D  |                           | 1 500                      | 162                  |                              |
| GII    | DEFAULT   | 1              | 4        | Montée       | Réduction décollage | T-20-D  | 400                       |                            |                      |                              |
| GII    | DEFAULT   | 1              | 5        | Montée       | Réduction montée    | T-10-U  | 520                       |                            |                      |                              |
| GII    | DEFAULT   | 1              | 6        | Montée       | Réduction montée    | T-10-U  | 1 500                     |                            |                      |                              |
| GII    | DEFAULT   | 1              | 7        | Montée       | Réduction montée    | T-10-U  | 3 000                     |                            |                      |                              |
| GII    | DEFAULT   | 1              | 8        | Accélération | Maxi montée         | T-0-U   |                           | 1 675                      | 192                  |                              |
| GII    | DEFAULT   | 1              | 9        | Accélération | Maxi montée         | T-0-U   |                           | 1 775                      | 250                  |                              |

| ACFTID | ID_Profil | Longueur phase | N° étape | Type étape   | Indice poussée      | ID_Flap | Altitude point final (ft) | Vitesse de montée (ft/min) | CAS point final (kt) | Pourcentage accélération (%) |
|--------|-----------|----------------|----------|--------------|---------------------|---------|---------------------------|----------------------------|----------------------|------------------------------|
| GII    | DEFAULT   | 1              | 10       | Montée       | Maxi montée         | T-0-U   | 5 500                     |                            |                      |                              |
| GII    | DEFAULT   | 1              | 11       | Montée       | Maxi montée         | T-0-U   | 7 500                     |                            |                      |                              |
| GII    | DEFAULT   | 1              | 12       | Montée       | Maxi montée         | T-0-U   | 10 000                    |                            |                      |                              |
| GII    | QF_FULL   | 1              | 1        | Décollage    | Maxi décollage      | T-20-D  |                           |                            |                      |                              |
| GII    | QF_FULL   | 1              | 2        | Montée       | Maxi décollage      | T-20-D  | 35                        |                            |                      |                              |
| GII    | QF_FULL   | 1              | 3        | Accélération | Maxi décollage      | T-20-D  |                           | 1 500                      | 162                  |                              |
| GII    | QF_FULL   | 1              | 4        | Montée       | Maxi décollage      | T-20-D  | 400                       |                            |                      |                              |
| GII    | QF_FULL   | 1              | 5        | Montée       | Réduction montée    | T-10-U  | 520                       |                            |                      |                              |
| GII    | QF_FULL   | 1              | 6        | Montée       | Réduction montée    | T-10-U  | 1 500                     |                            |                      |                              |
| GII    | QF_FULL   | 1              | 7        | Montée       | Réduction montée    | T-10-U  | 3 000                     |                            |                      |                              |
| GII    | QF_FULL   | 1              | 8        | Accélération | Maxi montée         | T-0-U   |                           | 1 675                      | 192                  |                              |
| GII    | QF_FULL   | 1              | 9        | Accélération | Maxi montée         | T-0-U   |                           | 1 775                      | 250                  |                              |
| GII    | QF_FULL   | 1              | 10       | Montée       | Maxi montée         | T-0-U   | 5 500                     |                            |                      |                              |
| GII    | QF_FULL   | 1              | 11       | Montée       | Maxi montée         | T-0-U   | 7 500                     |                            |                      |                              |
| GII    | QF_FULL   | 1              | 12       | Montée       | Maxi montée         | T-0-U   | 10 000                    |                            |                      |                              |
| GII B  | DEFAULT   | 1              | 1        | Décollage    | Réduction décollage | T-20-D  |                           |                            |                      |                              |
| GII B  | DEFAULT   | 1              | 2        | Montée       | Réduction décollage | T-20-D  | 35                        |                            |                      |                              |
| GII B  | DEFAULT   | 1              | 3        | Accélération | Réduction décollage | T-20-D  |                           | 1 500                      | 156                  |                              |
| GII B  | DEFAULT   | 1              | 4        | Montée       | Réduction décollage | T-20-D  | 400                       |                            |                      |                              |
| GII B  | DEFAULT   | 1              | 5        | Montée       | Réduction montée    | T-10-U  | 520                       |                            |                      |                              |

| ACFTID | ID_Profil | Longueur phase | N° étape | Type étape   | Indice poussée   | ID_Flap | Altitude point final (ft) | Vitesse de montée (ft/min) | CAS point final (kt) | Pourcentage_accélération (%) |
|--------|-----------|----------------|----------|--------------|------------------|---------|---------------------------|----------------------------|----------------------|------------------------------|
| GIIB   | DEFAULT   | 1              | 6        | Montée       | Réduction montée | T-10-U  | 1 500                     |                            |                      |                              |
| GIIB   | DEFAULT   | 1              | 7        | Montée       | Réduction montée | T-10-U  | 3 000                     |                            |                      |                              |
| GIIB   | DEFAULT   | 1              | 8        | Accélération | Maxi montée      | T-0-U   |                           | 1 675                      | 192                  |                              |
| GIIB   | DEFAULT   | 1              | 9        | Accélération | Maxi montée      | T-0-U   |                           | 1 775                      | 250                  |                              |
| GIIB   | DEFAULT   | 1              | 10       | Montée       | Maxi montée      | T-0-U   | 5 500                     |                            |                      |                              |
| GIIB   | DEFAULT   | 1              | 11       | Montée       | Maxi montée      | T-0-U   | 7 500                     |                            |                      |                              |
| GIIB   | DEFAULT   | 1              | 12       | Montée       | Maxi montée      | T-0-U   | 10 000                    |                            |                      |                              |
| GIIB   | QF_FULL   | 1              | 1        | Décollage    | Maxi décollage   | T-20-D  |                           |                            |                      |                              |
| GIIB   | QF_FULL   | 1              | 2        | Montée       | Maxi décollage   | T-20-D  | 35                        |                            |                      |                              |
| GIIB   | QF_FULL   | 1              | 3        | Accélération | Maxi décollage   | T-20-D  |                           | 1 500                      | 156                  |                              |
| GIIB   | QF_FULL   | 1              | 4        | Montée       | Maxi décollage   | T-20-D  | 400                       |                            |                      |                              |
| GIIB   | QF_FULL   | 1              | 5        | Montée       | Réduction montée | T-10-U  | 520                       |                            |                      |                              |
| GIIB   | QF_FULL   | 1              | 6        | Montée       | Réduction montée | T-10-U  | 1 500                     |                            |                      |                              |
| GIIB   | QF_FULL   | 1              | 7        | Montée       | Réduction montée | T-10-U  | 3 000                     |                            |                      |                              |
| GIIB   | QF_FULL   | 1              | 8        | Accélération | Maxi montée      | T-0-U   |                           | 1 675                      | 192                  |                              |
| GIIB   | QF_FULL   | 1              | 9        | Accélération | Maxi montée      | T-0-U   |                           | 1 775                      | 250                  |                              |
| GIIB   | QF_FULL   | 1              | 10       | Montée       | Maxi montée      | T-0-U   | 5 500                     |                            |                      |                              |
| GIIB   | QF_FULL   | 1              | 11       | Montée       | Maxi montée      | T-0-U   | 7 500                     |                            |                      |                              |
| GIIB   | QF_FULL   | 1              | 12       | Montée       | Maxi montée      | T-0-U   | 10 000                    |                            |                      |                              |
| GIV    | DEFAULT   | 1              | 1        | Décollage    | Maxi décollage   | T-20-D  |                           |                            |                      |                              |

| ACFTID | ID_Profil | Longueur phase | N° étape | Type étape   | Indice poussée | ID_Flap | Altitude point final (ft) | Vitesse de montée (ft/min) | CAS point final (kt) | Pourcentage_accélération (%) |
|--------|-----------|----------------|----------|--------------|----------------|---------|---------------------------|----------------------------|----------------------|------------------------------|
| GIV    | DEFAULT   | 1              | 2        | Montée       | Maxi décollage | T-20-D  | 35                        |                            |                      |                              |
| GIV    | DEFAULT   | 1              | 3        | Accélération | Maxi décollage | T-20-D  |                           | 1 800                      | 159,2                |                              |
| GIV    | DEFAULT   | 1              | 4        | Montée       | Maxi décollage | T-20-U  | 400                       |                            |                      |                              |
| GIV    | DEFAULT   | 1              | 5        | Montée       | Maxi montée    | T-20-U  | 600                       |                            |                      |                              |
| GIV    | DEFAULT   | 1              | 6        | Montée       | Maxi montée    | T-20-U  | 750                       |                            |                      |                              |
| GIV    | DEFAULT   | 1              | 7        | Montée       | Maxi montée    | T-10-U  | 1 850                     |                            |                      |                              |
| GIV    | DEFAULT   | 1              | 8        | Montée       | Maxi montée    | T-10-U  | 3 000                     |                            |                      |                              |
| GIV    | DEFAULT   | 1              | 9        | Accélération | Maxi montée    | T-0-U   |                           | 1 750                      | 250                  |                              |
| GIV    | DEFAULT   | 1              | 10       | Montée       | Maxi montée    | T-0-U   | 5 000                     |                            |                      |                              |
| GIV    | DEFAULT   | 1              | 11       | Montée       | Maxi montée    | T-0-U   | 6 000                     |                            |                      |                              |
| GIV    | DEFAULT   | 1              | 12       | Montée       | Maxi montée    | T-0-U   | 7 000                     |                            |                      |                              |
| GIV    | DEFAULT   | 1              | 13       | Montée       | Maxi montée    | T-0-U   | 8 000                     |                            |                      |                              |
| GIV    | DEFAULT   | 1              | 14       | Montée       | Maxi montée    | T-0-U   | 9 000                     |                            |                      |                              |
| GIV    | DEFAULT   | 1              | 15       | Montée       | Maxi montée    | T-0-U   | 10 000                    |                            |                      |                              |
| GV     | DEFAULT   | 1              | 1        | Décollage    | Maxi décollage | T-20-D  |                           |                            |                      |                              |
| GV     | DEFAULT   | 1              | 2        | Montée       | Maxi décollage | T-20-D  | 35                        |                            |                      |                              |
| GV     | DEFAULT   | 1              | 3        | Accélération | Maxi décollage | T-20-D  |                           | 1 500                      | 165,7                |                              |
| GV     | DEFAULT   | 1              | 4        | Montée       | Maxi décollage | T-20-U  | 400                       |                            |                      |                              |
| GV     | DEFAULT   | 1              | 5        | Montée       | Maxi montée    | T-20-U  | 600                       |                            |                      |                              |
| GV     | DEFAULT   | 1              | 6        | Montée       | Maxi montée    | T-20-U  | 750                       |                            |                      |                              |

| ACFTID | ID_Profil | Longueur phase | N° étape | Type étape   | Indice poussée | ID_Flap | Altitude point final (ft) | Vitesse de montée (ft/min) | CAS point final (kt) | Pourcentage_accélération (%) |
|--------|-----------|----------------|----------|--------------|----------------|---------|---------------------------|----------------------------|----------------------|------------------------------|
| GV     | DEFAULT   | 1              | 7        | Montée       | Maxi montée    | T-10-U  | 1 800                     |                            |                      |                              |
| GV     | DEFAULT   | 1              | 8        | Montée       | Maxi montée    | T-10-U  | 3 000                     |                            |                      |                              |
| GV     | DEFAULT   | 1              | 9        | Accélération | Maxi montée    | T-0-U   |                           | 1 750                      | 250                  |                              |
| GV     | DEFAULT   | 1              | 10       | Montée       | Maxi montée    | T-0-U   | 5 000                     |                            |                      |                              |
| GV     | DEFAULT   | 1              | 11       | Montée       | Maxi montée    | T-0-U   | 6 000                     |                            |                      |                              |
| GV     | DEFAULT   | 1              | 12       | Montée       | Maxi montée    | T-0-U   | 7 000                     |                            |                      |                              |
| GV     | DEFAULT   | 1              | 13       | Montée       | Maxi montée    | T-0-U   | 8 000                     |                            |                      |                              |
| GV     | DEFAULT   | 1              | 14       | Montée       | Maxi montée    | T-0-U   | 9 000                     |                            |                      |                              |
| GV     | DEFAULT   | 1              | 15       | Montée       | Maxi montée    | T-0-U   | 10 000                    |                            |                      |                              |
| HS748A | DEFAULT   | 1              | 1        | Décollage    | Maxi décollage | TO      |                           |                            |                      |                              |
| HS748A | DEFAULT   | 1              | 2        | Montée       | Maxi décollage | TO      | 1 000                     |                            |                      |                              |
| HS748A | DEFAULT   | 1              | 3        | Accélération | Maxi décollage | TO      |                           | 917                        | 127                  |                              |
| HS748A | DEFAULT   | 1              | 4        | Accélération | Maxi montée    | INTR    |                           | 688                        | 147                  |                              |
| HS748A | DEFAULT   | 1              | 5        | Montée       | Maxi montée    | ZERO    | 3 000                     |                            |                      |                              |
| HS748A | DEFAULT   | 1              | 6        | Montée       | Maxi montée    | ZERO    | 5 500                     |                            |                      |                              |
| HS748A | DEFAULT   | 1              | 7        | Montée       | Maxi montée    | ZERO    | 7 500                     |                            |                      |                              |
| HS748A | DEFAULT   | 1              | 8        | Montée       | Maxi montée    | ZERO    | 10 000                    |                            |                      |                              |
| IA1125 | DEFAULT   | 1              | 1        | Décollage    | Maxi décollage | 12      |                           |                            |                      |                              |
| IA1125 | DEFAULT   | 1              | 2        | Accélération | Maxi décollage | 12      |                           | 1 094                      | 163                  |                              |
| IA1125 | DEFAULT   | 1              | 3        | Montée       | Maxi décollage | 12      | 1 500                     |                            |                      |                              |

| ACFTID | ID_Profil | Longueur phase | N° étape | Type étape   | Indice poussée | ID_Flap | Altitude point final (ft) | Vitesse de montée (ft/min) | CAS point final (kt) | Pourcentage_accélération (%) |
|--------|-----------|----------------|----------|--------------|----------------|---------|---------------------------|----------------------------|----------------------|------------------------------|
| IA1125 | DEFAULT   | 1              | 4        | Accélération | Maxi décollage | INTR    |                           | 1 094                      | 188                  |                              |
| IA1125 | DEFAULT   | 1              | 5        | Montée       | Maxi montée    | ZERO    | 3 000                     |                            |                      |                              |
| IA1125 | DEFAULT   | 1              | 6        | Accélération | Maxi montée    | ZERO    |                           | 1 286                      | 250                  |                              |
| IA1125 | DEFAULT   | 1              | 7        | Montée       | Maxi montée    | ZERO    | 5 500                     |                            |                      |                              |
| IA1125 | DEFAULT   | 1              | 8        | Montée       | Maxi montée    | ZERO    | 7 500                     |                            |                      |                              |
| IA1125 | DEFAULT   | 1              | 9        | Montée       | Maxi montée    | ZERO    | 10 000                    |                            |                      |                              |
| L1011  | DEFAULT   | 1              | 1        | Décollage    | Maxi décollage | 10      |                           |                            |                      |                              |
| L1011  | DEFAULT   | 1              | 2        | Montée       | Maxi décollage | 10      | 1 000                     |                            |                      |                              |
| L1011  | DEFAULT   | 1              | 3        | Accélération | Maxi décollage | 10      |                           | 2 145                      | 162                  |                              |
| L1011  | DEFAULT   | 1              | 4        | Accélération | Maxi décollage | INTR    |                           | 1 609                      | 182                  |                              |
| L1011  | DEFAULT   | 1              | 5        | Accélération | Maxi montée    | INTR    |                           | 1 000                      | 202                  |                              |
| L1011  | DEFAULT   | 1              | 6        | Montée       | Maxi montée    | ZERO    | 3 000                     |                            |                      |                              |
| L1011  | DEFAULT   | 1              | 7        | Accélération | Maxi montée    | ZERO    |                           | 1 000                      | 250                  |                              |
| L1011  | DEFAULT   | 1              | 8        | Montée       | Maxi montée    | ZERO    | 5 500                     |                            |                      |                              |
| L1011  | DEFAULT   | 1              | 9        | Montée       | Maxi montée    | ZERO    | 7 500                     |                            |                      |                              |
| L1011  | DEFAULT   | 1              | 10       | Montée       | Maxi montée    | ZERO    | 10 000                    |                            |                      |                              |
| L1011  | DEFAULT   | 2              | 1        | Décollage    | Maxi décollage | 10      |                           |                            |                      |                              |
| L1011  | DEFAULT   | 2              | 2        | Montée       | Maxi décollage | 10      | 1 000                     |                            |                      |                              |
| L1011  | DEFAULT   | 2              | 3        | Accélération | Maxi décollage | 10      |                           | 2 068                      | 165                  |                              |
| L1011  | DEFAULT   | 2              | 4        | Accélération | Maxi décollage | INTR    |                           | 1 551                      | 185                  |                              |

| ACFTID | ID_Profil | Longueur phase | N° étape | Type étape   | Indice poussée | ID_Flap | Altitude point final (ft) | Vitesse de montée (ft/min) | CAS point final (kt) | Pourcentage_accélération (%) |
|--------|-----------|----------------|----------|--------------|----------------|---------|---------------------------|----------------------------|----------------------|------------------------------|
| L1011  | DEFAULT   | 2              | 5        | Accélération | Maxi montée    | INTR    |                           | 1 000                      | 205                  |                              |
| L1011  | DEFAULT   | 2              | 6        | Montée       | Maxi montée    | ZERO    | 3 000                     |                            |                      |                              |
| L1011  | DEFAULT   | 2              | 7        | Accélération | Maxi montée    | ZERO    |                           | 1 000                      | 250                  |                              |
| L1011  | DEFAULT   | 2              | 8        | Montée       | Maxi montée    | ZERO    | 5 500                     |                            |                      |                              |
| L1011  | DEFAULT   | 2              | 9        | Montée       | Maxi montée    | ZERO    | 7 500                     |                            |                      |                              |
| L1011  | DEFAULT   | 2              | 10       | Montée       | Maxi montée    | ZERO    | 10 000                    |                            |                      |                              |
| L1011  | DEFAULT   | 3              | 1        | Décollage    | Maxi décollage | 10      |                           |                            |                      |                              |
| L1011  | DEFAULT   | 3              | 2        | Montée       | Maxi décollage | 10      | 1 000                     |                            |                      |                              |
| L1011  | DEFAULT   | 3              | 3        | Accélération | Maxi décollage | 10      |                           | 1 959                      | 168                  |                              |
| L1011  | DEFAULT   | 3              | 4        | Accélération | Maxi décollage | INTR    |                           | 1 469                      | 188                  |                              |
| L1011  | DEFAULT   | 3              | 5        | Accélération | Maxi montée    | INTR    |                           | 1 000                      | 208                  |                              |
| L1011  | DEFAULT   | 3              | 6        | Montée       | Maxi montée    | ZERO    | 3 000                     |                            |                      |                              |
| L1011  | DEFAULT   | 3              | 7        | Accélération | Maxi montée    | ZERO    |                           | 1 000                      | 250                  |                              |
| L1011  | DEFAULT   | 3              | 8        | Montée       | Maxi montée    | ZERO    | 5 500                     |                            |                      |                              |
| L1011  | DEFAULT   | 3              | 9        | Montée       | Maxi montée    | ZERO    | 7 500                     |                            |                      |                              |
| L1011  | DEFAULT   | 3              | 10       | Montée       | Maxi montée    | ZERO    | 10 000                    |                            |                      |                              |
| L1011  | DEFAULT   | 4              | 1        | Décollage    | Maxi décollage | 10      |                           |                            |                      |                              |
| L1011  | DEFAULT   | 4              | 2        | Montée       | Maxi décollage | 10      | 1 000                     |                            |                      |                              |
| L1011  | DEFAULT   | 4              | 3        | Accélération | Maxi décollage | 10      |                           | 1 857                      | 171                  |                              |
| L1011  | DEFAULT   | 4              | 4        | Accélération | Maxi décollage | INTR    |                           | 1 393                      | 191                  |                              |

| ACFTID | ID_Profil | Longueur phase | N° étape | Type étape   | Indice poussée | ID_Flap | Altitude point final (ft) | Vitesse de montée (ft/min) | CAS point final (kt) | Pourcentage_accélération (%) |
|--------|-----------|----------------|----------|--------------|----------------|---------|---------------------------|----------------------------|----------------------|------------------------------|
| L1011  | DEFAULT   | 4              | 5        | Accélération | Maxi montée    | INTR    |                           | 1 000                      | 211                  |                              |
| L1011  | DEFAULT   | 4              | 6        | Montée       | Maxi montée    | ZERO    | 3 000                     |                            |                      |                              |
| L1011  | DEFAULT   | 4              | 7        | Accélération | Maxi montée    | ZERO    |                           | 1 000                      | 250                  |                              |
| L1011  | DEFAULT   | 4              | 8        | Montée       | Maxi montée    | ZERO    | 5 500                     |                            |                      |                              |
| L1011  | DEFAULT   | 4              | 9        | Montée       | Maxi montée    | ZERO    | 7 500                     |                            |                      |                              |
| L1011  | DEFAULT   | 4              | 10       | Montée       | Maxi montée    | ZERO    | 10 000                    |                            |                      |                              |
| L1011  | DEFAULT   | 5              | 1        | Décollage    | Maxi décollage | 10      |                           |                            |                      |                              |
| L1011  | DEFAULT   | 5              | 2        | Montée       | Maxi décollage | 10      | 1 000                     |                            |                      |                              |
| L1011  | DEFAULT   | 5              | 3        | Accélération | Maxi décollage | 10      |                           | 1 669                      | 178                  |                              |
| L1011  | DEFAULT   | 5              | 4        | Accélération | Maxi décollage | INTR    |                           | 1 252                      | 198                  |                              |
| L1011  | DEFAULT   | 5              | 5        | Accélération | Maxi montée    | INTR    |                           | 1 000                      | 218                  |                              |
| L1011  | DEFAULT   | 5              | 6        | Montée       | Maxi montée    | ZERO    | 3 000                     |                            |                      |                              |
| L1011  | DEFAULT   | 5              | 7        | Accélération | Maxi montée    | ZERO    |                           | 1 000                      | 250                  |                              |
| L1011  | DEFAULT   | 5              | 8        | Montée       | Maxi montée    | ZERO    | 5 500                     |                            |                      |                              |
| L1011  | DEFAULT   | 5              | 9        | Montée       | Maxi montée    | ZERO    | 7 500                     |                            |                      |                              |
| L1011  | DEFAULT   | 5              | 10       | Montée       | Maxi montée    | ZERO    | 10 000                    |                            |                      |                              |
| L1011  | DEFAULT   | 6              | 1        | Décollage    | Maxi décollage | 10      |                           |                            |                      |                              |
| L1011  | DEFAULT   | 6              | 2        | Montée       | Maxi décollage | 10      | 1 000                     |                            |                      |                              |
| L1011  | DEFAULT   | 6              | 3        | Accélération | Maxi décollage | 10      |                           | 1 501                      | 184                  |                              |
| L1011  | DEFAULT   | 6              | 4        | Accélération | Maxi décollage | INTR    |                           | 1 126                      | 204                  |                              |

| ACFTID | ID_Profil | Longueur phase | N° étape | Type étape   | Indice poussée | ID_Flap | Altitude point final (ft) | Vitesse de montée (ft/min) | CAS point final (kt) | Pourcentage_accélération (%) |
|--------|-----------|----------------|----------|--------------|----------------|---------|---------------------------|----------------------------|----------------------|------------------------------|
| L1011  | DEFAULT   | 6              | 5        | Accélération | Maxi montée    | INTR    |                           | 1 000                      | 224                  |                              |
| L1011  | DEFAULT   | 6              | 6        | Montée       | Maxi montée    | ZERO    | 3 000                     |                            |                      |                              |
| L1011  | DEFAULT   | 6              | 7        | Accélération | Maxi montée    | ZERO    |                           | 1 000                      | 250                  |                              |
| L1011  | DEFAULT   | 6              | 8        | Montée       | Maxi montée    | ZERO    | 5 500                     |                            |                      |                              |
| L1011  | DEFAULT   | 6              | 9        | Montée       | Maxi montée    | ZERO    | 7 500                     |                            |                      |                              |
| L1011  | DEFAULT   | 6              | 10       | Montée       | Maxi montée    | ZERO    | 10 000                    |                            |                      |                              |
| L10115 | DEFAULT   | 1              | 1        | Décollage    | Maxi décollage | 10      |                           |                            |                      |                              |
| L10115 | DEFAULT   | 1              | 2        | Montée       | Maxi décollage | 10      | 1 000                     |                            |                      |                              |
| L10115 | DEFAULT   | 1              | 3        | Accélération | Maxi décollage | 10      |                           | 2 632                      | 166                  |                              |
| L10115 | DEFAULT   | 1              | 4        | Accélération | Maxi décollage | INTR    |                           | 1 974                      | 186                  |                              |
| L10115 | DEFAULT   | 1              | 5        | Accélération | Maxi montée    | INTR    |                           | 1 000                      | 206                  |                              |
| L10115 | DEFAULT   | 1              | 6        | Montée       | Maxi montée    | ZERO    | 3 000                     |                            |                      |                              |
| L10115 | DEFAULT   | 1              | 7        | Accélération | Maxi montée    | ZERO    |                           | 1 000                      | 250                  |                              |
| L10115 | DEFAULT   | 1              | 8        | Montée       | Maxi montée    | ZERO    | 5 500                     |                            |                      |                              |
| L10115 | DEFAULT   | 1              | 9        | Montée       | Maxi montée    | ZERO    | 7 500                     |                            |                      |                              |
| L10115 | DEFAULT   | 1              | 10       | Montée       | Maxi montée    | ZERO    | 10 000                    |                            |                      |                              |
| L10115 | DEFAULT   | 2              | 1        | Décollage    | Maxi décollage | 10      |                           |                            |                      |                              |
| L10115 | DEFAULT   | 2              | 2        | Montée       | Maxi décollage | 10      | 1 000                     |                            |                      |                              |
| L10115 | DEFAULT   | 2              | 3        | Accélération | Maxi décollage | 10      |                           | 2 547                      | 168                  |                              |
| L10115 | DEFAULT   | 2              | 4        | Accélération | Maxi décollage | INTR    |                           | 1 911                      | 188                  |                              |

| ACFTID | ID_Profil | Longueur phase | N° étape | Type étape   | Indice poussée | ID_Flap | Altitude point final (ft) | Vitesse de montée (ft/min) | CAS point final (kt) | Pourcentage_accélération (%) |
|--------|-----------|----------------|----------|--------------|----------------|---------|---------------------------|----------------------------|----------------------|------------------------------|
| L10115 | DEFAULT   | 2              | 5        | Accélération | Maxi montée    | INTR    |                           | 1 000                      | 208                  |                              |
| L10115 | DEFAULT   | 2              | 6        | Montée       | Maxi montée    | ZERO    | 3 000                     |                            |                      |                              |
| L10115 | DEFAULT   | 2              | 7        | Accélération | Maxi montée    | ZERO    |                           | 1 000                      | 250                  |                              |
| L10115 | DEFAULT   | 2              | 8        | Montée       | Maxi montée    | ZERO    | 5 500                     |                            |                      |                              |
| L10115 | DEFAULT   | 2              | 9        | Montée       | Maxi montée    | ZERO    | 7 500                     |                            |                      |                              |
| L10115 | DEFAULT   | 2              | 10       | Montée       | Maxi montée    | ZERO    | 10 000                    |                            |                      |                              |
| L10115 | DEFAULT   | 3              | 1        | Décollage    | Maxi décollage | 10      |                           |                            |                      |                              |
| L10115 | DEFAULT   | 3              | 2        | Montée       | Maxi décollage | 10      | 1 000                     |                            |                      |                              |
| L10115 | DEFAULT   | 3              | 3        | Accélération | Maxi décollage | 10      |                           | 2 428                      | 171                  |                              |
| L10115 | DEFAULT   | 3              | 4        | Accélération | Maxi décollage | INTR    |                           | 1 821                      | 191                  |                              |
| L10115 | DEFAULT   | 3              | 5        | Accélération | Maxi montée    | INTR    |                           | 1 000                      | 211                  |                              |
| L10115 | DEFAULT   | 3              | 6        | Montée       | Maxi montée    | ZERO    | 3 000                     |                            |                      |                              |
| L10115 | DEFAULT   | 3              | 7        | Accélération | Maxi montée    | ZERO    |                           | 1 000                      | 250                  |                              |
| L10115 | DEFAULT   | 3              | 8        | Montée       | Maxi montée    | ZERO    | 5 500                     |                            |                      |                              |
| L10115 | DEFAULT   | 3              | 9        | Montée       | Maxi montée    | ZERO    | 7 500                     |                            |                      |                              |
| L10115 | DEFAULT   | 3              | 10       | Montée       | Maxi montée    | ZERO    | 10 000                    |                            |                      |                              |
| L10115 | DEFAULT   | 4              | 1        | Décollage    | Maxi décollage | 10      |                           |                            |                      |                              |
| L10115 | DEFAULT   | 4              | 2        | Montée       | Maxi décollage | 10      | 1 000                     |                            |                      |                              |
| L10115 | DEFAULT   | 4              | 3        | Accélération | Maxi décollage | 10      |                           | 2 317                      | 175                  |                              |
| L10115 | DEFAULT   | 4              | 4        | Accélération | Maxi décollage | INTR    |                           | 1 738                      | 195                  |                              |

| ACFTID | ID_Profil | Longueur phase | N° étape | Type étape   | Indice poussée | ID_Flap | Altitude point final (ft) | Vitesse de montée (ft/min) | CAS point final (kt) | Pourcentage_accélération (%) |
|--------|-----------|----------------|----------|--------------|----------------|---------|---------------------------|----------------------------|----------------------|------------------------------|
| L10115 | DEFAULT   | 4              | 5        | Accélération | Maxi montée    | INTR    |                           | 1 000                      | 215                  |                              |
| L10115 | DEFAULT   | 4              | 6        | Montée       | Maxi montée    | ZERO    | 3 000                     |                            |                      |                              |
| L10115 | DEFAULT   | 4              | 7        | Accélération | Maxi montée    | ZERO    |                           | 1 000                      | 250                  |                              |
| L10115 | DEFAULT   | 4              | 8        | Montée       | Maxi montée    | ZERO    | 5 500                     |                            |                      |                              |
| L10115 | DEFAULT   | 4              | 9        | Montée       | Maxi montée    | ZERO    | 7 500                     |                            |                      |                              |
| L10115 | DEFAULT   | 4              | 10       | Montée       | Maxi montée    | ZERO    | 10 000                    |                            |                      |                              |
| L10115 | DEFAULT   | 5              | 1        | Décollage    | Maxi décollage | 10      |                           |                            |                      |                              |
| L10115 | DEFAULT   | 5              | 2        | Montée       | Maxi décollage | 10      | 1 000                     |                            |                      |                              |
| L10115 | DEFAULT   | 5              | 3        | Accélération | Maxi décollage | 10      |                           | 2 125                      | 181                  |                              |
| L10115 | DEFAULT   | 5              | 4        | Accélération | Maxi décollage | INTR    |                           | 1 594                      | 201                  |                              |
| L10115 | DEFAULT   | 5              | 5        | Accélération | Maxi montée    | INTR    |                           | 1 000                      | 221                  |                              |
| L10115 | DEFAULT   | 5              | 6        | Montée       | Maxi montée    | ZERO    | 3 000                     |                            |                      |                              |
| L10115 | DEFAULT   | 5              | 7        | Accélération | Maxi montée    | ZERO    |                           | 1 000                      | 250                  |                              |
| L10115 | DEFAULT   | 5              | 8        | Montée       | Maxi montée    | ZERO    | 5 500                     |                            |                      |                              |
| L10115 | DEFAULT   | 5              | 9        | Montée       | Maxi montée    | ZERO    | 7 500                     |                            |                      |                              |
| L10115 | DEFAULT   | 5              | 10       | Montée       | Maxi montée    | ZERO    | 10 000                    |                            |                      |                              |
| L10115 | DEFAULT   | 6              | 1        | Décollage    | Maxi décollage | 10      |                           |                            |                      |                              |
| L10115 | DEFAULT   | 6              | 2        | Montée       | Maxi décollage | 10      | 1 000                     |                            |                      |                              |
| L10115 | DEFAULT   | 6              | 3        | Accélération | Maxi décollage | 10      |                           | 1 953                      | 186                  |                              |
| L10115 | DEFAULT   | 6              | 4        | Accélération | Maxi décollage | INTR    |                           | 1 465                      | 206                  |                              |

| ACFTID | ID_Profil | Longueur phase | N° étape | Type étape   | Indice poussée | ID_Flap | Altitude point final (ft) | Vitesse de montée (ft/min) | CAS point final (kt) | Pourcentage_accélération (%) |
|--------|-----------|----------------|----------|--------------|----------------|---------|---------------------------|----------------------------|----------------------|------------------------------|
| L10115 | DEFAULT   | 6              | 5        | Accélération | Maxi montée    | INTR    |                           | 1 000                      | 226                  |                              |
| L10115 | DEFAULT   | 6              | 6        | Montée       | Maxi montée    | ZERO    | 3 000                     |                            |                      |                              |
| L10115 | DEFAULT   | 6              | 7        | Accélération | Maxi montée    | ZERO    |                           | 1 000                      | 250                  |                              |
| L10115 | DEFAULT   | 6              | 8        | Montée       | Maxi montée    | ZERO    | 5 500                     |                            |                      |                              |
| L10115 | DEFAULT   | 6              | 9        | Montée       | Maxi montée    | ZERO    | 7 500                     |                            |                      |                              |
| L10115 | DEFAULT   | 6              | 10       | Montée       | Maxi montée    | ZERO    | 10 000                    |                            |                      |                              |
| L10115 | DEFAULT   | 7              | 1        | Décollage    | Maxi décollage | 10      |                           |                            |                      |                              |
| L10115 | DEFAULT   | 7              | 2        | Montée       | Maxi décollage | 10      | 1 000                     |                            |                      |                              |
| L10115 | DEFAULT   | 7              | 3        | Accélération | Maxi décollage | 10      |                           | 1 790                      | 192                  |                              |
| L10115 | DEFAULT   | 7              | 4        | Accélération | Maxi décollage | INTR    |                           | 1 343                      | 212                  |                              |
| L10115 | DEFAULT   | 7              | 5        | Accélération | Maxi montée    | INTR    |                           | 1 000                      | 232                  |                              |
| L10115 | DEFAULT   | 7              | 6        | Montée       | Maxi montée    | ZERO    | 3 000                     |                            |                      |                              |
| L10115 | DEFAULT   | 7              | 7        | Accélération | Maxi montée    | ZERO    |                           | 1 000                      | 250                  |                              |
| L10115 | DEFAULT   | 7              | 8        | Montée       | Maxi montée    | ZERO    | 5 500                     |                            |                      |                              |
| L10115 | DEFAULT   | 7              | 9        | Montée       | Maxi montée    | ZERO    | 7 500                     |                            |                      |                              |
| L10115 | DEFAULT   | 7              | 10       | Montée       | Maxi montée    | ZERO    | 10 000                    |                            |                      |                              |
| L188   | DEFAULT   | 1              | 1        | Décollage    | Maxi décollage | 78-%    |                           |                            |                      |                              |
| L188   | DEFAULT   | 1              | 2        | Montée       | Maxi décollage | 78-%    | 1 000                     |                            |                      |                              |
| L188   | DEFAULT   | 1              | 3        | Accélération | Maxi décollage | 78-%    |                           | 1 653                      | 133                  |                              |
| L188   | DEFAULT   | 1              | 4        | Accélération | Maxi montée    | INTR    |                           | 1 240                      | 153                  |                              |

| ACFTID | ID_Profil | Longueur phase | N° étape | Type étape   | Indice poussée | ID_Flap | Altitude point final (ft) | Vitesse de montée (ft/min) | CAS point final (kt) | Pourcentage_accélération (%) |
|--------|-----------|----------------|----------|--------------|----------------|---------|---------------------------|----------------------------|----------------------|------------------------------|
| L188   | DEFAULT   | 1              | 5        | Montée       | Maxi montée    | ZERO    | 3 000                     |                            |                      |                              |
| L188   | DEFAULT   | 1              | 6        | Montée       | Maxi montée    | ZERO    | 5 500                     |                            |                      |                              |
| L188   | DEFAULT   | 1              | 7        | Montée       | Maxi montée    | ZERO    | 7 500                     |                            |                      |                              |
| L188   | DEFAULT   | 1              | 8        | Montée       | Maxi montée    | ZERO    | 10 000                    |                            |                      |                              |
| L188   | DEFAULT   | 2              | 1        | Décollage    | Maxi décollage | 78-%    |                           |                            |                      |                              |
| L188   | DEFAULT   | 2              | 2        | Montée       | Maxi décollage | 78-%    | 1 000                     |                            |                      |                              |
| L188   | DEFAULT   | 2              | 3        | Accélération | Maxi décollage | 78-%    |                           | 1 309                      | 139                  |                              |
| L188   | DEFAULT   | 2              | 4        | Accélération | Maxi montée    | INTR    |                           | 982                        | 159                  |                              |
| L188   | DEFAULT   | 2              | 5        | Montée       | Maxi montée    | ZERO    | 3 000                     |                            |                      |                              |
| L188   | DEFAULT   | 2              | 6        | Montée       | Maxi montée    | ZERO    | 5 500                     |                            |                      |                              |
| L188   | DEFAULT   | 2              | 7        | Montée       | Maxi montée    | ZERO    | 7 500                     |                            |                      |                              |
| L188   | DEFAULT   | 2              | 8        | Montée       | Maxi montée    | ZERO    | 10 000                    |                            |                      |                              |
| L188   | DEFAULT   | 3              | 1        | Décollage    | Maxi décollage | 78-%    |                           |                            |                      |                              |
| L188   | DEFAULT   | 3              | 2        | Montée       | Maxi décollage | 78-%    | 1 000                     |                            |                      |                              |
| L188   | DEFAULT   | 3              | 3        | Accélération | Maxi décollage | 78-%    |                           | 905                        | 147                  |                              |
| L188   | DEFAULT   | 3              | 4        | Accélération | Maxi montée    | INTR    |                           | 679                        | 167                  |                              |
| L188   | DEFAULT   | 3              | 5        | Montée       | Maxi montée    | ZERO    | 3 000                     |                            |                      |                              |
| L188   | DEFAULT   | 3              | 6        | Montée       | Maxi montée    | ZERO    | 5 500                     |                            |                      |                              |
| L188   | DEFAULT   | 3              | 7        | Montée       | Maxi montée    | ZERO    | 7 500                     |                            |                      |                              |
| L188   | DEFAULT   | 3              | 8        | Montée       | Maxi montée    | ZERO    | 10 000                    |                            |                      |                              |

| ACFTID | ID_Profil | Longueur phase | N° étape | Type étape   | Indice poussée | ID_Flap | Altitude point final (ft) | Vitesse de montée (ft/min) | CAS point final (kt) | Pourcentage_accélération (%) |
|--------|-----------|----------------|----------|--------------|----------------|---------|---------------------------|----------------------------|----------------------|------------------------------|
| LEAR25 | DEFAULT   | 1              | 1        | Décollage    | Maxi décollage | 20      |                           |                            |                      |                              |
| LEAR25 | DEFAULT   | 1              | 2        | Accélération | Maxi décollage | 20      |                           | 1 698                      | 171                  |                              |
| LEAR25 | DEFAULT   | 1              | 3        | Montée       | Maxi décollage | 20      | 1 500                     |                            |                      |                              |
| LEAR25 | DEFAULT   | 1              | 4        | Accélération | Maxi décollage | 10      |                           | 1 698                      | 196                  |                              |
| LEAR25 | DEFAULT   | 1              | 5        | Montée       | Maxi montée    | ZERO    | 3 000                     |                            |                      |                              |
| LEAR25 | DEFAULT   | 1              | 6        | Accélération | Maxi montée    | ZERO    |                           | 2 075                      | 250                  |                              |
| LEAR25 | DEFAULT   | 1              | 7        | Montée       | Maxi montée    | ZERO    | 5 500                     |                            |                      |                              |
| LEAR25 | DEFAULT   | 1              | 8        | Montée       | Maxi montée    | ZERO    | 7 500                     |                            |                      |                              |
| LEAR25 | DEFAULT   | 1              | 9        | Montée       | Maxi montée    | ZERO    | 10 000                    |                            |                      |                              |
| LEAR35 | DEFAULT   | 1              | 1        | Décollage    | Maxi décollage | 20      |                           |                            |                      |                              |
| LEAR35 | DEFAULT   | 1              | 2        | Accélération | Maxi décollage | 20      |                           | 1 493                      | 158                  |                              |
| LEAR35 | DEFAULT   | 1              | 3        | Montée       | Maxi décollage | 20      | 1 500                     |                            |                      |                              |
| LEAR35 | DEFAULT   | 1              | 4        | Accélération | Maxi décollage | 10      |                           | 1 493                      | 183                  |                              |
| LEAR35 | DEFAULT   | 1              | 5        | Montée       | Maxi montée    | ZERO    | 3 000                     |                            |                      |                              |
| LEAR35 | DEFAULT   | 1              | 6        | Accélération | Maxi montée    | ZERO    |                           | 1 706                      | 250                  |                              |
| LEAR35 | DEFAULT   | 1              | 7        | Montée       | Maxi montée    | ZERO    | 5 500                     |                            |                      |                              |
| LEAR35 | DEFAULT   | 1              | 8        | Montée       | Maxi montée    | ZERO    | 7 500                     |                            |                      |                              |
| LEAR35 | DEFAULT   | 1              | 9        | Montée       | Maxi montée    | ZERO    | 10 000                    |                            |                      |                              |
| MD11GE | DEFAULT   | 1              | 1        | Décollage    | Maxi décollage | 25      |                           |                            |                      |                              |
| MD11GE | DEFAULT   | 1              | 2        | Montée       | Maxi décollage | 25      | 1 000                     |                            |                      |                              |

| ACFTID | ID_Profil | Longueur phase | N° étape | Type étape   | Indice poussée | ID_Flap | Altitude point final (ft) | Vitesse de montée (ft/min) | CAS point final (kt) | Pourcentage_accélération (%) |
|--------|-----------|----------------|----------|--------------|----------------|---------|---------------------------|----------------------------|----------------------|------------------------------|
| MD11GE | DEFAULT   | 1              | 3        | Accélération | Maxi décollage | 0/EXT   |                           | 1 500                      | 211                  |                              |
| MD11GE | DEFAULT   | 1              | 4        | Montée       | Maxi montée    | 0/EXT   | 2 000                     |                            |                      |                              |
| MD11GE | DEFAULT   | 1              | 5        | Montée       | Maxi montée    | 0/EXT   | 3 000                     |                            |                      |                              |
| MD11GE | DEFAULT   | 1              | 6        | Accélération | Maxi montée    | 0/RET   |                           | 1 500                      | 250                  |                              |
| MD11GE | DEFAULT   | 1              | 7        | Montée       | Maxi montée    | 0/RET   | 10 000                    |                            |                      |                              |
| MD11GE | DEFAULT   | 2              | 1        | Décollage    | Maxi décollage | 25      |                           |                            |                      |                              |
| MD11GE | DEFAULT   | 2              | 2        | Montée       | Maxi décollage | 25      | 1 000                     |                            |                      |                              |
| MD11GE | DEFAULT   | 2              | 3        | Accélération | Maxi décollage | 0/EXT   |                           | 1 500                      | 210                  |                              |
| MD11GE | DEFAULT   | 2              | 4        | Montée       | Maxi montée    | 0/EXT   | 2 000                     |                            |                      |                              |
| MD11GE | DEFAULT   | 2              | 5        | Montée       | Maxi montée    | 0/EXT   | 3 000                     |                            |                      |                              |
| MD11GE | DEFAULT   | 2              | 6        | Accélération | Maxi montée    | 0/RET   |                           | 1 500                      | 250                  |                              |
| MD11GE | DEFAULT   | 2              | 7        | Montée       | Maxi montée    | 0/RET   | 10 000                    |                            |                      |                              |
| MD11GE | DEFAULT   | 3              | 1        | Décollage    | Maxi décollage | 25      |                           |                            |                      |                              |
| MD11GE | DEFAULT   | 3              | 2        | Montée       | Maxi décollage | 25      | 1 000                     |                            |                      |                              |
| MD11GE | DEFAULT   | 3              | 3        | Accélération | Maxi décollage | 0/EXT   |                           | 1 500                      | 210                  |                              |
| MD11GE | DEFAULT   | 3              | 4        | Montée       | Maxi montée    | 0/EXT   | 2 000                     |                            |                      |                              |
| MD11GE | DEFAULT   | 3              | 5        | Montée       | Maxi montée    | 0/EXT   | 3 000                     |                            |                      |                              |
| MD11GE | DEFAULT   | 3              | 6        | Accélération | Maxi montée    | 0/RET   |                           | 1 500                      | 250                  |                              |
| MD11GE | DEFAULT   | 3              | 7        | Montée       | Maxi montée    | 0/RET   | 10 000                    |                            |                      |                              |
| MD11GE | DEFAULT   | 4              | 1        | Décollage    | Maxi décollage | 25      |                           |                            |                      |                              |

| ACFTID | ID_Profil | Longueur phase | N° étape | Type étape   | Indice poussée | ID_Flap | Altitude point final (ft) | Vitesse de montée (ft/min) | CAS point final (kt) | Pourcentage_accélération (%) |
|--------|-----------|----------------|----------|--------------|----------------|---------|---------------------------|----------------------------|----------------------|------------------------------|
| MD11GE | DEFAULT   | 4              | 2        | Montée       | Maxi décollage | 25      | 1 000                     |                            |                      |                              |
| MD11GE | DEFAULT   | 4              | 3        | Accélération | Maxi décollage | 0/EXT   |                           | 1 500                      | 209                  |                              |
| MD11GE | DEFAULT   | 4              | 4        | Montée       | Maxi montée    | 0/EXT   | 2 000                     |                            |                      |                              |
| MD11GE | DEFAULT   | 4              | 5        | Montée       | Maxi montée    | 0/EXT   | 3 000                     |                            |                      |                              |
| MD11GE | DEFAULT   | 4              | 6        | Accélération | Maxi montée    | 0/RET   |                           | 1 500                      | 250                  |                              |
| MD11GE | DEFAULT   | 4              | 7        | Montée       | Maxi montée    | 0/RET   | 10 000                    |                            |                      |                              |
| MD11GE | DEFAULT   | 5              | 1        | Décollage    | Maxi décollage | 25      |                           |                            |                      |                              |
| MD11GE | DEFAULT   | 5              | 2        | Montée       | Maxi décollage | 25      | 1 000                     |                            |                      |                              |
| MD11GE | DEFAULT   | 5              | 3        | Accélération | Maxi décollage | 0/EXT   |                           | 1 500                      | 208                  |                              |
| MD11GE | DEFAULT   | 5              | 4        | Montée       | Maxi montée    | 0/EXT   | 2 000                     |                            |                      |                              |
| MD11GE | DEFAULT   | 5              | 5        | Montée       | Maxi montée    | 0/EXT   | 3 000                     |                            |                      |                              |
| MD11GE | DEFAULT   | 5              | 6        | Accélération | Maxi montée    | 0/RET   |                           | 1 500                      | 250                  |                              |
| MD11GE | DEFAULT   | 5              | 7        | Montée       | Maxi montée    | 0/RET   | 10 000                    |                            |                      |                              |
| MD11GE | DEFAULT   | 6              | 1        | Décollage    | Maxi décollage | 25      |                           |                            |                      |                              |
| MD11GE | DEFAULT   | 6              | 2        | Montée       | Maxi décollage | 25      | 1 000                     |                            |                      |                              |
| MD11GE | DEFAULT   | 6              | 3        | Accélération | Maxi décollage | 0/EXT   |                           | 1 500                      | 208                  |                              |
| MD11GE | DEFAULT   | 6              | 4        | Montée       | Maxi montée    | 0/EXT   | 2 000                     |                            |                      |                              |
| MD11GE | DEFAULT   | 6              | 5        | Montée       | Maxi montée    | 0/EXT   | 3 000                     |                            |                      |                              |
| MD11GE | DEFAULT   | 6              | 6        | Accélération | Maxi montée    | 0/RET   |                           | 1 500                      | 250                  |                              |
| MD11GE | DEFAULT   | 6              | 7        | Montée       | Maxi montée    | 0/RET   | 10 000                    |                            |                      |                              |

| ACFTID | ID_Profil | Longueur phase | N° étape | Type étape   | Indice poussée | ID_Flap | Altitude point final (ft) | Vitesse de montée (ft/min) | CAS point final (kt) | Pourcentage_accélération (%) |
|--------|-----------|----------------|----------|--------------|----------------|---------|---------------------------|----------------------------|----------------------|------------------------------|
| MD11GE | DEFAULT   | 7              | 1        | Décollage    | Maxi décollage | 25      |                           |                            |                      |                              |
| MD11GE | DEFAULT   | 7              | 2        | Montée       | Maxi décollage | 25      | 1 000                     |                            |                      |                              |
| MD11GE | DEFAULT   | 7              | 3        | Accélération | Maxi décollage | 0/EXT   |                           | 1 500                      | 207                  |                              |
| MD11GE | DEFAULT   | 7              | 4        | Montée       | Maxi montée    | 0/EXT   | 2 000                     |                            |                      |                              |
| MD11GE | DEFAULT   | 7              | 5        | Montée       | Maxi montée    | 0/EXT   | 3 000                     |                            |                      |                              |
| MD11GE | DEFAULT   | 7              | 6        | Accélération | Maxi montée    | 0/RET   |                           | 1 500                      | 250                  |                              |
| MD11GE | DEFAULT   | 7              | 7        | Montée       | Maxi montée    | 0/RET   | 10 000                    |                            |                      |                              |
| MD11PW | DEFAULT   | 1              | 1        | Décollage    | Maxi décollage | 25      |                           |                            |                      |                              |
| MD11PW | DEFAULT   | 1              | 2        | Montée       | Maxi décollage | 25      | 1 000                     |                            |                      |                              |
| MD11PW | DEFAULT   | 1              | 3        | Accélération | Maxi décollage | 0/EXT   |                           | 1 500                      | 206                  |                              |
| MD11PW | DEFAULT   | 1              | 4        | Montée       | Maxi montée    | 0/EXT   | 2 000                     |                            |                      |                              |
| MD11PW | DEFAULT   | 1              | 5        | Montée       | Maxi montée    | 0/EXT   | 3 000                     |                            |                      |                              |
| MD11PW | DEFAULT   | 1              | 6        | Accélération | Maxi montée    | 0/RET   |                           | 1 500                      | 250                  |                              |
| MD11PW | DEFAULT   | 1              | 7        | Montée       | Maxi montée    | 0/RET   | 10 000                    |                            |                      |                              |
| MD11PW | DEFAULT   | 2              | 1        | Décollage    | Maxi décollage | 25      |                           |                            |                      |                              |
| MD11PW | DEFAULT   | 2              | 2        | Montée       | Maxi décollage | 25      | 1 000                     |                            |                      |                              |
| MD11PW | DEFAULT   | 2              | 3        | Accélération | Maxi décollage | 0/EXT   |                           | 1 500                      | 206                  |                              |
| MD11PW | DEFAULT   | 2              | 4        | Montée       | Maxi montée    | 0/EXT   | 2 000                     |                            |                      |                              |
| MD11PW | DEFAULT   | 2              | 5        | Montée       | Maxi montée    | 0/EXT   | 3 000                     |                            |                      |                              |
| MD11PW | DEFAULT   | 2              | 6        | Accélération | Maxi montée    | 0/RET   |                           | 1 500                      | 250                  |                              |

| ACFTID | ID_Profil | Longueur phase | N° étape | Type étape   | Indice poussée | ID_Flap | Altitude point final (ft) | Vitesse de montée (ft/min) | CAS point final (kt) | Pourcentage_accélération (%) |
|--------|-----------|----------------|----------|--------------|----------------|---------|---------------------------|----------------------------|----------------------|------------------------------|
| MD11PW | DEFAULT   | 2              | 7        | Montée       | Maxi montée    | 0/RET   | 10 000                    |                            |                      |                              |
| MD11PW | DEFAULT   | 3              | 1        | Décollage    | Maxi décollage | 25      |                           |                            |                      |                              |
| MD11PW | DEFAULT   | 3              | 2        | Montée       | Maxi décollage | 25      | 1 000                     |                            |                      |                              |
| MD11PW | DEFAULT   | 3              | 3        | Accélération | Maxi décollage | 0/EXT   |                           | 1 500                      | 205                  |                              |
| MD11PW | DEFAULT   | 3              | 4        | Montée       | Maxi montée    | 0/EXT   | 2 000                     |                            |                      |                              |
| MD11PW | DEFAULT   | 3              | 5        | Montée       | Maxi montée    | 0/EXT   | 3 000                     |                            |                      |                              |
| MD11PW | DEFAULT   | 3              | 6        | Accélération | Maxi montée    | 0/RET   |                           | 1 500                      | 250                  |                              |
| MD11PW | DEFAULT   | 3              | 7        | Montée       | Maxi montée    | 0/RET   | 10 000                    |                            |                      |                              |
| MD11PW | DEFAULT   | 4              | 1        | Décollage    | Maxi décollage | 25      |                           |                            |                      |                              |
| MD11PW | DEFAULT   | 4              | 2        | Montée       | Maxi décollage | 25      | 1 000                     |                            |                      |                              |
| MD11PW | DEFAULT   | 4              | 3        | Accélération | Maxi décollage | 0/EXT   |                           | 1 500                      | 205                  |                              |
| MD11PW | DEFAULT   | 4              | 4        | Montée       | Maxi montée    | 0/EXT   | 2 000                     |                            |                      |                              |
| MD11PW | DEFAULT   | 4              | 5        | Montée       | Maxi montée    | 0/EXT   | 3 000                     |                            |                      |                              |
| MD11PW | DEFAULT   | 4              | 6        | Accélération | Maxi montée    | 0/RET   |                           | 1 500                      | 250                  |                              |
| MD11PW | DEFAULT   | 4              | 7        | Montée       | Maxi montée    | 0/RET   | 10 000                    |                            |                      |                              |
| MD11PW | DEFAULT   | 5              | 1        | Décollage    | Maxi décollage | 25      |                           |                            |                      |                              |
| MD11PW | DEFAULT   | 5              | 2        | Montée       | Maxi décollage | 25      | 1 000                     |                            |                      |                              |
| MD11PW | DEFAULT   | 5              | 3        | Accélération | Maxi décollage | 0/EXT   |                           | 1 500                      | 205                  |                              |
| MD11PW | DEFAULT   | 5              | 4        | Montée       | Maxi montée    | 0/EXT   | 2 000                     |                            |                      |                              |
| MD11PW | DEFAULT   | 5              | 5        | Montée       | Maxi montée    | 0/EXT   | 3 000                     |                            |                      |                              |

| ACFTID | ID_Profil | Longueur phase | N° étape | Type étape   | Indice poussée | ID_Flap | Altitude point final (ft) | Vitesse de montée (ft/min) | CAS point final (kt) | Pourcentage accélération (%) |
|--------|-----------|----------------|----------|--------------|----------------|---------|---------------------------|----------------------------|----------------------|------------------------------|
| MD11PW | DEFAULT   | 5              | 6        | Accélération | Maxi montée    | 0/RET   |                           | 1 500                      | 250                  |                              |
| MD11PW | DEFAULT   | 5              | 7        | Montée       | Maxi montée    | 0/RET   | 10 000                    |                            |                      |                              |
| MD11PW | DEFAULT   | 6              | 1        | Décollage    | Maxi décollage | 25      |                           |                            |                      |                              |
| MD11PW | DEFAULT   | 6              | 2        | Montée       | Maxi décollage | 25      | 1 000                     |                            |                      |                              |
| MD11PW | DEFAULT   | 6              | 3        | Accélération | Maxi décollage | 0/EXT   |                           | 1 500                      | 206                  |                              |
| MD11PW | DEFAULT   | 6              | 4        | Montée       | Maxi montée    | 0/EXT   | 2 000                     |                            |                      |                              |
| MD11PW | DEFAULT   | 6              | 5        | Montée       | Maxi montée    | 0/EXT   | 3 000                     |                            |                      |                              |
| MD11PW | DEFAULT   | 6              | 6        | Accélération | Maxi montée    | 0/RET   |                           | 1 500                      | 250                  |                              |
| MD11PW | DEFAULT   | 6              | 7        | Montée       | Maxi montée    | 0/RET   | 10 000                    |                            |                      |                              |
| MD11PW | DEFAULT   | 7              | 1        | Décollage    | Maxi décollage | 25      |                           |                            |                      |                              |
| MD11PW | DEFAULT   | 7              | 2        | Montée       | Maxi décollage | 25      | 1 000                     |                            |                      |                              |
| MD11PW | DEFAULT   | 7              | 3        | Accélération | Maxi décollage | 0/EXT   |                           | 1 500                      | 207                  |                              |
| MD11PW | DEFAULT   | 7              | 4        | Montée       | Maxi montée    | 0/EXT   | 2 000                     |                            |                      |                              |
| MD11PW | DEFAULT   | 7              | 5        | Montée       | Maxi montée    | 0/EXT   | 3 000                     |                            |                      |                              |
| MD11PW | DEFAULT   | 7              | 6        | Accélération | Maxi montée    | 0/RET   |                           | 1 500                      | 250                  |                              |
| MD11PW | DEFAULT   | 7              | 7        | Montée       | Maxi montée    | 0/RET   | 10 000                    |                            |                      |                              |
| MD81   | DEFAULT   | 1              | 1        | Décollage    | Maxi décollage | T_15    |                           |                            |                      |                              |
| MD81   | DEFAULT   | 1              | 2        | Montée       | Maxi décollage | T_15    | 1 000                     |                            |                      |                              |
| MD81   | DEFAULT   | 1              | 3        | Accélération | Maxi montée    | T_INT   |                           | 1 434,2                    | 214,1                |                              |
| MD81   | DEFAULT   | 1              | 4        | Montée       | Maxi montée    | T_ZERO  | 3 000                     |                            |                      |                              |

| ACFTID | ID_Profil | Longueur phase | N° étape | Type étape   | Indice poussée | ID_Flap | Altitude point final (ft) | Vitesse de montée (ft/min) | CAS point final (kt) | Pourcentage accélération (%) |
|--------|-----------|----------------|----------|--------------|----------------|---------|---------------------------|----------------------------|----------------------|------------------------------|
| MD81   | DEFAULT   | 1              | 5        | Accélération | Maxi montée    | T_ZERO  |                           | 1 866,9                    | 250                  |                              |
| MD81   | DEFAULT   | 1              | 6        | Montée       | Maxi montée    | T_ZERO  | 5 500                     |                            |                      |                              |
| MD81   | DEFAULT   | 1              | 7        | Montée       | Maxi montée    | T_ZERO  | 7 500                     |                            |                      |                              |
| MD81   | DEFAULT   | 1              | 8        | Montée       | Maxi montée    | T_ZERO  | 10 000                    |                            |                      |                              |
| MD81   | DEFAULT   | 2              | 1        | Décollage    | Maxi décollage | T_15    |                           |                            |                      |                              |
| MD81   | DEFAULT   | 2              | 2        | Montée       | Maxi décollage | T_15    | 1 000                     |                            |                      |                              |
| MD81   | DEFAULT   | 2              | 3        | Accélération | Maxi montée    | T_INT   |                           | 1 346,9                    | 218,7                |                              |
| MD81   | DEFAULT   | 2              | 4        | Montée       | Maxi montée    | T_ZERO  | 3 000                     |                            |                      |                              |
| MD81   | DEFAULT   | 2              | 5        | Accélération | Maxi montée    | T_ZERO  |                           | 1 745                      | 250                  |                              |
| MD81   | DEFAULT   | 2              | 6        | Montée       | Maxi montée    | T_ZERO  | 5 500                     |                            |                      |                              |
| MD81   | DEFAULT   | 2              | 7        | Montée       | Maxi montée    | T_ZERO  | 7 500                     |                            |                      |                              |
| MD81   | DEFAULT   | 2              | 8        | Montée       | Maxi montée    | T_ZERO  | 10 000                    |                            |                      |                              |
| MD81   | DEFAULT   | 3              | 1        | Décollage    | Maxi décollage | T_15    |                           |                            |                      |                              |
| MD81   | DEFAULT   | 3              | 2        | Montée       | Maxi décollage | T_15    | 1 000                     |                            |                      |                              |
| MD81   | DEFAULT   | 3              | 3        | Accélération | Maxi montée    | T_INT   |                           | 1 266                      | 223,2                |                              |
| MD81   | DEFAULT   | 3              | 4        | Montée       | Maxi montée    | T_ZERO  | 3 000                     |                            |                      |                              |
| MD81   | DEFAULT   | 3              | 5        | Accélération | Maxi montée    | T_ZERO  |                           | 1 643,2                    | 250                  |                              |
| MD81   | DEFAULT   | 3              | 6        | Montée       | Maxi montée    | T_ZERO  | 5 500                     |                            |                      |                              |
| MD81   | DEFAULT   | 3              | 7        | Montée       | Maxi montée    | T_ZERO  | 7 500                     |                            |                      |                              |
| MD81   | DEFAULT   | 3              | 8        | Montée       | Maxi montée    | T_ZERO  | 10 000                    |                            |                      |                              |

| ACFTID | ID_Profil | Longueur phase | N° étape | Type étape   | Indice poussée | ID_Flap | Altitude point final (ft) | Vitesse de montée (ft/min) | CAS point final (kt) | Pourcentage_accélération (%) |
|--------|-----------|----------------|----------|--------------|----------------|---------|---------------------------|----------------------------|----------------------|------------------------------|
| MD81   | DEFAULT   | 4              | 1        | Décollage    | Maxi décollage | T_15    |                           |                            |                      |                              |
| MD81   | DEFAULT   | 4              | 2        | Montée       | Maxi décollage | T_15    | 1 000                     |                            |                      |                              |
| MD81   | DEFAULT   | 4              | 3        | Accélération | Maxi montée    | T_INT   |                           | 1 211,7                    | 226,3                |                              |
| MD81   | DEFAULT   | 4              | 4        | Montée       | Maxi montée    | T_ZERO  | 3 000                     |                            |                      |                              |
| MD81   | DEFAULT   | 4              | 5        | Accélération | Maxi montée    | T_ZERO  |                           | 1 577,9                    | 250                  |                              |
| MD81   | DEFAULT   | 4              | 6        | Montée       | Maxi montée    | T_ZERO  | 5 500                     |                            |                      |                              |
| MD81   | DEFAULT   | 4              | 7        | Montée       | Maxi montée    | T_ZERO  | 7 500                     |                            |                      |                              |
| MD81   | DEFAULT   | 4              | 8        | Montée       | Maxi montée    | T_ZERO  | 10 000                    |                            |                      |                              |
| MD81   | ICAO_A    | 1              | 1        | Décollage    | Maxi décollage | T_15    |                           |                            |                      |                              |
| MD81   | ICAO_A    | 1              | 2        | Montée       | Maxi décollage | T_15    | 1 500                     |                            |                      |                              |
| MD81   | ICAO_A    | 1              | 3        | Montée       | Maxi montée    | T_15    | 3 000                     |                            |                      |                              |
| MD81   | ICAO_A    | 1              | 4        | Accélération | Maxi montée    | T_ZERO  |                           | 1 169,8                    | 250                  |                              |
| MD81   | ICAO_A    | 1              | 5        | Montée       | Maxi montée    | T_ZERO  | 5 500                     |                            |                      |                              |
| MD81   | ICAO_A    | 1              | 6        | Montée       | Maxi montée    | T_ZERO  | 7 500                     |                            |                      |                              |
| MD81   | ICAO_A    | 1              | 7        | Montée       | Maxi montée    | T_ZERO  | 10 000                    |                            |                      |                              |
| MD81   | ICAO_A    | 2              | 1        | Décollage    | Maxi décollage | T_15    |                           |                            |                      |                              |
| MD81   | ICAO_A    | 2              | 2        | Montée       | Maxi décollage | T_15    | 1 500                     |                            |                      |                              |
| MD81   | ICAO_A    | 2              | 3        | Montée       | Maxi montée    | T_15    | 3 000                     |                            |                      |                              |
| MD81   | ICAO_A    | 2              | 4        | Accélération | Maxi montée    | T_ZERO  |                           | 1 089,3                    | 250                  |                              |
| MD81   | ICAO_A    | 2              | 5        | Montée       | Maxi montée    | T_ZERO  | 5 500                     |                            |                      |                              |

| ACFTID | ID_Profil | Longueur phase | N° étape | Type étape   | Indice poussée | ID_Flap | Altitude point final (ft) | Vitesse de montée (ft/min) | CAS point final (kt) | Pourcentage accélération (%) |
|--------|-----------|----------------|----------|--------------|----------------|---------|---------------------------|----------------------------|----------------------|------------------------------|
| MD81   | ICAO_A    | 2              | 6        | Montée       | Maxi montée    | T_ZERO  | 7 500                     |                            |                      |                              |
| MD81   | ICAO_A    | 2              | 7        | Montée       | Maxi montée    | T_ZERO  | 10 000                    |                            |                      |                              |
| MD81   | ICAO_A    | 3              | 1        | Décollage    | Maxi décollage | T_15    |                           |                            |                      |                              |
| MD81   | ICAO_A    | 3              | 2        | Montée       | Maxi décollage | T_15    | 1 500                     |                            |                      |                              |
| MD81   | ICAO_A    | 3              | 3        | Montée       | Maxi montée    | T_15    | 3 000                     |                            |                      |                              |
| MD81   | ICAO_A    | 3              | 4        | Accélération | Maxi montée    | T_ZERO  |                           | 1 049,8                    | 250                  |                              |
| MD81   | ICAO_A    | 3              | 5        | Montée       | Maxi montée    | T_ZERO  | 5 500                     |                            |                      |                              |
| MD81   | ICAO_A    | 3              | 6        | Montée       | Maxi montée    | T_ZERO  | 7 500                     |                            |                      |                              |
| MD81   | ICAO_A    | 3              | 7        | Montée       | Maxi montée    | T_ZERO  | 10 000                    |                            |                      |                              |
| MD81   | ICAO_A    | 4              | 1        | Décollage    | Maxi décollage | T_15    |                           |                            |                      |                              |
| MD81   | ICAO_A    | 4              | 2        | Montée       | Maxi décollage | T_15    | 1 500                     |                            |                      |                              |
| MD81   | ICAO_A    | 4              | 3        | Montée       | Maxi montée    | T_15    | 3 000                     |                            |                      |                              |
| MD81   | ICAO_A    | 4              | 4        | Accélération | Maxi montée    | T_ZERO  |                           | 998,8                      | 250                  |                              |
| MD81   | ICAO_A    | 4              | 5        | Montée       | Maxi montée    | T_ZERO  | 5 500                     |                            |                      |                              |
| MD81   | ICAO_A    | 4              | 6        | Montée       | Maxi montée    | T_ZERO  | 7 500                     |                            |                      |                              |
| MD81   | ICAO_A    | 4              | 7        | Montée       | Maxi montée    | T_ZERO  | 10 000                    |                            |                      |                              |
| MD81   | ICAO_B    | 1              | 1        | Décollage    | Maxi décollage | T_15    |                           |                            |                      |                              |
| MD81   | ICAO_B    | 1              | 2        | Montée       | Maxi décollage | T_15    | 1 000                     |                            |                      |                              |
| MD81   | ICAO_B    | 1              | 3        | Accélération | Maxi décollage | T_INT   |                           | 1 434,8                    | 218,8                |                              |
| MD81   | ICAO_B    | 1              | 4        | Montée       | Maxi montée    | T_ZERO  | 3 000                     |                            |                      |                              |

| ACFTID | ID_Profil | Longueur phase | N° étape | Type étape   | Indice poussée | ID_Flap | Altitude point final (ft) | Vitesse de montée (ft/min) | CAS point final (kt) | Pourcentage accélération (%) |
|--------|-----------|----------------|----------|--------------|----------------|---------|---------------------------|----------------------------|----------------------|------------------------------|
| MD81   | ICAO_B    | 1              | 5        | Accélération | Maxi montée    | T_ZERO  |                           | 1 900,5                    | 250                  |                              |
| MD81   | ICAO_B    | 1              | 6        | Montée       | Maxi montée    | T_ZERO  | 5 500                     |                            |                      |                              |
| MD81   | ICAO_B    | 1              | 7        | Montée       | Maxi montée    | T_ZERO  | 7 500                     |                            |                      |                              |
| MD81   | ICAO_B    | 1              | 8        | Montée       | Maxi montée    | T_ZERO  | 10 000                    |                            |                      |                              |
| MD81   | ICAO_B    | 2              | 1        | Décollage    | Maxi décollage | T_15    |                           |                            |                      |                              |
| MD81   | ICAO_B    | 2              | 2        | Montée       | Maxi décollage | T_15    | 1 000                     |                            |                      |                              |
| MD81   | ICAO_B    | 2              | 3        | Accélération | Maxi décollage | T_INT   |                           | 1 345,2                    | 223                  |                              |
| MD81   | ICAO_B    | 2              | 4        | Montée       | Maxi montée    | T_ZERO  | 3 000                     |                            |                      |                              |
| MD81   | ICAO_B    | 2              | 5        | Accélération | Maxi montée    | T_ZERO  |                           | 1 779,8                    | 250                  |                              |
| MD81   | ICAO_B    | 2              | 6        | Montée       | Maxi montée    | T_ZERO  | 5 500                     |                            |                      |                              |
| MD81   | ICAO_B    | 2              | 7        | Montée       | Maxi montée    | T_ZERO  | 7 500                     |                            |                      |                              |
| MD81   | ICAO_B    | 2              | 8        | Montée       | Maxi montée    | T_ZERO  | 10 000                    |                            |                      |                              |
| MD81   | ICAO_B    | 3              | 1        | Décollage    | Maxi décollage | T_15    |                           |                            |                      |                              |
| MD81   | ICAO_B    | 3              | 2        | Montée       | Maxi décollage | T_15    | 1 000                     |                            |                      |                              |
| MD81   | ICAO_B    | 3              | 3        | Accélération | Maxi décollage | T_INT   |                           | 1 264,5                    | 227,4                |                              |
| MD81   | ICAO_B    | 3              | 4        | Montée       | Maxi montée    | T_ZERO  | 3 000                     |                            |                      |                              |
| MD81   | ICAO_B    | 3              | 5        | Accélération | Maxi montée    | T_ZERO  |                           | 1 664,2                    | 250                  |                              |
| MD81   | ICAO_B    | 3              | 6        | Montée       | Maxi montée    | T_ZERO  | 5 500                     |                            |                      |                              |
| MD81   | ICAO_B    | 3              | 7        | Montée       | Maxi montée    | T_ZERO  | 7 500                     |                            |                      |                              |
| MD81   | ICAO_B    | 3              | 8        | Montée       | Maxi montée    | T_ZERO  | 10 000                    |                            |                      |                              |

| ACFTID | ID_Profil | Longueur phase | N° étape | Type étape   | Indice poussée | ID_Flap | Altitude point final (ft) | Vitesse de montée (ft/min) | CAS point final (kt) | Pourcentage_accélération (%) |
|--------|-----------|----------------|----------|--------------|----------------|---------|---------------------------|----------------------------|----------------------|------------------------------|
| MD81   | ICAO_B    | 4              | 1        | Décollage    | Maxi décollage | T_15    |                           |                            |                      |                              |
| MD81   | ICAO_B    | 4              | 2        | Montée       | Maxi décollage | T_15    | 1 000                     |                            |                      |                              |
| MD81   | ICAO_B    | 4              | 3        | Accélération | Maxi décollage | T_INT   |                           | 1 211,1                    | 230,2                |                              |
| MD81   | ICAO_B    | 4              | 4        | Montée       | Maxi montée    | T_ZERO  | 3 000                     |                            |                      |                              |
| MD81   | ICAO_B    | 4              | 5        | Accélération | Maxi montée    | T_ZERO  |                           | 1 594,3                    | 250                  |                              |
| MD81   | ICAO_B    | 4              | 6        | Montée       | Maxi montée    | T_ZERO  | 5 500                     |                            |                      |                              |
| MD81   | ICAO_B    | 4              | 7        | Montée       | Maxi montée    | T_ZERO  | 7 500                     |                            |                      |                              |
| MD81   | ICAO_B    | 4              | 8        | Montée       | Maxi montée    | T_ZERO  | 10 000                    |                            |                      |                              |
| MD82   | DEFAULT   | 1              | 1        | Décollage    | Maxi décollage | T_15    |                           |                            |                      |                              |
| MD82   | DEFAULT   | 1              | 2        | Montée       | Maxi décollage | T_15    | 1 000                     |                            |                      |                              |
| MD82   | DEFAULT   | 1              | 3        | Accélération | Maxi montée    | INT4    |                           | 1 247,7                    | 216,4                |                              |
| MD82   | DEFAULT   | 1              | 4        | Montée       | Maxi montée    | INT3    | 3 000                     |                            |                      |                              |
| MD82   | DEFAULT   | 1              | 5        | Accélération | Maxi montée    | T_ZERO  |                           | 1 933                      | 250                  |                              |
| MD82   | DEFAULT   | 1              | 6        | Montée       | Maxi montée    | T_ZERO  | 5 500                     |                            |                      |                              |
| MD82   | DEFAULT   | 1              | 7        | Montée       | Maxi montée    | T_ZERO  | 7 500                     |                            |                      |                              |
| MD82   | DEFAULT   | 1              | 8        | Montée       | Maxi montée    | T_ZERO  | 10 000                    |                            |                      |                              |
| MD82   | DEFAULT   | 2              | 1        | Décollage    | Maxi décollage | T_15    |                           |                            |                      |                              |
| MD82   | DEFAULT   | 2              | 2        | Montée       | Maxi décollage | T_15    | 1 000                     |                            |                      |                              |
| MD82   | DEFAULT   | 2              | 3        | Accélération | Maxi montée    | INT4    |                           | 1 169,5                    | 220,7                |                              |
| MD82   | DEFAULT   | 2              | 4        | Montée       | Maxi montée    | INT3    | 3 000                     |                            |                      |                              |

| ACFTID | ID_Profil | Longueur phase | N° étape | Type étape   | Indice poussée | ID_Flap | Altitude point final (ft) | Vitesse de montée (ft/min) | CAS point final (kt) | Pourcentage accélération (%) |
|--------|-----------|----------------|----------|--------------|----------------|---------|---------------------------|----------------------------|----------------------|------------------------------|
| MD82   | DEFAULT   | 2              | 5        | Accélération | Maxi montée    | T_ZERO  |                           | 1 805,5                    | 250                  |                              |
| MD82   | DEFAULT   | 2              | 6        | Montée       | Maxi montée    | T_ZERO  | 5 500                     |                            |                      |                              |
| MD82   | DEFAULT   | 2              | 7        | Montée       | Maxi montée    | T_ZERO  | 7 500                     |                            |                      |                              |
| MD82   | DEFAULT   | 2              | 8        | Montée       | Maxi montée    | T_ZERO  | 10 000                    |                            |                      |                              |
| MD82   | DEFAULT   | 3              | 1        | Décollage    | Maxi décollage | T_15    |                           |                            |                      |                              |
| MD82   | DEFAULT   | 3              | 2        | Montée       | Maxi décollage | T_15    | 1 000                     |                            |                      |                              |
| MD82   | DEFAULT   | 3              | 3        | Accélération | Maxi montée    | INT4    |                           | 1 099,1                    | 225,1                |                              |
| MD82   | DEFAULT   | 3              | 4        | Montée       | Maxi montée    | INT3    | 3 000                     |                            |                      |                              |
| MD82   | DEFAULT   | 3              | 5        | Accélération | Maxi montée    | T_ZERO  |                           | 1 710,9                    | 250                  |                              |
| MD82   | DEFAULT   | 3              | 6        | Montée       | Maxi montée    | T_ZERO  | 5 500                     |                            |                      |                              |
| MD82   | DEFAULT   | 3              | 7        | Montée       | Maxi montée    | T_ZERO  | 7 500                     |                            |                      |                              |
| MD82   | DEFAULT   | 3              | 8        | Montée       | Maxi montée    | T_ZERO  | 10 000                    |                            |                      |                              |
| MD82   | DEFAULT   | 4              | 1        | Décollage    | Maxi décollage | T_15    |                           |                            |                      |                              |
| MD82   | DEFAULT   | 4              | 2        | Montée       | Maxi décollage | T_15    | 1 000                     |                            |                      |                              |
| MD82   | DEFAULT   | 4              | 3        | Accélération | Maxi montée    | INT4    |                           | 989,5                      | 231,9                |                              |
| MD82   | DEFAULT   | 4              | 4        | Montée       | Maxi montée    | INT3    | 3 000                     |                            |                      |                              |
| MD82   | DEFAULT   | 4              | 5        | Accélération | Maxi montée    | T_ZERO  |                           | 1 563,6                    | 250                  |                              |
| MD82   | DEFAULT   | 4              | 6        | Montée       | Maxi montée    | T_ZERO  | 5 500                     |                            |                      |                              |
| MD82   | DEFAULT   | 4              | 7        | Montée       | Maxi montée    | T_ZERO  | 7 500                     |                            |                      |                              |
| MD82   | DEFAULT   | 4              | 8        | Montée       | Maxi montée    | T_ZERO  | 10 000                    |                            |                      |                              |

| ACFTID | ID_Profil | Longueur phase | N° étape | Type étape   | Indice poussée | ID_Flap | Altitude point final (ft) | Vitesse de montée (ft/min) | CAS point final (kt) | Pourcentage_accélération (%) |
|--------|-----------|----------------|----------|--------------|----------------|---------|---------------------------|----------------------------|----------------------|------------------------------|
| MD82   | DEFAULT   | 5              | 1        | Décollage    | Maxi décollage | T_15    |                           |                            |                      |                              |
| MD82   | DEFAULT   | 5              | 2        | Montée       | Maxi décollage | T_15    | 1 000                     |                            |                      |                              |
| MD82   | DEFAULT   | 5              | 3        | Accélération | Maxi montée    | INT4    |                           | 950,4                      | 234,2                |                              |
| MD82   | DEFAULT   | 5              | 4        | Montée       | Maxi montée    | INT3    | 3 000                     |                            |                      |                              |
| MD82   | DEFAULT   | 5              | 5        | Accélération | Maxi montée    | T_ZERO  |                           | 1 518,1                    | 250                  |                              |
| MD82   | DEFAULT   | 5              | 6        | Montée       | Maxi montée    | T_ZERO  | 5 500                     |                            |                      |                              |
| MD82   | DEFAULT   | 5              | 7        | Montée       | Maxi montée    | T_ZERO  | 7 500                     |                            |                      |                              |
| MD82   | DEFAULT   | 5              | 8        | Montée       | Maxi montée    | T_ZERO  | 10 000                    |                            |                      |                              |
| MD82   | ICAO_A    | 1              | 1        | Décollage    | Maxi décollage | T_15    |                           |                            |                      |                              |
| MD82   | ICAO_A    | 1              | 2        | Montée       | Maxi décollage | T_15    | 1 500                     |                            |                      |                              |
| MD82   | ICAO_A    | 1              | 3        | Montée       | Maxi montée    | T_INT   | 3 000                     |                            |                      |                              |
| MD82   | ICAO_A    | 1              | 4        | Accélération | Maxi montée    | T_ZERO  |                           | 1 200                      | 250                  |                              |
| MD82   | ICAO_A    | 1              | 5        | Montée       | Maxi montée    | T_ZERO  | 5 500                     |                            |                      |                              |
| MD82   | ICAO_A    | 1              | 6        | Montée       | Maxi montée    | T_ZERO  | 7 500                     |                            |                      |                              |
| MD82   | ICAO_A    | 1              | 7        | Montée       | Maxi montée    | T_ZERO  | 10 000                    |                            |                      |                              |
| MD82   | ICAO_A    | 2              | 1        | Décollage    | Maxi décollage | T_15    |                           |                            |                      |                              |
| MD82   | ICAO_A    | 2              | 2        | Montée       | Maxi décollage | T_15    | 1 500                     |                            |                      |                              |
| MD82   | ICAO_A    | 2              | 3        | Montée       | Maxi montée    | T_15    | 3 000                     |                            |                      |                              |
| MD82   | ICAO_A    | 2              | 4        | Accélération | Maxi montée    | T_ZERO  |                           | 1 120,6                    | 250                  |                              |
| MD82   | ICAO_A    | 2              | 5        | Montée       | Maxi montée    | T_ZERO  | 5 500                     |                            |                      |                              |

| ACFTID | ID_Profil | Longueur phase | N° étape | Type étape   | Indice poussée | ID_Flap | Altitude point final (ft) | Vitesse de montée (ft/min) | CAS point final (kt) | Pourcentage accélération (%) |
|--------|-----------|----------------|----------|--------------|----------------|---------|---------------------------|----------------------------|----------------------|------------------------------|
| MD82   | ICAO_A    | 2              | 6        | Montée       | Maxi montée    | T_ZERO  | 7 500                     |                            |                      |                              |
| MD82   | ICAO_A    | 2              | 7        | Montée       | Maxi montée    | T_ZERO  | 10 000                    |                            |                      |                              |
| MD82   | ICAO_A    | 3              | 1        | Décollage    | Maxi décollage | T_15    |                           |                            |                      |                              |
| MD82   | ICAO_A    | 3              | 2        | Montée       | Maxi décollage | T_15    | 1 500                     |                            |                      |                              |
| MD82   | ICAO_A    | 3              | 3        | Montée       | Maxi montée    | T_15    | 3 000                     |                            |                      |                              |
| MD82   | ICAO_A    | 3              | 4        | Accélération | Maxi montée    | T_ZERO  |                           | 1 051,4                    | 250                  |                              |
| MD82   | ICAO_A    | 3              | 5        | Montée       | Maxi montée    | T_ZERO  | 5 500                     |                            |                      |                              |
| MD82   | ICAO_A    | 3              | 6        | Montée       | Maxi montée    | T_ZERO  | 7 500                     |                            |                      |                              |
| MD82   | ICAO_A    | 3              | 7        | Montée       | Maxi montée    | T_ZERO  | 10 000                    |                            |                      |                              |
| MD82   | ICAO_A    | 4              | 1        | Décollage    | Maxi décollage | T_15    |                           |                            |                      |                              |
| MD82   | ICAO_A    | 4              | 2        | Montée       | Maxi décollage | T_15    | 1 500                     |                            |                      |                              |
| MD82   | ICAO_A    | 4              | 3        | Montée       | Maxi montée    | T_15    | 3 000                     |                            |                      |                              |
| MD82   | ICAO_A    | 4              | 4        | Accélération | Maxi montée    | T_ZERO  |                           | 939,4                      | 250                  |                              |
| MD82   | ICAO_A    | 4              | 5        | Montée       | Maxi montée    | T_ZERO  | 5 500                     |                            |                      |                              |
| MD82   | ICAO_A    | 4              | 6        | Montée       | Maxi montée    | T_ZERO  | 7 500                     |                            |                      |                              |
| MD82   | ICAO_A    | 4              | 7        | Montée       | Maxi montée    | T_ZERO  | 10 000                    |                            |                      |                              |
| MD82   | ICAO_A    | 5              | 1        | Décollage    | Maxi décollage | T_15    |                           |                            |                      |                              |
| MD82   | ICAO_A    | 5              | 2        | Montée       | Maxi décollage | T_15    | 1 500                     |                            |                      |                              |
| MD82   | ICAO_A    | 5              | 3        | Montée       | Maxi montée    | T_15    | 3 000                     |                            |                      |                              |
| MD82   | ICAO_A    | 5              | 4        | Accélération | Maxi montée    | T_ZERO  |                           | 900                        | 250                  |                              |

| ACFTID | ID_Profil | Longueur phase | N° étape | Type étape   | Indice poussée | ID_Flap | Altitude point final (ft) | Vitesse de montée (ft/min) | CAS point final (kt) | Pourcentage accélération (%) |
|--------|-----------|----------------|----------|--------------|----------------|---------|---------------------------|----------------------------|----------------------|------------------------------|
| MD82   | ICAO_A    | 5              | 5        | Montée       | Maxi montée    | T_ZERO  | 5 500                     |                            |                      |                              |
| MD82   | ICAO_A    | 5              | 6        | Montée       | Maxi montée    | T_ZERO  | 7 500                     |                            |                      |                              |
| MD82   | ICAO_A    | 5              | 7        | Montée       | Maxi montée    | T_ZERO  | 10 000                    |                            |                      |                              |
| MD82   | ICAO_B    | 1              | 1        | Décollage    | Maxi décollage | T_15    |                           |                            |                      |                              |
| MD82   | ICAO_B    | 1              | 2        | Montée       | Maxi décollage | T_15    | 1 000                     |                            |                      |                              |
| MD82   | ICAO_B    | 1              | 3        | Accélération | Maxi décollage | T_INT   |                           | 1 447,7                    | 218,7                |                              |
| MD82   | ICAO_B    | 1              | 4        | Montée       | Maxi montée    | T_ZERO  | 3 000                     |                            |                      |                              |
| MD82   | ICAO_B    | 1              | 5        | Accélération | Maxi montée    | T_ZERO  |                           | 1 952,8                    | 250                  |                              |
| MD82   | ICAO_B    | 1              | 6        | Montée       | Maxi montée    | T_ZERO  | 5 500                     |                            |                      |                              |
| MD82   | ICAO_B    | 1              | 7        | Montée       | Maxi montée    | T_ZERO  | 7 500                     |                            |                      |                              |
| MD82   | ICAO_B    | 1              | 8        | Montée       | Maxi montée    | T_ZERO  | 10 000                    |                            |                      |                              |
| MD82   | ICAO_B    | 2              | 1        | Décollage    | Maxi décollage | T_15    |                           |                            |                      |                              |
| MD82   | ICAO_B    | 2              | 2        | Montée       | Maxi décollage | T_15    | 1 000                     |                            |                      |                              |
| MD82   | ICAO_B    | 2              | 3        | Accélération | Maxi décollage | T_INT   |                           | 1 360,4                    | 222,9                |                              |
| MD82   | ICAO_B    | 2              | 4        | Montée       | Maxi montée    | T_ZERO  | 3 000                     |                            |                      |                              |
| MD82   | ICAO_B    | 2              | 5        | Accélération | Maxi montée    | T_ZERO  |                           | 1 838,2                    | 250                  |                              |
| MD82   | ICAO_B    | 2              | 6        | Montée       | Maxi montée    | T_ZERO  | 5 500                     |                            |                      |                              |
| MD82   | ICAO_B    | 2              | 7        | Montée       | Maxi montée    | T_ZERO  | 7 500                     |                            |                      |                              |
| MD82   | ICAO_B    | 2              | 8        | Montée       | Maxi montée    | T_ZERO  | 10 000                    |                            |                      |                              |
| MD82   | ICAO_B    | 3              | 1        | Décollage    | Maxi décollage | T_15    |                           |                            |                      |                              |

| ACFTID | ID_Profil | Longueur phase | N° étape | Type étape   | Indice poussée | ID_Flap | Altitude point final (ft) | Vitesse de montée (ft/min) | CAS point final (kt) | Pourcentage_accélération (%) |
|--------|-----------|----------------|----------|--------------|----------------|---------|---------------------------|----------------------------|----------------------|------------------------------|
| MD82   | ICAO_B    | 3              | 2        | Montée       | Maxi décollage | T_15    | 1 000                     |                            |                      |                              |
| MD82   | ICAO_B    | 3              | 3        | Accélération | Maxi décollage | T_INT   |                           | 1 279,8                    | 227,2                |                              |
| MD82   | ICAO_B    | 3              | 4        | Montée       | Maxi montée    | T_ZERO  | 3 000                     |                            |                      |                              |
| MD82   | ICAO_B    | 3              | 5        | Accélération | Maxi montée    | T_ZERO  |                           | 1 732,3                    | 250                  |                              |
| MD82   | ICAO_B    | 3              | 6        | Montée       | Maxi montée    | T_ZERO  | 5 500                     |                            |                      |                              |
| MD82   | ICAO_B    | 3              | 7        | Montée       | Maxi montée    | T_ZERO  | 7 500                     |                            |                      |                              |
| MD82   | ICAO_B    | 3              | 8        | Montée       | Maxi montée    | T_ZERO  | 10 000                    |                            |                      |                              |
| MD82   | ICAO_B    | 4              | 1        | Décollage    | Maxi décollage | T_15    |                           |                            |                      |                              |
| MD82   | ICAO_B    | 4              | 2        | Montée       | Maxi décollage | T_15    | 1 000                     |                            |                      |                              |
| MD82   | ICAO_B    | 4              | 3        | Accélération | Maxi décollage | T_INT   |                           | 1 160,8                    | 233,9                |                              |
| MD82   | ICAO_B    | 4              | 4        | Montée       | Maxi montée    | T_ZERO  | 3 000                     |                            |                      |                              |
| MD82   | ICAO_B    | 4              | 5        | Accélération | Maxi montée    | T_ZERO  |                           | 1 564,9                    | 250                  |                              |
| MD82   | ICAO_B    | 4              | 6        | Montée       | Maxi montée    | T_ZERO  | 5 500                     |                            |                      |                              |
| MD82   | ICAO_B    | 4              | 7        | Montée       | Maxi montée    | T_ZERO  | 7 500                     |                            |                      |                              |
| MD82   | ICAO_B    | 4              | 8        | Montée       | Maxi montée    | T_ZERO  | 10 000                    |                            |                      |                              |
| MD82   | ICAO_B    | 5              | 1        | Décollage    | Maxi décollage | T_15    |                           |                            |                      |                              |
| MD82   | ICAO_B    | 5              | 2        | Montée       | Maxi décollage | T_15    | 1 000                     |                            |                      |                              |
| MD82   | ICAO_B    | 5              | 3        | Accélération | Maxi décollage | T_INT   |                           | 1 131,1                    | 236,1                |                              |
| MD82   | ICAO_B    | 5              | 4        | Montée       | Maxi montée    | T_ZERO  | 3 000                     |                            |                      |                              |
| MD82   | ICAO_B    | 5              | 5        | Accélération | Maxi montée    | T_ZERO  |                           | 1 522,4                    | 250                  |                              |

| ACFTID | ID_Profil | Longueur phase | N° étape | Type étape   | Indice poussée | ID_Flap | Altitude point final (ft) | Vitesse de montée (ft/min) | CAS point final (kt) | Pourcentage accélération (%) |
|--------|-----------|----------------|----------|--------------|----------------|---------|---------------------------|----------------------------|----------------------|------------------------------|
| MD82   | ICAO_B    | 5              | 6        | Montée       | Maxi montée    | T_ZERO  | 5 500                     |                            |                      |                              |
| MD82   | ICAO_B    | 5              | 7        | Montée       | Maxi montée    | T_ZERO  | 7 500                     |                            |                      |                              |
| MD82   | ICAO_B    | 5              | 8        | Montée       | Maxi montée    | T_ZERO  | 10 000                    |                            |                      |                              |
| MD83   | DEFAULT   | 1              | 1        | Décollage    | Maxi décollage | T_15    |                           |                            |                      |                              |
| MD83   | DEFAULT   | 1              | 2        | Montée       | Maxi décollage | T_15    | 1 000                     |                            |                      |                              |
| MD83   | DEFAULT   | 1              | 3        | Accélération | Maxi montée    | T_INT   |                           | 1 319                      | 218,1                |                              |
| MD83   | DEFAULT   | 1              | 4        | Montée       | Maxi montée    | T_ZERO  | 3 000                     |                            |                      |                              |
| MD83   | DEFAULT   | 1              | 5        | Accélération | Maxi montée    | T_ZERO  |                           | 2 033,2                    | 250                  |                              |
| MD83   | DEFAULT   | 1              | 6        | Montée       | Maxi montée    | T_ZERO  | 5 500                     |                            |                      |                              |
| MD83   | DEFAULT   | 1              | 7        | Montée       | Maxi montée    | T_ZERO  | 7 500                     |                            |                      |                              |
| MD83   | DEFAULT   | 1              | 8        | Montée       | Maxi montée    | T_ZERO  | 10 000                    |                            |                      |                              |
| MD83   | DEFAULT   | 2              | 1        | Décollage    | Maxi décollage | T_15    |                           |                            |                      |                              |
| MD83   | DEFAULT   | 2              | 2        | Montée       | Maxi décollage | T_15    | 1 000                     |                            |                      |                              |
| MD83   | DEFAULT   | 2              | 3        | Accélération | Maxi montée    | T_INT   |                           | 1 239,2                    | 222,2                |                              |
| MD83   | DEFAULT   | 2              | 4        | Montée       | Maxi montée    | T_ZERO  | 3 000                     |                            |                      |                              |
| MD83   | DEFAULT   | 2              | 5        | Accélération | Maxi montée    | T_ZERO  |                           | 1 921,8                    | 250                  |                              |
| MD83   | DEFAULT   | 2              | 6        | Montée       | Maxi montée    | T_ZERO  | 5 500                     |                            |                      |                              |
| MD83   | DEFAULT   | 2              | 7        | Montée       | Maxi montée    | T_ZERO  | 7 500                     |                            |                      |                              |
| MD83   | DEFAULT   | 2              | 8        | Montée       | Maxi montée    | T_ZERO  | 10 000                    |                            |                      |                              |
| MD83   | DEFAULT   | 3              | 1        | Décollage    | Maxi décollage | T_15    |                           |                            |                      |                              |

| ACFTID | ID_Profil | Longueur phase | N° étape | Type étape   | Indice poussée | ID_Flap | Altitude point final (ft) | Vitesse de montée (ft/min) | CAS point final (kt) | Pourcentage_accélération (%) |
|--------|-----------|----------------|----------|--------------|----------------|---------|---------------------------|----------------------------|----------------------|------------------------------|
| MD83   | DEFAULT   | 3              | 2        | Montée       | Maxi décollage | T_15    | 1 000                     |                            |                      |                              |
| MD83   | DEFAULT   | 3              | 3        | Accélération | Maxi montée    | T_INT   |                           | 1 158,7                    | 226,6                |                              |
| MD83   | DEFAULT   | 3              | 4        | Montée       | Maxi montée    | T_ZERO  | 3 000                     |                            |                      |                              |
| MD83   | DEFAULT   | 3              | 5        | Accélération | Maxi montée    | T_ZERO  |                           | 1 810                      | 250                  |                              |
| MD83   | DEFAULT   | 3              | 6        | Montée       | Maxi montée    | T_ZERO  | 5 500                     |                            |                      |                              |
| MD83   | DEFAULT   | 3              | 7        | Montée       | Maxi montée    | T_ZERO  | 7 500                     |                            |                      |                              |
| MD83   | DEFAULT   | 3              | 8        | Montée       | Maxi montée    | T_ZERO  | 10 000                    |                            |                      |                              |
| MD83   | DEFAULT   | 4              | 1        | Décollage    | Maxi décollage | T_15    |                           |                            |                      |                              |
| MD83   | DEFAULT   | 4              | 2        | Montée       | Maxi décollage | T_15    | 1 000                     |                            |                      |                              |
| MD83   | DEFAULT   | 4              | 3        | Accélération | Maxi montée    | T_INT   |                           | 1 049,7                    | 233,6                |                              |
| MD83   | DEFAULT   | 4              | 4        | Montée       | Maxi montée    | T_ZERO  | 3 000                     |                            |                      |                              |
| MD83   | DEFAULT   | 4              | 5        | Accélération | Maxi montée    | T_ZERO  |                           | 1 649                      | 250                  |                              |
| MD83   | DEFAULT   | 4              | 6        | Montée       | Maxi montée    | T_ZERO  | 5 500                     |                            |                      |                              |
| MD83   | DEFAULT   | 4              | 7        | Montée       | Maxi montée    | T_ZERO  | 7 500                     |                            |                      |                              |
| MD83   | DEFAULT   | 4              | 8        | Montée       | Maxi montée    | T_ZERO  | 10 000                    |                            |                      |                              |
| MD83   | DEFAULT   | 5              | 1        | Décollage    | Maxi décollage | T_15    |                           |                            |                      |                              |
| MD83   | DEFAULT   | 5              | 2        | Montée       | Maxi décollage | T_15    | 1 000                     |                            |                      |                              |
| MD83   | DEFAULT   | 5              | 3        | Accélération | Maxi montée    | T_INT   |                           | 929,7                      | 241,3                |                              |
| MD83   | DEFAULT   | 5              | 4        | Montée       | Maxi montée    | T_ZERO  | 3 000                     |                            |                      |                              |
| MD83   | DEFAULT   | 5              | 5        | Accélération | Maxi montée    | T_ZERO  |                           | 1 482,4                    | 250                  |                              |

| ACFTID | ID_Profil | Longueur phase | N° étape | Type étape   | Indice poussée | ID_Flap | Altitude point final (ft) | Vitesse de montée (ft/min) | CAS point final (kt) | Pourcentage accélération (%) |
|--------|-----------|----------------|----------|--------------|----------------|---------|---------------------------|----------------------------|----------------------|------------------------------|
| MD83   | DEFAULT   | 5              | 6        | Montée       | Maxi montée    | T_ZERO  | 5 500                     |                            |                      |                              |
| MD83   | DEFAULT   | 5              | 7        | Montée       | Maxi montée    | T_ZERO  | 7 500                     |                            |                      |                              |
| MD83   | DEFAULT   | 5              | 8        | Montée       | Maxi montée    | T_ZERO  | 10 000                    |                            |                      |                              |
| MD83   | ICAO_A    | 1              | 1        | Décollage    | Maxi décollage | T_15    |                           |                            |                      |                              |
| MD83   | ICAO_A    | 1              | 2        | Montée       | Maxi décollage | T_15    | 1 500                     |                            |                      |                              |
| MD83   | ICAO_A    | 1              | 3        | Montée       | Maxi montée    | T_15    | 3 000                     |                            |                      |                              |
| MD83   | ICAO_A    | 1              | 4        | Accélération | Maxi montée    | T_INT   |                           | 1 269,6                    | 250                  |                              |
| MD83   | ICAO_A    | 1              | 5        | Montée       | Maxi montée    | T_ZERO  | 5 500                     |                            |                      |                              |
| MD83   | ICAO_A    | 1              | 6        | Montée       | Maxi montée    | T_ZERO  | 7 500                     |                            |                      |                              |
| MD83   | ICAO_A    | 1              | 7        | Montée       | Maxi montée    | T_ZERO  | 10 000                    |                            |                      |                              |
| MD83   | ICAO_A    | 2              | 1        | Décollage    | Maxi décollage | T_15    |                           |                            |                      |                              |
| MD83   | ICAO_A    | 2              | 2        | Montée       | Maxi décollage | T_15    | 1 500                     |                            |                      |                              |
| MD83   | ICAO_A    | 2              | 3        | Montée       | Maxi montée    | T_15    | 3 000                     |                            |                      |                              |
| MD83   | ICAO_A    | 2              | 4        | Accélération | Maxi montée    | T_INT   |                           | 1 188,7                    | 250                  |                              |
| MD83   | ICAO_A    | 2              | 5        | Montée       | Maxi montée    | T_ZERO  | 5 500                     |                            |                      |                              |
| MD83   | ICAO_A    | 2              | 6        | Montée       | Maxi montée    | T_ZERO  | 7 500                     |                            |                      |                              |
| MD83   | ICAO_A    | 2              | 7        | Montée       | Maxi montée    | T_ZERO  | 10 000                    |                            |                      |                              |
| MD83   | ICAO_A    | 3              | 1        | Décollage    | Maxi décollage | T_15    |                           |                            |                      |                              |
| MD83   | ICAO_A    | 3              | 2        | Montée       | Maxi décollage | T_15    | 1 500                     |                            |                      |                              |
| MD83   | ICAO_A    | 3              | 3        | Montée       | Maxi montée    | T_15    | 3 000                     |                            |                      |                              |

| ACFTID | ID_Profil | Longueur phase | N° étape | Type étape   | Indice poussée | ID_Flap | Altitude point final (ft) | Vitesse de montée (ft/min) | CAS point final (kt) | Pourcentage accélération (%) |
|--------|-----------|----------------|----------|--------------|----------------|---------|---------------------------|----------------------------|----------------------|------------------------------|
| MD83   | ICAO_A    | 3              | 4        | Accélération | Maxi montée    | T_INT   |                           | 1 109,5                    | 250                  |                              |
| MD83   | ICAO_A    | 3              | 5        | Montée       | Maxi montée    | T_ZERO  | 5 500                     |                            |                      |                              |
| MD83   | ICAO_A    | 3              | 6        | Montée       | Maxi montée    | T_ZERO  | 7 500                     |                            |                      |                              |
| MD83   | ICAO_A    | 3              | 7        | Montée       | Maxi montée    | T_ZERO  | 10 000                    |                            |                      |                              |
| MD83   | ICAO_A    | 4              | 1        | Décollage    | Maxi décollage | T_15    |                           |                            |                      |                              |
| MD83   | ICAO_A    | 4              | 2        | Montée       | Maxi décollage | T_15    | 1 500                     |                            |                      |                              |
| MD83   | ICAO_A    | 4              | 3        | Montée       | Maxi montée    | T_15    | 3 000                     |                            |                      |                              |
| MD83   | ICAO_A    | 4              | 4        | Accélération | Maxi montée    | T_INT   |                           | 989,8                      | 250                  |                              |
| MD83   | ICAO_A    | 4              | 5        | Montée       | Maxi montée    | T_ZERO  | 5 500                     |                            |                      |                              |
| MD83   | ICAO_A    | 4              | 6        | Montée       | Maxi montée    | T_ZERO  | 7 500                     |                            |                      |                              |
| MD83   | ICAO_A    | 4              | 7        | Montée       | Maxi montée    | T_ZERO  | 10 000                    |                            |                      |                              |
| MD83   | ICAO_A    | 5              | 1        | Décollage    | Maxi décollage | T_15    |                           |                            |                      |                              |
| MD83   | ICAO_A    | 5              | 2        | Montée       | Maxi décollage | T_15    | 1 500                     |                            |                      |                              |
| MD83   | ICAO_A    | 5              | 3        | Montée       | Maxi montée    | T_15    | 3 000                     |                            |                      |                              |
| MD83   | ICAO_A    | 5              | 4        | Accélération | Maxi montée    | T_INT   |                           | 880,1                      | 250                  |                              |
| MD83   | ICAO_A    | 5              | 5        | Montée       | Maxi montée    | T_ZERO  | 5 500                     |                            |                      |                              |
| MD83   | ICAO_A    | 5              | 6        | Montée       | Maxi montée    | T_ZERO  | 7 500                     |                            |                      |                              |
| MD83   | ICAO_A    | 5              | 7        | Montée       | Maxi montée    | T_ZERO  | 10 000                    |                            |                      |                              |
| MD83   | ICAO_B    | 1              | 1        | Décollage    | Maxi décollage | T_15    |                           |                            |                      |                              |
| MD83   | ICAO_B    | 1              | 2        | Montée       | Maxi décollage | T_15    | 1 000                     |                            |                      |                              |

| ACFTID | ID_Profil | Longueur phase | N° étape | Type étape   | Indice poussée | ID_Flap | Altitude point final (ft) | Vitesse de montée (ft/min) | CAS point final (kt) | Pourcentage_accélération (%) |
|--------|-----------|----------------|----------|--------------|----------------|---------|---------------------------|----------------------------|----------------------|------------------------------|
| MD83   | ICAO_B    | 1              | 3        | Accélération | Maxi décollage | T_INT   |                           | 1 546,8                    | 221,1                |                              |
| MD83   | ICAO_B    | 1              | 4        | Montée       | Maxi montée    | T_ZERO  | 3 000                     |                            |                      |                              |
| MD83   | ICAO_B    | 1              | 5        | Accélération | Maxi montée    | T_ZERO  |                           | 2 056,2                    | 250                  |                              |
| MD83   | ICAO_B    | 1              | 6        | Montée       | Maxi montée    | T_ZERO  | 5 500                     |                            |                      |                              |
| MD83   | ICAO_B    | 1              | 7        | Montée       | Maxi montée    | T_ZERO  | 7 500                     |                            |                      |                              |
| MD83   | ICAO_B    | 1              | 8        | Montée       | Maxi montée    | T_ZERO  | 10 000                    |                            |                      |                              |
| MD83   | ICAO_B    | 2              | 1        | Décollage    | Maxi décollage | T_15    |                           |                            |                      |                              |
| MD83   | ICAO_B    | 2              | 2        | Montée       | Maxi décollage | T_15    | 1 000                     |                            |                      |                              |
| MD83   | ICAO_B    | 2              | 3        | Accélération | Maxi décollage | T_INT   |                           | 1 462                      | 225,1                |                              |
| MD83   | ICAO_B    | 2              | 4        | Montée       | Maxi montée    | T_ZERO  | 3 000                     |                            |                      |                              |
| MD83   | ICAO_B    | 2              | 5        | Accélération | Maxi montée    | T_ZERO  |                           | 1 941,6                    | 250                  |                              |
| MD83   | ICAO_B    | 2              | 6        | Montée       | Maxi montée    | T_ZERO  | 5 500                     |                            |                      |                              |
| MD83   | ICAO_B    | 2              | 7        | Montée       | Maxi montée    | T_ZERO  | 7 500                     |                            |                      |                              |
| MD83   | ICAO_B    | 2              | 8        | Montée       | Maxi montée    | T_ZERO  | 10 000                    |                            |                      |                              |
| MD83   | ICAO_B    | 3              | 1        | Décollage    | Maxi décollage | T_15    |                           |                            |                      |                              |
| MD83   | ICAO_B    | 3              | 2        | Montée       | Maxi décollage | T_15    | 1 000                     |                            |                      |                              |
| MD83   | ICAO_B    | 3              | 3        | Accélération | Maxi décollage | T_INT   |                           | 1 376,3                    | 229,2                |                              |
| MD83   | ICAO_B    | 3              | 4        | Montée       | Maxi montée    | T_ZERO  | 3 000                     |                            |                      |                              |
| MD83   | ICAO_B    | 3              | 5        | Accélération | Maxi montée    | T_ZERO  |                           | 1 837,5                    | 250                  |                              |
| MD83   | ICAO_B    | 3              | 6        | Montée       | Maxi montée    | T_ZERO  | 5 500                     |                            |                      |                              |

| ACFTID | ID_Profil | Longueur phase | N° étape | Type étape   | Indice poussée | ID_Flap | Altitude point final (ft) | Vitesse de montée (ft/min) | CAS point final (kt) | Pourcentage accélération (%) |
|--------|-----------|----------------|----------|--------------|----------------|---------|---------------------------|----------------------------|----------------------|------------------------------|
| MD83   | ICAO_B    | 3              | 7        | Montée       | Maxi montée    | T_ZERO  | 7 500                     |                            |                      |                              |
| MD83   | ICAO_B    | 3              | 8        | Montée       | Maxi montée    | T_ZERO  | 10 000                    |                            |                      |                              |
| MD83   | ICAO_B    | 4              | 1        | Décollage    | Maxi décollage | T_15    |                           |                            |                      |                              |
| MD83   | ICAO_B    | 4              | 2        | Montée       | Maxi décollage | T_15    | 1 000                     |                            |                      |                              |
| MD83   | ICAO_B    | 4              | 3        | Accélération | Maxi décollage | T_INT   |                           | 1 249,5                    | 236,1                |                              |
| MD83   | ICAO_B    | 4              | 4        | Montée       | Maxi montée    | T_ZERO  | 3 000                     |                            |                      |                              |
| MD83   | ICAO_B    | 4              | 5        | Accélération | Maxi montée    | T_ZERO  |                           | 1 671,1                    | 250                  |                              |
| MD83   | ICAO_B    | 4              | 6        | Montée       | Maxi montée    | T_ZERO  | 5 500                     |                            |                      |                              |
| MD83   | ICAO_B    | 4              | 7        | Montée       | Maxi montée    | T_ZERO  | 7 500                     |                            |                      |                              |
| MD83   | ICAO_B    | 4              | 8        | Montée       | Maxi montée    | T_ZERO  | 10 000                    |                            |                      |                              |
| MD83   | ICAO_B    | 5              | 1        | Décollage    | Maxi décollage | T_15    |                           |                            |                      |                              |
| MD83   | ICAO_B    | 5              | 2        | Montée       | Maxi décollage | T_15    | 1 000                     |                            |                      |                              |
| MD83   | ICAO_B    | 5              | 3        | Accélération | Maxi décollage | T_INT   |                           | 1 130,3                    | 243,6                |                              |
| MD83   | ICAO_B    | 5              | 4        | Montée       | Maxi montée    | T_ZERO  | 3 000                     |                            |                      |                              |
| MD83   | ICAO_B    | 5              | 5        | Accélération | Maxi montée    | T_ZERO  |                           | 1 504,9                    | 250                  |                              |
| MD83   | ICAO_B    | 5              | 6        | Montée       | Maxi montée    | T_ZERO  | 5 500                     |                            |                      |                              |
| MD83   | ICAO_B    | 5              | 7        | Montée       | Maxi montée    | T_ZERO  | 7 500                     |                            |                      |                              |
| MD83   | ICAO_B    | 5              | 8        | Montée       | Maxi montée    | T_ZERO  | 10 000                    |                            |                      |                              |
| MD9025 | DEFAULT   | 1              | 1        | Décollage    | Maxi décollage | EXT/11  |                           |                            |                      |                              |
| MD9025 | DEFAULT   | 1              | 2        | Montée       | Maxi décollage | EXT/11  | 1 000                     |                            |                      |                              |

| ACFTID | ID_Profil | Longueur phase | N° étape | Type étape   | Indice poussée | ID_Flap | Altitude point final (ft) | Vitesse de montée (ft/min) | CAS point final (kt) | Pourcentage_accélération (%) |
|--------|-----------|----------------|----------|--------------|----------------|---------|---------------------------|----------------------------|----------------------|------------------------------|
| MD9025 | DEFAULT   | 1              | 3        | Accélération | Maxi décollage | RET/0   |                           | 2 280                      | 194                  |                              |
| MD9025 | DEFAULT   | 1              | 4        | Montée       | Maxi montée    | RET/0   | 3 000                     |                            |                      |                              |
| MD9025 | DEFAULT   | 1              | 5        | Accélération | Maxi montée    | RET/0   |                           | 1 000                      | 250                  |                              |
| MD9025 | DEFAULT   | 1              | 6        | Montée       | Maxi montée    | RET/0   | 10 000                    |                            |                      |                              |
| MD9025 | DEFAULT   | 2              | 1        | Décollage    | Maxi décollage | EXT/11  |                           |                            |                      |                              |
| MD9025 | DEFAULT   | 2              | 2        | Montée       | Maxi décollage | EXT/11  | 1 000                     |                            |                      |                              |
| MD9025 | DEFAULT   | 2              | 3        | Accélération | Maxi décollage | RET/0   |                           | 2 150                      | 193                  |                              |
| MD9025 | DEFAULT   | 2              | 4        | Montée       | Maxi montée    | RET/0   | 3 000                     |                            |                      |                              |
| MD9025 | DEFAULT   | 2              | 5        | Accélération | Maxi montée    | RET/0   |                           | 1 000                      | 250                  |                              |
| MD9025 | DEFAULT   | 2              | 6        | Montée       | Maxi montée    | RET/0   | 10 000                    |                            |                      |                              |
| MD9025 | DEFAULT   | 3              | 1        | Décollage    | Maxi décollage | EXT/11  |                           |                            |                      |                              |
| MD9025 | DEFAULT   | 3              | 2        | Montée       | Maxi décollage | EXT/11  | 1 000                     |                            |                      |                              |
| MD9025 | DEFAULT   | 3              | 3        | Accélération | Maxi décollage | RET/0   |                           | 2 031                      | 192                  |                              |
| MD9025 | DEFAULT   | 3              | 4        | Montée       | Maxi montée    | RET/0   | 3 000                     |                            |                      |                              |
| MD9025 | DEFAULT   | 3              | 5        | Accélération | Maxi montée    | RET/0   |                           | 1 000                      | 250                  |                              |
| MD9025 | DEFAULT   | 3              | 6        | Montée       | Maxi montée    | RET/0   | 10 000                    |                            |                      |                              |
| MD9025 | DEFAULT   | 4              | 1        | Décollage    | Maxi décollage | EXT/11  |                           |                            |                      |                              |
| MD9025 | DEFAULT   | 4              | 2        | Montée       | Maxi décollage | EXT/11  | 1 000                     |                            |                      |                              |
| MD9025 | DEFAULT   | 4              | 3        | Accélération | Maxi décollage | RET/0   |                           | 1 916                      | 191                  |                              |
| MD9025 | DEFAULT   | 4              | 4        | Montée       | Maxi montée    | RET/0   | 3 000                     |                            |                      |                              |

| ACFTID | ID_Profil | Longueur phase | N° étape | Type étape   | Indice poussée | ID_Flap | Altitude point final (ft) | Vitesse de montée (ft/min) | CAS point final (kt) | Pourcentage_accélération (%) |
|--------|-----------|----------------|----------|--------------|----------------|---------|---------------------------|----------------------------|----------------------|------------------------------|
| MD9025 | DEFAULT   | 4              | 5        | Accélération | Maxi montée    | RET/0   |                           | 1 000                      | 250                  |                              |
| MD9025 | DEFAULT   | 4              | 6        | Montée       | Maxi montée    | RET/0   | 10 000                    |                            |                      |                              |
| MD9025 | DEFAULT   | 5              | 1        | Décollage    | Maxi décollage | EXT/11  |                           |                            |                      |                              |
| MD9025 | DEFAULT   | 5              | 2        | Montée       | Maxi décollage | EXT/11  | 1 000                     |                            |                      |                              |
| MD9025 | DEFAULT   | 5              | 3        | Accélération | Maxi décollage | RET/0   |                           | 1 840                      | 190                  |                              |
| MD9025 | DEFAULT   | 5              | 4        | Montée       | Maxi montée    | RET/0   | 3 000                     |                            |                      |                              |
| MD9025 | DEFAULT   | 5              | 5        | Accélération | Maxi montée    | RET/0   |                           | 1 000                      | 250                  |                              |
| MD9025 | DEFAULT   | 5              | 6        | Montée       | Maxi montée    | RET/0   | 10 000                    |                            |                      |                              |
| MD9028 | DEFAULT   | 1              | 1        | Décollage    | Maxi décollage | EXT/11  |                           |                            |                      |                              |
| MD9028 | DEFAULT   | 1              | 2        | Montée       | Maxi décollage | EXT/11  | 1 000                     |                            |                      |                              |
| MD9028 | DEFAULT   | 1              | 3        | Accélération | Maxi décollage | RET/0   |                           | 2 666                      | 196                  |                              |
| MD9028 | DEFAULT   | 1              | 4        | Montée       | Maxi montée    | RET/0   | 3 000                     |                            |                      |                              |
| MD9028 | DEFAULT   | 1              | 5        | Accélération | Maxi montée    | RET/0   |                           | 1 000                      | 250                  |                              |
| MD9028 | DEFAULT   | 1              | 6        | Montée       | Maxi montée    | RET/0   | 10 000                    |                            |                      |                              |
| MD9028 | DEFAULT   | 2              | 1        | Décollage    | Maxi décollage | EXT/11  |                           |                            |                      |                              |
| MD9028 | DEFAULT   | 2              | 2        | Montée       | Maxi décollage | EXT/11  | 1 000                     |                            |                      |                              |
| MD9028 | DEFAULT   | 2              | 3        | Accélération | Maxi décollage | RET/0   |                           | 2 525                      | 194                  |                              |
| MD9028 | DEFAULT   | 2              | 4        | Montée       | Maxi montée    | RET/0   | 3 000                     |                            |                      |                              |
| MD9028 | DEFAULT   | 2              | 5        | Accélération | Maxi montée    | RET/0   |                           | 1 000                      | 250                  |                              |
| MD9028 | DEFAULT   | 2              | 6        | Montée       | Maxi montée    | RET/0   | 10 000                    |                            |                      |                              |

| ACFTID | ID_Profil | Longueur phase | N° étape | Type étape   | Indice poussée | ID_Flap | Altitude point final (ft) | Vitesse de montée (ft/min) | CAS point final (kt) | Pourcentage_accélération (%) |
|--------|-----------|----------------|----------|--------------|----------------|---------|---------------------------|----------------------------|----------------------|------------------------------|
| MD9028 | DEFAULT   | 3              | 1        | Décollage    | Maxi décollage | EXT/11  |                           |                            |                      |                              |
| MD9028 | DEFAULT   | 3              | 2        | Montée       | Maxi décollage | EXT/11  | 1 000                     |                            |                      |                              |
| MD9028 | DEFAULT   | 3              | 3        | Accélération | Maxi décollage | RET/0   |                           | 2 391                      | 193                  |                              |
| MD9028 | DEFAULT   | 3              | 4        | Montée       | Maxi montée    | RET/0   | 3 000                     |                            |                      |                              |
| MD9028 | DEFAULT   | 3              | 5        | Accélération | Maxi montée    | RET/0   |                           | 1 000                      | 250                  |                              |
| MD9028 | DEFAULT   | 3              | 6        | Montée       | Maxi montée    | RET/0   | 10 000                    |                            |                      |                              |
| MD9028 | DEFAULT   | 4              | 1        | Décollage    | Maxi décollage | EXT/11  |                           |                            |                      |                              |
| MD9028 | DEFAULT   | 4              | 2        | Montée       | Maxi décollage | EXT/11  | 1 000                     |                            |                      |                              |
| MD9028 | DEFAULT   | 4              | 3        | Accélération | Maxi décollage | RET/0   |                           | 2 263                      | 192                  |                              |
| MD9028 | DEFAULT   | 4              | 4        | Montée       | Maxi montée    | RET/0   | 3 000                     |                            |                      |                              |
| MD9028 | DEFAULT   | 4              | 5        | Accélération | Maxi montée    | RET/0   |                           | 1 000                      | 250                  |                              |
| MD9028 | DEFAULT   | 4              | 6        | Montée       | Maxi montée    | RET/0   | 10 000                    |                            |                      |                              |
| MD9028 | DEFAULT   | 5              | 1        | Décollage    | Maxi décollage | EXT/11  |                           |                            |                      |                              |
| MD9028 | DEFAULT   | 5              | 2        | Montée       | Maxi décollage | EXT/11  | 1 000                     |                            |                      |                              |
| MD9028 | DEFAULT   | 5              | 3        | Accélération | Maxi décollage | RET/0   |                           | 2 180                      | 189                  |                              |
| MD9028 | DEFAULT   | 5              | 4        | Montée       | Maxi montée    | RET/0   | 3 000                     |                            |                      |                              |
| MD9028 | DEFAULT   | 5              | 5        | Accélération | Maxi montée    | RET/0   |                           | 1 000                      | 250                  |                              |
| MD9028 | DEFAULT   | 5              | 6        | Montée       | Maxi montée    | RET/0   | 10 000                    |                            |                      |                              |
| MU3001 | DEFAULT   | 1              | 1        | Décollage    | Maxi décollage | 10      |                           |                            |                      |                              |
| MU3001 | DEFAULT   | 1              | 2        | Accélération | Maxi décollage | 10      |                           | 1 130                      | 142                  |                              |

| ACFTID | ID_Profil | Longueur phase | N° étape | Type étape   | Indice poussée | ID_Flap | Altitude point final (ft) | Vitesse de montée (ft/min) | CAS point final (kt) | Pourcentage_accélération (%) |
|--------|-----------|----------------|----------|--------------|----------------|---------|---------------------------|----------------------------|----------------------|------------------------------|
| MU3001 | DEFAULT   | 1              | 3        | Montée       | Maxi décollage | 1       | 1 500                     |                            |                      |                              |
| MU3001 | DEFAULT   | 1              | 4        | Accélération | Maxi décollage | 1       |                           | 1 130                      | 200                  |                              |
| MU3001 | DEFAULT   | 1              | 5        | Montée       | Maxi montée    | ZERO    | 3 000                     |                            |                      |                              |
| MU3001 | DEFAULT   | 1              | 6        | Accélération | Maxi montée    | ZERO    |                           | 1 555                      | 250                  |                              |
| MU3001 | DEFAULT   | 1              | 7        | Montée       | Maxi montée    | ZERO    | 5 500                     |                            |                      |                              |
| MU3001 | DEFAULT   | 1              | 8        | Montée       | Maxi montée    | ZERO    | 7 500                     |                            |                      |                              |
| MU3001 | DEFAULT   | 1              | 9        | Montée       | Maxi montée    | ZERO    | 10 000                    |                            |                      |                              |
| PA30   | DEFAULT   | 1              | 1        | Décollage    | Maxi décollage | 15-D    |                           |                            |                      |                              |
| PA30   | DEFAULT   | 1              | 2        | Accélération | Maxi décollage | 15-D    |                           | 415                        | 79                   |                              |
| PA30   | DEFAULT   | 1              | 3        | Accélération | Maxi décollage | 15-D    |                           | 500                        | 113                  |                              |
| PA30   | DEFAULT   | 1              | 4        | Montée       | Maxi décollage | ZERO-D  | 1 500                     |                            |                      |                              |
| PA30   | DEFAULT   | 1              | 5        | Montée       | Maxi décollage | ZERO-D  | 3 000                     |                            |                      |                              |
| PA30   | DEFAULT   | 1              | 6        | Montée       | Maxi montée    | ZERO-D  | 5 500                     |                            |                      |                              |
| PA30   | DEFAULT   | 1              | 7        | Montée       | Maxi montée    | ZERO-D  | 7 500                     |                            |                      |                              |
| PA30   | DEFAULT   | 1              | 8        | Montée       | Maxi montée    | ZERO-D  | 10 000                    |                            |                      |                              |
| PA42   | DEFAULT   | 1              | 1        | Décollage    | Maxi décollage | ZER-DN  |                           |                            |                      |                              |
| PA42   | DEFAULT   | 1              | 2        | Accélération | Maxi décollage | ZER-DN  |                           | 1 000                      | 118                  |                              |
| PA42   | DEFAULT   | 1              | 3        | Montée       | Maxi décollage | ZER-DN  | 1 000                     |                            |                      |                              |
| PA42   | DEFAULT   | 1              | 4        | Accélération | Maxi montée    | ZERO    |                           | 1 000                      | 154                  |                              |
| PA42   | DEFAULT   | 1              | 5        | Montée       | Maxi montée    | ZERO    | 3 000                     |                            |                      |                              |

| ACFTID | ID_Profil | Longueur phase | N° étape | Type étape   | Indice poussée | ID_Flap | Altitude point final (ft) | Vitesse de montée (ft/min) | CAS point final (kt) | Pourcentage_accélération (%) |
|--------|-----------|----------------|----------|--------------|----------------|---------|---------------------------|----------------------------|----------------------|------------------------------|
| PA42   | DEFAULT   | 1              | 6        | Montée       | Maxi montée    | ZERO    | 4 000                     |                            |                      |                              |
| PA42   | DEFAULT   | 1              | 7        | Montée       | Maxi montée    | ZERO    | 6 000                     |                            |                      |                              |
| PA42   | DEFAULT   | 1              | 8        | Montée       | Maxi montée    | ZERO    | 8 000                     |                            |                      |                              |
| PA42   | DEFAULT   | 1              | 9        | Montée       | Maxi montée    | ZERO    | 10 000                    |                            |                      |                              |
| SD330  | DEFAULT   | 1              | 1        | Décollage    | Maxi décollage | 10      |                           |                            |                      |                              |
| SD330  | DEFAULT   | 1              | 2        | Montée       | Maxi décollage | 10      | 1 000                     |                            |                      |                              |
| SD330  | DEFAULT   | 1              | 3        | Accélération | Maxi décollage | 10      |                           | 971                        | 117                  |                              |
| SD330  | DEFAULT   | 1              | 4        | Accélération | Maxi montée    | INTR    |                           | 728                        | 137                  |                              |
| SD330  | DEFAULT   | 1              | 5        | Montée       | Maxi montée    | ZERO    | 3 000                     |                            |                      |                              |
| SD330  | DEFAULT   | 1              | 6        | Montée       | Maxi montée    | ZERO    | 5 500                     |                            |                      |                              |
| SD330  | DEFAULT   | 1              | 7        | Montée       | Maxi montée    | ZERO    | 7 500                     |                            |                      |                              |
| SD330  | DEFAULT   | 1              | 8        | Montée       | Maxi montée    | ZERO    | 10 000                    |                            |                      |                              |
| SF340  | DEFAULT   | 1              | 1        | Décollage    | Maxi décollage | 15      |                           |                            |                      |                              |
| SF340  | DEFAULT   | 1              | 2        | Montée       | Maxi décollage | 15      | 1 000                     |                            |                      |                              |
| SF340  | DEFAULT   | 1              | 3        | Accélération | Maxi décollage | 15      |                           | 1 821                      | 127                  |                              |
| SF340  | DEFAULT   | 1              | 4        | Accélération | Maxi montée    | 5       |                           | 1 366                      | 147                  |                              |
| SF340  | DEFAULT   | 1              | 5        | Montée       | Maxi montée    | ZERO    | 3 000                     |                            |                      |                              |
| SF340  | DEFAULT   | 1              | 6        | Montée       | Maxi montée    | ZERO    | 5 500                     |                            |                      |                              |
| SF340  | DEFAULT   | 1              | 7        | Montée       | Maxi montée    | ZERO    | 7 500                     |                            |                      |                              |
| SF340  | DEFAULT   | 1              | 8        | Montée       | Maxi montée    | ZERO    | 10 000                    |                            |                      |                              |

| ACFTID | ID_Profil | Longueur phase | N° étape | Type étape   | Indice poussée | ID_Flap | Altitude point final (ft) | Vitesse de montée (ft/min) | CAS point final (kt) | Pourcentage_accélération (%) |
|--------|-----------|----------------|----------|--------------|----------------|---------|---------------------------|----------------------------|----------------------|------------------------------|
| SF340  | DEFAULT   | 2              | 1        | Décollage    | Maxi décollage | 15      |                           |                            |                      |                              |
| SF340  | DEFAULT   | 2              | 2        | Montée       | Maxi décollage | 15      | 1 000                     |                            |                      |                              |
| SF340  | DEFAULT   | 2              | 3        | Accélération | Maxi décollage | 15      |                           | 1 450                      | 133                  |                              |
| SF340  | DEFAULT   | 2              | 4        | Accélération | Maxi montée    | 5       |                           | 1 088                      | 153                  |                              |
| SF340  | DEFAULT   | 2              | 5        | Montée       | Maxi montée    | ZERO    | 3 000                     |                            |                      |                              |
| SF340  | DEFAULT   | 2              | 6        | Montée       | Maxi montée    | ZERO    | 5 500                     |                            |                      |                              |
| SF340  | DEFAULT   | 2              | 7        | Montée       | Maxi montée    | ZERO    | 7 500                     |                            |                      |                              |
| SF340  | DEFAULT   | 2              | 8        | Montée       | Maxi montée    | ZERO    | 10 000                    |                            |                      |                              |

Tableau I-5

## Profils points fixes par défaut

| ACFTID | Description              | Type moteur      | Nb moteurs | Classe de poids | Catégorie propriétaire | MGTOW (lb) | MGLW (lb) | Dist max atterrissage | Poussée statique max au niveau de la mer (lb) | Chapitre bruit | NPD_ID | Paramètre puissance | ID classe spectrale approche | ID classe spectrale départ | Identifiant directivité latérale |
|--------|--------------------------|------------------|------------|-----------------|------------------------|------------|-----------|-----------------------|---|----------------|--------|---------------------|------------------------------|----------------------------|----------------------------------|
| 1900D  | Beech 1900D/PT6A67       | Turbo-propulseur | 2          | Grand           | Commercial             | 16 950     | 14 940    | 1 696                 | 3 367   | 1              | PT6A67 | CNT (lb)            | 213                          | 109                        | Hélice                           |
| 707    | Boeing 707-120/JT3C      | Jet              | 4          | Lourd           | Commercial             | 302 400    | 188 900   | 6 682                 | 10 120  | 1              | JT4A   | CNT (lb)            | 208                          | 107                        | Voilure                          |
| 707120 | Boeing 707-120B/JT3D-3   | Jet              | 4          | Lourd           | Commercial             | 302 400    | 188 900   | 6 893                 | 14 850  | 1              | JT3D   | CNT (lb)            | 208                          | 107                        | Voilure                          |
| 707320 | Boeing 707-320B/JT3D-7   | Jet              | 4          | Lourd           | Commercial             | 334 000    | 247 000   | 5 622                 | 19 000  | 1              | JT3D   | CNT (lb)            | 208                          | 107                        | Voilure                          |
| 707QN  | Boeing 707-320B/JT3D-7QN | Jet              | 4          | Lourd           | Commercial             | 334 000    | 247 000   | 5 622                 | 19 000  | 2              | JT3DQ  | CNT (lb)            | 208                          | 106                        | Voilure                          |
| 717200 | Boeing 717-200/BR 715    | Jet              | 2          | Grand           | Commercial             | 121 000    | 110 000   | 4 600                 | 18 000  | 3              | BR715  | CNT (lb)            | 203                          | 105                        | Fuselage                         |
| 720    | Boeing 720/JT3C          | Jet              | 4          | Grand           | Commercial             | 223 500    | 155 600   | 4 871                 | 10 120  | 1              | JT4A   | CNT (lb)            | 208                          | 107                        | Voilure                          |
| 720B   | Boeing 720B/JT3D-3       | Jet              | 4          | Grand           | Commercial             | 234 000    | 175 000   | 5 717                 | 18 000  | 1              | JT3D   | CNT (lb)            | 208                          | 107                        | Voilure                          |
| 727100 | Boeing 727-100/JT8D-7    | Jet              | 3          | Grand           | Commercial             | 169 500    | 142 500   | 4 867                 | 14 000  | 1              | 3JT8D  | CNT (lb)            | 201                          | 101                        | Fuselage                         |
| 727200 | Boeing 727-200/JT8D-7    | Jet              | 3          | Grand           | Commercial             | 217 600    | 163 300   | 5 571                 | 11 895  | 1              | 3JT8D  | CNT (lb)            | 201                          | 101                        | Fuselage                         |
| 727D15 | Boeing 727-200/JT8D-15   | Jet              | 3          | Grand           | Commercial             | 208 000    | 169 000   | 4 922                 | 15 500  | 1              | 3JT8D  | CNT (lb)            | 201                          | 101                        | Fuselage                         |
| 727D17 | Boeing 727-200/JT8D-17   | Jet              | 3          | Grand           | Commercial             | 208 000    | 169 000   | 5 444                 | 16 000  | 2              | 3JT8DQ | CNT (lb)            | 201                          | 101                        | Fuselage                         |
| 727EM1 | FEDX 727-100/JT8D-7      | Jet              | 3          | Grand           | Commercial             | 169 500    | 142 500   | 4 867                 | 14 000  | 3              | 3JT8E7 | CNT (lb)            | 201                          | 101                        | Fuselage                         |

| ACFTID | Description               | Type moteur | Nb moteurs | Classe de poids | Catégorie propriétaire | MGTOW (lb) | MGLW (lb) | Dist max atterrissage | Poussée statique max au niveau de la mer (lb) | Chapitre bruit | NPD_ID | Paramètre puissance | ID classe spectrale approche | ID classe spectrale départ | Identifiant directivité latérale |
|--------|---------------------------|-------------|------------|-----------------|------------------------|------------|-----------|-----------------------|---|----------------|--------|---------------------|------------------------------|----------------------------|----------------------------------|
| 727EM2 | FEDX 727-200/JT8D-15      | Jet         | 3          | Grand           | Commercial             | 208 000    | 169 000   | 4 922                 | 15 500  | 3              | 3JT8E5 | CNT (lb)            | 201                          | 101                        | Fuselage                         |
| 727Q15 | Boeing 727-200/JT8D-15QN  | Jet         | 3          | Grand           | Commercial             | 208 000    | 169 000   | 4 922                 | 15 500  | 2              | 3JT8DQ | CNT (lb)            | 201                          | 101                        | Fuselage                         |
| 727Q7  | Boeing 727-100/JT8D-7QN   | Jet         | 3          | Grand           | Commercial             | 169 500    | 142 500   | 4 867                 | 14 000  | 2              | 3JT8DQ | CNT (lb)            | 201                          | 101                        | Fuselage                         |
| 727Q9  | Boeing 727-200/JT8D-9     | Jet         | 3          | Grand           | Commercial             | 191 000    | 160 000   | 5 444                 | 14 500  | 2              | 3JT8DQ | CNT (lb)            | 201                          | 101                        | Fuselage                         |
| 727QF  | UPS 727-100 22C 25C       | Jet         | 3          | Grand           | Commercial             | 169 000    | 142 500   | 4 448                 | 15 380  | 3              | TAY651 | CNT (lb)            | 201                          | 101                        | Fuselage                         |
| 737    | Boeing 737/JT8D-9         | Jet         | 2          | Grand           | Commercial             | 109 000    | 98 000    | 3 900                 | 14 500  | 1              | 2JT8DW | CNT (lb)            | 201                          | 101                        | Voilure                          |
| 737300 | Boeing 737-300/CFM56-3B-1 | Jet         | 2          | Grand           | Commercial             | 135 000    | 114 000   | 4 580                 | 20 000  | 3              | CFM563 | CNT (lb)            | 202                          | 102                        | Voilure                          |
| 7373B2 | Boeing 737-300/CFM56-3B-2 | Jet         | 2          | Grand           | Commercial             | 139 500    | 114 000   | 4 580                 | 22 000  | 3              | CFM563 | CNT (lb)            | 202                          | 102                        | Voilure                          |
| 737400 | Boeing 737-400/CFM56-3C-1 | Jet         | 2          | Grand           | Commercial             | 150 000    | 124 000   | 5 062                 | 23 500  | 3              | CFM563 | CNT (lb)            | 202                          | 102                        | Voilure                          |
| 737500 | Boeing 737-500/CFM56-3C-1 | Jet         | 2          | Grand           | Commercial             | 133 500    | 111 000   | 4 551                 | 20 000  | 3              | CFM563 | CNT (lb)            | 202                          | 102                        | Voilure                          |
| 737700 | Boeing 737-700/CFM56-7B24 | Jet         | 2          | Grand           | Commercial             | 154 500    | 129 200   | 4 445                 | 24 000  | 3              | CF567B | CNT (lb)            | 203                          | 104                        | Voilure                          |
| 737800 | Boeing 737-800/CFM56-7B26 | Jet         | 2          | Grand           | Commercial             | 174 200    | 146 300   | 5 435                 | 26 300  | 3              | CF567B | CNT (lb)            | 203                          | 104                        | Voilure                          |
| 737D17 | Boeing 737-200/JT8D-17    | Jet         | 2          | Grand           | Commercial             | 124 000    | 107 000   | 4 244                 | 16 000  | 2              | 2JT8QW | CNT (lb)            | 201                          | 101                        | Voilure                          |

| ACFTID | Description                                    | Type moteur | Nb moteurs | Classe de poids | Catégorie propriétaire | MGTOW (lb) | MGLW (lb) | Dist max atterrissage | Poussée statique max au niveau de la mer (lb) | Chapitre bruit | NPD_ID | Paramètre puissance | ID classe spectrale approche | ID classe spectrale départ | Identifiant directivité latérale |
|--------|--|-------------|------------|-----------------|------------------------|------------|-----------|-----------------------|---|----------------|--------|---------------------|------------------------------|----------------------------|----------------------------------|
| 737N17 | Boeing 737-200/JT8D-17 Nordam B737 LGW Hushkit | Jet         | 2          | Grand           | Commercial             | 124 000    | 107 000   | 4 244                 | 16 000  | 3              | 2JT8DN | CNT (lb)            | 202                          | 104                        | Voilure                          |
| 737N9  | Boeing 737/JT8D-9 Nordam B737 LGW Hushkit      | Jet         | 2          | Grand           | Commercial             | 109 000    | 98 000    | 3 900                 | 14 500  | 3              | 2JT8DN | CNT (lb)            | 202                          | 104                        | Voilure                          |
| 737QN  | Boeing 737/JT8D-9QN                            | Jet         | 2          | Grand           | Commercial             | 109 000    | 98 000    | 3 900                 | 14 500  | 2              | 2JT8QW | CNT (lb)            | 201                          | 101                        | Voilure                          |
| 747100 | Boeing 747-100/JT9DBD                          | Jet         | 4          | Lourd           | Commercial             | 733 000    | 516 600   | 5 727                 | 33 042  | 2              | JT9DBD | CNT (lb)            | 209                          | 107                        | Voilure                          |
| 74710Q | Boeing 747-100/JT9D-7QN                        | Jet         | 4          | Lourd           | Commercial             | 733 000    | 564 000   | 6 200                 | 45 500  | 3              | JT9DFL | CNT (lb)            | 207                          | 107                        | Voilure                          |
| 747200 | Boeing 747-200/JT9D-7                          | Jet         | 4          | Lourd           | Commercial             | 775 000    | 564 000   | 6 200                 | 45 500  | 3              | JT9DFL | CNT (lb)            | 207                          | 107                        | Voilure                          |
| 74720A | Boeing 747-200/JT9D-7A                         | Jet         | 4          | Lourd           | Commercial             | 785 000    | 564 000   | 6 200                 | 46 300  | 3              | JT9D7Q | CNT (lb)            | 207                          | 107                        | Voilure                          |
| 74720B | Boeing 747-200/JT9D-7Q                         | Jet         | 4          | Lourd           | Commercial             | 800 000    | 630 000   | 6 200                 | 53 000  | 3              | JT9D7Q | CNT (lb)            | 207                          | 107                        | Voilure                          |
| 747400 | Boeing 747-400/PW4056                          | Jet         | 4          | Lourd           | Commercial             | 875 000    | 652 000   | 6 989                 | 56 800  | 3              | PW4056 | CNT (lb)            | 207                          | 107                        | Voilure                          |
| 7478   | Boeing 747-8F/GENx-2B67                        | Jet         | 4          | Lourd           | Commercial             | 987 000    | 757 000   | 7 900                 | 68 000  | 4              | GENX67 | CNT (lb)            | 205                          | 107                        | Voilure                          |
| 747SP  | Boeing 747SP/JT9D-7                            | Jet         | 4          | Lourd           | Commercial             | 702 000    | 475 000   | 5 911                 | 45 500  | 3              | JT9DFL | CNT (lb)            | 207                          | 107                        | Voilure                          |
| 757300 | Boeing 757-300/RB211-535E4B                    | Jet         | 2          | Grand           | Commercial             | 275 000    | 224 000   | 5 651                 | 43 100  | 3              | RR535E | CNT (lb)            | 203                          | 103                        | Voilure                          |
| 757PW  | Boeing 757-200/PW2037                          | Jet         | 2          | Grand           | Commercial             | 255 000    | 210 000   | 4 790                 | 38 300  | 3              | PW2037 | CNT (lb)            | 203                          | 103                        | Voilure                          |

| ACFTID     | Description                              | Type moteur | Nb moteurs | Classe de poids | Catégorie propriétaire | MGTOW (lb) | MGLW (lb) | Dist max atterrissage | Poussée statique max au niveau de la mer (lb) | Chapitre bruit | NPD_ID | Paramètre puissance | ID classe spectrale approche | ID classe spectrale départ | Identifiant directivité latérale |
|------------|--|-------------|------------|-----------------|------------------------|------------|-----------|-----------------------|---|----------------|--------|---------------------|------------------------------|----------------------------|----------------------------------|
| 757RR      | Boeing 757-200/RB211-535E4               | Jet         | 2          | Grand           | Commercial             | 255 000    | 210 000   | 4 640                 | 40 100  | 3              | RR535E | CNT (lb)            | 203                          | 103                        | Voilure                          |
| 767300     | Boeing 767-300/PW4060                    | Jet         | 2          | Lourd           | Commercial             | 407 000    | 320 000   | 4 710                 | 60 000  | 3              | 2CF680 | CNT (lb)            | 203                          | 103                        | Voilure                          |
| 767400     | Boeing 767-400ER/CF6-80C2B(F)            | Jet         | 2          | Lourd           | Commercial             | 450 000    | 340 000   | 6 000                 | 58 685  | 3              | CF680C | CNT (lb)            | 205                          | 102                        | Voilure                          |
| 767CF6     | Boeing 767-200/CF6-80A                   | Jet         | 2          | Lourd           | Commercial             | 315 500    | 270 000   | 4 700                 | 48 000  | 3              | 2CF680 | CNT (lb)            | 203                          | 103                        | Voilure                          |
| 767JT9     | Boeing 767-200/JT9D-7R4D                 | Jet         | 2          | Lourd           | Commercial             | 351 000    | 270 000   | 4 744                 | 48 000  | 3              | 2CF680 | CNT (lb)            | 203                          | 103                        | Voilure                          |
| 777200     | Boeing 777-200/GE90-76B                  | Jet         | 2          | Lourd           | Commercial             | 656 000    | 470 000   | 4 450                 | 90 000  | 3              | GE90   | CNT (lb)            | 205                          | 105                        | Voilure                          |
| 777300     | Boeing 777-300/Trent 892                 | Jet         | 2          | Lourd           | Commercial             | 660 000    | 524 000   | 6 012                 | 77 000  | 0              | TRENT8 | CNT (lb)            | 203                          | 105                        | Voilure                          |
| 7773ER     | Boeing 777-300ER/GE90-115B-EIS           | Jet         | 2          | Lourd           | Commercial             | 775 000    | 554 000   | 5 805                 | 115 000                                       | 3              | GE9015 | CNT (lb)            | 204                          | 107                        | Voilure                          |
| 7878R      | Boeing 787-8/T1000-C/01 Family Plan Cert | Jet         | 2          | Lourd           | Commercial             | 502 500    | 380 000   | 5 090                 | 70 000  | 4              | T1KBFP | CNT (lb)            | 205                          | 103                        | Voilure                          |
| A300-622R  | Airbus A300-622R/PW4158                  | Jet         | 2          | Lourd           | Commercial             | 378 533    | 308 647   | 4 735                 | 58 000  | 3              | PW4158 | CNT (lb)            | 202                          | 103                        | Voilure                          |
| A300B4-203 | Airbus A300B4-200/CF6-50C2               | Jet         | 2          | Lourd           | Commercial             | 364 000    | 295 000   | 5 367                 | 52 500  | 3              | 2CF650 | CNT (lb)            | 203                          | 103                        | Voilure                          |
| A310-304   | Airbus A310-304/GE CF6-80C2A2            | Jet         | 2          | Lourd           | Commercial             | 346 126    | 273 373   | 4 682                 | 53 500  | 3              | A310   | CNT (lb)            | 204                          | 103                        | Voilure                          |
| A319-131   | Airbus A319-131/V2522-A5                 | Jet         | 2          | Grand           | Commercial             | 166 449    | 137 789   | 4 364                 | 22 000  | 3              | V2522A | CNT (lb)            | 205                          | 103                        | Voilure                          |

| ACFTID   | Description                    | Type moteur | Nb moteurs | Classe de poids | Catégorie propriétaire | MGTOW (lb) | MGLW (lb) | Dist max atterrissage | Poussée statique max au niveau de la mer (lb) | Chapitre bruit | NPD_ID | Paramètre puissance          | ID classe spectrale approche | ID classe spectrale départ | Identifiant directivité latérale |
|----------|--------------------------------|-------------|------------|-----------------|------------------------|------------|-----------|-----------------------|---|----------------|--------|------------------------------|------------------------------|----------------------------|----------------------------------|
| A320-211 | Airbus A320-211/CFM56-5A1      | Jet         | 2          | Grand           | Commercial             | 169 756    | 142 198   | 4 753                 | 25 000  | 3              | CFM565 | CNT (lb)                     | 202                          | 103                        | Voilure                          |
| A320-232 | Airbus A320-232/V2527-A5       | Jet         | 2          | Grand           | Commercial             | 169 756    | 145 505   | 4 917                 | 26 500  | 3              | V2527A | CNT (lb)                     | 205                          | 103                        | Voilure                          |
| A321-232 | Airbus A321-232/IAE V2530-A5   | Jet         | 2          | Grand           | Commercial             | 196 211    | 166 449   | 5 587                 | 30 000  | 3              | V2530  | CNT (lb)                     | 202                          | 103                        | Voilure                          |
| A330-301 | Airbus A330-301/GE CF6-80 E1A2 | Jet         | 2          | Lourd           | Commercial             | 478 400    | 383 604   | 5 966                 | 67 500  | 3              | CF680E | CNT (lb)                     | 202                          | 102                        | Voilure                          |
| A330-343 | Airbus A330-343/RR Trent 772B  | Jet         | 2          | Lourd           | Commercial             | 513 677    | 412 264   | 5 512                 | 71 100  | 3              | TRENT7 | CNT (lb)                     | 205                          | 102                        | Voilure                          |
| A340-211 | Airbus A340-211/CFM56-5C2      | Jet         | 4          | Lourd           | Commercial             | 573 200    | 399 036   | 5 900                 | 31 200  | 3              | CF565C | CNT (lb)                     | 206                          | 107                        | Voilure                          |
| A340-642 | Airbus A340-642/RR Trent 556   | Jet         | 4          | Lourd           | Commercial             | 804 687    | 564 383   | 6 919                 | 56 000  | 4              | TRENT5 | CNT (lb)                     | 205                          | 102                        | Voilure                          |
| A380-841 | Airbus A380-841/RR Trent 970   | Jet         | 4          | Lourd           | Commercial             | 1 254 430  | 862 007   | 6 752                 | 70 000  | 4              | TRENT9 | CNT (lb)                     | 205                          | 105                        | Voilure                          |
| A380-861 | Airbus A380-861/EA GP7270      | Jet         | 4          | Lourd           | Commercial             | 1 254 430  | 862 007   | 6 837                 | 70 000  | 4              | GP7270 | CNT (lb)                     | 206                          | 105                        | Voilure                          |
| BAC111   | BAC 111/SPEY MK511-14          | Jet         | 2          | Grand           | Commercial             | 89 600     | 82 000    | 4 449                 | 11 400  | 2              | 2JT8D  | CNT (lb)                     | 201                          | 101                        | Fuselage                         |
| BAE146   | BAe 146-200/ALF502R-5          | Jet         | 4          | Grand           | Commercial             | 93 000     | 81 000    | 3 770                 | 6 970   | 3              | AL502R | CNT (lb)                     | 206                          | 108                        | Voilure                          |
| BAE300   | BAe 146-300/ALF502R-5          | Jet         | 4          | Grand           | Commercial             | 97 500     | 84 500    | 3 960                 | 6 970   | 3              | AL502R | CNT (lb)                     | 206                          | 108                        | Voilure                          |
| BEC58P   | Raytheon BARON 58P/TS10-520-L  | Piston      | 2          | Petit           | Aviation générale      | 6 100      | 6 100     | 2 733                 | 779   | 0              | TSIO52 | CNT (% of Max Static Thrust) | 215                          | 109                        | Hélice                           |

| ACFTID  | Description                        | Type moteur      | Nb moteurs | Classe de poids | Catégorie propriétaire | MGTOW (lb) | MGLW (lb) | Dist max atterrissage | Poussée statique max au niveau de la mer (lb) | Chapitre bruit | NPD_ID   | Paramètre puissance          | ID classe spectrale approche | ID classe spectrale départ | Identifiant directivité latérale |
|---------|------------------------------------|------------------|------------|-----------------|------------------------|------------|-----------|-----------------------|---|----------------|----------|------------------------------|------------------------------|----------------------------|----------------------------------|
| CIT3    | Cessna Citation III/TFE731-3-100S  | Jet              | 2          | Grand           | Aviation générale      | 20 000     | 17 000    | 2 770                 | 3 650   | 3              | TF7313   | CNT (lb)                     | 216                          | 113                        | Fuselage                         |
| CL600   | Canadair CL-600/ALF502L            | Jet              | 2          | Grand           | Aviation générale      | 36 000     | 33 000    | 3 300                 | 7 500   | 3              | AL502L   | CNT (lb)                     | 216                          | 113                        | Fuselage                         |
| CL601   | Canadair CL-601/CF34-3A            | Jet              | 2          | Grand           | Aviation générale      | 43 100     | 36 000    | 3 550                 | 9 220   | 3              | CF34     | CNT (lb)                     | 216                          | 113                        | Fuselage                         |
| CNA172  | Cessna 172R/Lycoming IO-360-L2A    | Piston           | 1          | Petit           | Aviation générale      | 2 450      | 2 450     | 1 695                 | 436   | 0              | IO360L   | CNT (% of Max Static Thrust) | 215                          | 109                        | Hélice                           |
| CNA182  | Cessna 182H/Continental O-470-R    | Piston           | 1          | Petit           | Aviation générale      | 2 800      | 2 800     | 1 544                 | 965   | 2              | O470R    | CNT (lb)                     | 215                          | 113                        | Hélice                           |
| CNA206  | Cessna 206H/Lycoming IO-540-AC     | Piston           | 1          | Petit           | Aviation générale      | 3 600      | 3 600     | 1 880                 | 798   | 0              | IO540    | Other (RPM)                  | 215                          | 109                        | Hélice                           |
| CNA208  | Cessna 208/PT6A-114                | Turbo-propulseur | 1          | Petit           | Aviation générale      | 8 750      | 8 500     | 1 740                 | 2 300   | 3              | PT6-A114 | CNT (lb)                     | 210                          | 109                        | Hélice                           |
| CNA20T  | Cessna T206H/Lycoming TIO-540-AJ1A | Piston           | 1          | Petit           | Aviation générale      | 3 600      | 3 600     | 1 880                 | 825   | 0              | TIO540   | Other (RPM)                  | 215                          | 109                        | Hélice                           |
| CNA441  | Cessna CONQUEST II /TPE331-8       | Turbo-propulseur | 2          | Petit           | Commercial             | 9 900      | 9 400     | 1 939                 | 1 535   | 0              | TPE331   | CNT (% of Max Static Thrust) | 210                          | 111                        | Hélice                           |
| CNA500  | Cessna Citation II/JT15D-4         | Jet              | 2          | Grand           | Aviation générale      | 14 700     | 14 000    | 3 050                 | 2 500   | 3              | JT15D1   | CNT (lb)                     | 216                          | 113                        | Fuselage                         |
| CNA510  | Cessna Mustang Model 510/PW615F    | Jet              | 2          | Petit           | Commercial             | 8 645      | 7 200     | 3 010                 | 1 466   | 0              | PW615F   | CNT (lb)                     | 203                          | 113                        | Fuselage                         |
| CNA525C | Cessna Citation CJ4 525C /FJ44-4A  | Jet              | 2          | Petit           | Commercial             | 16 950     | 15 500    | 3 010                 | 3 600   | 4              | FJ44-4   | CNT (lb)                     | 235                          | 136                        | Fuselage                         |

| ACFTID   | Description                                   | Type moteur      | Nb moteurs | Classe de poids | Catégorie propriétaire | MGTOW (lb) | MGLW (lb) | Dist max atterrissage | Poussée statique max au niveau de la mer (lb) | Chapitre bruit | NPD_ID   | Paramètre puissance          | ID classe spectrale approche | ID classe spectrale départ | Identifiant directivité latérale |
|----------|---|------------------|------------|-----------------|------------------------|------------|-----------|-----------------------|---|----------------|----------|------------------------------|------------------------------|----------------------------|----------------------------------|
| CNA55B   | Cessna 550 Citation Bravo/PW530A              | Jet              | 2          | Grand           | Aviation générale      | 14 800     | 13 500    | 3 010                 | 2 863   | 0              | PW530A   | CNT (lb)                     | 203                          | 113                        | Fuselage                         |
| CNA560E  | Cessna Citation Encore 560/PW535A             | Jet              | 2          | Petit           | Commercial             | 16 300     | 13 680    | 3 000                 | 3 313   | 3              | 2PW535   | CNT (lb)                     | 238                          | 138                        | Fuselage                         |
| CNA560U  | Cessna Citation Ultra 560/JT15D-5D            | Jet              | 2          | Petit           | Commercial             | 16 300     | 13 680    | 2 700                 | 3 029   | 3              | 2J155D   | CNT (lb)                     | 237                          | 113                        | Fuselage                         |
| CNA560XL | Cessna Citation Excel 560/PW545A              | Jet              | 2          | Petit           | Commercial             | 20 000     | 16 830    | 3 000                 | 3 824   | 3              | PW545A   | CNT (lb)                     | 238                          | 137                        | Fuselage                         |
| CNA680   | Cessna Citation Sovereign 680/PW306C          | Jet              | 2          | Petit           | Commercial             | 30 000     | 24 390    | 3 010                 | 5 749   | 3              | PW306C   | CNT (lb)                     | 236                          | 136                        | Fuselage                         |
| CNA750   | Cessna Citation X/Rolls Royce Allison AE3007C | Jet              | 2          | Grand           | Aviation générale      | 35 700     | 31 800    | 3 500                 | 6 407   | 3              | AE300C   | CNT (lb)                     | 202                          | 105                        | Fuselage                         |
| CONCRD   | Concorde/OLY593                               | Jet              | 4          | Lourd           | Commercial             | 400 000    | 245 000   | 10 600                | 38 100  | 0              | OLY593   | CNT (lb)                     | 206                          | 106                        | Voilure                          |
| CRJ9-ER  | Bombardier CL-600-2D15/CL-600-2D24/CF34-8C5   | Jet              | 2          | Grand           | Commercial             | 82 500     | 73 500    | 5 779                 | 13 525  | 3              | CF348-C5 | CNT (lb)                     | 216                          | 113                        | Fuselage                         |
| CRJ9-LR  | Bombardier CL-600-2D15/CL-600-2D24/CF34-8C5   | Jet              | 2          | Grand           | Commercial             | 84 500     | 75 100    | 5 680                 | 13 525  | 3              | CF348-C5 | CNT (lb)                     | 216                          | 113                        | Fuselage                         |
| CVR580   | Convair CV-580/ALL 501-D15                    | Turbo-propulseur | 2          | Grand           | Commercial             | 58 000     | 52 000    | 4 256                 | 8 100   | 0              | 501D13   | CNT (% of Max Static Thrust) | 214                          | 112                        | Hélice                           |
| DC1010   | McDonnell Douglas DC10-10/CF6-6D              | Jet              | 3          | Lourd           | Commercial             | 455 000    | 363 000   | 5 820                 | 40 000  | 3              | CF66D    | CNT (lb)                     | 203                          | 101                        | Voilure                          |
| DC1030   | McDonnell Douglas DC10-30/CF6-50C2            | Jet              | 3          | Lourd           | Commercial             | 572 000    | 403 000   | 5 418                 | 53 200  | 3              | CF66D    | CNT (lb)                     | 203                          | 101                        | Voilure                          |

| ACFTID | Description   | Type moteur | Nb moteurs | Classe de poids | Catégorie propriétaire | MGTOW (lb) | MGLW (lb) | Dist max atterrissage | Poussée statique max au niveau de la mer (lb) | Chapitre bruit | NPD_ID | Paramètre puissance          | ID classe spectrale approche | ID classe spectrale départ | Identifiant directivité latérale |
|--------|---|-------------|------------|-----------------|------------------------|------------|-----------|-----------------------|---|----------------|--------|------------------------------|------------------------------|----------------------------|----------------------------------|
| DC1040 | McDonnell Douglas DC10-40/JT9D-20                           | Jet         | 3          | Lourd           | Commercial             | 555 000    | 403 000   | 6 020                 | 49 400  | 3              | CF66D  | CNT (lb)                     | 203                          | 101                        | Voilure                          |
| DC3    | Douglas DC-3/R1820-86                                       | Piston      | 2          | Grand           | Commercial             | 28 000     | 24 500    | 2 222                 | 3 120   | 0              | 2R2800 | CNT (% of Max Static Thrust) | 213                          | 110                        | Hélice                           |
| DC6    | Douglas DC-6/R2800-CB17                                     | Piston      | 4          | Grand           | Commercial             | 106 000    | 95 000    | 3 010                 | 4 180   | 0              | 4R2800 | CNT (% of Max Static Thrust) | 213                          | 110                        | Hélice                           |
| DC820  | Douglas DC-8-20/JT4A  | Jet         | 4          | Lourd           | Commercial             | 317 600    | 194 400   | 6 527                 | 11 850  | 1              | JT4A   | CNT (lb)                     | 208                          | 107                        | Voilure                          |
| DC850  | Douglas DC-8-50/JT3D-3B                                     | Jet         | 4          | Lourd           | Commercial             | 325 000    | 240 000   | 5 400                 | 18 000  | 1              | JT3D   | CNT (lb)                     | 208                          | 107                        | Voilure                          |
| DC860  | Douglas DC-8-60/JT3D-7                                      | Jet         | 4          | Lourd           | Commercial             | 355 000    | 275 000   | 5 310                 | 19 000  | 1              | JT3D   | CNT (lb)                     | 208                          | 107                        | Voilure                          |
| DC870  | Douglas DC-8-70/CFM56-2C-5                                  | Jet         | 4          | Lourd           | Commercial             | 355 000    | 258 000   | 6 500                 | 22 000  | 3              | CFM562 | CNT (lb)                     | 206                          | 106                        | Voilure                          |
| DC8QN  | Douglas DC-8-60/JT8D-7QN                                    | Jet         | 4          | Lourd           | Commercial             | 355 000    | 275 000   | 5 310                 | 19 000  | 2              | JT3DQ  | CNT (lb)                     | 208                          | 106                        | Voilure                          |
| DC910  | McDonnell Douglas DC-9-10/JT8D-7                            | Jet         | 2          | Grand           | Commercial             | 90 700     | 81 700    | 5 030                 | 14 000  | 1              | 2JT8D  | CNT (lb)                     | 201                          | 101                        | Fuselage                         |
| DC930  | McDonnell Douglas DC-9-30/JT8D-9                            | Jet         | 2          | Grand           | Commercial             | 114 000    | 102 000   | 4 680                 | 14 500  | 1              | 2JT8D  | CNT (lb)                     | 201                          | 101                        | Fuselage                         |
| DC93LW | McDonnell Douglas DC-9-30/JT8D-9 w/ ABS Lightweight hushkit | Jet         | 2          | Grand           | Commercial             | 114 000    | 102 000   | 4 680                 | 14 500  | 3              | 2JT8DL | CNT (lb)                     | 201                          | 101                        | Fuselage                         |
| DC950  | McDonnell Douglas DC-9-50/JT8D-17                           | Jet         | 2          | Grand           | Commercial             | 121 000    | 110 000   | 4 880                 | 16 000  | 2              | 2JT8DQ | CNT (lb)                     | 201                          | 101                        | Fuselage                         |

| ACFTID | Description   | Type moteur      | Nb moteurs | Classe de poids | Catégorie propriétaire | MGTOW (lb) | MGLW (lb) | Dist max atterrissage | Poussée statique max au niveau de la mer (lb) | Chapitre bruit | NPD_ID   | Paramètre puissance          | ID classe spectrale approche | ID classe spectrale départ | Identifiant directivité latérale |
|--------|---|------------------|------------|-----------------|------------------------|------------|-----------|-----------------------|---|----------------|----------|------------------------------|------------------------------|----------------------------|----------------------------------|
| DC95HW | McDonnell Douglas DC-9-50/JT8D17 w/ ABS Heavyweight hushkit | Jet              | 2          | Grand           | Commercial             | 121 000    | 110 000   | 4 880                 | 16 000  | 3              | 2JT8DH   | CNT (lb)                     | 201                          | 101                        | Fuselage                         |
| DC9Q7  | McDonnell Douglas DC-9-10/JT8D-7QN                          | Jet              | 2          | Grand           | Commercial             | 90 700     | 81 700    | 5 030                 | 14 000  | 2              | 2JT8DQ   | CNT (lb)                     | 201                          | 101                        | Fuselage                         |
| DC9Q9  | McDonnell Douglas DC-9-30/JT8D-9QN                          | Jet              | 2          | Grand           | Commercial             | 114 000    | 102 000   | 4 680                 | 14 500  | 2              | 2JT8DQ   | CNT (lb)                     | 201                          | 101                        | Fuselage                         |
| DHC6   | De Havilland DASH 6/PT6A-27                                 | Turbo-propulseur | 2          | Petit           | Commercial             | 12 500     | 12 300    | 1 500                 | 2 000   | 0              | PT6A27   | CNT (% of Max Static Thrust) | 210                          | 109                        | Hélice                           |
| DHC6QP | De Havilland DASH 6/PT6A-27 Raisbeck Quiet PropMod          | Turbo-propulseur | 2          | Petit           | Commercial             | 12 500     | 12 300    | 1 500                 | 2 000   | 0              | RAISQP   | CNT (% of Max Static Thrust) | 210                          | 109                        | Hélice                           |
| DHC7   | De Havilland DASH 7/PT6A-50                                 | Turbo-propulseur | 4          | Grand           | Commercial             | 41 000     | 39 000    | 2 150                 | 2 850   | 3              | PT6A50   | CNT (% of Max Static Thrust) | 213                          | 112                        | Hélice                           |
| DHC8   | Bombardier de Havilland DASH 8-100/PW121                    | Turbo-propulseur | 2          | Grand           | Commercial             | 34 500     | 33 900    | 3 000                 | 4 750   | 3              | PW120    | CNT (% of Max Static Thrust) | 213                          | 112                        | Hélice                           |
| DHC830 | Bombardier de Havilland DASH 8-300/PW123                    | Turbo-propulseur | 2          | Grand           | Commercial             | 43 000     | 42 000    | 3 500                 | 4 918   | 3              | PW120    | CNT (% of Max Static Thrust) | 213                          | 112                        | Hélice                           |
| DO228  | Dornier 228-202/TPE 311-5                                   | Turbo-propulseur | 2          | Grand           | Commercial             | 13 669     | 13 448    | 2 375                 | 2 240   | 3              | TPE331-5 | CNT (lb)                     | 216                          | 110                        | Hélice                           |
| DO328  | Dornier 328-100/PW119C                                      | Turbo-propulseur | 2          | Grand           | Commercial             | 30 843     | 29 167    | 3 825                 | 6 745   | 3              | PW119C   | CNT (lb)                     | 214                          | 109                        | Hélice                           |

| ACFTID      | Description                          | Type moteur      | Nb moteurs | Classe de poids | Catégorie propriétaire | MGTOW (lb) | MGLW (lb) | Dist max atterrissage | Poussée statique max au niveau de la mer (lb) | Chapitre bruit | NPD_ID  | Paramètre puissance | ID classe spectrale approche | ID classe spectrale départ | Identifiant directivité latérale |
|-------------|--------------------------------------|------------------|------------|-----------------|------------------------|------------|-----------|-----------------------|---|----------------|---------|---------------------|------------------------------|----------------------------|----------------------------------|
| ECLIPS-E500 | Eclipse 500/PW610F                   | Jet              | 2          | Petit           | Aviation générale      | 6 000      | 5 600     | 2 389                 | 1 031   | 3              | PW610F  | CNT (lb)            | 201                          | 103                        | Fuselage                         |
| EMB120      | Embraer 120 ER/Pratt & Whitney PW118 | Turbo-propulseur | 2          | Grand           | Commercial             | 26 433     | 25 794    | 5 571                 | 4 000   | 3              | EPW118  | CNT (lb)            | 213                          | 109                        | Hélice                           |
| EMB145      | Embraer 145 ER/Allison AE3007        | Jet              | 2          | Grand           | Commercial             | 45 420     | 41 230    | 4 232                 | 7 500   | 3              | AE3007  | CNT (lb)            | 216                          | 113                        | Fuselage                         |
| EMB14L      | Embraer 145 LR/Allison AE3007A1      | Jet              | 2          | Grand           | Commercial             | 48 500     | 42 550    | 4 232                 | 7 500   | 3              | AE3007  | CNT (lb)            | 216                          | 113                        | Fuselage                         |
| EMB170      | Embraer ERJ170-100                   | Jet              | 2          | Grand           | Commercial             | 82 012     | 72 312    | 4 029                 | 13 800  | 3              | CF348E  | CNT (lb)            | 216                          | 113                        | Voilure                          |
| EMB175      | Embraer ERJ170-200                   | Jet              | 2          | Grand           | Commercial             | 85 517     | 74 957    | 4 130                 | 13 800  | 3              | CF348E  | CNT (lb)            | 216                          | 113                        | Voilure                          |
| EMB190      | Embraer ERJ190-100                   | Jet              | 2          | Grand           | Commercial             | 114 199    | 97 003    | 4 081                 | 18 500  | 3              | CF3410E | CNT (lb)            | 205                          | 105                        | Voilure                          |
| EMB195      | Embraer ERJ190-200                   | Jet              | 2          | Grand           | Commercial             | 115 280    | 100 972   | 4 183                 | 18 500  | 3              | CF3410E | CNT (lb)            | 205                          | 105                        | Voilure                          |
| F10062      | Fokker 100/TAY 620-15                | Jet              | 2          | Grand           | Commercial             | 95 000     | 85 500    | 4 560                 | 13 900  | 3              | TAY620  | CNT (lb)            | 201                          | 101                        | Fuselage                         |
| F10065      | Fokker 100/TAY 650-15                | Jet              | 2          | Grand           | Commercial             | 98 000     | 88 000    | 4 704                 | 15 100  | 3              | TAY650  | CNT (lb)            | 201                          | 101                        | Fuselage                         |
| F28MK2      | Fokker F-28-2000/RB183MK555          | Jet              | 2          | Grand           | Commercial             | 65 000     | 59 000    | 3 540                 | 9 850   | 2              | RB183   | CNT (lb)            | 216                          | 104                        | Fuselage                         |
| F28MK4      | Fokker F-28-4000/RB183MK555          | Jet              | 2          | Grand           | Commercial             | 73 000     | 64 000    | 3 546                 | 9 900   | 2              | RB183P  | CNT (lb)            | 216                          | 104                        | Fuselage                         |
| FAL20       | Dassault FALCON 20/CF700-2D-2        | Jet              | 2          | Grand           | Aviation générale      | 28 700     | 27 300    | 2 490                 | 4 500   | 2              | CF700   | CNT (lb)            | 203                          | 113                        | Fuselage                         |

| ACFTID | Description                           | Type moteur      | Nb moteurs | Classe de poids | Catégorie propriétaire | MGTOW (lb) | MGLW (lb) | Dist max atterrissage | Poussée statique max au niveau de la mer (lb) | Chapitre bruit | NPD_ID | Paramètre puissance          | ID classe spectrale approche | ID classe spectrale départ | Identifiant directivité latérale |
|--------|---------------------------------------|------------------|------------|-----------------|------------------------|------------|-----------|-----------------------|---|----------------|--------|------------------------------|------------------------------|----------------------------|----------------------------------|
| GII    | Gulfstream GII/SPEY 511-8             | Jet              | 2          | Grand           | Aviation générale      | 64 800     | 58 500    | 3 200                 | 11 400  | 2              | SPEYHK | CNT (lb)                     | 216                          | 104                        | Fuselage                         |
| GIIB   | Gulfstream GIIB/GIIB — SPEY 511-8     | Jet              | 2          | Grand           | Aviation générale      | 69 700     | 58 500    | 3 250                 | 11 400  | 2              | SPEYHK | CNT (lb)                     | 216                          | 104                        | Fuselage                         |
| GIV    | Gulfstream GIV-SP/TAY 611-8           | Jet              | 2          | Grand           | Aviation générale      | 74 600     | 66 000    | 3 190                 | 13 850  | 3              | TAYGIV | CNT (lb)                     | 203                          | 113                        | Fuselage                         |
| GV     | Gulfstream GV/BR 710                  | Jet              | 2          | Grand           | Aviation générale      | 90 500     | 75 300    | 2 760                 | 14 750  | 3              | BR710  | CNT (lb)                     | 205                          | 105                        | Fuselage                         |
| HS748A | Hawker Siddeley HS-748/DART MK532-2   | Turbo-propulseur | 2          | Grand           | Commercial             | 46 500     | 43 000    | 3 360                 | 5 150   | 2              | RDA532 | CNT (% of Max Static Thrust) | 212                          | 110                        | Hélice                           |
| IA1125 | IAI-1125 ASTRA/TFE731-3A              | Jet              | 2          | Grand           | Aviation générale      | 23 500     | 20 700    | 3 689                 | 3 700   | 3              | TF7313 | CNT (lb)                     | 216                          | 113                        | Fuselage                         |
| L1011  | Lockheed Martin L-1011/RB211-22B      | Jet              | 3          | Lourd           | Commercial             | 430 000    | 358 000   | 5 693                 | 42 000  | 3              | RB2112 | CNT (lb)                     | 203                          | 101                        | Voilure                          |
| L10115 | Lockheed Martin L-1011-500/RB211-224B | Jet              | 3          | Lourd           | Commercial             | 510 000    | 368 000   | 6 800                 | 50 000  | 3              | RB2112 | CNT (lb)                     | 203                          | 101                        | Voilure                          |
| L188   | Lockheed L-188C/ALL 501-D13           | Turbo-propulseur | 4          | Grand           | Commercial             | 116 000    | 98 100    | 4 960                 | 8 000   | 0              | T56A7  | CNT (% of Max Static Thrust) | 214                          | 112                        | Hélice                           |
| LEAR25 | Learjet 25/CJ610-8                    | Jet              | 2          | Grand           | Aviation générale      | 15 000     | 13 500    | 2 620                 | 2 950   | 2              | CJ610  | CNT (lb)                     | 202                          | 113                        | Fuselage                         |
| LEAR35 | Learjet 36/TFE731-2                   | Jet              | 2          | Grand           | Aviation générale      | 18 300     | 15 300    | 3 076                 | 3 500   | 3              | TF7312 | CNT (lb)                     | 216                          | 113                        | Fuselage                         |
| MD11GE | McDonnell Douglas MD-11/CF6-80C2D1F   | Jet              | 3          | Lourd           | Commercial             | 682 400    | 433 300   | 5 131                 | 61 500  | 3              | 2CF68D | CNT (lb)                     | 203                          | 103                        | Voilure                          |
| MD11PW | McDonnell Douglas MD-11/PW 4460       | Jet              | 3          | Lourd           | Commercial             | 682 400    | 433 300   | 4 681                 | 60 000  | 3              | PW4460 | CNT (lb)                     | 203                          | 103                        | Voilure                          |

| ACFTID | Description                            | Type moteur      | Nb moteurs | Classe de poids | Catégorie propriétaire | MGTOW (lb) | MGLW (lb) | Dist max atterrissage | Poussée statique max au niveau de la mer (lb) | Chapitre bruit | NPD_ID | Paramètre puissance          | ID classe spectrale approche | ID classe spectrale départ | Identifiant directivité latérale |
|--------|--|------------------|------------|-----------------|------------------------|------------|-----------|-----------------------|---|----------------|--------|------------------------------|------------------------------|----------------------------|----------------------------------|
| MD81   | McDonnell Douglas MD-81/JT8D-209       | Jet              | 2          | Grand           | Commercial             | 140 000    | 128 000   | 4 860                 | 19 300  | 3              | 2JT8D2 | CNT (lb)                     | 204                          | 104                        | Fuselage                         |
| MD82   | McDonnell Douglas MD-82/JT8D-217A      | Jet              | 2          | Grand           | Commercial             | 149 500    | 130 000   | 4 920                 | 20 900  | 3              | 2JT8D2 | CNT (lb)                     | 204                          | 104                        | Fuselage                         |
| MD83   | McDonnell Douglas MD-83/JT8D-219       | Jet              | 2          | Grand           | Commercial             | 160 000    | 139 500   | 5 200                 | 21 700  | 3              | 2JT8D2 | CNT (lb)                     | 204                          | 104                        | Fuselage                         |
| MD9025 | McDonnell Douglas MD-90/V2525-D5       | Jet              | 2          | Grand           | Commercial             | 156 000    | 142 000   | 3 000                 | 25 000  | 3              | V2525  | CNT (lb)                     | 205                          | 105                        | Fuselage                         |
| MD9028 | McDonnell Douglas MD-90/V2528-D5       | Jet              | 2          | Grand           | Commercial             | 156 000    | 142 000   | 3 000                 | 28 000  | 3              | V2525  | CNT (lb)                     | 205                          | 105                        | Fuselage                         |
| MU3001 | Mitsubishi MU300-10 Diamond II/JT15D-5 | Jet              | 2          | Grand           | Aviation générale      | 14 100     | 13 200    | 2 800                 | 2 500   | 3              | JT15D5 | CNT (lb)                     | 203                          | 113                        | Fuselage                         |
| PA28   | Piper Warrior PA-28-161/O-320-D3G      | Piston           | 1          | Petit           | Aviation générale      | 2 325      | 2 325     | 1 695                 | 400   | 0              | O320D3 | Other (RPM)                  | 213                          | 113                        | Hélice                           |
| PA30   | Piper Twin Comanche PA-30/IO-320-B1A   | Piston           | 2          | Petit           | Aviation générale      | 3 600      | 3 600     | 1 654                 | 777   | 0              | IO320B | CNT (lb)                     | 213                          | 113                        | Hélice                           |
| PA31   | Piper Navajo Chieftain PA-31-350/TIO-5 | Piston           | 2          | Petit           | Aviation générale      | 7 000      | 7 000     | 1 850                 | 1 481   | 0              | TIO542 | Other (RPM)                  | 213                          | 109                        | Hélice                           |
| PA42   | Piper PA-42/PT6A-41                    | Turbo-propulseur | 2          | Petit           | Aviation générale      | 11 200     | 10 330    | 3 300                 | 1 800   | 3              | PT6A41 | CNT (lb)                     | 213                          | 109                        | Hélice                           |
| SABR80 | NA Sabreliner 80                       | Jet              | 2          | Grand           | Aviation générale      | 33 720     | 27 290    | 2 490                 | 3 962   | 2              | CF700  | CNT (lb)                     | 203                          | 113                        | Fuselage                         |
| SD330  | Short SD3-30/PT6A-45AR                 | Turbo-propulseur | 2          | Grand           | Commercial             | 22 900     | 22 600    | 3 650                 | 2 670   | 3              | PT6A45 | CNT (% of Max Static Thrust) | 211                          | 109                        | Hélice                           |
| SF340  | Saab SF340B/CT7-9B                     | Turbo-propulseur | 2          | Grand           | Commercial             | 27 300     | 26 500    | 3 470                 | 4 067   | 3              | CT75   | CNT (% of Max Static Thrust) | 211                          | 110                        | Hélice                           |

Tableau I-6  
Poids par défaut

| ACFTID | Longueur phase | Poids (lb) |
|--------|----------------|------------|
| 1900D  | 1              | 15 500     |
| 1900D  | 2              | 16 950     |
| 707    | 1              | 175 000    |
| 707    | 2              | 185 000    |
| 707    | 3              | 200 000    |
| 707    | 4              | 220 000    |
| 707    | 5              | 245 000    |
| 707    | 6              | 257 000    |
| 707120 | 1              | 175 000    |
| 707120 | 2              | 185 000    |
| 707120 | 3              | 200 000    |
| 707120 | 4              | 220 000    |
| 707120 | 5              | 245 000    |
| 707120 | 6              | 257 000    |
| 707320 | 1              | 214 000    |
| 707320 | 2              | 228 000    |
| 707320 | 3              | 240 000    |
| 707320 | 4              | 260 000    |
| 707320 | 5              | 286 000    |
| 707320 | 6              | 312 000    |
| 707320 | 7              | 330 000    |
| 707QN  | 1              | 214 000    |
| 707QN  | 2              | 228 000    |
| 707QN  | 3              | 240 000    |
| 707QN  | 4              | 260 000    |
| 707QN  | 5              | 286 000    |
| 707QN  | 6              | 312 000    |
| 707QN  | 7              | 330 000    |
| 717200 | 1              | 94 900     |
| 717200 | 2              | 99 700     |
| 717200 | 3              | 104 900    |
| 717200 | 4              | 110 400    |

| ACFTID | Longueur phase | Poids (lb) |
|--------|----------------|------------|
| 717200 | 5              | 112 700    |
| 717200 | 6              | 121 000    |
| 720    | 1              | 145 000    |
| 720    | 2              | 155 000    |
| 720    | 3              | 165 000    |
| 720    | 4              | 180 000    |
| 720    | 5              | 190 000    |
| 720B   | 1              | 165 000    |
| 720B   | 2              | 175 000    |
| 720B   | 3              | 185 000    |
| 720B   | 4              | 200 000    |
| 720B   | 5              | 210 000    |
| 727100 | 1              | 136 000    |
| 727100 | 2              | 143 000    |
| 727100 | 3              | 150 000    |
| 727100 | 4              | 158 000    |
| 727200 | 1              | 152 000    |
| 727200 | 2              | 163 000    |
| 727200 | 3              | 174 000    |
| 727200 | 4              | 185 000    |
| 727D15 | 1              | 156 000    |
| 727D15 | 2              | 164 000    |
| 727D15 | 3              | 175 000    |
| 727D15 | 4              | 189 000    |
| 727D15 | 5              | 204 000    |
| 727D17 | 1              | 157 000    |
| 727D17 | 2              | 169 000    |
| 727D17 | 3              | 180 000    |
| 727D17 | 4              | 189 000    |
| 727EM1 | 1              | 136 000    |
| 727EM1 | 2              | 143 000    |
| 727EM1 | 3              | 150 000    |

| ACFTID | Longueur phase | Poids (lb) |
|--------|----------------|------------|
| 727EM1 | 4              | 158 000    |
| 727EM2 | 1              | 156 000    |
| 727EM2 | 2              | 164 000    |
| 727EM2 | 3              | 175 000    |
| 727EM2 | 4              | 189 000    |
| 727EM2 | 5              | 204 000    |
| 727Q15 | 1              | 156 000    |
| 727Q15 | 2              | 164 000    |
| 727Q15 | 3              | 175 000    |
| 727Q15 | 4              | 189 000    |
| 727Q15 | 5              | 204 000    |
| 727Q7  | 1              | 136 000    |
| 727Q7  | 2              | 143 000    |
| 727Q7  | 3              | 150 000    |
| 727Q7  | 4              | 158 000    |
| 727Q9  | 1              | 156 000    |
| 727Q9  | 2              | 168 000    |
| 727Q9  | 3              | 180 000    |
| 727Q9  | 4              | 191 000    |
| 727QF  | 1              | 136 000    |
| 727QF  | 2              | 143 000    |
| 727QF  | 3              | 150 000    |
| 727QF  | 4              | 158 000    |
| 737    | 1              | 82 000     |
| 737    | 2              | 85 000     |
| 737    | 3              | 92 000     |
| 737    | 4              | 100 000    |
| 737300 | 1              | 108 800    |
| 737300 | 2              | 114 100    |
| 737300 | 3              | 119 900    |
| 737300 | 4              | 131 800    |
| 7373B2 | 1              | 108 800    |

| ACFTID | Longueur phase | Poids (lb) |
|--------|----------------|------------|
| 7373B2 | 2              | 114 100    |
| 7373B2 | 3              | 119 900    |
| 7373B2 | 4              | 131 800    |
| 7373B2 | M              | 139 500    |
| 737400 | 1              | 115 800    |
| 737400 | 2              | 121 400    |
| 737400 | 3              | 127 700    |
| 737400 | 4              | 138 200    |
| 737400 | M              | 150 000    |
| 737500 | 1              | 103 400    |
| 737500 | 2              | 108 500    |
| 737500 | 3              | 114 100    |
| 737500 | 4              | 125 700    |
| 737500 | 5              | 126 900    |
| 737500 | M              | 128 500    |
| 737700 | 1              | 120 000    |
| 737700 | 2              | 125 000    |
| 737700 | 3              | 130 300    |
| 737700 | 4              | 141 100    |
| 737700 | 5              | 154 400    |
| 737700 | 6              | 154 500    |
| 737800 | 1              | 133 300    |
| 737800 | 2              | 139 200    |
| 737800 | 3              | 145 500    |
| 737800 | 4              | 156 700    |
| 737800 | 5              | 167 600    |
| 737800 | 6              | 172 300    |
| 737D17 | 1              | 90 000     |
| 737D17 | 2              | 95 000     |
| 737D17 | 3              | 100 000    |
| 737D17 | 4              | 105 000    |
| 737N17 | 1              | 90 000     |

| ACFTID | Longueur phase | Poids (lb) |
|--------|----------------|------------|
| 737N17 | 2              | 95 000     |
| 737N17 | 3              | 100 000    |
| 737N17 | 4              | 105 000    |
| 737N9  | 1              | 82 000     |
| 737N9  | 2              | 85 000     |
| 737N9  | 3              | 92 000     |
| 737N9  | 4              | 100 000    |
| 737QN  | 1              | 82 000     |
| 737QN  | 2              | 85 000     |
| 737QN  | 3              | 92 000     |
| 737QN  | 4              | 100 000    |
| 747100 | 1              | 475 000    |
| 747100 | 2              | 495 000    |
| 747100 | 3              | 520 000    |
| 747100 | 4              | 550 000    |
| 747100 | 5              | 625 000    |
| 747100 | 6              | 635 000    |
| 74710Q | 1              | 475 000    |
| 74710Q | 2              | 495 000    |
| 74710Q | 3              | 520 000    |
| 74710Q | 4              | 550 000    |
| 74710Q | 5              | 625 000    |
| 74710Q | 6              | 635 000    |
| 747200 | 1              | 525 000    |
| 747200 | 2              | 545 000    |
| 747200 | 3              | 565 000    |
| 747200 | 4              | 610 000    |
| 747200 | 5              | 665 000    |
| 747200 | 6              | 725 000    |
| 747200 | 7              | 775 000    |
| 74720A | 1              | 475 000    |
| 74720A | 2              | 500 000    |

| ACFTID | Longueur phase | Poids (lb) |
|--------|----------------|------------|
| 74720A | 3              | 520 000    |
| 74720A | 4              | 560 000    |
| 74720A | 5              | 610 000    |
| 74720A | 6              | 675 000    |
| 74720A | 7              | 725 000    |
| 74720B | 1              | 525 000    |
| 74720B | 2              | 545 000    |
| 74720B | 3              | 565 000    |
| 74720B | 4              | 610 000    |
| 74720B | 5              | 665 000    |
| 74720B | 6              | 725 000    |
| 74720B | 7              | 775 000    |
| 747400 | 1              | 545 000    |
| 747400 | 2              | 563 800    |
| 747400 | 3              | 583 100    |
| 747400 | 4              | 621 500    |
| 747400 | 5              | 669 500    |
| 747400 | 6              | 720 900    |
| 747400 | 7              | 776 600    |
| 747400 | 8              | 836 200    |
| 747400 | 9              | 875 000    |
| 7478   | 1              | 671 100    |
| 7478   | 2              | 691 200    |
| 7478   | 3              | 713 300    |
| 7478   | 4              | 752 400    |
| 7478   | 5              | 801 000    |
| 7478   | 6              | 853 400    |
| 7478   | 7              | 909 300    |
| 7478   | 8              | 969 000    |
| 7478   | 9              | 987 000    |
| 747SP  | 1              | 400 000    |
| 747SP  | 2              | 422 000    |

| ACFTID | Longueur phase | Poids (lb) |
|--------|----------------|------------|
| 747SP  | 3              | 443 000    |
| 747SP  | 4              | 475 000    |
| 747SP  | 5              | 518 000    |
| 747SP  | 6              | 560 000    |
| 747SP  | 7              | 625 000    |
| 757300 | 1              | 203 900    |
| 757300 | 2              | 212 700    |
| 757300 | 3              | 222 100    |
| 757300 | 4              | 239 100    |
| 757300 | 5              | 260 700    |
| 757300 | 6              | 269 400    |
| 757PW  | 1              | 183 200    |
| 757PW  | 2              | 190 000    |
| 757PW  | 3              | 197 500    |
| 757PW  | 4              | 212 600    |
| 757PW  | 5              | 230 900    |
| 757PW  | 6              | 243 200    |
| 757PW  | 7              | 255 000    |
| 757RR  | 1              | 183 900    |
| 757RR  | 2              | 191 200    |
| 757RR  | 3              | 199 100    |
| 757RR  | 4              | 215 200    |
| 757RR  | 5              | 234 800    |
| 757RR  | 6              | 243 200    |
| 757RR  | 7              | 255 000    |
| 767300 | 1              | 265 000    |
| 767300 | 2              | 275 500    |
| 767300 | 3              | 286 400    |
| 767300 | 4              | 305 700    |
| 767300 | 5              | 330 000    |
| 767300 | 6              | 355 900    |
| 767300 | 7              | 367 700    |

| ACFTID | Longueur phase | Poids (lb) |
|--------|----------------|------------|
| 767400 | 1              | 288 818    |
| 767400 | 2              | 299 037    |
| 767400 | 3              | 310 125    |
| 767400 | 4              | 329 861    |
| 767400 | 5              | 354 427    |
| 767400 | 6              | 380 906    |
| 767400 | 7              | 422 420    |
| 767CF6 | 1              | 227 000    |
| 767CF6 | 2              | 236 000    |
| 767CF6 | 3              | 245 300    |
| 767CF6 | 4              | 261 400    |
| 767CF6 | 5              | 281 600    |
| 767CF6 | 6              | 303 300    |
| 767CF6 | 7              | 315 500    |
| 767JT9 | 1              | 228 500    |
| 767JT9 | 2              | 237 600    |
| 767JT9 | 3              | 247 000    |
| 767JT9 | 4              | 263 600    |
| 767JT9 | 5              | 284 600    |
| 767JT9 | 6              | 306 900    |
| 767JT9 | 7              | 317 100    |
| 777200 | 1              | 429 900    |
| 777200 | 2              | 442 400    |
| 777200 | 3              | 456 100    |
| 777200 | 4              | 483 100    |
| 777200 | 5              | 516 400    |
| 777200 | 6              | 551 700    |
| 777200 | 7              | 589 400    |
| 777200 | 8              | 629 500    |
| 777200 | 9              | 656 000    |
| 777300 | 1              | 435 100    |
| 777300 | 2              | 449 700    |

| ACFTID     | Longueur phase | Poids (lb) |
|------------|----------------|------------|
| 777300     | 3              | 465 300    |
| 777300     | 4              | 493 100    |
| 777300     | 5              | 527 700    |
| 777300     | 6              | 564 500    |
| 777300     | 7              | 636 100    |
| 7773ER     | 1              | 503 600    |
| 7773ER     | 2              | 519 100    |
| 7773ER     | 3              | 536 100    |
| 7773ER     | 4              | 565 800    |
| 7773ER     | 5              | 602 700    |
| 7773ER     | 6              | 642 600    |
| 7773ER     | 7              | 684 500    |
| 7773ER     | 8              | 728 900    |
| 7773ER     | 9              | 775 000    |
| 7878R      | 1              | 343 400    |
| 7878R      | 2              | 353 200    |
| 7878R      | 3              | 363 900    |
| 7878R      | 4              | 382 600    |
| 7878R      | 5              | 405 700    |
| 7878R      | 6              | 430 100    |
| 7878R      | 7              | 455 900    |
| 7878R      | 8              | 483 600    |
| 7878R      | 9              | 502 500    |
| A300-622R  | 1              | 278 700    |
| A300-622R  | 2              | 290 300    |
| A300-622R  | 3              | 302 400    |
| A300-622R  | 4              | 324 100    |
| A300-622R  | 5              | 353 300    |
| A300-622R  | 6              | 378 500    |
| A300B4-203 | 1              | 262 000    |
| A300B4-203 | 2              | 280 000    |
| A300B4-203 | 3              | 295 000    |

| ACFTID     | Longueur phase | Poids (lb) |
|------------|----------------|------------|
| A300B4-203 | 4              | 324 000    |
| A300B4-203 | 5              | 357 000    |
| A310-304   | 1              | 243 300    |
| A310-304   | 2              | 253 000    |
| A310-304   | 3              | 262 900    |
| A310-304   | 4              | 280 700    |
| A310-304   | 5              | 304 400    |
| A310-304   | 6              | 346 100    |
| A319-131   | 1              | 125 900    |
| A319-131   | 2              | 131 000    |
| A319-131   | 3              | 136 500    |
| A319-131   | 4              | 146 100    |
| A319-131   | 5              | 166 400    |
| A320-211   | 1              | 133 400    |
| A320-211   | 2              | 139 200    |
| A320-211   | 3              | 145 200    |
| A320-211   | 4              | 155 900    |
| A320-211   | 5              | 169 800    |
| A320-232   | 1              | 132 900    |
| A320-232   | 2              | 138 500    |
| A320-232   | 3              | 144 200    |
| A320-232   | 4              | 154 300    |
| A320-232   | 5              | 172 000    |
| A321-232   | 1              | 156 800    |
| A321-232   | 2              | 163 300    |
| A321-232   | 3              | 170 000    |
| A321-232   | 4              | 182 100    |
| A321-232   | 5              | 206 100    |
| A330-301   | 1              | 367 000    |
| A330-301   | 2              | 378 500    |
| A330-301   | 3              | 390 500    |
| A330-301   | 4              | 411 700    |

| ACFTID   | Longueur phase | Poids (lb) |
|----------|----------------|------------|
| A330-301 | 5              | 439 200    |
| A330-301 | 6              | 469 100    |
| A330-301 | 7              | 478 400    |
| A330-343 | 1              | 369 200    |
| A330-343 | 2              | 380 800    |
| A330-343 | 3              | 392 900    |
| A330-343 | 4              | 414 300    |
| A330-343 | 5              | 441 900    |
| A330-343 | 6              | 472 000    |
| A330-343 | 7              | 513 700    |
| A340-211 | 1              | 369 500    |
| A340-211 | 2              | 381 600    |
| A340-211 | 3              | 394 100    |
| A340-211 | 4              | 416 600    |
| A340-211 | 5              | 446 000    |
| A340-211 | 6              | 477 600    |
| A340-211 | 7              | 573 200    |
| A340-642 | 1              | 524 100    |
| A340-642 | 2              | 540 700    |
| A340-642 | 3              | 557 800    |
| A340-642 | 4              | 588 000    |
| A340-642 | 5              | 628 600    |
| A340-642 | 6              | 671 300    |
| A340-642 | 7              | 811 300    |
| A380-841 | 1              | 799 160    |
| A380-841 | 2              | 822 921    |
| A380-841 | 3              | 847 265    |
| A380-841 | 4              | 890 164    |
| A380-841 | 5              | 945 893    |
| A380-841 | 6              | 1 006 106  |
| A380-841 | 7              | 1 066 266  |
| A380-841 | 8              | 1 254 430  |

| ACFTID   | Longueur phase | Poids (lb) |
|----------|----------------|------------|
| A380-861 | 1              | 798 928    |
| A380-861 | 2              | 822 613    |
| A380-861 | 3              | 846 941    |
| A380-861 | 4              | 889 750    |
| A380-861 | 5              | 943 737    |
| A380-861 | 6              | 1 003 582  |
| A380-861 | 7              | 1 066 266  |
| A380-861 | 8              | 1 254 430  |
| BAC111   | 1              | 74 000     |
| BAC111   | 2              | 79 000     |
| BAC111   | 3              | 85 000     |
| BAE146   | 1              | 76 000     |
| BAE146   | 2              | 84 000     |
| BAE146   | 3              | 91 000     |
| BAE300   | 1              | 80 000     |
| BAE300   | 2              | 88 000     |
| BAE300   | 3              | 96 000     |
| BEC58P   | 1              | 5 500      |
| CIT3     | 1              | 20 000     |
| CL600    | 1              | 36 000     |
| CL601    | 1              | 43 100     |
| CNA172   | 1              | 2 450      |
| CNA182   | 1              | 2 800      |
| CNA206   | 1              | 3 000      |
| CNA206   | 2              | 3 300      |
| CNA206   | 3              | 3 600      |
| CNA208   | 1              | 8 750      |
| CNA20T   | 1              | 3 000      |
| CNA20T   | 2              | 3 300      |
| CNA20T   | 3              | 3 600      |
| CNA441   | 1              | 9 850      |
| CNA500   | 1              | 14 700     |

| ACFTID   | Longueur phase | Poids (lb) |
|----------|----------------|------------|
| CNA510   | 1              | 8 645      |
| CNA525C  | 1              | 16 950     |
| CNA55B   | 1              | 14 800     |
| CNA560E  | 1              | 16 300     |
| CNA560U  | 1              | 16 300     |
| CNA560XL | 1              | 20 000     |
| CNA680   | 1              | 30 000     |
| CNA750   | 1              | 35 700     |
| CONCRD   | 1              | 340 000    |
| CONCRD   | 2              | 340 000    |
| CONCRD   | 3              | 375 000    |
| CONCRD   | 4              | 375 000    |
| CONCRD   | 5              | 400 000    |
| CONCRD   | 6              | 400 000    |
| CRJ9-ER  | 1              | 67 500     |
| CRJ9-ER  | 2              | 71 000     |
| CRJ9-ER  | 3              | 75 000     |
| CRJ9-ER  | 4              | 80 000     |
| CRJ9-ER  | 5              | 82 500     |
| CRJ9-LR  | 1              | 65 500     |
| CRJ9-LR  | 2              | 69 000     |
| CRJ9-LR  | 3              | 73 000     |
| CRJ9-LR  | 4              | 78 000     |
| CRJ9-LR  | 5              | 84 500     |
| CVR580   | 1              | 49 000     |
| CVR580   | 2              | 54 000     |
| CVR580   | 3              | 58 000     |
| DC1010   | 1              | 325 000    |
| DC1010   | 2              | 340 000    |
| DC1010   | 3              | 360 000    |
| DC1010   | 4              | 390 000    |
| DC1010   | 5              | 420 000    |

| ACFTID | Longueur phase | Poids (lb) |
|--------|----------------|------------|
| DC1010 | 6              | 450 000    |
| DC1030 | 1              | 375 000    |
| DC1030 | 2              | 390 000    |
| DC1030 | 3              | 405 000    |
| DC1030 | 4              | 436 000    |
| DC1030 | 5              | 476 000    |
| DC1030 | 6              | 517 000    |
| DC1030 | 7              | 561 000    |
| DC1040 | 1              | 364 000    |
| DC1040 | 2              | 379 000    |
| DC1040 | 3              | 393 000    |
| DC1040 | 4              | 423 000    |
| DC1040 | 5              | 462 000    |
| DC1040 | 6              | 502 000    |
| DC1040 | 7              | 544 000    |
| DC3    | 1              | 24 000     |
| DC3    | 2              | 26 000     |
| DC3    | 3              | 28 000     |
| DC6    | 1              | 85 000     |
| DC6    | 2              | 95 000     |
| DC6    | 3              | 105 000    |
| DC820  | 1              | 180 000    |
| DC820  | 2              | 190 000    |
| DC820  | 3              | 205 000    |
| DC820  | 4              | 225 000    |
| DC820  | 5              | 250 000    |
| DC820  | 6              | 270 000    |
| DC850  | 1              | 185 000    |
| DC850  | 2              | 195 000    |
| DC850  | 3              | 210 000    |
| DC850  | 4              | 230 000    |
| DC850  | 5              | 255 000    |

| ACFTID | Longueur phase | Poids (lb) |
|--------|----------------|------------|
| DC850  | 6              | 275 000    |
| DC860  | 1              | 220 000    |
| DC860  | 2              | 230 000    |
| DC860  | 3              | 245 000    |
| DC860  | 4              | 265 000    |
| DC860  | 5              | 290 000    |
| DC860  | 6              | 305 000    |
| DC860  | 7              | 325 000    |
| DC870  | 1              | 220 000    |
| DC870  | 2              | 230 000    |
| DC870  | 3              | 245 000    |
| DC870  | 4              | 265 000    |
| DC870  | 5              | 290 000    |
| DC870  | 6              | 305 000    |
| DC870  | 7              | 325 000    |
| DC8QN  | 1              | 220 000    |
| DC8QN  | 2              | 230 000    |
| DC8QN  | 3              | 245 000    |
| DC8QN  | 4              | 265 000    |
| DC8QN  | 5              | 290 000    |
| DC8QN  | 6              | 305 000    |
| DC8QN  | 7              | 325 000    |
| DC910  | 1              | 70 000     |
| DC910  | 2              | 78 000     |
| DC910  | 3              | 85 000     |
| DC930  | 1              | 93 500     |
| DC930  | 2              | 103 000    |
| DC930  | 3              | 112 000    |
| DC93LW | 1              | 93 500     |
| DC93LW | 2              | 103 000    |
| DC93LW | 3              | 112 000    |
| DC950  | 1              | 100 000    |

| ACFTID     | Longueur phase | Poids (lb) |
|------------|----------------|------------|
| DC950      | 2              | 107 000    |
| DC950      | 3              | 115 000    |
| DC95HW     | 1              | 100 000    |
| DC95HW     | 2              | 107 000    |
| DC95HW     | 3              | 115 000    |
| DC9Q7      | 1              | 70 000     |
| DC9Q7      | 2              | 78 000     |
| DC9Q7      | 3              | 85 000     |
| DC9Q9      | 1              | 93 500     |
| DC9Q9      | 2              | 103 000    |
| DC9Q9      | 3              | 112 000    |
| DHC6       | 1              | 12 500     |
| DHC6QP     | 1              | 12 500     |
| DHC7       | 1              | 38 950     |
| DHC8       | 1              | 31 000     |
| DHC830     | 1              | 38 700     |
| DO228      | 1              | 13 669     |
| DO328      | 1              | 30 843     |
| ECLIPSE500 | 1              | 5 500      |
| ECLIPSE500 | 2              | 5 891      |
| ECLIPSE500 | 3              | 6 000      |
| EMB120     | 1              | 22 475     |
| EMB145     | 1              | 35 500     |
| EMB145     | 2              | 39 500     |
| EMB145     | 3              | 41 800     |
| EMB145     | 4              | 44 000     |
| EMB14L     | 1              | 35 275     |
| EMB14L     | 2              | 39 675     |
| EMB14L     | 3              | 41 900     |
| EMB14L     | 4              | 44 100     |
| EMB14L     | 5              | 46 300     |
| EMB14L     | 6              | 48 500     |

| ACFTID | Longueur phase | Poids (lb) |
|--------|----------------|------------|
| EMB170 | 1              | 63 070     |
| EMB170 | 2              | 66 599     |
| EMB170 | 3              | 70 484     |
| EMB175 | 1              | 65 698     |
| EMB175 | 2              | 69 459     |
| EMB175 | 3              | 73 518     |
| EMB190 | 1              | 83 520     |
| EMB190 | 2              | 87 757     |
| EMB190 | 3              | 92 363     |
| EMB190 | 4              | 100 656    |
| EMB195 | 1              | 87 096     |
| EMB195 | 2              | 91 558     |
| EMB195 | 3              | 96 388     |
| EMB195 | 4              | 105 138    |
| F10062 | 1              | 78 000     |
| F10062 | 2              | 86 000     |
| F10062 | 3              | 93 000     |
| F10065 | 1              | 80 000     |
| F10065 | 2              | 88 000     |
| F10065 | 3              | 96 000     |
| F28MK2 | 1              | 58 000     |
| F28MK2 | 2              | 64 000     |
| F28MK4 | 1              | 61 000     |
| F28MK4 | 2              | 66 000     |
| F28MK4 | 3              | 73 000     |
| FAL20  | 1              | 28 660     |
| GII    | 1              | 56 000     |
| GIIB   | 1              | 59 245     |
| GIV    | 1              | 63 410     |
| GV     | 1              | 76 925     |
| HS748A | 1              | 46 500     |
| IA1125 | 1              | 23 500     |

| ACFTID | Longueur phase | Poids (lb) |
|--------|----------------|------------|
| L1011  | 1              | 330 000    |
| L1011  | 2              | 340 000    |
| L1011  | 3              | 355 000    |
| L1011  | 4              | 370 000    |
| L1011  | 5              | 400 000    |
| L1011  | 6              | 430 000    |
| L10115 | 1              | 345 000    |
| L10115 | 2              | 355 000    |
| L10115 | 3              | 370 000    |
| L10115 | 4              | 385 000    |
| L10115 | 5              | 413 000    |
| L10115 | 6              | 441 000    |
| L10115 | 7              | 470 000    |
| L188   | 1              | 93 000     |
| L188   | 2              | 102 000    |
| L188   | 3              | 115 000    |
| LEAR25 | 1              | 15 000     |
| LEAR35 | 1              | 18 300     |
| MD11GE | 1              | 395 000    |
| MD11GE | 2              | 410 000    |
| MD11GE | 3              | 425 000    |
| MD11GE | 4              | 460 000    |
| MD11GE | 5              | 495 000    |
| MD11GE | 6              | 535 000    |
| MD11GE | 7              | 580 000    |
| MD11PW | 1              | 395 000    |
| MD11PW | 2              | 410 000    |
| MD11PW | 3              | 425 000    |
| MD11PW | 4              | 460 000    |
| MD11PW | 5              | 495 000    |
| MD11PW | 6              | 535 000    |
| MD11PW | 7              | 580 000    |

| ACFTID | Longueur phase | Poids (lb) |
|--------|----------------|------------|
| MD81   | 1              | 120 680    |
| MD81   | 2              | 127 804    |
| MD81   | 3              | 135 134    |
| MD81   | 4              | 140 000    |
| MD82   | 1              | 120 383    |
| MD82   | 2              | 127 379    |
| MD82   | 3              | 134 584    |
| MD82   | 4              | 145 838    |
| MD82   | 5              | 149 500    |
| MD83   | 1              | 121 555    |
| MD83   | 2              | 128 361    |
| MD83   | 3              | 135 456    |
| MD83   | 4              | 147 079    |
| MD83   | 5              | 160 000    |
| MD9025 | 1              | 131 021    |
| MD9025 | 2              | 137 490    |
| MD9025 | 3              | 144 181    |
| MD9025 | 4              | 151 107    |
| MD9025 | 5              | 156 000    |
| MD9028 | 1              | 131 021    |
| MD9028 | 2              | 137 490    |
| MD9028 | 3              | 144 181    |
| MD9028 | 4              | 151 107    |
| MD9028 | 5              | 156 000    |
| MU3001 | 1              | 14 100     |
| PA28   | 1              | 2 325      |
| PA30   | 1              | 3 600      |
| PA31   | 1              | 7 000      |
| PA42   | 1              | 11 200     |
| SABR80 | 1              | 28 660     |
| SD330  | 1              | 21 800     |
| SF340  | 1              | 24 548     |
| SF340  | 2              | 27 275     |

Tableau I-7

## Coefficients des moteurs à réaction

| ACFTID | Indice poussée            | E (lb)     | F (lb/kt) | Ga (lb/ft) | Gb (lb/ft <sup>2</sup> ) | H (lb/°C) | K1<br>(lb/EPR) | K2 (lb/EPR <sup>2</sup> ) | K3 (lb/(N1/√θ)) | K4<br>(lb/(N1/√θ) <sup>2</sup> ) |
|--------|---------------------------|------------|-----------|------------|--------------------------|-----------|----------------|---------------------------|-----------------|----------------------------------|
| 1900D  | Maxi montée               | 2 548,8    | - 6,7075  | - 0,014    | 0                        | - 0,72    |                |                           |                 |                                  |
| 1900D  | Maxi décollage            | 3 374,6    | - 9,6869  | - 0,0046   | 0                        | - 0,504   |                |                           |                 |                                  |
| 707320 | Général                   | - 25 447,4 | - 6,79039 | - 0,01775  | 0                        | 0         | 33 299,8       | - 5 817                   |                 |                                  |
| 707320 | Maxi montée               | 15 943,8   | - 13,9584 | 0,1672     | 5,7074E-06               | 0         |                |                           |                 |                                  |
| 707320 | Maxi décollage            | 18 044,7   | - 15,7976 | 0,1893     | 6,4595E-06               | 0         |                |                           |                 |                                  |
| 707QN  | Général                   | - 25 447,4 | - 6,79039 | - 0,01775  | 0                        | 0         | 33 299,8       | - 5 817                   |                 |                                  |
| 707QN  | Maxi montée               | 15 943,8   | - 13,9584 | 0,1672     | 5,7074E-06               | 0         |                |                           |                 |                                  |
| 707QN  | Maxi décollage            | 18 044,7   | - 15,7976 | 0,1893     | 6,4595E-06               | 0         |                |                           |                 |                                  |
| 717200 | Maxi montée               | 15 541,5   | - 17,8282 | 0,253495   | 0                        | 0         |                |                           |                 |                                  |
| 717200 | Maxi montée haute temp    | 22 232     | - 18,025  | - 0,201    | 0                        | - 218     |                |                           |                 |                                  |
| 717200 | Maxi décollage            | 17 542,7   | - 19,588  | 0,234981   | 0                        | 0         |                |                           |                 |                                  |
| 717200 | Maxi décollage haute temp | 22 280,7   | - 19,819  | - 0,097    | 0                        | - 154,5   |                |                           |                 |                                  |
| 720B   | Général                   | - 27 419,9 | - 5,81791 | - 0,01175  | 0                        | 0         | 35 654,5       | - 6 560,9                 |                 |                                  |
| 720B   | Maxi montée               | 14 540,1   | - 13,4149 | 0,121548   | 1,78264E-06              | 0         |                |                           |                 |                                  |
| 720B   | Maxi décollage            | 16 768,6   | - 15,471  | 0,140178   | 2,0559E-06               | 0         |                |                           |                 |                                  |
| 727100 | Général                   | - 14 205,5 | - 4,53212 | 0          | 0                        | 0         | 16 602,8       | - 1 403,02                |                 |                                  |
| 727100 | Maxi montée               | 12 029,2   | - 7,99864 | - 0,05203  | 5,44617E-06              | 0         |                |                           |                 |                                  |
| 727100 | Maxi décollage            | 13 218,9   | - 8,78972 | - 0,05717  | 5,9848E-06               | 0         |                |                           |                 |                                  |
| 727D15 | Général                   | - 14 773,7 | - 5,09534 | 0          | 0                        | 0         | 17 717,3       | - 1 845,07                |                 |                                  |
| 727D15 | Maxi montée               | 14 249,6   | - 8,103   | - 0,0436   | 0                        | - 103     |                |                           |                 |                                  |
| 727D15 | Maxi décollage            | 14 935,3   | - 7,459   | 0,3337     | 0                        | - 14,78   |                |                           |                 |                                  |
| 727D15 | Maxi décollage haute temp | 15 524,3   | - 7,066   | 0          | 0                        | - 32,38   |                |                           |                 |                                  |
| 727D17 | Général                   | - 14 773,7 | - 5,09534 | 0          | 0                        | 0         | 17 717,3       | - 1 845,07                |                 |                                  |

| ACFTID | Indice poussée            | E (lb)     | F (lb/kt) | Ga (lb/ft) | Gb (lb/ft <sup>2</sup> ) | H (lb/ °C) | K1 (lb/EPR) | K2 (lb/EPR <sup>2</sup> ) | K3 (lb/(N1/√θ)) | K4 (lb/(N1/√θ) <sup>2</sup> ) |
|--------|---------------------------|------------|-----------|------------|--------------------------|------------|-------------|---------------------------|-----------------|-------------------------------|
| 727D17 | Maxi montée               | 13 812,7   | - 7,52948 | 0,207702   | - 0,000025939            | 0          |             |                           |                 |                               |
| 727D17 | Maxi décollage            | 15 519,8   | - 8,46009 | 0,233373   | - 0,000029145            | 0          |             |                           |                 |                               |
| 727EM1 | Maxi montée               | 12 029,2   | - 7,99864 | - 0,05203  | 5,44617E-06              | 0          |             |                           |                 |                               |
| 727EM1 | Maxi décollage            | 13 218,9   | - 8,78972 | - 0,05717  | 5,9848E-06               | 0          |             |                           |                 |                               |
| 727EM2 | Général                   | - 14 773,7 | - 5,09534 | 0          | 0                        | 0          | 17 717,3    | - 1 845,07                |                 |                               |
| 727EM2 | Maxi montée               | 14 249,6   | - 8,103   | - 0,0436   | 0                        | - 103      |             |                           |                 |                               |
| 727EM2 | Maxi décollage            | 14 935,3   | - 7,459   | 0,3337     | 0                        | - 14,78    |             |                           |                 |                               |
| 727EM2 | Maxi décollage haute temp | 15 524,3   | - 7,066   | 0          | 0                        | - 32,38    |             |                           |                 |                               |
| 727Q15 | Général                   | - 14 773,7 | - 5,09534 | 0          | 0                        | 0          | 17 717,3    | - 1 845,07                |                 |                               |
| 727Q15 | Maxi montée               | 14 249,6   | - 8,103   | - 0,0436   | 0                        | - 103      |             |                           |                 |                               |
| 727Q15 | Maxi décollage            | 14 935,3   | - 7,459   | 0,3337     | 0                        | - 14,78    |             |                           |                 |                               |
| 727Q15 | Maxi décollage haute temp | 15 524,3   | - 7,066   | 0          | 0                        | - 32,38    |             |                           |                 |                               |
| 727Q7  | Général                   | - 14 205,5 | - 4,53212 | 0          | 0                        | 0          | 16 602,8    | - 1 403,02                |                 |                               |
| 727Q7  | Maxi montée               | 12 029,2   | - 7,99864 | - 0,05203  | 5,44617E-06              | 0          |             |                           |                 |                               |
| 727Q7  | Maxi décollage            | 13 218,9   | - 8,78972 | - 0,05717  | 5,9848E-06               | 0          |             |                           |                 |                               |
| 727Q9  | Général                   | - 14 095,4 | - 4,77532 | 0          | 0                        | 0          | 16 666,2    | - 1 490,42                |                 |                               |
| 727Q9  | Maxi montée               | 12 746,2   | - 8,11613 | - 0,00049  | - 4,53384E-06            | 0          |             |                           |                 |                               |
| 727Q9  | Maxi décollage            | 13 705,6   | - 8,72702 | - 0,00053  | - 4,8751E-06             | 0          |             |                           |                 |                               |
| 727QF  | Général                   | - 10 908   | - 23,3571 | - 0,0723   | - 0,00000138             | 0          | 10 929,8    | 2 380,86                  |                 |                               |
| 727QF  | Maxi montée               | 11 266     | - 9,335   | 0,169297   | - 4,70391E-06            | 0          |             |                           |                 |                               |
| 727QF  | Maxi montée haute temp    | 13 966     | - 9,335   | 0          | 0                        | - 90       |             |                           |                 |                               |
| 727QF  | Maxi continue haute temp  | 14 687     | - 9,335   | 0          | 0                        | - 90       |             |                           |                 |                               |
| 727QF  | Maxi continue             | 11 987     | - 9,335   | 0,158001   | - 4,70391E-06            | 0          |             |                           |                 |                               |
| 727QF  | Maxi décollage            | 14 100     | - 12,25   | 0,1495     | - 0,00001175             | 0          |             |                           |                 |                               |

| ACFTID | Indice poussée            | E (lb)     | F (lb/kt) | Ga (lb/ft) | Gb (lb/ft <sup>2</sup> ) | H (lb/°C) | K1 (lb/EPR) | K2 (lb/EPR <sup>2</sup> ) | K3 (lb/(N1/√θ)) | K4 (lb/(N1/√θ) <sup>2</sup> ) |
|--------|---------------------------|------------|-----------|------------|--------------------------|-----------|-------------|---------------------------|-----------------|-------------------------------|
| 727QF  | Maxi décollage haute temp | 16 800     | - 12,25   | 0          | 0                        | - 90      |             |                           |                 |                               |
| 737    | Général                   | - 14 095,4 | - 4,77532 | 0          | 0                        | 0         | 16 666,2    | - 1 490,42                |                 |                               |
| 737    | Maxi montée               | 12 740,1   | - 7,93589 | - 0,02662  | - 4,2762E-07             | 0         |             |                           |                 |                               |
| 737    | Maxi décollage            | 13 847,9   | - 8,62596 | - 0,02894  | - 4,648E-07              | 0         |             |                           |                 |                               |
| 737300 | Général                   | 11 106     | - 10,09   | - 0,0409   | 0                        | 0         |             |                           | - 369,8         | 4,835                         |
| 737300 | Maxi montée               | 17 383,1   | - 15,6072 | 0,148043   | - 0,000001               | - 24,2    |             |                           |                 |                               |
| 737300 | Maxi montée haute temp    | 20 363,9   | - 17,0452 | - 0,06578  | - 0,000001               | - 119     |             |                           |                 |                               |
| 737300 | Maxi décollage            | 19 347     | - 25,8689 | 0,456499   | - 0,0000112              | - 14,78   |             |                           |                 |                               |
| 737300 | Maxi décollage haute temp | 21 143,7   | - 26,2402 | 0,398451   | - 0,000014               | - 79,95   |             |                           |                 |                               |
| 7373B2 | Général                   | 11 106     | - 10,09   | - 0,0409   | 0                        | 0         |             |                           | - 369,8         | 4,835                         |
| 7373B2 | Maxi montée               | 18 623,5   | - 16,4797 | 0,169674   | 0                        | - 9,126   |             |                           |                 |                               |
| 7373B2 | Maxi montée haute temp    | 21 906,6   | - 17,4327 | - 0,07536  | 0                        | - 132,5   |             |                           |                 |                               |
| 7373B2 | Maxi décollage            | 21 480,7   | - 25,888  | 0,225791   | 0                        | - 8,441   |             |                           |                 |                               |
| 7373B2 | Maxi décollage haute temp | 25 393,2   | - 25,7175 | - 0,0246   | 0                        | - 141,3   |             |                           |                 |                               |
| 737400 | Général                   | 21 384     | - 13,79   | - 0,0435   | 0                        | 0         |             |                           | - 615,8         | 6,409                         |
| 737400 | Maxi montée               | 19 662,2   | - 18,221  | 0,207237   | 0                        | 0         |             |                           |                 |                               |
| 737400 | Maxi montée haute temp    | 22 875,1   | - 18,001  | - 0,07615  | 0                        | - 124,7   |             |                           |                 |                               |
| 737400 | Maxi décollage            | 22 116,3   | - 26,0175 | 0,259442   | 0                        | 0         |             |                           |                 |                               |
| 737400 | Maxi décollage haute temp | 26 883,2   | - 26,1707 | - 0,04324  | 0                        | - 159,7   |             |                           |                 |                               |
| 737500 | Général                   | 11 106     | - 10,09   | 0,0409     | 0                        | 0         |             |                           | - 369,8         | 4,835                         |
| 737500 | Maxi montée               | 17 530,9   | - 16,3556 | 0,153997   | - 0,0000013              | - 23,39   |             |                           |                 |                               |
| 737500 | Maxi montée haute temp    | 20 510,5   | - 17,1336 | - 0,07687  | - 0,0000004              | - 122,3   |             |                           |                 |                               |

| ACFTID | Indice poussée            | E (lb)     | F (lb/kt) | Ga (lb/ft) | Gb (lb/ft <sup>2</sup> ) | H (lb/ °C) | K1 (lb/EPR) | K2 (lb/EPR <sup>2</sup> ) | K3 (lb/(N1/√θ)) | K4 (lb/(N1/√θ) <sup>2</sup> ) |
|--------|---------------------------|------------|-----------|------------|--------------------------|------------|-------------|---------------------------|-----------------|-------------------------------|
| 737500 | Maxi décollage            | 19 629,4   | - 26,7504 | 0,550433   | - 0,0000217              | - 7,999    |             |                           |                 |                               |
| 737500 | Maxi décollage haute temp | 22 636,2   | - 28,0937 | 0,225263   | 0,0000409                | - 105,6    |             |                           |                 |                               |
| 737700 | Maxi montée               | 22 106,7   | - 23,7147 | 0,165546   | 0,0000065                | 0          |             |                           |                 |                               |
| 737700 | Maxi montée haute temp    | 29 618,1   | - 24,596  | - 0,273    | 0                        | - 249,1    |             |                           |                 |                               |
| 737700 | Maxi décollage            | 23 534,8   | - 29,3547 | 0,308407   | 0                        | 0          |             |                           |                 |                               |
| 737700 | Maxi décollage haute temp | 29 335,5   | - 28,632  | - 0,105    | 0                        | - 195,6    |             |                           |                 |                               |
| 737800 | Maxi montée               | 22 403,5   | - 27,2645 | 0,305603   | 0                        | 0          |             |                           |                 |                               |
| 737800 | Maxi montée haute temp    | 26 593,3   | - 26,293  | - 0,078    | 0                        | - 174,4    |             |                           |                 |                               |
| 737800 | Maxi décollage            | 26 089,1   | - 29,1098 | 0,143559   | 0                        | 0          |             |                           |                 |                               |
| 737800 | Maxi décollage haute temp | 30 143,2   | - 29,773  | - 0,029    | 0                        | - 145,2    |             |                           |                 |                               |
| 737D17 | Général                   | - 14 773,7 | - 5,09534 | 0          | 0                        | 0          | 17 717,3    | - 1 845,07                |                 |                               |
| 737D17 | Maxi montée               | 13 083,2   | - 7,13185 | 0,196733   | - 0,000024569            | 0          |             |                           |                 |                               |
| 737D17 | Maxi décollage            | 15 519,8   | - 8,46009 | 0,233373   | - 0,000029145            | 0          |             |                           |                 |                               |
| 737N17 | Général                   | - 14 773,7 | - 5,09534 | 0          | 0                        | 0          | 17 717,3    | - 1 845,07                |                 |                               |
| 737N17 | Maxi montée               | 13 083,2   | - 7,13185 | 0,196733   | - 0,000024569            | 0          |             |                           |                 |                               |
| 737N17 | Maxi décollage            | 15 519,8   | - 8,46009 | 0,233373   | - 0,000029145            | 0          |             |                           |                 |                               |
| 737N9  | Général                   | - 14 095,4 | - 4,77532 | 0          | 0                        | 0          | 16 666,2    | - 1 490,42                |                 |                               |
| 737N9  | Maxi montée               | 12 740,1   | - 7,93589 | - 0,02662  | - 4,2762E-07             | 0          |             |                           |                 |                               |
| 737N9  | Maxi décollage            | 13 847,9   | - 8,62596 | - 0,02894  | - 4,648E-07              | 0          |             |                           |                 |                               |
| 737QN  | Général                   | - 14 095,4 | - 4,77532 | 0          | 0                        | 0          | 16 666,2    | - 1 490,42                |                 |                               |
| 737QN  | Maxi montée               | 12 740,1   | - 7,93589 | - 0,02662  | - 4,2762E-07             | 0          |             |                           |                 |                               |
| 737QN  | Maxi décollage            | 13 847,9   | - 8,62596 | - 0,02894  | - 4,648E-07              | 0          |             |                           |                 |                               |
| 74710Q | Général                   | - 141 079  | - 11,7298 | - 0,02833  | 0                        | 0          | 201 105     | - 53 843                  |                 |                               |
| 74710Q | Maxi montée               | 36 791,4   | - 43,5074 | 0,3004     | - 0,0000092              | 0          |             |                           |                 |                               |

| ACFTID | Indice poussée            | E (lb)    | F (lb/kt) | Ga (lb/ft) | Gb (lb/ft <sup>2</sup> ) | H (lb/°C) | K1 (lb/EPR) | K2 (lb/EPR <sup>2</sup> ) | K3 (lb/(N1/√θ)) | K4 (lb/(N1/√θ) <sup>2</sup> ) |
|--------|---------------------------|-----------|-----------|------------|--------------------------|-----------|-------------|---------------------------|-----------------|-------------------------------|
| 74710Q | Maxi décollage            | 42 780,7  | - 50,59   | 0,349279   | - 0,000010697            | 0         |             |                           |                 |                               |
| 747200 | Général                   | - 141 079 | - 11,7298 | - 0,02833  | 0                        | 0         | 201 105     | - 53 843                  |                 |                               |
| 747200 | Maxi montée               | 36 791,4  | - 43,5074 | 0,3004     | - 0,0000092              | 0         |             |                           |                 |                               |
| 747200 | Maxi décollage            | 42 780,7  | - 50,59   | 0,349279   | - 0,000010697            | 0         |             |                           |                 |                               |
| 74720A | Général                   | - 32 370  | - 7,83    | - 0,02105  | 0                        | 0         | 47 590      | 0                         |                 |                               |
| 74720A | Maxi montée               | 34 860    | - 35      | 0,4962     | 0                        | 0         |             |                           |                 |                               |
| 74720A | Maxi décollage            | 40 870    | - 40,11   | 0,4435     | 0                        | 0         |             |                           |                 |                               |
| 74720B | Général                   | - 28 110  | - 10,05   | - 0,03543  | 0                        | 0         | 46 375      | 0                         |                 |                               |
| 74720B | Maxi montée               | 39 594    | - 38,08   | 0,5262     | 0                        | 0         |             |                           |                 |                               |
| 74720B | Maxi décollage            | 48 866    | - 43,68   | 0,6641     | 0                        | 0         |             |                           |                 |                               |
| 747400 | Général                   | - 49 250  | 0         | 0          | 0                        | 0         | 62 210      | 0                         |                 |                               |
| 747400 | Maxi montée               | 44 157,4  | - 42,6142 | 0,635772   | 0                        | 0         |             |                           |                 |                               |
| 747400 | Maxi montée haute temp    | 56 826,2  | - 45,4912 | - 0,20856  | 0                        | - 392,3   |             |                           |                 |                               |
| 747400 | Maxi décollage            | 53 290,5  | - 53,434  | 0,606283   | 0                        | 0         |             |                           |                 |                               |
| 747400 | Maxi décollage haute temp | 66 921,4  | - 54,5627 | - 0,1278   | 0                        | - 410,2   |             |                           |                 |                               |
| 7478   | Ralenti approche          | 5 920     | - 19,02   | 0,225      | 0                        | 0         |             |                           |                 |                               |
| 7478   | Maxi montée               | 50 523    | - 39,8663 | 0,842437   | - 0,000015               | 0         |             |                           |                 |                               |
| 7478   | Maxi montée haute temp    | 56 739,2  | - 27,469  | - 0,1411   | - 0,000015               | - 343,137 |             |                           |                 |                               |
| 7478   | Maxi décollage            | 64 247,2  | - 66,0662 | 0,481932   | 0,000004                 | 0         |             |                           |                 |                               |
| 7478   | Maxi décollage haute temp | 80 923,7  | - 71,3162 | - 0,30655  | - 0,00001                | - 520,464 |             |                           |                 |                               |
| 747SP  | Général                   | - 141 079 | - 11,7298 | - 0,02833  | 0                        | 0         | 201 105     | - 53 843                  |                 |                               |
| 747SP  | Maxi montée               | 36 791,4  | - 43,5074 | 0,3004     | - 0,0000092              | 0         |             |                           |                 |                               |
| 747SP  | Maxi décollage            | 42 780,7  | - 50,59   | 0,349279   | - 0,000010697            | 0         |             |                           |                 |                               |
| 757300 | Maxi montée               | 29 549,2  | - 30,6086 | 0,398179   | 0                        | 0         |             |                           |                 |                               |

| ACFTID | Indice poussée            | E (lb)   | F (lb/kt) | Ga (lb/ft) | Gb (lb/ft <sup>2</sup> ) | H (lb/°C) | K1 (lb/EPR) | K2 (lb/EPR <sup>2</sup> ) | K3 (lb/(N1/√θ)) | K4 (lb/(N1/√θ) <sup>2</sup> ) |
|--------|---------------------------|----------|-----------|------------|--------------------------|-----------|-------------|---------------------------|-----------------|-------------------------------|
| 757300 | Maxi montée haute temp    | 36 157   | - 30,9643 | - 0,16465  | 0                        | - 250,7   |             |                           |                 |                               |
| 757300 | Maxi décollage            | 40 175,5 | - 35,323  | - 0,11328  | 0                        | 0         |             |                           |                 |                               |
| 757300 | Maxi décollage haute temp | 46 892,4 | - 35,6127 | - 0,53031  | 0                        | - 241,7   |             |                           |                 |                               |
| 757PW  | Général                   | - 44 951 | - 0,83    | 0,0198     | 0                        | 0         | 52 972      | 0                         |                 |                               |
| 757PW  | Maxi montée               | 27 775,1 | - 27,6876 | 0,381725   | 0                        | 0         |             |                           |                 |                               |
| 757PW  | Maxi montée haute temp    | 34 748,3 | - 29,9467 | - 0,16641  | 0                        | - 250,7   |             |                           |                 |                               |
| 757PW  | Maxi décollage            | 36 214,8 | - 48,2704 | 0,908044   | 0                        | 0         |             |                           |                 |                               |
| 757PW  | Maxi décollage haute temp | 45 592,5 | - 49,7383 | 0,213208   | 0                        | - 290,6   |             |                           |                 |                               |
| 757RR  | Général                   | - 44 907 | - 21,97   | - 0,0589   | 0                        | 0         | 46 999      | 0                         |                 |                               |
| 757RR  | Maxi montée               | 30 065,2 | - 32,4779 | 0,397321   | 0                        | 0         |             |                           |                 |                               |
| 757RR  | Maxi montée haute temp    | 36 735,1 | - 32,445  | - 0,16871  | 0                        | - 258,4   |             |                           |                 |                               |
| 757RR  | Maxi décollage            | 37 802,1 | - 38,2839 | 0,527181   | 0                        | 0         |             |                           |                 |                               |
| 757RR  | Maxi décollage haute temp | 45 336,5 | - 39,1302 | - 0,00514  | 0                        | - 257,4   |             |                           |                 |                               |
| 767300 | Général                   | - 49 250 | 0         | 0          | 0                        | 0         | 62 210      | 0                         |                 |                               |
| 767300 | Maxi montée               | 45 480   | - 41,9    | 0,559      | 0                        | 0         |             |                           |                 |                               |
| 767300 | Maxi décollage            | 56 370   | - 53      | 0,251      | 0                        | 0         |             |                           |                 |                               |
| 767400 | Maxi montée               | 45 902,7 | - 39,5895 | 0,633446   | 0                        | 0         |             |                           |                 |                               |
| 767400 | Maxi montée haute temp    | 63 647,5 | - 41,082  | - 0,55     | 0                        | - 562,3   |             |                           |                 |                               |
| 767400 | Maxi décollage            | 60 475,4 | - 56,8041 | 0,478788   | 0                        | 0         |             |                           |                 |                               |
| 767400 | Maxi décollage haute temp | 72 425,5 | - 55,569  | - 0,236    | 0                        | - 416,2   |             |                           |                 |                               |
| 767CF6 | Général                   | 62 790   | - 35,03   | - 0,1177   | 0                        | 0         |             |                           | - 1 610,37      | 14                            |
| 767CF6 | Maxi montée               | 38 057   | - 43,24   | 0,705      | 0                        | 0         |             |                           |                 |                               |
| 767CF6 | Maxi décollage            | 44 769   | - 48,34   | 0,5        | 0                        | 0         |             |                           |                 |                               |

| ACFTID    | Indice poussée            | E (lb)    | F (lb/kt) | Ga (lb/ft) | Gb (lb/ft <sup>2</sup> ) | H (lb/ °C) | K1 (lb/EPR) | K2 (lb/EPR <sup>2</sup> ) | K3 (lb/(N1/√θ)) | K4 (lb/(N1/√θ) <sup>2</sup> ) |
|-----------|---------------------------|-----------|-----------|------------|--------------------------|------------|-------------|---------------------------|-----------------|-------------------------------|
| 767JT9    | Général                   | - 39 777  | - 17,367  | - 0,0467   | 0                        | 0          | 56 550      | 0                         |                 |                               |
| 767JT9    | Maxi montée               | 38 700    | - 34,5    | 0,49       | 0                        | 0          |             |                           |                 |                               |
| 767JT9    | Maxi décollage            | 43 190    | - 38,3    | 0,876      | 0                        | 0          |             |                           |                 |                               |
| 777200    | Général                   | 32 710    | 0         | 0          | 0                        | 0          |             |                           | - 1 258         | 16,16                         |
| 777200    | Maxi montée               | 67 093,7  | - 85,7553 | 1,8498     | - 0,000076               | 0          |             |                           |                 |                               |
| 777200    | Maxi montée haute temp    | 82 096,7  | - 72,2859 | - 0,32818  | - 0,0000179              | - 637      |             |                           |                 |                               |
| 777200    | Maxi décollage            | 93 672,6  | - 122,251 | 1,1818     | - 0,0000806              | 0          |             |                           |                 |                               |
| 777200    | Maxi décollage haute temp | 114 758,6 | - 125,38  | - 0,159    | - 0,0000261              | - 702,4    |             |                           |                 |                               |
| 777300    | Maxi montée               | 64 636,2  | - 70,833  | 0,880073   | 0                        | 0          |             |                           |                 |                               |
| 777300    | Maxi montée haute temp    | 90 015,1  | - 70,745  | - 0,852    | 0                        | - 823      |             |                           |                 |                               |
| 777300    | Maxi décollage            | 87 833,8  | - 97,7894 | 0,27543    | 0                        | 0          |             |                           |                 |                               |
| 777300    | Maxi décollage haute temp | 103 835,2 | - 97,831  | - 0,632    | 0                        | - 549,1    |             |                           |                 |                               |
| 7773ER    | Ralenti approche          | 8 950     | - 27,25   | 0,131      | 0                        | 0          |             |                           |                 |                               |
| 7773ER    | Maxi montée               | 92 110    | - 119     | 1,14       | - 0,000007               | 0          |             |                           |                 |                               |
| 7773ER    | Maxi montée haute temp    | 96 550    | - 69,4    | - 0,542    | - 0,00005                | - 533      |             |                           |                 |                               |
| 7773ER    | Maxi décollage            | 112 250   | - 120     | 0,713      | - 0,00011                | 0          |             |                           |                 |                               |
| 7878R     | Ralenti approche          | 3 425     | - 12,03   | 0,0955     | 0                        | 0          |             |                           |                 |                               |
| 7878R     | Maxi montée               | 61 142,6  | - 78,8116 | 1,219801   | - 0,000039               | 0          |             |                           |                 |                               |
| 7878R     | Maxi montée haute temp    | 65 000    | - 55      | 0,1        | - 0,00002                | - 404,274  |             |                           |                 |                               |
| 7878R     | Maxi décollage            | 71 214,6  | - 93,4796 | 0,652462   | 0,000002                 | 0          |             |                           |                 |                               |
| 7878R     | Maxi décollage haute temp | 86 784,2  | - 92      | - 0,27021  | - 0,00001                | - 520,488  |             |                           |                 |                               |
| A300-622R | Général                   | - 148 952 | - 6,71    | - 0,03     | 0                        | 0          | 203 740     | - 50 104,7                |                 |                               |

| ACFTID     | Indice poussée                 | E (lb)    | F (lb/kt) | Ga (lb/ft) | Gb (lb/ft <sup>2</sup> ) | H (lb/ °C) | K1 (lb/EPR) | K2 (lb/EPR <sup>2</sup> ) | K3 (lb/(N1/ $\sqrt{\theta}$ )) | K4 (lb/(N1/ $\sqrt{\theta}$ ) <sup>2</sup> ) |
|------------|--------------------------------|-----------|-----------|------------|--------------------------|------------|-------------|---------------------------|--------------------------------|--|
| A300-622R  | Ralenti approche               | 8 432,8   | - 47,7662 | 0,750523   | - 0,000059071            | 0          |             |                           |                                |  |
| A300-622R  | Ralenti approche<br>Haute temp | 8 432,8   | - 47,7662 | 0,750523   | - 0,000059071            | 0          |             |                           |                                |  |
| A300-622R  | Maxi montée                    | 44 457,2  | - 45,778  | 0,735506   | - 0,000015775            | 0          |             |                           |                                |  |
| A300-622R  | Maxi montée<br>haute temp      | 52 183,7  | - 44,1929 | 0          | 0                        | - 271      |             |                           |                                |  |
| A300-622R  | Maxi décollage                 | 56 307,1  | - 50,9157 | 0,405632   | - 2,0986E-06             | 0          |             |                           |                                |  |
| A300-622R  | Maxi décollage<br>haute temp   | 61 250,3  | - 51,5373 | 0          | 0                        | - 192      |             |                           |                                |  |
| A300B4-203 | Général                        | - 132 687 | - 30,4092 | - 0,10796  | 4,02686E-07              | 0          |             |                           | 2 535,75                       | - 8,23842                                    |
| A300B4-203 | Maxi montée                    | 43 416,5  | - 35      | - 0,12523  | 6,27209E-07              | 0          |             |                           |                                |  |
| A300B4-203 | Maxi décollage                 | 49 336,9  | - 39,8243 | - 0,14231  | 7,12738E-07              | 0          |             |                           |                                |  |
| A310-304   | Général                        | 41 317    | - 32,9    | - 0,0857   | - 0,0000016              | 0          | - 1 131,6   | 11,8                      |                                |  |
| A310-304   | Ralenti approche               | 4 613,2   | - 22,0136 | 0,082133   | - 2,7376E-06             | 0          |             |                           |                                |  |
| A310-304   | Ralenti approche<br>Haute temp | 4 613,2   | - 22,0136 | 0,082133   | - 2,7376E-06             | 0          |             |                           |                                |  |
| A310-304   | Maxi montée                    | 42 008    | - 49,5706 | 1,64076    | - 0,000043059            | 0          |             |                           |                                |  |
| A310-304   | Maxi montée<br>haute temp      | 55 143,3  | - 37,4839 | 0          | 0                        | - 505      |             |                           |                                |  |
| A310-304   | Maxi décollage                 | 50 530,5  | - 51,1538 | 1,26398    | - 0,000012839            | 0          |             |                           |                                |  |
| A310-304   | Maxi décollage<br>haute temp   | 71 457,7  | - 50,7768 | 0          | 0                        | - 608      |             |                           |                                |  |
| A319-131   | Général                        | - 105 513 | - 6,58    | 0,006828   | - 8,055E-07              | 0          | 149 900     | - 42 300                  |                                |  |
| A319-131   | Ralenti approche               | 1 219,5   | - 7,22737 | 0,154266   | - 0,000007955            | 0          |             |                           |                                |  |
| A319-131   | Ralenti approche<br>Haute temp | 1 219,5   | - 7,22737 | 0,154266   | - 0,000007955            | 0          |             |                           |                                |  |
| A319-131   | Maxi montée                    | 14 957,2  | 1,71654   | 0,442593   | - 0,000013824            | 0          |             |                           |                                |  |
| A319-131   | Maxi montée<br>haute temp      | 12 977,6  | 18,59062  | 0          | 0                        | - 78,7     |             |                           |                                |  |
| A319-131   | Maxi décollage                 | 21 435,4  | - 21,3236 | 0,309465   | 1,26125E-05              | 0          |             |                           |                                |  |

| ACFTID   | Indice poussée              | E (lb)     | F (lb/kt) | Ga (lb/ft) | Gb (lb/ft <sup>2</sup> ) | H (lb/ °C) | K1<br>(lb/EPR) | K2 (lb/EPR <sup>2</sup> ) | K3 (lb/(N1/√θ)) | K4<br>(lb/(N1/√θ) <sup>2</sup> ) |
|----------|-----------------------------|------------|-----------|------------|--------------------------|------------|----------------|---------------------------|-----------------|----------------------------------|
| A319-131 | Maxi décollage haute temp   | 23 853,8   | - 18,7311 | 0          | 0                        | - 76,8     |                |                           |                 |                                  |
| A320-211 | Général                     | 24 380     | - 18,534  | - 0,07842  | - 2,509E-07              | 0          |                |                           | - 669,457       | 6,9451                           |
| A320-211 | Ralenti approche            | 2 858,8    | - 14,7325 | 0,096537   | - 6,7861E-06             | 0          |                |                           |                 |                                  |
| A320-211 | Ralenti approche Haute temp | 2 858,8    | - 14,7325 | 0,096537   | - 6,7861E-06             | 0          |                |                           |                 |                                  |
| A320-211 | Maxi montée                 | 16 859,1   | - 4,3786  | 0,183576   | 2,9851E-06               | 0          |                |                           |                 |                                  |
| A320-211 | Maxi montée haute temp      | 19 148,5   | - 6,50173 | 0          | 0                        | - 95       |                |                           |                 |                                  |
| A320-211 | Maxi décollage              | 23 652,9   | - 22,9338 | 0,295879   | - 5,4631E-06             | 0          |                |                           |                 |                                  |
| A320-211 | Maxi décollage haute temp   | 27 385     | - 23,3    | 0          | 0                        | - 132      |                |                           |                 |                                  |
| A320-232 | Général                     | - 65 083,3 | - 7,25    | - 0,01918  | 2,575E-08                | 0          | 87 817,6       | - 18 693,1                |                 |                                  |
| A320-232 | Ralenti approche            | 1 138,9    | - 6,52566 | 0,1667     | - 9,2579E-06             | 0          |                |                           |                 |                                  |
| A320-232 | Ralenti approche Haute temp | 1 138,9    | - 6,52566 | 0,1667     | - 9,2579E-06             | 0          |                |                           |                 |                                  |
| A320-232 | Maxi montée                 | 15 539,2   | - 4,08932 | 0,438331   | - 0,00001439             | 0          |                |                           |                 |                                  |
| A320-232 | Maxi montée haute temp      | 14 111,4   | 10,67953  | 0          | 0                        | - 82,2     |                |                           |                 |                                  |
| A320-232 | Maxi décollage              | 24 746,2   | - 25,2473 | 0,304165   | 9,2451E-06               | 0          |                |                           |                 |                                  |
| A320-232 | Maxi décollage haute temp   | 29 506,5   | - 24,4165 | 0          | 0                        | - 139      |                |                           |                 |                                  |
| A321-232 | Général                     | - 26 190,2 | - 6,6     | - 0,0197   | - 3,408E-07              | 0          | 33 032,2       | 0                         |                 |                                  |
| A321-232 | Ralenti approche            | 1 274,1    | - 7,34054 | 0,175187   | - 0,000011478            | 0          |                |                           |                 |                                  |
| A321-232 | Ralenti approche Haute temp | 1 274,1    | - 7,34054 | 0,175187   | - 0,000011478            | 0          |                |                           |                 |                                  |
| A321-232 | Maxi montée                 | 21 870,8   | - 21,4867 | 0,380647   | - 5,5566E-06             | 0          |                |                           |                 |                                  |
| A321-232 | Maxi montée haute temp      | 24 158,5   | - 16,8504 | 0          | 0                        | - 147      |                |                           |                 |                                  |
| A321-232 | Maxi décollage              | 28 636,4   | - 26,7318 | 0,249782   | - 3,9163E-06             | 0          |                |                           |                 |                                  |

| ACFTID   | Indice poussée              | E (lb)     | F (lb/kt) | Ga (lb/ft) | Gb (lb/ft <sup>2</sup> ) | H (lb/ °C) | K1 (lb/EPR) | K2 (lb/EPR <sup>2</sup> ) | K3 (lb/(N1/√θ)) | K4 (lb/(N1/√θ) <sup>2</sup> ) |
|----------|-----------------------------|------------|-----------|------------|--------------------------|------------|-------------|---------------------------|-----------------|-------------------------------|
| A321-232 | Maxi décollage haute temp   | 31 608,2   | - 25,9736 | 0          | 0                        | - 114      |             |                           |                 |                               |
| A330-301 | Général                     | - 36 339,3 | - 31,32   | - 0,1297   | 0                        | 0          |             |                           | 484,645         | 4,0056                        |
| A330-301 | Ralenti approche            | 4 572,4    | - 26,0005 | 0,013461   | 2,8669E-06               | 0          |             |                           |                 |                               |
| A330-301 | Ralenti approche Haute temp | 4 572,4    | - 26,0005 | 0,013461   | 2,8669E-06               | 0          |             |                           |                 |                               |
| A330-301 | Maxi montée                 | 34 249,9   | 25,9859   | 0,764157   | - 8,1437E-07             | 0          |             |                           |                 |                               |
| A330-301 | Maxi montée haute temp      | 46 667,8   | 10,51272  | 0          | 0                        | - 346      |             |                           |                 |                               |
| A330-301 | Maxi décollage              | 61 384,5   | - 48,4678 | 0,582821   | - 6,2628E-06             | 0          |             |                           |                 |                               |
| A330-301 | Maxi décollage haute temp   | 69 058     | - 46,465  | 0          | 0                        | - 288      |             |                           |                 |                               |
| A330-343 | Général                     | - 127 410  | - 9,31    | - 0,0386   | 0,000000569              | 0          | 162 922     | - 29 498,6                |                 |                               |
| A330-343 | Ralenti approche            | 3 134,3    | - 13,0338 | 0,085938   | 1,7155E-06               | 0          |             |                           |                 |                               |
| A330-343 | Ralenti approche Haute temp | 3 134,3    | - 13,0338 | 0,085938   | 1,7155E-06               | 0          |             |                           |                 |                               |
| A330-343 | Maxi montée                 | 44 462     | - 12,031  | 0,711026   | 5,12762E-06              | 0          |             |                           |                 |                               |
| A330-343 | Maxi montée haute temp      | 63 522,4   | - 50,7504 | 0          | 0                        | - 411      |             |                           |                 |                               |
| A330-343 | Maxi décollage              | 69 831     | - 77,9676 | 0,882955   | - 0,000026894            | 0          |             |                           |                 |                               |
| A330-343 | Maxi décollage haute temp   | 85 732,2   | - 78,8957 | 0          | 0                        | - 451      |             |                           |                 |                               |
| A340-211 | Général                     | 19 716     | - 17,65   | - 0,0878   | 0                        | 0          |             |                           | - 590,77        | 7,341                         |
| A340-211 | Ralenti approche            | 4 019,5    | - 20,508  | - 0,02271  | 1,16972E-05              | 0          |             |                           |                 |                               |
| A340-211 | Ralenti approche Haute temp | 4 019,5    | - 20,508  | - 0,02271  | 1,16972E-05              | 0          |             |                           |                 |                               |
| A340-211 | Maxi montée                 | 26 802,9   | - 28,8264 | 0,31673    | 3,50144E-06              | 0          |             |                           |                 |                               |
| A340-211 | Maxi montée haute temp      | 31 091,8   | - 31,4492 | 0          | 0                        | - 160      |             |                           |                 |                               |
| A340-211 | Maxi décollage              | 29 929,8   | - 30,7732 | 0,29922    | - 4,1757E-06             | 0          |             |                           |                 |                               |

| ACFTID   | Indice poussée              | E (lb)   | F (lb/kt) | Ga (lb/ft) | Gb (lb/ft <sup>2</sup> ) | H (lb/ °C) | K1<br>(lb/EPR) | K2 (lb/EPR <sup>2</sup> ) | K3 (lb/(N1/√θ)) | K4<br>(lb/(N1/√θ) <sup>2</sup> ) |
|----------|-----------------------------|----------|-----------|------------|--------------------------|------------|----------------|---------------------------|-----------------|----------------------------------|
| A340-211 | Maxi décollage haute temp   | 34 594,4 | - 30,094  | 0          | 0                        | - 175      |                |                           |                 |                                  |
| A340-642 | Ralenti approche            | 6 529,4  | - 29,9521 | 0,272155   | - 0,000020281            | 0          |                |                           |                 |                                  |
| A340-642 | Ralenti approche Haute temp | 6 529,4  | - 29,9521 | 0,272155   | - 0,000020281            | 0          |                |                           |                 |                                  |
| A340-642 | Maxi montée                 | 42 621,6 | - 44,2784 | 0,484124   | 2,668E-07                | 0          |                |                           |                 |                                  |
| A340-642 | Maxi montée haute temp      | 50 112   | - 60,5262 | 0          | 0                        | - 212      |                |                           |                 |                                  |
| A340-642 | Maxi décollage              | 55 248,1 | - 61,4744 | 0,506968   | - 9,6324E-06             | 0          |                |                           |                 |                                  |
| A340-642 | Maxi décollage haute temp   | 63 276,8 | - 59,6458 | 0          | 0                        | - 300      |                |                           |                 |                                  |
| A380-841 | Ralenti approche            | 10 914,8 | - 31,2899 | - 2,1424   | 0,000260636              | 0          |                |                           |                 |                                  |
| A380-841 | Ralenti approche Haute temp | 10 914,8 | - 31,2899 | - 2,1424   | 0,000260636              | 0          |                |                           |                 |                                  |
| A380-841 | Maxi montée                 | 63 586,2 | - 53,9292 | 1,23082    | - 0,00003343             | 0          |                |                           |                 |                                  |
| A380-841 | Maxi montée haute temp      | 72 974,3 | - 52,6993 | 0          | 0                        | - 420      |                |                           |                 |                                  |
| A380-841 | Maxi décollage              | 71 176,1 | - 84,4052 | 0,220679   | 0,000428339              | 0          |                |                           |                 |                                  |
| A380-841 | Maxi décollage haute temp   | 90 820,8 | - 94,5354 | 0          | 0                        | - 610      |                |                           |                 |                                  |
| A380-861 | Ralenti approche            | 8 921,7  | - 30,2153 | - 0,87777  | 0,000104691              | 0          |                |                           |                 |                                  |
| A380-861 | Ralenti approche Haute temp | 8 921,7  | - 30,2153 | - 0,87777  | 0,000104691              | 0          |                |                           |                 |                                  |
| A380-861 | Maxi montée                 | 66 053,2 | - 61,754  | 0,977183   | - 0,000025178            | 0          |                |                           |                 |                                  |
| A380-861 | Maxi montée haute temp      | 73 729,7 | - 65,1895 | 0          | 0                        | - 324      |                |                           |                 |                                  |
| A380-861 | Maxi décollage              | 70 053,6 | - 76,0931 | 0,838794   | - 0,000010766            | 0          |                |                           |                 |                                  |
| A380-861 | Maxi décollage haute temp   | 83 320,5 | - 82,3362 | 0          | 0                        | - 432      |                |                           |                 |                                  |
| BAC111   | Maxi montée                 | 9 827,9  | - 5,89674 | - 0,01966  | 0                        | 0          |                |                           |                 |                                  |

| ACFTID  | Indice poussée | E (lb)   | F (lb/kt) | Ga (lb/ft) | Gb (lb/ft <sup>2</sup> ) | H (lb/ °C) | K1<br>(lb/EPR) | K2 (lb/EPR <sup>2</sup> ) | K3 (lb/(N1/√θ)) | K4<br>(lb/(N1/√θ) <sup>2</sup> ) |
|---------|----------------|----------|-----------|------------|--------------------------|------------|----------------|---------------------------|-----------------|----------------------------------|
| BAC111  | Maxi décollage | 11 168,1 | - 6,70084 | - 0,02234  | 0                        | 0          |                |                           |                 |                                  |
| BAE146  | Général        | - 13 783 | - 9,9585  | 0,056057   | - 1,23124E-05            | 0          |                |                           | 304,295         | - 0,84327                        |
| BAE146  | Maxi montée    | 6 339,4  | - 9,9585  | 0,056057   | - 0,0000035              | 0          |                |                           |                 |                                  |
| BAE146  | Maxi décollage | 6 542,4  | - 9,9585  | 0,056057   | - 0,0000035              | 0          |                |                           |                 |                                  |
| BAE300  | Général        | - 13 783 | - 9,9585  | 0,056057   | - 1,23124E-05            | 0          |                |                           | 304,295         | - 0,84327                        |
| BAE300  | Maxi montée    | 6 339,4  | - 9,9585  | 0,056057   | - 0,0000035              | 0          |                |                           |                 |                                  |
| BAE300  | Maxi décollage | 6 542,4  | - 9,9585  | 0,056057   | - 0,0000035              | 0          |                |                           |                 |                                  |
| CIT3    | Maxi montée    | 2 987,4  | - 3,4992  | 0,06123    | - 1,1664E-06             | 0          |                |                           |                 |                                  |
| CIT3    | Maxi décollage | 3 319,3  | - 3,888   | 0,068032   | - 0,000001296            | 0          |                |                           |                 |                                  |
| CL600   | Maxi montée    | 5 543,3  | - 5,6542  | 0,08442    | 0                        | 0          |                |                           |                 |                                  |
| CL600   | Maxi décollage | 6 159,2  | - 6,2824  | 0,0938     | 0                        | 0          |                |                           |                 |                                  |
| CL601   | Maxi montée    | 6 517,3  | - 6,6476  | 0,09776    | 0                        | 0          |                |                           |                 |                                  |
| CL601   | Maxi décollage | 7 241,4  | - 7,3862  | 0,10862    | 0                        | 0          |                |                           |                 |                                  |
| CNA208  | Maxi montée    | 2 953,9  | - 8,581   | - 0,00453  | - 7,2035E-07             | - 1,44     |                |                           |                 |                                  |
| CNA208  | Maxi décollage | 3 245,2  | - 11,69   | - 0,01053  | - 6,777E-07              | - 1,62     |                |                           |                 |                                  |
| CNA500  | Général        | 1 743,1  | - 1,64678 | - 0,00201  | - 1,5642E-07             | 0          |                |                           | - 49,6794       | 0,545                            |
| CNA500  | Maxi montée    | 1 919,5  | - 1,99614 | 0,0615     | - 2,40502E-06            | 0          |                |                           |                 |                                  |
| CNA500  | Maxi décollage | 2 132,8  | - 2,21793 | 0,068333   | - 2,67224E-06            | 0          |                |                           |                 |                                  |
| CNA510  | Général        | 4 234,6  | - 1,68388 | 0,001047   | - 5,78019E-08            | 0          |                |                           | - 103,817       | 0,811333                         |
| CNA510  | Maxi montée    | 1 486    | - 1,60533 | 0          | - 1,04748E-07            | 0          |                |                           |                 |                                  |
| CNA510  | Maxi décollage | 1 492,8  | - 1,87734 | 0          | - 2,55208E-06            | 0          |                |                           |                 |                                  |
| CNA525C | Général        | 1 528,4  | - 2,83667 | - 0,00013  | 2,55648E-07              | 0          |                |                           | - 51,50512788   | 0,724013467                      |

| ACFTID   | Indice poussée         | E (lb)   | F (lb/kt) | Ga (lb/ft) | Gb (lb/ft <sup>2</sup> ) | H (lb/ °C) | K1 (lb/EPR) | K2 (lb/EPR <sup>2</sup> ) | K3 (lb/(N1/ $\sqrt{\theta}$ )) | K4 (lb/(N1/ $\sqrt{\theta}$ ) <sup>2</sup> ) |
|----------|------------------------|----------|-----------|------------|--------------------------|------------|-------------|---------------------------|--------------------------------|--|
| CNA525C  | Maxi montée            | 3 001,7  | - 2,38854 | 0,004585   | - 1,4045E-07             | 0          |             |                           |                                |  |
| CNA525C  | Maxi décollage         | 3 464,1  | - 2,5254  | 0,001981   | - 1,46353E-06            | 0          |             |                           |                                |  |
| CNA55B   | Général                | 1 373,8  | - 2,2903  | - 8,9E-05  | 3,2273E-08               | 0          |             |                           | - 44,861                       | 0,66327                                      |
| CNA55B   | Maxi montée            | 2 323,1  | - 2,4386  | 0,002159   | - 2,1456E-07             | 0          |             |                           |                                |  |
| CNA55B   | Maxi décollage         | 2 658,7  | - 2,6269  | - 0,00359  | 1,7262E-07               | 0          |             |                           |                                |  |
| CNA560E  | Général                | 1 533,4  | - 2,49247 | 0,011973   | - 6,90894E-07            | 0          |             |                           | - 53,9835                      | 0,839574                                     |
| CNA560E  | Maxi montée            | 3 194,3  | - 2,53358 | 0,028038   | 2,70832E-07              | 0          |             |                           |                                |  |
| CNA560E  | Maxi décollage         | 3 316,5  | - 2,7005  | 0,04349    | - 6,52616E-07            | 0          |             |                           |                                |  |
| CNA560U  | Maxi montée            | 2 597,5  | - 2,22178 | 0,023781   | 6,12239E-08              | 0          |             |                           |                                |  |
| CNA560U  | Maxi décollage         | 2 920    | - 2,0264  | 0,025133   | 2,95314E-07              | 0          |             |                           |                                |  |
| CNA560XL | Maxi montée            | 3 454,5  | - 3,98132 | - 0,0704   | 0                        | 0          |             |                           |                                |  |
| CNA560XL | Maxi décollage         | 3 838,3  | - 4,42368 | - 0,07823  | 0                        | 0          |             |                           |                                |  |
| CNA680   | Général                | 2 904,8  | - 4,80092 | - 0,00174  | 5,62892E-07              | 0          |             |                           | - 101,327                      | 1,3401                                       |
| CNA680   | Maxi montée            | 5 520,2  | - 5,32711 | - 0,02377  | 1,89918E-06              | 0          |             |                           |                                |  |
| CNA680   | Maxi décollage         | 5 683    | - 6,55907 | - 0,00159  | 8,72971E-07              | 0          |             |                           |                                |  |
| CNA750   | Général                | 4 778,6  | - 6,56521 | 0,000671   | - 4,11321E-07            | 0          |             |                           | - 146,712                      | 1,9748                                       |
| CNA750   | Maxi montée            | 6 097,8  | - 7,0102  | - 0,00528  | 3,74689E-08              | 0          |             |                           |                                |  |
| CNA750   | Maxi décollage         | 6 127,8  | - 7,07624 | - 0,00394  | 3,95764E-08              | 0          |             |                           |                                |  |
| CONCRD   | Maxi montée            | 33 252,1 | - 26,6    | 0,2328     | 0                        | 0          |             |                           |                                |  |
| CONCRD   | Maxi décollage         | 39 653   | - 31,722  | 0,2776     | 0                        | 0          |             |                           |                                |  |
| CRJ9-ER  | Général                | 6 087,3  | - 9,35507 | - 0,04736  | 1,55476E-07              | - 1,4767   |             |                           | - 183,9266                     | 2,785981                                     |
| CRJ9-ER  | Ralenti approche       | 1 163,1  | - 4,5855  | - 0,0238   | 1,63611E-06              | - 0,0249   |             |                           |                                |  |
| CRJ9-ER  | Maxi montée            | 10 438,3 | - 9,64192 | 0,15855    | - 3,00077E-07            | - 1,3095   |             |                           |                                |  |
| CRJ9-ER  | Maxi montée haute temp | 12 973,4 | - 9,57675 | - 0,05589  | 3,05523E-07              | - 100,415  |             |                           |                                |  |
| CRJ9-ER  | Maxi décollage         | 13 260,6 | - 16,6244 | 0,19849    | - 7,00045E-06            | - 1,6224   |             |                           |                                |  |

| ACFTID  | Indice poussée            | E (lb)     | F (lb/kt) | Ga (lb/ft) | Gb (lb/ft <sup>2</sup> ) | H (lb/°C) | K1 (lb/EPR) | K2 (lb/EPR <sup>2</sup> ) | K3 (lb/(N1/√θ)) | K4 (lb/(N1/√θ) <sup>2</sup> ) |
|---------|---------------------------|------------|-----------|------------|--------------------------|-----------|-------------|---------------------------|-----------------|-------------------------------|
| CRJ9-ER | Maxi décollage haute temp | 16 247,3   | - 17,4575 | 0,077341   | - 1,06353E-05            | - 109,219 |             |                           |                 |                               |
| CRJ9-LR | Général                   | 6 087,3    | - 9,35507 | - 0,04736  | 1,55476E-07              | - 1,4767  |             |                           | - 183,9266      | 2,785981                      |
| CRJ9-LR | Ralenti approche          | 1 163,1    | - 4,5855  | - 0,0238   | 1,63611E-06              | - 0,0249  |             |                           |                 |                               |
| CRJ9-LR | Maxi montée               | 10 438,3   | - 9,64192 | 0,15855    | - 3,00077E-07            | - 1,3095  |             |                           |                 |                               |
| CRJ9-LR | Maxi montée haute temp    | 12 973,4   | - 9,57675 | - 0,05589  | 3,05523E-07              | - 100,415 |             |                           |                 |                               |
| CRJ9-LR | Maxi décollage            | 13 260,6   | - 16,6244 | 0,19849    | - 7,00045E-06            | - 1,6224  |             |                           |                 |                               |
| CRJ9-LR | Maxi décollage haute temp | 16 247,3   | - 17,4575 | 0,077341   | - 1,06353E-05            | - 109,219 |             |                           |                 |                               |
| DC1010  | Général                   | 25 027,6   | - 27,4313 | - 0,07828  | 0                        | 0         |             |                           | - 694,556       | 8,02362                       |
| DC1010  | Maxi montée               | 30 596     | - 28,4416 | - 0,10164  | 5,0902E-07               | 0         |             |                           |                 |                               |
| DC1010  | Maxi décollage            | 35 985,4   | - 30,9909 | - 0,11075  | 5,5465E-07               | 0         |             |                           |                 |                               |
| DC1030  | Maxi montée               | 38 520     | - 29,38   | 0,49       | 0                        | 0         |             |                           |                 |                               |
| DC1030  | Maxi décollage            | 49 310     | - 42,42   | 0,61       | 0                        | 0         |             |                           |                 |                               |
| DC1040  | Général                   | - 143 602  | - 14,4996 | - 0,05026  | 0                        | 0         | 204 567     | - 54 761,9                |                 |                               |
| DC1040  | Maxi montée               | 34 087,9   | - 12,9859 | - 0,04641  | 2,3241E-07               | 0         |             |                           |                 |                               |
| DC1040  | Maxi décollage            | 41 594,9   | - 22,3071 | - 0,07971  | 3,9923E-07               | 0         |             |                           |                 |                               |
| DC850   | Général                   | - 22 582,8 | - 6,58409 | - 0,02081  | 0                        | 0         | 29 070,9    | - 4 341,84                |                 |                               |
| DC850   | Maxi montée               | 14 243,5   | - 5,6565  | - 0,02021  | 1,0123E-07               | 0         |             |                           |                 |                               |
| DC850   | Maxi décollage            | 15 670,3   | - 5,8955  | - 0,02107  | 1,0551E-07               | 0         |             |                           |                 |                               |
| DC860   | Général                   | - 27 959,5 | - 6,35297 | - 0,01835  | 0                        | 0         | 35 850,3    | - 6 157,74                |                 |                               |
| DC860   | Maxi montée               | 15 558,7   | - 7,2339  | - 0,02585  | 1,2947E-07               | 0         |             |                           |                 |                               |
| DC860   | Maxi décollage            | 16 740,5   | - 4,9394  | - 0,01765  | 8,8401E-08               | 0         |             |                           |                 |                               |
| DC870   | Général                   | 11 106     | - 10,09   | - 0,0409   | 0                        | 0         |             |                           | - 369,8         | 4,835                         |
| DC870   | Maxi montée               | 18 859     | - 17,91   | 0,1953     | 0                        | - 2,034   |             |                           |                 |                               |
| DC870   | Maxi décollage            | 20 758     | - 20,65   | 0,2173     | 0                        | 0         |             |                           |                 |                               |

| ACFTID | Indice poussée | E (lb)     | F (lb/kt) | Ga (lb/ft) | Gb (lb/ft <sup>2</sup> ) | H (lb/ °C) | K1 (lb/EPR) | K2 (lb/EPR <sup>2</sup> ) | K3 (lb/(N1/ $\sqrt{\vartheta}$ )) | K4 (lb/(N1/ $\sqrt{\vartheta}$ ) <sup>2</sup> ) |
|--------|----------------|------------|-----------|------------|--------------------------|------------|-------------|---------------------------|-----------------------------------|---|
| DC8QN  | Général        | - 27 959,5 | - 6,35297 | - 0,01835  | 0                        | 0          | 35 850,3    | - 6 157,74                |                                   |   |
| DC8QN  | Maxi montée    | 15 558,7   | - 7,2339  | - 0,02585  | 1,2947E-07               | 0          |             |                           |                                   |   |
| DC8QN  | Maxi décollage | 16 740,5   | - 4,9394  | - 0,01765  | 8,8401E-08               | 0          |             |                           |                                   |   |
| DC910  | Général        | - 10 596,5 | - 1,51369 | - 0,00525  | 0                        | 0          | 11 541,7    | 162,698                   |                                   |   |
| DC910  | Maxi montée    | 11 194,3   | - 3,0274  | - 0,01082  | 5,4181E-08               | 0          |             |                           |                                   |   |
| DC910  | Maxi décollage | 12 308,2   | - 0,478   | 0,001708   | 8,55E-09                 | 0          |             |                           |                                   |   |
| DC930  | Général        | - 13 523,2 | - 2,66888 | - 0,00925  | 0                        | 0          | 15 803,6    | - 1 257,94                |                                   |   |
| DC930  | Maxi montée    | 11 561,8   | - 2,94773 | - 0,01053  | 5,2756E-08               | 0          |             |                           |                                   |   |
| DC930  | Maxi décollage | 12 972     | - 2,31038 | - 0,00826  | 4,1349E-08               | 0          |             |                           |                                   |   |
| DC93LW | Général        | - 13 523,2 | - 2,66888 | - 0,00925  | 0                        | 0          | 15 803,6    | - 1 257,94                |                                   |   |
| DC93LW | Maxi montée    | 11 561,8   | - 2,94773 | - 0,01053  | 5,2756E-08               | 0          |             |                           |                                   |   |
| DC93LW | Maxi décollage | 12 972     | - 2,31038 | - 0,00826  | 4,1349E-08               | 0          |             |                           |                                   |   |
| DC950  | Général        | - 13 523,2 | - 2,66888 | - 0,00925  | 0                        | 0          | 15 803,6    | - 1 257,94                |                                   |   |
| DC950  | Maxi montée    | 12 365,4   | - 2,54939 | - 0,00911  | 4,5627E-08               | 0          |             |                           |                                   |   |
| DC950  | Maxi décollage | 14 698,5   | - 2,13511 | - 0,00763  | 3,8212E-08               | 0          |             |                           |                                   |   |
| DC95HW | Général        | - 13 523,2 | - 2,66888 | - 0,00925  | 0                        | 0          | 15 803,6    | - 1 257,94                |                                   |   |
| DC95HW | Maxi montée    | 12 365,4   | - 2,54939 | - 0,00911  | 4,5627E-08               | 0          |             |                           |                                   |   |
| DC95HW | Maxi décollage | 14 698,5   | - 2,13511 | - 0,00763  | 3,8212E-08               | 0          |             |                           |                                   |   |
| DC9Q7  | Général        | - 10 596,5 | - 1,51369 | - 0,00525  | 0                        | 0          | 11 541,7    | 162,698                   |                                   |   |
| DC9Q7  | Maxi montée    | 11 194,3   | - 3,0274  | - 0,01082  | 5,4181E-08               | 0          |             |                           |                                   |   |
| DC9Q7  | Maxi décollage | 12 308,2   | - 0,478   | 0,001708   | 8,55E-09                 | 0          |             |                           |                                   |   |
| DC9Q9  | Général        | - 13 523,2 | - 2,66888 | - 0,00925  | 0                        | 0          | 15 803,6    | - 1 257,94                |                                   |   |
| DC9Q9  | Maxi montée    | 11 561,8   | - 2,94773 | - 0,01053  | 5,2756E-08               | 0          |             |                           |                                   |   |
| DC9Q9  | Maxi décollage | 12 972     | - 2,31038 | - 0,00826  | 4,1349E-08               | 0          |             |                           |                                   |   |
| DHC8   | Général        | 2 010,7    | - 19,409  | 0,07743    | 0                        | 0          |             |                           | 54,6666                           | - 0,0828  |
| DHC8   | Maxi montée    | 6 323,6    | - 21,4445 | 0,088232   | 0                        | 0          |             |                           |                                   |   |

| ACFTID     | Indice poussée                   | E (lb)  | F (lb/kt) | Ga (lb/ft) | Gb (lb/ft <sup>2</sup> ) | H (lb/ °C) | K1<br>(lb/EPR) | K2 (lb/EPR <sup>2</sup> ) | K3 (lb/(N1/ $\sqrt{\vartheta}$ )) | K4<br>(lb/(N1/ $\sqrt{\vartheta}$ ) <sup>2</sup> ) |
|------------|----------------------------------|---------|-----------|------------|--------------------------|------------|----------------|---------------------------|-----------------------------------|--|
| DHC8       | Maxi décollage                   | 7 026,2 | - 23,8272 | 0,098036   | 0                        | 0          |                |                           |                                   |  |
| DHC830     | Général                          | 1 623,1 | - 18,411  | 0,075104   | 0                        | 0          |                |                           | 72,6356                           | - 0,17951  |
| DHC830     | Maxi montée                      | 6 679   | - 21,9919 | 0,090305   | 0                        | 0          |                |                           |                                   |  |
| DHC830     | Maxi décollage                   | 7 421,1 | - 24,4354 | 0,100339   | 0                        | 0          |                |                           |                                   |  |
| DO228      | Maxi montée                      | 2 571   | - 7,9721  | 0,07004    | - 4,9292E-06             | 0          |                |                           |                                   |  |
| DO228      | Maxi décollage                   | 2 524,3 | - 8,067   | 0,06042    | - 6,8678E-06             | 0          |                |                           |                                   |  |
| DO328      | Maxi montée                      | 7 752,5 | - 23,2    | 0,225      | - 0,0000158              | 0          |                |                           |                                   |  |
| DO328      | Maxi décollage                   | 8 138,2 | - 28,1    | 0,199      | - 0,000021               | 0          |                |                           |                                   |  |
| ECLIPSE500 | Maxi montée                      | 947,7   | - 0,73662 | 0,018307   | 2,63346E-07              | - 0,0571   |                |                           |                                   |  |
| ECLIPSE500 | Maxi montée<br>haute temp        | 1 077,4 | - 1,20966 | - 0,00912  | 1,28125E-07              | - 9,84248  |                |                           |                                   |  |
| ECLIPSE500 | Maxi décollage                   | 1 039,2 | - 1,57439 | 0,034769   | - 0,000002274            | - 0,0323   |                |                           |                                   |  |
| ECLIPSE500 | Maxi décollage<br>haute temp     | 1 258,9 | - 1,6144  | - 0,00748  | 3,13285E-08              | - 10,7499  |                |                           |                                   |  |
| ECLIPSE500 | Réduction mon-<br>tée            | 1 084,2 | - 1,38862 | 0,009974   | 7,08687E-08              | 0,048579   |                |                           |                                   |  |
| ECLIPSE500 | Réduction mon-<br>tée Haute temp | 1 168,6 | - 1,50732 | - 0,01586  | 3,07776E-07              | - 11,2558  |                |                           |                                   |  |
| EMB120     | Maxi montée                      | 4 668   | - 11,932  | 0,0664     | 0                        | - 5,663    |                |                           |                                   |  |
| EMB120     | Maxi décollage                   | 5 212   | - 12,45   | 0,0728     | 0                        | - 6,87     |                |                           |                                   |  |
| EMB145     | Maxi montée                      | 5 554,3 | - 6,86092 | 0,065416   | 0                        | - 4,036    |                |                           |                                   |  |
| EMB145     | Maxi décollage                   | 7 499,5 | - 9,12812 | 0,045563   | 0                        | - 22,89    |                |                           |                                   |  |
| EMB14L     | Maxi montée                      | 6 432,5 | - 7,56929 | 0,069004   | 0                        | - 5,419    |                |                           |                                   |  |
| EMB14L     | Maxi décollage                   | 7 246,1 | - 8,61031 | 0,232825   | 0                        | - 0,9689   |                |                           |                                   |  |
| EMB170     | Ralenti appro-<br>che            | 945     | - 3,5     | - 0,01     | 0                        | 0          |                |                           |                                   |  |
| EMB170     | Maxi montée                      | 11 716  | - 13,423  | 0,25       | - 0,000019               | 0          |                |                           |                                   |  |

| ACFTID | Indice poussée   | E (lb)  | F (lb/kt) | Ga (lb/ft) | Gb (lb/ft <sup>2</sup> ) | H (lb/°C) | K1<br>(lb/EPR) | K2 (lb/EPR <sup>2</sup> ) | K3 (lb/(N1/√θ)) | K4<br>(lb/(N1/√θ) <sup>2</sup> ) |
|--------|------------------|---------|-----------|------------|--------------------------|-----------|----------------|---------------------------|-----------------|----------------------------------|
| EMB170 | Maxi décollage   | 13 350  | - 17,43   | 0,1875     | - 0,000013               | - 4,47    |                |                           |                 |                                  |
| EMB175 | Ralenti approche | 945     | - 3,5     | - 0,01     | 0                        | 0         |                |                           |                 |                                  |
| EMB175 | Maxi montée      | 11 716  | - 13,423  | 0,25       | - 0,000019               | 0         |                |                           |                 |                                  |
| EMB175 | Maxi décollage   | 13 350  | - 17,43   | 0,1875     | - 0,000013               | - 4,47    |                |                           |                 |                                  |
| EMB190 | Ralenti approche | 1 080   | - 3,65    | 0,011      | 0                        | 0         |                |                           |                 |                                  |
| EMB190 | Maxi montée      | 15 137  | - 14,3    | 0,239      | - 0,0000187              | 0         |                |                           |                 |                                  |
| EMB190 | Maxi décollage   | 17 499  | - 18,99   | 0,3207     | - 0,000021               | - 4,29    |                |                           |                 |                                  |
| EMB195 | Ralenti approche | 1 080   | - 3,65    | 0,011      | 0                        | 0         |                |                           |                 |                                  |
| EMB195 | Maxi montée      | 15 137  | - 14,3    | 0,239      | - 0,0000187              | 0         |                |                           |                 |                                  |
| EMB195 | Maxi décollage   | 17 499  | - 18,99   | 0,3207     | - 0,000021               | - 4,29    |                |                           |                 |                                  |
| F10062 | Maxi montée      | 10 472  | - 9,57    | 0,137      | 0                        | 0         |                |                           |                 |                                  |
| F10062 | Maxi décollage   | 13 551  | - 16,56   | 0,2804     | 0                        | 0         |                |                           |                 |                                  |
| F10065 | Maxi montée      | 10 970  | - 10,52   | 0,1238     | 0                        | 0         |                |                           |                 |                                  |
| F10065 | Maxi décollage   | 14 814  | - 16,72   | 0,065      | 0                        | 0         |                |                           |                 |                                  |
| F28MK2 | Maxi montée      | 8 408   | - 4,72    | 0,1048     | 0                        | 0         |                |                           |                 |                                  |
| F28MK2 | Maxi décollage   | 9 851   | - 7,68    | 0,0889     | 0                        | 0         |                |                           |                 |                                  |
| F28MK4 | Maxi montée      | 8 459   | - 4,874   | 0,0997     | 0                        | 0         |                |                           |                 |                                  |
| F28MK4 | Maxi décollage   | 9 905   | - 7,445   | 0,0765     | 0                        | 0         |                |                           |                 |                                  |
| FAL20  | Maxi montée      | 4 102   | - 2,3831  | - 0,11465  | 1,02126E-05              | 0         |                |                           |                 |                                  |
| FAL20  | Maxi décollage   | 4 017,4 | - 3,4567  | 0,058024   | - 2,49247E-06            | 0         |                |                           |                 |                                  |
| GII    | Maxi montée      | 9 827,9 | - 5,89674 | - 0,01966  | 0                        | 0         |                |                           |                 |                                  |
| GII    | Maxi décollage   | 11 324  | - 9,697   | 0,1539     | - 0,000004               | 0         |                |                           |                 |                                  |

| ACFTID | Indice poussée              | E (lb)     | F (lb/kt) | Ga (lb/ft) | Gb (lb/ft <sup>2</sup> ) | H (lb/ °C) | K1<br>(lb/EPR) | K2 (lb/EPR <sup>2</sup> ) | K3 (lb/(N1/ $\sqrt{\vartheta}$ )) | K4<br>(lb/(N1/ $\sqrt{\vartheta}$ ) <sup>2</sup> ) |
|--------|-----------------------------|------------|-----------|------------|--------------------------|------------|----------------|---------------------------|-----------------------------------|--|
| GII    | Maxi décollage haute temp   | 12 833     | - 8,35    | 0,0346     | - 0,000004               | - 74,58    |                |                           |                                   |  |
| GII    | Réduction montée            | 6 030      | 0         | - 0,0081   | 0,0000002                | 0          |                |                           |                                   |  |
| GII    | Réduction montée            | 9 060      | - 7,27    | 0,121      | - 0,000003               | 0          |                |                           |                                   |  |
| GII    | Réduction montée Haute temp | 10 266     | - 6,25    | 0,0277     | - 0,0000003              | - 59,7     |                |                           |                                   |  |
| GIIB   | Maxi montée                 | 9 827,9    | - 5,89674 | - 0,01966  | 0                        | 0          |                |                           |                                   |  |
| GIIB   | Maxi décollage              | 11 324     | - 9,697   | 0,1539     | - 0,000004               | 0          |                |                           |                                   |  |
| GIIB   | Maxi décollage haute temp   | 12 833     | - 8,35    | 0,0346     | - 0,000004               | - 74,58    |                |                           |                                   |  |
| GIIB   | Réduction montée            | 5 369      | 0         | - 0,0081   | 0                        | 0          |                |                           |                                   |  |
| GIIB   | Réduction montée            | 9 060      | - 7,27    | 0,121      | - 0,000003               | 0          |                |                           |                                   |  |
| GIIB   | Réduction montée Haute temp | 10 266     | - 6,25    | 0,0277     | - 0,0000003              | - 59,7     |                |                           |                                   |  |
| GIV    | Maxi montée                 | 10 770     | - 10,96   | 0,1784     | - 0,000001               | 0          |                |                           |                                   |  |
| GIV    | Maxi montée haute temp      | 11 805     | - 9,4     | - 0,0624   | 0                        | - 89       |                |                           |                                   |  |
| GIV    | Maxi décollage              | 13 725     | - 18,2    | 0,3189     | - 0,00002                | 0          |                |                           |                                   |  |
| GIV    | Maxi décollage haute temp   | 17 129     | - 17,6    | - 0,0472   | 0,0000003                | - 114      |                |                           |                                   |  |
| GV     | Maxi montée                 | 12 400     | - 11,6    | 0,12       | 0                        | 0          |                |                           |                                   |  |
| GV     | Maxi montée haute temp      | 14 900     | - 11,2    | - 0,11     | 0                        | - 107      |                |                           |                                   |  |
| GV     | Maxi décollage              | 14 600     | - 18,86   | 0,1649     | 0                        | 0          |                |                           |                                   |  |
| GV     | Maxi décollage haute temp   | 18 970     | - 18,4    | - 0,115    | 0                        | - 126,5    |                |                           |                                   |  |
| IA1125 | Maxi montée                 | 3 114,4    | - 3,4992  | 0,04125    | - 2,81988E-06            | 0          |                |                           |                                   |  |
| IA1125 | Maxi décollage              | 3 460,5    | - 3,888   | 0,045834   | - 3,1332E-06             | 0          |                |                           |                                   |  |
| L1011  | Général                     | - 80 222,2 | - 25,0263 | 0          | 0                        | 0          | 92 893,5       | - 10 186,1                |                                   |  |

| ACFTID | Indice poussée            | E (lb)   | F (lb/kt) | Ga (lb/ft) | Gb (lb/ft <sup>2</sup> ) | H (lb/°C) | K1<br>(lb/EPR) | K2 (lb/EPR <sup>2</sup> ) | K3 (lb/(N1/√θ)) | K4<br>(lb/(N1/√θ) <sup>2</sup> ) |
|--------|---------------------------|----------|-----------|------------|--------------------------|-----------|----------------|---------------------------|-----------------|----------------------------------|
| L1011  | Maxi montée               | 34 204,8 | - 43,8172 | 0,270193   | 2,0153E-06               | 0         |                |                           |                 |                                  |
| L1011  | Maxi décollage            | 40 720   | - 52,1633 | 0,321659   | 2,3992E-06               | 0         |                |                           |                 |                                  |
| L10115 | Maxi montée               | 39 532,9 | - 44,0258 | 0,27148    | 2,02494E-06              | 0         |                |                           |                 |                                  |
| L10115 | Maxi décollage            | 46 840   | - 52,1633 | 0,321659   | 2,3992E-06               | 0         |                |                           |                 |                                  |
| LEAR25 | Maxi montée               | 2 560,9  | - 1,8352  | - 0,01509  | 1,95912E-06              | 0         |                |                           |                 |                                  |
| LEAR25 | Maxi décollage            | 2 845,4  | - 2,03911 | - 0,01677  | 2,1768E-06               | 0         |                |                           |                 |                                  |
| LEAR35 | Maxi montée               | 3 071    | - 3,4992  | - 0,00397  | 1,38915E-06              | 0         |                |                           |                 |                                  |
| LEAR35 | Maxi décollage            | 3 412,2  | - 3,888   | - 0,00441  | 1,5435E-06               | 0         |                |                           |                 |                                  |
| MD11GE | Maxi montée               | 47 037   | - 45,71   | 0,854      | 0                        | - 368,1   |                |                           |                 |                                  |
| MD11GE | Maxi décollage            | 57 156   | - 42,73   | 0,303      | 0                        | - 357,5   |                |                           |                 |                                  |
| MD11PW | Maxi montée               | 51 197   | - 59,27   | 0,416      | 0                        | - 357     |                |                           |                 |                                  |
| MD11PW | Maxi décollage            | 57 661   | - 51,3    | 0,513      | 0                        | - 426,6   |                |                           |                 |                                  |
| MD81   | Général                   | - 15 384 | - 10      | 0,019      | 0                        | 0         | 17 917         | 0                         |                 |                                  |
| MD81   | Maxi montée               | 18 040,9 | - 8,83022 | - 0,02993  | 0                        | - 114,3   |                |                           |                 |                                  |
| MD81   | Maxi montée haute temp    | 21 047,1 | - 12,8373 | - 0,07163  | 0                        | - 151,8   |                |                           |                 |                                  |
| MD81   | Maxi décollage            | 18 810,5 | - 11,1271 | 0,092622   | 0                        | - 2,101   |                |                           |                 |                                  |
| MD81   | Maxi décollage haute temp | 22 678,5 | - 14,546  | - 0,05823  | 0                        | - 138,4   |                |                           |                 |                                  |
| MD82   | Général                   | - 13 488 | - 10      | 0,025      | 0                        | 0         | 16 750         | 0                         |                 |                                  |
| MD82   | Maxi montée               | 16 810,1 | - 5,36467 | 0,048334   | 0                        | - 60,8    |                |                           |                 |                                  |
| MD82   | Maxi montée haute temp    | 22 606,4 | - 13,9975 | - 0,09177  | 0                        | - 168,1   |                |                           |                 |                                  |
| MD82   | Maxi décollage            | 19 344,5 | - 15,5531 | 0,333164   | 0                        | - 1,031   |                |                           |                 |                                  |
| MD82   | Maxi décollage haute temp | 24 452   | - 16,6869 | 0,005711   | 0                        | - 162,5   |                |                           |                 |                                  |

| ACFTID | Indice poussée            | E (lb)   | F (lb/kt) | Ga (lb/ft) | Gb (lb/ft <sup>2</sup> ) | H (lb/ °C) | K1 (lb/EPR) | K2 (lb/EPR <sup>2</sup> ) | K3 (lb/(N1/√θ)) | K4 (lb/(N1/√θ) <sup>2</sup> ) |
|--------|---------------------------|----------|-----------|------------|--------------------------|------------|-------------|---------------------------|-----------------|-------------------------------|
| MD83   | Général                   | - 13 845 | - 13,33   | 0,019      | 0                        | 0          | 17 500      | 0                         |                 |                               |
| MD83   | Maxi montée               | 18 075,2 | - 7,63873 | 0,058915   | 0                        | - 64,7     |             |                           |                 |                               |
| MD83   | Maxi montée haute temp    | 23 181,6 | - 13,4908 | - 0,09344  | 0                        | - 164      |             |                           |                 |                               |
| MD83   | Maxi décollage            | 20 080,8 | - 11,9047 | 0,191099   | 0                        | - 4,078    |             |                           |                 |                               |
| MD83   | Maxi décollage haute temp | 25 460,4 | - 15,5681 | - 0,05468  | 0                        | - 176,1    |             |                           |                 |                               |
| MD9025 | Général                   | - 31 899 | - 8,5718  | - 0,0276   | 0                        | 0          | 37 206      | 0                         |                 |                               |
| MD9025 | Maxi montée               | 23 881   | - 30,625  | 0,2551     | 0                        | 0          |             |                           |                 |                               |
| MD9025 | Maxi montée haute temp    | 27 078,4 | - 30,625  | 0          | 0                        | - 213,2    |             |                           |                 |                               |
| MD9025 | Maxi décollage            | 23 066   | - 23,5769 | 0,3147     | 0                        | 0          |             |                           |                 |                               |
| MD9025 | Maxi décollage haute temp | 28 697,1 | - 23,5769 | 0          | 0                        | - 225,2    |             |                           |                 |                               |
| MD9028 | Général                   | - 31 899 | - 8,5718  | - 0,0276   | 0                        | 0          | 37 206      | 0                         |                 |                               |
| MD9028 | Maxi montée               | 23 421   | - 26,5453 | 0,2599     | 0                        | 0          |             |                           |                 |                               |
| MD9028 | Maxi montée haute temp    | 26 678,6 | - 26,5453 | 0          | 0                        | - 217,2    |             |                           |                 |                               |
| MD9028 | Maxi décollage            | 25 656   | - 25,3418 | 0,2419     | 0                        | 0          |             |                           |                 |                               |
| MD9028 | Maxi décollage haute temp | 30 520   | - 25,3418 | 0          | 0                        | - 194,6    |             |                           |                 |                               |
| MU3001 | Général                   | 1 743,1  | - 1,64678 | - 0,00201  | - 1,5642E-07             | 0          |             |                           | - 49,6794       | 0,545                         |
| MU3001 | Maxi montée               | 1 919,5  | - 1,99614 | 0,0615     | - 2,40502E-06            | 0          |             |                           |                 |                               |
| MU3001 | Maxi décollage            | 2 132,8  | - 2,21793 | 0,068333   | - 2,67224E-06            | 0          |             |                           |                 |                               |
| PA42   | Maxi montée               | 2 295,2  | - 6,6307  | 0,041917   | 5,8567E-07               | 0          |             |                           |                 |                               |
| PA42   | Maxi décollage            | 2 219,6  | - 5,9898  | 0,044468   | 2,8008E-07               | 0          |             |                           |                 |                               |

Tableau I-8

**Coefficients des moteurs à hélice**

| ACFT_ID | Indice poussée | Efficacité de l'hélice | Puissance de propulsion nette installée (cv) |
|---------|----------------|------------------------|--|
| BEC58P  | Maxi poussée   | 0,90                   | 261,3  |
| BEC58P  | Maxi décollage | 0,90                   | 310,0  |
| CNA172  | Maxi poussée   | 0,69                   | 140,0  |
| CNA172  | Maxi décollage | 0,67                   | 155,0  |
| CNA182  | Maxi poussée   | 0,78                   | 189,8  |
| CNA182  | Maxi décollage | 0,75                   | 222,4  |
| CNA206  | Maxi poussée   | 0,77                   | 234,0  |
| CNA206  | Maxi décollage | 0,70                   | 300,0  |
| CNA20T  | Maxi poussée   | 0,77                   | 238,0  |
| CNA20T  | Maxi décollage | 0,69                   | 310,0  |
| CNA441  | Maxi poussée   | 0,90                   | 620,0  |
| CNA441  | Maxi décollage | 0,90                   | 635,5  |
| CVR580  | Maxi poussée   | 0,85                   | 3 344,0                                      |
| CVR580  | Maxi décollage | 0,85                   | 3 800,0                                      |
| DC3     | Maxi poussée   | 0,85                   | 1 130,0                                      |
| DC3     | Maxi décollage | 0,85                   | 1 302,0                                      |
| DC6     | Maxi poussée   | 0,90                   | 1 750,0                                      |
| DC6     | Maxi décollage | 0,90                   | 1 900,0                                      |
| DHC6    | Maxi poussée   | 0,90                   | 557,5  |
| DHC6    | Maxi décollage | 0,90                   | 587,0  |
| DHC6QP  | Maxi poussée   | 0,90                   | 557,5  |
| DHC6QP  | Maxi décollage | 0,90                   | 587,0  |
| DHC7    | Maxi poussée   | 0,90                   | 846,0  |
| DHC7    | Maxi décollage | 0,90                   | 940,0  |
| HS748A  | Maxi poussée   | 0,90                   | 1 805,0                                      |
| HS748A  | Maxi décollage | 0,90                   | 2 006,0                                      |
| L188    | Maxi poussée   | 0,90                   | 3 180,0                                      |
| L188    | Maxi décollage | 0,90                   | 3 460,0                                      |
| PA30    | Maxi poussée   | 0,80                   | 130,5  |
| PA30    | Maxi décollage | 0,80                   | 139,5  |
| SD330   | Maxi poussée   | 0,90                   | 972,0  |
| SD330   | Maxi décollage | 0,90                   | 1 080,0                                      |
| SF340   | Maxi poussée   | 0,90                   | 1 587,0                                      |
| SF340   | Maxi décollage | 0,90                   | 1 763,0                                      |

Tableau I-9

## Données NPD (bruit-puissance-distance)

| NPD_ID | Mode de mesure du bruit | Type d'op | Paramètre puissance (le champ «paramètre puissance» du tableau «Avions» indique le type et l'unité du paramètre de puissance) | L_200ft | L_400ft | L_630ft | L_1000ft | L_2000ft | L_4000ft | L_6300ft | L_10000ft | L_16000ft | L_25000ft |
|--------|-------------------------|-----------|---|---------|---------|---------|----------|----------|----------|----------|-----------|-----------|-----------|
| 2CF650 | LAmax                   | A         | 10 000,0  | 99,2    | 91,9    | 86,7    | 81,0     | 72,1     | 63,0     | 56,7     | 49,6      | 41,6      | 33,1      |
| 2CF650 | LAmax                   | A         | 25 000,0  | 105,3   | 98,3    | 93,4    | 88,0     | 79,5     | 70,5     | 64,3     | 57,4      | 49,7      | 41,5      |
| 2CF650 | LAmax                   | D         | 25 000,0  | 105,3   | 98,3    | 93,4    | 88,0     | 79,5     | 70,5     | 64,3     | 57,4      | 49,7      | 41,5      |
| 2CF650 | LAmax                   | D         | 40 000,0  | 109,1   | 102,3   | 97,6    | 92,5     | 84,3     | 75,4     | 69,3     | 62,6      | 55,1      | 47,2      |
| 2CF650 | SEL                     | A         | 10 000,0  | 99,9    | 95,0    | 91,4    | 87,5     | 81,3     | 74,6     | 69,7     | 64,2      | 57,7      | 50,7      |
| 2CF650 | SEL                     | A         | 25 000,0  | 103,7   | 99,3    | 96,1    | 92,7     | 87,1     | 80,6     | 75,8     | 70,5      | 64,3      | 57,5      |
| 2CF650 | SEL                     | D         | 25 000,0  | 103,7   | 99,3    | 96,1    | 92,7     | 87,1     | 80,6     | 75,8     | 70,5      | 64,3      | 57,5      |
| 2CF650 | SEL                     | D         | 40 000,0  | 106,8   | 102,9   | 100,1   | 97,1     | 92,0     | 85,8     | 81,0     | 75,9      | 69,9      | 63,4      |
| 2CF680 | LAmax                   | A         | 7 000,0   | 96,3    | 89,8    | 85,2    | 80,2     | 71,9     | 63,2     | 56,9     | 50,8      | 44,1      | 37,7      |
| 2CF680 | LAmax                   | A         | 12 000,0  | 97,5    | 90,9    | 86,3    | 81,3     | 73,0     | 64,4     | 58,3     | 52,3      | 45,8      | 39,6      |
| 2CF680 | LAmax                   | D         | 17 000,0  | 98,2    | 91,5    | 87,0    | 82,1     | 74,2     | 65,8     | 59,7     | 53,6      | 46,9      | 40,4      |
| 2CF680 | LAmax                   | D         | 25 000,0  | 98,5    | 92,6    | 88,3    | 83,7     | 76,4     | 68,0     | 62,0     | 55,6      | 48,7      | 41,8      |
| 2CF680 | LAmax                   | D         | 33 000,0  | 101,5   | 95,8    | 91,7    | 87,3     | 80,2     | 71,8     | 65,8     | 59,4      | 52,5      | 45,5      |
| 2CF680 | LAmax                   | D         | 41 000,0  | 104,4   | 99,0    | 95,2    | 91,0     | 84,1     | 75,8     | 69,7     | 63,2      | 56,0      | 48,8      |
| 2CF680 | SEL                     | A         | 7 000,0   | 98,1    | 93,9    | 90,8    | 87,4     | 81,4     | 75,0     | 70,3     | 65,7      | 60,6      | 55,7      |
| 2CF680 | SEL                     | A         | 12 000,0  | 99,3    | 95,0    | 91,9    | 88,5     | 82,5     | 76,2     | 71,7     | 67,2      | 62,3      | 57,6      |
| 2CF680 | SEL                     | D         | 17 000,0  | 100,0   | 95,6    | 92,6    | 89,3     | 83,7     | 77,6     | 73,1     | 68,5      | 63,4      | 58,4      |
| 2CF680 | SEL                     | D         | 25 000,0  | 100,3   | 96,7    | 93,9    | 90,9     | 85,9     | 79,8     | 75,4     | 70,5      | 65,2      | 59,8      |
| 2CF680 | SEL                     | D         | 33 000,0  | 103,3   | 99,9    | 97,3    | 94,5     | 89,7     | 83,6     | 79,2     | 74,3      | 69,0      | 63,5      |

| NPD_ID | Mode de mesure du bruit | Type d'op | Paramètre puissance (le champ «paramètre puissance» du tableau «Avions» indique le type et l'unité du paramètre de puissance) | L_200ft | L_400ft | L_630ft | L_1000ft | L_2000ft | L_4000ft | L_6300ft | L_10000ft | L_16000ft | L_25000ft |
|--------|-------------------------|-----------|---|---------|---------|---------|----------|----------|----------|----------|-----------|-----------|-----------|
| 2CF680 | SEL                     | D         | 41 000,0  | 106,2   | 103,1   | 100,8   | 98,2     | 93,6     | 87,6     | 83,1     | 78,1      | 72,5      | 66,8      |
| 2CF68D | LAmax                   | A         | 10 020,0  | 97,7    | 91,0    | 85,8    | 81,1     | 73,0     | 64,5     | 58,5     | 51,7      | 44,8      | 38,3      |
| 2CF68D | LAmax                   | A         | 23 190,0  | 103,3   | 96,5    | 91,5    | 86,5     | 77,5     | 68,3     | 61,7     | 54,6      | 47,5      | 40,4      |
| 2CF68D | LAmax                   | D         | 25 940,0  | 101,9   | 94,6    | 89,8    | 85,0     | 77,5     | 68,9     | 62,6     | 55,3      | 47,5      | 37,2      |
| 2CF68D | LAmax                   | D         | 39 180,0  | 104,2   | 97,6    | 93,1    | 89,0     | 81,7     | 73,4     | 66,8     | 60,1      | 52,2      | 42,2      |
| 2CF68D | LAmax                   | D         | 51 530,0  | 108,4   | 102,1   | 97,8    | 93,5     | 86,7     | 78,9     | 72,8     | 66,3      | 58,7      | 49,2      |
| 2CF68D | LAmax                   | D         | 55 500,0  | 111,4   | 105,1   | 100,8   | 96,5     | 88,7     | 82,4     | 76,3     | 70,3      | 62,7      | 54,0      |
| 2CF68D | SEL                     | A         | 10 020,0  | 99,5    | 95,1    | 91,4    | 88,3     | 82,5     | 76,3     | 71,9     | 66,6      | 61,3      | 56,3      |
| 2CF68D | SEL                     | A         | 23 190,0  | 105,1   | 100,6   | 97,1    | 93,7     | 87,0     | 80,1     | 75,1     | 69,5      | 64,0      | 58,4      |
| 2CF68D | SEL                     | D         | 25 940,0  | 103,7   | 98,7    | 95,4    | 92,2     | 87,0     | 80,7     | 76,0     | 70,2      | 64,0      | 55,2      |
| 2CF68D | SEL                     | D         | 39 180,0  | 106,0   | 101,7   | 98,7    | 96,2     | 91,2     | 85,2     | 80,2     | 75,0      | 68,7      | 60,2      |
| 2CF68D | SEL                     | D         | 51 530,0  | 110,2   | 106,2   | 103,4   | 100,7    | 96,2     | 90,7     | 86,2     | 81,2      | 75,2      | 67,2      |
| 2CF68D | SEL                     | D         | 55 500,0  | 113,2   | 109,2   | 106,4   | 103,7    | 98,2     | 94,2     | 89,7     | 85,2      | 79,2      | 72,0      |
| 2J155D | LAmax                   | A         | 500,0   | 87,0    | 79,3    | 74,0    | 68,2     | 59,0     | 49,2     | 42,4     | 35,2      | 27,6      | 20,0      |
| 2J155D | LAmax                   | A         | 1 000,0   | 92,9    | 85,4    | 80,2    | 74,6     | 65,6     | 56,0     | 49,4     | 42,4      | 35,0      | 27,6      |
| 2J155D | LAmax                   | D         | 1 500,0   | 98,3    | 90,9    | 85,7    | 80,1     | 71,2     | 61,7     | 55,1     | 48,1      | 40,7      | 33,4      |
| 2J155D | LAmax                   | D         | 2 400,0   | 103,2   | 97,1    | 92,5    | 87,5     | 79,2     | 70,0     | 63,4     | 56,3      | 48,7      | 41,1      |
| 2J155D | LAmax                   | D         | 2 800,0   | 107,7   | 101,4   | 96,9    | 91,8     | 83,5     | 74,2     | 67,7     | 60,6      | 53,0      | 45,4      |
| 2J155D | SEL                     | A         | 500,0   | 87,3    | 81,9    | 78,1    | 73,8     | 66,9     | 59,3     | 54,0     | 48,3      | 42,3      | 36,2      |
| 2J155D | SEL                     | A         | 1 000,0   | 93,3    | 88,1    | 84,4    | 80,3     | 73,6     | 66,3     | 61,1     | 55,6      | 49,7      | 43,8      |

| NPD_ID | Mode de mesure du bruit | Type d'op | Paramètre puissance (le champ «paramètre puissance» du tableau «Avions» indique le type et l'unité du paramètre de puissance) | L_200ft | L_400ft | L_630ft | L_1000ft | L_2000ft | L_4000ft | L_6300ft | L_10000ft | L_16000ft | L_25000ft |
|--------|-------------------------|-----------|---|---------|---------|---------|----------|----------|----------|----------|-----------|-----------|-----------|
| 2J155D | SEL                     | D         | 1 500,0   | 99,5    | 94,3    | 90,6    | 86,5     | 79,9     | 72,6     | 67,5     | 62,0      | 56,1      | 50,3      |
| 2J155D | SEL                     | D         | 2 400,0   | 106,2   | 102,4   | 99,3    | 95,8     | 89,8     | 82,8     | 77,8     | 72,2      | 66,1      | 59,9      |
| 2J155D | SEL                     | D         | 2 800,0   | 109,9   | 106,0   | 102,9   | 99,4     | 93,3     | 86,4     | 81,3     | 75,7      | 69,6      | 63,4      |
| 2JT8D  | LAmaz                   | A         | 3 000,0   | 102,6   | 94,6    | 88,6    | 82,3     | 73,8     | 64,5     | 58,0     | 51,0      | 42,8      | 34,4      |
| 2JT8D  | LAmaz                   | A         | 6 000,0   | 105,4   | 97,9    | 91,5    | 85,8     | 77,2     | 68,5     | 61,9     | 55,1      | 47,1      | 38,5      |
| 2JT8D  | LAmaz                   | D         | 8 000,0   | 108,6   | 100,7   | 95,6    | 89,9     | 81,8     | 73,2     | 66,5     | 59,9      | 52,0      | 43,8      |
| 2JT8D  | LAmaz                   | D         | 10 000,0  | 111,6   | 104,3   | 99,5    | 94,6     | 86,3     | 77,7     | 71,8     | 64,9      | 57,2      | 48,9      |
| 2JT8D  | LAmaz                   | D         | 12 000,0  | 115,9   | 108,9   | 104,3   | 99,4     | 91,1     | 82,8     | 76,8     | 70,1      | 62,8      | 54,6      |
| 2JT8D  | LAmaz                   | D         | 14 000,0  | 120,8   | 113,4   | 109,4   | 104,5    | 96,4     | 88,2     | 82,3     | 75,8      | 68,6      | 60,9      |
| 2JT8D  | SEL                     | A         | 3 000,0   | 102,3   | 97,2    | 92,9    | 88,5     | 82,8     | 75,6     | 70,9     | 65,4      | 58,8      | 51,8      |
| 2JT8D  | SEL                     | A         | 6 000,0   | 106,1   | 100,5   | 96,7    | 93,0     | 87,2     | 80,9     | 76,1     | 70,7      | 64,1      | 56,9      |
| 2JT8D  | SEL                     | D         | 8 000,0   | 108,8   | 103,9   | 100,5   | 96,8     | 91,5     | 85,7     | 80,5     | 75,1      | 68,9      | 62,0      |
| 2JT8D  | SEL                     | D         | 10 000,0  | 111,4   | 107,2   | 104,3   | 101,1    | 95,7     | 89,5     | 85,0     | 79,8      | 73,5      | 66,7      |
| 2JT8D  | SEL                     | D         | 12 000,0  | 115,1   | 111,1   | 108,4   | 105,5    | 100,2    | 94,3     | 89,9     | 85,0      | 78,8      | 72,1      |
| 2JT8D  | SEL                     | D         | 14 000,0  | 119,8   | 115,9   | 113,3   | 110,5    | 105,4    | 99,7     | 95,3     | 90,3      | 84,5      | 78,4      |
| 2JT8D2 | LAmaz                   | A         | 4 000,0   | 89,8    | 82,7    | 78,0    | 73,2     | 65,6     | 57,3     | 51,1     | 44,5      | 37,7      | 31,3      |
| 2JT8D2 | LAmaz                   | A         | 4 667,0   | 90,8    | 83,6    | 79,0    | 74,2     | 66,6     | 58,2     | 52,0     | 45,4      | 38,6      | 32,2      |
| 2JT8D2 | LAmaz                   | A         | 5 333,0   | 91,8    | 84,6    | 79,9    | 75,1     | 67,5     | 59,1     | 52,9     | 46,3      | 39,4      | 33,0      |
| 2JT8D2 | LAmaz                   | A         | 6 000,0   | 92,9    | 85,6    | 80,9    | 76,1     | 68,4     | 60,0     | 53,8     | 47,1      | 40,3      | 33,9      |
| 2JT8D2 | LAmaz                   | D         | 9 000,0   | 100,6   | 93,9    | 89,5    | 84,8     | 77,3     | 69,0     | 62,9     | 56,1      | 49,2      | 42,5      |

| NPD_ID | Mode de mesure du bruit | Type d'op | Paramètre puissance (le champ «paramètre puissance» du tableau «Avions» indique le type et l'unité du paramètre de puissance) | L_200ft | L_400ft | L_630ft | L_1000ft | L_2000ft | L_4000ft | L_6300ft | L_10000ft | L_16000ft | L_25000ft |
|--------|-------------------------|-----------|---|---------|---------|---------|----------|----------|----------|----------|-----------|-----------|-----------|
| 2JT8D2 | LAmax                   | D         | 11 000,0  | 103,0   | 96,3    | 91,9    | 87,2     | 79,6     | 71,2     | 65,0     | 58,2      | 51,2      | 44,4      |
| 2JT8D2 | LAmax                   | D         | 13 000,0  | 105,4   | 98,7    | 94,2    | 89,5     | 81,8     | 73,3     | 67,1     | 60,2      | 53,1      | 46,3      |
| 2JT8D2 | LAmax                   | D         | 15 000,0  | 107,8   | 101,1   | 96,6    | 91,8     | 84,1     | 75,5     | 69,2     | 62,2      | 55,1      | 48,2      |
| 2JT8D2 | LAmax                   | D         | 17 000,0  | 110,2   | 103,5   | 99,0    | 94,2     | 86,4     | 77,6     | 71,3     | 64,2      | 57,0      | 50,1      |
| 2JT8D2 | LAmax                   | D         | 19 000,0  | 112,6   | 105,9   | 101,4   | 96,5     | 88,6     | 79,8     | 73,4     | 66,2      | 59,0      | 52,0      |
| 2JT8D2 | SEL                     | A         | 4 000,0   | 91,5    | 87,5    | 84,7    | 81,9     | 77,1     | 71,6     | 67,2     | 62,4      | 57,5      | 52,9      |
| 2JT8D2 | SEL                     | A         | 4 667,0   | 92,6    | 88,5    | 85,8    | 82,9     | 78,1     | 72,6     | 68,2     | 63,4      | 58,5      | 53,8      |
| 2JT8D2 | SEL                     | A         | 5 333,0   | 93,7    | 89,6    | 86,8    | 83,9     | 79,1     | 73,6     | 69,2     | 64,4      | 59,4      | 54,8      |
| 2JT8D2 | SEL                     | A         | 6 000,0   | 94,7    | 90,6    | 87,8    | 84,9     | 80,1     | 74,6     | 70,2     | 65,4      | 60,4      | 55,7      |
| 2JT8D2 | SEL                     | D         | 9 000,0   | 100,1   | 96,3    | 93,7    | 91,0     | 86,3     | 80,8     | 76,6     | 71,6      | 66,5      | 61,7      |
| 2JT8D2 | SEL                     | D         | 11 000,0  | 102,4   | 98,7    | 96,1    | 93,3     | 88,6     | 83,0     | 78,7     | 73,7      | 68,7      | 63,8      |
| 2JT8D2 | SEL                     | D         | 13 000,0  | 104,8   | 101,0   | 98,5    | 95,6     | 90,9     | 85,2     | 80,9     | 75,9      | 70,8      | 65,9      |
| 2JT8D2 | SEL                     | D         | 15 000,0  | 107,1   | 103,4   | 100,8   | 98,0     | 93,1     | 87,4     | 83,1     | 78,0      | 72,9      | 68,0      |
| 2JT8D2 | SEL                     | D         | 17 000,0  | 109,5   | 105,7   | 103,2   | 100,3    | 95,4     | 89,6     | 85,2     | 80,2      | 75,0      | 70,1      |
| 2JT8D2 | SEL                     | D         | 19 000,0  | 111,8   | 108,1   | 105,5   | 102,7    | 97,7     | 91,8     | 87,4     | 82,3      | 77,2      | 72,2      |
| 2JT8DH | LAmax                   | A         | 3 000,0   | 88,6    | 83,0    | 76,9    | 71,2     | 62,7     | 54,1     | 48,0     | 41,2      | 33,4      | 25,2      |
| 2JT8DH | LAmax                   | A         | 6 000,0   | 93,9    | 88,7    | 84,5    | 79,9     | 72,5     | 64,0     | 57,8     | 50,8      | 42,9      | 34,3      |
| 2JT8DH | LAmax                   | D         | 8 000,0   | 101,1   | 94,5    | 90,0    | 85,2     | 77,5     | 68,8     | 62,5     | 55,4      | 47,3      | 38,7      |
| 2JT8DH | LAmax                   | D         | 10 000,0  | 103,5   | 96,9    | 92,5    | 87,7     | 79,9     | 71,2     | 64,8     | 57,6      | 49,6      | 41,2      |
| 2JT8DH | LAmax                   | D         | 12 000,0  | 108,0   | 101,4   | 97,0    | 92,2     | 84,5     | 75,8     | 69,4     | 62,4      | 54,4      | 45,9      |

| NPD_ID | Mode de mesure du bruit | Type d'op | Paramètre puissance (le champ «paramètre puissance» du tableau «Avions» indique le type et l'unité du paramètre de puissance) | L_200ft | L_400ft | L_630ft | L_1000ft | L_2000ft | L_4000ft | L_6300ft | L_10000ft | L_16000ft | L_25000ft |
|--------|-------------------------|-----------|---|---------|---------|---------|----------|----------|----------|----------|-----------|-----------|-----------|
| 2JT8DH | LAmax                   | D         | 14 000,0  | 110,7   | 104,2   | 99,8    | 95,1     | 87,5     | 79,0     | 72,8     | 65,9      | 58,2      | 50,0      |
| 2JT8DH | SEL                     | A         | 3 000,0   | 92,6    | 88,5    | 85,0    | 81,2     | 75,5     | 69,0     | 64,1     | 58,5      | 51,9      | 44,9      |
| 2JT8DH | SEL                     | A         | 6 000,0   | 97,9    | 93,6    | 90,8    | 87,9     | 83,0     | 76,7     | 71,7     | 65,9      | 59,2      | 51,8      |
| 2JT8DH | SEL                     | D         | 8 000,0   | 99,5    | 95,8    | 93,2    | 90,3     | 85,4     | 79,0     | 73,8     | 67,9      | 61,1      | 53,6      |
| 2JT8DH | SEL                     | D         | 10 000,0  | 103,6   | 99,9    | 97,3    | 94,4     | 89,5     | 83,0     | 77,8     | 71,8      | 65,0      | 57,7      |
| 2JT8DH | SEL                     | D         | 12 000,0  | 107,2   | 103,5   | 100,9   | 98,0     | 93,1     | 86,7     | 81,5     | 75,6      | 68,9      | 61,5      |
| 2JT8DH | SEL                     | D         | 14 000,0  | 110,8   | 107,2   | 104,6   | 101,8    | 97,0     | 90,6     | 85,6     | 79,9      | 73,4      | 66,4      |
| 2JT8DL | LAmax                   | A         | 3 000,0   | 92,7    | 85,7    | 80,8    | 75,8     | 67,8     | 59,0     | 52,6     | 45,4      | 37,2      | 28,7      |
| 2JT8DL | LAmax                   | A         | 6 000,0   | 96,7    | 89,9    | 85,3    | 80,4     | 72,4     | 63,6     | 57,2     | 50,0      | 41,8      | 33,2      |
| 2JT8DL | LAmax                   | D         | 8 000,0   | 102,0   | 95,2    | 90,7    | 85,8     | 77,8     | 69,0     | 62,6     | 55,5      | 47,3      | 38,7      |
| 2JT8DL | LAmax                   | D         | 10 000,0  | 105,7   | 98,5    | 93,9    | 89,0     | 81,0     | 72,2     | 65,8     | 58,6      | 50,6      | 42,0      |
| 2JT8DL | LAmax                   | D         | 12 000,0  | 109,3   | 102,5   | 98,0    | 93,2     | 85,3     | 76,5     | 70,0     | 62,9      | 54,9      | 46,4      |
| 2JT8DL | LAmax                   | D         | 14 000,0  | 112,5   | 105,8   | 101,3   | 96,4     | 88,5     | 79,5     | 72,9     | 65,7      | 57,6      | 49,1      |
| 2JT8DL | SEL                     | A         | 3 000,0   | 94,7    | 90,2    | 87,0    | 83,7     | 78,4     | 71,7     | 66,5     | 60,4      | 53,5      | 46,1      |
| 2JT8DL | SEL                     | A         | 6 000,0   | 97,9    | 94,0    | 91,2    | 88,2     | 83,0     | 76,5     | 71,2     | 65,2      | 58,3      | 50,8      |
| 2JT8DL | SEL                     | D         | 8 000,0   | 101,2   | 97,3    | 94,5    | 91,5     | 86,3     | 79,7     | 74,5     | 68,5      | 61,6      | 54,1      |
| 2JT8DL | SEL                     | D         | 10 000,0  | 104,6   | 101,3   | 98,4    | 95,3     | 90,1     | 83,6     | 78,3     | 72,4      | 65,5      | 58,1      |
| 2JT8DL | SEL                     | D         | 12 000,0  | 108,1   | 104,7   | 101,9   | 99,0     | 94,0     | 87,4     | 82,1     | 76,2      | 69,4      | 62,1      |
| 2JT8DL | SEL                     | D         | 14 000,0  | 111,7   | 108,0   | 105,3   | 102,4    | 97,3     | 90,6     | 85,3     | 79,2      | 72,3      | 65,0      |
| 2JT8DN | LAmax                   | A         | 3 000,0   | 90,6    | 84,2    | 79,7    | 74,9     | 67,3     | 59,2     | 53,6     | 47,7      | 41,5      | 35,4      |

| NPD_ID | Mode de mesure du bruit | Type d'op | Paramètre puissance (le champ «paramètre puissance» du tableau «Avions» indique le type et l'unité du paramètre de puissance) | L_200ft | L_400ft | L_630ft | L_1000ft | L_2000ft | L_4000ft | L_6300ft | L_10000ft | L_16000ft | L_25000ft |
|--------|-------------------------|-----------|---|---------|---------|---------|----------|----------|----------|----------|-----------|-----------|-----------|
| 2JT8DN | LAmax                   | A         | 5 000,0   | 95,8    | 89,3    | 84,8    | 80,0     | 72,4     | 64,3     | 58,8     | 52,9      | 46,6      | 40,5      |
| 2JT8DN | LAmax                   | D         | 6 000,0   | 96,8    | 90,8    | 86,5    | 81,8     | 74,1     | 65,8     | 59,9     | 53,7      | 47,0      | 40,4      |
| 2JT8DN | LAmax                   | D         | 8 000,0   | 101,2   | 95,2    | 90,9    | 86,1     | 78,5     | 70,2     | 64,4     | 58,2      | 51,6      | 45,0      |
| 2JT8DN | LAmax                   | D         | 10 000,0  | 105,1   | 99,1    | 94,7    | 90,0     | 82,3     | 73,8     | 67,9     | 61,6      | 54,8      | 48,0      |
| 2JT8DN | LAmax                   | D         | 12 000,0  | 108,5   | 102,5   | 98,1    | 93,3     | 85,5     | 77,0     | 71,0     | 64,6      | 57,8      | 51,0      |
| 2JT8DN | LAmax                   | D         | 14 000,0  | 111,4   | 105,4   | 101,0   | 96,3     | 88,5     | 80,1     | 74,1     | 67,8      | 60,9      | 54,2      |
| 2JT8DN | LAmax                   | D         | 16 000,0  | 113,8   | 107,8   | 103,4   | 98,7     | 90,9     | 82,5     | 76,5     | 70,1      | 63,3      | 56,6      |
| 2JT8DN | SEL                     | A         | 3 000,0   | 94,0    | 90,4    | 87,5    | 84,2     | 78,4     | 71,7     | 66,7     | 61,3      | 55,3      | 49,3      |
| 2JT8DN | SEL                     | A         | 5 000,0   | 98,5    | 94,9    | 92,1    | 88,8     | 83,0     | 76,3     | 71,4     | 66,0      | 60,0      | 53,9      |
| 2JT8DN | SEL                     | D         | 6 000,0   | 98,6    | 94,8    | 92,0    | 88,8     | 83,4     | 77,4     | 73,0     | 68,3      | 63,1      | 57,9      |
| 2JT8DN | SEL                     | D         | 8 000,0   | 102,7   | 99,0    | 96,1    | 92,9     | 87,6     | 81,5     | 77,2     | 72,5      | 67,4      | 62,3      |
| 2JT8DN | SEL                     | D         | 10 000,0  | 106,6   | 102,9   | 100,0   | 96,8     | 91,3     | 85,1     | 80,7     | 75,9      | 70,6      | 65,3      |
| 2JT8DN | SEL                     | D         | 12 000,0  | 110,2   | 106,4   | 103,5   | 100,2    | 94,7     | 88,4     | 83,9     | 79,0      | 73,7      | 68,3      |
| 2JT8DN | SEL                     | D         | 14 000,0  | 113,1   | 109,5   | 106,7   | 103,5    | 98,0     | 91,8     | 87,3     | 82,4      | 77,0      | 71,6      |
| 2JT8DN | SEL                     | D         | 16 000,0  | 115,9   | 112,3   | 109,5   | 106,3    | 100,8    | 94,6     | 90,1     | 85,2      | 79,8      | 74,4      |
| 2JT8DQ | LAmax                   | A         | 3 000,0   | 94,9    | 88,2    | 83,6    | 78,6     | 70,8     | 62,3     | 56,1     | 49,2      | 41,3      | 32,8      |
| 2JT8DQ | LAmax                   | A         | 6 000,0   | 99,1    | 92,4    | 87,8    | 82,8     | 75,0     | 66,5     | 60,3     | 53,4      | 45,5      | 37,0      |
| 2JT8DQ | LAmax                   | D         | 8 000,0   | 104,1   | 97,4    | 92,7    | 87,8     | 80,0     | 71,6     | 65,5     | 58,6      | 50,9      | 42,6      |
| 2JT8DQ | LAmax                   | D         | 10 000,0  | 109,2   | 102,5   | 98,4    | 92,8     | 85,2     | 76,8     | 70,8     | 64,1      | 56,5      | 48,5      |
| 2JT8DQ | LAmax                   | D         | 12 000,0  | 114,6   | 107,9   | 103,3   | 98,2     | 90,5     | 82,3     | 76,4     | 69,7      | 62,4      | 54,6      |

| NPD_ID | Mode de mesure du bruit | Type d'op | Paramètre puissance (le champ «paramètre puissance» du tableau «Avions» indique le type et l'unité du paramètre de puissance) | L_200ft | L_400ft | L_630ft | L_1000ft | L_2000ft | L_4000ft | L_6300ft | L_10000ft | L_16000ft | L_25000ft |
|--------|-------------------------|-----------|---|---------|---------|---------|----------|----------|----------|----------|-----------|-----------|-----------|
| 2JT8DQ | LAmax                   | D         | 14 000,0  | 120,1   | 113,4   | 108,8   | 104,0    | 96,1     | 87,9     | 82,1     | 75,6      | 68,4      | 60,9      |
| 2JT8DQ | SEL                     | A         | 3 000,0   | 94,6    | 90,8    | 87,9    | 84,8     | 79,8     | 73,4     | 69,0     | 63,6      | 57,2      | 50,2      |
| 2JT8DQ | SEL                     | A         | 6 000,0   | 99,8    | 96,0    | 93,1    | 90,0     | 85,0     | 78,9     | 74,2     | 68,8      | 62,4      | 55,4      |
| 2JT8DQ | SEL                     | D         | 8 000,0   | 104,3   | 100,6   | 97,7    | 94,7     | 89,7     | 83,7     | 79,1     | 73,8      | 67,6      | 60,8      |
| 2JT8DQ | SEL                     | D         | 10 000,0  | 109,0   | 105,2   | 102,5   | 99,5     | 94,6     | 88,6     | 84,1     | 79,0      | 72,9      | 66,3      |
| 2JT8DQ | SEL                     | D         | 12 000,0  | 113,8   | 110,1   | 107,4   | 104,5    | 99,6     | 93,8     | 89,3     | 84,2      | 78,4      | 72,1      |
| 2JT8DQ | SEL                     | D         | 14 000,0  | 119,1   | 115,4   | 112,8   | 110,0    | 105,1    | 99,4     | 95,0     | 90,1      | 84,4      | 78,4      |
| 2JT8DW | LAmax                   | A         | 3 000,0   | 102,6   | 94,6    | 88,6    | 82,3     | 73,8     | 64,5     | 58,0     | 51,0      | 42,8      | 34,4      |
| 2JT8DW | LAmax                   | A         | 6 000,0   | 105,4   | 97,9    | 91,5    | 85,8     | 77,2     | 68,5     | 61,9     | 55,1      | 47,1      | 38,5      |
| 2JT8DW | LAmax                   | D         | 8 000,0   | 108,6   | 100,7   | 95,6    | 89,9     | 81,8     | 73,2     | 66,5     | 59,9      | 52,0      | 43,8      |
| 2JT8DW | LAmax                   | D         | 10 000,0  | 111,6   | 104,3   | 99,5    | 94,6     | 86,3     | 77,7     | 71,8     | 64,9      | 57,2      | 48,9      |
| 2JT8DW | LAmax                   | D         | 12 000,0  | 115,9   | 108,9   | 104,3   | 99,4     | 91,1     | 82,8     | 76,8     | 70,1      | 62,8      | 54,6      |
| 2JT8DW | LAmax                   | D         | 14 000,0  | 120,8   | 113,4   | 109,4   | 104,5    | 96,4     | 88,2     | 82,3     | 75,8      | 68,6      | 60,9      |
| 2JT8DW | SEL                     | A         | 3 000,0   | 102,3   | 97,2    | 92,9    | 88,5     | 82,8     | 75,6     | 70,9     | 65,4      | 58,8      | 51,8      |
| 2JT8DW | SEL                     | A         | 6 000,0   | 106,1   | 100,5   | 96,7    | 93,0     | 87,2     | 80,9     | 76,1     | 70,7      | 64,1      | 56,9      |
| 2JT8DW | SEL                     | D         | 8 000,0   | 108,8   | 103,9   | 100,5   | 96,8     | 91,5     | 85,7     | 80,5     | 75,1      | 68,9      | 62,0      |
| 2JT8DW | SEL                     | D         | 10 000,0  | 111,4   | 107,2   | 104,3   | 101,1    | 95,7     | 89,5     | 85,0     | 79,8      | 73,5      | 66,7      |
| 2JT8DW | SEL                     | D         | 12 000,0  | 115,1   | 111,1   | 108,4   | 105,5    | 100,2    | 94,3     | 89,9     | 85,0      | 78,8      | 72,1      |
| 2JT8DW | SEL                     | D         | 14 000,0  | 119,8   | 115,9   | 113,3   | 110,5    | 105,4    | 99,7     | 95,3     | 90,3      | 84,5      | 78,4      |
| 2JT8QW | LAmax                   | A         | 3 000,0   | 94,9    | 88,2    | 83,6    | 78,6     | 70,8     | 62,3     | 56,1     | 49,2      | 41,3      | 32,8      |

| NPD_ID | Mode de mesure du bruit | Type d'op | Paramètre puissance (le champ «paramètre puissance» du tableau «Avions» indique le type et l'unité du paramètre de puissance) | L_200ft | L_400ft | L_630ft | L_1000ft | L_2000ft | L_4000ft | L_6300ft | L_10000ft | L_16000ft | L_25000ft |
|--------|-------------------------|-----------|---|---------|---------|---------|----------|----------|----------|----------|-----------|-----------|-----------|
| 2JT8QW | LAmax                   | A         | 6 000,0   | 99,1    | 92,4    | 87,8    | 82,8     | 75,0     | 66,5     | 60,3     | 53,4      | 45,5      | 37,0      |
| 2JT8QW | LAmax                   | D         | 8 000,0   | 104,1   | 97,4    | 92,7    | 87,8     | 80,0     | 71,6     | 65,5     | 58,6      | 50,9      | 42,6      |
| 2JT8QW | LAmax                   | D         | 10 000,0  | 109,2   | 102,5   | 98,4    | 92,8     | 85,2     | 76,8     | 70,8     | 64,1      | 56,5      | 48,5      |
| 2JT8QW | LAmax                   | D         | 12 000,0  | 114,6   | 107,9   | 103,3   | 98,2     | 90,5     | 82,3     | 76,4     | 69,7      | 62,4      | 54,6      |
| 2JT8QW | LAmax                   | D         | 14 000,0  | 120,1   | 113,4   | 108,8   | 104,0    | 96,1     | 87,9     | 82,1     | 75,6      | 68,4      | 60,9      |
| 2JT8QW | SEL                     | A         | 3 000,0   | 94,6    | 90,8    | 87,9    | 84,8     | 79,8     | 73,4     | 69,0     | 63,6      | 57,2      | 50,2      |
| 2JT8QW | SEL                     | A         | 6 000,0   | 99,8    | 96,0    | 93,1    | 90,0     | 85,0     | 78,9     | 74,2     | 68,8      | 62,4      | 55,4      |
| 2JT8QW | SEL                     | D         | 8 000,0   | 104,3   | 100,6   | 97,7    | 94,7     | 89,7     | 83,7     | 79,1     | 73,8      | 67,6      | 60,8      |
| 2JT8QW | SEL                     | D         | 10 000,0  | 109,0   | 105,2   | 102,5   | 99,5     | 94,6     | 88,6     | 84,1     | 79,0      | 72,9      | 66,3      |
| 2JT8QW | SEL                     | D         | 12 000,0  | 113,8   | 110,1   | 107,4   | 104,5    | 99,6     | 93,8     | 89,3     | 84,2      | 78,4      | 72,1      |
| 2JT8QW | SEL                     | D         | 14 000,0  | 119,1   | 115,4   | 112,8   | 110,0    | 105,1    | 99,4     | 95,0     | 90,1      | 84,4      | 78,4      |
| 2PW535 | LAmax                   | A         | 500,0   | 89,5    | 81,8    | 76,3    | 70,3     | 60,6     | 50,0     | 42,6     | 34,6      | 26,2      | 17,7      |
| 2PW535 | LAmax                   | A         | 700,0   | 89,6    | 82,2    | 76,9    | 71,1     | 61,6     | 51,2     | 43,9     | 36,1      | 28,7      | 19,5      |
| 2PW535 | LAmax                   | D         | 1 200,0   | 96,1    | 87,5    | 81,6    | 75,4     | 65,6     | 55,3     | 48,3     | 40,9      | 33,2      | 25,6      |
| 2PW535 | LAmax                   | D         | 1 600,0   | 99,2    | 89,9    | 83,7    | 77,2     | 67,2     | 57,0     | 50,2     | 43,1      | 35,8      | 28,8      |
| 2PW535 | LAmax                   | D         | 2 000,0   | 100,7   | 92,2    | 86,4    | 80,3     | 70,9     | 61,1     | 54,4     | 47,4      | 40,2      | 33,1      |
| 2PW535 | LAmax                   | D         | 3 000,0   | 103,5   | 96,4    | 91,5    | 86,1     | 77,3     | 67,9     | 61,3     | 54,3      | 46,8      | 39,4      |
| 2PW535 | SEL                     | A         | 500,0   | 89,4    | 84,8    | 81,3    | 77,4     | 70,8     | 63,2     | 57,8     | 51,9      | 45,6      | 39,1      |
| 2PW535 | SEL                     | A         | 700,0   | 89,3    | 85,1    | 81,8    | 78,1     | 71,7     | 64,5     | 59,3     | 53,5      | 47,3      | 41,0      |
| 2PW535 | SEL                     | D         | 1 200,0   | 90,8    | 87,1    | 84,1    | 80,7     | 74,7     | 67,8     | 62,8     | 57,2      | 51,1      | 44,9      |

| NPD_ID | Mode de mesure du bruit | Type d'op | Paramètre puissance (le champ «paramètre puissance» du tableau «Avions» indique le type et l'unité du paramètre de puissance) | L_200ft | L_400ft | L_630ft | L_1000ft | L_2000ft | L_4000ft | L_6300ft | L_10000ft | L_16000ft | L_25000ft |
|--------|-------------------------|-----------|---|---------|---------|---------|----------|----------|----------|----------|-----------|-----------|-----------|
| 2PW535 | SEL                     | D         | 1 600,0   | 92,6    | 89,0    | 86,2    | 82,9     | 77,2     | 70,6     | 65,8     | 60,5      | 54,7      | 48,8      |
| 2PW535 | SEL                     | D         | 2 000,0   | 96,0    | 92,3    | 89,4    | 86,1     | 80,4     | 73,9     | 69,2     | 64,0      | 58,3      | 52,6      |
| 2PW535 | SEL                     | D         | 3 000,0   | 102,3   | 98,9    | 96,2    | 93,1     | 87,7     | 81,5     | 77,0     | 72,0      | 66,6      | 61,1      |
| 2R2800 | LAmaz                   | A         | 30,0  | 92,6    | 86,1    | 81,7    | 77,0     | 69,5     | 61,3     | 55,5     | 49,6      | 43,4      | 36,6      |
| 2R2800 | LAmaz                   | A         | 100,0   | 103,5   | 97,2    | 92,9    | 88,4     | 81,3     | 73,6     | 68,0     | 61,9      | 55,3      | 47,9      |
| 2R2800 | LAmaz                   | D         | 30,0  | 92,6    | 86,1    | 81,7    | 77,0     | 69,5     | 61,3     | 55,5     | 49,6      | 43,4      | 36,6      |
| 2R2800 | LAmaz                   | D         | 100,0   | 103,5   | 97,2    | 92,9    | 88,4     | 81,3     | 73,6     | 68,0     | 61,9      | 55,3      | 47,9      |
| 2R2800 | SEL                     | A         | 30,0  | 96,9    | 92,7    | 89,7    | 86,5     | 81,3     | 75,3     | 71,0     | 66,6      | 61,9      | 56,6      |
| 2R2800 | SEL                     | A         | 100,0   | 107,5   | 103,0   | 99,9    | 96,6     | 91,3     | 85,4     | 81,0     | 76,2      | 70,7      | 64,5      |
| 2R2800 | SEL                     | D         | 30,0  | 96,9    | 92,7    | 89,7    | 86,5     | 81,3     | 75,3     | 71,0     | 66,6      | 61,9      | 56,6      |
| 2R2800 | SEL                     | D         | 100,0   | 107,5   | 103,0   | 99,9    | 96,6     | 91,3     | 85,4     | 81,0     | 76,2      | 70,7      | 64,5      |
| 3JT8D  | LAmaz                   | A         | 3 000,0   | 104,6   | 96,6    | 90,6    | 84,3     | 75,8     | 66,5     | 60,0     | 53,0      | 44,8      | 36,4      |
| 3JT8D  | LAmaz                   | A         | 6 000,0   | 107,4   | 98,9    | 93,5    | 87,8     | 79,2     | 70,5     | 63,9     | 57,1      | 49,1      | 40,5      |
| 3JT8D  | LAmaz                   | D         | 8 000,0   | 110,6   | 102,7   | 97,6    | 91,9     | 83,8     | 75,2     | 68,5     | 61,9      | 54,0      | 45,8      |
| 3JT8D  | LAmaz                   | D         | 10 000,0  | 113,6   | 106,3   | 101,5   | 96,6     | 88,3     | 79,7     | 73,8     | 66,9      | 59,2      | 50,9      |
| 3JT8D  | LAmaz                   | D         | 12 000,0  | 117,9   | 110,9   | 106,3   | 101,4    | 93,1     | 84,8     | 78,8     | 72,1      | 64,8      | 56,6      |
| 3JT8D  | LAmaz                   | D         | 14 000,0  | 122,8   | 115,4   | 111,4   | 106,5    | 98,4     | 90,2     | 84,3     | 77,8      | 70,6      | 62,8      |
| 3JT8D  | SEL                     | A         | 3 000,0   | 104,3   | 99,2    | 94,9    | 90,5     | 84,8     | 77,6     | 72,9     | 67,4      | 60,8      | 53,8      |
| 3JT8D  | SEL                     | A         | 6 000,0   | 108,1   | 102,5   | 98,7    | 95,0     | 89,2     | 82,9     | 78,1     | 72,7      | 66,1      | 58,9      |
| 3JT8D  | SEL                     | D         | 8 000,0   | 110,8   | 105,9   | 102,5   | 98,8     | 93,5     | 87,7     | 82,5     | 77,1      | 70,9      | 64,0      |

| NPD_ID | Mode de mesure du bruit | Type d'op | Paramètre puissance (le champ «paramètre puissance» du tableau «Avions» indique le type et l'unité du paramètre de puissance) | L_200ft | L_400ft | L_630ft | L_1000ft | L_2000ft | L_4000ft | L_6300ft | L_10000ft | L_16000ft | L_25000ft |
|--------|-------------------------|-----------|---|---------|---------|---------|----------|----------|----------|----------|-----------|-----------|-----------|
| 3JT8D  | SEL                     | D         | 10 000,0  | 113,4   | 109,2   | 106,3   | 103,1    | 97,7     | 91,5     | 87,0     | 81,8      | 75,5      | 68,7      |
| 3JT8D  | SEL                     | D         | 12 000,0  | 117,1   | 113,1   | 110,4   | 107,5    | 102,2    | 96,3     | 91,9     | 87,0      | 80,8      | 74,1      |
| 3JT8D  | SEL                     | D         | 14 000,0  | 121,8   | 117,9   | 115,3   | 112,5    | 107,4    | 101,7    | 97,3     | 92,3      | 86,5      | 80,4      |
| 3JT8DQ | LAmaz                   | A         | 3 000,0   | 96,9    | 90,2    | 85,6    | 80,6     | 72,8     | 64,3     | 58,1     | 51,2      | 43,3      | 34,8      |
| 3JT8DQ | LAmaz                   | A         | 6 000,0   | 101,1   | 94,4    | 89,8    | 84,8     | 77,0     | 68,5     | 62,3     | 55,4      | 47,5      | 39,0      |
| 3JT8DQ | LAmaz                   | D         | 8 000,0   | 106,1   | 99,4    | 94,8    | 89,8     | 82,0     | 73,6     | 67,5     | 60,6      | 52,9      | 44,6      |
| 3JT8DQ | LAmaz                   | D         | 10 000,0  | 111,2   | 104,5   | 99,9    | 95,0     | 87,2     | 78,8     | 72,8     | 66,1      | 58,5      | 50,5      |
| 3JT8DQ | LAmaz                   | D         | 12 000,0  | 116,6   | 109,9   | 105,3   | 100,4    | 92,5     | 84,3     | 78,4     | 71,7      | 64,4      | 56,6      |
| 3JT8DQ | LAmaz                   | D         | 14 000,0  | 122,1   | 115,4   | 110,8   | 106,0    | 98,1     | 89,9     | 84,1     | 77,6      | 70,4      | 62,9      |
| 3JT8DQ | SEL                     | A         | 3 000,0   | 96,6    | 92,8    | 89,8    | 86,8     | 81,8     | 75,4     | 71,0     | 65,6      | 59,2      | 52,2      |
| 3JT8DQ | SEL                     | A         | 6 000,0   | 101,8   | 98,0    | 95,1    | 92,0     | 87,0     | 80,9     | 76,2     | 70,8      | 64,4      | 57,4      |
| 3JT8DQ | SEL                     | D         | 8 000,0   | 106,3   | 102,6   | 99,7    | 96,7     | 91,7     | 85,7     | 81,1     | 75,8      | 69,6      | 62,8      |
| 3JT8DQ | SEL                     | D         | 10 000,0  | 111,0   | 107,2   | 104,5   | 101,5    | 96,6     | 90,6     | 86,1     | 81,0      | 74,9      | 68,3      |
| 3JT8DQ | SEL                     | D         | 12 000,0  | 115,8   | 112,1   | 109,4   | 106,5    | 101,6    | 95,8     | 91,3     | 86,2      | 80,4      | 74,1      |
| 3JT8DQ | SEL                     | D         | 14 000,0  | 121,1   | 117,4   | 114,8   | 112,0    | 107,1    | 101,4    | 97,0     | 92,1      | 86,4      | 80,4      |
| 3JT8E5 | LAmaz                   | A         | 3 000,0   | 96,4    | 89,3    | 84,5    | 79,3     | 71,3     | 62,6     | 56,1     | 49,0      | 41,0      | 32,0      |
| 3JT8E5 | LAmaz                   | A         | 5 000,0   | 98,0    | 91,3    | 86,7    | 81,8     | 74,0     | 65,4     | 59,1     | 52,2      | 44,3      | 35,6      |
| 3JT8E5 | LAmaz                   | D         | 7 000,0   | 104,7   | 97,8    | 93,0    | 87,8     | 79,5     | 70,3     | 63,4     | 55,8      | 47,3      | 38,0      |
| 3JT8E5 | LAmaz                   | D         | 10 000,0  | 109,2   | 102,3   | 97,5    | 92,4     | 84,2     | 75,1     | 68,4     | 61,3      | 53,3      | 44,7      |
| 3JT8E5 | LAmaz                   | D         | 12 000,0  | 112,1   | 105,3   | 100,6   | 95,6     | 87,7     | 79,3     | 73,2     | 66,7      | 59,5      | 51,5      |

| NPD_ID | Mode de mesure du bruit | Type d'op | Paramètre puissance (le champ «paramètre puissance» du tableau «Avions» indique le type et l'unité du paramètre de puissance) | L_200ft | L_400ft | L_630ft | L_1000ft | L_2000ft | L_4000ft | L_6300ft | L_10000ft | L_16000ft | L_25000ft |
|--------|-------------------------|-----------|---|---------|---------|---------|----------|----------|----------|----------|-----------|-----------|-----------|
| 3JT8E5 | LAmax                   | D         | 14 000,0  | 115,5   | 108,7   | 104,1   | 99,1     | 91,4     | 83,1     | 77,1     | 70,9      | 63,9      | 56,2      |
| 3JT8E5 | SEL                     | A         | 3 000,0   | 98,2    | 93,4    | 90,1    | 86,5     | 80,8     | 74,4     | 69,5     | 63,9      | 57,5      | 50,0      |
| 3JT8E5 | SEL                     | A         | 5 000,0   | 99,8    | 95,4    | 92,3    | 89,0     | 83,5     | 77,2     | 72,5     | 67,1      | 60,8      | 53,6      |
| 3JT8E5 | SEL                     | D         | 7 000,0   | 106,5   | 101,9   | 98,6    | 95,0     | 89,0     | 82,1     | 76,8     | 70,7      | 63,8      | 56,0      |
| 3JT8E5 | SEL                     | D         | 10 000,0  | 111,0   | 106,4   | 103,1   | 99,6     | 93,7     | 86,9     | 81,8     | 76,2      | 69,8      | 62,7      |
| 3JT8E5 | SEL                     | D         | 12 000,0  | 113,9   | 109,4   | 106,2   | 102,8    | 97,2     | 91,1     | 86,6     | 81,6      | 76,0      | 69,5      |
| 3JT8E5 | SEL                     | D         | 14 000,0  | 117,3   | 112,8   | 109,7   | 106,3    | 100,9    | 94,9     | 90,5     | 85,8      | 80,4      | 74,2      |
| 3JT8E7 | LAmax                   | A         | 3 000,0   | 95,1    | 88,3    | 84,0    | 78,3     | 70,1     | 61,1     | 54,4     | 47,2      | 39,2      | 30,4      |
| 3JT8E7 | LAmax                   | A         | 5 000,0   | 98,1    | 91,3    | 86,5    | 81,3     | 73,1     | 64,1     | 57,4     | 50,2      | 42,2      | 33,4      |
| 3JT8E7 | LAmax                   | D         | 7 000,0   | 103,9   | 97,0    | 92,2    | 87,0     | 78,7     | 69,5     | 62,6     | 55,0      | 46,5      | 37,2      |
| 3JT8E7 | LAmax                   | D         | 10 000,0  | 109,1   | 102,2   | 97,4    | 92,2     | 83,9     | 74,7     | 68,0     | 60,8      | 52,9      | 44,0      |
| 3JT8E7 | LAmax                   | D         | 12 000,0  | 111,9   | 105,2   | 100,4   | 95,4     | 87,4     | 78,6     | 72,1     | 65,1      | 57,0      | 47,9      |
| 3JT8E7 | LAmax                   | D         | 14 000,0  | 114,6   | 107,9   | 103,2   | 98,2     | 90,3     | 81,7     | 75,2     | 68,3      | 60,5      | 51,7      |
| 3JT8E7 | SEL                     | A         | 3 000,0   | 96,9    | 92,4    | 89,6    | 85,5     | 79,6     | 72,9     | 67,8     | 62,1      | 55,7      | 48,4      |
| 3JT8E7 | SEL                     | A         | 5 000,0   | 99,9    | 95,4    | 92,1    | 88,5     | 82,6     | 75,9     | 70,8     | 65,1      | 58,7      | 51,4      |
| 3JT8E7 | SEL                     | D         | 7 000,0   | 105,7   | 101,1   | 97,8    | 94,2     | 88,2     | 81,3     | 76,0     | 69,9      | 63,0      | 55,2      |
| 3JT8E7 | SEL                     | D         | 10 000,0  | 110,9   | 106,3   | 103,0   | 99,4     | 93,4     | 86,5     | 81,4     | 75,7      | 69,4      | 62,0      |
| 3JT8E7 | SEL                     | D         | 12 000,0  | 113,7   | 109,3   | 106,0   | 102,6    | 96,9     | 90,4     | 85,5     | 80,0      | 73,5      | 65,9      |
| 3JT8E7 | SEL                     | D         | 14 000,0  | 116,4   | 112,0   | 108,8   | 105,4    | 99,8     | 93,5     | 88,6     | 83,2      | 77,0      | 69,7      |
| 4R2800 | LAmax                   | A         | 30,0  | 95,6    | 89,1    | 84,7    | 80,0     | 72,5     | 64,3     | 58,5     | 52,6      | 46,4      | 39,6      |

| NPD_ID | Mode de mesure du bruit | Type d'op | Paramètre puissance (le champ «paramètre puissance» du tableau «Avions» indique le type et l'unité du paramètre de puissance) | L_200ft | L_400ft | L_630ft | L_1000ft | L_2000ft | L_4000ft | L_6300ft | L_10000ft | L_16000ft | L_25000ft |
|--------|-------------------------|-----------|---|---------|---------|---------|----------|----------|----------|----------|-----------|-----------|-----------|
| 4R2800 | LAmax                   | A         | 100,0   | 106,5   | 100,2   | 95,9    | 91,4     | 84,3     | 76,6     | 71,0     | 64,9      | 58,3      | 50,9      |
| 4R2800 | LAmax                   | D         | 30,0  | 95,6    | 89,1    | 84,7    | 80,0     | 72,5     | 64,3     | 58,5     | 52,6      | 46,4      | 39,6      |
| 4R2800 | LAmax                   | D         | 100,0   | 106,5   | 100,2   | 95,9    | 91,4     | 84,3     | 76,6     | 71,0     | 64,9      | 58,3      | 50,9      |
| 4R2800 | SEL                     | A         | 30,0  | 99,9    | 95,7    | 92,7    | 89,5     | 84,3     | 78,3     | 74,0     | 69,6      | 64,9      | 59,6      |
| 4R2800 | SEL                     | A         | 100,0   | 110,5   | 106,0   | 102,9   | 99,6     | 94,3     | 88,4     | 84,0     | 79,2      | 73,7      | 67,5      |
| 4R2800 | SEL                     | D         | 30,0  | 99,9    | 95,7    | 92,7    | 89,5     | 84,3     | 78,3     | 74,0     | 69,6      | 64,9      | 59,6      |
| 4R2800 | SEL                     | D         | 100,0   | 110,5   | 106,0   | 102,9   | 99,6     | 94,3     | 88,4     | 84,0     | 79,2      | 73,7      | 67,5      |
| 501D13 | LAmax                   | A         | 30,0  | 93,0    | 86,4    | 81,8    | 76,9     | 68,9     | 59,4     | 52,0     | 44,0      | 36,2      | 28,6      |
| 501D13 | LAmax                   | A         | 100,0   | 96,8    | 90,3    | 85,9    | 81,3     | 74,3     | 67,0     | 62,1     | 57,0      | 51,5      | 45,4      |
| 501D13 | LAmax                   | D         | 30,0  | 93,0    | 86,4    | 81,8    | 76,9     | 68,9     | 59,4     | 52,0     | 44,0      | 36,2      | 28,6      |
| 501D13 | LAmax                   | D         | 100,0   | 96,8    | 90,3    | 85,9    | 81,3     | 74,3     | 67,0     | 62,1     | 57,0      | 51,5      | 45,4      |
| 501D13 | SEL                     | A         | 30,0  | 95,0    | 90,7    | 87,6    | 84,2     | 78,4     | 71,2     | 65,3     | 58,8      | 52,5      | 46,4      |
| 501D13 | SEL                     | A         | 100,0   | 97,1    | 92,8    | 89,9    | 86,8     | 82,0     | 77,0     | 73,6     | 69,9      | 66,0      | 61,4      |
| 501D13 | SEL                     | D         | 30,0  | 95,0    | 90,7    | 87,6    | 84,2     | 78,4     | 71,2     | 65,3     | 58,8      | 52,5      | 46,4      |
| 501D13 | SEL                     | D         | 100,0   | 97,1    | 92,8    | 89,9    | 86,8     | 82,0     | 77,0     | 73,6     | 69,9      | 66,0      | 61,4      |
| A310   | LAmax                   | A         | 3 000,0   | 92,2    | 86,2    | 81,7    | 77,0     | 69,2     | 60,4     | 54,0     | 47,1      | 39,4      | 31,4      |
| A310   | LAmax                   | A         | 12 000,0  | 95,5    | 89,4    | 84,4    | 79,2     | 70,8     | 61,9     | 55,6     | 48,6      | 40,8      | 32,6      |
| A310   | LAmax                   | D         | 20 000,0  | 101,6   | 93,8    | 88,6    | 82,7     | 73,0     | 63,1     | 56,1     | 48,3      | 40,1      | 31,8      |
| A310   | LAmax                   | D         | 30 000,0  | 103,4   | 95,3    | 89,9    | 84,2     | 75,4     | 66,1     | 59,6     | 52,5      | 44,5      | 36,1      |
| A310   | LAmax                   | D         | 40 000,0  | 104,4   | 96,9    | 91,9    | 86,6     | 78,3     | 69,2     | 62,7     | 55,7      | 48,0      | 39,7      |

| NPD_ID | Mode de mesure du bruit | Type d'op | Paramètre puissance (le champ «paramètre puissance» du tableau «Avions» indique le type et l'unité du paramètre de puissance) | L_200ft | L_400ft | L_630ft | L_1000ft | L_2000ft | L_4000ft | L_6300ft | L_10000ft | L_16000ft | L_25000ft |
|--------|-------------------------|-----------|---|---------|---------|---------|----------|----------|----------|----------|-----------|-----------|-----------|
| A310   | LAmax                   | D         | 50 000,0  | 108,8   | 101,6   | 96,7    | 91,5     | 83,0     | 73,7     | 67,7     | 61,0      | 53,3      | 44,8      |
| A310   | SEL                     | A         | 3 000,0   | 97,5    | 93,3    | 90,1    | 87,0     | 81,6     | 75,7     | 71,2     | 66,4      | 60,0      | 51,9      |
| A310   | SEL                     | A         | 12 000,0  | 98,9    | 94,5    | 91,3    | 88,0     | 82,6     | 76,4     | 71,8     | 66,4      | 60,5      | 52,3      |
| A310   | SEL                     | D         | 20 000,0  | 102,7   | 98,3    | 94,5    | 90,5     | 83,8     | 76,5     | 71,6     | 66,1      | 59,5      | 52,7      |
| A310   | SEL                     | D         | 30 000,0  | 103,7   | 99,2    | 95,8    | 92,3     | 86,7     | 80,4     | 75,8     | 70,4      | 64,3      | 57,6      |
| A310   | SEL                     | D         | 40 000,0  | 104,5   | 100,4   | 97,6    | 94,4     | 89,2     | 83,4     | 79,0     | 73,9      | 68,0      | 61,4      |
| A310   | SEL                     | D         | 50 000,0  | 108,0   | 103,9   | 101,2   | 98,2     | 93,3     | 87,8     | 83,6     | 78,6      | 72,9      | 66,4      |
| AE3007 | LAmax                   | A         | 2 000,0   | 85,5    | 78,7    | 74,2    | 69,3     | 61,5     | 52,7     | 46,4     | 39,3      | 31,2      | 22,7      |
| AE3007 | LAmax                   | A         | 3 000,0   | 90,4    | 83,5    | 78,7    | 73,5     | 65,5     | 56,8     | 50,6     | 43,6      | 35,4      | 26,9      |
| AE3007 | LAmax                   | D         | 4 000,0   | 90,8    | 84,3    | 79,8    | 75,1     | 67,5     | 58,9     | 52,6     | 45,5      | 37,4      | 28,6      |
| AE3007 | LAmax                   | D         | 5 000,0   | 93,0    | 86,6    | 82,1    | 77,4     | 69,8     | 61,2     | 54,9     | 47,8      | 39,8      | 31,3      |
| AE3007 | LAmax                   | D         | 6 000,0   | 96,0    | 89,5    | 85,0    | 80,3     | 72,6     | 64,0     | 57,7     | 50,6      | 42,5      | 34,0      |
| AE3007 | SEL                     | A         | 2 000,0   | 89,8    | 85,6    | 82,7    | 79,5     | 74,1     | 67,8     | 63,2     | 57,7      | 51,4      | 44,3      |
| AE3007 | SEL                     | A         | 3 000,0   | 92,7    | 88,6    | 85,6    | 82,3     | 77,0     | 70,9     | 66,3     | 61,0      | 54,8      | 47,9      |
| AE3007 | SEL                     | D         | 4 000,0   | 91,7    | 88,1    | 85,4    | 82,5     | 77,7     | 72,0     | 67,6     | 62,4      | 56,1      | 49,1      |
| AE3007 | SEL                     | D         | 5 000,0   | 93,6    | 90,0    | 87,4    | 84,6     | 79,8     | 74,2     | 69,9     | 64,8      | 58,7      | 51,9      |
| AE3007 | SEL                     | D         | 6 000,0   | 96,7    | 93,0    | 90,3    | 87,5     | 82,8     | 77,2     | 72,8     | 67,7      | 61,6      | 54,9      |
| AE300C | LAmax                   | A         | 1 100,0   | 88,6    | 80,4    | 74,8    | 69,0     | 59,9     | 50,4     | 44,0     | 37,0      | 30,4      | 23,6      |
| AE300C | LAmax                   | A         | 1 400,0   | 88,6    | 80,4    | 74,8    | 69,0     | 59,9     | 50,4     | 44,0     | 37,0      | 30,4      | 23,6      |
| AE300C | LAmax                   | A         | 1 900,0   | 88,6    | 80,7    | 75,3    | 69,5     | 60,6     | 51,3     | 44,9     | 38,1      | 31,3      | 24,5      |

| NPD_ID | Mode de mesure du bruit | Type d'op | Paramètre puissance (le champ «paramètre puissance» du tableau «Avions» indique le type et l'unité du paramètre de puissance) | L_200ft | L_400ft | L_630ft | L_1000ft | L_2000ft | L_4000ft | L_6300ft | L_10000ft | L_16000ft | L_25000ft |
|--------|-------------------------|-----------|---|---------|---------|---------|----------|----------|----------|----------|-----------|-----------|-----------|
| AE300C | LAmax                   | D         | 3 500,0   | 90,6    | 83,5    | 78,4    | 73,1     | 64,4     | 55,2     | 48,7     | 42,0      | 34,7      | 27,5      |
| AE300C | LAmax                   | D         | 4 500,0   | 92,7    | 85,7    | 80,7    | 75,5     | 67,1     | 58,1     | 51,9     | 45,2      | 38,3      | 31,4      |
| AE300C | LAmax                   | D         | 5 500,0   | 94,7    | 88,0    | 83,3    | 78,2     | 69,9     | 60,9     | 54,7     | 47,9      | 40,9      | 33,9      |
| AE300C | SEL                     | A         | 1 100,0   | 91,1    | 86,1    | 82,6    | 78,7     | 72,5     | 65,8     | 61,1     | 56,0      | 50,8      | 45,5      |
| AE300C | SEL                     | A         | 1 400,0   | 91,1    | 86,1    | 82,6    | 78,7     | 72,5     | 65,8     | 61,1     | 56,0      | 50,8      | 45,5      |
| AE300C | SEL                     | A         | 1 900,0   | 92,5    | 87,1    | 83,3    | 79,4     | 73,1     | 66,4     | 61,8     | 56,7      | 51,8      | 46,8      |
| AE300C | SEL                     | D         | 3 500,0   | 92,9    | 88,2    | 84,7    | 80,8     | 74,4     | 67,2     | 62,1     | 56,7      | 50,6      | 44,6      |
| AE300C | SEL                     | D         | 4 500,0   | 95,2    | 90,4    | 87,0    | 83,2     | 77,1     | 70,4     | 65,7     | 60,6      | 55,2      | 49,8      |
| AE300C | SEL                     | D         | 5 500,0   | 96,6    | 92,4    | 89,3    | 85,7     | 79,7     | 72,9     | 68,0     | 62,7      | 57,0      | 51,2      |
| AL502L | LAmax                   | A         | 1 900,0   | 88,4    | 81,5    | 76,6    | 71,3     | 62,7     | 53,2     | 46,4     | 39,1      | 31,4      | 23,2      |
| AL502L | LAmax                   | A         | 5 000,0   | 98,0    | 91,5    | 86,9    | 82,2     | 74,4     | 65,8     | 59,4     | 52,6      | 45,1      | 36,8      |
| AL502L | LAmax                   | D         | 1 900,0   | 88,4    | 81,5    | 76,6    | 71,3     | 62,7     | 53,2     | 46,4     | 39,1      | 31,4      | 23,2      |
| AL502L | LAmax                   | D         | 5 000,0   | 98,0    | 91,5    | 86,9    | 82,2     | 74,4     | 65,8     | 59,4     | 52,6      | 45,1      | 36,8      |
| AL502L | SEL                     | A         | 1 900,0   | 90,2    | 85,5    | 82,1    | 78,3     | 72,0     | 64,7     | 59,4     | 53,6      | 47,4      | 40,7      |
| AL502L | SEL                     | A         | 5 000,0   | 101,1   | 96,8    | 93,8    | 90,5     | 85,0     | 78,6     | 73,8     | 68,4      | 62,5      | 55,6      |
| AL502L | SEL                     | D         | 1 900,0   | 90,2    | 85,5    | 82,1    | 78,3     | 72,0     | 64,7     | 59,4     | 53,6      | 47,4      | 40,7      |
| AL502L | SEL                     | D         | 5 000,0   | 101,1   | 96,8    | 93,8    | 90,5     | 85,0     | 78,6     | 73,8     | 68,4      | 62,5      | 55,6      |
| AL502R | LAmax                   | A         | 1 600,0   | 91,2    | 84,5    | 79,7    | 74,5     | 66,3     | 57,0     | 50,1     | 42,3      | 33,7      | 25,0      |
| AL502R | LAmax                   | A         | 5 200,0   | 101,6   | 94,8    | 89,8    | 84,6     | 76,3     | 67,5     | 61,2     | 54,3      | 47,0      | 39,7      |
| AL502R | LAmax                   | D         | 1 600,0   | 91,2    | 84,5    | 79,7    | 74,5     | 66,3     | 57,0     | 50,1     | 42,3      | 33,7      | 25,0      |

| NPD_ID | Mode de mesure du bruit | Type d'op | Paramètre puissance (le champ «paramètre puissance» du tableau «Avions» indique le type et l'unité du paramètre de puissance) | L_200ft | L_400ft | L_630ft | L_1000ft | L_2000ft | L_4000ft | L_6300ft | L_10000ft | L_16000ft | L_25000ft |
|--------|-------------------------|-----------|---|---------|---------|---------|----------|----------|----------|----------|-----------|-----------|-----------|
| AL502R | LAmax                   | D         | 5 200,0   | 101,6   | 94,8    | 89,8    | 84,6     | 76,3     | 67,5     | 61,2     | 54,3      | 47,0      | 39,7      |
| AL502R | SEL                     | A         | 1 600,0   | 92,9    | 89,0    | 86,0    | 82,7     | 77,3     | 70,4     | 65,0     | 58,7      | 51,6      | 44,3      |
| AL502R | SEL                     | A         | 5 200,0   | 102,3   | 98,4    | 95,4    | 92,1     | 86,8     | 80,4     | 75,6     | 70,3      | 64,4      | 58,7      |
| AL502R | SEL                     | D         | 1 600,0   | 92,9    | 89,0    | 86,0    | 82,7     | 77,3     | 70,4     | 65,0     | 58,7      | 51,6      | 44,3      |
| AL502R | SEL                     | D         | 5 200,0   | 102,3   | 98,4    | 95,4    | 92,1     | 86,8     | 80,4     | 75,6     | 70,3      | 64,4      | 58,7      |
| BR710  | LAmax                   | A         | 1 830,0   | 87,7    | 80,6    | 75,8    | 70,7     | 62,6     | 54,0     | 47,8     | 41,1      | 33,7      | 26,0      |
| BR710  | LAmax                   | A         | 2 000,0   | 87,9    | 80,7    | 75,9    | 70,7     | 62,7     | 54,0     | 47,9     | 41,2      | 33,7      | 25,9      |
| BR710  | LAmax                   | A         | 3 000,0   | 88,9    | 81,7    | 76,7    | 71,5     | 63,4     | 54,8     | 48,6     | 41,7      | 34,1      | 26,1      |
| BR710  | LAmax                   | A         | 4 000,0   | 90,1    | 82,9    | 77,9    | 72,7     | 64,6     | 55,9     | 49,7     | 42,8      | 35,1      | 27,1      |
| BR710  | LAmax                   | A         | 5 000,0   | 92,5    | 85,3    | 80,4    | 75,0     | 66,6     | 57,6     | 51,1     | 44,0      | 35,9      | 27,5      |
| BR710  | LAmax                   | A         | 6 000,0   | 94,7    | 87,7    | 82,7    | 77,3     | 68,8     | 59,8     | 53,3     | 46,0      | 37,9      | 29,3      |
| BR710  | LAmax                   | A         | 7 000,0   | 96,7    | 89,7    | 84,7    | 79,3     | 70,9     | 61,8     | 55,2     | 47,9      | 39,7      | 31,1      |
| BR710  | LAmax                   | A         | 8 000,0   | 98,4    | 91,5    | 86,5    | 81,1     | 72,7     | 63,6     | 57,1     | 49,8      | 41,6      | 32,9      |
| BR710  | LAmax                   | A         | 9 000,0   | 99,9    | 93,0    | 88,0    | 82,7     | 74,4     | 65,3     | 58,8     | 51,5      | 43,3      | 34,7      |
| BR710  | LAmax                   | A         | 10 000,0  | 101,0   | 94,1    | 89,3    | 84,0     | 75,8     | 66,8     | 60,4     | 53,2      | 45,0      | 36,5      |
| BR710  | LAmax                   | A         | 11 000,0  | 101,6   | 95,0    | 90,2    | 85,1     | 77,0     | 68,2     | 61,8     | 54,7      | 46,7      | 38,3      |
| BR710  | LAmax                   | A         | 12 000,0  | 102,6   | 95,6    | 90,9    | 85,9     | 78,0     | 69,3     | 63,1     | 56,1      | 48,3      | 40,1      |
| BR710  | LAmax                   | A         | 12 900,0  | 102,9   | 95,9    | 91,3    | 86,4     | 78,7     | 70,3     | 64,1     | 57,3      | 49,7      | 41,7      |
| BR710  | LAmax                   | D         | 4 000,0   | 90,0    | 82,7    | 77,7    | 72,5     | 64,1     | 55,2     | 48,9     | 41,8      | 33,9      | 25,7      |
| BR710  | LAmax                   | D         | 5 000,0   | 92,5    | 85,3    | 80,4    | 75,0     | 66,6     | 57,6     | 51,1     | 44,0      | 35,9      | 27,5      |

| NPD_ID | Mode de mesure du bruit | Type d'op | Paramètre puissance (le champ «paramètre puissance» du tableau «Avions» indique le type et l'unité du paramètre de puissance) | L_200ft | L_400ft | L_630ft | L_1000ft | L_2000ft | L_4000ft | L_6300ft | L_10000ft | L_16000ft | L_25000ft |
|--------|-------------------------|-----------|---|---------|---------|---------|----------|----------|----------|----------|-----------|-----------|-----------|
| BR710  | LAmax                   | D         | 6 000,0   | 94,7    | 87,7    | 82,7    | 77,3     | 68,8     | 59,8     | 53,3     | 46,0      | 37,9      | 29,3      |
| BR710  | LAmax                   | D         | 7 000,0   | 96,7    | 89,7    | 84,7    | 79,3     | 70,9     | 61,8     | 55,2     | 47,9      | 39,7      | 31,1      |
| BR710  | LAmax                   | D         | 8 000,0   | 98,4    | 91,5    | 86,5    | 81,1     | 72,7     | 63,6     | 57,1     | 49,8      | 41,6      | 32,9      |
| BR710  | LAmax                   | D         | 9 000,0   | 99,9    | 93,0    | 88,0    | 82,7     | 74,4     | 65,3     | 58,8     | 51,5      | 43,3      | 34,7      |
| BR710  | LAmax                   | D         | 10 000,0  | 101,0   | 94,1    | 89,3    | 84,0     | 75,8     | 66,8     | 60,4     | 53,2      | 45,0      | 36,5      |
| BR710  | LAmax                   | D         | 11 000,0  | 101,6   | 95,0    | 90,2    | 85,1     | 77,0     | 68,2     | 61,8     | 54,7      | 46,7      | 38,3      |
| BR710  | LAmax                   | D         | 12 000,0  | 102,6   | 95,6    | 90,9    | 85,9     | 78,0     | 69,3     | 63,1     | 56,1      | 48,3      | 40,1      |
| BR710  | LAmax                   | D         | 12 900,0  | 102,9   | 95,9    | 91,3    | 86,4     | 78,7     | 70,3     | 64,1     | 57,3      | 49,7      | 41,7      |
| BR710  | SEL                     | A         | 1 830,0   | 90,3    | 85,8    | 82,8    | 79,6     | 74,3     | 68,3     | 63,8     | 58,7      | 53,0      | 46,8      |
| BR710  | SEL                     | A         | 2 000,0   | 90,3    | 85,9    | 82,9    | 79,7     | 74,4     | 68,4     | 63,9     | 58,8      | 53,0      | 46,8      |
| BR710  | SEL                     | A         | 3 000,0   | 91,0    | 86,6    | 83,6    | 80,3     | 75,0     | 69,1     | 64,6     | 59,5      | 53,6      | 47,2      |
| BR710  | SEL                     | A         | 4 000,0   | 92,2    | 87,6    | 84,5    | 81,2     | 76,0     | 70,1     | 65,7     | 60,6      | 54,7      | 48,2      |
| BR710  | SEL                     | A         | 5 000,0   | 92,7    | 88,5    | 85,6    | 82,3     | 76,9     | 70,8     | 66,3     | 61,1      | 54,9      | 48,1      |
| BR710  | SEL                     | A         | 6 000,0   | 94,7    | 90,5    | 87,6    | 84,2     | 78,8     | 72,7     | 68,1     | 62,9      | 56,7      | 49,9      |
| BR710  | SEL                     | A         | 7 000,0   | 96,5    | 92,4    | 89,4    | 86,1     | 80,6     | 74,5     | 69,9     | 64,7      | 58,5      | 51,7      |
| BR710  | SEL                     | A         | 8 000,0   | 98,1    | 94,1    | 91,1    | 87,8     | 82,3     | 76,2     | 71,7     | 66,4      | 60,3      | 53,5      |
| BR710  | SEL                     | A         | 9 000,0   | 99,6    | 95,6    | 92,6    | 89,4     | 83,9     | 77,9     | 73,4     | 68,1      | 62,0      | 55,3      |
| BR710  | SEL                     | A         | 10 000,0  | 100,9   | 96,9    | 94,0    | 90,8     | 85,5     | 79,5     | 75,0     | 69,8      | 63,8      | 57,1      |
| BR710  | SEL                     | A         | 11 000,0  | 102,1   | 98,1    | 95,3    | 92,2     | 86,9     | 81,0     | 76,6     | 71,5      | 65,5      | 58,9      |
| BR710  | SEL                     | A         | 12 000,0  | 103,1   | 99,1    | 96,4    | 93,4     | 88,3     | 82,5     | 78,1     | 73,1      | 67,2      | 60,7      |

| NPD_ID | Mode de mesure du bruit | Type d'op | Paramètre puissance (le champ «paramètre puissance» du tableau «Avions» indique le type et l'unité du paramètre de puissance) | L_200ft | L_400ft | L_630ft | L_1000ft | L_2000ft | L_4000ft | L_6300ft | L_10000ft | L_16000ft | L_25000ft |
|--------|-------------------------|-----------|---|---------|---------|---------|----------|----------|----------|----------|-----------|-----------|-----------|
| BR710  | SEL                     | A         | 12 900,0  | 103,8   | 99,9    | 97,3    | 94,4     | 89,5     | 83,8     | 79,5     | 74,5      | 68,7      | 62,3      |
| BR710  | SEL                     | D         | 4 000,0   | 90,5    | 86,4    | 83,5    | 80,2     | 74,9     | 68,9     | 64,4     | 59,2      | 53,0      | 46,2      |
| BR710  | SEL                     | D         | 5 000,0   | 92,7    | 88,5    | 85,6    | 82,3     | 76,9     | 70,8     | 66,3     | 61,1      | 54,9      | 48,1      |
| BR710  | SEL                     | D         | 6 000,0   | 94,7    | 90,5    | 87,6    | 84,2     | 78,8     | 72,7     | 68,1     | 62,9      | 56,7      | 49,9      |
| BR710  | SEL                     | D         | 7 000,0   | 96,5    | 92,4    | 89,4    | 86,1     | 80,6     | 74,5     | 69,9     | 64,7      | 58,5      | 51,7      |
| BR710  | SEL                     | D         | 8 000,0   | 98,1    | 94,1    | 91,1    | 87,8     | 82,3     | 76,2     | 71,7     | 66,4      | 60,3      | 53,5      |
| BR710  | SEL                     | D         | 9 000,0   | 99,6    | 95,6    | 92,6    | 89,4     | 83,9     | 77,9     | 73,4     | 68,1      | 62,0      | 55,3      |
| BR710  | SEL                     | D         | 10 000,0  | 100,9   | 96,9    | 94,0    | 90,8     | 85,5     | 79,5     | 75,0     | 69,8      | 63,8      | 57,1      |
| BR710  | SEL                     | D         | 11 000,0  | 102,1   | 98,1    | 95,3    | 92,2     | 86,9     | 81,0     | 76,6     | 71,5      | 65,5      | 58,9      |
| BR710  | SEL                     | D         | 12 000,0  | 103,1   | 99,1    | 96,4    | 93,4     | 88,3     | 82,5     | 78,1     | 73,1      | 67,2      | 60,7      |
| BR710  | SEL                     | D         | 12 900,0  | 103,8   | 99,9    | 97,3    | 94,4     | 89,5     | 83,8     | 79,5     | 74,5      | 68,7      | 62,3      |
| BR715  | LAmax                   | A         | 4 250,0   | 89,2    | 81,6    | 76,8    | 71,6     | 63,4     | 54,6     | 48,3     | 41,6      | 34,7      | 28,2      |
| BR715  | LAmax                   | A         | 5 000,0   | 89,6    | 82,4    | 77,5    | 72,4     | 64,2     | 55,4     | 49,1     | 42,3      | 35,5      | 28,9      |
| BR715  | LAmax                   | A         | 5 750,0   | 89,9    | 83,0    | 78,2    | 73,0     | 64,9     | 56,1     | 49,7     | 43,0      | 36,1      | 29,6      |
| BR715  | LAmax                   | A         | 9 875,0   | 93,8    | 87,0    | 82,4    | 77,6     | 69,8     | 61,4     | 55,3     | 48,6      | 41,8      | 35,3      |
| BR715  | LAmax                   | D         | 11 000,0  | 95,7    | 88,9    | 84,3    | 79,5     | 71,7     | 63,1     | 57,0     | 50,2      | 43,4      | 36,9      |
| BR715  | LAmax                   | D         | 13 000,0  | 98,6    | 91,9    | 87,3    | 82,5     | 74,6     | 66,0     | 59,8     | 52,9      | 46,0      | 39,4      |
| BR715  | LAmax                   | D         | 15 000,0  | 101,2   | 94,5    | 90,0    | 85,1     | 77,2     | 68,5     | 62,2     | 55,3      | 48,3      | 41,6      |
| BR715  | LAmax                   | D         | 17 000,0  | 103,5   | 97,0    | 92,4    | 87,5     | 79,6     | 70,7     | 64,4     | 57,4      | 50,4      | 43,7      |
| BR715  | LAmax                   | D         | 19 000,0  | 106,4   | 99,9    | 95,3    | 90,4     | 82,4     | 73,4     | 67,0     | 60,0      | 52,9      | 46,2      |

| NPD_ID | Mode de mesure du bruit | Type d'op | Paramètre puissance (le champ «paramètre puissance» du tableau «Avions» indique le type et l'unité du paramètre de puissance) | L_200ft | L_400ft | L_630ft | L_1000ft | L_2000ft | L_4000ft | L_6300ft | L_10000ft | L_16000ft | L_25000ft |
|--------|-------------------------|-----------|---|---------|---------|---------|----------|----------|----------|----------|-----------|-----------|-----------|
| BR715  | LAmax                   | D         | 19 750,0  | 107,5   | 101,0   | 96,5    | 91,6     | 83,5     | 74,5     | 68,1     | 61,1      | 53,9      | 47,2      |
| BR715  | SEL                     | A         | 4 250,0   | 91,9    | 87,1    | 84,1    | 80,7     | 75,2     | 69,0     | 64,4     | 59,4      | 54,2      | 49,4      |
| BR715  | SEL                     | A         | 5 000,0   | 92,2    | 88,0    | 84,9    | 81,5     | 76,1     | 69,9     | 65,3     | 60,3      | 55,2      | 50,3      |
| BR715  | SEL                     | A         | 5 750,0   | 92,5    | 88,6    | 85,6    | 82,2     | 76,8     | 70,6     | 66,0     | 61,0      | 55,9      | 51,1      |
| BR715  | SEL                     | A         | 9 875,0   | 95,7    | 91,5    | 88,7    | 85,6     | 80,5     | 74,8     | 70,5     | 65,6      | 60,7      | 56,0      |
| BR715  | SEL                     | D         | 11 000,0  | 97,3    | 93,1    | 90,3    | 87,2     | 82,1     | 76,4     | 72,1     | 67,2      | 62,3      | 57,6      |
| BR715  | SEL                     | D         | 13 000,0  | 99,8    | 95,7    | 92,9    | 89,8     | 84,7     | 78,9     | 74,7     | 69,8      | 64,9      | 60,2      |
| BR715  | SEL                     | D         | 15 000,0  | 102,1   | 98,0    | 95,2    | 92,1     | 87,0     | 81,2     | 77,0     | 72,1      | 67,2      | 62,5      |
| BR715  | SEL                     | D         | 17 000,0  | 104,1   | 100,1   | 97,3    | 94,2     | 89,1     | 83,3     | 79,0     | 74,2      | 69,2      | 64,6      |
| BR715  | SEL                     | D         | 19 000,0  | 106,6   | 102,7   | 99,8    | 96,7     | 91,6     | 85,8     | 81,5     | 76,7      | 71,8      | 67,2      |
| BR715  | SEL                     | D         | 19 750,0  | 107,6   | 103,7   | 100,8   | 97,7     | 92,6     | 86,8     | 82,5     | 77,7      | 72,8      | 68,2      |
| CF34   | LAmax                   | A         | 2 000,0   | 87,3    | 80,7    | 76,0    | 71,1     | 63,0     | 54,1     | 47,6     | 40,6      | 33,0      | 24,6      |
| CF34   | LAmax                   | A         | 3 000,0   | 90,6    | 83,8    | 79,0    | 73,9     | 65,6     | 56,5     | 49,8     | 42,7      | 34,9      | 26,5      |
| CF34   | LAmax                   | D         | 4 000,0   | 93,1    | 86,3    | 81,5    | 76,5     | 68,4     | 59,6     | 53,1     | 46,0      | 38,2      | 29,6      |
| CF34   | LAmax                   | D         | 5 000,0   | 95,0    | 88,2    | 83,5    | 78,6     | 70,6     | 61,9     | 55,6     | 48,7      | 40,9      | 32,3      |
| CF34   | LAmax                   | D         | 6 000,0   | 97,2    | 90,9    | 86,1    | 81,2     | 73,2     | 64,5     | 58,2     | 51,5      | 43,5      | 34,9      |
| CF34   | SEL                     | A         | 2 000,0   | 90,9    | 86,7    | 83,3    | 79,9     | 74,1     | 67,4     | 62,4     | 56,9      | 50,7      | 43,9      |
| CF34   | SEL                     | A         | 3 000,0   | 94,3    | 89,8    | 86,5    | 82,9     | 76,9     | 70,0     | 64,8     | 59,2      | 52,9      | 46,0      |
| CF34   | SEL                     | D         | 4 000,0   | 96,3    | 91,8    | 88,5    | 85,0     | 79,1     | 72,5     | 67,5     | 61,9      | 55,6      | 48,6      |
| CF34   | SEL                     | D         | 5 000,0   | 97,7    | 93,2    | 90,0    | 86,5     | 80,8     | 74,3     | 69,5     | 64,1      | 57,9      | 50,7      |

| NPD_ID  | Mode de mesure du bruit | Type d'op | Paramètre puissance (le champ «paramètre puissance» du tableau «Avions» indique le type et l'unité du paramètre de puissance) | L_200ft | L_400ft | L_630ft | L_1000ft | L_2000ft | L_4000ft | L_6300ft | L_10000ft | L_16000ft | L_25000ft |
|---------|-------------------------|-----------|---|---------|---------|---------|----------|----------|----------|----------|-----------|-----------|-----------|
| CF34    | SEL                     | D         | 6 000,0   | 99,7    | 95,2    | 92,0    | 88,5     | 82,8     | 76,3     | 71,5     | 66,1      | 59,9      | 52,7      |
| CF3410E | LAmax                   | A         | 3 000,0   | 90,1    | 83,6    | 79,1    | 74,4     | 66,9     | 58,6     | 52,6     | 45,7      | 37,9      | 29,5      |
| CF3410E | LAmax                   | A         | 5 000,0   | 91,9    | 85,3    | 80,7    | 75,9     | 68,3     | 59,9     | 53,9     | 47,2      | 39,6      | 31,4      |
| CF3410E | LAmax                   | D         | 8 000,0   | 94,9    | 88,5    | 84,0    | 79,3     | 71,9     | 63,7     | 57,7     | 51,0      | 43,3      | 34,8      |
| CF3410E | LAmax                   | D         | 10 000,0  | 97,6    | 91,1    | 86,6    | 81,9     | 74,3     | 66,0     | 60,2     | 53,4      | 45,6      | 37,1      |
| CF3410E | LAmax                   | D         | 15 000,0  | 103,3   | 96,8    | 92,3    | 87,5     | 79,8     | 71,3     | 65,1     | 58,3      | 50,4      | 42,0      |
| CF3410E | SEL                     | A         | 3 000,0   | 92,5    | 88,8    | 86,1    | 83,2     | 78,4     | 72,7     | 68,3     | 63,3      | 57,2      | 50,5      |
| CF3410E | SEL                     | A         | 5 000,0   | 93,9    | 90,1    | 87,4    | 84,4     | 79,5     | 73,9     | 69,6     | 64,7      | 58,9      | 52,4      |
| CF3410E | SEL                     | D         | 8 000,0   | 95,9    | 92,2    | 89,6    | 86,7     | 81,8     | 76,3     | 72,1     | 67,1      | 61,2      | 54,5      |
| CF3410E | SEL                     | D         | 10 000,0  | 98,6    | 94,9    | 92,1    | 89,2     | 84,4     | 78,8     | 74,6     | 69,9      | 63,9      | 57,2      |
| CF3410E | SEL                     | D         | 15 000,0  | 103,8   | 100,2   | 97,5    | 94,6     | 89,8     | 84,1     | 79,9     | 74,9      | 69,1      | 62,6      |
| CF348C5 | LAmax                   | A         | 2 500,0   | 89,7    | 83,1    | 78,6    | 73,8     | 66,2     | 57,6     | 51,3     | 44,1      | 36,0      | 27,3      |
| CF348C5 | LAmax                   | A         | 7 250,0   | 91,3    | 84,7    | 80,2    | 75,4     | 67,6     | 58,9     | 52,6     | 45,5      | 37,6      | 29,2      |
| CF348C5 | LAmax                   | D         | 7 250,0   | 94,5    | 87,9    | 83,5    | 78,7     | 71,0     | 62,3     | 56,0     | 48,8      | 40,5      | 31,7      |
| CF348C5 | LAmax                   | D         | 16 250,0  | 103,6   | 97,1    | 92,6    | 87,9     | 80,2     | 71,6     | 65,3     | 58,3      | 50,3      | 42,0      |
| CF348C5 | SEL                     | A         | 2 500,0   | 93,1    | 89,2    | 86,4    | 83,3     | 78,2     | 72,0     | 67,1     | 61,5      | 54,9      | 47,7      |
| CF348C5 | SEL                     | A         | 7 250,0   | 95,2    | 91,0    | 88,1    | 85,0     | 79,8     | 73,6     | 68,8     | 63,2      | 56,8      | 49,9      |
| CF348C5 | SEL                     | D         | 7 250,0   | 96,4    | 92,3    | 89,5    | 86,5     | 81,5     | 75,3     | 70,4     | 64,7      | 58,0      | 50,6      |
| CF348C5 | SEL                     | D         | 16 250,0  | 104,7   | 100,9   | 98,2    | 95,3     | 90,4     | 84,4     | 79,6     | 74,0      | 67,6      | 60,7      |
| CF348E  | LAmax                   | A         | 3 000,0   | 91,1    | 84,4    | 79,8    | 74,8     | 66,8     | 57,8     | 51,3     | 44,0      | 35,9      | 27,5      |

| NPD_ID | Mode de mesure du bruit | Type d'op | Paramètre puissance (le champ «paramètre puissance» du tableau «Avions» indique le type et l'unité du paramètre de puissance) | L_200ft | L_400ft | L_630ft | L_1000ft | L_2000ft | L_4000ft | L_6300ft | L_10000ft | L_16000ft | L_25000ft |
|--------|-------------------------|-----------|---|---------|---------|---------|----------|----------|----------|----------|-----------|-----------|-----------|
| CF348E | LAmax                   | A         | 4 000,0   | 92,0    | 85,3    | 80,7    | 75,8     | 67,8     | 59,0     | 52,5     | 45,5      | 37,6      | 29,6      |
| CF348E | LAmax                   | D         | 7 000,0   | 95,5    | 88,9    | 84,3    | 79,4     | 71,5     | 62,8     | 56,5     | 49,5      | 41,6      | 33,5      |
| CF348E | LAmax                   | D         | 9 000,0   | 99,3    | 92,7    | 88,2    | 83,4     | 75,5     | 66,8     | 60,6     | 53,7      | 46,0      | 38,0      |
| CF348E | LAmax                   | D         | 11 000,0  | 103,3   | 96,6    | 92,0    | 87,1     | 79,2     | 70,3     | 64,0     | 57,2      | 49,6      | 41,8      |
| CF348E | SEL                     | A         | 3 000,0   | 93,5    | 89,6    | 86,7    | 83,5     | 78,2     | 72,0     | 67,2     | 61,6      | 55,3      | 48,6      |
| CF348E | SEL                     | A         | 4 000,0   | 94,7    | 90,7    | 87,9    | 84,7     | 79,4     | 73,3     | 68,7     | 63,3      | 57,2      | 50,7      |
| CF348E | SEL                     | D         | 7 000,0   | 97,3    | 93,2    | 90,5    | 87,4     | 82,3     | 76,2     | 71,7     | 66,4      | 60,4      | 54,0      |
| CF348E | SEL                     | D         | 9 000,0   | 100,3   | 96,5    | 93,9    | 91,0     | 86,0     | 80,3     | 75,9     | 70,9      | 65,0      | 58,6      |
| CF348E | SEL                     | D         | 11 000,0  | 103,4   | 99,7    | 97,1    | 94,2     | 89,4     | 83,8     | 79,5     | 74,6      | 68,9      | 62,5      |
| CF565C | LAmax                   | A         | 3 000,0   | 93,3    | 86,6    | 82,1    | 77,3     | 69,7     | 61,5     | 55,6     | 48,9      | 41,5      | 33,6      |
| CF565C | LAmax                   | A         | 5 000,0   | 94,2    | 87,3    | 82,5    | 77,6     | 69,9     | 61,6     | 55,6     | 49,0      | 41,5      | 33,6      |
| CF565C | LAmax                   | D         | 12 500,0  | 98,9    | 89,4    | 82,8    | 76,4     | 67,3     | 57,8     | 51,3     | 44,2      | 36,3      | 27,7      |
| CF565C | LAmax                   | D         | 20 000,0  | 103,4   | 95,3    | 89,8    | 83,9     | 75,3     | 66,2     | 59,9     | 53,0      | 45,0      | 36,3      |
| CF565C | LAmax                   | D         | 27 500,0  | 106,9   | 99,4    | 94,4    | 89,3     | 81,0     | 71,9     | 65,4     | 58,3      | 50,2      | 41,5      |
| CF565C | SEL                     | A         | 3 000,0   | 98,7    | 92,8    | 89,9    | 86,8     | 81,7     | 76,0     | 71,7     | 66,6      | 60,8      | 54,3      |
| CF565C | SEL                     | A         | 5 000,0   | 99,0    | 93,3    | 90,1    | 86,9     | 81,9     | 76,1     | 71,8     | 66,7      | 60,9      | 54,3      |
| CF565C | SEL                     | D         | 12 500,0  | 98,8    | 92,6    | 88,7    | 84,8     | 78,6     | 71,9     | 67,1     | 61,6      | 55,4      | 48,5      |
| CF565C | SEL                     | D         | 20 000,0  | 105,3   | 99,9    | 96,4    | 92,9     | 87,3     | 81,0     | 76,4     | 70,9      | 64,7      | 57,8      |
| CF565C | SEL                     | D         | 27 500,0  | 108,0   | 103,5   | 100,5   | 97,4     | 92,1     | 86,2     | 81,7     | 76,2      | 70,7      | 64,6      |
| CF567B | LAmax                   | A         | 3 000,0   | 93,0    | 85,9    | 81,1    | 76,1     | 68,0     | 59,2     | 52,5     | 45,6      | 37,5      | 29,3      |

| NPD_ID | Mode de mesure du bruit | Type d'op | Paramètre puissance (le champ «paramètre puissance» du tableau «Avions» indique le type et l'unité du paramètre de puissance) | L_200ft | L_400ft | L_630ft | L_1000ft | L_2000ft | L_4000ft | L_6300ft | L_10000ft | L_16000ft | L_25000ft |
|--------|-------------------------|-----------|---|---------|---------|---------|----------|----------|----------|----------|-----------|-----------|-----------|
| CF567B | LAmax                   | A         | 4 000,0   | 93,6    | 86,5    | 81,7    | 76,6     | 68,7     | 59,9     | 53,4     | 46,6      | 37,8      | 29,7      |
| CF567B | LAmax                   | A         | 5 000,0   | 94,1    | 87,0    | 82,2    | 77,2     | 69,2     | 60,5     | 54,1     | 47,4      | 39,0      | 31,1      |
| CF567B | LAmax                   | A         | 6 000,0   | 94,6    | 87,5    | 82,7    | 77,6     | 69,7     | 61,1     | 54,7     | 48,1      | 40,4      | 32,9      |
| CF567B | LAmax                   | A         | 7 000,0   | 95,0    | 87,9    | 83,0    | 78,0     | 70,1     | 61,5     | 55,2     | 48,7      | 41,8      | 34,5      |
| CF567B | LAmax                   | D         | 10 000,0  | 95,2    | 87,9    | 83,6    | 78,8     | 71,3     | 63,0     | 57,3     | 50,4      | 44,2      | 36,9      |
| CF567B | LAmax                   | D         | 13 000,0  | 98,1    | 91,0    | 86,7    | 82,0     | 74,5     | 66,3     | 60,7     | 53,9      | 46,9      | 39,6      |
| CF567B | LAmax                   | D         | 16 000,0  | 100,5   | 93,7    | 89,3    | 84,6     | 77,3     | 69,2     | 63,5     | 56,8      | 49,4      | 42,1      |
| CF567B | LAmax                   | D         | 19 000,0  | 102,7   | 96,0    | 91,7    | 87,1     | 79,7     | 71,7     | 66,1     | 59,5      | 52,2      | 44,9      |
| CF567B | LAmax                   | D         | 23 500,0  | 107,2   | 100,9   | 96,5    | 91,9     | 84,7     | 76,8     | 71,4     | 64,6      | 57,7      | 50,4      |
| CF567B | SEL                     | A         | 3 000,0   | 95,5    | 91,3    | 88,2    | 84,9     | 79,5     | 73,3     | 68,3     | 63,2      | 55,9      | 49,6      |
| CF567B | SEL                     | A         | 4 000,0   | 96,2    | 91,9    | 88,8    | 85,6     | 80,2     | 74,1     | 69,4     | 64,3      | 56,8      | 50,7      |
| CF567B | SEL                     | A         | 5 000,0   | 96,7    | 92,5    | 89,4    | 86,1     | 80,8     | 74,8     | 70,1     | 65,2      | 58,0      | 52,4      |
| CF567B | SEL                     | A         | 6 000,0   | 97,2    | 93,0    | 89,9    | 86,7     | 81,4     | 75,5     | 70,9     | 66,0      | 59,4      | 54,3      |
| CF567B | SEL                     | A         | 7 000,0   | 97,7    | 93,4    | 90,4    | 87,1     | 81,9     | 76,0     | 71,5     | 66,7      | 60,8      | 55,6      |
| CF567B | SEL                     | D         | 10 000,0  | 96,3    | 92,1    | 89,4    | 86,3     | 81,4     | 75,9     | 72,0     | 67,0      | 61,3      | 51,9      |
| CF567B | SEL                     | D         | 13 000,0  | 99,2    | 95,2    | 92,4    | 89,4     | 84,7     | 79,3     | 75,4     | 70,5      | 64,5      | 56,1      |
| CF567B | SEL                     | D         | 16 000,0  | 101,7   | 97,6    | 95,0    | 92,1     | 87,4     | 82,1     | 78,3     | 73,5      | 67,3      | 60,0      |
| CF567B | SEL                     | D         | 19 000,0  | 103,9   | 99,9    | 97,3    | 94,5     | 89,9     | 84,7     | 81,0     | 76,2      | 70,3      | 63,7      |
| CF567B | SEL                     | D         | 23 500,0  | 108,4   | 104,5   | 102,0   | 99,3     | 95,0     | 89,9     | 86,4     | 81,5      | 75,5      | 69,5      |
| CF66D  | LAmax                   | A         | 8 000,0   | 99,2    | 92,0    | 86,6    | 81,0     | 72,1     | 63,0     | 56,5     | 49,1      | 40,8      | 32,5      |

| NPD_ID | Mode de mesure du bruit | Type d'op | Paramètre puissance (le champ «paramètre puissance» du tableau «Avions» indique le type et l'unité du paramètre de puissance) | L_200ft | L_400ft | L_630ft | L_1000ft | L_2000ft | L_4000ft | L_6300ft | L_10000ft | L_16000ft | L_25000ft |
|--------|-------------------------|-----------|---|---------|---------|---------|----------|----------|----------|----------|-----------|-----------|-----------|
| CF66D  | LAmax                   | A         | 14 000,0  | 102,1   | 95,0    | 89,9    | 84,5     | 76,0     | 67,0     | 60,6     | 53,3      | 45,1      | 37,1      |
| CF66D  | LAmax                   | D         | 20 000,0  | 104,5   | 97,6    | 92,7    | 87,5     | 79,3     | 70,4     | 64,1     | 56,9      | 48,9      | 41,0      |
| CF66D  | LAmax                   | D         | 28 000,0  | 106,2   | 99,4    | 94,6    | 89,5     | 81,5     | 72,6     | 66,4     | 59,3      | 51,3      | 43,6      |
| CF66D  | LAmax                   | D         | 36 000,0  | 107,8   | 101,1   | 96,5    | 91,5     | 83,7     | 74,9     | 68,7     | 61,7      | 53,8      | 46,2      |
| CF66D  | SEL                     | A         | 8 000,0   | 100,7   | 95,5    | 91,7    | 87,5     | 81,1     | 74,0     | 68,8     | 63,0      | 56,3      | 49,7      |
| CF66D  | SEL                     | A         | 14 000,0  | 104,4   | 99,5    | 95,9    | 92,0     | 85,9     | 79,0     | 73,9     | 68,3      | 61,7      | 55,2      |
| CF66D  | SEL                     | D         | 20 000,0  | 106,8   | 102,2   | 98,7    | 95,0     | 89,0     | 82,3     | 77,3     | 71,8      | 65,4      | 58,9      |
| CF66D  | SEL                     | D         | 28 000,0  | 109,3   | 104,8   | 101,4   | 98,0     | 92,2     | 85,6     | 80,7     | 75,3      | 69,0      | 62,6      |
| CF66D  | SEL                     | D         | 36 000,0  | 110,9   | 106,6   | 103,3   | 100,0    | 94,3     | 87,8     | 83,0     | 77,6      | 71,4      | 65,1      |
| CF680C | LAmax                   | A         | 5 500,0   | 94,4    | 87,4    | 82,8    | 78,0     | 70,4     | 61,9     | 55,7     | 48,8      | 40,9      | 31,7      |
| CF680C | LAmax                   | A         | 7 000,0   | 95,3    | 88,1    | 83,5    | 78,5     | 70,7     | 62,1     | 55,8     | 49,0      | 40,9      | 31,4      |
| CF680C | LAmax                   | A         | 12 000,0  | 95,9    | 88,8    | 84,1    | 79,1     | 71,3     | 62,7     | 56,4     | 49,6      | 41,7      | 32,5      |
| CF680C | LAmax                   | A         | 15 000,0  | 98,9    | 91,2    | 86,2    | 80,7     | 72,3     | 63,4     | 57,0     | 50,1      | 42,0      | 32,1      |
| CF680C | LAmax                   | D         | 17 000,0  | 101,6   | 93,6    | 87,8    | 81,4     | 71,6     | 62,2     | 55,8     | 48,8      | 40,6      | 30,5      |
| CF680C | LAmax                   | D         | 21 000,0  | 100,8   | 93,1    | 87,6    | 81,7     | 72,6     | 63,6     | 57,4     | 50,7      | 42,7      | 33,0      |
| CF680C | LAmax                   | D         | 25 000,0  | 100,6   | 93,1    | 87,8    | 82,3     | 73,8     | 65,0     | 59,0     | 52,4      | 44,7      | 35,2      |
| CF680C | LAmax                   | D         | 33 000,0  | 101,3   | 94,2    | 89,3    | 84,2     | 76,3     | 67,9     | 62,1     | 55,7      | 48,2      | 39,2      |
| CF680C | LAmax                   | D         | 41 000,0  | 103,1   | 96,3    | 91,5    | 86,7     | 79,1     | 70,9     | 65,1     | 58,9      | 51,5      | 42,6      |
| CF680C | LAmax                   | D         | 54 000,0  | 109,7   | 103,2   | 98,8    | 94,0     | 86,4     | 78,2     | 72,5     | 66,2      | 59,0      | 50,4      |
| CF680C | SEL                     | A         | 5 500,0   | 95,9    | 93,2    | 90,4    | 87,2     | 82,1     | 76,2     | 71,6     | 66,4      | 60,4      | 53,5      |

| NPD_ID | Mode de mesure du bruit | Type d'op | Paramètre puissance (le champ «paramètre puissance» du tableau «Avions» indique le type et l'unité du paramètre de puissance) | L_200ft | L_400ft | L_630ft | L_1000ft | L_2000ft | L_4000ft | L_6300ft | L_10000ft | L_16000ft | L_25000ft |
|--------|-------------------------|-----------|---|---------|---------|---------|----------|----------|----------|----------|-----------|-----------|-----------|
| CF680C | SEL                     | A         | 7 000,0   | 96,6    | 93,7    | 90,7    | 87,5     | 82,2     | 76,2     | 71,5     | 66,4      | 60,4      | 53,4      |
| CF680C | SEL                     | A         | 12 000,0  | 98,0    | 94,9    | 91,8    | 88,5     | 83,0     | 76,9     | 72,2     | 67,1      | 61,0      | 53,9      |
| CF680C | SEL                     | A         | 15 000,0  | 99,2    | 97,1    | 93,8    | 90,1     | 84,2     | 77,6     | 72,9     | 67,7      | 61,6      | 54,5      |
| CF680C | SEL                     | D         | 17 000,0  | 104,5   | 99,3    | 95,3    | 90,7     | 83,1     | 75,4     | 70,6     | 65,4      | 59,2      | 51,4      |
| CF680C | SEL                     | D         | 21 000,0  | 103,1   | 98,4    | 94,7    | 90,5     | 83,7     | 76,8     | 72,3     | 67,3      | 61,4      | 53,9      |
| CF680C | SEL                     | D         | 25 000,0  | 102,5   | 98,0    | 94,6    | 90,8     | 84,6     | 78,2     | 73,8     | 69,1      | 63,4      | 56,2      |
| CF680C | SEL                     | D         | 33 000,0  | 102,6   | 98,5    | 95,5    | 92,1     | 86,7     | 80,9     | 76,9     | 72,3      | 66,9      | 60,1      |
| CF680C | SEL                     | D         | 41 000,0  | 104,0   | 100,1   | 97,3    | 94,2     | 89,2     | 83,8     | 79,9     | 75,4      | 70,1      | 63,5      |
| CF680C | SEL                     | D         | 54 000,0  | 109,8   | 106,1   | 103,6   | 100,8    | 96,1     | 90,8     | 86,9     | 82,6      | 77,5      | 71,2      |
| CF680E | LAmax                   | A         | 6 000,0   | 93,8    | 86,6    | 82,0    | 77,2     | 69,6     | 61,4     | 55,4     | 48,7      | 41,1      | 33,0      |
| CF680E | LAmax                   | A         | 12 000,0  | 96,7    | 89,2    | 84,3    | 79,1     | 71,0     | 62,4     | 56,2     | 49,2      | 41,6      | 33,5      |
| CF680E | LAmax                   | D         | 34 000,0  | 105,5   | 97,4    | 92,0    | 86,3     | 77,7     | 68,4     | 61,8     | 54,3      | 46,2      | 37,4      |
| CF680E | LAmax                   | D         | 42 000,0  | 106,0   | 98,2    | 93,2    | 88,0     | 79,8     | 70,7     | 64,2     | 56,9      | 48,8      | 40,1      |
| CF680E | LAmax                   | D         | 52 000,0  | 107,5   | 100,1   | 95,2    | 90,2     | 82,3     | 73,8     | 67,6     | 60,6      | 52,7      | 44,0      |
| CF680E | LAmax                   | D         | 62 000,0  | 111,7   | 104,4   | 99,6    | 94,5     | 86,6     | 78,4     | 72,4     | 65,6      | 57,6      | 48,8      |
| CF680E | SEL                     | A         | 6 000,0   | 99,1    | 93,5    | 90,3    | 87,1     | 81,9     | 76,1     | 71,7     | 66,6      | 60,3      | 53,7      |
| CF680E | SEL                     | A         | 12 000,0  | 100,0   | 94,8    | 91,5    | 88,2     | 82,8     | 76,9     | 72,3     | 67,1      | 60,8      | 54,2      |
| CF680E | SEL                     | D         | 34 000,0  | 106,7   | 101,4   | 98,1    | 94,5     | 88,6     | 82,2     | 77,6     | 72,2      | 65,9      | 58,9      |
| CF680E | SEL                     | D         | 42 000,0  | 107,2   | 102,4   | 99,4    | 96,0     | 90,6     | 84,4     | 79,9     | 74,6      | 68,4      | 61,5      |
| CF680E | SEL                     | D         | 52 000,0  | 108,4   | 104,1   | 101,2   | 98,2     | 93,2     | 87,4     | 83,0     | 77,6      | 71,6      | 64,8      |

| NPD_ID | Mode de mesure du bruit | Type d'op | Paramètre puissance (le champ «paramètre puissance» du tableau «Avions» indique le type et l'unité du paramètre de puissance) | L_200ft | L_400ft | L_630ft | L_1000ft | L_2000ft | L_4000ft | L_6300ft | L_10000ft | L_16000ft | L_25000ft |
|--------|-------------------------|-----------|---|---------|---------|---------|----------|----------|----------|----------|-----------|-----------|-----------|
| CF680E | SEL                     | D         | 62 000,0  | 112,7   | 108,3   | 105,4   | 102,5    | 97,6     | 91,9     | 87,7     | 82,5      | 76,5      | 70,4      |
| CF700  | LAmax                   | A         | 850,0   | 98,2    | 90,6    | 84,9    | 78,7     | 68,7     | 59,1     | 52,4     | 45,3      | 37,6      | 29,2      |
| CF700  | LAmax                   | A         | 1 500,0   | 100,5   | 93,5    | 88,6    | 83,5     | 74,6     | 64,9     | 57,6     | 49,7      | 41,7      | 33,0      |
| CF700  | LAmax                   | D         | 2 500,0   | 101,0   | 94,0    | 89,1    | 84,0     | 75,9     | 66,9     | 60,2     | 52,8      | 44,8      | 36,1      |
| CF700  | LAmax                   | D         | 3 750,0   | 108,6   | 101,4   | 96,3    | 91,0     | 82,4     | 72,6     | 65,3     | 57,2      | 48,4      | 38,9      |
| CF700  | SEL                     | A         | 850,0   | 100,7   | 95,3    | 91,2    | 86,4     | 78,7     | 71,4     | 66,2     | 60,5      | 54,4      | 47,4      |
| CF700  | SEL                     | A         | 1 500,0   | 102,8   | 97,8    | 94,1    | 90,0     | 83,4     | 75,9     | 70,1     | 63,7      | 57,2      | 50,0      |
| CF700  | SEL                     | D         | 2 500,0   | 104,2   | 99,5    | 96,1    | 92,5     | 86,7     | 79,9     | 74,7     | 68,9      | 62,3      | 55,1      |
| CF700  | SEL                     | D         | 3 750,0   | 111,3   | 106,4   | 102,8   | 99,0     | 92,6     | 85,1     | 79,2     | 72,7      | 65,4      | 57,4      |
| CFM562 | LAmax                   | A         | 5 000,0   | 96,4    | 89,8    | 85,2    | 80,4     | 72,6     | 64,0     | 57,5     | 50,3      | 42,1      | 33,4      |
| CFM562 | LAmax                   | A         | 10 000,0  | 100,5   | 94,0    | 89,2    | 84,4     | 76,7     | 68,7     | 61,8     | 54,7      | 46,5      | 37,8      |
| CFM562 | LAmax                   | D         | 10 000,0  | 100,5   | 94,0    | 89,2    | 84,4     | 76,7     | 68,7     | 61,8     | 54,7      | 46,5      | 37,8      |
| CFM562 | LAmax                   | D         | 15 500,0  | 106,1   | 99,5    | 94,8    | 89,9     | 82,3     | 73,9     | 67,8     | 60,8      | 52,6      | 43,9      |
| CFM562 | SEL                     | A         | 5 000,0   | 97,9    | 93,5    | 90,4    | 87,1     | 81,9     | 75,6     | 70,7     | 64,9      | 58,2      | 51,0      |
| CFM562 | SEL                     | A         | 10 000,0  | 101,5   | 97,2    | 94,2    | 91,0     | 85,9     | 79,8     | 75,0     | 69,3      | 62,6      | 55,4      |
| CFM562 | SEL                     | D         | 10 000,0  | 101,5   | 97,2    | 94,2    | 91,0     | 85,9     | 79,8     | 75,0     | 69,3      | 62,6      | 55,4      |
| CFM562 | SEL                     | D         | 15 500,0  | 106,5   | 102,5   | 99,6    | 96,5     | 91,6     | 85,7     | 81,0     | 75,5      | 68,9      | 61,6      |
| CFM563 | LAmax                   | A         | 2 500,0   | 93,4    | 85,7    | 80,8    | 75,6     | 67,4     | 58,2     | 51,5     | 44,0      | 36,5      | 29,1      |
| CFM563 | LAmax                   | A         | 3 500,0   | 94,5    | 86,7    | 81,8    | 76,5     | 68,2     | 59,1     | 52,5     | 45,1      | 37,6      | 30,4      |
| CFM563 | LAmax                   | A         | 4 500,0   | 95,8    | 88,0    | 83,0    | 77,7     | 69,5     | 60,4     | 53,9     | 46,6      | 39,2      | 32,1      |

| NPD_ID | Mode de mesure du bruit | Type d'op | Paramètre puissance (le champ «paramètre puissance» du tableau «Avions» indique le type et l'unité du paramètre de puissance) | L_200ft | L_400ft | L_630ft | L_1000ft | L_2000ft | L_4000ft | L_6300ft | L_10000ft | L_16000ft | L_25000ft |
|--------|-------------------------|-----------|---|---------|---------|---------|----------|----------|----------|----------|-----------|-----------|-----------|
| CFM563 | LAmax                   | A         | 5 500,0   | 97,2    | 89,3    | 84,4    | 79,1     | 71,0     | 62,0     | 55,6     | 48,3      | 41,0      | 33,9      |
| CFM563 | LAmax                   | D         | 6 500,0   | 95,8    | 89,1    | 84,5    | 79,6     | 71,7     | 63,2     | 56,9     | 49,8      | 42,5      | 35,7      |
| CFM563 | LAmax                   | D         | 9 000,0   | 97,0    | 90,3    | 85,8    | 80,9     | 73,2     | 64,8     | 58,6     | 51,6      | 44,5      | 37,8      |
| CFM563 | LAmax                   | D         | 11 500,0  | 98,6    | 92,0    | 87,4    | 82,7     | 75,0     | 66,7     | 60,6     | 53,8      | 46,8      | 40,2      |
| CFM563 | LAmax                   | D         | 14 000,0  | 100,4   | 93,8    | 89,3    | 84,5     | 77,0     | 68,8     | 62,8     | 56,0      | 49,2      | 42,7      |
| CFM563 | LAmax                   | D         | 16 500,0  | 102,2   | 95,7    | 91,2    | 86,5     | 79,0     | 70,9     | 65,0     | 58,4      | 51,6      | 45,3      |
| CFM563 | LAmax                   | D         | 19 000,0  | 104,4   | 97,9    | 93,5    | 88,9     | 81,5     | 73,5     | 67,6     | 61,1      | 54,5      | 48,3      |
| CFM563 | SEL                     | A         | 2 500,0   | 94,7    | 90,2    | 87,1    | 83,7     | 78,1     | 71,5     | 66,7     | 61,1      | 55,4      | 49,8      |
| CFM563 | SEL                     | A         | 3 500,0   | 96,3    | 91,5    | 88,3    | 84,7     | 79,0     | 72,5     | 67,7     | 62,2      | 56,6      | 51,2      |
| CFM563 | SEL                     | A         | 4 500,0   | 97,6    | 92,8    | 89,5    | 85,8     | 80,1     | 73,7     | 69,0     | 63,6      | 58,1      | 52,8      |
| CFM563 | SEL                     | A         | 5 500,0   | 98,8    | 93,9    | 90,6    | 86,9     | 81,4     | 75,0     | 70,4     | 65,1      | 59,7      | 54,4      |
| CFM563 | SEL                     | D         | 6 500,0   | 96,4    | 92,3    | 89,3    | 86,1     | 80,9     | 75,2     | 70,8     | 65,6      | 60,3      | 55,4      |
| CFM563 | SEL                     | D         | 9 000,0   | 97,9    | 93,7    | 90,7    | 87,5     | 82,4     | 76,8     | 72,5     | 67,5      | 62,5      | 57,7      |
| CFM563 | SEL                     | D         | 11 500,0  | 99,5    | 95,4    | 92,5    | 89,3     | 84,3     | 78,9     | 74,7     | 69,9      | 64,9      | 60,3      |
| CFM563 | SEL                     | D         | 14 000,0  | 101,1   | 97,2    | 94,4    | 91,3     | 86,5     | 81,2     | 77,1     | 72,3      | 67,5      | 63,0      |
| CFM563 | SEL                     | D         | 16 500,0  | 102,8   | 99,0    | 96,3    | 93,5     | 88,8     | 83,6     | 79,6     | 74,9      | 70,2      | 65,8      |
| CFM563 | SEL                     | D         | 19 000,0  | 104,7   | 101,2   | 98,7    | 96,0     | 91,5     | 86,4     | 82,5     | 78,0      | 73,4      | 69,1      |
| CFM565 | LAmax                   | A         | 2 700,0   | 91,7    | 84,4    | 79,7    | 74,8     | 67,0     | 58,5     | 52,2     | 45,3      | 37,5      | 29,5      |
| CFM565 | LAmax                   | A         | 6 000,0   | 93,8    | 86,1    | 80,9    | 75,6     | 67,4     | 58,7     | 52,4     | 45,5      | 37,7      | 29,7      |
| CFM565 | LAmax                   | D         | 12 000,0  | 100,3   | 92,0    | 86,2    | 80,3     | 71,1     | 61,7     | 55,4     | 48,6      | 40,9      | 33,1      |

| NPD_ID | Mode de mesure du bruit | Type d'op | Paramètre puissance (le champ «paramètre puissance» du tableau «Avions» indique le type et l'unité du paramètre de puissance) | L_200ft | L_400ft | L_630ft | L_1000ft | L_2000ft | L_4000ft | L_6300ft | L_10000ft | L_16000ft | L_25000ft |
|--------|-------------------------|-----------|---|---------|---------|---------|----------|----------|----------|----------|-----------|-----------|-----------|
| CFM565 | LAmax                   | D         | 15 500,0  | 102,5   | 94,9    | 89,5    | 83,6     | 74,0     | 65,0     | 58,8     | 52,1      | 44,7      | 36,8      |
| CFM565 | LAmax                   | D         | 19 000,0  | 104,3   | 96,6    | 91,1    | 85,7     | 77,2     | 68,2     | 62,2     | 55,5      | 47,9      | 40,0      |
| CFM565 | LAmax                   | D         | 22 500,0  | 105,9   | 98,9    | 94,1    | 88,9     | 80,9     | 72,5     | 66,1     | 59,4      | 51,7      | 43,3      |
| CFM565 | SEL                     | A         | 2 700,0   | 96,6    | 90,5    | 87,5    | 84,2     | 78,9     | 72,8     | 68,2     | 62,9      | 56,8      | 50,3      |
| CFM565 | SEL                     | A         | 6 000,0   | 97,4    | 91,6    | 88,2    | 84,8     | 79,3     | 73,1     | 68,5     | 63,3      | 57,1      | 50,6      |
| CFM565 | SEL                     | D         | 12 000,0  | 100,9   | 96,2    | 92,4    | 88,3     | 81,9     | 75,5     | 71,1     | 66,0      | 60,0      | 53,8      |
| CFM565 | SEL                     | D         | 15 500,0  | 103,6   | 99,0    | 95,3    | 91,5     | 85,6     | 79,3     | 74,9     | 69,9      | 64,2      | 57,9      |
| CFM565 | SEL                     | D         | 19 000,0  | 104,7   | 100,5   | 97,3    | 93,9     | 88,3     | 82,4     | 78,1     | 73,2      | 67,3      | 61,0      |
| CFM565 | SEL                     | D         | 22 500,0  | 106,5   | 102,4   | 99,6    | 96,4     | 91,4     | 85,7     | 81,5     | 76,5      | 70,8      | 64,3      |
| CJ610  | LAmax                   | A         | 700,0   | 98,5    | 91,9    | 87,3    | 82,4     | 74,3     | 65,0     | 58,0     | 50,1      | 41,3      | 31,6      |
| CJ610  | LAmax                   | A         | 1 800,0   | 117,1   | 110,3   | 105,6   | 100,5    | 92,2     | 82,5     | 75,1     | 66,7      | 57,0      | 46,0      |
| CJ610  | LAmax                   | D         | 1 800,0   | 117,1   | 110,3   | 105,6   | 100,5    | 92,2     | 82,5     | 75,1     | 66,7      | 57,0      | 46,0      |
| CJ610  | LAmax                   | D         | 2 600,0   | 122,2   | 115,0   | 109,8   | 104,3    | 95,3     | 85,3     | 77,6     | 68,9      | 59,0      | 47,9      |
| CJ610  | SEL                     | A         | 700,0   | 100,8   | 96,4    | 93,3    | 89,9     | 84,0     | 77,0     | 71,5     | 65,1      | 57,8      | 49,6      |
| CJ610  | SEL                     | A         | 1 800,0   | 119,3   | 114,8   | 111,6   | 108,0    | 101,9    | 94,5     | 88,6     | 81,6      | 73,4      | 63,9      |
| CJ610  | SEL                     | D         | 1 800,0   | 119,3   | 114,8   | 111,6   | 108,0    | 101,9    | 94,5     | 88,6     | 81,6      | 73,4      | 63,9      |
| CJ610  | SEL                     | D         | 2 600,0   | 124,7   | 119,7   | 116,0   | 112,0    | 105,3    | 97,5     | 91,3     | 84,1      | 75,7      | 66,1      |
| CT75   | LAmax                   | A         | 30,0  | 86,9    | 80,5    | 76,1    | 71,6     | 64,5     | 57,0     | 51,6     | 45,6      | 38,6      | 30,9      |
| CT75   | LAmax                   | A         | 75,0  | 88,1    | 81,7    | 77,4    | 73,0     | 66,0     | 58,5     | 53,3     | 47,6      | 41,3      | 34,5      |
| CT75   | LAmax                   | D         | 75,0  | 88,1    | 81,7    | 77,4    | 73,0     | 66,0     | 58,5     | 53,3     | 47,6      | 41,3      | 34,5      |

| NPD_ID | Mode de mesure du bruit | Type d'op | Paramètre puissance (le champ «paramètre puissance» du tableau «Avions» indique le type et l'unité du paramètre de puissance) | L_200ft | L_400ft | L_630ft | L_1000ft | L_2000ft | L_4000ft | L_6300ft | L_10000ft | L_16000ft | L_25000ft |
|--------|-------------------------|-----------|---|---------|---------|---------|----------|----------|----------|----------|-----------|-----------|-----------|
| CT75   | LAmax                   | D         | 100,0   | 95,2    | 88,9    | 84,7    | 80,3     | 73,4     | 66,1     | 60,8     | 54,8      | 47,9      | 40,1      |
| CT75   | SEL                     | A         | 30,0  | 87,5    | 83,4    | 80,5    | 77,5     | 72,7     | 67,4     | 63,6     | 59,1      | 53,6      | 47,3      |
| CT75   | SEL                     | A         | 75,0  | 89,0    | 85,1    | 82,5    | 79,5     | 75,1     | 69,9     | 66,2     | 62,0      | 57,2      | 51,8      |
| CT75   | SEL                     | D         | 75,0  | 89,0    | 85,1    | 82,5    | 79,5     | 75,1     | 69,9     | 66,2     | 62,0      | 57,2      | 51,8      |
| CT75   | SEL                     | D         | 100,0   | 97,0    | 92,8    | 90,1    | 87,3     | 82,9     | 77,8     | 74,0     | 69,5      | 64,1      | 57,8      |
| EPW118 | LAmax                   | A         | 700,0   | 88,9    | 82,0    | 77,1    | 71,9     | 63,6     | 55,2     | 49,3     | 42,9      | 34,7      | 27,0      |
| EPW118 | LAmax                   | A         | 1 000,0   | 88,3    | 81,5    | 76,8    | 71,8     | 64,0     | 55,5     | 49,4     | 42,4      | 33,5      | 25,1      |
| EPW118 | LAmax                   | D         | 2 000,0   | 85,8    | 79,2    | 74,8    | 70,2     | 63,0     | 55,2     | 49,6     | 43,2      | 35,4      | 28,1      |
| EPW118 | LAmax                   | D         | 3 000,0   | 86,4    | 79,9    | 75,6    | 71,1     | 64,0     | 56,6     | 51,3     | 45,6      | 38,7      | 32,1      |
| EPW118 | LAmax                   | D         | 3 800,0   | 92,0    | 85,7    | 81,5    | 77,1     | 70,4     | 63,3     | 58,4     | 53,0      | 46,2      | 39,7      |
| EPW118 | SEL                     | A         | 700,0   | 94,5    | 87,5    | 82,7    | 77,5     | 69,2     | 60,7     | 54,9     | 48,4      | 40,3      | 32,6      |
| EPW118 | SEL                     | A         | 1 000,0   | 94,9    | 88,1    | 83,4    | 78,4     | 70,6     | 62,1     | 56,0     | 49,0      | 40,2      | 31,7      |
| EPW118 | SEL                     | D         | 2 000,0   | 98,4    | 91,9    | 87,4    | 82,8     | 75,6     | 67,8     | 62,2     | 55,9      | 48,1      | 40,7      |
| EPW118 | SEL                     | D         | 3 000,0   | 98,7    | 92,3    | 87,9    | 83,4     | 76,4     | 68,9     | 63,7     | 58,0      | 51,0      | 44,5      |
| EPW118 | SEL                     | D         | 3 800,0   | 100,9   | 94,6    | 90,4    | 86,0     | 79,3     | 72,2     | 67,3     | 61,9      | 55,0      | 48,6      |
| FJ44-4 | LAmax                   | A         | 600,0   | 86,7    | 79,1    | 73,8    | 68,1     | 59,1     | 49,4     | 42,7     | 35,7      | 28,2      | 20,8      |
| FJ44-4 | LAmax                   | A         | 900,0   | 89,1    | 81,8    | 76,6    | 70,9     | 61,7     | 51,7     | 44,6     | 37,1      | 29,1      | 21,1      |
| FJ44-4 | LAmax                   | D         | 1 700,0   | 96,4    | 88,4    | 82,8    | 76,9     | 67,6     | 57,7     | 50,9     | 43,7      | 36,2      | 28,8      |
| FJ44-4 | LAmax                   | D         | 2 400,0   | 98,2    | 91,8    | 87,1    | 81,8     | 73,2     | 63,5     | 56,7     | 49,3      | 41,3      | 33,4      |
| FJ44-4 | LAmax                   | D         | 3 000,0   | 101,5   | 95,2    | 90,6    | 85,4     | 76,8     | 67,3     | 60,5     | 53,1      | 45,2      | 37,3      |

| NPD_ID | Mode de mesure du bruit | Type d'op | Paramètre puissance (le champ «paramètre puissance» du tableau «Avions» indique le type et l'unité du paramètre de puissance) | L_200ft | L_400ft | L_630ft | L_1000ft | L_2000ft | L_4000ft | L_6300ft | L_10000ft | L_16000ft | L_25000ft |
|--------|-------------------------|-----------|---|---------|---------|---------|----------|----------|----------|----------|-----------|-----------|-----------|
| FJ44-4 | LAmax                   | D         | 3 300,0   | 103,8   | 97,4    | 92,7    | 87,5     | 78,9     | 69,4     | 62,7     | 55,4      | 47,6      | 39,8      |
| FJ44-4 | SEL                     | A         | 600,0   | 87,3    | 82,8    | 79,5    | 75,9     | 70,0     | 63,4     | 58,8     | 53,9      | 48,6      | 43,3      |
| FJ44-4 | SEL                     | A         | 900,0   | 90,4    | 85,5    | 82,0    | 78,1     | 71,8     | 64,9     | 60,0     | 54,8      | 49,2      | 43,6      |
| FJ44-4 | SEL                     | D         | 1 700,0   | 94,2    | 90,0    | 86,8    | 83,2     | 77,2     | 70,5     | 65,7     | 60,6      | 55,0      | 49,3      |
| FJ44-4 | SEL                     | D         | 2 400,0   | 98,2    | 94,4    | 91,5    | 88,2     | 82,5     | 76,0     | 71,3     | 66,1      | 60,5      | 54,8      |
| FJ44-4 | SEL                     | D         | 3 000,0   | 102,0   | 98,5    | 95,7    | 92,5     | 86,9     | 80,4     | 75,7     | 70,5      | 64,9      | 59,1      |
| FJ44-4 | SEL                     | D         | 3 300,0   | 104,5   | 101,0   | 98,2    | 95,0     | 89,5     | 83,2     | 78,6     | 73,5      | 68,0      | 62,4      |
| GE90   | LAmax                   | A         | 12 000,0  | 94,2    | 86,8    | 81,8    | 76,8     | 68,9     | 60,3     | 54,1     | 47,5      | 40,8      | 34,5      |
| GE90   | LAmax                   | A         | 17 000,0  | 95,3    | 87,9    | 82,9    | 77,9     | 69,9     | 61,2     | 55,0     | 48,3      | 41,5      | 35,1      |
| GE90   | LAmax                   | A         | 22 000,0  | 96,6    | 89,0    | 84,0    | 78,9     | 70,7     | 62,0     | 55,6     | 48,9      | 42,0      | 35,6      |
| GE90   | LAmax                   | A         | 27 000,0  | 97,9    | 90,0    | 84,9    | 79,7     | 71,4     | 62,5     | 56,2     | 49,4      | 42,5      | 36,0      |
| GE90   | LAmax                   | D         | 31 000,0  | 97,5    | 90,7    | 86,0    | 80,8     | 72,8     | 63,8     | 57,5     | 50,4      | 43,3      | 36,4      |
| GE90   | LAmax                   | D         | 41 000,0  | 98,8    | 92,0    | 87,3    | 82,2     | 74,2     | 65,3     | 59,0     | 52,1      | 45,1      | 38,4      |
| GE90   | LAmax                   | D         | 51 000,0  | 100,6   | 93,8    | 89,2    | 84,1     | 76,2     | 67,3     | 61,1     | 54,3      | 47,5      | 40,9      |
| GE90   | LAmax                   | D         | 61 000,0  | 102,8   | 96,0    | 91,4    | 86,4     | 78,5     | 69,7     | 63,6     | 56,9      | 50,1      | 43,5      |
| GE90   | LAmax                   | D         | 71 000,0  | 105,0   | 98,3    | 93,7    | 88,7     | 80,8     | 72,1     | 66,1     | 59,4      | 52,7      | 46,3      |
| GE90   | LAmax                   | D         | 81 000,0  | 109,0   | 102,4   | 97,8    | 92,9     | 85,2     | 76,7     | 70,8     | 64,4      | 58,0      | 52,0      |
| GE90   | SEL                     | A         | 12 000,0  | 97,7    | 92,8    | 89,5    | 86,3     | 80,9     | 74,9     | 70,4     | 65,5      | 60,5      | 55,8      |
| GE90   | SEL                     | A         | 17 000,0  | 98,6    | 93,9    | 90,6    | 87,2     | 81,7     | 75,7     | 71,1     | 66,1      | 61,1      | 56,4      |
| GE90   | SEL                     | A         | 22 000,0  | 99,8    | 94,9    | 91,5    | 88,1     | 82,5     | 76,3     | 71,7     | 66,7      | 61,6      | 56,9      |

| NPD_ID | Mode de mesure du bruit | Type d'op | Paramètre puissance (le champ «paramètre puissance» du tableau «Avions» indique le type et l'unité du paramètre de puissance) | L_200ft | L_400ft | L_630ft | L_1000ft | L_2000ft | L_4000ft | L_6300ft | L_10000ft | L_16000ft | L_25000ft |
|--------|-------------------------|-----------|---|---------|---------|---------|----------|----------|----------|----------|-----------|-----------|-----------|
| GE90   | SEL                     | A         | 27 000,0  | 101,0   | 95,9    | 92,4    | 88,8     | 83,2     | 76,9     | 72,3     | 67,2      | 62,1      | 57,3      |
| GE90   | SEL                     | D         | 31 000,0  | 100,0   | 95,8    | 92,7    | 89,2     | 83,5     | 76,9     | 72,2     | 66,9      | 61,4      | 56,2      |
| GE90   | SEL                     | D         | 41 000,0  | 101,2   | 97,1    | 94,2    | 90,7     | 85,1     | 78,5     | 73,9     | 68,7      | 63,4      | 58,4      |
| GE90   | SEL                     | D         | 51 000,0  | 102,7   | 98,8    | 95,9    | 92,5     | 87,0     | 80,6     | 76,1     | 71,1      | 66,0      | 61,1      |
| GE90   | SEL                     | D         | 61 000,0  | 104,4   | 100,6   | 97,7    | 94,5     | 89,2     | 82,9     | 78,6     | 73,7      | 68,7      | 64,0      |
| GE90   | SEL                     | D         | 71 000,0  | 106,1   | 102,3   | 99,5    | 96,4     | 91,3     | 85,3     | 81,1     | 76,3      | 71,5      | 66,9      |
| GE90   | SEL                     | D         | 81 000,0  | 109,1   | 105,4   | 102,7   | 99,7     | 95,0     | 89,6     | 85,7     | 81,3      | 77,0      | 73,0      |
| GE9015 | LAmax                   | A         | 12 000,0  | 96,1    | 88,9    | 84,3    | 79,4     | 71,6     | 63,2     | 57,1     | 50,5      | 43,8      | 37,5      |
| GE9015 | LAmax                   | A         | 17 333,0  | 96,5    | 89,3    | 84,6    | 79,7     | 71,9     | 63,4     | 57,3     | 50,7      | 43,9      | 37,6      |
| GE9015 | LAmax                   | A         | 22 667,0  | 97,2    | 90,0    | 85,3    | 80,3     | 72,5     | 63,9     | 57,6     | 51,0      | 44,1      | 37,7      |
| GE9015 | LAmax                   | A         | 28 000,0  | 98,2    | 90,9    | 86,1    | 81,1     | 73,2     | 64,5     | 58,1     | 51,4      | 44,4      | 37,9      |
| GE9015 | LAmax                   | D         | 39 000,0  | 100,4   | 93,2    | 88,4    | 83,4     | 75,3     | 66,5     | 60,1     | 52,9      | 45,6      | 38,6      |
| GE9015 | LAmax                   | D         | 50 600,0  | 101,8   | 94,7    | 89,9    | 84,8     | 76,6     | 67,7     | 61,5     | 54,5      | 47,4      | 40,6      |
| GE9015 | LAmax                   | D         | 62 200,0  | 103,5   | 96,6    | 91,8    | 86,7     | 78,5     | 69,6     | 63,3     | 56,4      | 49,4      | 42,7      |
| GE9015 | LAmax                   | D         | 73 800,0  | 105,5   | 98,6    | 93,8    | 88,7     | 80,5     | 71,7     | 65,4     | 58,6      | 51,7      | 45,0      |
| GE9015 | LAmax                   | D         | 85 400,0  | 108,5   | 101,7   | 96,9    | 91,9     | 83,8     | 75,1     | 68,9     | 62,1      | 55,3      | 48,8      |
| GE9015 | LAmax                   | D         | 97 000,0  | 114,5   | 107,6   | 103,0   | 98,1     | 90,4     | 81,8     | 75,7     | 68,9      | 61,9      | 55,4      |
| GE9015 | SEL                     | A         | 12 000,0  | 99,5    | 94,9    | 91,8    | 88,7     | 83,5     | 77,6     | 73,1     | 68,3      | 63,3      | 58,6      |
| GE9015 | SEL                     | A         | 17 333,0  | 99,9    | 95,2    | 92,1    | 88,9     | 83,6     | 77,7     | 73,2     | 68,3      | 63,2      | 58,5      |
| GE9015 | SEL                     | A         | 22 667,0  | 100,5   | 95,9    | 92,8    | 89,5     | 84,1     | 78,1     | 73,5     | 68,5      | 63,4      | 58,6      |

| NPD_ID | Mode de mesure du bruit | Type d'op | Paramètre puissance (le champ «paramètre puissance» du tableau «Avions» indique le type et l'unité du paramètre de puissance) | L_200ft | L_400ft | L_630ft | L_1000ft | L_2000ft | L_4000ft | L_6300ft | L_10000ft | L_16000ft | L_25000ft |
|--------|-------------------------|-----------|---|---------|---------|---------|----------|----------|----------|----------|-----------|-----------|-----------|
| GE9015 | SEL                     | A         | 28 000,0  | 101,3   | 96,7    | 93,5    | 90,2     | 84,8     | 78,7     | 74,0     | 68,9      | 63,7      | 58,9      |
| GE9015 | SEL                     | D         | 39 000,0  | 102,7   | 97,8    | 94,4    | 90,9     | 85,3     | 78,9     | 74,3     | 68,9      | 63,5      | 58,3      |
| GE9015 | SEL                     | D         | 50 600,0  | 103,6   | 98,9    | 95,7    | 92,3     | 86,7     | 80,4     | 75,9     | 70,7      | 65,5      | 60,6      |
| GE9015 | SEL                     | D         | 62 200,0  | 105,0   | 100,5   | 97,4    | 94,1     | 88,5     | 82,3     | 77,9     | 72,9      | 67,8      | 63,0      |
| GE9015 | SEL                     | D         | 73 800,0  | 106,6   | 102,3   | 99,2    | 96,0     | 90,5     | 84,4     | 80,0     | 75,1      | 70,1      | 65,4      |
| GE9015 | SEL                     | D         | 85 400,0  | 109,3   | 105,0   | 102,1   | 98,9     | 93,6     | 87,7     | 83,4     | 78,6      | 73,7      | 69,1      |
| GE9015 | SEL                     | D         | 97 000,0  | 114,7   | 110,6   | 107,7   | 104,7    | 99,7     | 94,1     | 89,9     | 85,1      | 80,2      | 75,6      |
| GENX67 | LAmax                   | A         | 7 000,0   | 99,0    | 91,8    | 87,0    | 82,2     | 74,4     | 65,9     | 59,6     | 52,8      | 45,9      | 39,4      |
| GENX67 | LAmax                   | A         | 12 000,0  | 99,6    | 92,4    | 87,6    | 82,8     | 75,0     | 66,5     | 60,2     | 53,3      | 46,4      | 39,9      |
| GENX67 | LAmax                   | A         | 17 000,0  | 100,0   | 92,8    | 88,0    | 83,2     | 75,3     | 66,7     | 60,4     | 53,5      | 46,5      | 40,0      |
| GENX67 | LAmax                   | A         | 22 000,0  | 100,4   | 93,2    | 88,3    | 83,4     | 75,4     | 66,8     | 60,4     | 53,5      | 46,5      | 39,9      |
| GENX67 | LAmax                   | D         | 17 000,0  | 101,0   | 94,3    | 89,7    | 84,9     | 77,2     | 68,7     | 62,5     | 55,5      | 48,4      | 41,5      |
| GENX67 | LAmax                   | D         | 25 000,0  | 101,5   | 94,8    | 90,2    | 85,3     | 77,5     | 68,8     | 62,6     | 55,6      | 48,4      | 41,6      |
| GENX67 | LAmax                   | D         | 33 000,0  | 102,9   | 96,2    | 91,5    | 86,6     | 78,7     | 70,0     | 63,7     | 56,6      | 49,5      | 42,6      |
| GENX67 | LAmax                   | D         | 41 000,0  | 104,8   | 98,0    | 93,4    | 88,5     | 80,5     | 71,7     | 65,4     | 58,3      | 51,0      | 44,1      |
| GENX67 | LAmax                   | D         | 49 000,0  | 107,0   | 100,2   | 95,5    | 90,6     | 82,6     | 73,8     | 67,4     | 60,2      | 53,0      | 46,0      |
| GENX67 | LAmax                   | D         | 57 000,0  | 110,1   | 103,4   | 98,7    | 93,8     | 85,8     | 76,9     | 70,5     | 63,2      | 55,9      | 49,0      |
| GENX67 | SEL                     | A         | 7 000,0   | 101,0   | 96,8    | 93,9    | 90,9     | 85,7     | 79,7     | 75,1     | 70,0      | 64,9      | 60,1      |
| GENX67 | SEL                     | A         | 12 000,0  | 101,6   | 97,4    | 94,5    | 91,4     | 86,2     | 80,2     | 75,6     | 70,5      | 65,3      | 60,4      |
| GENX67 | SEL                     | A         | 17 000,0  | 102,3   | 98,0    | 95,0    | 91,9     | 86,6     | 80,6     | 75,9     | 70,7      | 65,4      | 60,5      |

| NPD_ID | Mode de mesure du bruit | Type d'op | Paramètre puissance (le champ «paramètre puissance» du tableau «Avions» indique le type et l'unité du paramètre de puissance) | L_200ft | L_400ft | L_630ft | L_1000ft | L_2000ft | L_4000ft | L_6300ft | L_10000ft | L_16000ft | L_25000ft |
|--------|-------------------------|-----------|---|---------|---------|---------|----------|----------|----------|----------|-----------|-----------|-----------|
| GENX67 | SEL                     | A         | 22 000,0  | 102,8   | 98,5    | 95,5    | 92,3     | 86,9     | 80,8     | 76,1     | 70,8      | 65,4      | 60,4      |
| GENX67 | SEL                     | D         | 17 000,0  | 102,0   | 98,1    | 95,3    | 92,4     | 87,4     | 81,7     | 77,3     | 72,1      | 66,9      | 61,8      |
| GENX67 | SEL                     | D         | 25 000,0  | 102,6   | 98,6    | 95,8    | 92,8     | 87,6     | 81,7     | 77,3     | 72,1      | 66,9      | 61,8      |
| GENX67 | SEL                     | D         | 33 000,0  | 103,9   | 99,9    | 97,1    | 94,0     | 88,8     | 82,8     | 78,4     | 73,2      | 68,0      | 62,9      |
| GENX67 | SEL                     | D         | 41 000,0  | 105,5   | 101,6   | 98,8    | 95,7     | 90,5     | 84,5     | 80,1     | 74,9      | 69,7      | 64,7      |
| GENX67 | SEL                     | D         | 49 000,0  | 107,4   | 103,5   | 100,7   | 97,7     | 92,5     | 86,6     | 82,2     | 77,0      | 71,8      | 66,8      |
| GENX67 | SEL                     | D         | 57 000,0  | 110,1   | 106,3   | 103,5   | 100,6    | 95,5     | 89,7     | 85,3     | 80,2      | 75,1      | 70,2      |
| GP7270 | LAmax                   | A         | 5 500,0   | 92,0    | 86,2    | 81,9    | 77,4     | 69,8     | 61,4     | 55,3     | 48,6      | 41,2      | 33,5      |
| GP7270 | LAmax                   | A         | 7 500,0   | 92,4    | 86,4    | 82,1    | 77,5     | 69,9     | 61,6     | 55,5     | 48,8      | 41,3      | 33,5      |
| GP7270 | LAmax                   | A         | 12 000,0  | 93,4    | 87,0    | 82,5    | 77,9     | 70,3     | 61,9     | 55,8     | 49,1      | 41,6      | 33,7      |
| GP7270 | LAmax                   | A         | 14 000,0  | 94,0    | 87,5    | 82,9    | 78,1     | 70,4     | 62,0     | 55,9     | 49,2      | 41,7      | 33,9      |
| GP7270 | LAmax                   | D         | 40 000,0  | 99,3    | 92,8    | 88,5    | 83,7     | 75,9     | 67,2     | 60,9     | 53,9      | 45,9      | 37,3      |
| GP7270 | LAmax                   | D         | 50 000,0  | 102,0   | 95,9    | 91,3    | 86,5     | 78,7     | 70,1     | 63,8     | 56,8      | 48,8      | 40,2      |
| GP7270 | LAmax                   | D         | 60 000,0  | 104,1   | 98,2    | 93,8    | 89,1     | 81,6     | 73,0     | 66,8     | 59,7      | 51,7      | 43,1      |
| GP7270 | LAmax                   | D         | 80 000,0  | 111,3   | 105,6   | 101,7   | 97,1     | 90,0     | 81,7     | 75,5     | 68,2      | 61,1      | 52,5      |
| GP7270 | SEL                     | A         | 5 500,0   | 96,8    | 92,6    | 89,8    | 86,7     | 81,6     | 75,7     | 71,2     | 66,2      | 60,4      | 54,2      |
| GP7270 | SEL                     | A         | 7 500,0   | 97,3    | 93,0    | 90,0    | 86,9     | 81,8     | 75,9     | 71,5     | 66,4      | 60,6      | 54,3      |
| GP7270 | SEL                     | A         | 12 000,0  | 98,4    | 93,9    | 90,8    | 87,6     | 82,4     | 76,4     | 72,0     | 66,9      | 61,0      | 54,6      |
| GP7270 | SEL                     | A         | 14 000,0  | 99,0    | 94,3    | 91,2    | 88,0     | 82,7     | 76,8     | 72,3     | 67,2      | 61,3      | 54,8      |
| GP7270 | SEL                     | D         | 40 000,0  | 102,6   | 98,2    | 95,0    | 91,8     | 86,5     | 80,6     | 76,1     | 71,0      | 64,9      | 58,2      |

| NPD_ID | Mode de mesure du bruit | Type d'op | Paramètre puissance (le champ «paramètre puissance» du tableau «Avions» indique le type et l'unité du paramètre de puissance) | L_200ft | L_400ft | L_630ft | L_1000ft | L_2000ft | L_4000ft | L_6300ft | L_10000ft | L_16000ft | L_25000ft |
|--------|-------------------------|-----------|---|---------|---------|---------|----------|----------|----------|----------|-----------|-----------|-----------|
| GP7270 | SEL                     | D         | 50 000,0  | 105,6   | 101,0   | 97,9    | 94,8     | 89,7     | 83,8     | 79,5     | 74,3      | 68,3      | 61,6      |
| GP7270 | SEL                     | D         | 60 000,0  | 107,7   | 103,5   | 100,5   | 97,4     | 92,2     | 86,4     | 82,0     | 76,9      | 70,8      | 64,1      |
| GP7270 | SEL                     | D         | 80 000,0  | 114,8   | 111,0   | 108,5   | 105,6    | 100,6    | 94,9     | 90,6     | 85,5      | 79,6      | 72,7      |
| IO320B | LAmaz                   | A         | 55,0  | 79,0    | 72,6    | 68,2    | 63,6     | 56,4     | 48,5     | 43,0     | 36,8      | 30,0      | 22,9      |
| IO320B | LAmaz                   | A         | 107,0   | 79,8    | 73,3    | 68,9    | 64,3     | 56,8     | 48,3     | 42,1     | 35,3      | 27,9      | 20,6      |
| IO320B | LAmaz                   | D         | 201,0   | 86,6    | 79,8    | 75,1    | 70,0     | 62,5     | 54,3     | 48,3     | 41,6      | 34,2      | 26,7      |
| IO320B | LAmaz                   | D         | 214,0   | 89,5    | 82,6    | 77,8    | 72,7     | 64,6     | 56,2     | 50,1     | 43,4      | 35,8      | 28,1      |
| IO320B | LAmaz                   | D         | 339,0   | 96,1    | 89,0    | 84,0    | 78,6     | 70,2     | 61,5     | 55,3     | 48,3      | 40,5      | 32,3      |
| IO320B | SEL                     | A         | 55,0  | 82,3    | 78,4    | 75,7    | 72,9     | 68,2     | 62,8     | 58,8     | 54,3      | 49,2      | 44,1      |
| IO320B | SEL                     | A         | 107,0   | 83,5    | 79,8    | 77,1    | 74,2     | 69,1     | 63,0     | 58,5     | 53,5      | 48,0      | 42,8      |
| IO320B | SEL                     | D         | 201,0   | 90,2    | 85,8    | 82,8    | 79,6     | 74,3     | 68,3     | 63,9     | 58,8      | 53,0      | 47,2      |
| IO320B | SEL                     | D         | 214,0   | 93,9    | 89,0    | 85,7    | 82,2     | 76,6     | 70,4     | 65,9     | 60,7      | 54,7      | 48,6      |
| IO320B | SEL                     | D         | 339,0   | 98,8    | 94,5    | 91,4    | 88,1     | 82,5     | 76,1     | 71,4     | 66,1      | 60,0      | 53,5      |
| IO360L | LAmaz                   | A         | 26,6  | 71,6    | 64,2    | 59,7    | 55,0     | 47,7     | 39,8     | 34,4     | 28,5      | 22,4      | 16,9      |
| IO360L | LAmaz                   | A         | 58,2  | 78,8    | 72,2    | 67,7    | 62,9     | 55,2     | 46,7     | 40,7     | 34,1      | 27,0      | 20,3      |
| IO360L | LAmaz                   | D         | 59,6  | 82,7    | 75,6    | 71,1    | 66,4     | 58,9     | 50,8     | 45,0     | 38,6      | 31,7      | 24,5      |
| IO360L | LAmaz                   | D         | 100,0   | 84,6    | 77,8    | 73,2    | 68,2     | 60,4     | 52,0     | 46,2     | 39,9      | 33,5      | 25,6      |
| IO360L | SEL                     | A         | 26,6  | 73,0    | 68,7    | 65,8    | 63,0     | 58,6     | 53,6     | 50,0     | 46,2      | 42,4      | 38,8      |
| IO360L | SEL                     | A         | 58,2  | 79,3    | 75,3    | 72,7    | 69,9     | 65,1     | 59,6     | 55,5     | 51,1      | 46,3      | 43,0      |
| IO360L | SEL                     | D         | 59,6  | 83,5    | 79,8    | 77,2    | 74,4     | 69,7     | 64,1     | 59,9     | 55,3      | 50,3      | 45,8      |

| NPD_ID | Mode de mesure du bruit | Type d'op | Paramètre puissance (le champ «paramètre puissance» du tableau «Avions» indique le type et l'unité du paramètre de puissance) | L_200ft | L_400ft | L_630ft | L_1000ft | L_2000ft | L_4000ft | L_6300ft | L_10000ft | L_16000ft | L_25000ft |
|--------|-------------------------|-----------|---|---------|---------|---------|----------|----------|----------|----------|-----------|-----------|-----------|
| IO360L | SEL                     | D         | 100,0   | 84,9    | 81,4    | 78,9    | 76,0     | 71,2     | 65,5     | 61,3     | 56,5      | 51,8      | 46,3      |
| IO540  | LAmax                   | A         | 2 400,0   | 82,2    | 75,8    | 71,7    | 67,3     | 60,6     | 53,5     | 48,7     | 43,4      | 37,7      | 31,6      |
| IO540  | LAmax                   | A         | 2 500,0   | 86,4    | 80,1    | 75,9    | 71,5     | 64,7     | 57,6     | 52,7     | 47,4      | 41,7      | 35,6      |
| IO540  | LAmax                   | A         | 2 700,0   | 94,6    | 88,2    | 83,8    | 79,3     | 72,0     | 63,9     | 58,2     | 52,2      | 45,6      | 38,8      |
| IO540  | LAmax                   | D         | 2 500,0   | 92,0    | 85,6    | 81,2    | 76,7     | 69,5     | 62,0     | 56,8     | 51,3      | 45,2      | 38,8      |
| IO540  | LAmax                   | D         | 2 700,0   | 99,0    | 92,6    | 88,3    | 83,8     | 76,6     | 68,7     | 63,1     | 56,9      | 50,0      | 42,7      |
| IO540  | SEL                     | A         | 2 400,0   | 82,7    | 79,3    | 77,0    | 74,6     | 70,8     | 66,6     | 63,5     | 60,1      | 56,1      | 51,7      |
| IO540  | SEL                     | A         | 2 500,0   | 86,6    | 83,2    | 80,8    | 78,4     | 74,4     | 70,2     | 67,1     | 63,7      | 59,8      | 55,4      |
| IO540  | SEL                     | A         | 2 700,0   | 92,9    | 89,5    | 87,2    | 84,6     | 80,5     | 75,8     | 72,2     | 68,2      | 63,6      | 58,4      |
| IO540  | SEL                     | D         | 2 500,0   | 91,8    | 88,3    | 85,8    | 83,2     | 78,9     | 74,1     | 70,8     | 67,1      | 63,0      | 58,3      |
| IO540  | SEL                     | D         | 2 700,0   | 96,8    | 93,5    | 91,1    | 88,6     | 84,3     | 79,4     | 75,7     | 71,5      | 66,7      | 61,4      |
| JT15D1 | LAmax                   | A         | 300,0   | 83,2    | 76,3    | 71,5    | 66,5     | 58,6     | 50,1     | 43,9     | 37,1      | 29,5      | 21,0      |
| JT15D1 | LAmax                   | A         | 600,0   | 85,7    | 78,8    | 74,0    | 69,0     | 61,1     | 52,6     | 46,4     | 39,6      | 32,0      | 23,5      |
| JT15D1 | LAmax                   | D         | 1 200,0   | 93,2    | 86,2    | 81,3    | 76,0     | 67,6     | 58,4     | 51,8     | 44,6      | 36,7      | 28,1      |
| JT15D1 | LAmax                   | D         | 1 550,0   | 95,3    | 88,6    | 83,9    | 79,0     | 71,1     | 62,3     | 55,7     | 48,4      | 40,1      | 31,0      |
| JT15D1 | SEL                     | A         | 300,0   | 85,6    | 81,0    | 77,7    | 74,2     | 68,5     | 62,3     | 57,6     | 52,3      | 46,2      | 39,2      |
| JT15D1 | SEL                     | A         | 600,0   | 86,8    | 82,2    | 78,9    | 75,4     | 69,7     | 63,5     | 58,8     | 53,5      | 47,4      | 40,4      |
| JT15D1 | SEL                     | D         | 1 200,0   | 96,4    | 91,7    | 88,2    | 84,5     | 78,3     | 71,4     | 66,3     | 60,6      | 54,2      | 47,1      |
| JT15D1 | SEL                     | D         | 1 550,0   | 98,0    | 93,6    | 90,4    | 87,0     | 81,4     | 74,8     | 69,7     | 63,9      | 57,1      | 49,5      |
| JT15D5 | LAmax                   | A         | 670,0   | 90,2    | 82,7    | 77,2    | 71,2     | 61,7     | 52,0     | 45,5     | 38,5      | 30,7      | 21,2      |

| NPD_ID | Mode de mesure du bruit | Type d'op | Paramètre puissance (le champ «paramètre puissance» du tableau «Avions» indique le type et l'unité du paramètre de puissance) | L_200ft | L_400ft | L_630ft | L_1000ft | L_2000ft | L_4000ft | L_6300ft | L_10000ft | L_16000ft | L_25000ft |
|--------|-------------------------|-----------|---|---------|---------|---------|----------|----------|----------|----------|-----------|-----------|-----------|
| JT15D5 | LAmax                   | A         | 1 500,0   | 101,3   | 94,4    | 89,6    | 84,4     | 75,8     | 67,2     | 61,3     | 54,4      | 46,4      | 37,5      |
| JT15D5 | LAmax                   | D         | 1 500,0   | 101,3   | 94,4    | 89,6    | 84,4     | 75,8     | 67,2     | 61,3     | 54,4      | 46,4      | 37,5      |
| JT15D5 | LAmax                   | D         | 2 100,0   | 103,7   | 97,2    | 92,6    | 87,8     | 80,1     | 72,0     | 66,0     | 59,2      | 51,1      | 42,2      |
| JT15D5 | SEL                     | A         | 670,0   | 90,2    | 85,6    | 82,2    | 78,4     | 72,3     | 65,3     | 60,3     | 54,7      | 48,4      | 41,4      |
| JT15D5 | SEL                     | A         | 1 500,0   | 104,1   | 99,8    | 96,8    | 93,4     | 87,3     | 81,1     | 76,6     | 71,3      | 64,8      | 57,4      |
| JT15D5 | SEL                     | D         | 1 500,0   | 104,1   | 99,8    | 96,8    | 93,4     | 87,3     | 81,1     | 76,6     | 71,3      | 64,8      | 57,4      |
| JT15D5 | SEL                     | D         | 2 100,0   | 106,0   | 102,4   | 99,7    | 96,8     | 91,6     | 85,7     | 81,2     | 75,9      | 69,3      | 61,8      |
| JT3D   | LAmax                   | A         | 4 000,0   | 111,8   | 104,5   | 98,9    | 93,0     | 81,8     | 67,8     | 59,2     | 50,9      | 41,8      | 32,9      |
| JT3D   | LAmax                   | A         | 6 000,0   | 114,0   | 106,8   | 101,5   | 95,5     | 84,6     | 71,3     | 63,3     | 55,3      | 46,4      | 37,2      |
| JT3D   | LAmax                   | D         | 8 000,0   | 115,9   | 109,0   | 103,7   | 98,0     | 87,6     | 75,4     | 67,7     | 59,8      | 51,1      | 42,1      |
| JT3D   | LAmax                   | D         | 10 000,0  | 117,5   | 110,8   | 105,6   | 100,0    | 90,4     | 79,5     | 71,8     | 63,8      | 55,2      | 46,5      |
| JT3D   | LAmax                   | D         | 12 000,0  | 118,2   | 111,5   | 106,4   | 101,0    | 92,1     | 82,0     | 74,5     | 66,8      | 58,6      | 49,7      |
| JT3D   | LAmax                   | D         | 15 000,0  | 119,7   | 113,0   | 107,9   | 102,5    | 94,0     | 85,0     | 78,1     | 70,3      | 62,0      | 53,5      |
| JT3D   | SEL                     | A         | 4 000,0   | 112,5   | 107,5   | 103,6   | 99,0     | 90,0     | 78,3     | 71,2     | 64,5      | 57,0      | 49,5      |
| JT3D   | SEL                     | A         | 6 000,0   | 114,8   | 109,8   | 105,9   | 101,5    | 92,8     | 81,8     | 75,2     | 68,9      | 61,7      | 54,1      |
| JT3D   | SEL                     | D         | 8 000,0   | 117,1   | 112,0   | 108,2   | 104,0    | 95,9     | 85,9     | 79,6     | 73,4      | 66,1      | 58,6      |
| JT3D   | SEL                     | D         | 10 000,0  | 119,0   | 113,9   | 110,1   | 106,0    | 98,5     | 90,0     | 83,7     | 77,5      | 70,1      | 62,8      |
| JT3D   | SEL                     | D         | 12 000,0  | 120,7   | 115,6   | 111,9   | 107,7    | 100,8    | 92,6     | 87,1     | 81,0      | 73,9      | 66,5      |
| JT3D   | SEL                     | D         | 15 000,0  | 122,5   | 117,4   | 113,6   | 109,5    | 103,1    | 96,4     | 90,8     | 85,1      | 77,9      | 70,4      |
| JT3DQ  | LAmax                   | A         | 3 000,0   | 102,8   | 95,2    | 89,6    | 83,1     | 74,3     | 65,0     | 58,4     | 51,0      | 42,6      | 34,0      |

| NPD_ID | Mode de mesure du bruit | Type d'op | Paramètre puissance (le champ «paramètre puissance» du tableau «Avions» indique le type et l'unité du paramètre de puissance) | L_200ft | L_400ft | L_630ft | L_1000ft | L_2000ft | L_4000ft | L_6300ft | L_10000ft | L_16000ft | L_25000ft |
|--------|-------------------------|-----------|---|---------|---------|---------|----------|----------|----------|----------|-----------|-----------|-----------|
| JT3DQ  | LAmax                   | A         | 5 000,0   | 105,2   | 96,2    | 89,9    | 84,4     | 75,7     | 66,2     | 59,5     | 52,1      | 43,9      | 35,5      |
| JT3DQ  | LAmax                   | D         | 11 000,0  | 107,5   | 100,8   | 96,3    | 91,4     | 83,5     | 75,0     | 68,7     | 61,7      | 53,6      | 45,3      |
| JT3DQ  | LAmax                   | D         | 15 500,0  | 114,2   | 107,7   | 103,2   | 98,7     | 91,4     | 83,7     | 78,2     | 72,0      | 64,9      | 57,3      |
| JT3DQ  | SEL                     | A         | 3 000,0   | 104,4   | 99,4    | 95,6    | 91,4     | 84,8     | 77,8     | 72,6     | 66,7      | 59,9      | 52,7      |
| JT3DQ  | SEL                     | A         | 5 000,0   | 105,1   | 100,0   | 96,2    | 91,9     | 85,4     | 78,4     | 73,2     | 67,3      | 60,6      | 53,7      |
| JT3DQ  | SEL                     | D         | 11 000,0  | 109,1   | 105,4   | 102,7   | 99,8     | 95,0     | 88,9     | 84,2     | 78,6      | 72,1      | 65,2      |
| JT3DQ  | SEL                     | D         | 15 500,0  | 116,9   | 113,3   | 110,8   | 108,1    | 103,5    | 98,1     | 94,1     | 89,4      | 83,9      | 77,7      |
| JT4A   | LAmax                   | A         | 4 000,0   | 109,2   | 101,7   | 96,3    | 90,5     | 80,6     | 69,0     | 61,7     | 54,5      | 45,7      | 36,9      |
| JT4A   | LAmax                   | A         | 6 000,0   | 111,1   | 103,6   | 98,2    | 92,5     | 82,7     | 71,2     | 63,7     | 56,3      | 48,1      | 39,5      |
| JT4A   | LAmax                   | D         | 10 000,0  | 116,5   | 109,3   | 104,1   | 98,5     | 89,3     | 79,0     | 71,6     | 63,7      | 54,5      | 45,4      |
| JT4A   | LAmax                   | D         | 12 000,0  | 119,6   | 112,4   | 107,4   | 102,0    | 93,1     | 82,9     | 75,3     | 67,4      | 58,4      | 48,8      |
| JT4A   | LAmax                   | D         | 15 000,0  | 125,3   | 118,3   | 113,2   | 108,0    | 99,1     | 89,2     | 81,5     | 73,5      | 64,3      | 54,6      |
| JT4A   | SEL                     | A         | 4 000,0   | 110,8   | 105,4   | 101,2   | 97,0     | 89,6     | 80,6     | 74,3     | 68,6      | 60,9      | 52,7      |
| JT4A   | SEL                     | A         | 6 000,0   | 112,7   | 107,3   | 103,3   | 99,0     | 91,8     | 82,9     | 76,8     | 71,1      | 63,6      | 55,7      |
| JT4A   | SEL                     | D         | 10 000,0  | 117,4   | 112,4   | 108,7   | 104,5    | 97,4     | 89,2     | 83,3     | 76,9      | 69,4      | 61,5      |
| JT4A   | SEL                     | D         | 12 000,0  | 120,0   | 115,2   | 111,6   | 107,5    | 100,6    | 92,6     | 86,6     | 80,3      | 72,6      | 64,7      |
| JT4A   | SEL                     | D         | 15 000,0  | 125,5   | 120,8   | 117,6   | 113,5    | 106,9    | 99,3     | 93,3     | 86,6      | 78,7      | 70,6      |
| JT9D7Q | LAmax                   | A         | 8 560,0   | 101,8   | 95,4    | 91,0    | 86,3     | 78,6     | 69,9     | 63,6     | 56,7      | 49,0      | 40,9      |
| JT9D7Q | LAmax                   | A         | 14 000,0  | 103,3   | 96,8    | 92,2    | 87,1     | 79,2     | 70,5     | 64,2     | 57,5      | 49,9      | 41,9      |
| JT9D7Q | LAmax                   | D         | 24 370,0  | 106,3   | 99,8    | 95,3    | 90,3     | 82,6     | 74,2     | 68,1     | 61,6      | 54,2      | 46,4      |

| NPD_ID | Mode de mesure du bruit | Type d'op | Paramètre puissance (le champ «paramètre puissance» du tableau «Avions» indique le type et l'unité du paramètre de puissance) | L_200ft | L_400ft | L_630ft | L_1000ft | L_2000ft | L_4000ft | L_6300ft | L_10000ft | L_16000ft | L_25000ft |
|--------|-------------------------|-----------|---|---------|---------|---------|----------|----------|----------|----------|-----------|-----------|-----------|
| JT9D7Q | LAmax                   | D         | 34 850,0  | 110,0   | 103,8   | 99,4    | 94,7     | 87,2     | 78,7     | 72,7     | 66,0      | 58,6      | 50,8      |
| JT9D7Q | LAmax                   | D         | 40 240,0  | 112,5   | 106,3   | 102,0   | 97,3     | 89,9     | 81,4     | 75,3     | 68,6      | 61,2      | 53,4      |
| JT9D7Q | LAmax                   | D         | 44 940,0  | 115,3   | 109,1   | 104,8   | 100,0    | 92,6     | 84,2     | 78,0     | 71,4      | 63,9      | 56,1      |
| JT9D7Q | SEL                     | A         | 8 560,0   | 103,6   | 99,5    | 96,6    | 93,5     | 88,1     | 81,7     | 77,0     | 71,6      | 65,5      | 58,9      |
| JT9D7Q | SEL                     | A         | 14 000,0  | 105,1   | 100,9   | 97,8    | 94,3     | 88,7     | 82,3     | 77,6     | 72,4      | 66,4      | 59,9      |
| JT9D7Q | SEL                     | D         | 24 370,0  | 108,1   | 103,9   | 100,9   | 97,5     | 92,1     | 86,0     | 81,5     | 76,5      | 70,7      | 64,4      |
| JT9D7Q | SEL                     | D         | 34 850,0  | 111,8   | 107,9   | 105,0   | 101,9    | 96,7     | 90,5     | 86,1     | 80,9      | 75,1      | 68,8      |
| JT9D7Q | SEL                     | D         | 40 240,0  | 114,3   | 110,4   | 107,6   | 104,5    | 99,4     | 93,2     | 88,7     | 83,5      | 77,7      | 71,4      |
| JT9D7Q | SEL                     | D         | 44 940,0  | 117,1   | 113,2   | 110,4   | 107,2    | 102,1    | 96,0     | 91,4     | 86,3      | 80,4      | 74,1      |
| JT9DBD | LAmax                   | A         | 8 000,0   | 106,5   | 99,5    | 94,5    | 89,0     | 79,8     | 69,1     | 61,2     | 53,2      | 44,9      | 36,3      |
| JT9DBD | LAmax                   | A         | 14 000,0  | 111,0   | 104,0   | 99,0    | 93,5     | 84,3     | 73,6     | 65,7     | 57,7      | 49,4      | 40,8      |
| JT9DBD | LAmax                   | D         | 20 000,0  | 114,3   | 107,2   | 102,1   | 96,5     | 87,1     | 76,9     | 69,8     | 62,3      | 54,2      | 45,4      |
| JT9DBD | LAmax                   | D         | 28 000,0  | 116,4   | 109,3   | 104,2   | 98,5     | 89,0     | 79,1     | 72,3     | 65,0      | 57,0      | 48,0      |
| JT9DBD | LAmax                   | D         | 36 000,0  | 117,9   | 110,8   | 105,7   | 100,0    | 90,5     | 80,6     | 73,8     | 66,5      | 58,5      | 49,7      |
| JT9DBD | SEL                     | A         | 8 000,0   | 108,2   | 103,5   | 99,9    | 96,0     | 89,1     | 80,6     | 74,2     | 67,6      | 60,9      | 53,7      |
| JT9DBD | SEL                     | A         | 14 000,0  | 113,2   | 108,5   | 104,9   | 101,0    | 94,1     | 85,6     | 79,2     | 72,6      | 65,9      | 58,7      |
| JT9DBD | SEL                     | D         | 20 000,0  | 116,6   | 111,8   | 108,1   | 104,0    | 96,9     | 89,0     | 83,4     | 77,3      | 70,7      | 63,4      |
| JT9DBD | SEL                     | D         | 28 000,0  | 118,7   | 113,9   | 110,2   | 106,0    | 98,8     | 91,2     | 85,9     | 80,0      | 73,5      | 66,2      |
| JT9DBD | SEL                     | D         | 36 000,0  | 120,2   | 115,4   | 111,7   | 107,5    | 100,3    | 92,7     | 87,4     | 81,5      | 75,0      | 67,7      |
| JT9DFL | LAmax                   | A         | 8 000,0   | 103,0   | 95,5    | 90,2    | 84,3     | 75,1     | 66,0     | 59,7     | 52,6      | 44,5      | 35,6      |

| NPD_ID | Mode de mesure du bruit | Type d'op | Paramètre puissance (le champ «paramètre puissance» du tableau «Avions» indique le type et l'unité du paramètre de puissance) | L_200ft | L_400ft | L_630ft | L_1000ft | L_2000ft | L_4000ft | L_6300ft | L_10000ft | L_16000ft | L_25000ft |
|--------|-------------------------|-----------|---|---------|---------|---------|----------|----------|----------|----------|-----------|-----------|-----------|
| JT9DFL | LAmax                   | A         | 16 000,0  | 107,1   | 99,6    | 94,3    | 88,4     | 79,2     | 70,1     | 63,8     | 56,7      | 48,6      | 39,7      |
| JT9DFL | LAmax                   | D         | 24 000,0  | 110,6   | 103,1   | 97,8    | 92,1     | 83,3     | 74,5     | 68,3     | 61,5      | 53,7      | 45,4      |
| JT9DFL | LAmax                   | D         | 32 000,0  | 113,5   | 105,9   | 100,6   | 95,1     | 86,5     | 77,9     | 71,9     | 65,3      | 57,7      | 49,7      |
| JT9DFL | LAmax                   | D         | 40 000,0  | 115,7   | 108,1   | 102,8   | 97,3     | 88,7     | 80,1     | 74,1     | 67,5      | 59,9      | 51,9      |
| JT9DFL | SEL                     | A         | 8 000,0   | 102,3   | 97,8    | 94,3    | 90,5     | 84,4     | 77,7     | 72,9     | 67,3      | 60,7      | 53,3      |
| JT9DFL | SEL                     | A         | 16 000,0  | 106,3   | 101,8   | 98,3    | 94,5     | 88,4     | 81,7     | 76,9     | 71,3      | 64,7      | 57,3      |
| JT9DFL | SEL                     | D         | 24 000,0  | 109,4   | 105,1   | 101,7   | 98,0     | 92,2     | 85,8     | 81,2     | 75,9      | 69,7      | 62,8      |
| JT9DFL | SEL                     | D         | 32 000,0  | 111,8   | 107,4   | 104,1   | 100,5    | 94,9     | 88,7     | 84,2     | 79,1      | 73,1      | 66,5      |
| JT9DFL | SEL                     | D         | 40 000,0  | 113,8   | 109,4   | 106,1   | 102,5    | 96,9     | 90,7     | 86,2     | 81,1      | 75,1      | 68,5      |
| O320D3 | LAmax                   | A         | 1 500,0   | 66,9    | 60,5    | 56,2    | 51,7     | 44,7     | 37,2     | 32,1     | 26,7      | 21,1      | 15,9      |
| O320D3 | LAmax                   | A         | 1 600,0   | 68,1    | 61,7    | 57,4    | 52,9     | 45,9     | 38,4     | 33,2     | 27,7      | 21,9      | 16,6      |
| O320D3 | LAmax                   | A         | 1 800,0   | 72,1    | 65,6    | 61,2    | 56,6     | 49,3     | 41,3     | 35,8     | 30,0      | 23,9      | 18,0      |
| O320D3 | LAmax                   | D         | 2 150,0   | 79,8    | 73,1    | 68,6    | 63,9     | 56,2     | 47,9     | 42,2     | 36,1      | 29,7      | 23,1      |
| O320D3 | LAmax                   | D         | 2 442,0   | 87,3    | 80,7    | 76,1    | 71,2     | 63,5     | 55,1     | 49,4     | 43,1      | 36,1      | 28,7      |
| O320D3 | LAmax                   | D         | 2 600,0   | 88,8    | 82,1    | 77,5    | 72,6     | 64,7     | 56,2     | 50,2     | 43,8      | 36,7      | 29,3      |
| O320D3 | SEL                     | A         | 1 500,0   | 69,0    | 65,6    | 62,8    | 60,2     | 56,0     | 51,3     | 48,0     | 44,5      | 41,3      | 38,2      |
| O320D3 | SEL                     | A         | 1 600,0   | 70,4    | 67,1    | 64,6    | 62,0     | 57,7     | 53,0     | 49,6     | 45,9      | 42,3      | 38,9      |
| O320D3 | SEL                     | A         | 1 800,0   | 74,1    | 70,5    | 68,0    | 65,3     | 60,7     | 55,5     | 51,8     | 47,8      | 43,8      | 39,9      |
| O320D3 | SEL                     | D         | 2 150,0   | 80,4    | 76,9    | 74,3    | 71,4     | 66,5     | 60,9     | 57,0     | 52,7      | 48,1      | 43,7      |
| O320D3 | SEL                     | D         | 2 442,0   | 87,9    | 84,2    | 81,5    | 78,5     | 73,4     | 67,9     | 63,9     | 59,5      | 54,4      | 48,9      |

| NPD_ID  | Mode de mesure du bruit | Type d'op | Paramètre puissance (le champ «paramètre puissance» du tableau «Avions» indique le type et l'unité du paramètre de puissance) | L_200ft | L_400ft | L_630ft | L_1000ft | L_2000ft | L_4000ft | L_6300ft | L_10000ft | L_16000ft | L_25000ft |
|---------|-------------------------|-----------|---|---------|---------|---------|----------|----------|----------|----------|-----------|-----------|-----------|
| O320D3  | SEL                     | D         | 2 600,0   | 89,4    | 85,5    | 82,8    | 79,8     | 74,8     | 69,0     | 64,8     | 60,2      | 55,0      | 49,2      |
| O470R   | LAmax                   | A         | 169,0   | 73,3    | 67,1    | 62,9    | 58,6     | 51,8     | 44,6     | 39,6     | 34,1      | 28,1      | 21,8      |
| O470R   | LAmax                   | A         | 244,0   | 73,9    | 67,7    | 63,5    | 59,2     | 52,5     | 45,4     | 40,3     | 34,8      | 28,8      | 22,4      |
| O470R   | LAmax                   | D         | 533,0   | 87,5    | 81,2    | 77,0    | 72,7     | 65,7     | 58,2     | 52,7     | 46,6      | 39,7      | 32,3      |
| O470R   | LAmax                   | D         | 640,0   | 96,1    | 89,8    | 85,5    | 80,9     | 73,5     | 65,0     | 58,6     | 51,3      | 43,0      | 34,3      |
| O470R   | SEL                     | A         | 169,0   | 75,6    | 71,7    | 69,0    | 66,2     | 61,7     | 56,7     | 53,1     | 49,2      | 44,7      | 39,8      |
| O470R   | SEL                     | A         | 244,0   | 76,2    | 72,3    | 69,6    | 66,8     | 62,3     | 57,3     | 53,7     | 49,7      | 45,1      | 40,2      |
| O470R   | SEL                     | D         | 533,0   | 87,8    | 83,8    | 81,1    | 78,2     | 73,6     | 68,2     | 64,2     | 59,6      | 54,2      | 48,4      |
| O470R   | SEL                     | D         | 640,0   | 95,4    | 91,3    | 88,5    | 85,4     | 80,3     | 74,1     | 69,2     | 63,4      | 56,5      | 49,3      |
| OLY593  | LAmax                   | A         | 10 000,0  | 115,8   | 109,2   | 104,6   | 99,8     | 92,0     | 83,2     | 76,5     | 68,8      | 60,3      | 50,7      |
| OLY593  | LAmax                   | A         | 20 000,0  | 126,4   | 119,4   | 113,3   | 109,2    | 101,2    | 92,4     | 85,9     | 78,7      | 70,2      | 60,7      |
| OLY593  | LAmax                   | D         | 20 000,0  | 126,4   | 119,4   | 113,3   | 109,2    | 101,2    | 92,4     | 85,9     | 78,7      | 70,2      | 60,7      |
| OLY593  | LAmax                   | D         | 28 000,0  | 132,1   | 124,8   | 119,6   | 114,3    | 106,1    | 97,3     | 90,8     | 83,6      | 75,1      | 65,3      |
| OLY593  | LAmax                   | D         | 32 000,0  | 134,0   | 126,7   | 121,4   | 116,0    | 107,8    | 98,9     | 92,4     | 85,2      | 76,7      | 67,3      |
| OLY593  | SEL                     | A         | 10 000,0  | 117,7   | 113,4   | 110,3   | 107,0    | 101,5    | 94,8     | 89,6     | 83,5      | 76,5      | 68,3      |
| OLY593  | SEL                     | A         | 20 000,0  | 130,3   | 125,5   | 122,0   | 118,3    | 112,6    | 106,1    | 101,1    | 95,3      | 88,3      | 80,3      |
| OLY593  | SEL                     | D         | 20 000,0  | 130,3   | 125,5   | 122,0   | 118,3    | 112,6    | 106,1    | 101,1    | 95,3      | 88,3      | 80,3      |
| OLY593  | SEL                     | D         | 28 000,0  | 136,4   | 131,3   | 127,6   | 123,8    | 118,0    | 111,4    | 106,4    | 100,6     | 93,7      | 85,7      |
| OLY593  | SEL                     | D         | 32 000,0  | 138,4   | 133,2   | 129,4   | 125,5    | 119,6    | 113,0    | 108,0    | 102,2     | 95,3      | 87,4      |
| PT6A114 | LAmax                   | A         | 400,0   | 90,0    | 83,6    | 79,4    | 75,0     | 68,0     | 60,4     | 54,8     | 48,3      | 40,5      | 31,7      |

| NPD_ID  | Mode de mesure du bruit | Type d'op | Paramètre puissance (le champ «paramètre puissance» du tableau «Avions» indique le type et l'unité du paramètre de puissance) | L_200ft | L_400ft | L_630ft | L_1000ft | L_2000ft | L_4000ft | L_6300ft | L_10000ft | L_16000ft | L_25000ft |
|---------|-------------------------|-----------|---|---------|---------|---------|----------|----------|----------|----------|-----------|-----------|-----------|
| PT6A114 | LAmax                   | A         | 427,0   | 90,0    | 83,6    | 79,4    | 75,0     | 68,0     | 60,4     | 54,8     | 48,3      | 40,5      | 31,7      |
| PT6A114 | LAmax                   | A         | 463,0   | 90,3    | 84,0    | 79,7    | 75,2     | 68,2     | 60,6     | 55,1     | 48,7      | 41,1      | 32,6      |
| PT6A114 | LAmax                   | D         | 1 009,0   | 88,2    | 82,0    | 77,8    | 73,5     | 66,7     | 59,1     | 53,5     | 47,1      | 39,4      | 30,8      |
| PT6A114 | LAmax                   | D         | 1 899,0   | 90,0    | 83,8    | 79,7    | 75,4     | 68,7     | 61,4     | 56,1     | 50,1      | 43,1      | 35,4      |
| PT6A114 | SEL                     | A         | 400,0   | 89,9    | 85,8    | 83,0    | 80,1     | 75,4     | 70,1     | 65,9     | 61,0      | 54,7      | 47,4      |
| PT6A114 | SEL                     | A         | 427,0   | 89,9    | 85,8    | 83,0    | 80,1     | 75,4     | 70,1     | 65,9     | 61,0      | 54,7      | 47,4      |
| PT6A114 | SEL                     | A         | 463,0   | 89,4    | 85,3    | 82,4    | 79,4     | 74,7     | 69,3     | 65,3     | 60,6      | 54,7      | 47,9      |
| PT6A114 | SEL                     | D         | 1 009,0   | 87,7    | 83,8    | 81,1    | 78,3     | 73,7     | 68,4     | 64,3     | 59,4      | 53,2      | 46,1      |
| PT6A114 | SEL                     | D         | 1 899,0   | 89,7    | 85,8    | 83,2    | 80,4     | 75,9     | 70,9     | 67,1     | 62,6      | 57,1      | 50,9      |
| PT6A27  | LAmax                   | A         | 30,0  | 90,9    | 84,6    | 80,4    | 76,0     | 69,1     | 61,6     | 56,0     | 49,8      | 42,6      | 34,0      |
| PT6A27  | LAmax                   | A         | 100,0   | 95,6    | 89,5    | 85,3    | 81,0     | 74,3     | 67,0     | 61,6     | 55,6      | 49,0      | 41,4      |
| PT6A27  | LAmax                   | D         | 30,0  | 90,9    | 84,6    | 80,4    | 76,0     | 69,1     | 61,6     | 56,0     | 49,8      | 42,6      | 34,0      |
| PT6A27  | LAmax                   | D         | 100,0   | 95,6    | 89,5    | 85,3    | 81,0     | 74,3     | 67,0     | 61,6     | 55,6      | 49,0      | 41,4      |
| PT6A27  | SEL                     | A         | 30,0  | 91,3    | 87,2    | 84,4    | 81,6     | 76,9     | 71,7     | 67,6     | 62,9      | 57,2      | 50,0      |
| PT6A27  | SEL                     | A         | 100,0   | 95,9    | 92,0    | 89,3    | 86,5     | 82,0     | 77,0     | 73,1     | 68,6      | 63,5      | 57,4      |
| PT6A27  | SEL                     | D         | 30,0  | 91,3    | 87,2    | 84,4    | 81,6     | 76,9     | 71,7     | 67,6     | 62,9      | 57,2      | 50,0      |
| PT6A27  | SEL                     | D         | 100,0   | 95,9    | 92,0    | 89,3    | 86,5     | 82,0     | 77,0     | 73,1     | 68,6      | 63,5      | 57,4      |
| PT6A41  | LAmax                   | A         | 300,0   | 83,6    | 77,2    | 72,8    | 68,2     | 60,9     | 52,8     | 47,0     | 40,4      | 32,8      | 24,9      |
| PT6A41  | LAmax                   | A         | 311,0   | 83,6    | 77,2    | 72,8    | 68,2     | 60,9     | 52,8     | 47,0     | 40,4      | 32,8      | 24,9      |
| PT6A41  | LAmax                   | D         | 820,0   | 85,2    | 78,9    | 74,7    | 70,3     | 63,5     | 56,0     | 50,6     | 44,4      | 37,2      | 29,1      |

| NPD_ID | Mode de mesure du bruit | Type d'op | Paramètre puissance (le champ «paramètre puissance» du tableau «Avions» indique le type et l'unité du paramètre de puissance) | L_200ft | L_400ft | L_630ft | L_1000ft | L_2000ft | L_4000ft | L_6300ft | L_10000ft | L_16000ft | L_25000ft |
|--------|-------------------------|-----------|---|---------|---------|---------|----------|----------|----------|----------|-----------|-----------|-----------|
| PT6A41 | LAmaz                   | D         | 1 153,0   | 87,2    | 81,0    | 76,9    | 72,6     | 65,9     | 58,6     | 53,4     | 47,5      | 40,6      | 32,9      |
| PT6A41 | SEL                     | A         | 300,0   | 87,8    | 83,6    | 80,7    | 77,6     | 72,5     | 66,7     | 62,3     | 57,3      | 51,3      | 44,8      |
| PT6A41 | SEL                     | A         | 311,0   | 87,8    | 83,6    | 80,7    | 77,6     | 72,5     | 66,7     | 62,3     | 57,3      | 51,3      | 44,8      |
| PT6A41 | SEL                     | D         | 820,0   | 86,6    | 82,5    | 79,8    | 77,0     | 72,3     | 67,1     | 63,2     | 58,5      | 52,8      | 46,3      |
| PT6A41 | SEL                     | D         | 1 153,0   | 88,6    | 84,7    | 82,0    | 79,2     | 74,8     | 69,8     | 66,0     | 61,6      | 56,2      | 50,0      |
| PT6A45 | LAmaz                   | A         | 35,0  | 87,2    | 81,0    | 76,7    | 72,4     | 65,1     | 57,7     | 52,9     | 48,0      | 41,9      | 35,1      |
| PT6A45 | LAmaz                   | A         | 65,0  | 87,8    | 81,4    | 77,0    | 72,5     | 64,9     | 57,4     | 52,4     | 47,4      | 41,7      | 35,5      |
| PT6A45 | LAmaz                   | D         | 65,0  | 87,8    | 81,4    | 77,0    | 72,5     | 64,9     | 57,4     | 52,4     | 47,4      | 41,7      | 35,5      |
| PT6A45 | LAmaz                   | D         | 100,0   | 94,9    | 88,6    | 84,4    | 80,0     | 72,6     | 65,2     | 60,3     | 55,4      | 49,4      | 42,4      |
| PT6A45 | SEL                     | A         | 35,0  | 88,0    | 84,0    | 81,3    | 78,5     | 74,0     | 69,2     | 65,6     | 61,6      | 57,0      | 51,6      |
| PT6A45 | SEL                     | A         | 65,0  | 88,5    | 84,4    | 81,5    | 78,5     | 73,7     | 68,5     | 64,8     | 60,9      | 56,8      | 52,0      |
| PT6A45 | SEL                     | D         | 65,0  | 88,5    | 84,4    | 81,5    | 78,5     | 73,7     | 68,5     | 64,8     | 60,9      | 56,8      | 52,0      |
| PT6A45 | SEL                     | D         | 100,0   | 95,1    | 91,1    | 88,4    | 85,5     | 81,0     | 76,1     | 72,4     | 68,4      | 63,8      | 58,4      |
| PT6A50 | LAmaz                   | A         | 35,0  | 83,9    | 78,2    | 74,0    | 68,8     | 60,7     | 51,8     | 45,5     | 38,6      | 31,4      | 24,2      |
| PT6A50 | LAmaz                   | A         | 40,0  | 87,4    | 81,7    | 77,5    | 72,4     | 64,2     | 55,5     | 49,0     | 42,1      | 34,4      | 26,7      |
| PT6A50 | LAmaz                   | D         | 80,0  | 84,7    | 78,5    | 74,4    | 69,8     | 62,5     | 54,0     | 48,1     | 41,3      | 34,0      | 26,4      |
| PT6A50 | LAmaz                   | D         | 100,0   | 86,9    | 80,7    | 76,6    | 72,0     | 64,7     | 56,2     | 50,2     | 43,5      | 36,4      | 29,3      |
| PT6A50 | SEL                     | A         | 35,0  | 85,7    | 82,3    | 79,6    | 76,0     | 70,2     | 63,6     | 58,9     | 53,5      | 47,9      | 42,2      |
| PT6A50 | SEL                     | A         | 40,0  | 89,2    | 85,8    | 83,1    | 79,6     | 73,7     | 67,3     | 62,4     | 57,0      | 50,9      | 44,7      |
| PT6A50 | SEL                     | D         | 80,0  | 86,5    | 82,6    | 80,0    | 77,0     | 72,0     | 65,8     | 61,5     | 56,2      | 50,5      | 44,4      |

| NPD_ID | Mode de mesure du bruit | Type d'op | Paramètre puissance (le champ «paramètre puissance» du tableau «Avions» indique le type et l'unité du paramètre de puissance) | L_200ft | L_400ft | L_630ft | L_1000ft | L_2000ft | L_4000ft | L_6300ft | L_10000ft | L_16000ft | L_25000ft |
|--------|-------------------------|-----------|---|---------|---------|---------|----------|----------|----------|----------|-----------|-----------|-----------|
| PT6A50 | SEL                     | D         | 100,0   | 88,7    | 84,8    | 82,2    | 79,2     | 74,2     | 68,0     | 63,6     | 58,4      | 52,9      | 47,3      |
| PT6A67 | LAmax                   | A         | 400,0   | 87,8    | 81,2    | 76,8    | 72,2     | 64,9     | 56,7     | 50,6     | 43,5      | 35,4      | 27,1      |
| PT6A67 | LAmax                   | A         | 600,0   | 89,1    | 82,4    | 77,9    | 73,3     | 66,1     | 58,1     | 52,3     | 45,7      | 37,8      | 29,2      |
| PT6A67 | LAmax                   | D         | 1 000,0   | 90,2    | 83,7    | 79,2    | 74,5     | 67,0     | 58,8     | 52,9     | 46,7      | 39,9      | 33,2      |
| PT6A67 | LAmax                   | D         | 1 100,0   | 90,2    | 83,7    | 79,2    | 74,5     | 67,0     | 58,8     | 52,9     | 46,7      | 39,9      | 33,2      |
| PT6A67 | LAmax                   | D         | 1 600,0   | 87,9    | 81,5    | 77,2    | 72,7     | 65,7     | 58,1     | 52,7     | 46,9      | 40,5      | 34,0      |
| PT6A67 | LAmax                   | D         | 1 700,0   | 87,9    | 81,5    | 77,2    | 72,7     | 65,7     | 58,1     | 52,7     | 46,9      | 40,5      | 34,0      |
| PT6A67 | SEL                     | A         | 400,0   | 90,6    | 86,4    | 83,9    | 81,0     | 76,3     | 70,7     | 66,2     | 60,9      | 54,6      | 48,2      |
| PT6A67 | SEL                     | A         | 600,0   | 90,8    | 86,6    | 83,9    | 80,9     | 76,3     | 71,0     | 66,8     | 61,8      | 55,7      | 48,8      |
| PT6A67 | SEL                     | D         | 1 000,0   | 92,8    | 88,9    | 86,3    | 83,3     | 78,4     | 72,7     | 68,5     | 63,9      | 58,8      | 53,6      |
| PT6A67 | SEL                     | D         | 1 100,0   | 92,8    | 88,9    | 86,3    | 83,3     | 78,4     | 72,7     | 68,5     | 63,9      | 58,8      | 53,6      |
| PT6A67 | SEL                     | D         | 1 600,0   | 89,4    | 85,7    | 83,2    | 80,5     | 76,0     | 70,9     | 67,2     | 63,1      | 58,5      | 53,7      |
| PT6A67 | SEL                     | D         | 1 700,0   | 89,4    | 85,7    | 83,2    | 80,5     | 76,0     | 70,9     | 67,2     | 63,1      | 58,5      | 53,7      |
| PW119C | LAmax                   | A         | 108,0   | 91,0    | 84,0    | 79,0    | 73,6     | 64,7     | 55,1     | 48,4     | 41,1      | 33,2      | 25,4      |
| PW119C | LAmax                   | A         | 465,0   | 91,8    | 84,6    | 79,4    | 73,7     | 64,1     | 53,6     | 46,5     | 39,0      | 31,1      | 22,9      |
| PW119C | LAmax                   | D         | 3 412,0   | 87,2    | 80,6    | 76,2    | 71,5     | 64,3     | 56,5     | 51,0     | 44,9      | 38,3      | 31,6      |
| PW119C | LAmax                   | D         | 4 300,0   | 88,8    | 82,4    | 78,2    | 73,8     | 67,0     | 59,9     | 55,0     | 49,7      | 43,9      | 37,8      |
| PW119C | LAmax                   | D         | 4 301,0   | 88,8    | 82,4    | 78,2    | 73,8     | 67,0     | 59,9     | 55,0     | 49,7      | 43,9      | 37,8      |
| PW119C | SEL                     | A         | 108,0   | 95,0    | 90,3    | 86,8    | 82,8     | 76,2     | 68,8     | 63,6     | 57,8      | 51,4      | 45,1      |
| PW119C | SEL                     | A         | 465,0   | 95,3    | 90,4    | 86,7    | 82,5     | 75,1     | 66,9     | 61,3     | 55,3      | 48,8      | 42,2      |

| NPD_ID | Mode de mesure du bruit | Type d'op | Paramètre puissance (le champ «paramètre puissance» du tableau «Avions» indique le type et l'unité du paramètre de puissance) | L_200ft | L_400ft | L_630ft | L_1000ft | L_2000ft | L_4000ft | L_6300ft | L_10000ft | L_16000ft | L_25000ft |
|--------|-------------------------|-----------|---|---------|---------|---------|----------|----------|----------|----------|-----------|-----------|-----------|
| PW119C | SEL                     | D         | 3 412,0   | 90,0    | 85,7    | 82,7    | 79,6     | 74,6     | 69,1     | 65,0     | 60,5      | 55,4      | 50,1      |
| PW119C | SEL                     | D         | 4 300,0   | 90,2    | 86,0    | 83,2    | 80,3     | 75,8     | 71,0     | 67,6     | 63,8      | 59,5      | 54,8      |
| PW119C | SEL                     | D         | 4 301,0   | 90,2    | 86,0    | 83,2    | 80,3     | 75,8     | 71,0     | 67,6     | 63,8      | 59,5      | 54,8      |
| PW120  | LAmaz                   | A         | 35,0  | 87,1    | 80,3    | 75,5    | 70,5     | 62,4     | 54,0     | 48,9     | 43,8      | 39,1      | 34,8      |
| PW120  | LAmaz                   | A         | 40,0  | 90,0    | 83,7    | 79,2    | 74,3     | 66,7     | 59,0     | 54,0     | 48,8      | 43,4      | 38,1      |
| PW120  | LAmaz                   | D         | 90,0  | 82,8    | 76,9    | 72,9    | 68,7     | 62,8     | 56,3     | 51,8     | 47,3      | 42,3      | 37,6      |
| PW120  | LAmaz                   | D         | 100,0   | 85,2    | 79,4    | 75,8    | 71,9     | 65,9     | 59,7     | 55,3     | 51,0      | 46,2      | 41,6      |
| PW120  | LAmaz                   | D         | 150,0   | 90,2    | 84,4    | 80,8    | 76,9     | 70,9     | 64,7     | 60,3     | 56,0      | 51,2      | 46,6      |
| PW120  | SEL                     | A         | 35,0  | 88,9    | 84,4    | 81,1    | 77,7     | 71,9     | 65,8     | 62,3     | 58,7      | 55,6      | 52,8      |
| PW120  | SEL                     | A         | 40,0  | 91,8    | 87,8    | 84,8    | 81,5     | 76,2     | 70,8     | 67,4     | 63,7      | 59,9      | 56,1      |
| PW120  | SEL                     | D         | 90,0  | 84,6    | 81,0    | 78,5    | 75,9     | 72,3     | 68,1     | 65,2     | 62,2      | 58,8      | 55,6      |
| PW120  | SEL                     | D         | 100,0   | 87,0    | 83,5    | 81,4    | 79,1     | 75,4     | 71,5     | 68,7     | 65,9      | 62,7      | 59,6      |
| PW120  | SEL                     | D         | 150,0   | 92,0    | 88,5    | 86,4    | 84,1     | 80,4     | 76,5     | 73,7     | 70,9      | 67,7      | 64,6      |
| PW2037 | LAmaz                   | A         | 5 000,0   | 93,3    | 86,7    | 82,1    | 77,1     | 69,2     | 60,2     | 53,4     | 46,2      | 38,2      | 30,2      |
| PW2037 | LAmaz                   | A         | 12 000,0  | 97,8    | 90,9    | 86,1    | 80,9     | 72,6     | 63,4     | 56,5     | 49,0      | 40,7      | 32,4      |
| PW2037 | LAmaz                   | D         | 13 000,0  | 95,6    | 89,2    | 84,6    | 79,6     | 71,4     | 62,1     | 55,2     | 47,6      | 39,3      | 30,8      |
| PW2037 | LAmaz                   | D         | 24 000,0  | 99,7    | 93,1    | 88,4    | 83,2     | 75,2     | 66,1     | 59,8     | 53,3      | 46,2      | 39,0      |
| PW2037 | LAmaz                   | D         | 30 000,0  | 101,5   | 95,5    | 91,1    | 86,4     | 78,8     | 70,1     | 63,7     | 57,0      | 49,5      | 41,9      |
| PW2037 | LAmaz                   | D         | 36 000,0  | 103,7   | 98,4    | 94,6    | 90,5     | 83,8     | 75,5     | 68,9     | 61,6      | 53,2      | 44,6      |
| PW2037 | SEL                     | A         | 5 000,0   | 95,1    | 90,8    | 87,7    | 84,3     | 78,7     | 72,0     | 66,8     | 61,1      | 54,7      | 48,2      |

| NPD_ID | Mode de mesure du bruit | Type d'op | Paramètre puissance (le champ «paramètre puissance» du tableau «Avions» indique le type et l'unité du paramètre de puissance) | L_200ft | L_400ft | L_630ft | L_1000ft | L_2000ft | L_4000ft | L_6300ft | L_10000ft | L_16000ft | L_25000ft |
|--------|-------------------------|-----------|---|---------|---------|---------|----------|----------|----------|----------|-----------|-----------|-----------|
| PW2037 | SEL                     | A         | 12 000,0  | 99,6    | 95,0    | 91,7    | 88,1     | 82,1     | 75,2     | 69,9     | 63,9      | 57,2      | 50,4      |
| PW2037 | SEL                     | D         | 13 000,0  | 97,4    | 93,3    | 90,2    | 86,8     | 80,9     | 73,9     | 68,6     | 62,5      | 55,8      | 48,8      |
| PW2037 | SEL                     | D         | 24 000,0  | 101,5   | 97,2    | 94,0    | 90,4     | 84,7     | 77,9     | 73,2     | 68,2      | 62,7      | 57,0      |
| PW2037 | SEL                     | D         | 30 000,0  | 103,3   | 99,6    | 96,7    | 93,6     | 88,3     | 81,9     | 77,1     | 71,9      | 66,0      | 59,9      |
| PW2037 | SEL                     | D         | 36 000,0  | 105,5   | 102,5   | 100,2   | 97,7     | 93,3     | 87,3     | 82,3     | 76,5      | 69,7      | 62,6      |
| PW306C | LAmax                   | A         | 500,0   | 84,2    | 77,2    | 72,2    | 66,8     | 58,1     | 48,7     | 42,1     | 35,1      | 27,7      | 20,3      |
| PW306C | LAmax                   | A         | 1 000,0   | 85,4    | 78,1    | 73,0    | 67,6     | 58,8     | 49,4     | 42,8     | 35,9      | 28,5      | 21,3      |
| PW306C | LAmax                   | D         | 1 500,0   | 86,2    | 79,5    | 74,7    | 69,4     | 60,7     | 51,2     | 44,5     | 37,2      | 29,5      | 21,8      |
| PW306C | LAmax                   | D         | 3 500,0   | 95,2    | 88,8    | 84,1    | 78,9     | 70,3     | 60,8     | 54,1     | 46,9      | 39,1      | 31,3      |
| PW306C | LAmax                   | D         | 5 500,0   | 101,4   | 95,1    | 90,4    | 85,2     | 76,5     | 66,8     | 60,0     | 52,6      | 44,6      | 36,5      |
| PW306C | SEL                     | A         | 500,0   | 85,4    | 81,5    | 78,6    | 75,2     | 69,3     | 62,7     | 57,8     | 52,6      | 46,8      | 41,0      |
| PW306C | SEL                     | A         | 1 000,0   | 86,5    | 82,4    | 79,3    | 75,8     | 69,9     | 63,3     | 58,5     | 53,4      | 47,8      | 42,1      |
| PW306C | SEL                     | D         | 1 500,0   | 85,8    | 82,3    | 79,5    | 76,2     | 70,6     | 64,0     | 59,1     | 53,8      | 47,9      | 41,9      |
| PW306C | SEL                     | D         | 3 500,0   | 94,9    | 91,3    | 88,4    | 85,2     | 79,5     | 72,9     | 68,1     | 62,9      | 57,1      | 51,2      |
| PW306C | SEL                     | D         | 5 500,0   | 101,3   | 97,9    | 95,1    | 91,9     | 86,3     | 79,8     | 75,0     | 69,7      | 64,0      | 58,1      |
| PW4056 | LAmax                   | A         | 7 000,0   | 99,8    | 92,4    | 87,3    | 82,0     | 74,1     | 65,7     | 59,6     | 52,8      | 45,8      | 39,1      |
| PW4056 | LAmax                   | A         | 10 000,0  | 99,9    | 92,4    | 87,3    | 82,0     | 74,2     | 65,8     | 59,7     | 52,8      | 45,8      | 39,0      |
| PW4056 | LAmax                   | A         | 13 000,0  | 100,5   | 92,9    | 87,7    | 82,4     | 74,5     | 66,1     | 60,0     | 53,1      | 46,1      | 39,4      |
| PW4056 | LAmax                   | A         | 16 000,0  | 101,4   | 93,6    | 88,2    | 82,9     | 74,9     | 66,5     | 60,4     | 53,6      | 46,6      | 40,0      |
| PW4056 | LAmax                   | D         | 20 000,0  | 101,9   | 94,4    | 89,3    | 83,9     | 75,7     | 67,7     | 61,9     | 55,5      | 49,1      | 42,9      |

| NPD_ID | Mode de mesure du bruit | Type d'op | Paramètre puissance (le champ «paramètre puissance» du tableau «Avions» indique le type et l'unité du paramètre de puissance) | L_200ft | L_400ft | L_630ft | L_1000ft | L_2000ft | L_4000ft | L_6300ft | L_10000ft | L_16000ft | L_25000ft |
|--------|-------------------------|-----------|---|---------|---------|---------|----------|----------|----------|----------|-----------|-----------|-----------|
| PW4056 | LAmax                   | D         | 26 000,0  | 103,4   | 96,2    | 91,2    | 86,1     | 78,0     | 69,7     | 64,0     | 57,6      | 51,1      | 44,9      |
| PW4056 | LAmax                   | D         | 32 000,0  | 105,1   | 98,0    | 93,2    | 88,1     | 80,2     | 71,8     | 66,0     | 59,7      | 53,2      | 47,0      |
| PW4056 | LAmax                   | D         | 38 000,0  | 107,0   | 100,1   | 95,3    | 90,4     | 82,5     | 74,1     | 68,3     | 61,9      | 55,4      | 49,2      |
| PW4056 | LAmax                   | D         | 44 000,0  | 109,5   | 102,7   | 98,0    | 93,1     | 85,3     | 76,9     | 71,2     | 64,8      | 58,3      | 52,2      |
| PW4056 | LAmax                   | D         | 50 000,0  | 113,3   | 106,5   | 101,7   | 96,9     | 89,1     | 81,0     | 75,3     | 68,9      | 62,5      | 56,4      |
| PW4056 | SEL                     | A         | 7 000,0   | 102,9   | 98,2    | 94,9    | 91,5     | 86,1     | 80,1     | 75,6     | 70,5      | 65,2      | 60,1      |
| PW4056 | SEL                     | A         | 10 000,0  | 103,3   | 98,6    | 95,2    | 91,7     | 86,3     | 80,3     | 75,8     | 70,6      | 65,2      | 60,1      |
| PW4056 | SEL                     | A         | 13 000,0  | 103,9   | 99,1    | 95,7    | 92,1     | 86,6     | 80,6     | 76,1     | 70,9      | 65,6      | 60,6      |
| PW4056 | SEL                     | A         | 16 000,0  | 104,6   | 99,8    | 96,3    | 92,6     | 87,0     | 80,9     | 76,5     | 71,4      | 66,3      | 61,4      |
| PW4056 | SEL                     | D         | 20 000,0  | 104,5   | 99,9    | 96,5    | 92,7     | 86,9     | 81,1     | 77,1     | 72,6      | 68,0      | 63,6      |
| PW4056 | SEL                     | D         | 26 000,0  | 105,0   | 100,7   | 97,5    | 94,1     | 88,7     | 83,0     | 79,0     | 74,5      | 70,0      | 65,6      |
| PW4056 | SEL                     | D         | 32 000,0  | 106,1   | 102,0   | 99,0    | 95,8     | 90,6     | 85,0     | 81,0     | 76,5      | 72,0      | 67,6      |
| PW4056 | SEL                     | D         | 38 000,0  | 107,6   | 103,6   | 100,8   | 97,7     | 92,7     | 87,2     | 83,3     | 78,8      | 74,3      | 69,9      |
| PW4056 | SEL                     | D         | 44 000,0  | 109,9   | 106,0   | 103,2   | 100,2    | 95,4     | 90,0     | 86,2     | 81,8      | 77,3      | 73,0      |
| PW4056 | SEL                     | D         | 50 000,0  | 113,5   | 109,6   | 106,9   | 104,0    | 99,2     | 94,2     | 90,5     | 86,1      | 81,7      | 77,5      |
| PW4158 | LAmax                   | A         | 4 000,0   | 97,0    | 90,1    | 84,8    | 78,9     | 70,6     | 62,1     | 56,0     | 49,2      | 41,5      | 33,6      |
| PW4158 | LAmax                   | A         | 12 000,0  | 99,5    | 92,3    | 86,8    | 81,1     | 72,4     | 63,4     | 57,2     | 50,2      | 42,5      | 34,5      |
| PW4158 | LAmax                   | D         | 23 000,0  | 104,9   | 95,7    | 89,4    | 83,0     | 73,2     | 62,8     | 56,1     | 49,2      | 41,7      | 34,0      |
| PW4158 | LAmax                   | D         | 32 000,0  | 107,8   | 99,8    | 94,4    | 88,6     | 79,1     | 68,1     | 61,4     | 54,6      | 47,0      | 39,0      |
| PW4158 | LAmax                   | D         | 41 000,0  | 108,7   | 101,0   | 95,9    | 90,3     | 81,0     | 71,5     | 65,1     | 58,2      | 50,5      | 42,4      |

| NPD_ID | Mode de mesure du bruit | Type d'op | Paramètre puissance (le champ «paramètre puissance» du tableau «Avions» indique le type et l'unité du paramètre de puissance) | L_200ft | L_400ft | L_630ft | L_1000ft | L_2000ft | L_4000ft | L_6300ft | L_10000ft | L_16000ft | L_25000ft |
|--------|-------------------------|-----------|---|---------|---------|---------|----------|----------|----------|----------|-----------|-----------|-----------|
| PW4158 | LAmax                   | D         | 50 000,0  | 111,5   | 103,9   | 98,9    | 93,7     | 85,4     | 76,6     | 70,4     | 63,7      | 56,0      | 47,6      |
| PW4158 | SEL                     | A         | 4 000,0   | 99,7    | 94,9    | 91,6    | 88,2     | 82,7     | 76,6     | 72,0     | 66,8      | 60,8      | 54,3      |
| PW4158 | SEL                     | A         | 12 000,0  | 102,5   | 97,8    | 94,1    | 90,2     | 84,2     | 77,8     | 73,1     | 67,8      | 61,6      | 55,1      |
| PW4158 | SEL                     | D         | 23 000,0  | 104,1   | 98,5    | 94,2    | 90,0     | 83,7     | 76,8     | 71,9     | 66,8      | 61,0      | 54,7      |
| PW4158 | SEL                     | D         | 32 000,0  | 106,1   | 101,4   | 97,6    | 94,0     | 88,1     | 81,6     | 77,0     | 72,0      | 66,2      | 60,0      |
| PW4158 | SEL                     | D         | 41 000,0  | 107,3   | 103,1   | 99,7    | 96,4     | 91,0     | 85,0     | 80,6     | 75,7      | 70,1      | 63,8      |
| PW4158 | SEL                     | D         | 50 000,0  | 110,6   | 106,5   | 103,4   | 100,2    | 95,1     | 89,5     | 85,3     | 80,4      | 74,6      | 68,1      |
| PW4460 | LAmax                   | A         | 9 300,0   | 99,2    | 92,8    | 87,4    | 82,4     | 74,1     | 65,9     | 59,6     | 53,2      | 46,6      | 40,4      |
| PW4460 | LAmax                   | A         | 22 400,0  | 102,5   | 95,6    | 90,5    | 84,9     | 76,3     | 67,5     | 61,2     | 54,8      | 48,1      | 41,7      |
| PW4460 | LAmax                   | D         | 24 960,0  | 101,9   | 94,1    | 89,1    | 84,0     | 76,2     | 67,6     | 61,3     | 54,8      | 47,2      | 40,0      |
| PW4460 | LAmax                   | D         | 37 100,0  | 104,4   | 97,1    | 92,4    | 87,5     | 80,2     | 71,9     | 65,8     | 59,1      | 51,7      | 44,7      |
| PW4460 | LAmax                   | D         | 49 010,0  | 107,4   | 100,9   | 96,4    | 91,9     | 84,7     | 76,9     | 70,8     | 64,4      | 56,7      | 50,2      |
| PW4460 | LAmax                   | D         | 53 830,0  | 109,6   | 103,2   | 98,6    | 94,0     | 87,3     | 79,4     | 73,8     | 67,1      | 59,7      | 53,2      |
| PW4460 | SEL                     | A         | 9 300,0   | 101,0   | 96,9    | 93,0    | 89,6     | 83,6     | 77,7     | 73,0     | 68,1      | 63,1      | 58,4      |
| PW4460 | SEL                     | A         | 22 400,0  | 104,3   | 99,7    | 96,1    | 92,1     | 85,8     | 79,3     | 74,6     | 69,7      | 64,6      | 59,7      |
| PW4460 | SEL                     | D         | 24 960,0  | 103,7   | 98,2    | 94,7    | 91,2     | 85,7     | 79,4     | 74,7     | 69,7      | 63,7      | 58,0      |
| PW4460 | SEL                     | D         | 37 100,0  | 106,2   | 101,2   | 98,0    | 94,7     | 89,7     | 83,7     | 79,2     | 74,0      | 68,2      | 62,7      |
| PW4460 | SEL                     | D         | 49 010,0  | 109,2   | 105,0   | 102,0   | 99,1     | 94,2     | 88,7     | 84,2     | 79,3      | 73,2      | 68,2      |
| PW4460 | SEL                     | D         | 53 830,0  | 111,4   | 107,3   | 104,2   | 101,2    | 96,8     | 91,2     | 87,2     | 82,0      | 76,2      | 71,2      |
| PW530A | LAmax                   | A         | 500,0   | 88,7    | 81,1    | 75,8    | 70,1     | 60,9     | 51,1     | 44,3     | 37,1      | 29,4      | 21,9      |

| NPD_ID | Mode de mesure du bruit | Type d'op | Paramètre puissance (le champ «paramètre puissance» du tableau «Avions» indique le type et l'unité du paramètre de puissance) | L_200ft | L_400ft | L_630ft | L_1000ft | L_2000ft | L_4000ft | L_6300ft | L_10000ft | L_16000ft | L_25000ft |
|--------|-------------------------|-----------|---|---------|---------|---------|----------|----------|----------|----------|-----------|-----------|-----------|
| PW530A | LAmax                   | A         | 800,0   | 90,3    | 82,7    | 77,5    | 71,8     | 62,9     | 53,3     | 46,7     | 39,7      | 32,3      | 25,0      |
| PW530A | LAmax                   | D         | 1 200,0   | 94,0    | 87,0    | 81,9    | 76,3     | 67,2     | 57,2     | 50,1     | 42,6      | 34,5      | 26,4      |
| PW530A | LAmax                   | D         | 1 600,0   | 95,8    | 89,1    | 84,2    | 78,9     | 70,0     | 60,3     | 53,4     | 45,9      | 38,0      | 30,0      |
| PW530A | LAmax                   | D         | 2 000,0   | 98,5    | 91,8    | 86,8    | 81,4     | 72,4     | 62,5     | 55,5     | 47,9      | 39,8      | 31,7      |
| PW530A | LAmax                   | D         | 2 400,0   | 100,2   | 93,6    | 88,8    | 83,5     | 74,7     | 65,0     | 58,1     | 50,7      | 42,8      | 34,8      |
| PW530A | SEL                     | A         | 500,0   | 88,6    | 84,0    | 80,7    | 77,1     | 71,1     | 64,4     | 59,7     | 54,6      | 49,2      | 43,7      |
| PW530A | SEL                     | A         | 800,0   | 90,4    | 85,8    | 82,5    | 78,9     | 73,0     | 66,6     | 62,0     | 57,1      | 51,8      | 46,6      |
| PW530A | SEL                     | D         | 1 200,0   | 92,2    | 88,0    | 84,8    | 81,3     | 75,3     | 68,5     | 63,7     | 58,4      | 52,6      | 46,9      |
| PW530A | SEL                     | D         | 1 600,0   | 95,5    | 91,5    | 88,4    | 84,8     | 78,8     | 71,9     | 66,9     | 61,4      | 55,5      | 49,5      |
| PW530A | SEL                     | D         | 2 000,0   | 98,8    | 94,4    | 91,2    | 87,5     | 81,4     | 74,6     | 69,7     | 64,5      | 58,7      | 53,0      |
| PW530A | SEL                     | D         | 2 400,0   | 100,2   | 96,4    | 93,5    | 90,1     | 84,2     | 77,4     | 72,5     | 67,0      | 61,1      | 55,0      |
| PW545A | LAmax                   | A         | 550,0   | 91,5    | 84,2    | 78,9    | 73,1     | 63,6     | 53,3     | 46,0     | 38,2      | 29,9      | 21,6      |
| PW545A | LAmax                   | A         | 750,0   | 93,0    | 85,6    | 80,3    | 74,5     | 65,1     | 54,7     | 47,4     | 39,6      | 31,3      | 23,0      |
| PW545A | LAmax                   | D         | 1 750,0   | 94,4    | 87,6    | 82,7    | 77,3     | 68,3     | 58,5     | 51,5     | 44,0      | 35,9      | 27,8      |
| PW545A | LAmax                   | D         | 2 000,0   | 94,6    | 87,6    | 82,5    | 77,1     | 68,3     | 58,7     | 52,1     | 45,0      | 37,5      | 30,0      |
| PW545A | LAmax                   | D         | 2 500,0   | 96,4    | 89,3    | 84,3    | 78,9     | 70,1     | 60,6     | 53,9     | 46,8      | 39,3      | 31,8      |
| PW545A | LAmax                   | D         | 3 000,0   | 97,4    | 90,8    | 86,1    | 81,0     | 72,6     | 63,5     | 57,1     | 50,2      | 42,8      | 35,5      |
| PW545A | LAmax                   | D         | 3 500,0   | 99,7    | 93,2    | 88,5    | 83,4     | 75,1     | 66,0     | 59,6     | 52,8      | 45,6      | 38,3      |
| PW545A | SEL                     | A         | 550,0   | 92,1    | 87,1    | 83,4    | 79,1     | 71,7     | 63,4     | 57,4     | 50,8      | 43,6      | 36,4      |
| PW545A | SEL                     | A         | 750,0   | 93,6    | 88,6    | 84,8    | 80,5     | 73,2     | 64,9     | 58,9     | 52,4      | 45,3      | 38,1      |
| PW545A | SEL                     | D         | 1 750,0   | 94,8    | 90,3    | 86,9    | 83,0     | 76,3     | 68,7     | 63,2     | 57,2      | 50,6      | 44,0      |

| NPD_ID | Mode de mesure du bruit | Type d'op | Paramètre puissance (le champ «paramètre puissance» du tableau «Avions» indique le type et l'unité du paramètre de puissance) | L_200ft | L_400ft | L_630ft | L_1000ft | L_2000ft | L_4000ft | L_6300ft | L_10000ft | L_16000ft | L_25000ft |
|--------|-------------------------|-----------|---|---------|---------|---------|----------|----------|----------|----------|-----------|-----------|-----------|
| PW545A | SEL                     | D         | 2 000,0   | 95,9    | 91,1    | 87,5    | 83,6     | 77,1     | 69,8     | 64,7     | 59,1      | 53,1      | 47,1      |
| PW545A | SEL                     | D         | 2 500,0   | 98,0    | 93,2    | 89,6    | 85,7     | 79,2     | 71,9     | 66,8     | 61,2      | 55,2      | 49,2      |
| PW545A | SEL                     | D         | 3 000,0   | 98,7    | 94,4    | 91,2    | 87,6     | 81,5     | 74,6     | 69,7     | 64,3      | 58,5      | 52,6      |
| PW545A | SEL                     | D         | 3 500,0   | 101,1   | 96,8    | 93,6    | 90,1     | 84,0     | 77,2     | 72,3     | 67,0      | 61,3      | 55,5      |
| PW610F | LAmax                   | A         | 79,0  | 77,0    | 69,5    | 64,6    | 59,8     | 52,4     | 44,4     | 38,6     | 32,1      | 24,5      | 16,3      |
| PW610F | LAmax                   | A         | 112,0   | 77,3    | 69,8    | 64,9    | 59,9     | 52,4     | 44,3     | 38,5     | 32,0      | 24,5      | 16,2      |
| PW610F | LAmax                   | A         | 160,0   | 77,9    | 70,4    | 65,4    | 60,3     | 52,5     | 44,4     | 38,5     | 32,0      | 24,5      | 16,2      |
| PW610F | LAmax                   | A         | 208,0   | 78,5    | 71,0    | 66,0    | 60,8     | 52,9     | 44,6     | 38,7     | 32,1      | 24,6      | 16,3      |
| PW610F | LAmax                   | A         | 262,0   | 79,2    | 71,8    | 66,8    | 61,5     | 53,5     | 45,0     | 39,0     | 32,4      | 24,8      | 16,6      |
| PW610F | LAmax                   | A         | 328,0   | 80,1    | 72,9    | 67,9    | 62,7     | 54,5     | 45,8     | 39,7     | 32,9      | 25,2      | 17,0      |
| PW610F | LAmax                   | A         | 404,0   | 81,2    | 74,3    | 69,5    | 64,3     | 56,1     | 47,1     | 40,7     | 33,8      | 26,0      | 17,7      |
| PW610F | LAmax                   | D         | 489,0   | 83,7    | 76,9    | 72,1    | 66,9     | 58,4     | 48,9     | 42,1     | 34,6      | 26,1      | 17,0      |
| PW610F | LAmax                   | D         | 587,0   | 86,2    | 79,1    | 74,2    | 68,9     | 60,4     | 50,9     | 44,0     | 36,4      | 27,8      | 18,7      |
| PW610F | LAmax                   | D         | 689,0   | 88,3    | 81,2    | 76,2    | 70,9     | 62,3     | 52,9     | 46,0     | 38,3      | 29,6      | 20,4      |
| PW610F | LAmax                   | D         | 807,0   | 90,3    | 83,3    | 78,3    | 73,1     | 64,6     | 55,2     | 48,3     | 40,5      | 31,8      | 22,6      |
| PW610F | LAmax                   | D         | 910,0   | 91,7    | 84,8    | 80,0    | 74,9     | 66,5     | 57,1     | 50,2     | 42,5      | 33,7      | 24,4      |
| PW610F | LAmax                   | D         | 935,0   | 91,9    | 85,1    | 80,4    | 75,3     | 67,0     | 57,6     | 50,7     | 43,0      | 34,2      | 24,9      |
| PW610F | SEL                     | A         | 79,0  | 78,5    | 74,3    | 71,3    | 68,3     | 63,5     | 58,1     | 54,0     | 49,2      | 43,4      | 36,9      |
| PW610F | SEL                     | A         | 112,0   | 78,7    | 74,4    | 71,5    | 68,4     | 63,5     | 58,1     | 54,0     | 49,1      | 43,4      | 36,8      |
| PW610F | SEL                     | A         | 160,0   | 79,0    | 74,7    | 71,8    | 68,7     | 63,7     | 58,2     | 54,0     | 49,2      | 43,4      | 36,8      |
| PW610F | SEL                     | A         | 208,0   | 79,5    | 75,2    | 72,3    | 69,2     | 64,1     | 58,4     | 54,2     | 49,3      | 43,5      | 36,9      |

| NPD_ID | Mode de mesure du bruit | Type d'op | Paramètre puissance (le champ «paramètre puissance» du tableau «Avions» indique le type et l'unité du paramètre de puissance) | L_200ft | L_400ft | L_630ft | L_1000ft | L_2000ft | L_4000ft | L_6300ft | L_10000ft | L_16000ft | L_25000ft |
|--------|-------------------------|-----------|---|---------|---------|---------|----------|----------|----------|----------|-----------|-----------|-----------|
| PW610F | SEL                     | A         | 262,0   | 80,1    | 75,9    | 72,9    | 69,8     | 64,7     | 58,9     | 54,7     | 49,7      | 43,8      | 37,2      |
| PW610F | SEL                     | A         | 328,0   | 81,0    | 76,9    | 74,0    | 70,8     | 65,7     | 59,8     | 55,5     | 50,4      | 44,4      | 37,7      |
| PW610F | SEL                     | A         | 404,0   | 82,2    | 78,3    | 75,5    | 72,4     | 67,2     | 61,3     | 56,8     | 51,6      | 45,4      | 38,6      |
| PW610F | SEL                     | D         | 489,0   | 83,4    | 79,6    | 76,8    | 73,6     | 68,4     | 62,1     | 57,3     | 51,7      | 44,9      | 37,5      |
| PW610F | SEL                     | D         | 587,0   | 85,7    | 81,9    | 78,9    | 75,7     | 70,4     | 64,2     | 59,4     | 53,8      | 47,0      | 39,6      |
| PW610F | SEL                     | D         | 689,0   | 87,9    | 84,1    | 81,0    | 77,7     | 72,4     | 66,3     | 61,5     | 55,9      | 49,2      | 41,7      |
| PW610F | SEL                     | D         | 807,0   | 90,1    | 86,3    | 83,4    | 80,1     | 74,9     | 68,7     | 64,0     | 58,4      | 51,7      | 44,1      |
| PW610F | SEL                     | D         | 910,0   | 91,8    | 88,1    | 85,3    | 82,2     | 77,0     | 70,8     | 66,1     | 60,5      | 53,7      | 46,1      |
| PW610F | SEL                     | D         | 935,0   | 92,2    | 88,4    | 85,7    | 82,7     | 77,5     | 71,3     | 66,6     | 60,9      | 54,2      | 46,6      |
| PW615F | LAmax                   | A         | 300,0   | 82,8    | 75,7    | 70,6    | 65,1     | 56,1     | 46,3     | 39,5     | 32,2      | 24,4      | 16,6      |
| PW615F | LAmax                   | A         | 500,0   | 87,1    | 79,9    | 74,7    | 69,0     | 59,8     | 49,7     | 42,6     | 35,0      | 26,9      | 18,8      |
| PW615F | LAmax                   | D         | 700,0   | 90,2    | 83,5    | 78,6    | 73,1     | 64,1     | 54,0     | 46,9     | 39,2      | 31,0      | 22,7      |
| PW615F | LAmax                   | D         | 900,0   | 94,8    | 87,7    | 82,6    | 77,0     | 67,7     | 57,5     | 50,3     | 42,5      | 34,2      | 25,9      |
| PW615F | LAmax                   | D         | 1 100,0   | 96,4    | 89,8    | 85,0    | 79,6     | 70,6     | 60,5     | 53,4     | 45,7      | 37,3      | 28,9      |
| PW615F | LAmax                   | D         | 1 300,0   | 97,4    | 91,1    | 86,4    | 81,2     | 72,5     | 62,7     | 55,8     | 48,3      | 40,2      | 32,0      |
| PW615F | SEL                     | A         | 300,0   | 85,5    | 81,7    | 78,7    | 75,3     | 69,5     | 62,8     | 58,0     | 52,7      | 46,9      | 41,1      |
| PW615F | SEL                     | A         | 500,0   | 87,0    | 82,9    | 79,8    | 76,3     | 70,4     | 63,8     | 59,0     | 53,9      | 48,3      | 42,6      |
| PW615F | SEL                     | D         | 700,0   | 89,6    | 85,7    | 82,6    | 79,0     | 73,0     | 65,9     | 60,8     | 55,2      | 49,1      | 42,8      |
| PW615F | SEL                     | D         | 900,0   | 92,9    | 89,0    | 86,0    | 82,5     | 76,5     | 69,6     | 64,6     | 59,2      | 53,2      | 47,1      |
| PW615F | SEL                     | D         | 1 100,0   | 95,6    | 92,0    | 89,1    | 85,7     | 79,8     | 73,0     | 68,0     | 62,5      | 56,5      | 50,4      |

| NPD_ID | Mode de mesure du bruit | Type d'op | Paramètre puissance (le champ «paramètre puissance» du tableau «Avions» indique le type et l'unité du paramètre de puissance) | L_200ft | L_400ft | L_630ft | L_1000ft | L_2000ft | L_4000ft | L_6300ft | L_10000ft | L_16000ft | L_25000ft |
|--------|-------------------------|-----------|---|---------|---------|---------|----------|----------|----------|----------|-----------|-----------|-----------|
| PW615F | SEL                     | D         | 1 300,0   | 97,4    | 94,1    | 91,3    | 88,1     | 82,4     | 75,7     | 70,8     | 65,4      | 59,4      | 53,3      |
| RAISQP | LAmax                   | A         | 23,0  | 77,2    | 70,0    | 65,1    | 59,9     | 51,5     | 42,3     | 36,2     | 30,0      | 23,6      | 17,9      |
| RAISQP | LAmax                   | A         | 30,0  | 78,3    | 71,3    | 67,4    | 61,7     | 53,9     | 45,6     | 39,8     | 33,6      | 27,0      | 20,1      |
| RAISQP | LAmax                   | D         | 60,0  | 84,7    | 78,1    | 73,6    | 68,9     | 61,5     | 53,8     | 48,4     | 42,6      | 36,3      | 29,8      |
| RAISQP | LAmax                   | D         | 85,0  | 89,2    | 82,7    | 78,4    | 74,0     | 67,2     | 60,1     | 55,3     | 50,2      | 44,6      | 38,7      |
| RAISQP | LAmax                   | D         | 100,0   | 96,8    | 90,5    | 86,3    | 82,1     | 75,4     | 68,3     | 63,3     | 57,7      | 51,3      | 44,6      |
| RAISQP | SEL                     | A         | 23,0  | 82,3    | 77,9    | 74,7    | 71,4     | 65,5     | 59,2     | 54,8     | 50,1      | 45,6      | 41,3      |
| RAISQP | SEL                     | A         | 30,0  | 82,6    | 78,6    | 76,3    | 72,7     | 67,6     | 61,8     | 57,6     | 52,9      | 48,2      | 43,9      |
| RAISQP | SEL                     | D         | 60,0  | 87,6    | 84,1    | 81,6    | 78,8     | 74,1     | 68,8     | 65,0     | 60,8      | 56,1      | 51,4      |
| RAISQP | SEL                     | D         | 85,0  | 92,3    | 88,6    | 86,1    | 83,4     | 79,2     | 74,7     | 71,3     | 68,0      | 63,9      | 60,1      |
| RAISQP | SEL                     | D         | 100,0   | 97,8    | 94,5    | 92,3    | 90,0     | 86,3     | 82,0     | 78,9     | 75,2      | 70,9      | 66,0      |
| RB183  | LAmax                   | A         | 1 798,0   | 94,7    | 87,6    | 82,6    | 77,6     | 69,3     | 60,8     | 54,7     | 47,4      | 38,9      | 29,9      |
| RB183  | LAmax                   | A         | 2 698,0   | 95,6    | 89,1    | 84,5    | 79,8     | 72,3     | 64,0     | 57,9     | 50,6      | 42,0      | 32,9      |
| RB183  | LAmax                   | A         | 3 147,0   | 98,1    | 91,3    | 86,4    | 81,6     | 74,2     | 65,6     | 59,5     | 52,2      | 43,7      | 34,8      |
| RB183  | LAmax                   | A         | 3 597,0   | 98,7    | 92,2    | 87,3    | 82,6     | 75,6     | 67,2     | 61,1     | 53,8      | 45,3      | 36,3      |
| RB183  | LAmax                   | A         | 4 496,0   | 100,4   | 94,3    | 90,1    | 85,4     | 78,8     | 70,4     | 64,3     | 57,0      | 48,5      | 39,5      |
| RB183  | LAmax                   | D         | 4 496,0   | 101,6   | 95,0    | 90,6    | 85,8     | 78,6     | 70,9     | 65,2     | 58,5      | 50,0      | 39,6      |
| RB183  | LAmax                   | D         | 10 116,0  | 119,8   | 113,4   | 108,9   | 104,2    | 96,9     | 89,3     | 83,5     | 76,9      | 68,4      | 58,0      |
| RB183  | SEL                     | A         | 1 798,0   | 96,5    | 91,7    | 88,2    | 84,8     | 78,8     | 72,6     | 68,1     | 62,3      | 55,4      | 47,9      |
| RB183  | SEL                     | A         | 2 698,0   | 97,4    | 93,2    | 90,1    | 87,0     | 81,8     | 75,8     | 71,3     | 65,5      | 58,5      | 50,9      |
| RB183  | SEL                     | A         | 3 147,0   | 99,9    | 95,4    | 92,0    | 88,8     | 83,7     | 77,4     | 72,9     | 67,1      | 60,2      | 52,8      |

| NPD_ID | Mode de mesure du bruit | Type d'op | Paramètre puissance (le champ «paramètre puissance» du tableau «Avions» indique le type et l'unité du paramètre de puissance) | L_200ft | L_400ft | L_630ft | L_1000ft | L_2000ft | L_4000ft | L_6300ft | L_10000ft | L_16000ft | L_25000ft |
|--------|-------------------------|-----------|---|---------|---------|---------|----------|----------|----------|----------|-----------|-----------|-----------|
| RB183  | SEL                     | A         | 3 597,0   | 100,5   | 96,3    | 92,9    | 89,8     | 85,1     | 79,0     | 74,5     | 68,7      | 61,8      | 54,3      |
| RB183  | SEL                     | A         | 4 496,0   | 102,2   | 98,4    | 95,7    | 92,6     | 88,3     | 82,2     | 77,7     | 71,9      | 65,0      | 57,5      |
| RB183  | SEL                     | D         | 4 496,0   | 103,4   | 99,1    | 96,2    | 93,0     | 88,1     | 82,7     | 78,6     | 73,4      | 66,5      | 57,6      |
| RB183  | SEL                     | D         | 10 116,0  | 121,6   | 117,5   | 114,5   | 111,4    | 106,4    | 101,1    | 96,9     | 91,8      | 84,9      | 76,0      |
| RB183P | LAmax                   | A         | 1 798,0   | 93,7    | 86,9    | 82,3    | 77,3     | 69,1     | 60,6     | 54,2     | 46,5      | 37,4      | 27,6      |
| RB183P | LAmax                   | A         | 2 698,0   | 94,0    | 87,9    | 83,8    | 79,5     | 72,0     | 63,5     | 57,0     | 49,3      | 40,2      | 30,5      |
| RB183P | LAmax                   | A         | 3 147,0   | 97,0    | 90,5    | 85,9    | 81,3     | 73,7     | 64,9     | 58,5     | 50,8      | 41,9      | 32,4      |
| RB183P | LAmax                   | A         | 3 597,0   | 97,8    | 91,5    | 87,2    | 82,5     | 74,9     | 66,4     | 59,9     | 52,2      | 43,3      | 33,7      |
| RB183P | LAmax                   | A         | 4 496,0   | 99,9    | 93,8    | 89,6    | 85,3     | 77,8     | 69,3     | 62,8     | 55,1      | 46,1      | 36,4      |
| RB183P | LAmax                   | D         | 4 496,0   | 101,5   | 94,6    | 89,9    | 84,9     | 77,4     | 69,3     | 63,3     | 56,3      | 47,5      | 36,5      |
| RB183P | LAmax                   | D         | 10 116,0  | 116,3   | 109,6   | 104,9   | 100,1    | 92,5     | 84,4     | 78,4     | 71,4      | 62,5      | 51,5      |
| RB183P | SEL                     | A         | 1 798,0   | 95,5    | 91,0    | 87,9    | 84,5     | 78,6     | 72,4     | 67,6     | 61,4      | 53,9      | 45,6      |
| RB183P | SEL                     | A         | 2 698,0   | 95,8    | 92,0    | 89,4    | 86,7     | 81,5     | 75,3     | 70,4     | 64,2      | 56,7      | 48,5      |
| RB183P | SEL                     | A         | 3 147,0   | 98,8    | 94,6    | 91,5    | 88,5     | 83,2     | 76,7     | 71,9     | 65,7      | 58,4      | 50,4      |
| RB183P | SEL                     | A         | 3 597,0   | 99,6    | 95,6    | 92,8    | 89,7     | 84,4     | 78,2     | 73,3     | 67,1      | 59,8      | 51,7      |
| RB183P | SEL                     | A         | 4 496,0   | 101,7   | 97,9    | 95,2    | 92,5     | 87,3     | 81,1     | 76,2     | 70,0      | 62,6      | 54,4      |
| RB183P | SEL                     | D         | 4 496,0   | 103,3   | 98,7    | 95,5    | 92,1     | 86,9     | 81,1     | 76,7     | 71,2      | 64,0      | 54,5      |
| RB183P | SEL                     | D         | 10 116,0  | 118,1   | 113,7   | 110,5   | 107,3    | 102,0    | 96,2     | 91,8     | 86,3      | 79,0      | 69,5      |
| RB2112 | LAmax                   | A         | 8 000,0   | 99,2    | 92,0    | 86,6    | 81,0     | 72,1     | 63,0     | 56,5     | 49,1      | 40,8      | 32,5      |
| RB2112 | LAmax                   | A         | 14 000,0  | 102,8   | 95,8    | 90,7    | 85,3     | 76,8     | 67,9     | 61,5     | 54,2      | 46,1      | 38,1      |

| NPD_ID | Mode de mesure du bruit | Type d'op | Paramètre puissance (le champ «paramètre puissance» du tableau «Avions» indique le type et l'unité du paramètre de puissance) | L_200ft | L_400ft | L_630ft | L_1000ft | L_2000ft | L_4000ft | L_6300ft | L_10000ft | L_16000ft | L_25000ft |
|--------|-------------------------|-----------|---|---------|---------|---------|----------|----------|----------|----------|-----------|-----------|-----------|
| RB2112 | LAmax                   | D         | 20 000,0  | 104,8   | 97,4    | 93,0    | 87,8     | 79,6     | 70,7     | 64,4     | 57,2      | 49,2      | 41,4      |
| RB2112 | LAmax                   | D         | 28 000,0  | 106,7   | 99,9    | 95,1    | 90,0     | 82,0     | 73,2     | 66,9     | 59,8      | 51,9      | 44,1      |
| RB2112 | LAmax                   | D         | 36 000,0  | 108,3   | 101,6   | 97,0    | 92,0     | 84,2     | 75,4     | 69,2     | 62,2      | 54,3      | 46,7      |
| RB2112 | SEL                     | A         | 8 000,0   | 100,7   | 95,5    | 91,7    | 87,5     | 81,1     | 74,0     | 68,8     | 63,0      | 56,3      | 49,7      |
| RB2112 | SEL                     | A         | 14 000,0  | 104,8   | 100,0   | 96,4    | 92,5     | 86,4     | 79,5     | 74,5     | 68,8      | 62,3      | 55,8      |
| RB2112 | SEL                     | D         | 20 000,0  | 107,3   | 102,6   | 99,1    | 95,5     | 89,5     | 82,8     | 77,8     | 72,3      | 65,8      | 59,5      |
| RB2112 | SEL                     | D         | 28 000,0  | 109,8   | 105,3   | 101,9   | 98,5     | 92,7     | 86,1     | 81,2     | 75,8      | 69,5      | 63,2      |
| RB2112 | SEL                     | D         | 36 000,0  | 111,4   | 107,1   | 103,8   | 100,5    | 94,8     | 88,3     | 83,5     | 78,1      | 71,9      | 65,6      |
| RDA532 | LAmax                   | A         | 32,0  | 96,4    | 88,7    | 82,9    | 76,2     | 65,3     | 55,1     | 48,3     | 41,3      | 34,1      | 26,4      |
| RDA532 | LAmax                   | A         | 73,0  | 98,2    | 91,1    | 86,2    | 81,2     | 73,6     | 65,9     | 60,5     | 54,7      | 48,2      | 40,7      |
| RDA532 | LAmax                   | D         | 73,0  | 98,2    | 91,1    | 86,2    | 81,2     | 73,6     | 65,9     | 60,5     | 54,7      | 48,2      | 40,7      |
| RDA532 | LAmax                   | D         | 100,0   | 98,6    | 92,2    | 87,8    | 83,4     | 76,4     | 68,9     | 63,4     | 57,3      | 50,3      | 42,0      |
| RDA532 | SEL                     | A         | 32,0  | 98,9    | 93,5    | 89,1    | 84,0     | 75,3     | 67,3     | 62,0     | 56,5      | 50,8      | 44,6      |
| RDA532 | SEL                     | A         | 73,0  | 100,2   | 95,4    | 92,0    | 88,4     | 83,1     | 77,7     | 73,8     | 69,5      | 64,5      | 58,5      |
| RDA532 | SEL                     | D         | 73,0  | 100,2   | 95,4    | 92,0    | 88,4     | 83,1     | 77,7     | 73,8     | 69,5      | 64,5      | 58,5      |
| RDA532 | SEL                     | D         | 100,0   | 101,3   | 97,2    | 94,3    | 91,4     | 86,7     | 81,4     | 77,5     | 72,8      | 67,3      | 60,6      |
| RR535E | LAmax                   | A         | 6 000,0   | 91,9    | 84,7    | 80,1    | 75,2     | 67,4     | 58,6     | 52,1     | 45,1      | 38,1      | 31,4      |
| RR535E | LAmax                   | A         | 7 000,0   | 92,0    | 84,9    | 80,3    | 75,4     | 67,6     | 58,8     | 52,4     | 45,4      | 38,4      | 31,8      |
| RR535E | LAmax                   | A         | 8 000,0   | 92,2    | 85,2    | 80,6    | 75,6     | 67,8     | 59,0     | 52,7     | 45,8      | 38,8      | 32,2      |
| RR535E | LAmax                   | A         | 9 000,0   | 92,5    | 85,5    | 80,8    | 75,9     | 68,0     | 59,3     | 53,0     | 46,2      | 39,2      | 32,7      |

| NPD_ID | Mode de mesure du bruit | Type d'op | Paramètre puissance (le champ «paramètre puissance» du tableau «Avions» indique le type et l'unité du paramètre de puissance) | L_200ft | L_400ft | L_630ft | L_1000ft | L_2000ft | L_4000ft | L_6300ft | L_10000ft | L_16000ft | L_25000ft |
|--------|-------------------------|-----------|---|---------|---------|---------|----------|----------|----------|----------|-----------|-----------|-----------|
| RR535E | LAmax                   | D         | 10 000,0  | 91,0    | 84,0    | 79,7    | 75,1     | 67,5     | 59,1     | 53,0     | 46,3      | 39,4      | 33,0      |
| RR535E | LAmax                   | D         | 15 000,0  | 95,7    | 87,9    | 83,1    | 78,4     | 70,8     | 62,3     | 56,3     | 49,8      | 43,1      | 36,8      |
| RR535E | LAmax                   | D         | 20 000,0  | 99,1    | 91,1    | 86,3    | 81,5     | 73,8     | 65,4     | 59,5     | 53,0      | 46,4      | 40,1      |
| RR535E | LAmax                   | D         | 25 000,0  | 101,6   | 93,9    | 89,1    | 84,3     | 76,7     | 68,3     | 62,4     | 55,9      | 49,2      | 43,0      |
| RR535E | LAmax                   | D         | 30 000,0  | 103,7   | 96,5    | 91,9    | 87,2     | 79,6     | 71,2     | 65,3     | 58,7      | 52,0      | 45,8      |
| RR535E | LAmax                   | D         | 35 000,0  | 106,2   | 100,3   | 96,1    | 91,6     | 84,1     | 75,8     | 69,7     | 63,0      | 56,2      | 49,9      |
| RR535E | SEL                     | A         | 6 000,0   | 95,9    | 90,9    | 87,8    | 84,6     | 79,2     | 72,9     | 68,1     | 62,9      | 57,6      | 52,5      |
| RR535E | SEL                     | A         | 7 000,0   | 95,8    | 91,0    | 88,0    | 84,7     | 79,3     | 73,1     | 68,4     | 63,2      | 58,0      | 53,0      |
| RR535E | SEL                     | A         | 8 000,0   | 95,9    | 91,2    | 88,2    | 84,9     | 79,6     | 73,4     | 68,7     | 63,6      | 58,4      | 53,5      |
| RR535E | SEL                     | A         | 9 000,0   | 96,0    | 91,5    | 88,5    | 85,2     | 79,8     | 73,7     | 69,1     | 64,0      | 58,9      | 54,1      |
| RR535E | SEL                     | D         | 10 000,0  | 93,9    | 89,5    | 86,4    | 83,5     | 78,3     | 72,4     | 68,0     | 63,0      | 57,9      | 53,2      |
| RR535E | SEL                     | D         | 15 000,0  | 98,4    | 93,9    | 90,7    | 87,5     | 82,1     | 76,1     | 71,8     | 67,0      | 62,1      | 57,6      |
| RR535E | SEL                     | D         | 20 000,0  | 101,6   | 97,1    | 94,0    | 90,8     | 85,4     | 79,4     | 75,1     | 70,4      | 65,7      | 61,2      |
| RR535E | SEL                     | D         | 25 000,0  | 104,0   | 99,7    | 96,6    | 93,5     | 88,2     | 82,3     | 78,1     | 73,5      | 68,8      | 64,4      |
| RR535E | SEL                     | D         | 30 000,0  | 106,0   | 101,8   | 98,8    | 95,9     | 90,8     | 85,1     | 81,0     | 76,5      | 71,8      | 67,5      |
| RR535E | SEL                     | D         | 35 000,0  | 108,3   | 104,5   | 101,8   | 99,4     | 94,6     | 89,4     | 85,4     | 80,9      | 76,2      | 71,9      |
| SPEYHK | LAmax                   | A         | 1 000,0   | 86,5    | 80,4    | 76,1    | 71,5     | 64,1     | 56,3     | 50,8     | 45,0      | 38,9      | 32,8      |
| SPEYHK | LAmax                   | A         | 2 000,0   | 90,6    | 84,5    | 80,2    | 75,6     | 68,2     | 60,4     | 54,9     | 49,1      | 43,0      | 36,9      |
| SPEYHK | LAmax                   | A         | 4 000,0   | 98,8    | 92,7    | 88,4    | 83,8     | 76,4     | 68,6     | 63,1     | 57,3      | 51,2      | 45,1      |
| SPEYHK | LAmax                   | A         | 6 000,0   | 108,7   | 102,6   | 98,3    | 93,7     | 86,3     | 78,5     | 73,0     | 67,2      | 61,1      | 55,0      |

| NPD_ID | Mode de mesure du bruit | Type d'op | Paramètre puissance (le champ «paramètre puissance» du tableau «Avions» indique le type et l'unité du paramètre de puissance) | L_200ft | L_400ft | L_630ft | L_1000ft | L_2000ft | L_4000ft | L_6300ft | L_10000ft | L_16000ft | L_25000ft |
|--------|-------------------------|-----------|---|---------|---------|---------|----------|----------|----------|----------|-----------|-----------|-----------|
| SPEYHK | LAmax                   | A         | 8 000,0   | 113,5   | 107,4   | 103,1   | 98,5     | 91,1     | 83,3     | 77,8     | 72,0      | 65,9      | 59,8      |
| SPEYHK | LAmax                   | A         | 10 000,0  | 119,4   | 113,3   | 109,0   | 104,4    | 97,0     | 89,2     | 83,7     | 77,9      | 71,8      | 65,7      |
| SPEYHK | LAmax                   | D         | 1 000,0   | 86,5    | 80,4    | 76,1    | 71,5     | 64,1     | 56,3     | 50,8     | 45,0      | 38,9      | 32,8      |
| SPEYHK | LAmax                   | D         | 2 000,0   | 90,6    | 84,5    | 80,2    | 75,6     | 68,2     | 60,4     | 54,9     | 49,1      | 43,0      | 36,9      |
| SPEYHK | LAmax                   | D         | 4 000,0   | 98,8    | 92,7    | 88,4    | 83,8     | 76,4     | 68,6     | 63,1     | 57,3      | 51,2      | 45,1      |
| SPEYHK | LAmax                   | D         | 6 000,0   | 108,7   | 102,6   | 98,3    | 93,7     | 86,3     | 78,5     | 73,0     | 67,2      | 61,1      | 55,0      |
| SPEYHK | LAmax                   | D         | 8 000,0   | 113,5   | 107,4   | 103,1   | 98,5     | 91,1     | 83,3     | 77,8     | 72,0      | 65,9      | 59,8      |
| SPEYHK | LAmax                   | D         | 10 000,0  | 119,4   | 113,3   | 109,0   | 104,4    | 97,0     | 89,2     | 83,7     | 77,9      | 71,8      | 65,7      |
| SPEYHK | SEL                     | A         | 1 000,0   | 89,4    | 85,5    | 82,5    | 79,1     | 73,3     | 66,8     | 62,1     | 56,9      | 51,3      | 45,6      |
| SPEYHK | SEL                     | A         | 2 000,0   | 93,5    | 89,6    | 86,6    | 83,2     | 77,4     | 70,9     | 66,2     | 61,0      | 55,4      | 49,7      |
| SPEYHK | SEL                     | A         | 4 000,0   | 101,7   | 97,8    | 94,8    | 91,4     | 85,6     | 79,1     | 74,4     | 69,2      | 63,6      | 57,9      |
| SPEYHK | SEL                     | A         | 6 000,0   | 111,8   | 107,9   | 104,9   | 101,5    | 95,7     | 89,2     | 84,5     | 79,3      | 73,7      | 68,0      |
| SPEYHK | SEL                     | A         | 8 000,0   | 117,3   | 113,4   | 110,4   | 107,0    | 101,2    | 94,7     | 90,0     | 84,8      | 79,2      | 73,5      |
| SPEYHK | SEL                     | A         | 10 000,0  | 123,9   | 120,0   | 117,0   | 113,6    | 107,8    | 101,3    | 96,6     | 91,4      | 85,8      | 80,1      |
| SPEYHK | SEL                     | D         | 1 000,0   | 89,4    | 85,5    | 82,5    | 79,1     | 73,3     | 66,8     | 62,1     | 56,9      | 51,3      | 45,6      |
| SPEYHK | SEL                     | D         | 2 000,0   | 93,5    | 89,6    | 86,6    | 83,2     | 77,4     | 70,9     | 66,2     | 61,0      | 55,4      | 49,7      |
| SPEYHK | SEL                     | D         | 4 000,0   | 101,7   | 97,8    | 94,8    | 91,4     | 85,6     | 79,1     | 74,4     | 69,2      | 63,6      | 57,9      |
| SPEYHK | SEL                     | D         | 6 000,0   | 111,8   | 107,9   | 104,9   | 101,5    | 95,7     | 89,2     | 84,5     | 79,3      | 73,7      | 68,0      |
| SPEYHK | SEL                     | D         | 8 000,0   | 117,3   | 113,4   | 110,4   | 107,0    | 101,2    | 94,7     | 90,0     | 84,8      | 79,2      | 73,5      |
| SPEYHK | SEL                     | D         | 10 000,0  | 123,9   | 120,0   | 117,0   | 113,6    | 107,8    | 101,3    | 96,6     | 91,4      | 85,8      | 80,1      |

| NPD_ID | Mode de mesure du bruit | Type d'op | Paramètre puissance (le champ «paramètre puissance» du tableau «Avions» indique le type et l'unité du paramètre de puissance) | L_200ft | L_400ft | L_630ft | L_1000ft | L_2000ft | L_4000ft | L_6300ft | L_10000ft | L_16000ft | L_25000ft |
|--------|-------------------------|-----------|---|---------|---------|---------|----------|----------|----------|----------|-----------|-----------|-----------|
| T1KBFP | LAmax                   | A         | 5 250,0   | 92,3    | 85,1    | 80,3    | 75,4     | 67,4     | 58,8     | 52,6     | 45,9      | 39,1      | 32,7      |
| T1KBFP | LAmax                   | A         | 10 500,0  | 92,7    | 85,5    | 80,7    | 75,7     | 67,8     | 59,2     | 53,0     | 46,3      | 39,6      | 33,3      |
| T1KBFP | LAmax                   | A         | 15 750,0  | 93,6    | 86,4    | 81,5    | 76,5     | 68,6     | 60,0     | 53,9     | 47,2      | 40,5      | 34,3      |
| T1KBFP | LAmax                   | A         | 21 000,0  | 94,6    | 87,4    | 82,5    | 77,5     | 69,5     | 61,0     | 54,9     | 48,3      | 41,7      | 35,5      |
| T1KBFP | LAmax                   | D         | 20 000,0  | 92,9    | 85,9    | 81,3    | 76,4     | 68,5     | 60,0     | 53,9     | 47,0      | 40,1      | 33,6      |
| T1KBFP | LAmax                   | D         | 29 000,0  | 94,8    | 88,0    | 83,3    | 78,2     | 70,1     | 61,4     | 55,2     | 48,5      | 41,7      | 35,4      |
| T1KBFP | LAmax                   | D         | 38 000,0  | 97,1    | 90,2    | 85,7    | 80,4     | 72,3     | 63,5     | 57,3     | 50,7      | 44,0      | 37,8      |
| T1KBFP | LAmax                   | D         | 47 000,0  | 99,5    | 92,5    | 88,2    | 82,8     | 74,6     | 65,9     | 59,8     | 53,2      | 46,6      | 40,4      |
| T1KBFP | LAmax                   | D         | 56 000,0  | 101,9   | 94,8    | 90,8    | 85,1     | 77,0     | 68,4     | 62,4     | 55,9      | 49,3      | 43,2      |
| T1KBFP | LAmax                   | D         | 65 000,0  | 105,2   | 97,8    | 94,2    | 88,3     | 80,3     | 71,9     | 66,0     | 59,6      | 53,2      | 47,2      |
| T1KBFP | SEL                     | A         | 5 250,0   | 94,9    | 90,5    | 87,4    | 84,3     | 79,1     | 73,1     | 68,5     | 63,4      | 58,3      | 53,5      |
| T1KBFP | SEL                     | A         | 10 500,0  | 95,9    | 91,3    | 88,2    | 84,9     | 79,4     | 73,3     | 68,7     | 63,7      | 58,6      | 53,9      |
| T1KBFP | SEL                     | A         | 15 750,0  | 97,1    | 92,5    | 89,2    | 85,8     | 80,2     | 74,1     | 69,6     | 64,7      | 59,6      | 55,0      |
| T1KBFP | SEL                     | A         | 21 000,0  | 98,4    | 93,7    | 90,2    | 86,8     | 81,2     | 75,2     | 70,8     | 65,9      | 61,0      | 56,4      |
| T1KBFP | SEL                     | D         | 20 000,0  | 96,4    | 91,8    | 88,6    | 84,8     | 79,1     | 73,0     | 68,5     | 63,5      | 58,4      | 53,6      |
| T1KBFP | SEL                     | D         | 29 000,0  | 97,1    | 92,7    | 90,0    | 86,1     | 80,5     | 74,5     | 70,1     | 65,2      | 60,3      | 55,8      |
| T1KBFP | SEL                     | D         | 38 000,0  | 98,6    | 94,3    | 91,8    | 87,9     | 82,4     | 76,6     | 72,3     | 67,5      | 62,8      | 58,4      |
| T1KBFP | SEL                     | D         | 47 000,0  | 100,5   | 96,2    | 94,0    | 89,9     | 84,7     | 78,9     | 74,8     | 70,1      | 65,5      | 61,2      |
| T1KBFP | SEL                     | D         | 56 000,0  | 102,5   | 98,3    | 96,2    | 92,1     | 87,0     | 81,5     | 77,4     | 72,9      | 68,3      | 64,1      |
| T1KBFP | SEL                     | D         | 65 000,0  | 105,4   | 101,2   | 99,3    | 95,1     | 90,2     | 84,9     | 81,0     | 76,6      | 72,2      | 68,2      |

| NPD_ID | Mode de mesure du bruit | Type d'op | Paramètre puissance (le champ «paramètre puissance» du tableau «Avions» indique le type et l'unité du paramètre de puissance) | L_200ft | L_400ft | L_630ft | L_1000ft | L_2000ft | L_4000ft | L_6300ft | L_10000ft | L_16000ft | L_25000ft |
|--------|-------------------------|-----------|---|---------|---------|---------|----------|----------|----------|----------|-----------|-----------|-----------|
| T56A7  | LAmax                   | A         | 30,0  | 96,0    | 89,4    | 84,8    | 79,9     | 71,9     | 62,4     | 55,0     | 47,0      | 39,2      | 31,6      |
| T56A7  | LAmax                   | A         | 100,0   | 99,8    | 93,3    | 88,9    | 84,3     | 77,3     | 70,0     | 65,1     | 60,0      | 54,5      | 48,4      |
| T56A7  | LAmax                   | D         | 30,0  | 96,0    | 89,4    | 84,8    | 79,9     | 71,9     | 62,4     | 55,0     | 47,0      | 39,2      | 31,6      |
| T56A7  | LAmax                   | D         | 100,0   | 99,8    | 93,3    | 88,9    | 84,3     | 77,3     | 70,0     | 65,1     | 60,0      | 54,5      | 48,4      |
| T56A7  | SEL                     | A         | 30,0  | 98,0    | 93,7    | 90,6    | 87,2     | 81,4     | 74,2     | 68,3     | 61,8      | 55,5      | 49,4      |
| T56A7  | SEL                     | A         | 100,0   | 100,1   | 95,8    | 92,9    | 89,8     | 85,0     | 80,0     | 76,6     | 72,9      | 69,0      | 64,4      |
| T56A7  | SEL                     | D         | 30,0  | 98,0    | 93,7    | 90,6    | 87,2     | 81,4     | 74,2     | 68,3     | 61,8      | 55,5      | 49,4      |
| T56A7  | SEL                     | D         | 100,0   | 100,1   | 95,8    | 92,9    | 89,8     | 85,0     | 80,0     | 76,6     | 72,9      | 69,0      | 64,4      |
| TAY620 | LAmax                   | A         | 3 372,0   | 89,1    | 82,7    | 78,4    | 73,9     | 66,8     | 58,9     | 53,1     | 46,9      | 40,4      | 34,3      |
| TAY620 | LAmax                   | A         | 5 620,0   | 93,0    | 86,8    | 82,6    | 78,0     | 70,7     | 62,6     | 56,8     | 50,3      | 43,6      | 37,2      |
| TAY620 | LAmax                   | D         | 4 496,0   | 91,5    | 85,3    | 81,0    | 76,1     | 68,7     | 60,2     | 54,3     | 48,0      | 41,4      | 35,7      |
| TAY620 | LAmax                   | D         | 13 489,0  | 106,2   | 100,2   | 96,1    | 91,5     | 84,4     | 76,4     | 70,3     | 63,6      | 56,4      | 50,3      |
| TAY620 | SEL                     | A         | 3 372,0   | 90,9    | 86,8    | 84,0    | 81,1     | 76,3     | 70,7     | 66,5     | 61,8      | 56,9      | 52,3      |
| TAY620 | SEL                     | A         | 5 620,0   | 94,8    | 90,9    | 88,2    | 85,2     | 80,2     | 74,4     | 70,2     | 65,2      | 60,1      | 55,2      |
| TAY620 | SEL                     | D         | 4 496,0   | 93,3    | 89,4    | 86,6    | 83,3     | 78,2     | 72,0     | 67,7     | 62,9      | 57,9      | 53,7      |
| TAY620 | SEL                     | D         | 13 489,0  | 108,0   | 104,3   | 101,7   | 98,7     | 93,9     | 88,2     | 83,7     | 78,5      | 72,9      | 68,3      |
| TAY650 | LAmax                   | A         | 3 372,0   | 89,3    | 82,9    | 78,6    | 74,0     | 66,7     | 58,8     | 53,1     | 46,9      | 40,4      | 34,3      |
| TAY650 | LAmax                   | A         | 5 620,0   | 92,3    | 86,0    | 81,7    | 77,1     | 69,7     | 61,7     | 56,0     | 49,8      | 43,3      | 37,2      |
| TAY650 | LAmax                   | D         | 4 496,0   | 91,3    | 84,8    | 80,2    | 75,0     | 67,3     | 58,6     | 53,0     | 47,2      | 41,1      | 35,8      |
| TAY650 | LAmax                   | D         | 13 488,0  | 104,7   | 98,8    | 94,6    | 90,2     | 83,2     | 75,5     | 69,8     | 63,6      | 57,1      | 51,5      |

| NPD_ID | Mode de mesure du bruit | Type d'op | Paramètre puissance (le champ «paramètre puissance» du tableau «Avions» indique le type et l'unité du paramètre de puissance) | L_200ft | L_400ft | L_630ft | L_1000ft | L_2000ft | L_4000ft | L_6300ft | L_10000ft | L_16000ft | L_25000ft |
|--------|-------------------------|-----------|---|---------|---------|---------|----------|----------|----------|----------|-----------|-----------|-----------|
| TAY650 | SEL                     | A         | 3 372,0   | 91,1    | 87,0    | 84,2    | 81,2     | 76,2     | 70,6     | 66,5     | 61,8      | 56,9      | 52,3      |
| TAY650 | SEL                     | A         | 5 620,0   | 94,1    | 90,1    | 87,3    | 84,3     | 79,2     | 73,5     | 69,4     | 64,7      | 59,8      | 55,2      |
| TAY650 | SEL                     | D         | 4 496,0   | 93,1    | 88,9    | 85,8    | 82,2     | 76,8     | 70,4     | 66,4     | 62,1      | 57,6      | 53,8      |
| TAY650 | SEL                     | D         | 13 488,0  | 106,5   | 102,9   | 100,2   | 97,4     | 92,7     | 87,3     | 83,2     | 78,5      | 73,6      | 69,5      |
| TAY651 | LAmx                    | A         | 5 000,0   | 91,4    | 84,7    | 80,1    | 75,3     | 67,7     | 59,5     | 53,7     | 47,3      | 40,8      | 34,6      |
| TAY651 | LAmx                    | A         | 7 000,0   | 97,9    | 91,2    | 86,7    | 82,0     | 74,4     | 66,0     | 60,1     | 53,4      | 46,6      | 40,1      |
| TAY651 | LAmx                    | D         | 9 000,0   | 101,2   | 94,6    | 90,1    | 85,4     | 77,8     | 69,4     | 63,3     | 56,6      | 49,8      | 43,3      |
| TAY651 | LAmx                    | D         | 11 000,0  | 104,0   | 97,4    | 92,9    | 88,2     | 80,6     | 72,2     | 66,2     | 59,4      | 52,5      | 45,9      |
| TAY651 | LAmx                    | D         | 13 000,0  | 108,4   | 101,8   | 97,4    | 92,7     | 85,1     | 76,8     | 70,8     | 64,4      | 57,9      | 51,7      |
| TAY651 | SEL                     | A         | 5 000,0   | 95,7    | 91,1    | 87,8    | 84,4     | 79,0     | 73,0     | 68,7     | 63,7      | 58,6      | 53,8      |
| TAY651 | SEL                     | A         | 7 000,0   | 100,5   | 96,1    | 93,1    | 89,8     | 84,5     | 78,4     | 73,9     | 68,7      | 63,4      | 58,4      |
| TAY651 | SEL                     | D         | 9 000,0   | 103,5   | 99,1    | 96,2    | 92,9     | 87,6     | 81,5     | 76,9     | 71,7      | 66,4      | 61,3      |
| TAY651 | SEL                     | D         | 11 000,0  | 106,3   | 101,9   | 98,9    | 95,7     | 90,4     | 84,3     | 79,7     | 74,3      | 68,8      | 63,6      |
| TAY651 | SEL                     | D         | 13 000,0  | 110,2   | 105,9   | 102,9   | 99,7     | 94,4     | 88,3     | 83,8     | 78,7      | 73,5      | 68,6      |
| TAYGIV | LAmx                    | A         | 2 000,0   | 86,0    | 79,9    | 75,6    | 71,0     | 63,7     | 55,8     | 50,3     | 44,5      | 38,4      | 32,4      |
| TAYGIV | LAmx                    | A         | 3 000,0   | 87,2    | 81,1    | 76,8    | 72,2     | 64,8     | 57,0     | 51,5     | 45,7      | 39,6      | 33,5      |
| TAYGIV | LAmx                    | A         | 4 000,0   | 88,5    | 82,4    | 78,1    | 73,5     | 66,2     | 58,3     | 52,8     | 47,0      | 40,9      | 34,9      |
| TAYGIV | LAmx                    | A         | 6 000,0   | 91,5    | 85,4    | 81,1    | 76,5     | 69,2     | 61,3     | 55,8     | 50,0      | 43,9      | 37,9      |
| TAYGIV | LAmx                    | A         | 8 000,0   | 95,1    | 88,9    | 84,7    | 80,0     | 72,7     | 64,8     | 59,4     | 53,6      | 47,4      | 41,4      |
| TAYGIV | LAmx                    | A         | 10 000,0  | 99,1    | 93,0    | 88,7    | 84,1     | 76,7     | 68,9     | 63,4     | 57,6      | 51,5      | 45,4      |

| NPD_ID | Mode de mesure du bruit | Type d'op | Paramètre puissance (le champ «paramètre puissance» du tableau «Avions» indique le type et l'unité du paramètre de puissance) | L_200ft | L_400ft | L_630ft | L_1000ft | L_2000ft | L_4000ft | L_6300ft | L_10000ft | L_16000ft | L_25000ft |
|--------|-------------------------|-----------|---|---------|---------|---------|----------|----------|----------|----------|-----------|-----------|-----------|
| TAYGIV | LAmax                   | D         | 2 000,0   | 86,0    | 79,9    | 75,6    | 71,0     | 63,7     | 55,8     | 50,3     | 44,5      | 38,4      | 32,4      |
| TAYGIV | LAmax                   | D         | 3 000,0   | 87,2    | 81,1    | 76,8    | 72,2     | 64,8     | 57,0     | 51,5     | 45,7      | 39,6      | 33,5      |
| TAYGIV | LAmax                   | D         | 4 000,0   | 88,5    | 82,4    | 78,1    | 73,5     | 66,2     | 58,3     | 52,8     | 47,0      | 40,9      | 34,9      |
| TAYGIV | LAmax                   | D         | 6 000,0   | 91,5    | 85,4    | 81,1    | 76,5     | 69,2     | 61,3     | 55,8     | 50,0      | 43,9      | 37,9      |
| TAYGIV | LAmax                   | D         | 8 000,0   | 95,1    | 88,9    | 84,7    | 80,0     | 72,7     | 64,8     | 59,4     | 53,6      | 47,4      | 41,4      |
| TAYGIV | LAmax                   | D         | 10 000,0  | 99,1    | 93,0    | 88,7    | 84,1     | 76,7     | 68,9     | 63,4     | 57,6      | 51,5      | 45,4      |
| TAYGIV | LAmax                   | D         | 11 000,0  | 101,0   | 95,0    | 91,0    | 86,0     | 79,0     | 71,0     | 65,5     | 60,0      | 54,0      | 47,5      |
| TAYGIV | LAmax                   | D         | 11 200,0  | 101,5   | 95,5    | 91,5    | 86,5     | 79,5     | 71,5     | 66,0     | 60,5      | 54,5      | 48,0      |
| TAYGIV | SEL                     | A         | 2 000,0   | 89,9    | 86,0    | 83,0    | 79,6     | 73,9     | 67,3     | 62,6     | 57,4      | 51,8      | 46,2      |
| TAYGIV | SEL                     | A         | 3 000,0   | 90,7    | 86,8    | 83,8    | 80,4     | 74,6     | 68,0     | 63,3     | 58,2      | 52,6      | 46,9      |
| TAYGIV | SEL                     | A         | 4 000,0   | 91,6    | 87,7    | 84,7    | 81,3     | 75,5     | 69,0     | 64,2     | 59,1      | 53,5      | 47,8      |
| TAYGIV | SEL                     | A         | 6 000,0   | 93,9    | 90,0    | 87,0    | 83,6     | 77,8     | 71,3     | 66,5     | 61,4      | 55,8      | 50,1      |
| TAYGIV | SEL                     | A         | 8 000,0   | 96,8    | 92,9    | 89,9    | 86,5     | 80,8     | 74,2     | 69,5     | 64,3      | 58,7      | 53,1      |
| TAYGIV | SEL                     | A         | 10 000,0  | 100,4   | 96,5    | 93,5    | 90,1     | 84,4     | 77,8     | 73,1     | 67,9      | 62,3      | 56,6      |
| TAYGIV | SEL                     | D         | 2 000,0   | 89,9    | 86,0    | 83,0    | 79,6     | 73,9     | 67,3     | 62,6     | 57,4      | 51,8      | 46,2      |
| TAYGIV | SEL                     | D         | 3 000,0   | 90,7    | 86,8    | 83,8    | 80,4     | 74,6     | 68,0     | 63,3     | 58,2      | 52,6      | 46,9      |
| TAYGIV | SEL                     | D         | 4 000,0   | 91,6    | 87,7    | 84,7    | 81,3     | 75,5     | 69,0     | 64,2     | 59,1      | 53,5      | 47,8      |
| TAYGIV | SEL                     | D         | 6 000,0   | 93,9    | 90,0    | 87,0    | 83,6     | 77,8     | 71,3     | 66,5     | 61,4      | 55,8      | 50,1      |
| TAYGIV | SEL                     | D         | 8 000,0   | 96,8    | 92,9    | 89,9    | 86,5     | 80,8     | 74,2     | 69,5     | 64,3      | 58,7      | 53,1      |
| TAYGIV | SEL                     | D         | 10 000,0  | 100,4   | 96,5    | 93,5    | 90,1     | 84,4     | 77,8     | 73,1     | 67,9      | 62,3      | 56,6      |

| NPD_ID | Mode de mesure du bruit | Type d'op | Paramètre puissance (le champ «paramètre puissance» du tableau «Avions» indique le type et l'unité du paramètre de puissance) | L_200ft | L_400ft | L_630ft | L_1000ft | L_2000ft | L_4000ft | L_6300ft | L_10000ft | L_16000ft | L_25000ft |
|--------|-------------------------|-----------|---|---------|---------|---------|----------|----------|----------|----------|-----------|-----------|-----------|
| TAYGIV | SEL                     | D         | 11 000,0  | 102,0   | 98,0    | 95,5    | 92,0     | 86,0     | 79,5     | 74,5     | 70,0      | 64,0      | 58,5      |
| TAYGIV | SEL                     | D         | 11 200,0  | 102,5   | 98,5    | 96,0    | 92,5     | 86,5     | 80,0     | 75,0     | 70,5      | 64,5      | 59,0      |
| TF7312 | LAmax                   | A         | 1 000,0   | 91,1    | 84,2    | 79,2    | 73,9     | 65,5     | 56,6     | 50,2     | 43,5      | 36,3      | 28,6      |
| TF7312 | LAmax                   | A         | 1 500,0   | 96,1    | 89,3    | 84,4    | 79,3     | 71,0     | 61,9     | 55,2     | 48,0      | 40,1      | 31,6      |
| TF7312 | LAmax                   | D         | 1 500,0   | 96,1    | 89,3    | 84,4    | 79,3     | 71,0     | 61,9     | 55,2     | 48,0      | 40,1      | 31,6      |
| TF7312 | LAmax                   | D         | 2 650,0   | 107,5   | 99,8    | 94,4    | 88,9     | 80,1     | 70,3     | 62,9     | 54,6      | 45,3      | 35,0      |
| TF7312 | SEL                     | A         | 1 000,0   | 93,7    | 89,0    | 85,6    | 81,8     | 75,6     | 68,9     | 64,1     | 58,8      | 53,1      | 46,9      |
| TF7312 | SEL                     | A         | 1 500,0   | 99,3    | 94,8    | 91,4    | 87,8     | 81,8     | 74,9     | 69,7     | 64,0      | 57,6      | 50,6      |
| TF7312 | SEL                     | D         | 1 500,0   | 99,3    | 94,8    | 91,4    | 87,8     | 81,8     | 74,9     | 69,7     | 64,0      | 57,6      | 50,6      |
| TF7312 | SEL                     | D         | 2 650,0   | 110,5   | 105,0   | 101,1   | 97,1     | 90,6     | 83,0     | 77,1     | 70,3      | 62,5      | 53,8      |
| TF7313 | LAmax                   | A         | 880,0   | 85,8    | 78,6    | 73,4    | 67,9     | 59,1     | 50,0     | 43,6     | 36,6      | 28,8      | 20,7      |
| TF7313 | LAmax                   | A         | 2 300,0   | 95,2    | 88,6    | 84,1    | 79,3     | 71,7     | 63,4     | 57,3     | 50,1      | 41,6      | 32,2      |
| TF7313 | LAmax                   | D         | 2 300,0   | 95,2    | 88,6    | 84,1    | 79,3     | 71,7     | 63,4     | 57,3     | 50,1      | 41,6      | 32,2      |
| TF7313 | LAmax                   | D         | 3 000,0   | 101,0   | 94,4    | 89,8    | 85,0     | 77,4     | 69,1     | 63,0     | 55,9      | 47,6      | 38,6      |
| TF7313 | SEL                     | A         | 880,0   | 87,1    | 82,9    | 79,8    | 76,4     | 70,8     | 64,3     | 59,3     | 53,8      | 47,6      | 41,0      |
| TF7313 | SEL                     | A         | 2 300,0   | 95,9    | 92,0    | 89,3    | 86,3     | 81,3     | 75,4     | 70,8     | 65,1      | 58,1      | 50,2      |
| TF7313 | SEL                     | D         | 2 300,0   | 95,9    | 92,0    | 89,3    | 86,3     | 81,3     | 75,4     | 70,8     | 65,1      | 58,1      | 50,2      |
| TF7313 | SEL                     | D         | 3 000,0   | 103,4   | 99,4    | 96,4    | 93,8     | 88,8     | 82,9     | 78,3     | 72,7      | 65,9      | 58,3      |
| TIO540 | LAmax                   | A         | 1 900,0   | 77,7    | 70,8    | 65,6    | 61,2     | 54,5     | 47,5     | 42,6     | 37,3      | 31,4      | 25,3      |
| TIO540 | LAmax                   | A         | 2 300,0   | 83,6    | 77,1    | 72,7    | 68,1     | 60,9     | 53,4     | 48,1     | 42,5      | 36,3      | 29,8      |

| NPD_ID | Mode de mesure du bruit | Type d'op | Paramètre puissance (le champ «paramètre puissance» du tableau «Avions» indique le type et l'unité du paramètre de puissance) | L_200ft | L_400ft | L_630ft | L_1000ft | L_2000ft | L_4000ft | L_6300ft | L_10000ft | L_16000ft | L_25000ft |
|--------|-------------------------|-----------|---|---------|---------|---------|----------|----------|----------|----------|-----------|-----------|-----------|
| TIO540 | LAmax                   | D         | 2 400,0   | 85,2    | 78,7    | 74,4    | 69,9     | 62,8     | 55,5     | 50,4     | 45,0      | 39,0      | 32,7      |
| TIO540 | LAmax                   | D         | 2 500,0   | 89,5    | 83,1    | 78,8    | 74,3     | 67,3     | 60,1     | 55,1     | 49,7      | 43,7      | 37,4      |
| TIO540 | SEL                     | A         | 1 900,0   | 78,6    | 74,8    | 72,3    | 69,7     | 65,9     | 61,7     | 58,6     | 55,1      | 50,9      | 46,4      |
| TIO540 | SEL                     | A         | 2 300,0   | 84,3    | 80,8    | 78,4    | 75,9     | 71,8     | 67,3     | 64,0     | 60,3      | 55,7      | 50,6      |
| TIO540 | SEL                     | D         | 2 400,0   | 86,0    | 82,5    | 80,1    | 77,5     | 73,5     | 69,0     | 65,7     | 62,1      | 57,7      | 52,9      |
| TIO540 | SEL                     | D         | 2 500,0   | 88,9    | 85,4    | 82,9    | 80,4     | 76,4     | 72,0     | 68,8     | 65,2      | 61,0      | 56,2      |
| TIO542 | LAmax                   | A         | 2 380,0   | 85,1    | 78,8    | 74,6    | 70,2     | 63,4     | 56,2     | 51,1     | 45,4      | 39,2      | 32,5      |
| TIO542 | LAmax                   | A         | 2 400,0   | 86,8    | 80,5    | 76,3    | 71,9     | 65,0     | 57,6     | 52,3     | 46,5      | 40,1      | 33,4      |
| TIO542 | LAmax                   | D         | 2 190,0   | 85,9    | 79,4    | 75,0    | 70,5     | 63,4     | 56,0     | 51,0     | 45,6      | 39,7      | 33,6      |
| TIO542 | LAmax                   | D         | 2 280,0   | 88,2    | 81,7    | 77,4    | 72,8     | 65,7     | 58,1     | 53,0     | 47,4      | 41,4      | 35,0      |
| TIO542 | LAmax                   | D         | 2 500,0   | 92,1    | 85,7    | 81,3    | 76,7     | 69,4     | 61,7     | 56,2     | 50,3      | 43,8      | 37,0      |
| TIO542 | SEL                     | A         | 2 380,0   | 85,2    | 81,6    | 79,3    | 76,8     | 72,9     | 68,4     | 65,2     | 61,5      | 57,1      | 52,4      |
| TIO542 | SEL                     | A         | 2 400,0   | 86,8    | 83,2    | 80,9    | 78,4     | 74,3     | 69,8     | 66,4     | 62,5      | 58,0      | 53,2      |
| TIO542 | SEL                     | D         | 2 190,0   | 87,8    | 84,1    | 81,6    | 78,8     | 74,4     | 69,5     | 66,0     | 62,1      | 57,9      | 53,3      |
| TIO542 | SEL                     | D         | 2 280,0   | 89,5    | 85,6    | 82,9    | 80,2     | 75,7     | 70,9     | 67,4     | 63,5      | 59,1      | 54,3      |
| TIO542 | SEL                     | D         | 2 500,0   | 93,1    | 89,4    | 87,0    | 84,3     | 80,0     | 75,0     | 71,4     | 67,3      | 62,4      | 57,2      |
| TPE331 | LAmax                   | A         | 30,0  | 83,9    | 77,6    | 73,4    | 69,0     | 62,1     | 54,6     | 49,0     | 42,8      | 35,6      | 27,0      |
| TPE331 | LAmax                   | A         | 100,0   | 88,4    | 82,3    | 78,2    | 74,0     | 67,5     | 60,5     | 55,4     | 49,8      | 43,5      | 36,4      |
| TPE331 | LAmax                   | D         | 30,0  | 83,9    | 77,6    | 73,4    | 69,0     | 62,1     | 54,6     | 49,0     | 42,8      | 35,6      | 27,0      |
| TPE331 | LAmax                   | D         | 100,0   | 88,4    | 82,3    | 78,2    | 74,0     | 67,5     | 60,5     | 55,4     | 49,8      | 43,5      | 36,4      |

| NPD_ID   | Mode de mesure du bruit | Type d'op | Paramètre puissance (le champ «paramètre puissance» du tableau «Avions» indique le type et l'unité du paramètre de puissance) | L_200ft | L_400ft | L_630ft | L_1000ft | L_2000ft | L_4000ft | L_6300ft | L_10000ft | L_16000ft | L_25000ft |
|----------|-------------------------|-----------|---|---------|---------|---------|----------|----------|----------|----------|-----------|-----------|-----------|
| TPE331   | SEL                     | A         | 30,0  | 84,3    | 80,2    | 77,4    | 74,6     | 69,9     | 64,7     | 60,6     | 55,9      | 50,2      | 43,7      |
| TPE331   | SEL                     | A         | 100,0   | 88,5    | 84,6    | 82,0    | 79,3     | 75,0     | 70,3     | 66,7     | 62,7      | 57,9      | 52,2      |
| TPE331   | SEL                     | D         | 30,0  | 84,3    | 80,2    | 77,4    | 74,6     | 69,9     | 64,7     | 60,6     | 55,9      | 50,2      | 43,7      |
| TPE331   | SEL                     | D         | 100,0   | 88,5    | 84,6    | 82,0    | 79,3     | 75,0     | 70,3     | 66,7     | 62,7      | 57,9      | 52,2      |
| TPE331-5 | LAmax                   | A         | 300,0   | 85,5    | 78,8    | 74,3    | 69,5     | 61,8     | 53,5     | 47,6     | 41,1      | 33,7      | 26,0      |
| TPE331-5 | LAmax                   | A         | 306,0   | 85,5    | 78,8    | 74,3    | 69,5     | 61,8     | 53,5     | 47,6     | 41,1      | 33,7      | 26,0      |
| TPE331-5 | LAmax                   | A         | 460,0   | 84,2    | 77,5    | 73,0    | 68,2     | 60,5     | 52,2     | 46,2     | 39,5      | 32,1      | 24,5      |
| TPE331-5 | LAmax                   | D         | 1 491,0   | 86,9    | 80,5    | 76,1    | 71,5     | 64,3     | 56,6     | 51,1     | 45,3      | 39,1      | 32,9      |
| TPE331-5 | LAmax                   | D         | 1 791,0   | 88,1    | 81,6    | 77,2    | 72,6     | 65,3     | 57,3     | 51,5     | 45,2      | 38,4      | 31,5      |
| TPE331-5 | LAmax                   | D         | 1 800,0   | 88,1    | 81,6    | 77,2    | 72,6     | 65,3     | 57,3     | 51,5     | 45,2      | 38,4      | 31,5      |
| TPE331-5 | SEL                     | A         | 300,0   | 88,5    | 84,1    | 81,1    | 77,8     | 72,4     | 66,4     | 61,9     | 56,9      | 51,0      | 44,8      |
| TPE331-5 | SEL                     | A         | 306,0   | 88,5    | 84,1    | 81,1    | 77,8     | 72,4     | 66,4     | 61,9     | 56,9      | 51,0      | 44,8      |
| TPE331-5 | SEL                     | A         | 460,0   | 86,7    | 82,3    | 79,3    | 76,0     | 70,6     | 64,5     | 59,9     | 54,8      | 48,9      | 42,7      |
| TPE331-5 | SEL                     | D         | 1 491,0   | 89,7    | 85,5    | 82,6    | 79,6     | 74,6     | 69,1     | 65,1     | 60,8      | 56,2      | 51,4      |
| TPE331-5 | SEL                     | D         | 1 791,0   | 89,9    | 85,7    | 82,8    | 79,7     | 74,6     | 68,9     | 64,6     | 59,8      | 54,5      | 49,1      |
| TPE331-5 | SEL                     | D         | 1 800,0   | 89,9    | 85,7    | 82,8    | 79,7     | 74,6     | 68,9     | 64,6     | 59,8      | 54,5      | 49,1      |
| TRENT5   | LAmax                   | A         | 3 000,0   | 94,6    | 88,1    | 83,3    | 78,3     | 70,5     | 61,8     | 55,6     | 48,7      | 41,1      | 33,2      |
| TRENT5   | LAmax                   | A         | 5 000,0   | 95,6    | 88,8    | 84,0    | 78,9     | 70,9     | 62,1     | 55,8     | 48,9      | 41,2      | 33,3      |
| TRENT5   | LAmax                   | A         | 7 000,0   | 96,2    | 89,6    | 84,6    | 79,5     | 71,3     | 62,6     | 56,3     | 49,3      | 41,7      | 33,9      |
| TRENT5   | LAmax                   | A         | 9 000,0   | 97,2    | 90,7    | 85,7    | 80,5     | 72,2     | 63,2     | 56,8     | 49,8      | 42,1      | 34,1      |

| NPD_ID | Mode de mesure du bruit | Type d'op | Paramètre puissance (le champ «paramètre puissance» du tableau «Avions» indique le type et l'unité du paramètre de puissance) | L_200ft | L_400ft | L_630ft | L_1000ft | L_2000ft | L_4000ft | L_6300ft | L_10000ft | L_16000ft | L_25000ft |
|--------|-------------------------|-----------|---|---------|---------|---------|----------|----------|----------|----------|-----------|-----------|-----------|
| TRENT5 | LAmax                   | D         | 30 000,0  | 104,0   | 96,3    | 91,0    | 85,5     | 77,0     | 67,8     | 61,1     | 53,8      | 45,9      | 37,8      |
| TRENT5 | LAmax                   | D         | 35 000,0  | 104,8   | 97,3    | 92,2    | 86,9     | 78,6     | 69,5     | 62,8     | 55,7      | 47,8      | 39,7      |
| TRENT5 | LAmax                   | D         | 40 000,0  | 105,8   | 98,5    | 93,5    | 88,3     | 80,1     | 71,0     | 64,4     | 57,0      | 49,3      | 41,1      |
| TRENT5 | LAmax                   | D         | 47 000,0  | 107,8   | 100,4   | 95,4    | 90,3     | 82,2     | 73,2     | 66,6     | 59,3      | 51,3      | 43,0      |
| TRENT5 | SEL                     | A         | 3 000,0   | 99,0    | 94,3    | 91,0    | 87,7     | 82,3     | 76,1     | 71,5     | 66,3      | 60,4      | 53,9      |
| TRENT5 | SEL                     | A         | 5 000,0   | 99,6    | 94,8    | 91,6    | 88,2     | 82,7     | 76,4     | 71,8     | 66,5      | 60,5      | 54,1      |
| TRENT5 | SEL                     | A         | 7 000,0   | 100,5   | 95,5    | 92,3    | 88,8     | 83,3     | 76,9     | 72,2     | 66,9      | 60,9      | 54,4      |
| TRENT5 | SEL                     | A         | 9 000,0   | 101,5   | 96,4    | 93,1    | 89,5     | 83,9     | 77,5     | 72,8     | 67,5      | 61,4      | 54,9      |
| TRENT5 | SEL                     | D         | 30 000,0  | 104,9   | 100,0   | 97,0    | 93,6     | 88,2     | 82,0     | 77,4     | 72,0      | 65,9      | 59,0      |
| TRENT5 | SEL                     | D         | 35 000,0  | 106,0   | 101,4   | 98,4    | 95,1     | 89,8     | 83,7     | 79,2     | 73,8      | 67,6      | 60,9      |
| TRENT5 | SEL                     | D         | 40 000,0  | 107,1   | 102,7   | 99,7    | 96,5     | 91,4     | 85,4     | 80,9     | 75,6      | 69,4      | 62,7      |
| TRENT5 | SEL                     | D         | 47 000,0  | 108,6   | 104,4   | 101,5   | 98,4     | 93,3     | 87,3     | 82,8     | 77,6      | 71,6      | 65,1      |
| TRENT7 | LAmax                   | A         | 4 000,0   | 93,6    | 86,6    | 81,9    | 77,1     | 69,4     | 61,2     | 55,3     | 48,7      | 41,2      | 33,4      |
| TRENT7 | LAmax                   | A         | 12 000,0  | 95,1    | 88,1    | 83,3    | 78,4     | 70,7     | 62,3     | 56,2     | 49,4      | 41,8      | 33,8      |
| TRENT7 | LAmax                   | D         | 31 000,0  | 102,6   | 95,4    | 90,6    | 85,5     | 77,3     | 68,0     | 61,1     | 53,3      | 45,0      | 36,6      |
| TRENT7 | LAmax                   | D         | 41 000,0  | 102,6   | 95,3    | 90,5    | 85,4     | 77,4     | 68,5     | 62,0     | 54,7      | 46,6      | 38,1      |
| TRENT7 | LAmax                   | D         | 52 000,0  | 105,6   | 98,5    | 93,8    | 88,8     | 80,8     | 72,0     | 65,5     | 58,3      | 50,2      | 41,8      |
| TRENT7 | LAmax                   | D         | 62 000,0  | 108,7   | 101,6   | 96,9    | 91,9     | 83,9     | 75,1     | 68,9     | 62,0      | 54,1      | 45,5      |
| TRENT7 | SEL                     | A         | 4 000,0   | 97,4    | 93,0    | 89,8    | 86,6     | 81,5     | 75,7     | 71,4     | 66,3      | 60,5      | 54,1      |
| TRENT7 | SEL                     | A         | 12 000,0  | 98,4    | 94,0    | 90,8    | 87,6     | 82,4     | 76,5     | 72,1     | 67,0      | 61,1      | 54,6      |

| NPD_ID | Mode de mesure du bruit | Type d'op | Paramètre puissance (le champ «paramètre puissance» du tableau «Avions» indique le type et l'unité du paramètre de puissance) | L_200ft | L_400ft | L_630ft | L_1000ft | L_2000ft | L_4000ft | L_6300ft | L_10000ft | L_16000ft | L_25000ft |
|--------|-------------------------|-----------|---|---------|---------|---------|----------|----------|----------|----------|-----------|-----------|-----------|
| TRENT7 | SEL                     | D         | 31 000,0  | 104,2   | 99,6    | 96,5    | 93,1     | 87,7     | 81,2     | 76,2     | 70,6      | 64,3      | 57,6      |
| TRENT7 | SEL                     | D         | 41 000,0  | 104,0   | 99,8    | 96,9    | 93,7     | 88,3     | 82,2     | 77,7     | 72,3      | 66,2      | 59,7      |
| TRENT7 | SEL                     | D         | 52 000,0  | 106,4   | 102,4   | 99,6    | 96,6     | 91,5     | 85,5     | 81,1     | 75,9      | 69,9      | 63,4      |
| TRENT7 | SEL                     | D         | 62 000,0  | 109,1   | 105,1   | 102,4   | 99,5     | 94,6     | 88,9     | 84,5     | 79,4      | 73,4      | 67,3      |
| TRENT8 | LAmax                   | A         | 7 000,0   | 93,6    | 85,9    | 80,9    | 75,9     | 68,1     | 59,5     | 53,3     | 46,7      | 39,2      | 30,3      |
| TRENT8 | LAmax                   | A         | 14 000,0  | 96,4    | 88,7    | 83,6    | 78,3     | 70,1     | 61,2     | 54,9     | 48,2      | 40,6      | 31,8      |
| TRENT8 | LAmax                   | A         | 22 000,0  | 98,7    | 90,8    | 85,6    | 80,2     | 71,8     | 62,8     | 56,5     | 49,7      | 42,0      | 33,1      |
| TRENT8 | LAmax                   | A         | 28 000,0  | 100,2   | 91,9    | 86,7    | 81,3     | 72,9     | 63,8     | 57,5     | 50,8      | 43,2      | 34,4      |
| TRENT8 | LAmax                   | D         | 32 000,0  | 100,4   | 93,4    | 88,5    | 83,3     | 74,9     | 65,7     | 59,4     | 52,6      | 44,8      | 35,6      |
| TRENT8 | LAmax                   | D         | 42 000,0  | 102,1   | 95,3    | 90,6    | 85,5     | 77,2     | 68,1     | 61,9     | 55,3      | 47,7      | 38,6      |
| TRENT8 | LAmax                   | D         | 52 000,0  | 103,8   | 97,1    | 92,5    | 87,5     | 79,3     | 70,4     | 64,3     | 57,8      | 50,3      | 41,3      |
| TRENT8 | LAmax                   | D         | 62 000,0  | 105,7   | 99,0    | 94,4    | 89,6     | 81,6     | 72,9     | 66,9     | 60,4      | 52,8      | 43,8      |
| TRENT8 | LAmax                   | D         | 72 000,0  | 107,9   | 101,3   | 96,9    | 92,1     | 84,6     | 76,2     | 70,3     | 63,8      | 56,3      | 47,4      |
| TRENT8 | LAmax                   | D         | 80 000,0  | 110,5   | 104,0   | 99,6    | 95,1     | 88,0     | 80,3     | 74,4     | 67,9      | 60,5      | 52,0      |
| TRENT8 | SEL                     | A         | 7 000,0   | 97,4    | 92,1    | 88,8    | 85,3     | 80,0     | 74,0     | 69,6     | 64,8      | 59,3      | 52,8      |
| TRENT8 | SEL                     | A         | 14 000,0  | 99,6    | 94,6    | 91,3    | 87,8     | 82,2     | 75,9     | 71,2     | 66,2      | 60,4      | 53,7      |
| TRENT8 | SEL                     | A         | 22 000,0  | 101,6   | 96,7    | 93,3    | 89,7     | 83,9     | 77,4     | 72,7     | 67,6      | 61,8      | 55,2      |
| TRENT8 | SEL                     | A         | 28 000,0  | 103,1   | 97,9    | 94,5    | 90,8     | 84,9     | 78,3     | 73,6     | 68,6      | 63,0      | 56,6      |
| TRENT8 | SEL                     | D         | 32 000,0  | 102,6   | 98,4    | 95,3    | 91,8     | 85,9     | 79,1     | 74,2     | 69,1      | 63,5      | 57,2      |
| TRENT8 | SEL                     | D         | 42 000,0  | 104,5   | 100,4   | 97,4    | 94,0     | 88,2     | 81,5     | 76,8     | 71,9      | 66,5      | 60,4      |

| NPD_ID | Mode de mesure du bruit | Type d'op | Paramètre puissance (le champ «paramètre puissance» du tableau «Avions» indique le type et l'unité du paramètre de puissance) | L_200ft | L_400ft | L_630ft | L_1000ft | L_2000ft | L_4000ft | L_6300ft | L_10000ft | L_16000ft | L_25000ft |
|--------|-------------------------|-----------|---|---------|---------|---------|----------|----------|----------|----------|-----------|-----------|-----------|
| TRENT8 | SEL                     | D         | 52 000,0  | 106,1   | 102,1   | 99,2    | 95,9     | 90,3     | 83,9     | 79,3     | 74,4      | 69,1      | 63,1      |
| TRENT8 | SEL                     | D         | 62 000,0  | 107,6   | 103,8   | 101,0   | 97,8     | 92,4     | 86,2     | 81,7     | 77,0      | 71,6      | 65,3      |
| TRENT8 | SEL                     | D         | 72 000,0  | 109,5   | 105,8   | 103,1   | 100,1    | 95,0     | 89,2     | 84,9     | 80,2      | 74,8      | 68,3      |
| TRENT8 | SEL                     | D         | 80 000,0  | 111,6   | 108,0   | 105,4   | 102,7    | 98,0     | 92,7     | 88,7     | 84,2      | 78,7      | 72,0      |
| TRENT9 | LAmax                   | A         | 4 000,0   | 93,1    | 86,6    | 82,2    | 77,5     | 69,9     | 61,4     | 55,3     | 48,6      | 41,2      | 33,5      |
| TRENT9 | LAmax                   | A         | 6 000,0   | 93,4    | 86,8    | 82,3    | 77,6     | 70,0     | 61,5     | 55,5     | 48,8      | 41,4      | 33,6      |
| TRENT9 | LAmax                   | A         | 9 000,0   | 93,9    | 87,2    | 82,6    | 77,9     | 70,3     | 61,8     | 55,7     | 49,1      | 41,6      | 33,9      |
| TRENT9 | LAmax                   | A         | 13 000,0  | 94,2    | 87,7    | 83,2    | 78,5     | 71,0     | 62,5     | 56,4     | 49,7      | 42,1      | 34,3      |
| TRENT9 | LAmax                   | D         | 40 000,0  | 98,9    | 92,4    | 87,8    | 83,0     | 75,1     | 66,4     | 60,2     | 53,3      | 45,6      | 37,4      |
| TRENT9 | LAmax                   | D         | 50 000,0  | 101,1   | 94,9    | 90,3    | 85,5     | 77,6     | 68,9     | 62,7     | 55,8      | 48,2      | 40,1      |
| TRENT9 | LAmax                   | D         | 60 000,0  | 104,1   | 98,0    | 93,5    | 88,6     | 80,8     | 72,0     | 65,7     | 58,7      | 50,9      | 42,7      |
| TRENT9 | LAmax                   | D         | 80 000,0  | 107,0   | 101,2   | 97,0    | 92,3     | 84,6     | 76,0     | 69,8     | 62,8      | 55,0      | 46,8      |
| TRENT9 | SEL                     | A         | 4 000,0   | 98,5    | 93,7    | 90,5    | 87,2     | 82,0     | 76,0     | 71,5     | 66,4      | 60,6      | 54,3      |
| TRENT9 | SEL                     | A         | 6 000,0   | 98,7    | 93,8    | 90,6    | 87,3     | 82,1     | 76,1     | 71,6     | 66,6      | 60,8      | 54,5      |
| TRENT9 | SEL                     | A         | 9 000,0   | 99,2    | 94,2    | 91,0    | 87,7     | 82,4     | 76,4     | 72,0     | 66,9      | 61,1      | 54,8      |
| TRENT9 | SEL                     | A         | 13 000,0  | 99,8    | 95,0    | 91,8    | 88,5     | 83,2     | 77,3     | 72,8     | 67,7      | 61,7      | 55,2      |
| TRENT9 | SEL                     | D         | 40 000,0  | 102,7   | 98,2    | 95,0    | 91,6     | 86,3     | 80,3     | 75,8     | 70,8      | 64,9      | 58,5      |
| TRENT9 | SEL                     | D         | 50 000,0  | 104,7   | 100,4   | 97,4    | 94,1     | 88,9     | 83,0     | 79,0     | 73,6      | 67,8      | 61,4      |
| TRENT9 | SEL                     | D         | 60 000,0  | 107,5   | 103,5   | 100,6   | 97,4     | 92,2     | 86,2     | 81,8     | 76,7      | 70,8      | 64,4      |
| TRENT9 | SEL                     | D         | 80 000,0  | 110,3   | 106,6   | 103,7   | 100,7    | 95,7     | 89,9     | 85,5     | 80,4      | 74,6      | 68,4      |

| NPD_ID | Mode de mesure du bruit | Type d'op | Paramètre puissance (le champ «paramètre puissance» du tableau «Avions» indique le type et l'unité du paramètre de puissance) | L_200ft | L_400ft | L_630ft | L_1000ft | L_2000ft | L_4000ft | L_6300ft | L_10000ft | L_16000ft | L_25000ft |
|--------|-------------------------|-----------|---|---------|---------|---------|----------|----------|----------|----------|-----------|-----------|-----------|
| TSIO52 | LAmax                   | A         | 30,0  | 83,1    | 76,9    | 72,6    | 68,3     | 61,5     | 54,1     | 48,7     | 42,8      | 36,4      | 29,5      |
| TSIO52 | LAmax                   | A         | 100,0   | 95,4    | 89,1    | 84,9    | 80,5     | 73,7     | 66,3     | 60,9     | 55,1      | 48,8      | 42,0      |
| TSIO52 | LAmax                   | D         | 30,0  | 83,1    | 76,9    | 72,6    | 68,3     | 61,5     | 54,1     | 48,7     | 42,8      | 36,4      | 29,5      |
| TSIO52 | LAmax                   | D         | 100,0   | 95,4    | 89,1    | 84,9    | 80,5     | 73,7     | 66,3     | 60,9     | 55,1      | 48,8      | 42,0      |
| TSIO52 | SEL                     | A         | 30,0  | 84,6    | 80,6    | 77,9    | 75,1     | 70,5     | 65,3     | 61,4     | 57,1      | 52,2      | 46,8      |
| TSIO52 | SEL                     | A         | 100,0   | 97,6    | 93,6    | 90,9    | 88,0     | 83,4     | 78,3     | 74,4     | 70,1      | 65,3      | 59,9      |
| TSIO52 | SEL                     | D         | 30,0  | 84,6    | 80,6    | 77,9    | 75,1     | 70,5     | 65,3     | 61,4     | 57,1      | 52,2      | 46,8      |
| TSIO52 | SEL                     | D         | 100,0   | 97,6    | 93,6    | 90,9    | 88,0     | 83,4     | 78,3     | 74,4     | 70,1      | 65,3      | 59,9      |
| V2522A | LAmax                   | A         | 2 000,0   | 89,7    | 83,1    | 78,5    | 73,4     | 65,3     | 56,3     | 49,8     | 42,6      | 34,5      | 26,3      |
| V2522A | LAmax                   | A         | 2 700,0   | 89,9    | 83,3    | 78,6    | 73,6     | 65,5     | 56,5     | 49,9     | 42,8      | 34,7      | 26,6      |
| V2522A | LAmax                   | A         | 6 000,0   | 91,8    | 85,0    | 80,0    | 74,8     | 66,6     | 57,6     | 51,0     | 43,7      | 35,5      | 27,2      |
| V2522A | LAmax                   | D         | 10 000,0  | 94,8    | 86,3    | 80,5    | 74,7     | 66,4     | 57,4     | 50,9     | 43,8      | 36,0      | 27,9      |
| V2522A | LAmax                   | D         | 14 000,0  | 96,6    | 88,4    | 83,2    | 78,2     | 70,3     | 61,5     | 55,1     | 47,9      | 39,8      | 31,5      |
| V2522A | LAmax                   | D         | 18 000,0  | 101,4   | 93,9    | 89,1    | 84,0     | 76,1     | 67,2     | 60,8     | 53,6      | 46,0      | 37,7      |
| V2522A | LAmax                   | D         | 21 000,0  | 103,1   | 95,8    | 91,0    | 86,1     | 78,2     | 69,4     | 63,2     | 56,3      | 48,6      | 40,5      |
| V2522A | SEL                     | A         | 2 000,0   | 93,7    | 89,5    | 86,3    | 82,8     | 77,0     | 70,6     | 65,6     | 60,2      | 53,9      | 47,2      |
| V2522A | SEL                     | A         | 2 700,0   | 93,9    | 89,7    | 86,4    | 82,9     | 77,1     | 70,7     | 65,8     | 60,4      | 54,0      | 47,4      |
| V2522A | SEL                     | A         | 6 000,0   | 95,6    | 91,3    | 87,9    | 84,1     | 78,2     | 71,5     | 66,7     | 61,2      | 54,7      | 47,9      |
| V2522A | SEL                     | D         | 10 000,0  | 94,9    | 90,1    | 86,7    | 83,3     | 77,9     | 71,7     | 67,0     | 61,7      | 55,7      | 49,1      |
| V2522A | SEL                     | D         | 14 000,0  | 98,2    | 94,0    | 90,9    | 87,6     | 82,1     | 75,7     | 71,0     | 65,4      | 59,2      | 52,6      |

| NPD_ID | Mode de mesure du bruit | Type d'op | Paramètre puissance (le champ «paramètre puissance» du tableau «Avions» indique le type et l'unité du paramètre de puissance) | L_200ft | L_400ft | L_630ft | L_1000ft | L_2000ft | L_4000ft | L_6300ft | L_10000ft | L_16000ft | L_25000ft |
|--------|-------------------------|-----------|---|---------|---------|---------|----------|----------|----------|----------|-----------|-----------|-----------|
| V2522A | SEL                     | D         | 18 000,0  | 102,6   | 98,6    | 95,6    | 92,5     | 87,2     | 81,1     | 76,6     | 71,3      | 65,3      | 58,9      |
| V2522A | SEL                     | D         | 21 000,0  | 103,9   | 100,0   | 97,1    | 94,1     | 89,0     | 83,0     | 78,7     | 73,6      | 67,8      | 61,7      |
| V2525  | LAmax                   | A         | 3 000,0   | 89,2    | 83,0    | 78,2    | 73,7     | 66,0     | 57,5     | 51,0     | 44,1      | 36,5      | 28,3      |
| V2525  | LAmax                   | A         | 6 950,0   | 91,0    | 84,5    | 80,0    | 75,0     | 67,7     | 58,9     | 53,0     | 46,0      | 38,2      | 30,0      |
| V2525  | LAmax                   | D         | 10 500,0  | 93,1    | 86,5    | 82,0    | 77,2     | 69,9     | 61,1     | 55,3     | 48,7      | 41,2      | 33,4      |
| V2525  | LAmax                   | D         | 13 150,0  | 95,2    | 88,8    | 84,0    | 79,5     | 72,1     | 63,5     | 57,9     | 51,0      | 43,8      | 36,0      |
| V2525  | LAmax                   | D         | 18 500,0  | 100,0   | 93,4    | 88,8    | 84,0     | 76,7     | 68,1     | 62,2     | 56,0      | 48,6      | 40,8      |
| V2525  | LAmax                   | D         | 23 000,0  | 104,8   | 98,5    | 93,9    | 89,0     | 81,8     | 73,3     | 67,8     | 61,0      | 53,5      | 45,4      |
| V2525  | SEL                     | A         | 3 000,0   | 91,9    | 88,5    | 85,4    | 81,9     | 76,7     | 71,2     | 66,9     | 61,7      | 55,7      | 49,1      |
| V2525  | SEL                     | A         | 6 950,0   | 94,3    | 90,2    | 86,6    | 83,5     | 78,3     | 72,8     | 68,4     | 63,7      | 57,5      | 51,5      |
| V2525  | SEL                     | D         | 10 500,0  | 95,8    | 91,6    | 88,5    | 85,3     | 80,2     | 74,7     | 70,2     | 65,7      | 59,5      | 54,1      |
| V2525  | SEL                     | D         | 13 150,0  | 98,1    | 94,0    | 91,0    | 87,9     | 82,7     | 76,9     | 72,7     | 68,2      | 62,7      | 56,7      |
| V2525  | SEL                     | D         | 18 500,0  | 102,4   | 98,5    | 95,7    | 92,7     | 87,7     | 82,2     | 78,2     | 73,2      | 67,8      | 61,7      |
| V2525  | SEL                     | D         | 23 000,0  | 106,2   | 102,7   | 99,7    | 97,0     | 92,2     | 86,7     | 82,7     | 78,0      | 72,7      | 66,5      |
| V2527A | LAmax                   | A         | 2 000,0   | 89,3    | 82,8    | 78,2    | 73,4     | 65,8     | 57,4     | 51,2     | 44,4      | 36,7      | 28,6      |
| V2527A | LAmax                   | A         | 2 700,0   | 89,5    | 83,0    | 78,3    | 73,5     | 65,8     | 57,4     | 51,3     | 44,4      | 36,7      | 28,6      |
| V2527A | LAmax                   | A         | 6 000,0   | 91,6    | 84,7    | 79,5    | 74,2     | 66,5     | 58,0     | 51,9     | 45,0      | 37,2      | 29,1      |
| V2527A | LAmax                   | D         | 10 000,0  | 94,8    | 86,3    | 80,5    | 74,8     | 66,5     | 57,6     | 51,1     | 44,0      | 36,2      | 28,2      |
| V2527A | LAmax                   | D         | 14 000,0  | 96,7    | 88,6    | 83,5    | 78,4     | 70,5     | 61,7     | 55,3     | 48,1      | 40,1      | 31,8      |
| V2527A | LAmax                   | D         | 19 000,0  | 101,2   | 93,9    | 89,0    | 84,0     | 76,1     | 67,3     | 61,1     | 54,1      | 46,3      | 38,2      |

| NPD_ID | Mode de mesure du bruit | Type d'op | Paramètre puissance (le champ «paramètre puissance» du tableau «Avions» indique le type et l'unité du paramètre de puissance) | L_200ft | L_400ft | L_630ft | L_1000ft | L_2000ft | L_4000ft | L_6300ft | L_10000ft | L_16000ft | L_25000ft |
|--------|-------------------------|-----------|---|---------|---------|---------|----------|----------|----------|----------|-----------|-----------|-----------|
| V2527A | LAmax                   | D         | 23 000,0  | 104,0   | 96,9    | 92,2    | 87,3     | 79,4     | 70,8     | 64,7     | 57,9      | 50,3      | 42,0      |
| V2527A | SEL                     | A         | 2 000,0   | 93,1    | 89,1    | 86,1    | 82,9     | 77,7     | 71,7     | 67,1     | 61,9      | 55,8      | 49,2      |
| V2527A | SEL                     | A         | 2 700,0   | 93,3    | 89,2    | 86,2    | 83,0     | 77,7     | 71,8     | 67,2     | 62,0      | 55,8      | 49,3      |
| V2527A | SEL                     | A         | 6 000,0   | 94,7    | 90,5    | 87,4    | 83,9     | 78,5     | 72,3     | 67,7     | 62,5      | 56,3      | 49,7      |
| V2527A | SEL                     | D         | 10 000,0  | 95,0    | 90,2    | 86,8    | 83,5     | 78,1     | 71,8     | 67,2     | 61,9      | 55,9      | 49,4      |
| V2527A | SEL                     | D         | 14 000,0  | 98,3    | 93,9    | 90,9    | 87,6     | 82,1     | 75,8     | 71,1     | 65,6      | 59,4      | 52,8      |
| V2527A | SEL                     | D         | 19 000,0  | 102,5   | 98,4    | 95,5    | 92,3     | 87,2     | 81,1     | 76,7     | 71,5      | 65,7      | 59,4      |
| V2527A | SEL                     | D         | 23 000,0  | 104,6   | 100,7   | 98,0    | 95,0     | 90,0     | 84,3     | 80,0     | 75,1      | 69,5      | 63,3      |
| V2530  | LAmax                   | A         | 2 000,0   | 91,8    | 84,4    | 79,6    | 74,5     | 66,3     | 57,2     | 50,5     | 43,2      | 35,2      | 26,9      |
| V2530  | LAmax                   | A         | 6 000,0   | 93,3    | 86,1    | 81,2    | 75,9     | 67,6     | 58,5     | 51,8     | 44,4      | 36,2      | 27,8      |
| V2530  | LAmax                   | D         | 13 000,0  | 96,8    | 88,3    | 83,2    | 78,2     | 70,3     | 61,4     | 54,9     | 47,6      | 39,6      | 31,3      |
| V2530  | LAmax                   | D         | 18 000,0  | 99,6    | 92,1    | 87,3    | 82,3     | 74,3     | 65,4     | 59,0     | 51,9      | 44,1      | 35,9      |
| V2530  | LAmax                   | D         | 22 000,0  | 103,3   | 96,1    | 91,4    | 86,4     | 78,5     | 69,8     | 63,6     | 56,9      | 49,2      | 41,1      |
| V2530  | LAmax                   | D         | 27 000,0  | 107,0   | 100,0   | 95,3    | 90,4     | 82,6     | 74,2     | 68,1     | 61,5      | 54,0      | 45,8      |
| V2530  | SEL                     | A         | 2 000,0   | 94,6    | 90,2    | 86,9    | 83,4     | 77,7     | 71,2     | 66,2     | 60,5      | 54,3      | 47,6      |
| V2530  | SEL                     | A         | 6 000,0   | 96,0    | 91,4    | 88,1    | 84,6     | 78,8     | 72,3     | 67,4     | 61,7      | 55,4      | 48,6      |
| V2530  | SEL                     | D         | 13 000,0  | 98,3    | 94,3    | 91,2    | 87,8     | 82,2     | 75,8     | 71,0     | 65,5      | 59,2      | 52,5      |
| V2530  | SEL                     | D         | 18 000,0  | 100,8   | 96,8    | 93,8    | 90,7     | 85,4     | 79,4     | 74,8     | 69,5      | 63,6      | 57,1      |
| V2530  | SEL                     | D         | 22 000,0  | 104,1   | 100,1   | 97,3    | 94,3     | 89,3     | 83,5     | 79,1     | 74,0      | 68,4      | 62,2      |
| V2530  | SEL                     | D         | 27 000,0  | 107,5   | 103,5   | 100,9   | 98,0     | 93,2     | 87,6     | 83,4     | 78,6      | 73,0      | 67,1      |

Tableau I-10

## Classes spectrales

| N° de la classe spectrale | Type d'opération | Description  | L <sub>-50Hz</sub> | L <sub>-63Hz</sub> | L <sub>-80Hz</sub> | L <sub>-100Hz</sub> | L <sub>-125Hz</sub> | L <sub>-160Hz</sub> | L <sub>-200Hz</sub> | L <sub>-250Hz</sub> | L <sub>-315Hz</sub> | L <sub>-400Hz</sub> | L <sub>-500Hz</sub> |
|---------------------------|------------------|--|--------------------|--------------------|--------------------|---------------------|---------------------|---------------------|---------------------|---------------------|---------------------|---------------------|---------------------|
| 101                       | Départ           | Bi-/trimoteur- faible taux de dilution — turboréacteur dble flux | 59,5               | 61,6               | 62,8               | 73,1                | 80,8                | 78,3                | 72,3                | 75,8                | 75,9                | 73,6                | 71,8                |
| 102                       | Départ           | Bimoteur- fort taux de dilution — turboréacteur dble flux        | 59,7               | 60,0               | 68,5               | 73,0                | 73,8                | 70,4                | 67,6                | 71,4                | 68,7                | 72,8                | 73,2                |
| 103                       | Départ           | Bimoteur- fort taux de dilution — turboréacteur dble flux        | 56,7               | 66,1               | 70,1               | 72,8                | 76,6                | 73,0                | 74,5                | 77,0                | 75,3                | 72,2                | 72,2                |
| 104                       | Départ           | Bimoteur- faible/fort taux de dilution — turboréacteur           | 57,3               | 56,3               | 61,5               | 67,7                | 71,4                | 73,7                | 67,0                | 72,1                | 73,8                | 74,1                | 71,3                |
| 105                       | Départ           | Bimoteur- fort taux de dilution — turboréacteur dble flux        | 66,5               | 60,4               | 67,1               | 75,0                | 78,2                | 79,3                | 71,5                | 76,7                | 74,4                | 74,6                | 72,3                |
| 106                       | Départ           | Quadrimoteur- turboréacteur dble flux+Supersonique               | 62,5               | 57,4               | 66,9               | 73,7                | 75,5                | 74,0                | 71,4                | 73,4                | 73,4                | 75,7                | 75,8                |
| 107                       | Départ           | Quadrimoteur- turboréacteur dble flux                            | 58,6               | 62,7               | 69,1               | 74,1                | 76,0                | 74,3                | 74,1                | 74,4                | 74,0                | 73,6                | 73,2                |
| 108                       | Départ           | Quadrimoteur- turboréacteur dble flux                            | 66,2               | 66,2               | 66,2               | 72,2                | 80,8                | 67,9                | 67,6                | 72,0                | 70,0                | 70,7                | 71,1                |
| 109                       | Départ           | Bimoteur à turbopropulsion+Mono-/bimoteur à piston               | 64,7               | 67,1               | 73,1               | 89,4                | 84,5                | 76,3                | 89,3                | 80,7                | 79,3                | 79,3                | 81,6                |
| 110                       | Départ           | Bimoteur à turbopropulsion+Quadrimoteur à piston                 | 71,4               | 69,9               | 79,9               | 87,4                | 76,5                | 80,9                | 86,2                | 86,0                | 85,6                | 81,2                | 76,8                |
| 111                       | Départ           | Bimoteur à turbopropulsion                                       | 78,0               | 76,0               | 90,0               | 103,0               | 82,0                | 85,0                | 97,0                | 89,0                | 94,0                | 80,0                | 79,0                |

| N° de la classe spectrale | Type d'opération | Description  | L_50Hz | L_63Hz | L_80Hz | L_100Hz | L_125Hz | L_160Hz | L_200Hz | L_250Hz | L_315Hz | L_400Hz | L_500Hz |
|---------------------------|------------------|--|--------|--------|--------|---------|---------|---------|---------|---------|---------|---------|---------|
| 112                       | Départ           | Bi-/quadrimoteur à turbopropulsion                                 | 74,0   | 95,0   | 92,0   | 75,0    | 96,0    | 90,0    | 74,9    | 78,0    | 75,0    | 75,0    | 74,1    |
| 113                       | Départ           | Bimoteur- turboréacteur+turboréacteur à dble flux- Affaires        | 58,5   | 57,9   | 60,7   | 67,0    | 71,2    | 72,6    | 70,3    | 72,7    | 72,9    | 73,5    | 72,8    |
| 136                       | Départ           | Bimoteur-turboréacteur à dble flux- Affaires                       | 59,7   | 60,0   | 68,5   | 73,0    | 73,8    | 70,4    | 67,6    | 71,4    | 68,7    | 72,8    | 73,2    |
| 137                       | Départ           | Bimoteur-turboréacteur à dble flux- Affaires                       | 58,6   | 62,7   | 69,1   | 74,1    | 76,0    | 74,3    | 74,1    | 74,4    | 74,0    | 73,6    | 73,2    |
| 138                       | Départ           | Bimoteur-turboréacteur à dble flux- Affaires                       | 66,2   | 66,2   | 66,2   | 72,2    | 80,8    | 67,9    | 67,6    | 72,0    | 70,0    | 70,7    | 71,1    |
| 201                       | Approche         | Bi-/trimoteur- faible taux de dilution — turboréacteur dble flux   | 64,9   | 65,5   | 66,2   | 66,7    | 73,0    | 77,6    | 74,8    | 70,7    | 76,6    | 72,5    | 74,4    |
| 202                       | Approche         | Bimoteur-faible/for taux de dilution — turboréacteur à dble flux   | 68,5   | 68,5   | 68,5   | 68,4    | 68,5    | 70,9    | 73,3    | 67,3    | 72,6    | 72,5    | 72,1    |
| 203                       | Approche         | Bimoteur- fort taux de dilution — turboréacteur dble flux+affaires | 67,3   | 68,9   | 69,6   | 70,0    | 70,2    | 74,0    | 74,7    | 73,1    | 71,3    | 74,1    | 72,9    |
| 204                       | Approche         | Bimoteur- faible/fort taux de dilution — turboréacteur             | 58,8   | 57,1   | 59,4   | 68,0    | 72,8    | 73,7    | 69,1    | 72,3    | 74,8    | 75,6    | 73,6    |
| 205                       | Approche         | Bimoteur- fort taux de dilution — turboréacteur dble flux          | 68,3   | 60,7   | 64,6   | 67,4    | 78,4    | 74,8    | 71,4    | 72,4    | 72,0    | 72,4    | 71,6    |
| 206                       | Approche         | Quadrimoteur — turboréacteur+ turboréacteur à dble flux            | 63,3   | 65,4   | 64,1   | 63,2    | 66,0    | 66,6    | 69,6    | 70,1    | 71,5    | 67,1    | 71,0    |
| 207                       | Approche         | Quadrimoteur- turboréacteur dble flux                              | 67,0   | 61,1   | 62,7   | 64,1    | 70,4    | 74,4    | 71,8    | 68,4    | 76,3    | 72,3    | 73,5    |

| N° de la classe spectrale | Type d'opération | Description   | L_50Hz | L_63Hz | L_80Hz | L_100Hz | L_125Hz | L_160Hz | L_200Hz | L_250Hz | L_315Hz | L_400Hz | L_500Hz |
|---------------------------|------------------|---|--------|--------|--------|---------|---------|---------|---------|---------|---------|---------|---------|
| 208                       | Approche         | Quadrimoteur — turboréacteur+ turboréacteur à dble flux | 66,7   | 65,0   | 61,7   | 65,4    | 72,9    | 76,2    | 73,0    | 68,1    | 72,7    | 70,7    | 72,1    |
| 209                       | Approche         | Quadrimoteur- turboréacteur dble flux                   | 60,0   | 59,0   | 60,0   | 69,0    | 71,0    | 70,0    | 69,0    | 69,0    | 69,0    | 69,0    | 70,0    |
| 210                       | Approche         | Bimoteur à turbopropulsion                              | 65,0   | 70,0   | 65,0   | 72,0    | 77,0    | 68,0    | 78,0    | 85,0    | 86,0    | 79,0    | 73,0    |
| 211                       | Approche         | Bimoteur à turbopropulsion                              | 71,3   | 65,4   | 74,7   | 88,1    | 77,1    | 80,3    | 86,9    | 80,0    | 86,8    | 78,2    | 75,5    |
| 212                       | Approche         | Bimoteur à turbopropulsion                              | 72,0   | 68,0   | 79,0   | 71,0    | 73,0    | 84,0    | 74,0    | 75,0    | 73,0    | 72,0    | 71,0    |
| 213                       | Approche         | Quadrimoteur — turbopropulsion + piston                 | 64,0   | 73,0   | 76,0   | 71,0    | 82,0    | 83,0    | 67,0    | 71,0    | 70,0    | 69,0    | 69,0    |
| 214                       | Approche         | Bi-/quadrimoteur à turbopropulsion                      | 61,8   | 69,8   | 61,8   | 58,8    | 67,8    | 70,8    | 62,8    | 59,8    | 62,8    | 60,8    | 60,8    |
| 215                       | Approche         | Mono-/bimoteur à piston                                 | 83,0   | 98,0   | 83,0   | 79,0    | 91,0    | 80,0    | 85,0    | 76,0    | 75,0    | 73,0    | 72,0    |
| 216                       | Approche         | Bimoteur — turboréacteur+turboréacteur dble flux        | 68,0   | 63,1   | 64,7   | 71,2    | 74,3    | 75,0    | 70,3    | 72,6    | 72,1    | 73,3    | 71,3    |
| 235                       | Approche         | Bimoteur-turboréacteur à dble flux-Affaires             | 67,3   | 68,9   | 69,6   | 70,0    | 70,2    | 74,0    | 74,7    | 73,1    | 71,3    | 74,1    | 72,9    |
| 236                       | Approche         | Bimoteur-turboréacteur à dble flux-Affaires             | 62,7   | 64,8   | 63,5   | 62,6    | 65,4    | 66,0    | 69,0    | 69,5    | 70,8    | 66,5    | 70,4    |
| 237                       | Approche         | Bimoteur-turboréacteur à dble flux-Affaires             | 67,0   | 61,1   | 62,7   | 64,1    | 70,4    | 74,4    | 71,8    | 68,4    | 76,3    | 72,3    | 73,5    |
| 238                       | Approche         | Bimoteur-turboréacteur à dble flux-Affaires             | 60,0   | 59,0   | 60,0   | 69,0    | 71,0    | 70,0    | 69,0    | 69,0    | 69,0    | 69,0    | 70,0    |

| No de la classe spectrale | Type d'opération | Description  | L_50Hz | L_63Hz | L_80Hz | L_100Hz | L_125Hz | L_160Hz | L_200Hz | L_250Hz | L_315Hz | L_400Hz | L_500Hz | L_630Hz | L_800Hz | L_1000Hz | L_1250Hz | L_1600Hz | L_2000Hz | L_2500Hz | L_3150Hz | L_4000Hz | L_5000Hz | L_6300Hz | L_8000Hz | L_10000Hz |
|---------------------------|------------------|--|--------|--------|--------|---------|---------|---------|---------|---------|---------|---------|---------|---------|---------|----------|----------|----------|----------|----------|----------|----------|----------|----------|----------|-----------|
|                           |                  |  |        |        |        |         |         |         |         |         |         |         |         |         |         |          |          |          |          |          |          |          |          |          |          |           |
| 101                       | Départ           | Bi-/trimoteur-faible taux de dilution — turbo-réacteur dble flux | 59,5   | 61,6   | 62,8   | 73,1    | 80,8    | 78,3    | 72,3    | 75,8    | 75,9    | 73,6    | 71,8    | 71,6    | 72,3    | 70,0     | 68,3     | 66,6     | 64,2     | 61,4     | 58,6     | 54,8     | 50,9     | 45,7     | 43,9     | 40,9      |
| 102                       | Départ           | Bimoteur- fort taux de dilution — turboréacteur dble flux        | 59,7   | 60,0   | 68,5   | 73,0    | 73,8    | 70,4    | 67,6    | 71,4    | 68,7    | 72,8    | 73,2    | 73,0    | 72,9    | 70,0     | 68,0     | 67,3     | 62,3     | 61,4     | 58,0     | 58,8     | 58,7     | 46,7     | 44,2     | 44,1      |
| 103                       | Départ           | Bimoteur- fort taux de dilution — turboréacteur dble flux        | 56,7   | 66,1   | 70,1   | 72,8    | 76,6    | 73,0    | 74,5    | 77,0    | 75,3    | 72,2    | 72,2    | 71,2    | 70,2    | 70,0     | 69,6     | 71,1     | 70,6     | 67,1     | 63,4     | 63,5     | 58,2     | 51,5     | 42,3     | 37,7      |
| 104                       | Départ           | Bimoteur- faible/ fort taux de dilution — turboréacteur          | 57,3   | 56,3   | 61,5   | 67,7    | 71,4    | 73,7    | 67,0    | 72,1    | 73,8    | 74,1    | 71,3    | 70,4    | 70,9    | 70,0     | 68,2     | 67,3     | 63,4     | 60,9     | 56,6     | 53,2     | 47,8     | 40,5     | 31,7     | 27,9      |
| 105                       | Départ           | Bimoteur- fort taux de dilution — turboréacteur dble flux        | 66,5   | 60,4   | 67,1   | 75,0    | 78,2    | 79,3    | 71,5    | 76,7    | 74,4    | 74,6    | 72,3    | 71,9    | 71,1    | 70,0     | 69,0     | 68,8     | 67,0     | 65,5     | 63,4     | 59,2     | 53,8     | 50,0     | 44,7     | 38,2      |
| 106                       | Départ           | Quadrimoteur-turboréacteur dble flux+Supersonic                  | 62,5   | 57,4   | 66,9   | 73,7    | 75,5    | 74,0    | 71,4    | 73,4    | 73,4    | 75,7    | 75,8    | 74,1    | 71,6    | 70,0     | 68,9     | 68,2     | 66,4     | 63,5     | 62,5     | 62,5     | 59,2     | 53,7     | 48,1     | 41,2      |
| 107                       | Départ           | Quadrimoteur-turboréacteur dble flux                             | 58,6   | 62,7   | 69,1   | 74,1    | 76,0    | 74,3    | 74,1    | 74,4    | 74,0    | 73,6    | 73,2    | 72,3    | 71,7    | 70,0     | 69,1     | 69,4     | 69,6     | 73,6     | 67,7     | 63,1     | 58,3     | 51,5     | 44,2     | 34,7      |
| 108                       | Départ           | Quadrimoteur-turboréacteur dble flux                             | 66,2   | 66,2   | 66,2   | 72,2    | 80,8    | 67,9    | 67,6    | 72,0    | 70,0    | 70,7    | 71,1    | 68,9    | 71,1    | 70,0     | 68,3     | 67,5     | 65,4     | 63,6     | 63,9     | 64,8     | 62,1     | 59,3     | 54,6     | 47,3      |
| 109                       | Départ           | Bimoteur à turbo-propulsion +Mono-/bimoteur à piston             | 64,7   | 67,1   | 73,1   | 89,4    | 84,5    | 76,3    | 89,3    | 80,7    | 79,3    | 79,3    | 81,6    | 80,3    | 76,4    | 70,0     | 65,0     | 61,9     | 59,8     | 57,3     | 55,6     | 52,7     | 50,9     | 44,8     | 36,3     | 28,4      |

| No de la classe spectrale | Type d'opération | Description  | L_50Hz | L_63Hz | L_80Hz | L_100Hz | L_125Hz | L_160Hz | L_200Hz | L_250Hz | L_315Hz | L_400Hz | L_500Hz | ZH09_1 | ZH008_1 | ZH1000Hz | ZH1250Hz | ZH009_1 | ZH0002_1 | ZH0002_1 | ZH0002_1 | ZH0005_1 | ZH0009_1 | ZH0008_1 | ZH00001_1 |      |
|---------------------------|------------------|--|--------|--------|--------|---------|---------|---------|---------|---------|---------|---------|---------|--------|---------|----------|----------|---------|----------|----------|----------|----------|----------|----------|-----------|------|
| 110                       | Départ           | Bimoteur à turbo-propulsion+Quadrimoteur à piston                | 71,4   | 69,9   | 79,9   | 87,4    | 76,5    | 80,9    | 86,2    | 86,0    | 85,6    | 81,2    | 76,8    | 74,5   | 73,2    | 70,0     | 69,5     | 69,2    | 67,2     | 65,4     | 63,2     | 60,2     | 58,4     | 51,4     | 40,4      | 29,0 |
| 111                       | Départ           | Bimoteur à turbo-propulsion                                      | 78,0   | 76,0   | 90,0   | 103,0   | 82,0    | 85,0    | 97,0    | 89,0    | 94,0    | 80,0    | 79,0    | 79,0   | 75,0    | 70,0     | 68,0     | 64,0    | 62,0     | 58,0     | 57,0     | 53,0     | 48,0     | 43,0     | 38,0      | 33,0 |
| 112                       | Départ           | Bi-/quadrimoteur à turbopropulsion                               | 74,0   | 95,0   | 92,0   | 75,0    | 96,0    | 90,0    | 74,9    | 78,0    | 75,0    | 75,0    | 74,1    | 74,0   | 72,0    | 70,0     | 71,0     | 72,0    | 71,0     | 70,0     | 66,0     | 64,0     | 60,0     | 54,0     | 46,0      | 39,9 |
| 113                       | Départ           | Bimoteur- turbo-réacteur+turbo-réacteur à dble flux- Affaires    | 58,5   | 57,9   | 60,7   | 67,0    | 71,2    | 72,6    | 70,3    | 72,7    | 72,9    | 73,5    | 72,8    | 72,0   | 71,3    | 70,0     | 68,9     | 67,1    | 64,5     | 63,0     | 60,2     | 55,8     | 52,1     | 45,1     | 38,8      | 29,6 |
| 136                       | Départ           | Bimoteur-turbo-réacteur à dble flux- Affaires                    | 59,7   | 60,0   | 68,5   | 73,0    | 73,8    | 70,4    | 67,6    | 71,4    | 68,7    | 72,8    | 73,2    | 73,0   | 72,9    | 70,0     | 68,0     | 67,3    | 62,3     | 61,4     | 58,0     | 58,8     | 58,7     | 46,7     | 44,2      | 44,1 |
| 137                       | Départ           | Bimoteur-turbo-réacteur à dble flux- Affaires                    | 58,6   | 62,7   | 69,1   | 74,1    | 76,0    | 74,3    | 74,1    | 74,4    | 74,0    | 73,6    | 73,2    | 72,3   | 71,7    | 70,0     | 69,1     | 69,4    | 69,6     | 73,6     | 67,7     | 63,1     | 58,3     | 51,5     | 44,2      | 34,7 |
| 138                       | Départ           | Bimoteur-turbo-réacteur à dble flux- Affaires                    | 66,2   | 66,2   | 66,2   | 72,2    | 80,8    | 67,9    | 67,6    | 72,0    | 70,0    | 70,7    | 71,1    | 68,9   | 71,1    | 70,0     | 68,3     | 67,5    | 65,4     | 63,6     | 63,9     | 64,8     | 62,1     | 59,3     | 54,6      | 47,3 |
| 201                       | Approche         | Bi-/trimoteur-faible taux de dilution — turbo-réacteur dble flux | 64,9   | 65,5   | 66,2   | 66,7    | 73,0    | 77,6    | 74,8    | 70,7    | 76,6    | 72,5    | 74,4    | 73,6   | 70,9    | 70,0     | 69,2     | 67,8    | 66,5     | 68,0     | 63,0     | 60,0     | 57,6     | 56,3     | 54,6      | 45,8 |
| 202                       | Approche         | Bimoteur-faible/for taux de dilution — turboréacteur à dble flux | 68,5   | 68,5   | 68,5   | 68,4    | 68,5    | 70,9    | 73,3    | 67,3    | 72,6    | 72,5    | 72,1    | 75,4   | 75,4    | 70,0     | 68,9     | 68,3    | 65,8     | 64,7     | 63,5     | 62,1     | 60,2     | 57,8     | 48,6      | 38,8 |

| No de la classe spectrale | Type d'opération | Description  | L_50Hz | L_63Hz | L_80Hz | L_100Hz | L_125Hz | L_160Hz | L_200Hz | L_250Hz | L_315Hz | L_400Hz | L_500Hz | L_630Hz | L_800Hz | L_1000Hz | L_1250Hz | L_1600Hz | L_2000Hz | L_2500Hz | L_3150Hz | L_4000Hz | L_5000Hz | L_6300Hz | L_8000Hz | L_10000Hz |
|---------------------------|------------------|--|--------|--------|--------|---------|---------|---------|---------|---------|---------|---------|---------|---------|---------|----------|----------|----------|----------|----------|----------|----------|----------|----------|----------|-----------|
|                           |                  |  |        |        |        |         |         |         |         |         |         |         |         |         |         |          |          |          |          |          |          |          |          |          |          |           |
| 203                       | Approche         | Bimoteur- fort taux de dilution — turboréacteur dble flux+affaires | 67,3   | 68,9   | 69,6   | 70,0    | 70,2    | 74,0    | 74,7    | 73,1    | 71,3    | 74,1    | 72,9    | 73,1    | 71,6    | 70,0     | 70,4     | 67,4     | 67,4     | 70,8     | 69,7     | 72,1     | 64,2     | 56,4     | 49,6     | 38,9      |
| 204                       | Approche         | Bimoteur- faible/ fort taux de dilution — turboréacteur            | 58,8   | 57,1   | 59,4   | 68,0    | 72,8    | 73,7    | 69,1    | 72,3    | 74,8    | 75,6    | 73,6    | 72,1    | 72,1    | 70,0     | 66,3     | 63,6     | 59,9     | 57,5     | 54,8     | 51,8     | 48,8     | 45,8     | 42,8     | 39,8      |
| 205                       | Approche         | Bimoteur- fort taux de dilution — turboréacteur dble flux          | 68,3   | 60,7   | 64,6   | 67,4    | 78,4    | 74,8    | 71,4    | 72,4    | 72,0    | 72,4    | 71,6    | 72,0    | 71,0    | 70,0     | 68,9     | 67,2     | 65,8     | 64,4     | 63,0     | 62,0     | 60,6     | 54,4     | 48,5     | 39,0      |
| 206                       | Approche         | Quadrimoteur — turboréacteur+ turboréacteur à dble flux            | 63,3   | 65,4   | 64,1   | 63,2    | 66,0    | 66,6    | 69,6    | 70,1    | 71,5    | 67,1    | 71,0    | 70,4    | 71,8    | 70,0     | 69,6     | 66,6     | 62,9     | 62,0     | 62,7     | 59,1     | 58,8     | 53,3     | 50,2     | 40,6      |
| 207                       | Approche         | Quadrimoteur- turboréacteur dble flux                              | 67,0   | 61,1   | 62,7   | 64,1    | 70,4    | 74,4    | 71,8    | 68,4    | 76,3    | 72,3    | 73,5    | 71,2    | 70,5    | 70,0     | 68,7     | 67,1     | 67,5     | 69,4     | 71,1     | 72,5     | 65,7     | 59,3     | 52,2     | 45,6      |
| 208                       | Approche         | Quadrimoteur — turboréacteur+ turboréacteur à dble flux            | 66,7   | 65,0   | 61,7   | 65,4    | 72,9    | 76,2    | 73,0    | 68,1    | 72,7    | 70,7    | 72,1    | 70,1    | 69,0    | 70,0     | 70,9     | 70,2     | 70,6     | 81,3     | 73,7     | 62,8     | 62,6     | 56,0     | 49,6     | 37,9      |
| 209                       | Approche         | Quadrimoteur- turboréacteur dble flux                              | 60,0   | 59,0   | 60,0   | 69,0    | 71,0    | 70,0    | 69,0    | 69,0    | 69,0    | 69,0    | 70,0    | 69,0    | 69,0    | 70,0     | 72,0     | 77,0     | 72,0     | 72,0     | 70,0     | 66,0     | 63,0     | 57,0     | 49,0     | 38,0      |
| 210                       | Approche         | Bimoteur à turbo-propulsion  | 65,0   | 70,0   | 65,0   | 72,0    | 77,0    | 68,0    | 78,0    | 85,0    | 86,0    | 79,0    | 73,0    | 76,0    | 71,0    | 70,0     | 68,0     | 68,0     | 65,0     | 63,0     | 60,0     | 56,0     | 53,0     | 52,0     | 42,0     | 28,0      |
| 211                       | Approche         | Bimoteur à turbo-propulsion  | 71,3   | 65,4   | 74,7   | 88,1    | 77,1    | 80,3    | 86,9    | 80,0    | 86,8    | 78,2    | 75,5    | 75,2    | 71,6    | 70,0     | 70,7     | 69,6     | 68,6     | 67,5     | 67,0     | 63,9     | 59,9     | 53,0     | 45,7     | 40,0      |
| 212                       | Approche         | Bimoteur à turbo-propulsion  | 72,0   | 68,0   | 79,0   | 71,0    | 73,0    | 84,0    | 74,0    | 75,0    | 73,0    | 72,0    | 71,0    | 77,0    | 73,0    | 70,0     | 77,0     | 75,0     | 72,0     | 70,0     | 71,0     | 83,0     | 75,0     | 57,0     | 54,0     | 45,0      |

| No de la classe spectrale | Type d'opération | Description                                      | L_50Hz | L_63Hz | L_80Hz | L_100Hz | L_125Hz | L_160Hz | L_200Hz | L_250Hz | L_315Hz | L_400Hz | L_500Hz | L_630_1 | L_800_1 | L_1000Hz | L_1250Hz | L_1600_1 | L_2000_1 | L_2500_1 | L_3150_1 | L_4000_1 | L_5000_1 | L_6300_1 | L_8000_1 | L_10000_1 |
|---------------------------|------------------|--|--------|--------|--------|---------|---------|---------|---------|---------|---------|---------|---------|---------|---------|----------|----------|----------|----------|----------|----------|----------|----------|----------|----------|-----------|
| 213                       | Approche         | Quadrimoteur — turbopropulsion + piston          | 64,0   | 73,0   | 76,0   | 71,0    | 82,0    | 83,0    | 67,0    | 71,0    | 70,0    | 69,0    | 69,0    | 68,0    | 67,0    | 70,0     | 69,0     | 67,0     | 64,0     | 60,0     | 57,0     | 54,0     | 49,0     | 42,0     | 32,0     | 20,0      |
| 214                       | Approche         | Bi-/quadrimoteur à turbopropulsion               | 61,8   | 69,8   | 61,8   | 58,8    | 67,8    | 70,8    | 62,8    | 59,8    | 62,8    | 60,8    | 60,8    | 59,8    | 60,8    | 70,0     | 67,8     | 61,8     | 59,8     | 56,8     | 52,8     | 49,8     | 47,8     | 45,8     | 35,8     | 27,8      |
| 215                       | Approche         | Mono-/bimoteur à piston                          | 83,0   | 98,0   | 83,0   | 79,0    | 91,0    | 80,0    | 85,0    | 76,0    | 75,0    | 73,0    | 72,0    | 73,0    | 71,0    | 70,0     | 68,0     | 66,0     | 65,0     | 64,0     | 60,0     | 57,0     | 53,0     | 49,0     | 43,0     | 32,0      |
| 216                       | Approche         | Bimoteur — turboréacteur+turboréacteur dble flux | 68,0   | 63,1   | 64,7   | 71,2    | 74,3    | 75,0    | 70,3    | 72,6    | 72,1    | 73,3    | 71,3    | 70,7    | 70,3    | 70,0     | 69,3     | 68,0     | 67,8     | 66,3     | 64,4     | 62,0     | 57,2     | 52,2     | 43,5     | 33,1      |
| 235                       | Approche         | Bimoteur-turboréacteur à dble flux- Affaires     | 67,3   | 68,9   | 69,6   | 70,0    | 70,2    | 74,0    | 74,7    | 73,1    | 71,3    | 74,1    | 72,9    | 73,1    | 71,6    | 70,0     | 70,4     | 67,4     | 67,4     | 70,8     | 69,7     | 72,1     | 64,2     | 56,4     | 49,6     | 38,9      |
| 236                       | Approche         | Bimoteur-turboréacteur à dble flux- Affaires     | 62,7   | 64,8   | 63,5   | 62,6    | 65,4    | 66,0    | 69,0    | 69,5    | 70,8    | 66,5    | 70,4    | 69,8    | 71,2    | 69,4     | 68,9     | 66,0     | 62,3     | 61,4     | 62,1     | 58,5     | 58,2     | 52,7     | 49,6     | 40,0      |
| 237                       | Approche         | Bimoteur-turboréacteur à dble flux- Affaires     | 67,0   | 61,1   | 62,7   | 64,1    | 70,4    | 74,4    | 71,8    | 68,4    | 76,3    | 72,3    | 73,5    | 71,2    | 70,5    | 70,0     | 68,7     | 67,1     | 67,5     | 69,4     | 71,1     | 72,5     | 65,7     | 59,3     | 52,2     | 45,6      |
| 238                       | Approche         | Bimoteur-turboréacteur à dble flux- Affaires     | 60,0   | 59,0   | 60,0   | 69,0    | 71,0    | 70,0    | 69,0    | 69,0    | 69,0    | 69,0    | 70,0    | 69,0    | 69,0    | 70,0     | 72,0     | 77,0     | 72,0     | 72,0     | 70,0     | 66,0     | 63,0     | 57,0     | 49,0     | 38,0      |

La présente section contient des données complémentaires pour les aéronefs de l'aviation générale

Données relatives aux GASEPF et aux GASEPV

Tableau I-11

Types d'aéronefs GASEPF et GASEPV

| ACFTID | Description                                | Type de moteur | Nbr de moteurs | Classe de poids | Catégorie de propriétaire | MassMax-Brute au décollage (lb) | MassMax-Brute à l'atterrissage (lb) | Distance max d'atterrissage (ft) | PousséeStatiquemax au niv de la mer (lb) | Chapitre bruit | NPD_ID | Paramètre de puissance | Identifiant de la classe spectrale à l'approche | Identifiant de la classe spectrale au départ | Identifiant de la directivité latérale |
|--------|--|----------------|----------------|-----------------|---------------------------|---------------------------------|-------------------------------------|----------------------------------|--|----------------|--------|------------------------|---|--|--|
| GASEPF | monomoteurs légers à hélice à pas fixe     | Piston         | 1              | faible          | Aviation générale         | 2 200                           | 2 200                               | 1 160                            | 560                                      | 0              | GASEPF | Pourcent               | 215   | 109  | Prop                                   |
| GASEPV | monomoteurs légers à hélice à pas variable | Piston         | 1              | faible          | Aviation générale         | 3 000                           | 3 000                               | 1 111                            | 790                                      | 0              | GASEPV | Pourcent               | 215   | 109  | Prop                                   |

(les données spectrales associées sont disponibles dans le tableau ANP «classes spectrales»)

Tableau I-12

Données de profil de vol au départ et à l'arrivée pour les aéronefs GASEPF et GASEPV

| ACFTID | Type d'opération | Profil_ID | Longueur d'étape | N° du point | Distance (ft) | Altitude AFE (ft) | Vitesse vraie (kt) | Pourcentage de la poussée statique maximale (%) |
|--------|------------------|-----------|------------------|-------------|---------------|-------------------|--------------------|---|
| GASEPF | A                | APP_3_DEG | 1                | 1           | - 114 486,8   | 6 000,0           | 109,4              | 34,21   |
| GASEPF | A                | APP_3_DEG | 1                | 2           | - 57 243,4    | 3 000,0           | 71,8               | 37,57   |
| GASEPF | A                | APP_3_DEG | 1                | 3           | - 28 621,7    | 1 500,0           | 60,0               | 40,59   |
| GASEPF | A                | APP_3_DEG | 1                | 4           | - 19 081,1    | 1 000,0           | 59,6               | 39,85   |
| GASEPF | A                | APP_3_DEG | 1                | 5           | 0,0           | 0,0               | 58,7               | 38,43   |
| GASEPF | A                | APP_3_DEG | 1                | 6           | 47,2          | 0,0               | 55,7               | 27,20   |

| ACFTID | Type d'opération | Profil_ID   | Longueur d'étape | N° du point | Distance (ft) | Altitude AFE (ft) | Vitesse vraie (kt) | Pourcentage de la poussée statique maximale (%) |
|--------|------------------|-------------|------------------|-------------|---------------|-------------------|--------------------|---|
| GASEPF | A                | APP_3_DEG   | 1                | 7           | 472,0         | 0,0               | 30,0               | 10,00   |
| GASEPF | A                | APP_5_DEG   | 1                | 1           | - 68 580,3    | 6 000,0           | 109,4              | 18,03   |
| GASEPF | A                | APP_5_DEG   | 1                | 2           | - 34 290,2    | 3 000,0           | 71,8               | 22,59   |
| GASEPF | A                | APP_5_DEG   | 1                | 3           | - 17 145,1    | 1 500,0           | 60,0               | 26,14   |
| GASEPF | A                | APP_5_DEG   | 1                | 4           | - 11 430,1    | 1 000,0           | 59,6               | 25,67   |
| GASEPF | A                | APP_5_DEG   | 1                | 5           | 0,0           | 0,0               | 58,7               | 24,75   |
| GASEPF | A                | APP_5_DEG   | 1                | 6           | 47,2          | 0,0               | 55,7               | 27,20   |
| GASEPF | A                | APP_5_DEG   | 1                | 7           | 472,0         | 0,0               | 30,0               | 10,00   |
| GASEPF | D                | DEFAULT_DEP | 1                | 1           | 0,0           | 0,0               | 0,0                | 113,06  |
| GASEPF | D                | DEFAULT_DEP | 1                | 2           | 972,8         | 0,0               | 62,1               | 113,06  |
| GASEPF | D                | DEFAULT_DEP | 1                | 3           | 2 077,9       | 51,4              | 73,1               | 96,32   |
| GASEPF | D                | DEFAULT_DEP | 1                | 4           | 13 665,7      | 1 000,0           | 74,1               | 98,31   |
| GASEPF | D                | DEFAULT_DEP | 1                | 5           | 16 079,7      | 1 097,7           | 84,3               | 86,65   |
| GASEPF | D                | DEFAULT_DEP | 1                | 6           | 17 079,7      | 1 155,4           | 84,4               | 81,16   |
| GASEPF | D                | DEFAULT_DEP | 1                | 7           | 49 057,1      | 3 000,0           | 86,8               | 84,60   |
| GASEPF | D                | DEFAULT_DEP | 1                | 8           | 97 253,2      | 5 500,0           | 90,1               | 89,42   |
| GASEPF | D                | DEFAULT_DEP | 1                | 9           | 140 694,0     | 7 500,0           | 92,9               | 93,53   |
| GASEPF | D                | DEFAULT_DEP | 1                | 10          | 202 700,4     | 10 000,0          | 96,6               | 99,04   |
| GASEPV | A                | APP_3_DEG   | 1                | 1           | - 114 486,8   | 6 000,0           | 109,4              | 24,34   |
| GASEPV | A                | APP_3_DEG   | 1                | 2           | - 57 243,4    | 3 000,0           | 79,4               | 26,37   |
| GASEPV | A                | APP_3_DEG   | 1                | 3           | - 28 621,7    | 1 500,0           | 67,5               | 45,05   |

| ACFTID | Type d'opération | Profil_ID   | Longueur d'étape | N° du point | Distance (ft) | Altitude AFE (ft) | Vitesse vraie (kt) | Pourcentage de la poussée statique maximale (%) |
|--------|------------------|-------------|------------------|-------------|---------------|-------------------|--------------------|---|
| GASEPV | A                | APP_3_DEG   | 1                | 4           | - 19 081,1    | 1 000,0           | 67,0               | 44,24   |
| GASEPV | A                | APP_3_DEG   | 1                | 5           | 0,0           | 0,0               | 66,0               | 42,66   |
| GASEPV | A                | APP_3_DEG   | 1                | 6           | 42,8          | 0,0               | 62,6               | 31,00   |
| GASEPV | A                | APP_3_DEG   | 1                | 7           | 428,0         | 0,0               | 30,0               | 10,00   |
| GASEPV | A                | APP_5_DEG   | 1                | 1           | - 68 580,3    | 6 000,0           | 109,4              | 8,70  |
| GASEPV | A                | APP_5_DEG   | 1                | 2           | - 34 290,2    | 3 000,0           | 79,4               | 12,04   |
| GASEPV | A                | APP_5_DEG   | 1                | 3           | - 17 145,1    | 1 500,0           | 67,5               | 31,28   |
| GASEPV | A                | APP_5_DEG   | 1                | 4           | - 11 430,1    | 1 000,0           | 67,0               | 30,72   |
| GASEPV | A                | APP_5_DEG   | 1                | 5           | 0,0           | 0,0               | 66,0               | 29,62   |
| GASEPV | A                | APP_5_DEG   | 1                | 6           | 42,8          | 0,0               | 62,6               | 31,00   |
| GASEPV | A                | APP_5_DEG   | 1                | 7           | 428,0         | 0,0               | 30,0               | 10,00   |
| GASEPV | D                | DEFAULT_DEP | 1                | 1           | 0,0           | 0,0               | 0,0                | 163,92  |
| GASEPV | D                | DEFAULT_DEP | 1                | 2           | 861,8         | 0,0               | 55,6               | 163,92  |
| GASEPV | D                | DEFAULT_DEP | 1                | 3           | 1 302,6       | 42,7              | 66,0               | 138,25  |
| GASEPV | D                | DEFAULT_DEP | 1                | 4           | 2 963,7       | 172,0             | 90,2               | 101,67  |
| GASEPV | D                | DEFAULT_DEP | 1                | 5           | 9 389,6       | 1 000,0           | 91,3               | 103,50  |
| GASEPV | D                | DEFAULT_DEP | 1                | 6           | 10 985,9      | 1 102,9           | 101,6              | 93,36   |
| GASEPV | D                | DEFAULT_DEP | 1                | 7           | 11 985,9      | 1 200,6           | 101,8              | 86,89   |
| GASEPV | D                | DEFAULT_DEP | 1                | 8           | 30 407,6      | 3 000,0           | 104,5              | 90,57   |
| GASEPV | D                | DEFAULT_DEP | 1                | 9           | 57 858,2      | 5 500,0           | 108,5              | 95,72   |
| GASEPV | D                | DEFAULT_DEP | 1                | 10          | 81 543,2      | 7 500,0           | 111,9              | 100,13  |
| GASEPV | D                | DEFAULT_DEP | 1                | 11          | 113 618,2     | 10 000,0          | 116,4              | 106,03  |

Tableau I-13

## Données NPD pour les avions GASEPF et GASEPV

| NPD_ID | Métrique du bruit | Type d'opération | Réglage de la puissance<br>— Pourcentage de la<br>poussée statique maximale (%) | L_200ft | L_400ft | L_630ft | L_1000ft | L_2000ft | L_4000ft | L_6300ft | L_10000ft | L_16000ft | L_25000ft |
|--------|-------------------|------------------|---|---------|---------|---------|----------|----------|----------|----------|-----------|-----------|-----------|
| GASEPF | LAmax             | A                | 30,00   | 72,2    | 65,9    | 61,6    | 57,2     | 50,3     | 43,1     | 38,0     | 32,7      | 27,0      | 20,9      |
| GASEPF | LAmax             | A                | 100,00  | 84,9    | 78,6    | 74,4    | 70,0     | 63,2     | 55,8     | 50,4     | 44,6      | 38,3      | 31,5      |
| GASEPF | LAmax             | D                | 30,00   | 72,2    | 65,9    | 61,6    | 57,2     | 50,3     | 43,1     | 38,0     | 32,7      | 27,0      | 20,9      |
| GASEPF | LAmax             | D                | 100,00  | 84,9    | 78,6    | 74,4    | 70,0     | 63,2     | 55,8     | 50,4     | 44,6      | 38,3      | 31,5      |
| GASEPF | SEL               | A                | 30,00   | 74,2    | 70,1    | 67,3    | 64,4     | 59,8     | 54,8     | 51,2     | 47,4      | 43,2      | 38,6      |
| GASEPF | SEL               | A                | 100,00  | 87,1    | 83,1    | 80,4    | 77,5     | 72,9     | 67,8     | 63,9     | 59,6      | 54,8      | 49,4      |
| GASEPF | SEL               | D                | 30,00   | 74,2    | 70,1    | 67,3    | 64,4     | 59,8     | 54,8     | 51,2     | 47,4      | 43,2      | 38,6      |
| GASEPF | SEL               | D                | 100,00  | 87,1    | 83,1    | 80,4    | 77,5     | 72,9     | 67,8     | 63,9     | 59,6      | 54,8      | 49,4      |
| GASEPV | LAmax             | A                | 30,00   | 82,8    | 73,9    | 69,6    | 65,2     | 58,3     | 51,1     | 46,0     | 40,7      | 35,0      | 28,9      |
| GASEPV | LAmax             | A                | 100,00  | 92,4    | 86,1    | 81,9    | 77,5     | 70,7     | 63,3     | 57,9     | 52,1      | 45,8      | 39,0      |
| GASEPV | LAmax             | D                | 30,00   | 82,8    | 73,9    | 69,6    | 65,2     | 58,3     | 51,1     | 46,0     | 40,7      | 35,0      | 28,9      |
| GASEPV | LAmax             | D                | 100,00  | 92,4    | 86,1    | 81,9    | 77,5     | 70,7     | 63,3     | 57,9     | 52,1      | 45,8      | 39,0      |
| GASEPV | SEL               | A                | 30,00   | 81,7    | 77,6    | 74,8    | 71,9     | 67,3     | 62,3     | 58,7     | 54,9      | 50,7      | 46,1      |
| GASEPV | SEL               | A                | 100,00  | 94,6    | 90,6    | 87,9    | 85,0     | 80,4     | 75,3     | 71,4     | 67,1      | 62,3      | 56,9      |
| GASEPV | SEL               | D                | 30,00   | 81,7    | 77,6    | 74,8    | 71,9     | 67,3     | 62,3     | 58,7     | 54,9      | 50,7      | 46,1      |
| GASEPV | SEL               | D                | 100,00  | 94,6    | 90,6    | 87,9    | 85,0     | 80,4     | 75,3     | 71,4     | 67,1      | 62,3      | 56,9      |

## Données relatives aux classes d'avions

| Groupe d'avions | Exemples de types d'avions (masse maximale au décollage)  |
|-----------------|---|
| P 1.0           | Dewald Sunny, Flightstar II, Ikarus C42, Quicksilver MXL II, Sherpa, Stratos, Tecnam P92 Echo           |
| P 1.1           | DG-400 (500 kg), Grob 109B (900 kg), H 36 Dimona (800 kg), Scheibe SF 25C (700 kg)                      |
| P 1.2           | DR 400/180R (1 000 kg), H 36 Dimona (800 kg), PZL-104 «Wilga 35» (1 200 kg), Scheibe SF 25 (700 kg)     |
| P 1.3           | DR 400/180R (1 000 kg), Cessna 172N (1 000 kg), Piper PA-28- 181 (1 200 kg), Piper PA-34-200 (1 900 kg) |

Les données de bruit et de performance des aéronefs des quatre classes sont présentées dans les tableaux suivants:

Tableau I-14

### Données relatives aux groupes de bruit pour les classes d'avions P 1.0, P 1.1, P 1.2, P 1.3

| NOISE_ID,C,12 | THRSET_TYP,C,1 | MODEL_TYPE,C,1 | SPECT_APP,N,3,0 | SPECT_DEP,N,3,0 | SPECT_AFB,N,3,0 |
|---------------|----------------|----------------|-----------------|-----------------|-----------------|
| P1.0          | P              | I              | 215             | 109             | 0               |
| P1.1          | P              | I              | 215             | 109             | 0               |
| P1.2          | P              | I              | 215             | 109             | 0               |
| P1.3          | P              | I              | 215             | 109             | 0               |

| ACFT_ID,C,12 | ACFT_DESCR,C,40                                     | WGT_CAT,C,1 | OWNER_CAT,C,1 | ENG_TYPE,C,1 | NOISE_CAT,C,1 | NOISE_ID,C,12 | NUMB_ENG,N,1,0 | THR_RESTOR,C,1 | MX_GW_TKO,N,7,0 | MX_GW_LND,N,7,0 | MX_DS_STOP,N,5,0 | COEFF_TYPE,C,1 | THR_STATIC,N,6,0 |
|--------------|---|-------------|---------------|--------------|---------------|---------------|----------------|----------------|-----------------|-----------------|------------------|----------------|------------------|
| P1.0         | Ultralégers   | S           | G             | P            | 0             | P1.0          | 1              | N              | 0               | 0               | 0                | P              | 100              |
| P1.1         | Motoplaneurs  | S           | G             | P            | 0             | P1.1          | 1              | N              | 0               | 0               | 0                | P              | 100              |
| P1.2         | avion remorqueur à hélice, masse max décollage <= 2 | S           | G             | P            | 0             | P1.2          | 1              | N              | 0               | 0               | 0                | P              | 100              |
| P1.3         | masse max décollage <= 2                            | S           | G             | P            | 0             | P1.3          | 1              | N              | 0               | 0               | 0                | P              | 100              |

Tableau I-15

**Données relatives au profil de vol au départ et à l'arrivée pour les classes d'avions P 1.0, P 1.1, P 1.2, P 1.3**

| ACFT_ID,C,12 | OP_TYPE,C,1 | PROF_ID1,C,8 | PROF_ID2,C,1 | WEIGHT,N,7,0 |
|--------------|-------------|--------------|--------------|--------------|
| P1.0         | A           | DEFAULT      | 1            | 100          |
| P1.0         | D           | DEFAULT      | 1            | 100          |
| P1.1         | A           | DEFAULT      | 1            | 100          |
| P1.1         | D           | DEFAULT      | 1            | 100          |
| P1.2         | A           | DEFAULT      | 1            | 100          |
| P1.2         | D           | DEFAULT      | 1            | 100          |
| P1.3         | A           | DEFAULT      | 1            | 100          |
| P1.3         | D           | DEFAULT      | 1            | 100          |

Tableau I-16

**Données relatives aux points de profil de bruit pour les classes d'avions P 1.0, P 1.1, P 1.2, P 1.3**

| ACFT_ID,C,12 | OP_TYPE,C,1 | PROF_ID1,C,8 | PROF_ID2,C,1 | PT_NUM,N,3,0 | DISTANCE,N,10,1 | ALTITUDE,N,7,1 | SPEED,N,5,1 | THR_SET,N,9,2 | OP_MODE,C,1 |
|--------------|-------------|--------------|--------------|--------------|-----------------|----------------|-------------|---------------|-------------|
| P1.0         | A           | DEFAULT      | 1            | 1            | - 114 486       | 6 000          | 50,5        | 70            | A           |
| P1.0         | A           | DEFAULT      | 1            | 2            | - 18 917,1      | 1 000          | 50,5        | 70            | A           |
| P1.0         | A           | DEFAULT      | 1            | 3            | - 15 636,3      | 828,1          | 50,5        | 70            | A           |
| P1.0         | A           | DEFAULT      | 1            | 4            | 164             | 0              | 50,5        | 70            | A           |
| P1.0         | A           | DEFAULT      | 1            | 5            | 656,2           | 0              | 19,4        | 30            | A           |
| P1.0         | D           | DEFAULT      | 1            | 1            | 0               | 0              | 19,4        | 100           | D           |
| P1.0         | D           | DEFAULT      | 1            | 2            | 328,1           | 0              | 62,2        | 100           | D           |
| P1.0         | D           | DEFAULT      | 1            | 3            | 12 986,3        | 1 000          | 62,2        | 100           | D           |

| ACFT_ID,C,12 | OP_TYPE,C,1 | PROF_ID1,C,8 | PROF_ID2,C,1 | PT_NUM,N,3,0 | DISTANCE,N,10,1 | ALTITUDE,N,7,1 | SPEED,N,5,1 | THR_SET,N,9,2 | OP_MODE,C,1 |
|--------------|-------------|--------------|--------------|--------------|-----------------|----------------|-------------|---------------|-------------|
| P1.0         | D           | DEFAULT      | 1            | 4            | 42 000          | 3 000          | 65          | 100           | D           |
| P1.0         | D           | DEFAULT      | 1            | 5            | 200 000         | 10 000         | 68          | 100           | D           |
| P1.1         | A           | DEFAULT      | 1            | 1            | - 114 486       | 6 000          | 50,5        | 70            | A           |
| P1.1         | A           | DEFAULT      | 1            | 2            | - 18 589        | 1 000          | 50,5        | 70            | A           |
| P1.1         | A           | DEFAULT      | 1            | 3            | - 15 308,2      | 828,1          | 50,5        | 70            | A           |
| P1.1         | A           | DEFAULT      | 1            | 4            | 492,1           | 0              | 50,5        | 70            | A           |
| P1.1         | A           | DEFAULT      | 1            | 5            | 656,2           | 0              | 19,4        | 30            | A           |
| P1.1         | D           | DEFAULT      | 1            | 1            | 0               | 0              | 19,4        | 100           | D           |
| P1.1         | D           | DEFAULT      | 1            | 2            | 656,2           | 0              | 66,1        | 100           | D           |
| P1.1         | D           | DEFAULT      | 1            | 3            | 13 314,4        | 1 000          | 66,1        | 100           | D           |
| P1.1         | D           | DEFAULT      | 1            | 4            | 43 000          | 3 000          | 70          | 100           | D           |
| P1.1         | D           | DEFAULT      | 1            | 5            | 200 000         | 10 000         | 73,9        | 100           | D           |
| P1.2         | A           | DEFAULT      | 1            | 1            | - 114 486       | 6 000          | 60,3        | 70            | A           |
| P1.2         | A           | DEFAULT      | 1            | 2            | - 18 589        | 1 000          | 60,3        | 70            | A           |
| P1.2         | A           | DEFAULT      | 1            | 3            | - 15 308,2      | 828,1          | 60,3        | 70            | A           |
| P1.2         | A           | DEFAULT      | 1            | 4            | 492,1           | 0              | 60,3        | 70            | A           |
| P1.2         | A           | DEFAULT      | 1            | 5            | 1 476,4         | 0              | 19,4        | 30            | A           |
| P1.2         | D           | DEFAULT      | 1            | 1            | 0               | 0              | 19,4        | 100           | D           |
| P1.2         | D           | DEFAULT      | 1            | 2            | 1 312,3         | 0              | 62,2        | 100           | D           |
| P1.2         | D           | DEFAULT      | 1            | 3            | 17 705,8        | 1 000          | 62,2        | 100           | D           |
| P1.2         | D           | DEFAULT      | 1            | 4            | 50 000          | 3 000          | 64          | 100           | D           |
| P1.2         | D           | DEFAULT      | 1            | 5            | 200 000         | 10 000         | 66,1        | 100           | D           |

| ACFT_ID,C,12 | OP_TYPE,C,1 | PROF_ID1,C,8 | PROF_ID2,C,1 | PT_NUM,N,3,0 | DISTANCE,N,10,1 | ALTITUDE,N,7,1 | SPEED,N,5,1 | THR_SET,N,9,2 | OP_MODE,C,1 |
|--------------|-------------|--------------|--------------|--------------|-----------------|----------------|-------------|---------------|-------------|
| P1.3         | A           | DEFAULT      | 1            | 1            | - 114 486       | 6 000          | 60,3        | 70            | A           |
| P1.3         | A           | DEFAULT      | 1            | 2            | - 18 589        | 1 000          | 60,3        | 70            | A           |
| P1.3         | A           | DEFAULT      | 1            | 3            | - 15 308,2      | 828,1          | 60,3        | 70            | A           |
| P1.3         | A           | DEFAULT      | 1            | 4            | 492,1           | 0              | 60,3        | 70            | A           |
| P1.3         | A           | DEFAULT      | 1            | 5            | 1 476,4         | 0              | 19,4        | 30            | A           |
| P1.3         | D           | DEFAULT      | 1            | 1            | 0               | 0              | 19,4        | 100           | D           |
| P1.3         | D           | DEFAULT      | 1            | 2            | 820,2           | 0              | 70          | 100           | D           |
| P1.3         | D           | DEFAULT      | 1            | 3            | 10 344          | 1 000          | 70          | 100           | D           |
| P1.3         | D           | DEFAULT      | 1            | 4            | 40 000          | 3 000          | 75          | 100           | D           |
| P1.3         | D           | DEFAULT      | 1            | 5            | 200 000         | 10 000         | 83          | 100           | D           |

Tableau I-17

**Données NPD pour les classes d'avions P 1.0, P 1.1, P 1.2, P 1.3**

| NOISE_ID,<br>C,12 | NOISE_<br>TYPE,C,1 | OP_MODE,<br>C,1 | THR_SET,<br>N,9,2 | L_200,N,5,1 | L_400,N,5,1 | L_630,N,5,1 | L_1000,<br>N,5,1 | L_2000,<br>N,5,1 | L_4000,<br>N,5,1 | L_6300,<br>N,5,1 | L_10000,<br>N,5,1 | L_16000,<br>N,5,1 | L_25000,<br>N,5,1 |
|-------------------|--------------------|-----------------|-------------------|-------------|-------------|-------------|------------------|------------------|------------------|------------------|-------------------|-------------------|-------------------|
| P1.0              | M                  | A               | 30                | 55,2        | 49          | 44,8        | 40,4             | 33,6             | 26,3             | 21,2             | 15,6              | 9,3               | 2,8               |
| P1.0              | M                  | A               | 70                | 65,2        | 59          | 54,8        | 50,4             | 43,6             | 36,3             | 31,2             | 25,6              | 19,3              | 12,8              |
| P1.0              | M                  | D               | 88                | 71,2        | 65          | 60,8        | 56,4             | 49,6             | 42,3             | 37,2             | 31,6              | 25,3              | 18,8              |
| P1.0              | M                  | D               | 100               | 75,2        | 69          | 64,8        | 60,4             | 53,6             | 46,3             | 41,2             | 35,6              | 29,3              | 22,8              |
| P1.0              | S                  | A               | 30                | 54,7        | 51,4        | 49,1        | 46,7             | 42,8             | 38,4             | 35,2             | 31,4              | 27,1              | 22,3              |
| P1.0              | S                  | A               | 70                | 64,7        | 61,4        | 59,1        | 56,7             | 52,8             | 48,4             | 45,2             | 41,4              | 37,1              | 32,3              |
| P1.0              | S                  | D               | 88                | 70,7        | 67,4        | 65,1        | 62,7             | 58,8             | 54,4             | 51,2             | 47,4              | 43,1              | 38,3              |

| NOISE_ID,<br>C,12 | NOISE_<br>TYPE,C,1 | OP_MODE,<br>C,1 | THR_SET,<br>N,9,2 | L_200,N,5,1 | L_400,N,5,1 | L_630,N,5,1 | L_1000,<br>N,5,1 | L_2000,<br>N,5,1 | L_4000,<br>N,5,1 | L_6300,<br>N,5,1 | L_10000,<br>N,5,1 | L_16000,<br>N,5,1 | L_25000,<br>N,5,1 |
|-------------------|--------------------|-----------------|-------------------|-------------|-------------|-------------|------------------|------------------|------------------|------------------|-------------------|-------------------|-------------------|
| P1.0              | S                  | D               | 100               | 74,7        | 71,4        | 69,1        | 66,7             | 62,8             | 58,4             | 55,2             | 51,4              | 47,1              | 42,3              |
| P1.1              | M                  | A               | 30                | 60,2        | 54          | 49,8        | 45,4             | 38,6             | 31,3             | 26,2             | 20,6              | 14,3              | 7,8               |
| P1.1              | M                  | A               | 70                | 70,2        | 64          | 59,8        | 55,4             | 48,6             | 41,3             | 36,2             | 30,6              | 24,3              | 17,8              |
| P1.1              | M                  | D               | 82                | 74,2        | 68          | 63,8        | 59,4             | 52,6             | 45,3             | 40,2             | 34,6              | 28,3              | 21,8              |
| P1.1              | M                  | D               | 100               | 80,2        | 74          | 69,8        | 65,4             | 58,6             | 51,3             | 46,2             | 40,6              | 34,3              | 27,8              |
| P1.1              | S                  | A               | 30                | 59,7        | 56,4        | 54,1        | 51,7             | 47,8             | 43,4             | 40,2             | 36,4              | 32,1              | 27,3              |
| P1.1              | S                  | A               | 70                | 69,7        | 66,4        | 64,1        | 61,7             | 57,8             | 53,4             | 50,2             | 46,4              | 42,1              | 37,3              |
| P1.1              | S                  | D               | 82                | 73,7        | 70,4        | 68,1        | 65,7             | 61,8             | 57,4             | 54,2             | 50,4              | 46,1              | 41,3              |
| P1.1              | S                  | D               | 100               | 79,7        | 76,4        | 74,1        | 71,7             | 67,8             | 63,4             | 60,2             | 56,4              | 52,1              | 47,3              |
| P1.2              | M                  | A               | 30                | 64,4        | 58,2        | 53,9        | 49,5             | 42,6             | 35,1             | 29,8             | 24                | 17,5              | 10,6              |
| P1.2              | M                  | A               | 70                | 74,4        | 68,2        | 63,9        | 59,5             | 52,6             | 45,1             | 39,8             | 34                | 27,5              | 20,6              |
| P1.2              | M                  | D               | 76                | 76,4        | 70,2        | 65,9        | 61,5             | 54,6             | 47,1             | 41,8             | 36                | 29,5              | 22,6              |
| P1.2              | M                  | D               | 100               | 84,4        | 78,2        | 73,9        | 69,5             | 62,6             | 55,1             | 49,8             | 44                | 37,5              | 30,6              |
| P1.2              | S                  | A               | 30                | 63,9        | 60,5        | 58,2        | 55,8             | 51,8             | 47,2             | 43,8             | 39,8              | 35,2              | 30,1              |
| P1.2              | S                  | A               | 70                | 73,9        | 70,5        | 68,2        | 65,8             | 61,8             | 57,2             | 53,8             | 49,8              | 45,2              | 40,1              |
| P1.2              | S                  | D               | 76                | 75,9        | 72,5        | 70,2        | 67,8             | 63,8             | 59,2             | 55,8             | 51,8              | 47,2              | 42,1              |
| P1.2              | S                  | D               | 100               | 83,9        | 80,5        | 78,2        | 75,8             | 71,8             | 67,2             | 63,8             | 59,8              | 55,2              | 50,1              |
| P1.3              | M                  | A               | 30                | 66,4        | 60,2        | 55,9        | 51,5             | 44,6             | 37,1             | 31,8             | 26                | 19,5              | 12,6              |
| P1.3              | M                  | A               | 70                | 76,4        | 70,2        | 65,9        | 61,5             | 54,6             | 47,1             | 41,8             | 36                | 29,5              | 22,6              |
| P1.3              | M                  | D               | 76                | 78,4        | 72,2        | 67,9        | 63,5             | 56,6             | 49,1             | 43,8             | 38                | 31,5              | 24,6              |
| P1.3              | M                  | D               | 100               | 86,4        | 80,2        | 75,9        | 71,5             | 64,6             | 57,1             | 51,8             | 46                | 39,5              | 32,6              |
| P1.3              | S                  | A               | 30                | 65,9        | 62,5        | 60,2        | 57,8             | 53,8             | 49,2             | 45,8             | 41,8              | 37,2              | 32,1              |

| NOISE_ID,<br>C,12 | NOISE_<br>TYPE,C,1 | OP_MODE,<br>C,1 | THR_SET,<br>N,9,2 | L_200,N,5,1 | L_400,N,5,1 | L_630,N,5,1 | L_1000,<br>N,5,1 | L_2000,<br>N,5,1 | L_4000,<br>N,5,1 | L_6300,<br>N,5,1 | L_10000,<br>N,5,1 | L_16000,<br>N,5,1 | L_25000,<br>N,5,1 |
|-------------------|--------------------|-----------------|-------------------|-------------|-------------|-------------|------------------|------------------|------------------|------------------|-------------------|-------------------|-------------------|
| P1.3              | S                  | A               | 70                | 75,9        | 72,5        | 70,2        | 67,8             | 63,8             | 59,2             | 55,8             | 51,8              | 47,2              | 42,1              |
| P1.3              | S                  | D               | 76                | 77,9        | 74,5        | 72,2        | 69,8             | 65,8             | 61,2             | 57,8             | 53,8              | 49,2              | 44,1              |
| P1.3              | S                  | D               | 100               | 85,9        | 82,5        | 80,2        | 77,8             | 73,8             | 69,2             | 65,8             | 61,8              | 57,2              | 52,1              |

### Données relatives au bruit et aux performances des hélicoptères — série 1

Cette série contient des données pour cinq classes d'hélicoptères sur la base de la masse maximale au décollage:

Tableau I-18

Tableau descriptif — données relatives aux hélicoptères — série 1

| ACFT_ID | Description                                   | Type de moteur | Nbre de moteurs | Classe de poids | Catégorie de propriétaire | Mass-<br>MaxBrute<br>au décollage (lb) | Masse-<br>MaxBrute<br>à l'atterrissage (lb) | Distance max d'atterrissage (ft) | Poussée stat max au niveau de la mer (lb) | Chapitre bruit | NPD_ID | Paramètre de puissance              | Identifiant de la classe spectrale à l'approche | Identifiant de la classe spectrale au départ | Identifiant de la directivité latérale |
|---------|---|----------------|-----------------|-----------------|---------------------------|--|---|----------------------------------|---|----------------|--------|-------------------------------------|---|--|--|
| H1.0    | Hélicoptères avec MassMax au décollage <= 1 t | Hélice         | 0               | 0               | Hélicoptère               | 0                                      | 0   | 0                                | 100                                       | 0              | H1.0   | SHP (% de" la poussée statique max) | 215   | 109  | Hélice                                 |
| H1.1    | Hélicoptères avec MassMax au décollage 1-3 t  | Hélice         | 0               | 0               | Hélicoptère               | 0                                      | 0   | 0                                | 100                                       | 0              | H1.1   | SHP (% de" la poussée statique max) | 215   | 109  | Hélice                                 |
| H1.2    | Hélicoptères avec MassMax au décollage 3-5 t  | Hélice         | 0               | 0               | Hélicoptère               | 0                                      | 0   | 0                                | 100                                       | 0              | H1.2   | SHP (% de" la poussée statique max) | 215   | 109  | Hélice                                 |
| H2.1    | Hélicoptères avec MassMax au décollage 5-10 t | Hélice         | 0               | 0               | Hélicoptère               | 0                                      | 0   | 0                                | 100                                       | 0              | H2.1   | SHP (% de" la poussée statique max) | 215   | 109  | Hélice                                 |
| H2.2    | Hélicoptères avec MassMax au décollage > 10 t | Hélice         | 0               | 0               | Hélicoptère               | 0                                      | 0   | 0                                | 100                                       | 0              | H2.2   | SHP (% de" la poussée statique max) | 215   | 109  | Hélice                                 |

Tableau I-19

## Données relatives aux hélicoptères — série 1 — profils de départ

| ACFT_ID | OP_TYPE | PROF_ID1 | PROF_ID2 | PT_NUM | DISTANCE (ft) | ALTITUDE (ft) | VITESSE (kt) | THR_SET (%) | OP_MODE |
|---------|---------|----------|----------|--------|---------------|---------------|--------------|-------------|---------|
| H1.0    | D       | H1.0_S   | 1        | 1      | 0,0           | 0,0           | 3,9          | 100,00      | D       |
| H1.0    | D       | H1.0_S   | 1        | 2      | 9,8           | 6,6           | 5,8          | 100,00      | D       |
| H1.0    | D       | H1.0_S   | 1        | 3      | 32,8          | 16,4          | 9,7          | 100,00      | D       |
| H1.0    | D       | H1.0_S   | 1        | 4      | 295,3         | 49,2          | 40,8         | 100,00      | D       |
| H1.0    | D       | H1.0_S   | 1        | 5      | 5 687,5       | 1 000,0       | 60,3         | 100,00      | D       |
| H1.0    | D       | H1.0_S   | 1        | 6      | 8 968,3       | 1 000,0       | 64,1         | 100,00      | D       |
| H1.0    | D       | H1.0_S   | 1        | 7      | 200 000,0     | 1 000,0       | 64,1         | 100,00      | D       |
| H1.1    | D       | H1.1_S   | 1        | 1      | 0,0           | 0,0           | 3,9          | 100,00      | D       |
| H1.1    | D       | H1.1_S   | 1        | 2      | 9,8           | 6,6           | 5,8          | 100,00      | D       |
| H1.1    | D       | H1.1_S   | 1        | 3      | 32,8          | 16,4          | 9,7          | 100,00      | D       |
| H1.1    | D       | H1.1_S   | 1        | 4      | 295,3         | 49,2          | 40,8         | 100,00      | D       |
| H1.1    | D       | H1.1_S   | 1        | 5      | 6 298,3       | 1 000,0       | 64,1         | 100,00      | D       |
| H1.1    | D       | H1.1_S   | 1        | 6      | 9 579,2       | 1 000,0       | 70,0         | 100,00      | D       |
| H1.1    | D       | H1.1_S   | 1        | 7      | 200 000,0     | 1 000,0       | 70,0         | 100,00      | D       |
| H1.2    | D       | H1.2_S   | 1        | 1      | 0,0           | 0,0           | 3,9          | 100,00      | D       |
| H1.2    | D       | H1.2_S   | 1        | 2      | 9,8           | 6,6           | 5,8          | 100,00      | D       |
| H1.2    | D       | H1.2_S   | 1        | 3      | 32,8          | 16,4          | 9,7          | 100,00      | D       |
| H1.2    | D       | H1.2_S   | 1        | 4      | 295,3         | 49,2          | 40,8         | 100,00      | D       |
| H1.2    | D       | H1.2_S   | 1        | 5      | 6 298,3       | 1 000,0       | 70,0         | 100,00      | D       |
| H1.2    | D       | H1.2_S   | 1        | 6      | 9 579,2       | 1 000,0       | 75,8         | 100,00      | D       |

| ACFT_ID | OP_TYPE | PROF_ID1 | PROF_ID2 | PT_NUM | DISTANCE (ft) | ALTITUDE (ft) | VITESSE (kt) | THR_SET (%) | OP_MODE |
|---------|---------|----------|----------|--------|---------------|---------------|--------------|-------------|---------|
| H1.2    | D       | H1.2_S   | 1        | 7      | 200 000,0     | 1 000,0       | 75,8         | 100,00      | D       |
| H2.1    | D       | H2.1_S   | 1        | 1      | 0,0           | 0,0           | 3,9          | 100,00      | D       |
| H2.1    | D       | H2.1_S   | 1        | 2      | 9,8           | 6,6           | 5,8          | 100,00      | D       |
| H2.1    | D       | H2.1_S   | 1        | 3      | 32,8          | 16,4          | 9,7          | 100,00      | D       |
| H2.1    | D       | H2.1_S   | 1        | 4      | 295,3         | 49,2          | 40,8         | 100,00      | D       |
| H2.1    | D       | H2.1_S   | 1        | 5      | 6 298,3       | 1 000,0       | 70,0         | 100,00      | D       |
| H2.1    | D       | H2.1_S   | 1        | 6      | 9 579,2       | 1 000,0       | 75,8         | 100,00      | D       |
| H2.1    | D       | H2.1_S   | 1        | 7      | 200 000,0     | 1 000,0       | 75,8         | 100,00      | D       |
| H2.2    | D       | H2.2_S   | 1        | 1      | 0,0           | 0,0           | 3,9          | 100,00      | D       |
| H2.2    | D       | H2.2_S   | 1        | 2      | 9,8           | 0,0           | 5,8          | 100,00      | D       |
| H2.2    | D       | H2.2_S   | 1        | 3      | 32,8          | 16,4          | 9,7          | 100,00      | D       |
| H2.2    | D       | H2.2_S   | 1        | 4      | 295,3         | 49,2          | 40,8         | 100,00      | D       |
| H2.2    | D       | H2.2_S   | 1        | 5      | 6 298,3       | 1 000,0       | 70,0         | 100,00      | D       |
| H2.2    | D       | H2.2_S   | 1        | 6      | 9 579,2       | 1 000,0       | 75,8         | 100,00      | D       |
| H2.2    | D       | H2.2_S   | 1        | 7      | 200 000,0     | 1 000,0       | 75,8         | 100,00      | D       |

Tableau I-20

**Données relatives aux hélicoptères – série 1 – profils d'arrivée**

| ACFT_ID | OP_TYPE | PROF_ID1 | PROF_ID2 | PT_NUM | DISTANCE    | ALTITUDE | VITESSE | THR_SET | OP_MODE |
|---------|---------|----------|----------|--------|-------------|----------|---------|---------|---------|
| H1.0    | A       | H1.0_L   | 1        | 1      | - 200 000,0 | 1 000,0  | 64,1    | 100,00  | A       |
| H1.0    | A       | H1.0_L   | 1        | 2      | - 10 836,6  | 1 000,0  | 64,1    | 100,00  | A       |
| H1.0    | A       | H1.0_L   | 1        | 3      | - 7 555,8   | 1 000,0  | 60,3    | 100,00  | A       |
| H1.0    | A       | H1.0_L   | 1        | 4      | - 295,3     | 44,1     | 40,8    | 100,00  | A       |

| ACFT_ID | OP_TYPE | PROF_ID1 | PROF_ID2 | PT_NUM | DISTANCE    | ALTITUDE | VITESSE | THR_SET | OP_MODE |
|---------|---------|----------|----------|--------|-------------|----------|---------|---------|---------|
| H1.0    | A       | H1.0_L   | 1        | 5      | - 32,8      | 9,6      | 9,7     | 100,00  | A       |
| H1.0    | A       | H1.0_L   | 1        | 6      | - 9,8       | 6,6      | 5,8     | 100,00  | A       |
| H1.0    | A       | H1.0_L   | 1        | 7      | 0,0         | 0,0      | 3,9     | 100,00  | A       |
| H1.1    | A       | H1.1_L   | 1        | 1      | - 200 000,0 | 1 000,0  | 70,0    | 100,00  | A       |
| H1.1    | A       | H1.1_L   | 1        | 2      | - 8 401,5   | 1 000,0  | 70,0    | 100,00  | A       |
| H1.1    | A       | H1.1_L   | 1        | 3      | - 5 120,6   | 1 000,0  | 64,1    | 100,00  | A       |
| H1.1    | A       | H1.1_L   | 1        | 4      | - 295,3     | 62,0     | 40,8    | 100,00  | A       |
| H1.1    | A       | H1.1_L   | 1        | 5      | - 32,8      | 11,0     | 9,7     | 100,00  | A       |
| H1.1    | A       | H1.1_L   | 1        | 6      | - 9,8       | 6,6      | 5,8     | 100,00  | A       |
| H1.1    | A       | H1.1_L   | 1        | 7      | 0,0         | 0,0      | 3,9     | 100,00  | A       |
| H1.2    | A       | H1.2_L   | 1        | 1      | - 200 000,0 | 1 000,0  | 75,8    | 100,00  | A       |
| H1.2    | A       | H1.2_L   | 1        | 2      | - 9 563,0   | 1 000,0  | 75,8    | 100,00  | A       |
| H1.2    | A       | H1.2_L   | 1        | 3      | - 6 282,2   | 1 000,0  | 70,0    | 100,00  | A       |
| H1.2    | A       | H1.2_L   | 1        | 4      | - 295,3     | 51,8     | 40,8    | 100,00  | A       |
| H1.2    | A       | H1.2_L   | 1        | 5      | - 32,8      | 10,2     | 9,7     | 100,00  | A       |
| H1.2    | A       | H1.2_L   | 1        | 6      | - 9,8       | 6,6      | 5,8     | 100,00  | A       |
| H1.2    | A       | H1.2_L   | 1        | 7      | 0,0         | 0,0      | 3,9     | 100,00  | A       |
| H2.1    | A       | H2.1_L   | 1        | 1      | - 200 000,0 | 1 000,0  | 75,8    | 100,00  | A       |
| H2.1    | A       | H2.1_L   | 1        | 2      | - 9 563,0   | 1 000,0  | 75,8    | 100,00  | A       |
| H2.1    | A       | H2.1_L   | 1        | 3      | - 6 282,2   | 1 000,0  | 70,0    | 100,00  | A       |
| H2.1    | A       | H2.1_L   | 1        | 4      | - 295,3     | 51,8     | 40,8    | 100,00  | A       |
| H2.1    | A       | H2.1_L   | 1        | 5      | - 32,8      | 10,2     | 9,7     | 100,00  | A       |
| H2.1    | A       | H2.1_L   | 1        | 6      | - 9,8       | 6,6      | 5,8     | 100,00  | A       |

| ACFT_ID | OP_TYPE | PROF_ID1 | PROF_ID2 | PT_NUM | DISTANCE    | ALTITUDE | VITESSE | THR_SET | OP_MODE |
|---------|---------|----------|----------|--------|-------------|----------|---------|---------|---------|
| H2.1    | A       | H2.1_L   | 1        | 7      | 0,0         | 0,0      | 3,9     | 100,00  | A       |
| H2.2    | A       | H2.2_L   | 1        | 1      | - 200 000,0 | 1 000,0  | 75,8    | 100,00  | A       |
| H2.2    | A       | H2.2_L   | 1        | 2      | - 9 604,4   | 1 000,0  | 75,8    | 100,00  | A       |
| H2.2    | A       | H2.2_L   | 1        | 3      | - 6 323,6   | 1 000,0  | 70,0    | 100,00  | A       |
| H2.2    | A       | H2.2_L   | 1        | 4      | - 295,3     | 45,2     | 40,8    | 100,00  | A       |
| H2.2    | A       | H2.2_L   | 1        | 5      | - 32,8      | 3,6      | 9,7     | 100,00  | A       |
| H2.2    | A       | H2.2_L   | 1        | 6      | - 9,8       | 0,0      | 5,8     | 100,00  | A       |
| H2.2    | A       | H2.2_L   | 1        | 7      | 0,0         | 0,0      | 3,9     | 100,00  | A       |

Tableau I-21

**Caractéristiques du bruit – données relatives aux hélicoptères – série 1**

| NOISE_ID | THRSET_TYP | MODEL_TYPE | SPECT_APP | SPECT_DEP | SPECT_AFB |
|----------|------------|------------|-----------|-----------|-----------|
| H1.0     | Hélice     | I          | 215       | 109       | 0         |
| H1.1     | Hélice     | I          | 215       | 109       | 0         |
| H1.2     | Hélice     | I          | 215       | 109       | 0         |
| H2.1     | Hélice     | I          | 215       | 109       | 0         |
| H2.2     | Hélice     | I          | 215       | 109       | 0         |

Tableau I-22

## Bruit-puissance-distance (NPD) données relatives aux hélicoptères – série 1

| NOISE_ID | NOISE_TYPE | OP_MODE | THR_SET | L_200 | L_400 | L_630 | L_1000 | L_2000 | L_4000 | L_6300 | L_10000 | L_16000 | L_25000 |
|----------|------------|---------|---------|-------|-------|-------|--------|--------|--------|--------|---------|---------|---------|
| H1.0     | M          | A       | 80,00   | 81,3  | 75,0  | 70,7  | 66,3   | 59,2   | 51,4   | 45,6   | 39,1    | 31,5    | 23,1    |
| H1.0     | M          | A       | 100,00  | 84,3  | 78,0  | 73,7  | 69,3   | 62,2   | 54,4   | 48,6   | 42,1    | 34,5    | 26,1    |
| H1.0     | M          | D       | 80,00   | 81,3  | 75,0  | 70,7  | 66,3   | 59,2   | 51,4   | 45,6   | 39,1    | 31,5    | 23,1    |
| H1.0     | M          | D       | 100,00  | 84,3  | 78,0  | 73,7  | 69,3   | 62,2   | 54,4   | 48,6   | 42,1    | 34,5    | 26,1    |
| H1.0     | S          | A       | 80,00   | 82,0  | 78,6  | 76,2  | 73,6   | 69,2   | 64,1   | 60,1   | 55,3    | 49,4    | 42,8    |
| H1.0     | S          | A       | 100,00  | 85,0  | 81,6  | 79,2  | 76,6   | 72,2   | 67,1   | 63,1   | 58,3    | 52,4    | 45,8    |
| H1.0     | S          | D       | 80,00   | 82,0  | 78,6  | 76,2  | 73,6   | 69,2   | 64,1   | 60,1   | 55,3    | 49,4    | 42,8    |
| H1.0     | S          | D       | 100,00  | 85,0  | 81,6  | 79,2  | 76,6   | 72,2   | 67,1   | 63,1   | 58,3    | 52,4    | 45,8    |
| H1.1     | M          | A       | 80,00   | 86,5  | 80,2  | 75,9  | 71,5   | 64,4   | 56,6   | 50,8   | 44,3    | 36,7    | 28,3    |
| H1.1     | M          | A       | 100,00  | 89,5  | 83,2  | 78,9  | 74,5   | 67,4   | 59,6   | 53,8   | 47,3    | 39,7    | 31,3    |
| H1.1     | M          | D       | 80,00   | 86,5  | 80,2  | 75,9  | 71,5   | 64,4   | 56,6   | 50,8   | 44,3    | 36,7    | 28,3    |
| H1.1     | M          | D       | 100,00  | 89,5  | 83,2  | 78,9  | 74,5   | 67,4   | 59,6   | 53,8   | 47,3    | 39,7    | 31,3    |
| H1.1     | S          | A       | 80,00   | 87,2  | 83,8  | 81,4  | 78,8   | 74,4   | 69,3   | 65,3   | 60,5    | 54,6    | 48,0    |
| H1.1     | S          | A       | 100,00  | 90,2  | 86,8  | 84,4  | 81,8   | 77,4   | 72,3   | 68,3   | 63,5    | 57,6    | 51,0    |
| H1.1     | S          | D       | 80,00   | 87,2  | 83,8  | 81,4  | 78,8   | 74,4   | 69,3   | 65,3   | 60,5    | 54,6    | 48,0    |
| H1.1     | S          | D       | 100,00  | 90,2  | 86,8  | 84,4  | 81,8   | 77,4   | 72,3   | 68,3   | 63,5    | 57,6    | 51,0    |
| H1.2     | M          | A       | 80,00   | 89,1  | 82,8  | 78,5  | 74,1   | 67,0   | 59,2   | 53,4   | 46,9    | 39,3    | 30,9    |
| H1.2     | M          | A       | 100,00  | 92,1  | 85,8  | 81,5  | 77,1   | 70,0   | 62,2   | 56,4   | 49,9    | 42,3    | 33,9    |
| H1.2     | M          | D       | 80,00   | 89,1  | 82,8  | 78,5  | 74,1   | 67,0   | 59,2   | 53,4   | 46,9    | 39,3    | 30,9    |
| H1.2     | M          | D       | 100,00  | 92,1  | 85,8  | 81,5  | 77,1   | 70,0   | 62,2   | 56,4   | 49,9    | 42,3    | 33,9    |
| H1.2     | S          | A       | 80,00   | 89,8  | 86,4  | 84,0  | 81,4   | 77,0   | 71,9   | 67,9   | 63,1    | 57,2    | 50,6    |
| H1.2     | S          | A       | 100,00  | 92,8  | 89,4  | 87,0  | 84,4   | 80,0   | 74,9   | 70,9   | 66,1    | 60,2    | 53,6    |

| NOISE_ID | NOISE_TYPE | OP_MODE | THR_SET | L_200 | L_400 | L_630 | L_1000 | L_2000 | L_4000 | L_6300 | L_10000 | L_16000 | L_25000 |
|----------|------------|---------|---------|-------|-------|-------|--------|--------|--------|--------|---------|---------|---------|
| H1.2     | S          | D       | 80,00   | 89,8  | 86,4  | 84,0  | 81,4   | 77,0   | 71,9   | 67,9   | 63,1    | 57,2    | 50,6    |
| H1.2     | S          | D       | 100,00  | 92,8  | 89,4  | 87,0  | 84,4   | 80,0   | 74,9   | 70,9   | 66,1    | 60,2    | 53,6    |
| H2.1     | M          | A       | 80,00   | 91,3  | 85,0  | 80,7  | 76,3   | 69,2   | 61,4   | 55,6   | 49,1    | 41,5    | 33,1    |
| H2.1     | M          | A       | 100,00  | 94,3  | 88,0  | 83,7  | 79,3   | 72,2   | 64,4   | 58,6   | 52,1    | 44,5    | 36,1    |
| H2.1     | M          | D       | 80,00   | 91,3  | 85,0  | 80,7  | 76,3   | 69,2   | 61,4   | 55,6   | 49,1    | 41,5    | 33,1    |
| H2.1     | M          | D       | 100,00  | 94,3  | 88,0  | 83,7  | 79,3   | 72,2   | 64,4   | 58,6   | 52,1    | 44,5    | 36,1    |
| H2.1     | S          | A       | 80,00   | 92,0  | 88,6  | 86,2  | 83,6   | 79,2   | 74,1   | 70,1   | 65,3    | 59,4    | 52,8    |
| H2.1     | S          | A       | 100,00  | 95,0  | 91,6  | 89,2  | 86,6   | 82,2   | 77,1   | 73,1   | 68,3    | 62,4    | 55,8    |
| H2.1     | S          | D       | 80,00   | 92,0  | 88,6  | 86,2  | 83,6   | 79,2   | 74,1   | 70,1   | 65,3    | 59,4    | 52,8    |
| H2.1     | S          | D       | 100,00  | 95,0  | 91,6  | 89,2  | 86,6   | 82,2   | 77,1   | 73,1   | 68,3    | 62,4    | 55,8    |
| H2.2     | M          | A       | 80,00   | 94,3  | 88,0  | 83,7  | 79,3   | 72,2   | 64,4   | 58,6   | 52,1    | 44,5    | 36,1    |
| H2.2     | M          | A       | 100,00  | 97,3  | 91,0  | 86,7  | 82,3   | 75,2   | 67,4   | 61,6   | 55,1    | 47,5    | 39,1    |
| H2.2     | M          | D       | 80,00   | 94,3  | 88,0  | 83,7  | 79,3   | 72,2   | 64,4   | 58,6   | 52,1    | 44,5    | 36,1    |
| H2.2     | M          | D       | 100,00  | 97,3  | 91,0  | 86,7  | 82,3   | 75,2   | 67,4   | 61,6   | 55,1    | 47,5    | 39,1    |
| H2.2     | S          | A       | 80,00   | 95,0  | 91,6  | 89,2  | 86,6   | 82,2   | 77,1   | 73,1   | 68,3    | 62,4    | 55,8    |
| H2.2     | S          | A       | 100,00  | 98,0  | 94,6  | 92,2  | 89,6   | 85,2   | 80,1   | 76,1   | 71,3    | 65,4    | 58,8    |
| H2.2     | S          | D       | 80,00   | 95,0  | 91,6  | 89,2  | 86,6   | 82,2   | 77,1   | 73,1   | 68,3    | 62,4    | 55,8    |
| H2.2     | S          | D       | 100,00  | 98,0  | 94,6  | 92,2  | 89,6   | 85,2   | 80,1   | 76,1   | 71,3    | 65,4    | 58,8    |

### Données relatives au bruit et aux performances des hélicoptères — série 1

Cette série contient des données pour trois classes d'hélicoptères sur la base de la masse maximale au décollage:

- 1) Hélicoptère léger (LHEL) MassMax au décollage < 3 000 kg
- 2) Hélicoptère moyen (MHEL) 3 000 kg < MassMax au décollage < 6 000 kg
- 3) Hélicoptère lourd (THEL) MassMax au décollage > 6 000 kg

Les profils de vol à l'arrivée et au départ sont présentés sous forme de profils de points fixes. Les profils de vol au départ supposent une montée jusqu'à un niveau de vol à 1 000 pieds (305 m). Lorsque ces valeurs ne sont pas respectées au niveau local au départ ou à l'arrivée, il est recommandé d'adapter les profils par défaut en fonction des circonstances locales.

Tableau I-23

**Tableau descriptif – données relatives aux hélicoptères série 2**

| ACFT_ID | Description                                   | Type de moteur | Nbre de moteurs | Classe de poids | Catégorie de propriétaire | Mass-<br>MaxBrute<br>au décollage (lb) | Masse-<br>MaxBrute<br>à l'atterrissage (lb) | Distance max d'atterrissage (ft) | Poussée stat max au niveau de la mer (lb) | Chapitre bruit | NPD_ID | Paramètre de puissance               | Identifiant de la classe spectrale à l'approche | Identifiant de la classe spectrale au départ | Identifiant de l'adirectivité latérale |
|---------|---|----------------|-----------------|-----------------|---------------------------|--|---|----------------------------------|---|----------------|--------|--------------------------------------|---|--|--|
| LHEL    | Hélicoptères avec MassMax au décollage <= 1 t | Hélice         | 0               | 0               | Hélicoptère               | 0                                      | 0   | 0                                | 100                                       | 0              | LHEL   | SHP (% de " la poussée statique max) | 215   | 112  | Hélice                                 |
| MHEL    | Hélicoptères avec MassMax au décollage 1-3 t  | Hélice         | 0               | 0               | Hélicoptère               | 0                                      | 0   | 0                                | 100                                       | 0              | MHEL   | SHP (% de " la poussée statique max) | 215   | 112  | Hélice                                 |
| THEL    | Hélicoptères avec MassMax au décollage 3-5 t  | Hélice         | 0               | 0               | Hélicoptère               | 0                                      | 0   | 0                                | 100                                       | 0              | THEL   | SHP (% de " la poussée statique max) | 215   | 112  | Hélice                                 |

Tableau I-24

**Données relatives aux hélicoptères – série 2 – profils de départ**

| ACFT_ID | Type d'opération | ID du profil | Longueur d'étape | N° du point | Distance (ft) | Altitude (ft) | Vitesse vraie (kt) | Poussée nette corrigée (%) | OP_MODE |
|---------|------------------|--------------|------------------|-------------|---------------|---------------|--------------------|----------------------------|---------|
| LHEL    | D                | DEFAULT      | 1                | 1           | 0             | 0             | 1                  | 50                         | X       |
| LHEL    | D                | DEFAULT      | 1                | 2           | 10            | 0             | 3                  | 50                         | X       |
| LHEL    | D                | DEFAULT      | 1                | 3           | 20            | 16            | 5                  | 50                         | X       |
| LHEL    | D                | DEFAULT      | 1                | 4           | 102           | 16            | 5                  | 60                         | D       |
| LHEL    | D                | DEFAULT      | 1                | 5           | 561           | 30            | 50                 | 60                         | D       |
| LHEL    | D                | DEFAULT      | 1                | 6           | 2 297         | 515           | 70                 | 60                         | D       |
| LHEL    | D                | DEFAULT      | 1                | 7           | 4 032         | 1 001         | 90                 | 70                         | D       |

| ACFT_ID | Type d'opération | ID du profil | Longueur d'étape | N° du point | Distance (ft) | Altitude (ft) | Vitesse vraie (kt) | Poussée nette corrigée (%) | OP_MODE |
|---------|------------------|--------------|------------------|-------------|---------------|---------------|--------------------|----------------------------|---------|
| LHEL    | D                | DEFAULT      | 1                | 8           | 7 014         | 1 001         | 100                | 70                         | D       |
| LHEL    | D                | DEFAULT      | 1                | 9           | 10 000        | 1 001         | 110                | 70                         | D       |
| MHEL    | D                | DEFAULT      | 1                | 1           | 0             | 0             | 1                  | 50                         | D       |
| MHEL    | D                | DEFAULT      | 1                | 2           | 10            | 0             | 2                  | 50                         | D       |
| MHEL    | D                | DEFAULT      | 1                | 3           | 20            | 16            | 3                  | 50                         | D       |
| MHEL    | D                | DEFAULT      | 1                | 4           | 102           | 16            | 30                 | 50                         | D       |
| MHEL    | D                | DEFAULT      | 1                | 5           | 561           | 30            | 60                 | 50                         | D       |
| MHEL    | D                | DEFAULT      | 1                | 6           | 4 032         | 1 001         | 65                 | 75                         | D       |
| MHEL    | D                | DEFAULT      | 1                | 7           | 6 785         | 1 001         | 100                | 75                         | D       |
| MHEL    | D                | DEFAULT      | 1                | 8           | 10 000        | 1 001         | 126                | 75                         | D       |
| THEL    | D                | DEFAULT      | 1                | 1           | 0             | 0             | 1                  | 100                        | X       |
| THEL    | D                | DEFAULT      | 1                | 2           | 10            | 0             | 2                  | 100                        | X       |
| THEL    | D                | DEFAULT      | 1                | 3           | 20            | 16            | 3                  | 50                         | D       |
| THEL    | D                | DEFAULT      | 1                | 4           | 102           | 16            | 30                 | 50                         | D       |
| THEL    | D                | DEFAULT      | 1                | 5           | 1 001         | 151           | 60                 | 50                         | D       |
| THEL    | D                | DEFAULT      | 1                | 5           | 4 679         | 1 000         | 65                 | 75                         | D       |
| THEL    | D                | DEFAULT      | 1                | 5           | 6 681         | 1 000         | 83                 | 75                         | D       |
| THEL    | D                | DEFAULT      | 1                | 5           | 8 679         | 1 000         | 100                | 75                         | D       |
| THEL    | D                | DEFAULT      | 1                | 5           | 13 679        | 1 000         | 113                | 75                         | D       |
| THEL    | D                | DEFAULT      | 1                | 5           | 18 679        | 1 000         | 126                | 75                         | D       |

Tableau I-25

## Données relatives aux hélicoptères – série 2 – profils d'arrivée

| ACFT_ID | Type d'opération | ID du profil | Longueur d'étape | N° du point | Distance (ft) | Altitude (ft) | Vitesse vraie (kt) | Poussée nette corrigée (%) | OP_MODE |
|---------|------------------|--------------|------------------|-------------|---------------|---------------|--------------------|----------------------------|---------|
| LHEL    | D                | DEFAULT      | 1                | 3           | - 50 003      | 1 000         | 115                | 70                         | X       |
| LHEL    | D                | DEFAULT      | 1                | 4           | - 9 332       | 1 000         | 113                | 70                         | X       |
| LHEL    | D                | DEFAULT      | 1                | 5           | - 6 340       | 686           | 110                | 80                         | A       |
| LHEL    | D                | DEFAULT      | 1                | 6           | - 4 029       | 443           | 95                 | 80                         | A       |
| LHEL    | D                | DEFAULT      | 1                | 7           | - 1 686       | 197           | 80                 | 80                         | A       |
| LHEL    | D                | DEFAULT      | 1                | 8           | - 843         | 108           | 60                 | 80                         | A       |
| LHEL    | D                | DEFAULT      | 1                | 9           | 0             | 20            | 5                  | 80                         | A       |
| LHEL    | D                | DEFAULT      | 1                | 9           | 102           | 0             | 3                  | 80                         | A       |
| LHEL    | D                | DEFAULT      | 1                | 9           | 121           | 0             | 1                  | 80                         | A       |
| MHEL    | D                | DEFAULT      | 1                | 2           | - 40 229      | 1 000         | 135                | 75                         | X       |
| MHEL    | D                | DEFAULT      | 1                | 3           | - 36 322      | 1 000         | 123                | 75                         | X       |
| MHEL    | D                | DEFAULT      | 1                | 4           | - 32 411      | 1 000         | 112                | 75                         | X       |
| MHEL    | D                | DEFAULT      | 1                | 5           | - 28 504      | 1 000         | 100                | 75                         | X       |
| MHEL    | D                | DEFAULT      | 1                | 6           | - 22 145      | 1 000         | 90                 | 75                         | X       |
| MHEL    | D                | DEFAULT      | 1                | 7           | - 15 784      | 1 000         | 80                 | 75                         | X       |
| MHEL    | D                | DEFAULT      | 1                | 8           | - 9 426       | 1 000         | 70                 | 75                         | X       |
| MHEL    | D                | DEFAULT      | 1                | 8           | - 5 153       | 551           | 60                 | 60                         | A       |
| MHEL    | D                | DEFAULT      | 1                | 8           | - 750         | 89            | 50                 | 60                         | A       |
| MHEL    | D                | DEFAULT      | 1                | 8           | - 62          | 16            | 20                 | 60                         | A       |
| MHEL    | D                | DEFAULT      | 1                | 8           | 0             | 10            | 5                  | 60                         | A       |
| MHEL    | D                | DEFAULT      | 1                | 8           | 102           | 0             | 2                  | 60                         | A       |

| ACFT_ID | Type d'opération | ID du profil | Longueur d'étape | N° du point | Distance (ft) | Altitude (ft) | Vitesse vraie (kt) | Poussée nette corrigée (%) | OP_MODE |
|---------|------------------|--------------|------------------|-------------|---------------|---------------|--------------------|----------------------------|---------|
| MHEL    | D                | DEFAULT      | 1                | 8           | 121           | 0             | 1                  | 60                         | A       |
| MHEL    | D                | DEFAULT      | 1                | 8           | - 40 229      | 1 000         | 135                | 75                         | X       |
| MHEL    | D                | DEFAULT      | 1                | 8           | - 36 322      | 1 000         | 123                | 75                         | X       |
| MHEL    | D                | DEFAULT      | 1                | 8           | - 32 411      | 1 000         | 112                | 75                         | X       |
| MHEL    | D                | DEFAULT      | 1                | 8           | - 28 504      | 1 000         | 100                | 75                         | X       |
| MHEL    | D                | DEFAULT      | 1                | 8           | - 22 145      | 1 000         | 90                 | 75                         | X       |
| MHEL    | D                | DEFAULT      | 1                | 8           | - 15 784      | 1 000         | 80                 | 75                         | X       |
| MHEL    | D                | DEFAULT      | 1                | 8           | - 9 426       | 1 000         | 70                 | 75                         | X       |
| MHEL    | D                | DEFAULT      | 1                | 8           | - 5 153       | 551           | 60                 | 60                         | A       |
| MHEL    | D                | DEFAULT      | 1                | 8           | - 750         | 89            | 50                 | 60                         | A       |
| MHEL    | D                | DEFAULT      | 1                | 8           | - 62          | 16            | 20                 | 60                         | A       |
| MHEL    | D                | DEFAULT      | 1                | 8           | 0             | 10            | 5                  | 60                         | A       |
| MHEL    | D                | DEFAULT      | 1                | 8           | 102           | 0             | 2                  | 60                         | A       |
| MHEL    | D                | DEFAULT      | 1                | 8           | 121           | 0             | 1                  | 60                         | A       |

Tableau I-26

**Caractéristiques du bruit – données relatives aux hélicoptères – série 2**

| NOISE_ID | THRSET_TYP | MODEL_TYPE | SPECT_APP | SPECT_DEP | SPECT_AFB |
|----------|------------|------------|-----------|-----------|-----------|
| LHEL     | P          | I          | 215       | 109       | 0         |
| MHEL     | P          | I          | 215       | 109       | 0         |
| THEL     | P          | I          | 215       | 109       | 0         |

Tableau I-27

## Bruit-puissance-distance (NPD) données relatives à trois classes d'hélicoptères

| Identifiant NPD | Descripteur du bruit | Réglage de la puissance | Type d'opération | L_200ft | L_400ft | L_630ft | L_1000ft | L_2000ft | L_4000ft | L_6300ft | L_10000ft | L_16000ft | L_25000ft |
|-----------------|----------------------|-------------------------|------------------|---------|---------|---------|----------|----------|----------|----------|-----------|-----------|-----------|
| LHEL            | MAX                  | 80                      | A                | 84,6    | 79,1    | 75,7    | 71,6     | 65,8     | 60,1     | 56       | 48,8      | 41,6      | 34,4      |
| LHEL            | MAX                  | 70                      | X                | 88,4    | 82,9    | 79,5    | 75,6     | 70,3     | 65       | 61,6     | 55,4      | 49,2      | 43        |
| LHEL            | MAX                  | 60                      | D                | 83,6    | 78,2    | 75,1    | 70,3     | 66,5     | 61,7     | 58,9     | 53,3      | 47,7      | 42,1      |
| LHEL            | MAX                  | 50                      | S                | 91,7    | 85,3    | 81,5    | 76,5     | 69,4     | 61,5     | 56,5     | 49,6      | 42,7      | 35,8      |
| LHEL            | SEL                  | 80                      | A                | 90,5    | 87,1    | 84,9    | 82,1     | 77,6     | 72,1     | 67,9     | 62,4      | 56,9      | 51,4      |
| LHEL            | SEL                  | 70                      | X                | 90,4    | 87      | 84,7    | 81,9     | 77,5     | 72       | 68,1     | 62,9      | 57,7      | 52,5      |
| LHEL            | SEL                  | 60                      | D                | 85,9    | 82,5    | 80,4    | 77,7     | 73,4     | 68,4     | 64,6     | 59,6      | 54,6      | 49,6      |
| LHEL            | SEL                  | 50                      | S                | 85,9    | 82,5    | 80,4    | 77,7     | 73,4     | 68,4     | 64,6     | 59,6      | 54,6      | 49,6      |
| MHEL            | MAX                  | 50                      | D                | 91,8    | 85,2    | 80,6    | 75,7     | 67,5     | 58,1     | 51,2     | 42,6      | 34        | 25,4      |
| MHEL            | MAX                  | 60                      | A                | 90,2    | 83,9    | 80      | 75,3     | 68,4     | 60,9     | 55,8     | 49,5      | 43,2      | 36,9      |
| MHEL            | MAX                  | 75                      | X                | 92,4    | 86      | 82      | 77,2     | 70       | 62,3     | 57,1     | 50,8      | 44,5      | 38,2      |
| MHEL            | SEL                  | 50                      | D                | 91,2    | 87,2    | 84,8    | 80,8     | 75       | 68,1     | 63,7     | 57,6      | 51,5      | 45,4      |
| MHEL            | SEL                  | 60                      | A                | 94,2    | 90,1    | 88,1    | 84,7     | 80       | 74,7     | 71,3     | 66        | 60,7      | 55,4      |
| MHEL            | SEL                  | 75                      | X                | 89,3    | 85,3    | 82,8    | 78,9     | 73,1     | 66,6     | 62,6     | 57        | 51,4      | 45,8      |
| THEL            | MAX                  | 50                      | D                | 91,2    | 85,2    | 81,7    | 76,3     | 68,8     | 60,4     | 54,9     | 46        | 37,1      | 28,2      |
| THEL            | MAX                  | 60                      | A                | 90      | 84,1    | 80,7    | 75,5     | 68,5     | 60,6     | 55,3     | 48        | 40,7      | 33,4      |
| THEL            | MAX                  | 75                      | X                | 92,4    | 86,4    | 82,9    | 77,5     | 70,1     | 61,6     | 55,7     | 48,1      | 40,5      | 32,9      |
| THEL            | MAX                  | 100                     | S                | 100,2   | 93,8    | 90,3    | 84,9     | 77,5     | 69,3     | 64,3     | 56,5      | 48,7      | 40,9      |
| THEL            | SEL                  | 50                      | D                | 92,8    | 89,3    | 87,4    | 84       | 79,2     | 73,5     | 69,6     | 63,7      | 57,8      | 51,9      |

| Identifiant NPD | Descripteur du bruit | Réglage de la puissance | Type d'opération | L_200ft | L_400ft | L_630ft | L_1000ft | L_2000ft | L_4000ft | L_6300ft | L_10000ft | L_16000ft | L_25000ft |
|-----------------|----------------------|-------------------------|------------------|---------|---------|---------|----------|----------|----------|----------|-----------|-----------|-----------|
| THEL            | SEL                  | 60                      | A                | 91,6    | 88,2    | 86,4    | 83,2     | 78,8     | 73,7     | 70       | 64,7      | 59,4      | 54,1      |
| THEL            | SEL                  | 75                      | X                | 94      | 90,5    | 88,6    | 85,2     | 80,5     | 74,7     | 70,4     | 64,8      | 59,2      | 53,6      |
| THEL            | SEL                  | 100                     | S                | 92,8    | 89,3    | 87,4    | 84       | 79,2     | 73,5     | 69,6     | 63,7      | 57,8      | 51,9      |